

4

HORIA TEODORU

# PERSPECTIVA

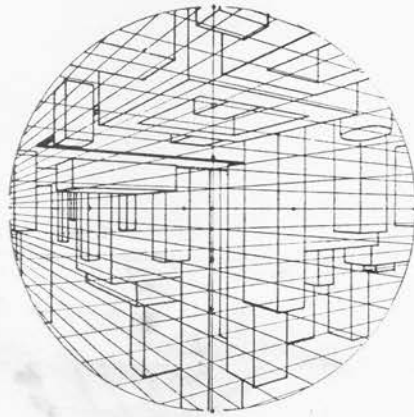
\*\*

XV-6

P



EDITURA MERIDIANE - BUCUREȘTI 1968



# PERSPECTIVA

HORIA TEODORU



## INTRODUCERE

Pentru cititorii care cunosc din introducerea primului tom al acestei lucrări enumerarea capitolelor cuprinse în volumul de față, nu ar fi necesară o nouă introducere într-un cit prezentarea și dezvoltarea diferitelor probleme se va face urmărind aceleași titluri.

Ca și în primul volum expunerea teoretică a diferitelor probleme este urmată de rezolvarea lor prin procedee practice care nu utilizează construcții ce depășesc cadrul tabloului sau, eventual, în cazuri justificale, al planșelor de dimensiuni curente, folosind — bineînțeles — procedeele cunoscute din prima parte a lucrării și care — în unele cazuri și în măsura posibilă — au fost reamintite pe scurt.

De asemenea, toate problemele au fost rezolvate nu numai în perspectivă directă, dar și în perspectivă inversă pentru a sprijini, în ambale feluri și cit mai deplin, pe artiști în definiția compozițiilor lor din imaginație.

Reamintim că paragrafele textului precum și figurile au numere de ordine. Trimitere la problemele deja dezvoltate sau care se vor dezvolta mai departe se face cu numere de ordine, în paranteză, ale paragrafelor și ale figurilor respective. Trimiterea la materialul primului volum al acestei lucrări (paragrafe sau figuri) sînt precedate de cifra romană I. Fiecare figură din text are, pe lângă numărul ei de ordine, numerele, puse în paranteză, ale paragrafelor în care se vorbește de ele.

Ca și în primul volum, pentru toate problemele puse s-au arătat procedee de rezolvare ale căror trasee sînt depășesc limitele tabloului sau, în cazul perspectivelor scenei, ale unei planșe de dimensiuni obișnuite.

De asemenea, toate figurile cuprinse în lucrare respectă timpul de vizitare clară al desenatorului și nu prezintă descrieri perspective mai accentuate decît cele pe care le poate percepe ochiul normal omenesc.



*Credem că nu este necesar să mai adăugăm că, pentru diferite probleme puse, soluțiile și procedeele propuse nu sînt singurele posibile și că fiecare poate să imagineze și alte rezolvări, poate mai simple. Tot așa nu credem că exemplele date epuizează rezolvarea tuturor problemelor ce se pot pune în chipul cel mai variat. Dar credem că pentru rezolvarea unei probleme noi, cititorul se va găsi mai bine pregătit dacă a parcurs numărul limitat de exemplificări cuprinse în această lucrare.*

*O tablă de materii detaliată ușurează găsirea paragrafului căutat și a figurii respective.*



Umbră purtată poate să fixeze pentru spectator locul ocupat în spațiu chiar de o figură care nu stă pe sol: se poate spune că toreadorul din gravura lui Goya e săltat în aer de umbră pe care o aruncă din înălțime pe nisipul arenei (fig. 32).

(fig. 2).  
(spre exemplu umbrele purtate de diferitele figuri din „Femeia adulteră” de Tintoretto mai multă evidență poziția lor relativă și succesiunea lor în adâncimea spațiului te le reprezintă într-o compoziție le poartă unele asupra altora, se poate preciza cu fiecare volum capătă relief. Prin umbrele care le poartă pe sol sau pe care figurile și obiectele diferențierea fezelor care primesc lumina de cele care rămân în umbră, imaginea țigăre care se apropie mai mult de imaginile noastre vizuale.

tridimensionalitatea volumelor din spațiu este exprimată mai convingător și capătă o înfățișare care se apropie mai mult de imaginile noastre vizuale. În felul acesta pe planul cu două dimensiuni al tabloului, procedeele perspectivei liniare, este necesară completarea cu umbre a imaginilor obținute prin adică scăldate în lumină, este necesară completarea cu umbre a imaginilor obținute prin

1. — Pentru a reprezenta figurile și obiectele din jurul nostru așa cum le vedem,

## GENERALITAȚI

### IMAGINEA PERSPECTIVĂ A UMBRELOR

Fig. 1. (1, 3, 16, 31) Murillo: Originea desenului





Fig. 2. (1, 3) Tintoretto: Adultera  
în fața lui Crist

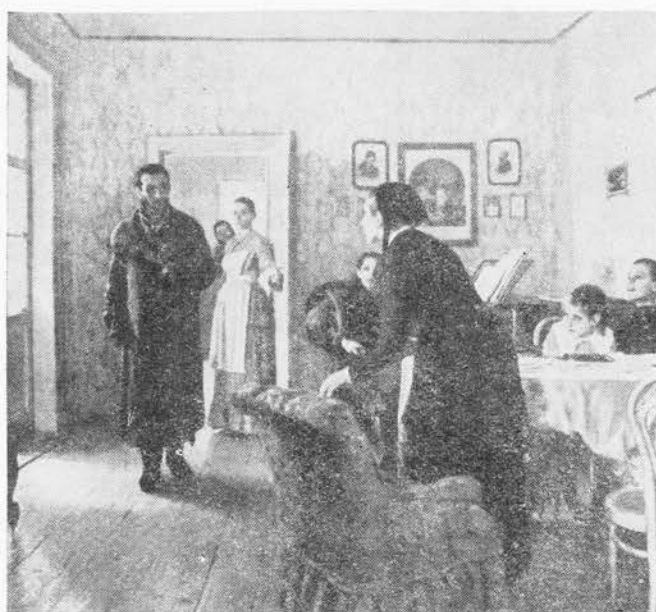


Fig. 3. (1, 3) Repin: Neașteptatul





Fig. 4. (1) Rembrandt: Parabola

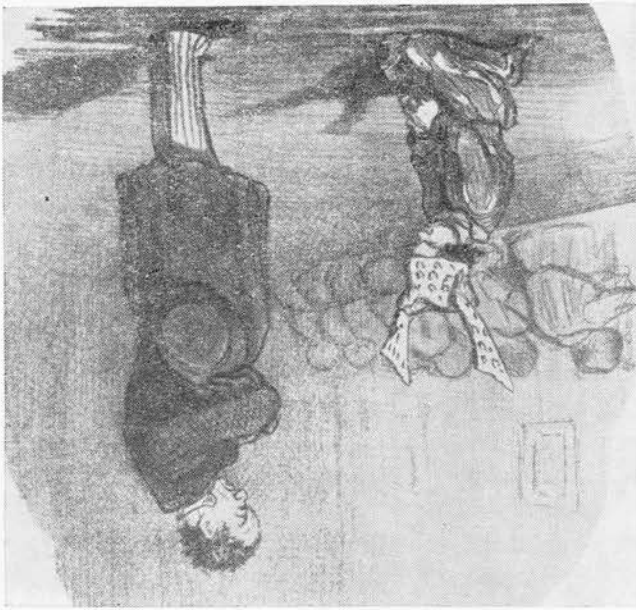


Fig. 5. (1, 3) Honoré Daumier: Parinini



Fig. 6. (1, 3) Hogarth: Luptă de cocoși

În unele compoziții direcția umbrelor purtată pe sol sau pe alte volume e folosită de artist pentru a conduce atenția privitorului spre figura sau figurile semnificative ale tabloului. Spre exemplu, în *Neașteptatul*, Repin a așezat o fereastră în așa fel încît lumina care pătrunde prin ea să arunce o umbră a cărei direcție leagă între ele cele două figuri principale ale compoziției (fig. 3).

În alte cazuri umbrele purtate subliniază sau întăresc, repetîndu-le, o atitudine sau un detaliu semnificativ, amplificînd dramatismul sau comicul compoziției, cum sînt, de exemplu, umbra mîinilor implorînde purtată pe vestmîntul alb al lui Christos, în celebra gravură a lui Rembrandt (fig. 4), umbra păstorului din Arcadia în tabloul lui Poussin (fig. 33) sau umbra purtată de copilul pedepsit în litografia lui Daumier (fig. 5).



pe care cad: ele se ondulează pe neregularitățile sau pe praful terenului (umbra cioma-

Umbrele purtate pot fi folosite și pentru a preciza sau accentua materia suprafeței

diminutii sau în liniștea serii.

adincul spațiului (*Originea desenului* de Murillo, fig. 1), ne transpun în răcoarea

umbrele alungite, fie spre privitor (*Boi mergând la arat* de Troyon, fig. 19) fie spre

de la amiază (de exemplu *Procesiunea* de Repin, detaliu — fig. 8), în timp ce

și strînse în jurul figurilor sporesc senzația de căldură și de lumină intensă a orelor

privitorului ora în care se petrece acțiunea reprezentată în tablou. Umbrele scurte

lungimea mai mare sau mai mică a umbrelor purtate sugerează nemijlocit

compoziției ca, spre exemplu, în *Prezentarea în templu* de Rembrandt (fig. 7).

constituie interesul principal al

lumină numai elementele care

blou, artistul poate scoate în

umbra care învâluie întregul ta-

Folosind clar-obscurul din

compoziția respectivă (fig. 1 și 33).

scăldate figurile reprezentate în

unde vine lumina în care sînt

întoarce capul spre a vedea de

pune că privitorul tabloului ar

senatorului. Putem oricînd presu-

de lumină se află în spatele de-

orice compoziție în care izvorul

30—35, fig. 45—50), e prezent în

De altfel spațiul virtual (1,

(fig. 6).

agitatiei generale a jucătorilor

bra pe care o aruncă în mijlocul

prezentă în tablou decît prin um-

principale ale compoziției nu e

*Lupul de cocos*, una din figurile

Astfel, în gravura lui Hogarth

spațiul virtual (din spatele lui);

tre el și tabloul) sau chiar în

spațiul intermediar (cuprins în-

(din spatele tabloului), dar și în

petrece nu numai în spațiul real

zității sugerînd privitorului ce se

completa tematica unei compo-

în cadrul tabloului, artistul poate

guri sau de volume care nu intră

Prin umbrele purtate de fi-

Fig. 7. (1) Rembrandt: Prezentarea în templu

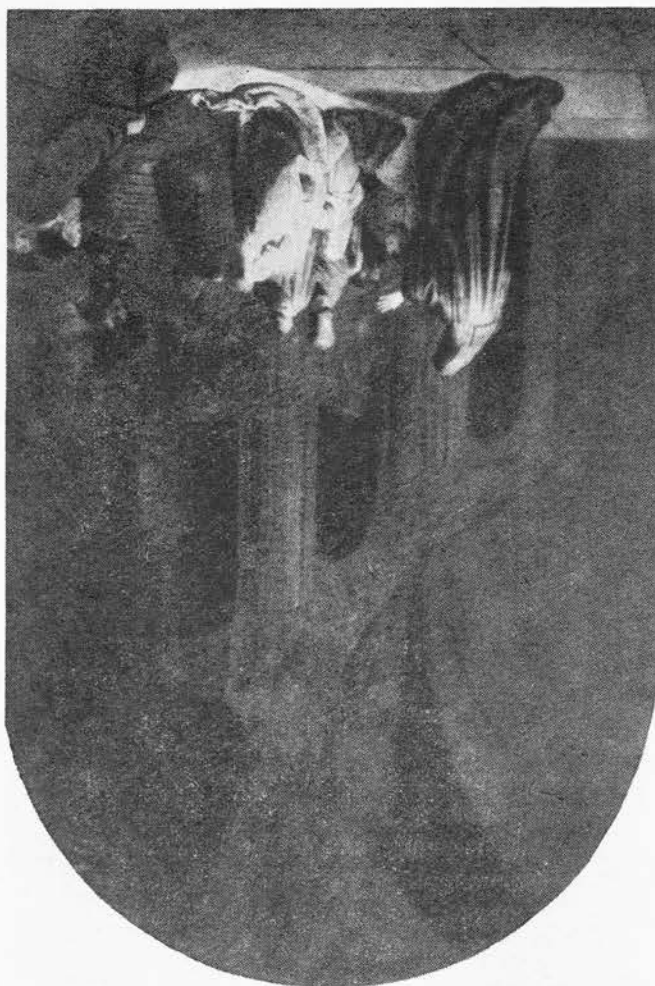




Fig. 8. (1, 3) Repin: Procesiunea (detaliu)

spectivă inversă, locul ocupat în spațiu de izvorul de lumină pentru a putea definitiva coordonarea umbrelor celorlalte detalii din compoziție. Aceasta ne arată cât de utilă este cunoașterea rezolvării problemelor de umbră și în perspectivă inversă (I, 15).

### Lumina naturală și lumina artificială

2. — Cum s-a amintit mai sus, lumina este de două feluri: naturală (solară sau lunară) și artificială. În practică izvorul de lumină, indiferent de mărimea și de forma lui reală (sferă, pară, poliedru, flacără de făclie, de lampă, de luminare etc.) se reprezintă printr-un singur punct. În felul acesta conturul umbrelor se poate desena cu ușurință și cu rezultate satisfăcătoare, însă fără posibilitatea de a se preciza acea zonă, de cele mai

gului în *Procesiunea* de Repin, fig. 8) sau sar pe firele de iarbă care o dantelează (*Atelajele* de M. B. Grekov.)

Artistul are deplina libertate de a alege, în cea mai strînsă legătură cu tema compoziției sale, felul izvorului de lumină, cum ar fi: lumina naturală a soarelui sau a lunii (*Originea desenului* de Murillo, fig. 1, ori *Sfînta Genevieva veghind asupra Parisului* de Puvis de Chavannes, fig. 20) sau o lumină artificială cum este: focul (*Fochistul* de H. A. Iaroșenko), lumînarea (*Parabola drahmei pierdute* de Domenico Feti, fig. 117), felinarul (*3 mai 1808* de Goya, fig. 97), reflectorul (*Cucerirea Palatului de Iarnă* de P. P. Sokolov-Skalia) etc.

Sînt nesfîrșit de variate efectele plastice care se pot realiza dînd umbrelor purtate orientarea și lungimea care subliniază cu mai multă tărie tema compoziției. În acest scop, foarte adesea, artistul desenează mai întîi umbra sau umbrele motivului principal și numai pe urmă determină, în per-



Uneori, în aceeași compoziție, se află mai multe izvoare de lumină și umbrele aruncate de ele în parte se suprapun întărindu-se și în parte se slăbesc, prin luminarea reciprocă (105, fig. 113; 126, fig. 125) alteleori, în aceeași compoziție, unele volume primesc lumină directă iar altele o lumină difuză.

De altfel, într-o mare măsură, pentru definitivarea compozițiilor, și umbrele pot fi studiate în cele mai mici amănunte după natura dacă — prin restituire perspectivă — așa cum știm pentru alte probleme de perspectivă (I, 16, 311, fig. 340; 319, fig. 346; 321, fig. 349; 520, fig. 578) — stabilim elementele necesare cu ajutorul cărora așezăm în atelier lumina, figurile și obiectele în aceeași condiții de depărtare și de orientare ca în compoziția din tablou (103, fig. 111; 126, fig. 113; 125, fig. 125).

Când soarele este ascuns în nori sau când razele lui nu pătrund direct într-un interior, lumina este *difuză* iar umbrele — atenuate ca intensitate — au contururi estompate (fig. 2, 3). În acest caz ele nu pot fi trasate decât cu aproximație și numai în baza experienței căpătate în studiul umbrelor luminii directe și în numeroase studii după natură.

3. — Lumina care cade asupra figurilor și obiectelor grupate într-o compoziție poate fi *directă*. În acest caz umbrele sînt puternic și precis conturate (fig. 1, 5, 6, 8, 19, 20, 23 etc.) și procedeul perspectivei lineare ne ajută să le trasăm cu precizie, fie că izvorul de lumină e cuprins în cadrul tabloului (fig. 19; Honoré Daumier, *Circulamarul* fig. 9, *Nativitatea* de Georges de la Tour, fig. 117; *Praada* de Kukriniłski), fie că se află în afara tabloului (fig. 1, 5, 6, 8, 20, 23, 29, etc.).

### Lumină directă, lumină difuză

Se constată deci că punctele  $L$  și  $L'$  către care converg razele luminii artificiale și găsește proiecția  $S'$  a izvorului de lumină (I, 81, fig. 129).

este atît de depărtată încît se confundă cu linia orizontului și numai pe această linie se aceea a unui punct de la infinit (I, 81, fig. 129). Urma planului frontal care îl cuprinde sau luna — se află la o depărtare astronomică și de aceea imaginea lui perspectivă este telor se găsește pe urma acestui plan. Pentru lumina naturală, corpul cereșc — soarele apropiat sau mai depărtat de desenator (fig. 14 și 15), iar proiecția lui  $L'$  pe planul obiectelor

Pentru lumina artificială, izvorul de lumină  $L$  se află într-un plan frontal mai pe planul obiectelor depinde însă de felul luminii.

nul obiectelor (I, 80, fig. 128 și punctele  $aa'$  și  $SS'$  din fig. 129). Locul acestei proiecții imaginea lui perspectivă  $S$  sau  $L$  este însoțită și de imaginea proiecției  $S'$  sau  $L'$  pe planul

Dar, după cum știm, locul ocupat în spațiu de un punct nu e precizat decât dacă cu litera  $S$  pentru lumina naturală și cu litera  $L$  pentru lumina artificială.

stătuie imaginea perspectivă a centrului sau a focarului izvorului de lumină se notează multe ori foarte îngustă, de estompate a umbrei la marginile ei (88). Punctul care con-



Fig. 9. (3) Honoré Daumier: Circiumarul

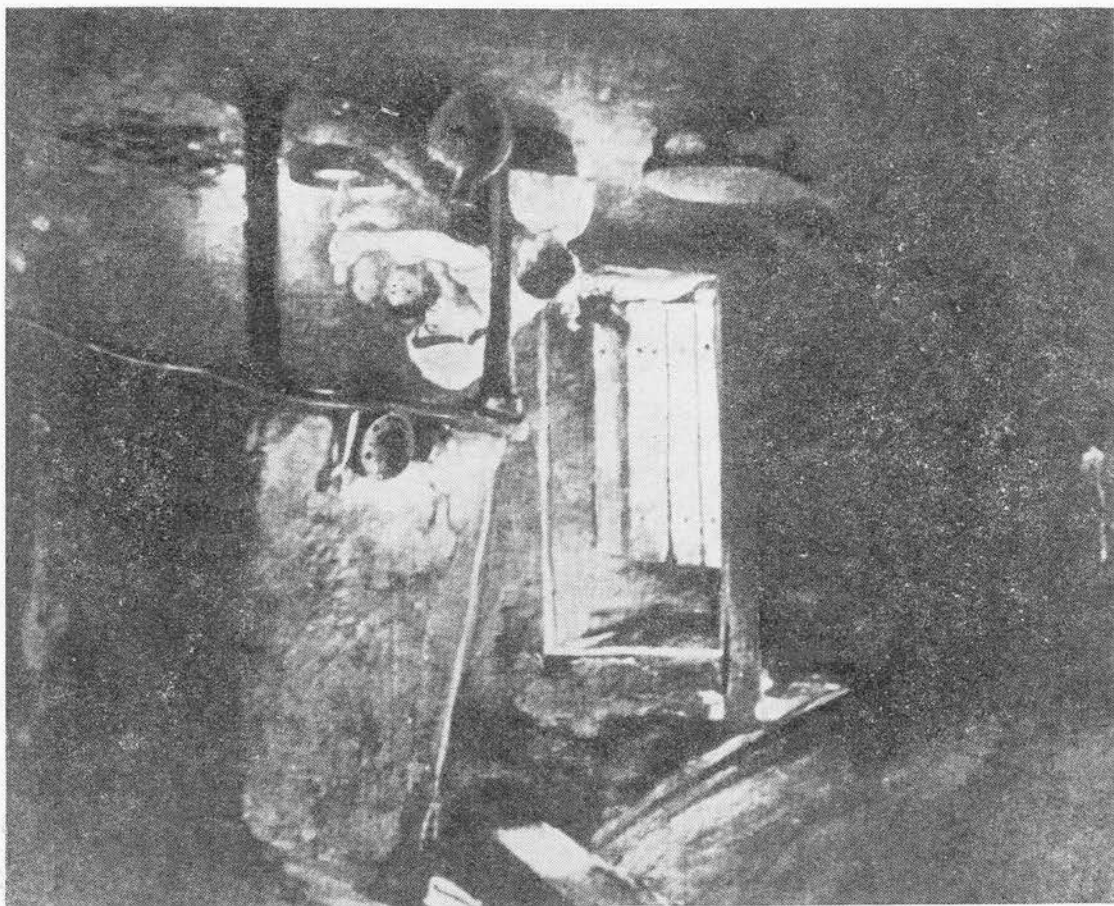
Astfel în *La vatră* de Grigorescu (fig. 10) în afară de lumina difuză a interiorului avem pe lângă lumina solară care pătrunde prin ușa deschisă și lumina focului din vatră.

Umbrele sînt de mai multe feluri și exprimarea lor plastică atît în ce privește tonul local cît și intensitatea umbririi diferă după cum sînt *proprie*, *purtate*, *autopurtate* și în *lumină razantă*.

#### Diferitele feluri de umbre

4. — *Umbra proprie*. Cînd ne îndreptăm privirile asupra unui obiect, razele noastre vizuale cad numai pe o parte din fețele lui, celelalte rămînîndu-ne ascunse. Totalitatea muchiilor care despart fețele văzute de cele ascunse constituie conturul obiectului sau conturul lui aparent, dacă fețele sînt rotunde.

Presupunînd că în locul ochiului nostru se află un izvor de lumină *L* (fig. 11), fețele obiectului care erau văzute sînt acelea pe care cade lumina, iar celelalte fețe care ne erau



trului de lumină au în umbră proprie două din fețele lor laterale  $ABCC_1$  și  $C_1C_1DE$ , pe când

razele de lumină sînt tangente la obiect cînd fețele respective sînt rotunde. În practică recunoaștem fețele luminate ducînd pe planul obiectelor proiecțiile  $LA$  și  $LB$  (fig. 11) sau  $L'A$  și  $L'B$  (fig. 17) ale razelor care cuprind între ele baza volumului respectiv. Sînt luminate fețele care se ridică pe segmentele perimetrului dinspre izvorul de lumină. Aceleași proiecții prelungite ne dau largimea umbrei purtate pe planul obiectelor. În fig. 11 cele trei prismе a căror înălțime  $AB$  este inferioară înălțimii  $LA$  a izvo-

ascunse, sînt acelea care rămîn în umbră, constituind ceea ce se numește *umbra proprie* a obiectului. În această ipoteză, totalitatea muchiilor  $AB, BC, CD, DE$  care constituiau, pentru privitor, conturul lui, constituiesc, față de izvorul de lumină, *linia desprăjitore* dintre fețele luminate și cele care rămîn în umbră proprie. În lungul acestei linii  $AB$  și  $DE$  (celîndrul din dreapta figurei 11)  $A1-4$  și  $B9$  în fig. 17 și  $A1-4$  și  $B8$  în fig. 18,



fața lor superioară e în lumină, în timp ce prisma a patra, a cărei înălțime e superioară celei a izvorului de lumină, are și fața ei superioară în umbră proprie, fiind cuprinsă în linia despărțitoare  $ABCDE$  dintre fețele luminate și cele care rămân în umbră proprie.

Potrivit locului ocupat de prisme pe planul obiectelor și al orientării lor față de izvorul de lumină și față de punctul de vedere, putem vedea numai unele sau nici una din fețele așezate în umbră proprie. Astfel în figura 11 prisma mai apropiată de noi ne arată ambele ei fețe laterale în umbră; prisma următoare, numai una din ele, în timp ce prismele mai depărtate nici una. În schimb, după cum s-a arătat mai sus, prisma mai înaltă ne arată în umbră proprie fața ei superioară. Căci aceasta se află mai sus decât izvorul de lumină dar mai jos decât nivelul ochilor noștri.

5. — *Umbră purtată.* Orice obiect din jurul nostru ne împiedică să vedem o parte din planul obiectelor și din obiectele care se află în spatele lui. Zona în care se află părțile obiectelor pe care nu le putem vedea este porțiunea de piramidă sau de con, din spatele obiectului, al cărui vîrf se află în ochiul nostru și a cărui directoare este constituită de conturul sau conturul aparent al obiectului.

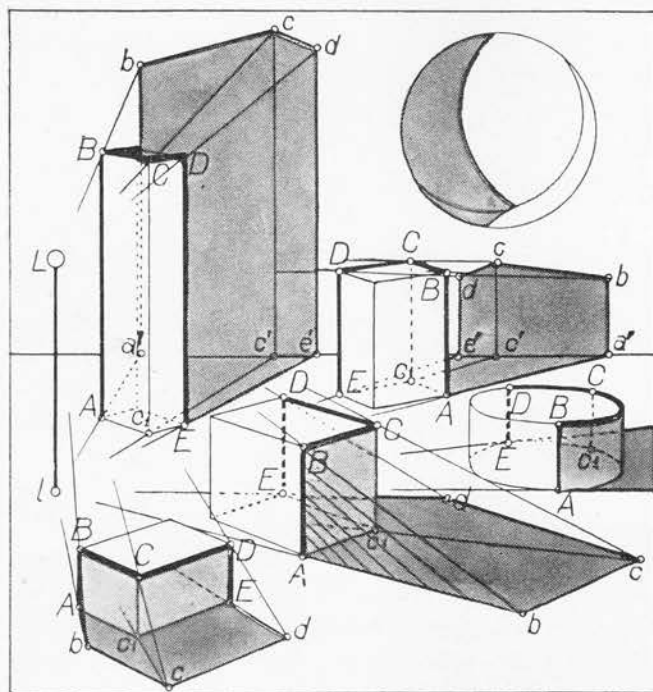
Presupunînd că în locul ochiului nostru se află un izvor de lumină  $L$  (fig. 11 și 17), zona în formă de porțiune de piramidă sau de con în care se află obiectele ce nu se văd, este zona în care razele, interceptate, nu pot pătrunde, constituind *zona de umbră purtată* de obiectul luminat.

Partea din planul obiectelor și din obiecte, care nu primește lumină din cauza interpușierii unui alt obiect între ele și izvorul de lumină, se spune că se găsește în *umbră purtată* de obiectul luminat.

În figura 11 prismele mai apropiate pun în umbră numai o parte  $AbcdE$  din planul obiectelor. Prismele mai depărtate pun în umbră și o parte  $a'bcd'e'$  din peretele vertical aflat în spatele lor.

Fiecărui vîrf  $B$ ,  $C$  și  $D$  și segment  $AB$ ,  $BC$ ,  $CD$  și  $DE$  ale liniei despărțitoare dintre fețele luminate și cele care rămîn în umbră îi corespunde un punct  $b$ ,  $c$  și  $d$  și un segment  $Ab$ ,  $bc$ ,  $cd$  și  $dE$  din conturul umbrei purtate. Examinînd cu atenție această figură este util să ne obișnuim să nu confundăm liniile de contur ale

Fig. 11. (4, 5, 10)



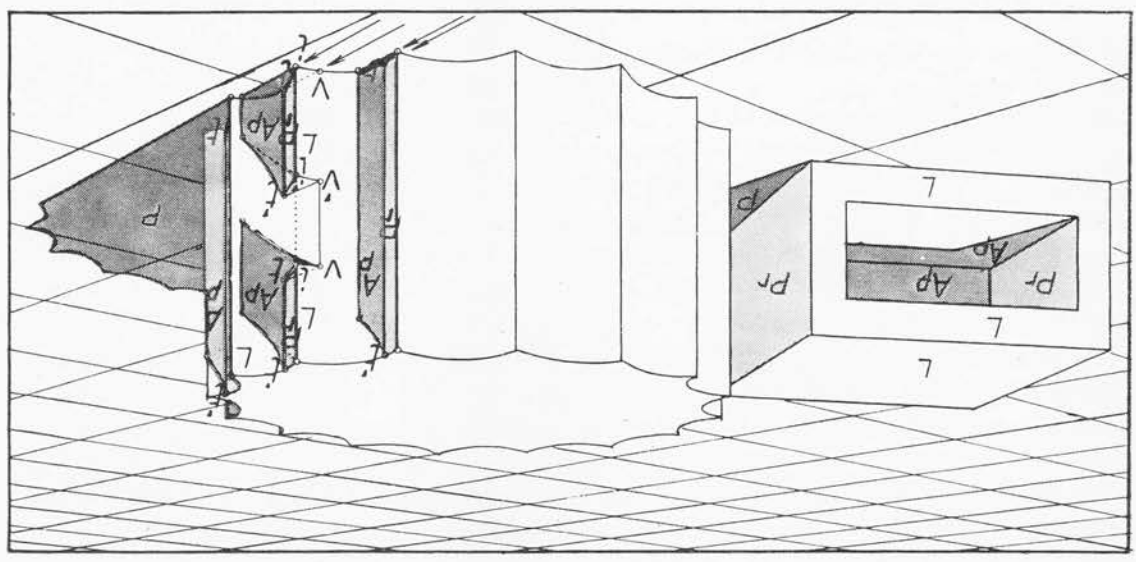
65-908

Acceasi figura ne arata ca pe suprafata concava a canelurilor unui fus de coloana, umbra autopurtata. Inlaturind acest iesind  $VV''/l''/l'$  razele patrund si lumineaza partea care era, deci, in umbra iesind a canelurii, lumina nu poate sa cada si aceasta parte este deci in umbra proprie. prin punctele de tangenta ale razelor de lumina. In stanga acestei linii, pina la muchia umbra autopurtata  $Ap$  se racordeaza cu umbra proprie  $Pr$ . Linia de racordare  $l''$  trece

6. — *Umbra autopurtata*. Unele volume complicate (fig. 12), in general cu fețe concave (fig. 13), pot purta, in anumite cazuri, umbre asupra lor inșile. Astfel in figura 12 sint reprezentate umbrele purtate ( $P$ ): umbrele proprii ( $Pr$ ) si umbrele autopurtate ( $Ap$ ). Acestea din urma se pot recunoaste cu ușurință. Este in umbra autopurtata numai fața care, considerata izolată de restul obiectului, este îndreptată spre lumina. In caz contrar este in umbra proprie. Spre exemplu, in figura 12, fețele  $Pr$  ale volumului din stanga, considerate izolate de restul obiectului, nu pot fi luminate, caci razele izvorului de lumina nu cad asupra lor: sint deci in umbra proprie. In schimb, dacă dispar din același volum fețele  $Pr$  și  $L$ , fețele  $Ap$ , astfel izolate de restul obiectului, primesc lumina: sint deci in umbra autopurtata.

tonul întunecat al umbrei purtate. fig. 17) care determină pe sol umbra purtată  $Ed$  a muchiei  $ED$  și nu trebuie cuprins in constituit din razele de lumina (aceste raze: 1-1', 2-2', 3-3', 4-4' sint arătate in brite ale prismei. Astfel triunghiul  $DED$  (prisma din primul plan) este un plan vertical  $Bb$ ,  $Cc$  și  $Dd$  care unesc acest contur cu linia despartitoare dintre fețele luminate și um-

Fig. 12. (6)



Și în figura 31 umbra  $Ap$  de la capătul drept al umbrei proprii a bordurii circulare a basinului este o umbră autopurtată cu care se racordează. Mai departe se va arăta în detaliu umbra autopurtată a cilindrului *convex*. (Fig. 78 și 79 I.)

*Penumbra* se numește acea zonă îngustă de umbră estompată care conturează umbrele purtate, zonă de trecere între plaja de umbră totală și plaja luminată. Dăm mai departe (88) câteva precizări asupra acestor penumbre pe care perspectiva liniară le lasă mai mult pe seama perspectivei de observație după natură.

7. — *Punct de pierdere*. Și o umbră proprie se poate întâlni cu o umbră purtată de un alt obiect, cum este, de exemplu, în fig. 77 umbra purtată de o abacă pe un fus cilindric. Punctul de întâlnire  $p$  dintre cele două umbre se numește *punct de pierdere*. Se demonstrează că întotdeauna marginea  $c'd'e'p$  a umbrei purtate  $Pt$  este tangentă la raza de lumină  $a'S$  care trece prin punctul de pierdere  $p$ .

8. — *Lumina razantă*. Razele de lumină pot să facă orice unghi cu fața pe care cad. Când acest unghi se micșorează pînă la 0 grade se spune că fața respectivă  $abcd$  (în fig. 14 și 15) sau fețele  $F$  din figura 30 și 31 se află în *lumină razantă*. În acest caz cele mai mici asperități ale suprafeței astfel luminate sînt puternic reliefate prin umbre alun-

gite și foarte expresive, cum se vede în portretul de condotier pictat de Antonello da Messina (fig. 16).

9. — *Intensitatea diferitelor feluri de umbre*. Umbrele sînt mai slabe sau mai puternice după cum sînt proprii, autopurtate sau purtate, și artistul plastic, studiind după natură, trebuie să urmărească cu atenție aceste deosebiri de valoare observînd cu cît sînt mai luminoase umbrele proprii (mai ales pe suprafețe rotunde) față de umbrele autopurtate și mai ales față de cele purtate care sînt cele mai puternice. Se poate analiza cu folos studiul de draperie al lui Leonardo da Vinci (fig. 13) în care se vede cum, pretutindeni, umbrele autopurtate sînt mai puternice decît cele proprii.

De altfel, studiul umbrelor pune probleme complexe pe care perspectiva liniară nu le rezolvă

Fig. 13. (6, 9) Leonardo da Vinci: Studiu de draperie





Intersecția razelor care înconjură obiectul iluminat cu planul obiectelor (fig. 17 și 18) sau cu fețele obiectelor învecinate (fig. 14 și 15) constituie conturul  $AbcdE$  al umbrei purtate de acel obiect (fig. 11) sau  $A'1', 2' \dots 9' B$  (fig. 17 și 18). Întrucât fiecare punct al liniei despărțitoare a umbrei proprii îi corespunde un punct din conturul umbrei purtate, unele puncte caracteristice de umbră proprie se pot determina cu ajutorul punctului corespunzător al umbrei purtate. Astfel, după cum se va explica mai departe (86) punctul de pierdere  $p$  din figura 77 de care s-a vorbit mai sus (7) se poate determina și cu ajutorul punctului  $p'$  în care umbră purtată de cilindrii  $Ap'$  se întretaie cu umbră purtată de abaca

obiectului iluminat. care rămân în umbră, sau [generatoarele conului tangente la suprafața rotundă a mide, care trec prin punctele liniei despărțitoare dintre fețele luminate și cele în focarul izvorului de lumină. Razele  $Lb, Lc, Ld$  (fig. 11) sau  $LA, L1-1', L2-2' \dots L9-9' B$  (fig. 17 și 18) sunt muchiile fezelor laterale ale acestei piramide care cad asupra obiectelor luminate. Virful piramidei sau al conului  $L$  se află propriu, purtat și autopurtat sunt determinate de piramida sau de conul de

10. — *Umbrele la lumina artificială.* Din cele expuse mai sus reiese că umbrele lumina directă sau difuză. pe urmă, cu mai multă pricepere, formele și valorile figurilor scăldate în orice altă lucrările de atelier făcute la lumina artificială a reflectorului ne ajută să deslușim, discernăm și cu o mai temeinică pătrundere studiile după natură după cum după natură. Totuși perspectiva liniară ne sprijină mult și ne ajută să facem cu le completa și adinci, mai ales în cazul luminii difuze, prin amănunțite studii dect parțial, lăsând — într-o largă măsură — perspectivei aeriene grija de a

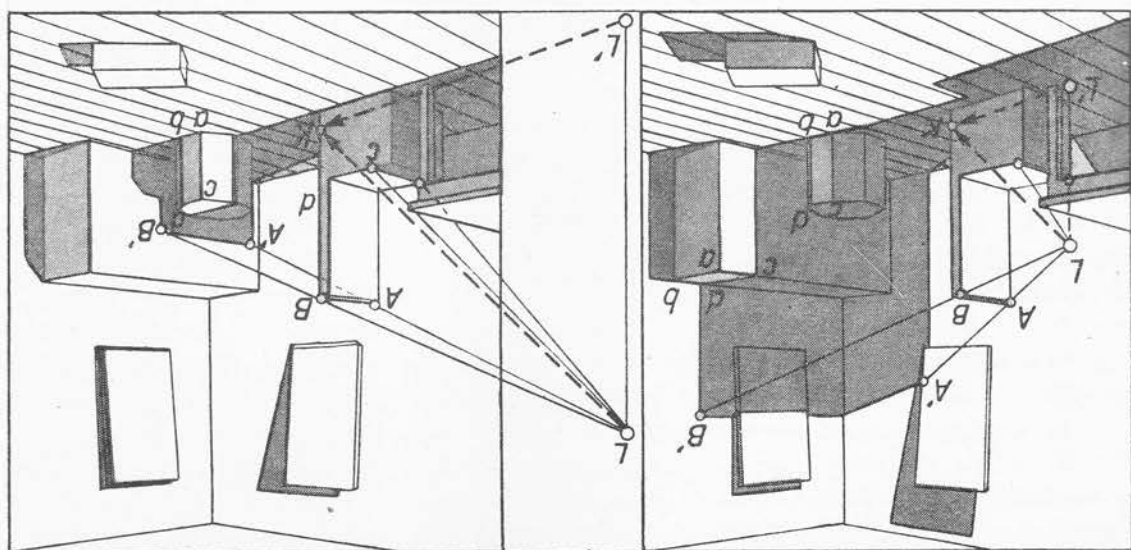


Fig. 14. (2, 8, 10, 11, 12, 13, 14)

Fig. 15. (2, 8, 10, 11, 12, 13)

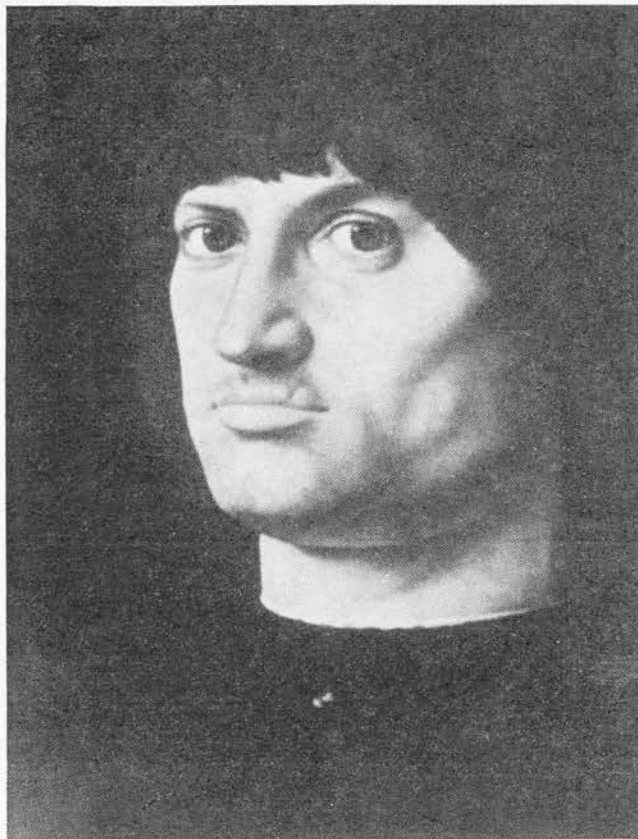


Fig. 16. (8) Antonello da Messina: Portretul unui condotier

$bd$ , sau umbra proprie a unui corp rotund (87) se poate determina cu ajutorul punctelor respective ale umbrei purtate (fig. 93).

Dacă izvorul de lumină  $L$  se depărtează în lungul axului  $KL$  al conului de lumină (fig. 15) umbra purtată  $A'B'$  de obiectul luminat  $AB$  se micșorează, iar dacă se apropie (fig. 14) umbra se mărește. Potrivit efectului plastic dorit, artistul poate să apropie (fig. 14) sau să depărteze (fig. 15) izvorul de lumină de elementele esențiale ale compoziției sale pentru a da umbrelor purtate lungimea care corespunde tematicii respective.

**11. — Umbrele la lumina solară.** Dacă în locul unui izvor de lumină artificială  $L$  (fig. 17) mai apropiat (fig. 14) sau mai depărtat (fig. 15), considerăm lumina solară, vârful conului de lumină se depărtează atât de mult încât razele lui pot fi considerate paralele între ele. Ele nu mai constituie un con, ci un cilindru de lumină (fig. 18). După cum razele

sînt conice sau cilindrice — așa cum s-a mai spus (2) — se folosesc alte construcții pentru determinarea imaginii perspective a umbrelor luminii artificiale decît pentru cele ale luminii solare.

De asemenea s-a arătat (1) de ce și problemele de umbră se pun artiștilor plastici atît în perspectivă directă cît și în perspectivă inversă.

**12. — Umbrele în perspectivă directă.** Reprezentăm pe planul tabloului, după natură, din imaginație sau după datele ce ni s-au fixat, imaginea perspectivă  $L$  a focarului de lumină (fig. 14 și 15). După cum știm, această imagine, nu va fi precizată decît dacă vom determina și proiecția ei  $L'$  pe planul obiectelor (2). Numai cînd avem și această proiecție cunoaștem poziția în spațiu a izvorului de lumină și putem — după cum se va arăta pentru diferite cazuri — construi, în continuare, în perspectivă directă, umbrele proprii și purtate ale figurilor și ale celorlalte volume cuprinse în același tablou.

14. — În desenul după natură umbrele se vor studia cu atât mai ușor și cu o înțelegere cu atât mai pătrunzătoare cu cât vom fi asimilați mai deplin rezolvările propuse de perspectiva liniară în aceste probleme.

### Metodele generale pentru desena umbrelor

13. — *Umbrele în perspectivă inversă.* Artistul a reprezentat în tabloul său (fig. 17) după natură, din memorie sau din imaginație, umbra purtată  $A_4'$  de figura sau de elementul esențial  $A_4$  din compoziția respectivă, dându-i orientarea și lungimea cea mai potrivită cu expresia plastică dorită. În acest caz el nu va putea verifica sau construi în continuare umbrele celorlalte figuri sau volume din același tablou decât dacă, în prealabil, plecând de la direcția și lungimea umbrei desenate, nu va deduce, în perspectivă inversă, locul ocupat în spațiu de focalul respectiv de lumină, determinând, în planul tabloului, imaginea lui perspectivă  $L$  și a proiecției lui  $L'$  pe planul obiectelor. Acestei probleme de perspectivă inversă i se va da importanța cuvenită și se va studia atât pentru lumina solară cât și pentru lumina artificială, indiferent dacă izvorul de lumină este sau nu accesibil. După determinarea, în perspectivă inversă, a poziției din spațiu a izvorului de lumină, în continuare, trasarea umbrelor, figurilor și volumelor din întreaga compoziție rămâne o problemă de perspectivă directă.

Imaginea focalului de lumină poate să fie (fig. 14 și 20) sau poate să nu fie accesibilă (fig. 15). De aceea vor trebui să se arate procedeele care pot fi folosite pentru trasarea umbrelor și într-un caz și în celălalt.

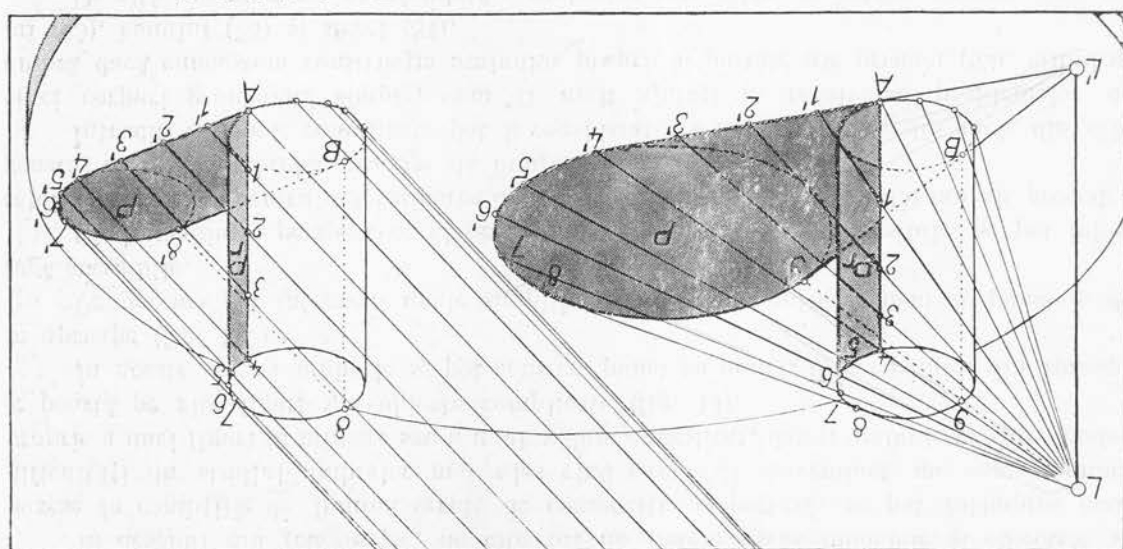


Fig. 17. (4, 5, 10, 11, 13, 15)

Fig. 18. (4, 5, 10, 11)



În desenul din imaginație, de câte ori nu putem așeza modelele și obiectele să pozeze în condițiile de lumină cerute de compoziția respectivă, se pot întâmpina mari dificultăți în studiul umbrelor mai ales când avem de determinat nu numai umbra proprie a unei figuri în mișcare sau a unui volum complicat, dar și umbrele pe care acestea le poartă pe alte figuri sau obiecte complicate (fig. 14).

În aceste cazuri umbrele se pot construi punct cu punct, linie cu linie, din aproape în aproape (fig. 127).

Pe parcurs pot interveni unele simplificări mai ales când dispunem de punctele de fugă accesibile.

Când imaginile perspective ale izvorului de lumină sînt inaccesibile, se pot folosi rețele perspective pentru determinarea direcției și lungimii umbrelor (33) sau alt procedeu general în cazul umbrelor produse de lumina solară (38).

Întrucît volumele complicate pot fi considerate ca fiind alcătuite din unele din cele cinci corpuri geometrice simple, vom fi mult ajutați în rezolvarea problemelor de umbră dacă cunoaștem construcția umbrelor proprii și purtate ale prisme (62), cilindrului (65), conului (78) și sferei (84).

De altfel cunoașterea aprofundată a umbrelor corpurilor geometrice expuse aici este indispensabilă pentru trasarea competentă a umbrelor în proiectele de arhitectură (398).

Pentru unele probleme se pot aplica direct în perspectivă unele din metodele generale folosite de geometria descriptivă: metoda planelor, a umbrelor purtate auxiliare etc.

Dar în primul rînd, pentru a putea construi umbrele punct cu punct, trebuie să cunoaștem construcția de bază a umbrei punctului și a verticalei purtată pe planul orizontal.

### Umbra punctului și a verticalei pe planul orizontal

**15.** — Când cunoaștem imaginile perspective  $L$  a izvorului de lumină precum și a proiecției lui  $L'$  pe planul orizontal al obiectelor, umbra purtată pe acest plan de un punct oarecare din spațiu (spre exemplu punctul 4 din fig. 17) se poate afla numai dacă cunoaștem și proiecția lui  $A$  pe planul obiectelor, coborînd proiectanta  $4A$  care este o verticală.

Întrucît umbra punctului dat nu se poate determina decît cu ajutorul proiectantei lui verticale, înseamnă că desenînd umbra punctului vom desena implicit și umbra verticalei în al cărei capăt se află.

Aflăm întîi *direcția* acestei umbre, prelungind dreapta care, plecînd din piciorul  $L'$  al perpendicularei coborîte pe planul obiectelor din focarul  $L$  al izvorului de lumină trece prin piciorul  $A$  al perpendicularei coborîte din punctul dat 4.

Pe urmă determinăm și *lungimea* umbrei, căutînd punctul de intersecție  $4'$  al razei de lumină  $L4$ , cu direcția  $L'A$ , prelungită.

Umbra purtată de punctul 4 este punctul  $4'$ .

Umbra purtată de verticala  $4A$  este dreapta  $44'$ .

Cum această construcție intervine foarte des, trebuie să ne obișnuim să desenăm *mai întîi direcția* umbrei, ceea ce ne obligă să cunoaștem sau să căutăm proiecțiile pe planul



Fig. 19. (1, 3, 16, 17) Constantin Troyan: Boi mergind la arat

16. — Față de desenator soarele poate ocupa în spațiu trei poziții diferite. El se poate afla:

I) în fața desenatorului și în spatele tabloului (fig. 19—28, 42 a) adică în spațiul real (I, 30).

II) în dreapta, deasupra sau în stînga desenatorului (cum este în fig. 29—32), adică în planul neutru (I, 29)

III) în spatele desenatorului (fig. 1 și 33—41, 42 b) adică în spațiul virtual (I, 33). Poziția soarelui variază după oră, anotimp și loc. În țara noastră soarele nu poate niciodată să se afle la zenit, ca în țările tropicale. Chiar la amiază nu poate depăși în

## IMAGINEA PERSPECTIVĂ A UMBREI LUMINII SOLARE

orizontal al izvorului de lumină și al punctului respectiv. Fără acestea, e inutil să ducem raza de lumină care trece prin punctul dat, căci punctul ei de pătrundere în planul orizontal nu se poate determina dacă nu întâlnește în drumul ei direcția umbrei în prealabil construite.



Fig. 20. (1, 3, 12, 16, 17, 62) Puvis de Chavannes: Sfinta Genevieva veghind asupra Parisului

*Lunca Neajlovului*, tablou de Lucian Grigorescu, sau în *Apus de soare* de Jespersen, din Colecția Simu. Uneori soarele apare ascuns în nori, ca în *Apus de soare la Barbizon* de N. Grigorescu, sau ascuns în ceața dimineții ca în *Boi mergînd la arat* de Troyon (fig. 19). De cele mai multe ori imaginea soarelui este inaccesibilă și umbrele trebuiesc desenate, fie

timpul solstițiului de vară  $68^\circ$  deasupra orizontului și  $22^\circ$  în timpul solstițiului de iarnă. În celelalte ore din zi soarele se află mai aproape de orizont și între limitele arătate mai sus între echinocții.

Mai amintim că la echinocțiile de primăvară și de toamnă soarele răsare exact la est și apune exact la vest la orele 6 și 18 în timp ce la solstițiul de iarnă răsare la sud-est și apune la sud-vest iar la solstițiul de vară răsare la nord-est și apune la nord-vest.

### I) Soarele se află în spațiul real

17. — În acest caz (fig. 21) desenatorul vede soarele în câmpul său de viziune clară sau neclară și, potrivit locului pe care izvorul de lumină îl ocupă în spațiul real, putem desena pe planul tabloului imaginea lui perspectivă  $S$  (I, fig. 129), fie în cuprinsul tabloului (fig. 21) fie în afara lui (fig. 22).

Accesibilă sau nu, imaginea perspectivă a proiecției soarelui  $S'$  pe planul orizontal al obiectelor nu se poate afla decît la o depărtare nesfîrșită, adică pe linia orizontului (I, fig. 129) și anume în punctul în care această linie se întretaie cu perpendiculara coborîtă din imaginea perspectivă a soarelui  $S$  (fig. 21, 22).

Sînt relativ destul de rare tablourile în care imaginea soarelui este accesibilă, ca spre exemplu în



18. — Pentru a putea desena umbrele proprii și purtate de figurile și volumele cuprinse într-un tablou, este necesar să determinăm mai întâi, în perspectivă directă sau în perspectivă inversă, imaginea soarelui și proiecția lui pe linia orizontului. Artista a desenat în perspectivă inversă (13), în tablou, umbra  $ba'$  purtată de figura  $ab$  (fig. 21) sau umbra  $DC'$  purtată de muchia verticală  $CD$  (fig. 22) dându-le spre des-nator, direcția și lungimea dorită. Pentru a desena, în continuare, umbrele celorlalte figuri sau volume din tablou, urmează să determine imaginea corespunzătoare a soarelui și proiecția lui pe linia orizontului, procedând după cum urmează:

*Determinarea imaginii perspective a soarelui în perspectivă inversă*

Când soarele sau eventual luna este în fața desenatorului (fig. 19, 20, 21, 22 și 23) figurele sau volumele cuprinse în tablou sunt văzute în contra luminii (fig. 19, 20 și 23) și sint total (clădirea  $A$  în fig. 22) sau parțial în umbră proprie (clădirile  $B$  în fig. 21 și 22), iar umbrele purtate se răsfiră venind spre privitor și sint cu atât mai alungite (fig. 21) sau mai scurte (fig. 22) cu cît imaginea soarelui este mai apropiată (fig. 21) sau mai depărtată (fig. 22) de linia orizontului.

cu ajutorul unui procedeu general (38) fie folosind unele din procedeele cunoscute pentru construirea imaginii perspective a dreptelor cu puncte de fugă inaccesibile (I 328—329, fig. 358—360 și 22, fig. 24, 26—28) fie utilizînd rețelele perspective cu puncte de egală resecție (223—227).

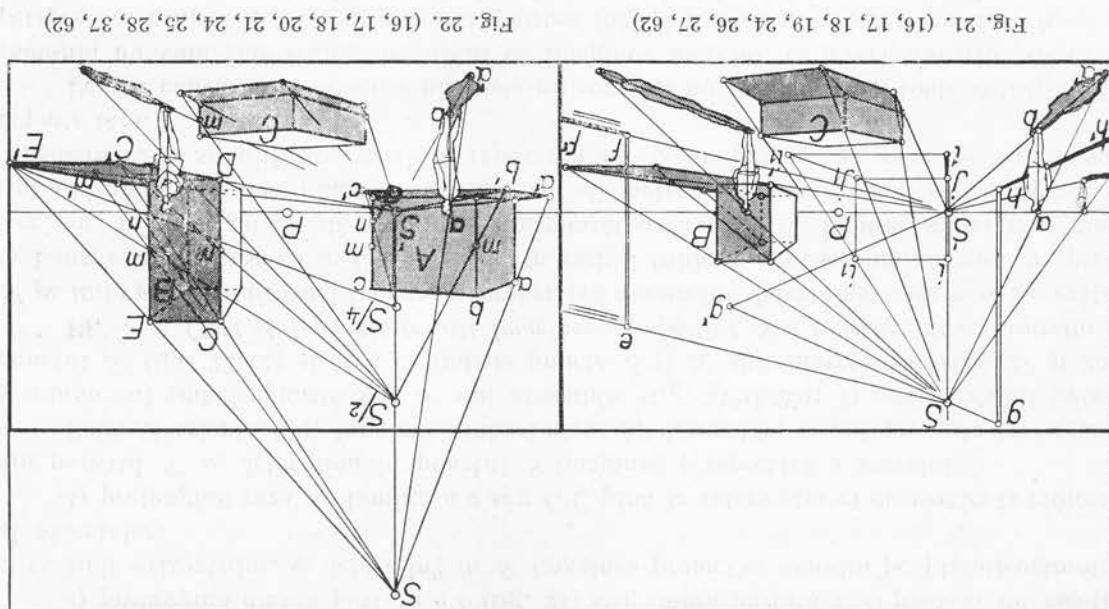


Fig. 21. (16, 17, 18, 19, 24, 26, 27, 62) Fig. 22. (16, 17, 18, 20, 21, 24, 25, 28, 37, 62)

a) prelungind umbra purtată  $a'b$  (fig. 21) sau umbra purtată  $C'D$  pînă la intersecția ei cu linia orizontului, se determină în  $S'$  imaginea proiecției soarelui pe planul orizontal al obiectelor.

b) prelungind raza de lumină  $a'a$  sau  $C'C$  pînă la intersecția ei cu verticala ridicată din punctul  $S'$  se determină în punctul  $S$  imaginea perspectivă a soarelui.

Potrivit orientării și lungimii umbrei alese de desenator, se pot prezenta trei cazuri și anume: a) ambele puncte  $S$  și  $S'$  sînt accesibile (fig. 21 și 25); b) este accesibil numai punctul  $S'$  (fig. 22, 24 și 26); c) ambele puncte  $S$  și  $S'$  sînt inaccesibile (fig. 27 și 28).

19. — a) Cînd sînt accesibile atît imaginea perspectivă  $S$  a soarelui cît și proiecția ei  $S'$  pe linia orizontului. Cînd imaginea perspectivă a soarelui, determinată așa cum s-a arătat mai sus, este cuprinsă ca în fig. 21 și 25, în cadrul tabloului, observăm că nici în practică, nici în teorie nu i se dă o mărime corespunzătoare realității. În practică artiștii plastici obișnuiesc să dea imaginii soarelui un diametru mult mai mare iar în teorie se consideră ca o simplificare valabilă reducerea lui la un punct, așa cum se arată mai departe (88).

Pentru cunoașterea dimensiunii imaginii soarelui nu vom intra în toate detaliile. De exemplu nu vom ține seama de faptul că imaginea soarelui, ca a oricărei alte sfere, în perspectiva conică, nu este un cerc, ci o elipsă (82) pentru că între axele acestei elipse — în condițiile cuprinderii ei în cadrul tabloului — este o diferență foarte mică. Este suficient să știm că, folosind rezultatul calculelor făcute în baza unei formule aproximative, putem determina cu ușurință mărimea imaginii soarelui care e proporțională cu distanța principală a tabloului respectiv. Trebuie să reținem că imaginea diametrului soarelui — cînd raza vizuală face un unghi de circa  $30^\circ$  cu planul obiectelor — are o lungime de circa 6 mm cînd distanța principală a tabloului e de  $1\text{ m}^1$ .

Reamintim că distanța principală a unui tablou, adică depărtarea de la care poate fi cuprins dintr-o singură privire, este egală — cel puțin — cu diametrul cercului, circumscris tabloului și cu centrul în punctul principal, sau — cel mult — cu dublul acestui diametru (I, 78, fig. 122—125). Cînd cunoaștem această distanță exprimată în metri (spre exemplu 0,88 m sau 1,64 m) găsim mărimea imaginii diametrului soarelui înmulțind-o cu 6 (de exemplu  $0,88 \times 6 = 5,28$  sau  $1,64 \times 6 = 9,84$ ). Produsul obținut ne dă în mm diametrul imaginii soarelui (5,28 mm în primul exemplu și 9,84 mm în exemplul al doilea).

Referindu-ne la cîteva exemple, în baza măsurătorilor făcute, rezultă că, față de dimensiunea stabilită prin calcul, în *Răsărit de soare* de Lucian Grigorescu, imaginea soarelui are un diametru de 6,25 ori mai mare; *Impresie, răsăritul soarelui* de Claude Monet (Fig. 158) de 3,09 ori mai mare și în *Efecte de soare în ceață la Londra* de același pictor este de 4,03 ori mai mare. În opera lui Van Gogh, dacă în *Seceriș* imaginea soarelui are un diametru numai de 7 ori mai mare decît cel rezultat din calcul, în *Semăntorul* acest diametru ajunge a fi de 20 de ori mai mare.

Mărimea exagerată a acestor imagini se explică nu numai printr-o iluzie optică dar și prin fenomenul cunoscut sub denumirea de iradiație.

<sup>1</sup> Adrian Gheorghiu, *Curs litografiat de umbre și perspectivă*, București, 1945, pag. 267.

<sup>1</sup> S. I. Vavilov, *Ochiul și soarele*, București, 1953, pag. 98, și Armand de Gramont, *Problèmes de la vision*, Paris, 1939, pag. 118.

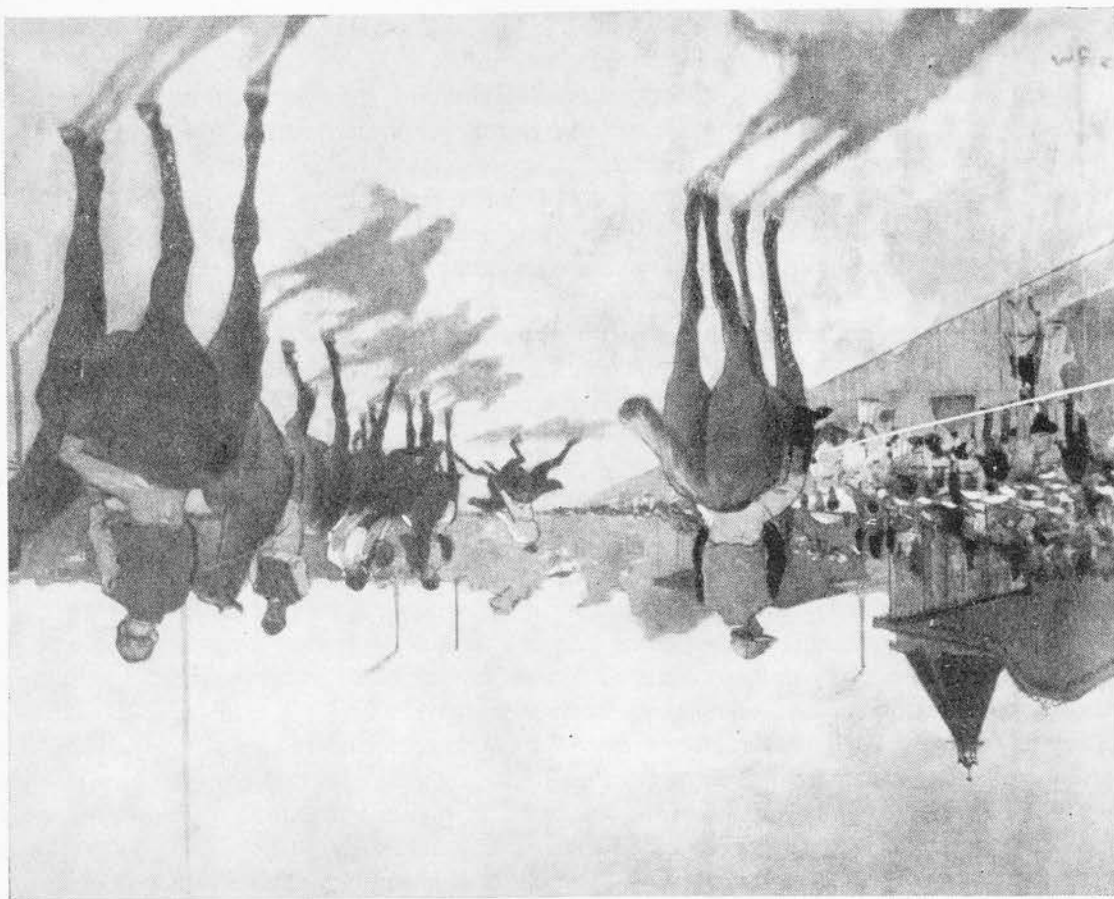
20. — b) Cînd e accesibilă protecția imaginii soarelui  $S'$  pe linia orizontului și inaccesibilă imaginea perspectivă  $S$  a soarelui. Artistul a desenat umbra  $ba'$  purtată de figura  $ba$  (fig. 22) sau umbra  $DC'$  purtată de verticala  $CD$  (în aceeași figură) dîndu-le direcția și lungimea

soarelui deasupra orizontului. mari decît sint. Acest fenomen se produce indiferent de mărimea unghiului ce dă înălțimea

Iradiația este expansiunea luminii care înconjoară astrele și le face să pară mai mari decît la zenit, deși în fotografii au aceeași mărime pe toată orbita. poate fi cuprinsă în cadrul unui tablou de format obișnuit — astrele ne par mult mai nedepin lămurite<sup>1</sup> în vecinătatea orizontului — atunci cînd imaginea soarelui sau a lunii

Iluzia optică ne e bine cunoscută căci e proprie tuturor oamenilor: din cauze încă

Fig. 23. (3, 16, 17) De g a s: În fața tribunelor





21. — *Imaginea redusă a soarelui* se obține împărțind verticala dată  $CD$  în două părți egale  $Dm$  și  $mC$ . Prelungind raza  $C'm$  determinăm pe verticala ridicată din punctul  $S'$  imaginea soarelui  $S/2$  redusă de două ori.

Se arată mai departe (28) cum se foloseşte imaginea redusă a soarelui pentru trasarea, în continuare, în perspectivă directă, a umbrelor celorlalte figuri şi volume ale tabloului respectiv.

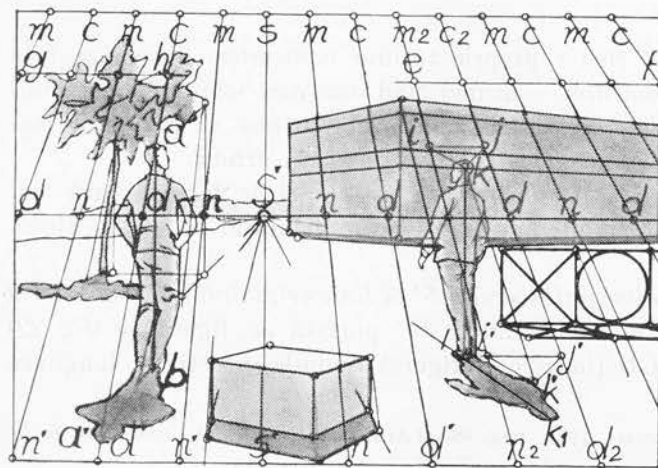
*Refeaua perspectivă* pentru trasarea razelor care se îndreaptă spre imaginea înaccesibilă  $S$  a soarelui se obține după cum urmează:

Fie  $ba'$  umbra purtată de figura  $ab$  (sau de altă verticală caracteristică din compoziție) cu direcția și lungimea dorită de artist (fig. 24).

După ce, prelungind umbra  $a'b$ , am determinat, pe linia orizontului, în  $S'$ , proiecția soarelui pe planul obiectelor, prelungim pe toată întinderea tabloului raza de lumină  $a'a$  și raza verticală  $S's$ , la a căror intersecție se află imaginea inaccesibilă  $S$  a soare-

lui. Pe două orizontale judicioase, spre exemplu pe marginea superioară a tabloului și pe linia orizontului, sau pe linia inferioară a cadrului, repetăm spre dreapta și spre stînga segmentele  $cs$  și  $dS'$  sau  $d's'$  dintre aceste două raze. Unind două cîte două punctele astfel determinate ( $cd$  sau  $cd'$ ), obținem pe toată întinderea tabloului o rețea perspectivă pentru razele soarelui. Dacă acestea sînt prea depărtate, putem lua pe cele două orizontale segmente  $cm$ ,  $ms$  și  $dn$ ,  $nS'$  de două sau de  $n$  ori mai mici.

Fig. 24. (16, 17, 18, 21, 22, 24, 25, 26, 28, 33, 37)



mai sus (16), considerînd latitudinea, ziua și ora la care a avut loc acțiunea ce avem de reprezentat în tablou. Pe planul de situație vom fixa proiecția punctului de vedere și orientarea, față de punctele cardinale, a planului tabloului, perpendicular pe raza vizuală și principala a desenatorului, îndreptată spre centrul subiectului. În baza datelor de mai sus, cunoscînd unghiul  $u$  pe care îl face planul vertical în care este cuprins soarele cu planul

### *Determinarea imaginii perspective a soarelui în perspectivă directă*

23. — În perspectivă directă poziția soarelui se poate cunoaște, așa cum s-a arătat în figura precedentă 24. Prelungite, rețeaua se desenează pe toată întinderea tabloului în aceleași condiții ca să desenăm raza  $ll'$  egală și paralelă cu raza  $a'a$ . Cu aceste două raze  $aa'$  și  $ll'$  verticala dată  $ab$ ) a cărei umbră  $ml'$  (egală și paralelă cu umbra  $a'b$ ) ne permite una din liniile rețelei de pe planul obiectelor ridicăm verticala  $ml$  (egală cu care îl unim cu punctele  $b$  și  $a'$ . În punctul de intersecție  $m$  al dreptei  $bo$  cu alta încă o rază  $ll'$  folosind un punct de fugă accidental  $o$ , judecînd ales, pe tabloului. Pentru a o putea întocmi, raza  $a'a$ , prelungită, nu este suficientă. Putem

*Rețeaua perspectivă pentru razele de lumină* se desenează pe toată întinderea Mai departe se va arăta încă un procedeu pentru continuarea rețelei (109, fig. 116). felul acesta ca liniile rețelei să nu se apropie prea mult între ele (I fig. 471 și 473).  $rs$  și  $f's'$  pe care vom repeta segmentele de pe drepte  $rl$  și  $l'f'$ . Vom evita în perpendicularare pe ultima dreaptă  $gh$  a rețelei. La fel și pentru drepte ajutoare care vom repeta segmente egale cu cele de pe verticalele  $ik$  și  $l'k'$  se pot lua continuarea rețelei în partea inferioară a tabloului, drepte ajutoare  $ij$  și  $l'j'$  pe divergență în același număr de părți egale. Punctele găsite se unesc două câte două. Pentru telor, este o problemă cunoscută (I 328, fig. 360): verticalele  $og$  și  $o'g'$  se împart (cu scara

*Rețeaua perspectivă pentru direcția umbrilor*, care se desenează numai pe planul obiect-mesc după cum urmează: din tablou nu justifică întocmirea rețelelor perspective pentru trasarea lor. Acestea se întocmesc după cum urmează: Vom arăta mai departe (38) un procedeu general pentru desenarea umbrilor în cazul de lumină  $S$  intrucit dreapta  $gg'$  nu întretaie linia orizontului  $oo'$  în cuprinsul tabloului. sibile nici proiecția imaginii soarelui pe planul obiectelor  $S'$  și nici imaginea izvorului pe toată întinderea tabloului umbră  $a'b$  și raza de lumină  $a'a$ , constatăm că nu sînt acelecaracteristică din compoziție) cu direcția și lungimea dorită de artist (fig. 28). Prelungind proiecției lui pe linia orizontului. Fie  $ba'$  umbră purtată de figura  $ab$  (sau de alta verticală

22. — c) Cînd nu sînt accesibile nici imaginea perspectivă a soarelui, nici imaginea foarte precis (I 345, fig. 377 III). Se știe cum se completează rețeaua cu ajutorul unor orizontale suplimentare  $ef$  sau menea  $ijk$  sau  $l'j'k'$ , se pot duce razele intermediare cînd, eventual, s-ar cere un rezultat

# *Determinarea imaginii perspective a soarelui în perspectivă directă*

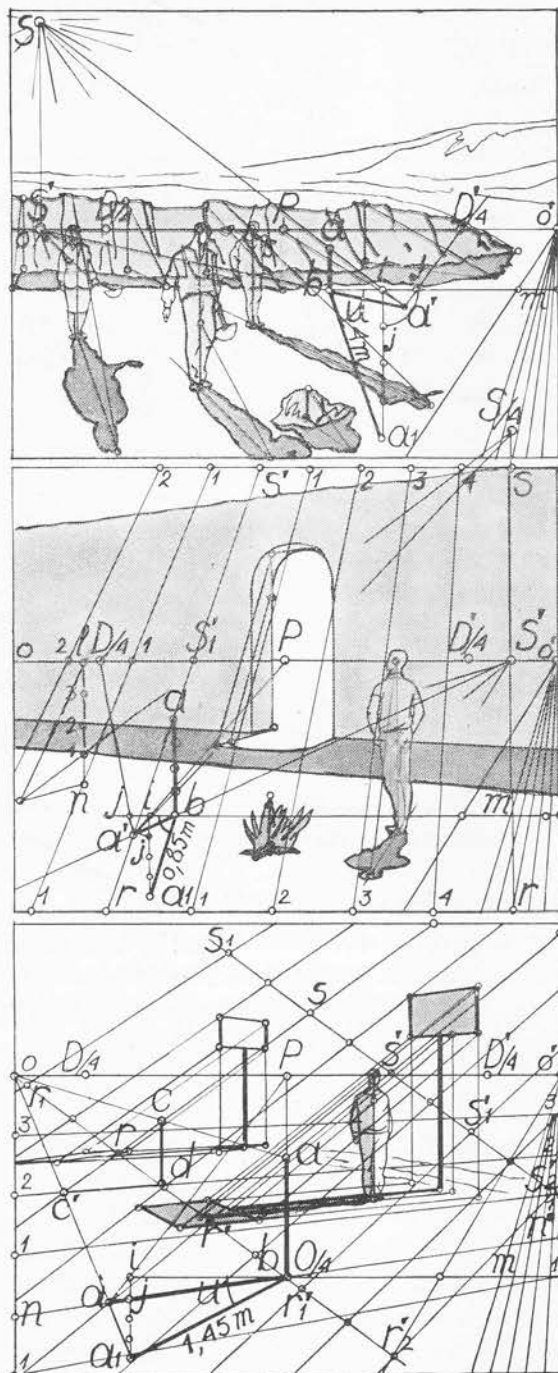


Fig. 25. (16, 18, 19, 24, 25, 35)      Fig. 26. (16, 17, 18, 24, 25, 35)      Fig. 27. (16, 17, 18, 24, 25, 35, 37)

tabloului, se va preciza direcția umbrelor și cunoscând unghiul  $u$  pe care îl fac razele solare cu planul obiectelor se va cunoaște și lungimea umbrei unei verticale de o lungime dată, de exemplu de 1 m.

Direcția și lungimea umbrei purtate de o verticală de o lungime dată, de exemplu de 1 m, se pot determina și pe teren, în anotimpul corespunzător evenimentului reprezentat în tablou. Desena-torul, așezat în punctul de vedere ales și privind spre centrul subiectului, apreciază la ora presupusă unghiul  $u$  pe care îl face umbra unui jalon înalt de 1 m, așezat vertical, cu planul său neutru și măsoară lungimea acestei umbre.

**24.** — *Cînd soarele este în spațiul real.* Cunoscînd direcția și lungimea umbrei unei verticale de 1 m precizate, pe planul de situație sau pe teren, imaginea perspectivă a soarelui situat în spațiul real, se determină în tablou prin procedeul construirii geometralului (I, 285, fig. 312 și 313) după cum urmează:

În figurile 25, 26 și 27, după ce s-a măsurat pe scara perspectivă a tabloului în  $m$ , o verticală  $ab$  înaltă de 1 m, s-a construit în geometral unghiul  $u$  de  $70^\circ$  în figura 25, de  $72^\circ$  în figura 26 și de  $27^\circ$  în figura 27, precum și lungimile măsurate pe teren de 4 m în figura 25, de 0,85 m în figura 26 și de 1,45 m în figura 27.

Construim în figurile 25 și 26 imaginea perspectivă a triunghiului drept-unghi  $ba_1i$ , luînd segmentul  $ij$  egal cu o pătrime a catetei  $ia_1$  și ducînd dreapta de capăt  $Pi$  pînă la intersecția ei  $a'$  cu dreapta  $D/4j$  sau  $D'/4j$ , prelungită. În triunghiul  $bia'$ , ipotenuza  $ba'$  reprezintă imaginea perspectivă a umbrei verticalei  $ab$  determinată în perspectivă directă după elemente date sau luate pe teren.

25. — Prelungind umbra *ba'* către linia orizontului și raza de lumină *aa'* vom găsi cazurile examinate mai sus în perspectivă inversă (fig. 21, 22, și 24).

*a)* Când unghiul *u* este mare și umbra alungită (fig. 25) vor putea fi accesibile ambele *imagini perspective*: a soarelui *S* și a proiecției pe linia orizontului *S'*.

*b)* Când unghiul *u* este mare dar umbra scurtă, (fig. 26), va putea fi accesibilă numai *imaginea proiecției soarelui* pe linia orizontului *S'* iar pentru razele solare se va folosi fie *imaginea redusă* a soarelui *S/2, S/4* etc. ca în figura 22 sau se va întocmi o rețea perspectivă în aceeași condiții expuse mai sus (21) și ca în figura 24.

*c)* Când unghiul *u* este mic (fig. 27) indiferent de lungimea umbrei, ambele imagini perspective *S* și *S'* vor fi inaccesibile și se vor întocmi cele două rețele perspective: una pe sol pentru direcția umbrilor și a doua pe toată întinderea tabloului pentru razele solare, în condițiile expuse mai sus (22) și ca în figura 28.

perspectivă a soarelui și a proiecției lui pe linia orizontului sau a rețelilor corespunzătoare când aceste imagini sînt inaccesibile, se determină ca în

cu raza  $P_i$ , prelungită. In continuare, imaginea

În figura 27, pentru simplificare construcției, geometralul triunghiului s-a desenat așezînd în punctul  $b$  în punctul  $O/\epsilon$ . În această condiție direcția umbrei purtate după cum sîm (I 420, fig. 467) se obține împărțind (cu scara divergentă) segmentul  $a_i$  în patru părți egale și ducînd dreapta  $b_j$  prin capătul pătîrîmî, mai aproape de axul  $b_i$ , iar lungimea umbrei se determină la intersecția  $a'a$  a direcției  $b_j$  — prelungite, cu raza  $P_i$ , prelungită.

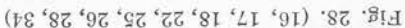


Fig. 28. (16, 17, 18, 22, 25, 26, 28, 34)



Pentru a desena umbra unui punct și implicit a proiectantei ei verticale, considerăm că mersul lucrării în variatele cazuri ce se pot prezenta, se urmărește cu mai mare ușurință dacă determinăm mai întâi *direcția* umbrei și numai pe urmă *lungimea* ei.

Aflăm direcția acestei umbre prelungind dreapta, care trece prin proiecția soarelui  $S'$  de pe linia orizontului și prin proiecția  $b$  pe planul obiectelor, a punctului dat  $a$ . Verticalele  $SS'$  și  $ab$  împreună cu dreapta  $S'b$  prelungită determină un plan vertical de raze luminoase în care e cuprinsă și raza  $Sa$  care, prelungită, precizează la intersecția ei cu dreapta  $S'b$  prelungită, în  $a'$  umbra purtată de punctul  $a$  și, implicit, în  $ba'$  umbra purtată de verticala  $ab$ .

În figura 21 se vede că umbrele purtate de verticale, venind spre desenator, se îndreaptă către stînga ( $ba'$ ,  $hh'$ ) sau spre dreapta ( $ff'$ ) după cum sînt situate și verticalele respective la stînga sau la dreapta imaginii perspective a soarelui  $S$ .

**27. — Cazuri particulare.** În figura 21 se arată trei cazuri particulare de umbre purtate de un punct pe planul obiectelor:

a) Cînd imaginea proiectantei soarelui  $SS'$  este egală cu imaginea proiectantei  $ef$  a punctului dat  $e$ , raza de lumină  $Se$  care trece prin acest punct nu se poate intersecta cu proiecția ei  $S'F$  pe planul obiectelor întrucît imaginile lor sînt paralele. S-ar putea deduce că punctul  $e$  nu poate avea o umbră purtată pe planul obiectelor. De fapt, în acest caz, umbra  $e'$  există, dar nu poate fi reprezentată în tablou, deoarece se află situată pe urma planului neutru, adică în planul desenatorului. Într-adevăr, cum se va arăta mai departe, cînd vedem într-un tablou că imaginile a două sau mai multor drepte sînt paralele, înseamnă că în spațiu acestea sînt convergente și că punctul lor de convergență nu se poate afla decît în planul neutru (144).

b) Cînd imaginea proiectantei soarelui  $SS'$  este mai mică decît aceea a proiectantei punctului dat  $gh$ , raza de lumină  $Sg$  prelungită spre adîncul spațiului întretaie într-un punct aerian  $g'$  proiecția ei  $hS'$  prelungită spre adîncul spațiului. La prima vedere nu înțelegem cum umbra punctului  $g$  s-ar putea afla deasupra liniei orizontului și în adîncul spațiului cîtă vreme umbra proiectantei  $gh$  se îndreaptă spre desenator. De fapt, în acest caz, umbra reală a punctului  $g$  se află în spatele spectatorului, la stînga sa, în spațiul virtual, iar punctul  $g'$  este imaginea virtuală pe tablou a unei umbre care nu poate fi văzută direct. Întocmînd scara perspectivă a tabloului precum și folosind restituirea perspectivă se poate determina, în baza acestei imagini virtuale locul exact pe care îl ocupă în spatele desenatorului umbra purtată de punctul  $g$  pe planul obiectelor.

c) Cînd imaginea razei de lumină  $Si$  se suprapune pe imaginea proiecției ei  $Sj$  pe planul obiectelor nu se poate determina dintr-o dată umbra punctului dat  $i$ . În acest caz în planul frontal al punctului dat, la aceeași cotă, se ia un alt punct  $i_1$  a cărui umbră  $i'_1$  se poate determina cu ușurință. În continuare, o orizontală frontală  $i'_1i'$  precizează în  $i'$  umbra punctului dat  $i$ .

**28. — B)** Cînd cunoaștem imaginea perspectivei  $S'$  a proiecției soarelui și imaginea redusă  $S/2$ ,  $S/4$  etc. a soarelui (fig. 22) umbra unui punct  $E$  se determină în  $E'$ , după ce am desenat direcția umbrei proiectantei  $EF$  a acestui punct, în prelungirea dreptei  $S'F$ , ducînd raza  $S/2$  m, care unește imaginea redusă a soarelui  $S/2$  nu cu punctul dat  $E$ , ci

29. — Când soarele este situat în planul neutru, razele luminoase care, convergând către un punct atît de depărtat, sînt considerate ca paralele între ele, sînt paralele și cu planul neutru și, prin urmare sînt cuprinse în plane frontale.

Raza vizuală care, plecînd din ochiul desenatorului se îndreaptă spre soare, nu poate întîlni tabloul, fiind cuprinsă în planul neutru. În consecință, cînd soarele este în planul neutru nu putem obține pe tablou imaginea perspectivă a soarelui, dar, pentru trasarea umbrelor, în acest caz, vom putea determina totuși poziția, în planul neutru, a izvorului de lumină.

## II. Soarele se află în planul neutru

c) Cînd imaginile soarelui și ale proiecției lui pe linia orizontului nu sînt accesibile, mediata  $kk'$ , prelungită, determină în  $k_1$  umbra punctului  $k$ .

dreaptă paralelă cu latura  $jk$ . La intersecția acestor drepte obținem punctul  $k'$ . Raza inter-paralelă cu latura  $ik$  și din punctul  $j'$  — cu două echer, printr-o mișcare de translație — o

înți ori orizontala  $ij'$  apoi din punctul  $i'$ , cu același echer de  $30^\circ$ ,  $45^\circ$  sau  $60^\circ$  o dreaptă, un rezultat cît mai precis, desenăm un triunghi  $ij'k'$  asemenea cu triunghiul  $ijk$ , ducînd înclinare întîmplătoare. Între aceleași linii ale rețelei, și cît mai departe pentru a obține între liniile rețelei și punctul astfel determinat se unește cu punctul  $k$ . Dreapta  $jk$  are o

duce dreapta  $Ki$  pînă la linia cea mai apropiată a rețelei. În continuare se duce orizontala  $ij$

Reamintim procedul. Din punctul dat  $k$  (fig. 24) cu echerul de  $30^\circ$ ,  $45^\circ$  sau  $60^\circ$  se spus (21 și I, 345 fig. 377 III).

duce, cu aproximatie, din ochi sau cu ajutorul unui triunghi asemenea, așa cum s-a mai

$n_2$  pînă la intersecția ei  $k_1$  cu dreapta  $S'l$  prelungită. Raza intermediară  $kk_1$  se poate punctul dat  $k$  se duce o rază care să împartă în părți proporționale segmentele  $m_2c_2$  și dat  $l$ . Pentru determinarea lungimii acestei umbre cu ajutorul rețelei perspective, prin nator dreapta care unește imaginea  $S'$  a proiecției soarelui pe linia orizontului cu punctul nu e dată în punctul  $l$ , direcția umbrei proiectantei  $kl$  se desenează prelungind spre dse-

pentru determinarea umbrei purtate de punctul  $k$  a cărui proiecție pe planul obiectelor orizontului, iar pentru determinarea lungimii lor, rețeaua perspectivă. Astfel în figura 24

caz vom folosi pentru aflarea direcției umbrelor purtate proiecția soarelui  $S'$  de pe linia întocmi o rețea perspectivă a razelor de lumină, așa cum s-a arătat mai sus (22). În acest

purtate de diferite puncte, împărțirea în părți egale a proiectanțelor acestor puncte, vom

Cînd, din cauza marelui lor număr, dorim să evităm pentru determinarea umbrelor drepte paralele  $SS'$  și  $EF$  converg în vîrfurile triunghiului  $E'$ .

În triunghiul  $SS'E'$  toate dreptele  $E'mS/2$ ,  $E'nS/4$  etc. care împart în părți proporționale

trece prin pătrimea inferioară a aceleiași proiectante. Construcția se înfelege de la sine.

cu punctul  $m$  aflat la jumătatea proiectantei acestui punct, sau ducînd raza  $S/\#$   $n$  care

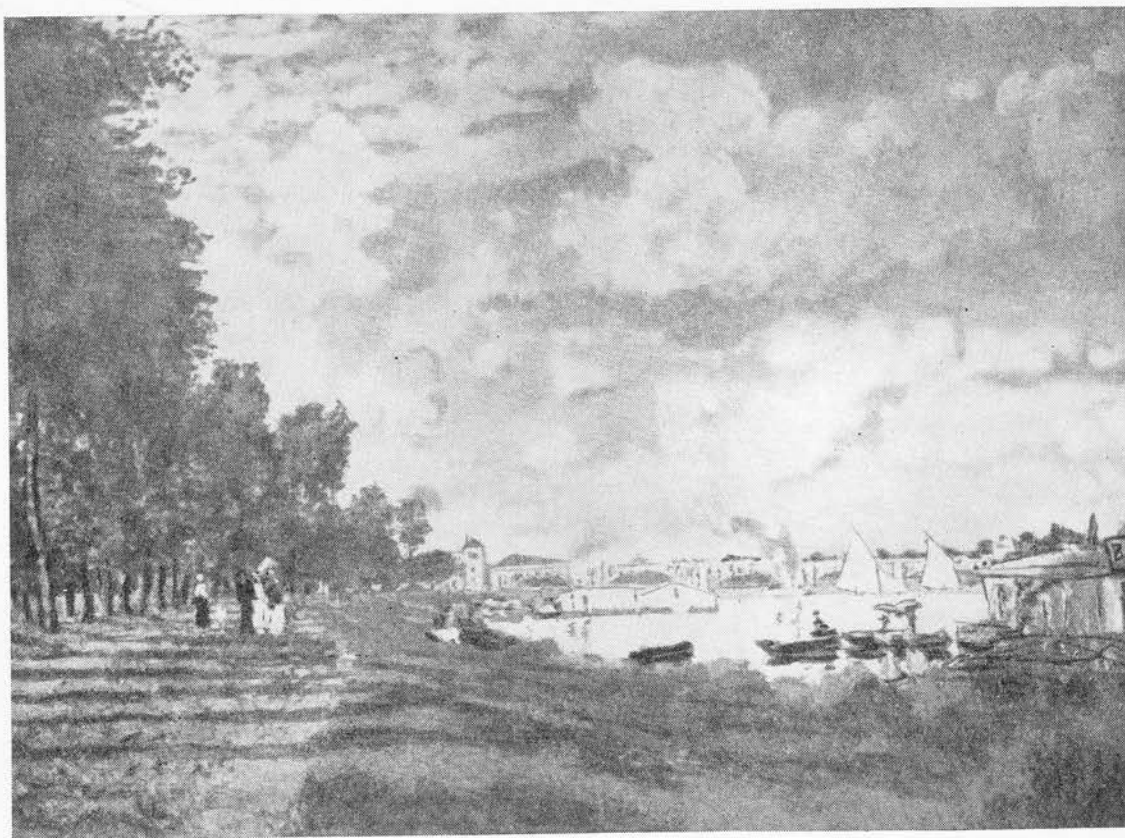


Fig. 29. (3, 16, 29, 30) M o n e t: Sena la Argenteuil

Fig. 30. (8, 16, 29, 30, 41, 62)

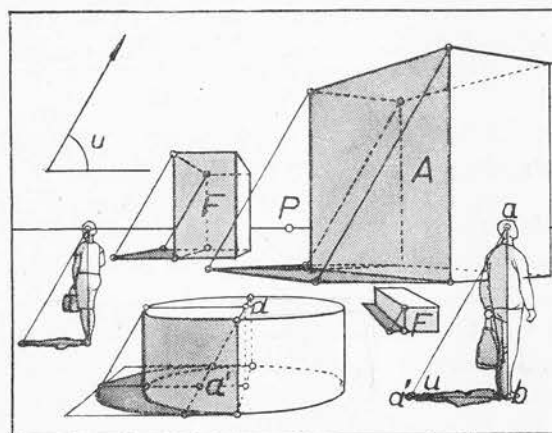
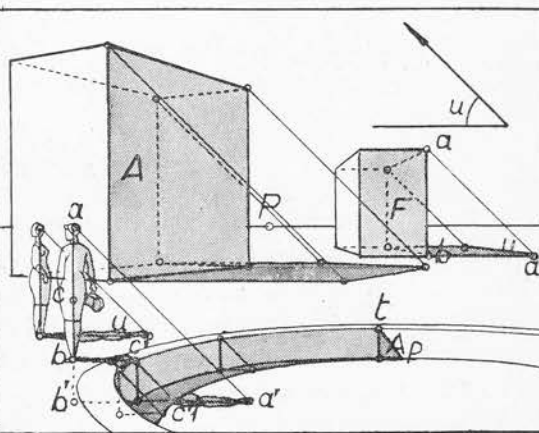


Fig. 31 (6, 16, 8, 29, 30, 62)



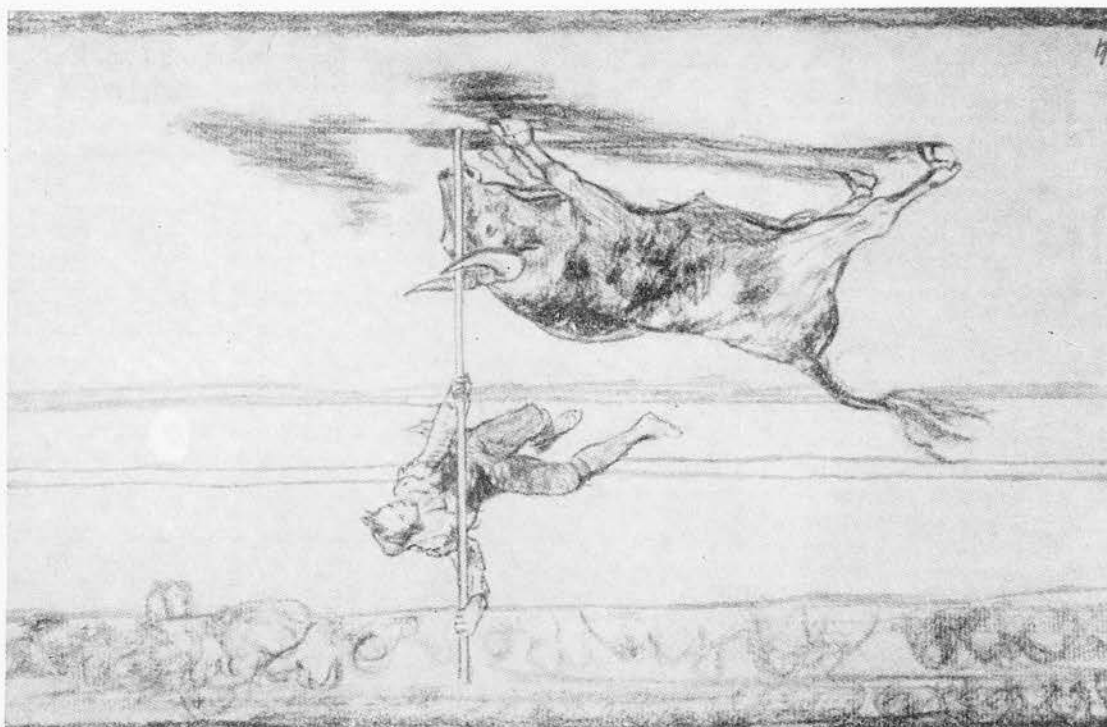


Fig. 32. (1, 16, 30) G o y a : Toreador indrajznel

În perspectiva directă, cînd pe planul de situație sau pe teren s-a constatat că umbrele au, spre stînga sau spre dreapta, o direcție paralelă cu planul tabloului, este

*Determinarea poziției soarelui în planul neutru, în perspectivă directă*

30. — Artistul a desenat în tablou umbra *ba'* purtată de figura *ab* (fig. 30) sau de verti-  
cala *ab* (fig. 31) dîndu-le o direcție orizontală, și anume spre stînga (fig. 30) sau spre dreapta  
(fig. 31) și o lungime mai mică (fig. 30) sau mai mare (fig. 31) potrivit viziunii sale plastice.  
Pentru a cunoaște poziția soarelui, în planul neutru, adică dacă soarele este în stînga  
sau în dreapta desenatorului, mai aproape sau mai departe de zenit, și mai ales, pen-  
tru a putea desena în continuare umbrele purtate de toate celelalte verticale din  
tabloul respectiv, este suficient să desenăm raza de lumină *aa'* care ne arată că soarele  
este în dreapta desenatorului (fig. 30) sau în stînga lui (fig. 31) și precizează un-  
ghiul *u* mai mare (fig. 30) sau mai mic (fig. 31) pe care îl face această rază cu planul obiectelor.

*Determinarea poziției soarelui în planul neutru în perspectivă inversă*



suficient să măsurăm unghiul  $u$  pe care îl fac razele de lumină cu planul obiectelor sau lungimea umbrei unei verticale de înălțime dată. Aceste elemente sînt suficiente pentru trasarea umbrelor în tabloul respectiv, dînd razelor de lumină înclinarea dată de unghiul  $u$ .

### *Umbra punctului și a verticalei pe planul obiectelor*

Razele de lumină fiind cuprinse în plane frontale, umbrele purtate de puncte sau de verticale pe planul obiectelor (fig. 29, 30, 31 și 32) vor avea întotdeauna o direcție frontală, spre dreapta (fig. 29, 31, 32) sau spre stînga (fig. 30) după cum soarele se află în stînga (fig. 29, 31, 32) sau în dreapta desenatorului (fig. 30). Pe această direcție umbra punctului  $a$  se va afla la o depărtare mai mare sau mai mică, sau umbra verticalei  $ab$  va avea o lungime mai mare (fig. 31) sau mai mică (fig. 30) după cum este mai mic (fig. 31) sau mai mare (fig. 30) unghiul  $u$  pe care îl fac razele de lumină cu planul obiectelor. Lungimea acestor umbre se determină ducînd prin punctele date sau prin capătul verticalelor date, paralele geometrice cu direcția dată de unghiul  $u$ . Operațiunea se face cu ajutorul a două echere printr-o mișcare de translație.

*Caz particular.* Atunci cînd în țările tropicale soarele se află la zenit, adică, în planul neutru pe verticala punctului de vedere al desenatorului, umbrele purtate se confundă cu proiecția orizontală a obiectelor din compoziție.

### III. Soarele se află în spațiul virtual

**31.** — Cînd soarele se află în spatele desenatorului (fig. 1 și 33) nu putem reprezenta pe tablou imaginea perspectivă reală a soarelui ci numai imaginea lui *virtuală*. După cum s-a arătat (I, 34, fig. 50) urmărim mersul în spațiu al razei de lumină  $S_1O$  (fig. 34) care unește soarele, din spatele desenatorului, cu punctul lui de vedere  $O$ . În prelungirea acestei raze de lumină raza vizuală înțeapă tabloul sub linia orizontului  $OO'$  și anume la stînga desenatorului dacă soarele este în dreapta sa (fig. 34) și invers, în punctul  $S$  care este imaginea perspectivă virtuală a soarelui. De altfel, punctul  $S$  poate fi considerat ca umbra purtată de punctul de vedere al desenatorului pe planul tabloului, iar dreapta  $PS$  ca umbra purtată de raza vizuală principală  $OP$ .

După cum vedem, imaginea virtuală a soarelui este inversată. Soarele este deasupra planului obiectelor în timp ce imaginea lui virtuală este sub acest plan; soarele este în spatele desenatorului iar imaginea virtuală în fața lui și dacă este în dreapta lui imaginea virtuală este în stînga și invers.

Această imagine virtuală se completează și cu proiecția ei pe planul obiectelor care — ca și atunci cînd soarele este în spațiul real (17) — nu se poate situa decît pe linia orizontului în  $S'$  la intersecția ei cu verticala ridicată din imaginea virtuală  $S$  (fig. 34).

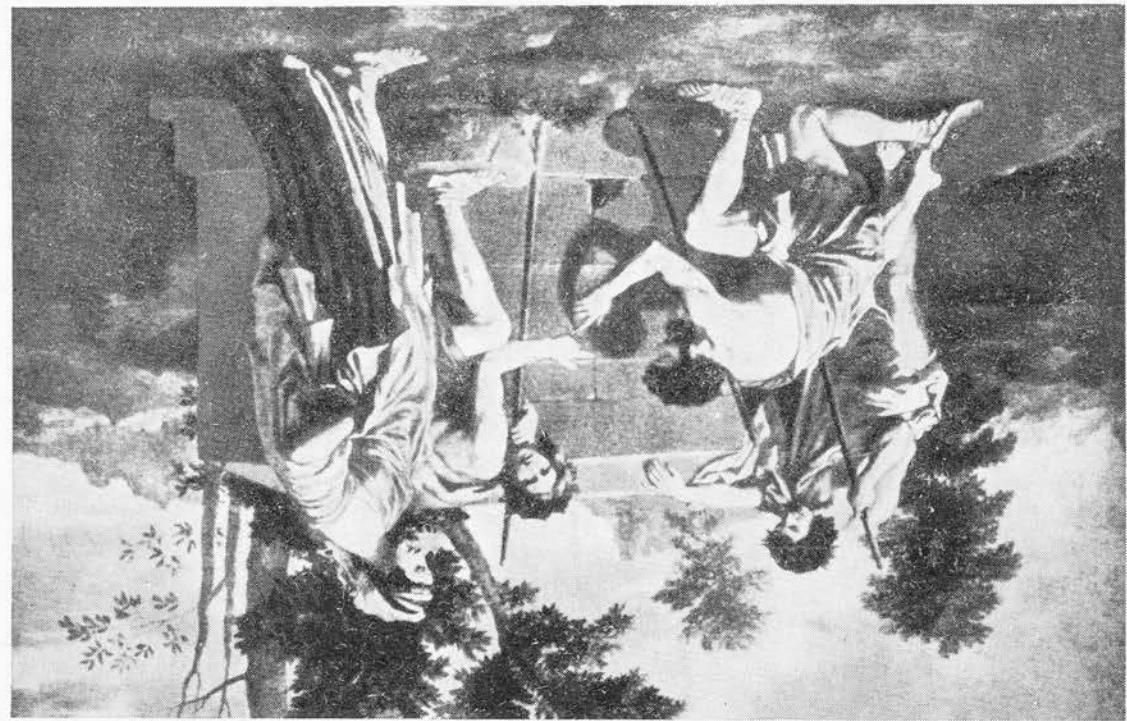


Fig. 33. (1, 16, 31) Poussin: Pastorii din Arcadia

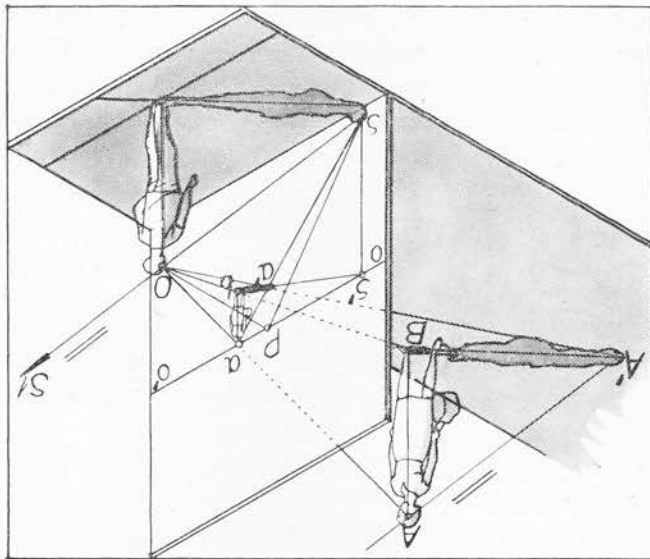


Fig. 34. (16, 31)

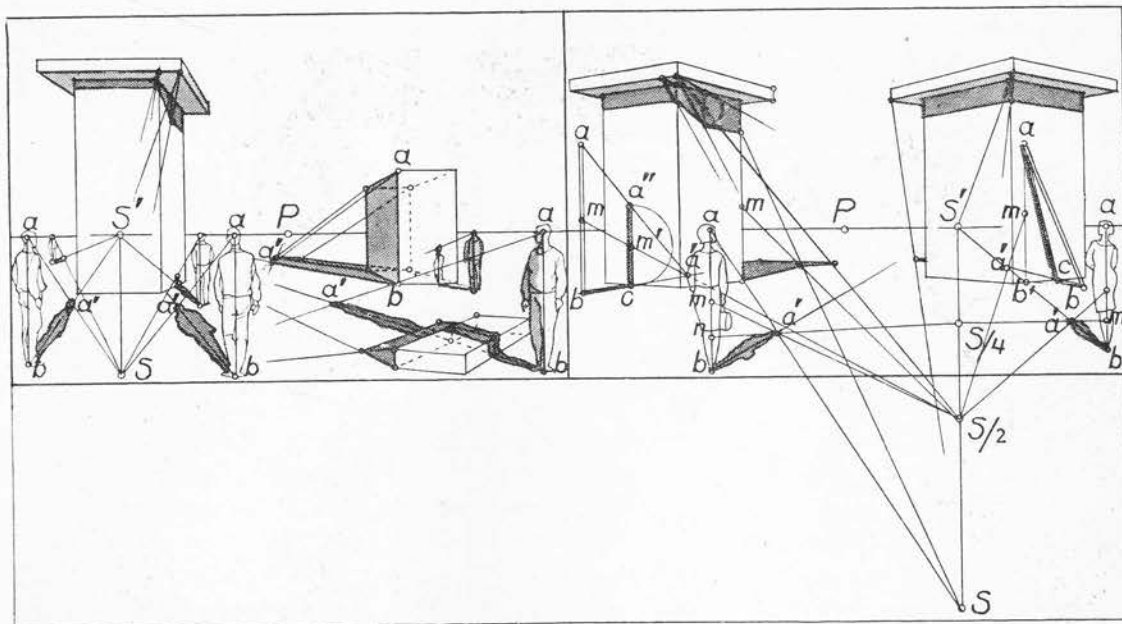


Fig. 35. (16, 31, 32, 36, 62)

Fig. 36. (16, 31, 32, 33, 36, 62, 63,)

Cînd soarele este în spatele desenatorului, figurile și celelalte volume cuprinse în tablou ne apar luminate în plin (fig. 1 și 33) iar umbrele purtate, îndreptîndu-se spre adîncul spațiului converg spre punctul  $s'$  de pe linia orizontului, accesibil (fig. 35, 36, 37) sau inaccesibil (fig. 38, 41, 42B, 45, 57). Umbrele purtate sînt cu atît mai alungite cu cît unghiul pe care îl fac razele de lumină cu planul obiectelor e mai mic și imaginea virtuală a soarelui  $S$  mai apropiată de linia orizontului (fig. 35) și cu atît mai scurte cu cît această imagine e mai depărtată de linia orizontului iar razele de lumină fac un unghi mai mare cu planul obiectelor (fig. 36, 37, 38).

Cînd soarele răsare sau apune exact în spatele desenatorului, imaginea perspectivă virtuală a soarelui și a proiecției lui pe linia orizontului  $S$  și  $S'$  se confundă cu punctul principal  $P$ . În acest caz umbrele purtate pe sol au o lungime nesfîrșită și converg către punctul principal iar cele purtate pe plane frontale, ușor de desenat, pot fi folosite în rezolvarea unor probleme de umbre.

#### *Determinarea imaginii perspective virtuale a soarelui în perspectivă inversă*

**32.** — Artistul a desenat în perspectivă inversă (13) umbra  $ba'$  purtată de figura  $ab$  (fig. 35) dîndu-i, spre adîncul spațiului, orientarea și lungimea dorită. Pentru a desena, în continuare, umbrele celorlalte figuri sau volume din tablou, trebuie mai întîi

să determinăm imaginea virtuală corespunzătoare a soarelui și a proiecției lui pe linia orizontului, amintindu-ne că ea urmată mai sus (18) când umbrele se răsfirau spre desenator: *a)* În prelungirea umbrei  $ba'$ , pe linia orizontului, în punctul  $S'$  determinăm imaginea proiecției soarelui pe planul orizontal al obiectelor.

*b)* În prelungirea razei de lumină  $aa'$ , la intersecția ei cu verticala coborâtă (nu ridicată) din punctul  $S'$  determinăm, sub linia orizontului, în punctul  $S$  imaginea perspectivă virtuală a soarelui, aflat în spațiu în spatele desenatorului.

Potrivit orientării și lungimii umbrei alese de desenator, se pot prezenta aceleași trei cazuri pe care le-am întâlnit mai sus când soarele se afla în spațiul real (18) și anume: *A)* ambele puncte  $S$  și  $S'$  sunt accesibile (fig. 35); *B)* este accesibil numai punctul  $S'$  (fig. 36 și 37) ambele puncte  $S$  și  $S'$  sunt inaccesibile, (fig. 38).

*A) Când sînt accesibile atît imaginea perspectivă virtuală  $S$  a soarelui cît și proiecția ei  $S'$  pe linia orizontului umbrele se trasează fără nici o dificultate. (fig. 35)*

**33. — B. Când e accesibilă proiecția imaginii soarelui  $S'$  pe linia orizontului și inaccesibilă imaginea perspectivă virtuală  $S$  a soarelui** cum se vede în figura 36, împărțim verticala dată în patru părți egale și raza de lumină care pleacă din capătul  $n$  al pătrunii inferioare, trecînd prin punctul  $a'$ , prelungește, determină pe verticala coborâtă din  $S'$  imaginea virtuală redusă de patru ori a soarelui  $S/4$ . Dacă va fi nevoie, procedînd ca mai sus, se va putea împărți verticala dată într-un număr mai mare de părți egale.

Pentru folosirea acestor imagini virtuale reduse ale soarelui ne vom aminti de cazurile similare studiate mai sus, cînd soarele se afla în fața desenatorului.

*Rețeaua perspectivă* pentru trasarea razelor care se îndreaptă spre imaginea virtuală inaccesibilă  $S$  a soarelui se întocmește la fel ca atunci cînd soarele este în fața desenatorului cu deosebirea că punctul inaccesibil de convergență al liniilor rețelei perspective va fi terestru (sub linia orizontului) iar nu aerian (deasupra acestei linii).

După ce prin prelungirea umbrei  $ba'$  (fig. 37) s-a găsit că punctul  $S'$  este accesibil, raza virtuală care trece prin acest punct  $sS'$ , și raza  $aa'$  s-au prelungit pe toată întinderea tabloului. Împărțim, cu ajutorul scării divergente, în același număr de părți egale două orizontale cuprinse între aceste raze, de exemplu marginea inferioară a tabloului și linia orizontului, repetînd aceste segmente pînă la marginile laterale ale tabloului. Unind două cîte două punctele astfel obținute, desenăm rețeaua perspectivă pentru razele de lumină.



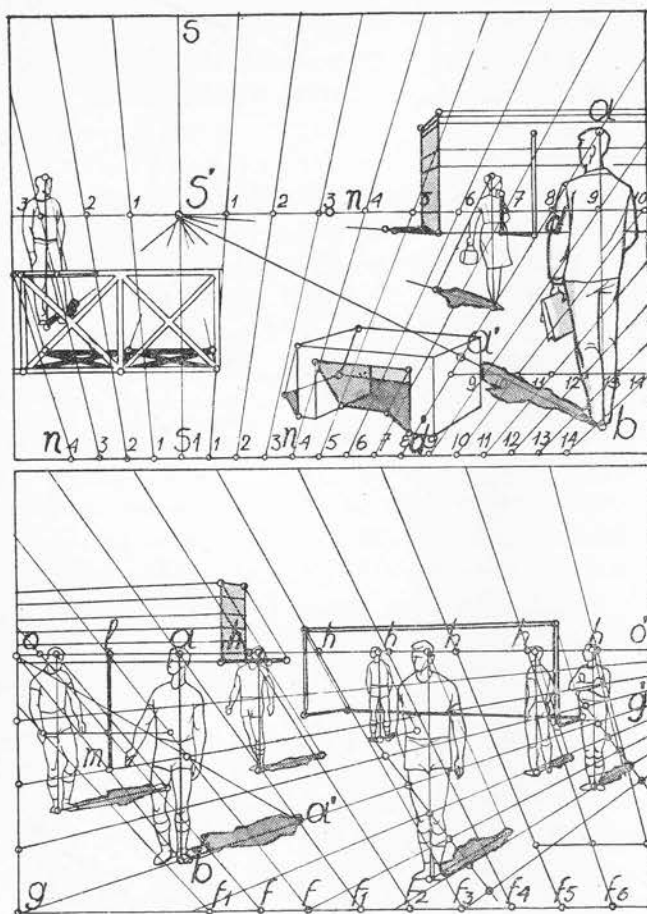


Fig. 37. (16, 31, 33)

Fig. 38. (16, 31, 32, 34, 37)

marginea inferioară pentru a obține, fără orizontala ajutătoare, un număr cât mai mare din liniile rețelei. Cu această deosebire, explicațiile date pentru figura 28 pot fi recitite și pentru figura 38 fără a fi necesare alte precizări.

#### *Determinarea imaginii perspective virtuale a soarelui în perspectiva directă*

**35.** — În perspectiva directă când ni se dă, cunoaștem sau presupunem unghiul razelor solare cu planul tabloului și cu planul obiectelor, imaginea perspectivă virtuală a soarelui, sau elementele necesare întocmirii rețelelor perspective, pentru trasarea umbrelor, când imaginea izvorului de lumină este inaccesibilă, se determină tot prin procedeul construirii geometralului așa cum s-a arătat mai sus atunci când soarele se află în spațiul real (24).

Se știe cum se completează rețeaua pe toată întinderea tabloului și cum se folosește pentru rezultate precise (28) așa cum se arată în figura 24.

**34.** — C. Cînd nu sînt accesibile nici imaginea perspectivă a soarelui, nici imaginea proiecției lui pe linia orizontului. Ca și atunci cînd soarele este în fața desenatorului, în acest caz vom întocmi două rețele perspective și anume una, pe planul orizontal al obiectelor pentru direcția umbrelor și alta, pe toată suprafața tabloului pentru razele de lumină.

Rețeaua perspectivă pentru direcția umbrelor, precum și rețeaua perspectivă pentru razele de lumină, se întocmesc la fel ca în compozițiile în care soarele se află în fața desenatorului. Pentru ca această asemănare să fie mai ușor urmărită în figura 38 s-au pus aceleași litere ca în figura 28 în care segmentele  $ff_1$ ,  $f_1f_2$ ,  $f_2f_3$  etc. nu s-au luat pe marginea superioară a tabloului ci pe

În figurile 39, 40 și 41 s-au folosit pentru umbrele care se îndreaptă spre adîncul spațiului aceleași date și aceleași litere ca în figurile 25, 26 și 27 în care umbrele vin spre desenator, în consecință, mersul lucrărilor din figurile acestui aliniat, în care soarele este în spațiul virtual, poate fi urmărit după textul relativ la figurile în care soarele este în spațiul real, fără a fi necesar să adăugăm alte explicații fie că ambele imagini perspective  $S$  și  $S'$  sînt accesibile (fig. 25 și 39) fie că este accesibilă numai imaginea perspectivă a proiectiei soarelui  $S'$  pe linia orizontului (fig. 26 și 40) fie că ambele imagini sînt inaccesibile (fig. 27 și 41).

### *Umbra punctului și a verticalelor pe planul orizontal*

**36. —** Mersul lucrărilor pentru determinarea umbrelor purtate de puncte sau de verticale pe plane orizontale este același, fie că soarele se află în spațiul virtual fie că se află în spațiul real (26).

A. Cînd imaginea perspectivă virtuală a soarelui  $S$  și a proiectiei lui pe linia orizontului  $S'$  sînt accesibile (fig. 35) umbrele se trasează după cum s-a arătat (26). Direcția umbrei proiectantei  $ab$  a punctului  $a$  sau a verticalei  $ab$  se obține unind proiectia  $b$  a punctului dat sau piciorul  $b$  al verticalei date, cu proiectia soarelui  $S'$  de pe linia orizontului. În continuare raza de lumină care unește punctul dat  $a$  cu imaginea virtuală  $S$  a soare-

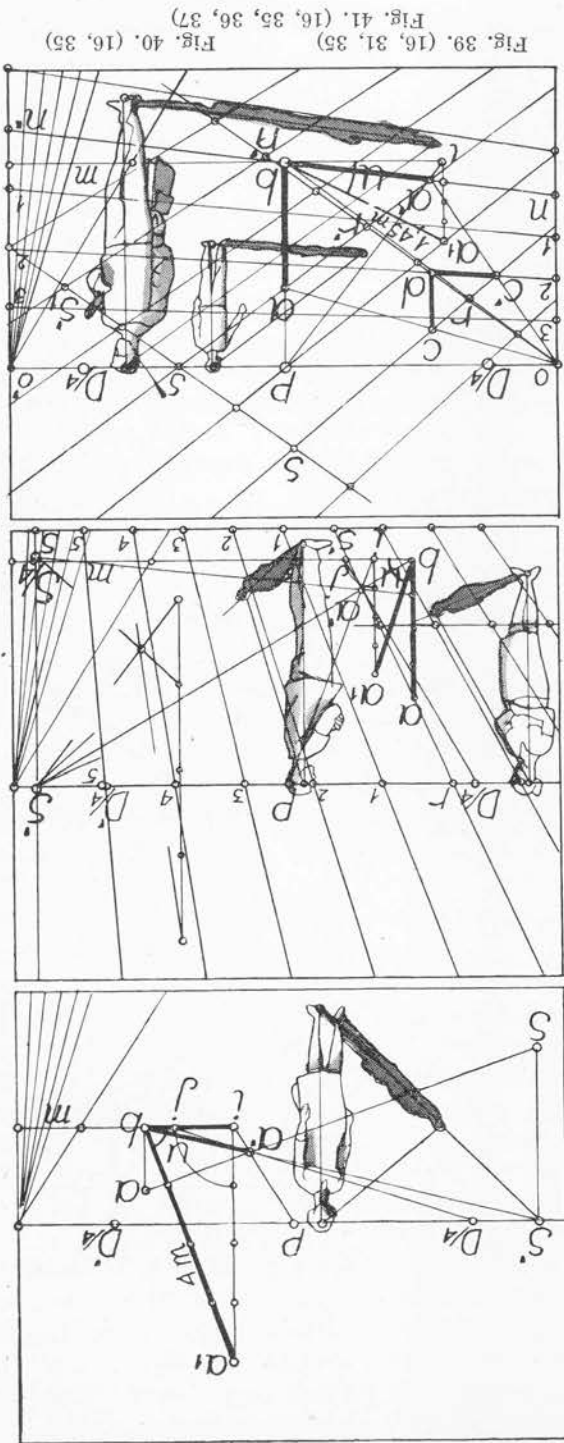


Fig. 39. (16, 31, 35) Fig. 41. (16, 35, 36, 37) Fig. 40. (16, 35)

ui determină la intersecția ei cu dreapta  $bS'$  în  $a'$  umbra purtată de punctul  $a$  și, implicit, în  $ba'$  umbra purtată de verticala dată  $ab$ .

Nu trebuie să uităm că imaginea virtuală a soarelui  $S$  este inversată așa cum s-a arătat mai sus (31). În consecință, când izvorul de lumină este în spațiul virtual, umbrele verticalelor pe plane orizontale se îndreaptă spre adâncul spațiului convergînd spre proiecția  $S'$  a soarelui de pe linia orizontului și anume spre stînga dacă soarele, în spatele desenatorului, este în dreapta lui (fig. 41) și invers sau — eventual — spre punctul principal cînd soarele se află exact în spatele desenatorului (fig. 49—50).

**37. — B.** Cînd este accesibilă numai proiecția  $S'$  a soarelui pe linia orizontului, umbra punctului sau a verticalei pe plane orizontale se trasează fie folosind imaginea redusă a soarelui  $S/2$ ,  $S/4$  etc. (28) fie cu ajutorul rețelei perspective (28) procedînd cum s-a arătat mai sus cînd soarele este în fața desenatorului. În figurile 36 și 37 s-au pus aceleași litere ca în figurile 22 și 24 pentru ca cititorul să poată urmări mersul lucrărilor după textul relativ la figurile în care soarele este în spațiul real.

C) Cînd ambele imagini  $S$  și  $S'$  sînt inaccesibile, se folosesc rețelele perspective așa cum s-a arătat mai sus (28). Figurile 38 și 41 se pot urmări după textul relativ la figurile 24 și 27 în care soarele este în spațiul real, mersul lucrărilor fiind același.

### **Procedeu general pentru desenarea umbrelor cînd imaginile perspective reale sau virtuale ale soarelui și ale proiecției lui pe linia orizontului sînt inaccesibile**

**38. —** Fie  $BA'$  umbra venind spre desenator (cînd soarele se află în spațiul real — fig. 42 A) sau depărtîndu-se spre adâncul spațiului (cînd soarele este în spațiul virtual — fig. 42 B), umbra determinată în perspectiva directă (23, 25) sau desenată de artist, în perspectivă inversă, cu direcția și cu lungimea cerute de aspectul plastic al compoziției. În ambele cazuri, de cele mai multe ori, imaginile perspective ale izvorului de lumină sînt inaccesibile și ar urma să întocmim rețelele perspective arătate mai sus dacă în compoziția respectivă avem de trasat un mare număr de umbre. Pentru un număr restrîns de umbre se poate folosi procedeul general arătat mai jos, întemeiat pe ușurința cu care se poate desena umbra verticalei cînd soarele se află în planul neutru și pe procedeul triunghiurilor asemenea cu care se pot duce orizontale oarecare paralele, cu puncte de fugă inaccesibile (I, 346—347, fig. 378).

1) Presupunem că soarele este în planul neutru (30). Dăm razelor solare înclinarea de  $60^\circ$ ,  $45^\circ$  sau  $30^\circ$  a echerelor obișnuite, alegînd-o pe aceea care, potrivit lungimii mai mici sau mai mari a umbrei date  $BA'$ , prevedem că va da intersecții mai bune. Cu ajutorul a două echere, printr-o mișcare de translație, putem da razelor orice altă înclinare, dar numai în cazul cînd înclinările de mai sus — mult mai ușor de desenat — nu ar da rezultate satisfăcătoare. Desenăm în felul acesta umbra purtată frontală  $B4$ .

2) Desenăm umbre similare  $D4$  etc. ale tuturor verticalelor cuprinse în tablou. Lungimea acestor umbre frontale este proporțională cu înălțimea verticalelor care le poartă. Cu ajutorul lor vom putea desena umbrele  $DC'$  paralele cu umbra dată  $BA'$  folosind procedeul amintit mai sus al triunghiurilor asemenea.

3) Legătura dintre umbra dată  $BA'$  și umbra frontală  $B4$  se obține împărțind, cu scara divergentă, în patru părți egale umbra ajutătoare  $B4$ . Dreapta  $3A'$ , prelungită,

39. — Umbra purtată de orice dreaptă orizontală pe plane orizontale nu poate fi decât orizontală și paralelă cu dreapta care o poartă (intersecția planului de umbră cu două plane orizontale, cel în care se găsește orizontala dată și cel pe care e purtată umbra acesteia).

### Umbra purtată de drepte orizontale

#### ALTE UMBRE PURTATE PE PLANE ORIZONTALE

4) Împărțim toate umbrele frontale  $D_4$  în patru părți egale. Ducând prin punctele 3 și 4 ale umbrelor ajutatoare  $D_4$  liniile de fugă  $3F_3$  și  $4F_4$ , obținem la intersecția lor, spre desinator, (fig. 42 A) sau spre adîncul spațiului (fig. 42 B) în punctele  $C'$  capătul umbrelor  $D'$  purtate de toate verticalele  $DC$  cuprinse în tablou. Umbrele purtate obținute pe această cale sînt în același timp proporționale cu verticalele care le poartă, cum s-a arătat mai sus, și converg către același punct de fugă inaccesibil după cum știm (I, 346—347, fig. 378). Nu este necesar să mai amintim că, în practică, desenînd liniile de construcție numai în punctele în care sînt necesare, rezultatul dorit se obține fără păienjenșul de linii care în figurile 42 A și 42 B au fost desenate în tot lungul lor numai pentru ca să se poată urmări mai bine explicațiile date (I, 13).

Procedeu de mai sus, simplificat, se poate folosi și cînd este accesibilă numai proiecția  $S'$  a soarelui pe linia orizontului (fig. 43 A și 44) sau cînd, acesta nefiind accesibil, s-a întocmit o rețea perspectivă pe planul obiectelor pentru direcția umbrelor purtate de verticale (fig. 43 B și 45).

În aceste cazuri, procedeu de ajutorare frontale ne va servi, folosind un singur punct de fugă accidental  $F_4$ , numai pentru determinarea lungimii umbrelor purtate, așa cum se vede în figurile 43 A și 44 cînd soarele este în spațiul real, și în figurile 43 B și 45 cînd soarele este în spațiul virtual.

determină pe linia orizontului punctul accidental de fugă  $F_4$ .

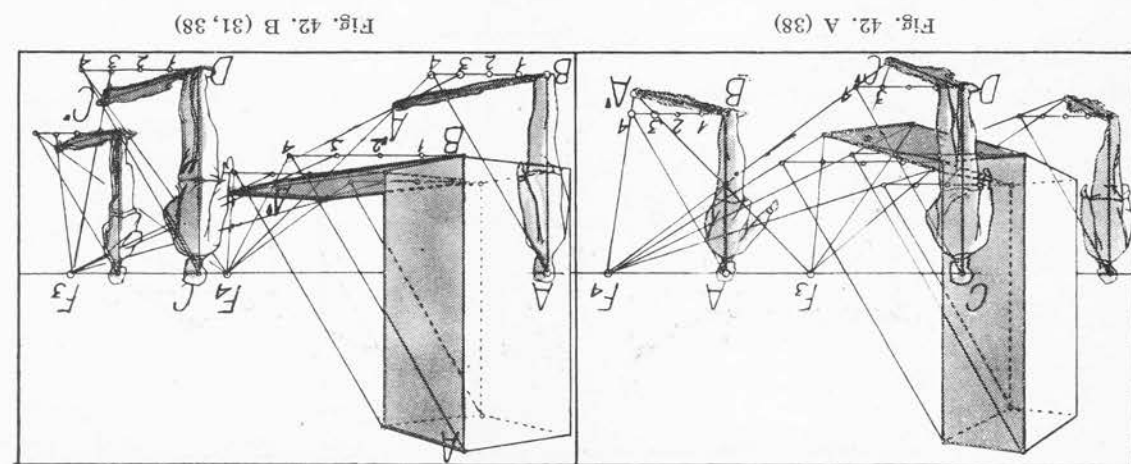


Fig. 42. A (38)

Fig. 42. B (31, 38)



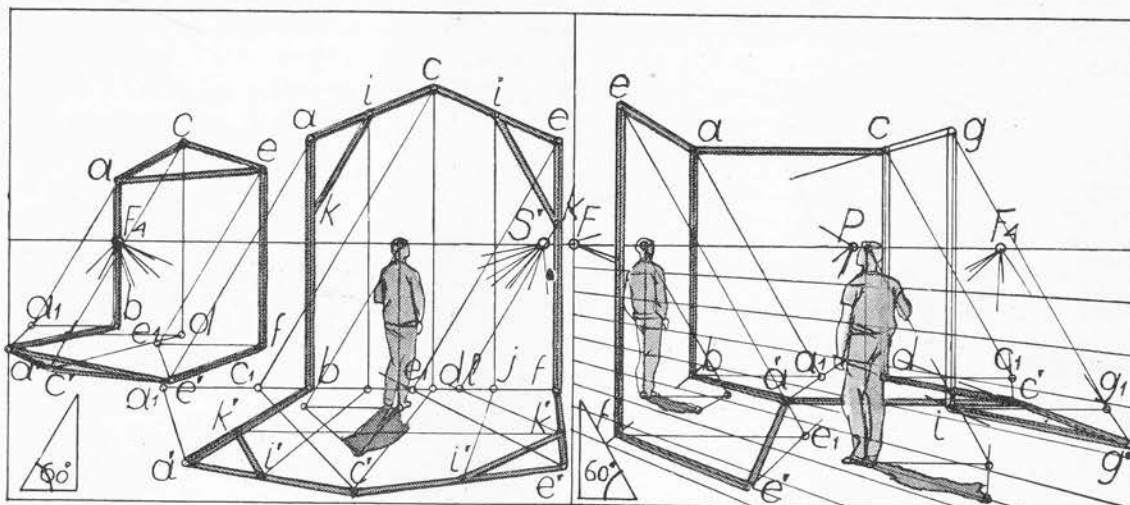


Fig. 43. A (38)

Fig. 43. B (38, 39)

Umbra purtată de o orizontală frontală pe plane orizontale (fig. 43 B și 45) va fi deci frontală, adică paralelă cu imaginea dreptei frontale dată. Este prin urmare de ajuns să determinăm umbra unui punct al orizontalei date și prin umbra acestui punct să ducem umbra ei orizontală.

Când soarele este în spațiul real (fig. 43 B), umbra purtată  $a'c'$  a frontalei  $ac$  va fi într-un plan frontal mai apropiat de desenator decât cel în care este cuprinsă orizontala

Fig. 44. (38)

Fig. 45. (31, 38, 39)

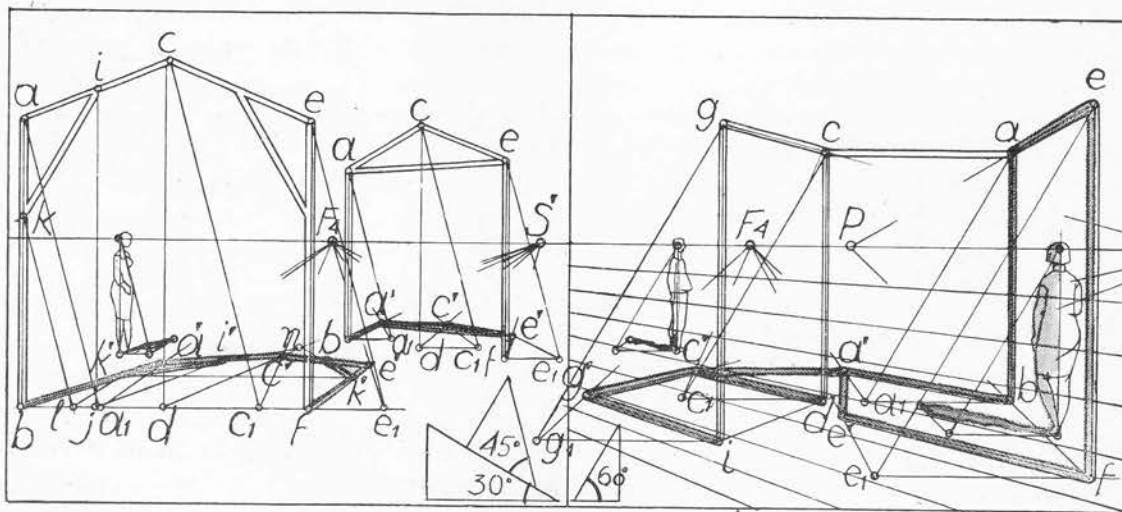


Fig. 47. (40)

data și invers cind soarele este în spațiul virtual (fig. 45). Cînd soarele este în planul neutru dreapta dată și umbra ei vor fi în același plan frontal.

*Umbra purtată c'g' de o orizontală oarecare cg* (fig. 43 B și 45) fiind paralelă cu aceasta se va îndrepta către același punct de fugă. Cînd acest punct este accesibil (fig. 43 B) este suficient să determinăm numai umbra unui punct al dreptei date și prin umbra acestui punct să desenăm umbra dreptei îndreptîndu-se spre același punct de fugă  $F'$ .

Cînd punctul de fugă al dreptei date este inaccesibil (fig. 45) vom determina umbrele  $c'$  și  $g'$  a două puncte. Dreapta care le unește va fi umbra căutată. Putem, de asemenea, să nu determinăm decît umbra purtată de un singur punct al dreptei date. În continuare prin unul din procedeele cunoscute pentru a duce paralele la puncte de fugă inaccesibile (I 333, 343) putem să desenăm prin punctul determinat o umbră paralelă cu dreapta dată sau cu proiecția ei orizontală.

Acest punct de fugă  $Fu$  al umbrelor purtate se poate determina în două feluri și anume:

a) La intersecția liniei orizontului cu linia care unește punctul de fugă aerian  $Fa$  (fig. 46) sau terestru  $Ft$  (fig. 47) al dreptelor înclinate oarecare date  $ac$  cu izvorul de lumină  $S$  aerian (fig. 46) sau terestru (fig. 47), puncte care se reduc, când sînt inaccesibile ca în figurile 46 și 47 în care izvorul de lumină e redus la o pătrime  $S/4$ . Punctele de fugă  $F/4$  se obțin prelungind pînă la linia de fugă  $FFa$ , linia care în triunghiul dreptunghi  $aa_1c$  (fig. 46) sau  $kk_1c$  (fig. 47) unește punctul  $a$  cu pătrimea inferioară a catetei  $a_1c$  (fig. 46) sau punctul  $k$  cu pătrimea inferioară a catetei  $k_1c$  (fig. 47). Punctul de fugă căutat  $Fu$  se va găsi deci la intersecția liniei orizontului cu linia  $Fa/4$   $St/4$  (fig. 46) sau cu linia  $Ft/4$   $Sa/4$  (fig. 47).

b) Se determină umbra purtată  $c'k'$  de capetele dreptei înclinate  $ck$  la intersecțiile direcțiilor  $S'd$  și  $S'l$ , prelungite, cu razele care, plecînd din imaginea redusă a soarelui, trec prin capătul pătrimii inferioare a verticalelor  $cd$  și  $kl$ . Această umbră, prelungită, va determina pe linia orizontului punctul de fugă căutat  $Fu$ .

Folosind acest punct de fugă, umbrele purtate de celelalte drepte înclinate oarecare paralele se desenează între umbrele purtate  $c'g'$  și  $k'm'$  ale orizontalelor oarecare  $cg$  și  $km$  (trasate de exemplu cu ajutorul rețelelor perspective): coborîm proiecțiile  $k_1l_1$ ,  $k_2l_2$  etc.; determinăm punctele  $k'_1$ ,  $l'_1$  etc., ducînd din punctele  $k_1$ ,  $l_1$ , etc. drepte spre  $S'$  și în sfîrșit ducem umbrele purtate care din  $k'_1$ ,  $k'_2$  se îndreaptă spre punctul lor de fugă  $Fu$ .

### Umbra purtată pe planul obiectelor de cereuri orizontale

41. — Razele care determină, pe planul obiectelor, umbra purtată de un cerc orizontal, constituie un cilindru oblic în care, cum știm și cum se vede în figura 48 baza superioară (cercul dat) este egală cu baza inferioară (umbra purtată de cercul dat). Rezultă că, indiferent de direcția razelor, umbra purtată va fi un cerc egal cu cercul dat. În consecință,

pentru a desena această umbră (fig. 30, 48 și 52) este suficient să determinăm umbra  $a'$  purtată de centrul  $a$  al cercului dat și să stabilim mărimea perspectivă  $a'c'$  a razei frontale sau  $c'd'$  a diametrului frontal al umbrei purtate, egală cu raza sau diametrul cercului dat, în planul frontal mai apropiat (fig. 52) sau mai depărtat (fig. 48) de desenator al umbrei purtate de centrul cercului.

În figura 48 umbra  $a'$  purtată de centrul  $a$  al cercului dat s-a determinat la intersecția

Fig. 48. (41, 42)

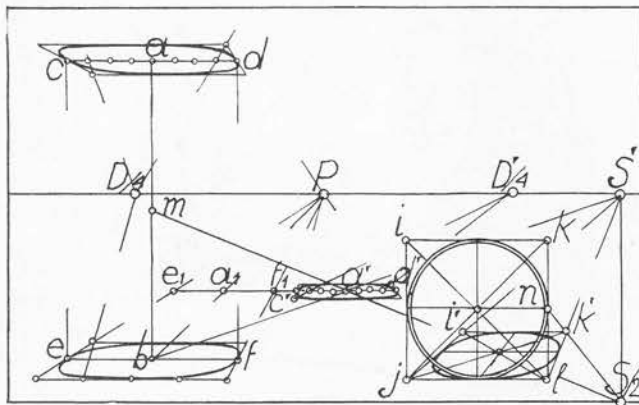


Fig. 49. (36, 42)

Umbră purtată pe planul obiectelor de cercuri frontale

direcției  $bS'$  cu raza de lumină care unește mijlocul  $m$  al cotei  $ab$  cu imaginea  $S/2$  a izvorului de lumină redus la jumătate. În continuare pe orizontala dusă prin  $a'$ , umbra  $c'd'$  purtată de diametrul cercului s-a obținut cu ajutorul dreptelor  $eS'$  și  $fS'$ . Pe acest diametru ca și pe diametrul  $cd$  al cercului dat se va construi pătratul în care se înscrie cu patru puncte cercul umbrei purtate așa cum știm că se procedează când cunoaștem punctul de intersecție  $a'$  al diagonalelor pătratului (I, 182, fig. 233) unind capetele pătrimilor mai apropiate de capetele  $c'$  și  $d'$  ale razelor  $c'a'$  și  $a'd'$ . Când punctul  $S$  este inaccesibil, mărimea acestui diametru se poate determina (cu intersecții mai bune) cu ajutorul punctului principal  $P$ , în  $e_1f_1$ .

În figura 52, în care imaginea soarelui e redusă la o pătrime  $S/4$ , pentru determinarea umbrei  $a'$  purtată de centrul  $a$  al cercului dat s-a folosit punctul  $n$ , capătul pătrimii inferioare a înălțimii  $ab$ . Dacă cercurile sînt mai mari se vor desena cu opt sau cu mai multe puncte (I 217—218, fig. 258—260).

(fig. 49) sau din spațiul virtual (fig. 50) se găsește pe urma planului vizual principal vertical. În perspectivă inversă cota imaginii perspective  $S$  a soarelui, deasupra liniei orizontului (când aceasta se află în spațiul real, fig. 49) sau dedesubtul ei (când aceasta se află în spațiul virtual, fig. 50) se determină pe linia de fugă a planului vizual principal vertical, la intersecția ei cu raza de lumină  $aa'$ , prelungită (fig. 49 și 50). Când soarele este în spațiul virtual trebuie să completăm de-



**Umbra purtată de cercuri verticale oarecare.**

43. — *Umbra purtată de cercuri din plane înclinate oarecare.* Ca mai sus, umbra purtată de un cerc aflat într-un plan înclinat oarecare se va înscrie în umbra purtată de pătratul în care se înscrie cercul dat. Pentru a putea determina umbra purtată de acest pătrat trebuie să-i cunoaştem proiecţia pe planul orizontal. Vom desena umbrele proiectantelor verticale ale celor patru colţuri ale pătratului şi unind dreptele lor vom obţine umbra pătratului în care cu ajutorul unei scări divergente vom înscrie cercul cu numărul de puncte dorit, aşa cum se vede în figurile 51 şi 52 în care se poate urmări mersul lucrării pentru

Cercul umbrelei se înscrie într-un pătrat  $abcd$  cu laturile de 1 m. În proiecție ortogonală (I, 19—20, fig. 31—33) îl reprezentăm mai întâi (fig. 51 A) la o scară obișnuită de 0,50 în care 1 m este reprezentat prin 2 cm, cuprins într-un plan de capăt înclinat, situat la înălțimea dorită. În continuare (aceeași figură, B) îi dăm orientarea cerută de compoziție și înscriem proiecția lui orizontală  $ghij$  într-un dreptunghi orientat frontal  $klmn$ . În această poziție pătratul e cuprins într-un plan

44. — În general, în practică, umbrele purtate în plane verticale se pot construi plecând de la umbrele purtate de elementele date pe planul obiectelor. Din aceste umbre pe care știm să le desenăm și atunci când imaginile perspective ale izvoarelor de lumină sînt inaccesibile, se pot deduce ușor umbrele de pe planele verticale.

#### UMBRE PURTATE PE PLANE VERTICALE

Determinarea umbrei purtate  $a'b'c'd'$  de acest pătrat se obține construind, după cum știm, umbrele verticalelor  $ga, ic, hb$  și  $jd$ . În figura 52 unde avem imaginea redusă a soarelui  $S/4$  s-a folosit pătina inferioară a proiectantelor respective (33). Pentru înscrierea cercului în patrulaterul  $abcd$  și  $a'b'c'd'$  vom folosi o scară divergentă cu un număr de puncte corespunzător, în cazul de față cu 12 puncte, scară care s-a întocmit în figura 51 c. Știm că pentru a o folosi trebuie să determinăm mai întâi mijlocul laturilor respective. Operațiunea se face la fel pentru umbrelă și pentru umbra ei care, pe această cale, a fost obținută fără a folosi imaginea inaccesibilă a soarelui.

În figurile 51 și 52 se vede cum s-a obținut și imaginea perspectivă a minierului  $ef$  a umbrelei.

Înclinat în jos spre adîncul spațiului și orientat spre dreapta, adică într-un plan înclinat oarecare, în compoziție (fig. 52) cu elementele perspective ale tabloului vom desena imaginea perspectivă a dreptunghiului orientat frontal  $kln$  la adîncimea dorită. În acesta, cu ajutorul scării divergente (fig. 51 B) vom desena proiecția orizontală a păturalui  $ghij$ . Această operațiune ne este cunoscută (1 586 fig. 639 etc.) și nu mai este arătată în figura 51. Cu ajutorul scării perspective vom da proiectantelor  $ga$  și  $ic$  înălțimea de 1,46 și proiectantelor  $hb$  și  $jd$  înălțimea de 1,83. Nici această operațiune cunoscută (1, 156, fig. 211) nu este reprezentată în figura 51. Unind două cîte două capetele superioare ale acestor proiectante, obținem în  $abcd$  imaginea perspectivă a unui pătrat situat într-un plan înclinat oarecare care are în spațiu înclinarea și orientarea dorită.

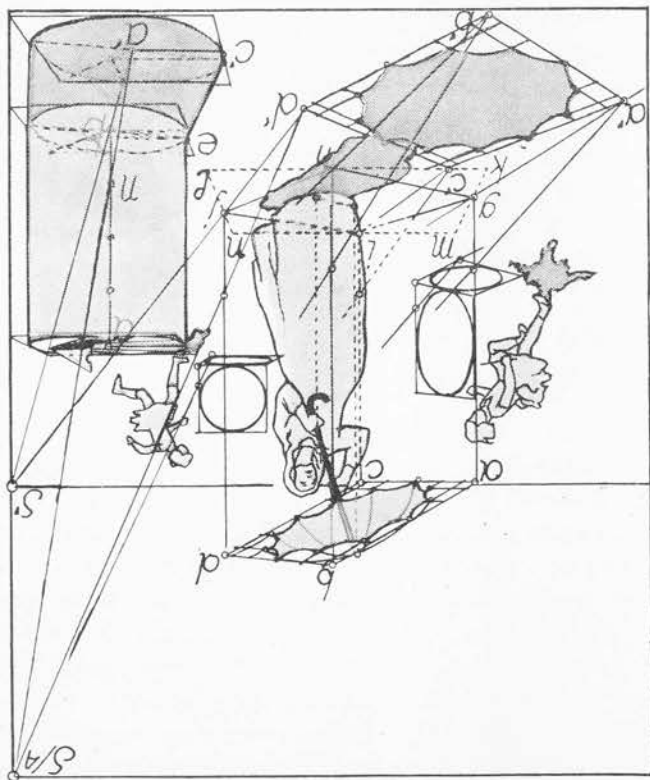


Fig. 52. (41, 42, 43)

Pentru unele probleme e bine să cunoaștem și o altă rezolvare teoretică care presupune posibilifatea de a folosi nu numai punctele de fugă  $F$  și  $F 90^\circ$  ale planelor verticale date, dar și liniile de fugă ale acestor plane (fig. 64). Considerînd aceste linii de fugă ca linii ale orizontului vom proiecta pe ele, în  $S'_3$  și  $S'_2$ , imaginea perspectivă  $S$  a soarelui. Cu aceste elemente perspective astfel obținute, umbrele purtate pe respectivele plane verticale se vor putea construi în aceleași condiții ca pe plane orizontale (26). Aceste rezolvări teoretice, care nu se pot folosi în practică decît prin procedeul micșorării, ne sînt totuși necesare pentru că ne permit să vedem cu o mai mare pătrundere mersul în spațiu al razelor de lumină și să ne închipuim punctele inaccesibile către care se îndreaptă unele umbre purtate.

## UMBRELE PURTATE PE PLANE FRONTALE

### Umbra punctului și a verticalei

45. — Totalitatea razelor care constituiesc umbra purtată de o verticală formează în spațiu un plan vertical de umbră. Intersecția acestui plan vertical cu orice alt plan vertical nu poate fi decît o verticală. Se obișnuiește să se spună că umbra purtată de o verticală se ridică vertical pe pereții vertical cu care se întîlnește.

În figura 53 fie  $a'b$  umbra purtată de verticala  $ab$  și căreia artistul i-a dat orientarea și lungimea dorită. Soarele se află în spațiul virtual și imaginea lui perspectivă este inaccesibilă. Se cere să se determine umbra purtată de punctul  $c$  și de verticala  $cd$  pe planul vertical frontal a cărui urmă pe planul obiectelor este orizontala frontală  $gg'$ .

Fig. 53. (45, 48, 50)

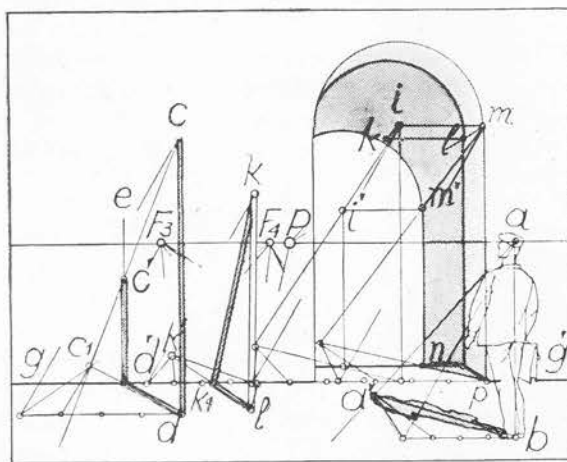
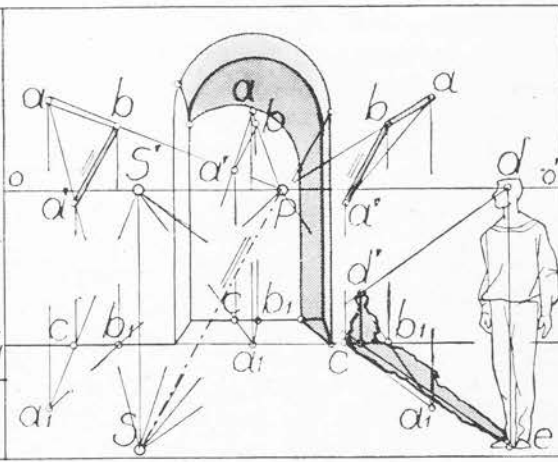


Fig. 54. (46)



Folosind procedeu general (38) desenăm umbra purtată pe sol  $dc_1$  de verticala dată  $cd$ . Intersecția planului vertical de umbră  $cdc_1$  cu planul vertical frontal dat este verticala  $d'e$ . Raza de lumină  $ec_1$  (care se îndreaptă spre imaginea virtuală inaccesibilă a soarelui  $S$ ) determină, la intersecția ei  $e'$  cu verticala  $d'e$  umbra punctului  $c$  pe planul frontal dat și în  $d'e'$  umbra verticalei date  $cd$ .

În aceeași figură se vede că pentru a obține umbra purtată în interiorul unei firide semicirculare, este suficient să determinăm, procedând ca mai sus, umbra purtată  $i'$  pe planul frontal al fundului firidei de centrul  $i$  al arcadei. Din acest punct ca centru, cu o rază egală cu raza  $kl$  din fundul firidei, vom trasa umbra arcadei. Verticala  $mn$  va completa umbra firidei pe planul vertical iar dreapta care unește punctul  $n$  cu punctul  $p$  o va completa pe sol. Dacă s-a desenat exact segmentul  $np$  trebuie să se îndrepte spre proiecția  $S'$  inaccesibilă a soarelui, fiind paralela perspectivă cu celelalte umbre  $ba'$  și  $dc_1$  din aceeași figură.

### Umbrele perpendiculararelor pe plane frontale

**46.** — Umbra purtată  $ba'$  pe un plan frontal (fig. 54) de orice perpendiculară  $ab$  pe acest plan, se poate afla unind piciorul perpendiculararei  $b$  cu umbra  $a'$  purtată de capătul ei  $a$ . Problema umbrei punctului pe plane frontale ne este cunoscută (45). Umbrele au o lungime mai mare sau mai mică după cum sînt și perpendiculararele respective care le poartă, dar pe plane frontale sînt paralele între ele nu numai în spațiu, cum sînt paralele între ele umbrele verticalelor pe sol, dar sînt paralele între ele și geometric, intrucît pe aceste plane nu există deformări perspective. Aceste umbre purtate de perpendicularare pe plane frontale sînt paralele geometrice cu umbra purtată pe planul vertical al tabloului de raza vizuală principală  $OP$ , umbră care se obține unind imaginea virtuală a soarelui  $S$  cu punctul principal  $P$  (fig. 64).

S-a arătat mai sus că imaginea virtuală a soarelui poate fi considerată ca umbra punctului de vedere pe planul tabloului, iar dreapta  $PS$  ca umbra purtată de raza vizuală principală  $OP$  (31). Ca urmare, traseul umbrelor purtate se poate simplifica. Cînd imaginea perspectivă a soarelui  $S$  este accesibilă, direcția umbrelor paralele ale perpendiculararelor  $AB$  se află ducînd paralele la dreapta care unește această imagine cu punctul principal  $P$  (fig. 64). Urmează să determinăm numai lungimea lor respectivă la intersecția lor  $a$  cu raza de lumină  $AS$ .

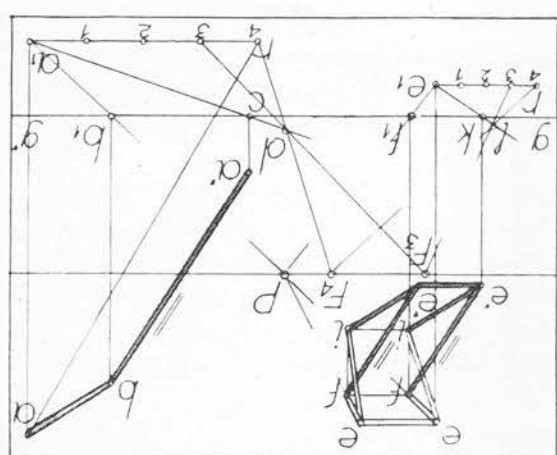


Fig. 55. (46, 48, 51)



Cînd imaginea perspectivă a soarelui este inaccesibilă (fig. 55) va fi suficient să desenăm în perspectivă inversă umbra  $ba'$  purtată numai de una din perpendiculare  $ab$  pentru a avea direcția cu care sînt paralele umbrele  $Fe'$  purtate, încă nedeterminate ca lungime, de toate celelalte perpendiculare  $ef$  din aceeași compoziție.

În continuare nu va mai fi necesar să căutăm cu procedeul general (38) și lungimea și direcția  $e_1l$  a umbrelor purtate de proiectanta  $ee_1$ . Vom folosi procedeul triunghiurilor asemenea (I 346 fig. 378) numai pentru determinarea direcției  $e'l$ . Verticala ridicată din punctul ei de intersecție  $k$  cu urma  $gg'$  a peretelui frontal va determina în  $e'$  lungimea umbrei purtate de perpendiculara  $ef$  pe planul frontal dat.

## Umbrele dreptelor înclinate pe plane frontale

### *Drepte frontale înclinate*

47. — Umbra purtată de o dreaptă frontală înclinată pe un plan frontal va fi paralelă geometric cu dreapta dată. În acest caz, pentru trasarea umbrei purtate este suficient să se găsească umbra  $a'$  purtată de un singur punct  $a$  al dreptei date  $ab$ . (fig. 57). În acest scop desenăm umbra purtată  $ma_1$  de proiectanta  $am$  a punctului dat, dîndu-i orientarea (în cazul nostru cu punct de fugă  $S'$  inaccesibil) și lungimea dorite. Această umbră se ridică vertical din punctul  $h$  de pe urma planului frontal dat pînă la intersecția ei  $a'$  cu raza de lumină  $aa_1$ , care prelungită ar ajunge în imaginea virtuală inaccesibilă a soarelui  $S$ .

Din punctul astfel găsit  $a'$  ducem paralele geometrice  $a'g$  și  $a'i$  la dreptele frontale înclinate date  $ab$  și  $ac$ . Unind punctele  $g$  și  $i$  cu punctele  $b$  și  $c$  obținem și pe sol umbrele purtate  $gb$  și  $ic$  de aceste drepte.

Umbrele  $d'je$  și  $d'lf$  purtate de dreptele frontale înclinate  $de$  și  $df$  se obțin în același fel după ce determinăm umbra  $d'$  a punctului  $d$ . În acest scop, dat fiind că imaginile izvo-  
rului de lumină sînt inaccesibile, punctul  $k$  se găsește luînd segmentul  $hk$  egal cu segmentul  $n'r'$  care s-a obținut pe urma planului frontal prin două drepte de capăt duse prin punctele  $n$  și  $r$  care ne dau depărtarea frontală dintre umbrele, cu punct de fugă inaccesibil, a verticalelor  $am$  și  $dn$ .

Pe verticala ridicată din punctul  $k$ , punctul  $d'$  se precizează ducînd prin  $a'$  umbra dreptei de capăt  $ad$ , al cărei punct de pătrundere  $d_1$  în planul de front dat se găsește la intersecția dreptei de capăt  $ad$  prelungită, cu verticala ridicată din punctul  $n'$ .

Umbrele fusceilor, orientate de capăt, vor fi, pe planul frontal dat, paralele geometrice cu umbra  $d_1d'a'$  a dreptei de capăt  $add_1$ , iar pe sol se vor îndrepta spre punctul principal  $P$ . Pentru desenarea lor vom împărți, cu scara divergentă, umbra  $ba^1$  în același număr de segmente egale cu dreapta  $ab$ .

Pe sol, prin punctele astfel determinate, vom duce umbrele fusceilor spre punctul principal  $P$ . Pentru umbrele pe planul frontal dat, vom duce mai întîi drepte de capăt  $uu_1$  iar prin punctele astfel determinate pe urma planului dat vom duce umbrele fusceilor paralele geometric cu umbra  $a'd'$ .

Umbrele purtate pe planul frontal dat de aceste drepte se obțin determinând umbra  $A'$  purtată pe planul obiectelor de capătul  $A$  care se reazemă pe planul frontal (fig. 56), folosind procedeul general (38). Dreapta care unește capătul  $B$  cu umbra  $A'$  purtată de celălalt capăt reprezintă umbra purtată  $BA'$ , pe planul obiectelor, a dreptei înclinate.

$ac$  (fig. 58).

sibile, aceste puncte de reazem se pot obține în  $i$  și  $e$ , prelungind dreapta înclinată dată dat sau pe planul obiectelor poartă umbra asupra lor înșile (fig. 53, 55, 56). Când sînt acele-  
fig. 58 cuprinsă în planul  $abcdF$ . Capetele acestor drepte care se reazemă pe planul frontal  
verticale oarecare (de exemplu  $IE$  din fig. 56 cuprinsă în planul  $EIGI_1F$ , dreapta  $ac$  din  
tele  $AB$  și  $CD$  din figura 56, dreapta  $kl$  din fig. 53, drepte  $ie$  din fig. 55) sau în plane  
48. — Drepte înclinate oarecare pot fi cuprinse în planul de capăt (de exemplu drepte

#### *Drepte înclinate oarecare*

Pe cealaltă parte a scării umbrele fuscelor se determină prin frontale orizontale, atît pe sol cît și pe planul frontal.  
Explicațiile de mai sus au fost date pentru a arăta cum se poate proceda atunci cînd imaginile perspective ale izvorului de lumină sînt inaccesibile.

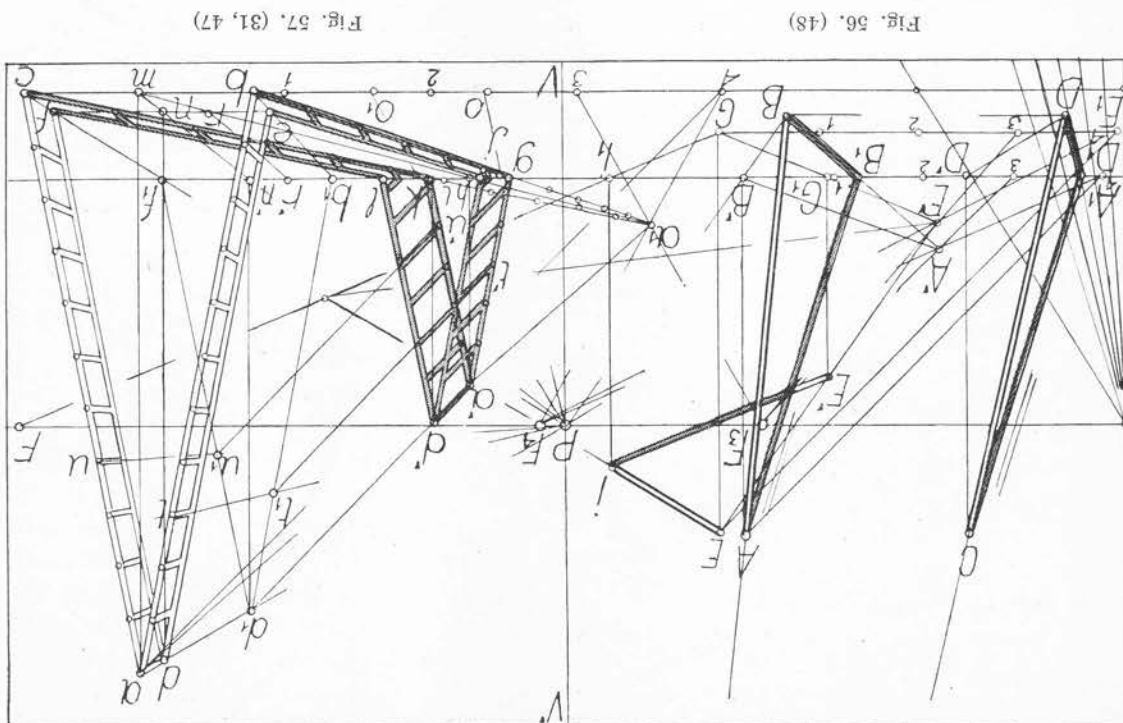
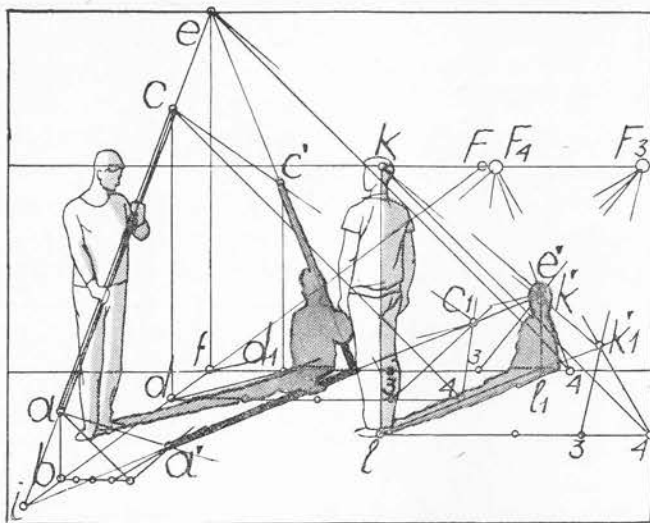


Fig. 57. (31, 47)

Fig. 56. (48)



oarecare în care este cuprins cercul dat.  
 După ce s-a determinat pe planul frontal dat în  $e_4$  umbra centrului cercului, s-a unit acest centru cu punctul  $e_2$  pentru a determina direcția umbrelor paralele a perpendiculararelor pe planul frontal dat (46). Ducând paralele geometrice la această direcție prin punctele  $f_2$  și  $g_2$  determinăm umbra capetelor diagonalelor verticale în  $f_4$  și  $g_4$  prin care ducem în planul frontal dreptele  $f_4g_4$  și  $e_4k$ . Fie că ducem diagonala  $e_4k$ , fie că ducem și prin  $h_2$  și  $i_2$  paralele geometrice ca prin punctele  $f_2$  și  $g_2$  putem construi paralelele granului mărginit de verticalele duse prin punctele  $h_4$  și  $i_4$  circumscris umbrei eliptice a cercului dat.

50. — *Cercuri orizontale* (fig. 60). Fie de diametru frontal și  $fg$  diametru de capăt al cercului orizontal dat. Cu dreapta de capăt  $ab$  și cu verticala  $bc$ , determinăm în  $kl$  intersecția planului frontal dat cu planul orizontal al cercului dat, pînă la care ducem dreptele de capăt  $dd_1$  și  $ee_1$  precum și diagonalele pătratului circumscris cercului dat pentru a găsi și punctele  $h$  și  $i$ . Determinăm în  $c'$  umbra centrului  $c$  a cercului dat pe care o unim cu punctul  $c_1$  pentru a determina direcția umbrelor paralele a perpendiculararelor pe planul frontal dat. Ducând paralele la această direcție prin punctele  $d_1$  și  $e_1$  obținem pe orizontala dusa prin  $c'$ , capetele umbrei diametrului orizontal în  $d_2$  și  $e_2$ . În continuare din  $h$  și  $i$  ducem prin  $c'$  diagonalele  $m'e'n'$  și  $r'e's'$  cu ajutorul cărora completăm imaginea perspectivă  $m's'n'r'$  a paralelogramului circumscris umbrei eliptice cerute.

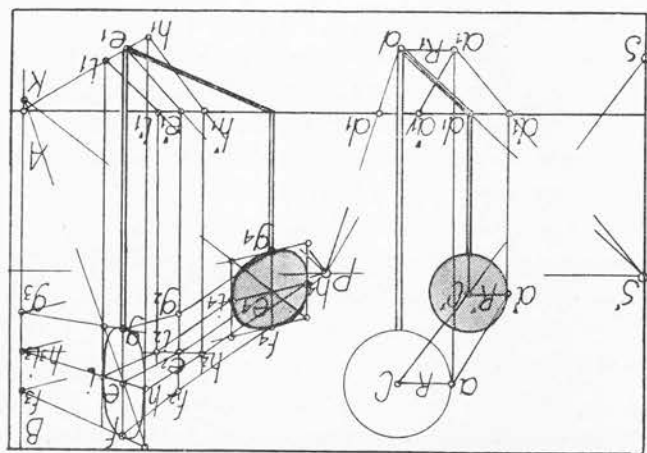


Fig. 59. (49)

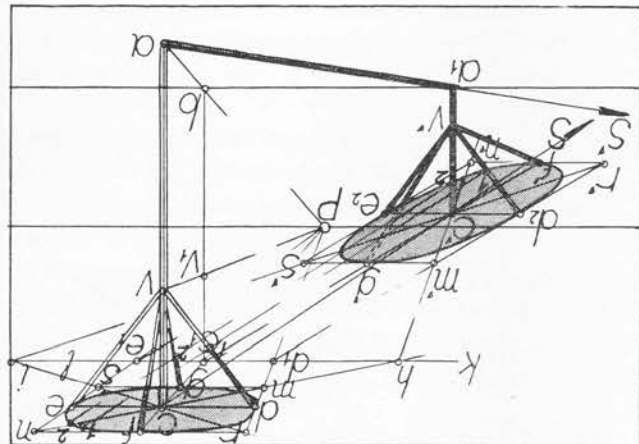


Fig. 60. (50)

55



50. — *Umbra punctului și a verticalei* se determină pe orice plan vertical oarecare procedind la fel ca pentru planele frontale (45) după cum se vede comparind figura 53 cu fig. 61 în care s-au pus aceleași litere în scopul ca explicațiile date mai sus pentru planele frontale să poată fi recitite și urmărite cu aceeași ușurință pentru planele verticale oarecare.

În privința umbrei arcadei semicirculare a firidei, dacă vom determina umbra  $i'$  a centrului ei  $i$  (fig. 53) precum și umbra  $m'$  a nașterii  $m$  a arcadei (fig. 53 și 61), pentru trasarea umbrei acesteia va trebui să executăm aceleași construcții — nerepresentate în figura 61 — cu care s-a desenat — de exemplu cu opt puncte (1, 217, fig. 258), — arcada firidei. Dar putem căuta umbrele  $r'$ ,  $l'$  ale punctelor caracteristice  $r$ ,  $l$ , ale semicercului, așa cum se face în figura 61.

51. — *Umbra perpendicularei* pe plane verticale oarecare, de asemenea se poate construi în aceleași condițiuni ca pe planele frontale după cum se poate vedea comparind figura 55 cu figura 62 în care s-au pus aceleași litere pentru ca mersul lucrărilor să poată fi urmărit recitind explicațiile date mai sus pentru planele frontale (46).

Și în cazul planelor verticale oarecare umbrele purtate de perpendiculare sînt paralele între ele în spațiu, dar în perspectivă se îndreaptă spre un punct de fugă care nu poate să se afle decît pe linia de fugă  $fF90^\circ f$  a planului vertical oarecare dat (fig. 63). Acest punct de fugă se găsește ducînd prin imaginea perspectivă virtuală  $S$  o perpendiculară pe planul vertical oarecare dat, pe care o prelungim pînă la intersecția ei  $S_1$  cu linia de fugă  $fF90^\circ f$ . Este ceea ce se vede în figura 63 în care s-au desenat, pe un plan vertical oarecare a cărui linie de fugă este  $fF90^\circ f$ , mai multe perpendiculare  $ab$  care fug în punctul respectiv de fugă  $F$ .

Soarele, în spațiul virtual, adică în spatele desinatorului, poate să se afle fie în dreapta lui, cu imaginea virtuală în  $SS'$  (în figura 63) sau în  $SvS'$  (în figura 64 A), fie în stînga lui cu imaginea virtuală în  $SS'$  (în figura 64 B).

Fig. 61. (50)

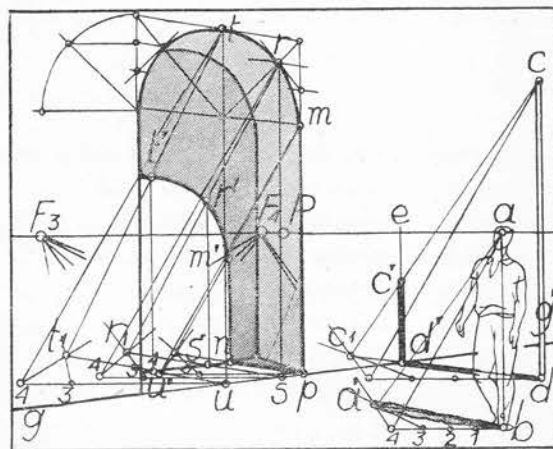
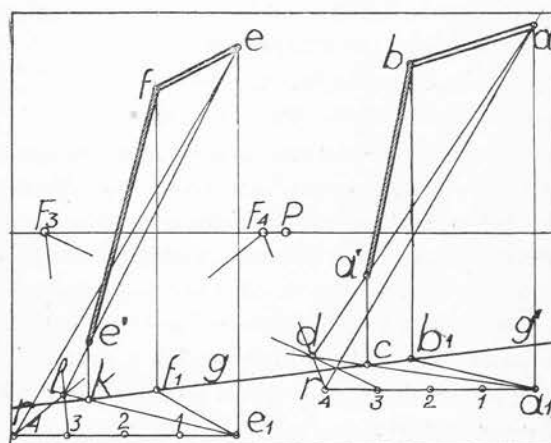


Fig. 62. (51, 52)



Dacă desenăm, după cum știm, în figura 63 umbrele purtate  $ba'$  de toate perpendicularele, vedem că aceste umbre, paralele între ele se îndreaptă către punctul de fugă  $S_1$  situat pe linia de fugă  $f90^\circ$  a planului vertical oarecare dat și pe prelungirea perpendicularare  $Fba$  dusă pe acest plan prin imaginea perspectivă virtuală a soarelui  $S$ .

Pentru clarificarea acestei probleme în figura 64 A s-au reprezentat aceeași firidă dreptunghiulară și aceeași cornișă pe un plan vertical frontal (I) pe un plan vertical de capăt (II), pe un plan vertical oarecare cu linia de fugă în  $F90^\circ S_2$  (IV).

I. Planul vertical frontal (I). Umbra purtată  $c$  de perpendicularara DC se obține:

a) ducând  $CS'$  și  $CSv$   
b) ducând din  $D$  o paralelă la  $PSv$  pînă la intersecția ei cu raza  $CSv$  (46).

Umbra  $a$  purtată de muchia frontală  $AB$  pe fundul firidei se obține:

a) ducând  $AS'_1$  și  $ASv$  (46)  
b) considerînd că planul lateral al firidei este un plan de capăt și muchia  $AB$  o perpendiculară pe acest plan a cărui linie de fugă este  $PO$ , umbrele purtate pe acest plan de perpendicularare fug în punctul de fugă  $S'_1$  situat la intersecția liniei lui de fugă  $PO$  cu perpendicularara dusă din  $S$  pe aceeași linie cum s-a arătat mai sus.

II. Planul vertical de capăt. Umbra purtată  $c$  de perpendicularara DC se obține:

a) ducând  $CS'$  și  $CSv$  (51)  
b) ducând  $DS'_1$  pînă la intersecția cu raza de lumină  $CSv$ . Umbra  $A$  purtată de muchia de capăt  $AB$  pe planul frontal lateral al firidei se obține:

a) ducând  $AS'$  și  $ASv$   
b) ducând prin  $B$  o paralelă la  $PSv$  pînă la intersecția ei cu raza de lumină  $ASv$  (46).

III. Planul vertical oarecare cu linia de fugă în  $FS'_3$ . Umbra perpendiculararei  $CD$  se obține:

a) ducând  $CS'$  și  $CSv$  (51)  
b) ducând  $DS'_3$  pînă la intersecția ei cu raza de lumină  $CSv$ . Punctul de fugă  $S'_3$  s-a determinat, cum se știe, prelungind perpendicularara dusă pe acest plan din  $F90^\circ$  și care trece prin imaginea virtuală  $Sv$  a soarelui (44).

Umbra  $a$  purtată de muchia orizontală oarecare  $AB$  pe fundul firidei se obține:

a) ducând  $AS'$  și  $ASv$  (51)  
b) considerînd că muchia  $AB$  este perpendiculară pe planul vertical oarecare cu linia de fugă în  $F90^\circ S'_2$ , vom folosi, așa cum s-a arătat mai sus punctul de fugă  $S'_2$  al umbrelor perpendicularare pe acest plan, care s-a obținut prin prelungirea perpendicularare duse pe acest plan din  $F$  și trecînd prin imaginea virtuală a soarelui  $Sv$  (44).

IV. Planul vertical oarecare cu linia de fugă în  $F90^\circ S'_2$ . Umbrele se desenează ca mai sus, folosind pentru umbrele purtate de perpendicularare pe acest plan punctul de fugă  $S'_2$ .

În figura 67, pe un perete vertical oarecare umbra unei dreptunghiulare și a unei cornișe a fost determinată folosind imaginea redusă la jumătate a soarelui  $SV/2$ .

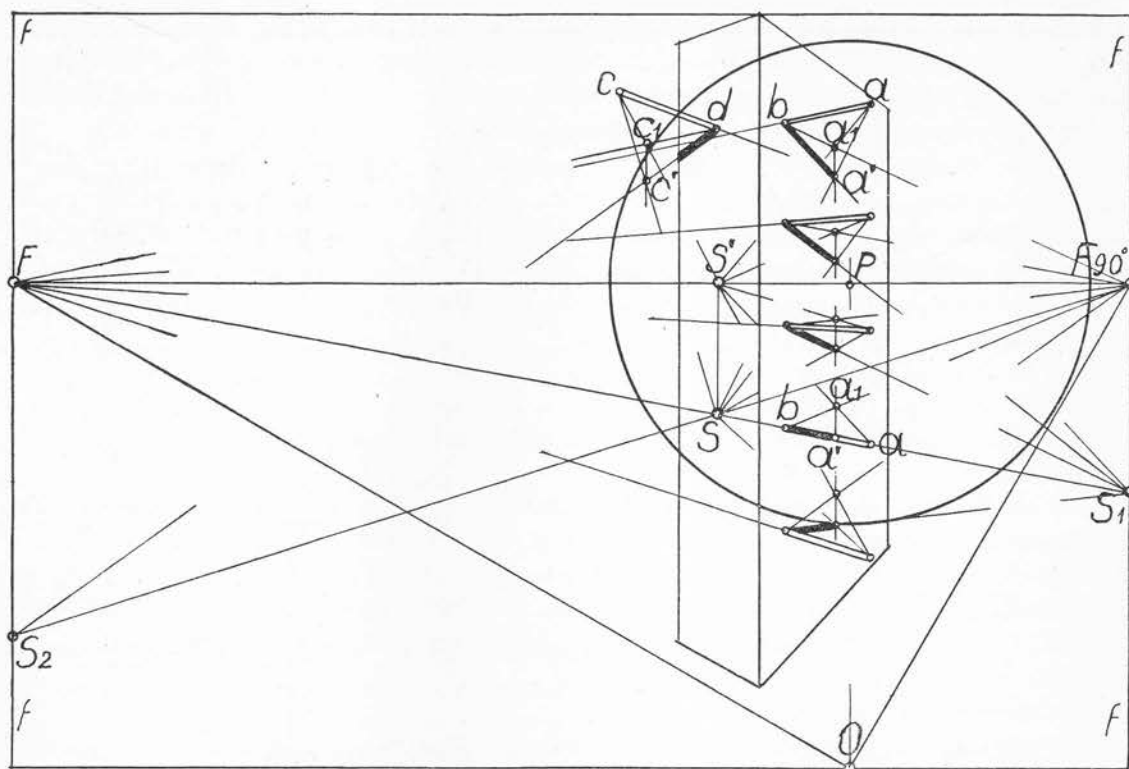


Fig. 63. (51)

52. — În figura 64 A ambele puncte de fugă  $S'_2$  și  $S'_3$  ale umbrelor purtate de perpendiculare pe plane verticale oarecare care fug spre punctele  $F$  și  $F 90^\circ$  sînt puncte de fugă terestre. Dar acestea pot fi și aeriene atunci cînd, ca în figura 64 B proiecția  $S'$  pe linia orizontului a soarelui  $S$  nu este cuprinsă între punctele de fugă  $F$  și  $F 90^\circ$  ale planelor verticale oarecare. În acest caz, linia  $SF 90^\circ$ , prelungită, nu întîlnește urma planului vertical care trece prin punctul de fugă  $F$  decît deasupra liniei orizontului, în punctul  $S_1$  către care se îndreaptă umbrele  $ba'$  și  $dc'$  purtate de perpendicularele  $ab$  și  $cd$  pe planul vertical oarecare, care fug în punctul  $F$ . Către un punct de fugă aerian, inaccesibil, se îndreaptă și umbrele purtate  $ba'$  și  $fe'$  ale perpendicularelor  $ab$  și  $ef$  din figura 62. Acest punct de fugă, foarte depărtat se situează pe urma verticală a planului dat care trece prin punctul de fugă inaccesibil  $F 90^\circ$  al urmei orizontale  $gg'$  a acestui plan.

În stînga figurii 73, în primul plan este figurat un mic bazin dreptunghiular  $ABDE$ . Muchia  $DE$  este perpendiculară pe peretele vertical a cărui muchie orizontală este  $EB$ . Umbra purtată  $Dc$  de această perpendiculară se va îndrepta spre proiecția soarelui  $S'_2$  de pe linia de fugă verticală a planului vertical respectiv. Muchia  $AB$  este perpendiculară pe fața verticală a cărei muchie orizontală este  $BE$ . Umbra purtată de această perpendiculară  $Ba$  se va îndrepta spre punctul de fugă inaccesibil  $S'_3$  a proiecției soarelui pe linia de fugă

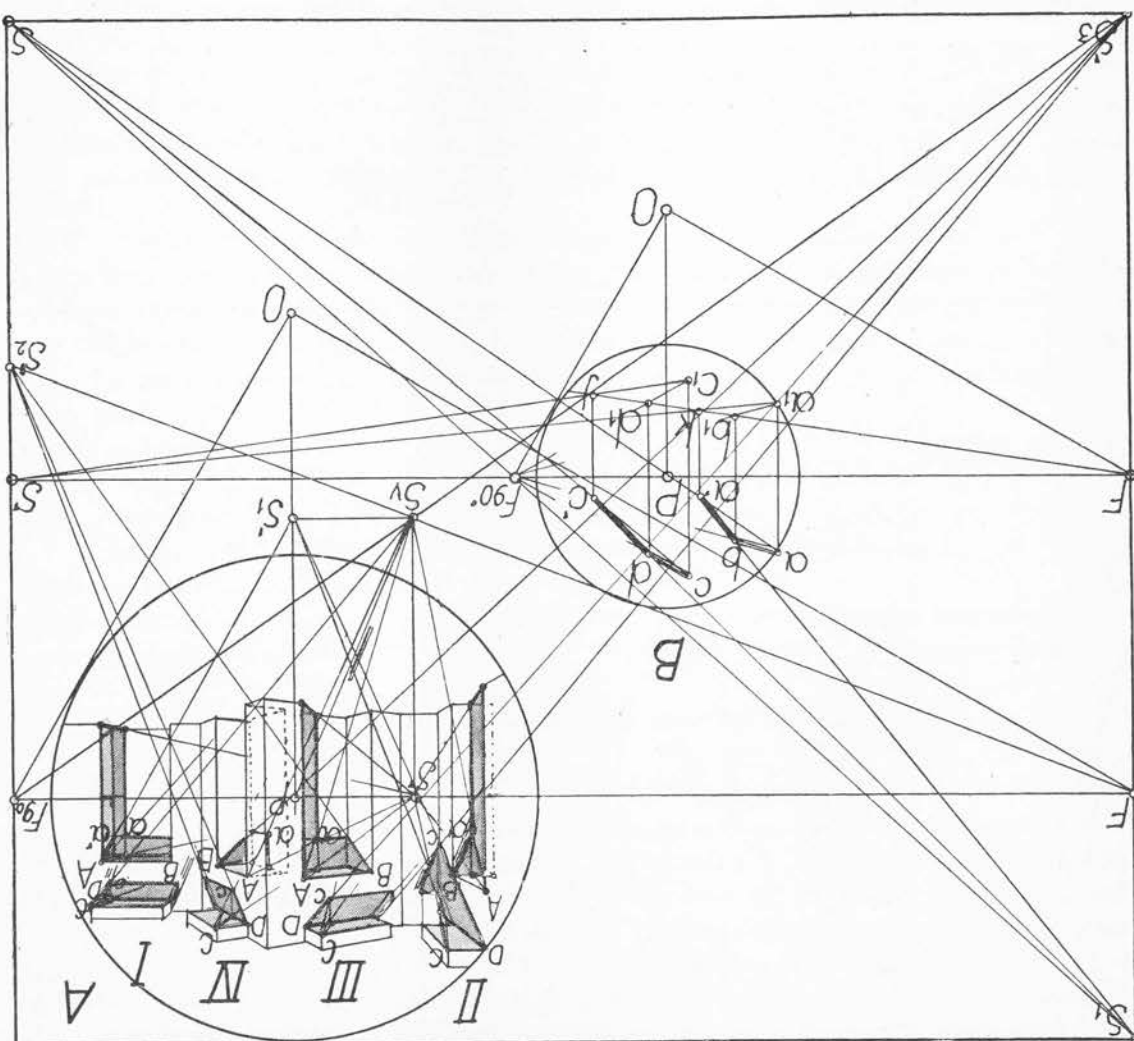
intocmi o rețea perspectivă pentru direcția acestor umbre, cum se arată mai departe (72). În unele cazuri, cînd avem de dus umbrele purtate de mai multe perpendiculare, se va putea cum s-a arătat mai sus, căutînd umbra purtată de unul din punctele perpendicularei date. Aceste puncte de fugă ale umbrelor purtate de perpendiculare pe plane verticale oare-

va fi deci paralela perspectivă cu muchia AC.

Muchia AC e paralela cu peretele din fund al bazinului. Umbra purtată pe acest perete (figurii.)

a planului respectiv. (Acest punct de fugă se poate vedea în schema micșorată din dreapta

Fig. 64. (44, 46, 51, 52)





În practică aceste umbre cu puncte de fugă inaccesibile se determină cu direcția  $Aa'S'$ , cu raza de lumină  $ASv$ , cu verticala  $a'a$  și cu umbra purtată  $ac$ , paralelă cu orizontalele  $EB$  și  $DA$ . Rămâne să unim  $a$  cu  $B$  și  $c$  cu  $D$  pentru a avea umbrele căutate.

În aceeași figură se vede că umbra purtată pe glaful ușei de intrare, umbră determinată cu ajutorul punctelor  $Sv$  și  $S'$  se îndreaptă spre  $S'_2$  determinat așa cum se arată mai jos (60). Către același punct de fugă  $S'_2$  se îndreaptă și umbrele purtate de marginea streșinei pe fețele laterale ale căpriorilor, fețe perpendiculare pe marginea streșinei.

### Umbra purtată de drepte înclinate frontale și oarecare

**53.** — Pentru a desena umbrele purtate de drepte înclinate frontale sau oarecare pe plane verticale oarecare, vom folosi aceleași procedee ca pentru umbrele purtate de drepte înclinate oarecare pe plane frontale (47, 48).

Căutăm prin procedeul general (38), atunci când imaginile perspective ale soarelui sînt inaccesibile, umbra purtată  $BA'$ , pe planul obiectelor, de verticala  $AC$  coborîtă din capătul dreptei înclinate oarecare, dată (fig. 65). Din punctul de intersecție  $A_1$  a acestei umbre cu urma planului vertical dat, umbra se frînge îndreptîndu-se spre punctul de reazem  $A$  al dreptei date.

Umbra purtată de altă dreaptă  $ab$ , paralelă cu dreapta dată, nu se desenează, făcînd din nou aceeași lucrare pentru a găsi punctul ei de frîngere  $a_1$ . Pe o orizontală ajutătoare  $BM$ , cu liniile de capăt  $PA_1$ ,  $PC$  și  $Pc$ , prelungite, determinăm punctele  $M$ ,  $C'$  și  $c'$ . Luăm segmentul  $c'm$  egal cu segmentul  $C'M$ . Linia de capăt  $Pm$  determină pe urma planului vertical oarecare punctul de frîngere căutat  $a_1$ , întrucît segmentul  $ca_1$  este egal cu segmentul  $CA_1$ .

Pentru desenarea umbrei purtată de dreapta înclinată  $ED$ , determinăm ca mai sus, cu procedeul general (38) umbra  $IK$  purtată pe sol de verticala dusă prin punctul  $D$ . Din punctul de intersecție  $H$  a acestei umbre cu urma planului vertical dat ridicăm o verticală pînă la intersecția ei  $D'$  cu raza de lumină  $DK$ . Umbra purtată de dreapta înclinată dată este  $ED'$ .

Desenul se completează cu umbra purtată de orizontala oarecare  $DR$ , umbră care, plecînd din punctul  $D'$ , este paralelă cu dreapta care o poartă.

### Umbra purtată de cercuri pe plane verticale oarecare

**54.** — *Cercuri verticale.* Oricare ar fi orientarea cercului vertical față de planul vertical oarecare, dat, umbra se obține căutînd umbrele colțurilor  $abcd$  ale imaginii pătratului în care se înscrie cercul dat.

Cînd imaginile perspective ale soarelui  $S'$  și  $Sv$  sînt inaccesibile și cînd este accesibilă intersecția  $GH$  a planului dat cu planul în care este cuprins cercul dat (fig. 66) construcțiile se pot simplifica căutînd numai umbra purtată de diametrul vertical  $ehf$ . Pentru

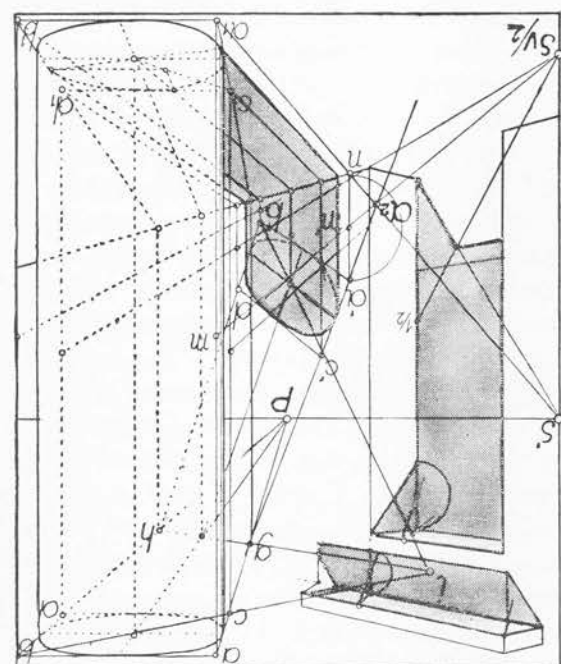


Fig. 67. (50, 51, 55, 62, 67, 75, 120)

completarea umbrei folosim punctele  $i$ ,  $j$  și  $k$  de pe intersecția  $GH$ . Se duc dreptele  $ie'$  și  $j'f'$  apoi diagonalele  $kh'$  cu care obținem punctele  $m$  și  $n$  prin care ducem laturile verticale ale pătratului în care înscrیم umbra cu numărul de puncte dorit și folosind, eventual, scări divergente (I 488—490, fig. 549).

În figura 81 s-a desenat pe un plan vertical oarecare umbra unui segment de circumferință aflat într-un plan paralel, folosind scări divergente.

### 55. — Cercul orizontal. Oricare ar

fi orientarea planului vertical oarecare și oricare ar fi orientarea pătratului orizontal circumscris cercului dat, este suficient să căutăm umbrele purtate  $a'b'c'd'$  de colțurile  $abcd$  ale pătratului orizontal (problema cunoscută 50). În figura 67 se vede cum se face operațiunea cînd este accesibilă imaginea perspectivă virtuală redusă la jumătate a soarelui  $Sv/2$ . Umbra  $a'$  a punctului  $a$  (ca și umbrele celorlalte colțuri ale pătratului) se pot determina în două feluri și anume:

a) găsim umbra  $a_2$  a punctului  $a$  pe sol, la intersecția direcției umbrei  $a_1S'$  cu raza de lumină  $mSv/2$ . Ducem raza de lumină  $aa_2$ , care, prelungită, ar ajunge în imaginea virtuală inaccesibilă a soarelui de două ori mai depărtată de  $Sv/2$

Fig. 65. (38, 53)

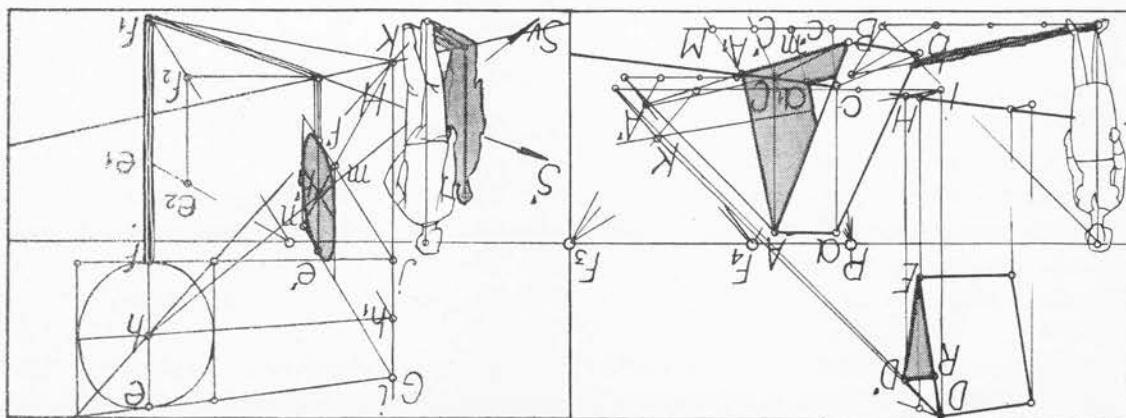


Fig. 66. (54)

față de linia orizontului. Umbra  $a'$  se va găsi la intersecția acestei raze cu verticala ridicată din punctul de intersecție  $n$  al direcției umbrei  $a_1S'$  cu urma planului vertical oarecare dat.

b) Ducem direcția umbrei  $a_1S'$  pînă la intersecția ei  $n$  cu urma planului vertical oarecare dat și din punctul  $n$  ridicăm o verticală pînă la intersecția ei  $m'$  cu raza de lumină  $mSv/2$ . Umbra  $a'$  se determină luînd pe prelungirea verticalei  $nm'$  o lungime  $m'a'$  egală cu segmentul  $nm'$ . În felul acesta s-a procedat în figura 67 și pentru determinarea celorlalte umbre  $b'$ ,  $c'$  și  $d'$ . Aceeași dublare s-a executat și pentru determinarea, pe plane verticale oarecare, a umbrelor buiandrugului ușii și a cornișei din aceeași figură.

## UMBRE PURTATE PE PLANE ÎNCLINATE

### Plane frontale ascendente și descendente

#### *Umbrele purtate de verticale*

56. — Pe plane frontale descendente  $Ds$  (fig. 68) spre adîncul spațiului, spre linia de fugă  $o''F''$ , umbrele purtate de verticale urmează aceeași coborîre către aceeași linie de fugă. De asemenea pe plane ascendente  $As$  spre adîncul spațiului, spre linia de fugă  $o'''F'''$ , umbrele purtate de verticale vor urma aceeași urcare către aceeași linie de fugă. Se știe cum se determină aceste linii de fugă ale planelor frontale descendente sau ascendente spre adîncul spațiului, ale căror elemente perspective ne sînt cunoscute (I 534—553).

Cînd liniile de fugă  $o''F''$ ,  $o'''F'''$  etc. ale planelor frontale ascendente sau descendente sînt accesibile, ca în figurile 68, 69 și 70, proiecția  $S''$ ,  $S'''$  etc. a imaginii perspective a soarelui  $S$  se determină la intersecția verticalei care trece prin această imagine perspectivă cu linia de fugă a planului frontal ascendent sau descendent respectiv, fie că soarele se află în spațiul virtual (fig. 68 și 70), fie în spațiul real (fig. 69).

În fig. 68 s-a desenat umbra purtată de verticala  $AB$  pe o șosea care, succesiv, este mai întîi descendentă ( $Ds$ ) spre linia de fugă  $O''F''$ , pe urmă orizontala ( $Or$ ) cu linia orizontului  $oP$  și apoi ascendentă ( $As$ ) spre linia de fugă  $O'''F'''$ . Soarele se află în spatele și în stînga desenatorului; imaginea lui perspectivă este deci virtuală și inversată  $Sv$ , aflîndu-se sub linia orizontului și în dreapta planului vizual principal  $VV'$ . Proiecția soarelui pe linia orizontului se află în  $S'$  iar, pe aceeași proiectantă verticală, pe linia de fugă a planului descendent se află în  $S''$ , iar pe linia de fugă a planului ascendent în  $S'''$ .

Umbra purtată de verticala dată, se îndreaptă, pe planul descendent  $Ds$  spre proiecția soarelui  $S''$  de pe linia de fugă  $F''o''$  a acestui plan; pe planul orizontal  $Or$  spre proiecția soarelui  $S'$  de pe linia orizontului  $oP$ ; pe planul ascendent  $As$  spre proiecția soarelui  $S'''$  de pe linia de fugă  $F'''o'''$  a acestui plan. Capătul umbrei se găsește în  $A'$  la intersecția razei de lumină  $ASv$  cu direcția umbrei de pe planul ascendent  $As$ . Razele de lumină  $SvC'$  și  $SvD'$ , prelungite, precizează pe dreapta dată, segmentul  $BC$  care poartă umbra  $BC'$ ,

Pentru umbrele purtate de celelalte două verticale pe planul descendent și pe planul ascendent trebuie mai întâi să determinăm imaginea soarelui redusă de două ori față de liniile corespunzătoare de fugă ale planelor respective.

În figura 70 pentru desenaarea umbrelor purtate de verticalele  $AB$ ,  $CD$  și  $EF$  avem imaginea virtuală a soarelui redusă la jumătate  $Sv/2$ . Pe planul orizontal capătul  $C'$  al umbrei purtate  $DC'$  de verticala  $DC$  se găsește, pe direcția  $DS'$  și la intersecția ei cu raza de lumină care unește mijlocul  $m$  al verticalei date cu izvorul de lumină redus la jumătate,  $Sv/2$ .

Raza de lumină  $S'/2m'$  prelungită, determină la intersecția ei  $A'$  cu direcția  $S''D'$  prelungită, capătul umbrei purtate de verticala dată pe planul descendent. Raza  $AA'$ , prelungită, ar ajunge în punctul inaccesibil  $S$ .

După trasarea direcției umbrei, urmează să precizăm lungimea ei. Raza de lumină  $S/2m$  care trece prin mijlocul  $m$  al verticalei date, prelungită, nu se întrete cu direcția umbrei purtate  $C'D'$  pe planul orizontal. Capătul umbrei trebuie căutat pe planul descendent mai apropiat de desinator. Pentru a-l determina, prelungim verticala dată pînă la intersecția ei cu direcția  $S''D'$  pentru a preciza în  $B'$  piciorul ei pe planul descendent. Luăm în  $m'$  mijlocul acestei verticale prelungite  $AB'$ . Căutăm imaginea soarelui redusă la jumătate  $S/2$  față de linia de fugă  $o''S''$  a planului descendent. În acest scop, luăm segmentul  $S/2S'/2$  egal cu jumătatea  $S'n$  a segmentului  $S'S''$ . În felul acesta dacă am lua, pe verticală, de două ori segmentul  $S''S'/2$  am ajunge în același punct  $S$  (imaginea nemăsurată a soarelui) pe care am obține-o luind de două ori segmentul  $S'S/2$ .

toare planului respectiv ascendent, în  $C'D'$ , direcția  $S'C'$ , corespunzătoare planului respectiv orizontal și în  $D'A'$  direcției  $S''D'$  corespunzătoare planului respectiv descendent.

pe planul ascendent. În fig. 69 izvorul de lumină se află în spațiul real. Proiecția soarelui  $S'$  pe linia orizontului este accesibilă dar în cadrul tabloului nu este cuprinsă deci imaginea perspectivă a soarelui redusă la jumătate  $S/2$ . Planul descendent  $DS$  cu linia lui respectivă de fugă  $o''F''$  pe care soarele se proiectează în  $S'$  precum și planul ascendent  $AS$  cu linia lui respectivă de fugă  $o'''F'''$ , pe care soarele se proiectează în  $S'''$  sint reprezentate ca în figura precedentă. Pe aceste plane umbra purtate  $DA$  care poartă umbra  $D'A'$  și segmentul  $C'D'$  pe planul orizontal poartă umbra  $C'D'$  pe planul descendent, segmentul  $CD$  care

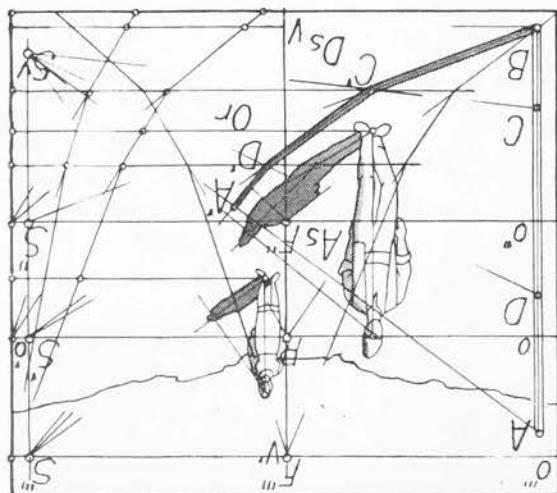


Fig. 68. (56)



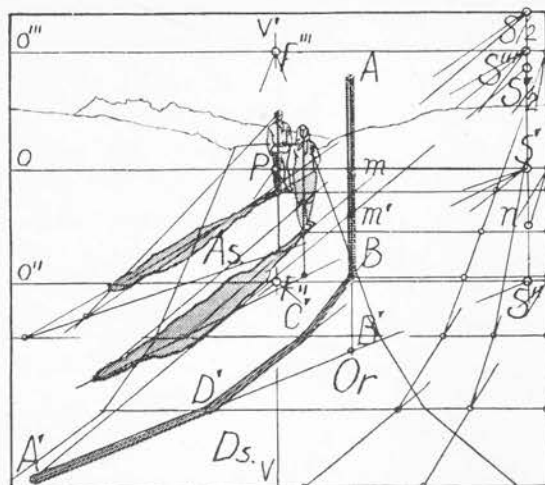


Fig. 69. (56)

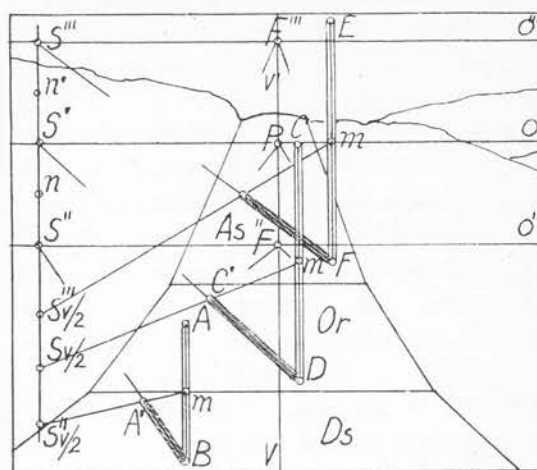


Fig. 70. (56)

Pentru planul descendent trebuie să luăm segmentul  $S''S_v''/2$  egal cu segmentul  $S'S_v/2$  din care scădem segmentul  $S''n$  (jumătate din segmentul  $S''S'$ ). În felul acesta luînd de două ori segmentul  $S'S_v/2$  și segmentul  $S''S''/2$  am obține același punct  $S$ . Deci, pe planul descendent  $Ds$  capătul  $A'$  al umbrei  $BA'$  purtată de verticala dată se găsește pe direcția  $BS''$  la intersecția ei cu raza de lumină care unește mijlocul  $m$  al verticalei  $AB$  cu izvorul de lumină  $S''v/2$ .

Pentru planul ascendent trebuie să luăm segmentul  $S'''S_v'''/2$  egal cu segmentul  $S'S_v/2$  la care adăugăm segmentul  $S'''n'$  (jumătate din segmentul  $S'''S'$ ). În felul acesta luînd de două ori segmentul  $S'''S_v'''/2$  și segmentul  $S'S_v/2$  am obține același punct  $S$ . Deci pe planul ascendent  $As$  capătul  $E'$  al umbrei  $FE'$  purtată de verticala dată se găsește pe direcția  $FS'''$  și la intersecția ei cu raza de lumină  $mS'''v/2$ .

#### *Alle umbre purtate pe plane ascendente și descendente*

**57.** — Cînd linia de fugă  $F''O''$ ,  $F'''O'''$  a unui plan ascendent  $AS$  sau descendent  $Ds$  (fig. 71) este accesibilă, umbrele purtate de diferitele feluri de drepte și cercuri se trasează cu destulă ușurință.

*Umbrele purtate de drepte frontale orizontale* vor avea imaginile lor perspective paralele geometric cu acelea ale dreptelor date. Va fi deci suficient să se determine umbra purtată de verticala  $ab$  care o proiectează pe planul înclinat respectiv. Prin acest punct, ducînd o paralelă  $b'c'$  geometrică la dreapta dată vom obține umbra căutată (fig. 71).

*Umbrele purtate de drepte de capăt, de drepte orizontale oarecare, de drepte înclinate oarecare* (printre care și dreptele înclinate cuprinse în plane verticale de capăt care sînt perpendiculare pe planele înclinate date) se vor determina căutînd umbrele purtate de două

din punctele dreptei respective. Când unul din capetele dreptei se reazemă pe planul înclinat dat — purtând umbră asupra lui însuși — va fi suficient să determinăm umbră purtată de un singur punct al dreptei date.

Este cazul muchiilor laterale ale volumelor prismatice așezate pe plane înclinate. Aceste muchii, perpendiculare pe planul înclinat dat sînt, pentru desenator, drepte înclinate, cuprinse în plane verticale de capăt. Umbra lor se obține căutînd umbră capătului lor superior cu ajutorul verticalei care le proiectează pe planul înclinat respectiv (fig. 71).

Pentru umbrele purtate de cercuri orizontale frontale verticale etc. vom determina umbrele laturilor pătratelor circumscrise cercului respectiv. În această umbră, umbră cercului se va înscrie cu numărul de puncte dorit.

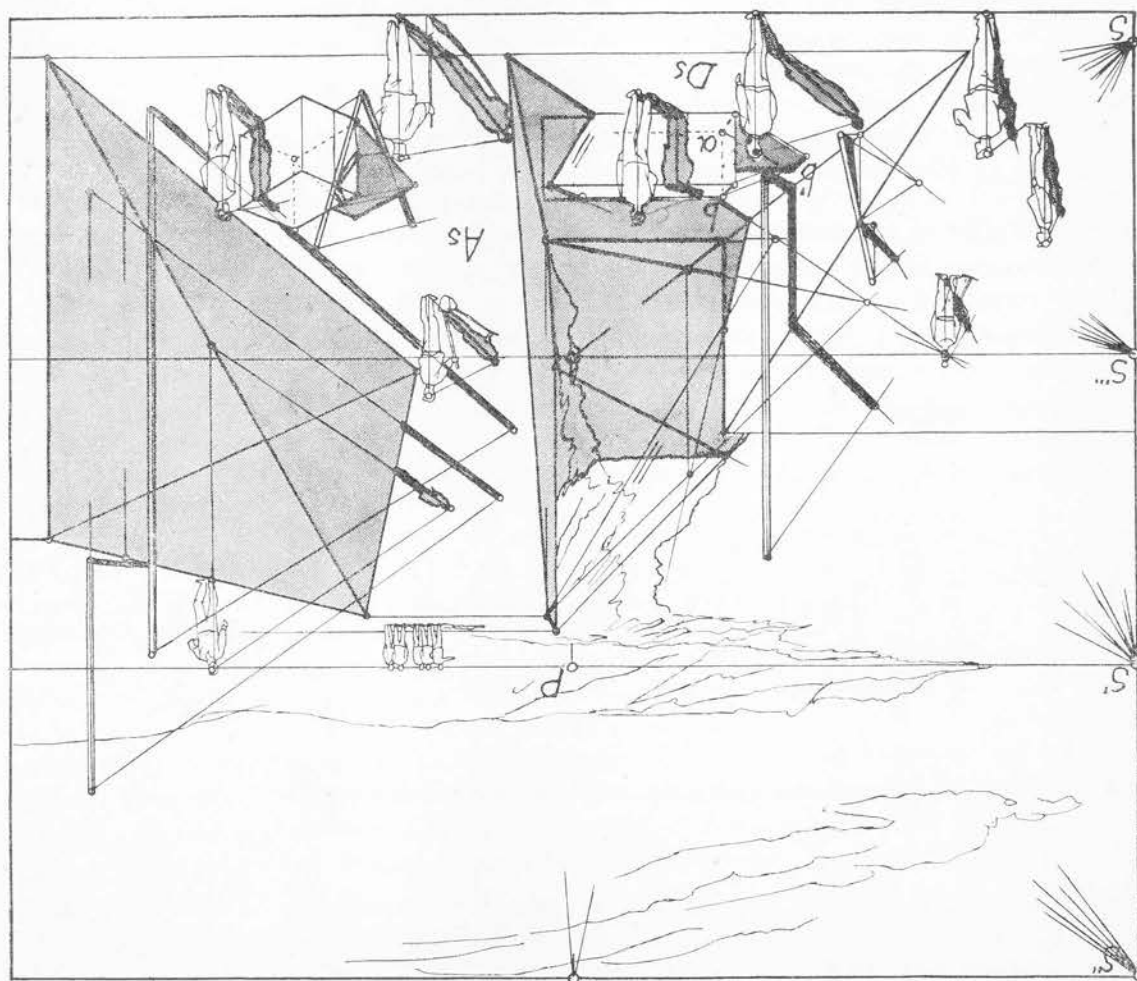


Fig. 71. (57)

Cînd linia de fugă a planului ascendent sau descendent este inaccesibilă se va proceda așa cum se arată mai jos pentru planele înclinate oarecare, cu linii de fugă inaccesibile.

## Umbre purtate pe plane înclinate oarecare

### Umbre purtate de verticale

**58.** — În figura 72 fie  $FF'90^\circ$  linia de fugă a unui plan înclinat oarecare, orientat spre stînga și urcîndu-se spre adîncul spațiului (I 561—564). Pe acest plan limitat în  $mnr$ s vrem să desenăm umbra purtată de verticala  $AB$  cînd soarele, situat în spatele și în stînga desenatorului, are imaginea lui virtuală în  $Sv$  și proiecția lui pe linia orizontului în  $S'$ . Proiecția soarelui pe linia de fugă a planului înclinat dat se va găsi în  $S''$ , pe aceeași verticală, prelungită, ca  $Sv$  și  $S'$ .

Pe sol umbra verticalei date se îndreaptă spre proiecția soarelui  $S'$  de pe linia orizontului. Această umbră  $BC$  se frînge în punctul de intersecție  $C$  cu urma orizontală  $nm$  a planului dat și se înclină în sus spre adîncul spațiului îndreptîndu-se spre proiecția soarelui  $S''$  de pe linia de fugă  $FF'90^\circ$  a planului înclinat oarecare dat. Umbra purtată de capătul  $A$  al verticalei date se va găsi în punctul de intersecție  $A'$  al direcției umbrei  $Cd$  cu raza de lumină care unește acest capăt cu imaginea virtuală a soarelui  $Sv$ .

În aceeași figură umbra purtată de verticala  $GH$  pe planul înclinat oarecare dat se determină la fel: direcția umbrei se îndreaptă spre  $S''$  iar lungimea ei se determină în punctul  $G'$  la intersecția acestei direcții cu raza de lumină  $GS$ .

Aceste rezolvări nu se pot folosi în practică atunci cînd linia de fugă  $FF'90^\circ$  a planului înclinat dat este inaccesibilă ca și proiecția  $S''$  a soarelui pe această linie.

**59.** — În practică. Pentru a desena în practică umbra verticalelor pe plane înclinate oarecare, cînd linia de fugă a acestor plane este inaccesibilă, vom face următoarele operațiuni:

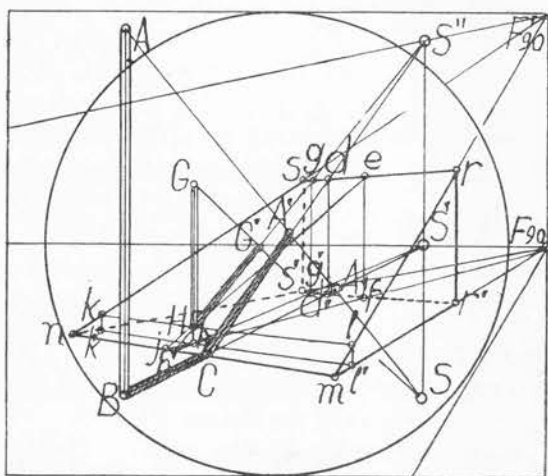
a) desenăm pe planul obiectelor (fig. 73) sau pe alt plan orizontal (fig. 75) proiecția planului înclinat dat și a verticalelor date.

b) trasăm direcția umbrelor purtate de verticalele date pe planul obiectelor sau pe planul orizontal ales.

c) transpunem prin proiectanta verticală pe planul înclinat dat direcția umbrelor trasate pe planul orizontal.

d) prin raza de lumină determinăm pe planul înclinat dat lungimea umbrelor purtate.

Fig. 72. (58)



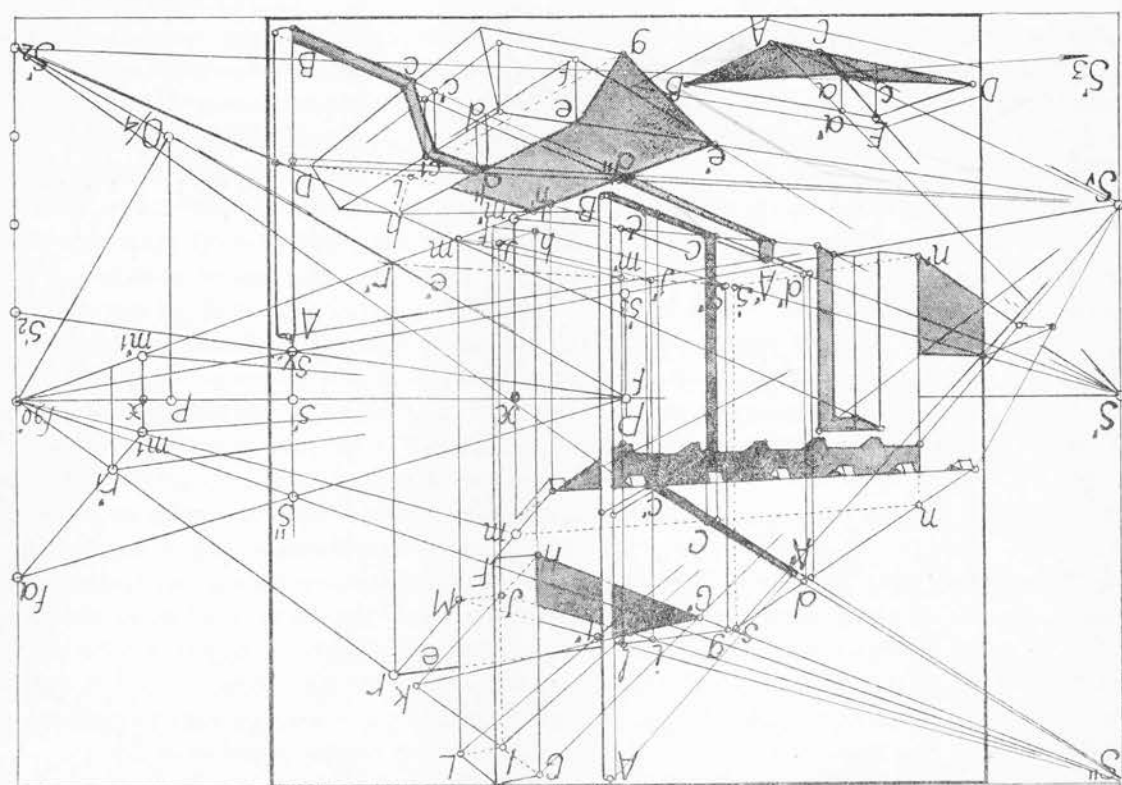


Fig. 73. (52, 59, 60, 62)

În figura de mai sus pe lângă traseul teoretic al umbrelor purtate s-a arătat și rezolvarea practică a problemei.

a) Proiecția planului înclinat dat  $mns$  pe planul obiectelor este patrulaterul  $n'm'r's'$ . Proiecția verticalei date  $GH$  pe planul obiectelor este punctul  $h$  care se obține fie prin orizontala planului dat  $FH$ , care trece prin punctul  $H$ , proiectată în  $fh$ , fie prin linia de cea mai mare pantă care trece prin același punct  $He$ , proiectată pe planul obiectelor în  $he'$ .

b) Pe sol direcția umbrei purtate de altă verticală dată  $AB$  este  $BCD'S'$  iar direcția umbrei purtate de verticala  $hHG$  este  $hg'S'$ .

c) Ridicăm verticalele  $Ced'd$  și  $g'g$  și găsim astfel pe planul înclinat dat în  $Cd$  direcția umbrei purtate de verticala  $AB$  și în  $Hg$  direcția umbrei purtate de verticala  $GH$ .

d) La intersecția acestor direcții cu razele de lumină  $ASp$  și  $GSp$  se determină în  $A'$  și  $G'$  capătul umbrelor purtate  $CA'$  și  $HG'$ .

În același fel au fost trasate umbrele purtate de verticalele  $AD$  și  $EG$  pe planele înclinate oarecare ale unui acoperiș cu patru pante reprezentat în figura 75 IV în care proiecția orizontală a acestor plane nu s-a făcut pe planul obiectelor ci pe planul orizontal al bazei



superioare  $i'j'k'l'$  a prisme. Pe acest plan, dreapta  $m'n'$  este proiecția coamei  $mn$  și dreptele  $m'i$ ,  $m'j'$  și  $n'K'$  sînt proiecțiile muchiilor  $mi$ ,  $mj$ ,  $nK$ .

Pentru verticala  $AD$ , direcția  $bS'$ , prelungită, se întretaie în  $B'$  cu marginea  $ik$  a streășinei, în  $c$  cu proiecția  $ii'm'$  a muchiei  $im$  și în  $d$  cu proiecția  $jj'm'$  a muchiei  $mj$ . Ridicăm verticalele  $cC'$  și  $dH$ . Umbra purtată de segmentul  $BC$  este  $B'C'$  și de segmentul  $CD$  este  $C'D'$ , punctul  $D'$  aflîndu-se la intersecția direcției  $C'H$  cu raza de lumină  $DS$ .

Pentru verticala  $EG$  (fig. 75 I), direcția  $fS'$ , prelungită, se întretaie în  $F'$  cu marginea  $ik$  a streășinei și în  $g$  cu proiecția  $kk'n'$  a muchiei  $kn$ . Ridicăm verticala  $gG_1$  și ducem direcția umbrei  $F'G_1$  pe planul înclinat al acoperișului. Umbra purtată de segmentul  $FG$  este  $F'G'$ , punctul  $G'$  aflîndu-se la intersecția razei de lumină  $GS$  cu direcția  $F'G_1$ , determinată mai sus.

Acoperișul în patru ape din această figură s-a construit așa cum se arată mai departe (64).

**60. — A p l i c a ț i e.** În figura 73 s-au trasat umbrele purtate de un coș  $GHILM$  și de un stîlp  $AB$  pe planul înclinat oarecare  $mnrs$  (proiectat pe planul obiectelor în  $m'n'r's'$ ) al unui acoperiș precum și a altui stîlp (cărui a i s-au pus aceleași litere  $AB$ ) pe o movilă de pietriș. Imaginile perspective virtuale ale soarelui aflat în spatele și în dreapta desenatorului  $Sv$  și  $S'$  sînt inaccesibile dar au fost folosite pentru a nu încărca desenul cu rețelele perspective necesare trasării direcțiilor și lungimilor umbrelor.

Pentru a se putea urmări mersul operațiilor și teoretic și în practică, prin procedeul micșorării (I 262-278) s-au determinat unele puncte de fugă inaccesibile. Micșorarea cu polul în  $F90^\circ$  (I 265) s-a făcut de patru ori. Punctul principal micșorat  $p$  s-a determinat luînd segmentul  $F90^\circ p$  egal cu o pătrime din segmentul  $F90^\circ P$ . Pe verticala coborîtă din  $p$  distanța principală micșorată  $p0/4$  s-a luat egală cu jumătatea razei în care se înscrie tabloul dat. Din  $0/4$  s-a dus o rază de fugă perpendiculară pe raza de fugă  $0/4 F90^\circ$  pentru a determina pe linia orizontului punctul de fugă micșorat  $f$ . Acesta nu coincide cu punctul  $P$  — ca în figura noastră — decît dacă fețele volumului dat fac unghiuri de  $30^\circ$  și  $60^\circ$  cu planul neutru). Segmentul  $f90^\circ x$  s-a luat de patru ori mai mic decît segmentul  $F90^\circ X$  iar segmentul  $f90^\circ s'$  egal cu o pătrime din segmentul  $F90^\circ S'$ . Liniile de fugă  $mf90^\circ$  și  $m'f90^\circ$  au determinat în  $m'_1xm_1$  muchia micșorată a motivului dat.

Cu aceste elemente putem determina în imaginea micșorată următoarele puncte de fugă micșorate pe care le putem transpune în tabloul inițial:

a) Ducînd prin  $m_1$  o paralelă geometrică la linia de cea mai mare pantă a acoperișului  $mr$  obținem pe verticala punctului  $f90^\circ$  punctul de fugă  $fa_1$  pe unde va trece linia de fugă micșorată  $ffa$  a planului înclinat oarecare al acoperișului. La intersecția acestei linii de fugă cu verticala dusă prin  $s'$  determinăm în  $s''$  proiecția micșorată a soarelui, către care se îndreaptă, după cum știm, umbrele purtate de verticale pe planul înclinat dat.

Dacă din polul micșorării  $f90^\circ$  ducem o rază prin  $s''$ , determinăm pe verticala dusă prin  $SvS'$  proiecția  $S''$  a soarelui pe linia de fugă inaccesibilă a planului înclinat oarecare dat.

b) Perpendiculara dusă din  $f$  prin  $sv$  determină în  $s'2$  punctul de fugă micșorat al umbrelor purtate de perpendiculare pe planele verticale ale căror linie de fugă este verticala dusă prin  $f90^\circ$ .



## Umbra prismei

**62.** — Umbrele purtate pe plane orizontale, verticale sau oblice de prisme drepte sau oblice nu pun probleme noi întrucît muchiile prismelor nu pot fi decît verticale, orizontale, frontale (de capăt sau oarecare) și înclinate (frontale sau oarecare) iar noi cunoaștem umbrele lor purtate.

De altfel diferite exemple de umbre purtate de prisme se pot găsi în figurile folosite pînă acum în acest capitol. Astfel în figurile 21 și 22, în care izvorul de lumină se află în spațiul real, se pot studia umbrele purtate de prismele  $A$  și  $C$ , orientate pe unghi și de prismele  $B$  orientate frontal.

În figurile 30 și 31, în care soarele este în planul neutru se poate vedea cum au fost trasate umbrele purtate de prismele  $F$  orientate frontal și de prismele  $A$  orientate pe unghi.

În figurile 35—36, în care soarele este în spațiul virtual, se văd, de asemenea umbrele purtate de prisme orientate frontal sau pe unghi.

În figura 67, în care soarele este tot în spațiul virtual se poate studia umbra purtată de o prismă orientată frontal (în care este înscris un cilindru) pe un perete vertical oarecare.

În figura 73 în care soarele de asemenea este în spațiul virtual se găsește desenată umbra purtată a unei prismei (un coș) pe un plan înclinat oarecare (un acoperiș).

Aici vom face numai unele precizări asupra liniei despărțitoare dintre fețele luminate și cele ce rămîn în umbră precum și asupra umbrei purtate de lăcrimar (sau streășină) pe fețele luminate în legătură cu poziția relativă a proiecției soarelui pe linia orizontului față de punctele de fugă ale fețelor verticale ale prismelor.

Se obișnuiește să se spună că fețele văzute ale unei prismei sînt în plină lumină cînd soarele este în spatele desenatorului (în spațiul virtual) sau că sînt în umbră cînd soarele este în fața desenatorului (în spațiul real). Această observație este justă numai în cazul în care proiecția izvorului de lumină pe linia orizontului  $S'$  este cuprinsă între punctele de fugă  $F$  și  $F 90^\circ$  ale prismei date. Este cazul prismei II din fig. 74 A, în care, soarele  $S$  și  $S'$  aflîndu-se în fața desenatorului și fiind cuprins între punctele de fugă  $F$  și  $F 90^\circ$ , inaccesibile, ambele fețe văzute  $IJKL$  și  $IJMN$  sînt în umbră proprie precum și a prismei II din fig. 74 B în care, soarele  $S$  și  $S'$  aflîndu-se în spatele desenatorului și fiind cuprins între punctele de fugă  $F$  și  $F 90^\circ$  inaccesibile, ambele fețe văzute  $IJKL$  și  $IJMN$  sînt în lumină.

În caz contrar numai una din fețe este în lumină și anume acea față de a cărei punct de fugă  $F$  proiecția soarelui pe linia orizontului  $S'$  e mai depărtată de punctul principal  $P$ , cînd soarele este în spațiul real și invers cînd soarele, a cărei imagine perspectivă este inversată, se află în spațiul virtual.

Spre exemplu prisma I din fig. 74 A în care soarele  $S$  și  $S'$  aflîndu-se în fața desenatorului și fiind mai depărtat de punctul principal  $P$  decît punctul de fugă  $F$  al uneia din fețele prismei, fața respectivă  $ABCD$  este în lumină. Aceeași față, în fig. 74 B în care soarele  $SS'$  este în spațiul virtual se află în umbră iar cealaltă față  $ABEF$  se află în

lumină. Aceasta se explică prin faptul că — după cum știm — în acest caz imaginea perspectivă a soarelui este inversată. De fapt soarele, în spațiile desenatorului se află în dreapta lui și va lumina fața  $ABEF$  care e efectiv îndreptată spre soare.

Când soarele este în planul neutru (fig. 30 și 31) este evident că numai una din fețele văzute ale prismei este în lumină și anume fața care se află de aceeași parte cu izvorul de lumină (fața din dreapta desenatorului în figura 30 și fața din stînga desenatorului în figura 31).

Când prismă este orientată frontal (prisme  $F$  în figurile de mai sus) fața ei frontală este în lumină razantă (8) când soarele este în planul neutru. Când izvorul de lumină este în spațiul real, ambele fețe ale prismei orientată frontal vor fi în umbră proprie când proiecția  $S'$  a soarelui pe linia orizontului se află de aceeași parte ca și prismă față de punctul principal  $P$  sau numai fața frontală când proiecția  $S'$  se află de cealaltă parte a punctului principal (prisme  $B$  în figurile 21—22).

Când soarele este în spațiul virtual, sînt în lumină ambele fețe ale prismei orientate frontal când prismă și proiecția  $S'$  a soarelui sînt de aceeași parte a punctului principal și numai fața frontală când prismă se află de cealaltă parte a izvorului de lumină. Mai precizăm că în cazul luminii solare, atîta vreme cît umbrele purtate de prismă nu sînt nestrîșt de alungite, baza ei superioară  $ACEG$  sau  $IKMO$  este în lumină, linia des-părțitoare dintre fețele luminate și cele care rămîn în umbră fiind  $BAEGH$  și  $LKIMN$  în figura 74 A și  $BACGH$  și  $LKOMN$  în figura 74 B.

— Evident că în compoziția lui Puviss de Chavannes (fig. 20) trebuie să considerăm drept licența plastică lumina de pe perețele turnului de veghe care, orientat pe unghi și cu punct de fugă inaccesibil, întoarce spațiile lunii pline reprezentată în tablou. Dar atît lui ar mîșcarea într-o tot atît de largă măsură liniștea senină a compoziției și licența plastică — justificată — poate, de altfel să treacă neobservată.

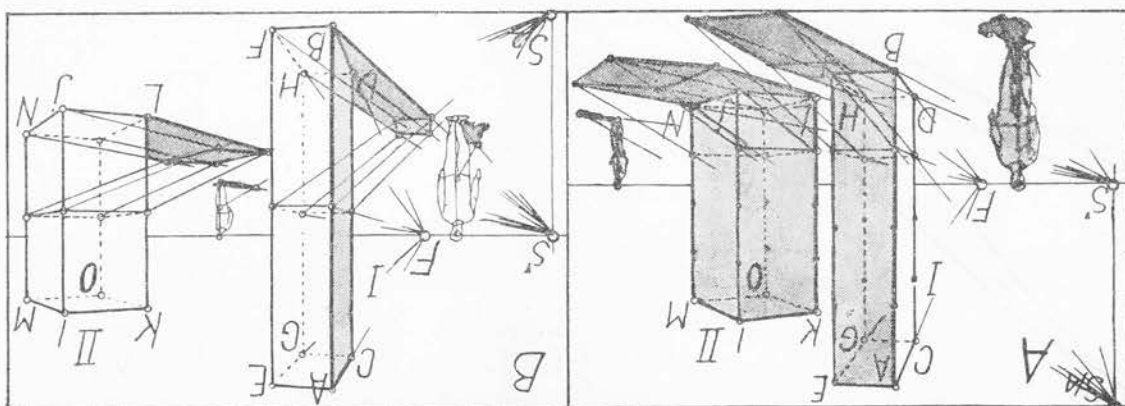


Fig. 71. (62, 63, 64)



**63.** — *Umbra streșinei sau a lăcrimarului unei cornise.* De locul ocupat, pe linia orizontului, de proiecția soarelui  $S'$  între punctele de fugă  $F$  și  $F 90^\circ$  ale fețelor unei prisme depinde și înfățișarea caracteristică a umbrei purtate de lăcrimarul cornisei, sau de streșină, pe fețele acelei prisme.

Dacă, întâmplător, proiecția  $S'$  a soarelui pe linia orizontului se suprapune pe punctul de fugă  $F 45^\circ$  al bisectoarei unghiului drept  $FOF 90^\circ$ , colțul mai apropiat de desenator al streșinei aruncă umbra sa chiar pe muchia respectivă a prismei așa cum se vede în figurile 36 și 75 I. Lumina cade cu aceeași intensitate pe ambele fețe ale prismei iar umbra purtată de streșină are aceeași lățime.

Când proiecția inversată  $S'$  a soarelui, aflat în spațiul virtual, se găsește între punctul  $F 45^\circ$  și punctul de fugă  $F 90^\circ$  (fig. 75 III și IV), înseamnă că soarele luminează mai puternic fața prismei care fuge spre celălalt punct de fugă  $F$  și că razele lui cad mai pieziș pe fața care fuge spre punctul de fugă  $F 90^\circ$ . În consecință umbra purtată de streșină nu mai are aceeași înălțime pe ambele fețe, fiind mai îngustă pe fața mai puternic luminată.

Iar dacă proiecția inversată  $S'$  a soarelui se găsește între punctul  $F 45^\circ$  și punctul de fugă  $F$  (fig. 75 II) atunci umbra streșinei e mai lată pe fața care fuge spre acest punct de fugă și pe care razele soarelui, aflat în spațiul virtual de cealaltă parte a punctului  $F 45^\circ$ , cad mai pieziș.

*În perspectivă directă* umbra streșinei se determină căutând întâi umbra purtată de colțul  $i$  al streșinei. (Fig. 75 II, III și IV). Ducem direcția acestei umbre  $iS'$  și găsim punctul ei de intersecție  $i_1$  cu planul vertical al prismei. Coborim o verticală din acest punct  $i_1$  și determinăm punctul ei de intersecție  $i'$  cu raza de lumină  $iS$ . În  $i'$  se află umbra purtată de colțul streșinei. Acesta poartă pe peretele respectiv o umbră paralelă perspectivă cu muchia streșinei.

În continuare căutăm punctul streșinei care poartă umbră pe muchia verticală a prismei. Direcția  $S'b_1$ , prelungită, determină la intersecția ei cu marginea streșinei punctul  $b$  care poartă umbră pe colțul prismei și anume în punctul de intersecție  $b'$  al razei de lumină  $bS$  cu această muchie. Umbra purtată de streșină pe această față, după cum s-a arătat mai sus, este mai îngustă.

Segmentul  $ib$  al streșinei poartă umbră  $i'b'$  pe cealaltă față a prismei, cu care nu este paralelă. De aceea și umbra respectivă nu mai este paralelă perspectivă cu marginea streșinei.

*În perspectivă inversă* (fig. 75 II, III și IV). Desenatorul dorește ca umbra purtată de colțul  $i$  mai apropiat de desenator al streșinei să cadă într-un anumit punct  $i'$  al uneia din fețe. Urmează să se determine, în perspectivă inversă, poziția respectivă a soarelui. În acest scop ridicăm din punctul dat o verticală  $i'i_1$  pînă la marginea interioară a streșinei și unim punctul  $i_1$  astfel determinat cu colțul  $i$  al streșinei. Prelungind acest segment  $ii_1$  pînă la linia orizontului, determinăm pe aceasta proiecția inversată  $S'$  a soarelui care trebuie să se situeze, după cum s-a arătat mai sus între punctul de fugă  $F 45^\circ$  și punctul de fugă al feței respective a prismei. Pe verticala coborită din  $S'$  se va găsi imaginea perspectivă virtuală a soarelui și anume la intersecția ei cu raza de lumină  $ii'$ , prelungită. De aici înainte umbra streșinei pe cealaltă față a prismei se rezolvă în perspectivă directă, așa cum s-a arătat mai sus.

Desenăm prin mijlocul  $r'$  (determinat cu ajutorul punctului de intersecție  $r$  al diagonalelor feței respective) al laturii  $l'f'$  dreapta  $r'm'n'$  care împarte în două părți egale baza superioară a prismei date. Prin colțul  $l'$ , mai apropiat de desenator și prin colțul  $l'$ , mai depărtat de desenator, ducem dreptele  $F'45^\circ l'$  și  $F'45^\circ l'$ , prelungite, care determină punctele  $m'$  și  $n'$ . Acestea sunt proiecțiile, pe baza superioară a prismei, a coamăi  $mn$  a acoperișului. Din aceste puncte ducem dreptele  $m'f'$  și  $n'k'$ , prelungite, care se îndreaptă spre punctul inaccesibil de fugă  $F'45^\circ$ , situat de cealaltă parte a punctului principal față de punctul  $F'45^\circ$ .

64. — În figura 75 I și IV se poate urmări un procedeu practic de a desena iacri-marul sau streșina când avem în cadrul tabloului punctul de fugă  $F'45^\circ$  al bisectoarei unghiului drept  $FOF'90^\circ$ .

După cum se vede în figurile 75 II, III și IV, dacă avem în cuprinsul tabloului imaginea perspectivă redusă a soarelui  $S/2$ ,  $S/4$  etc. atunci înălțimile  $l'f'$  și  $b'f'$  se obțin prin dublarea sau cvaadruplarea segmentelor determinate cu ajutorul acestor imagini reduse.

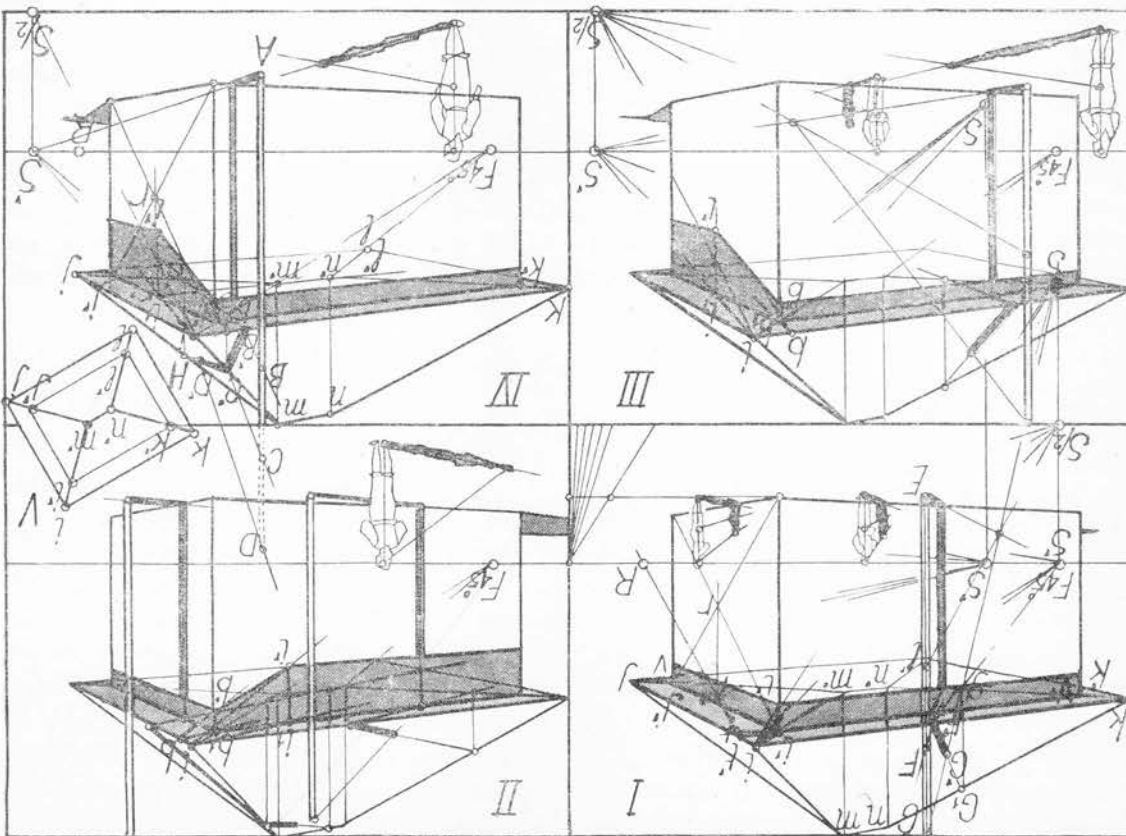


Fig. 75. (59, 62, 63, 64, 398)

Pe frontala orizontală  $il$ , măsurată pe scara perspectivă a tabloului, precizăm lărgimea streășinei. Cu ajutorul punctului de egală resecție  $R$  ducem dreapta  $Rl$  care prelungită ne dă lărgimea, în perspectivă, a streășinei  $i'l'$  pe dreapta  $k'i'$ , prelungită. Cu ajutorul rețelei perspective cu care am desenat imaginea perspectivă a prisme ducem marginea exterioară a streășinei  $t'ij$ , apoi marginea  $ik$  și segmentele  $j'v$  și  $kv$ , paralele cu muchiile bazei superioare a prisme și folosind punctele de intersecție ale acestor muchii cu bisectoarele respective  $m'i'$ ,  $m'j'$  și  $n'k'$ , prelungite, fără a fi necesar să măsurăm de mai multe ori lărgimea streășinei.

Construcțiile de mai sus se pot urmări și în schema geometrală din aceeași figură și în care s-au pus aceleași litere ca în desenul perspectiv.

## Umbra cilindrului

### *Umbra cilindrului vertical*

65. — În figura 76 fie  $CD$  diametrul frontal al bazei inferioare a unui cilindru circular drept,  $AB$  diametrul frontal al bazei lui superioare,  $EF$  înălțimea axului cilindrului și  $FF'$  umbra purtată de acest ax pe planul obiectelor, a cărei direcție și lungime a fost aleasă de desenator sau dată de poziția relativă a soarelui. În figura noastră soarele se află în spatele desenatorului și în stînga lui, iar imaginile lui perspective, virtuale,  $Sv$  și  $S'$  care s-ar situa în dreapta tabloului, sînt inaccesibile.

Vom determina întîi umbra purtată de cilindru și apoi umbra lui proprie, începînd cu umbra purtată pe planul obiectelor de baza lui superioară: umbra purtată de un cerc orizontal pe un plan orizontal (41).

Umbra purtată de diametrul frontal dat  $AB$  nu se poate determina, pe orizontala dusă prin  $F'$ , prin raze de lumină, căci imaginea virtuală a soarelui, în cazul nostru este inaccesibilă. În planul frontal al punctului  $F'$  mărimea diametrului căutat este dată în  $e'f'd'$  prin intersecția dreptelor de capăt  $CP$  și  $DP$  (sau a altor două orizontale oarecare cu punctul de fugă accesibil pe linia orizontului) cu frontala dusă prin punctul  $F'$ .

Pe acest diametru  $A'F'B'$  cercul umbrei se construiește înscriindu-l într-un pătrat orientat frontal (I, 182, fig. 233 și 216, fig. 257).

Ducînd tangentele comune  $g'h$  și  $i'j$  bazei circulare a cilindrului și cercului umbrei obținem umbra purtată de cilindru.

Dacă s-a desenat exact, aceste tangente, prelungite, trebuie să se îndrepte spre punctul inaccesibil  $S'$  iar razele de lumină  $ii'$  și  $gg'$ , prelungite trebuie să ajungă în punctul inaccesibil  $Sv$ .

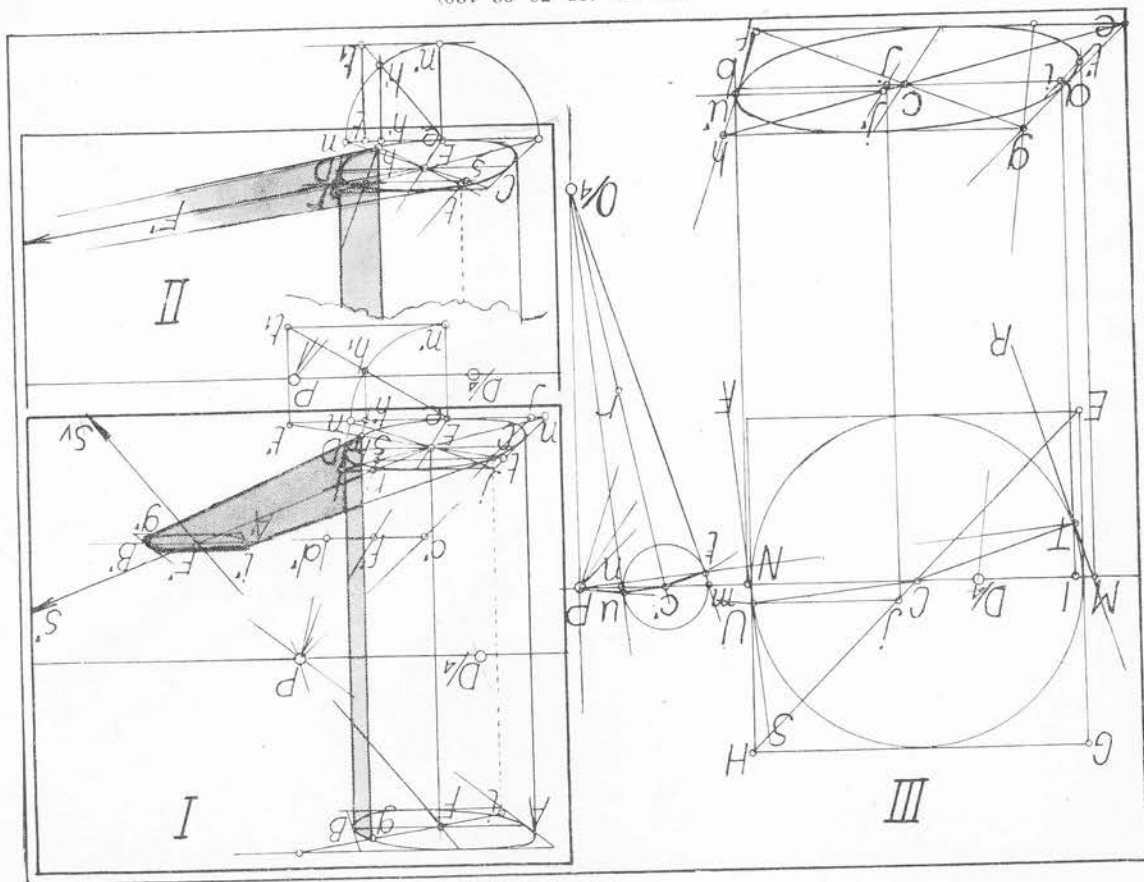
Tangentele  $g'h$  și  $i'j$  sînt umbrele purtate de două generatoare  $gh$  și  $ij$  ale cilindrului care constituiesc pe suprafața rotundă a cilindrului linii de despărțire între partea luminată și partea care rămîne în umbră proprie. În cazul luminii solare partea luminată a cilindrului este întotdeauna egală cu partea din umbră și atîta vreme cît umbrele purtate nu au o lungime nesfîrșit de alungită, — soarele apropiindu-se de orizont — baza superioară a cilindrului este întotdeauna în lumină.

In primul caz folosim diagonala pătratului a cărui latură e înțrețaiată: dreapta de capăt  $rs$  și frontala  $sl$  ne ajută să desenăm dreapta  $lf$  perpendiculară pe direcția umbrei date, care prelungită, ne dă la intersecția ei cu circumferința bazei cilindriului punctul  $h$  al umbrei proprii. Acest punct se determină cu mai multă precizie prin construirea geometralului așa cum se arată în figură.

(Fig. II).  
 tical al cilindriului, poate înțrețai latura lor frontală (fig. 75, I) sau latura lor de capăt al bazei cilindriului dat. În aceste pătrate, direcția  $EF'$  a umbrei purtate de axul vertical (1391-395, Fig. 435-440), pătrate care au folosit la desenarea semicercului mai depărtat genă  $h$  și  $j$  se pot determina cu exactitate cu ajutorul a două pătrate orientate frontal Dar umbra proprie se poate afla și fără ajutorul umbrei purtate iar punctele de tangență  $h$  și  $j$  la baza cilindriului a umbrei purtate.

Umbră proprie a cilindriului s-a determinat deci cu ajutorul umbrei purtate, desenând generatoarea văzută  $gh$  și generatoarea ascunsă  $ij$  prin punctele de tangență  $h$  și  $j$  la baza

Fig. 76. (65, 78, 82, 120)





În cazul al doilea (fig. 76, II) folosim diagonala celui alt pătrat: frontala  $rs$  și dreapta de capăt  $sl$  ne ajută să desenăm dreapta  $IE$  perpendiculară pe direcția umbrei date, care prelungită ne dă, la intersecția ei cu circumferința bazei cilindrului, punctul  $h$  al umbrei proprii. Și aici obținem un rezultat mai exact prin construirea geometralului arătat în figură.

**66.** — Umbrele purtate pe o suprafață cilindrică se pot determina punct cu punct așa cum se vede în figura 77. Umbra unei drepte nu este dreaptă decât dacă este paralelă cu generatoarele cilindrului dat, cum este, spre exemplu, umbra  $B'$  a verticalei  $B$  pe un cilindru vertical.

Umbra unei orizontale  $aedc$  pe un cilindru vertical va fi un segment de elipsă  $a'e'd'c'$  (intersecția unui cilindru vertical cu un plan înclinat). Precizăm că în punctul în care această umbră purtată pătrunde în umbra proprie  $Aa'$  a cilindrului, elipsa este tangentă la raza luminii  $a'S$ . Punctul de pătrundere se numește punct de pierdere.

Umbra unei drepte oarecare este de asemenea eliptică și se poate desena căutând umbra mai multor puncte folosind proiecțiile lor orizontale cum s-a procedat cu umbra acoperișului (fig. 77 A) și a stîngheii rezemate de cilindru (fig. 77 B).

În figura 77 B se vede cum au fost desenate umbrele de mai sus, fiind accesibilă numai imaginea micșorată a izvorului de lumină  $S/2$ .

#### Conturul aparent al cilindrului

**67.** — Prin construirea geometralului dar folosind și procedeul micșorării se pot determina și punctele de tangență ale generatoarelor conturului aparent al cilindrului (fig. 76, III). din care prezentăm, pentru a ocupa în pagină un loc mai mare, numai jumătatea stîngă a tabloului. Precizăm că nu trebuie să se creadă că abătîndu-ne de la regula generală pe care ne-am impus-o (I, 69) nu am luat și în această figură, prezentată parțial, punctul principal în mijlocul liniei orizontului).

Fie  $acb$  diametrul frontal al bazei circulare a cilindrului și  $efgh$  pătratul circumscris ei. Geometralul acestei baze îl construim cu centrul în  $C$  pe linia orizontului, înscris în pătratul  $EFGH$ . Micșorăm de patru ori acest geometral față de punctul principal  $P$  luat ca pol de micșorare. În acest desen, din punctul de vedere micșorat  $0/4$  desenatorul vede cilindrul al cărui ax se găsește în punctul  $c'$ , în aceleași condiții în care desenatorul așezat în punctul  $0$ , inaccesibil, ar vedea cilindrul dat, cu axul în punctul  $C$ . Pentru a determina, în desenul micșorat, punctele de tangență  $t$  și  $u$  și punctele de pătrundere în planul tabloului  $m$  și  $n$  a razelor vizuale ale desenatorului așezat în  $0/4$ , desenăm un arc de cerc  $tc'u$  cu centrul în mijlocul  $r$  al razei  $0/4c'$ . Transpunem aceste puncte în desenul inițial. Ducem razele  $TC$  și  $CU$  paralele cu razele  $tc'$  și  $c'u$ ; precum și tangentele  $MTR$  și  $SUN$  paralele cu tangentele  $m 0/4$  și  $u 0/4$ . Verificarea exactității construcțiilor grafice se face controlînd dacă punctul  $t$  se află pe raza de micșorare  $TP$  iar punctul  $u$  pe raza  $UP$ .

În desenul inițial verticalele care trec prin punctele  $M$  și  $N$  sînt generatoarele conturului aparent. Pentru a determina punctul lor de tangență  $t'$  și  $u'$  la cercul bazei cilindrului este suficient să găsim punctul lor de intersecție  $t'$  și  $u'$  cu dreapta de capăt  $Pi$ ,

68. — *Umbră cilindrilor verticali concavi* (fig. 78 în care se arată și cum a fost determinat cu precizie conturul aparent al cilindrilor dat). Fie  $S'$  proiecția virtuală a soarelui pe linia orizontului și  $S$  imaginea virtuală a izvorului de lumină. Umbră autoperputată în interiorul cilindrilor va fi o jumătate de elipsă rezultată din intersecția acestui cilindru

prelungită, pentru generatoarea din stînga, iar pentru generatoarea din dreapta, ca să se obțină o intersecție mai bună, cu orizontalele  $U_j$  și  $f'u'$  duse cu ajutorul diagonalelor  $EH$  și  $eh$ , ducînd linia de ordine  $JJ$  și linia de capăt  $JJ'$ .

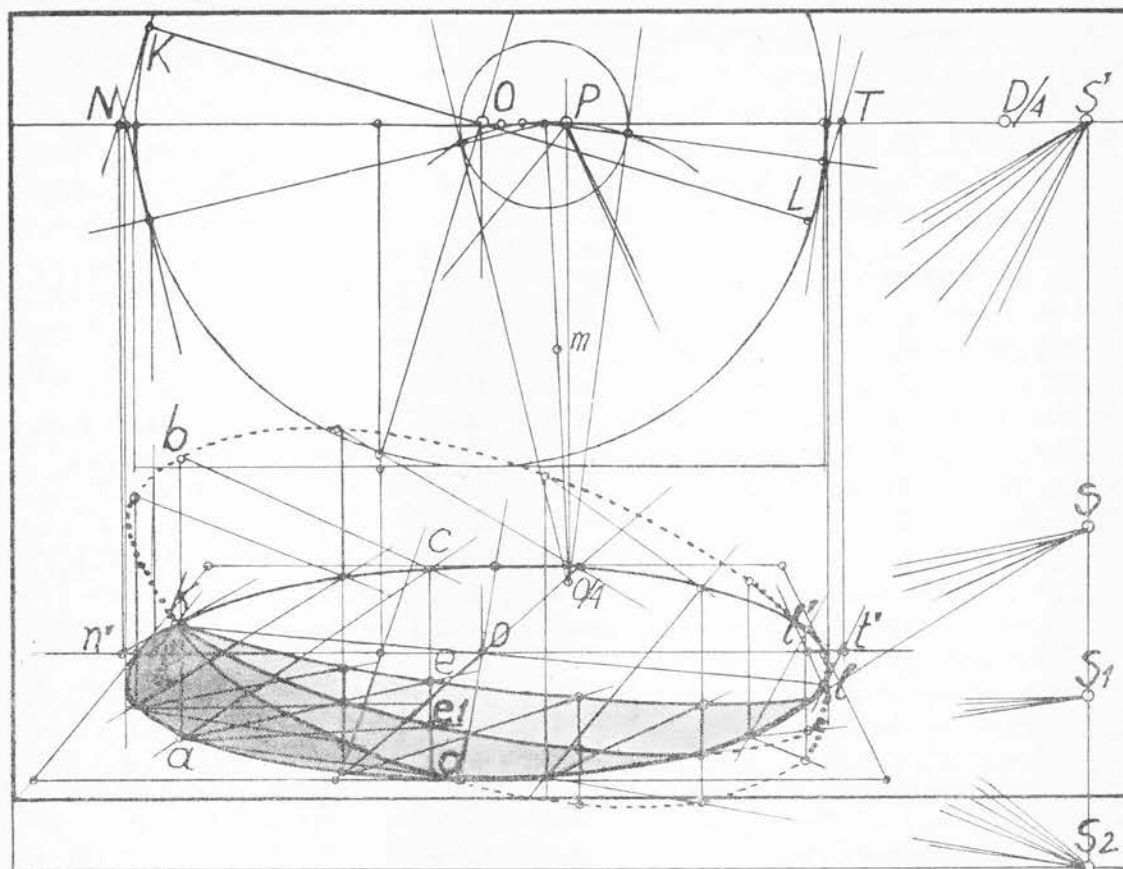


Fig. 78. (6, 68, 70)

cu cilindrul oblic de raze de lumină a cărei directoare este baza superioară a cilindrului dat. Ea se va determina prin puncte cu ajutorul unor plane ajutătoare în care să fie cuprinse razele de lumină. Linia de fugă a acestor plane paralele se va confunda deci cu linia de fugă  $S'S$  a razelor de lumină. Intersecțiile acestor plane cu cilindrul dat vor fi generatoarele  $ab$  și  $cd$  pe care raza de lumină  $Sa$  determină punctul  $e$  de umbră purtată de punctul  $a$  pe peretele interior al cilindrului. Linia curbă continuă care unește punctele  $e$  este o jumătate de elipsă și reprezintă umbra purtată de jumătatea  $kaal$  a bazei superioare a cilindrului dat. În punctele  $k$  și  $l$  razele  $Sk$  și  $Sl$  ca și proiecțiile lor  $S'k$  și  $S'l$  pe planul orizontal al bazei superioare a cilindrului sînt tangente acesteia.

În aceeași figură s-au desenat, demonstrativ, umbrele cilindrului concav cînd imaginea virtuală a soarelui se află în  $S_1$  și  $S_2$  pentru a se putea urmări cum se prezintă elipsa umbrei purtate cînd soarele este mai depărtat ( $S_1$  și  $S_2$ ) sau mai apropiat ( $S$ ) de orizont.

Vom căuta umbra purtată  $a'b'c'd'$  de pătratul  $abcd$  circumscris bazei anterioare a cilindriului (umbra verticalălor  $af$  și  $ce$  pe un plan vertical oarecare) și vom înscrie în acest pătrat umbra bazei anterioare a cilindriului (fig. 79 II). Ducind tangente comune  $ef$  și  $gh$  la această umbră și la baza cilindriului din planul vertical dat, vom obține umbra purtată de cilindru și generatoarele desprăfătoare  $hg$  și  $fe$  dintre partea luminată și partea care rămâne în umbra proprie a cilindriului. Punctele de tangență  $e'g'$   $fh$  și  $eg$  se obțin la capetele diametrelor respective perpendiculare pe direcția umbrei purtate  $A'O'$  prelungită pînă în punctul  $K'$ . Aceste perpendiculare se desenează cu ajutorul a două pătrate  $ic'r'o'$  și  $O'r'd'j$  ale căror laturi  $c'd'$  și  $ij$  sînt paralele cu linia de fugă înăceși-bila a planului vertical oarecare dat, construcție cunoscută (I, 391—395, fig. 435—440).

(51) al umbrelor perpendicularelor pe acest plan.

plan vertical oarecare cu linia de fugă înăceșibilă, nu putem găsi punctul de fugă  $F$

**71. — Umbra cilindriului orizontal, perpendicular pe un plan vertical oarecare.** Pe un Punctele  $b$  se găsesc la intersecția generatoarelor  $ab$  cu razele de lumină  $S$  prelungite. celor doi cilindri: cilindriul orizontal dat, prelungit, și cilindriul oblic de raze de lumină. În figura 79 I s-a desenat cu o linie punctată și a doua jumătate a elipsei intersecției

tatea  $eaag$  a bazei anterioare a cilindriului orizontal dat.

$e$  este o jumătate de elipsă și reprezintă umbra purtată în interiorul cilindriului de jumă-punctul  $a$  pe perețele interior al cilindriului. Linia curbă continuă care unește punctele ratoare  $ab$  și  $cd$  pe care raza de lumină  $Sva$  determină punctul  $e$  de umbră purtată de nul vertical frontal dat. Intersecțiile acestor plane cu cilindriul orizontal dat vor fi gene-vor avea ca linie de fugă direcția  $PSv$  a umbrelor purtate de perpendicularele duse de plarazele de lumină, ca și pentru umbra cilindriului concav vertical (fig. 78). Aceste paralele acestei umbre autoportate se vor folosi aceleași plane ajutoare, în care sînt cuprinse

**70. — Umbra cilindriului concav orizontal de capăt (fig. 79 I).** Pentru determinarea a umbrei purtate de verticala  $CC_1$ .

pectivă a soarelui este înăceșibilă și cînd avem numai raza de lumină  $Cs$  și direcția  $C_1b$  (49). În figura 79 se arată și cum se determină umbra acestui cilindru cînd imaginea pers-apropiate de desenator va fi egală cu diametrul  $fh$  a bazei aflate pe perețele frontal dat pal  $P$  cu imaginea virtuală  $Sv$  a soarelui, (46), iar diametrul  $e'g'$  al umbrei bazei mai brele  $AC'$ ,  $fe'$  și  $hg'$  paralele geometrice cu raza de lumină  $PSv$  care unește punctul princi-rele  $ef$  și  $gh$  desprăfătoare dintre partea din umbră și partea din lumină) vor purta um-lar pe acest plan, se trasează cu ușurință (fig. 79). Axul cilindriului  $CA$  (ca și generația-69. — Umbra purtată pe un plan vertical frontal de un cilindru orizontal, perpendicu-

#### *Umbra cilindriului orizontal pe un plan vertical frontal*

În figura 78 s-a construit, cu o linie punctată, și a doua jumătate a elipsei intersec-țiilor celor doi cilindri: cilindriul dat și cilindriul oblic de raza de lumină cînd izvorul de lumină  $S_2C$  prelungite.



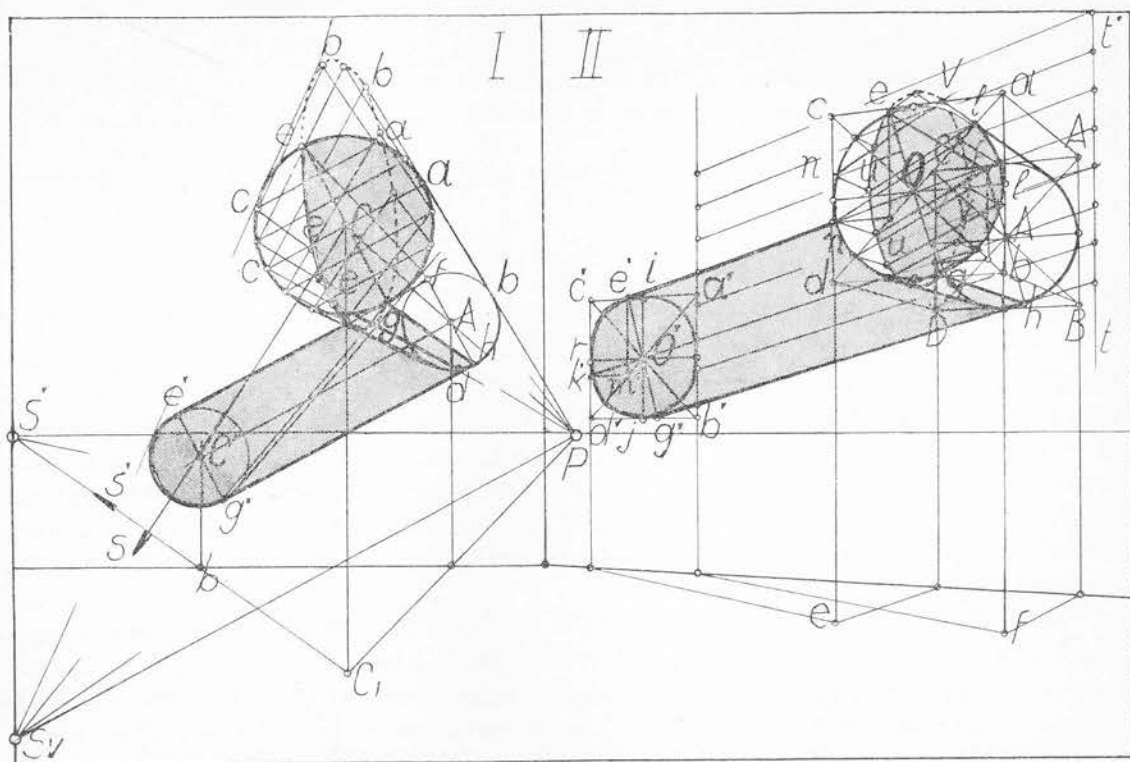


Fig. 79. (6, 69, 70, 71, 72)

Folosim diagonală  $O'd'$ , pe care determinăm punctul  $m'$  ducând, pe planul dat orizontală  $K'm'$ . Verticala ridicată din acest punct determină punctul  $e'$ , capătul perpendicularei  $e'O'g'$  căutate. Cu construcții asemănătoare (dar fără a se mai pune literele corespunzătoare) s-au desenat și perpendicularele  $eg$  și  $fh$  al căror punct de fugă inaccesibil se găsește, foarte departe, pe linia de fugă, inaccesibilă a planului vertical oarecare dat.

**72.** — *Umbra cilindrului orizontal concav nefrontal.* Umbrele  $fe'$ ,  $hg'$  și  $AO'$  (fig. 79 II) sînt paralele între ele și punctul lor de fugă inaccesibil  $F$  se găsește pe linia de fugă inaccesibilă planului vertical oarecare dat, la intersecția ei cu raza care pleacă din punctul de fugă inaccesibil  $F$   $90^\circ$  al perpendicularelor pe planul dat și trece prin imaginea virtuală  $SV$  a soarelui (51).

Avem nevoie de acest punct de fugă inaccesibil  $F$  pentru a desena planele ajutătoare care cuprind razele de lumină cu ajutorul cărora vom putea desena umbra cilindrului concav. În lipsa acestui punct de fugă, între două verticale,  $a'b'$  prelungită, și  $tl'$  vom întocmi o rețea perspectivă utilizînd umbre paralele  $fe'$ ,  $hg'$  și  $AO'$ . Nu e nevoie să explicăm cum se face această operațiune cunoscută (I 328—329, fig. 358—360). Dacă dorim un rezultat mai precis vom folosi scări divergente anume întocmite așa cum se arată mai jos (73).

În figură se vede cum s-a trasat umbra acestui cilindru concav. Generatoarele care trec prin punctele  $l$  și  $n$  care se îndreaptă spre punctul de fugă inaccesibil  $F 90^\circ$  al perpendicularelor pe planul vertical dat, dacă nu se desenează pe o rețea perspectivă cu puncte de egală resecție (223—231) se pot desena cu precizie folosind scări divergente pentru a înscrie cu un număr dat de puncte cercurile  $O$  și  $A$  în pătratele respective  $abcd$  și  $ABCD$ . Punctele  $l$  poartă pe perețele interior al cilindriului umbrele  $u$ . În figură s-a reprezentat cu o linie punctată și a doua jumătate a elipsei intersecției cilindriului dat cu cilindriul oblic de raze luminoase.

### A p l i c a t i i

**73.** — U m b r a a r c a d e i c u s o a r e l e î n s p a t i u l v i r t u a l . Fie  $KKLK'L'V'$  o prismă (pusă în perspectivă, spre exemplu, cu procedul construirii geometralui) în care vrem să înscriem arcada  $lm_1m_2f$  și  $SvS'$  imaginea perspectivă a umbrei situat în spațiul virtual (fig. 80). Pentru a obține imaginea perspectivă exactă a umbrei vom determina prin procedul micșorării direcția pe care o au în spațiu umbrele perpendicularelor pe planul vertical oarecare în care este deschisă arcada.

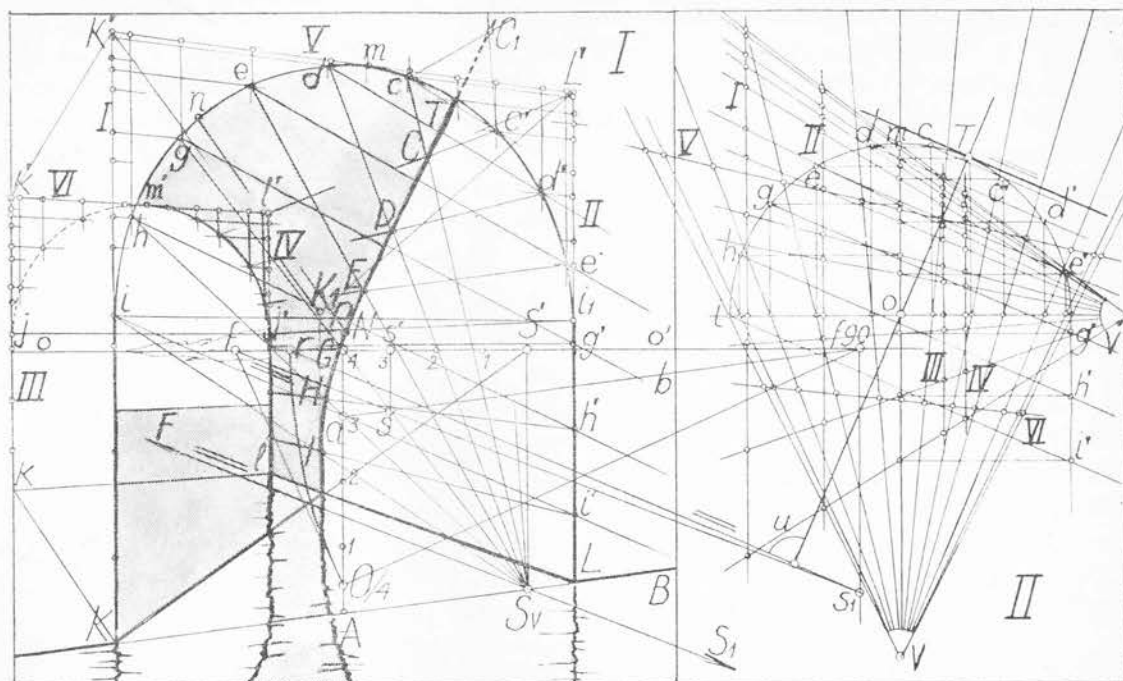
a) Vom lua polul micșorării în punctul principal (I 262) și punctul de vedere micșorat de patru ori în  $0/4$ . În tabloul micșorat dreapta  $af 90^\circ$  (paralela cu dreapta  $KB$ ) reprezintă urma planului vertical oarecare dat și  $0/4 f 90^\circ$  raza lui de fugă. Imaginea micșorată a soarelui se găsește în  $s$  (cu totul înimplător, în această figură  $S$  și  $s$  se găsesc pe urma planului dat). Construind în punctul de vedere micșorat unghiul drept  $f 90^\circ 0/4 f$  determinăm punctul de fugă  $f$  al generatoarelor arcadelor. Raza  $fs$ , prelungită, determină la intersecția ei cu verticala coborâtă din  $f 90^\circ$  punctul de fugă  $s_1$  al umbrelor perpendicularelor pe planul dat. Direcția în spațiu a acestor umbre se află în  $rs_1$  (punctul de egală resecție  $r$  s-a determinat luând pe linia orizontului segmentul  $f 90^\circ r$  egal cu raza de fugă  $0/4 f 90^\circ$ . Vom folosi această direcție pentru întocmirea scărilor divergente (fig. 80, II).

Prin centrul  $O$  al semicercului luat în figura 80 II ducem o perpendiculară pe direcția  $s_1r$  pentru a preciza punctul de tangență  $T$  al acestei direcții. Prin punctele  $c, d, e, g, h$  și  $i$  luate pe semicerc (dacă vrem la distanțe egale), ducem dreptele paralele la  $s_1r$  pentru a găsi în  $c', d', e', g', h'$  și  $i'$  punctele lor de intersecție cu cercul luat.

Acste puncte nu sînt simetrice față de mijlocul  $m$  al semicercului. Va trebui deci să înlocuim două scări divergente ca și în cazul cînd diviziunile cercului au numai un ax de simetrie (I, 495, fig. 556—559).

b) *Întocmirea scărilor divergente.* Proiectăm toate punctele de pe semicerc pe diametrul orizontal și din  $V$  ducem razele scărilor divergente corespunzătoare. Proiectăm aceleași puncte și pe diametrul vertical  $mV$  și din  $V'$  ducem razele celelalte scări divergente.

c) *Folosirea scărilor divergente cu banda de hirtie e arătată în figură.* Pe benzile verticale I, II, III și IV s-au luat punctele de pe verticalele  $KlK', LlL', kjk'$  și  $ij'V'$ . Pe scara divergentă benzile au fost astfel așezate încît punctele  $i, i_1, j$  și  $j'$  să se situeze pe diametrul orizontal  $V_1$  iar punctele  $K', L', k'$  și  $l'$  pe marginea superioară a scărilor divergente.



Punctul de tangență  $T$  de pe semicercul firidei, al umbrei autoportate de arcu de cerc  $Tde$  în figura 82 a fost determinat ca în cazurile precedente (fig. 80) cu procedul micșorării. Dar acest punct se poate afla și cu procedul a două pătrate (I 391—

Fig. 81. (54, 74)

Fig. 81. (54, 74)

Fig. 81. (54, 74)

Fig. 81. (54, 74)

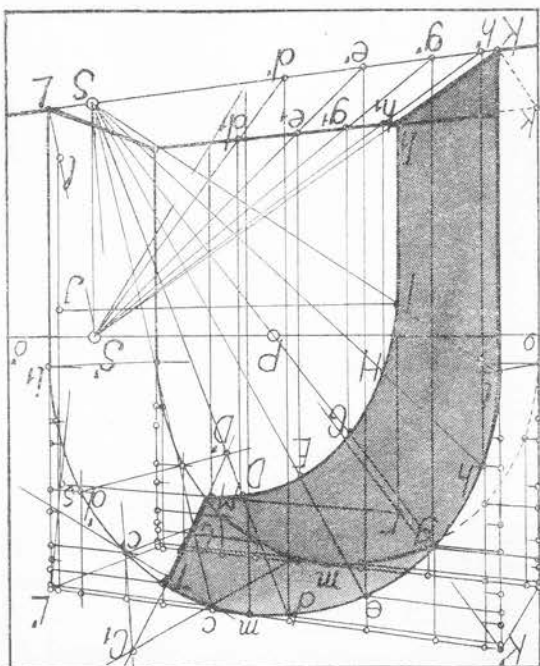


Fig. 81. (54, 74)



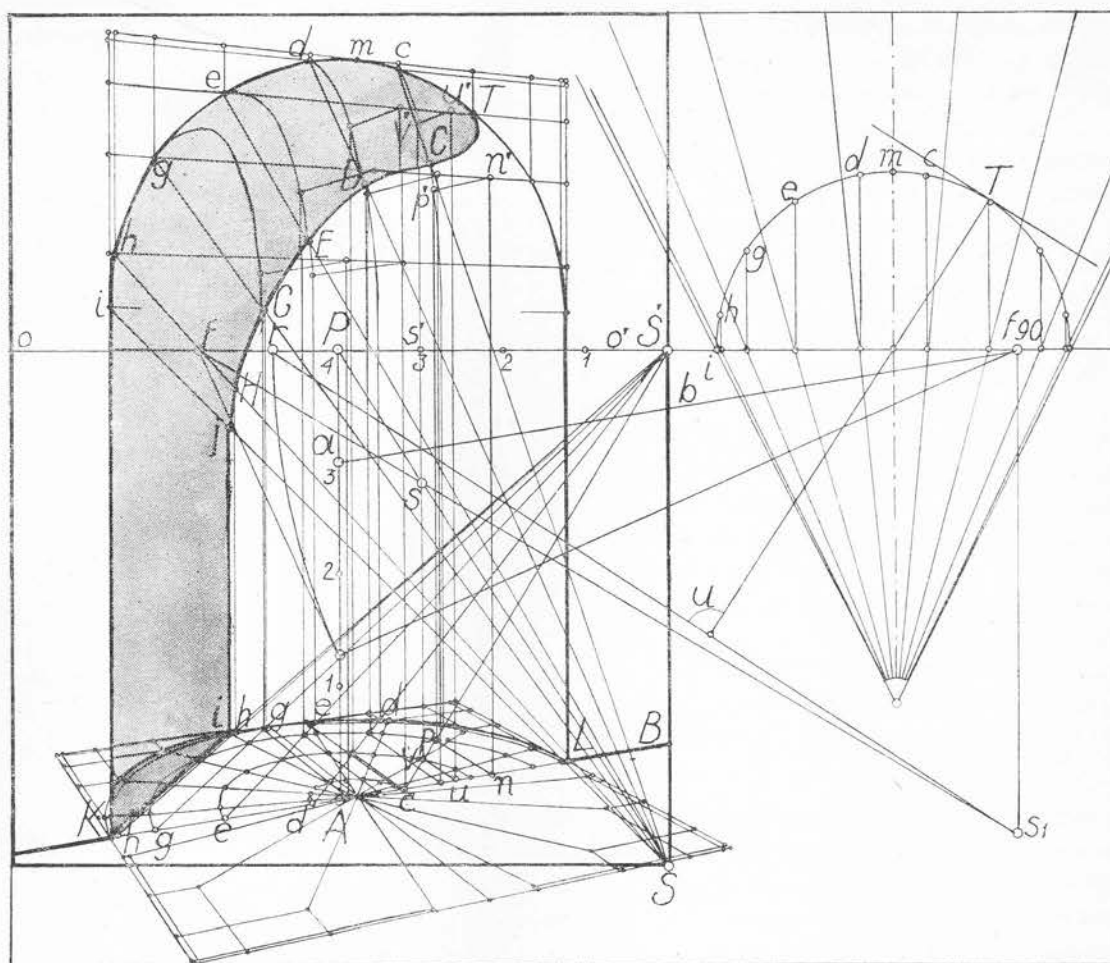


Fig. 82. (75)

—395 fig. 435—440) desenate pe planul vertical în care se adîncește firida, cum se arată în figura 83. Luăm un segment de dreaptă  $Ca$  perpendicular pe planul vertical oarecare dat, în centrul  $C$  al semicercului firidei și proiecția lui  $C'a_1$  pe planul obiectelor. Determinăm umbra lui purtată  $Ca'$  (verticala  $aa_1$  poartă umbra  $a_1a_2S$  pe planul obiectelor și  $a_2a'$  pe planul vertical). Umbra purtată  $Ca'$  întretaie marginea verticală a firidei în punctul  $i$ . În pătratele  $Crcu$  și  $Crc'u'$  pentru a duce din  $C$  o perpendiculară pe umbra purtată  $Ci$  vom folosi diagonala  $Cu'$  a pătratului  $Crc'u'$ . Orizontala  $im$  și verticala  $mn$  determină în  $Cn$  perpendiculara căutată care întretaie semicercul firidei în punctul de tangență  $T$ .

Pe peretele vertical cilindric al firidei umbra muchiei verticale  $kl$  și al începutului arcului  $le$  poartă umbra  $l_1l'e'$ .

Pe sfera concavă vom căuta umbra purtată punct cu punct luînd intersecția  $d'$ ,  $b'$  etc. a razelor de lumină care trec prin punctele  $d$ ,  $b$  etc. ale arcadei cu arcele de cerc în care firida este secționată de planele respective de umbră  $dd_1d_2$ .

[illegible]

76. — Umbra arca-  
dei cu soarele în spa-  
țiu real. În figura 84, în  
care soarele  $S'$  se află în spațiul  
real, pentru a determina umbra  
 $TM$  purtată de segmentul de  
circumferință  $Tmc$  pe intradosul  
arcadei și umbra  $CDEI$  purtată  
de segmentul de circumferințe  
 $ede$  pe planul vertical oarecare  
perpendicular pe planul arcadei  
date, s-au folosit aceleași procedee  
ca în figura 80, în care soarele  
 $SbS'$  se află în spațiul virtual.

(a) Pentru a afla direcția  
în spațiu  $rs_1$  a umbrelor perpen-  
dicularelor pe planul arcadei date,  
măsurarea, în jurul punctului  
principal  $P$  s-a făcut la o optime.  
Punctul lor de fugă  $s_1$ , pe linia  
de fugă care trece prin punctul de  
fugă  $f$   $90^\circ$  s-a găsit prelungind  
obiectelor.

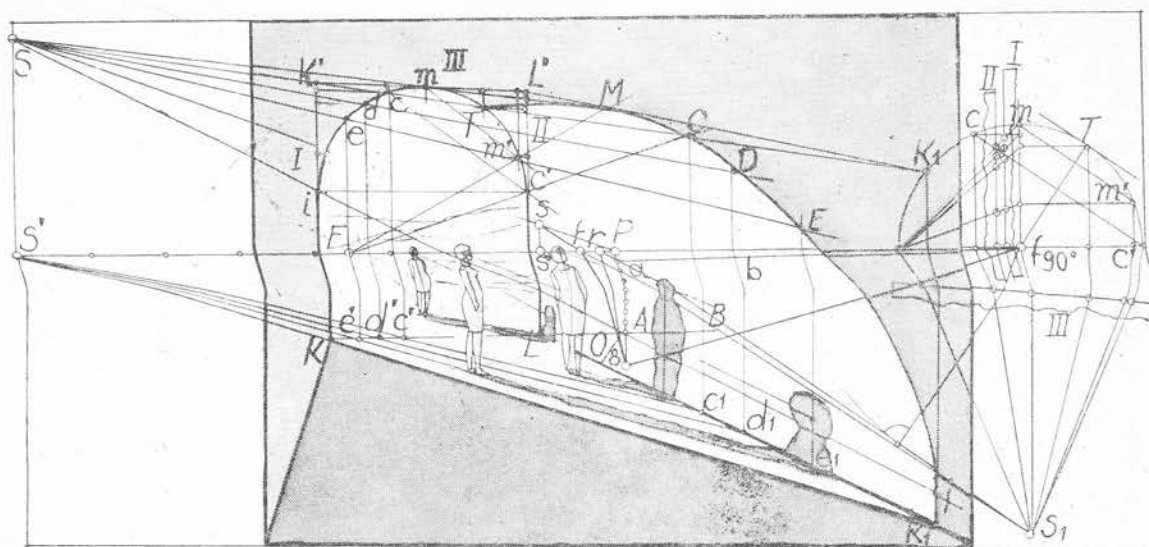


Fig. 84. (76)

d) Umbra purtată pleacă din punctul de tangență  $T$ . Punctele  $M$  și  $C$  s-au determinat la intersecția generatoarelor  $Fm'$  și  $Fc'$ , prelungite, cu razele de lumină  $Sm$  și  $Sc$  prelungite. În  $c$  se termină segmentul de elipsă al umbrei  $TMC$  purtat de segmentul de circumferință  $Tmc$  pe intradosul arcadei.

e) În continuare segmentul de circumferință  $cdei$  poartă umbră pe un plan vertical oarecare, perpendicular pe planul dat. Această umbră  $CDEI$  se trasează fie punct cu punct, fie înscriind-o în umbra  $L'K_1c'I$  a dreptunghiului  $c'L'K'i$  (73).

### Umbra conului

Înainte de a studia umbra conului dăm unele precizări asupra conturului aparent al acestui corp de rotație.

#### Conturul aparent al conului

77. — Pentru a obține conturul aparent al conului este suficient să cunoaștem punctele  $A'$  și  $E'$  (fig. 85 și 145) în care generatoarele conturului aparent sînt tangente la baza circulară a conului. Procedeu pentru determinarea acestor puncte de tangență este același, indiferent dacă vârful conului  $V$  se situează deasupra sau dedesubtul liniei orizontului. Se schimbă numai înfățișarea construcțiilor care se situează în partea opusă a liniei orizontului, cum se vede în figura 85, în care s-au putut pune aceleași litere în ambele cazuri. Explicațiile ce urmează se pot urmări mai ușor cînd vârful conului este sub linia orizontului (în partea dreaptă a figurii).

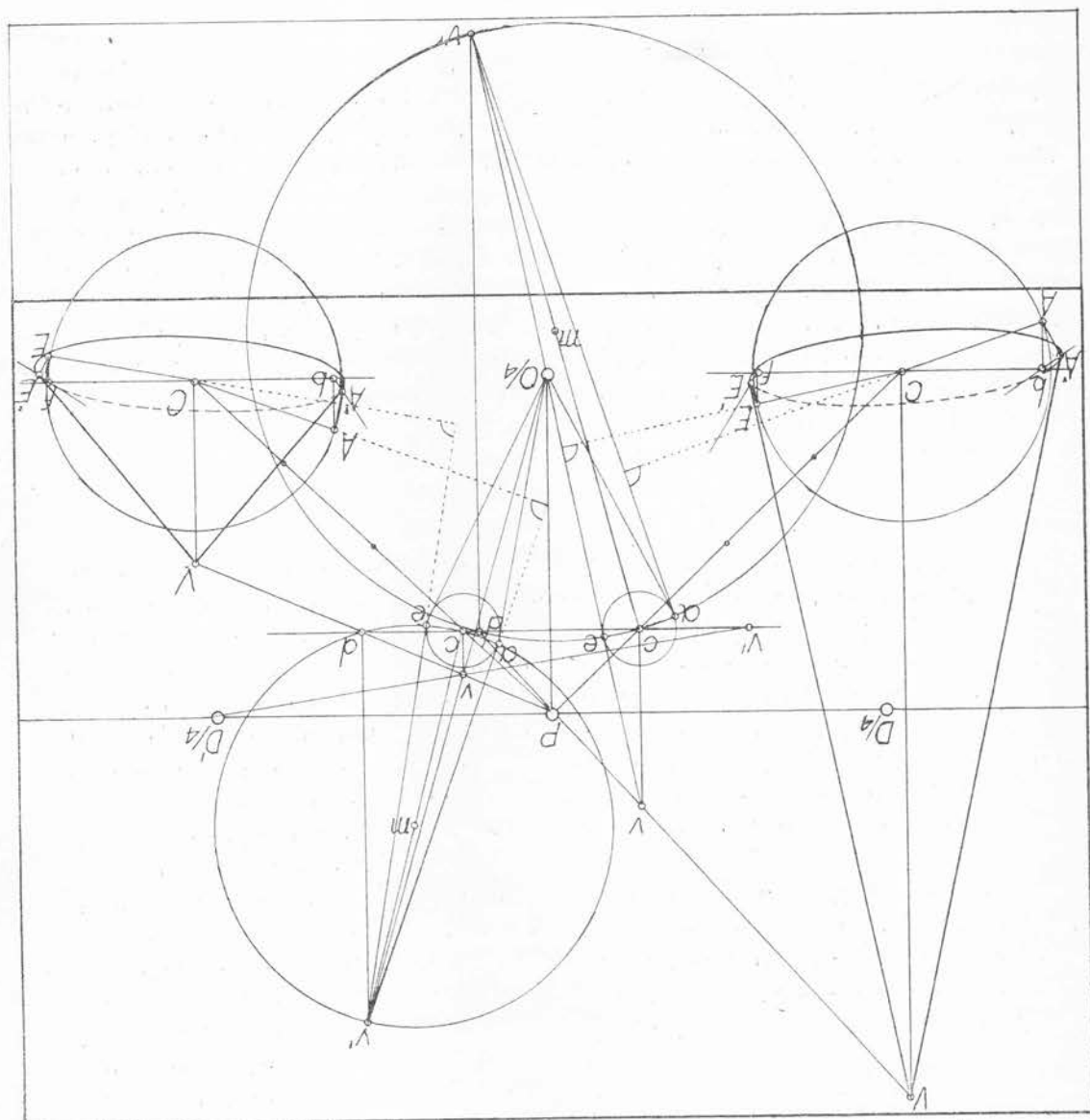


Fig. 83. (77, 140)

Fig. VC înălțimea conului dat. Desenăm geometralul bazei cu centrul în punctul C și cu raza dată.  
 Pe dreapta de capăt CP cu centrul în punctul c, luăm la o pătrime a acestei drepte, desenăm același geometral, micșorat de patru ori. Determinăm în  $vc$  și înălțimea micșorată a conului dat, cu ajutorul dreptei de capăt VP.



În figura astfel micșorată, punctul  $v$  reprezintă vârful conului (deasupra sau dedesubtul liniei orizontului). Dar dacă presupunem că în punctul de vedere (aci micșorat de patru ori  $0/4$ ) s-ar afla un izvor de lumină, punctul  $v$  ar fi în același timp și umbra purtată pe planul obiectelor de vârful conului.

După cum am construit pe axa orizontală  $cc$  geometralul bazei conului, să construim pe aceeași axă și geometralul vârfului acestei „umbre purtate”. În acest scop ducem dreapta de capăt  $Pv$  și o prelungim pînă la intersecția ei cu axa luată în punctul  $d$ . Pe perpendiculara dusă din acest punct pe axa de rotație, lungimea, în geometral, a dreptei de capăt  $vd$  se află dintr-o dată folosind ca punct de distanță punctul de vedere  $0/4$  în locul punctului de distanță  $D'/4$ . (În figură se vede că lungimea  $dv'$  obținută cu dreapta  $0/4$   $vv'$  este egală cu lungimea  $dv''$  obținută cu dreapta  $D'/4$   $vv''$ .)

Ne este ușor să desenăm în geometral și „umbrele” generatoarelor conturului aparent, ducînd din vârful  $v'$  tangente la cercul bazei. Punctele de tangență  $d$  și  $e$  se găsesc la intersecțiile acestui cerc cu cercul trasat din punctul  $m$  luat la mijlocul „umbrei”  $cv'$  a axului conului, cu raza  $mc$  și  $mv'$ . La aceste puncte de tangență ducem și razele vizuale  $0/4a$  și  $0/4e$ .

În continuare, transpunerea în perspectivă a acestor elemente aflate în geometralul micșorat se face direct în figură dată.

Din centrul  $C$  al bazei cedate se duc razele  $CA$  și  $CE$  perpendiculare pe „umbrele” purtate de generatoarele conturului aparent  $v'a$  și  $v'e$  pentru a determina în geometral punctele de tangență  $A$  și  $E$  din care ducem perpendicularele  $Ab$  și  $Ef$  pe axa de rotație. Prin punctele  $b$  și  $f$  ducem drepte de capăt pînă la intersecția lor  $A'$  și  $E'$  cu razele vizuale  $AA'$  și  $EE'$  care se duc paralele cu razele vizuale  $0/4a$  și  $0/4e$  din figura micșorată. Punctele  $A'$  și  $E'$  astfel determinate sînt imaginea perspectivă a punctelor în care generatoarele  $VA'$  și  $VE'$  ale conturului aparent sînt tangente imaginii perspective a bazei circulare a conului. Aceasta se desenează, după cum știm, cu ajutorul scării divergente, înseriind-o într-un pătrat orientat frontal, construit pe diametrul dat.

### *Umbra conului vertical*

**78.** — Vom determina întîi umbra purtată de con și cu ajutorul ei vom trasa apoi umbra lui proprie, cum s-a procedat și pentru umbrele cilindrului (fig. 76).

*Umbra purtată.* Umbra  $V'$  purtată de vârful  $V$  al axului  $CV$  al conului se determină ca umbra oricărei verticale, în perspectivă directă sau inversă. În continuare umbra purtată de con se obține ducînd din  $V'$  tangente la baza conului. Punctele de tangență  $h$  și  $i$  se precizează prin procedeul construirii geometralului (I 279—280, 287, fig. 312) cum se arată în figura 85 bis.

*Geometralul umbrei  $CV'$ .* Din  $V'$  ducem dreapta de capăt  $V'P$  și dreapta  $V'D'/4$  obținînd în  $v$  și  $n$  punctele lor de intersecție cu orizontala frontală dusă din  $C$ . Pe verticala ridicată din  $v$  luăm de patru ori segmentul  $vn$ . Geometralul umbrei este dreapta  $CV_1$ .

*Geometralul bazei conului* se obține desenînd un cerc cu centrul în  $C$  și cu raza  $CA$  sau  $CB$ .

*Geometralul punctelor de tangență  $h'$  și  $t'$  se obține la intersecțiile bazei cu cercul al cărui centru se ia în mijlocul  $m$  al geometralului umbrei  $CV_1$ . Într-adevăr dreptele  $V_1h'_i$  și  $V_1t'_i$  sunt geometralul tangențelor căutate.*

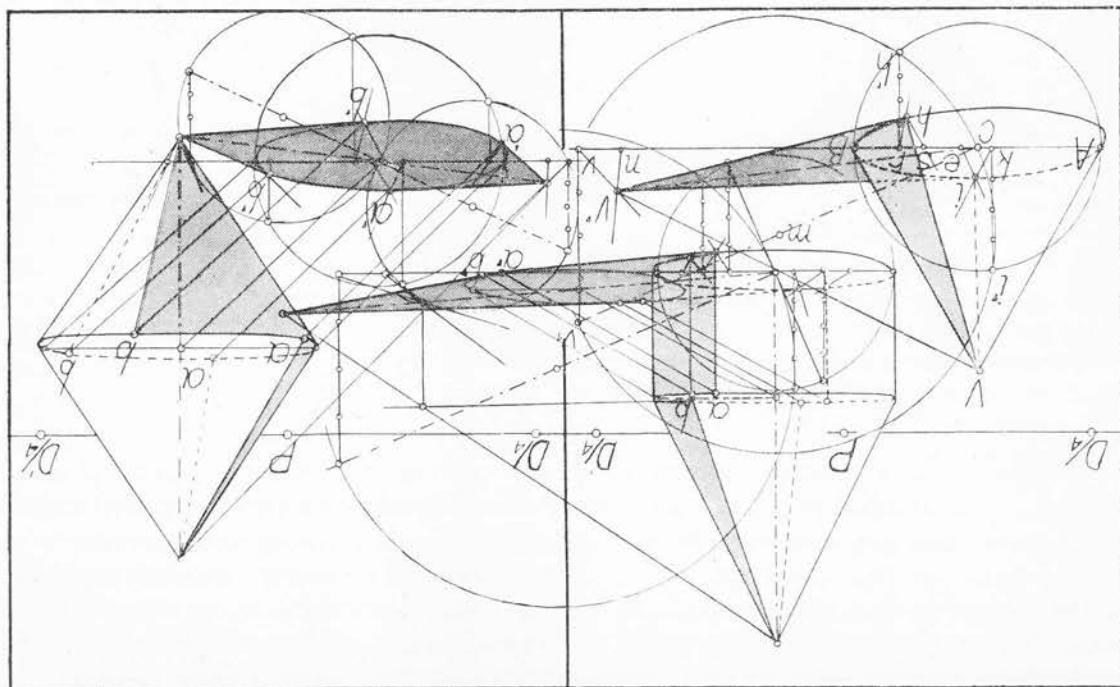
*In perspectivă.* Ducem din  $h'$  și  $t'$  perpendicularele  $h'r$  și  $t'k$  pe axul  $Co$ . Pe acest ax luăm segmentul  $rs$  egal cu o pătrime din  $h'r$  și segmentul  $ke$  egal cu o pătrime din  $t'k$ . Intersecțiile  $h$  și  $i$  ale dreptelor de capăt  $Pr$ , prelungită, și  $Pk$  cu dreptele  $D/fs$ , prelungită și  $D/fe$  sunt punctele de tangență căutate.

*Umbra proprie.* Tangentele  $V'h$  și  $V'i$  sunt umbrele purtate de două generatoare  $hV$  și  $iV$  ale conului care constituie pe suprafața conică liniile despărțitoare dintre partea luminată și partea care rămâne în umbră. Spre deosebire de cilindru, pe con partea luminată e întotdeauna mai mare decît partea din umbră.

Din această cauză umbrele proprii ale unui cilindru și ale unui con care au aceeași bază și același ax nu se racordează, după cum se vede în figura 85 bis. Ca urmare între umbra purtată a cilindrului și umbra purtată a conului se intercalează un segment  $a'b'$  de umbră purtată de baza circulară comună a celor două corpuri de rotație.

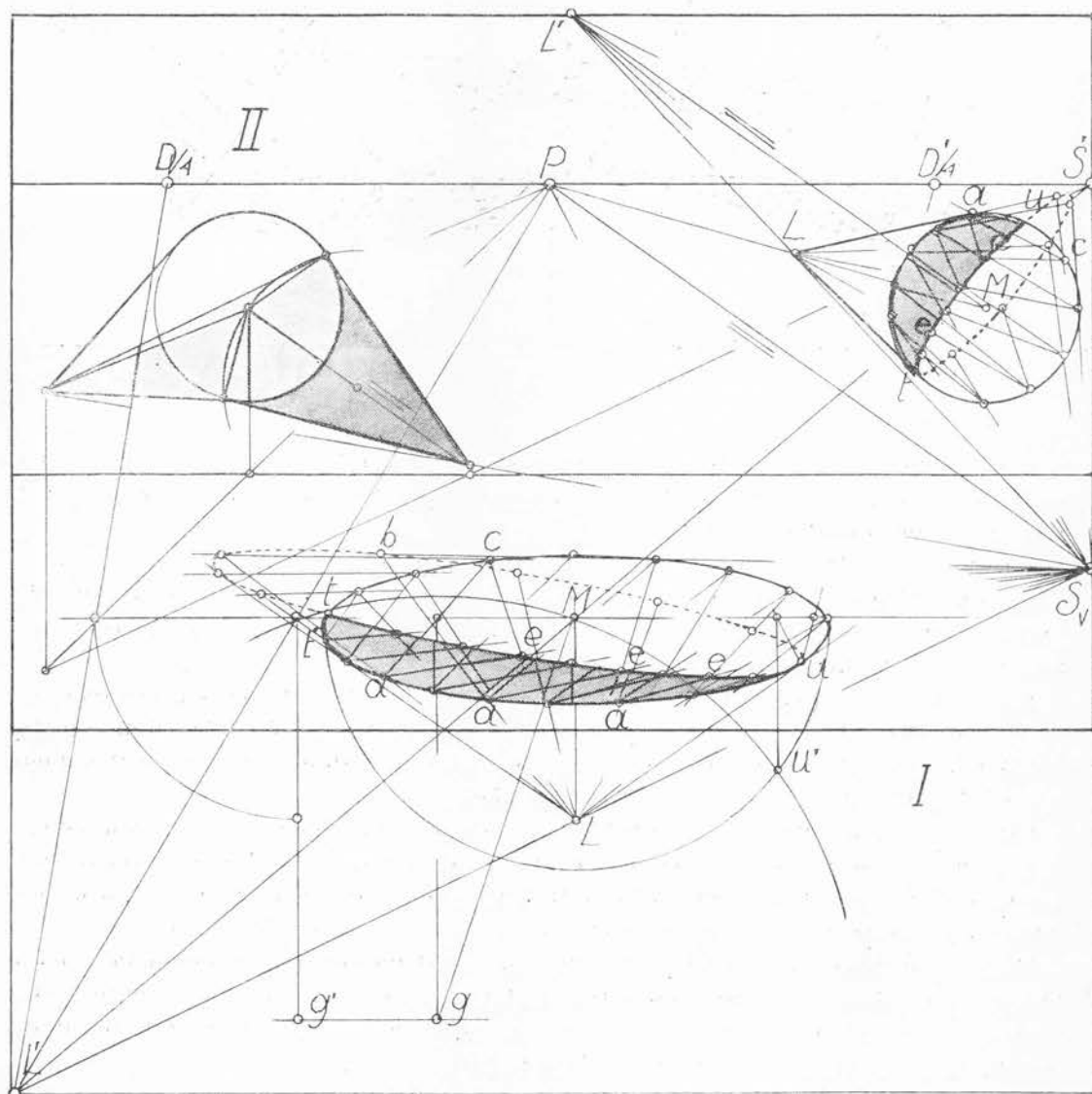
Dacă avem două conuri cu baza comună, în conul inferior partea luminată e întotdeauna mai mică decît partea din umbră (fig. 85 bis). Rezultă că în acest caz între umbra purtată de conul inferior și de cel superior se intercalează un segment  $a'b'$  de umbră purtată de baza circulară comună a celor două conuri.

Fig. 85. bis (78)



79. — *Umbra conului vertical concav (cu vârful în jos).* Pentru determinarea umbrei purtate în interiorul conului vertical concav (cu vârful în jos) planele ajutătoare, în care să fie cuprinse razele de lumină, vor trebui să treacă prin vârful conului. În consecință va trebui să găsim în prealabil umbra purtată  $L'$ , pe planul orizontal, de vârful conului  $L$ . Aceasta se găsește la intersecția direcției  $S'M$ , prelungită, cu raza  $SvL$ , prelungită. Intersecțiile planelor ajutătoare cu conul dat vor fi generatoarele  $aL$  și generatoarele  $cL$  pe care razele de lumină  $aSv$  determină punctul  $e$  de umbră purtată de punctul  $a$  în concavitatea co-

Fig. 86. (79, 80)



## Umbrella Sterei

**80.** — Planele ajutoare trebuie să treacă prin vârful conului (fig. 86 sus dreapta). Umbra purtată  $L'$  de vârful conului concav dat pe planul frontal se găsește la intersecția direcției  $ML'$ , paralela cu direcția  $SpP$  (46) cu raza de lumină  $SoL$ , prelungită. Restul lucrării pentru determinarea umbrei *leu* se face ca pentru conul concav vertical (79).

**81.** — *Umbra conului concav cu axul orizontal oarecare pe un plan vertical oarecare* (fig. 87). Deși punctul de fugă al umbrelor perpendicularelor pe planul vertical oarecare dat este inaccesibil, umbra  $L'$  purtată de vârful conului  $L$  pe planul obiectelor, prelungită până la intersecția  $S'l$  prin proiecția  $l$  a vârfului  $L$  pe planul obiectelor, umbră  $SoL$ , prelungită. În continuare operațiunile se fac la fel ca pentru conul concav cu axul de capăt.

tersecția razelor de lumină Soc, prelungite, cu generatoarele La, prelungite. *Umbra cunului cu axul de capăt pe un plan vertical frontal nu pune nici o problemă nouă* (fig. 86 II).

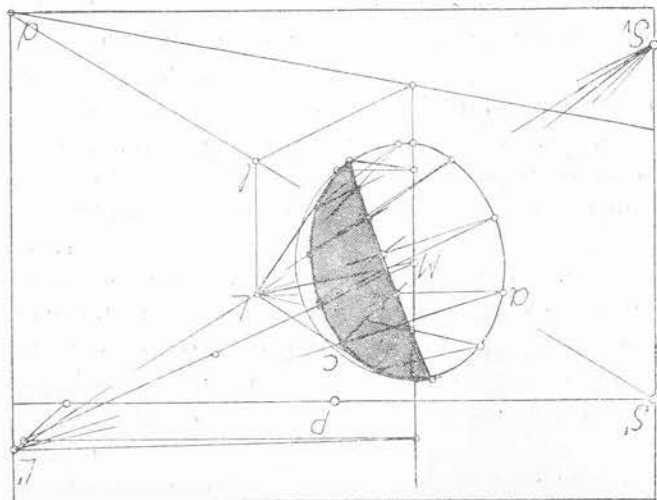


Fig. 87. (81)

unui. Linia curbă continuă care unește punctele  $e$  este un segment de elipsă și reprezintă umbra purtată de segmentul de circumferință  $laan$ . În punctele  $l$  și  $u$  urmele planelor ajutatoare  $L/l$  și  $T/u$  sint tangente la baza conului.  $T/u$  sint tangente la baza conului. (În figură se vede cum au fost determinate aceste puncte de tangență cu ajutorul punctelor  $l'$  și  $u'$  prin construirea geometrală-ului. Se arată cum s-a găsit centrul  $q$  ală a construi în înțregime geometralul urmei  $ML$ .)

În figura 86 s-a construit



e mai mică decât raza sferei. Imaginea perspectivă a acestui cerc este o elipsă sau eventual un cerc.

Dacă axul conului de raze vizuale este perpendicular pe planul tabloului, atunci când, întâmplător, centrul sferei se află pe raza vizuală principală, imaginea perspectivă a sferei va fi un cerc (secțiune dreaptă printr-un con circular drept). Dacă axul conului nu este perpendicular pe planul tabloului, centrul sferei aflându-se pe orice altă rază vizuală, imaginea perspectivă a sferei va fi o elipsă (secțiune oblică printr-un con circular drept).

În orice caz imaginea perspectivă a conturului aparent al sferei va fi puțin mai mare decât imaginea perspectivă a cercului mare frontal al sferei respective. De fapt, raza cercului de tangență a conului de raze vizuale este mai mică decât raza sferei dar imaginea acesteia e mai mică fiind mai depărtată de punctul de vedere, așa cum se vede în figurile 88, 89 și 90.

Când cunoaștem imaginea perspectivă a centrului sferei și a razei ei putem desena imaginea perspectivă a sferei, sprijinindu-ne pe procedeul micșorării, cum s-a arătat și pentru imaginea perspectivă a conturului aparent al cilindrului.

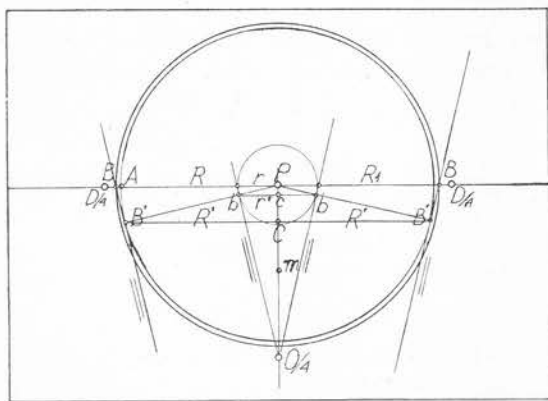
a) Când centrul sferei date se află în punctul principal  $P$  (fig. 88). Fie  $R$  imaginea perspectivă a razei  $PA$  cu care s-a desenat cercul mare frontal al sferei date. Micșorăm de patru ori față de punctul principal, luat ca pol, această rază și desenăm cercul mare frontal al sferei micșorate. Din punctul de vedere micșorat de patru ori  $O/4$  ducem tangentele  $O/4 b$  la acest cerc. Punctele de tangență  $b$  se găsesc la intersecția cercului sferei cu cercul al cărui centru se află în mijlocul  $m$  al distanței principale  $m$  micșorate și a cărui rază este egală cu jumătatea acestei distanțe. În felul acesta, s-a obținut raza micșorată  $r'$  a bazei circulare a conului vizual  $O/4 bb$ , rază mai mică decât aceea a sferei.

Transpunem rezultatul obținut în figura micșorată. Punctele de tangență  $B'$  se găsesc prelungind razele  $Pb$  pînă la intersecția lor cu cercul mare frontal al sferei date. Ducînd prin aceste puncte tangente paralele cu razele vizuale  $O/4b$  sau perpendiculare pe razele

$PB'$  obținem la intersecția lor cu linia orizontului punctele  $B$ . Am obținut astfel în  $PB$  imaginea perspectivă a razei  $CB'$  a cercului conturului aparent al sferei date. Cu această rază  $R_1$  desenăm imaginea perspectivă a sferei date, imagine puțin mai mare decât aceea a cercului mare frontal al sferei date, așa cum s-a spus mai sus.

b) Când centrul sferei date nu se află în punctul principal, imaginea perspectivă a cercului conturului ei aparent va fi, cum s-a spus, o elipsă al cărei ax mare  $A_1B_1$ , prelungit, va trece prin punctul principal  $P$  (fig. 89).

Fig. 88. (82)



Acastă elipsă se obține cu precizie, repetind pe numărul dorit de diametre ale sferei, construcția prin care, pe diametrul unui cilindru circular, determinăm conturul aparent al acestui corp de revoluție. Ca și pentru cilindru (fig. 76), într-o figură micșorată, ducind din punctul de vedere raze vizuale tangente cercului, corespunzătoare fiecărui diametru, vom determina, la intersecția lor cu planul tabloului, punctele respective ale conturului aparent.

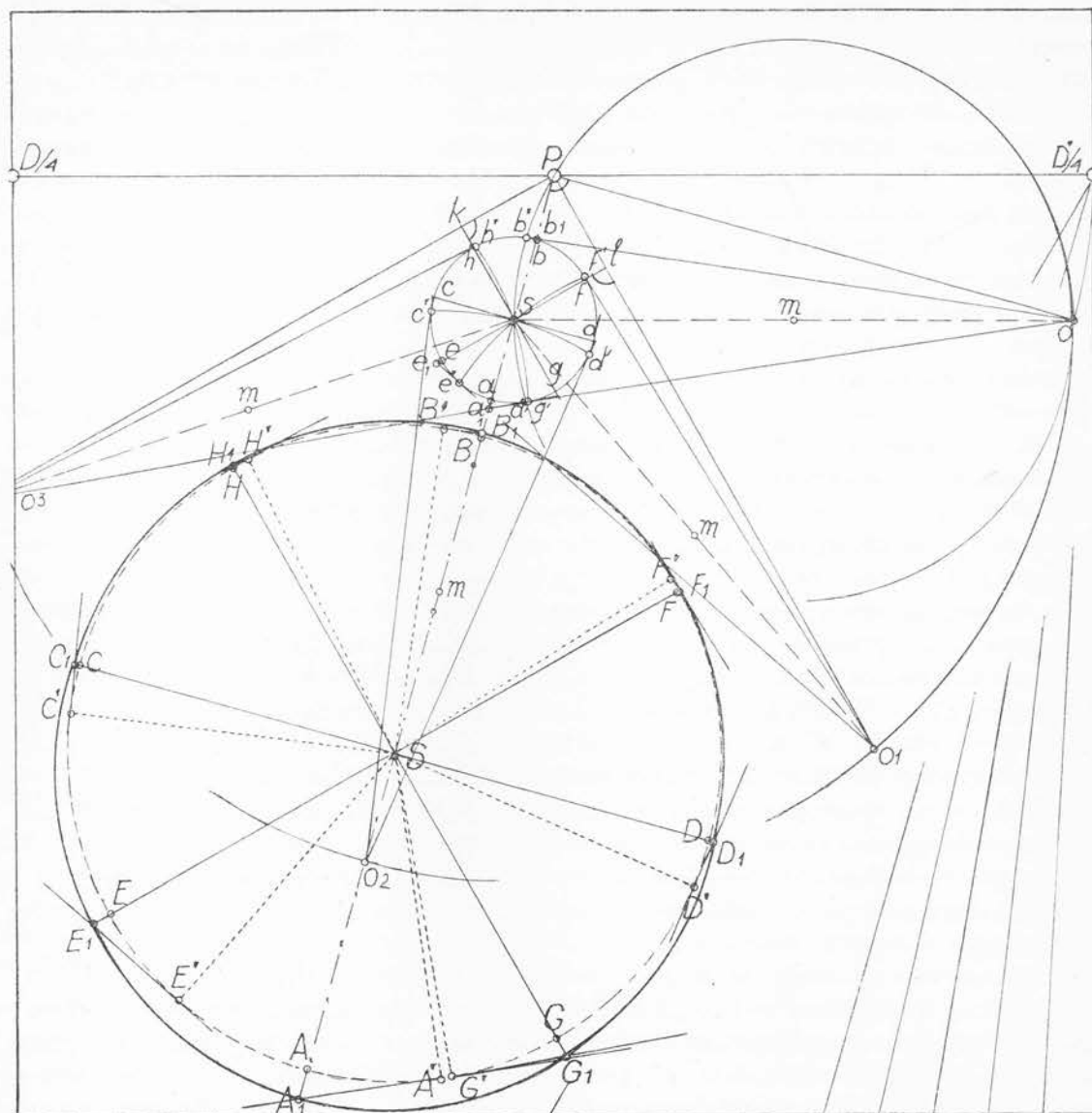
În figura 89 fie  $S$  centrul sferei date al cărei cerc mare frontal este desenat printr-o linie întreruptă. Împărțim în patru părți egale dreapta de capăt  $SP$  pe care se va afla axul mare al elipsei conturului aparent și în punctul  $s$ , la capătul pătrimii mai aproape de punctul principal, ca centru, desenăm imaginea micșorată de patru ori a sferei date.

În figura micșorată, pe lângă diametrul  $ab$  care va determina axul mare al elipsei, luăm numărul de diametre dorit, de exemplu diametrele  $cd$ ,  $ef$  și  $gh$  care fac între ele unghiuri de  $45^\circ$ . Pe aceste diametre prelungim ducem perpendicularare din punctul principal:  $PO$  perpendiculară pe diametrul  $ab$ ;  $PO_1$  perpendiculară pe diametrul  $ef$ ,  $PO_2$  perpendiculară pe diametrul  $gh$ ; perpendiculară  $PsS$  pe diametrul  $cd$  este deja desenată. Pe aceste perpendiculare urmează să rabatem punctul de vedere redus la o pătrime, corespunzător fiecărui diametru.

Pe perpendiculara dusă pe diametrul  $ab$ , punctul de vedere  $o$  se găsește luind cu un arc de cerc segmentul  $PO$  egal cu segmentul  $PD'/f$ . Raza vizuală  $os$  ne dă distanța la care se găsește, în figura micșorată, centrul sferei față de punctul de vedere. Cu un arc de cerc cu raza  $so$ , determinăm dintr-o dată pe celelalte perpendiculare punctele de vedere  $o_1$  pentru diametrul  $ef$ ,  $o_2$  pentru diametrul  $cd$  și  $o_3$  pentru diametrul  $gh$ . Din aceste puncte de vedere ducem în figura micșorată raze vizuale tangente cercului mare al sferei date. Punctele de tangență  $a'$  și  $b'$ ,  $c'$  și  $d'$ ,  $e'$  și  $f'$ ,  $g'$  și  $h'$  se găsesc ducind arce de cerc cu centrul în punctele  $m$  situate în mijlocul dreptelor  $os$ ,  $o_1s$ ,  $o_2s$  și  $o_3s$  și cu raza  $ms$ . Nu este necesar ca în figura micșorată să determinăm punctele  $a_1$ ,  $b_1$ ,  $c_1$  etc. de pătrunderă a acestor tangente în planul tabloului: aceste puncte de contur aparent se vor determina dintr-o dată în figura nemicșorată.

Cu ajutorul echerelor ducem din centrul sferei  $S$  raze perpendiculare  $SA'$ ,  $SB'$ ,  $SC'$  etc. pe razele tangente  $aa'$ ,  $ob'$ ,  $oc'$  etc. (desenate cu linii punctate) care reprezintă cor- zile arcelor de cerc  $sa'$ ,  $sb'$ ,  $sc'$  etc. din figura micșorată. Din punctele astfel determinate  $A'$ ,  $B'$ ,  $C'$  etc. ducem paralele geometrice la razele tangente  $a'o$ ,  $b'o$ ,  $c'o$  etc. pînă la intersecția lor  $A_1$ ,  $B_1$ ,  $C_1$  cu diametrele  $SA$ ,  $SB$ ,  $SC$  etc. prelungite. Acestea sînt punctele prin care trece conturul aparent al sferei și în care tangentele la elipsă sînt perpendiculare pe diametrele respective.

Figura 89, în care linia orizontului este la 1,70 m deasupra planului obiectelor, ne arată înfățișarea teoretică a conturului aparent al unei sfere cu un diametru de 1,24 și al cărei centru se află la o depărtare relativ mică de 4,12 m de desinator. Imaginea, în care axul mare al elipsei conturului aparent este mai lung față de diametrul sferei date, cu circa a nouăsprezecea parte din acest diametru, trebuie privită de la nivelul liniei orizontului și de la o depărtare de 29 cm.



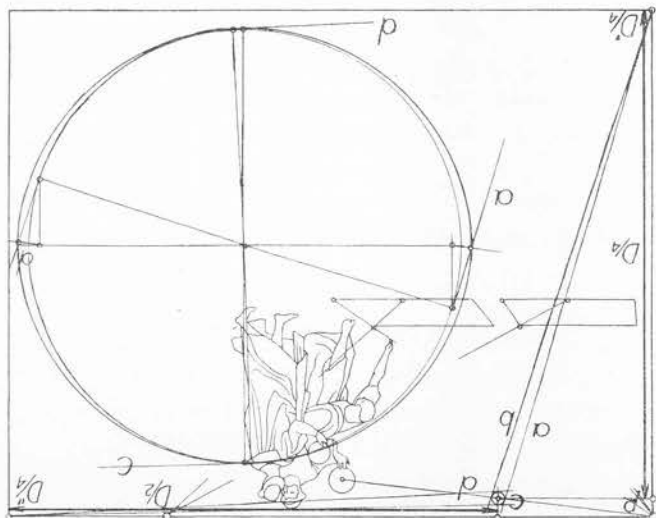
87. — Razele solare, considerate paralele, tangente unei sfere, indiferent de orientarea lor din spațiu, sint generatoarele unui cilindru. Curba punctelor de tangență ale genera-toarelor este un cerc mare al sferei, perpendicular pe axul cilindricului. Acest cerc este linia despărțitoare dintre emisia luminată și aceea care rămâne în umbră.

În consecință, umbra proprie a sferei va fi precizată de imaginea perspectivă a cer-cului mare, perpendicular pe razele solare. Această imagine va fi o elipsă sau — eventual — un cerc numai dacă centrul sferei și imaginea perspectivă reală sau virtuală a soarelui se confundă cu punctul principal al tabloului. Umbra purtată de sferă va fi — în spațiu — umbra purtată de acest cerc, adică intersecția unui cilindru cu un plan: o elipsă sau un cerc numai dacă planul respectiv este perpendicular pe razele solare. Imaginea acestei umbre purtate va fi o elipsă sau — eventual — un cerc numai dacă centrul sferei și imagi-nea perspectivă virtuală a soarelui se confundă cu punctul principal.

### Umbra sferei

bloului înscris în câmpul de viziune clară al ochiului uman. Potrivit mărimii tabloului, a locului sau a locurilor de unde poate fi privit și de mărimea și poziția sferei în compoziție față de punctul principal, artistul plastic are trei posibilități. El poate ține seama de deformarea perspectivă a sferei, satisfăcătoare pentru viziunea compoziției în ansamblu ei. Poate să nu țină seama de această deformare supărătoare cînd privim în detaliu imaginea sferei. Sfera pare turtită, privită în ansamblu compoziției. În sfîrșit poate ca, într-o justă măsură, să atenueze această deformare astfel încît imaginea sferei să nu fie supărătoare nici în ansamblu, nici în detaliu.

Fig. 90. (83)



unei sfere care ar avea un dia-metru de 0,25 m și s-ar găsi în spațiu la o depărtare de 10 m de desenator și la 3,20 m spre dreapta față de planul său vizual vertical principal. Așa cum o vedem în figură, imaginea nu ne pare cores-punzătoare. De fapt trebuie să o privim de la o depărtare de 3,20 m și să o lășezăm la 1,10 m spre dreapta de raza noastră vizuală principală pentru a o vedea așa cum s-ar prezenta în ansamblu compoziției.

Cele două exemple date de figurile 89 și 90 ne arată cum se prezintă deformarea imaginii pers-pective a sferei în condițiile ta-



Pentru determinarea umbrei proprii și purtate a sferei se poate proceda în două feluri și anume:

a) Cunoscând înclinarea și orientarea razelor solare vom desena mai întâi umbra proprie a sferei construind pe sferă cercul mare care e perpendicular pe aceste raze. Umbra purtată de acest cerc pe planul obiectelor va fi umbra purtată a sferei respective (fig. 91).

b) Desenăm mai întâi umbra purtată de axul vertical al sferei și de câteva cercuri orizontale (de exemplu trei) ale sferei. Problema cunoscută: umbra cercului orizontal pe planul obiectelor (41).

Desenînd o curbă tangentă la aceste umbre purtate și care să depășească, cum vom vedea (85, fig. 91), capetele umbrei purtate de axul vertical al sferei, obținem o elipsă care reprezintă umbra purtată a sferei. Umbra proprie a sferei va trece prin punctele cercurilor orizontale de pe sferă care se vor determina cu razele care trec prin punctele în care umbrele lor purtate sînt tangente la elipsa umbrei purtate de sferă (fig. 92).

În ambele cazuri, pentru a obține un rezultat satisfăcător va trebui să determinăm unghiul  $U$  al înclinării razelor solare pe planul obiectelor și unghiul  $V$  al orientării acestor raze față de planul neutru, fie că imaginea izvorului luminii este accesibilă în cadrul tabloului sau — eventual — pe planșetă (fig. 92), fie că este inaccesibilă (fig. 91).

Aceste unghiuri  $u$  și  $v$  se vor obține prin procedeul micșorării luînd ca pol de micșorare imaginea perspectivă  $S$  și  $S'$  a soarelui cînd este accesibilă eventual, pe planșetă (fig. 92) sau punctul principal  $P$  cînd nu este accesibilă.

În primul caz (fig. 92), pe linia orizontului, luînd a patra parte din abscisa imaginii perspective  $S'$  obținem în punctul  $p$  imaginea micșorată a punctului principal din care coborîm o verticală, pe care luăm în  $pO/4$  a patra parte din distanța principală (jumătate din raza, nedesenată în figurile 91 și 92, a cercului, cu centrul în punctul principal  $P$  în care se înscrie tabloul). Raza  $O/4S'$  determină în  $v$  unghiul orientării razelor solare față de planul neutru. Arcul de cerc cu centrul în  $S'$  și cu raza  $S'O/4$  determină pe linia orizontului punctul  $u$  pe care îl unim cu imaginea micșorată de patru ori  $S/4$  a izvorului de lumină, pentru a obține în  $u$  unghiul înclinării pe planul obiectelor a razelor solare.

În cazul al doilea (fig. 91) vom lua în  $Pb$  un segment egal cu o pătrime din raza de micșorare  $PB$ . Pe verticala ridicată în  $b$  vom obține cu raza  $PA$  în  $ba$  axul vertical micșorat al sferei date. Imaginea micșorată  $ss'$  a izvorului luminii se va putea obține fie în perspectivă directă luînd în  $Ps'$  și în  $s's$  a patra parte din abscisa și cota soarelui dat, fie în perspectivă inversă ducînd prin  $b$  o paralelă geometrică  $bs'$  la umbra purtată dată  $BA'$  a axului vertical  $AB$  al sferei date și ducînd prin  $a$  o paralelă geometrică  $aa'$  la raza dată  $AA'$ , care, prelungită, determină pe verticala coborîtă din punctul  $S'$ , imaginea micșorată de patru ori  $s$  a soarelui. În felul acesta s-a obținut, cu raza  $O/4 s'$  unghiul  $V$  pe care îl fac razele solare în planul neutru. Și cu un arc de cerc cu centrul în  $s'$  și cu raza  $s'O/4$  obținem, pe linia orizontului, punctul  $r$  care unit cu punctul  $s$  ne dă în  $u$  unghiul razelor solare cu planul obiectelor.

Cunoscînd aceste unghiuri, pentru a desena umbrele sferei urmînd cele două căi arătate mai sus se va proceda după cum urmează:

85. — a) *Umbra proprie a sferei*. Luînd un cerc cu raza egală cu raza sferei date (fig. 91, II) desenăm în proiecție laterală, prin centrul lui  $C$ , o dreaptă  $r's'$  paralelă geometric cu raza  $rs$  din tabloul micșorat. Perpendicularea dusă pe această dreaptă prin punctul  $C$  ne dă în  $DEFG$ , în răsursă complet, înclinarea pătratului în care se înscrie cercul mare care pe sferă delimitează emisfera luminată de cea care rămîne în umbră proprie. În continuare desenăm în  $DEFGade$  proiecția laterală a prismei verticale circumscrise planului înclinat al acestui cerc mare, precizînd și cota ei  $F'F$  sau  $ee'$  etc. față de planul obiectelor. În această proiecție laterală, razele lumini duse prin punctele  $DE$  și  $FG$  și prin capetele  $A$  și  $B$  ale diametrului vertical al sferei, ne arată de ce umbra purtată de sferă depășește umbra purtată de diametrul ei vertical.

Dăm acestei prismе, în proiecție orizontală (fig. 91 III), o orientare perpendiculară pe orientarea razelor care fac unghiul  $V$  cu planul neutru. Baza prismei, a cărei adîncime  $EG$  sau  $DF$  e dată de proiecția ei laterală, e tangentă în punctele  $m$  și  $m'$  proiecției orizontale a sferei. Înscriem proiecția orizontală a prismei într-un dreptunghi care are o lățime  $bb'$  egală cu diametrul sferei date și o adîncime  $gbd$  pe care pe lingă adîncimile punctelor  $D$ ,  $F$  și  $G$  proiectăm în  $e$  și adîncimea punctului  $E$ .

Cu aceste elemente punerea în perspectivă a prismei, în care se înscrie pătratul înclinat  $GFDE$  circumscris cercului umbrei proprii a sferei, este o problemă cunoscută.

În tablou pe proiecția orizontală  $b_1b'_1$  a axului orizontal al sferei (fig. 91, I) luăm segmentul  $b_1t$  egal cu segmentul  $bt$  din proiecția orizontală în care acest segment este egal cu o pătrime din adîncimea  $gb$  sau  $bd$  a pătratului în care se înscrie prismă circumscrisă pătratului înclinat căutat. Pe dreapta de capăt  $Pb_1$ , prelungită, dreptele  $D/4$  și  $I$  și  $D'/4$  și  $I'$  ne dau imaginea perspectivă  $gb_1d'$  a laturii  $gbd$  din proiecția orizontală, pe care — cu ajutorul unei scări divergente, nereprezentate în figură, sau cu alt procedeu — desenăm în  $e_1$  și  $f$  adîncimile punctelor  $e$  și  $F$  din proiecția orizontală. Ducînd orizontale prin punctele  $g$  și  $d'$  pînă la intersecția lor  $g'_1$  și  $d'_1$  cu dreapta de capăt dusă prin  $b'_1$  obținem în  $gg'_1d'_1$  imaginea perspectivă a pătratului  $gg'dd'$  din proiecția orizontală. Luăm în tablou pe proiecția  $b_1b'_1$  a diametrului sferei punctele  $i$ ,  $k$ ,  $l$ ,  $j$  din proiecția orizontală, apoi cu dreapta de capăt  $Pi$  obținem punctul  $d_1$  pe latura  $d'd'_1$  și cu dreapta de capăt  $Pj$ , prelungită, obținem punctul  $g_1$  pe latura  $gg'_1$ . În sfîrșit cu frontala dusă prin punctul  $e_1$  obținem punctul  $e'$  pe latura  $g'_1d'_1$ . Cînd două cîte două aceste puncte obținem în  $fig'e'd_1f$  imaginea perspectivă a bazei prismei căutate (dacă s-a desenat exact latura  $g_1f$  trebuie să treacă prin punctul  $k$  de pe frontala  $b_1b'_1$  iar latura  $e'd_1$  prin punctul  $l$  de pe aceeași frontala). Nu este necesar să desenăm prismă în întregime. Ne vom mîrgini să determinăm numai punctele necesare întocmind o scară a înălțimilor. În acest scop pe verticala ridicată din punctul  $b_1$  vom nota înălțimile  $b_1b$ ,  $bc$  și  $ch$  luate din  $Bb$ ,  $bC$  și  $Ch$  din proiecția laterală II și vom duce dreptele  $Pb$ ,  $Pc$  și  $Ph$  care vor constitui scara înălțimilor. Pe verticalele ridicate din punctele  $g$ ,  $e_1$ ,  $b_1$ ,  $f$  și  $d'$  de pe dreapta de capăt  $gP$  vom avea la intersecția lor cu raza  $bP$ , prelungită, înălțimile  $gG$  și  $fF$  ale laturii înfiorare a pătratului căutat și la intersecția lor cu raza  $Ph$ , prelungită, înălțimile  $e_1e_2$  și  $d_1d_2$  ale laturii superioare. Cu orizontale determinăm punctul  $G$  pe verticala punctului  $g_1$ , punctul  $D$  pe verticala punctului  $d_1$ , și punctul  $E$  pe verticala punctului  $e'$ . Cînd aceste

puncte obținem în  $FGDE$  imaginea perspectivă a pătratului circumscris cercului mare al umbrei proprii. Pentru a-l trasa cu unul din procedeele cunoscute (I, 488—491, fig. 545) ne sînt necesare mijlocurile  $m$  ale laturilor pătratului. Mijlocul laturilor  $DF$  și  $EG$  se găsesc cu diagonalele  $F_2d'_1$  și  $g_3e_3$  sau, cu intersecții mai puțin precise, de pe scara înălțimilor, cu orizontale duse prin punctele de intersecție ale diagonalelor  $g_2e—e_2G'$  și  $Fd_2—F_2d$ . Mijlocurile laturilor orizontale se determină prin verticale ridicate din puncte în care umbra purtată  $BA'$ , prelungită, întretaie, pe planul obiectelor, proiecția orizontală a acestor laturi. Se știe, cum, cu ajutorul scărilor divergente, se trasează acest cerc al umbrei proprii sferei în pătratul  $DEFG$ .

**86.** — *Umbra purtată* de sferă va fi umbra purtată de acest cerc și pe care o vom înscrie în umbra purtată de pătratul care îi este circumscris.

Vom căuta umbra pătratului  $DEFG$  folosind procedeul general (38), cunoscînd orientarea și lungimea umbrei date  $BA'$ , purtată de axul vertical  $AB$  al sferei.

Pe orizontala dusă prin punctul  $B$  vom lua patru segmente egale și din capetele 3 și 4 ale segmentului mai depărtat vom duce dreptele ajutătoare  $3—A'$  și  $4—A'$  care, prelungite, vor determina pe linia orizontului punctele de fugă  $F_3$  și  $F_4$ . În același timp vom duce dreapta înclinată  $A—4$  cu ajutorul căreia, prin paralele geometrice, vom duce celelalte umbre purtate. Vom căuta punctele de intersecție 4 ale orizontalelor duse prin punctele  $d_1$  și  $e'$  cu dreptele duse prin punctele  $D$  și  $E$  paralele geometrice dreptei  $A—4$ . Vom împărți în patru părți egale aceste orizontale  $d_1—4$  și  $e'—4$  pentru a determina pătimea  $3—4$ . Unind aceste puncte cu punctele corespunzătoare de fugă  $F_3$  și  $F_4$  vom determina umbrele  $D'$  și  $E'$  purtate de punctele  $D$  și  $E$ . Ducem dreptele  $e'E'$  și  $d_1D'$ . (Dacă s-a desenat exact, aceste drepte trebuie să fie în prelungirea dreptelor  $g_1e'$  și  $fd_1$ .) Pe aceste drepte umbrele  $F'$  și  $G'$  purtate de punctele  $F$  și  $G$  se determină ducînd prin aceste puncte paralele geometrice  $Gg_4$  și  $Ff_4$  la direcția  $A—4$  pînă la intersecția lor  $g_4$  și  $f_4$  cu orizontalele duse prin punctele  $g_1$  și  $f$ . Dreptele  $g_4F_4$  și  $f_4F_4$  determină, la intersecția lor cu dreptele  $g_1E'$  și  $fd_1D'$  umbrele  $G'$  și  $F'$ . Pe această cale s-a determinat imaginea perspectivă a umbrei  $D'E'F'G'$  purtată de pătratul înclinat  $DEFG$ . Pentru a înscrie cercul umbrei purtate, mijlocurile  $m$  ale laturilor acestui pătrat se găsesc pe laturile  $F'G'$  și  $D'E'$  la intersecțiile lor cu umbra dată  $BA'$ , prelungită. Mijlocul laturii  $G'E'$  s-a determinat cu dreapta care unește mijlocul  $m$  al orizontalei  $G'—3'$  (punctul  $3'$  s-a obținut prelungind dreapta ajutătoare  $F_3—3$ ) cu punctul de fugă  $F_3$ . După ce s-a găsit umbra  $C'$  a centrului  $C$  al sferei, la intersecția diagonalelor  $F'E'$  și  $G'D'$ , dreapta  $mC'$ , prelungită, e precizat și mijlocul  $m$  al umbrei purtate  $F'D'$ .

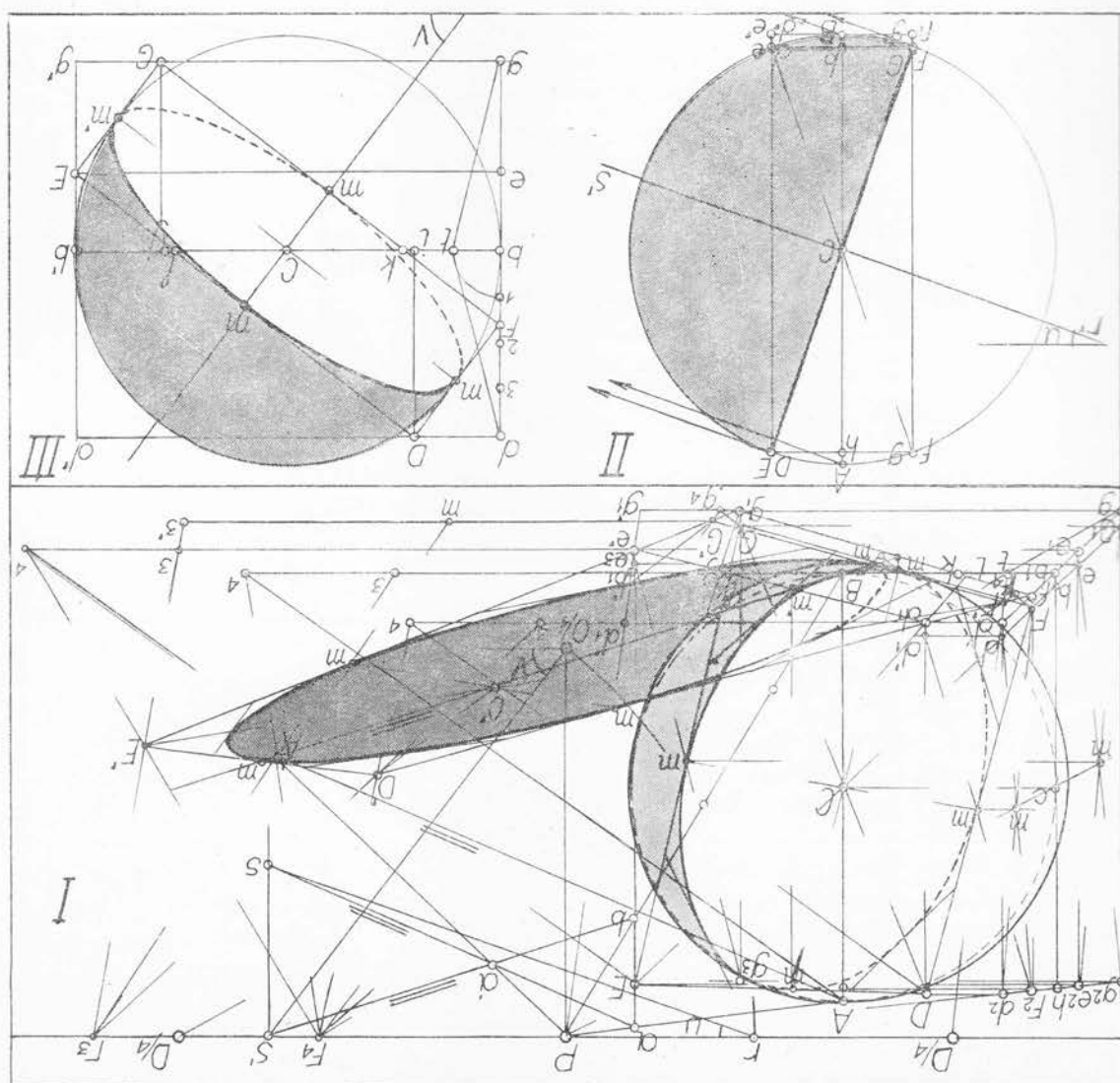
Cu aceste elemente se poate desena, prin unul din procedeele cunoscute, imaginea perspectivă a umbrei eliptice purtată de sferă. Dacă s-a desenat exact, această umbră depășește, atît spre adîncul spațiului cît și spre desinator, umbra purtată de diametrul vertical al sferei, așa cum am dedus mai sus din examinarea proiecției laterale a sferei (fig. 91 II). Desenul a fost completat și cu imaginea conturului aparent al sferei, care s-a obținut, cum s-a arătat mai sus.

**86 b)** *Umbra proprie și purtată a sferei* cu construcțiile arătate mai sus au fost obținute fără a folosi imaginile inaccesibile ale izvorului luminii. Cînd acesta este acce-

sibil pe planșeta ca în figura 92, putem obține un rezultat exact cu ajutorul umbrelor purtate de cercurile orizontale ale sferei date.

În condițiile arătate mai sus s-a desenat și în această figură proiecția laterală (II) și proiecția orizontală (III) a cercului mare perpendicular pe razele luminii. În proiecția orizontală s-au proiectat și alte două cercuri orizontale ale sferei și anume un cerc a cărui rază  $Cb$  a fost luată din proiecția laterală, și un alt cerc orizontal a cărui rază  $Cd$  a fost luată din tablou.

Fig. 91. (84, 85, 86)





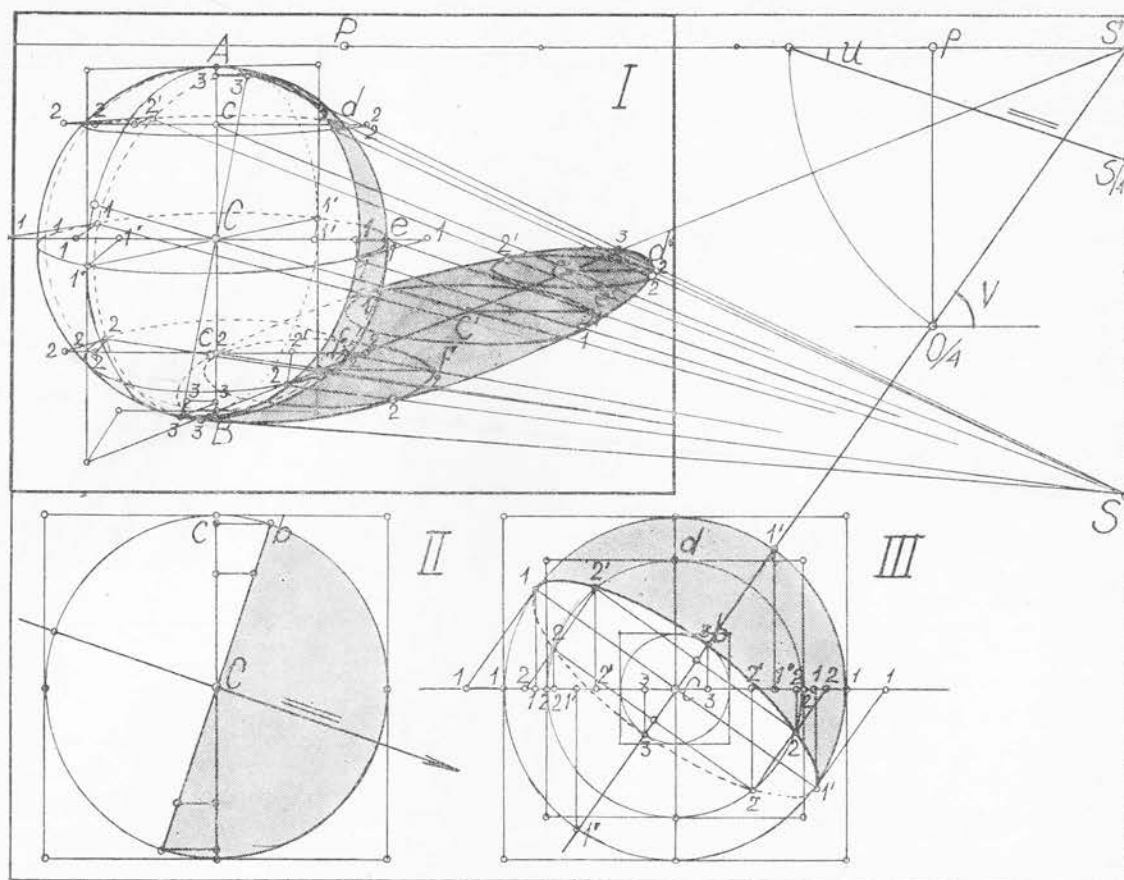


Fig. 92. (84, 86)

În proiecția orizontală s-au proiectat pe diametrul frontal punctele 1 care se referă la cercul mare orizontal al sferei date, punctele 2 care se referă la cercurile orizontale intermediare și punctele 3 care se referă la cercurile orizontale mici. Vom transpune punctele 1 pe diametrul orizontal al sferei, punctele 2 pe diametrul cercurilor intermediare și punctele 3 pe diametrul cercurilor mici.

Pe direcția  $BS'$  a umbrei purtate de axul vertical  $AB$  al sferei date vom determina cu raze de lumină  $CS$ ,  $eS$ ,  $cS$ ,  $dS$  și  $fs$  umbra purtată  $C'e'$ ,  $c'd'$  și  $c'f'$  de razele frontale  $Ce$ ,  $cd$  și  $cf$  ale cercului mare și ale cercurilor intermediare. Cu ajutorul dreptelor de capăt și al punctului de distanță redus al tabloului vom desena imaginea perspectivă a pătratelor în care se vor înscrie imaginile perspective ale cercurilor orizontale ale sferei și ale umbrelor lor purtate. În figură nu s-a menționat decât rezultatul fără a se arăta construcțiile respective, care nu sînt bine cunoscute (I, 216—217, fig. 257—259).

Pe aceste cercuri, folosind punctul principal  $P$ , proiecția  $S'$  a soarelui pe linia orizontului și punctele 1,  $1'$ , 2 și  $2'$  de pe diametrele cercurilor sferei vom preciza punctele

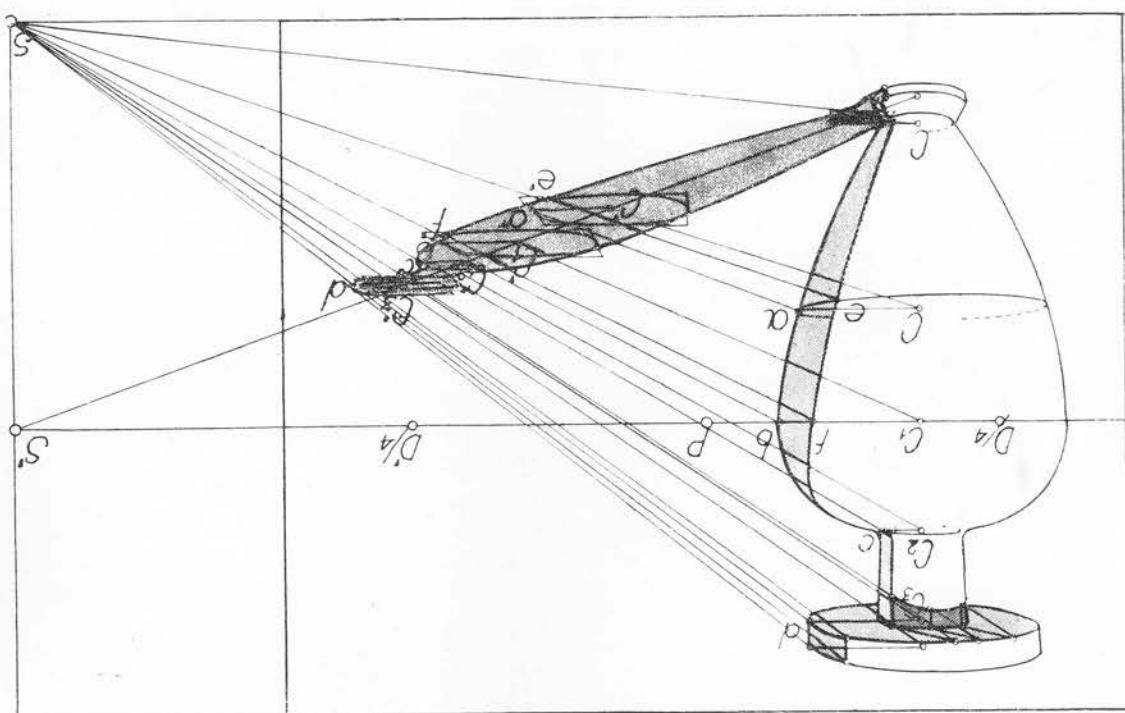


Fig. 93. (10, 87)

**87.** — Dar pentru umbrele corpurilor rotunde (fig. 93) se pot obține rezultate mai puțin precise dar satisfăcătoare, fără a face aceste construcții. Umbra proprie a corpului rotund se deduce direct din umbra lui purtată, mai ușor de aflat, procedind cum urmează.

Umbrele corpurilor rotunde

lor de intersecție cu cercul mare perpendicular pe razele luminii (cercul umbrei proprii) și cu cercul mare paralel cu aceste raze (punctele 3 de pe cercurile mici). Cercul perpendicular ne dă umbra proprie a sferei. Cel paralel precizează cu ajutorul punctelor 3 și a razelor 3—5 umbra purtată de diametrul sferei cuprins în planul aplecat al cercului umbrei proprii.

Ducând prin punctele 1 și 2, în care cercul umbrei proprii întreiaie cercurile de pe sferă, raze către imaginea virtuală a soarelui *S* obținem la intersecția lor cu umbrele purtate de aceste cercuri punctele în care umbra purtată de sferă e tangentă la aceste umbre. În felul acesta se precizează și umbra purtată a sferei.

Construcțiile executate în proiecția orizontală (fig. III) ne-au permis să obținem cu precizie punctele prin care trece imaginea perspectivă a cercului mare al sferei, perpendicula pe razele solare, și deopotrivă punctele prin care trece umbra purtată.

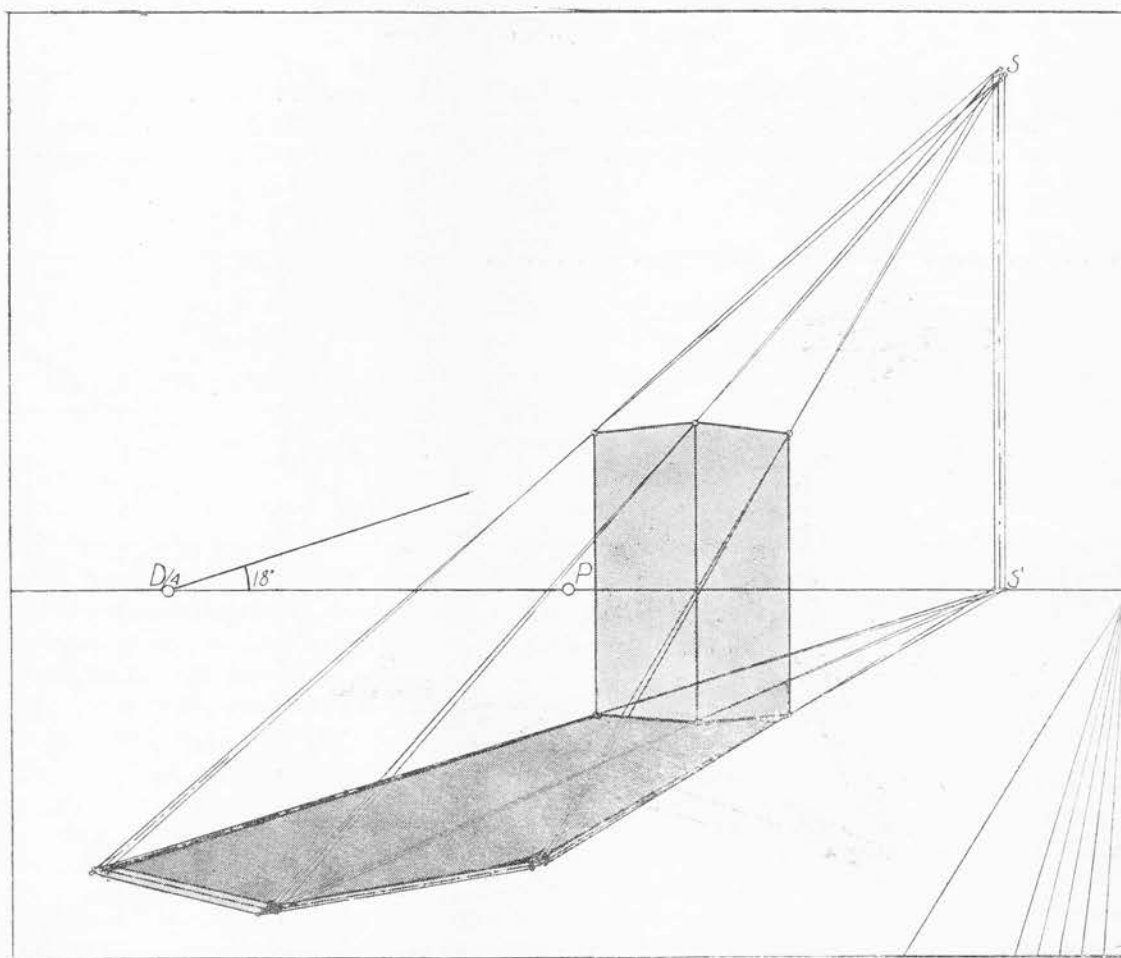
Și în această figură desenul a fost completat cu imaginea conturului aparent al sferei, obținut cum s-a arătat mai sus (82).

Desenăm umbrele purtate  $C'a'$ ,  $C_1b$  etc. de razele frontale  $Ca$ ,  $Cb$  etc. ale diferitelor cercuri ale corpului rotund dat. Cu ajutorul unor pătrate orientate frontal desenăm cercurile respective ale volumului dat precum și umbrele lor purtate pe planul obiectelor. Desenind pe acest plan o linie curbă continuă, tangentă cercurilor de mai sus, obținem umbra purtată de corpul dat. Razele de lumină  $Se'$ ,  $Sf'$  etc. care unesc izvorul luminii  $S$  cu punctele de tangență  $e'$ ,  $f'$  etc., prelungite, vor determina pe cercurile respective ale corpului rotund punctele  $e$ ,  $f$  etc. Linia continuă care va uni aceste puncte va constitui umbra proprie căutată.

#### STUDIUL PENUMBREI

88. — În expunerea de mai sus umbra purtată pe plane orizontale de un punct a fost un punct, și umbra purtată de o verticală a fost o dreaptă, pentru că izvorul de lumină

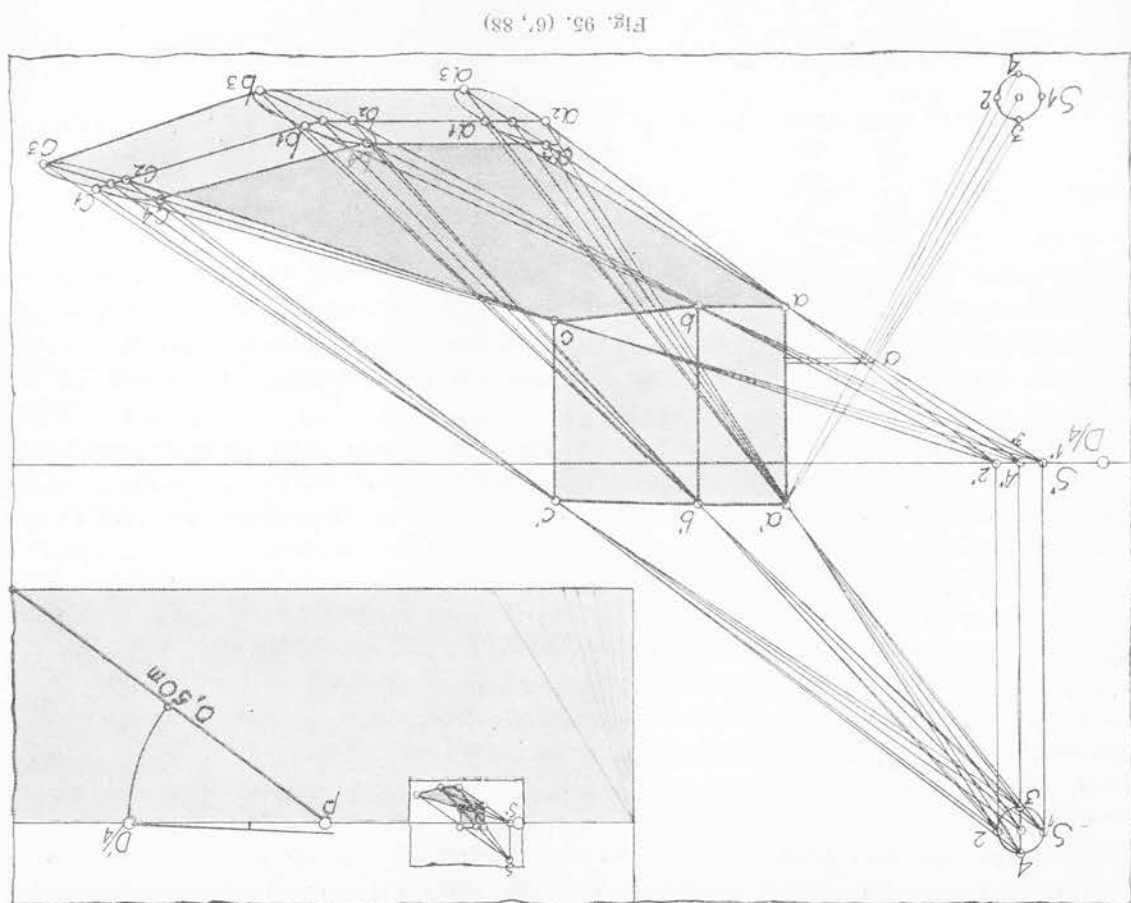
Fig. 94. (6, 88)



a fost reprezentat printr-un singur punct, adică prin centrul imaginii perspective a soarelui care, după cum s-a arătat mai sus, are o formă foarte apropiată de un cerc al cărui diametru se poate stabili prin calcul în raport cu distanța principală a tabloului respectiv. În practică, pe o sticlă aflată și așezată vertical la o depărtare dată de punctul de vedere se poate contura cu mare aproximație imaginea perspectivă a soarelui.

Dacă în locul punctului  $S$  vom desena discul luminos al soarelui adică cercul 1-2-3-4 și proiecția lui 1'-2'-3'-4' pe linia orizontului, după cum se vede în figurile 94, 95 și 96, umbra purtată de un punct va fi o elipsă  $a_1a_2a_3a_4$ .

Umbra eliptică a punctului  $a'$  și umbra conică a verticalei  $aa'$  se obțin considerând succesiv punctele luminoase 1, 2, 3 și 4 situate la capetele 1 și 2 ale diametrului orizontal și 3 și 4 ale diametrului vertical al discului solar (fig. 95). Vom obține succesiv umbrele:  $a_1$  la intersecția dreptei  $I'a$  prelungite, cu raza luminoasă  $Ia'$  prelungită;  $a_2$  la intersecția dreptei  $2'a$ , prelungite cu raza luminoasă  $2a'$  prelungită și, în continuare, procedând la fel, umbrele  $a_3$  și  $a_4$ . Raza luminoasă care pleacă din centrul imaginii soarelui





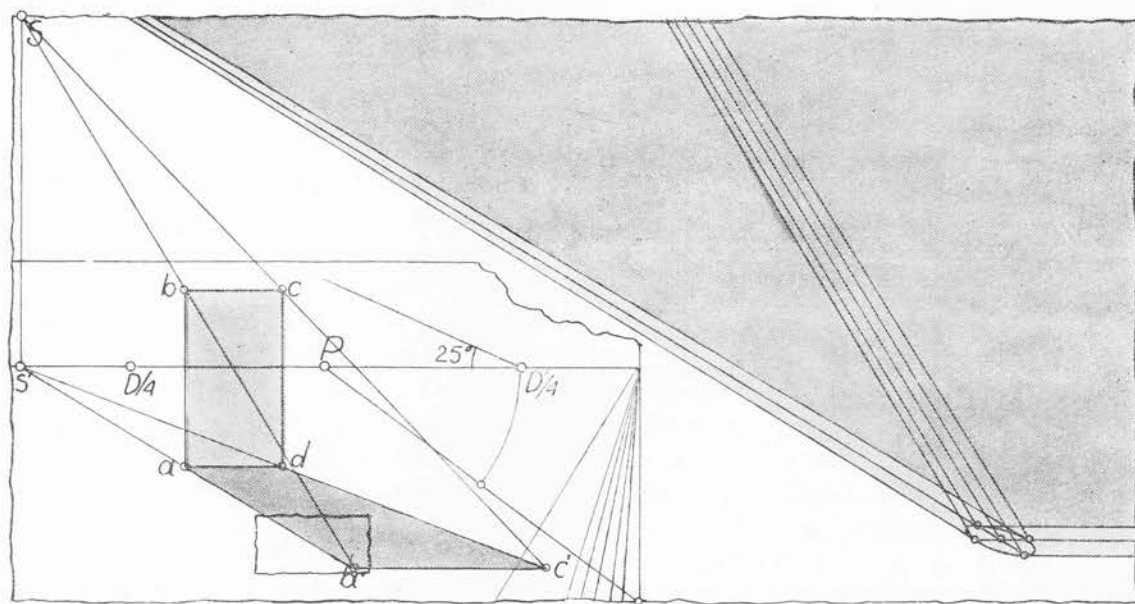
determină, la intersecția ei cu dreapta  $4'a$  prelungită, centrul umbrei eliptice a punctului  $a'$ . Aceste umbre sînt difuze către margine și intensitatea lor cea mai mare se află, pentru punct, în centrul elipsei iar pentru verticală în axul conului.

În condițiile arătate mai sus umbra purtată de o prismă  $abca'b'c'$  are un contur exterior  $a_2 a_3 b_3 c_3 c_1 c$  și un contur interior care se obține ducînd tangente la umbrele eliptice purtate de punctele  $a'b'c'$ . Suprafața limitată de conturul interior constituie umbra purtată propriu-zisă a prisme căci în interiorul ei nu pătrunde nici o rază directă de lumină. Între conturul interior și conturul exterior se află o zonă de umbră estompată numită *penumbra* (6'), în care pătrund parțial razele solare: spre exemplu în dreapta umbrei  $aa_3$  pătrund razele de lumină din stînga diametrului vertical 4—3 a discului solar.

Între cele două contururi ale penumbrei, linia care unește centrele umbrelor eliptice ale punctelor reprezintă umbra care se obține în practică, prin procedeele obișnuite ale perspectivei liniare, care reduc imaginea soarelui la un singur punct.

În practică atît lărgimea cît și intensitatea penumbrei față de aceea a umbrei propriu-zise se apreciază prin studii după natură. Pentru o cît mai justă interpretare a modelării, în perspectiva aeriană, a fișiei de penumbra în lungul conturului simplificat determinant în perspectivă liniară, penumbra, mai largă sau mai îngustă, după cum soarele e mai

Fig. 96. (6', 88)



de planul obiectelor  $l_2$  se proiectează conic pe planul tabloului sub linia pământului (I 38).

Cînd acesta,  $l_1$ , aproape se apropie de desenator.

în măsura în care se apropie de desenator. foarte depărtat, spre marginea inferioară a tabloului, în  $l_2$  și sub această margine, în  $l_3$  pe planul obiectelor se situează spre linia orizontului în  $l_1$ , cînd izvorul de lumină este tivă, — accesibilă sau neaccesibilă —  $L_1, L_2, L_3$  — este reală iar imaginea proiecției lui

Cînd izvorul de lumină este în spațiul real (fig. 97, 98 și 102), imaginea lui perspec-

D, în spatele desenatorului (fig. 101) adică în spațiul virtual (I 33)

lumină L se află în dreapta desenatorului, adică în planul neutru (I 29)

C, în dreapta, deasupra sau în stînga desenatorului (fig. 100), în care izvorul de

intermediar (I 31)

B, în spațiul cuprins între planul tabloului și planul neutru (fig. 99), adică în spațiul

A, în fața desenatorului și în spatele tabloului (fig. 98), adică în spațiul real (I 30)

89. Izvorul de lumină artificială se poate afla:

#### DESENATOR

LOCUL PE CARE ÎL POATE OCUPA ÎN SPAȚIU IZVORUL DE LUMINĂ ARTIFICIALĂ, FAȚĂ DE

### IMAGINEA PERSPECTIVĂ A UMBRELOR ÎN LUMINA ARTIFICIALĂ

care, după cum s-a spus, s-a dat razelor înclinare de  $3^\circ$ . spre adîncul spațiului cînd soarele este în spațiul virtual, cum se vede în figura 95 în Tot înguste vor apărea în perspectivă și penumbrele din jurul umbrelor care se îndreaptă perspectivă a penumbrei se va îngusta în măsura în care soarele se va depărta de orizont. Penumbra unui perete frontal așezat la 12,60 m de desenator este mai îngustă. Imaginea este mai depărtat de orizont, razele lui făcînd un unghi de circa  $25^\circ$  cu planul obiectelor. nator, a unei prismе situate la circa 76 m de desenator este largă. În figura 96 soarele fac un unghi de circa  $3^\circ$  cu planul obiectelor. Fișa de penumbră, venind spre dese- În figura 95 soarele este foarte aproape de orizont; venind spre desenator, razele lui de zece ori mai mic, iar detaliul în mărime naturală.

penumbrei este arătat în figurile 95 și 96, în care ansamblul compoziției este reprezentat În cazul unor compoziții mai mari, care ar fi privite de la depărtare de 1 m, aspectul razele soarelui fac un unghi de  $18^\circ$  cu planul obiectelor.

de 19,50 m de un desenator presupus în picioare are înălțimea arătată în figura 94, cînd iar penumbra unei prismе orientată pe unghi, înălță de 3,65 m și situată la o depărtare care ar fi privită de la o depărtare de 25 cm, diametrul discului solar este de circa 1,5 mm. În cazul unei compoziții de mici dimensiuni, spre exemplu o ilustrație de carte dăm câteva exemple în figurile 94—96.

apropiat sau mai depărtat de orizont și după cum prisma este mai înaltă sau mai joasă,



Fig. 97. (1, 89, 90) G o y a: Execuțiile din 3 mai 1808

Cînd izvorul de lumină artificială se află în planul neutru, ca și pentru soare (29) nu putem reprezenta pe planul tabloului imaginea lui perspectivă, dar umbrele respective se pot desena cu mare ușurință (100)

Cînd izvorul de lumină se află în spatele desenatorului, adică în spațiul virtual, vom putea reprezenta pe tablou imaginea lui virtuală  $L_5$ . Aceasta va fi însă inversată: dacă izvorul de lumină se găsește deasupra nivelului ochilor desenatorului, în spatele și în dreapta lui, imaginea lui perspectivă se va situa sub linia orizontului și spre stînga tabloului, iar proiecția lui pe sol  $l_5$  se va proiecta pe aceeași verticală însă deasupra liniei orizontului.

Vom vedea mai departe (110) că atunci cînd izvorul de lumină se află la o înălțime inferioară celei a ochilor desenatorului, imaginea lui perspectivă se situează sub linia orizontului cînd se găsește în spațiul real sau intermediar (fig. 117) și, inversată, deasupra liniei orizontului cînd se găsește în spațiul virtual (fig. 119)

În figura 102, fie  $AB$  imaginea schematică a figurii sau a elementului principal din compoziție și  $BA_1$ ,  $BA_2$  și  $BA_3$  imaginea umbrelor purtate, orientate în trei direcții dife-

rite, dintre care artistul va alege pe aceea care se apropie mai mult de viziunea sa plastică.

Umbră  $BA_1$  se îndreaptă spre desinator. Izvorul de lumină  $L_1$  se află în spațiul real și anume într-un plan de front mai depărtat de desinator decât figura  $AB$ .

Umbră  $BA_2$  are o direcție frontală. Izvorul de lumină  $L_2$ , în spațiul real, se găsește în cazul acesta, în mod întâmplător, în același plan frontal ca figura  $AB$ .

Umbră  $BA_3$  se îndreaptă spre adîncul spațiului. Izvorul de lumină poate să se afle în spațiul real ( $L_3$ ), în planul tabloului cînd  $L_3$  se situează pe linia pămîntului, în spațiul intermediar ( $L_4$ , cînd  $L_3$  se situează sub linia pămîntului), în planul neutru (cînd nu-i putem reprezenta imaginea pe planul tabloului) sau în spațiul virtual cînd imaginea lui perspectivă  $L_5$  este inversată.

Artistul nu are de ales nu-mai între aceste trei orientări diferite. În lungul razelor de lumină  $AL_1$ ,  $AL_2$ ,  $AL_3$ ,  $AL_4$ ,  $AL_5$ , izvorul de lumină se poate afla mai aproape sau mai departe de  $AB$  după cum se vede în figura 102. Dar pentru a putea trasa umbrele celorlalte verticale din tablou, artistul va trebui neapărat să aleagă anume locul unde se află izvorul de lumină.

După intensitatea mai mare sau mai mică a izvorului de lumină, care de la o depărtare prea mare nu ar mai avea puterea să producă efecte plastice, după posibilitățile spațiale ale locului în care se petrece acțiunea reprezentată în tablou, artistul poate să precizeze, în lungul razei de lumină desenate, depărtarea la care se află izvorul de lumină. Coordonatele izvorului de lumină se măsoară pe scara perspectivă, folosind procedeul micșorării

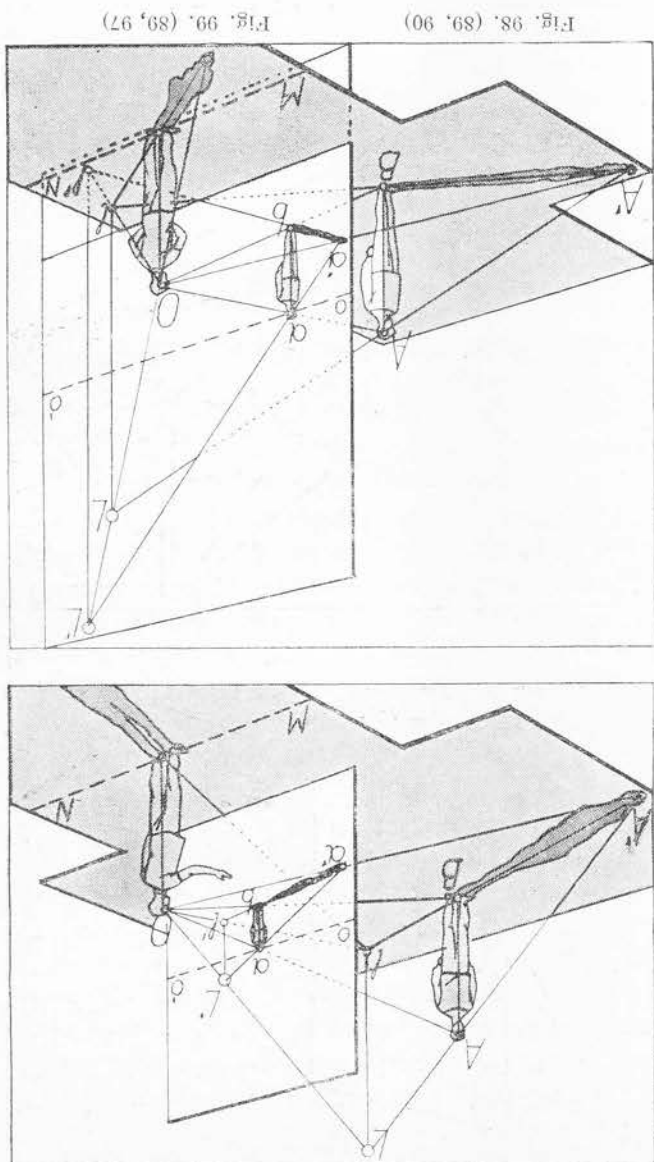


Fig. 98. (89, 90)

Fig. 99. (89, 97)



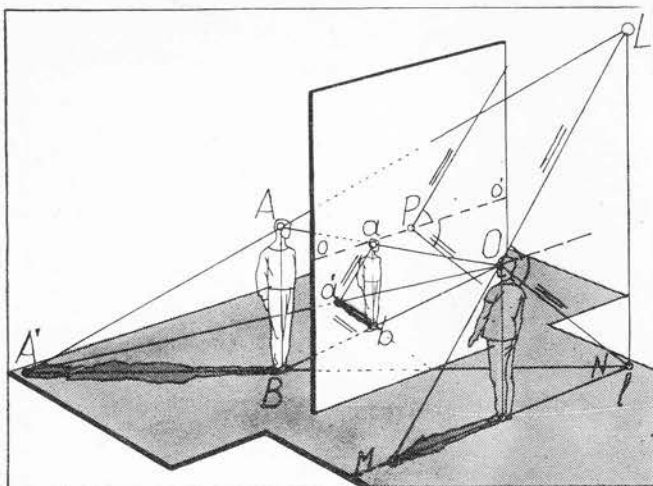


Fig. 100 (89)

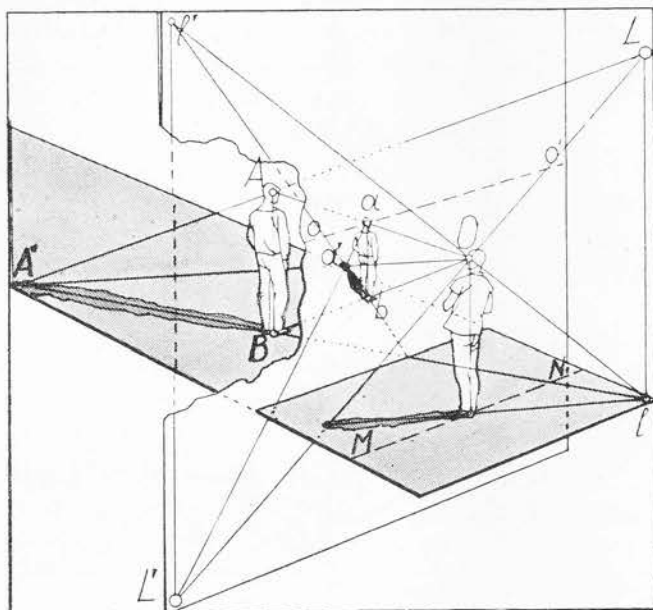


Fig. 101. (89)

în câmpul său de viziune clară sau de viziune neclară și nu-l poate vedea decât întorcînd capul cînd, deși situat în spațiul real, se află în afara câmpului său vizual.

Potrivit locului pe care îl ocupă în spațiul real, putem desena, în perspectivă directă sau inversă, imaginea perspectivă a izvorului de lumină numai cînd acesta este cuprins

dacă imaginea lui este inaccesibilă și aplicînd grafic legea descreșterii perspective (I 307—324) dacă dorim să aflăm și adîncimea la care se află față de desenator, după cum se va arăta mai departe pentru fiecare caz în parte.

Locul ocupat în spațiu de izvorul de lumină se mai poate determina, în perspectivă inversă și pe altă cale. Artistul mai poate desena umbra purtată de încă o verticală din tablou dîndu-i, în condițiile ce se vor examina mai jos, pentru fiecare caz în parte, orientarea care i se pare mai potrivită. Prin aceasta se precizează locul izvorului de lumină care nu se poate afla decît la punctul de intersecție a umbrilor purtate de cele două verticale a căror direcție se prelungește în acest scop. Dar și în cazul acesta artistul va verifica dacă coordonatele izvorului de lumină determinat pe această cale, cu preocupări plastice, corespund posibilităților reale ale locului în care se petrece acțiunea.

#### Izvorul de lumină se află în spațiul real

**90. — A.** Desenatorul vede sau întrevade izvorul de lumină cînd acesta e cuprins

Potrivit planului frontal, mai apropiat sau mai depărtat în care se află izvorul de lumină, figurile și celelalte volume situate între acest plan și planul tabloului vor fi văzute în contra luminii în timp ce acelea din planele mai depărtate vor fi iluminate în plin, ceea ce dă artistului mari posibilități plastice de contrast (fig. 97). Prin libertatea de a alege depărtarea și nivelul izvorului de lumină, artistul va putea da umbrelor direcția și lungimea cea mai corespunzătoare expresiei plastice a compoziției sale.

Nu sînt rare compozițiile în care imaginea perspectivă a izvorului de lumină artificială este cuprinsă în cadrul tabloului (fig. 117 Domenico Fetti: *Parabola dramei pierdute*). Pentru ca schipirea luminii să nu fie supărătoare, în unele tablouri izvorul de lumină este ascuns parțial privitorului (în *3 Mai 1808*, de Goya — fig. 97) sau în „*Vinditori încal-zindu-se*” de Honoré Daumier, fig. 129, sau total (în *Năsterea Domnului* de Georges de

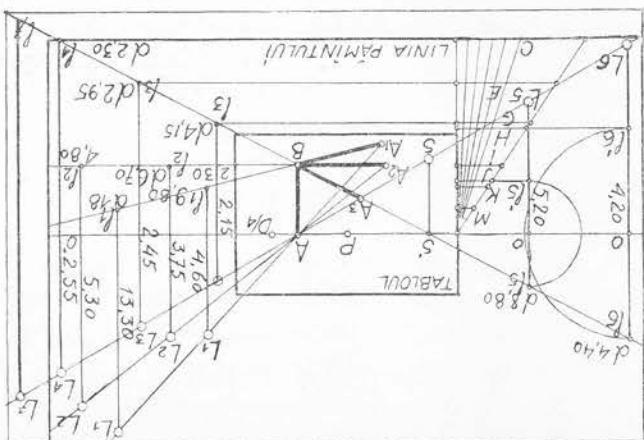
verticală. din imaginație, înălțime care se măsoară pe scara perspectivă a tabloului ca orice altă are aceeași înălțime sau deasupra acestei linii, la orice înălțime dată, presupusă sau luată desenatorului (fig. 118) în care lumina este așezată chiar pe sol, pe linia orizontului cînd situa sub linia orizontului cînd acesta se află la o înălțime mai mică decît nivelul ochilor Pe verticala ridicată din  $L'$  imaginea perspectivă  $L$  a izvorului de lumină se poate

nu poate fi prea depărtat de figurile și volumele care alcătuiesc subiectul tabloului. reflectoare puternice, în general, pentru a obține efecte plastice de umbră, izvorul de lumină foarte apropiat de desenator. De altfel trebuie să avem în vedere că, dacă nu intervin pămîntului, atunci cînd izvorul de lumină artificială este cuprins într-un plan frontal zontului și marginea inferioară a tabloului, dar chiar și sub această margine, pînă la linia care le luminează. Ea se poate afla oriunde pe planul obiectelor nu numai între linia ori-așa cum s-a arătat pentru imaginea perspectivă a soarelui, alt de depărtat de volumele pe lui  $L'$  pe planul obiectelor (fig. 98) Acesta nu se poate situa pe linia orizontului,

reprezentă în tablou și proiecția ginii lui perspective  $L$ , vom știe — decît dacă, în afara ima-va fi precizat — după cum se izvorul de lumină artificială nu Locul ocupat în spațiu de

rii (I, 266—276). cu ajutorul procedurii micșoră-tele perspective anume întocmite nate decît cu ajutorul unor re-umbrile nu vor putea fi dese-lumină va fi inaccesibilă și ginea perspectivă a izvorului de nu intră în acest cadru ima-ginit de cadrul tabloului. Cînd în cîmpul de viziune clară, măr-

Fig. 102. (89, 97, 101)



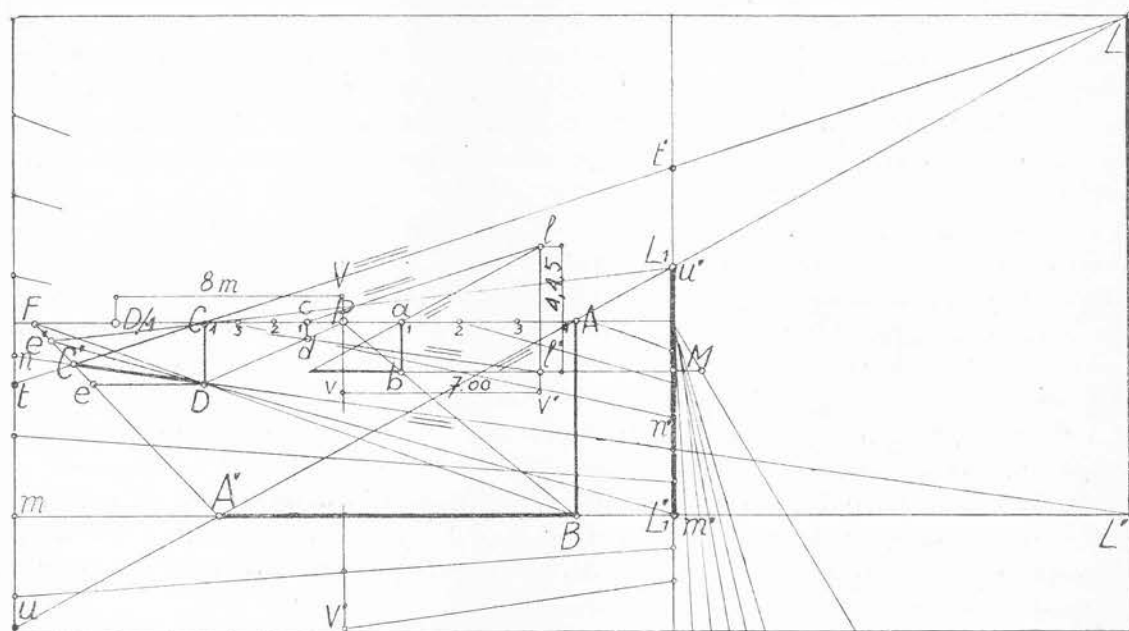
**91.** — Când izvorul de lumină artificială este, în spațiul real, în perspectivă inversă, artistul poate să dea umbrei purtate de figură sau de elementul principal al compoziției sale, orice lungime și orice orientare, iar nu numai venind spre desenator cum ne amintim că era posibil în cazul luminii naturale, când soarele se află în spațiul real (17). Astfel, umbra poate să fie:

- a) frontală ( $A'B$  fig. 103)  
b) venind spre desinator ( $A'B$  fig. 104)  
c) îndreptându-se spre adîncul spațiului ( $A'B$  fig. 105)

În toate aceste cazuri imaginea perspectivă a izvorului de lumină  $L$  poate să se afle oriunde în lungul razei  $A'A$  prelungită, iar proiecția lui pe planul obiectelor  $L'$  oriunde pe dreapta  $AB$ , prelungită pînă spre eventuala ei întâlnire cu linia orizontului dacă umbra vine spre desenator. Cînd această proiecție se situează între  $B$  și  $L'_1$  din marginea tabloului, izvorul de lumină este accesibil dacă și  $L_1$  intră în cadrul tabloului (fig. 103 și 104. În fig. 105  $L_1$  este accesibil dar  $L'_1$  este inaccesibil).

Cu aceste imagini accesibile umbrele purtate de punctele și de verticalele cuprinse în tablou se trasează ca în cazul luminii solare, după cum s-a arătat (15). Se află întâi direcția umbrei ducând dreapta prelungită care pleacă din  $L_1$  și trece prin piciorul  $B$  al verticalei date. Apoi se determină lungimea ei căutînd punctul de intersecție  $A'$  a razei de lumină  $L'A$  cu direcția umbrei (fig. 103—105).

Fig. 103. (90, 91, 92, 93, 95)



Imagina perspectiva a izvorului de lumină  $L$ , inaccesibilă, se găsește la intersecția razelor de lumină  $uA'Au'$  și  $uC'Cl'$ , prelungite, cu verticala ridicată din punctul inaccesibil  $L'$ . Cu ajutorul acestor raze ( $uu'$  și  $ll'$ ) vom înlocui rețeaua perspectivă pentru determinarea lungimii umbrilor din tablou, împărțind în același număr de părți egale segmentele  $lu$  și  $l'u'$  și procedând cum s-a arătat mai sus pentru prima rețea, dar desenând-o pe întreaga suprafață a tabloului. Mersul acestei operațiuni care nu este reprezentată în figura 103 se poate urmări în figura 104.

(1 329). Proiecția pe sol  $L'$ , inaccesibilă, a izvorului de lumină se află la intersecția orizontalei  $m'A'Bm'$  prelungită, cu dreapta  $nC'Dn'$  prelungită. Cu ajutorul acestor drepte ( $mm'$  și  $nn'$ ) se va înlocui rețeaua pentru desenaarea direcției umbrilor din tablou, pornind de la segmentele  $mn$  și  $m'n'$  de pe marginile laterale ale tabloului, împărțindu-le în același număr de părți egale (numai în două părți în fig. 103) și repetind aceste diviziuni pe marginile respective. Unindu-le două câte două obținem rețeaua căutată care nu trebuie desenată pe toată suprafața tabloului ci numai pe planul obiectelor. În figura se arată și cum se completează rețeaua în partea inferioară a tabloului, după cum se știe

holărându-se pentru direcția care i se pare mai potrivită. Fie  $DC'$  această direcție. Artistul are de ales între umbrele  $DC'$ ,  $De$  etc. cuprinse între umbrele  $De$  și  $DF$ , cu soarele, care s-ar afla în planul neutru (30), umbra verticală  $CD$  ar fi orizontala  $De$  că ar fi la o depărtare nestrășită în lungul dreptei  $A'B$ , lumina artificială confundându-se cu cea a soarelui, chiar în  $A$ , atunci umbra purtată de verticala  $CD$  ar fi  $DF$ . Iar dacă presupunem intr-adevăr că presupunem că izvorul de lumină s-ar afla în locul cel mai apropiat, atunci umbra purtată de verticala  $CD$  ar fi  $DF$ . Iar dacă presupunem

**92. — a) Cînd umbra desenată  $BA'$  este frontală (fig. 103). Fie  $CD$  a doua verticală din tablou, aleasă în așa fel încît dreapta  $BD$  prelungită să aibă un punct de fugă accesibil  $F$ , în care ducem și dreapta  $A'F$  care determină lungimea diferitelor umbre  $De$ ,  $DC'$ ,  $De'$ ,  $DF$  pe care le poate purta verticala  $CD$ .**

Iată cum se procedează în cele trei cazuri arătate mai sus:

de lumină aplicînd procedeu micșorării, după cum se arată mai departe (92). acțiunea reprezentată în tablou, artistul poate să alie depărtarea și înălțimea izvorului cale, în perspectivă inversă, corespunde cu dimensiunile reale ale spațiului în care se petrece Pentru a vedea dacă locul ocupat de izvorul de lumină artificială, dedus pe această direcție umbrilor și altă rețea perspectivă pentru precizarea lungimii lor.

plecînd de la cele două umbre alese, se va construi o rețea perspectivă pentru desenaarea lungită. Ambele puncte fiind inaccesibile, pentru construirea celorlalte umbre din tablou, a izvorului de lumină se găsește la intersecția verticalei ridicate din  $L'$  cu raza  $A'A$  prelungită. Tot astfel imaginea perspectivă  $L$  care prelungesc umbrele  $A'B$  și  $C'D$  alese de artist. Prin această intersecție, al dreptelor obiectelor — a izvorului de lumină, este punctul de intersecție, inaccesibil, al dreptelor (fig. 103) din tablou. Prin aceasta se stabilește că locul unde se situează proiecția  $L'$  — pe planul desenînd, cu orientarea care i se pare mai potrivită, umbra  $DC'$  a unei alte verticale  $CD$  preciza, în perspectivă inversă, locul ocupat în spațiu de izvorul de lumină artificială, pentru a putea desena umbrele celorlalte volume cuprinse în tablou, artistul va putea Cînd izvorul de lumină e mai depărtat iar imaginile lui perspective sînt inaccesibile



Pentru a afla locul pe care îl ocupă în spațiu izvorul de lumină determinat, în perspectivă inversă, așa cum s-a arătat mai sus și a cărui imagine perspectivă este inaccesibilă, vom micșora tabloul, spre exemplu, de patru ori în jurul punctului principal  $P$  ales ca pol (I 263).

Luând  $a$  și  $c$  de patru ori mai aproape de  $P$  decât  $A$  și  $C$  obținem în  $ab$  și  $cd$  imaginea micșorată a verticalelor  $AB$  și  $CD$  (fig. 103). Ducem prin  $b$  și  $d$  paralelele geometrice  $bl'$  și  $dl'$  la direcțiile  $A'B$  și  $C'D$  ale umbrelor purtate și prin  $a$  și  $c$  paralele geometrice  $al$  și  $cl$  la razele de lumină  $A'A$  și  $C'C$ . Punctele lor de intersecție  $l$  și  $l'$  care, dacă s-a desenat exact, trebuie să se afle pe aceeași verticală, ne dau imaginea micșorată de patru ori a izvorului de lumină și a proiecției lui pe sol.

Măsurînd pe scara perspectivă a tabloului, în  $M$ , pe urma planului depărtat al tabloului micșorat, orizontala  $vv'$  și verticala  $ll'$  aflăm că izvorul de lumină se află situat la o abscisă de 7 m de planul vizual vertical principal  $VV'$  și la o înălțime de 4,45 m față de planul obiectelor. Măsurînd cu aceeași unitate de măsură lungimea  $PD/4$  (lungimea distanței principale a tabloului micșorat de patru ori) găsim că planul frontal în care se află izvorul de lumină este la o adîncime de 8 m față de planul neutru.

Dacă aceste dimensiuni nu corespund, artistul va modifica în tabloul micșorat locul izvorului de lumină și va desena umbrele respective ale verticalelor  $ab$  și  $cd$ . Prin paralele geometrice va modifica în consecință și umbrele verticalelor  $AB$  și  $CD$  din tabloul inițial, umbre cu ajutorul cărora va trasa cele două rețele perspective pentru a desena direcția și lungimea umbrelor volumelor cuprinse în tablou.

Procedînd cum s-a arătat mai sus și determinînd prin restituire perspectiva și locul ocupat în spațiu de diferitele figuri sau elemente cuprinse în tablou, artistul va putea să plaseze în atelierul său figurile, celelalte elemente și izvorul de lumină pentru a studia și picta după natură în cele mai mici amănunte umbrele proprii și purtate din compoziția sa.

**93.** — *b) Cînd umbra desenată se îndreaptă spre desenator* (fig. 104). Problema este aceeași ca mai sus cu deosebire că la o depărtare nesfîrșită izvorul de lumină artificială confundîndu-se cu soarele, umbra purtată de verticala  $CD$  ar avea același punct de fugă  $S'$  ca dreapta  $A'B$  prelungită pînă la linia orizontului. În figura 104 se arată cum se poate desena această umbră  $De$  cu punctul de fugă  $F$  inaccesibil, considerînd-o ca latura de completare a dreptunghiului  $A'BDe$  (I 401). Pe orizontala dusă prin punctul  $D$  s-a luat segmentul  $Di'$  egal cu segmentul  $ik$  și dreapta de capăt  $Pi'$ , prelungită, determină în  $e$  capătul umbrei  $De$ .

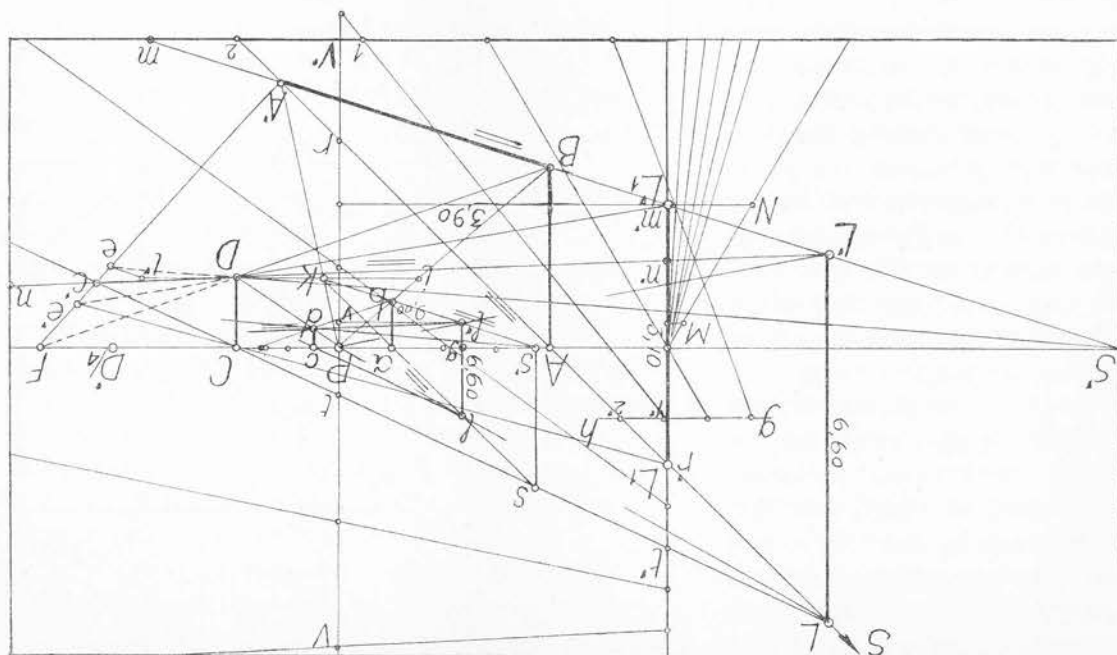
Folosind aceleași litere ca în figura precedentă, în figura 104 se arată că între umbrele limită  $DF$  (cînd izvorul de lumină ar fi la o depărtare nesfîrșită) artistul poate da umbrei verticalei  $CD$  orice direcție  $DC'$ ,  $De'$  etc.

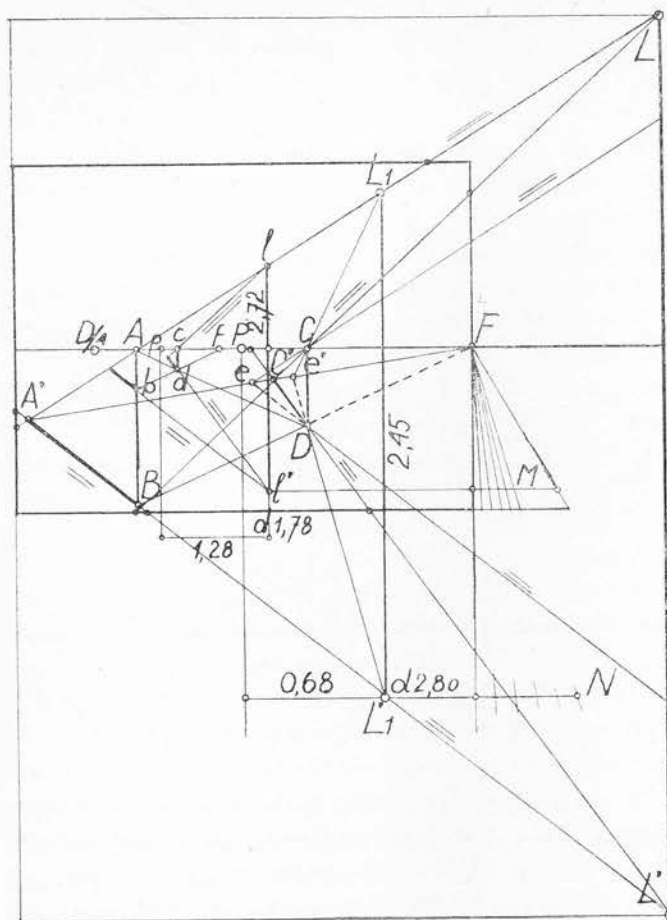
Cînd direcțiile sînt cuprinse între  $DF$  și  $De'$  izvorul de lumină ar fi accesibil. Dacă s-ar afla la marginea tabloului, în  $L_1L'_1$  cu unitatea de măsură luată în  $N$  pe scara perspectivă a tabloului, s-ar găsi că se află la o înălțime de 3,10 m și la o distanță de 3,90 m spre stînga de planul vizual vertical principal  $VV'$ . Distanța principală redusă de patru ori  $PD'/4$ , măsurată cu aceeași unitate de măsură are o lungime de 2,70 m, ceea ce înseamnă că între planul neutru și planul de front al izvorului de lumină sînt  $2,70 \times 4 = 10,80$  m.

Pentru a verifica dacă este corespunzător locul ocupat în spațiul de izvorul de lumină inaccessibil se va folosi ca mai sus (92, fig. 103) procedeul micșorării și pentru a se putea urmări mersul lucrării în figura 104 s-au folosit aceleași litere ca în figura 103. Pe această cale s-a putut stabili că acest izvor de lumină are o înălțime de 6,60 m aflându-se la o abscisă de 9 m de planul vizual principal și la o adâncime de 16,60 m de planul neutru. Artistul poate judeca dacă aceste dimensiuni sînt sau nu corespunzătoare procedînd apoi cum s-a arătat mai sus.

Cind direcțiile sînt cuprinse între  $De$  și  $De$  izvorul de lumină din ce în ce mai depărtat, ar fi inaccesibil iar umbrele s-ar desena cu ajutorul rețelelor. Spre exemplu dacă artistul ar alege umbra  $DC$ , rețelele perspective s-ar desena, cum s-a arătat mai sus, pornind de la dreptele  $mA'Bm'$  și  $nC'Dn'$  pentru rețeaua direcției umbrilor și de la razele de lumină  $A'rA'$  și  $C'Cl'$  pentru rețeaua cu ajutorul căreia vom determina lungimea umbrilor. În figura 104 s-a desenat numai această rețea, împărțind într-un număr de părți egale (în cazul de față numai în două părți) segmentele verticale  $l'r'$  de pe marginea laterală a tabloului și  $tr$  de pe verticala  $VV'$ . Diviziunile se repetă pe toată lungimea verticalelor și se unesc două câte două. Pentru completarea rețelei în partea inferioară a tabloului s-au folosit două paralele orizontale: marginea inferioară a tabloului și orizontala  $gh$  pe care s-au repetat segmentele  $1-2$  și  $1'-2'$  luate dintre două linii deja precizate ale rețelei respective.

Fig. 104 (91, 92, 93, 95, 97)





doă verticale în tabloul micșorat. Umbrele paralele geometrice cu acestea ne vor da posibilitatea să desenăm în tabloul inițial rețele perspective pentru desenarea celorlalte umbre. *Exemplu* (fig. 104). Într-un tablou, în care cunoaștem elementele perspective, să se deseneze imaginea perspectivă a unui izvor de lumină artificială situat în spațiul real, într-un plan frontal la o adâncime de 16,60 m față de planul neutru, spre stînga la 9 m față de planul vertical principal și la o înălțime de 6,60 m față de planul obiectelor. Dîndu-ne seama că lărgimea cerută de 9 m nu va intra în cadrul tabloului vom rezolva problema într-un tablou micșorat de patru ori în jurul punctului  $P$  luat ca pol de micșorare. Pentru a afla mărimea unității de măsură a planului de front situat la o depărtare de patru ori mai mare decît 16,60 m este suficient să împărțim în 16,6 părți a patra parte din distanța principală, adică lungimea  $PD/4$ . Cu această unitate de măsură, luăm pe linia orizontului, spre stînga de punctul principal, o lungime  $Pg$  de 9 m și pe verticală ridicată prin punctul  $g$  măsurăm sub linia orizontului  $gl'$  de 1,70 m și deasupra  $gl$  de 4,90 m ( $1,70 + 4,90 = 6,60$  m) obținînd astfel imaginea micșorată de patru ori a izvorului de lumină în  $l'$ .

Desenăm umbrele purtate de două verticale  $AB$  și  $CD$  micșorate în  $ab$  și  $cd$ . Ducînd prin  $A$  și  $B$  precum și prin  $C$  și  $D$  paralele geometrice la umbrele din tabloul micșorat, obținem direcțiile  $m'm$  și  $n'n$  precum și razele  $r'$  și  $l'$  cu ajutorul cărora desenăm, cum s-a arătat mai sus, rețelele perspective în tabloul inițial. Acestea se desenează ca în figurile 103 și 104.

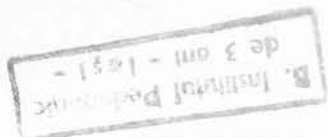
#### Izvorul de lumină se află în spațiul intermediar

96. — *B*. În tablourile de dimensiuni mici, cum sînt ilustrațiile acestei cărți, distanța principală nu poate fi mare. Spațiul intermediar între planul tabloului și planul neutru este foarte îngust, iar linia pămîntului și urma planului neutru sînt foarte apropiate. Izvorul de lumină aflat în acest spațiu se va găsi atît de vecin de planul neutru încît umbrele se pot trasa ca și cum izvorul de lumină s-ar afla chiar în planul neutru, traseu ce se arată mai departe (98).

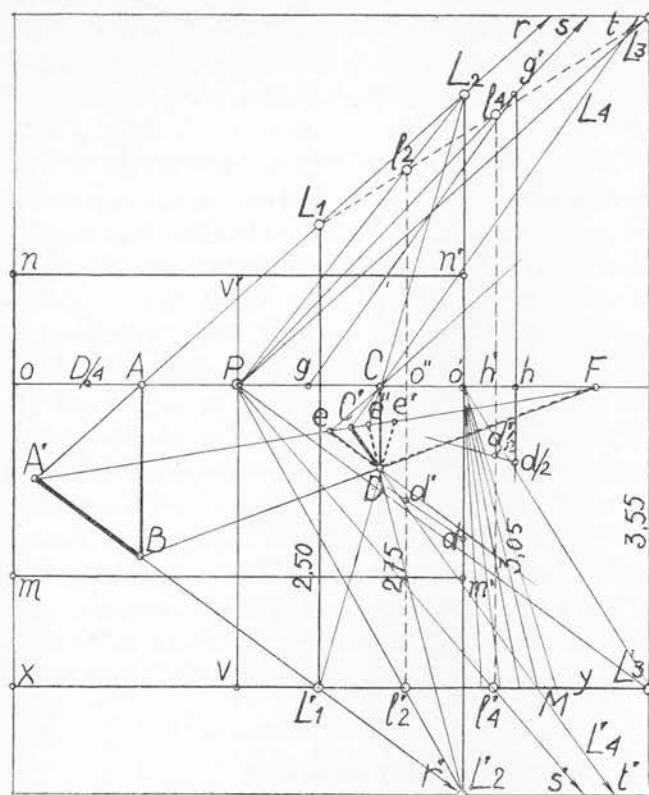
Pentru rezolvarea problemei în tablouri de mari dimensiuni vom folosi tot procedeu

micșorării. În figura 106 s-a reprezentat în  $m'm'n'$  un tablou de  $2,40 \times 1,60$  m micșorat de 40 ori și în  $xy$  linia de pămînt a tabloului la o cotă de 1,60 m față de linia orizontului  $oo'$ . Distanța principală, adică depărtarea dintre planul tabloului și planul neutru, a unei compoziții de această mărime poate fi de circa 3 pînă la 7 m.

Fie  $A'B$  umbra purtată de verticala  $AB$  a cărei orientare și lungime a fost aleasă de desenator. Izvorul de lumină artificială se va găsi pe raza  $A'A$  prelungită, iar proiectia lui pe pămînt pe dreapta  $A'B$  prelungită. Pentru a preciza locul pe care îl ocupa în spațiu vom lua încă o verticală  $CD$  astfel aleasă încît dreapta  $BD$  prelungită, să aibă punctul de fugă  $F$  în cadrul tabloului sau cum este în cazul prezent, în cadrul hîrtiei pe care lucrăm. Dreapta  $A'F$  va limita lungimea umbrei verticalei  $CD$ .







**97.** — Intrucît, pe planul obiectelor, piciorul perpendicularei coborîte din izvorul de lumină aflat în spaţiul intermediar se proiectează conic pe planul tabloului sub linia pămîntului (fig. 99 şi 102) problema nu se poate rezolva, în perspectivă directă, decît foto-sind ca şi în cazurile precedente procedeu micşorării pe care îl vom aplica într-o imagine de 20 ori mai mică decît mărimea reală a tabloului de mari dimensiuni ( $1,70 \times 1,20$  m) în care avem elementele lui perspective (fig. 107). Distanţa principală redusă de patru ori  $PD/4$ , măsurată cu linia gradată are  $0,0265$  m. Întreaga are deci  $0,0265 \times 4 = 0,106$  m şi în realitate, de 20 ori mai mult adică  $0,106 \times 20 = 2,12$  m. Aceasta este lărgimea totală a spaţiului intermediar dintre planul tabloului şi planul neutru în care este cuprins desenatorul.

rate ca mai sus pe linia pământului.

Pentru a găsi depărtarea de desenator a verticalei  $L_4L_4'$  inaccesibilă prin procedeu micșorării o apropiem de două ori spre exemplu de punctul  $g$  luat în mijlocul segmentului  $CP$ , ducem o paralelă  $gg'$  la raza  $Cl$  pînă la intersecția ei  $g'$  cu dreapta  $Ps$  (pentru că verticala  $l_4l_4'$  este micșorată de două ori). Pe verticala  $g'h$  luăm în  $hd/2$  o lungime egală cu  $jundale$  din distanța principală redusă de patru ori  $PD/4$ . Unind  $d/2$  cu punctul principal obținem în planul tabloului în  $h'd'/2$  o lungime care, măsurată pe linia pământului, are  $0,35$  m. Distanța între desenator și planul izvorului de lumină este de patru ori mai mare:  $0,35 \times 4 = 1,40$  m.

o înălțime de 2,75 m.

Pentru a găsi depărtarea de desenator a planului frontal în care este cuprins acest izvor de lumină, așezăm lungimea distanței principale redusă de patru ori  $PD/4$  pe verticala  $L_2L_2^i$  în  $o'd$ . Unind  $d$  cu punctul principal  $P$  determinăm în planul tabloului pe verticala corespunzătoare  $l_2l_2^i$  lungimea  $o''d$  care, măsurată pe scara perspectivă pe linia pă-mintului, are 0,60 m. Depărtarea căutată este de patru ori mai mare:  $0,60 \times 4 = 2,40$  m. Măsurătoarea se poate face când izvorul de lumină este și mai apropiat de desenator. Razele  $A'A$  și  $C'Cl$  prelungite se întîlnesc într-un punct inaccesibil. Cu ajutorul unei drepte ajutătoare împărțim segmentul  $rl$  în două segmente  $rs$  și  $sl$  proporționale cu segmen-tele  $AP$  și  $PC$ . Dreapta  $Ps$  care ar ajunge în același punct cu razele  $A'Ar$  și  $C'Cl$  deter-mină în  $l_4$  proiecția pe planul tabloului a izvorului de lumină care are o înălțime  $l_4l_4^i$  de 3,05 m și se află la 1,35 spre dreapta de planul vizual vertical principal, lungimi măsurate ca mai sus pe linia pămintului.

Pentru a afla poziția în spațiul intermediar a izvorului  $L_2$   $L_2$  unim imaginea izvorului de lumină din planul tabloului  $L_1$  cu imaginea izvorului de lumină din planul neutru  $L_3$  și unind cu punctul principal  $P$  punctele  $L_2$  și  $L_2'$  aflăm în  $l_2$  (pe dreapta  $L_1L_3$ ) și în  $l_2'$  (pe linia pământului) imaginile izvorului de lumină protectate pe planul tabloului. Măsurând ca mai sus aflăm că izvorul de lumină e așezat spre dreapta la 0,90 cm și are o înălțime de 2,75 m.

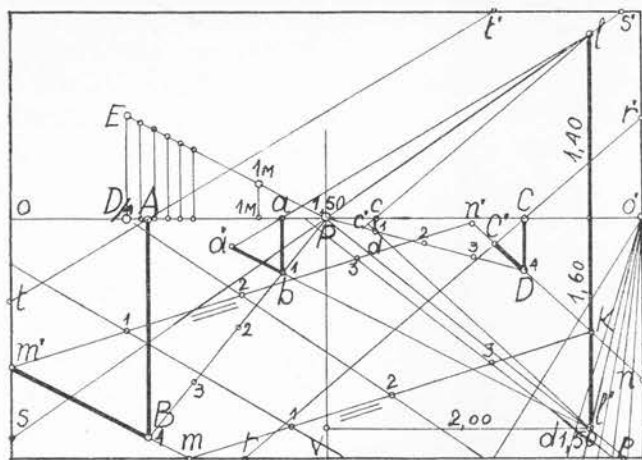


Fig. 107. (97)

sare vom determina umbrele a două verticale  $AB$  și  $CD$  pe care le micșorăm de patru ori în  $ab$  și  $cd$ . În tabloul micșorat, în care lungimea  $PD/4$  reprezintă distanța principală întreagă, unitatea de măsură a planului frontal situat la 1,50 m de planul neutru se află (aplicind grafic legea descreșterii perspective) împărțind cu dreapta ajutoare  $PE$  segmentul  $PD/4$  în 1,5 părți. În figură se vede și cum s-au obținut pe linia orizontului și subdiviziunile metrului.

Cu această unitate de măsură desenăm la 1,60 m (înălțimea presupusă a ochilor desenatorului) sub linia orizontului o orizontală pe care luăm, spre dreapta, lungimea dată  $pl'$  de 2 m. Pe verticala ridicată din  $l'$  măsurăm 1,40 m deasupra liniei orizontului pentru a determina în  $l$  înălțimea de  $1,60 + 1,40 = 3$  m a izvorului de lumină în locul cerut.

Din  $l'$  și  $l$  desenăm direcția și lungimea umbrelor  $a'b$  și  $c'd$  purtate de verticalele  $ab$  și  $cd$ .

Ducând prin  $B$  o paralelă geometrică la  $l'b$  și prin  $D$  o paralelă geometrică la  $l'd$  obținem în  $mBm'$  și în  $nDn'$  direcția umbrelor purtate în tabloul inițial. De asemenea ducând prin  $A$  o paralelă geometrică la  $la$  și prin  $C$  o paralelă geometrică la  $lc$  obținem în  $tAt'$  și  $rCr'$  direcția razelor luminoase.

În privința întocmirii rețelelor perspective de care s-a vorbit în cazurile precedente adăugăm două lămuriri și anume:

a) Direcția  $l'P$  și raza  $lP$  trecând chiar prin polul de micșorare  $P$  sînt comune tabloului micșorat și tabloului inițial și fac parte, prin urmare, din rețelele perspective căutate. Aceasta înseamnă că în perspectivă directă este suficient să găsim prin procedeul micșorării umbra purtată de o singură verticală  $AB$  din tabloul inițial deoarece rețelele se pot desena pornind de la această umbră ( $mBm'$  și  $tAt'$ ) și de la direcția  $pl'P$  și raza  $sP_1s'$  care trec prin polul de micșorare.

b) În cazurile precedente rețelele perspective s-au desenat între două orizontale (fig. 104) sau două verticale. În figura 107 se vede că pentru a obține dintr-o dată rețeaua pe toată suprafața planului orizontal este mai simplu ca între direcțiile  $mBm'$  și  $nDn'$  să luăm două paralele  $mk$  și  $m'n'$ , înclinate, pe care le împărțim, după cum știm, în același număr de părți egale (în cazul nostru în patru părți).

De altfel, în afară de faptul că proiecția pe sol a izvorului de lumină își are imaginea ei perspectivă sub linia pămîntului, nu este nici o deosebire între aspectul umbrelor și

Punctele  $f, g, e, h$  etc. în care aceste drepte cu diferite orientări și înclinări străpung tabloul sunt punctele lor de adîncime nulă (1, 82). Punctele lor respective de fugă  $F_2, F_1, Fl, Fa$  etc. se obțin, după cum se știe (1 104, 110) la intersecția tabloului cu razele de fugă paralele cu dreptele respective: raza  $OF_2$  paralelă cu  $LF$ , raza  $OF_1$  paralelă cu  $LG$ , raza  $OFa$  paralelă cu  $LE$ , raza  $OFd$  paralelă cu  $LH$  etc.

În figura 108 fie  $L$  punctul din planul neutru de unde pleacă drepte în diferite direcții:  $LF$  și  $LG$  orizontale oarecare cu orientări diferite și  $LE$  și  $LH$  înclinate oarecare, cu înclinări diferite, una coborîndu-se și cealaltă urcînd spre adîncul spațiului etc.

Într-adevăr, cînd izvorul de lumină se află în planul desenatorului înseamnă că atît mînaunchiul de drepte orizontale oarecare (direcțiile umbrelor purtate) cit și mînaunchiul de drepte înclinate oarecare (razele de lumină) au punctul lor de convergență în planul neutru. Dar putem demonstra cu ușurință că în acest caz imaginea perspective ale tuturor dreptelor orizontale oarecare sau înclinate oarecare, cu orice orientare sau înclinare, cînd au punctul lor de plecare în planul neutru, sînt paralele geometrice cu dreapta (cuprinsă în planul neutru) care unește acest punct de plecare cu ochiul desenatorului, așa cum se va arăta, cînd se va studia cîmpul oglinzilor orizontale (144) sau de capăt (172) și așa cum se arată mai jos.

Pe tablou vom putea însă înălța direcția umbrelor și direcția razelor de lumină întru-cît ca și în cazul luminii solare toate umbrele verticalelor reprezentate în tablou sînt paralele geometrice, cu deosebirea că nu au o direcție frontală ci orizontala oarecare, îndreptată spre adîncul spațiului.

98. — C. Ca și în cazul soarelui (29) cînd în același plan (în planul neutru) se află și izvorul de lumină artificială și ochiul desenatorului, raza vizuală care le unește, paralelă cu planul tabloului, nu-l poate pîtrunde. În acest caz nu vom avea deci nici imaginea reală nici imaginea virtuală a izvorului de lumină.

### Izvorul de lumină se află în planul neutru

Astfel să presupunem că figura 107 reprezintă un tablou în mîrimea lui reală, iar nu un tablou de dimensiuni mari. În acest caz distanța principala adică adîncimea spațiului intermediar are numai cîțiva centimetri (10,65 cm). În această ipoteză numai tabloul s-a micșorat și s-a apropiat de desenator. Volumele din spațiu ca și umbrele lor au rămas nemîșcate și imaginea lor perspectivă este asemenea cu aceea din tabloul de mari dimensiuni. Dar izvorul de lumină, și el nemîșcat, într-un plan frontal la 1,50 m de planul neutru, nu se mai poate găsi, în cazul tabloului de mici dimensiuni, în spațiul intermediar, ci cade în spațiul real, iar proiecția lui pe sol  $l'$  se va situa deasupra liniei pămîntului. Aceasta se află, la o depărtare reală de 1,60 m măsurată cu linia gradată, sub linia orizontului  $oo'$  din figura de mici dimensiuni.

felul de a le trasa cînd izvorul de lumină, în vecinătatea planului tabloului, se află în spațiul real sau în cel intermediar.



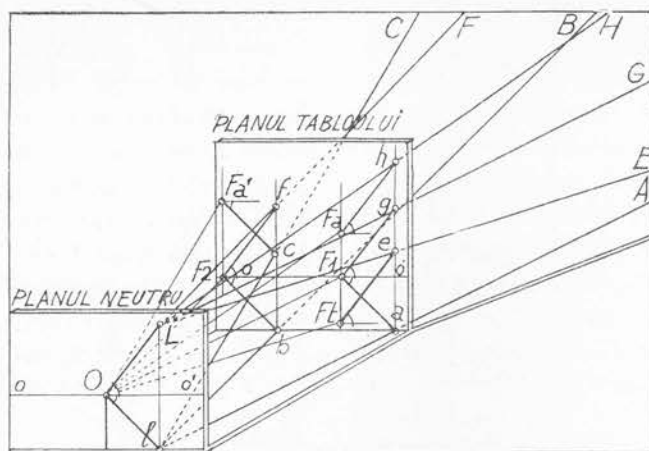


Fig. 108. (98, 100)

Demonstrația este valabilă pentru orice punct din planul neutru din care ar pleca drepte cu diferite orientări. În figura 108 se vede, spre exemplu, că și imaginile  $F_2b$ ,  $F_1a$ ,  $Fa'c$  etc. ale dreptelor  $lA$ ,  $lB$ ,  $lC$  etc. care pleacă din punctul  $l$  sînt paralele cu raza  $Ol$  care unește ochiul desenatorului cu punctul respectiv.

#### *Determinarea direcției și lungimii umbrelor purtate în perspectivă inversă*

**99.** — Umbrele diferitelor verticale cuprinse într-un tablou se desenează atunci cînd izvorul de lumină se află în planul neutru, ducînd paralele geometrice la direcția aleasă de artist  $A'B$  a umbrei verticalei figurii sau elementului principal din compoziție și la raza  $AA'$  care determină lungimea aceleiași umbre, știind, evident, că dacă izvorul de lumină artificială se află în planul neutru, umbrele purtate nu se pot îndrepta decît spre adîncul spațiului.

Dacă pentru studii de detaliu artistul dorește să cunoască locul ocupat în spațiu de izvorul de lumină pentru a putea obține în atelierul său umbrele dorite așezînd în planul său neutru un izvor de lumină la aceeași abscisă și înălțime, el va proceda după cum urmează (fig. 109).

Se desenează din punctul principal  $P$  paralele geometrice nedeterminate ca lungime la direcția umbrei ( $Pe' \parallel A'B$ ) și la raza de lumină care-i determină lungimea ( $Pl \parallel A'A$ ).

Se coboară apoi din punctul  $P$  o verticală  $Pd$  pe care se ia, la o scară oarecare, spre exemplu de 1 : 100 (1 cm = 1 m), înălțimea presupusă a ochilor desenatorului (spre exemplu 1,60 m) și se duce prin  $d$  o orizontală reprezentînd nivelul solului. Aceasta determină la  $L'$ , pe dreapta dusă din  $P$  locul unde se află proiecția, pe planul orizontal, a izvorului de lumină. Ridicînd o verticală din punctul  $L'$  determinăm în  $L$  izvorul de lumină. Această construcție se poate face în orice punct al tabloului sau pe altă foaie de hîrtie.

a) confundându-se cu acest punct când izvorul de lumină se află la nivelul solului, ginea  $L_5$  a izvorului de lumină însuși se află pe verticala coborâtă din  $L_5$  și anume:

După cum se vede în figura 102 proiecția pe sol a izvorului de lumină nu are imaginea lui virtuală, inversată, se va situa sub linia orizontului și în stînga tabloului. De lumină, deasupra nivelului ochilor desenatorului se află în spatele și în dreapta lui, virtual nu putem reprezenta pe tablou decît imaginea lui virtuală și inversată. Dacă izvorul

### Izvorul de lumină se află în spațiul virtual.

Și în acest caz au o lungime nestîrșită, iar — în cazul luminii unor puternice reflec- toare — se pot ridica pe boltă înmouată a cerului, umbre purtate de verticalele care depă-

100. — Cunoșcînd abscisa spre dreapta sau spre stînga și cota la care se găsește izvorul de lumină în planul neutru, desenăm la o scară oarecare (spre exemplu 1 : 100 în fig. 109) în  $Pd$  înălțimea, de exemplu de 1,60 m, a ochiului desenatorului, în  $dL'$  abscisa, de exemplu spre stînga, de 2,50 m, la care se găsește izvorul luminii și în  $L'L$  cota acces- tuia, de exemplu de 3 m. Desenînd dreptele  $PL'$  și  $PL$  obținem în planul tabloului direcția  $PL'$  cu care sînt paralele umbrele tuturor verticalelor din tablou (după cum s-a demonstrat mai sus—98) și direcția  $PL$  cu care sînt paralele razele de lumină care deter- mină lungimea umbrelor.

### În perspectivă directă

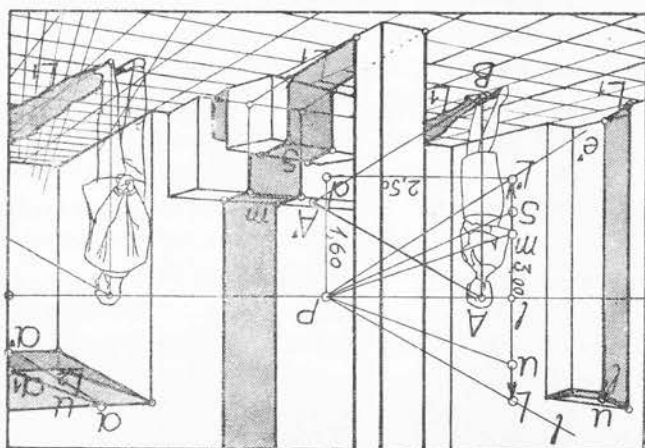


Fig. 109. (99, 100, 112, 119)

Măsurînd la aceeași sca- ră (1 : 100) segmentele  $dL'$  și  $L'L$  obținem abscisa și cota (în exemplul nostru de 2,50 m și 3,00 m) izvorului de lumină. Dacă aceste coordonate nu co- respund cu dimensiunile spa- tiului în care are loc acțiunea reprezentată în tablou, artistul va modifica, în perspectivă di- rectă, fiind seama de condi- tiile reale, dar și de efectul plastic urmărit, poziția izvoru- lui de lumină, pentru a desena corect umbrele.

b) între acest punct  $l_5$  și linia orizontului cînd izvorul de lumină are o înălțime mai mică decît aceea a ochilor desenatorului.

c) pe linia orizontului cînd izvorul de lumină are aceeași înălțime ca ochii desenatorului.

d) sub linia orizontului cînd izvorul de lumină are o înălțime mai mare decît ochii desenatorului.

Din cauza inversării imaginii perspective, a izvorului de lumină, în perspectivă directă, măsurătorile pe scara perspectivă a tabloului (fig. 102) trebuie făcute după ce luăm sub linia orizontului în  $ol'_5$  o înălțime egală cu aceea de deasupra acestei linii  $ol_5$ . În felul acesta s-a găsit că izvoarele de lumină  $L_6$  și  $L_5$  din figura 102 măsurate pe scara perspectivă în  $H$  și  $J$  au respectiv, față de planul obiectelor, o cotă  $l_6L_6$  de 4,20 m și  $l_5L_5$  5,20 m și o abscisă  $PO$  față de planul vizual vertical principal de 4 m și 5 m precum și la o adîncime de 4,40 m și 8,80 m de desenator (distanța principală redusă de patru ori  $PD/4$  are, măsurată cu unitatea de măsură din  $H$  și  $J$ , respectiv 1,05 m și 2,20 m; distanța principală ar avea deci  $1,10 \times 4 = 4,40$  m și  $2,20 \times 4 = 8,80$  m. Vezi I 320).

#### *Determinarea imaginii perspective a izvorului de lumină artificială*

**103.** — În perspectivă inversă. Cînd izvorul de lumină artificială se află în spațiul virtual umbrele figurilor din tablou nu se pot îndrepta decît spre adîncul spațiului. În figura 110 fie  $BA'$  umbra cu lungimea și orientarea, spre adîncul spațiului, aleasă de desenator, a verticalei  $AB$ . Umbra se îndreaptă spre stînga. Prin urmare izvorul de lumină, la o adîncime mai mare sau mai mică în spatele desenatorului, trebuie să se afle în dreapta lui. Imaginea lui perspectivă, inversată, se va găsi sub linia orizontului și în stînga tabloului în lungul razei  $AA'$ , prelungită, iar imaginea proiecției lui pe sol, inversată, se va situa tot în stînga tabloului dar deasupra liniei orizontului în lungul umbrei  $BA'$  prelungită și pe aceeași verticală ca imaginea izvorului de lumină.

Ca și în cazurile precedente, pentru a preciza, pe cale plastică, în perspectivă inversă, locul ocupat de izvorul de lumină în lungul razei  $AA'$  prelungită, este necesar să alegem în condițiile ce se vor arăta mai jos, orientarea umbrei unei alte verticale, spre exemplu  $CD$ , din tablou.

Prelungind dreapta  $BD$  care unește picioarele  $B$  și  $D$  ale celor două verticale obținem pe linia orizontului punctul ei de fugă  $F$  către care ducem și dreapta  $A'F$  care limitează lungimea umbrelor purtate de verticala  $CD$  în diferite direcții:  $De$ ,  $De_1$ ,  $DC'$ ,  $De_2$  etc.

În spațiul virtual izvorul de lumină poate să ocupe două poziții limită și anume cît mai aproape și cît mai departe de spatele desenatorului adică în planul neutru sau la nesfîrșit, cînd s-ar confunda cu soarele.

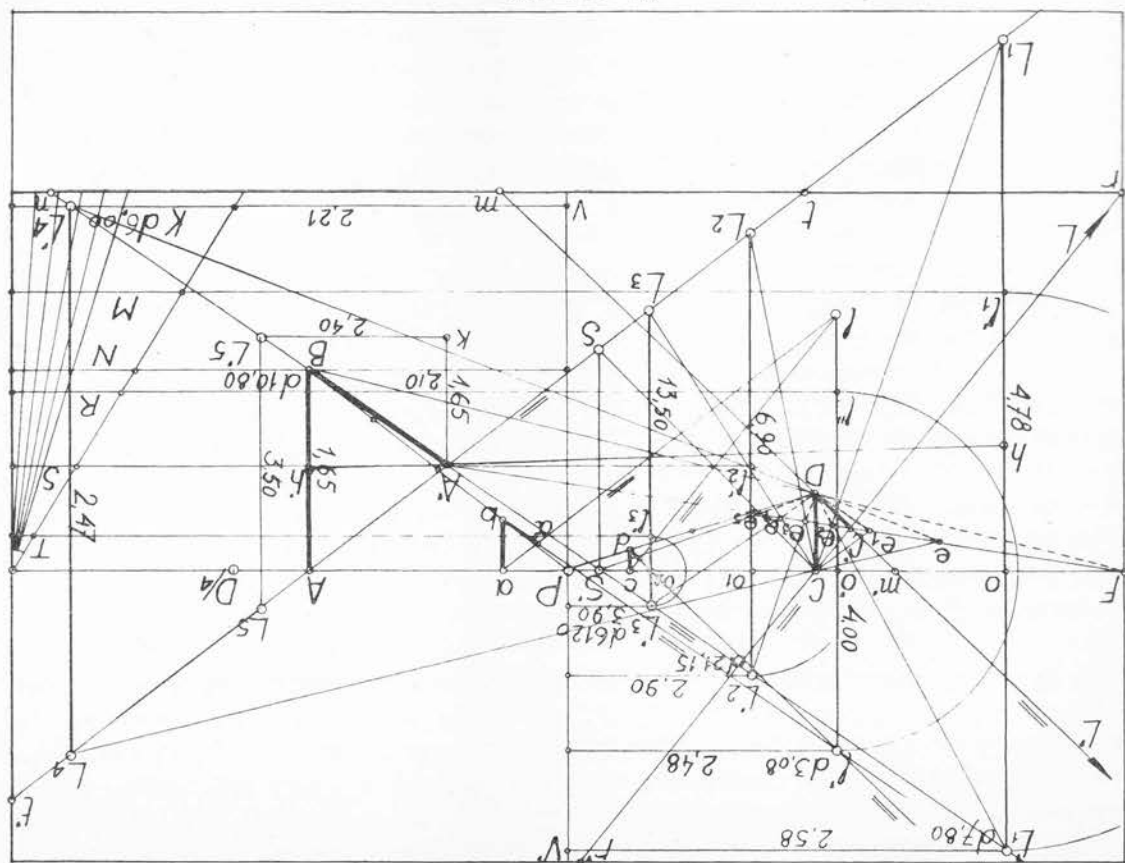
În primul caz umbra  $De_1$  a verticalei  $CD$  este paralelă geometric cu umbra  $BA'$  a verticalei  $AB$ .

În cazul al doilea imaginea inversată a proiecției pe sol a soarelui nu se poate situa decît pe linia orizontului (31) și anume în punctul  $S'$  unde umbra  $BA'$  prelungită întîlnește această linie, iar imaginea inversată a soarelui însuși s-ar găsi în  $S$ , punctul de intersecție a verticalei coborîte din  $S'$ , cu raza de lumină  $AA'$  prelungită. Umbra la soare a verticalei  $CD$  ar fi  $De_3$ .

Între aceste două umbre extreme  $De_1$  și  $De_2$  artistul poate alege direcția care corespunde viziunii sale plastice, știind că, neapărat, capătul umbrei se va afla pe dreapta  $AF$ . Dacă alege, spre exemplu umbra  $De_2$  imaginile perspective inversate ale izvorului de lumină se capătă prelungind umbra pînă la intersecția ei  $L_1'$  cu umbra  $BA'$  prelungită și cu verticala  $Ce_2$  pînă la intersecția ei  $L_1$  cu raza  $AA'$  prelungită și cu verticala coborîtă din  $L_1$ . Cînd aceste imagini intră în cadrul tabloului desenăm cu ajutorul lor toate umbrele din tablou, aflînd înții direcția lor, iar apoi lungimea lor. În figura noastră numai  $L_1'$  intră în cadrul tabloului. Se arată mai jos (107) cum se procedează în acest caz.

Pentru a cunoaște locul ocupat în spațiul virtual de acest izvor de lumină, vom folosi scara perspectivă a tabloului, amintindu-ne că imaginile lui perspective sînt inversate. Astfel unitatea de măsură pentru verticală  $L_1L_1'$  se găsește în  $M$ , pe urma  $l_1$  a planului frontal obținută luînd sub linia orizontului un segment  $ol_1$  egal cu segmentul inversat deasupra acestei linii  $ol_1'$ . Cu această unitate de măsură găsim că lumina se află la o înălțime de 4,78 m deasupra soluului, că se situează la dreapta desenatorului (pentru că

Fig. 110. (103)





imaginea este la stînga) la o abscisă de 2,58 m de planul vizual vertical principal  $VV'$  și la o adîncime de 7,80 m față de planul neutru. Aceasta s-a aflat măsurînd cu aceeași unitate de măsură lungimea de 1,95 m a distanței principale redusă de patru ori  $PD/4$  și înmulțind-o cu 4 ( $1,95 \times 4 = 7,80$  m) pentru a afla lungimea distanței principale întreagă (I 322).

Pe aceeași cale s-au aflat în figura 110 coordonatele izvorului de lumină  $L'_2L_2$ , măsurate în  $S$ , dacă artistul ar fi ales umbra  $De_3$  sau ale luminii și mai depărtate  $L'_3L_3$ , măsurată în  $T$  dacă s-ar fi ales umbra  $De_4$ .

Dacă s-ar fi ales umbra  $De_1$  presupunînd că izvorul de lumină se află chiar în planul neutru, acesta s-ar afla la 2,40 m în dreapta desenatorului și ar avea o înălțime de 3,50 m. Pentru a determina aceste dimensiuni, la scara de 1:100 s-a desenat în  $A'k$  înălțimea de 1,65 m a desenatorului; la aceeași scară, cu linia gradată, s-a măsurat orizontală  $kL'_5$  și verticala  $L'_5L_5$  (100).

Știm că dacă s-ar fi ales o umbră cuprinsă între  $DF$  și  $De_1$ , spre exemplu umbra  $De$ , izvorul de lumină s-ar fi aflat în spațiul real sau intermediar și imaginea lui neînversată de exemplu  $L_4L'_4$  se măsoară direct pe scara perspectivă, de exemplu, în  $K$ .

Dacă artistul alege umbra  $DC'$  pentru ca izvorul de lumină să fie mai apropiat de planul neutru, vedem că prelungind, ca mai sus, direcția umbrei  $DC'$  și raza  $CC'$  nu putem determina imaginile  $L$  și  $L'$  care sînt inaccesibile. În acest caz umbrele se vor desena cu ajutorul rețelelor perspective care se vor întocmi pornind de la drepte  $mm'$  și  $nS'$  pentru direcția umbrelor și de la razele  $rC'Cr'$  și  $tA'Al'$  pentru lungimea lor.

Pentru a cunoaște poziția în spațiu a izvorului de lumină cînd imaginile lui perspective sînt inaccesibile vom recurge ca și în cazurile precedente la procedeul micșorării.

În jurul punctului principal  $P$  micșorăm de patru ori în  $ab$  și  $cd$  verticalele  $AB$  și  $CD$  și ducem paralele geometrice prin  $b$  la  $BA'$ , prin  $d$  la  $DC'$ , prin  $a$  la  $AA'$  și prin  $c$  la  $CC'$ . Primele două prelungite se întîlnesc în  $l'$  și celelalte două prelungite se întîlnesc în  $l$ . Dacă s-au desenat exact punctele  $l$  și  $l'$ , imaginile micșorate de patru ori ale izvorului de lumină și ale proiecției lui pe sol trebuie să se afle pe aceeași verticală.

Pentru a măsura coordonatele acestor imagini micșorate și inversate luăm mai întîi, sub linia orizontului, segmentul  $o'l''$  egal cu segmentul inversat deasupra acestei linii  $l'o'$  și ducem prin  $l''$  pînă la scara perspectivă a tabloului orizontală  $l''R$  care reprezintă, într-un tablou care s-ar afla în spatele desenatorului, urma pe sol a planului frontal în care, în spațiul virtual, se găsește izvorul de lumină. Cu unitatea de măsură din  $R$  găsim că lumina se găsește la o înălțime de 4,00 m și la 2,48 m spre dreapta de planul vizual vertical principal. Imaginea fiind micșorată de patru ori, lungimea  $PD/4$  reprezintă distanța principală întreagă a tabloului micșorat. Măsurată tot în  $R$  aflăm că are 3,08 m. Aceasta este adîncimea, în spatele desenatorului, dintre planul neutru și planul frontal al izvorului de lumină.

În baza acestor date, artistul poate face o restituire perspectivă (I, 311) care îi permite, pentru studii de detaliu, să așeze pe teren (fig. 111) în  $O$  locul desenatorului, în  $B$  la o depărtare de 10,80 m și la 2,10 m spre dreapta de raza vizuală principală  $OO'$  figura  $AB$  iar lumina  $L'$  la o înălțime de 4,00 m în spatele desenatorului, la o adîncime de 3,08 m și la 2,48 m spre dreapta. În figura 111 printr-o rabatere în jurul axei  $L'B$  s-a

În figura 112 s-a reprezentat la scara de 5 mm pe metru, în proiecție orizontală ( $H$ ), în proiecție verticală ( $V$ ) și în proiecție laterală ( $L$ ) două izvoare de lumină, având aceeași înălțime și așezate simetric față de desenatorul  $OO'$  și anume unul  $LT_1L_1'$  în spațiul virtual iar celălalt  $L_2L_2'$  în spațiul real. Proiectându-le conic prin raze vizuale pe tabloul  $T'T''$  obținem imaginiile lor perspective care, după cum se vede în proiecția laterală, sînt egale

105. — a) Imaginäre Perspektive L'si L'ale izvo-

mini sînt inaccesibile (fig. 116).

e) imaginile perspective  $T$  și  $T'$  ale izvoarelor în-

lumina care sînt inaccesibile (fără figură).

(d) este accesibila numai verticala pe care se găseasc imaginele perspective  $L$  și  $L'$  ale izvoarului de

par nu si a proiectiei 7 (fig. 1c).

c) este accesibila numai imaginea perspectiva a proiectiei  $T'$  a izvorului luminii pe planul obiectelor,

and objective (Fig. 114).

b) este accesibilă numai imaginea perspectivă  $L$  a izvoarului luminii, dar nu și a proiecției ei  $L'$  pe planul  $\pi$  (fig. 114).

1.  $\frac{1}{2} \times \frac{1}{2} = \frac{1}{4}$

(d) imagine perspective  $T$  si è costruita alle 11.15

minat următoarele cazuri:

104. — *in perspectiva directa* vom Auge ab-

a caror umbra purtata o cantam.

loc de  $L_1$  se vor împarti în jumătate toate verticilate

desena umbrele din tablou cu ajutorul punctului 7 în

jumatarea inafimii inaccessibile a inafimii. Pentru a

determina pe verticala coborita din  $L_1$  punctul  $n$  la

на јунаrate A.B. HAZA H BA

prelungite, nu se încheie în cuprinsul capitolului, vom

in perspective, always, and, in particular, in the perspective of the future.

minha o lhaime de goud, de pain etc. on mai mica;

... (20) în acest caz se poate ca izvoarele de in-

la  $L_1$  este un cârmă capotat; Ca și pentru rama

*Nota:* Il figura in immagine invertita de l'ant-

are asistatului care privește figura și umbra ei parțiale;

putarea de liguri AD, iar în OD și OD<sub>2</sub> un număr vizuabil

rază de ianina care determină tangenta unității din

deschisat în L. tumida; în ADH găsim de 1,00 în m în BA

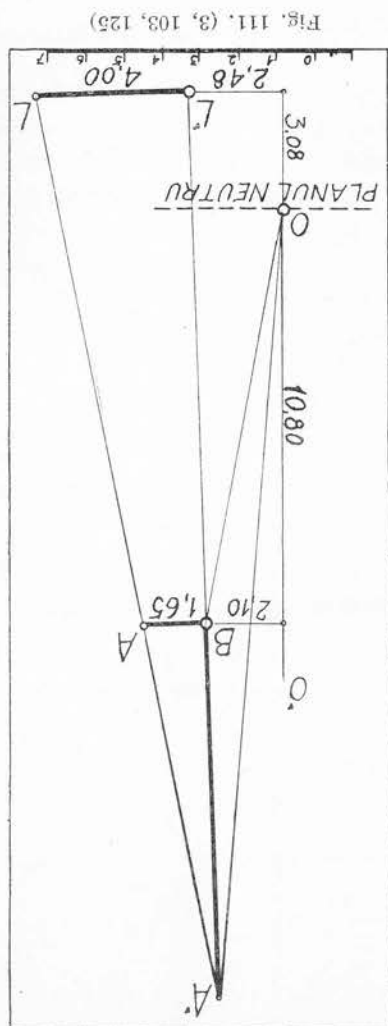
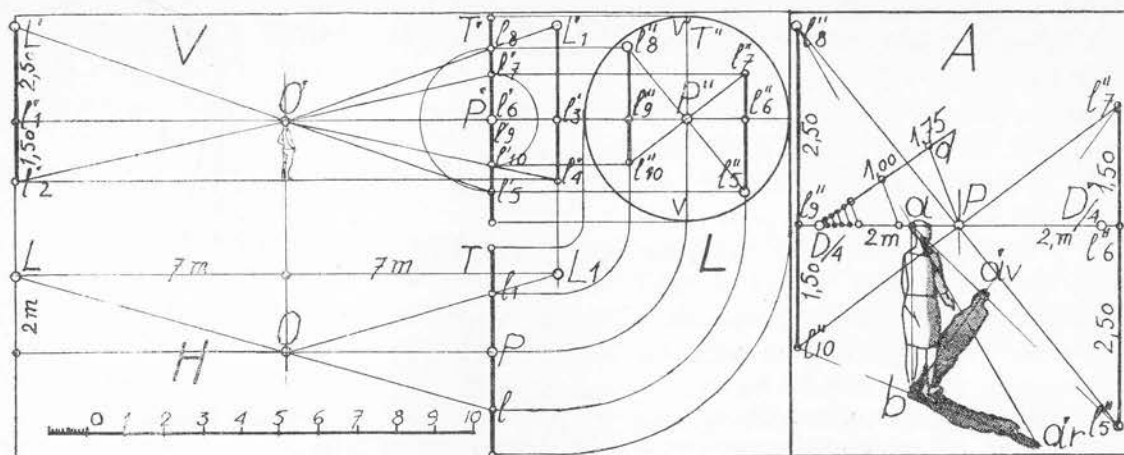


Fig. 111. (3, 103, 125)



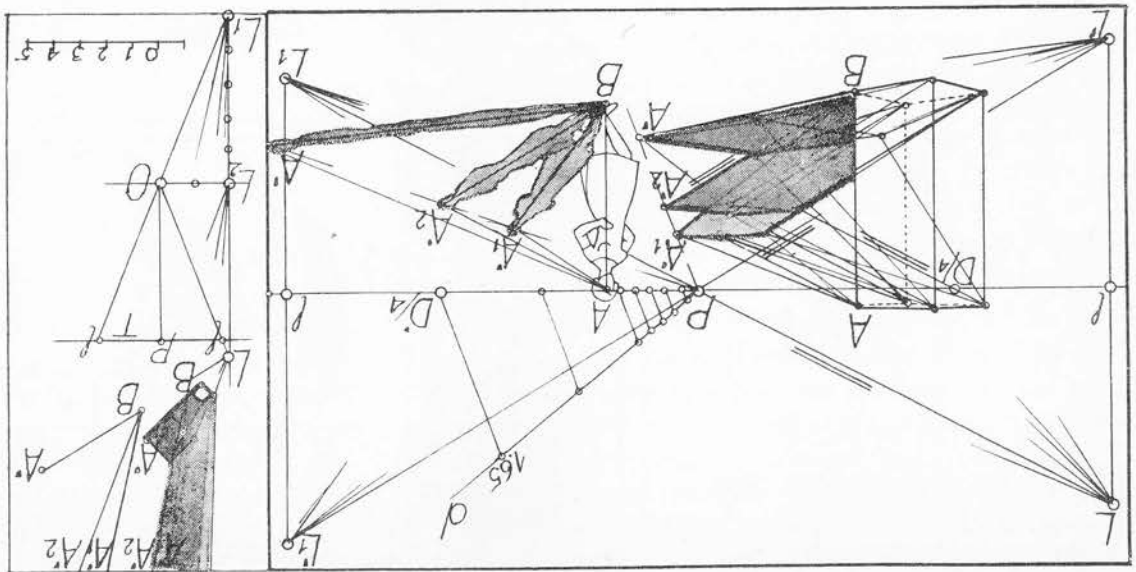
Rețeaua perspectivă a direcției umbrelor se va desena între două paralele cuprinse între dreapta determinată mai sus  $mn$ , prelungită până la marginea tabloului, și verticala

va întreta verticala  $LL'/2$  prelungită în punctul inaccesibil  $L'$ .  
 mentul  $n/2P$ . Dreapta  $mn$  fiind de două ori mai înclinată decât dreapta ajutoare  $mL'_2$  (nu neapărat aceea care trece prin punctul  $P$ ) vom lua segmentul  $mn/2$  egal cu segmentul  $n/2P$  și precizăm în  $n/2$  punctul ei de intersecție cu o verticală oarecare ridicată pe linia orizontală este bine să fie cât mai depărtată de verticala  $LL'/2$ . Vom duce dreapta ajutoare  $L'_2m$  ca să determinăm o singură dreaptă  $mn$  care, pentru a avea un rezultat cât mai exact, de fugă  $L'$ , pe verticala  $LL'/2$  prelungită, este inaccesibil. În acest scop este suficient umbrelor purtate va fi necesar să înlocuim o rețea perspectivă de drepte al căror punct cota — redusă la jumătate —  $LL'/2$  de  $0,80$  m ( $1,60:2=0,80$  m). Pentru a desena direcția în cadrul limitat al tabloului, s-a desenat — inversată — deasupra liniei orizontului — o orizontului în  $L$ . În schimb cota lui sub linia orizontului de  $1,60$  m neputând fi cuprinsă supusă la  $1,60$  m de  $1,75$  m. ( $1,75+1,60=3,35$  m) — s-a măsurat — inversată — sub linia pe verticala dusă prin punctul  $l$  cota izvorului luminii — deasupra liniei orizontului, pre-La această scară s-a măsurat abscisa — inversată spre dreapta — ( $Pl$  de  $1,85$  m, iar

ajutoare  $Pd$  segmente de  $1$  m și de  $1,35$  m ( $5,40:4=1,35$  m).  
 și punctul de distanță micșorat  $D/4$ , procedând ca în cazul precedent, luând pe dreapta scara planului frontal al acestuia s-a obținut, pe linia orizontului, între punctul principal  $P$  virtual (adâncimea  $5,40$  m, abscisa — în stânga desenatorului —  $1,85$  m și cota  $3,35$  m) sau dându-se, în perspectivă directă, (fig. 114) coordonatele izvorului luminii din spațiul

106. — b) Numai imaginea perspectivală  $L$  a izvorului luminii este accesibilă. Cunoșcând

Fig. 113. (3, 104, 119, 126)





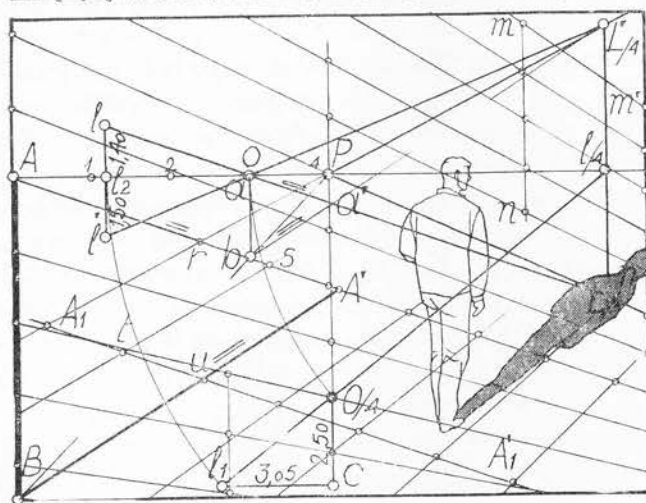
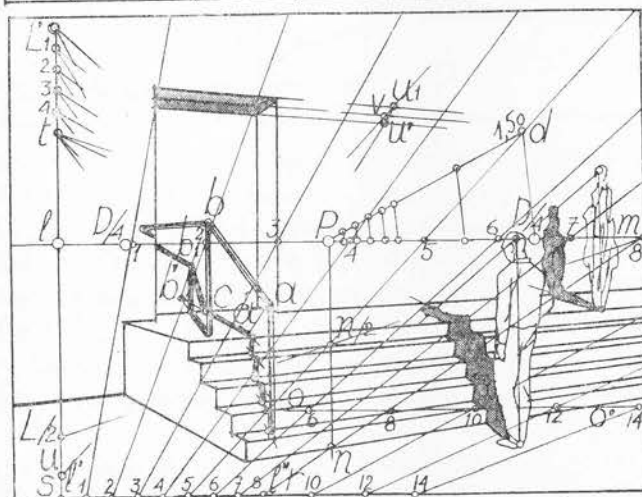
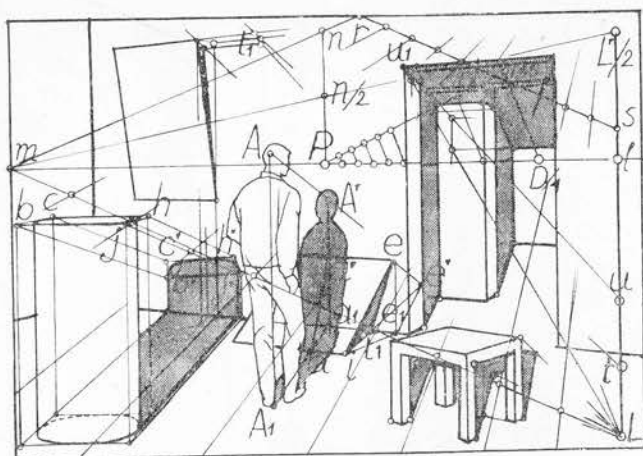


Fig. 114. (104, 105, 106, 108, 115, 117, 118, 119, 120)

Fig. 115. (104, 107, 108, 112, 117)

Fig. 116. (22, 104, 109)

$LL'/2L$ , și pe care le vom alege astfel încât să fie cât mai depărtate una de alta și să asigure o rețea care să acopere în întregime planul obiectelor cuprins în tabloul respectiv. În figura 114 pentru a corespunde scopului arătat mai sus, s-a dus dreapta  $rs$  paralelă cu dreapta  $mL$ , împărțindu-le apoi cu scara divergentă, într-un număr de părți egale. Rețeaua a fost desenată numai pe planul obiectelor și a fost utilizată pentru desena direcției tuturor umbrelor din compoziție cum se arată mai departe (117).

**107.** — *c.* Numai imaginea perspectivă  $L'$  a proiecției pe planul obiectelor a izvorului luminii este accesibil. În figura 115 s-a procedat ca mai sus pentru a găsi scara planului frontal al izvorului luminii, dar pe dreapta ajutoare  $Pd$  s-a luat, la scara de 1 cm pe metru, lungimea de 1,50 m, potrivit adâncimii de 6 m ( $6 \text{ m} : 4 = 1,50 \text{ m}$ ) a izvorului care are o abscisă — spre dreapta desenatorului de 2,00 și o cotă de 1,60 m sub linia orizontului și de 2,80 m deasupra ei. La scara determinată, cota  $LL'$  de 1,60 m — inversată, deasupra liniei orizontului și spre stânga punctului principal — este cuprinsă în cadrul tabloului în timp ce cota

desena — numai pe planul obiectelor, rețeaua direcției umbrelor purtate (pe dreapta  $AA'$ ,

Pe două paralele judicioase alese  $AA'$  și  $A_1A_1'$ , folosind direcțiile  $A_1PL/4$  și  $BA'$  vom găsi precum și razele  $AA'$  și  $PL/4$ , prelungite sunt suficiente pentru întocmirea celor două rețele. obținem direcția și lungimea  $BA'$  a umbrei verticalei  $AB$ . Direcțiile  $BA'$  și  $PL/4$  prelungite întimplare se suprapun pe raza  $OL/4$ . Ducând paralele geometrice  $BA' \parallel ba' L'/4$  și  $AA' \parallel aa' L'/4$  verticală micșorată va fi  $ba' L'/4$  iar lungimea ei  $ba'$  va fi determinată de raza  $aa' L'/4$  (care din plare, în figura 116 punctele  $a$  și  $o$  par a se suprapune). Direcția umbrei purtate de această a verticalei  $AB$ , de pe marginea tabloului, pe care o micșorăm de patru ori în  $ab$  (din întin prin procedul micșorării să desenăm umbra unei singure verticale din tablou, de exemplu Pentru întocmirea rețelor este suficient ca pe linia razele  $PL/4$  și  $PL'/4$ , prelungite, tot

de patru ori mai mare decât lungimile  $PL/4$  și  $PL'/4$ .

$L$  și  $L'$  ale izvorului luminii se vor găsi în lungul razelor  $PL/4$  și  $PL'/4$  la o depărtare izvorului luminii  $L/4$  și proiecției lui  $L'/4$  pe planul obiectelor. Întregi imaginile perspective ginile virtuale — inversate, dar micșorate de patru ori față de punctul principal  $P$  ale  $lo$  și  $l'o$ , prelungite, ne vor da la intersecția lor cu verticala dusă prin punctul  $l/4$  imaginea la aceeași scară de 1 mm pe metru pe verticala dusă prin punctul  $l_2$  în  $l_2'$  și  $l_2$ . Dreptele pe linia orizontului, ale cărei cote sub și deasupra acestei linii de 1,60 și 1,40 m le măsurăm în  $l/4$  aducem punctul de vedere micșorat  $o$  și imaginea micșorată  $l_2$  a izvorului luminii acestei raze în planul tabloului micșorat de patru ori. Cu două arcuiri ce cerc cu centrul precizează în punctul ei de intersecție  $l/4$  cu linia orizontului, punctul de pătrundere a cesibilă, este indicat să folosim procedul reducerii). Raza luminii  $l_0/4$ , prelungită, ne abscisei nu intră de cinci ori în adâncimea dată, sistem siguri că verticala  $LL'$  fiind înac- 2,50 m și în  $cl_m$  spre stînga, abscisa dată, de exemplu, de 3,05 m. (Întrucît jumătatea nultă, de exemplu de 5 mm pe metru măsurăm în  $O/4$  c adâncimea dată, de exemplu de al micșorării, luînd ca pol punctul de vedere micșorat de patru ori  $O/4$ . La o scară obiș- caz (fig. 116) pentru desenarea celor două rețele va trebui să folosim procedul cunoscut

109. — c) Imaginile perspective  $L$  și  $L'$  ale izvorului luminii sînt inaccesibile. În acest

desena rețeaua razelor luminoase pentru determinarea lungimii umbrelor purtate. se va desena o rețea pentru direcția umbrelor purtate și procedînd ca în figura 114

În acest caz va fi necesar să se întocmească două rețele. Procedînd ca în figura 114

planul obiectelor sînt inaccesibile (fără figură).

108. — d) Este accesibilă numai verticala pe care izvorul luminii și proiecția lui pe

pentru a completa rețeaua și în partea inferioară din dreapta tabloului. inferioară sînt a tabloului și linia orizontului  $lm$  și pe urmă o orizontală ajutătoare  $oo'$   $ls$  și  $mr$ , rețeaua perspective a razelor s-a desenat folosind ca drepte paralele imaginea inaccesibil  $L$ , de două ori mai departat de linia orizontului decât punctul  $L/2$ . Între razele Raza  $mmr$ , de două ori mai înclinată decât raza  $mm/2L/2$  va ajunge în punctul căutat dar din punctul  $P$ , s-a luat segmentul  $n/2n$  egal cu segmentul  $Pn/2$  determinat de raza  $L/2m$ . Pe o verticală oarecare, coborîta dintr-un punct al liniei orizontului, în figura 115 lumină pentru determinarea lungimii umbrelor purtate, procedînd ca în cazul precedent. 1,40 m, micșorată la jumătate (2,80:2=1,40), urmînd să întocmim o rețea a razelor de de 2,80 m — inversată, sub linia orizontului este inaccesibilă și o vom lua în  $LL/2$  de

prelungită, s-au repetat segmentele  $rs$  și  $sa'$ , iar pe dreapta  $A_1A'_1$  segmentele  $A_1t$  și  $tu$ ). Rețeaua razelor luminii pentru determinarea lungimii umbrelor purtate, pe tot tabloul, se va desena pe paralele verticalele  $AB$ ,  $Pc$  și apoi  $mn$  și  $m'n'$  repetind segmentele cuprinse între razele  $AA'$  și  $PL/4$ , prelungite.

#### DEOSEBIRILE DINTRE UMBRELE PURTATE DE LUMINA SOLARĂ (LUNARĂ) ȘI DE LUMINA ARTIFICIALĂ.

**110.** — Felul cum au fost studiate în perspectivă directă și inversă problemele luminii artificiale permit artistului ca, prin restituire perspectivă, să poată așeza în atelier sau pe teren, față de punctul său de vedere, atât izvorul luminii cât și figurile sau obiectele cuprinse în compoziția sa pentru a putea definitiva lucrarea sa prin amănunțite studii de detaliu și de ansamblu după natură. Ca urmare, în cele ce urmează nu se vor expune deosebiri multiple și subtile de cromatică, intensitate etc. dintre umbrele solare (lunare) și ale luminii artificiale ci numai posibilitățile plastice specifice luminii artificiale, care poate fi apropiată, depărtată, înălțată sau coborâtă după voia artistului pentru a susține cât mai corespunzător, prin jocul umbrelor, tematica compoziției sale.

Umbrele purtate de lumina solară sînt cu atât mai alungite cu cât soarele, în spațiul real sau virtual, este mai apropiat de linia orizontului. Imaginea perspectivă reală a soarelui se află întotdeauna deasupra liniei orizontului, iar imaginea virtuală a soarelui se află întotdeauna sub linia orizontului și în ambele cazuri proiecția  $S'$  a soarelui pe planul obiectelor nu se poate situa decît pe linia orizontului. La limită, atunci cînd soarele răsare sau apune în fața sau în spatele desenatorului imaginea soarelui  $S$ , și proiecția ei  $S'$  pe planul obiectelor se confundă iar umbrele purtate sînt nesfîrșite spre adîncul spațiului sau spre desenator.

Lumina artificială nu se prezintă în același fel.

Proiecția  $L'$  pe planul obiectelor, a izvorului luminii artificiale nu e posibil să se afle pe linia orizontului, căci nu se poate afla la depărtarea infinită a soarelui. Ea se află în planul obiectelor, sub linia orizontului cînd izvorul este în spațiul real (91), sub linia pămîntului cînd este în spațiul intermediar (96) și deasupra liniei orizontului cînd este în spațiul virtual (101).

În sfîrșit, cînd izvorul se găsește în planul neutru, proiecția lui pe planul obiectelor nu se poate proiecta pe tablou, de altfel ca și proiecția soarelui cînd desenatorul se află pe ecuator (98).

Imaginea perspectivă  $L$  a izvorului luminii se poate proiecta, în general, deasupra liniei orizontului cînd se află în spațiul real sau intermediar și sub linia orizontului cînd se află în spațiul virtual. Dar de îndată ce izvorul luminii, așezat pe sol, pe un scaun, pe o masă etc. are o cotă inferioară celei a punctului de vedere, imaginea lui se va situa sub linia orizontului cînd este în spațiul real și deasupra liniei orizontului cînd este în spațiul virtual. Vom examina aceste cazuri urmărind efectele plastice corespunzătoare.

Dar mai întîi, ca urmare a deosebirilor arătate mai sus, să arătăm cum se desenează umbrele purtate de lumina artificială pe alte plane orizontale decît pe planul obiectelor,

portate pe planul obiectelor de piciorul deschiderii, de stilp și de figuri sint paralele geo-ale băncilor, meselor, deschiderilor. În figură se vede cum pe planul obiectelor umbrele  $L_1$   $Pu$  direcția cu care sint paralele umbrele portate de verticale pe planele orizontale superioare lor, luind segmentele  $L's$ ,  $L'm$ ,  $L'u$  egale cu 0,45, 0,75 și 2,50 m, obținem în  $Ps$ ,  $Pm$ , în condițiile date, direcția  $L'P$  a umbrelor și raza  $LP$  pentru determinarea lungimii umbre- cată mai sus (111) însă neațată în figură. Dar în schema  $PL/L$  cu care s-a determinat, pe planele orizontale ale elementelor desenate se pot determina cu construcția grafică expli- 0,45, 0,75 și 2,50 m ale băncii, mesei și deschiderilor din figura 109. Umbrele portate măsurat în planul lor frontal, pe scara perspectivă a tabloului cotele, de exemplu, de  $b$ ) *Izvorul luminii este în planul neutru*. Desenatorul, definind compoziția sa, a treaptă direcțiile  $dd_1$  și  $d_2d_3$  ale umbrei portate  $D_1D_1'D'$ ,  $dd_1$  și  $d_2d_3$  de figura  $DD_1$ .

prelungită, cotele  $L'1$  de 0,15 m ale contrareptelor pentru a desena pe prima și a doua Tot în  $L'$ , în aceeași figură s-au măsurat, sub planul obiectelor pe verticala  $LL'$ , desenată prelungind direcția  $mC_1$  fără a face nici o altă construcție grafică.

felul acesta umbra  $C_1C_1$  purtată de verticala  $CC_1$  de pe masa din stînga figurii 121 a fost măsurându-le pe scara perspectivă în  $L_1$ , adică în planul frontal al acestei verticale. În compoziția) vom determina pe verticala  $L'L$  aceleași cote  $L's$  și  $L'm$  de 0,45 și 0,75 m, care le-a măsurat pe scara perspectivă a tabloului în  $S$  și în  $M$  atunci cînd a definitivat 0,75 m a feței superioare a mesei din figura 121 (aceste cote sint cunoscute desenatorului planului obiectelor, de exemplu cota de 0,45 m a feței superioare a scaunului sau cota de  $a$ ) *Izvorul luminii este în spațiul real*. Cunoșcînd cota planului orizontal dat deasupra

pe care se găsește izvorul luminii și proiecției lui pe planul obiectelor.

**112.** — Cu ajutorul punctului de intersecție a planului orizontal dat cu verticala  $LL'$

luminii și proiecția lui pe planul obiectelor.

este indicat să fie folosit de cîte ori este inaccesibilă verticala  $LL'$  pe care se află izvorul ordine 1—1' și 2—2' folosind umbra purtată  $B-A'$  pe planul obiectelor. Acest procedeu (fig. 121) pe planul orizontal al scaunului se poate obține cu ajutorul a două linii de **111.** — Cu ajutorul umbrelor portate pe planul obiectelor. Umbra purtată de figura  $AB$

#### UMBRELE LUMINII ARTIFICIALE PE DIFERITE PLANE ORIZONTALE

urmăzătoare:  
verticală, punctul ei de intersecție cu planul orizontal respectiv, procedînd după cum scării perspective a tabloului sau cu a scării planului frontal în care se găsește această construcția grafică arătată mai jos — trebuie să determinăm, în prealabil, cu ajutorul desena o umbră purtată de o verticală pe un plan orizontal oarecare — dacă nu folosim pe o verticală  $LL'$  care întretaie linia orizontului într-un punct întîmpător  $L$ , pentru a dal. În cazul luminii artificiale, izvorul  $L$  și proiecția lui  $L'$  pe planul obiectelor, aflîndu-se care se îndreaptă umbrele portate de verticale, indiferent de nivelul planului orizontal linia orizontului, adică pe linia de fugă a tuturor planelor orizontale, este punctul către problemă ce nu se pune în cazul luminii solare întrucît proiecția  $S'$  a soarelui aflîndu-se pe



metric direcției  $PL'$ ; cum umbrele  $S$ , purtate de stîlp pe fața superioară a băncii sînt paralele geometric direcției  $Ps$  și cum umbrele  $m$ , purtate pe fața superioară a mesei sînt paralele geometric direcției  $Pm$  și cum, pentru a desena umbra  $a'$  purtată de un punct  $a$  a muchiei anterioare a deschiderii (și deci a întregii muchii) s-a dus direcția  $aa_1$  paralelă direcției  $Pu$  apoi, pe verticala coborîtă din punctul  $a_1$  s-a determinat umbra căutată  $a'$  ducînd raza  $aa'$  paralelă razei  $LP$ . O construcție asemănătoare s-a făcut și la deschiderea, mai puțin adîncă a celui alt perete.

c) *Izvorul luminii este în spațiul virtual*. În acest caz cotele de pe verticala  $LIL'$  nu vor putea fi măsurate — ca în cazul izvorului din spațiul real — pe scara perspectivă a tabloului ci pe scara planului vertical în care e cuprinsă și pe care am determinat-o cu dreapta ajutătoare  $Pd$ , pe linia orizontului între punctul principal  $P$  și punctul de distanță micșorat  $D/4$ .

Astfel în figura 115 cotele  $L'-1-2-3-4$   $t$  de cîte 0,15 m și  $lu$  de 2,50 m au fost măsurate cu unitatea de măsură determinată pe linia orizontului între punctele  $P$  și  $D/4$ . În această figură se vede cum s-au îndreptat către punctele 1, 2, 3, 4, umbrele purtate pe cele patru trepte și cum s-a îndreptat spre punctul  $t$  umbra purtată pe palier de stîlpul respectiv al balustradei (ceea ce a permis să se deseneze în  $a'b'$  umbra purtată de balustrada înclinată pe palier și apoi în  $cb_1$  umbra purtată de aceeași balustradă pe peretele vertical din fundul firidei dreptunghiulare. S-a procedat la fel pentru determinarea umbrei figurii pe treptele și contratreptele peronului.

Procedîndu-se cum s-a arătat mai sus s-a determinat umbra purtată de muchia orizontală anterioară a firidei ducînd direcția  $u_1u$ , și pe verticala coborîtă din  $v$ , lungimea  $vu'$  a umbrei a fost determinată de raza  $u_1u'$  dusă pe rețeaua respectivă, punctul  $L$  fiind inaccesibil.

În continuare, în figura 114 în care, pe verticala  $L'_2IL$  s-au desenat segmentele  $lu$  și  $lt$  de 0,90 m ( $2,50 - 1,60 = 0,90$  m) și de 1,30 m ( $2,90 - 1,60 = 1,30$  m) — măsurate cu unitatea măsurii determinate pe linia orizontului între punctele  $P$  și  $D'/4$  — și reprezentînd cotele deschiderii și a marginii superioare a tabloului din perete — se vede cum s-a desenat direcția acestor umbre îndreptîndu-le spre punctele  $u$  și  $t$ , iar lungimea lor cu razele  $u_1L$  și  $t_1L$ .

**113.** — *Umbrele luminii artificiale cînd cota izvorului este mică* permit rezolvări plastice pe care lumina solară nu le poate da.

*Cînd izvorul luminii este în spațiul real* și se găsește pe planul obiectelor, ca în tabloul lui Domenico Feti (fig. 117, sau la o cotă foarte mică, cum este focul vetrei din figura 118, umbra unei figuri, foarte mare, poate să ajungă pînă pe plafonul încăperii, iar umbra unei mese, a cărei față superioară nu poate fi luminată, se ridică deasupra ei pe perete.

*Cînd izvorul luminii este în planul neutru* și se găsește la o cotă mică, de exemplu de 0,60 m — ca în figura 119, umbra unei figuri depășește linia orizontului, iar umbra purtată de o masă sau de un tablou atîrnat de perete se ridică deasupra lor: direcția umbrei  $bb_1$  s-a desenat paralelă geometric cu direcția  $PL'$  iar lungimea umbrei  $aa'$ , pe verticala ridicată din punctul  $b_1$  s-a desenat paralelă geometric cu raza  $PL$ .

Nu credem că numeroasele probleme dezvoltate în capitolul precedent, relative la umbrele proprii și la umbrele purtate de lumina solară, ar trebui să fie examinate din nou în cazurile luminii artificiale când aceasta se află fie în spațiul real sau în spațiul virtual, fie în planul neutru al desenatorului. Înlocuind în fiecare caz punctul de fugă  $S'$  al proiecției soarelui pe linia orizontului cu punctul de convergență  $L'$  al direcțiilor umbrelor purtate — proiecția izvorului de lumină artificială pe planul obiectelor — și imaginea perspectivă a soarelui cu aceea  $L$  a izvorului de lumină artificială, sau folosind rețelele perspective când

### Aplicații

corespunzătoare rețele perspective).  
 fiile, fără a înlocui — după cum s-a explicat mai sus 92, 93, 94, 97, 106, 107, 109) — în ceaaltă jumătate (S-au folosit aceste puncte inaccesibile pentru a simplifica explica-

Fig. 117. (1, 3, 89, 90, 113) Domenico Felis: Parabola  
 drahniet p erdute



Când izvorul luminii este în spațiul virtual și se găsește la o cotă foarte mică  $L'L$ , de 0,10 m (jumătatea stângă a figurii 120) sau la o cotă mică  $L'L_1$  de 0,60 m (jumătatea dreaptă a aceleiași figurii) cum ar fi, de exemplu, o iluminare așezată pe planul obiectelor sau pe un scaun la o adâncime de 2,60 m ( $4 \times 0,65 = 2,60$  m) și o abscisă de 1 m în spatele și în dreapta desenatorului de asemenea umbre purtate de un scaun, de un dulap, de o masă, de un tablou se vor ridica pe rețele deasupra lor. Măsurate la scară determinată între punctul principal  $P$  și punctul de distanță micșorat  $D/4$ , segmentele  $LL'$ ,  $L'L_1$  și  $L'L_1$  (pentru jumătatea dreaptă a tabloului) au, respectiv, 1,60 m, 0,10 m și 0,60 m. Umbrele purtate se îndreaptă către punctul  $L'$  iar lungimea lor a fost dată de razele îndreptate către punctul  $L$  în jumătatea stângă a figurii și către punctul  $L_1$

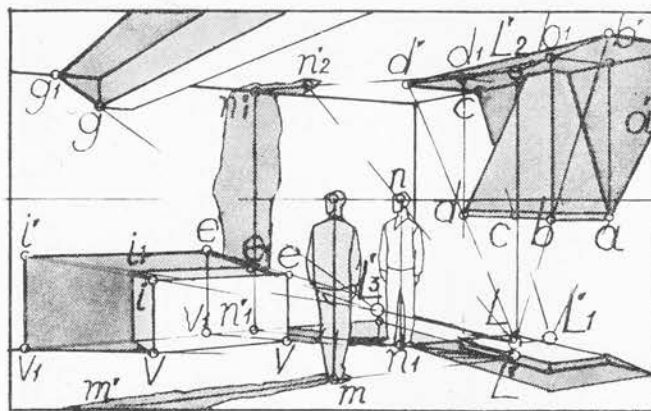


Fig. 118. (90, 113, 114, 119)

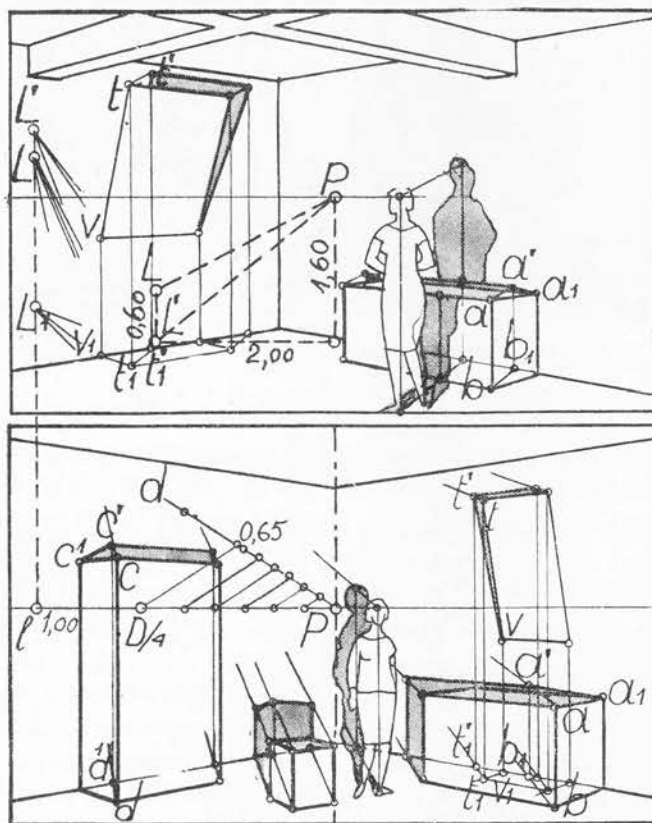


Fig. 119. (113, 114, 119)

Fig. 120. (113, 114, 119)

acestea sînt inaccesibile, umbrele se vor trasa urmînd aceleaşi procedee pentru a găsi mai întîi direcţia lor, apoi lungimea lor, oricît de diferite vor fi efectele plastice ce se vor obţine.

În cele ce urmează, într-un număr restrîns de probleme vom căuta să exemplificăm calea de urmat pentru trasarea umbrelor luminii artificiale.

114. — Umbra perpendicularelor pe diferite plane. Problema se rezolvă cu ușurință de îndată ce se cunoaște proiecția  $L'$  a izvorului luminii date pe planul respectiv, proiecție ce se obține ducând pe acestea o perpendiculară din izvorul luminii.

Astfel într-o încăpere orientată frontal (fig. 121) izvorul luminii  $L$  atârnat de plafon, cu ajutorul urmei  $III$  a planului frontal în care este cuprins a putut fi proiectat:

pe planul obiectelor în  $L'$ ,  
proiecție cu ajutorul căreia s-au  
determinat umbrele purtate pe  
planul obiectelor de toate figurile  
și celelalte verticale din compo-  
ziție.

pe peretele de capăt din  
stînga în  $L'_i$ ;

pe peretele de capăt din dreapta în  $L'_2$ ;

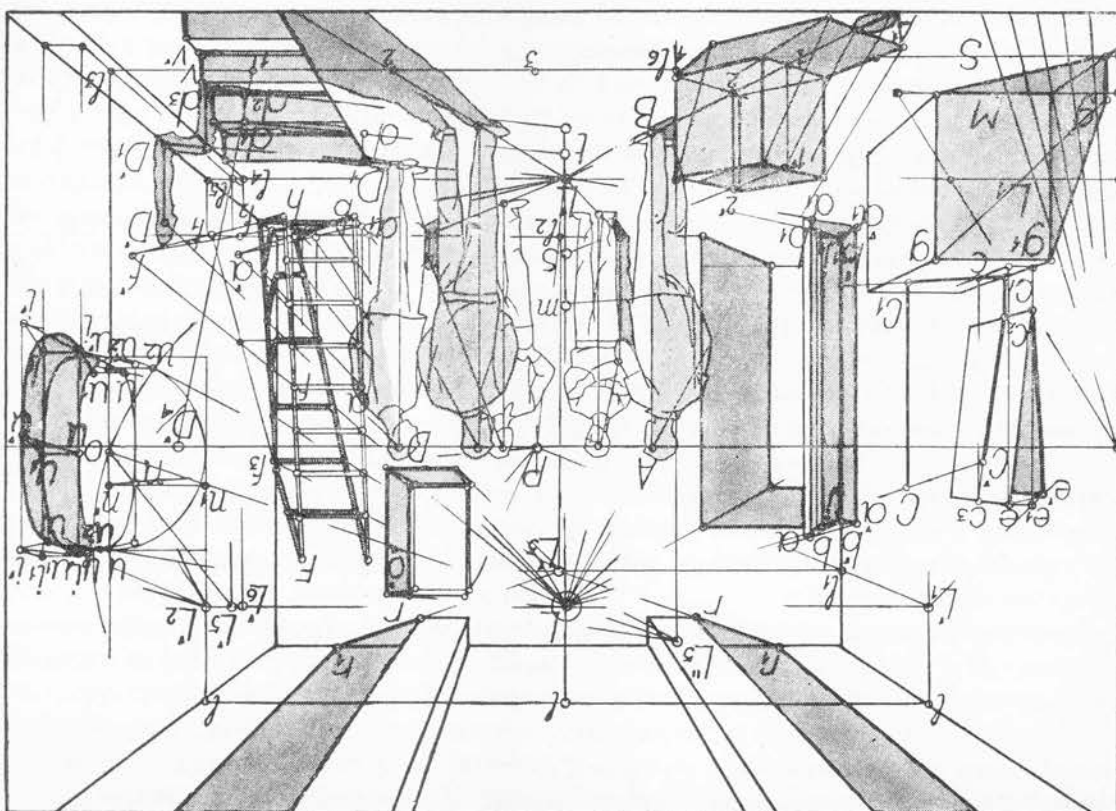
pe planul frontal din fundul încăperii în  $L'_3$  (ducând drepte de capăt  $L'_1l_1$  și  $L'l_2$  și determinând punctul de intersecție a orizontalei duse prin  $l_1$  cu verticala ridicată din  $l_2$ ;

pe planul de capăt al feței anterioare a prismei în care se înscrie un cilindru orizontal în  $L_3$ ; pe planul de capăt al pereților laterali al treptelor din primul plan în  $L_6$ . Folosind aceste proiecții s-au putut desena umbrele purtate de dreptele perpendiculare pe aceste plane cum se arată mai jos.

Cu ajutorul proiecției  $L_7$  de pe perețele de capăt din stînga s-au desenat: umbra purtată de perpendiculara  $ee_1$ , ducînd mai întîi direcția ei  $L_{e1}$  pe a cărei prelungire, raza  $Le$ , prelungită, a determinat lungimea ei  $e_1e'$ ; umbra purtată de perpendiculara  $gg_1$  ducînd mai întîi direcția ei  $L_{g1}$  pe a cărei prelungire, raza  $Lg$ , prelungită, a determinat lungimea ei  $g_1g'$ .

Cu ajutorul proiecției  $L_8$  de pe perețele de capăt din dreapta s-au desenat umbrele purtate de muchiile orizontale  $ii_1$  ale prismei în care se înscrie un cilindru orizontal, ducînd mai întîi direcția lor  $L_{i1}$  pe a cărei prelungire, raza  $Li$ , prelungită, determină lungimea ei  $i_1i'$ .

Fig. 121. (111, 112, 114, 116, 117, 119)





Cu ajutorul proiecției  $L'_3$  de pe peretele frontal din fundul încăperii s-au desenat: umbrele purtate de muchiile grinzilor plafonului perpendiculare pe acest perete, prelungind direcția  $L'_3r$  pînă la marginea superioară  $r_1$  a acestui plan;

umbrele purtate de muchiile perpendiculare pe acest perete ale prisme atîrnate de el. Procedînd ca mai sus, direcția acestor umbre se îndreaptă spre proiecția  $L'_3$  iar lungimea lor este limitată de razele izvorite din L. Observăm că din cele patru fețe laterale ale acestei prisme, numai una este în lumină.

Cu ajutorul proiecției  $L'_6$  de pe planul de capăt al peretelui lateral al treptelor din primul plan (această proiecție s-a determinat pe raza  $LL'_2$  cu verticala ridicată din punctul  $l_4$  de pe planul obiectelor) s-au desenat în prelungirea dreptelor  $L'_6v$  umbrele  $vv'$  purtate de muchiile orizontale ale treptelor.

Cu ajutorul proiecției  $L'_5$  de pe planul de capăt al feței anterioare a prisme în care se înscrie un cilindru orizontal vom putea desena în  $L'_5$  no direcția umbrelor pentru ca, aducînd frontal în  $L'_5l_6ol_3$  — printr-o rotație în jurul axului vertical  $ol_3$  — acest plan de capăt  $L'_5l_5ol_3$ , să putem determina în  $uu_1$  generatoarele umbrei proprii ale cilindrului orizontal. Prin această rotație: baza circulară a cilindrului nu mai e deformată și, pe ea, cu dreapta de capăt  $Pnn'$  și cu orizontala  $n'n_1$  putem desena direcția  $on_1$  a umbrelor, dreapta de capăt  $l_3l_5$ , devenind frontală, va avea o lungime  $l_3l_6$  de patru ori mai mare decît segmentul  $l_3-1$  obținut prin prelungirea dreptei  $D'/4l_5$ , iar în punctul de intersecție  $L'_5o$  al verticalei ridicate din punctul  $l_6$  cu direcția  $on_1$ , prelungită, se va găsi, după rotație proiecția izvorului luminii. Cu un arc de cerc, cu centrul în  $o'$  (la mijlocul direcției  $L'_5o$ ) și cu raza  $o'o$  determinăm în  $u_2$  punctele de tangență ale direcțiilor umbrelor  $L'_5u_2$  cu baza circulară a cilindrului. Cu orizontalele  $u^2u'_2$  și cu dreptele de capăt  $u'_2P$  determinăm în imaginea perspectivă a cercului punctele  $u$  pe unde trec generatoarele orizontale  $uu_1$  ale umbrei proprii. Umbrele  $u_1u'$  purtate pe planul de capăt al peretelui se determină cum s-a arătat mai sus pentru umbrele  $ii_1'$ . Punctele  $u'$  se găsesc la intersecția direcției  $L'_5u_1$ , prelungită, cu raza  $Lu$ , prelungită.

De asemenea într-o încăpere orientată pe unghi (fig. 118) în care izvorul luminii L (focul din vatră) a fost proiectat pe planele orizontale ale obiectelor și plafonului în L și  $L'_2$  precum și pe planele verticale oarecare ale pereților în  $L'_1$  și  $L'_3$  vom folosi aceste proiecții pentru a desena umbrele purtate de perpendicularele de pe aceste plane, procedînd după cum se știe.

Cu  $L'$  au fost desenate, pe planul obiectelor umbrele  $mm_1$ ,  $n_1n'_1$ , și  $vv_1$  a perpendicularelor de pe acest plan: figurile și muchiile verticale ale mesei.

Cu  $L'_1$  umbrele  $aa'$  și  $cc'$  ale marginilor inferioare  $ab$  și  $cd$  ale hornului vetrei care sînt perpendiculare pe acest plan vertical oarecare.

Cu  $L'_2$  umbrele  $b_1b'$  și  $d_1d'$  ale perpendicularelor de pe planul orizontal al plafonului pentru a obține umbra  $b'd'$  purtată de marginea inferioară  $bd$  a coșului vetrei, precum și umbra  $n'_1n'_2$  purtată de figura  $nn_1$ .

Cu  $L_3$  umbrele  $e_1e'$  și  $i_1i'$  purtate de perpendicularele  $ee_1$  și  $ii_1$  de pe acest plan vertical oarecare ale feței superioare a mesei.

Dacă s-a desenat exact punctele  $v_1$  trebuie să se afle pe aceeași verticală ca punctele  $i'$  și  $e'$ .

Tot cu  $L_3$  s-a desenat umbra purtată  $gg_1$  a muchiei grinzii plafonului, perpendiculară pe acest plan vertical oarecare.

Cînd izvorul luminii este în spațiul virtual, proiecțiile lui pe diferitele plane ale compoziției dacă nu sînt inaccesibile sînt anevoios de precizat. În aceste cazuri umbrele purtate de perpendiculară se determină căutînd umbra purtată de unul din punctele perpendicularei a cărui proiecție pe planul obiectelor este cunoscută sau se poate determina cu ușurință.

De exemplu în figura 119 în care izvorul luminii este în planul neutru, pentru a determina umbra  $a_{1a}$  purtată pe planul vertical oarecare al pereților din dreapta tabloului, de perpendiculară  $aa_1$  pe acest plan, s-a căutat umbra  $a'$  purtată de punctul  $a$ ; direcția  $bb_1$  s-a desenat paralela geometrică cu direcția  $PL'$  iar pe verticala ridicată din  $b_1$ , umbra punctului  $a$  s-a determinat ducînd raza  $aa'$  paralela geometrică cu raza  $PL$ . Unind punctul  $a_1$ , care poartă umbra asupra lui însuși, cu punctul  $a'$ , s-a găsit umbra  $a_{1a}'$  a perpendicularei date. S-a procedat la fel în figura 120 în care izvorul luminii este în spațiul virtual pentru determinarea umbrei  $a_{1a}'$  purtată pe planul vertical oarecare al pereților din dreapta tabloului de perpendiculară  $aa_1$  pe acest plan. Direcția  $bb_1$  s-a îndreptat spre proiecția virtuală  $L'$  pe planul obiectelor, iar raza  $aa'$  spre izvorul virtual  $L_1$  al luminii.

În aceeași figură, pe perețele vertical oarecare din stînga compoziției pentru a determina în același fel umbra  $C_1C'$  a perpendicularei  $CC_1$  pe acest pereț, direcția  $dd_1$  s-a îndreptat tot spre proiecția virtuală  $L'$  a izvorului luminii, dar raza  $cc'$  spre izvorul virtual  $L$  al luminii.

**115.** — Umbra purtată de o verticală pe un plan înclinat oarecare se determină prin linii de ordine cu ajutorul umbrei purtată de aceea verticală pe planul obiectelor. De exemplu, în figura 114, umbra  $aa'$  a figurii  $AA_1$  pe panoul înclinat rezemat de perețe s-a desenat unind punctele de intersecție al umbrei purtate  $aa_1$  pe planul obiectelor și  $a_{1a}'$  pe pereț, de verticala dată.

**116.** — Umbra purtată de o orizontală oarecare pe plane verticale cu care nu e paralelă se determină căutînd umbrele purtate pe aceste plane de două puncte ale orizontalei date, folosind proiecțiile lor pe planul obiectelor. De exemplu, în figura 121, umbra  $jb'a'$  purtată de o orizontală oarecare  $aj$ , (imaginea superioară a ușii deschise) pe planul frontal și pe planul de capăt al încăperii, s-a determinat căutînd umbra aceluiași punct al orizontalei care poartă umbra pe muchia dintr-o astfel de deschisă. Direcția  $b'L'$  a determinat punctul  $b_1$  pe marginea inferioară a ușii deschise, pe care ridicăm verticala  $b_1b$ . Raza  $Lb$ , prelungită, determină pe muchia intrîndă a încăperii umbra  $b'$  pe care, unind-o cu punctul  $j$  care poartă umbra asupra lui însuși obținem în  $jb'$  umbra purtată de orizontală oarecare  $bj$  pe planul frontal al pereților din fundul încăperii. Verticala  $aa_1$  poartă umbra  $a_{1a}'$  pe planul obiectelor și  $a_{1a}'$  pe planul de capăt al pereților din dreapta încăperii. Unind punctul  $a'$  cu punctul  $b'$  obținem umbra  $a'b'$ , purtată de orizontală oarecare  $ab$  pe acest plan de capăt.

**117.** — Umbra purtată de o dreaptă oblică pe diferite plane se obține căutînd cu ajutorul proiecției ei pe planul obiectelor umbra purtată de un punct al dreptei date.

De exemplu, în figura 124, umbra purtată de dreptele oblice  $AB$  și  $CD$  (marginile unei scări) rezemate de un *plan vertical oarecare* se determină pe acest plan și pe planul obiectelor căutînd umbra unuia din punctele  $a$  și  $c$  ale acestor drepte (s-au ales aceste puncte pentru că umbrele purtate pe planul obiectelor de punctele  $A$  și  $C$  sînt inaccesibile). Coborîm verticalele  $aa_1$  și  $cc_1$  pînă la intersecția lor cu proiecțiile  $BA_1$  și  $DC_1$  ale dreptelor oblice date. Direcțiile  $L'a_1$  și  $L'c_1$ , prelungite determină la intersecțiile lor  $a'$  și  $c'$  cu razele  $La$  și  $Lc$ , prelungite, lungimile umbrelor  $Ba'$  și  $Dc'$  ale segmentelor oblice  $Ba$  și  $Dc$ . Din aceste umbre, care se frîng pe urma planului vertical al peretelui, păstrăm segmentele  $BB_1$  și  $DD_1$  de pe planul obiectelor și unind punctele  $B_1$  și  $D_1$  cu punctele  $A$  și  $C$  care poartă umbră asupra lor înșile obținem și umbrele purtate  $B_1A$  și  $D_1C$  de dreptele oblice date pe planul vertical oarecare al peretelui încăperii. Umbrele fuscelor 1, 2, etc. se obțin cu razele  $L-1$   $L-2$  etc. prelungite pînă la umbra corespunzătoare a marginilor scării date.

În figura 121 umbrele purtate de marginile oblice ale scării s-au determinat în același fel. Umbra purtată de marginea  $ab$  se frînge numai pe planul frontal al peretelui din fundul încăperii în timp ce umbra purtată  $hf'$  de marginea  $Fh$  se frînge în  $f_2$  pe urma planului vertical de capăt al peretelui din dreapta încăperii și în  $f_1$  pe urma prelungită a planului frontal din fundul încăperii. Din umbra purtată  $f_1F$  pe acest perete reținem numai segmentul  $Ff_3$  și unind punctele  $f_3$  și  $f_2$  obținem și segmentele de umbră purtată de această margine pe perețele respectiv de capăt. Prin raze corespunzătoare determinăm pe umbrele purtate de marginile scării și umbrele fuscelor. Din umbrele purtate, de primele două pe planul obiectelor, apropiate una de alta, numai umbra a doua se frînge pe peretele de capăt. Celelalte umbre, din ce în ce mai depărtate una de alta, se frîng la fel, iar numai ultima e purtată numai pe perețele frontal.

S-a arătat mai sus (112), cum s-a desenat pe *planul orizontal* al palierului din figura 115 umbra purtată de balustrada oblică  $ab$  determinînd umbrele  $a'$  și  $b'$  ale capetelor ei  $a$  și  $b$ .

În figura 114 umbra purtată de marginea oblică  $ie$  a planului înclinat rezemat de perete s-a desenat pe acesta în  $ei_1$  după ce s-a determinat în  $e_1e'$  umbra purtată pe *planul obiectelor* de verticala  $ee_1$ . Din umbra  $ie'$  purtată de dreapta oblică  $ie$  s-a păstrat numai segmentul  $ii_1$ , și unind punctul  $i_1$  cu punctul  $e$  care poartă umbră asupra lui însuși s-a determinat umbra  $e_1e$  purtată de dreapta oblică dată pe *planul vertical* oarecare al peretelui.

Pentru umbra purtată de marginea oblică  $vt$  a unui tablou atîrnat pe planul vertical oarecare al unui perete (fig. 124) s-a folosit proiecția ei  $v_1t_1$  pe planul obiectelor pe care s-a precizat cu ajutorul direcției  $L't_1$ , prelungită, punctul  $t'_1$ . Pe verticala ridicată din acest punct, umbra  $t'$  a punctului  $t$  s-a desenat cu raza  $Lt$ , prelungită. Unind punctul  $v$ , care poartă umbră asupra lui însuși, cu punctul  $t'$  obținem în  $vt'$  umbra purtată de dreapta oblică dată  $vt$ .

În figura 124 izvorul luminii este în spațiul real.

Cînd izvorul este în planul neutru sau în spațiul virtual se procedează la fel, după cum se poate vedea în figura 119 și în figura 120 în care s-au pus aceleași litere.

În figura 114, folosind punctul  $t$  de pe verticala  $L'/_2L$  construcția a fost făcută în planul orizontal al marginii superioare a tabloului în  $t_1$  și numai demonstrativ a fost făcută și în planul obiectelor.

Amintim că în figura 121 umbra  $ce'$  purtată de dreapta oblică  $ce$  a fost determinată pe planul vertical de capăt al peretelui, desenând în  $e'e'$  umbra purtată de perpendiculara  $ee_1$  pe acel plan (114).

#### Umbra cerului

118. — Pe orice plan (fig. 127 în care planul este orizontal și fig. 114 în care planul este vertical oarecare) se obține înscrind-o cu unul din procedeele cunoscute în umbra  $b'e'h'f'$  purtată de pătratul  $bchf$  cu ajutorul cărui a fost desenat cerul dat.

#### Umbra prismei

119. — În figurile 109, 113, 114 și 118—121 se poate urmări problema umbrei proprii și purtate a prismei în diferite cazuri.

Astfel umbra purtată, numai pe planul obiectelor de o prismă orientată pe unghi este arătată în figura 114 (scaunul din primul plan) în care lumina este în spațiul virtual, în figura 121 (scaunul din primul plan) în care lumina  $LL'$  este în spațiul real, precum și în figura 113 în care s-au presupus trei lumini simultane și anume umbra  $A'$  a luminii  $LL'$  din spațiul real, umbra  $A'_2$  a luminii din planul neutru și umbra  $A'_1$  a luminii  $L_1L'_1$  din spațiul virtual.

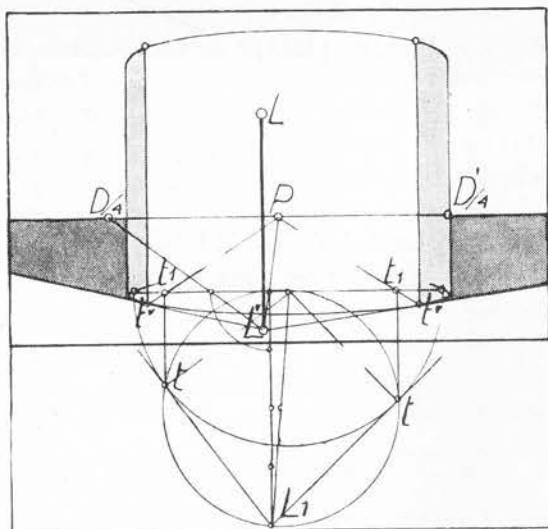
Umbra purtată de o prismă orientată frontal pe un plan frontal și pe un plan vertical de capăt se vede în figura 121 în care lumina  $LL'$  este în spațiul real. Umbra purtată de o prismă orientată pe unghi pe un plan vertical oarecare se arată în figura 118 în care lumina  $LL'$  este în spațiul real, în figurile 109 și 119 în care lumina este în planul neutru și în figura 120 în care lumina este în spațiul virtual.

Prisma are trei fețe luminate când fața ei superioară are o cotă inferioară aceeași a izvorului luminii, cum se vede în figura 113, în figura 121 în care lumina  $LL'$  este în spațiul real, în figura 109 în care lumina este în planul neutru și în figurile 114 (scaunul din primul plan) în care lumina este în spațiul virtual, dar are numai două fețe luminate, când fața ei superioară are o cotă superioară aceeași a izvorului luminii, cum se vede în figura 118 în care lumina  $LL'$  este în spațiul real, în figura 119 în care izvorul este în planul neutru și în figura 120 în care lumina  $LL'$  (pentru jumătatea stângă a tabloului) sau  $L_1L'_1$  (pentru jumătatea dreaptă a tabloului) este în spațiul virtual.

#### Umbra cilindrului

120. — S-a explicat mai sus (114) cum se desenează umbra proprie și purtată a unui cilindru frontal orizontal pe un plan vertical de capăt (figura 121) iar asemănarea dintre figurile 67 și 114 în care s-a desenat umbra proprie și purtată a unui cilindru vertical pe un plan vertical oarecare la lumina solară și la lumina artificială, când acestea se află în spațiul virtual, nu





Umbrile abajurului se înalță și se coboară pe elementele ieșinde sau intrînde ale pereților încăperi. În figura 122 se vede cum razele  $Z_1Z_2L$  și  $Z_1Z_1L$  (pentru tabloul atînat pe perețele din dreapta),  $Z_2Z_2L$  și  $Z_2Z_3L$  (pentru scara rezemată de perețele din stînga) ne dau umbrele purtate  $ZZ_1$  și  $Z_2Z_3$ , de abajur, pe aceste elemente ieșite față de planul vertical al pereților. Pentru elementele intrînde (ușa dreptunghiulară) determinăm cu direcțiile  $J_2L'$  și  $u_2L'$  verticalele  $J_1J'$  și  $u_1$  care poartă umbră pe fundul deschiderii iar razele  $LJ'$  și  $Lu$ , prelunșite, ne dau în  $J'$  și  $u'$  umbră purtată de abajur.

Dacă lumina  $L$  este la egală depărtare de pereții încăperi și dacă laturile unuia din păturatele circumferinței abajurului sînt paralele cu pereții încăperi, desenînd în același fel și umbrele purtate de aceste păturate vom obține tangentele cu ajutorul cărora vom desena mai corect segmentele hiperbolice ale umbrei abajurului pe pereții încăperi. Astfel umbrele purtate  $r's'$  și  $s'b'$  de laturile  $rs$  și  $sb$  ale pătaturii ale cărui laturi sînt paralele cu pereții încăperi ne vor da tangentele orizontale din virturile  $a'$  și  $b'$  ale umbrelor hiperbolice. Iar umbrele purtate  $c'i'$ ,  $i'e'o'$  de laturile  $ci$  și  $io$  ale pătaturii ale cărui laturi fac unghiuri de  $45^\circ$  cu pereții încăperi ne vor da în  $c'$  și în  $e'$  tangentele  $i'e'$ ,  $i'e'$  și  $o'e'$  în respectivele puncte ale hiperbolilor.

122. — Umbră abajurului cînd acesta a fost proiectat pe planul obiectelor (fig. 124). Pentru a determina umbră purtată  $a, b, c, e$  de unul din punctele  $a, b, c, e$  ale circumferinței inferioare a abajurului, ducem pe vertical al pereților direcția  $L'a_1a_2i'$ ,  $L'b_1b_2o'$ ,  $L'c_1c_2r'$ ,  $L'e_1e_2s'$  verticale  $aa_1$ ,  $bb_1$ ,  $cc_1$ ,  $ee_1$  ale punctelor date, pe care razele  $La$ ,  $Lb$ ,  $Lc$ ,  $Le$ , prelunșite vor determina umbrele lor purtate  $a', b', c', e'$ .

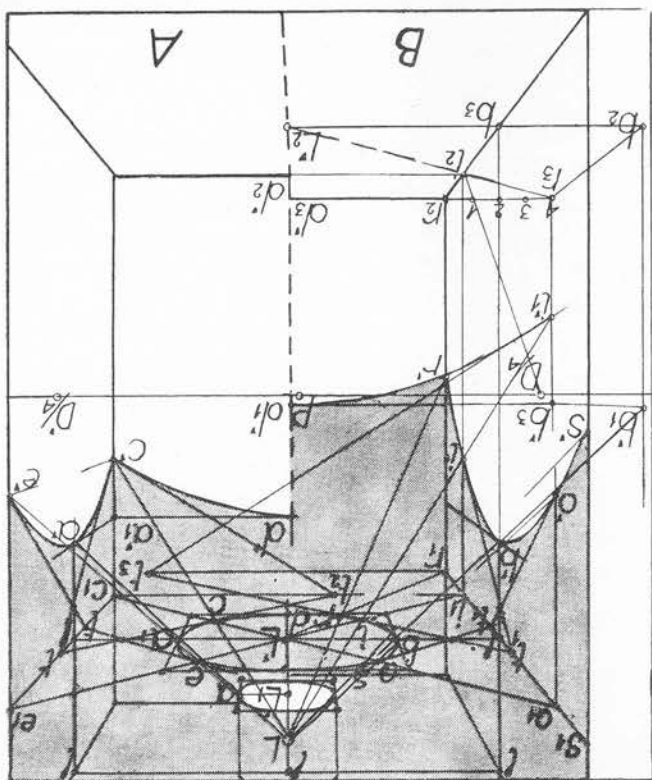


Fig. 123. (121, 123, 124)

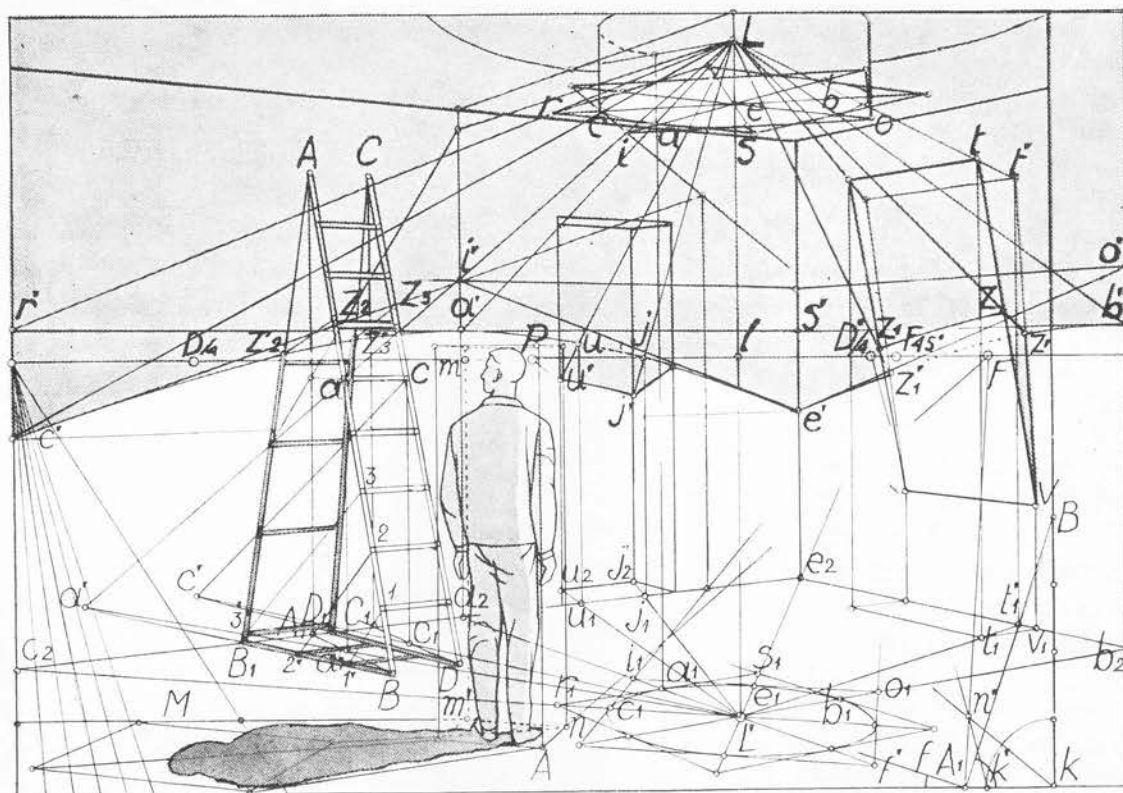


Fig. 124. (117, 121, 122, 125, 397)

**123.** — Umbra abajurului cînd acesta nu a fost proiectat pe planul obiectelor (fig. 123 A). Cu ajutorul urmei  $l_{ll}$  pe plafon și pe pereții laterali ai planului frontal care cuprinde izvorul luminii  $L$  vom desena pe pereții încăperii urma  $t_2c_1te_1$  a planului orizontal care cuprinde circumferința inferioară a abajurului. Pentru a determina umbrele purtate  $c'$ ,  $a'$ ,  $e'$  de unul din punctele  $c$ ,  $a_1$ ,  $e$  ale circumferinței inferioare ale abajurului, ducem pe planul orizontal determinat mai sus și pe planul vertical al pereților, direcția  $L'cc_1c'$ ,  $L'a_1la'$ ,  $L'ee_1e'$  pe care razele  $Lc$ ,  $Laa_1$ ,  $Le$ , prelungite, vor determina umbrele lor purtate  $c'$ ,  $a'$ ,  $e'$ .

Dacă lumina  $L$  este la egală depărtare de pereții încăperii și dacă laturile unuia din pătratele circumscrise circumferinței abajurului sînt paralele cu pereții încăperii, vom putea ca și în cazul precedent desena și tangentele hiperbolelor.

Umbrele laturilor pătratului, tangente circumferinței în punctele  $a_1$  și  $d$  și paralele cu pereții încăperii vor avea aceleași puncte de fugă ca aceștia; iar dacă încăperea este orientată frontal ca în figura 123, umbrele laturilor acestui pătrat, tangente la virfurile  $a'$  și  $d'$  ale hiperbolelor, vor fi de capăt  $a'_1a'$  pe pereții de capăt și orizontală  $d'a'_1$  pe peretele frontal. În felul acesta ducînd prin umbra purtată  $a'$  dreapta de capăt  $a'_1a'$  și o orizontală prin punctul  $a'_1$  s-a putut determina umbra purtată  $d'$  de punctul  $d$  care din

Fig. 127. — Umbra abajurului care nu e la o egală depărtare de pereții încăperii (fig. 123 B).  
 În figura 127 abajurul, cu o orientare și înclinare întâmplătoare a fost pus în perspectivă ca un volum complicat (1 606) iar umbra lui a fost determinată punct cu punct  $L'2'2''$  etc.

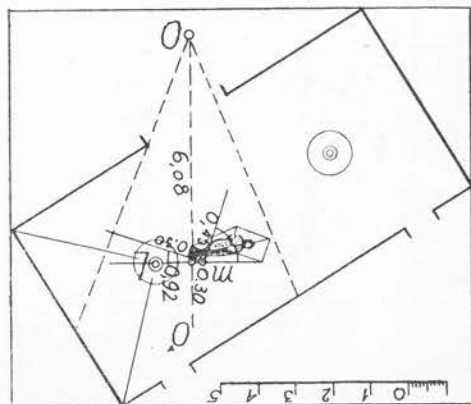
Urmăzând să desenăm și umbra hiperbolică purtată pe perețele frontal, mai depărtat de izvorul luminii decât perețele lateral, umbră din care cunoaștem numai pe aceea  $r'$ , purtată de punctul  $r$  și în care, din cauza racursului, nu putem determina și umbra  $d_i$  purtată de punctul  $d$  decât vom desena, ca în figura 123 A umbra lui corespunzătoare pe un perete de capăt. În acest scop prelungim diagonalele  $L'2'2''$  ale pătratului  $L'2'd'2'b_3$  obținem pătratul  $L'2'd_3r_3b_3$  în care latura de capăt  $r_3b_3$  e tot atât de depărtată de proiecția  $L'_2$  a izvorului de lumină ca latura frontală  $d_3r_3$ . (Dacă s-a desenat exact înțind de patru ori segmentul  $r_3-1$  obținut cu dreapta  $i_2D/4$  trebuie să obținem segmentul  $r_3r_3$ .) Pe perețele de capăt a cărui urmă este  $r_3b_3$  punctul  $b$  al abajurului poartă umbra  $b'_1$ . Cu dreapta de capăt  $b'_1b_3P$  și cu orizontala dusă prin punctul  $b_3$  obținem în  $d'_1$  vârful umbrei hiperbolice de pe perețele frontal al încăperii date, în care tangenta este orizontala. Pentru a desena exact această curbă mai putem găsi încă o tangentă:

prelungim tangenta  $l_1$  pînă la intersecția ei  $l_3$  cu orizontala dusă prin punctul  $r_3$ , dreapta  $l_3l_1$  va fi tangenta hiperbolei  $i_1d'_1$  care va trece prin punctul  $r'$  și din care vom reține numai segmentul  $r'd'_1$ .  
 În figura 127 abajurul, cu o orientare și înclinare întâmplătoare a fost pus în perspectivă ca un volum complicat (1 606) iar umbra lui a fost determinată punct cu punct  $L'2'2''$  etc.

Urmăzând să desenăm și umbra hiperbolică purtată pe perețele frontal, mai depărtat de izvorul luminii decât perețele lateral, umbră din care cunoaștem numai pe aceea  $r'$ , purtată de punctul  $r$  și în care, din cauza racursului, nu putem determina și umbra  $d_i$  purtată de punctul  $d$  decât vom desena, ca în figura 123 A umbra lui corespunzătoare pe un perete de capăt. În acest scop prelungim diagonalele  $L'2'2''$  ale pătratului  $L'2'd'2'b_3$  obținem pătratul  $L'2'd_3r_3b_3$  în care latura de capăt  $r_3b_3$  e tot atât de depărtată de proiecția  $L'_2$  a izvorului de lumină ca latura frontală  $d_3r_3$ . (Dacă s-a desenat exact înțind de patru ori segmentul  $r_3-1$  obținut cu dreapta  $i_2D/4$  trebuie să obținem segmentul  $r_3r_3$ .) Pe perețele de capăt a cărui urmă este  $r_3b_3$  punctul  $b$  al abajurului poartă umbra  $b'_1$ . Cu dreapta de capăt  $b'_1b_3P$  și cu orizontala dusă prin punctul  $b_3$  obținem în  $d'_1$  vârful umbrei hiperbolice de pe perețele frontal al încăperii date, în care tangenta este orizontala. Pentru a desena exact această curbă mai putem găsi încă o tangentă:

prelungim tangenta  $l_1$  pînă la intersecția ei  $l_3$  cu orizontala dusă prin punctul  $r_3$ , dreapta  $l_3l_1$  va fi tangenta hiperbolei  $i_1d'_1$  care va trece prin punctul  $r'$  și din care vom reține numai segmentul  $r'd'_1$ .

Fig. 125. (325, 397)



cauza racursului nu a putut fi determinată în același fel ca umbrele purtate de celelalte puncte ale abajurului.  
 Umbrele laturilor pătratului care fac unghiuri de  $45^\circ$  cu pereții încăperii se obțin prelungind laturile lui pînă la intersecția lor  $t_1, t_2$  cu pereții încăperii, puncte care poartă umbra asupra lor înșile. Unind punctele  $t_1$  și  $t_2$  cu punctele  $e'$  și  $c'$  vom obține în același timp umbrele purtate de laturile acestui pătrat și tangentele  $te', tc'$  și  $tc'$  în punctele  $e'$  și  $c'$  la hiperbolele umbrei purtate de abajur.

Fig. 125. (325, 397)



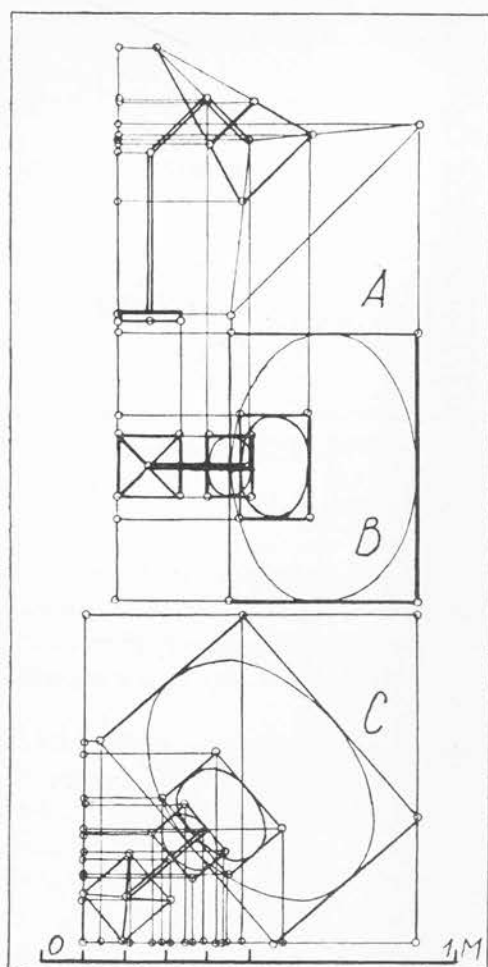


Fig. 126. (121, 124)

## Umbra figurilor din compoziție

**125.** — Umbrele proprii și purtate de figurile din compoziție sînt greu de precizat cu toate detaliile prin construcțiile obișnuite. Artistul poate să înscrie figura într-un paralelipiped, de exemplu de  $1,65 \times 0,45 \times 0,30$  ca în figura 124, să construiască cu procedeele cunoscute umbra acestui corp geometric simplu în care să înscrie cu aproximație umbra figurii respective.

Aceste umbre pot fi studiate, în cele mai mici amănunte, după natură, dacă prin restituiri perspective (I, 16; 311, fig. 340; 319, fig. 346; 321, fig. 349, 520, fig. 578) de felul celor din figurile 111, 113 și 125, stabilim felul în care urmează să așezăm în atelier izvorul luminii și modelul în aceleași condiții de despărțare și orientare ca în tablou.

În acest scop vom proceda cum se arată în figurile 124 și 125.

Măsurînd în figura 124 distanța principală a tabloului, micșorată de patru ori  $PD/4$  cu unitatea de măsură luată pe scara perspectivă a tabloului în  $M$ , adică pe urma planului frontal care trece prin proiecția pe planul obiectelor  $L'$  a izvorului de lumină  $L$ , aflăm că acesta se află la o adîncime de  $1,52 \times 4 = 6,08$  m de desinator. În figura 125 această adîncime a fost măsurată din punctul  $O$  la scara de 5 mm pe metru.

Măsurînd cu aceeași unitate de măsură a planului frontal, în care se găsește izvorul luminii, verticala  $L'L$ , găsim că, față de planul obiectelor, lumina se află la o cotă de 3 m, cotă ce va trebui să dăm luminii în atelier. Măsurînd cu aceeași unitate segmentul  $Pl$ , abscisa, spre dreapta, a izvorului luminii față de planul vizual principal vertical, precum și segmentul  $Pm$ , abscisa, spre stînga, față de același plan, a muchiei verticale a paralelipipedului în care se înscrie figura dată (muchie care, din întîmplare, se află în același plan frontal ca izvorul luminii), aflăm că aceste abscise sînt, respectiv, de 0,92 și 0,30 m, abscise care, la aceeași scară de 5 mm pe metru, au fost măsurate în figura 125 în  $L$  și  $m$ .

Prin construirea geometralului vom afla în perspectivă inversă (I 287, fig. 312) și orientarea paralelipipedului. Construcția nu s-a făcut în punctul  $A$  ci în  $A_1$ , în marginea de jos din dreapta a tabloului, ducînd dreapta  $A_1n'$  spre punctul de fugă  $F$  al dreptei  $An$

126. — Când un corp este iluminat simultan de mai multe izvoare, el poartă tot atâtea umbre diferite care sînt mai intense în locurile în care se suprapun, mai atenuate în locurile unde se luminează reciproc și cu alți mai slabe cu cît izvorul luminii este mai depărtat. Astfel, în figura 113, în care prisma e iluminată de trei izvoare, umbra cea mai puternică  $BA'$  este aceea dată de lumina cea mai apropiată  $LL'$  din spațiul real, după cum se

### Umbre purtate de mai multe izvoare de lumină

0,30 m. Cu firul cu plumb vom fixa deasupra punctului  $L$ , la o înălțime de 3 m, izvorul luminii. În  $m$  vom lua unghiurile  $fA_1f'$  și  $BA_1k$  pentru a desena pe planșeul atelierului un dreptunghi cu laturile de 0,30 m și 0,45 m, în mijlocul căruia se va așeza modelul ale cărui umbre proprii și purtate se vor prezenta desenatorului exact în condițiile din

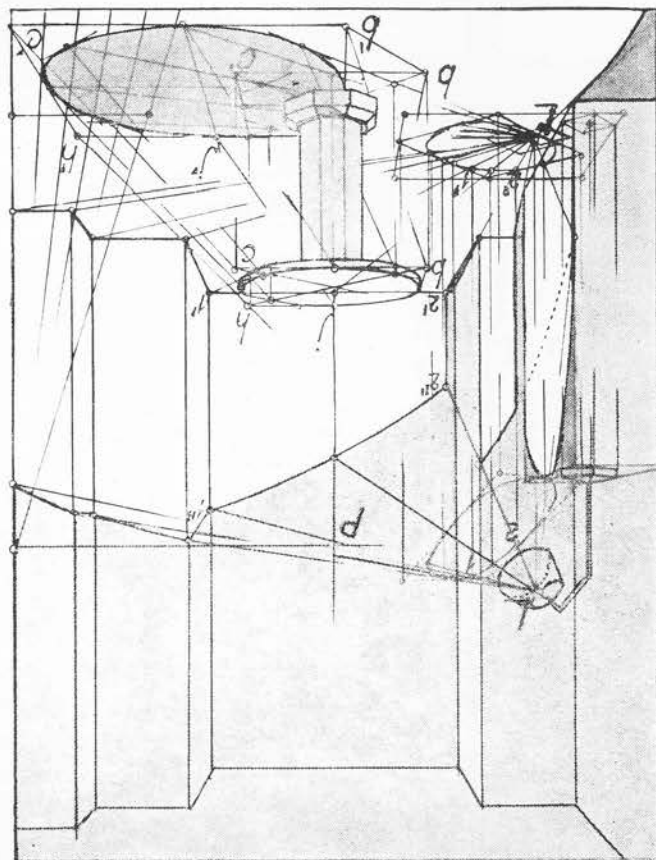


Fig. 127. (14, 118, 121, 124)

Urmăz să precizăm în atelier datele de mai sus. Pe planșeul atelierului vom desena în  $OO'$  proiecția razei vizuale principale a desenatorului care se va așeza în punctul  $O$ . Vom da acestei proiecții lungimea determinată mai sus de 6,08 m. Pe perpendiculă ducă în  $O'$  vom lua spre dreapta o abscisă  $O'L$  de 0,92 m și, spre stînga, o abscisă  $O'm$  de

modelul. Urmăz să precizăm în atelier datele de mai sus. Pe planșeul atelierului vom desena în  $OO'$  proiecția razei vizuale principale a desenatorului care se va așeza în punctul  $O$ . Vom da acestei proiecții lungimea determinată mai sus de 6,08 m. Pe perpendiculă ducă în  $O'$  vom lua spre dreapta o abscisă  $O'L$  de 0,92 m și, spre stînga, o abscisă  $O'm$  de

vede și în schema din aceeași figură. Mai slabă este umbra  $BA'_2$  a luminii din planul neutru (umbrele sînt paralele geometric cu direcția  $L'P$  și raza  $LP$ -) și mult mai slabă umbra  $BA'_1$  a depărtatei lumini  $L_1L'_1$  din spațiul virtual. Umbra cea mai puternică este în locul în care cele trei umbre se suprapun. Adeseori umbrele luminilor mai depărtate sînt complet suprimate de luminile mai apropiate. Jocul acestor intensități este și mai variat atunci cînd diferitele lumini nu au aceeași tărie, efecte plastice ce trebuie să fie studiate după natură în baza restituirii perspective din schema respectivă.

Vom avea două umbre și atunci cînd izvorul luminii  $L$  se reflectă într-o oglindă, indiferent dacă acesta este cuprins sau nu este cuprins — ca în figura 129 — în ceea ce numim cîmpul oglinzii (135). În această figură oglinda este verticală oarecare iar izvorul de lumină se reflectă în  $L_1$  (pe perpendiculara dusă din  $L'$  pe urma planului oglinzii, segmentele  $L'l$  și  $lL'_1$  au fost luate egale). În aceste condiții figura  $ac$  poartă două umbre care, în figura noastră, se frîng pe perete și anume: umbra  $ca_1$  aruncată de lumina  $LL'$  și umbra  $ca_2$  aruncată de lumina reflectată  $L_1L'_1$ . Ambele umbre purtate se reflectă în oglindă și anume: umbra  $C'a'_1$  — reflectul umbrei  $ca_1$  aruncată de lumina  $LL'$  — este în prelungirea

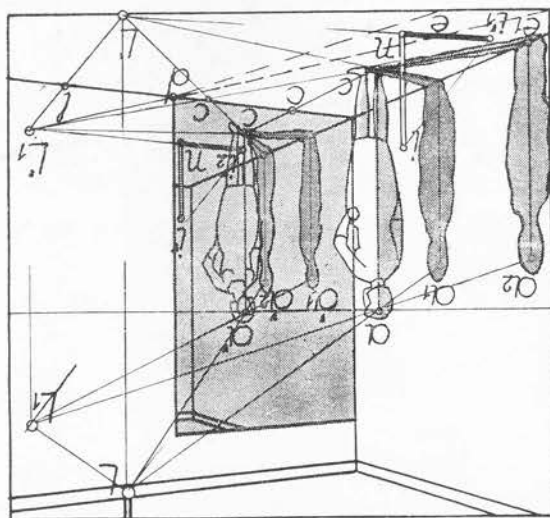
Fig. 128. (90) Honoré Daumier: Vinători încălzindu-se



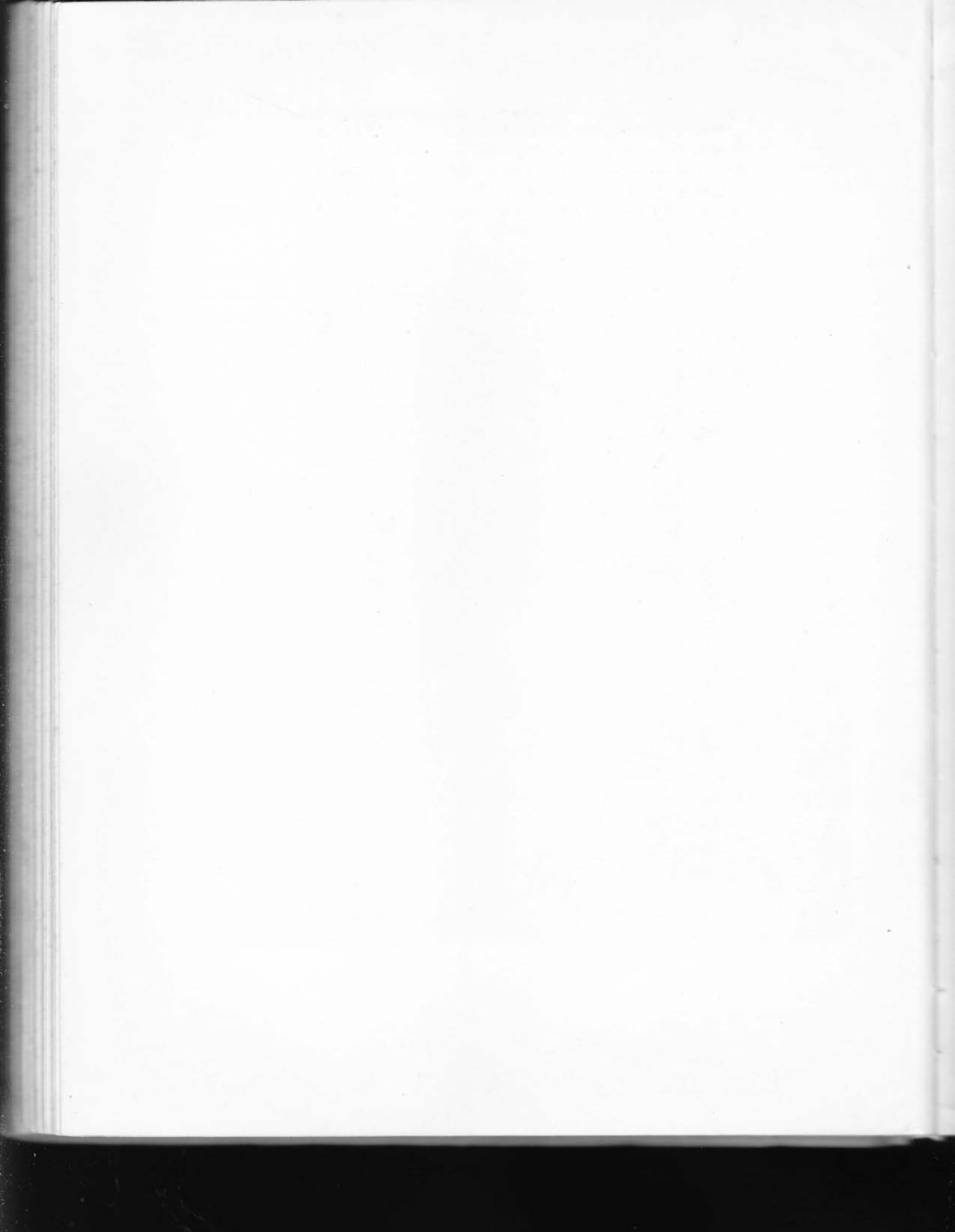
razelelor luminii reflectate  $L_1L'_1$  iar umbra  $C'a'_2$  — reflectul umbrei  $ca_2$  aruncată de lumina reflectată  $L_1L'_1$  — este în prelungirea razelor luminii date  $LL'$ .

Este de remarcat că nu toate corpurile cuprinse în câmpul oglinzii, limitat de dreapta  $de$ , vor avea două umbre, ci numai acelea — ca figura  $ac$ , cuprinse în câmpul luminii reflectate, limitat de prelungirea  $de_1$  a dreptei  $L'_1d$ . Corpurile cuprinse între aceste două limite,  $de_1$  și  $de$ , ca verticala  $in$ , nu vor avea a doua umbră purtată a luminii reflectate.

Fig. 129. (128)







127. — Imaginile reflectate în oglindă se numără printre mijloacele sugestive de care dispune artistul plastic pentru a exprima cel mai convingător conținutul complex al unei compoziții de pictură sau grafică.

În oglinda verticală cu o orientare oarecare, imaginea reflectată completează — întârind-o — caracterizarea psihologică, fizionomia sau tipul figurilor reprezentate. Acestea ne sînt înfățișate simultan în două imagini așa cum ne-ar apare privite din două puncte de vedere diferite: din față și din profil, din față și din spate etc. În unele din portretele lui Ingres găsim aceste imagini reflectate (fig. 131). Figura colectivistului surprinsă în oglindă ne dezvăluie conținutul cunoscutului compoziții *La cooperativa* a lui Dan Hatmann (fig. 130). Și Daumier cu ajutorul oglinzii reușește să ne dea o triplă imagine altă de spiritualetă a francezului pictat de el însuși (fig. 177). În tabloul lui Vermeer (fig. 196-197) numai în oglinda frontală înclinată, atîrnată de perete, vedem chipul clavicimistei care ne întoarce spatele. În oglinda verticală frontală (sau care nu face un unghi prea mare cu planul neutru-fig. 190) apare, o dată cu imaginea reflectată a desenatorului și posibilitatea de a reprezenta

## GENERALITĂȚI

### IMAGINEA PERSPECTIVĂ A OGLINDIRILOR

Fig. 130. (127) Dan Hatmann: *La cooperativa*

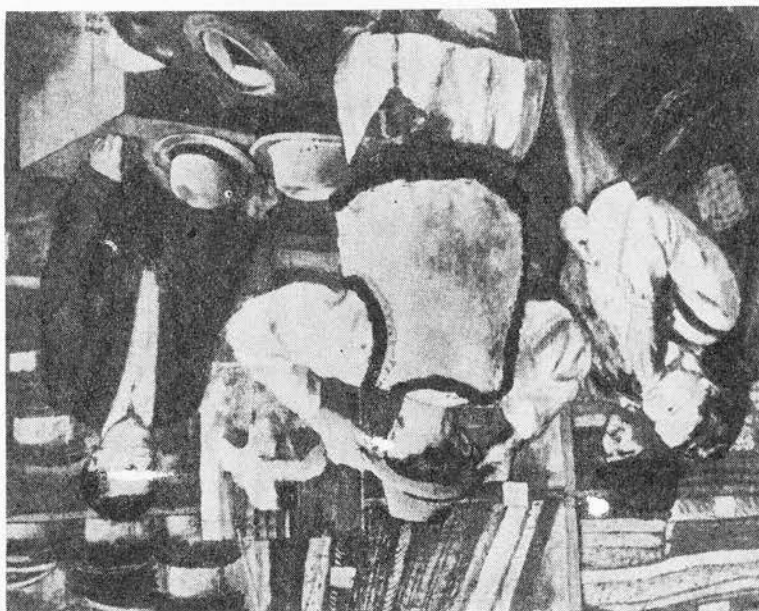




Fig. 131. (127, 128) Ingres: Portretul contesei de Haussonville

Dacă *Meninele* (I, fig. 48), celebra capodoperă a lui Velázquez, impresionează atât de profund pe cel ce pătrunde în sala Muzeului Prado unde este expusă, este și pentru că privitorul este dintr-o dată învăluit în mijlocul acțiunii. Vedem pe Velázquez pictând. Dar el nu ia în seamă figurile din preajma lui. Privirea îi este îndreptată către un punct aflat în spatele nostru, în spațiul virtual, unde se găsesc figurile care îi pozează și pe care nu le vedem decât reflectate în oglinda din fundul încăperii ce o avem în față.

Într-o cunoscută compoziție, Manet reprezintă în oglindă o întreagă sală de spectacol aflată în spațiul nostru virtual (fig. 163). În pictura sovietică, pe curtenii — situați în spatele nostru — către care se îndreaptă privirea pătrunzătoare a lui Pușkin, pictorul N. Ulianov ni-i arată în imaginea lor reflectată (fig. 132), iar C. V. Gherasimov folosește de asemenea oglinda frontală pentru a completa imaginea fugii rușinoase a lui Kerensky.

În intimitatea unei camere de mici dimensiuni, oglinda dă posibilitatea de a reprezenta, reflectate, figuri și obiecte care nu intră în câmpul vizual al desenatorului,

spațiul virtual (I 33, fig. 49), adică spațiul din spatele planului neutru în care este cuprins desenatorul. Acesta poate deci să reprezinte în tabloul său două acțiuni simultane și diferite care, completându-se reciproc sînt menite să ne înfățișeze un conținut mai bogat. Privitorul va vedea, pe de o parte, acțiunea care se petrece în fața sa. Dar, pe lângă reflectul acesteia, în oglinda din fața sa va vedea, în același timp, — reflectată — și acțiunea care se petrece în spatele său, adică în spațiul virtual.

În felul acesta privitorului i se creează iluzia că asistă efectiv la acțiunile reprezentate pe care nu le vede din afară, ca printr-o fereastră, ci chiar din centrul spațiului reprezentat. El devine un martor ocular al scenei în mijlocul căreia este cuprins.

128. — Experiența de toate zilele ne arată că în oglindă imaginile reflectate ne apar inversate.  
 În oglinda orizontală o figură de pe mal se reflectă în apă cu capul în jos (fig. 141). Oglinda verticală ne arată spatele figurii pe care o vedem din față sau fața figurii pe

#### INVERSAREA IMAGINILOR REFLECTATE

deasupra unei construcții ar putea să ne pară că se află în planul ei frontal. În apă norul apare în spatele construcției. Ca urmare, din compararea celor două imagini, pentru privitor, norul de pe cer se depărtează în spațiu și întreaga compoziție capătă o mai mare adâncime (fig. 150).

Un nor, reprezentat pe cer (fig. 149).

Fig. 132, (127, 170) H. P. Ulianov: A.C. Pușchin și soția sa la baia curții



mai justă apreciere a adâncimilor imaginii sugerează privitorului o renunțare. Compararea celor două planuri reflectate sînt mai diferite; în adâncimea spațiului imaginile volumelor care le dau perspective mai accentuate decît — inversate — prezintă deformări lor limitate, imaginile reflectate în oglinda orizontală a apei-

perii reprezentate în tablou.

cunșă de perețele frontal al încă- unei figuri N' care ne este as- mai în oglindă reflectul N' al

Și în figura 175 vedem nu- live.  
 conținutul compoziției respec- vor amplifica în mod fericit vecină se completează reciproc, și reflectul figurilor din camera natura statică din fața oglinzii lui Soroka (fig. 133), în care spre exemplu cele din tabloul turate. Aceste oglinziri, cum sînt ușa deschisă a unei încăperi ală- nătate fie, eventual, dincolo de situate fie în imediata lui veci-



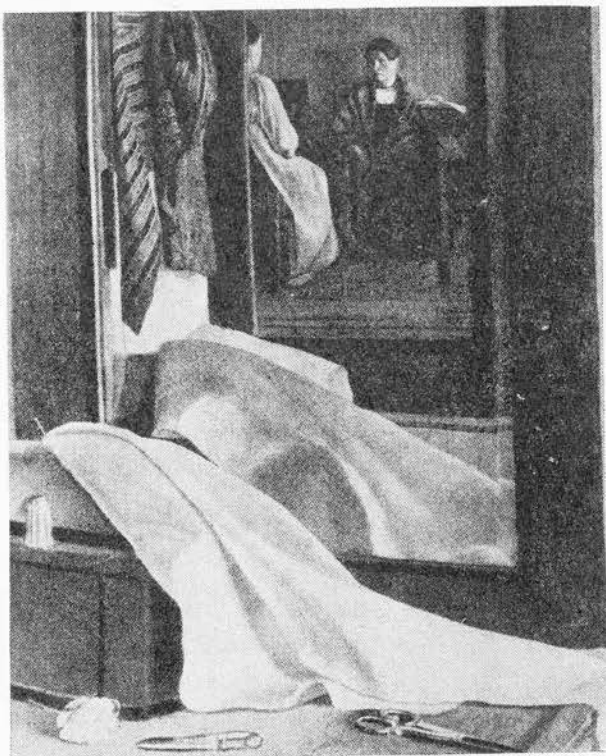


Fig. 133. (127) G. Soroca: Reflectul în oglindă

care o vedem din spate (fig. 131). Privind în jos, în adâncul apei, Narcis își vedea fața privind în sus, spre cer (fig. 134). Privindu-ne într-o oglindă verticală ne vedem întorși ca și cum ne-am fi învîrtit în jurul nostru cu  $180^\circ$ . Deci în oglinda orizontală susul devine jos, iar în oglinda verticală fața devine spate și invers.

În afară de aceasta mai observăm că, în imaginile reflectate ale figurilor, stînga devine dreapta și dreapta devine stînga. În oglindă mîna dreaptă ține paleta pe care o ținem în mîna stîngă.

În felul acesta, în autoportretele lor, Cézanne, Matisse, Manet, Pallady (fig. 135) ne apar ca fiind stîngaci căci în imaginea lor reflectată țin paleta în mîna dreaptă, nu ca Velázquez care o ține în mîna stîngă (I, fig. 48).



Fig. 134. (128, 137, 156) Honoré Daumier: Frumosul Narcis

incidente  $An$  și  $An_1$ , adică acele raze incidente ale căror raze reflectate  $nOdr$  și  $n_1 Osl$

Dacă în loc de o singură rază incidentă  $An$  considerăm (fig. 137 II) două raze

*flecite*, sint egale.

*dență* și unghiul  $r$ , pe care îl face cu planul oglinzii raza  $nO$ , denumit *unghi de inci-*

*b)* Unghiul  $i$ , pe care îl face cu planul oglinzii raza  $An$ , denumit *unghi de inci-*

sint în același plan.

în punctul  $n$ , penumit *punct de incidență*, precum și raza  $nO$ , denumită *rază reflectată*.

*a)* Raza  $An$ , denumită *rază incidentă*, perpendiculară  $nN$  pe planul oglinzii  $VV$ .

înlineste un plan lucios, își schimbă direcția după următoarele legi:

Orice rază de lumină  $An$  plecând dintr-un punct luminat  $A$  (fig. 137 I), cind

129. — *Legile reflecției* ne sint precizate de optica geometrică.

### LEGILE REFLECȚIEI

brațul sting în poza avută în fața oglinzii presupuse. al modelului cind pozează figura oglinzită va trebui să facă mișcarea pe care o făcea și cu orientarea stabilite prin restituire perspectivă (1319, fig. 346; 189, fig. 189; 190, fig. 191) după ce va fi așezat, în atelier, în spatele unei presupuse oglinzi verticale, la depărtare

În privința folosirii modelului în studii de detaliu, pentru a căpăta o imagine veridică,

asa cum ne cunosc semenii noștri.

avem un moment de surpriză cind, în felul arătat mai sus, ne vedem pentru prima oară fără inversare. Se știe că, obișnuinți cu fizionomia imaginii noastre inversate dată de oglindă, orientate la  $45^\circ$  și așezate perpendicular una pe alta care preiau sarcina de a ne reflecta se obține dacă autoportrele se execută în fața a două oglinzi (de preferință metalice) reprezentându-ne așa cum sintem în realitate (fig. 136). De altfel același rezultat marca gravurii, obrazul sting (mina stîngă etc.) se va afla tot în stînga, gravura portrele gravate direct pe placă în fața oglinzii. Numai în felul acesta, prin imprimare disimetria, uneori foarte marcată, a figurii umane — nu vor fi veridice decît

În privința autoportrelelor nu e lipsit de interes să precizăm că — avînd în ve-

dinea unei figurii reflectate.

așezarea modelului care ar poza, în spatele unei presupuse oglinzi verticale lînd altu-

Artistul trebuie să țină seama de aceste inversări atît în autoportrele cît și în

spre sud și în reflect.

de exemplu spre sud ea rămîne atît în oglinda verticală cît și în acea orizontală tot zontală este spre nădr. Celelalte inversări sint numai subiective: dacă mina stîngă este exemplu, în oglinda verticală este spre sud, capul care este spre zenit în oglinda ori-fața de mediul înconjurător, fața de punctele cardinale: fața care este spre nord, de

Aceste inversări nu sint de același fel ca cele arătate mai sus. Primele sint inversări

pe mina dreaptă iar în oglindă pe mina stîngă (fig. 201).

ține în mina stîngă (fig. 145). Nudul pictat de Velázquez în fața oglinzii își reazăma capul

Tot așa în reflectul din apă, pescarul lîne în mina dreaptă vîsla pe care de fapt o



Fig. 135. (128) Th. Pallas: Autoportret

lungim în spatele acestui plan cu o lungime egală ( $Aa = aA'$ , fig. 137 I și II).

Înainte de a trece mai departe vom arăta că examinând figura 137 II ne explicăm de ce — așa cum s-a mai spus (I, 38) — volumele reflectate nu ne apar ca într-un tablou obișnuit, fără relief, adică având imaginile lor cuprinse în planul oglinzii, așa cum sînt în realitate. Ele ne apar ca și cum s-ar afla în spatele oglinzii și la diferite depărtări în adîncime.

Astfel pentru reflectul  $A'$  al punctului  $A$  (fig. 137 II) în lungul razelor reflectate  $O dr n$  și  $O st n_1$ , ochii noștri nu văd pe planul oglinzii un singur punct de incidență; ei percep simultan două imagini diferite  $n$  și  $n_1$  care, prin fuzionare cerebrală ne dau imaginea unică a unui punct situat în spatele oglinzii și care se suprapune pe punctul de intersecție  $A'$  al celor două raze reflectate, prelungite. Totalitatea punctelor de incidență de pe planul oglinzii constituiesc două imagini diferite ale volumelor aflate în cîmpul oglinzii, imagini nebănuite, și al căror relief stereoscopic se vede cu ochii liberi, fără ochelari bicolori (I 38, fig. 76) și fără nici un efort de acomodare. Oglinnda ne dă cea mai perfectă imagine stereoscopică. Perspectiva liniară — deși poate realiza

ajung în ochii privitorului  $O dr$  și  $O st$  vom constata că acesta, nebănuind existența celor două puncte diferite de incidență  $n$  și  $n_1$ , va avea iluzia că razele reflectate izvorăsc din punctul lor virtual de intersecție  $A'$  situat în spatele oglinzii.

Din egalitatea triunghiurilor  $Aan$  și  $naA'$  (în figura 136 I unghiul  $Ana =$  unghiul  $naA'$  pentru că unghiul  $Ono =$  unghiul  $anA'$ ) rezultă că punctul virtual  $A'$  este, față de planul  $VV'$  al oglinzii, simetricul punctului reflectat  $A$ . Determinarea lui se poate face în două feluri.

#### Procedee pentru determinarea imaginilor reflectate

**130. — Procedul I.** Pentru a determina imaginea perspectivă  $A'$  a reflectului unui punct dat  $A$  într-o oglindă plană ducem din acel punct o perpendiculară pe planul oglinzii și o prelungim în spatele acestui plan cu o lungime egală ( $Aa = aA'$ , fig. 137 I și II).

Rămânem surprinși constatând că aceste ovale au o înălțime numai de circa 11,5 cm (adică jumătate din mărimea curentă de 23 cm, cum se vede și în schema III din figura 137). Dar nu aceasta este imaginea pe care o percepem ci imaginea stereoscopică formată din totalitatea punctelor B, C, etc. care se situează în spatele oglinzii: punctul B la intersecția razei vizuale *Odr, bdr* cu raza vizuală *Osbsl*, punctul C la intersecția razei

imaginea unică dată de traseul perspectiv. În figura 137 II nu s-a desenat și ovalul al treilea, reflectat. Desenând un al treilea oval cuprins între cele două anterior desenate, obținem o pensulă mușată în culoare desenăm pe planul oglinzii de două ori ovalul figurii noastre

În această poziție, păstrând stereoscopicitatea, închizând succesiv unul din ochi, cu această imagine ne va apare puțin micșorată față de mărimea ei reală de circa 23 cm. și față de punctul nostru de vedere la o adâncime de circa 1 m. La o depărtare altă de mică îl vedem stereoscopic în oglindă se află, față de planul acesteia, la o adâncime de circa 50 cm zăm în față oglinzii la o mică depărtare, de circa 50 cm. Reflectul figurii noastre pe care

Pentru depina lămurire a acestei probleme putem face următoarea experiență. Ne aș-

prin care vedem volumele din camera vecină.

cum oglindă ar fi o deschidere

lata în adâncimea spațiului ca și

fața ei, încît să ne apară depăr-

mente situate în planul sau în

oglinzii și față de celelalte ele-

astfel valorată, față de cadrul

spatele oglinzii, va trebui să fie

reprezentînd un volum aflat în

că această imagine este virtuală,

Pentru ca privitorul să aibă iluzia

zii, ca pe planul unui tablou.

care se formează pe planul oglin-

singură imagine și anume aceea

riană. Traseul perspectiv ne dă o

lei probleme de perspectivă ac-

131. — Insistăm asupra aces-

vei aeriene (I 39 d).

spective — pe seama perspecti-

toate celelalte reprezentări per-

lor care rămîne — ca și pentru

reda stereoscopicitatea oglinziri-

cil un punct de vedere, nu poate

compozițiile de artă plastică de-

plimentare (415) — neîntorsînd în

sau suprapuse în două culori com-

în anumite condiții (408—412)

imagini stereoscopice juxtapuse

Fig. 136. (128) Reimbrandt: Autoportret (gravură în metal)





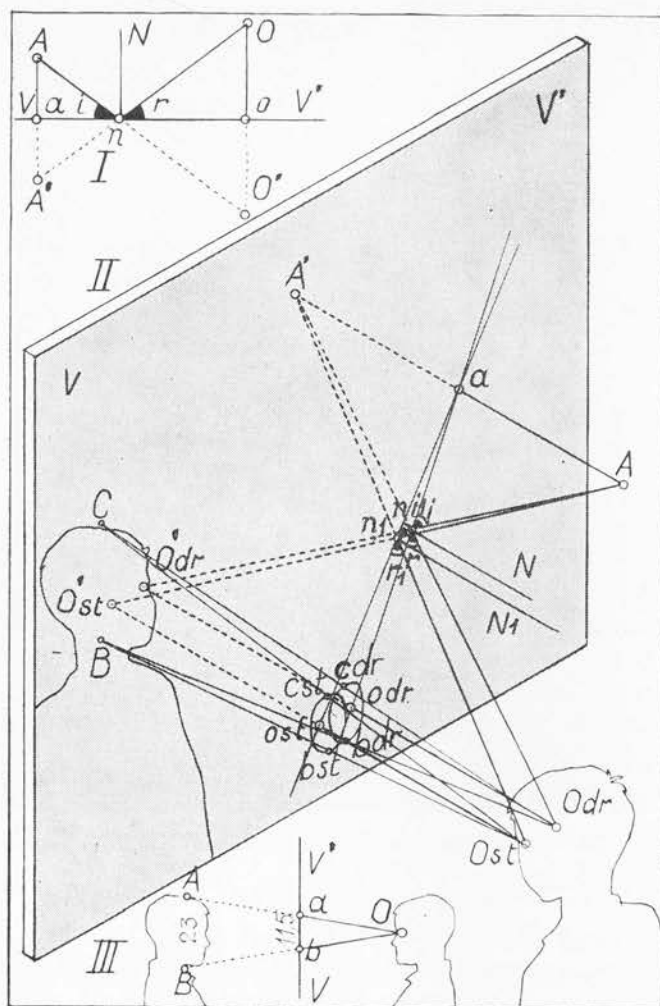


Fig. 137. (129, 130, 131, 132)

tretăierea dreptei  $O'A$  cu planul oglinzii  $VV'$ , punctul  $n$  care este în același timp punctul de incidență a razei  $An$  și punctul în care, pe planul oglinzii, se formează, pentru desenator, imaginea punctului reflectat  $A'$  suprapunându-se pe acest punct  $n$ .

Deci, pentru a reprezenta pe planul oglinzii reflectul unui punct dat  $A$ , putem folosi și următoarele construcții:

- Determinăm în  $O'$  simetricul, față de planul oglinzii, al punctului de vedere  $O$  al desenatorului.
- Ducem dreapta care unește acest punct reflectat  $O'$  cu punctul dat  $A$ .
- Căutăm punctul de intersecție  $n$  al acestei drepte cu planul oglinzii. Punctul astfel

vizuale  $Odr$   $dr$  cu raza vizuală  $Ostest$  etc. (fig. 137 II). Acum ne dăm bine seama că — în imposibilitatea de a folosi cele două imagini stereoscopice — numai procedeele perspectivei aeriene vor putea adânci atât de mult imaginea traseului perspectiv încât să ne pară a avea mărimea corespunzătoare imaginii virtuale a figurii noastre din adâncul oglinzii (fig. 196—197).

**132. — Procedeu II.** Pentru determinarea reflectelor în oglindă putem folosi încă un procedeu. În unele cazuri, spre exemplu în oglinda verticală frontală, construcțiile sînt mai simple dacă folosim imaginea reflectului  $O'$  în oglinda respectivă a punctului de vedere  $O$  al desenatorului (fig. 137 I. În figura 137 II se arată imaginea reflectată  $O'dr$  și  $O'st$  a ambilor ochi ai desenatorului).

Ducînd din punctul de vedere  $O$  al desenatorului o perpendiculară  $O_0$  pe planul oglinzii și prelungind-o cu o lungime egală, determinăm în  $O'$  (simetricul punctului  $O$  față de planul oglinzii) reflectul punctului de vedere. Unind acest punct reflectat cu punctul dat  $A$  obținem, la în-



135. — Fie  $VI$  (fig. 138) oglinda reprezentată în tabloul  $T$ , cu orientarea și mărirea dorite. Desenaatorul nu va vedea în această oglindă reflecțiile laturilor și obiectelor cuprinse în ceea ce vom numi *cîmpul oglinzii*, care se poate determina cum se arată aci.

## CÂMPUL OGLINZII

Procedeu al doilea se poate folosi totdeauna în cazul oglinzilor verticale frontale iar în cazul oglinzilor verticale oarecare numai atunci când unghiul acestora cu planul neutru nefiind prea mare, reflectul  $O'$  al punctului de vedere  $O$  poate fi accesibil. Dar nu poate fi folosit în cazul oglinzilor orizontale și verticale de capăt, când reflectul punctului de vedere, aflându-se în planul neutru, nu poate fi reprezentat în tablou. De altfel în cazul acestor oglinzi construcțiile primului procedeu ne reprezentînd deformări perspective se execută cu mare ușurință.

Primul procedeu se poate folosi în toate cazurile.

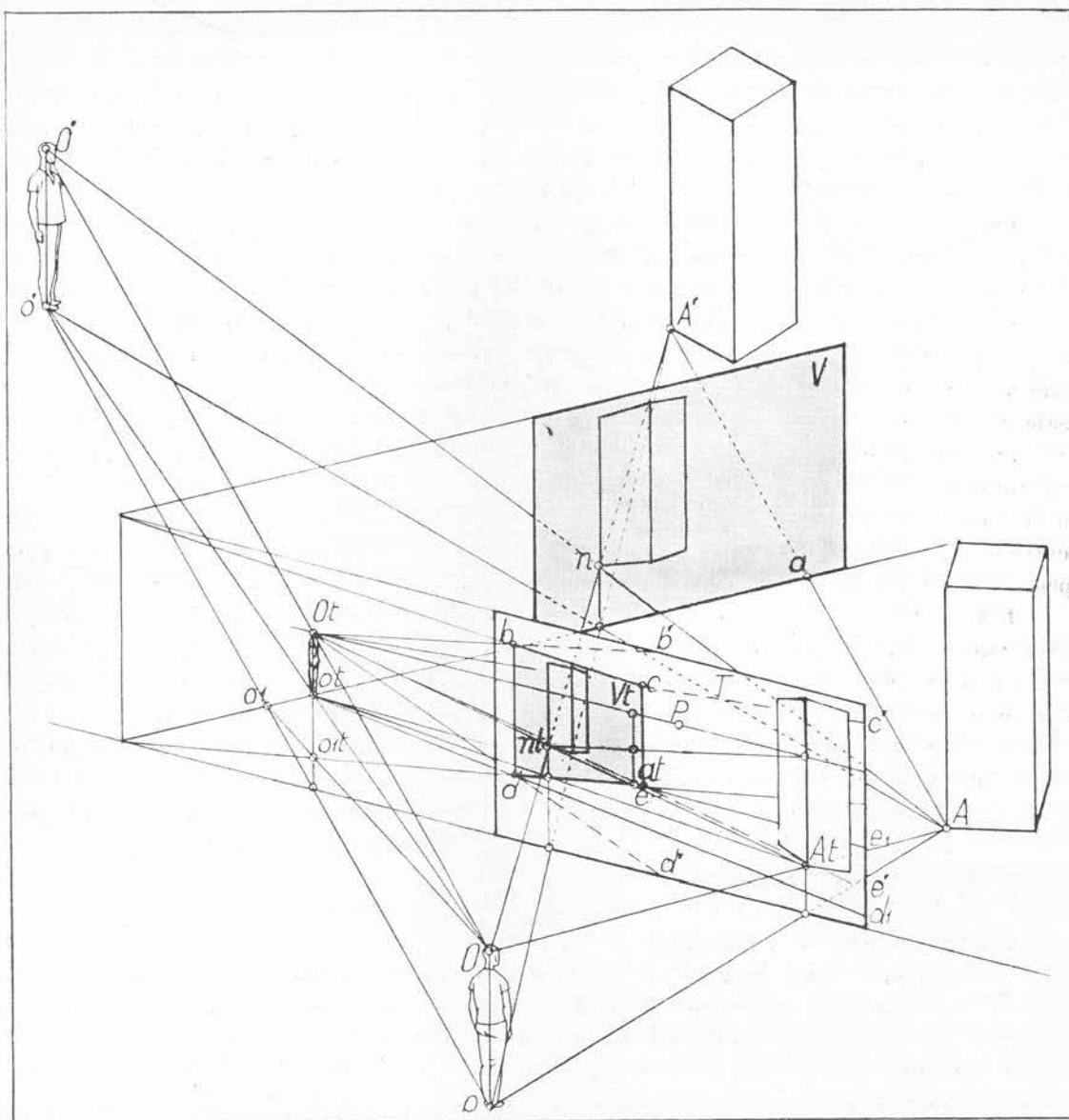
Acest procedeu a fost folosit în figurile 168, 170, 178, 181, 190.

137. — În tabloul  $A$  din spațiu, a punctului dat  $A$  din spațiu, spectivă a punctului  $At$  care, la rîndul lui, în tabloul inițial  $T$  este imaginea perspectivă a punctului  $At$  aflat la intersecția acestui nou tablou cu raza vizuală  $OAt$  este o imagine perslat în oglindă în  $Ol$ , imaginea perspectivă  $VI$  a oglinzii este de fapt un tablou iar același  $VI$  a oglinzii cu o lungime *egală* cu segmentul  $Alat$ . Pentru desenaatorul presupus reflecte construcție cunoscută — I 382, fig. 421) a fost prelungită în spatele imaginii perspective arătat mai sus, în  $nt$  pe perpendiculara  $Alat$  dusă pe planul oglinzii și care (printr-o simplă nea perspectivă pe tabloul  $T$  al punctului dat din spațiu) se află, folosind primul procedeu

138. — În tabloul  $A$  din spațiu, spectivă a punctului  $A$  pe acest tablou, căci se află la intersecția acestuia cu raza vizuală  $AO$ . Pentru desenaatorul situat în  $O$  reflectul punctului  $At$  (imagi-pentru desenaatorul situat în  $O$  este reflectul în oglindă a punctului dat  $A$  — este imaginea persnatorului presupus în  $O'$  planul oglinzii  $V$  se prezintă ca un tablou. Pe acesta punctul  $n$  — care punctului de vedere  $O$  se află în spațiu în  $O'$  (s-au luat egale segmentele  $oo_1$  și  $o_1o'$ ). Pentru deses-au precizat pentru a nu încerca figura cu prea multe linii). Reflectul în oglindă al egale cu planul oglinzii; aceste unghiiuri ca și perpendiculara pe oglindă în punctul  $n$  nu razei vizuale  $A'O$  cu planul oglinzii (raza incidentă  $An$  și raza reflectată  $nO$  fac unghiiuri egale segmentele  $Aa$  și  $aA'$ ). Pe planul oglinzii reflectul  $A'$  se află în  $n$ , la intersecția din spațiu. Reflectul punctului  $A$  în oglindă  $V$  se află în  $A'$  (s-au luat ce urmează pot fi urmărite simultan și în figura 137 I și II în care s-au folosit aceleași litere.

Este ceea ce se vede în figura 138 în care, în proiecție oblică, se arată, în spațiu și în tabloul  $T$ , mersul razelor pentru un singur punct  $A$  al unei prismă orientate pe unghi. Explicațiile de vedere  $O'$  perspectivă perspectivei deseneului inițial.

de planul oglinzii, acesta devine la rîndul lui un tablou pe care desenăm dintr-un nou punct și în care am determinat în spatele oglinzii simetricul  $O'$  al punctului de vedere  $O$  față de planul oglinzii. Aceasta înseamnă că, folosind acest procedeu, din oglindă al punctului dat  $A$  din spațiu. Aceasta înseamnă că, folosind acest procedeu, determinat, pentru punctul de vedere al desenaatorului pare a se suprapune pe reflectul  $A'$



are un contur curb) în care se află cuprinse toate punctele ale căror reflecte în oglindă vor fi văzute din punctul de vedere  $O$  al desenatorului. Unind proiecția pe planul obiectelor  $ol$  a punctului de vedere reflectat  $Ol$  cu capetele  $d$  și  $e$  ale urnei oglinzii pe planul obiectelor, obținem în  $ddl$  și  $cel$  intersecția piramidei cîmpului oglinzii cu planul obiectelor. În felul acesta vom ști că din fi-gurile și obiectele cuprinse în tablou numai reflectele celor așezate în patruleterul  $ddlel$  vor fi văzute din punctul de vedere al desenatorului.

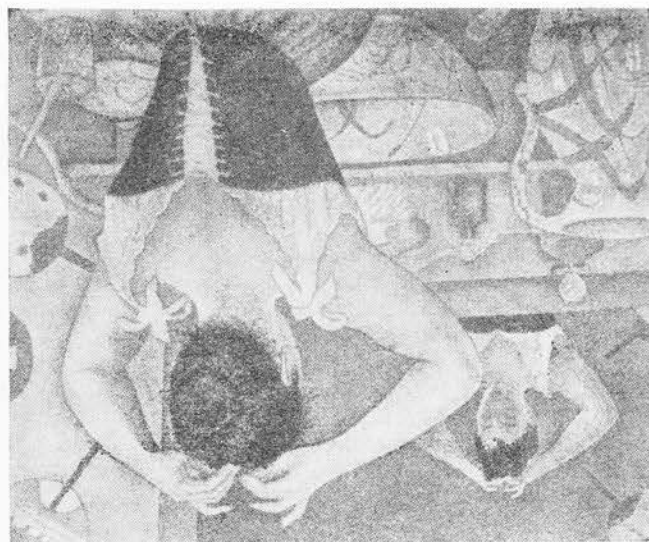


Fig. 140. (137, 185) S i g n a c: Femeie coafându-se

Fig. 139. (137, 162, 185)

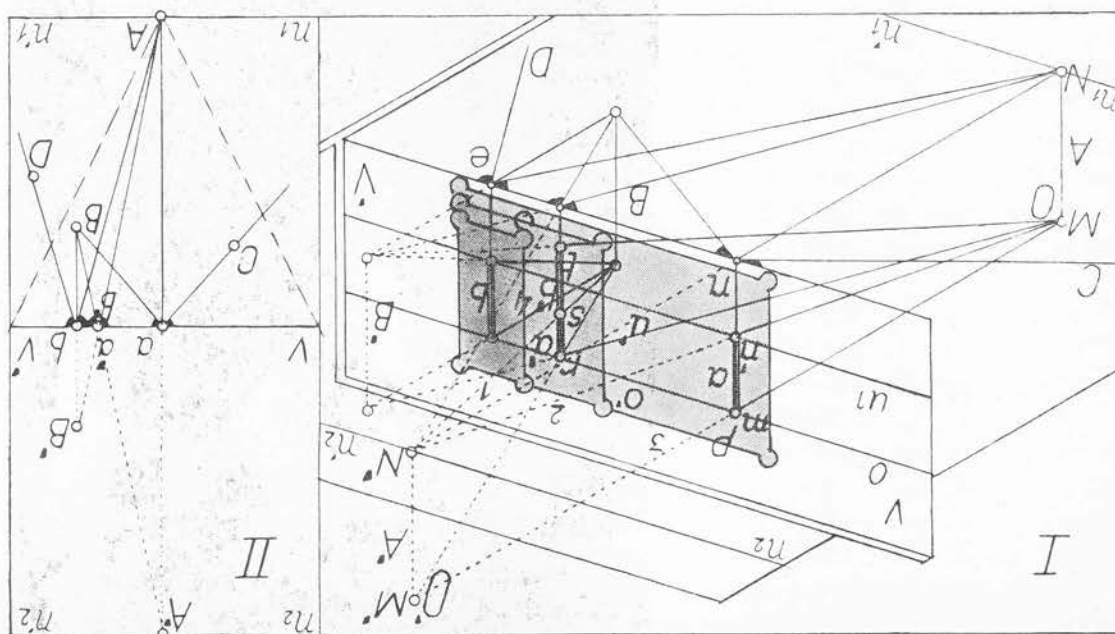




Fig. 141. (138) Van Eyck: Giovanni Arnolfini și soția sa

Cîmpul oglinzii și cîmpul vizual se încrucișează. Rezultă că — după cum vom vedea mai departe (169) — așa cum sînt figuri și obiecte în cuprinsul tabloului ale căror reflecte nu sînt văzute de desenator, tot așa acesta va putea vedea în oglindă figuri sau obiecte care nu sînt cuprinse în tablou, dar care intră în cîmpul oglinzii.

**136.** — *Problemele reflectelor în oglindă*, din punct de vedere plastic pot să se prezinte deopotrivă fie în perspectivă directă, fie în perspectivă inversă.

Astfel într-o oglindă deja desenată în tablou și al cărui cîmp a fost determinat, desenatorul poate schița mai întîi reflectul în oglindă al unei figuri, dîndu-i locul ce i se pare mai potrivit. În continuare, urmează ca, folosind un traseu de perspectivă inversă, să deseneze și figura corespunzătoare, aceasta — eventual — ieșind din cadrul tabloului. Prin procedeul ce se va arăta mai departe (185) se va putea totuși cuprinde în tablou această

figură fără a modifica locul ei ci numai mărimea reflectului ei.

Mai firesc este ca să se schițeze de la început atît figura cît și reflectul ei — dîndu-le locurile cele mai potrivite în compoziție, urmînd ca ulterior să se determine locul și orientarea oglinzii cu ajutorul unui traseu suplu care să permită o rezolvare cît mai corespunzătoare viziunii inițiale a artistului.

În privința imaginilor reflectelor figurilor sau obiectelor din spațiul virtual, acestea se desenează în oglinda frontală cu ușurință. După ce s-a determinat în oglindă reflectul urmei planului neutru, în spatele acestuia, la adîncimea și cu abscisa măsurate pe scara perspectivă a tabloului se va desena reflectul oricărui element presupus în spatele desenatorului, ținînd seama, evident, de inversarea imaginii reflectate.

În oglinda frontală reflectul figurilor sau obiectelor din spațiul intermediar și real, care nu intră de loc, sau numai parțial, în cîmpul vizual, se vor desena de asemenea inver-



Acasta înseamnă că într-o oglindă de mici dimensiuni care încadrează de aproape reflectul unei figuri (fig. 130 și oglinda 1 în fig. 139 I) desenatorul nu va putea vedea acest reflect. Într-o oglindă mai mare (1+2 în fig. 139 I) desenatorul ar vedea reflectul figurii dar nu în mijlocul ei, ci în  $rl$ . În oglinda 2 din aceeași figură care ar încadra simetric, pentru desenator, reflectul unei figuri, aceasta nu s-ar vedea oglindită căci ar vedea

razei incidente  $De$ .  
 în același loc imaginea reflectată a unei alte eventuale figuri  $D$  ce s-ar găsi în lungul

În  $b$  figura  $B$  își vede reflectată propria sa imagine  $B'$  în timp ce desenatorul vede în  $rl$  și  $A'$  mai mică, în  $rs$ .

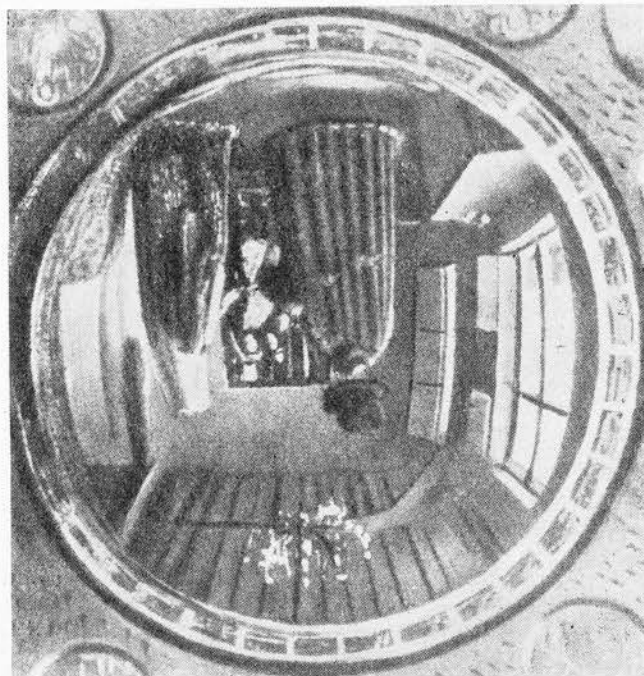
În  $a'b'$  desenatorul și figura  $B$  își văd reciproc imaginile lor reflectate,  $B'$  mai mare, razei incidente  $nC$ .

În  $a$  desenatorul își vede reflectată propria sa imagine  $A'$  în timp ce figura  $B$  vede în același loc imaginea reflectată a unei alte eventuale figuri  $C$  ce s-ar găsi în lungul

$a, b$  și  $a'b'$ .

În fața unei oglinzi frontale  $VV'$  în care își privesc imaginile lor reflectate în trei locuri: în proiecție orizontală (II) pe desenator  $A$  și o figură  $B$ , cuprinsă în cimpul său vizual și în proiecție oblică (I) și voiți să admită evidente licențe plastice în folosirea reflectelor în oglindă, cum se arată mai jos.

Fig. 142. (138) Van Eyck: Giovanni Arnolfini și soția sa (detaliu)



În operele lor artiștii plastici pentru a obține o compoziție bine organizată sînt adesea ne-

Licențe plastice.

numai în cadrul oglinzii inițiale. mei oglinzii să fie definitive. flectele desenate cu ajutorul ur- planul obiectelor, urmînd ca re- tunghiular) care să aibă baza pe tr-un patruleter (pătrat sau drep- de forma ei — să fie înscrisă în- da — indiferent de mărimea și lor perspective este bine ca oglin- Pentru simplificarea trasee-

loși și restituiră perspectivă. intră în cimpul vizual vom fo- figurilor și a obiectelor care nu care pentru desenarea reflectelor

În oglinda verticală oare-

urmei planului neutru. față de reflectul din oglindă a adîncimile lor, spre desenator, spectivă a tabloului abscisele și sîndu-le și măsurînd pe scara per-

în *rs* reflectul desenatorului. În sfârșit numai o oglindă mare ( $1+2+3$ ) ar putea cuprinde simultan toate reflectele de mai sus.

Desenatorul cunoscând această problemă, are toată libertatea să delimiteze mărimea și forma oglinzii ca să cuprindă acel sau acele reflecte care sînt cerute de subiectul compoziției respective. Vom ști deci că în toate tablourile în care într-o oglindă de format mic se încadrează de aproape chipul ogîndit al unei figuri, acea figură nu vede în ogîndă chipul ei reflectat ci imaginea reflectată a desenatorului (sau a privitorului tabloului). Iar dacă oglinda e mai mare vom ști că pe planul ei se formează două imagini diferite *b* și *b'* din care desenatorul nu vede decît una și anume pe aceea din *b'* în care chipul ogîndit îi apare văzut din față, dacă modelul ne caută cu privirea în ogîndă sau puțin întors dacă modelul își privește efectiv chipul în *b*, reflect pe care desenatorul nu-l vede.

Reiese că tablourile în care imaginea reflectată a unei figuri într-o oglindă care o încadrează de aproape ne este dată ca fiind reflectul pe care și-l vede acea figură, presupun o licență plastică (fig. 130 și fig. 201).

Tot așa *Vanitatea* lui Memling sau a lui Hans Baldung Grien, *Venus* a lui Tițian, se privesc în oglinzi atît de mici încît acestea abia le cuprind chipul pe care nu și-l văd și pe care îl vede privitorul tabloului.

În tabloul lui Velázquez (fig. 201) licența plastică este subliniată și de ușoara înclinare a micii oglinzi în sus, spre punctul de vedere mai ridicat al desenatorului, astfel încît acesta și figura din ogîndă să se vadă ogîndite reciproc. Este evident că pentru a-și putea vedea propria sa imagine reflectată în ogîndă, aceasta, aflindu-se la același nivel cu figura din tablou, ar fi trebuit să fie ținută vertical.

În schimb, figura 140 nu presupune nici o licență plastică. Oglinda este destul de mare pentru a cuprinde ambele reflecte: pe cel văzut de privitor și în dreapta lui reflectul pe care îl vede numai femeia care se coafează.

Alte licențe plastice în afara celei de mai jos vor fi semnalate mai departe (156, fig. 134).

**133.** — *Imaginea reflectată a desenatorului.* În compozițiile în care sînt reprezentate oglinzi frontale care cuprind punctul principal (162), sau oglinzi frontale înclinate și oglinzi verticale oarecare care, nefăcînd un unghi prea mare cu planul neutru, cuprind punctul de fugă al perpendicularelor pe aceste oglinzi, apare neapărat imaginea reflectată a desenatorului — dacă nu se interpune vreun obstacol. Obișnuita omitere a acestui reflect constituie tot o licență plastică.

O altă licență, am putea spune obligatorie, este aceea de a nu reprezenta în oglinzile enumerate mai sus lîngă imaginea reflectată a desenatorului și pe aceea a privitorilor care se perindă în fața tabloului respectiv și care, teoretic, ar trebui să se vadă reflectați ca într-o ogîndă adevărată.

Adăugăm că sînt tablouri care nu presupun aceste licențe. În cunoscuta ogîndă concavă a lui Van Eyck (fig. 141 și 142) se vede nu numai reflectul pictorului dar și al altei figuri care ar putea fi al oricăruia dintre vizitatorii care se perindă în muzeu în fața celebrului tablou.

139. — Oglinzile pot fi

plane sau curbă, cilindrice, concave, convexe etc. Nu vom ocupa numai de oglinzile plane. Studiul teoretic al celor neplane presupune demonstrații de geometrie optică și nu pot să intre în cadrul acestei expuneri. Reflectele în oglinzile curbă vor putea fi studiate după natură, după ce — prin restituire perspectivă (I, 16) — se vor pune să pozeze în atelier, în fața acestor oglinzi, figurile și obiectele exact în aceeași condiții ca în com-poziția respectivă.

Oglinzile plane pot fi:

a) *Orizontale*; suprafața lănișită sau numai puțin ondulată a unei ape, un paviment de marmură bine lustruit, un cristăl așezat pe masă, eventual o oglindă aplicată pe platon etc.

b) *Verticale*: oglinzi verticale care după orientarea lor pot fi perpendiculare pe tablou sau de capăt, oglinzi paralele cu tabloul sau frontale și oglinzi care fac un unghi mai mare sau mai mic cu tabloul sau verticale oarecare.

c) *Inclinate*: oglinzi inclinate perpendiculare pe tablou sau inclinate de capăt, oglinzi frontale ascendente sau descendente spre adâncul spațiului, precum și inclinate oarecare ale

căror orizontale fac un unghi mai mare sau mai mic cu planul tabloului. În ceea ce urmează vom arăta cum se poate determina cimpul oglinzii respective și cum se pot desena reflectele în perspectivă directă sau indirectă cu trasee care nu depășesc limitele tabloului sau cu trasee care permit să se dea volumelor și reflectelor lor un număr nesfârșit de diferite orientări din care să se poată alege aceea care satisface mai bine viziunea plastică a artistului care va fi astfel sprănit în studiul său creator.

OGILINZILE ORIZONTALE

A) În perspectivă directă

139 A. — Aplicând primii din cele două procedee arătate mai sus (130—134), reflectul A' al unui punct A într-o oglindă orizontală — suprafața unei ape lănișite — se va determina coborînd perpendiculara Aa (adică o verticală) pe oglindă și prelungind-o în adâncul ei pe o lungime egală  $AA' = aa$  (fig. 144). Procedînd la fel cu totalitatea punctelor care determină

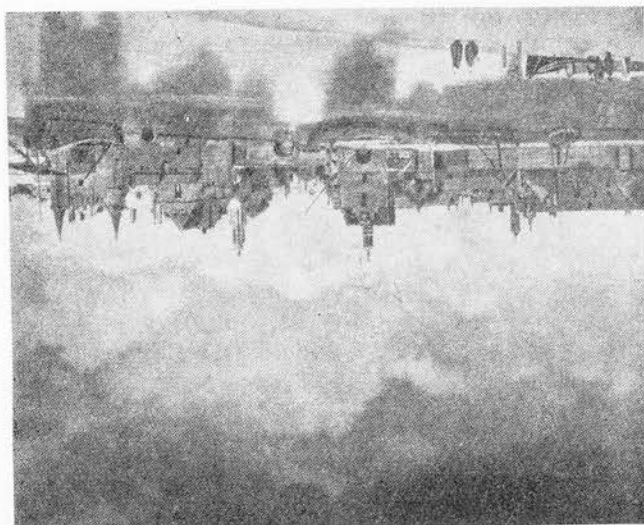


Fig. 143. (153) Vermeer: Vederea a orașului Delft.

imaginea perspectivă a oricărui obiect din spațiu, vom obține corespunzătoarea imagine reflectată. Construcțiile se simplifică folosind și punctele de fugă, când sînt accesibile.

Prin urmare, reflectul unei drepte verticale  $Aa$  se va determina prelungind-o cu o lungime egală în adîncimea oglinzii  $aA'$ , căci punctul  $a$  de pătrundere în planul oglinzii este comun dreptei din spațiu și reflectului ei.

Reflectul unei drepte orizontale avînd toate punctele la aceeași înălțime față de planul oglinzii nu poate fi decît tot orizontal și anume la o adîncime egală cu înălțimea dată. Astfel:

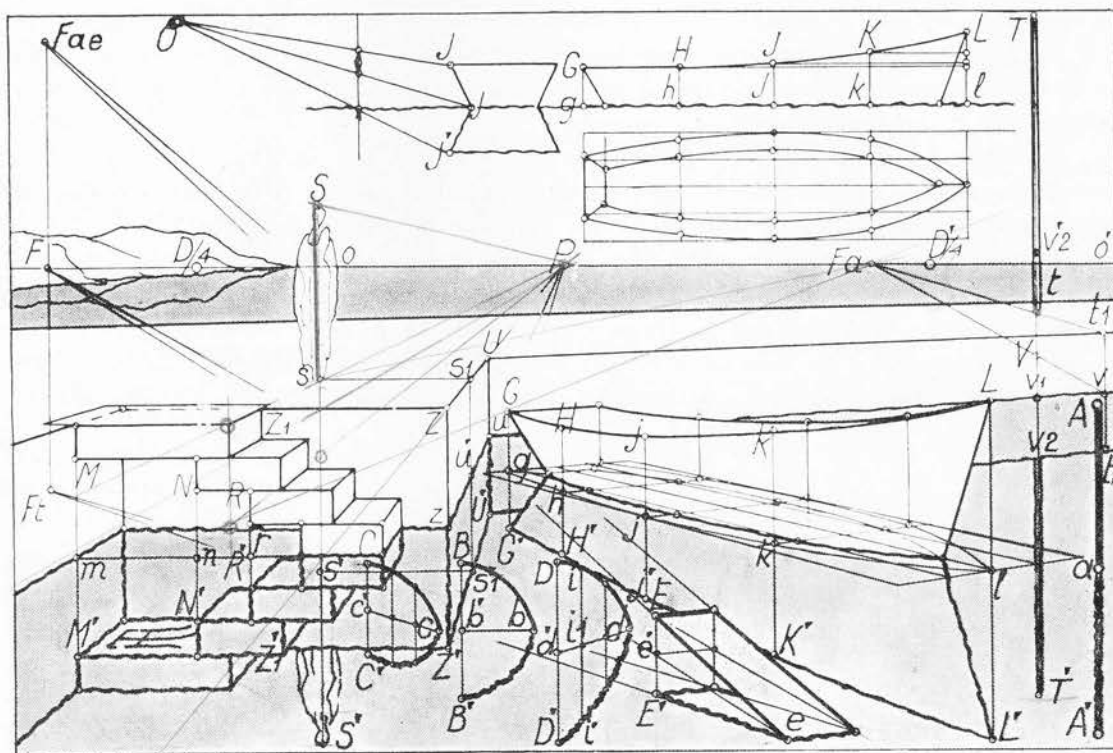
a) Dacă dreapta orizontală este frontală  $ZZ_1$ , reflectul ei  $Z'Z'_1$  va fi tot frontal și se va obține luînd adîncimea  $Z'z=zZ$ .

b) Dacă dreapta orizontală este de capăt  $ZUP$ , reflectul ei  $Z'U'P$  va fi tot de capăt și se va obține luînd adîncimea  $Z'z=zZ$  sau  $U'u=uU$ . Un singur punct este suficient căci putem folosi punctul de fugă accesibil  $P$ .

c) În sfîrșit, dacă orizontala este oarecare, dar cu punct de fugă accesibil, se va proceda ca mai sus, iar dacă acesta este inaccesibil va trebui să găsim reflectele a două puncte luînd spre exemplu, pentru reflectul orizontalei oarecare  $Ul_1$ , segmentele  $U'u=uU$  și  $t'_1v=v t_1$ .

Pentru determinarea reflectului unei drepte înclinate sau a unei curbe va trebui să cunoaștem orientarea planului vertical în care este cuprinsă și care poate fi frontal, de capăt sau vertical oarecare.

Fig. 144. (139, 140, 141, 142)





a) În plane frontale reflectul  $bb'$  al unei drepte sau al unei curbe  $bb'$  se obține descriind simetricul ei (eventual prin decalcare în cazul unei linii curbe) față de urma  $bb'$  pe planul oglinzii a planului vertical frontal respectiv.

b) În plane verticale de capăt sau oarecare, dar cu linie de fugă accesibilă, când pe această linie este accesibil punctul de fugă aerian  $Fae$  al dreptei înclinate date  $Ee$  se poate determina reflectul  $Ft$  al punctului de fugă luând sub linia orizontului simetricul lui, adică  $Ft = Fae$ . Către acest punct de fugă terestru se va îndrepta reflectul  $et'$  al dreptei date. Verticala coborâtă din punctul  $E$  precizează capătul  $E'$  al acestui reflect.

Când pe linia de fugă accesibilă a planului vertical oarecare sau de capăt nu este accesibil punctul de fugă aerian  $Fae$  al dreptei înclinate date ( $qT$ ) se folosește urma  $qP$  pe planul oglinzii (fig. 143) a planului vertical dat, luând în adâncul oglinzii segmentul  $lT' = lT$  și unind punctul  $T'$  cu punctul  $q$ .

c) În plane verticale oarecare cu linia de fugă inaccesibilă (fig. 144) se procedează ca mai sus folosind urma  $cc'$  sau  $dd'$ , pe planul oglinzii, a planului vertical în care se găsește dreapta înclinată sau linia curbă  $cc'$  sau  $dd'$  dată, luând egale segmentele  $c'C'$  sau  $d'D'$  cu segmentele  $Cc'$  sau  $Dd'$ . Pentru liniile curbe este bine să se ia unul sau mai multe puncte intermediare  $it_i = it'_i$ , căci în aceste cazuri numai redarea corectă a reflectului va sugera privitorului orientarea spre adâncul spațiului sau spre planul neutru al acelei curbe (o tres-lie bătută de vânt).

Imaginea perspectivă a soarelui sau a lunii pe suprafața unei ape cu desăvârșire liniștită se reflectă „adîncu-i luminîndu-l” — cum spune Eminescu — în planul lor frontal aflat la o depărtare nestîrșită de desenator și a cărui urmă, pe planul obiectelor, se confundă cu linia orizontului: se va lua deci segmentul  $l'l'$  egal cu segmentul  $ll$  (fig. 148). Se explică mai departe cum se tulbură aceste reflecte teoretice îndată ce suprafața apei începe să fie agitată de unde (153—155).

La fel și norii, avioanele etc. care, pentru a fi cuprinse în conul timpului nostru vizual, cu un unghi în vîr mai mic de  $27^\circ$  deasupra planului obiectelor, trebuie să se găsească față de desenator la o depărtare atît de mare încît urma planului frontal în care sînt cuprinse se va confunda aproape cu linia orizontului. De altfel, pentru anumite cazuri concrete cititorul va găsi în figura 581 din primul tom al acestei lucrări un procedeu rapid de a determina cu aproximație urma pe planul oglinzii a planului frontal al unui element situat în aer la o depărtare pe care o cunoaștem, o apreciem sau ni se dă.

**140.** — Deformările perspective nu sînt aceleași în imaginea obiectului și în imaginea reflectului lui. Uneori imaginea reflectată în oglinda orizontală ne arată o față nevăzută în dig pe care o vedem numai reflectată în  $M'$ ,  $N'$  și  $R'$  (fig. 144).

Generatoarele conturului aparent nu sînt aceleași în imaginea perspectivă a conului sau a cilindrului înclinat ca în imaginea reflectului lor (fig. 145) iar reflectul în apă al unei bărci ne apare mai adînc decît înălțimea marginii ei laterale (fig. 144, 145 bis, 152—154). Pentru obținerea imaginii conului reflectat în oglinda orizontală a apei (fig. 145), s-a determinat în  $V_1$  virful reflectului luînd  $CV_1 = CV$  și după ce s-a fixat diametrul cercului bazei, generatoarele conturului aparent al conului  $VA'$  și  $VE'$  și ale conturului

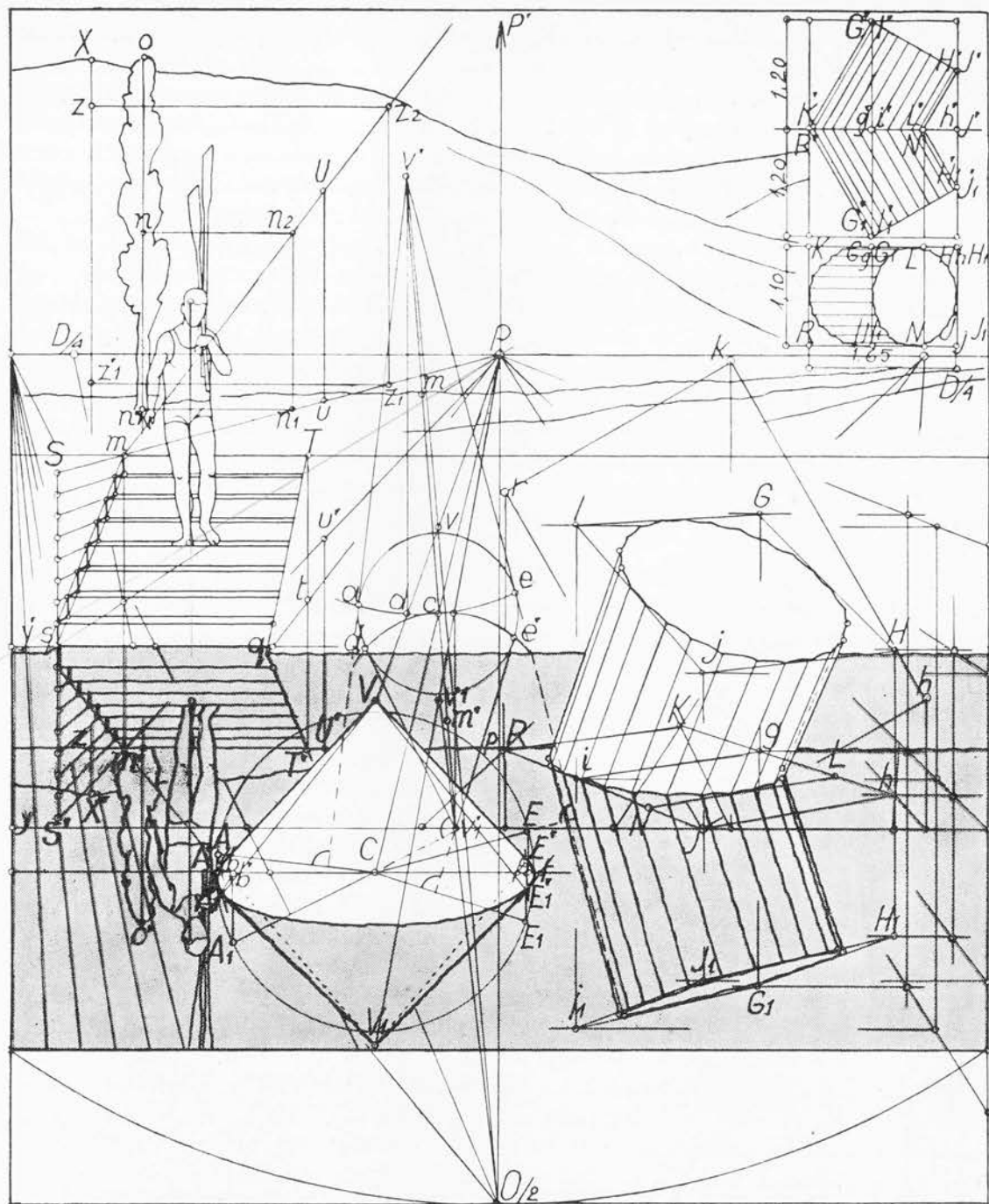


Fig. 145. (139, 140, 141, 147, 148)

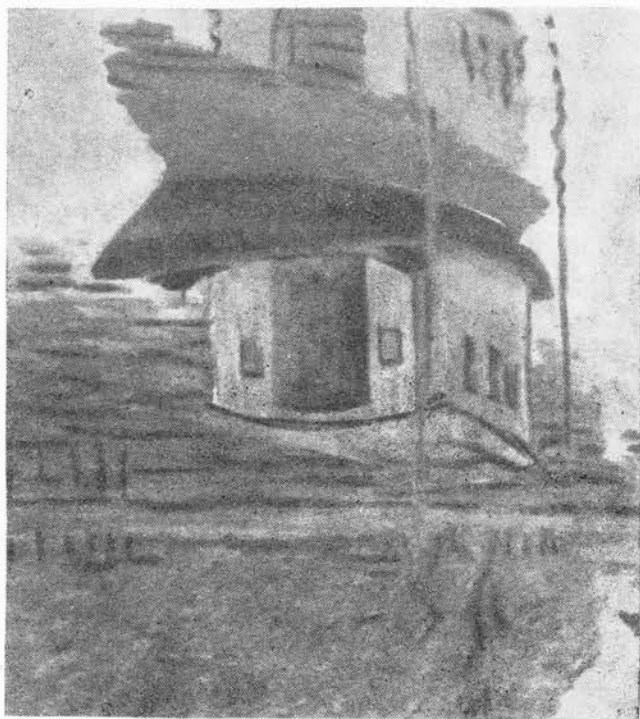


Fig. 145 bis. (140, 141)

aparent al reflectului  $V_1A_1'$  și  $V_1E_1'$  au fost precizate prin procedul care s-a descris mai sus (77). Pentru ca cititorul să poată urmări mersul lucrării în figura 145 în care, spre a obține o imagine mai exactă s-a folosit punctul  $O_2$  în loc de  $O_1$ , s-au pus, pentru imaginea conului, aceleași litere ca în figura 85 iar pentru imaginea reflectului tot aceleași litere sînt însoțite de indicele 1. Pentru a evidenția deosebiră dintr-o dată imaginile s-au desenat pe con și generatoarele conturului aparent  $A_1V_1$  și  $E_1V_1$  ale reflectului iar în reflect, prin linii punctate, generatoarele  $A_1V_1$  și  $E_1V_1$  ale conturului aparent ale conului. Pentru obținerea reflectelor lor în oglinda orizontală, barca și cilindrul înclinat (fusul unei coloane cu 24 caneluri) au fost considerate ca volume complicate și au fost pus în perspectivă prin procedul cunoscut (I 581—588).

Pe imaginea perspectivă a proiecției orizontale a bărcii (fig. 144) înălțimile diferitelor puncte  $G, H, J, K, L$  luate pe scara înălțimilor (care nu e figurată) au fost puse și deasupra și dedesubtul planului orizontal al oglinzii obținându-se dintr-o dată imaginile perspective ale bărcii și a reflectului ei,  $G', H', J', K', L'$ . Schema din partea superioară a figurii 144 ne explică de ce înălțimea bărcii  $JJ'$  văzută în răsursin, de exemplu de pe un mal, ne apare mai mică decît în imaginea răsturnată  $JJ'$  a reflectului (fig. 145 bis).

Pentru cilindrul aplecat pe imaginea perspectivă  $RjhK$  a proiecției orizontale a volumului complicat (fig. 145) s-au desenat deasupra și dedesubtul planului oglinzii verticale

$l'l = l'l_1, gg = g'g_1, jj = j'j_1$  și  $hh = hh_1$  măsurate pe scara înălțimilor (cu dimensiunile luate pe scara perspectivă a tabloului în  $V$ ), obținându-se imaginile perspective ale pătratelor  $IGJH$  și  $l_1G_1l_1H_1$  și ale dreptunghiului  $RKNL$ . În acestea, cu o scară divergentă anume întocmită (I 492, fig. 550, 551) s-au desenat cercuri cu 24 puncte care unite două câte două ne-au dat imaginea perspectivă a canelurilor fusului și a reflectelor lor. În figura 145 astfel obținută a cilindrului aplecat s-au desenat cu linii punctate, în dreapta muchia canelurii care nu se vede în viziune directă dar se vede în reflect iar în stînga muchia canelurii care se vede în viziune directă dar este ascunsă în reflect.

Tot ca un volum complicat a fost considerată și scara cu

trepte frontale a digului înclinat din aceeași figură al cărui reflect în oglinda orizontală a fost obținut inversînd în adîncul apei aceleași cunoscute construcții (I 589, fig. 641) ca pentru treptele de deasupra apei. Dimensiunile diferitelor elemente ale scării au fost măsurate pe scara perspectivă a tabloului în  $Y'$ .

**142.** — Pînă aici ne-am ocupat de diferite elemente care sînt așezate direct pe planul orizontal al oglinzii. Urmează să studiem și reflectele figurilor și ale volumelor așezate pe un mal zidit sau cu panta naturală a terenului.

Reflectul verticalelor de pe un mal se obține căutînd în prealabil punctul în care verticala respectivă ar pătrunde în apă, dacă malul n-ar exista. Acest punct se determină cu ajutorul unei scări obișnuite a înălțimii malului, sau cu o scară specială pentru reflectele cu mal.

Două drepte  $Fat_1$  și  $Fav$  duse dintr-un punct accidental de fugă  $Fa$  de pe linia orizontului (fig. 144), cuprinzînd între ele înălțimea  $t_1v$  a malului, constituie o scară care arată descreșterea perspectivă a acestei înălțimi. Dreapta  $Fat_1$  se ia astfel încît să treacă prin piciorul  $t$  al verticalei date  $Tl$ . Prelungind-o, determinăm în  $V$  punctul căutat, care s-ar găsi pe planul orizontal al oglinzii dacă am presupune malul înlăturat. Deci pentru a determina reflectul în apă a verticalei date  $Tl$ , trebuie să luăm segmentul  $T'V=VT$ . Dar din acest reflect vom vedea oglindit în apă numai segmentul  $v_2T'$  căci pe lîngă segmentul  $Vv_1$  ascuns de mal și segmentul  $v_1v_2$  este ascuns de reflectul malului (vom vedea mai departe cazurile în care ambele reflecte, al malului și al verticalei date, se pot întrepătrunde parțial (155, fig. 160).

Scara reflectelor cu mal are avantajul de a ne arăta dintr-o dată că din verticala dată  $lT$  nu se va vedea reflectat în apă segmentul  $lv_2$  ci numai segmentul  $v_2'T$ , și desenatorul poate modifica această înălțime în vederea efectului pe care dorește să-l obțină în compoziția respectivă. Pentru întocmirea acestei scări este necesar să știm cum se determină cîmpul oglinzii orizontale.

#### *Cîmpul oglinzii orizontale*

**143.** — S-a arătat mai sus (135, fig. 138) că pentru determinarea cîmpului unei oglinzi este suficient să construim o piramidă cu vîrful în imaginea reflectată a punctului de vedere și cu muchiile trecînd prin punctele caracteristice ale oglinzii date. Dar în cazul oglinzilor orizontale (fig. 146, I) simetricul  $O'$  al punctului de vedere  $O$  al desenatorului față de planul orizontal al oglinzii  $A'B'C'D'$ , adică vîrful piramidei sau al conului cîmpului oglinzii, nu poate fi reprezentat în tabloul  $T$  deoarece se află în planul neutru sub planul orizontal al oglinzii, sau deasupra lui, cînd oglinda orizontală se află pe plafonul unei încăperi (fig. 162). Va trebui deci să desenăm muchiile piramidei sau generatoarele conului cîmpului vizual fără a folosi vîrful  $O'$  pe care nu-l putem reprezenta pe tablou. Pentru aceasta este necesar să cunoaștem cum se obține imaginea perspectivă a unor drepte convergente într-un punct situat în planul neutru. Este ceea ce se arată în figura 147.

**144.** — *Imaginea perspectivă a dreptelor ce converg într-un punct aflat în planul neutru.* În figura 147, fie  $A$  un punct situat în planul neutru a cărui urmă este  $NN'$  și  $OA$  raza



convergență A.

paralele cu raza vizuală care, în planul neutru, unește punctul de vedere O cu punctul de convergență într-un punct A situat în planul neutru sint paralele între ele și în același timp Din demonstrația de mai sus reiese că imaginile perspective ale laturilor dreptelor care secțiunile  $OA$  și  $B'FB$  ale acestui plan cu două plane paralele (planul neutru și planul tabloului) nu pot fi decât paralele. Deci  $B'FB \parallel OA$ .

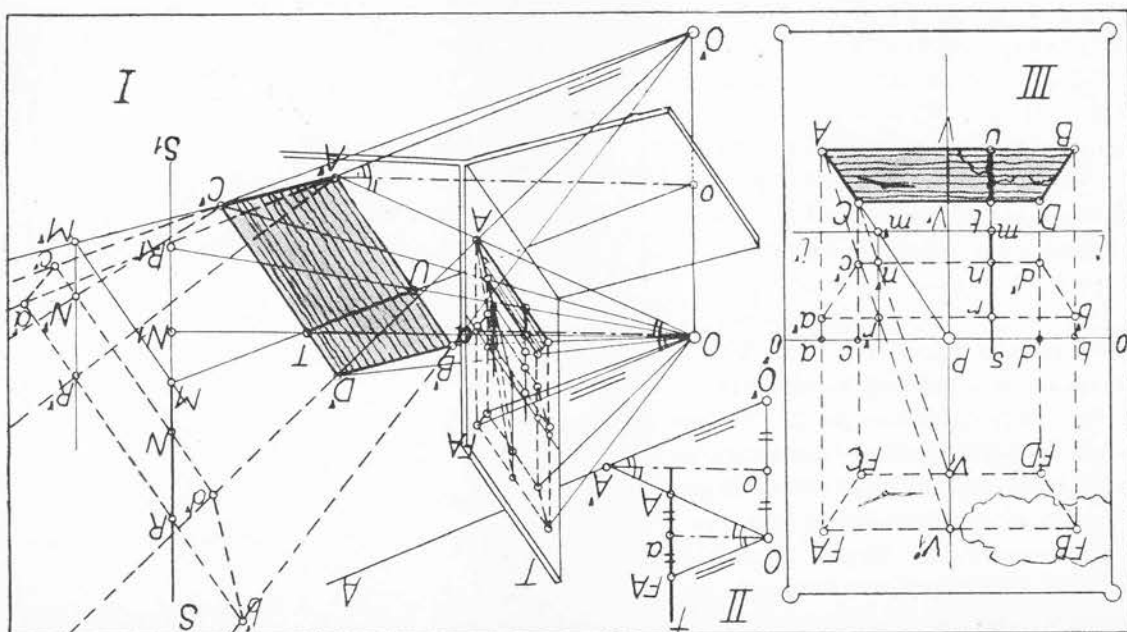
dreapta dată  $AB'B$  și raza vizuală  $OFB$ , fiind paralele, constituie un plan, iar inter-punct A sint paralele cu dreapta  $OA$  căci:

imaginile perspective  $C'FC$  a dreptei  $AC$  sau a oricărei alte drepte convergente în același punct A sint paralele cu dreapta  $OA$  căci:

Examinând figura se vede că imaginea perspectivă  $B'FB$  a dreptei  $AB$  precum și

$c'FC$ , cu ajutorul dreptelor  $ob'$  paralela cu  $ab$  și  $oc'$  paralela cu  $ac'$  și a verticalelor  $b'FB$  și din O drepte paralele cu dreptele  $AB$  și  $AC$  iar punctele lor de pătrundere se vor găsi pătrundere în tabloul  $FB$  sau  $FC$  al razelor vizuale paralele cu dreptele date. Ducem deci cunoaștem și punctele lor de fugă care se găsesc, după cum știm, determinând punctul de ale dreptelor  $AB'B$  și  $AC'C$  pe linia punctele lor de adîncime nulă  $B'$  și  $C'$  trebuie să fiile orizontale  $ab$  și  $ac$  ale acestor drepte. Pentru a desena în tabloul imaginile perspective-tele  $B'$  și  $C'$ . Coborînd pe planul obiectelor verticalele  $Aa$ ,  $B'b$  și  $C'c$  determinăm proiectiile oarecare  $AB$  și  $AC$  care converg în punctul dat A și care străpung tabloul în punct-vizuală care îl unește cu punctul de vedere O, cuprinsă și ea în planul neutru. Luăm două

Fig. 146. (143, 144, 145, 146, 171)



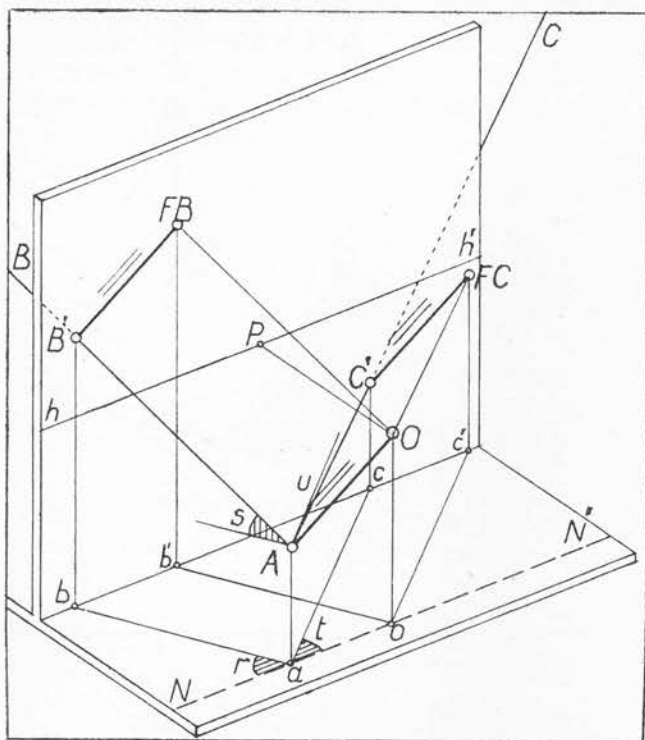


Fig. 147 (143, 144)

În figura 146 III fie  $ABCD$  imaginea perspectivă a unei oglinzi orizontale: un bazin dreptunghiular. Desenul presupune — pentru claritatea expunerii — că planul apei este la același nivel cu planul obiectelor, urmînd ca mai departe (147) să se arate cum se procedează în practică, ținînd seama de înălțimea malului. Obținem cîmpul acestei oglinzi ridicînd prin punctele ei caracteristice verticale, nedeterminate ca lungime, care reprezintă, cum s-a arătat mai sus, muchiile care se îndepărtează în adîncul spațiului ale piramidei acestui cîmp.

În proiecție oblică (fig. 146, I) și în proiecție ortogonală (fig. 146, II) se arată că punctele de fugă  $FA$ ,  $FB$ ,  $FC$  și  $FD$  ale acestor muchii sînt simetrice cu punctele  $A$ ,  $B$ ,  $C$  și  $D$  față de linia orizontului. Într-adevăr, după cum se arată în aceste figuri, numai pentru muchia  $AFA$  — întrucît segmentele  $Oo$  și  $oO'$  sînt egale, urmează că punctul de fugă  $FA$ , care se obține ducînd din punctul de vedere  $O$  o rază paralelă cu muchia din spațiu  $O'A'$  se găsește în tablou, față de linia orizontului  $a$  la o cotă  $aFA$  egală cu cota  $aA$  a imaginii perspective  $A$  a punctului  $A'$  din spațiu.

Aceste puncte de fugă desenează la infinit în  $FAFBFCFD$  baza mare, trapezoidală și verticală a trunchiului piramidei a cărei bază mică este dreptunghiul orizontal  $ABCD$  și ale cărei muchii laterale  $AFA$ ,  $BFB$ ,  $FCF$  și  $DFD$  ne apar, cum s-a arătat mai sus, paralele iar nu divergente.

În cazul oglinzilor orizontale raza vizuală  $OO'$  care, în planul neutru, unește punctul de vedere  $O$  cu punctul  $O'$  de convergență a muchiilor piramidei care constituie cîmpul oglinzii verticale fiind verticală (fig. 146,1) urmează ca imaginile perspective ale muchiilor acestei piramide să fie verticale.

În felul acesta, trunchiul piramidei cîmpului unei oglinzi orizontale cu vîrf în planul neutru ne va apare în tablou ca imaginea unei prisme ( $ABCD FA FB FE FD$  în fig. 146, III) căci în măsura în care, în adîncimea spațiului, muchiile piramidei se reșfiră, depărtîndu-se unele de altele, în aceeași măsură, intervenind descreșterea perspectivă, imaginile lor se apropie apărîndu-ne paralele în desen.

**145.** — *Imaginea perspectivă a cîmpului unei oglinzi orizontale.*

**146.** — În practică nu e necesar să se deseneze în întregime cimpul oglinzii, care poate fi înlocuit cu o scară perspectivă a reflectelor sau a oglinzilor. Aceasta scară se poate afla în locul în care stăpânește mai puțin compoziția sau în marginea tabloului, o dată cu scara perspectivă. Numai demonstrativ în figura 148 scara a fost desenată în mijlocul tabloului.

Pe o verticală oarecare, sau, ca în figura 146 III, pe linia de fugă  $V_1V_1'$  a planelor verticale de capăt se ia, față de punctul de pe linia orizontului a acestei verticale (în figura noastră punctul  $P$ ), segmentul  $V_1V_1'$  simetric cu segmentul  $V_1V_1'$ , ale cărui capete se află pe marginile oglinzii date. Dintr-un punct oarecare (în figura noastră  $A$ ) de pe marginea mai apropiată a oglinzii se duce o dreaptă  $AP$  în punctul de intersecție între linia orizontului și verticala oarecare luată, care intră în  $C$  marginea mai depărtată a oglinzii. Dreptele  $AV_1'$  și  $CV_1$  completează scara. În orice plan frontal, în triunghiul  $CPV_1$  vor fi cuprinse segmentele verticalelor ale căror reflexe nu se vor vedea (spre exemplu segmentul  $m'n'$ ), iar între dreptele  $CV_1$  și  $AV_1'$  segmentele verticalelor ale căror reflexe se vor vedea (spre exemplu  $n'r'$ ).

Numai în unele cazuri, pentru elementele aflate în marginile laterale ale oglinzii (figurele  $E$  și  $J$  sau pomul  $K$  din fig. 148) pe lângă scara perspectivă a oglinzilor, se va putea desena, parțial, și secțiunea verticală  $a'b'c'$  prin cimpul oglinzii.

**147.** — Explicațiile de mai sus, presupunând planul oglinzii la nivelul planului obiectelor, fac abstracție de înălțimea malului a cărui reflect trebuie desenat înainte de întocmirea scării perspective a oglinzilor.

În figura 148, luând înălțimea reflectului egală cu înălțimea malului (bordura bazinului) s-a putut limita în  $ABCD$  pe planul oglinzii, suprafața în care se pot reflecta elementele situate pe planul obiectelor.

În figura 149, în care malul este frontal, reflectul lui a fost determinat ca mai sus luând reflectul  $aA'$  egal cu înălțimea  $aA$  a malului vertical.

În figura 145, în care malul frontal este un plan frontal înclinat, reflectul a fost determinat luând față de dreapta de capăt  $qP$  segmentul  $T'1$  egal cu segmentul  $1T$ . (În același fel s-au desenat reflectele malurilor înclinate din marginea stângă a figurii 149.)

#### Scara perspectivă a reflectelor

Dacă dintre elementele cuprinse într-un plan frontal a cărui urmă, de exemplu  $it'$ , ne este dată (fig. 146 II), dorim să precizăm părțile ce se vor vedea reflectate, este suficient să construim, între muchiile piramidei cimpului oglinzii, un trapez  $a'b'c'd'$  simetric — față de urma  $it'$  — cu înălțimea perspectivă  $ABCD$  a oglinzii date. În felul acesta vom afla, de exemplu, că din verticala  $ms$  cuprinsă în planul frontal dat, se va reflecta în oglindă numai segmentul  $nr$ , în care desinatorul va putea strecura detaliul semnificativ pe care ar vrea să-l întărească și prin repetarea lui — răsturnat — în oglindă, în  $tu$ . Este ceea ce se arată și în proiecția oblică I din aceeași figură.

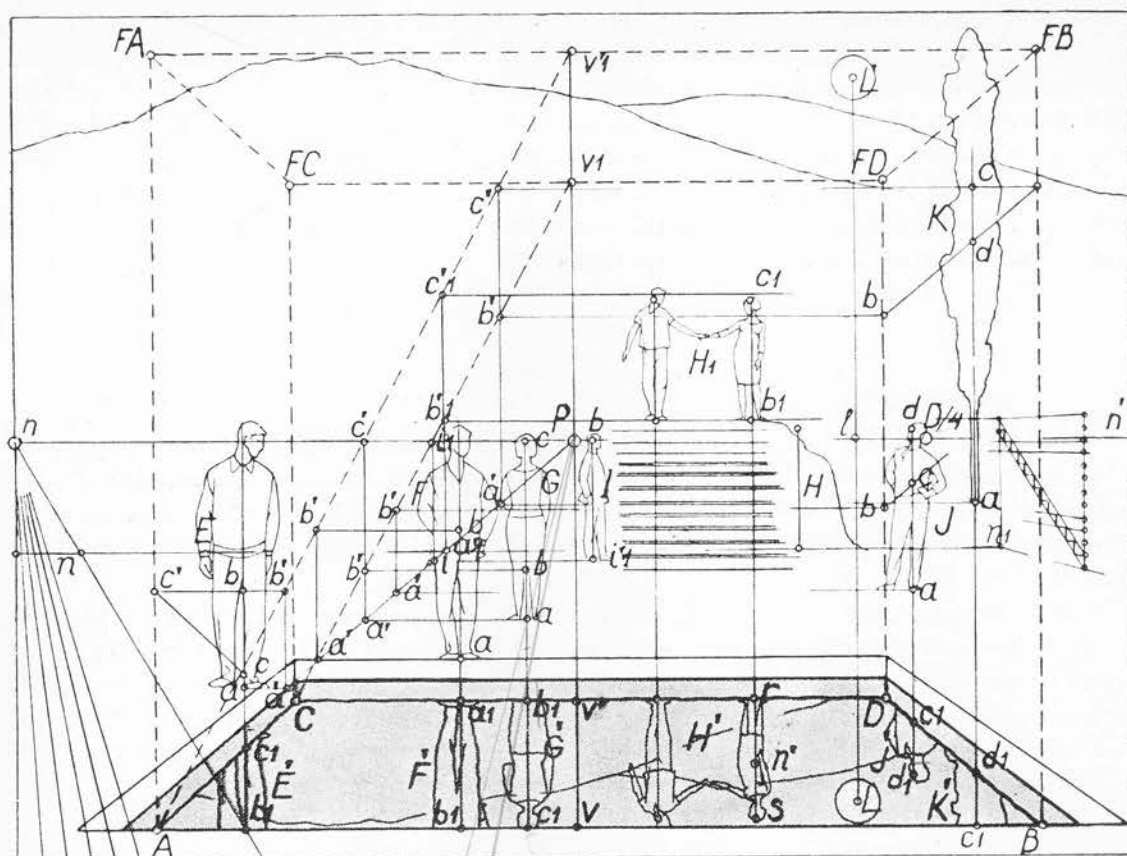


Fig. 148. (139, 146, 147, 148, 149)

În figura 150, în care malul vertical se prezintă pe unghi (cu punct de fugă inaccesibil) a fost necesar să se precizeze reflectul a două puncte (139 c), luând segmentul  $aA'$  egal cu segmentul  $aA$  și segmentul  $bB'$  egal cu segmentul  $bB$ .

Ținând seama de reflectul malului, scara perspectivă a oglinzilor se desenează aplicând explicațiile date mai sus.

În figura 148 pe linia de fugă a planelor verticale de capăt s-au luat segmentele  $Pv_1'$  și  $v_1'v_1$  egale cu segmentele  $Pv$  și  $v'v$ , pentru a desena în  $Av_1'$  și  $Cv_1$  scara oglinzilor. Iar pentru completarea scării cu dreapta de pe planul obiectelor s-a căutat în  $a'$  intersecția dreptei  $Cv_1$  cu marginea superioară a malului pentru a desena dreapta  $a'P$ , care constituie baza scării perspective a reflectelor.

În figurile 149 și 150, folosindu-se marginea verticală a tabloului (unde s-ar fi desenat și scara perspectivă a tabloului pentru volumele aflate pe planul obiectelor) s-a luat segmentul  $FA_1$  egal cu segmentul  $FA'$  care înglobează și înălțimea  $aA'$  a reflectului malului. Dintr-un punct oarecare  $S$  al marginii superioare a malului s-a desenat triunghiul  $SFA_1$ .



148. — Folosirea scării perspective a segmentelor  $n_1n_2, z_1z_2$ , care nu se vor vedea oglinzite. Exemplu stîlpul  $mM$  din figurile 149 și 150. Ducem pe planul obiectelor din piciorul  $m$  al verticalei date, o dreaptă  $mg$ , paralelă cu marginea digului (deci orizontală) în fig. 149 și, cu ajutorul rețelei perspective, fugînd spre un punct de fugă înaccessibil în fig. 150, pînă la baza scării. Din punctul  $g$  ridicăm o verticală care întretaie scara reflectelor în punctul  $g_1$ . Segmentul  $gg_1$  nu se va reflecta și-l putem reprezenta pe stîlp (cu o orizontală în fig. 149 și cu o linie de fugă în fig. 150) în  $mm_1$ . În figura 149 segmentul  $g_1G_1$

În felul acesta s-a procedat în figura 145. Neputînd lua, pe linia de fugă a planelor verticale de capăt segmentul  $p'P$  egal cu segmentul  $pP$ , după ce s-a desenat verticala  $SsS'$  și dreptele  $SP$  și  $S'P$ , s-a luat segmentul  $uU$  egal cu segmentul  $u'U'$  pentru a obține

pentru elementele  $E, J$  și  $K$  din figura 148.

Cînd segmentul  $FA_1$  nu ar intra în cadrul tabloului, fiind seama de înălțimea  $Ss$  a maiului și de înălțimea  $sS'$  a reflectului, ducem dreapta  $S'F$  (fig. 150). Apoi în locul verticalei  $FA_1$  luăm orice altă verticală mai apropiată de punctul  $S$  pe care segmentul  $uU$  (în locul segmentului  $FA_1$ ) egal cu segmentul  $uU'$  (în locul segmentului  $FA'$ ) intră în cadrul tabloului respectiv.

Numai cînd malul este frontal (fig. 149) scara segmentelor care nu se reflectă poate fi eventual completată cu scara segmentelor care se vor reflecta. Se ia segmentul  $SS_1$  egal cu segmentul  $S_1S_1'$  dintre reflectul malului și marginea inferioară a tabloului. Ducînd prin  $S_1$  o paralelă la ramura  $SA_1$  a scării obținem un paralelogram  $SS_1S_2A_1$  în care, în orice plan frontal, verticalele sînt egale cu înălțimea dreptunghiului imaginii perspective a oglinzii. Aceasta completează este deci inutilă și de altfel nici nu se poate face atunci cînd malul rînd pe unghi (fig. 150) înălțimea segmentelor care se vor direct pe oglîndă. Spre exemplu pe ogîndă în  $m'M'$ , fără a fi

in care, cum s-a aratat mai sus (146), sint cuprinse segmentele ale caror reflecte nu se vor vedea.

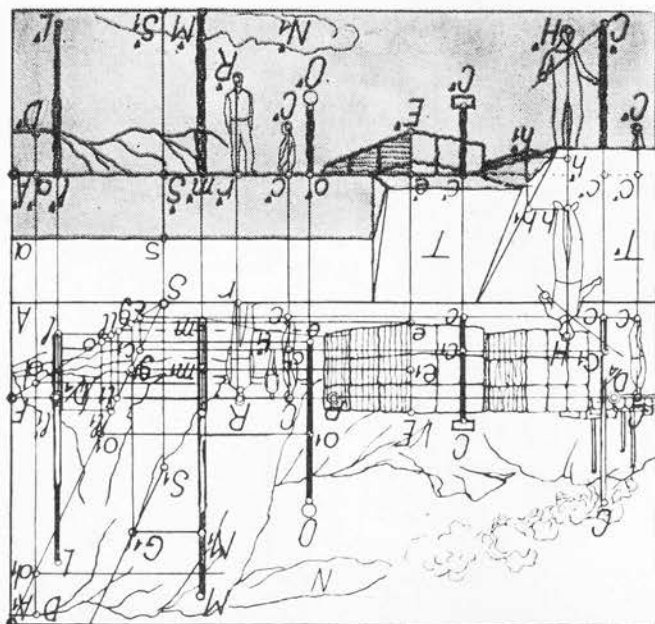
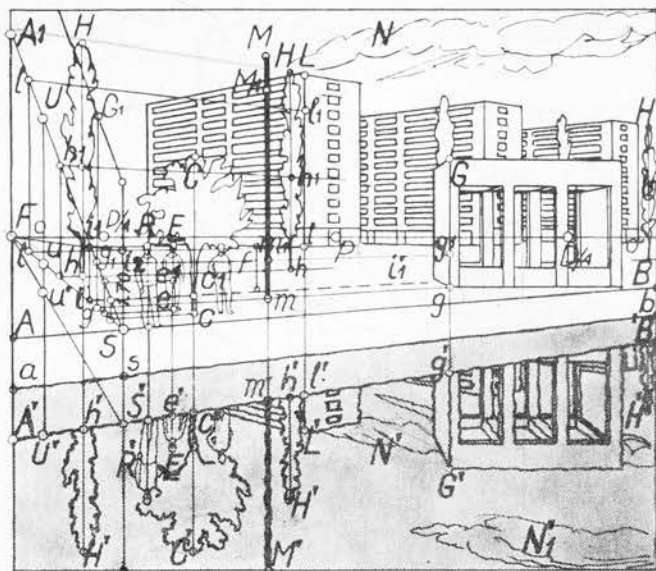


Fig. 149. (147, 148, 149)



Prin punctul  $i$  trece urma  $i'_{11}$  a planului căutat, a cărui determinare sprijină desenul creator al artistului în ordnarea adîncimii spațiului în care figurile și alte elemente semnificative din compoziție vor putea să fie subliniate de reflecțiile lor inversate în oglinda orizontală a apei.

**149.** — Dăm aici încă un exemplu de felul în care scara reflecțiilor poate sprijini desenul creator al artistului.

În fig. 148 se vede că reflecțiile diferitelor figuri mai apropiate  $E'$ ,  $F'$  sau mai depărtate  $G'$ ,  $J'$  nu intră în întregime în cîmpul oglinzii. În căutarea unei imagini plastice satisfăcătoare, am vrea să știm unde pot fi situate figurile al căror reflect să intre în întregime între cele două margini  $AB$  și  $CD$  ale bazinului dat.

Pentru a intra în întregime în cadrul oglinzii date, reflectul unei figuri nu poate depăși înălțimea  $rs$ . Cu o dreaptă ajutătoare (nereprezentată în fig. 148) s-a apreciat, față de această înălțime, mărimea  $rn'$  pe care o are un metru în planul frontal al figurii reflectate. Urma  $mn_1$ , pe planul obiectelor, al acestui plan se găsește pe scara perspectivă a tabloului, în locul  $n$  în care metrul are mărimea segmentului  $rn'$ . La intersecția acestor urme cu baza scării reflecțiilor ridicăm verticala  $aq'b$ , care, măsurată pe scara perspectivă în  $n$  are 2,00 m. Figura trebuie deci să fie așezată pe o denivelare naturală a terenului înălță de 2 m sau pe a 12-a treaptă a unei scări cu contratrepte înalte de cîte 0,166 m ( $2m:12=0,166$  m). În dreapta figurii se arată cum a fost construită imaginea perspectivă a acestor trepte (I, 589, fig. 641).

Pe lîngă cele arătate mai sus, în figurile 149 și 150 se pot urmări unele din aspectele reflecțiilor în oglinda orizontală cu mal.

Nu se reflectă în întregime decît figurile sau obiectele situate chiar pe marginea digului (figura R în fig. 149 și 150).

Munți înalți, coșurile fabricilor cu fumul lor nu se vor reflecta dacă sînt situate la o depărtare prea mare (fig. 149), în timp ce un mic deal  $D$  numai de 27 m, dar situat la o depărtare numai de 110 m de marginea digului se va reflecta în  $D'$ , căci nu numai înălțimea unei verticale decide de reflectul ei ci și apropierea ei de marginea malului.

Orizontalele oarecare, ale căror reflecte se îndreaptă către aceleași puncte de fugă, în oglindire, fiind mai depărtate de linia orizontului capătă înclinări mai mari care accentuează descresșerile perspective în adîncimea spațiului și comunică tabloului o expresivitate sporită.

Succesiunea în adîncimea spațiului a diferitelor plane ale compoziției apare mai evidentă în reflecte decît în spațiu. Imaginea perspectivă a verticalei  $M$  (înălță de 8 m) a plopii  $H$  (înălță de circa 12 m) a blocului  $L$  (înălță de 35 m) și a norului  $N$  (a cărui loc în spațiu este greu de precizat) așezate din ce în ce mai departe ne apar în figura 150 la aceeași înălțime. Reflecțiile lor corespunzătoare  $M'$ ,  $H'$ ,  $L'$  și  $N'$  modifică total această impresie accentuând puternic descresșerile lor perspective.

Verticale de diferite înălțimi ( $C$  și  $O$  în fig. 149) au reflecte de aceeași lungime ( $C'$  și  $O'$ ) dacă în spațiu nu sînt situate în același plan frontal.

În oglinda orizontală putem avea reflectul unui element pe care nu-l vedem reprezentat și în spațiu cum sînt spre exemplu norii  $N'_1$  din figurile 149 și 150, care fiind situați la o

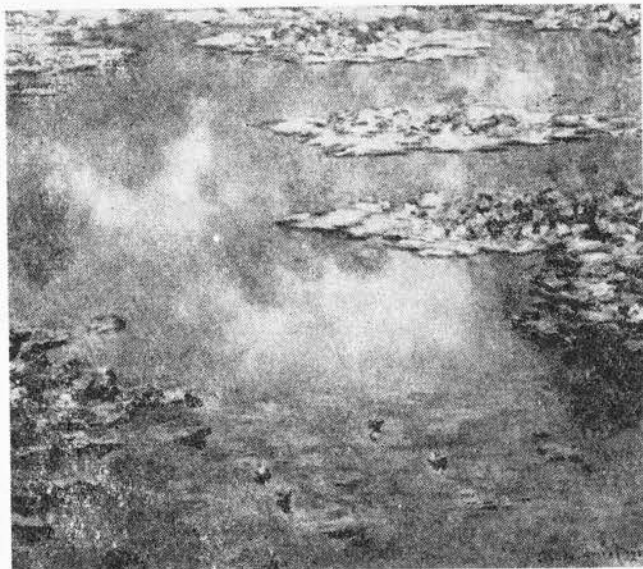


Fig. 151. (149) Monet: Nufarii la apusul soarelui

mare înălțime nu pot fi cuprinși în cadrul limitat al tabloului.

Dar sînt tablouri în care compoziția, în întregimea ei, ne apare numai în oglindire, cum sînt „Nufarii” lui Claude Monet (fig. 151). Precizăm însă că și în acest caz efectul de adîncire a reflectelor a fost obținut cu ajutorul acelor elemente (nufarii) care, plutind pe fața transparentă a apei, ne apar nu numai în reflect dar și în viziune directă.

### B) În perspectivă inversă

în oglinda orizontală a fost expusă în perspectivă directă. Într-o oglindă dată reflectele unor figuri sau obiecte date nu vor ocupa în compoziția tabloului un anumit loc prevăzut dinainte de artist. Vor putea deci să nu corespundă viziunii sale.

Este necesar deci să cunoaștem problema reflectelor și în perspectivă inversă. Artistul va creiona de la început, unul sub altul atît motivul cît și reflectul lui inversat, urmărind ca în baza acestor elemente date să determine ulterior planul oglinzii, interpretînd în perspectivă inversă tot primul din cele două procedee enunțate mai sus (130).

Este ceea ce se arată în figurile 152—155. Pe verticala  $AA'$  artistul a reprezentat în  $AB$  muchia mai apropiată a motivului (o casă de pescar) și în  $A'B'$  reflectul acestei muchii în locul care corespunde viziunii sale plastice. Împărțind în două părți egale înălțimea  $BB'$  determinăm în  $M$  punctul în care această verticală pătrunde în planul orizontal al oglinzii. Pentru a cunoaște înălțimea malului  $BM$  o comparăm cu înălțimea presupusă (de exemplu de 4 m) a casei. Operațiunea se poate face cu aproximație sau, cum se arată în schema din josul figurii 155, cu o dreaptă ajutătoare  $AT'$ , gradată în metri la o scară obișnuită de 5 mm, de exemplu. Pe dreapta  $AT$  s-a luat segmentul  $AB$  egal cu înălțimea casei de 4 m și segmentul  $AM$  egal cu înălțimea necunoscută a malului. Unim  $B$  cu diviziunea a patra  $B'$  a dreptei ajutătoare  $AT'$ . Ducînd prin  $M$  o paralelă geometrică  $MM'$  la  $BB'$ , pe linia gradată vedem că  $AM'$ , înălțimea malului, are 7,50 m.

Pentru a merge mai departe trebuie să precizăm elementele perspective ale tabloului: linia orizontului, punctul principal care se va găsi în mijlocul ei, punctul de distanță redus și scara perspectivă a tabloului de care se va vorbi mai departe.



ori aceste distanțe. În același fel, luând în schemă segmentul  $AH$  egal cu segmentul  $PH$  din tablouri, aflăm cu dreapta  $HH'$  că muchia  $AB$  a casei se află la 3 m spre stînga de planul vizual vertical principal.

151. — Cunoșcînd linia orizontului și punctul principal și cum determinăm, în cadrul tabloului dat, punctul de distanță redus la o pătrime  $D/4$  pentru a obține efecte perspective mai pronunțate sau mai atenuate (1, 78, fig. 122—125). Ne este ușor, pentru o cît mai strînsă legătură cu realitatea, să cunoaștem depărtarea punctului de vedere față de muchia mai apropiată a casei date. Pe dreapta  $AT$  din schema figurii 155 luăm segmentele  $A-I$ ,  $A-II$  și  $A-III$  egale cu segmentele  $PD/4$  determinate mai sus și ducînd paralele geometrice la dreapta  $BB'$  determinăm puncte corespunzătoare pe dreapta ajutătoare  $AT'$  pe care vedem că în figura 152 punctul de vedere se află la o depărtare de  $9,80 \times 4 = 39,20$  m de muchia dată, în figura 153 la o depărtare de  $10,90 \times 4 = 43,60$  m, iar în figura 154 la o depărtare de  $13 \times 4 = 52$  m. Ne amintim (1, 78) că acestea sînt distanțele minime de la care putem cuprinde tablourile respective în cîmpul nostru de viziune clară dar că, obținînd efecte perspective din ce în ce mai atenuate, putem mări pînă la de două ori aceste distanțe.

### Restituire perspectivei

Dar această lucrare pusă în perspectivă inversă, după stabilirea primelor elemente perspective, poate fi definitivată în cele mai mici detalii folosind restituiră perspective și procedeele perspectivei directe.

Decem dreptele de capăt  $PB$ ,  $PM$  și  $PB'$ , prelungite spre desinator. Apreciem din ochi în  $BC$  și  $B'C'$  adîncimea terenului orizontal din fața casei și în  $MD$  adîncimea mai mare a malului la nivelul apei și desenăm în  $CD$  profilul de capăt al malului. Acesta se reflectă în  $DC'$  luînd punctul  $C'$  la intersecția dreptei de capăt  $PB'$ , prelungită, cu verticala  $CC'$  coborîtă din punctul  $C$ . În continuare, din memorie sau din imaginație vom desena cu aproximativă marginea superioară și marginea inferioară a malului și reflectului acestuia trecînd prin punctul găsit mai sus  $C'$ .

Cu aceste date putem stabili cu aproximativă imaginea perspectivei a malului și a reflectului lui.

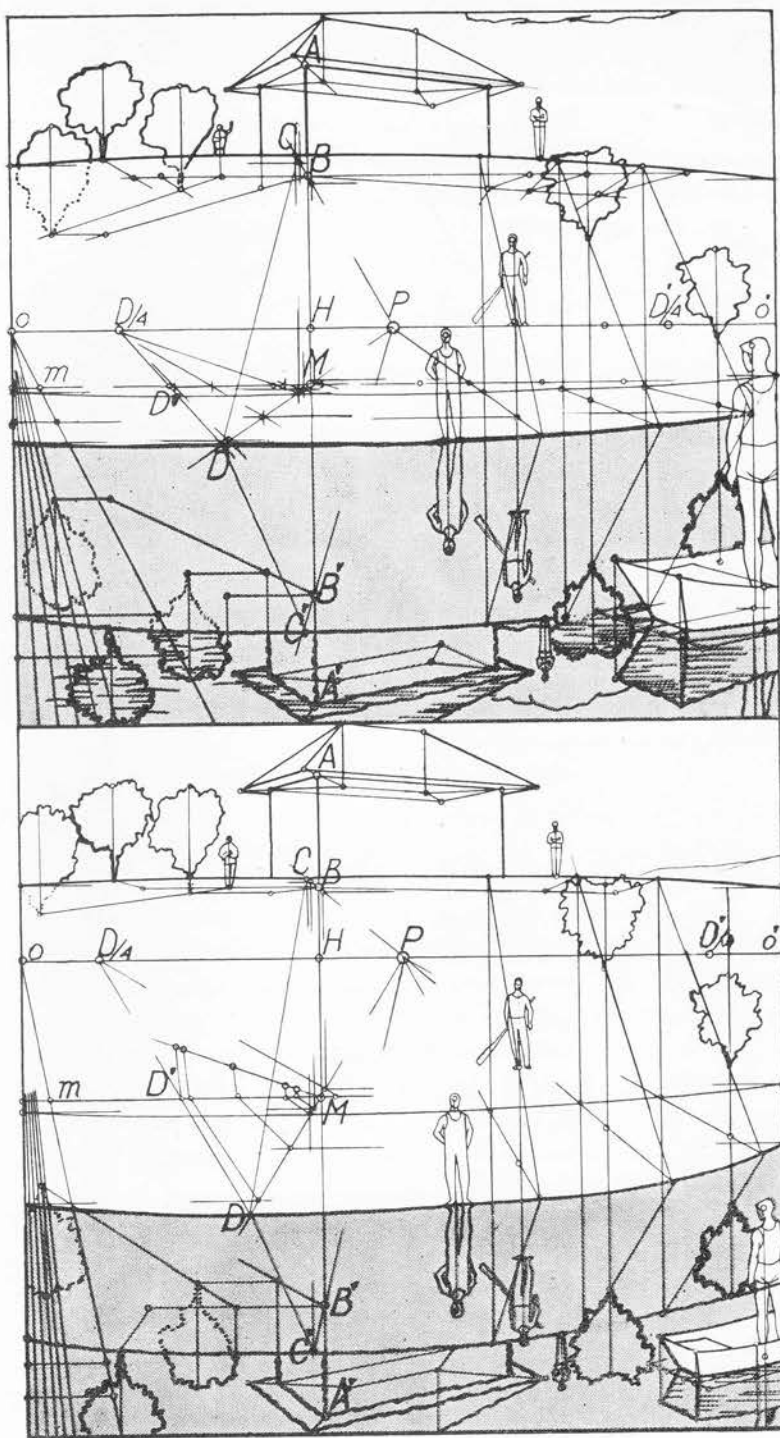
Pentru nivelul liniei orizontului artistul e liber să dea punctului său de vedere orice tablou. Trece linia orizontului  $oo'$  în mijlocul căreia vom așeza punctul principal  $P$  al fiecărui  $MH$  de 2 m în figura 152, de 5 m în figura 153 și de 10 m în figura 154 pe unde va determinăm pe dreapta  $AT$  segmentele  $A-2$ ,  $A-5$  și  $A-10$  care reprezintă înălțimile diviziunea a doua, a cincea și a zecea a dreptei ajutătoare  $AT'$ , paralele geometrice la  $BB'$ , ochi, pe verticala  $AA'$ . Dar delimitarea ei exactă se poate face cu ușurință. Ducînd prin mal înalt (fig. 154). Aceasta înălțime a orizontului se poate aprecia cu aproximativă, din colă, deasupra planului oglinzii: 2 m dacă stă în picioare într-o mică barcă (fig. 152); 5 m dacă este într-o imbarcație mai importantă (fig. 153); 10 m dacă privește de pe un

Fig. 152. (140, 150, 151)

Fig. 153. (140, 150, 151)

Cu aceste date putem întocmi o restituire perspectivă în care artistul va putea preciza profilul mai abrupt sau mai prelungit pe care vrea să-l dea malului. La o scară mică (în fig. 155 la scara de 1:1000) s-a reprezentat în  $AB$  înălțimea de 4 m a casei, în  $BM$  înălțimea de 7,50 m a malului, în  $MB'$  și  $B'A'$  reflectele acestora, în  $MH$  înălțimea de 2 m, de 5 m și de 10 m a orizontului (în I, II și III din fig. 155) iar în  $HO$  distanțele de 39,20 m, de 43,60 m și de 52 m a punctelor de vedere (în I, II, III din aceeași figură).

Din memorie sau din imaginație, și potrivit aspectului plastic ce urmărește, artistul desenează în  $BC$  spațiul orizontal mai mare sau mai mic din fața casei precum și înclinarea  $CD$  mai pronunțată sau mai atenuată a taluzului malului. În continuare, la aceeași scară, se poate desena și proiecția orizontală a motivului (fig. 155 IV). Casei i se dă orientarea cunoscută, dacă





punctului de distanță  $D/4$  vom găsi toate punctele cu ajutorul cărora vom pune în scenă perspectivă toate detaliile dorite, asupra cărora nu mai insistăm.

Procedînd cum s-a arătat mai sus, reflectul motivului va ocupa în compoziție locul dinainte fixat de artist în perspectivă inversă, iar toate detaliile vor fi cele precizate tot de artist în perspectivă directă.

Pentru măsurarea elementelor ce plutesc pe apă se întocmește o scară perspectivă a tabloului (I, 152 b) ținînd seama că în figura 152 punctul de vedere e la 2 m deasupra planului obiectelor (a apei) în figura 153 la 5 m și în figura 154 la 10 m. În aceste figuri barca și reflectul ei au fost desenate așa cum s-a arătat mai sus (141).

**152.** — Înainte de a trece mai departe vom arăta cum, uneori, imaginea reflectată poate fi considerată ca o coborîre a planului perspectiv (I 303—306) și, ca atare, poate fi folosită pentru rezolvarea unor probleme de perspectivă, cu atît mai mult cu cît în adîncul apei orizontalele oarecare, mai depărtate de linia orizontului, au înclinări mai pronunțate cu intersecții mai bine precizate.

Spre exemplu în figura 154 în care s-a dat imaginea virtuală  $SS'$  a soarelui, presupus în spatele și la dreapta desenatorului, nu putem, precizînd elementele streășinii, să desenăm umbra ei (63—64) dat fiind marea ei apropiere de linia orizontului. Vom folosi deci imaginea reflectată. Numai în aceasta putem preciza, cu o construcție cunoscută, punctul  $i$  al colțului streășinii (fig. 75 II), putem determina, pe prelungirea dreptei  $S'A'$ , punctul streășinii  $a'$  care poartă umbră pe muchia casei și cu ajutorul dreptei  $S'i'$  punctul  $e'$  pe a cărei verticală poartă umbră colțul  $i'$  al streășinii. Dar nu putem continua lucrarea căci simetricul izvorului luminii  $S$ , față de linia orizontului, cu ajutorul căruia s-ar determina lungimea umbrelor în imaginea reflectată, este inaccesibil. Prin linii de ordine determinăm în spațiu punctele  $a$ ,  $e$  și  $i$ . Raza luminoasă  $aS$  determină umbra purtată  $a_1$  pe muchia casei și raza  $iS$  umbra purtată  $e_1$ , așa cum s-a arătat în capitolul precedent. Segmentele  $Aa_1$  și  $ee_1$  se pot desena acuma și în imaginea reflectată. Dacă s-a desenat exact umbrele purtate  $a_1e_1$  și  $a'e_1$ , prelungite, trebuie să se întâlnească în punctul  $e_2$ , situat pe linia  $Me_2F$  (inaccesibil).

### Oglindirile pe undele apei

**153.** — Traseele perspective arătate mai sus presupun plană suprafața, de fapt convexă, a vastelor ape (I 62), pe care o consideră liniștită iar nu ondulată sau agitată de valuri (fig. 156). Acestea tulbură mai mult sau mai puțin imaginile reflectate care urmează a fi redade de artist nu cu ajutorul unor complicate trasee geometrice ci urmărind prin adîncite studii după natură felul în care acționează legea reflectelor pe o suprafață ondulată.

În figura (157 I) fie  $VV'$  oglinda ondulată a apei,  $A$  un punct din spațiu,  $V'V_1$  planul vertical al tabloului,  $O$  punctul de vedere al desenatorului și  $II$  tabloul rabătut în jurul axului vertical  $V'V_1$ . Pe verticala coborîtă din punctul  $A$  pe planul  $VV'$  al oglinzii, luăm, pentru a determina reflectul  $A'$  al punctului dat, segmentul  $a'A'$  egal cu



Lar mai jos decît acest punct, în  $a_1, a_1'$  se vor găsi în tabloul rabătut II imaginile perspective ale reflectorilor aceiași punct  $A$  pe planele frontale descendente spre adîncul spațiului, al undelor  $a_1, a_1'$  paralele cu tabloul, pe care normalele  $N_1, N_1'$  sînt înclinate, așa cum le dau razele incidente  $Aa_1, Aa_1'$  și razele reflectate  $a_1O, a_1'O$ . În tabloul reflectul

punctul  $a$  cu cît unda respectivă este mai înclinată.

tabloul în punctele  $a_2, a_2'$ , se vor găsi în tabloul rabătut II în  $a_2, a_2'$  cu altă mai sus de  $A_2, A_2'$ , date de razele incidente  $Aa_2, Aa_2'$  și de razele reflectate  $a_2O, a_2'O$ , care străbat pe care normalele  $N_2, N_2'$  sînt înclinate, imaginile perspective ale punctului reflectat în

Dar pe planele frontale descendente spre desenașor al undelor  $a_2, a_2'$  paralele cu tabloul, fac unghiuri egale (normala  $aN$  este verticală).

pe suprafața presupusă liniștită a apei și pe care raza incidentă  $Aa$  și raza reflectată  $aO$  proiectivă a punctului dat, în  $a'$  proiecția lui pe planul apei și în  $a$  reflectul punctului  $A$ .  $A', a'$  și  $a$  care în tabloul rabătut ne dau, sub linia orizontului  $oo'$ , în  $A$  imaginea pers-



Fig. 156. (153) C l a u d e M o n e t : La Grenouillère

$a_1, a_1'$  va fi cu atît mai jos faţă de reflectul  $a$  din apa liniştită, cu cît unda respectivă va fi mai înclinată.

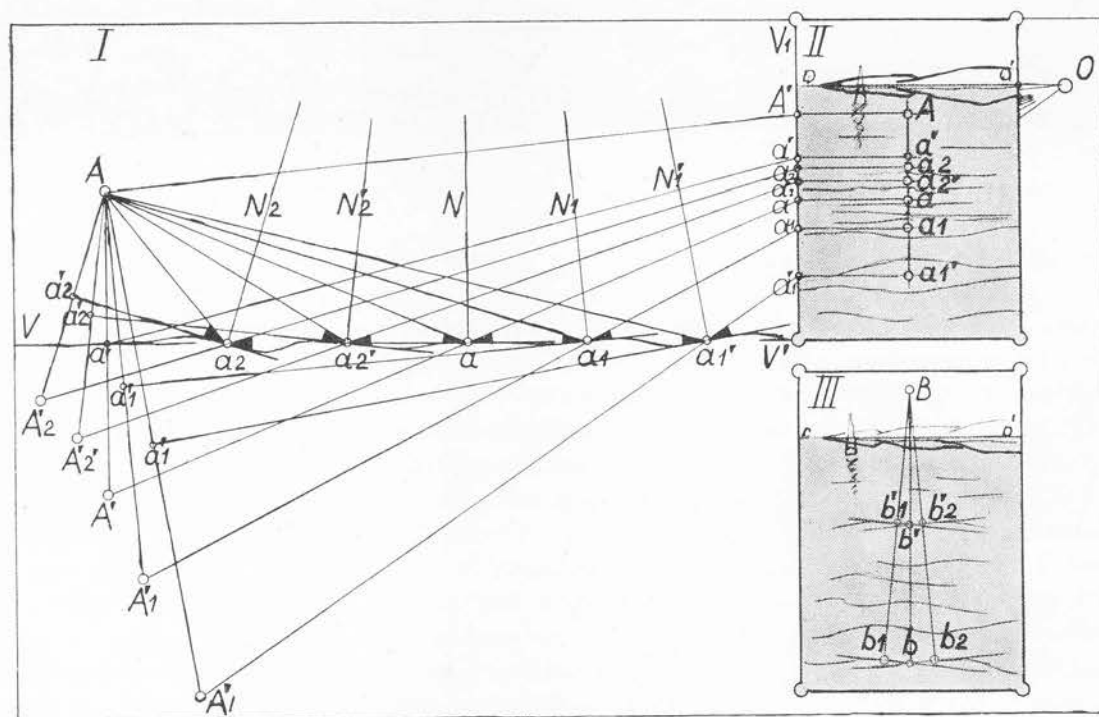
În felul acesta se explică reflectele alungite spre desenator pictate de Vermeer în apa portului Delft (fig. 143).

**154.** — Dar mai intervin şi alte unde: perpendiculare pe tablou, cu plane de capăt înclinate spre stînga sau spre dreapta, sau cu înclinări oarecare cu plane mereu schimbătoare. Pe aceste plane reflectul punctului dat  $B$  (fig. 157 III) a cărei proiecţie pe planul apei, presupuse neclintite, se află în  $b'$ , în loc să se găsească pe verticala acestui punct, în  $b$  (s-a luat segmentul  $bb'$  egal cu segmentul  $b'B$ ) se află deplasat spre stînga sau spre dreapta în  $b_1$  sau  $b_2$  sau în ambele puncte deodată.

Vedem deci că potrivit orientărilor nesfîrşit de variate pe care le iau în bătaia vînturilor şi a ramelor feţele diferitelor unde, pe întreaga suprafaţă a apei cuprinse în tablou, un punct dat din spaţiu poate avea nenumărate reflecte, răspîndirea lor fiind limitată numai de înclinarea pe care o pot lua undele înainte de a deveni valuri întunecate numai de spumă.

În felul acesta se explică reflectele ondulate ale palatelor de pe malurile lagunei veneţiene, sau reflectele soarelui sau ale lunii care ca o trenă se desfăşoară pînă la malul de unde o privim şi care se mişcă urmărindu-ne în mersul nostru (fig. 158).

Fig. 157. (153, 154)



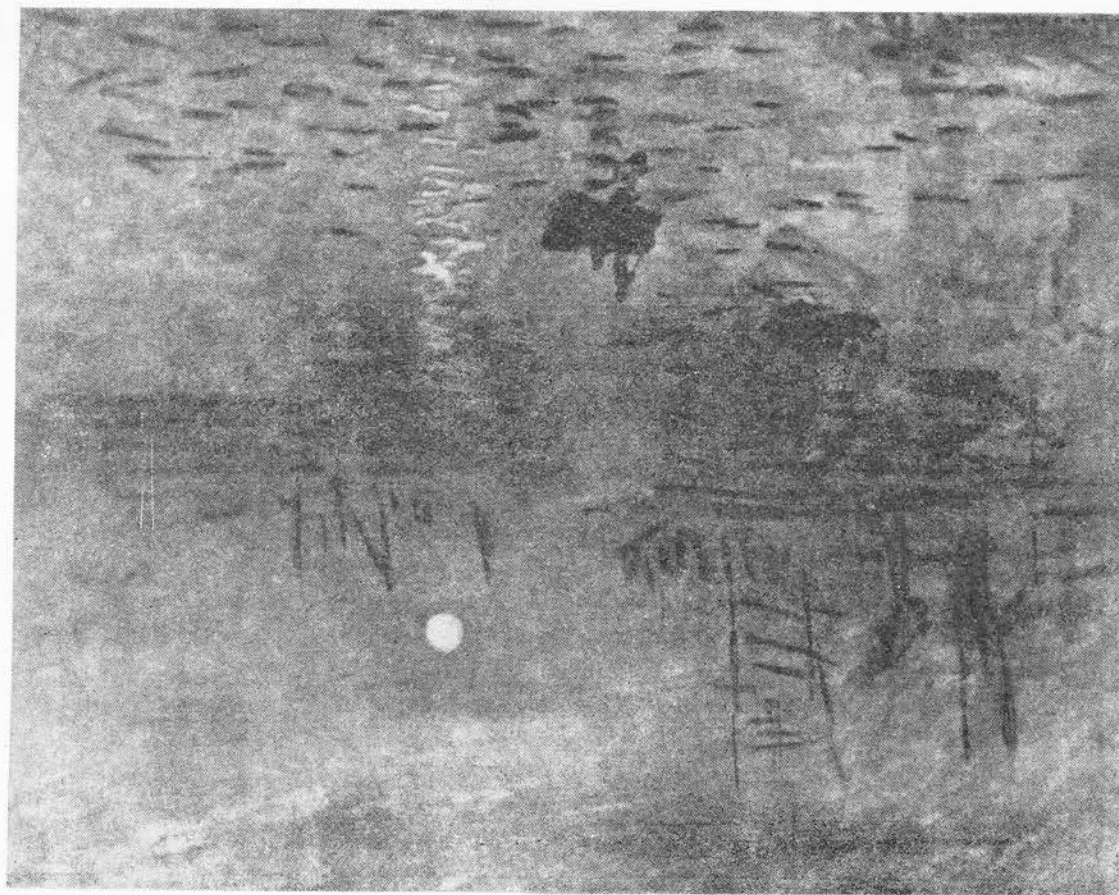


Fig. 158. (19, 151) M o n e t: Impresie, răsăritul soarelui

155. — Jocul altă de variat al reflecțiilor în oglinda ondulată a apelor se studiază după natură. Explicațiile date mai sus ca și cele ce urmează pot să le sprijine într-o oarecare măsură.

Cu ajutorul razelor vizuale  $OT$ ,  $OB$ ,  $OD$  și  $OV$  (fig. 159 I) care străpung planul vertical al tabloului  $V'V_1$  în punctele  $a$ ,  $b$ ,  $c$  și  $f$ , s-a desenat în tabloul II și III imaginea perspectivă  $T$  a unui turn și a digului  $D$  pe care este așezat. În tabloul II, folosind razele incidente  $TI$  și  $DI$  pe planul presupus neclinat al apei  $VV'$  (în punctele  $l$  și  $d$  normalele sînt verticale) precum și razele reflectate  $II'O$  și  $II'd'O$  s-au desenat în  $l$  și în  $d$  reflectele teoretice ale turnului și ale digului (fig. 159 II).

Urmărind, așa cum s-a arătat mai sus (153, fig. 157) mersul razelor reflectate pe planele inclinate  $c$ ,  $l_1$ ,  $d_1$ ,  $c_1$ ,  $l_2$  vom constata în tabloul III următoarele întrepătrunderi de reflecte: pe planul  $c$  al undei frontale descendente spre desinator, acesta va vedea reflectul cerului pătrunzînd în reflectul digului;

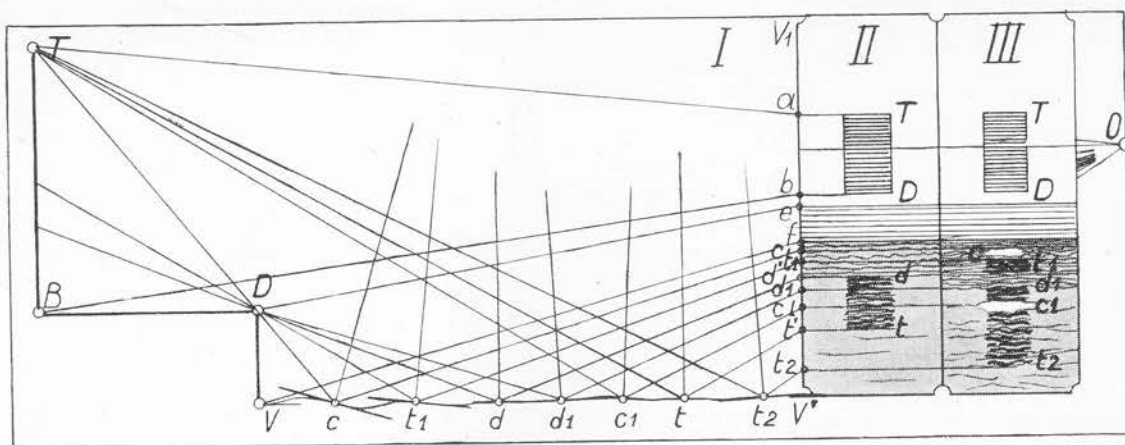


Fig. 159. (155)

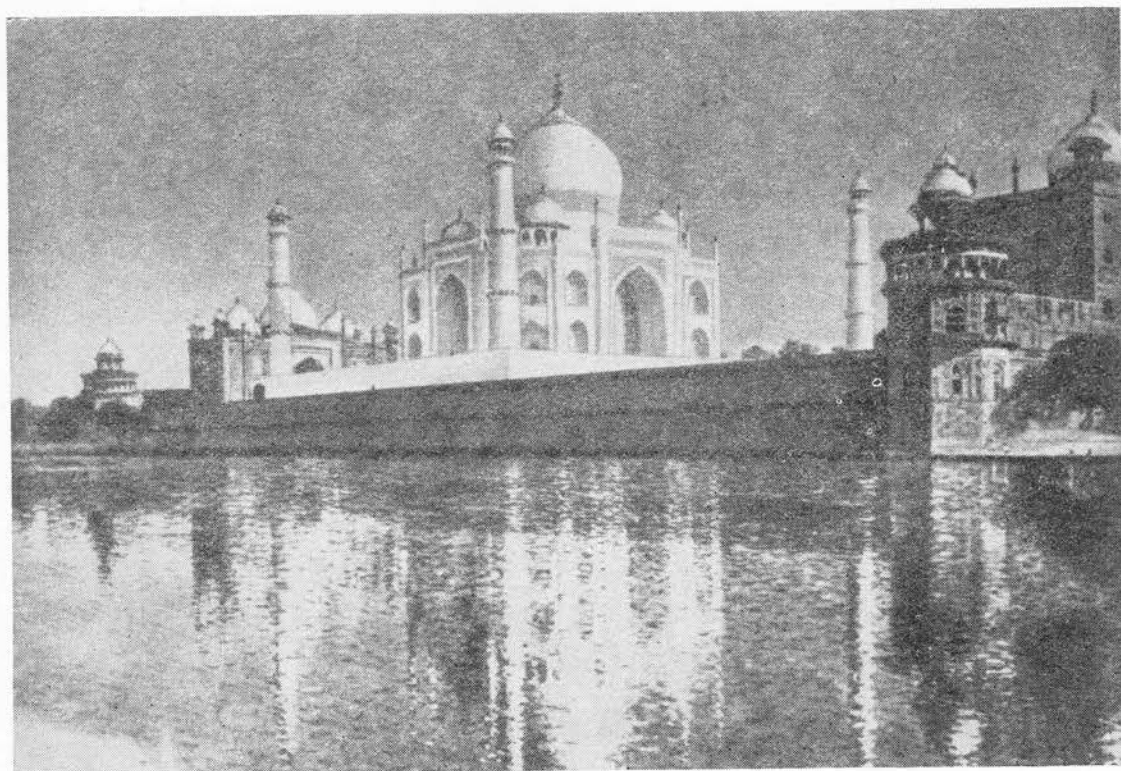


Fig. 160. (142, 155) V. V. Verešciaghin: Tadj-Mahal



planșei încăperi și pe care desenatorul nu le poate percepe în viziune directă. Aceste

În sfârșit și mai mici vor apare reflectele figurilor  $m'$ ,  $n'$ ,  $r'$ ,  $s'$  situate mai jos decât

inexpresive.  
planele  $r$  și  $s$ . Reflectele acestor figuri atît de depărtate de desenator vor fi mici și  
între planele frontale  $n$  și  $r$ , iar numai parțial cele cuprinse între planele  $m$  și  $n$  și între  
la diferite depărtări se vor reflecta în oglinda platonantă și anume, în întregime cele cuprinse

Figurile  $m$ ,  $n$ ,  $r$ ,  $s$ , pe care desenatorul le vede prin lărgile deschideri ale încăperi  
(bățul *ad* al unui drapel).

Pentru ca un obiect din încăpere să se reflecte, trebuie să aibă o înălțime apreciazabilă  
ghiuțare din pereții laterali.

Din încăpere se va reflecta numai o porțiune din perețele ei frontal și porțiuni triun-  
vedea reflectele.

Figurile  $b$ , situate în încăperea dată, nefiind cuprinse în cîmpul oglinzii, nu se vor  
hașurat cu linii orizontale. Din examinarea acestor cîmpuri tragem următoarele concluzii:  
 $oo'$  față de planul  $oV'$  al oglinzii) s-au desenat razele care mărginesc cîmpul oglinzii,  
rat cu linii verticale. Din punctul de vedere reflectat  $O'$  (s-au luat egale segmentele  $Oo$  și  
s-au desenat razele vizuale care determină în adîncimea spațiului cîmpul său vizual, hașu-  
oglinză dreptunghiulară  $VV'$  aplicată pe plan. Din punctul de vedere  $O$  al desenatorului  
157. — În figura 161 s-a reprezentat o secțiune printr-o încăpere în care se află o

### Oglinda orizontală platonantă

mea unui ridicol promontoriu?  
n-ar micșora oare în același timp și efectul comic al autoadmirației oglinzite de la înălți-  
malului pentru a-l face corespunzător. Dar traseul exact, o dată cu micșorarea malului,  
orizontal al apei. Ar fi ușor, printr-o simplă trăsătură de creion, să reducem înălțimea  
constatăm că nu corespunde orizontalei, mai coborât, a pătrunderii malului în planul  
(fig. 134). Dacă precizăm mijlocul verticalei dintre figura lui Narcis și reflectul ei în apă,  
în această lucrare problema reflectelor în oglinda orizontală conține o licență plastică

156. — Înainte de a trece mai departe vom semna că una din figurile care ilustrează  
șciaghin *Tadl-Mahal* în care reflectele minarelor se amestecă cu acelea ale digului (fig. 160).  
plană a unei ape liniștite, se găsește redată în cunoașterea lucrare a pictorului V. V. Vere-  
Aceste întrepătrunderi pricinuite de jocul undelor și care nu pot exista pe suprafața  
poate pătrunde reflectul turnului.

Numai în porțiunea  $Vc$  — în care, eventual, poate pătrunde reflectul cerului — nu  
cobori mai jos decât reflexul lui teoretic  $l$ .

în reflectul turnului iar acesta, pe planul  $l_2$  puțin descendent spre adîncul spațiului va  
pe planul  $c_1$  al undei puțin descendente spre desenator, reflectul cerului va pătrunde

lui se va cobori mai mult decât reflectul lui teoretic  $d$ ;  
pe planul  $d_1$ , al undei frontale descendente puțin spre adîncul spațiului, reflectul digu-

reflectul turnului  $l_1$  va pătrunde în reflectul digului;  
pe planul, mai puțin înclinat,  $l_1$  al undei frontale descendente tot spre desenator,

minusculi imagini pot fi expresive în măsura în care ar exprima o defilare sau altă acțiune de masă dintr-o piață publică de care privitorul n-ar putea lua cunoștință decît pe această cale.

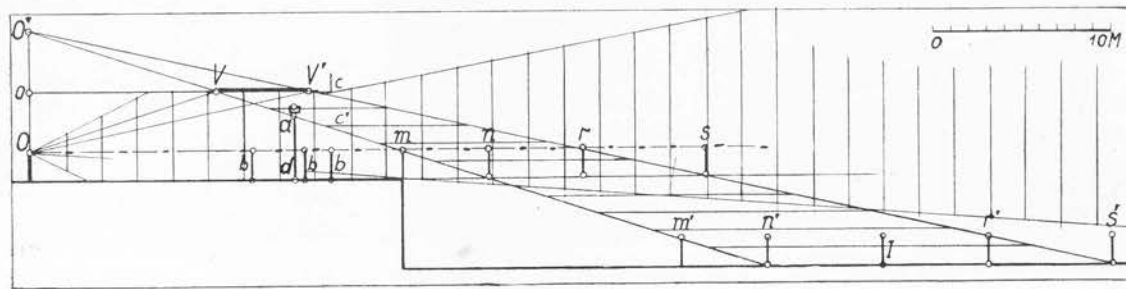
**158.** — Figura 162 este imaginea perspectivă a acestor ogîndiri care s-au desenat urmînd aceeași cale ca pentru ogînda orizontală obișnuită. Știm că înainte de a întocmi scara ogîndirilor, trebuie să desenăm reflectul bordurii (a malului) pentru a delimita în  $KLMN$  întinderea pe care se pot reflecta figurile și volumele aflate în încăperea respectivă. Pentru întocmirea scării reflectelor (146—149), ținînd seama de poziția ogînzii, vom lua sub linia orizontului segmentele  $PV_1$  și  $V_1V'_1$  egale cu segmentele  $PV$  și  $VV'$  și vom uni punctele  $K$  și  $L$  sau  $N$  și  $M$  cu punctele  $V_1$  și  $V'_1$ . Baza scării, în planul de capăt care cuprinde una din marginile de capăt ale ogînzii, va fi dreapta de capăt  $IP$  pentru figurile și volumele situate pe planul obiectelor. În jumătatea din dreapta a figurii baza scării  $IP$  a fost desenată pentru figurile și volumele situate pe planul coborît cu 5 m sub planșeul încăperii date, luînd pe verticala  $OI$  cinci segmente de cîte 1 m măsurate pe scara perspectivă a tabloului în planul frontal mai depărtat  $m$  al terasei  $mO$ .

Scara se folosește la fel ca aceea a ogînzii orizontale obișnuite.

Din punctul de întretăiere  $d'$  a urmei  $dd'$  a planului frontal, în care este cuprinsă figura  $D$  sau obiectul al cărui reflex îl căutam, ridicăm verticala  $d'a'c'$  care întretaie scara reflectelor în punctele  $a'$  și  $c'$ . Orizontalele  $c'c$  și  $a'a$  ne arată că figura  $D$  nu se va reflecta iar din drapelul pe care îl ține în mînă nu se va reflecta decît segmentul cuprins între punctele  $a$  și  $c$ . Este ceea ce s-a arătat și în figura 161, pentru figurile aflate în cuprinsul încăperii.

Scara reflectelor ne ajută să vedem depărtarea mai mare la care trebuie situate figurile compoziției pentru a se reflecta în ogînda plafonantă dată. Luăm pe baza scării înălțimea  $lk$  de 1,75, măsurată pe scara perspectivă a tabloului în  $l$  și ducem dreapta de capăt  $KP$ . Din punctele de intersecție  $1$  și  $3$  a dreptei  $KP$  cu ramurile scării reflectelor coborîm verticala  $1-1$  și  $3-3$  iar din punctele de intersecție  $2$  și  $4$  ale bazei scării cu aceleași ramuri ducem verticalele  $2-2$  și  $4-4$ . Desenăm pe planul obiectelor urmele planelor frontale  $1-m$ ,  $2-n$ ,  $3-r$  și  $4-s$ . Pe scara reflectelor vedem că figurile cuprinse între planele frontale  $n$  și  $r$  se vor reflecta în întregime, cum este spre exemplu reflectul

Fig. 161. (157, 158)



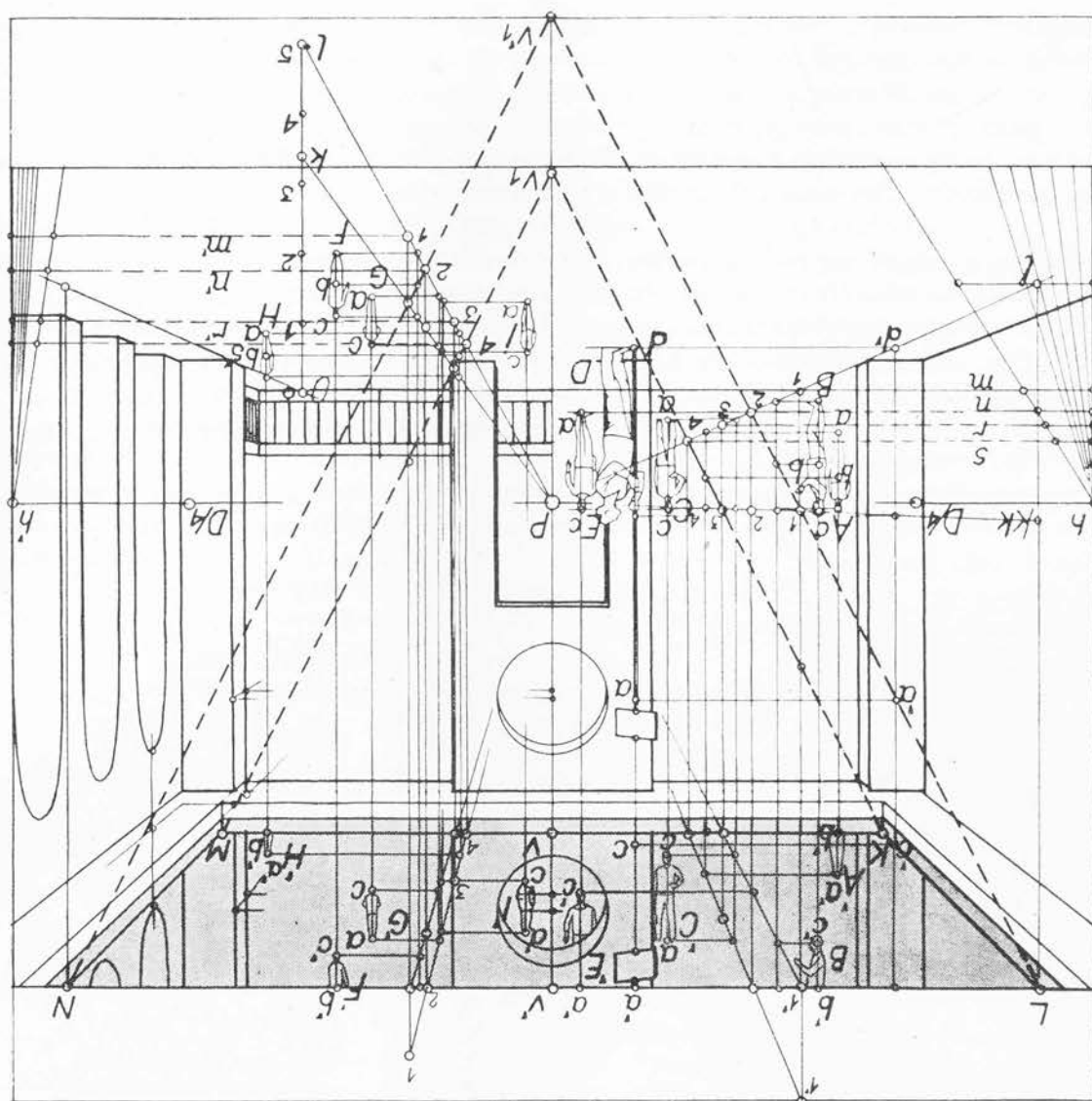


Fig. 162. (143, 158)

C' al figurii C. Figurile cuprinse între planele frontale  $m$  și  $n$  sau  $r$  și  $s$  se vor vedea reflectate numai parțial, cum este spre exemplu reflectul  $B'$  al figurii B sau reflectul  $A'$  al figurii A. Operațiunile se simplifică dacă pentru determinarea segmentelor reflectate se întocmește o scară și pe planul oglinzii luând segmentul  $I'-I'$  egal cu segmentul  $I-I$  și ducând dreptele de capăt  $I'P$  și  $I'P$  așa cum se arată în figura 162.

După cum știm adâncimea acestor figuri față de perețele din fundul încăperii se află cu ajutorul punctelor de distanță reduse iar față de desenator prin aplicarea grafică a legii descreșterii perspective.

În jumătatea din dreapta figurii 162, pentru reflectele figurilor situate sub planul obiectelor, s-a luat în  $lk$  înălțimea de 1,60 m, măsurată pe scara perspectivă a tabloului în planul frontal al urmei  $Om$  și s-a dus dreapta de capăt  $kP$ , determinându-se ca mai sus urmele planelor frontale  $m'$ ,  $n'$ ,  $r'$  și  $s'$  care ne arată că figurile situate între urmele  $m'$  și  $n'$  sau urmele  $r'$  și  $s'$  se vor reflecta numai parțial (reflectele  $F'$  și  $H'$  ale figurilor  $F$  și  $H$ ) și că numai figurile situate între urmele  $n'$  și  $r'$  se vor reflecta în întregime (reflectele  $G'$  și  $I'$  ale figurilor  $G$  și  $I$ ).

Dacă vrem să știm adâncimea față de desenator a acestor figuri, vedem, spre exemplu, că mărirea de 1 m a figurii  $I$  intră de 12 ori în segmentul  $PD/4$ . Deducem că figura respectivă se găsește la  $12 \times 4 = 48$  m de desenator (I, 318, fig. 345), așa cum s-a precizat și în schema din figura 161.

## OGLINDA VERTICALĂ

### Oglinda verticală frontală

**159.** — Reflectele în oglinda verticală frontală se pot desena cu ambele procedee arătate mai sus (130, 132).

**P r o c e d e u l I.** Spre deosebire de reflectele în oglinda orizontală sau verticală de capăt, perpendicularele duse pe planul frontal vertical al oglinzii nu mai sînt frontale ci de capăt, prezentînd descreșteri perspective de care va trebui să ținem seama cînd, pentru a desena reflectul oricărui punct, va trebui să luăm în adîncul oglinzii un segment egal cu acela, dintre punctul dat și planul oglinzii, problemă cunoscută (I 382, fig. 421—423). Reamintim construcțiile care se pot face pentru a determina reflectul  $A'$  a unui punct dat  $A$  într-o oglindă verticală frontală (fig. 165).

**I.** — Pe o orizontală dusă prin punctul dat  $A$  (fig. 165 I) luăm două segmente egale  $Ac$  și  $cd$ . Prin  $c$  ducem o dreaptă trecînd prin punctul de intersecție  $a$  al dreptei de capăt  $AP$  cu urma  $zz'$  a oglinzii. Această dreaptă prelungită determină pe linia orizontului  $oo'$  un punct de fugă accidental  $Fa$ . Dreapta  $dFa$  (paralelă cu dreapta  $cFa$ ) determină pe dreapta de capăt  $AP$  un segment  $aA'$  egal cu segmentul  $Aa$ . Punctul  $A'$  este deci reflectul punctului dat  $A$ .

**II.** — După ce am dus dreapta de capăt  $AP$  (fig. 165 II) luăm pe urma oglinzii  $zz'$  segmentul  $ad$  egal cu segmentul  $ac$ . Dreapta care unește punctul  $d$  cu punctul  $B$  de pe linia orizontului, considerat ca punct de fugă accidental, determină pe dreapta de capăt  $AP$  segmentul  $aA'$  egal cu segmentul  $Aa$ . Punctul  $A'$  este deci reflectul punctului dat  $A$ .

**III.** — Prin punctul  $a$  de pe dreapta de capăt  $AP$  (fig. 165 III) ridicăm pe planul oglinzii, pînă la linia orizontului, verticala  $Ad$  și precizăm la mijlocul ei punctul  $c$ . Dreapta



Cînd într-un tablou (fig. 165 IV) avem de stabilit reflectele  $A, B, C, D'$  a mai multor puncte date  $A, B, C, D$ , se alege judecîs una dintre dreptele de capăt ce unesc punctele date cu punctul principal, spre exemplu pe dreapta  $aCP$ . Se duc orizontalele  $Aa, Bb, Dd$  prin aceste puncte și apoi cu dreptele care fug în unul din cele două puncte  $D/4$  de

**160.** — În afara de construcțiile amintite mai sus, reflectul  $D'$  al unui punct dat  $D$  (fig. 165 IV) se mai poate obține și cu ajutorul a două puncte de pe linia orizontului  $oo'$ , simetric luate față de punctul principal: aceste puncte pot fi punctele  $D/4$  și  $D'/4$ . Prin punctul de intersecție  $g$  al dreptei  $DD'/4$  cu urma  $zz'$  a oglinzii ducem dreapta  $gD/4$  care determină pe dreapta de capăt  $DP$  segmentul  $mD'$  egal cu segmentul  $Dm$  (triunghiurile dreptunghi  $Dgm$  și  $mgD'$  sînt egale avînd o latură comună și unghiurile egale). Deci punctul  $D'$  este reflectul punctului dat  $D$ .

date  $AB$  în cele trei cazuri.

reflexul punctului dat A.

$Fc$ , prelungită, determină segmentul  $aA'$  egal cu segmentul  $Aa$ . Punctul  $A'$  este deci

Fig. 163. (127, 170) Monet: Un bar la Folies-Bergère

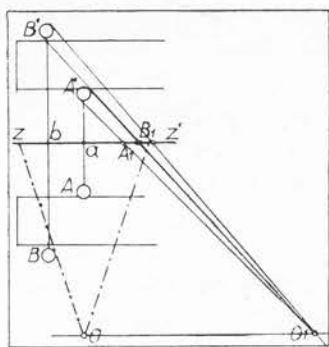


Fig. 164. (170)

pe linia orizontului se determină pe urma  $zz'$  a oglinzii punctele  $a'$ ,  $b'$ ,  $c'$ ,  $d'$  iar cu celălalt punct de fugă  $D'/4$  se obțin pe aceeași dreaptă de capăt  $aP$  punctele  $a_1$ ,  $b_1$ ,  $C'$ ,  $d_1$ . Orizontalele  $a_1A'$ ,  $b_1B'$  și  $d_1D'$  determină și pe celelalte drepte de capăt respective reflectele căutate  $A'$ ,  $B'$ ,  $C'$ .

Cînd avem de desenat reflectul a două puncte  $B$  și  $D$  (fig. 165 IV) situate pe o dreaptă orizontală oarecare, care, prelungită, întretaie în  $e$  urma  $zz'$  a oglinzii, construcția arătată mai sus se poate face numai o dată pentru a determina cu drepte  $DgD'/4$  și  $gD'D/4$  reflectul  $D'$  al unui singur punct  $D$ . Căci reflectul  $B'$  al celuilalt punct  $B$  se află prelungind dreapta  $eD'$  pînă la intersecția ei cu dreapta de capăt  $BP$ .

**161.** — *Reflectul dreptunghiului orientat pe unghi* de asemenea se poate obține folosind numai o dată procedeul de mai sus cînd două (a) sau trei (b) laturi, prelungite întretaie urma  $zz'$  a oglinzii precum și atunci cînd numai o latură și una din diagonalele dreptunghiului îndeplinesc condiția de mai sus (c).

a) Dacă numai laturile  $BD$  și  $CD$  (fig. 166), prelungite, întretaie în  $b'$  și  $c'$  urma  $zz'$  a oglinzii, după ce cu procedeul cunoscut s-a aflat reflectul  $D'$  al punctului  $D$  se duc drepte  $b'D'$  și  $c'D'$  care, prelungite pînă la liniile de capăt respective, ne dau reflectele  $D'C'$  și  $D'B'$ . Știm cum se completează imaginea perspectivă a unui dreptunghi cînd cunoaștem două laturi (I 401, fig. 447—448). Ducem diagonala  $C'B'$  și cu o construcție grafică cunoscută precizăm în  $m$  mijlocul ei. Diagonala  $D'm$ , prelungită, ne dă pe dreapta de capăt  $AP$  punctul  $A'$ , care se unește cu punctele  $C'$  și  $B'$  pentru a completa reflectul  $A'B'C'D'$  al dreptunghiului dat.

b) Dacă trei laturi  $AC$ ,  $CD$  și  $BD$  (aceeași figură), prelungite, întretaie în  $a'$ ,  $b'$  și  $c'$  urma  $zz'$  a oglinzii, după ce s-a determinat reflectul  $D'$  nu mai este necesar să folosim diagonalele căci desenînd și prelungind dreapta  $a'C'$  determinăm reflectul punctului  $A'$  cu care întregim reflectul dreptunghiului.

c) În figura 165 IV întretaie urma oglinzii  $zz'$  numai latura  $BD$  în punctul  $e$  și diagonala  $AD$ , în punctul  $f$ , prelungindu-le. După ce, ca mai sus, s-a determinat reflectul  $D'$ , desenînd și prelungind drepte  $eD'$  și  $fD'$  determinăm reflectele  $A'$  și  $B'$  pe drepte de capăt respective. Cu un procedeu cunoscut găsim mijlocul  $n$  al diagonalei  $D'A'$ . Desenînd și prelungind dreapta  $B'n$  (a doua diagonală a dreptunghiului) obținem și reflectul  $C'$  al punctului  $C$  cu care completăm reflectul dreptunghiului.

**162.** — *Procedeul II.* Spre deosebire de oglinzile orizontale și verticale de capăt în care, după cum s-a văzut, reflectul punctului de vedere, aflîndu-se în planul neutru, nu poate fi reprezentat în tablou, în cazul oglinzii frontale, perpendiculară dusă din punctul de vedere  $O$  pe planul ei vertical se confundă cu raza vizuală principală iar reflectul acestui punct  $O'$  se confundă cu punctul principal  $P$ , indiferent dacă acest punct se află sau nu cuprins în limitele oglinzii date

(spre exemplu, în figura 139 I reflectul punctului de vedere  $O$  în cele trei oglinzi se confundă cu punctul principal  $P$  deși acesta nu e cuprins decât în oglinda 3). Prin urmare oriunde — folosindu-l — vom putea aplica procedul al doilea des-

cris mai sus (132) pentru a determina reflectele figurilor și obiectelor în aceste oglinzi verticale frontale.

În acest scop va fi însă necesar să cunoaștem în planul oglinzii date și reflectul  $J$  al punctului  $O_1$  adică a proiecției, pe planul obiectelor, a reflectului  $O_1$

al punctului de vedere  $O$ . Acesta, cum se arată în schema II din figura 167, nu se poate situa decât la jumătatea geometrică  $J$  a verticalei  $PV$  care unește punctul principal cu urma  $zz_1$  a oglinzii

pe planul obiectelor: raza vizuală  $Op_1$ , fiind diagonală unui dreptunghi în care segmentul  $op$  este egal cu segmentul  $vo_1$ , întretăie

verticala  $PV$  în mijlocul ei  $J$ . Astfel se obține în  $PJ$  înălțimea imaginii perspective a reflectului

desenatorului care nu ar trebui să lipsească din nici o oglindă verticală frontală care cuprinde în

limitele ei punctul principal. Cum s-a mai explicat (132) —

procedul al doilea presupune că oglinda  $mm'v'$  (fig. 168 II) constituie un nou tablou pe care

desenatorul, presupus situat în adâncul spațiului în locul reflectului lui  $O'$ , desenează imaginea

perspectivă  $A'B'C'D'$  a imaginii perspective  $ABCD$  din tabloul dat. Această imagine se obține

pe planul oglinzii-tablou determinând în  $A'B'C'D'$  punctele în care il străpung razele vizuale

care

191

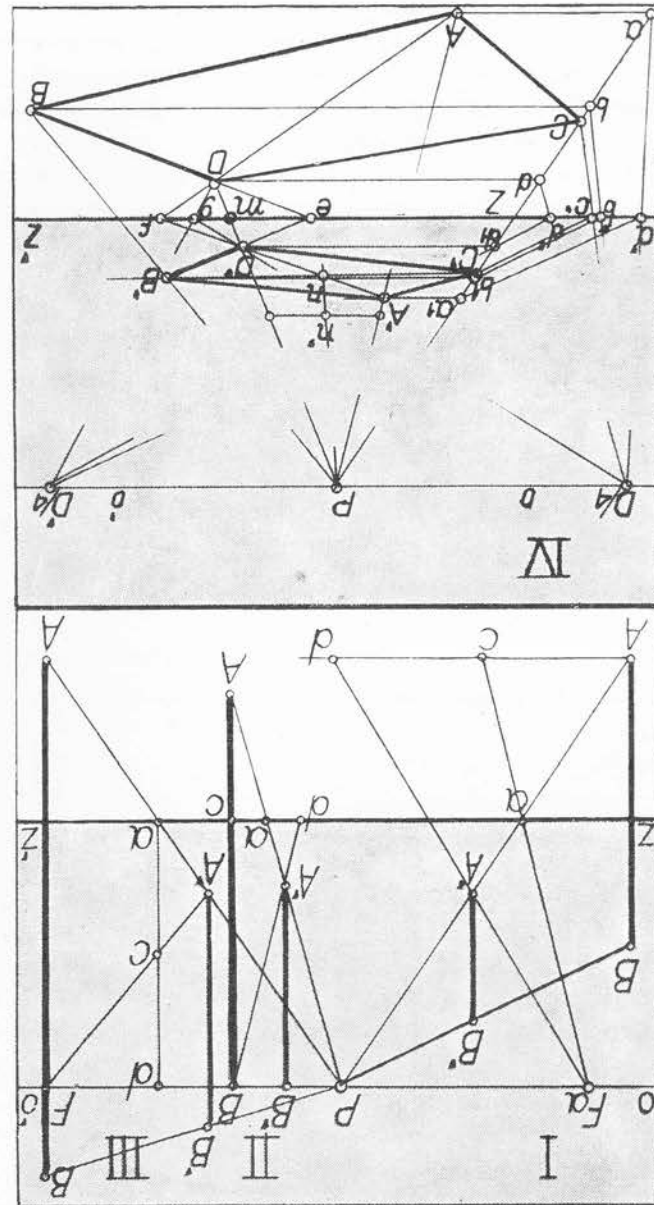


Fig. 165. (159, 160, 161, 179)

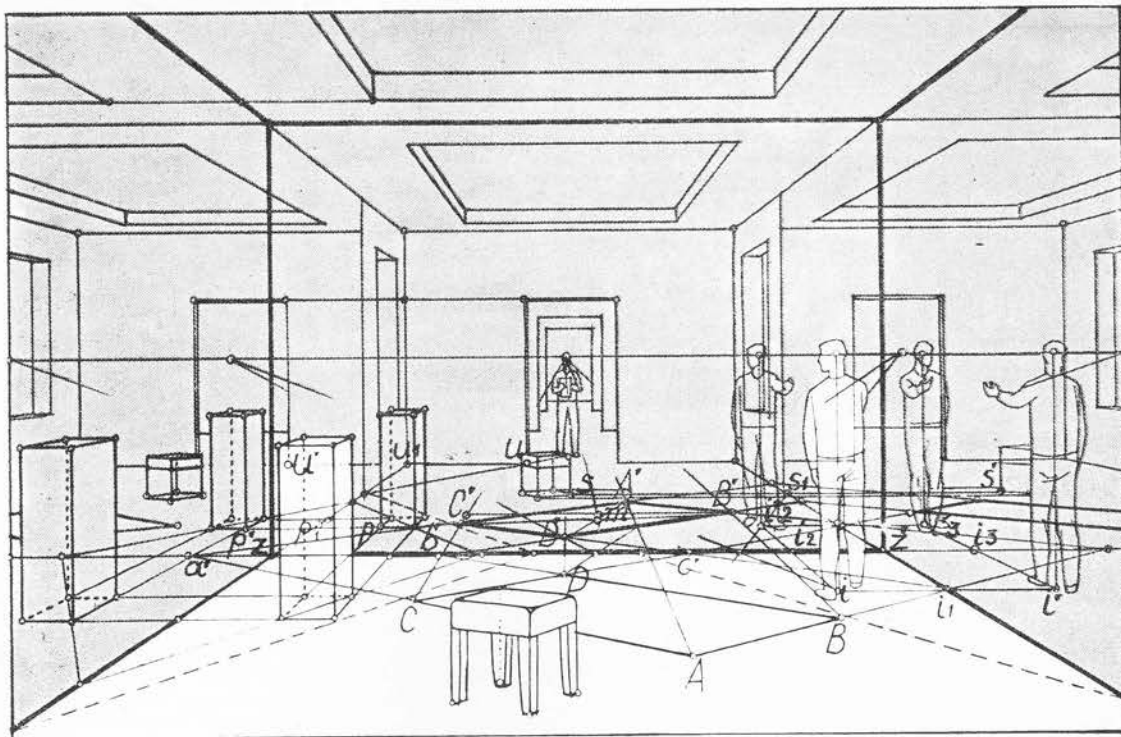


Fig. 166. (161, 175)

$O'A$ ,  $O'B$ ,  $O'C$ ,  $O'D$  pe verticalele ridicate din punctele  $a$ ,  $b$ ,  $c$ ,  $d$  în care dreptele  $Ao'$ ,  $Bo'$ ,  $Co'$ , și  $Do'$  întretaie urma  $zz'$  a oglinzii.

Figura 168 ne arată că reflectele  $A'B'C'D'$  ale punctelor  $ABCD$  se află la aceleași adâncimi indiferent dacă pentru determinarea lor s-a folosit procedeul I (stînga) sau procedeul II (dreapta).

**163.** — În privința felului în care se poate înfățișa imaginea reflectată a unei prisme drepte se pot face următoarele precizări (fig. 168 mijloc).

a) latura  $ab$  care, prelungită, fuge în punctul  $F$  și este în racursiu complet nu va fi văzută de desenator decît reflectată în  $b'a'$  și fugind în punctul  $F'$ , simetricul punctului  $F$  față de punctul principal  $P$ .

b) latura  $ae$  care, prelungită, trece prin reflectul  $O'o'$  al desenatorului și fuge în punctul  $F_1$  este văzută de desenator dar reflectul ei  $e'a'$  este în racursiu complet și fuge în punctul  $F'_1$ , simetricul punctului  $F_1$  față de punctul principal  $P$ .

c) latura  $a-1$ ,  $a-2$ ... care are oricare orientare cuprinsă între  $ab$  și  $ae$  va fi văzută de desenator odată cu reflectul ei  $1'-a'$ ,  $2'-a'$  ... în oglindă.

d) latura care are orice altă orientare decît cele cuprinse între  $ab$  și  $ae$  dacă e văzută de desenator nu se reflectă și invers.



Fig. 168. (134, 162, 163)

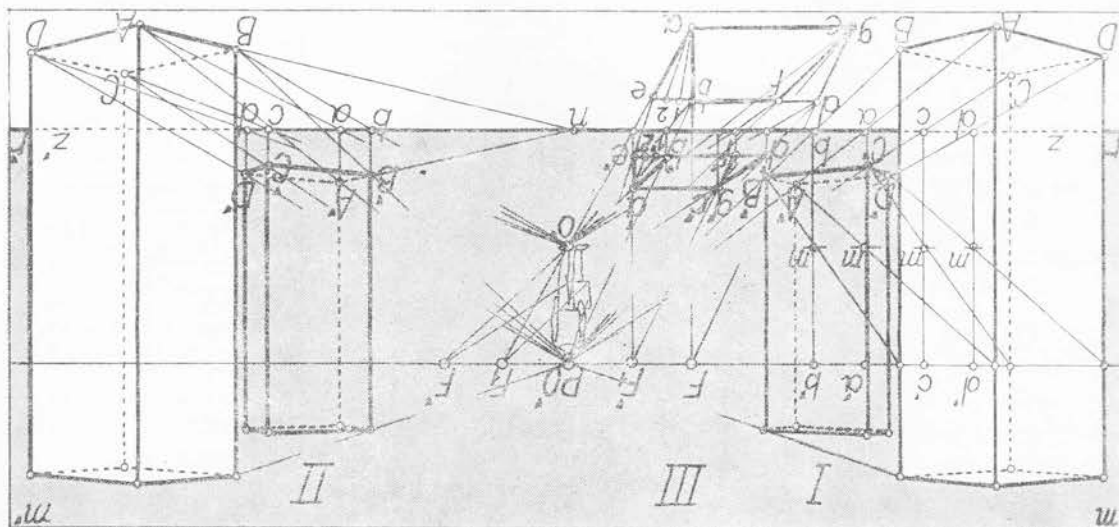
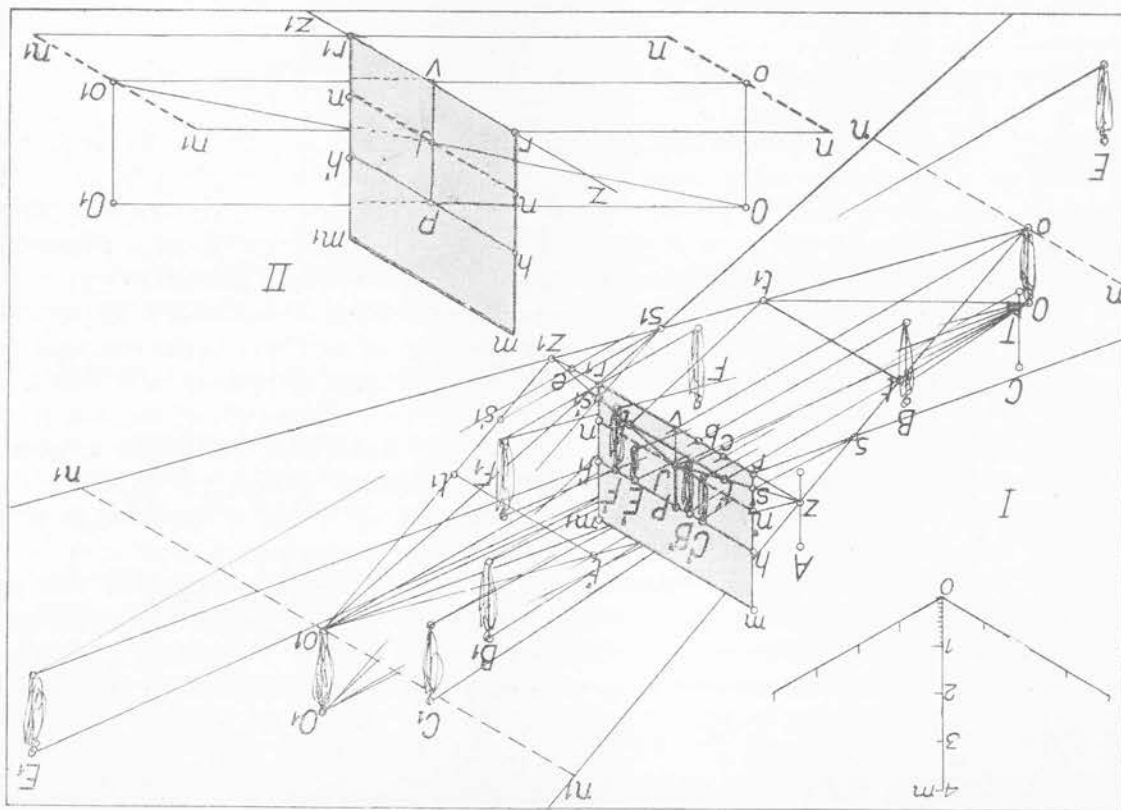


Fig. 167. (162, 165, 180)



**164.** — Vîrful conului sau al piramidei cîmpului oglinzii verticale frontale se află în reflectul  $O'$  al punctului de vedere, reflect care, după cum s-a mai spus (162), se confundă cu punctul principal  $P$ , însă fără a avea adîncimea la infinit a acestuia, ci o adîncime — față de planul oglinzii — egală cu adîncimea acesteia față de punctul de vedere, adîncime de care va trebui să ne amintim în cele ce urmează.

Baza mică a trunchiului conului sau a trunchiului piramidei este oglinda dată iar baza ei mare este la infinit, în spatele desenatorului în spațiul său virtual. Generatoarele sau muchiile lui laterale divergente se confundă cu generatoarele unui cilindru sau cu muchiile laterale ale unei prisme. Este ceea ce se arată în figura 169, în perspectivă (sus) și în secțiune longitudinală (jos). În stînga s-au reprezentat două prisme iar în dreapta o prismă și un trunchi de piramidă. Muchiile lor laterale se confundă și numai hașurarea, la adîncimi egale, a fețelor lor ne arată diferența dintre muchiile care fug la infinit, în punctul  $P$  și acelea care converg în reflectul  $O'$  al punctului de vedere.

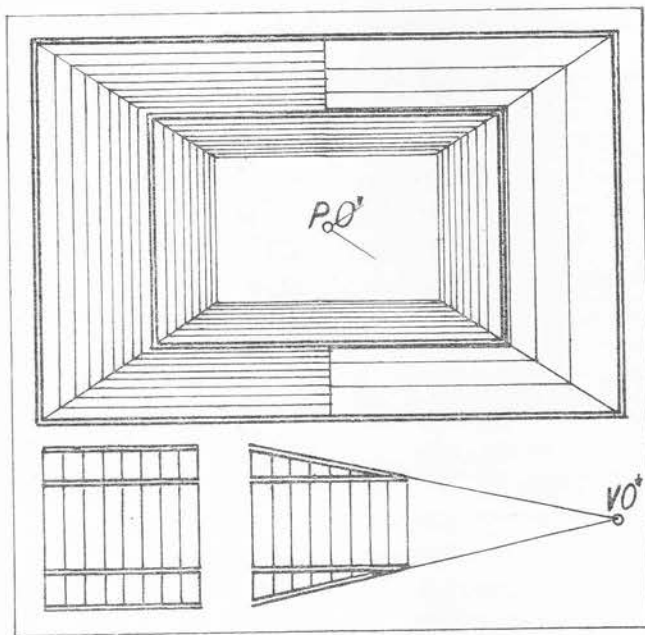
**165.** — Planul obiectelor cuprins în cîmpul oglinzii (fig. 170) se determină cu ajutorul proiecției  $o'$  de pe planul obiectelor a reflectului  $O'$  al punctului de vedere, care se află, după cum știm (162), în mijlocul geometric al verticalei  $PV$  coborîte din punctul principal pe urma  $zz_1$  a oglinzii pe planul obiectelor. Dreptele care unesc acest punct  $o'$  cu capetele  $r$  și  $r_1$  ale oglinzii date — înscrise într-un dreptunghi care coboară pînă la planul obiectelor

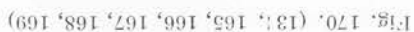
(136) — prelungite în  $rs$  și  $r_1s_1$  delimitează, pe planul obiectelor  $zz_1t_1$  cuprins în tablou, întinderea  $rs_1t_1s_1r_1$  a acestui plan cuprins în cîmpul oglinzii.

Să examinăm acum cum se prezintă reflectul în oglindă a planului obiectelor, cuprins sau necuprins în cîmpul vizual al desenatorului, urmărind explicațiile ce urmează atît în perspectivă (fig. 170) cît și în proiecție oblică (fig. 167).

Reflectul planului obiectelor cuprins în cîmpul vizual al desenatorului se determină ducînd din punctul  $o'$  dreptele  $o'z$  și  $o'z_1$  la extremitățile urmei  $zz_1$  a oglinzii prelungite pînă la marginea tabloului. Obținem astfel în  $rs'o's'_1r_1$  reflectul căutat.

Fig. 169. (164)





*Reflecțiul planului obiectelor din câmpul vizual al desenatorului cuprins în cadrul limitat al tabloului se obține determinând punctele  $t'$  și  $t_l'$  la intersecțiile razelor  $o't$  și  $o't_l$  cu marginile  $s'o'$  și  $s'l'$  precizate mai sus. Obținem astfel în  $rs't't's't_l$  reflecțiul căutat și anume: în  $rs'$  reflecțiul marginii  $rs$ ; în  $s't'$  reflecțiul marginii verticale  $st$  a tabloului, în  $t't_l'$  reflecțiul marginii orizontale a tabloului și așa mai departe.*

*În tabloul dat vedem că din planul obiectelor  $zz_l't_l$ , cuprins în câmpul vizual al desenatorului, nu e cuprinsă în câmpul oglinzii decât întinderea  $rr_1s_1t_1s'$ , dar nu și triunghiurile  $zrs$  și  $z't_1s_1$  care nu se reflectă în oglinda dată.*

*Reflecțiul urmei planului neutru al desenatorului va fi orizontala  $nn'$  care trece prin proiecția  $o'$ , de pe planul obiectelor a reflecțiului punctului de vedere  $O'$ . O fișie orizontală, foarte îngustă, sub reflecțiul  $nn'$  al urmei planului neutru ar reprezenta reflecțiul spațiului intermediar al desenatorului.*

*Reflecțiul planului obiectelor cuprins în spațiul real al desenatorului dar necuprins în câmpul său vizual va fi triunghiurile  $o'ns'$  și  $o'n's_1$ .*

*Reflecțiul planului obiectelor cuprins în spațiul virtual al desenatorului se va întinde la infinit între reflecțiul urmei  $nn'$  a planului neutru și linia orizontului.*

**166.** — Plecînd de la cele arătate mai sus, să studiem condițiile în care pot fi desenate în perspectivă directă sau inversă figurile sau obiectele și reflectele lor după locul pe care îl ocupă în câmpul vizual al desenatorului sau în câmpul oglinzii.

a) *Figuri sau obiecte care intră în întregime în cadrul tabloului dar care nu se pot reflecta*, spre exemplu figura  $A$  sau orice altă figură a cărei proiecție pe planul obiectelor este cuprinsă în triunghiurile  $zrs$  și  $z_1r_1s_1$ , care, după cum s-a arătat, nu intră în câmpul oglinzii.

b) *Figuri sau obiecte care intră în întregime în cadrul tabloului dar care se reflectă*, spre exemplu figura  $F$  sau oricare altă figură a cărei proiecție pe planul obiectelor se află în poligonul  $rstt_1s_1r_1$  care este cuprins deopotrivă în câmpul vizual al desenatorului și în câmpul oglinzii.

În perspectivă directă reflexul  $F'f$  al acestor figuri se află luînd punctele de intersecții  $F'$  și  $f$  ale razelor  $O'F$  și  $O'F_1$  cu verticala ridicată din punctul de intersecție  $f'$  al dreptei  $F_1o'$  (162).

În perspectivă inversă vom ști că reflectul  $F'f$  al oricărei verticale ridicate dintr-un punct cuprins în poligonul reflectat  $rs't't'_1s'_1r'_1$  este al unei figuri  $FF_1$  sau obiect cuprins în întregime în tablou. Pentru determinarea, în perspectivă inversă, a figurii  $FF_1$  a cărei reflect  $F'f$  ne-a fost dat, vom face construcția inversă: prin punctul  $f'$  obținut [prin coborîrea verticalei pînă la urma  $rr_1$  a oglinzii] vom duce linia  $o'f'$ , prelungind-o pînă la intersecția ei  $F_1$  cu raza  $O'f$ . Raza  $O'F'$ , prelungită, va determina punctul  $F$  al verticalei căutate  $FF_1$ .

**167.** — c) *Figuri sau obiecte care nu intră în întregime în cadrul tabloului dar care se reflectă în întregime*, cum este figura  $B$  sau oricare altă figură sau obiect al cărui reflect  $B'$  are proiecția lui  $b$  pe planul obiectelor cuprinsă în triunghiul  $o't't'_1$  care este reflectul planului obiectelor cuprins în câmpul vizual al desenatorului, dar necuprins în tablou.

În perspectivă directă. S-a desenat figura  $B$ , dîndu-i locul și mărimea cerută de compoziția respectivă, fără a cunoaște adîncimea ei în spațiul real, dar pe care trebuie să o cunoaștem pentru a putea desena reflectul ei  $bB'$  în oglindă. Determinarea acestei adîncimi o vom face prin aplicarea grafică a legii descreșterii perspective (I 318) cu ajutorul distanței principale a tabloului  $PD'/4$ , precizată pe linia orizontului. Pe aceasta vom lua segmentul  $Pd$  egal cu mărimea  $Bd'$  a capului figurii și segmentul  $Pg$  egal cu abscisa ei  $Pg'$ . Pe o dreaptă ajutătoare  $Py$ , la o scară potrivită cu mărimea desenului, spre exemplu în cazul nostru la scara de 5 cm pe metru, luăm segmentul  $Pd_1$  de 23 cm și unim punctul  $d_1$  cu punctul  $d$  (mărimea medie a unui cap). Ducînd din punctul  $g$  și din punctul  $D'/4$  drepte paralele la dreapta  $dd_1$ , determinăm pe dreapta ajutătoare segmentele  $Pg_1$  și  $Py$  care măsurate la scară, au respectiv 50 cm (abscisa  $Pg'$  a figurii) și 85 cm (pătrimea adîncimii figurii date). Cu aceste date putem desena reflectul ei, care trebuie să se găsească în fața reflectului desenatorului la  $0,85 \times 4 = 3,40$  și, la dreapta lui inversată, la 50 cm. Vom lua pe reflectul urmei planului neutru segmentul  $o'j$  de 85 cm ( $3,40:4 = 0,85$ ), măsurat pe scara perspectivă în  $N$  și, prelungind dreapta  $D'/4j$  vom determina pe dreapta de capăt  $PV$  segmentul  $o'v$  de 3,40 m. Măsurînd în  $S$  segmentul  $vb$  de 50 cm (abscisa figurii date) vom avea în  $bB'$  reflectul căutat. Dacă s-a desenat exact punctul de intersecție al dreptelor  $Pb$  și  $o'b$  prelungite ar trebui să se găsească pe verticala  $Bd'$ , prelungită mult în



vizuale principale, perpendiculare pe planul oglinzii frontale, s-a deplasat spre dreapta, laturii. Acesta, pentru completarea compoziției, fără a-și schimba orientarea razei sale laterale de capăt al mesei frontale — ascunde propriul ei reflect ca și pe acela al desena-

Vinzătoare, aflându-se în dreptul punctului principal, — cum precizează reflectul marginii lui în oglinda frontală verticală avem de semnalat o licență plastică (fig. 163 și 164).

**170.** — *L i c e n Ț a* p l a s t i c e. Și în reproducerea care ilustrează problema reflect-

se află în spatele desenatorului la o adâncime de  $1,10 \times 4 = 4,40$  m și la dreapta lui, la 2,50 m, cuprinde un front de 9,35 m. Măsurând în  $N$  segmentele  $e'e_1$  și  $o'e_1$  aflăm că figura dată

la linia orizontului. Pe scara perspectivă în  $U$  vedem că la această adâncime oglinda altă figură sau obiect din spațiul virtual al desenatorului al cărui reflect se întinde pînă

3) În spațiul virtual, al desenatorului, cum este figura reflectată în  $E'e$  sau orice

la 3,38 m.

pe scara perspectivă în  $N$ , un front de 7,40 m. Figura dată se află la dreapta desenatorului

2) În planul neutru al desenatorului cum este figura reflectată în  $li$  sau oricare altă

figură sau obiect situat pe urma  $nm'$  a planului neutru din care oglinda cuprinde, măsurat

la 1,10 m și în stînga lui la 1,20 m.

$cD/4$ ) și segmentul  $c'10'$  aflăm că figura dată se află în fața desenatorului la  $0,35 \times 4 =$

Măsurând, pe scara perspectivă, în  $N$ , segmentul  $c_1c'_1$  (între dreapta de capăt  $cP$  și dreapta

lata în  $C'e$  sau orice altă figură sau obiect situat în triunghiurile  $o'ns'$  și  $o'n's'_1$  (165).

7) În spațiul real dar în afara cîmpului vizual al desenatorului cum este figura reflect-

cu acțiunea închipită de artist. Acestea pot să se afle:

precizăm poziția acestor figuri față de desenator pentru a ști dacă sînt corespunzătoare

dar nu și în cîmpul vizual al desenatorului. Scara perspectivă a tabloului ne permite să

**169.** — d) Figuri sau obiecte care nu se văd decît reflectate, cuprinse în cîmpul oglinzii

verticală  $Bb$  prelungită mult în afara cadrului tabloului.

s-a desenat exact punctul de intersecție al dreptelor  $Ob$  și  $o'b'$  trebuie să se găsească pe

punzătoare adîncimii de  $85 \times 4 = 3,40$  m față de punctul de vedere al desenatorului. Dacă

$Pd$  și  $Pg$  cu care vom desena în  $Pg'$  abscisa figurii și în  $Bd'$  mărimea capului ei cores-

$d_1$  și  $g_1$  paralele geometrice la dreapta  $gD'/4$  vom obține pe linia orizontului segmentele

pentru abscisă și segmentul  $Pij$  de 85 cm (a patra parte din adîncime). Ducînd prin punctele

5 cm = 1 m segmentul  $Pd_1$  de 23 cm (pentru mărimea capului) segmentul  $Pg_1$  de 50 cm

Cunoscînd aceste cote, pe o dreaptă ajutătoare  $Pij$  vom lua la o scară potrivită de

$o/j$  (obținute cu dreapta  $Vj D'4$ ) de  $0,85 \times 4 = 3,40$  a reflectului.

Vom măsura pe scara perspectivă a tabloului în  $S$  abscise  $ab$  de 50 cm și în  $N$  adîncimea

inversă vom relua în sens invers operațiunile care s-au făcut în perspectivă directă (167).

dar care nu intră în întregime în cadrul tabloului (167 c). Pentru a desena în perspectivă

lui  $l'l'10'$  se deduce că este al unei figuri  $Bb$  cuprinsă în cîmpul vizual al desenatorului

desenat reflectul  $Bb$  al unei figuri. Întrucît acest reflect este situat în cuprinsul triunghiun-

**168.** — *In perspectivă inversă.* În locul impus de buna organizare a compoziției s-a

determină cu dreapta  $Ph'$ , prelungită.

a desena corect figura  $B$  care nu intră în întregime în cadrul tabloului: mijlocul ei  $h$  se

afara cadrului tabloului. În stîrșit, ne vom putea sprijini pe imaginea reflectată  $B'$  pentru

astfel încît în stînga noului său cîmp vizual a cuprins nu numai reflectul vînzătoarei dar și pe acela al unui client care între timp se apropie de aceasta. Schema acestei ingenioase licențe plastice se poate ușor restabili prin restituire perspectivă (fig. 164). Reflectele acestor două figuri dintre care una necuprinsă în cîmpul vizual al desenatorului se puteau ușor reprezenta într-o oglindă verticală nu frontală ci oarecare. Dar această schimbare ar fi modificat total prima viziune a artistului.

De altfel și în compoziția lui Ulianov (fig. 132) figurile din primul plan ar fi mascat total sau parțial reflectele lor din oglinda frontală în fața căreia se află, dacă nu s-ar fi mutat punctul principal din mijlocul tabloului în marginea lui stîngă.

### Oglinda verticală de capăt

**171.** — În oglinda verticală de capăt, ca și în oglinda orizontală, reflectul  $O'$  al punctului de vedere  $O$  se află în planul neutru (fig. 171 II) și, prin urmare, neputînd să fie reprezentat pe tablou, nu va putea fi folosit pentru desenarea reflectelor. Vom folosi deci numai primul procedeu (130): de altfel, perpendicularele pe planul de capăt al oglinzii, fiind frontale, nu prezintă descreșteri perspective și vor putea fi măsurate cu ușurință în adîncimea oglinzii.

În figura 172 se presupune că pe ambii pereți laterali ai unei încăperi orientată frontal sînt aplicate două mari oglinzi ale căror urme pe planul obiectelor sînt drepte de capăt  $MN$ . Se știe (136) că în cazul oglinzilor mai mici și de orice formă, pentru simplificarea construcțiilor vor fi considerate înscrise într-un dreptunghi cu baza pe planul obiectelor, urmînd ca reflectele desenate cu ajutorul acestei baze să fie definite ulterior numai în cadrul limitat al oglinzii date (fig. 175).

Pentru a găsi reflectul  $B'$  al unui punct  $B$  situat pe planul obiectelor, ducem perpendiculare  $Bb$  pe urma  $MN$  a oglinzii (perpendiculară care nu poate fi decît o orizontală frontală) și o prelungim în adîncul oglinzii, luînd segmentul  $bB'$  egal cu segmentul  $Bb$ , pentru a determina în  $B'$  reflectul punctului dat  $B$ .

Pentru a găsi reflectul  $A'$  al unui punct din spațiu  $A$ , considerăm verticala  $AB$  coborîtă din acel punct pe planul obiectelor. Aflăm, ca mai sus, reflectul  $B'$  al punctului  $B$ . În planul frontal  $BB'$ , fără descreștere perspectivă, reflectul  $A'B'$  va fi egal cu verticala dată  $AB$ . Ca urmare punctul  $A'$  se va obține fie luînd pe verticala punctului  $B'$  un segment  $A'B'$  egal cu verticala dată  $AB$ , fie ducînd o orizontală frontală prin punctul  $A$ , pînă la intersecția ei  $A'$  cu verticala punctului  $B'$  pentru a determina în  $A'B'$  reflectul verticalei date  $AB$ .

### Cîmpul oglinzii verticale de capăt

**172.** — Artistul cunoscînd de la început cîmpul oglinzii reprezentate în tablou va ști unde poate așeza figurile sau elementele semnificative ce se vor reflecta, găsind în aceasta un sprijin efectiv în orînduirea compoziției sale.

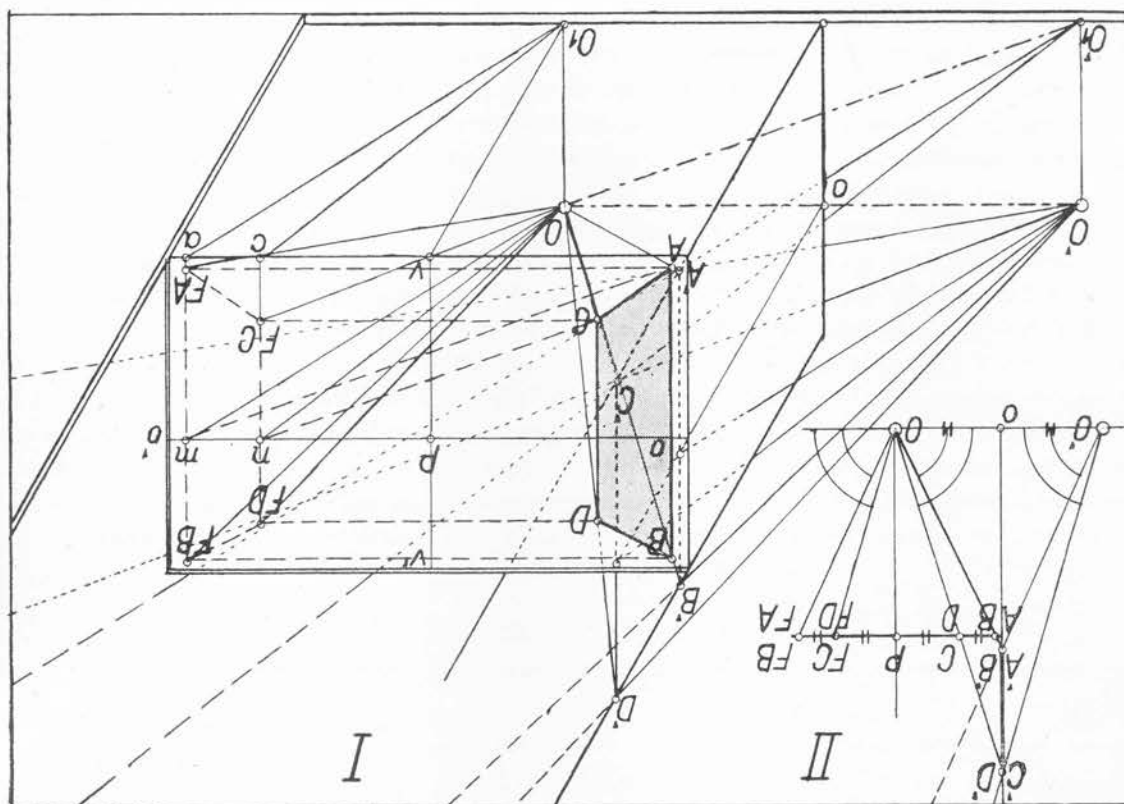


Fig. 171. (171, 172, 173)

Asemănarea se poate urmări și în figura 171 I în care s-au pus aceeași literă oglinzii și cîmpului ei. Schema din stînga figurei arată că punctele de fugă  $FA$ ,  $FB$ ,  $FC$  și  $FD$  ale muchiilor  $O'A$ ,  $O'B$ ,  $O'C$  și  $O'D$  ale piramidei, care delimitează cîmpul oglinzii, sînt simetrice, față de punctul principal  $P$  al tabloului, cu imaginea perspectivă  $ABCD$  a oglinzii de capăt date  $A'B'C'D'$  ca urmare a faptului că segmentele  $Oo$  și  $O'o$  sînt egale între ele.

Dacă întoarcem tabloul III din figura 146 — care ne arată imaginea perspectivă a cîmpului oglinzii orizontale — astfel încît dreapta  $AFA$  să fie orizontală, oglinda  $ABCD$  devine verticală de capăt iar liniile punctate ne înfățișează cîmpul ei: orizontalele  $AFA$ ,  $BFB$ ,  $CFC$  și  $DFD$  sînt muchiile trunchiului piramidei a cărei bază trapezoidală la infinit este  $FA$ ,  $FB$ ,  $FC$ ,  $FD$ . Urma  $VV_1$  a planului vizual principal vertical devine linia orizontului, iar aceasta  $oo'$ , devine urma planului vizual principal vertical, față de care sînt simetrice cele două baze ale trunchiului de piramidă a cîmpului oglinzii. În această nouă poziție scara reflector  $AV_1CV_1$  reprezintă secțiunea acestui trunchi de piramidă cu planul orizontal al obiectelor.

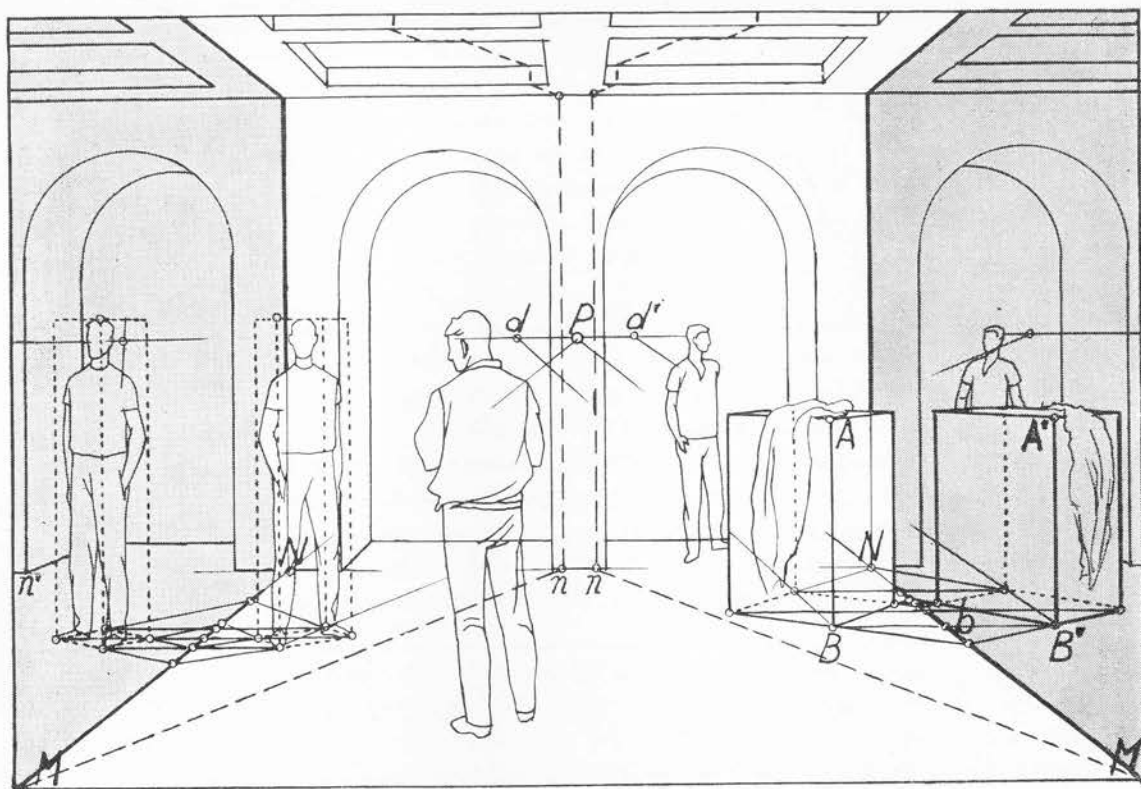


Fig. 172. (171, 175, 176)

Proiecția oblică din aceeași figură ne arată că imaginile perspective ale muchiilor piramidei sînt orizontale, cum se deduce din următoarele construcții. Pe planul obiectelor ducem dreptele  $O_1a$  și  $O_1c$  paralele geometric cu dreptele  $O'_1A'$  și  $O'_1C'$  care sînt proiecțiile orizontale ale muchiilor piramidei și ridicăm pe tablou verticale prin punctele  $a$  și  $c$ . În continuare ducem din punctul de vedere  $O$  raze vizuale paralele geometric cu muchiile din spațiu  $O'A'$ ,  $O'B'$ ,  $O'C'$  și  $O'D'$  ale piramidei cîmpului oglinzii date  $A'B'C'D'$  pentru a obține pe verticalele ridicate din punctele  $a$  și  $c$  punctele de fugă  $FA$ ,  $FB$ ,  $FC$  și  $FD$  ale imaginilor respective  $AFA$ ,  $BFB$ ,  $CFC$  și  $DFD$ . Constatăm că aceste imagini sînt paralele între ele și orizontale adică, așa cum știm (143, 144, fig. 147) paralele geometric cu raza vizuală  $OO'$  care, în planul neutru, unește punctul de vedere  $O$  cu punctul de convergență  $O'$  al muchiilor piramidei.

**173.** — Secțiunea acestei piramide cu planul obiectelor ne e dată în spațiu, de dreptele  $O'_1A'$  și  $O'_1C'$ , prelungite. Ducînd prin punctul de vedere  $O$  raze vizuale paralele geometric cu aceste drepte, găsim în  $m$  și  $n$  punctele de fugă ale imaginii perspective a acestor drepte, obținînd astfel în  $ACmn$  imaginea perspectivă a secțiunii cîmpului oglinzii cu planul obiectelor. Și de data aceasta constatăm că imaginea  $Am$  și  $Cn$  sînt paralele geometrice cu



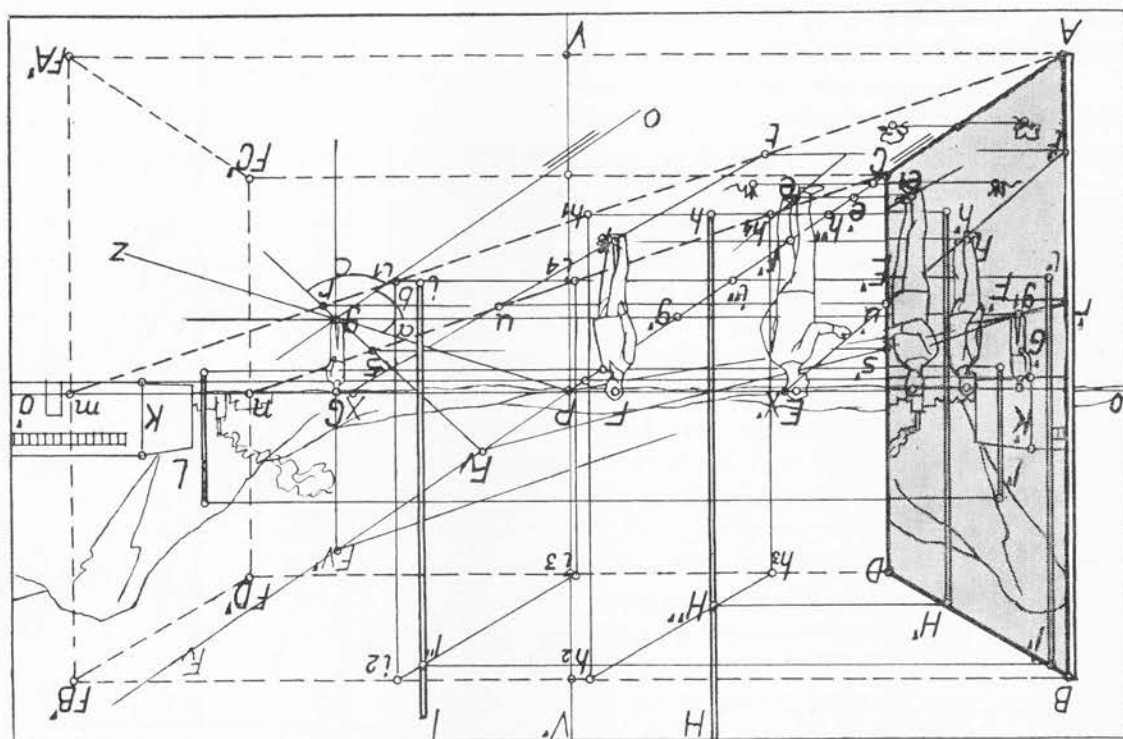


Fig. 173. (173, 174, 185, 193)

raza vizuală  $OO_1$  care, în planul neutru, unește punctul de vedere  $O$  cu punctul de convergență  $O_1$  al dreptelor respective  $O_1A'$  și  $O_1C'$  din spațiu.

În figura 173 s-a desenat cîmpul unei oglinzi verticale de capăt date  $ABCD$  ca în tabloul cuprins în figura 171 și folosind aceleași litere, precizînd în  $ACmn$  secțiunea acestui cîmp cu planul obiectelor. Vom constata că toate figurile și elementele cuprinse în patrulea terul  $ACmn$  se vor reflecta în oglinda dată și anume pe înălțimea cuprinsă între planul obiectivelor și fața superioară  $BD FD' FB'$  a cîmpului oglinzii. Astfel pentru a cunoaște înălțimea  $hh''$  sau  $it''$  care se va reflecta din verticalele date  $hh$  și  $it$ , considerînd planele frontale în care sînt cuprinse, desenăm secțiunile lor  $hh_2h_3h_4$  sau  $it_2it_3it_4$  cu cîmpul oglinzii. Reflecțiile acestor verticale se determină în  $h'H'$  și  $i'I'$  luînd segmentele  $h''h'$  și  $i''i'$ , egale cu segmentele  $hh''$  și  $it''$ . Punctele  $H'$  și  $I'$  trebuie să se situeze pe orizontalele duse prin  $H''$  și  $I''$ .

**174.** — Pentru reflecțiile figurilor din compoziție — care sînt cuprinse în cîmpul oglinzii, este bine ca, pe lîngă reflectul axului vertical  $Ee, Ff, Gg$ , să construim și reflectul urmei planului vertical oarecare care trece prin numeri figurii respective sau care îi caracterizează orientarea din spațiu pentru a putea desena în mod corespunzător și orientarea reflectului ei în oglinda dată.

Astfel figura  $Ee$  privindu-se în oglindă are umerii cuprinși într-un plan de capăt: urma acestuia  $eP$  se îndreaptă spre punctul principal  $P$  către care s-a orientat și urma reflectată în  $e_1P$ .

Figura  $F$  care se reflectă în  $F'$  (s-au luat egale segmentele  $ff'$  și  $f'f_1$ ) are umerii cuprinși într-un plan vertical oarecare a cărei urnă este  $tu$ , urmă a cărui punct de întâlnire cu urma planului oglinzii este inaccesibil. Vom reflecta deci în  $X'$  punctul ei de fugă  $X$  dacă acesta este accesibil. Dreapta  $X'f_1$  ne dă reflectul orientării figurii respective. Dacă punctul de fugă este inaccesibil, orizontalele  $tt'$  și  $uu'$  ne dau în  $t'u'$  reflectul orientării căutat, care trebuie să treacă și prin punctul  $f_1$  dacă s-a desenat exact.

Ca încheiere să urmărim orientările pe care le poate lua figura  $G$ , presupunând că se rotește în jurul axei ei  $Gg$ :

Cînd, cu fața sau cu spatele spre stînga privitorului, are umerii într-un plan de capăt, orientarea acestei figuri va fi  $gP$ , iar reflectul ei  $PgI$  (fig. 173 și 174).

Rotindu-se cu  $90^\circ$  în sensul contrar acelor ceasului, urma planului umerilor va ajunge frontala în  $gg'$ , reflectîndu-se în  $g'g_1$ . În timpul acestei rotații (arcul  $a$ ), punctul de intersecție (cu ajutorul căruia se va desena orientarea reflectului figurii) între urmele planului umerilor și a planului oglinzii de capăt se va situa între punctele  $P$  și  $g'_1$  (fig. 173 și 174).

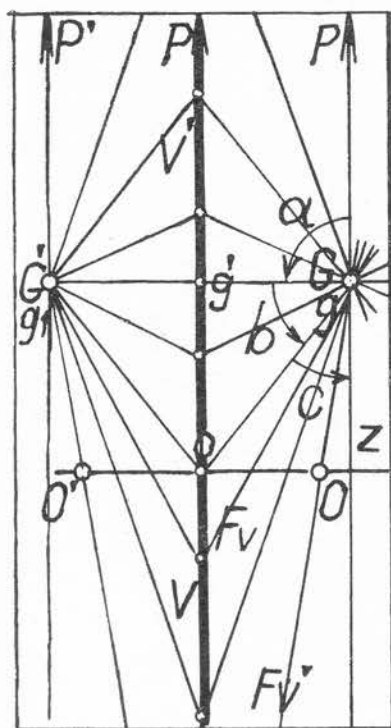
Continuîndu-se rotirea, cînd urma planului umerilor  $go$  va fi paralelă geometric cu urma planului oglinzii, adică atunci cînd punctul lor de intersecție  $O$  va fi situat în planul neutru reflectului acestei urme va fi și el paralel geometric cu urma planului oglinzii. În timpul acestei rotații, (arcul  $b$ ) punctul de intersecție între urmele planului umerilor și a planului oglinzii va fi la început accesibil, între punctele  $g'$  și  $A$  iar apoi inaccesibil pe urma prelungită a planului oglinzii.

În sfîrșit între orientările  $go$  și  $Pgz$  (arcul  $c$ ) urmele planului umerilor și al oglinzii se vor întreta în punctele depărtate, situate în spațiul virtual, a căror imagine perspectivă virtuală  $Fv$  se va găsi deasupra liniei orizontului (ca imaginea virtuală a izvoarelor de lumină artificială). Cînd în cursul acestei rotiri urma este verticală  $gFv'$  înseamnă că ea trece prin punctul de vedere  $O$ ; reflectul ei va fi  $Fv'g'$ .

**175.** — Reflectul corespunzător al unei figuri ca și a oricărui volum complicat, se poate obține și înscriindu-l într-o prismă (fig. 172) orientată frontal sau pe unghi, a cărei imagine perspectivă se determină așa cum se arată mai jos (176).

În practică putem determina cîmpul unei oglinzi verticale de capăt mărginit de cuprinsul încăperii

Fig. 174. (174)



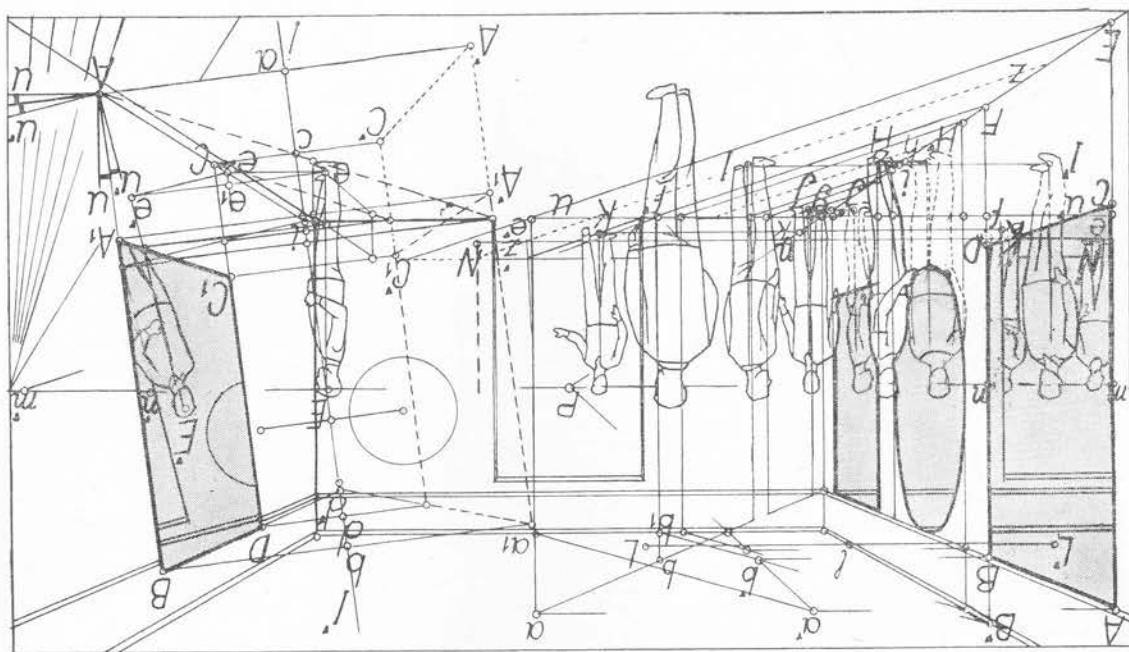


Fig. 175. (127, 171, 175, 192, 193)

zz' trecind prin mijlocul geometric sau perspectiv al secțiunii cimpului oglinzii cu planul al căror cimp a fost determinat ca mai sus. Desenul se poate completa cu linii punctate în aceeași figură s-au reprezentat în adâncimea spațiului încă două oglinzi de capăt să treacă prin punctul principal  $P$ . Pentru detaliul  $L$  s-au luat egale segmentele  $LI$  și  $LI'$ .

s-au determinat punctele  $a'$  și  $b'$ . Dacă s-a desenat exact, dreapta  $a'b'$ , prelungită, trebuie punctul  $a_1$  o paralelă geometrică la dreapta  $b_1B'$  iar prin orizontalele duse prin  $A$  și  $B$  cărui semnificație ar vrea să fie accentuată prin reflectul lui  $L'$  în oglindă. (S-a dus prin perii pentru a permite artistului să cunoască unde poate plasa un eventual detaliu  $L$  a

În figura 175 s-a desenat în  $a_1a'b'b_1$  și secțiunea cimpului oglinzii cu planul încă-

cipal  $P$  cu punctele  $m$  și  $n$ . (173, fig. 173).

Dacă s-a desenat exact, dreptele  $Ee'$  și  $Ff'$  trebuie să fie paralele deoarece converg.

după cum știm, într-un punct situat în planul neutru, iar punctele  $m'$  și  $n'$  în care aceste

drepte prelungite întretate linia orizontului trebuie să fie simetrice, față de punctul prin-

drept prelungite întretate linia orizontului trebuie să fie simetrice, față de punctul prin-

drept prelungite întretate linia orizontului trebuie să fie simetrice, față de punctul prin-

drept prelungite întretate linia orizontului trebuie să fie simetrice, față de punctul prin-

drept prelungite întretate linia orizontului trebuie să fie simetrice, față de punctul prin-

drept prelungite întretate linia orizontului trebuie să fie simetrice, față de punctul prin-

drept prelungite întretate linia orizontului trebuie să fie simetrice, față de punctul prin-

drept prelungite întretate linia orizontului trebuie să fie simetrice, față de punctul prin-

drept prelungite întretate linia orizontului trebuie să fie simetrice, față de punctul prin-

drept prelungite întretate linia orizontului trebuie să fie simetrice, față de punctul prin-

drept prelungite întretate linia orizontului trebuie să fie simetrice, față de punctul prin-

drept prelungite întretate linia orizontului trebuie să fie simetrice, față de punctul prin-

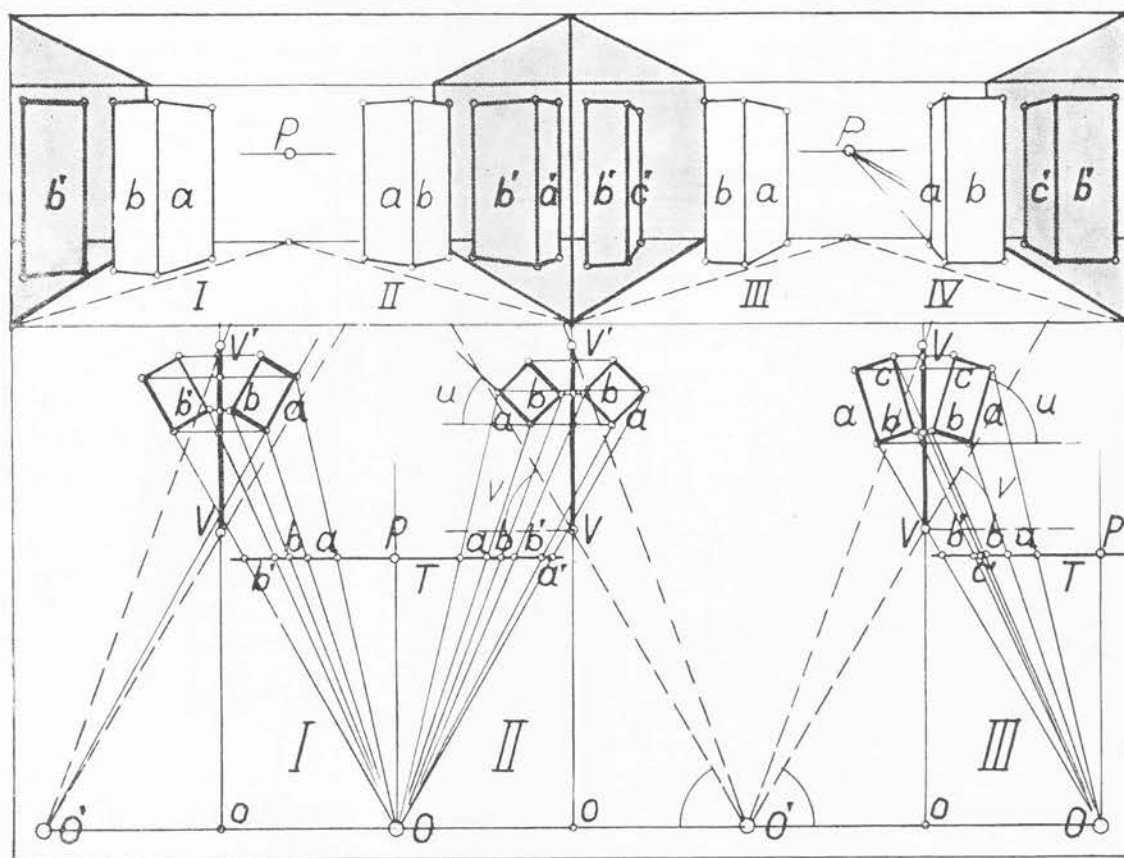
drept prelungite întretate linia orizontului trebuie să fie simetrice, față de punctul prin-

drept prelungite întretate linia orizontului trebuie să fie simetrice, față de punctul prin-

obiectelor. Știind că oricare ar fi locul ocupat de o figură în lungul acestor linii, imaginea reflectului ei se va găsi în mijlocul oglinzii respective, artistul are un sprijin efectiv în definitivarea compoziției sale. El e liber să dea figurilor — o dată cu reflectul lor corespunzător — un mare număr de grupări diferite pentru a alege pe aceea care e mai potrivită cu viziunea sa plastică. Cu ajutorul acestor trasee ne lămurim cum figura  $N$  care ne este ascunsă de peretele din fundul încăperii ne apare reflectată în  $N'$  în timp ce reflectul figurii  $K$  (pe care o vedem prin ușa deschisă) ne este parțial ascunsă de reflectul marginii verticale a ușii.

**176.** — *Reflectul unei prisme* (în care vom înscrie orice volum complicat pentru a-i putea afla reflectul) într-o oglindă de capăt nu pune nici o problemă căci reflectul ei se poate obține fără greutate, punct cu punct. Totuși folosind diagonalele (pentru prisma orientată frontal, fig. 166), sau laturile (pentru prisma orientată pe unghi, fig. 172), care, prelungite, trebuie să se întretaie cu reflectul lor pe urma oglinzii, asigurăm o grafică mai exactă și unele simplificări.

Fig. 176. (176)





În privința felului în care se poate prezenta imaginea reflectată a prismei, vom con-  
stata că aceasta depinde de orientarea pe care o are prisma dată, așa cum se arată mai jos.  
În partea stînga a figurii 166, ca și în figura 176 IV vedem că din cele două fețe  
de capăt ale unei prismе orientate frontal aceea pe care o vedem în viziune directă nu se  
reflectă în oglindă de capăt, și invers, aceea care se reflectă ne este ascunsă. Cînd prisma  
este orientată pe unghi, uneori imaginea reflectată se prezintă în condițiile arătate mai sus,  
teori vedem reflectate în oglindă ambele fețe pe care le vedem și în viziune directă iar  
într-un caz special, în reflect, vedem numai o singură față. Este ceea ce ne arată schemele  
și tablourile din figura 176. Dacă una din fețe (fața  $a$  în schema și în tabloul II) face,  
cu planul neutru, un unghi  $u$  mai mic decît unghiul  $v$  al marginii cîmpului oglinzii, atunci  
ambele fețe  $a$  și  $b$  ale prismei se văd reflectate în  $a'$  și  $b'$ , ca și prismele din figura 172.  
Dacă una din fețe (fața  $a$  din schema și din tabloul I), prelungită, trece prin reflec-  
tu  $O'$  al punctului de vedere, — avînd prin urmare, după cum știm (174) imaginea ei  
perspectivă paralelă geometric cu imaginea marginii cîmpului oglinzii — în oglindă nu  
vom vedea în acest caz special decît reflectul  $b'$  al celeilalte fețe  $b$  a acestei prismе.  
Dacă una din fețe (fața  $a$  în schema și în tabloul II) face, cu planul neutru un  
unghi  $u$  mai mare decît unghiul  $v$  al marginii cîmpului oglinzii atunci reflectele se vor  
prezenta ca în cazul prismei orientate frontal (prima din tabloul IV). Vom vedea această  
față numai în viziunea directă, iar în oglindă, pe lîngă reflectul  $b'$  al celeilalte fețe  $b$  vom  
vedea reflectul  $c'$  al feței  $c$ , care ne este ascunsă.

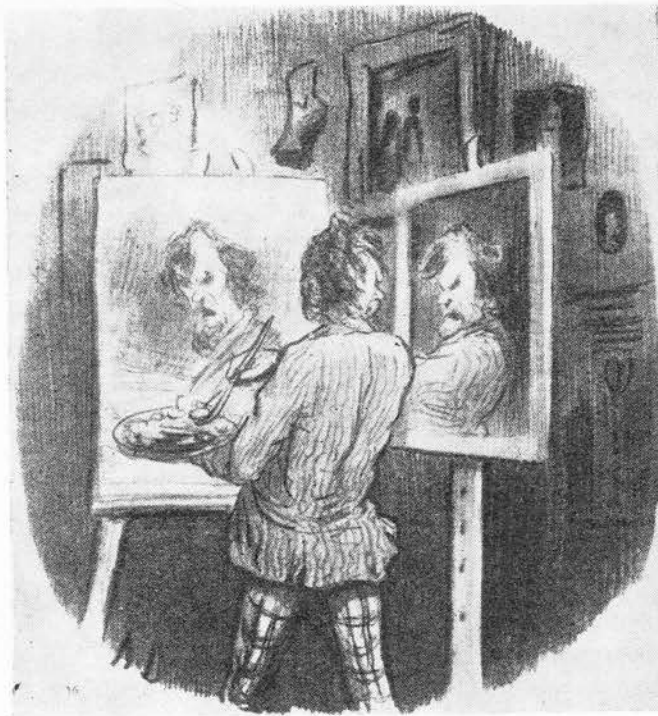


Fig. 177. (127) Honoré Daumier: Un francez pictat de el însuși

între dreptele de capăt  $AP$  și  $BP$ , pe orizontala  $A'B'$  obținem punctul  $s'$  prelungind dreapta  $D/d_1$ . Cu dreapta de capăt  $Ps'$  prelungită, obținem punctul  $s$  iar cu dreapta  $s D/4$  obținem punctul  $d$  pe unde trece dreapta  $Bd$  paralelă cu urma  $ZZ'$  a oglinzii date. Perpendiculara  $Aac$  pe dreapta  $Bd$ , construită în pătratul  $ABCD$  așa cum s-a arătat mai sus, dar folosind diagonala  $AC$ , cu frontala  $dd'$  și dreapta de capăt  $d'c$ , este perpendiculară și pe paralela  $B'd_1$  a acesteia în punctul  $a'$ .

În figura 179 perpendiculara  $Aaa'$ , prelungită, are punctul ei de fugă  $O'$  accesibil. Când este inaccesibil, se știe cum se poate întocmi o rețea perspectivă (I 328, 329 fig. 358—360) pentru desenarea reflectelor tuturor obiectelor cuprinse în câmpul oglinzii date, așa cum se arată în figura 178.

**178.** — *Orientarea planului oglinzii date* (fig. 178 și 179). Cu pătratul orientat frontal  $ABCD$ , folosit pentru determinarea perpendicularei pe oglindă, putem preciza, în perspectiva inversă, adevărata mărime a unghiului  $ABd$  pe care îl face oglinda dată cu planul neutru, construind geometralul acestui unghi.

a) Dacă urma  $Bd$  a oglinzii întretaie latura frontală  $CD$  a pătratului (fig. 178), orientarea planului oglinzii e dată de diagonala  $Cd'$  a dreptunghiului  $dCD'd'$  în care latura  $CD'$  a fost luată egală cu latura  $CD$ .

b) Dacă urma  $Bd$  a oglinzii întretaie latura de capăt  $AD$  a pătratului, considerăm că segmentul  $As$  (determinat cu ajutorul punctului de distanță redus de patru ori) este o pătrime din segmentul de capăt  $Ad$ . Luându-l de patru ori pe verticala ridicată în punctul  $A$  obținem triunghiul  $ABd'_1$  în care ipotenuza  $Bd'$  are orientarea planului oglinzii date.

#### *Reflectul în oglinda verticală oarecare*

**179.** — a) *Procedeul întâi* (130) Pe perpendiculara  $Aa$ , prelungită în adâncul oglinzii (fig. 180) pentru a găsi reflectul  $A'$  al punctului dat, astfel ca segmentele  $Aa$  și  $aA'$  să fie egale, putem folosi una din construcțiile arătate pentru dreptele de capăt,

perpendicularare pe oglinda frontală și, pentru a nu repeta aceleași explicații (159), în figura 180 s-au pus aceleași litere ca în figura 165.

**180. — b)** Procedeu al a l d o i l e a, (132) Când punctul de fugă al perpendiculararelor pe oglinda verticală oarecare dată este accesibil, proiecția  $o'$  pe planul obiectelor a reflec-

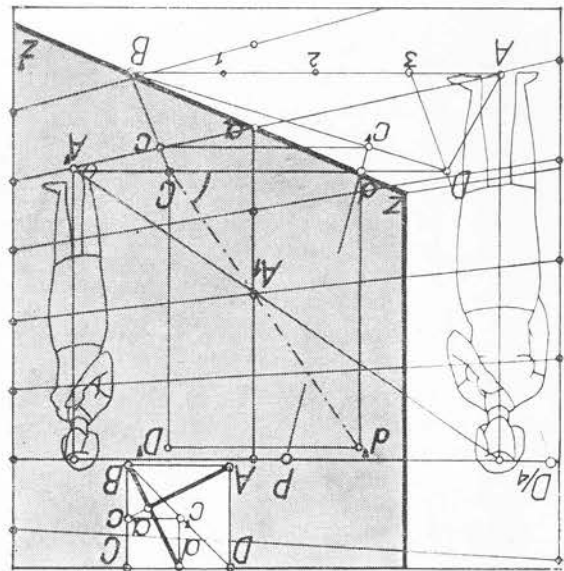


Fig. 178. (177, 178, 182, 189)

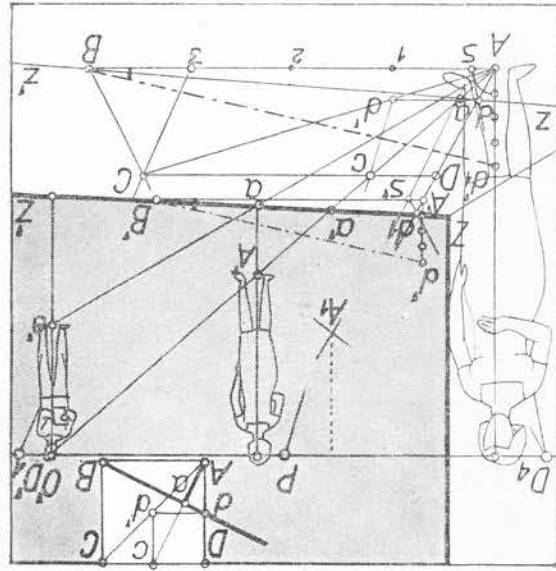


Fig. 179. (134, 177, 178, 182, 186, 189)

tu lui punctului de vedere  $O'$  se găsește — ca și în cazul oglinzii frontale (fig. 167) în mijlocul  $o'$  al verticalei  $O'z$  cuprinsă între punctul  $O'$  și urma  $zz'$  a planului oglinzii (fig. 181) așa cum se vede în schema figurii 167 pentru oglinda frontală și în schema restituirii din figura 191 pentru oglinda verticală oarecare. În această schemă imaginea reflectată  $Olo$  a desenatorului pe planul tabloului  $T$ , este jumătate din verticala  $Olo$  care unește reflectul  $O$  al punctului de vedere cu imaginea perspectivă pe planul tabloului a urmei  $u$ , a oglinzii verticale oarecare dată.

Cu aceste două puncte  $O'$  și  $o'$  reflectele se desenează la fel ca pe oglinda frontală (fig. 181). După cum se știe, reflectul unui punct  $A$  se află în punctul  $A'$  în care raza  $O'A$  străpunge planul oglinzii la intersecția ei cu verticala ridicată din punctul  $a$  în care dreapta  $AO$  întretaie urma  $zz'$  a oglinzii date.

### Cîmpul oglinzii verticale oarecare

**181. — a)** Când punctul de fugă  $O'$  al perpendiculararelor pe oglindă este accesibil cîmpul oglinzii se desenează procedind ca în cazul oglinzii frontale (164) așa cum se arată în figura 182. Muchiile trunchiului piramidei acestui cîmp se obțin prelungind razele care unesc reflectul  $O'$  al punctului de vedere cu punctele caracteristice  $A, B, C, D$ , ale oglinzii date. În această figură muchiile laterale ale trunchiului de piramidă, desenate cu linii punctate sînt  $As', Br', Cu'$  și  $Dk'$ .

Secțiunea acestui trunchi de piramidă cu elementele prismatice ale unei încăperi (planșeul și plafonul) se obțin folosind proiecțiile  $o'$  și  $o'_1$  ale reflectului  $O'$  al punctului de vedere pe planele respective (punctul  $o'$  este la mijlocul verticalei  $O'n$  și punctul  $o'_1$  la mijlocul verticalei  $O'n'$ ) și proiecțiile  $a$ ,  $b$ ,  $c$  și  $d$  ale oglinzii pe aceleași plane. Pre-

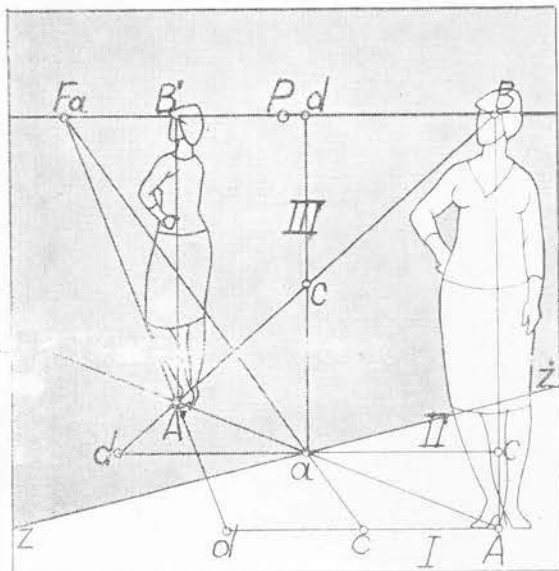


Fig. 180. (179)

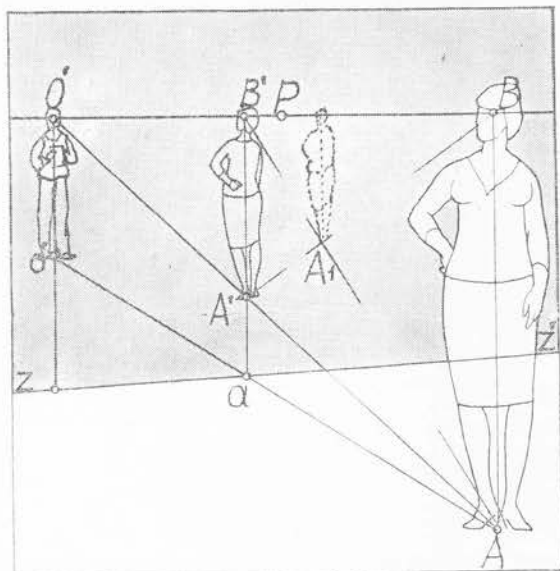


Fig. 181. (134, 180)

lungind dreptele  $o'a$   $o'b$ ,  $o'_1c$  și  $o'_1d$  obținem în *sabr* și în *ucdt* intersecțiile fețelor laterale ale trunchiului de piramidă a cîmpului vizual cu planele orizontale ale planșeului și plafonului, dacă oglinda dată ar ocupa întreaga înălțime a peretelui iar în  $sA'B'r$  și  $uC'D't$  dacă ne limităm la înălțimea redusă a oglinzii date.

**182.** — b) Cînd punctul de fugă  $O'$  al perpendicularelor pe oglindă este inaccesibil (fig. 188). După ce s-a determinat orientarea perpendicularelor pe urma oglinzii date (ca în fig. 178 și 179) și s-a întocmit rețeaua corespunzătoare (ca în fig. 178) folosim două din liniile acestei rețele și anume acelea ( $e'e_1$  și  $g'g_1$ ) care întretaie, fiecare, cîte una din laturile verticale  $EF$  și  $GH$  ale oglinzii. Pe aceste linii vom determina, în perspectivă inversă, punctele  $e$  și  $g$  în care se reflectă în punctele  $e'$  și  $g'$  ale marginilor oglinzii, folosind construcția II din figura 180. Pe orizontalele duse prin punctele  $e_1$  și  $g_1$  luăm egale segmentele  $me_1$  cu  $e_1n$  și  $m'g_1$  cu  $g_1n'$  și — după cum știm dreptele  $F_1n$  și  $H_1n'$ , prelungite, determină segmentele  $e_1e$  și  $g_1g$  egale cu segmentele  $e'e_1$  și  $g'g_1$ . Punctele  $e'$  și  $g'$  fiind reflectele punctelor  $e$  și  $g$  urmează că reflectul dreptelor  $Ees$  și  $Ggr$  se suprapun pe marginile verticale ale oglinzii și constituie prin urmare intersecțiile cîmpului oglinzii cu planul obiectelor.

**183.** — Delimitarea reflectului planului obiectelor cuprinse în cadrul tabloului se obține desenînd reflectele  $s'_1i'$  și  $i'r'_1$  (fig. 182 și 188) ale segmentelor  $si$  și  $ir$  ale cadrului tabloului,



185. — *In perspectiva inversă, determinarea orientării oglinzii când se dau imaginile figurii și a reflectului ei* (fig. 183). Pentru obținerea unei compoziții cât mai satisfăcătoare, artistul poate să schițeze de la început nu numai figura dar și reflectul ei în oglindă, dându-le, în cadrul tabloului, locul care corespunde mai bine viziunii sale plastice, urmărind

184. — *Reflectul urnei planului neutru*, trecând prin  $o'$  (fig. 182) trebuie să facă cu orientarea  $o'z_1$  a planului oglinzii (punctul  $z_1$  s-a luat la mijlocul segmentului  $lz'$ , după cum  $o'$  este la mijlocul segmentului  $O'n$ ) un unghi  $o'z_1$  egal cu unghiul  $z_1o'h$  pe care planul oglinzii îl face cu planul frontal al desenatorului (dreapta  $o'h$  s-a luat orizontală). Pentru a determina acest reflect, pe o perpendiculară  $ho'$  dusă pe orientarea  $o'z_1$  a planului oglinzii, trebuie să luăm un segment  $g'h$  egal cu segmentul  $g_1h$ , cu o construcție cunoscută. Luând punctul  $l$  de pe linia orizontală ca punct accidental de fugă, determinăm segmentul  $gh$  prelungind dreapta  $lg'$ . Luăm segmentul  $g_1$  egal cu segmentul  $gh$ . Dreapta  $kl$  determină pe dreapta  $ho'$  segmentul  $g'h'$  egal cu segmentul  $hg'$  iar dreapta  $o'k'o_1$  făcând cu dreapta  $o'z_1$  un unghi egal cu acela pe care această dreapta îl face cu orizontala  $o'h$  constituie imaginea perspectivă a reflectului urnei planului neutru.

185. — *Reflectul urnei planului neutru*, trecând prin  $o'$  (fig. 182) trebuie să facă cu orientarea  $o'z_1$  a planului oglinzii (punctul  $z_1$  s-a luat la mijlocul segmentului  $lz'$ , după cum  $o'$  este la mijlocul segmentului  $O'n$ ) un unghi  $o'z_1$  egal cu unghiul  $z_1o'h$  pe care planul oglinzii îl face cu planul frontal al desenatorului (dreapta  $o'h$  s-a luat orizontală). Pentru a determina acest reflect, pe o perpendiculară  $ho'$  dusă pe orientarea  $o'z_1$  a planului oglinzii, trebuie să luăm un segment  $g'h$  egal cu segmentul  $g_1h$ , cu o construcție cunoscută. Luând punctul  $l$  de pe linia orizontală ca punct accidental de fugă, determinăm segmentul  $gh$  prelungind dreapta  $lg'$ . Luăm segmentul  $g_1$  egal cu segmentul  $gh$ . Dreapta  $kl$  determină pe dreapta  $ho'$  segmentul  $g'h'$  egal cu segmentul  $hg'$  iar dreapta  $o'k'o_1$  făcând cu dreapta  $o'z_1$  un unghi egal cu acela pe care această dreapta îl face cu orizontala  $o'h$  constituie imaginea perspectivă a reflectului urnei planului neutru.

Ne este cunoscut sprijinul dat de delimitarea acestui reflect în organizarea unei compoziții picturale. În figura 182 s-a determinat în  $Cu_1K_1V_1D'$  și reflectul planului  $C'u_1k_1v_1d'$  cuprins în cadrele punctelor  $E$  și  $F$  au fost obținute prin procedeu al doilea. În această figură s-a determinat și reflectul  $o'o_1$  a urnei planului neutru.

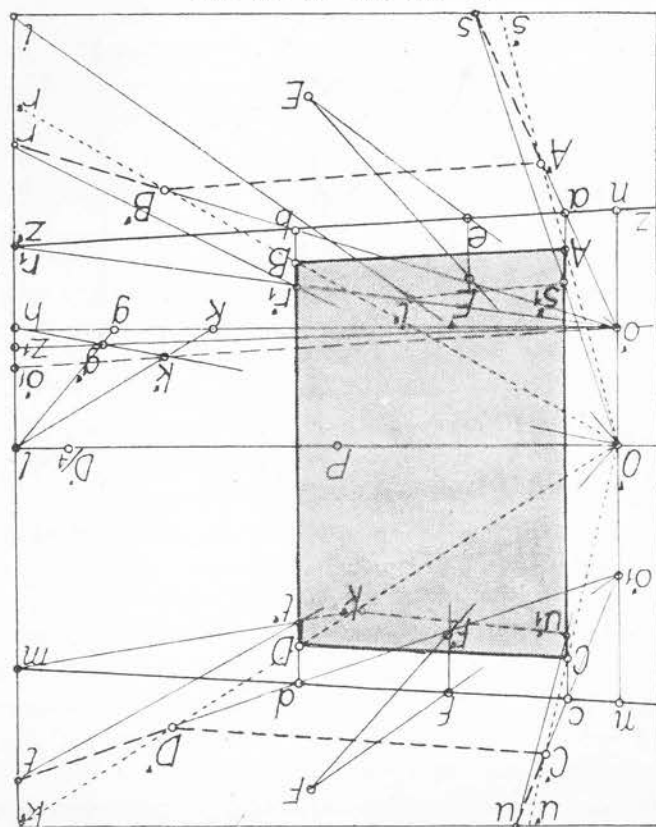


Fig. 182, (135, 181, 183, 184)

ca numai ulterior să determine locul și orientarea oglinzii respective. Se pot ivi patru cazuri și anume dreapta  $FF'$  care unește proiecțiile  $F$  a figurii și  $F'$  a reflectului ei pe planul obiectelor să fie o dreaptă de capăt  $FF'P$  (fig. 183, dreapta), să fie o dreaptă frontală  $ff_1$  (fig. 173), să fie o orizontală oarecare care fugă spre adâncul spațiului  $FF'$  sau  $FF'_1$  (fig. 183, stînga) sau o orizontală oarecare care vine spre desenator. În primul caz oglinda va fi frontală (fig. 183, dreapta) în cazul al doilea oglinda va fi de capăt și desenatorul va vedea reflectul numai dacă mijlocul  $f'$  al orizontalei  $ff_1$  precum și reflectul  $f_1$  se găsesc de aceeași parte a punctului principal (fig. 173) în cazul al treilea oglinda va fi verticală oarecare (fig. 183, stînga) iar în ultimul caz oglinda, tot verticală oarecare, ne va întoarce spatele și numai figura reprezentată în tablou își va vedea chipul oglindit.

a) *Oglinda va fi frontală* (fig. 183, dreapta). Dacă dreapta  $FF'$ , prelungită, trece prin punctul principal  $P$  este o dreaptă de capăt iar oglinda, perpendiculară pe această dreaptă, nu poate fi decît frontală. Urma ei  $TT'$  trebuie să întretaie dreapta  $FF'$  în mijlocul ei  $t$  pe verticala  $ft$  coborîtă din punctul de intersecție  $f$  al diagonalelor  $EF'$  și  $E'F$ . După cum știm, dacă figura  $EF$  ne este reprezentată ca privindu-și efectiv imaginea-i reflectată în  $ef$ , nu vom putea, fără licență plastică, delimita oglinda în  $rsuv$  pentru ca să încadreze bine imaginea reflectată văzută de desenator, ci va trebui să presupună o oglindă mai mare  $rsu'v'$  (fig. 139 și 140).

b) *Oglinda va fi de capăt* (fig. 173). Dacă dreapta  $ff_1$  este frontală, oglinda perpendiculară pe această dreaptă va fi verticală frontală, iar urma ei  $AP$  va trece prin mijlocul  $f'$  al dreptei  $ff_1$ . Dacă punctul  $f'$  și reflectul  $f_1$  nu sînt de aceeași parte a punctului principal, oglinda ne va arăta fața ei posterioară și numai figura reprezentată își va vedea chipul oglindit. (Acest caz nu este reprezentat în figura 173).

Fig. 183. (185, 186)

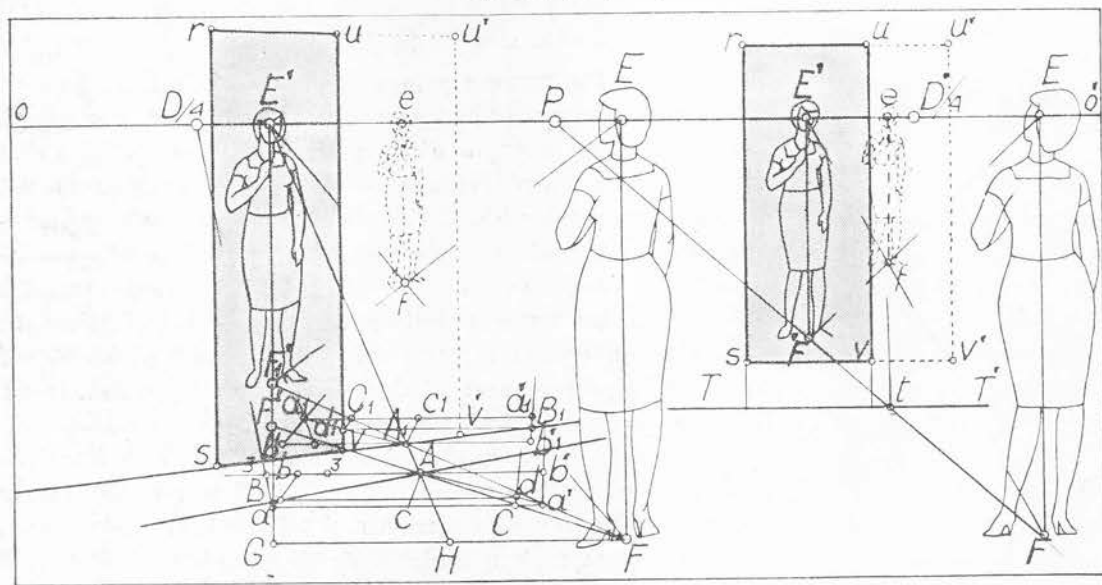




Fig. 184. (179) Vermeer: Femele citind

(un actor care se grimează etc.).  
*Nota.* Dacă locul ocupat în compoziție de urma  $TT'$  sau  $BA$  (fig. 183) a oglinzii ar fi necorespunzător, determinând o încălcare prea mică sau prea mare, artistul poate să o departeze (spre exemplu în  $A_1$ , fig. 183, stînga) sau eventual să o apropie, urmărind ca *fără a schimba locul  $EF'$  al reflectului cerul de compoziție*, să-i modifice numai înălțimea (spre exemplu  $EF'_1$  în loc de  $EF'$ , fig. 183, stînga). Pentru a putea efectua cu ușurință aceste modificări în scopul de a găsi soluția cea mai potrivită cu viziunea sa plastică, artistul poate proceda după cum urmează:

c) *Ogînda va fi verticală oarecare* (fig. 183, stînga). Dacă dreapta  $FF'$  este o orizontală oarecare care fuge spre adîncul spațiului, vom determina mijlocul ei  $A$ , cu o construcție cunoscută, apoi, cu ajutorul a două pîtrate orientate frontal  $Aca'b'$  și  $Aca'b''$  vom construi în acest punct, pe dreapta dată  $FF'$  perpendiculara  $AB$  care va fi urma oglinzii verticale oarecare, determinată în perspectivă inversă. În aceste pîtrate (care s-au desenat venind spre desenator, I 394, fig. 437, 438) folosind diagonală  $Aa'$ , cu dreapta de capăt  $CaP$  și cu orizontala  $dB$  s-a determinat punctul  $B$  pe unde trece perpendiculara căutată  $BA$  orientate frontal, dar desenatorul nu va putea să vadă imaginea reflectată, ci numai chipul figurii surprinsă în momentul cînd se admiră sau se studiază privindu-se în ogînda

d) *Ogînda, verticală oarecare, va avea fața reflectantă spre adîncul spațiului*. Dacă dreapta  $FF'$  este o orizontală oarecare care vine spre desenator, orientarea oglinzii, perpendiculară pe această dreaptă, se va determina, ca mai sus, cu ajutorul a două pîtrate orientate frontal, dar desenatorul nu va putea să vadă imaginea reflectată, ci numai chipul figurii surprinsă în momentul cînd se admiră sau se studiază privindu-se în ogînda

Se prelungește verticala  $EF'$  a reflectului dat, se determină mijlocul  $H$  al orizontalei  $FG$  dusă prin  $F$  și se trasează dreapta  $E'H$  care va împărți în două părți egale toate dreptele care unesc punctul dat  $F$  cu orice punct al verticalei  $E'G$ . Pe această dreaptă artistul va aprecia adîncimea care i se pare potrivită pentru încă-

lă se pare potrivită pentru încă-



Fig. 185. (179) Vermeer: Femeie citind (detaliu)

perea respectivă, de exemplu  $A_1I$  (fig. 183, stînga). Prelungind dreapta  $FA_1$  va vedea cu cît se scurtează (sau eventual se lungeste) reflectul dat, iar cu ajutorul a două pătrate orientate frontal  $A_1c_1a_1b_1$  și  $A_1c_1a'_1b'_1$  va determina orientarea  $A_1B_1$  a urmei oglinzii.

În dreapta figurii 183, dacă artistul ar muta punctul  $t$  pe dreapta  $FF'$  mai aproape de desenator, oglinda nu va mai fi frontală ci verticală oarecare, urma ei avînd un punct de fugă inaccesibil spre dreapta, iar dacă ar da încăperii o adîncime mai mare, depărtînd punctul  $t$ , atunci urma oglinzii, verticală oarecare, ar avea punctul ei inaccesibil de fugă spre stînga.

*Notă.* Explicațiile și construcțiile expuse mai sus pentru reflectul unei figuri se pot aplica întocmai și pentru una din muchiile verticale sau pentru axul vertical al oricărui obiect pentru obținerea, în perspectivă inversă, a unui reflect cît mai corespunzător.

**186.** — *Reflectul unui corp geometric.* Cînd avem de desenat imaginea reflectată a unui corp geometric (în care, eventual, se înscrie un volum complicat) nu este necesar să facem construcțiile arătate mai sus (185) pentru toate muchiile corpului respectiv, ci numai pentru



In aceasta figura privitorul descopera numai in oglinda elementul care poate fi un detaliu semnificativ al compozitiei, de pe colul mesei ascuns privirii lui de figura L.

lor reflectul  $L'$  al punctului dat L.

se determina ducind drepte  $Cf$  si  $Alz$  ale caror reflecte  $fC'$  si  $zA'$  ne dau la intersectia la intersectia lor reflectul  $L'$  al punctului dat L. De asemenea, reflectul  $T'T'$  al figurii  $TT'$  se gaseste ducind drepte  $lCf$  si  $lBE$  ale caror reflecte  $fC'$  si  $EB'$ , prelungite, dau trebui sa gasim cu alte constructii adincimea lor in oglinda. Astfel reflectul  $TT'$  al figurii

Cu ajutorul reflectelor punctelor date, putem determina reflectele altor puncte fara a g laturile  $DC$  si  $D'C'$ , in  $k$  laturile  $AC$  si  $A'C'$ , in  $i$  laturile  $AB$  si  $A'B'$ .

prelungite, trebuie sa se intilneasca in aceleasi puncte de pe urma  $zz'$  a oglinzii: in punctul

Daca s-a desnat exact laturile bazei date  $ABCD$  si ale reflectului gasit  $A'B'C'D'$ ,

superioare.

186 nu s-a desnat scara inaltimilor cu care s-au obtinut imaginile perspective ale bazelor vom putea desena imaginea perspectiva a reflectului  $A'B'C'D'$  a volumului dat. In figura

perspectivă în  $N$  aceleasi dimensiuni care s-au masurat în  $M$  pentru geometralul  $BA_1C_1D_1$ , Ducind în  $A'$  paralele geometrice  $A'B'_1$  si  $A'C'_1$  la  $A_1B_1$  si  $A_1C_1$  si masurand pe scara

si  $v'$  ale unghiurilor  $u$  si  $v$  obtinind în  $A_1B_1$  si  $A_1C_1$  reflectul geometralului volumului dat. paralele geometrice la geometralul volumului dat si cu arce de cerc construim reflectele  $u'$

Intr-un punct oarecare  $A_1$  al acestei ipotenuze prelungite ducem drepte  $A_1B$  si  $A_1C_1$

orientarea din spatiu a oglinzii date.

punctul  $A$ , determinam în  $EAR$  geometralul triunghiului  $EAs$  în care ipotenuza  $ER$  are

Ne este usor sa gasim în geometral orientarea oglinzii date: stim cum se afla ade-

segmentul  $aA'$  egal cu segmentul  $Aa$ .

determinat segmentul  $Aa'$  care s-a repetat în  $a'a_1$ ; dreapta de capăt  $Pa_1$  a determinat

fost determinat fiind segmentele  $Aa$  si  $aA'$  egale (dreapta de capăt  $Pa$ , prelungita, a

$Al$  pe urma  $Es$  a oglinzii date. Pe aceasta perpendiculară reflectul  $A'$  al punctului  $A$  a

lata  $so$  si dreapta de capăt  $oP$ , s-a determinat punctul  $I$  pe unde trece perpendiculara

Cu ajutorul unui patrat orientat frontal  $Alef$  si folosind diagonale  $Ae$ , cu orizon-

cum se arata în figura 186, în care s-a dat orientarea  $zz'$  a oglinzii.

lat mai sus (185 fig. 183, stînga) locul si orientarea  $zz'$  a oglinzii — fie în *perspectivă directă*,

în  $M$ . Problema se poate pune fie în *perspectivă inversă* — artistul desenează în locul

traiului  $BA_1C_1D_1$  ale cărui dimensiuni, cunoscut, au fost măsurate pe scara perspectivă

perspectivă a volumului respectiv  $ABCD$  (fig. 186) a fost definitivată cu ajutorul geome-

ceden se obține un reflect cit se poate de exact si aplicarea lui este firească dacă imaginea

a) *Reflectul unui corp geometric cu procedul construirii geometralului*. Cu acest pro-

534—544).

ului (I 294—300, fig. 322—331) fie procedul cercurilor concentrice (I, 477—487, fig.

mai ales cind nu desenam pe rețele perspective, să folosim fie procedul construirii geometra-

una din muchii sau pentru reflectul axului lui, urmind ca, pentru completarea reflectului,

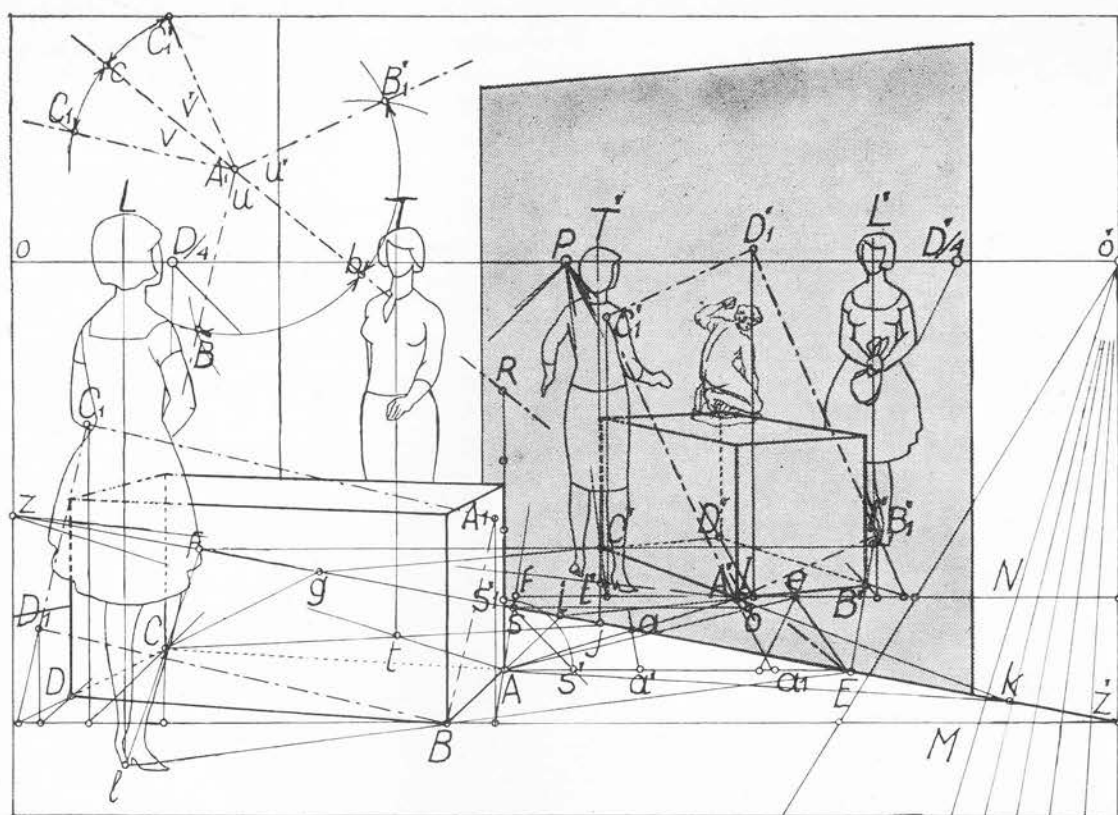


Fig. 186. (186)

**187.** — b) *Reflectul unui corp geometric cu procedeul cercurilor concentrice.* Reflectele obținute cu procedeul construirii geometralului sînt exacte dar dacă rezultatul obținut nu este satisfăcător din punct de vedere plastic, toate construcțiile trebuie refăcute în întregime dînd altă orientare volumului sau oglinzii, fără a putea fi siguri de rezultatul ce vom obține. După cum se știe (I 477) procedeul cercurilor concentrice permite ca pe același traseu, prin încercări succesive să se dea patrulaterului și reflectului lui oricîte orientări diferite pînă cînd se găsește imaginea care corespunde mai bine viziunii plastice a desenatorului.

Figura 187 presupune că desenatorul dorește ca reflectul centrului  $O$  al cercurilor concentrice, dintre care unul înscris și celălalt circumscris bazei dreptunghiulare sau pătrate a prismei date, să se oglindească în  $O'$ . Cu construcțiile cunoscute s-a determinat mijlocul  $o$  al dreptei care unește centrele date și s-a găsit urma  $zz'$  a oglinzii, perpendiculară pe această dreaptă. Măsurînd pe scara perspectivă în  $M$ , construim dreptunghiul  $OF'G'G$  în care latura  $F'G'$  are jumătate din lungimea laturii mari a dreptunghiului dat și latura  $OF'$  jumătate din lungimea laturii lui mici.  $OF'$  va fi raza cercului înscris și diagonala

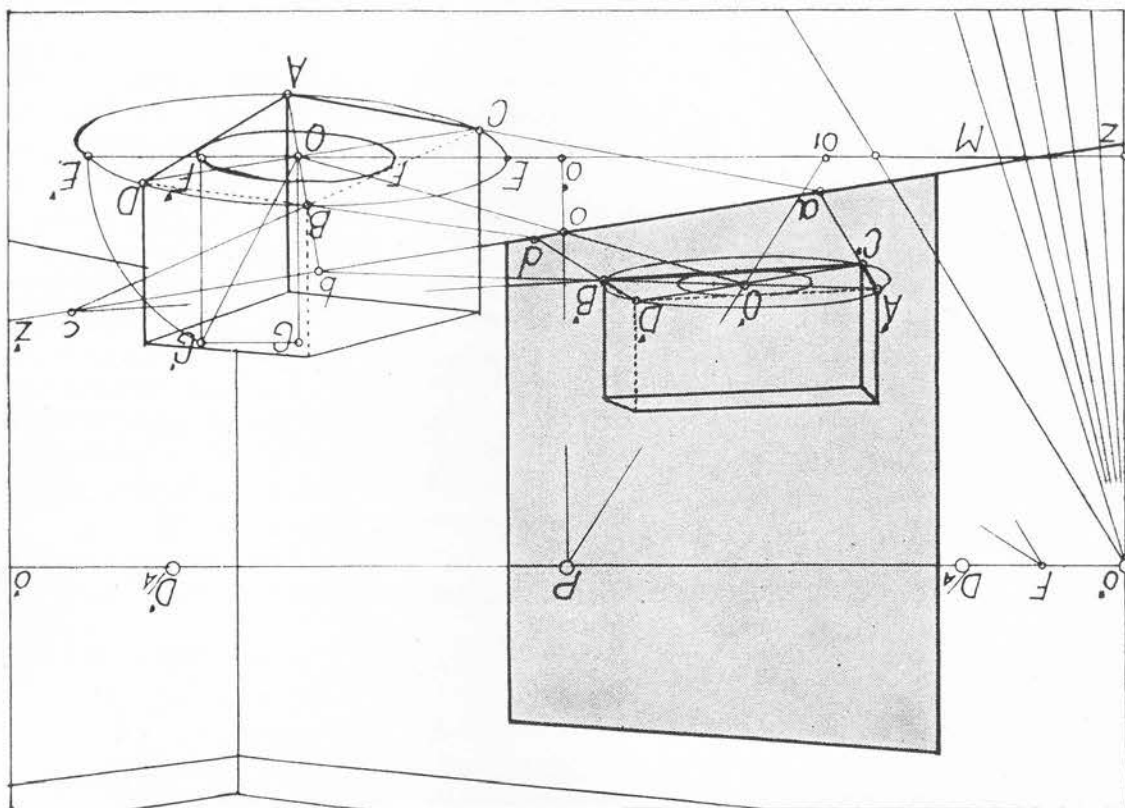


Fig. 187. (187)

Pentru a desena în continuare reflectul  $A'B'C'D'$  al acestui dreptunghi este suficient ca una din diagonale  $AB$  sau una din laturile mari  $CB$ , prelungește, să întretăie în  $b$  sau în  $c$  urma  $zz'$  a oglinzii în cadrul tabloului.

Pentru a desena în continuare reflectul  $A'B'C'D'$  al acestui dreptunghi este suficient ca una din diagonale  $AB$  sau una din laturile mari  $CB$ , prelungește, să întretăie în  $b$  sau în  $c$  urma  $zz'$  a oglinzii în cadrul tabloului.

Desenăm imaginea perspectivă a bazei volumului dînd uneia din laturile mari  $AD$  orientarea cerută de compoziție cu capetele pe cerul mare și tangenta cercului mic. Ducem prin centrul  $O$  cele două diagonale  $AOB$  și  $DOC$ . Unind punctele  $B$  și  $C$  obținem a doua latură mare a dreptunghiului care, dacă s-a desenat exact, trebuie să fie tangenta la cercul mic. Unind punctele  $B$  cu  $D$  și  $A$  cu  $C$  obținem și laturile mici ale dreptunghiului, care, dacă s-a desenat exact, trebuie să se îndrepte spre același punct de fugă înac-

cesibil.

Unind punctele  $B$  cu  $D$  și  $A$  cu  $C$  obținem și laturile mici ale dreptunghiului, care, dacă s-a desenat exact, trebuie să se îndrepte spre același punct de fugă înac-

cesibil.

Unind punctele  $B$  cu  $D$  și  $A$  cu  $C$  obținem și laturile mici ale dreptunghiului, care, dacă s-a desenat exact, trebuie să se îndrepte spre același punct de fugă înac-

cesibil.

Unind punctele  $B$  cu  $D$  și  $A$  cu  $C$  obținem și laturile mici ale dreptunghiului, care, dacă s-a desenat exact, trebuie să se îndrepte spre același punct de fugă înac-

cesibil.

Unind punctele  $B$  cu  $D$  și  $A$  cu  $C$  obținem și laturile mici ale dreptunghiului, care, dacă s-a desenat exact, trebuie să se îndrepte spre același punct de fugă înac-

cesibil.

*Cu una din diagonale.* Obținem reflectul diagonalei  $AOB$ , prelungite pînă în  $b$  unind acest punct cu reflectul  $O'$  al punctului  $O$ . Diagonala reflectată va avea capetele  $B'$  și  $A'$  pe cercul mare. Din aceste capete ducem laturile lungi  $B'C'$  și  $A'D'$  tangente la cercul mic și cu capetele  $C'$  și  $D'$  pe cercul mare. Unind capetele  $C'$  cu  $A'$  și  $B'$  cu  $D'$  obținem și laturile mici ale reflectului. Dacă s-a desenat exact, laturile bazei date  $ABCD$  și ale reflectului găsit  $A'B'C'D'$ , prelungite, trebuie să se întretaie în aceleași puncte de pe urma  $zz'$  a oglinzii: în punctul  $a$  laturile  $AC$  și  $C'A'$ , în punctul  $d$  laturile  $DB$  și  $B'D'$ , în punctul  $c$  laturile  $CB$  și  $C'B'$ .

*Cu una din laturile mari ale dreptunghiului.* Obținem reflectul laturii  $CB$  prelungite în  $c$ , ducînd din acest punct o tangentă la cercul mic, prelungită pînă la punctul ei de intersecție  $C'$  cu cercul mare. Segmentul  $B'C'$  cu capetele pe cercul mare și tangent la cercul mic este reflectul laturei date  $CB$ . În continuare, ducînd diagonalele  $B'O'A'$  și  $C'O'D'$  și unind punctele  $C'$  cu  $A'$ ,  $A'$  cu  $D'$  și  $D'$  cu  $B'$  obținem în  $A'B'C'D'$  imaginea perspectivă a reflectului dreptunghiului dat. Dacă s-a desenat exact, latura  $A'D'$  trebuie să fie tangentă cercului mic, diagonala  $A'B'$  prelungită trebuie să întretaie urma oglinzii în punctul  $b$ . De asemenea, laturile mici  $AC$  și  $DB$ , prelungite, trebuie să întretaie oglinda în aceleași puncte  $a$  și  $d$  ca și reflectele lor  $A'C'$  și  $D'B'$ , prelungite.

Cu una din laturile mici ale dreptunghiului nu se poate începe desenarea reflectului căci, acestea nefiind tangente la cercul mic, nu se poate preciza imaginea lor reflectată.

Dacă înfățișarea plastică a celor două imagini nu este satisfăcătoare, sprijinit de același traseu al celor două cercuri, artistul poate, prin încercări succesive, ajunge la un rezultat satisfăcător. Precizăm că nimic nu ne împiedică să desenăm întîi imaginea reflectată, dîndu-i orientarea dorită și să construim ulterior, în perspectivă inversă, volumul din fața oglinzii.

**188.** — *Reflectul figurilor și volumelor cuprinse în cîmpul oglinzii dar nu și în cîmpul vizual al desenatorului.*

Într-o oglindă verticală oarecare  $EFGH$  (fig. 188) în care s-a reprezentat în  $Es_1i'r_1'G$  imaginea reflectului planului obiectelor, cuprins în cadrul tabloului, reflectele situate în adîncul oglinzii mai departe de această imagine pot fi ori ale unor figuri sau volume care nu intră în întregime în cadrul tabloului (atunci cînd cîmpul oglinzii cuprinde, ca în figura 190, marginea inferioară a tabloului) ori ale unor figuri sau volume care nu intră în cîmpul vizual al desenatorului (atunci cînd cîmpul oglinzii, ca în figura 188, mărginit de linia  $Es$  nu cuprinde de loc sau prea puțin marginea inferioară a tabloului).

Reflectele figurilor care nu intră în întregime în cadrul tabloului sînt studiate în paragraful următor. Problema reflectelor figurilor sau volumelor care nu intră în cîmpul vizual al desenatorului se poate clarifica într-o oarecare măsură prin procedee curențe. Dar pentru ca artistul să poată avea o imagine completă a poziției relative a figurilor față de celelalte figuri din compoziție, față de punctul său de vedere și față de locul sau încăperea în care se petrece acțiunea, este necesară o restituire perspectivă.

*Cu procedee obișnuite.* În figura 188 — care a fost desenată pe rețeaua perspectivă care face cu planul neutru unghiurile de  $37^\circ,30$  (spre dreapta) și de  $52^\circ,30$  (spre stînga) și în care s-a precizat în  $Es_1i'r_1'G$  reflectul planului obiectelor cuprins în cadrul tabloului,





Dar pentru a ști dacă desenatorul este sau nu cuprins în interiorul încăperii astfel micșorată, pentru a avea o imagine clară a poziției relative a figurii reflectate cu celelalte figuri din compoziție și cu punctul de vedere, este necesară, cum s-a spus mai sus, o restituire perspectivă.

**189.** — *Cu restituire perspectivă* (fig. 189). Pentru întocmirea restituirii perspective este necesar să cunoaștem coordonatele (adâncimea și abscisa) elementelor din compoziția respectivă. Precizarea lor se face, prin procedee cunoscute de perspectiva inversă, în imaginea perspectivă.

În *imaginea perspectivă* (fig. 188) cu ajutorul punctului de distanță  $D/4$  determinăm, în perspectiva inversă, pe orizontala dusă prin punctul de reper  $O/4$ , adâncimile diferitelor elemente din compoziție, precizate prin orizontale pe dreapta de capăt  $tO/4P$  și care se vor măsura, pe scara perspectivă în  $L'$ . Abscisele acestor elemente față de dreapta de capăt  $tO/4P$  se vor măsura pe scara perspectivă pe orizontala respectivă a fiecărui element. Cunoșcând aceste coordonate, elementele compoziției vor putea fi desenate la scară în restituirea perspectivă (fig. 189).

Astfel segmentul  $O/4po$ , determinat prin prelungirea dreptei  $D/4p$ , măsurat pe scara perspectivă în  $L'$  ne arată că punctul  $p$  de pe urma  $zz'$  a oglinzii date se află, față de punctul  $O/4$  la o adâncime de  $0,375 \times 4 = 1,50$  m.

Segmentul  $O/4ko$ , determinat prin prelungirea dreptei  $D/4kv$  măsurat tot în  $L'$  ne dă adâncimea de  $1,20 \times 4 = 4,80$  m a planului frontal în care se află reflectul  $k'$  al scaunului.

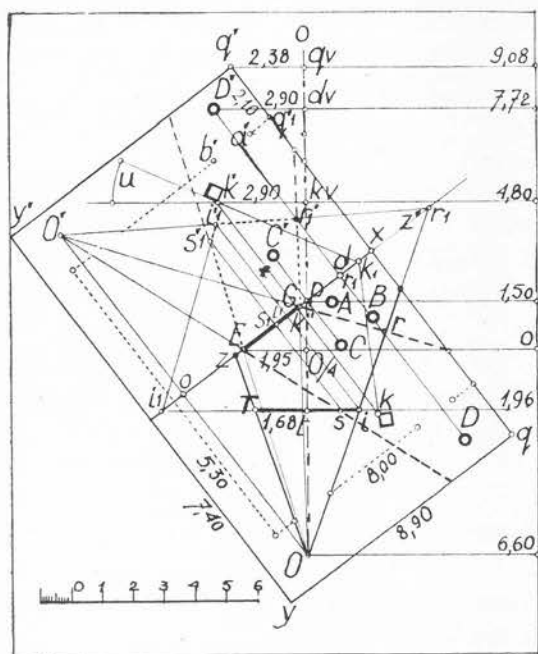
Segmentele  $O/4do$  și  $O/4qo$  ne dau adâncimea de  $1,93 \times 4 = 7,72$  m și de  $2,27 \times 4 = 9,08$  m la care se află, față de punctul  $O/4$  planele frontale ale reflectului  $D'd'$  al figurii și reflectul  $Q'q'$  al colțului încăperii.

Segmentul  $tt'$ , determinat prin prelungirea dreptei  $D/4O/4$  măsurat în  $L$ , ne dă adâncimea spre desenator a marginii inferioare  $Tti$  a tabloului, față de punctul  $O/4$  de  $0,49 \times 4 = 1,96$  m.

Planul oglinzii trece chiar prin punctul  $p$  dar abscisele  $k'kv$ ,  $d'dv$ , și  $q'qv$  ale reflectelor scaunului, a figurii și a colțului încăperii, măsurate în  $L_2$ ,  $L_3$  și  $L_4$  au succesiv, 2,90 m 2,90 m și 2,38 m. Iar marginea inferioară a tabloului  $Tti$ , măsurată în  $L$  are cite 1,68 m la stînga și la dreapta punctului  $t$ .

Orientarea planului  $zz'$  al oglinzii ne este cunoscută ( $37^\circ$ ,  $30'$ ) pentru că lucrarea a fost desenate pe rețea. Dacă nu

Fig. 189. (189, 190)



ne-ar fi cunoscută, se știe cum, cu ajutorul pătratului orientat frontal, necesar pentru determinarea perpendiculararei pe urma oglinzii, se poate determina și orientarea oglinzii (178, fig. 178 și 179). Abscisele  $O/4E$  de 1,95 m și  $O/4g$  de 0,20 m ale capetelor  $E$  și  $G$  ale oglinzii s-au măsurat în  $L'$ .

*Restituirea perspectivei* (fig. 189). La o scară obișnuită, de exemplu de 5 mm pentru un metru, pe proiecția orizontală a razei vizuale principale  $Oo$ , determinăm, ca punct de reper al adâncimilor diferitelor elemente ale compoziției, punctul  $O/4$  fiind segmentul  $OO/4$  egal cu cvaadruplul cotei punctului de vedere (1 428, fig. 481) adică egal cu  $1,65 \times 4 = 6,60$  m.

În continuare, pe dreapta de capăt  $Oo$  vom determina, față de punctul  $O/4$  adâncimile planelor diferitelor elemente, precizate în imaginea perspectivă, iar pe urma acestor plane vom măsura, față de dreapta  $Oo$ , abscisele lor respective.

*Oglinda, locul, orientarea și cimpul ei*. Dînd segmentului  $O/4p$  lungimea, determinată în imaginea perspectivă de 1,50 m, determinăm punctul  $p$  pe unde trece urma  $zz'$  a planului oglinzii și căreia îi dăm orientarea cunoscută de  $37^{\circ}30'$ . Ca verificare, punctul de întretaîiere  $E$  al acestei urme cu frontala dusă prin punctul  $O/4$  trebuie să se găsească, precum s-a măsurat în imaginea perspectivă, la 1,95 m de acest punct. Capătului  $G$  al oglinzii îi dăm abscisa cunoscută de 0,20 m.

Luînd pe perpendiculara dusă din punctul de vedere  $O$ , pe urma  $zz'$  a oglinzii segmentul  $O'o$  egal cu segmentul  $Oo$  obținem în  $O'$  reflectul punctului de vedere, iar razele  $O'E$  și  $O'G$ , prelungite, determină marginile cimpului oglinzii, reprezentate prin linii înterupte în figura 189. Reflectul în oglindă al marginilor acestui cîmp e dat de prelungirea razelor  $OE$  și  $OG$ , figurate prin linii punctate.

*Scaunul*. Reflectul scaunului se obține luînd segmentul  $O/4kv$  de 4,80 m și abscisa  $kv'$  de 2,90 m. Orientarea  $u$  și dimensiunile scaunului de  $0,40 \times 0,40$  m ne sînt cunoscute din geometralul cu care a fost desenată imaginea lui perspectivă. Luînd, pe perpendiculara dusă pe urma oglinzii, segmentul  $k''k'$  egal cu segmentul  $k''k'$  obținem locul ocupat în încăpere de acest scaun care nu intră în cîmpul vizual al desenatorului. Orientarea lui se obține cu ajutorul punctului  $k_1$  de pe urma oglinzii, așa cum se arată în figura 189.

*Figura*. Pe adîncimea  $O/4dv$  de 7,72 m și pe abscisa  $dvD'$  de 2,90 m obținem reflectul  $D'$  al figurii reprezentate în perspectivă. Pe perpendiculara  $D'd$  dusă pe urma oglinzii  $zz'$  obținem în  $D$  locul ocupat în încăpere de această figură, luînd egale segmentele  $Dd$  și  $dD'$ .

*Încăperea*. Pe adîncimea  $O/4qv$  de 9,08 m și pe abscisa  $qvq'$  de 2,38 m obținem reflectul  $q'$  al colfului mai depărtat al încăperii. Perpendiculara  $q'x$  dusă pe urma  $zz'$  a oglinzii reprezintă reflectul urmei unuia din pereții încăperii. Luînd segmentul  $qx$  egal cu segmentul  $xq'$ , ne este ușor prin perpendicularare și paralele să desenăm planul complet al încăperii, dîndu-i lărgimea necesară pentru ca să cuprindă și pe desenatorul așezat în punctul  $O$ . Rezultă că imaginea perspectivă presupune o încăpere care, măsurată la scara restituirii, are  $8,90 \times 7,40$  m.

*Tabloul și cîmpul vizual al desenatorului*. Segmentul  $O/4t$  de 1,96 m luat spre punctul de vedere, și abscisa de 1,68 m luată de ambele părți ale punctului  $t$  ne dau marginea inferioară  $Tt$  a tabloului. Razele  $OT$  și  $Ol$ , prelungite, determină intersecțiile cîmpului vizual al desenatorului cu planul obiectelor.

Alte elemente ale compoziției, cum ar fi locurile ocupate de figurile  $A$  și  $B$ , care nu se reflectă în oglindă, sau de figura  $C$  și de reflectul ei  $C'$  s-au determinat pe aceeași cale, cu construcții care au fost șterse cu guma pentru a nu încărea prea mult figura. Pe perpendiculare duse pe urma oglinzii  $zz'$ , luând, segmentele  $s_1s'_1$ ,  $i_1i'_1$  și  $r_1r'_1$  egale cu segmentele  $ss_1$ ,  $ii'$  și  $rr_1$  obținem reflectul  $Es_1i'_1r'_1G$  al cîmpului oglinzii  $EsirG$  cuprins în cadrul tabloului.

În această restituire perspectivă artistul ia cunoștință, față de punctul său de vedere, de poziția relativă a tuturor volumelor și figurilor din compoziție, indiferent dacă sînt cuprinse numai în cîmpul său vizual sau numai în cîmpul oglinzii. În planul obținut, el poate să studieze toate îmbunătățirile care ar putea asigura o cit mai expresivă și veridică închegare a acțiunii. Spre exemplu, dacă dimensiunile încăperii sînt prea mari, poate găsi cu ușurință soluția micșorării lor printr-un perete în care două uși simetrice permit să nu se schimbe nici punctul de vedere și nici figura mai depărtată. În această ipoteză urmează să precizeze cu cit trebuie micșorată spre stînga sau mărită spre dreapta oglinda pentru ca să fie în axul peretelui încăperii micșorate, etc.

Diferitele modificări aduse în plan urmează a fi trecute în imaginea perspectivă fie determinînd, în perspectivă directă, noile coordonate fie cu ajutorul punctelor de resecție, așa cum s-a arătat mai sus, pentru micșorarea reflectului încăperii.

**190.** — *Reflectul figurilor care nu intră în întregime în cadrul tabloului.* În figurile 188—189 nu se poate pune problema reflectelor figurilor care nu intră în întregime în cadrul tabloului deoarece aceste figuri nu ar fi cuprinse în cîmpul oglinzii, mărginit de linia  $Es$ .

Dar cînd cîmpul oglinzii cuprinde în întregime (fig. 190—191) sau măcar parțial marginea inferioară a tabloului, atunci toate sau măcar unele din figuri, care nu intră în întregime în cadrul tabloului, cum sînt figurile  $C$  și  $B$  se vor reflecta în oglinda verticală oarecare în  $C'$  și  $B'$ .

După cum se știe, problemele referitoare la figurile care nu intră în întregime în cadrul tabloului se rezolvă, în perspectivă inversă, prin aplicarea grafică a legii descreșterii perspective, urmărind ca imaginea lor în tablou să fie obținută tot prin aplicarea grafică a aceleiași legi.

Vom lua un exemplu (fig. 190).

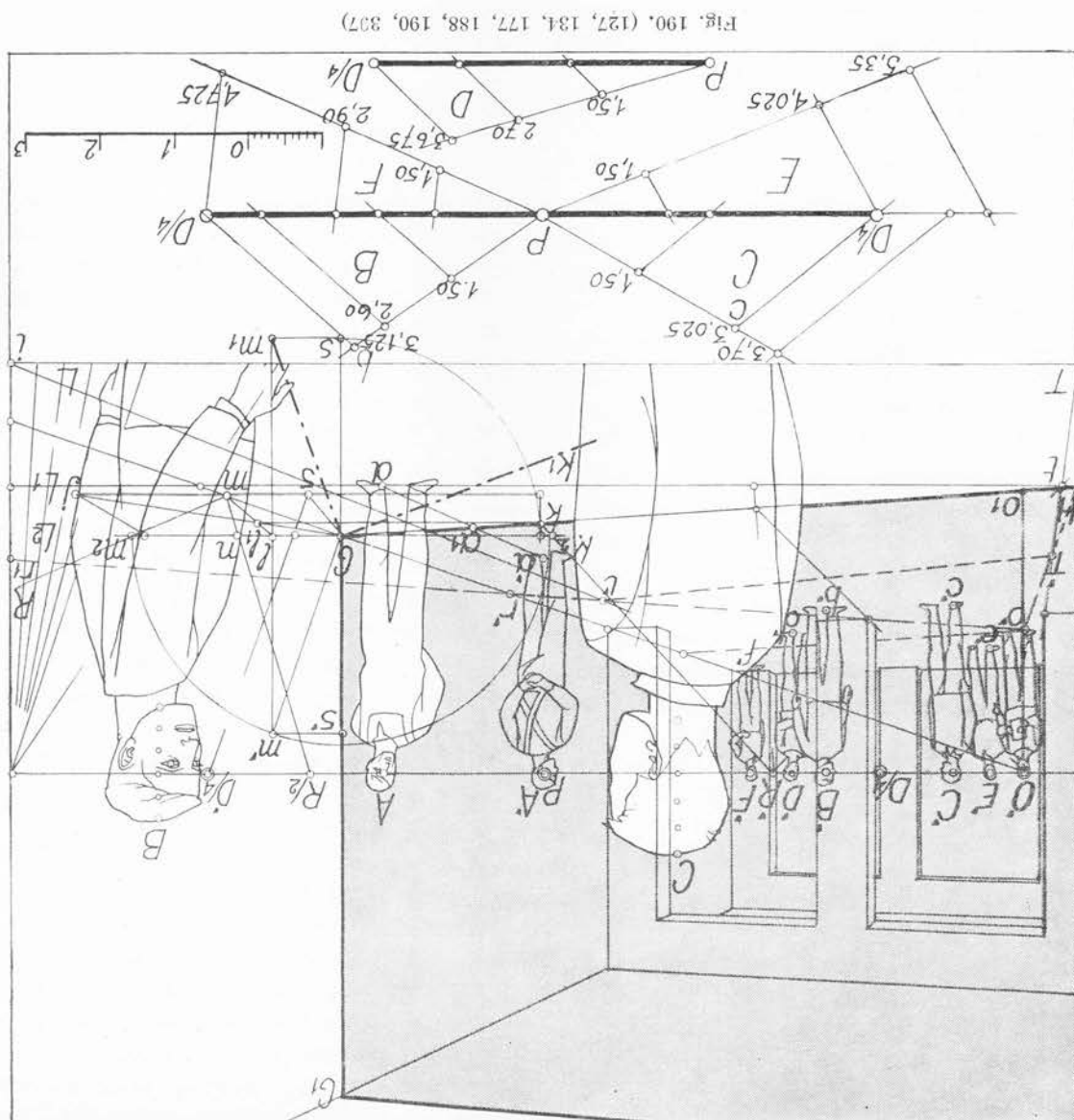
Artistul, după ce a precizat elementele perspective ale tabloului, reprezintă în locul dorit una din marginile verticale  $GG_1$  ale oglinzii și cu ajutorul a două pătrate orientate frontal desenează unghiul drept pe care îl face urma  $kG$  a oglinzii cu perpendiculara  $mG$ , indiferent dacă desenează mai întii urma și construiește apoi perpendiculara sau invers.

Cu aceleași pătrate determină punctele de resecție  $R'$  și  $R/2$  (căci  $R$  nu este accesibil) fie cu aproximație (I 398—399 fig. 443—445), fie cu procedeul exact arătat în figura 190.

Laturile  $Gk$  și  $Gm$  ale unghiului drept sînt egale între ele și, pentru a avea adevărata lor mărime, construim geometralul  $Glm's'$  al dreptunghiului  $Glms$  luînd latura  $Gs'$  egală cu latura frontală a pătratelor. Diagonala  $Gm'$  a acestui dreptunghi este adevărata mărime a laturilor  $Gk$  și  $Gm$ , și pe care cu un arc de cerc o desenăm în  $Gk_2$  și  $Gm_2$ . Dreapta  $kk_2$ , prelungită va determina punctul  $R'$  de resecție al dreptelor care fug spre dreapta, iar dreapta



$mm^2$ , prelungită, va determina punctul inaccesibil  $R$  al dreptelor care fug spre stînga. În locul acestui punct inaccesibil, determinăm punctul de resecție măsoară la jumătate  $R/2$  prelungind dreapta  $mn$  care tale în două părți egale dreapta  $Gm^2$ . Tot cu aceleași pătrate determinăm (luind  $lm_1$  egal cu  $lm$ ) și orientarea  $Gm_1$  și  $Gk_1$  pe care o au în spațiu urma oglinzii reprezentată în tablou și perpendiculară pe aceasta.



În această restituire locurile ocupate de figurile  $B$  și  $C$  care nu intră în întregime în cadrul tabloului se determină luând pe raza vizuală principală  $Oo$  adâncimile  $Ob'$  și  $Oc'$  respectiv de 3,00 m și de 2,48 m și abscisele  $bB'$  (spre dreapta) și  $c'C$  (spre stînga) respectiv de 0,875 m și de 0,25 m.

## 06LINZITE INCLINATE

- b) *Oglinzi frontale ascendente*, adică înclinate în sus spre adâncul spațiului, cu o linie de fugă situată deasupra liniei orizontului (201, fig. 200).
- 3) *Oglinzi oarecare înclinate* și anume:
- a) *Oglinzi oarecare descendente*, adică înclinate în jos, spre adâncul spațiului (202) și orientate spre dreapta desenatorului (fig. 202) sau spre stînga lui.
- b) *Oglinzi oarecare ascendente*, adică înclinate în sus, spre adâncul spațiului (210) și orientate spre dreapta desenatorului (fig. 201) sau spre stînga lui (fig. 204).

După cum vom vedea mai departe, în oglinzile de capăt înclinate, imaginea perspectivă ne arată adevărata mărime a unghiului înclinării oglinzii, iar perpendicularele pe planul oglinzii, precum și imaginile reflectelor orizontalelor și ale verticalelor din spațiu sînt frontale și deci paralele geometrice între ele și fără descreșteri perspective.

Dimpotrivă, în oglinzile frontale sau oarecare înclinate va trebui, în perspectivă directă, să construim imaginea perspectivă a unghiului înclinării date sau, în perspectivă inversă, să determinăm adevărata mărime a acestui unghi, iar celelalte elemente nemaifiind frontale și fără descreșteri perspective va trebui să determinăm punctele de fugă și de egală resecție ale perpendicularelor pe oglindă, ale orizontalelor și verticalelor din spațiu pentru a le putea desena și măsura în adâncul oglinzii sau să cunoaștem procedee practice cînd aceste puncte vor fi inaccesibile.

### Oglinzile înclinate de capăt

**192.** — Oglinzile înclinate de capăt, după cum s-a spus, pot fi înclinate în jos, spre planul obiectelor, fie spre dreapta (fig. 194 I și fig. 195 V), fie spre stînga (fig. 175, 193 și 195 IV) precum și înclinate în sus, spre dreapta (fig. 192, 195 VI) sau spre stînga (fig. 194 II și 195 VII).

În toate cazurile — ca și pentru oglinzile de capăt verticale — nu se va putea folosi decît procedeul întîi (130) urmînd ca în aplicarea aceluiași construcții grafice să se țină seama de felul înclinării și a orientării oglinzii date.

*Reflectul unui punct din planul obiectelor.* În figura 193 fie oglinda de capăt  $ABCD$  înclinată spre planul obiectelor și spre stînga: marginile de capăt  $AC$  și  $BD$  se îndreaptă spre punctul principal  $P$  iar laturile înclinate  $AB$  și  $CD$ , fiind frontale, au marginile lor paralele geometrice, iar unghiul  $u$  pe care îl fac cu verticala este reprezentat în adevărata lui mărime.

Pentru a desena, folosind procedeul întîi (130) imaginea perspectivă a unui punct  $e$  cuprins în planul obiectelor, vom duce o perpendiculară  $ee_1$  pe planul oglinzii care va fi perpendiculară pe marginile laterale ale oglinzii și va face cu frontala  $ee''$  un unghi  $e_1ee''$  egal cu unghiul  $u$ . Punctul  $e_1$  în care această perpendiculară străpunge oglinda se găsește la intersecția acesteia cu dreapta cuprinsă în planul oglinzii, care, plecînd din  $e''$  (punct în care orizontala frontală  $ee''$  întretaie urma oglinzii) este paralelă cu marginile laterale ale oglinzii. Pe această perpendiculară urmează să luăm în adîncimea oglinzii segmentul  $e_1e'$  egal cu segmentul  $ee_1$  pentru a obține în  $e'$  reflectul punctului dat  $e$ . Construcția se poate simplifica așa cum se arată în nota de la finele aliniatului ce urmează.



De altfel cind intersecțiile nu sînt în unghi prea ascuțit pentru a da rezultate inexacte, reflectul  $e'$  al unui punct  $e$  de pe planul obiectelor se poate determina fără nici o măsurătoare în adîncimea oglinzii. El se găsește în punctul de intersecție al dreptei  $e''e'$ , dusă paralela laturii unghiului  $u'$  (adică reflectul  $e''e'$  al orizontalei  $ee''$ ) cu dreapta  $ee'$ , paralela

geometric la latura unghiului  $u'$  — un segment  $e''e'$  egal cu segmentul  $ee''$ .  
La urma oglinzii și luînd pe reflectul  $e''e'$  al acestei orizontale — reflect care se duce paralel punct dat  $e$  pe planul obiectelor se poate determina ducînd o frontală orizontală  $ee''$  pînă

fără a mai desena latura  $e''e_1$  (paralela cu marginile înclinate ale oglinzii) reflectul unui

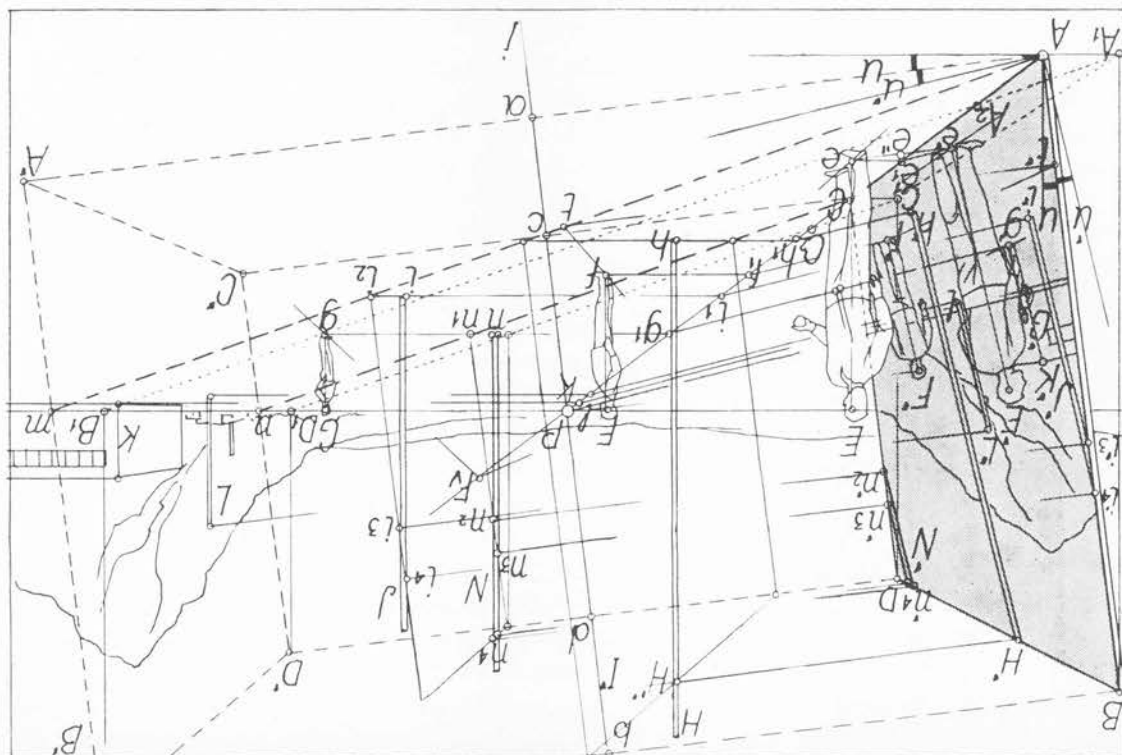
*Notă.* Această figură ne arată că triunghiurile  $ee_1e''$  și  $e''e_1e'$  sînt egale. Prin urmare,

tale din tablou; reflecte ce vor fi paralele geometrice laturii unghiului  $u'$ .

pentru a obține înclinarea pe care o au reflectele în oglinzi ale tuturor orizontalelor fronducînd o perpendiculară pe frontală înclînă  $AB$  precum și unghiul  $u'$  egal cu unghiul  $u$  pentru ușurarea construcțiilor este bine ca de la început să desenăm în punctul  $A$  unghiul  $u$  de două ori mai mare decît perpendiculara  $ee_1$  pe planul oglinzii. Aceasta înseamnă că,  $e''e'$  a reflectului unei orizontale  $ee''$  face cu frontală orizontală  $ee''$  prelungită un unghi este suficient să unim punctul  $e'$  cu reflectul  $e''$  al punctului  $e$ . Figura ne arată că imaginea

*Reflectul orizontalelor frontale.* Pentru a obține reflectul  $e''e'$  al orizontalei frontale  $ee''$

Fig. 192, (191, 192, 193)



laturii unghiului  $u$  (adică perpendiculară pe planul oglinzii date). Acest procedeu va fi foarte folositor în cazul oglinzilor înclinate frontale sau oarecare, în care măsurătorile în adâncul spațiului pe drepte înclinate sînt anevoioase.

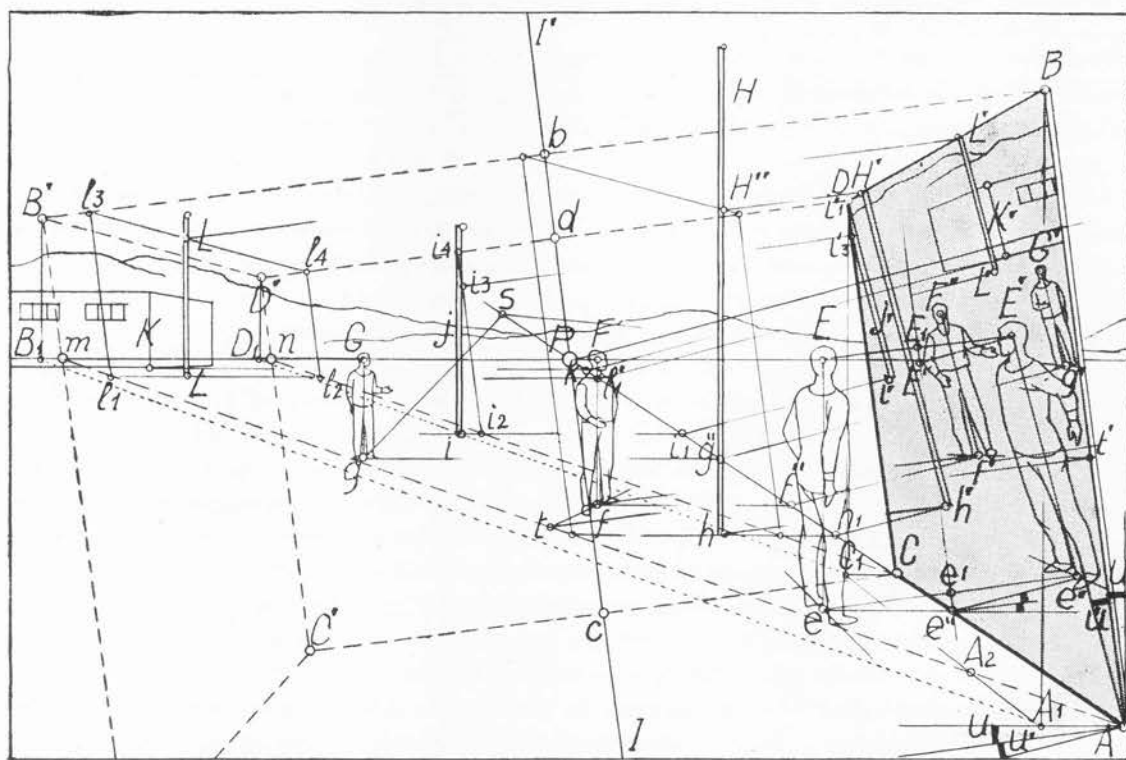
*Reflectul verticalelor.* Pentru a obține reflectul  $E'e'$  al unei verticale  $Ee$ , vom căuta și reflectul  $E'$  al punctului  $E$ , procedînd ca pentru punctul  $e$ : fie luînd pe perpendiculara  $EE_1$  dusă pe planul oglinzii un segment  $E_1E'$  egal cu segmentul  $EE_1$ , fie luînd pe reflectul  $E''E'$  al orizontalei frontale  $EE''$  segmentul  $E''E'$  egal cu segmentul  $EE''$ .

Reflectul verticalei  $eE$  va fi deci dreapta  $e'E'$ .

Figura ne arată că acest reflect face cu verticala un unghi de două ori mai mare decît marginea înclinată a oglinzii. Aceasta înseamnă că, pentru ușurarea construcțiilor, este bine ca de la început să desenăm în punctul  $A$  unghiul  $u'$  egal cu unghiul  $u$  pe care îl face marginea înclinată a oglinzii cu verticala, pentru a obține înclinarea pe care o au reflectele în oglindă ale tuturor verticalelor din tablou: aceste reflecte vor fi paralele geometrice cu latura unghiului  $u'$ .

Prin urmare, cînd cunoaștem piciorul  $e$ , pe planul obiectelor, al unei verticale  $Ee$ , reflectul acesteia se obține ducînd prin reflectul  $e'$  al punctului  $e$  o paralelă geometrică

Fig. 193 (191, 192, 193, 196)



$A_2C_1D_{1m}$  (în figura 193) se reflectă în oglindă dată și anume pe toată înălțimea cuprinsă

a) Toate figurile și elementele situate în patrulaterul  $A_2CnBI$  (în figura 192) sau

Pe acest traseu vom constata că:

oglinzii.

și în  $B_1$  și  $D_1$ , pe linia orizontului marginea superioară  $B'D'$  a bazei la înfinit a cîmpului a trunchiului piramidei, care se obține proiectînd în  $A_1C_1$  marginea superioară  $BD$  a oglinzii (cu linii punctate) și cu proiecția  $A_1C_1B_1D_1$ , pe planul obiectelor, a feței superioare  $BDB'D'$  cîmpului oglinzii. Dar pentru aceste oglinzi de capăt înclinate, traseul trebuie completat înălțimea de marginele înclinate  $A'B'$  și  $C'D'$  ale bazei la înfinit a trunchiului piramidei punctele  $A$  și  $C$  ale urmei oglinzii date cu punctele  $m$  și  $n$  în care linia orizontului e

Secțiunea cîmpului oglinzii cu planul obiectelor se determină, cum știm (173), unind

(fig. 173).

cîp, paralel cu planul oglinzii date, înlocuim ca în cazul oglinzii de capăt verticale vor fi simetrice cu punctele  $A, B, C$  și  $D$  față de linia de fugă  $ii'$  a planului vizual prin-muchii înclinate  $AB$  și  $CD$  ale oglinzii date iar punctele lor de fugă  $A', B', C'$  și  $D'$   $AA', BB', CC'$  și  $DD'$  ale trunchiului de piramidă vor fi perpendiculare geometrice pe

În toate aceste cazuri (fig. 192 și 193) imaginile perspective ale muchiilor laterale capăt înclinate în sus și spre stînga (fig. 195, VII și fig. 194 dreapta). dreapta (fig. 195, VI și fig. 192) și înclinate în sus și spre stînga în cazul oglinzii de stînga); înclinate în sus și spre dreapta în cazul oglinzii de capăt înclinate în sus și spre dreapta în cazul oglinzii de capăt înclinate în jos și spre dreapta (fig. 195, V și fig. 194 de capăt înclinate în jos și spre stînga (fig. 195, IV, fig. 175 și 193); înclinate în jos și capăt verticale (fig. 195 III și III') și este înclinate în jos și spre stînga în cazul oglinzii cală în cazul oglinzilor orizontale (fig. 195 I și II); este orizontala în cazul oglinzilor adică reflectul punctului de vedere cu însuși punctul de vedere  $O$ . Același rază este verti-între ele (144) și anume paralele cu raza vizuală care unește punctul  $O'$  de convergență, acestei piramide, avînd punctul lor de convergență  $O'$  în planul neutru, vor fi paralele figura 195 care reprezintă planul neutru. Imaginile perspective ale muchiilor laterale ale cazul oglinzii orizontale sau de capăt verticale cum se știe (143) și cum se vede și în virful piramidei cîmpului oglinzii — nu se poate situa decît în planul neutru, ca și în

193. —

Într-o oglindă de capăt înclinate, reflectul  $O'$  al punctului de vedere  $O$  —

### Cîmpul oglinzii

la latura unghiului  $u'$  iar capătul ei superior  $E'$  se determină cu o perpendiculară  $EE'$  dusă pe marginele înclinate ale oglinzii.

În practică nu este necesară și perpendiculara  $EE'$  căci este suficient ca, cu compasul, cu banda de hîrtie etc. să se măsoare reflectul  $e'E'$  egal cu verticala dată  $eE$ . În felul acesta, în figura 193 s-au precizat înălțimile  $f'F'$  și  $g'G'$  ale reflectelor figurilor  $Ff$  și  $Gg$  după ce s-au determinat, cum s-a arătat mai sus — prin orizontalele frontale  $ff''$  și  $gg''$  și prin reflectele lor egale  $f''f'$  și  $g''g'$  — reflectele  $f'$  și  $g'$  ale punctelor  $f$  și  $g$ .

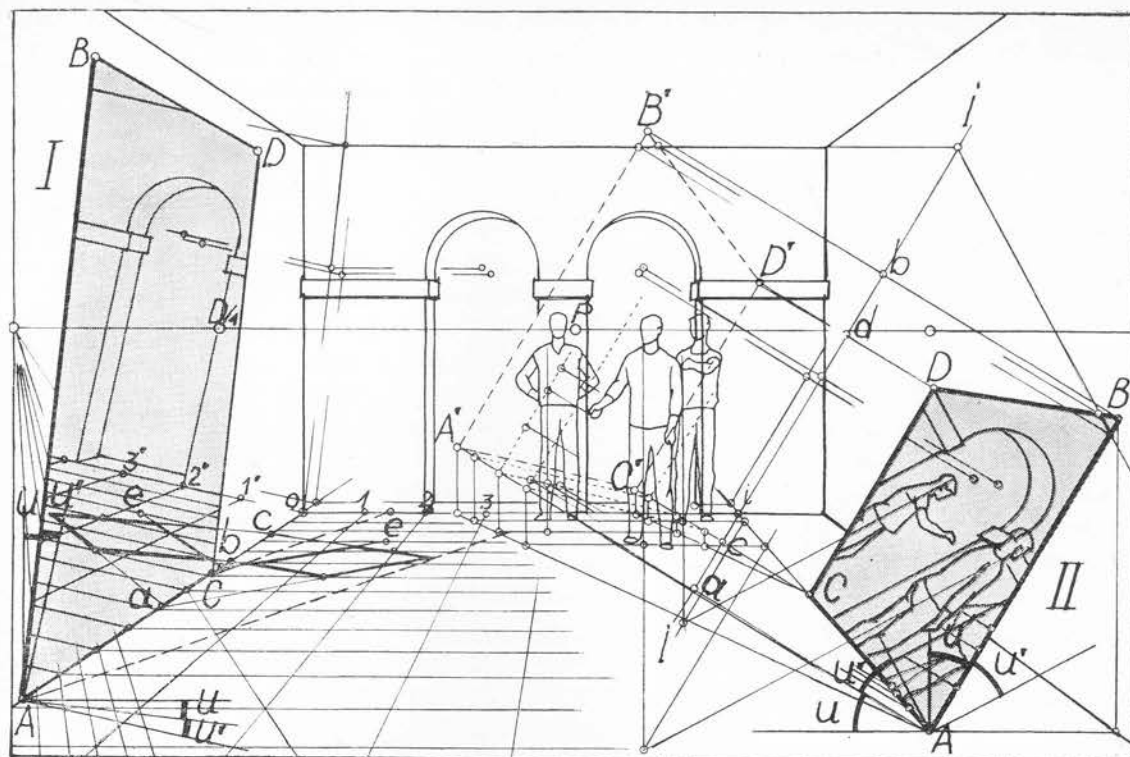


Fig. 194. (191, 192, 193)

între planul obiectelor și fața superioară a cîmpului oglinzii. Astfel în figurile 192 și 193 cele trei figuri  $E, F$  și  $G$  se reflectă în  $E', F'$  și  $G'$  (s-au luat, în fig. 192, segmente egale pe orizontalele  $ee_1, ff_1$  și  $gg_1$  și pe reflectele  $e_1e', f_1f'$  și  $g_1g$ , ale acestor orizontale) iar stîlpul  $H$  se reflectă în  $h'H'$  pe înălțimea  $hH''$  cuprinsă în interiorul trunchiului piramidei cîmpului oglinzii.

b) Toate figurile și elementele situate pe patrulaterul  $AA_2B_1m$  (în figura 192) sau  $C_1CnD_1$  (în figura 193) se reflectă în oglinda dată dar numai partea lor inferioară în măsura în care nu sînt retezate de fața laterală înclinată  $ABmB'$  (în figura 192) sau  $CDnD'$  (în figura 193). Astfel în figura 192 din stîlpul  $J$  se reflectă în oglindă numai partea lui inferioară  $i'i'_3i'_4$ , partea lui superioară fiind secționată în  $i_3i_4$  de planul lateral înclinat al cîmpului oglinzii. De asemenea în figura 193 reflectul stîlpului  $J$  se prezintă în aceleași condiții.

c) Toate figurile și elementele situate în patrulaterul  $CC_2nD_1$  (în figura 192) sau  $A_1A_2mBl$  (în figura 193) se reflectă în oglinda dată dar numai partea lor superioară în măsura în care aceasta pătrunde în fața laterală înclinată a trunchiului piramidei cîmpului oglinzii. Astfel în figura 192 din stîlpul  $N$  nu se reflectă în  $n'_2n'_3n_4$  decît segmentul  $n_2n_3n_4$  care pătrunde în fața laterală înclinată a cîmpului oglinzii.



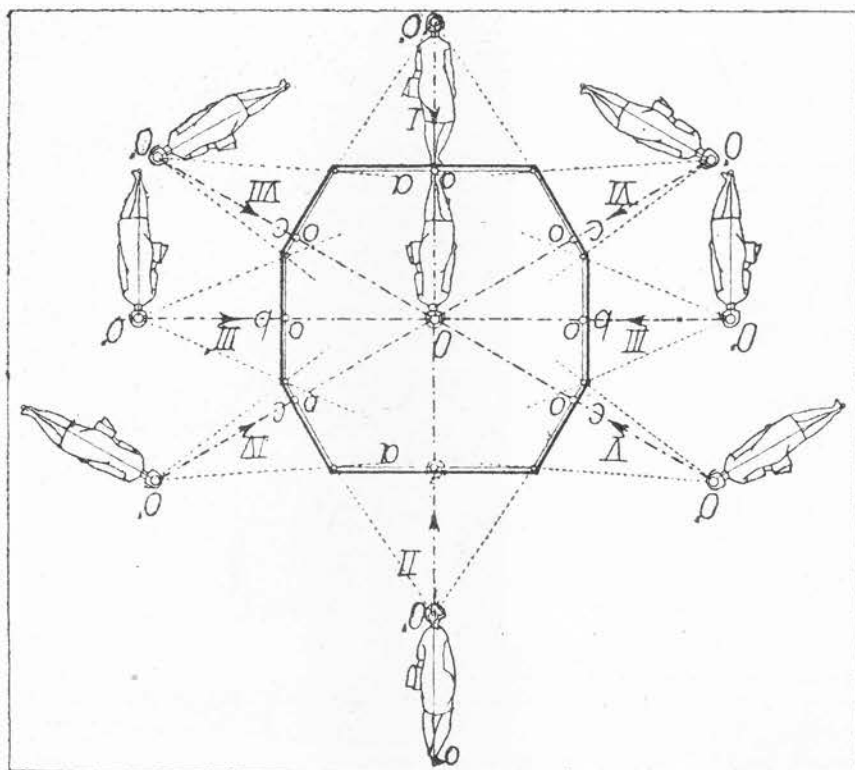


Fig. 195. (192, 193)

care este atit de aplecată încit nu se mai reflectă și planul obiectelor.

In figura 194 se vede cum, secționind prin plane frontale trunchiul piramidei cimpului oglinzii se pot determina părțile care se vor reflecta din figurile date, într-o oglinză al încăperii date.

(prelungită anume pînă la planul obiectelor în figura 175) intrate urma peretelui frontal marginile înclinate ale oglinzii date care să treacă prin punctul  $i$  în care urma oglinzii  $AC$  de capăt înclinate se determină luind ca ax de simetrie  $II'$  o dreaptă paralelă geometric cu In spațiul limitat al unei încăperi orientate frontal (fig. 175 și fig. 194) cimpul oglinzii umerilor figurii date.

$g'$  al figurii  $G$  s-a folosit în fig. 192, ca în figura 173 punctul de fugă  $F_p$  al planului căutăm, ca în figura 173 reflectul  $x'$  al punctului de fugă  $x$ . Pentru orientarea reflectului lăra pe oglinză — în punctul  $l'$ . Orientarea reflectului va fi  $l'$  nemăștiind nevoie să intrate marginea  $Am$  a cimpului oglinzii în punctul  $l$  care se reflectă — pe o perpendicu- căror urme  $eP$  și  $e'P$  se îndreaptă spre punctul principal. Urma planului umerilor figurii  $F$  se prezintă de capăt și în spațiu și în reflect, umerii lor aflându-se în plane de capăt ale ca în cazul oglinzii de capăt verticale (174 fig. 173). In figurile 192 și 193 figurile  $E$  Pentru determinarea orientării corespunzătoare a reflectelor figurilor se procedează

Pentru reflectul volumelor orientate pe unghi se poate folosi reflectul unei rețele de pătrate orientate frontal (fig. 194 stînga). Aceasta se desenează luînd segmentele  $o-1'-2'-3'$  etc. egale cu segmentele  $o-1-2-3-$  etc. Reperînd în adîncimea oglinzii punctul unde laturile prelungite ale bazei volumului orientat pe unghi întretaie laturile frontale ale rețelei (cum e de exemplu punctul  $e$ ) și folosind în același timp și punctele  $a, b, c$  etc. în care aceleași laturi întretaie urma oglinzii, se poate desena reflectul întregii baze cu multă precizie.

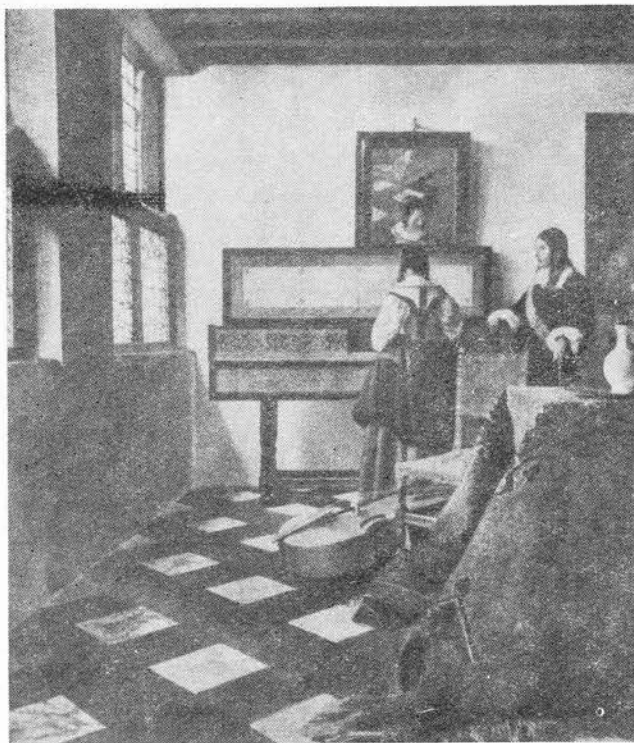
## Oglinzile înclinate frontale

### Oglinzile frontale descendente spre adîncul spațiului

#### Unghiul înclinării oglinzii

**194.** — a) *În perspectivă directă* (fig. 198). Fie  $u$  adevărata mărime a unghiului de circa  $10^\circ$  a înclinării oglinzii frontale descendente, spre adîncul spațiului, desenată în colțul  $B$

Fig. 196. (127, 132, 191) Vermeer: Nobil și doamnă la clavecin



al oglinzii date, a cărei înălțime dată  $BA'$  de 3,70 m a fost măsurată pe scara perspectivă în  $E$ . Cunoșcînd punctul de distanță redus  $D'/4$ , imaginea perspectivă a acestei înclinări se obține în  $BA$  construind triunghiul dreptunghi  $BaA'$ , împărțind cateta  $aA'$  în patru părți egale și determinînd punctul  $A$  la intersecția drepte de capăt  $Pa$ , prelungită, cu dreapta care unește prima din cele patru diviziuni ale catetei  $aA'$  cu punctul  $D'/4$ , prelungită.

b) *În perspectivă inversă*. Fie  $BA$  imaginea perspectivă a înclinării oglinzii date  $BAB_1A_1$ . Ducînd o verticală din punctul  $B$  și ducînd dreapta de capăt  $AP$  determinăm punctul  $a$  prin care ducem o orizontală pe care luăm în  $aA'$  de patru ori segmentul  $a-I$  determinat de dreapta  $AD'/4$ . Unind punctele  $A'$  și  $B$  obținem în  $aBA'$  adevărata mărime a unghiului înclinării oglinzii.



Fig. 197. (127, 132, 191) Vermeer: *Nobil și doamnă la clavier* (detaliu)

Adevărata mărime a unghiului înclinării oglinzii, dată în perspectivă directă sau determinată în perspectivă inversă ne este necesară pentru a determina punctele de fugă și de resecție ale perpendiculararelor pe oglindă, și ale reflectelor orizontalelor și verticalelor din spațiu.

**195.** — *Imaginea perspectivă a perpendiculararelor pe oglindă, punctul lor de fugă și de resecție* (fig. 198). Cunoșcând adevărata mărime a unghiului  $u$  a înclinării oglinzii, putem construi în punctul de distanță redus  $D'/4$  o perpendiculară pe această înclinare fie că ducem o perpendiculară pe dreapta  $BA'$ , fie că construim cu compasul unghiul  $u$ . Latura acestui unghi, prelungită, determină pe urma  $VV'$  a planului vizual principal vertical redus de fugă  $O'$  al perpendiculararelor pe planul oglinzii. Repetind pe această urmă de patru ori segmentul  $Po'$  obținem punctul de fugă  $O'$  al perpendiculararelor pe planul oglinzii. S-a dat acestui punct litera  $O'$  pentru că reprezintă imaginea perspectivă a reflectului punctului de vedere  $O$  al desenatorului. Către acest punct converg toate perpendiculararele pe planul oglinzii. Spre exemplu imaginea  $N'$  a reflectului înălțimii de 1,65 m a figurii  $N$ , reprezenta-

tată în tablou, se va situa neapărat pe perpendiculara  $NN'O'$  dusă pe planul oglinzii.

Punctul de egală resecție nu s-a determinat pentru că folosirea lui este anevoioasă. Se poate eventual afla, redus la jumătate sau la o pătrime așa cum se arată mai jos, pentru punctul de resecție al reflectelor orizontalelor din spațiu (196).

**196.** — *Imaginea perspectivă a reflectelor dreptelor de capăt din spațiu, punctul lor de fugă și de resecție.* Cum s-a văzut în cazul oglinzilor de capăt înclinate, imaginea perspectivă a reflectelor orizontalelor din spațiu face cu planul obiectelor un unghi de două ori mai mare decât perpendicularele pe planul oglinzii. Pentru a găsi punctul de fugă al reflectelor dreptelor de capăt în cazul oglinzilor frontale descendente, spre adâncul spațiului, în punctul  $D'/4$  vom construi cu compasul unghiul  $u'$  egal cu unghiul  $u$ . Latura prelungită a unghiului  $u'$  ne va da, pe urma  $VV'$  a planului vizual principal vertical, punctul de fugă redus  $fc$ . Luând de patru ori segmentul  $Pfc$  vom obține în  $Fc$  punctul de fugă al reflectelor dreptelor de capăt din spațiu.

Prin acest punct trece linia de fugă  $O_1O'_1$  a planului frontal ascendent spre adâncul spațiului care este imaginea perspectivă a reflectului, în oglinda frontală descendentă spre adâncul spațiului, a planului obiectelor. Elementele perspective ale planelor frontale ascendente spre adâncul spațiului ne sînt cunoscute atît teoretic (I 535—538, fig. 592—593) cît și în practică (I 539—544 fig. 594—596). Astfel știm cum se pot întocmi rețele perspective pentru liniile de cea mai mare pantă și determina punctul lor de măsură (543—544 fig. 596) precum și cum se construiesc rețele perspective pentru perpendicularele pe aceste plane și cum se află punctul lor de resecție (539—542 fig. 594—595). În cele ce urmează vom arăta cum se aplică aceste cunoștințe în cazul reflectelor în oglindă.

Cînd înclinarea oglinzii este mare și punctul de fugă  $Fc$  este inaccesibil (ca în fig. 198) pentru a desena reflectele dreptelor de capăt care se îndreaptă către acest punct de fugă inaccesibil, se poate întocmi o rețea dar se obțin rezultate mai exacte dacă se face următoarea construcție:

Se împarte în patru părți egale orizontala  $fcn$ . Dreapta care trece prin punctul de distanță  $D'/4$  și prin diviziunea a treia a orizontalei  $fcn$ , prelungită, ar ajunge cu un capăt în punctul inaccesibil de fugă  $Fc$  iar cu celălalt capăt pe urma oglinzii, în punctul  $E$ . Verticala coborîtă din punctul  $e$  în care această dreaptă întretaie marginea superioară a oglinzii determină punctul  $E'$  pe dreapta de capăt  $EP$ . Orizontala  $E'E'_1$  dusă pe toată întinderea oglinzii ne va ajuta să desenăm reflectele dreptelor de capăt procedînd după cum arată următorul exemplu. Ca să desenăm reflectul dreptei de capăt  $LIP$ , din punctul de intersecție  $l_4$  al acestei drepte cu orizontala ajutătoare  $E'E'_1$  ridicăm verticala  $l_4 l_5$ . Obținem  $ll_5$  dreapta căutată: prelungită ar ajunge în punctul inaccesibil de fugă  $Fc$ .

*Notă.* Dacă punctul  $E$  este inaccesibil, unim punctul  $e/2$  (mijlocul dreptei  $e_2e$  cu punctul  $e_1$  (mijlocul dreptei  $fcn'$ ). Dreapta  $e/2 e_1$ , prelungită ne va da pe urma oglinzii punctul  $E/2$  și punctul  $E'/2$  prin care va trece orizontala căutată ce se va situa la intersecția dreptei  $PE/2$  cu verticala coborîtă din  $e/2$ .



Scara perspectivă a tabloului se poate desena și pe planul înclinat al reflectului planului obiectelor unind diviziunile de pe urma  $E$  a oglinzii cu un punct  $o_1$  de pe linia de fugă  $o_1o_1'$  a acestui plan.

În figura 198 se arată și cum se poate proceda când linia de fugă  $o_1o_1'$  este înace-sibilă, folosind linia ajutătoare  $E'E_1$  prelungită. Diviziunile scării perspective din  $e'$  se proiectează prin linii de ordine pe marginea superioară a oglinzii, prelungite în  $a_1$  urmînd ca aceste diviziuni să fie unite cu cele de pe orizontala ajutătoare  $E$ .

Această scară se folosește, ca în figura 199, pentru măsurarea reflectelor diferitelor figuri sau obiecte care, aflîndu-se în afara cîmpului vizual al desenatorului, nu se află figurate în tablou.

Înălțimea, în adîncimea oglinzii, a reflectelor dreptelor de capăt se poate determina în trei feluri și anume:

a) *fără măsurătoare* cînd înălțimea de măsurat în adîncul oglinzii este cuprinsă în

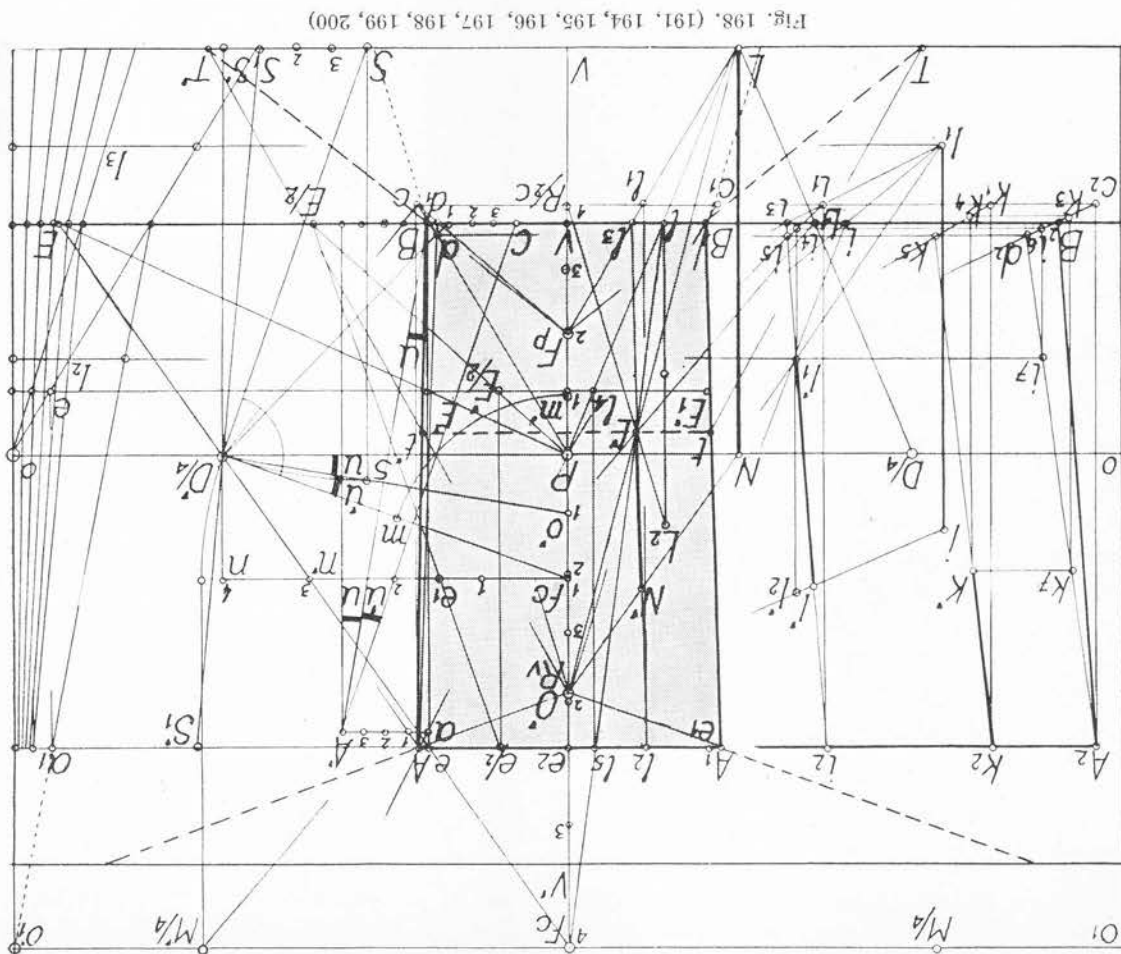


Fig. 198. (191, 194, 195, 196, 197, 198, 199, 200)

întregime în cadrul tabloului, cum ar fi, de exemplu, segmentul  $Ll$  a cărui lungime redusă de patru ori  $lL_1$  a fost determinată cu dreapta  $LD/4$ . Pe reflectul  $IFc$  al drepte de capăt, lungimea  $lL'$  egală cu lungimea dată  $Ll$  se determină în  $lL'$  cu perpendiculara pe planul oglinzii  $LO'$ . Este, într-un plan de capăt, construcția arătată mai sus în plan frontal (fig. 193). Procedul nu dă rezultate exacte cînd intersecțiile sînt în unghi prea ascuțit.

b) Cu ajutorul punctelor de resecție reduse  $M/4$  sau  $M'/4$  de pe linia de fugă  $o_1o'_1$ , obținute, după cum știm (I 539 fig. 592), luînd segmentele  $FcM/4$  sau  $FcM'/4$  egale cu segmentul  $fcD'/4$ , atunci cînd oglinda fiind puțin înclinată, această linie de fugă este accesibilă. Pentru a măsura pe reflectul  $IFc$  al unei drepte de capăt o lungime dată, de exemplu de 4,90 m, luăm pe urma oglinzii date (fig. 198) un segment  $lL_1$  de patru ori mai mic, de 1,10 m, măsurat în  $E$  pe scara perspectivă și, după cum dreapta  $D/4L_1$ , prelungită, determină pe dreapta de capăt segmentul  $lL$  de 4,40 m, tot astfel dreapta  $L_1M'/4$  determină pe reflectul drepte de capăt segmentul  $lL'$  de aceeași lungime. Acest procedeu nu poate fi folosit decît atunci cînd, înclinarea oglinzii, fiind mică, este accesibilă linia de fugă  $o_1o'_1$  a reflectului planului obiectelor.

c) Cu ajutorul punctelor de resecție întregi sau reduse de pe urma  $VV'$  a planului vizual principal vertical. Cînd înclinarea oglinzii este mare și linia de fugă care trece prin punctul de fugă  $Fc$  este inaccesibilă (ca în figura 198) vom determina punctul de resecție întreg sau redus al reflectelor dreptelor de capăt din spațiu pe urma  $VV'$  a planului vizual principal vertical, considerată ca o linie a orizontului (I 543—544, fig. 594 și 596).

În acest scop din punctul  $fc$  ca centru și nu cu raza întreagă  $fcD'/4$  (pentru că vedem că punctul de resecție întreg va fi inaccesibil) ci cu jumătatea  $fcM$  a acestei raze desenăm un arc de cerc care determină pe linia de fugă  $VV'$  punctul de resecție  $m'$  redus la jumătate și micșorat de patru ori (I 269 fig. 293). Luînd de patru ori segmentul  $Pm'$ , obținem în  $R/2$  c punctul de resecție redus de două ori și nemicșorat. Pentru a-l folosi, lungimile măsurate pe scara perspectivă trebuie luate pe drepte paralele cu urma planului  $VV'$  adică pe drepte verticale, procedînd după cum urmează.

Pentru a măsura pe reflectul  $IFc$  al unei drepte de capăt o lungime dată, de exemplu de 4,40, m, luăm pe verticala dusă prin punctul  $l$  un segment  $lL_2$  de două ori mai mic, adică de 2,20 m, măsurat pe scara perspectivă în  $E$ , adică pe orizontala dusă prin punctul  $l$ . Dreapta  $L_2R/2c$  întretaie reflectul  $IFc$  în punctul  $L'$  determinînd segmentul  $lL'$  care are lungimea cerută de 4,40 m.

Spre deosebire de procedeele arătate mai sus, cu acest punct de resecție se pot măsura adîncimi mai mari decît cele cuprinse, pe planul obiectelor, în cadrul tabloului.

**197.** — *Imaginea perspectivă a reflectelor verticalelor din spațiu, punctul lor de fugă și de resecție.*

După cum știm (I 539—541 fig. 592—595) unghiul de  $90^\circ$  al perpendicularelor pe planul înclinat se desenează în adevărata lui mărime în punctul de distanță redus  $D'/4$ , în  $fcD'/4$   $S$ , iar imaginea perspectivă  $S_1D'/4S'_1$  se determină luînd punctul  $S_1$  în prima pătrime a segmentului  $SS'$ . Între această imagine  $S_1S'_1$  și urma  $VV'$  a planului vizual vertical prin-

și  $k_2$ . Dacă s-a desenat exact dreapta  $k_2k_3$  trebuie să treacă prin punctul dat  $K'$ .  
 rioră a oglinzii în  $k_2$ ) și punctul  $k_2$ . Rezultatul căutat  $K'k_2$  se obține unind punctele  $k_2$   
 dreapta de capăt obținem punctul  $k_1$  (care cu o linie de ordine se ridică pe marginea supe-  
 de intersecție  $k_2$  dintre verticalea  $k_2k_3$  și dreapta de capăt  $c_2d_2$ . Ducând prin punctul  $k_1$  o  
 și o verticală  $K'k_1$  a cărei lungime e determinată de orizontala  $k_2k_3$  care trece prin punctul  
 punctul  $d$ ) procedind după cum urmează. Din punctul dat  $K'$  se aduce orizontala  $K'k_1$ ,  
 liniei ajutoare  $cc_1c_2$  vom mai folosi și linia  $dd_2$  (s-a arătat mai sus cum se determină  
 până la marginea stângă a tabloului, pentru a se obține intersecții mai clare. În afara  
 respectiv este mai anevoioasă. În figura 198 s-a presupus oglinda  $AA_2BB_2$  prelungită  
 al reflectului unei verticale care nu e cuprinsă în cadrul tabloului, desenarea reflectului  
 P r o c e d e u l B. Cînd, cu procedeele ce se arată mai jos cunoaștem piciorul  $K'$   
 obținându-se astfel reflectul  $L'N'$  al verticalei date  $LN$ .

prin punctul  $L'$ . Perpendiculara pe oglinda  $NO'$  va determina în  $N'$  reflectul punctului  $N$ ,  
 așa cum s-a arătat mai sus și, dacă s-a desenat exact, dreapta  $l_2l_2$  trebuie să treacă și  
 desenează ducând dreapta ajutoare  $L'Fp$  care determină punctele  $l_1$  și  $l_2$ . Ele se folosesc  
 al punctului  $L$  a fost obținut prin una din cele trei construcții arătate mai sus (196) se  
 De exemplu imaginea perspectivă a reflectului verticalei  $NL$ , după ce reflectul  $L'$   
 lor al căror picior pe planul obiectelor nu este cuprins în cadrul tabloului.

în întregime în cadrul tabloului, dar nu se poate folosi pentru a desena reflectul cuprins  
 Acest procedeu exact simplifică traseul cînd căutăm reflectul unei verticale cuprins  
 ordine  $l_1l_2$ .

se unește cu punctul  $l_2$  precizat pe marginea superioară  $AA_1$  a oglinzii cu linia de  
 dreptei  $Fp_1$ , prelungite, determinăm punctul  $l_1$  pe linia ajutoare  $cc_1$ . Punctul  $l_2$   
 planul înclinat reflectat în oglindă, de exemplu prin punctul  $l_2$ , cu ajutorul  
 rului. Cu aceste elemente, cînd avem de desenat imaginea unei perpendiculare pe  
 a proiecției pe planul obiectelor a reflectului  $O'$  a punctului de vedere al desenato-  
 nului vizual principal vertical. Acest punct de fugă este de fapt imaginea perspectivă  
 unește punctul  $c$  cu punctul  $d_1$  determinăm în  $Fp$  un punct de fugă pe urma  $VV'$  a pla-  
 pe planul obiectelor, a marginii superioare  $AA_1$  a oglinzii date, și prelungind linia care  
 putem obține rezultate mai exacte decît cu rețeaua perspectivă. Desenăm în  $cc_1$  proiecția,  
 P r o c e d e u l A. Dar cu o linie ajutoare și un punct de fugă ușor de stabilit

toată întinderea oglinzii în scopul arătat mai sus.  
 și urma planului vizual principal vertical  $VV'$  se poate înlocui o rețea perspectivă pe  
 prima diviziune a segmentului  $CB$ . Și între această imagine  $Ad$ , prelungită pînă la  $d_1$ ,  
 intersecție dintre dreapta de capăt  $PB$  și dreapta care unește punctul de distanță  $D'/f$  cu  
 se obține împărțind în patru părți egale segmentul  $CB$ , și determinînd în  $d$  punctul de  
 trebuie să fie paralelă cu perpendiculara  $D'/fS$ . Imaginea perspectivă  $Ad$  a acestei laturi  
 desenînd un unghi  $u'$ , egal cu unghiul  $u$ , a cărui latură  $A'C$ , dacă s-a desenat exact,  
 Dar adevărata înclinare a acestor perpendiculare se poate desena și în punctul  $A'$   
 vizual principal vertical  $VV'$  este cu totul inaccesibil.

oglinzii date, pentru desenarea acestor reflecte al căror punct de fugă de pe urma planului  
 cipal se poate înlocui o rețea perspectivă, care, evident nu se va desena decît în cadrul

În aceeași figură, pentru reflectul  $I_1I'$  al verticalei  $II_1$  s-au folosit ambele procedee, pentru a se arăta că se obține același rezultat. Dacă folosim punctul de fugă  $Fp$  și linia ajutătoare  $cc_1$  reflectul  $I_1I'$  se obține cu punctele  $I_1i_1i_3$ . Dacă folosim liniile ajutătoare  $cc_2$  și  $dd_2$  același reflect se obține cu punctele  $I_1i_7$ ,  $i_7i_6$ ,  $i_6i_4$ ,  $L_1i_4i_5$ ,  $L_1i_2$ ,  $i_2i_5$ . Dacă s-a desenat exact punctul  $i_1$  trebuie să se suprapună în ambele procedee iar punctele  $i_3$ ,  $i_5$  și  $i_2$  trebuie să se afle pe aceeași linie.

Punctul de egală resecție pentru măsurarea reflectelor verticalelor din spațiu se află după cum știm (I 541, fig. 592 și 594) cu un arc de cerc  $D'/4s$  cu centrul în  $S$  și raza  $SD'/4$ . Prelungind coarda  $D'/4s$  obținem pe urma planului vizual  $VV'$  punctul  $o'$ . Luînd de patru ori segmentul  $Po'$  obținem în  $RV$  punctul de egală resecție pentru măsurarea acestor reflecte. Acest punct coincide deci cu reflectul, în oglindă, a punctului de vedere al desenatorului. În figura 198 dacă folosim acest punct de egală resecție  $RV$  pentru a măsura pe scara perspectivă în  $I_2$  înălțimea  $I_1'i_2'$  de 2,10 m a reflectului  $I_1I'$  găsim aceeași înălțime de 2,10 m măsurată pe scara perspectivă în  $I_3$  a verticalei din spațiu  $I_1I$ .

### *Cîmpul oglinzii*

**198.** — Se obține cu ușurință, prelungind spre desenator (cu linii întrerupte) muchiile piramidei care unesc reflectul  $O'$  al punctului de vedere cu colțurile superioare  $A$  și  $A_1$  ale oglinzii și (cu linii punctate) cu colțurile ei inferioare  $B$  și  $B_1$ . Secțiunea acestui trunchi de piramidă cu planul obiectelor se obține în  $BT'TB_1$  prelungind spre desenator dreptele care unesc punctul  $Fp$  cu colțurile inferioare  $BB_1$  ale oglinzii.

*Delimitarea reflectului planului obiectelor cuprins în cadrul tabloului* se obține în  $tl'$ , puncte în care perpendicularele  $TO'$  și  $T'O'$  duse pe oglindă din capetele  $T$  și  $T'$  pe cadrul tabloului ale cîmpului oglinzii întretaie marginile laterale  $BA$  și  $B_1A_1$  ale oglinzii date.

În figura 199 pentru această delimitare s-a procedat la fel cu punctele  $a-a'$  și  $a_1-a'_1$  iar pentru segmentele  $a'b'$  și  $a'_1b'_1$  s-au folosit punctele de intersecție  $e$  și  $e'$  ale marginilor laterale ale tabloului cu urma oglinzii date.

**199.** — *Întocmirea și folosirea rețelei perspective de pătrate* orientate frontal, pe planul înclinat al reflectului planului obiectelor. Pentru desenarea reflectelor figurilor și obiectelor care sînt sau care nu sînt cuprinse în cadrul tabloului, cu elementele arătate mai sus, putem întocmi pe planul înclinat al reflectului planului obiectelor o rețea de pătrate — de obicei cu laturile de 1 m — orientate frontal care reflectă în oglinda dată rețeaua de pătrate în prealabil desenată pe planul obiectelor. Această rețea simplifică traseele mai ales cînd linia de fugă  $o_1o'_1$  a planului ascendent este inaccesibilă.

Liniile de cea mai mare pantă (fig. 199) ale rețelei se vor desena folosind orizontală ajutătoare  $E'E'_1$ , care nu se arată decît în figura 198 în care construcția a fost exemplificată desenîndu-se linia  $ll_5$  cu ajutorul punctului  $l_4$  de pe linia ajutătoare. În același fel se vor desena toate liniile de cea mai mare pantă ale rețelei.

Pentru liniile orizontale ale rețelei, pe verticala ridicată din punctul  $M$  se vor lua diviziuni de cîte 0,50 m, măsurate pe scara perspectivă în  $E$  în planul frontal al urmei



Pentru un obiect orientat pe unghi, de exemplu scaunul din primul plan, a cărui imagine perspectivă, măsurată pe scara perspectivă în  $E'$  a fost obținută — cum se vede în figură — cu procedul construirii geometralului, vom duce perpendicularare pe oglindă din punctele  $l_1$ ,  $l_2$  și  $l_3$  în care muchiile bazei obiectului eventual prelungite, intrate

intersecția ei cu perpendicularara  $LO'$  pe oglindă, reflectul  $L'$  al punctului dat  $L$ . Reflectul  $L'$  al acestei drepte ajutătoare, ne dă, la secția ei  $l_4$  cu urma oglinzii o dreaptă ajutătoare care pleacă din punctul dat  $L$  trece prin punctul  $LO'$ . Pentru a determina punctul ei de pătrundere  $L'$  în planul înclinat, prelungim pînă la intersecția figurii  $LN$  ducem din  $L$ , pe planul oglinzii, o perpendiculară, nedeterminată ca lungime, reflectul  $L'$  al obiectelor cuprinse în cadrul tabloului. De exemplu, pentru re-

a) Reflectul figurilor sau a obiectelor cuprinse în cadrul tabloului. Folosind această rețea putem desena: pînă la adîncimea dorită. Cum se arată în figura 199, prin diagonale, rețeaua se poate desena, în continuare, adică de cîte 1 m — ale orizontalelor pătraterelor rețelei care se va desena pe toată lărgimea mare pantă, ne dau, la intersecția lor cu dreapta  $MM'$ , adîncimi de două ori mai mari — oglinzii. Dreptele care le unesc cu punctul de resecție redus  $R/2c$  al dreptelor de cea mai

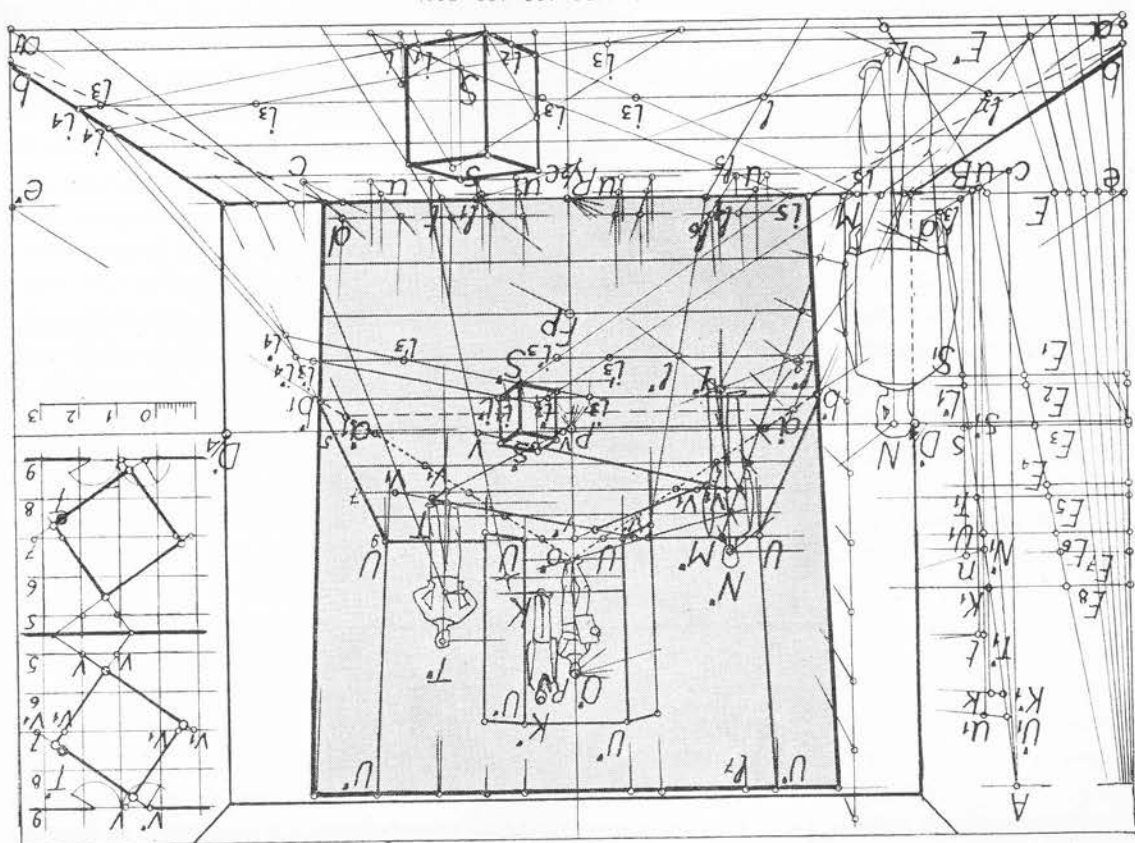


Fig. 199. (196, 198, 199, 200)

una din orizontalele rețelei, obținind pe reflectul corespunzător al acestei orizontale, reflectele  $i'$ ,  $i'_1$  și  $i_2$  ale acestor puncte.

Prelungim spre adâncul spațiului muchiile bazei obiectului. Și, fie că folosim punctele  $i_3$  în care aceste muchii prelungite întretaie altă orizontală a rețelei, fie că folosim punctele 5, în care aceste muchii prelungite întretaie urma oglinzii date, sau punctele 4, în care aceste muchii se întretaie cu una din dreptele de capăt ale rețelei, ducând din aceste puncte perpendiculare pe oglindă obținem reflectele lor corespunzătoare  $i'_3$ ,  $i'_4$ . În figură se vede cum liniile care unesc punctele  $i_5$  cu  $i'_2$  și  $i'$  și punctele  $i_4$  cu  $i_3$  și  $i'_1$ , întretându-se constituiesc imaginea perspectivă a reflectului bazei scaunului. Ca verificare colțurile bazei reflectate trebuie să se găsească pe perpendicularele duse pe oglindă din colțurile bazei de pe planul obiectelor.

Perpendicularele pe planul înclinat al obiectelor, cum sînt muchiile laterale  $S's'$  etc. ale scaunului sau reflectul figurii date, se desenează folosind fie procedeul A, așa cum s-a arătat în figura 198 pentru reflectul  $L'N'$  al figurii  $LN$ , cu ajutorul punctului de fugă  $Fp$ , fie cu procedeul al doilea, așa cum se arată în aceeași figură pentru reflectele verticalei  $II'$  sau în figura 199 pentru reflectul figurii  $LN$  (aceste construcții:  $L'L'_1$ ,  $L'_1l_3$ ,  $l_3l_4$ ,  $l_5l_4l_6$ ,  $l_5l_7$  și  $l_6L'N'l_7$  nu sînt arătate și pentru muchiile scaunului, pentru a nu încărcă figura cu prea multe linii.

Înălțimea  $S's'$  sau  $L'N'$  a acestor reflecte se determină cu perpendicularele pe oglindă  $ss'O'$  etc. sau  $NN'O'$ . De altfel aceste înălțimi pot fi verificate, cum se arată mai jos, și cu scara perspectivă a tabloului, folosind punctul de egală resecție  $Rv$  al perpendicularelor pe planul înclinat al obiectelor reflectate.

#### 200. — b) Reflectul elementelor care nu sînt cuprinse în cadrul tabloului

*Reflectul desenatorului  $O'o'$ .* Dacă măsurăm distanța principală redusă  $PD/4$  cu unitatea de măsură  $E$  din planul frontal al marginii inferioare a oglinzii, găsim că are 2,50 m. Așadar desenatorul se află la o depărtare de  $2,50 \times 4 = 10$  m de această urmă. În consecință imaginea lui reflectată trebuie să se găsească, în adîncimea spațiului, la o adîncime de 10 m, cu alte cuvinte picioarele lui se situează în  $O'$  pe linia a zecea a rețelei de pătrate. Dacă s-a desenat exact, înălțimea  $O'o'$  a ochilor desenatorului, măsurată pe scara perspectivă a tabloului în  $E7$  trebuie să aibă 1,65 m înălțime, cu care s-a întocmit această scară. Pentru această verificare nu se folosește punctul de egală resecție  $RV$  deoarece este exact la nivelul punctului ce avem de măsurat.

*Reflectul încăperii.* Cunoscînd locul ocupat de reflectul  $O'o'$  al desenatorului, dacă acțiunea se petrece într-o vastă sală, peretele frontal din adîncimea oglinzii poate fi desenat în spatele reflectului desenatorului la o distanță corespunzătoare. Dacă subiectul cere o încăpere mai modestă, se va considera că desenatorul o privește din afară, printr-o deschidere (arcadă, ușă, fereastră) care va trebui să fie cu atît mai largă cu cît încăperea va fi mai puțin adîncă, pentru ca prin ea desenatorul să poată cuprinde în întregime spațiul  $baa_1b$  cuprins în tablou. În acest scop, pentru a putea determina dintr-o dată lărgimea crescîndă a deschiderii, o dată cu micșorarea adîncimii încăperii, ducem pe planul înclinat al obiectelor drepte  $o'b'a'$  și  $o'a'_1b'_1$  care unesc piciorul reflectului  $o'$  al desenatorului cu linia  $b'a'_1a_1b'_1$  a reflectului planului obiectelor cuprins în tablou. Aceste două drepte ne

201. — Elementele perspective ale reflectelor în oglinzile frontale ascendente, spre adâncul spațiului se determină la fel ca în cazul oglinzilor frontale descendente, spre adâncul spațiului, studiate mai sus, dar, ca urmare a schimbării înclinării oglinzii punctele de fugă  $O'$  ale perpendicularelor pe oglinzi și  $Fc$  al reflectelor dreptelor de capăt din spațiu precum și punctul de resecție  $Rv$  al perpendicularelor pe planul înclinat al reflectului planului obiectelor se vor situa dedesubt, iar nu deasupra liniei orizontului, în timp ce punctul de resecție micșorat  $R/2c$  al reflectelor dreptelor de capăt se va situa, nu dedesubtul ci deasupra liniei orizontului. De asemenea scara perspectivă a tabloului, spre adâncul spațiului, în adâncimea oglinzii în loc să urce pe planul înclinat al reflectului planului obiectelor se va coborî sub linia orizontului. Pentru ca această inversare să poată fi urmărită cu ușurință, în fig. 200 s-au pus aceleași litere ca în fig. 198.

*Unghiul înclinării oglinzii frontale ascendente spre adâncul spațiului pune însă o problemă specială și anume precizarea condiției în care oglinzi va cuprinde într-un racursiu*

### Oglinzile frontale ascendente spre adâncul spațiului

Reflecele elementelor orientate pe unghi se vor transpune pe rețeaua perspectivă măsurând pe scara perspectivă în  $E_3$ ,  $E_1$  și  $E_6$  segmente egale cu cele măsurate pe orizontalele 5, 7 și 9 ale rețelei ortogonale ajutate din dreapta figurii și pe care s-a desenat geometralul respectivului element, de exemplu un covor de dimensiuni date, sau ușile deschise din pere-

tele frontal (vezi pentru aceasta fig. 200).

Reflecele elementelor orientate pe unghi se vor transpune pe rețeaua perspectivă măsurând pe scara perspectivă în  $E_3$ ,  $E_1$  și  $E_6$  segmente egale cu cele măsurate pe orizontalele 5, 7 și 9 ale rețelei ortogonale ajutate din dreapta figurii și pe care s-a desenat geometralul respectivului element, de exemplu un covor de dimensiuni date, sau ușile deschise din pere-

Reflecele elementelor orientate pe unghi se vor transpune pe rețeaua perspectivă măsurând pe scara perspectivă în  $E_3$ ,  $E_1$  și  $E_6$  segmente egale cu cele măsurate pe orizontalele 5, 7 și 9 ale rețelei ortogonale ajutate din dreapta figurii și pe care s-a desenat geometralul respectivului element, de exemplu un covor de dimensiuni date, sau ușile deschise din pere-

mai mare sau mai mic imaginea reflectului planului obiectelor, care, de exemplu, în fig. 200 nu apare. Întrucît, pentru ca să vedem acest reflect, punctul de fugă  $Fc$  al reflectelor dreptelor de capăt din spațiu trebuie să se situeze deasupra urmei oglinzii, precizarea unghiului înclinării oglinzii se poate deduce prin următorul traseu, care nu e arătat pe figură:

Se împarte în patru părți egale distanța între linia orizontului și urma oglinzii. Capătul inferior al pătrimii superioare se unește cu punctul de distanță redus  $D'/4$ . Unghiul obținut astfel cu linia orizontului se împarte în două părți egale, pentru a obține unghiul  $u$ .

Dacă dăm oglinzii frontale ascendente înclinarea unghiului  $u$  astfel obținută, planul obiectelor se va reflecta în racursiu perfect pe marginea inferioară a oglinzii, toate figurile se vor reflecta în întregime și reflectul picioarelor lor se va afla în punctul de intersecție a urmei oglinzii cu dreapta care unește piciorul figurii cu punctul  $O'$ .

Îndată ce vom da oglinzii o înclinare mai mică decît acest unghi reflectul planului obiectelor va începe să apară în racursiu și în măsura în care înclinarea oglinzii  $l$  va fi mai mică racursiul în care se va prezenta reflectul planului obiectelor va descrește. Iar dacă îi dăm o înclinare mai mare planul obiectelor nu se va reflecta în oglinda respectivă.

Pentru celelalte probleme cuprinse în figura 200 cititorul poate folosi aliniatele 194—199 referitoare la oglinzile frontale descendente înlocuind în cursul lecturii cuvîntul descendent cu cuvîntul ascendent și cu următoarele mici modificări:

- a) La aliniatul 196 c se va citi 2,80 m în loc de 4,40 m și 1,40 m în loc de 2,20 m.
- b) La aliniatul 197 despre procedeul B pentru folosirea liniilor ajutătoare  $cc_1c_2$  și  $dd_1d_2$  se va lua ca exemplu piciorul  $u$  al reflectului unei verticale din spațiu.

În figura 200 s-a presupus oglinda  $A_2B_2$  prelungită pînă lîngă marginea stîngă a tabloului pentru a se obține intersecții mai bune. Din punctul dat  $u$  se duce orizontala  $uu_1$  și verticala  $uu_3$  a cărei lungime e determinată de orizontala  $u_2u_3$  care trece prin punctul de intersecție  $u_2$  dintre verticala ridicată din  $u$  și dreapta de capăt  $Pd_2c_2$  prelungită. Ducînd din punctul  $u_3$  o dreaptă de capăt obținem punctul  $u_4$  pe dreapta ajutătoare  $dd_1$ . Rezultatul căutat este dreapta  $uu_4$ .

c) Pentru punctul de egală resecție al reflectelor verticalelor, în figura 200 nu s-a făcut nici o construcție, întrucît știm că acest punct  $Rv$  se suprapune pe punctul  $O'$ .

d) Pentru liniile de cea mai mare pantă a rețelei de pătrate s-a folosit punctul de fugă  $Fc$  deși este inaccesibil, pentru a nu complica figura și cu construcțiile necesare determinării liniei ajutătoare  $E'E_1$ .

e) Pentru liniile orizontale ale rețelei, pe verticala coborîtă din punctul  $M$ , pentru prima linie nu s-a măsurat în  $E$ , pe scara perspectivă, 0,50 m, ca pentru celelalte linii, ci numai 0,15 m, întrucît urma oglinzii este la o depărtare  $Aa$ , măsurată în  $E_1$ , de 0,70 m de perete ( $1,00 - 0,70 = 0,30$  m;  $0,30 \text{ m} : 2 = 0,15$  m). Și aci s-au folosit diagonalele pentru continuarea rețelei în adîncul oglinzii.

f) Pentru reflectul încăperii, la o încăpere de 8 m, pentru un desenator așezat la 10 m, ușa urmează a fi largă de 2 m.



Refecaua de pătrate desenate pe planul înclinat al reflectului planului obiectelor a fost folosită numai pentru desenaarea canalelor deschise ale ușii, transpunând în perspectivă proiecția ortogonală din partea de jos a figurii 200.

Mai utilă poate fi refecaua de pătrate desenaată pe planul înclinat al oglinzii  $A'B$ , prelungit pînă la nivelul plafonului, ar pătrunde în peretele vertical al pereții pe o adîncime  $w'$ , măsurată în  $E_1$ , de 7 cm. În consecință, laturile pătratului se vor măsura în  $E_2$ , iar pentru adîncimea primului pătrat de 1 m, pe verticala  $Ss$  se va măsura o lungime de 0,535 m în loc de 0,50 m ca pentru celelalte pătrate. Dacă s-a desenat exact, ultimul metru al acestei rețele trebuie să coincidă exact cu punctul  $u$  determinat mai sus cu punctul de egală resecție  $Rw$ . În figura 200 se arată tangentele și diagonalele cu ajutorul cărora s-a desenat în perspectivă, pe această rețea, elipsa și cercurile reprezentate în geometralul din dreapta figurii.

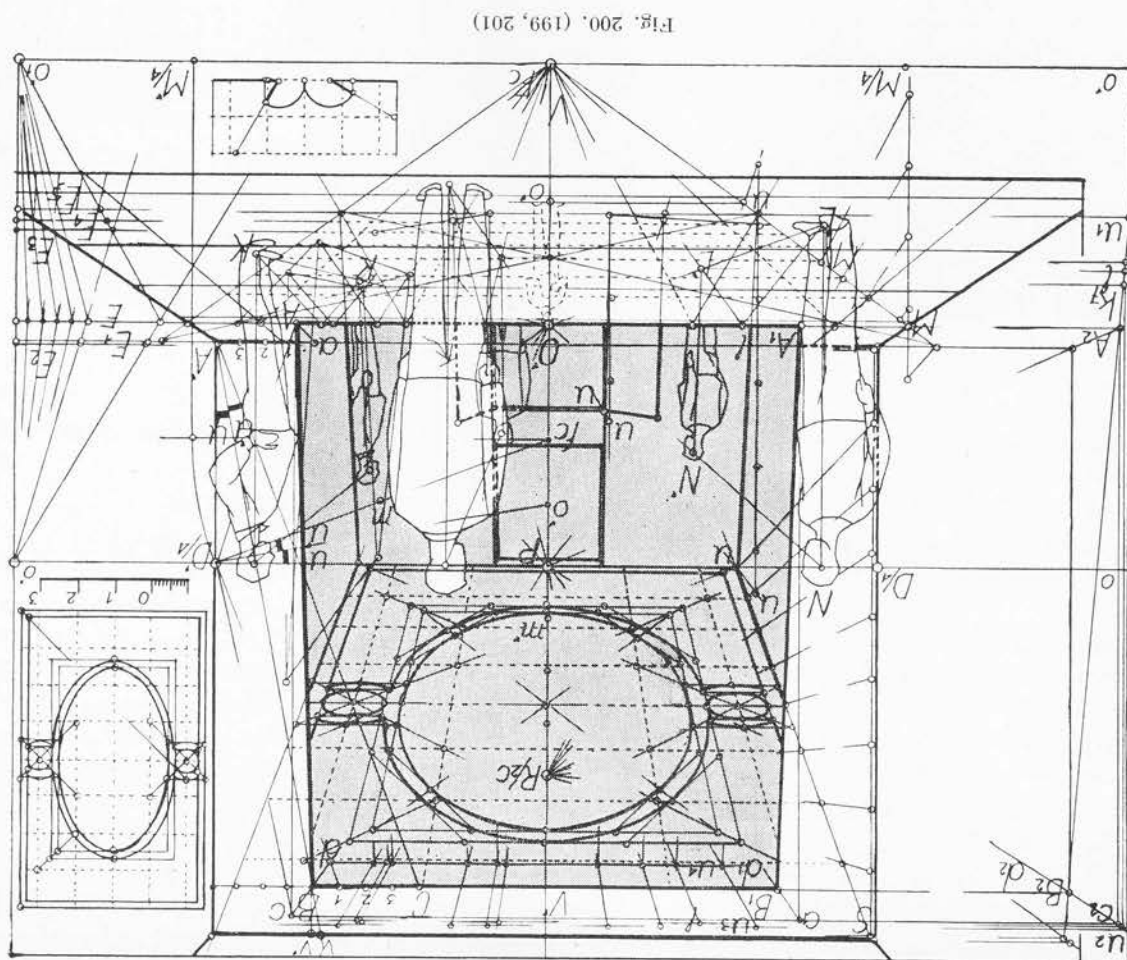


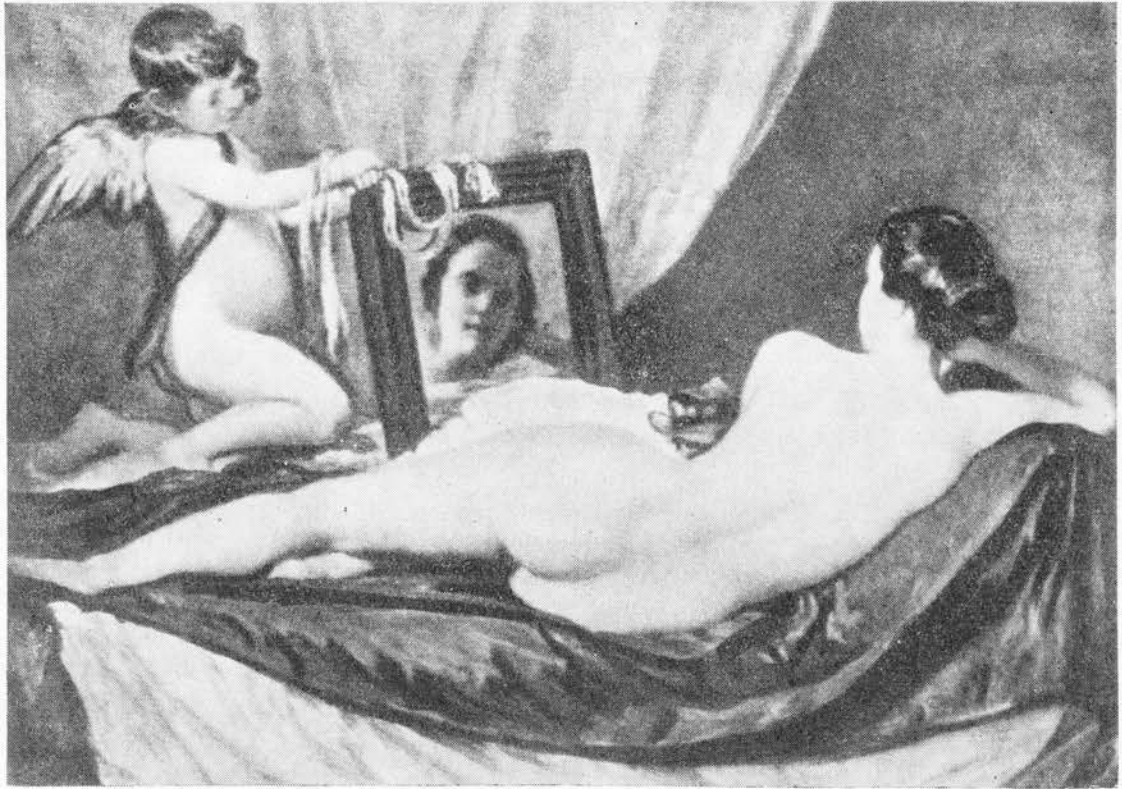
Fig. 200. (199, 201)

## Oglinzi înclinate oarecare

**202.** — Orientarea nefrontală a oglinzii ne va duce la puncte de fugă inaccesibile  $F$ ,  $O'$ ,  $Fc$ ,  $Fp$  pentru desenarea perpendicularelor pe urma oglinzii ( $F$  în loc de  $P$ ) a perpendicularelor pe planul înclinat al oglinzii ( $O'$  care se va situa pe urma planului vertical care trece prin punctul  $F$ ) a reflectelor dreptelor, perpendiculare pe urma oglinzii ( $Fc$  care se va situa mai sus de punctul  $O'$ ) a dreptelor ajutătoare care înlocuiesc rețeaua perspectivă a reflectelor verticalelor din spațiu ( $Fp$  care se va situa sub punctul  $F$ ). Tot așa vor fi inaccesibile punctul de resecție  $R$  (întreg) care va înlocui pentru construcțiile corespunzătoare punctul de distanță  $D$  (reduc) precum și punctul de resecție pentru măsurarea reflectelor verticalelor din spațiu (fig. 202).

După cum știm procedeul, propriu perspectivei, al micșorării și larga folosire a rețelilor perspective ne-ar permite să rezolvăm în cadrul tabloului toate problemele puse de oglinzile oarecare, fără a folosi puncte de fugă inaccesibile. Dar pentru claritatea expunerii și pentru a nu încărca desenul cu liniile diferitelor rețele care ar trebui să intervie, vom presupune că figurile 202 și 204 referitoare la oglinzile oarecare înclinate au fost executate pe

Fig. 201. (128, 137, 191) Velázquez: Venus cu oglinda



203. — a) *In perspectiva directă*. Fie  $cab$  adevărata marime dată a unghiului  $u$  de circa  $10^\circ$  a înclinării oglinzii, desenat în colțul  $A$  al oglinzii, pe care o vom desena pe rețeaua perspectivă a ale cărei linii fugind spre dreapta fac un unghi de  $30^\circ$  cu planul neutru și ale cărei linii fugind spre stînga în punctul  $F$  fac cu planul neutru un unghi de  $60^\circ$  (fig. 202). Punctul de egală resecție  $R$  al acestor linii e cuprins în cadrul hîrtiei iar punctul de egală resecție  $R'$  al celorlalte linii al căror punct de fugă este inaccesibil este cuprins în cadrul tabloului. Desemăm în  $bAd'$  și unghiul  $u'$ , egal cu unghiul  $u$ , pentru a obține în  $Ad'$  adevărata înclinare a reflectorilor verticalilor din spațiu.

*Unghtul inclinaŕi oglinzi*

Articulă transparentă așezată pe o *rețea perspectivă cu puncte de resecție* (223–231) și anume pe aceea ale căror linii fac unghiuri de 30° și 60° cu planul neutru, și că hirtia, depășind cadrul rotund al tabloului, cuprinde unul din punctele de fugă  $F$  și punctul său respectiv de egală resecție  $R$ .

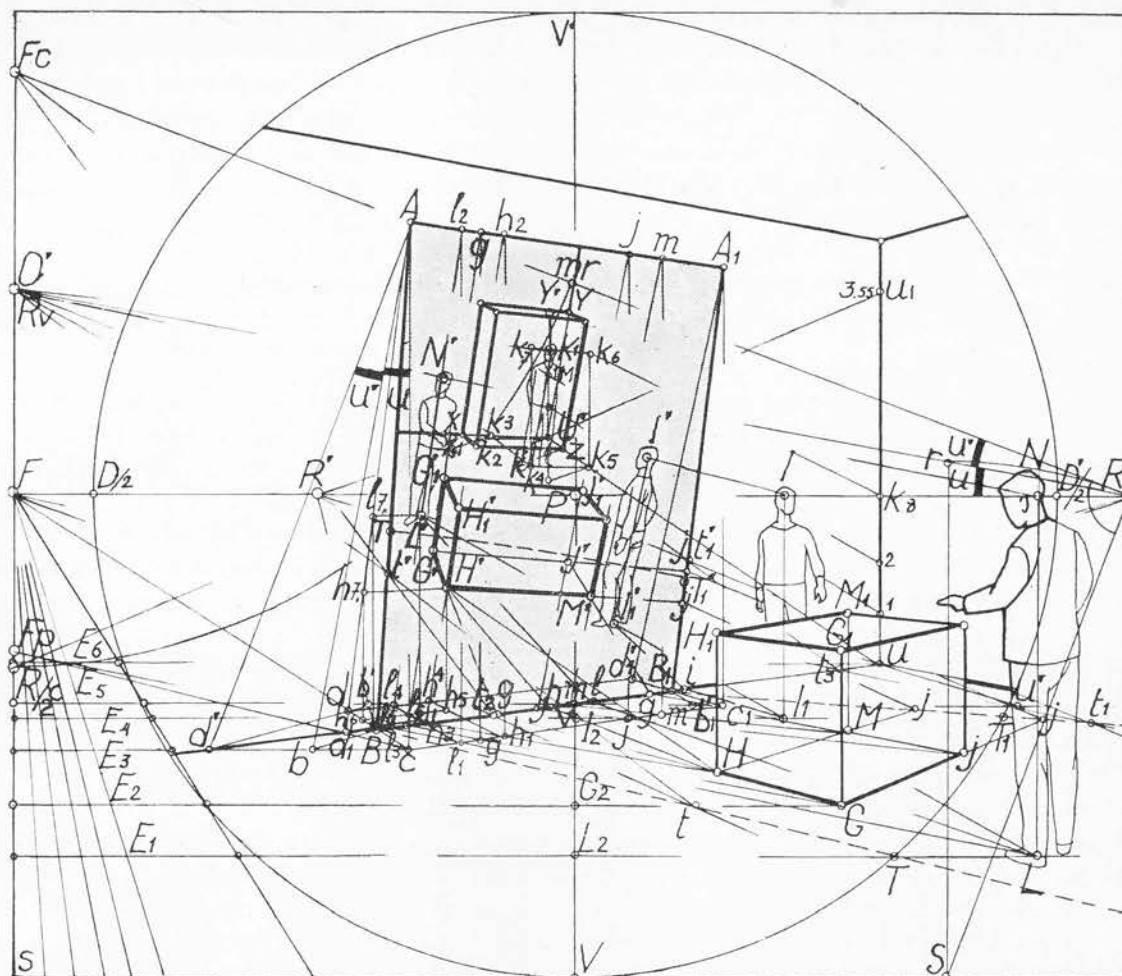


Fig. 202. (202, 203, 204, 205, 206, 207, 208, 209, 210)

**206.** — *Imaginea perspectivă a reflectelor orizontalelor din spațiu perpendiculare pe urma  $BB_1$  a oglinzii, punctele lor de fugă  $F_c$  și de resecție redus  $R/2c$ . Știind că imaginea perspectivă a reflectelor orizontalelor din spațiu fac cu planul obiectelor un unghi de două ori mai mare decât perpendicularele pe planul oglinzii (192) vom desena în punctul de resecție  $R$  unghiul  $u'$  egal cu unghiul  $u$  și a cărei latură, prelungită, va preciza, la intersecția ei cu urma planului vizual vertical care trece prin corespunzătorul punct de fugă  $F$ , punctul de fugă  $F_c$  al reflectelor orizontalelor, perpendiculare pe urma oglinzii. Folosindu-l putem determina cu ușurință reflectul oricărui punct situat pe planul obiectelor. Spre exemplu reflectul  $L'$  al punctului  $L$  de pe planul obiectelor se obține ducând perpendiculara  $LIF$  pe urma oglinzii, ducând reflectul  $IF_c$  al acestei perpendiculare pe care punctul  $L'$*



în care dreapta ajutătoare  $LFP$  întretaie dreptele  $cc_1$  și  $BB_1$ . Cu verticala ridicată din  $l_2$  spre exemplu reflectul  $L'N'$  al verticalei  $LN$  se obține cu ajutorul punctelor  $l_1$  și în cadrul tabloului sau, eventual al hîrtiei pe care desenăm, ne este cunoscută.

de vedere  $O'$ . Folosirea acestui punct de fugă pentru desenaarea reflectelor verticalelor cuprinse este, după cum știm imaginea perspectivă a proiecției pe planul obiectelor a punctului lungită, ne dă la intersecția ei cu urma planului vertical  $FcF$  punctul de fugă  $Fp$  care reflectul  $Ad$  pînă la intersecția lui  $d_1$  cu urma, prelungită, a oglinzii. Dreapta  $cd_1$  pre-

C u p r o c e d u l A. Procedind ca în cazul oglinzii frontale înclinate, prelungim

multe linii. Să dăm mai multe exemple.

Rezultate exacte se pot obține aplicînd și în cazul acestor oglinzi cele două procedee

oglinzii (203).

Dreptele  $Ad$  și  $A_1d_1$  a căror înclinare a fost desenată o dată cu marginile înclinate ale

Dar această rețea s-ar putea întocmi între două orizontale, nedesenate în figură, între dreapta  $RS$  (spre exemplu linia orizontului  $RF$  și marginea inferioară a figurii  $Ss$ ). număr de părți egale două din orizontalele cuprinse între urma planului vertical  $Fcs$  și decît în cuprinsul oglinzii date și care s-ar obține împărțind cu scara divergență în același procedeele cunoscute (1328, fig. 358—360), o rețea perspectivă care, evident, nu s-ar desena

$FcF$ , prelungită, punctul de fugă inaccesibil al acestor perpendiculare, putem întocmi cu

Între dreapta  $RS$  care, prelungită, ne-ar da la intersecția ei cu urma planului vertical

pune pe reflectul  $O'$  al punctului de vedere al desenatorului.

am văzut și mai sus (195) punctul de resecție întreg  $Rv$  al acestor perpendiculare se supra-

de cere  $Rr$  cu centrul în  $S$  și cu raza  $SR$  ne arată, prelungind coarda  $Rr$  că, după cum

planului obiectelor se determină construind în punctul  $R$  unghiul drept  $FcRS$  iar arcu

și de resecție. Imaginea perspectivă a perpendicularelor pe planul înclinat al reflectului

207. — *Imaginea perspectivă a reflectelor verticalelor din spațiu, punctul lor de fugă*

intersecția ei cu dreapta  $uFc$  lungimea de 7,10 m a dreptei  $uU'$ .

măsurată pe scara perspectivă în  $E6$ , (7,10:2=3,55 m). Dreapta  $u_1R/2c$  va determina la

lateral al încăperii, vom determina pe verticala punctului  $u$  o lungime  $uu_1$  de 3,55 m

vertical. Spre exemplu pentru a măsura în adîncime oglinzii adîncimea de 7,10 m a peretelui

măsurate pe scara perspectivă trebuie luate pe drepte paralele cu urma planului vizual

mina pe urma planului vertical punctul de resecție redus  $R/2c$ . Pentru a-l folosi, lungimile,

nu ni-llocul razei  $RFe$  și cu un arc de cerc cu centrul în  $Fc$  și cu raza  $Fcm$  vom deter-

acestor drepte. Prevăzînd că punctul de resecție întreg va fi inaccesibil vom determina în

vizual vertical care trece prin punctul  $F$  și pe care se găsește și punctul de fugă  $Fc$  al

*Punctul de resecție al reflectelor orizontalelor din spațiu se va găsi pe urma planului*

se va folosi punctul de resecție.

desenăm, cum e cazul pentru exemplul dat mai sus. Pentru oglinzirea lungimilor mai mari

$Ll$  cînd punctul  $Fc$  se poate reprezenta în cadrul tabloului sau eventual pe hîrtia pe care

fără măsurătoare, se pot determina, în adîncimea oglinzii, lungimea  $LL'$  egală cu lungimea

se va afla la întretaiera lui cu perpendiculara  $LL'O'$  pe planul oglinzii. În felul acesta,

punctul  $l_1$  determinăm pe marginea superioară a oglinzii punctul  $l_2$ . Dacă s-a desenat exact dreapta  $l_2l_3$  trebuie să treacă prin punctul  $L'$ , dacă acesta a fost determinat în prealabil cum s-a arătat mai sus. Perpendiculara  $NO'$  pe planul oglinzii determină pe reflectul  $l_2l_3$  reflectul  $N'$  al punctului  $N$ .

Tot astfel reflectul  $H'H'_1$  al verticalei  $HH_1$  se determină cu ajutorul punctelor  $h_1$  și  $h_3$  în care dreapta ajutoare  $HFp$  întretaie dreptele  $cc_1$  și  $BB_1$ . Verticala ridicată prin punctul  $h_1$  determină pe marginea superioară a oglinzii punctul  $h_2$ . Pe reflectul  $h_2h_3$  astfel obținut, punctul  $H'$  și  $H'_1$  se determină cu perpendicularele pe oglinda  $HO'$  și  $H_1O'$ .

La fel s-a procedat și pentru reflectele  $M'M'_1$ ,  $J'J'_1$ ,  $I'I'_1$  dar pentru acesta din urmă nu s-au păstrat construcțiile respective.

Cu p r o c e d e u l B. Pentru a se arăta că cu acest procedeu propriu reflectelor verticalelor necuprinse în cadrul tabloului se obțin aceleași rezultate ca cu procedeul A, în figura 202, pentru reflectele  $L'N'$  și  $H'H'_1$  s-au folosit ambele procedee.

Cunoscând reflectele  $L'$  și  $H'$  al punctelor  $L$  și  $H$  determinate cum s-a arătat mai sus (206) ducem pe rețeaua perspectivă pe care lucrăm, orizontalele oarecare  $L'l'_7$ , sau  $H'h'_7$  pînă la reflectul  $Ad$  al verticalei  $Ac$ , în continuare verticalele  $l_7l_6$ , sau  $h_7h_6$  pînă la dreapta de capăt  $cd$  și pe urmă, tot pe rețea dreptele  $l_6l_5$  sau  $h_6h_5$  pînă la intersecția lor  $l_5$  sau  $h_5$  cu verticalele coborîte din punctele date  $L'$  și  $H'$ . Dreptele perpendiculare pe urma oglinzii  $l_4l_5l_1$  sau  $h_4h_5h_1$  care trec prin punctele  $l_5$  sau  $h_5$  ne dau punctele  $l_4$  sau  $h_4$  pe dreapta  $dd'_1$  și punctele  $l_1$  sau  $h_1$  pe proiecția  $cc_1$  a marginii superioare a oglinzii pe care precizăm prin linii de ordine punctele  $l_2$  și  $h_2$ . Unind aceste puncte  $l_2$  sau  $h_2$  cu punctele  $l_4$  sau  $h_4$  obținem în  $l_4l_2$  sau  $h_4h_2$  imaginile perspective ale verticalelor din spațiu pe care punctele  $N'$  sau  $H_1$  se precizează prin perpendicularele pe oglinda  $NN'O'$  sau  $H_1H'_1O'$ .

Dacă s-au desenat exact reflectele  $l_4l_2$  sau  $h_4h_2$  trebuie să treacă prin reflectele  $L'$  sau  $H'_1$ , iar punctele  $l_1$  și  $h_1$  trebuie să se suprapună pe aceleași puncte determinate cu procedeul A. De asemenea, dreptele  $l_2l_4$  sau  $h_2h_4$  prelungite, trebuie să întretaie urma oglinzii în punctele  $l_3$  sau  $h_3$  precizate în cursul aplicării procedeeului A.

Reflectele  $KK_1$  a figurii care nu intră în câmpul vizual al desenatorului ca și al colțului  $U$  al încăperii și al dulapului din acest colț n-au putut fi desenate, firește, decît cu procedeul B fără a se menține însă liniile de construcție pentru a nu încărca prea mult desenul.

### Cîmpul oglinzii

**208.** — Se obține construind trunchiul de piramidă cu baza mică în  $AA_1BB_1$  și cu muchiile laterale în prelungirea dreptelor  $O'A$ ,  $O'A_1$ ,  $O'B$  și  $O'B_1$  care unesc reflectul punctului de vedere cu colțurile oglinzii date. Pentru a obține secțiunea acestui cîmp cu planul obiectelor vom lua cîte un punct  $t'$  și  $t'_1$  pe marginile înclinate ale oglinzii și vom căuta în perspectivă inversă punctele  $t$  și  $t_1$  de pe planul obiectelor care se reflectă în acele puncte luate. În acest scop dreptele  $Fct'$  și  $Fct'_1$  prelungite, ne dau punctele  $t_2$  și  $t_3$  de

*Delimitarea reflectului planului obiectelor cuprins în cadrul tabloului se obține în linia (în cazul nostru curbă) dintre punctele  $T'$  și  $T''_1$  în care marginile laterale ale oglinzii se întreacă cu razele care unesc reflectul  $O'$  al punctului de vedere cu punctele  $T$  și  $T_1$*

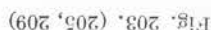
*Reflecțiile figurilor și ale obiectelor cuprinse în cadrul tabloului se obțin așa cum s-a arătat mai sus pentru figura  $LN$  sau pentru muchia  $HH_1$  a unei mase ale cărei dimensiuni au fost măsurate pe scara perspectivă în  $E_2$  și a cărei imagine perspectivă a fost desenată*

figura 202. Pentru trasarea mai exactă a reflectelor muchilor orizontale ale obiectelor pe unghi, se pot folosi punctele  $g$  sau  $j$  în care aceste muchii  $GH$  și  $JM$  sau  $GJ$  și  $HM$ , prelungite, întretaie urma oglinzii în  $g$  sau marginea  $B_1T_1$  a cîmpului oglinzii în  $j$ . (Per-

orientarea reflectelor figurilor se folosesc liniile ajutatoare corespunzătoare. Reflectele elementelor care nu sînt cuprinse în cadrul tabloului se vor determina cu ajutorul unei restituiri perspective (fig. 203).

Frontal al punctului de intersecție  $v$  între urma oglinzii  $BB_1$  și urma planului vizual vertical principal  $VV'$ , distanța principală redusă  $PD/2$  are o lungime de 3,70 m. Concluzi-  
dem că distanța dintre desenator și acest punct al urmei oglinzii este de  $3,70 \times 2 = 7,40$  m.

De de 7,40 m și prin punctul  $a$  vom desena urma oglinzii dîndu-i unghiul de  $30^\circ$  cu planul neutru  $mn'$  unghi care ne este cunoscut din rețeaua perspec-



colțul  $u$  al încăperii, peretele  $B_1u$  are o lungime  $b'_1u'$  de 2,50 m. Presupunând că oglinda  $BB_1$  este așezată în mijlocul peretelui, punând la scară pe urma prelungită a oglinzii cotele arătate mai sus obținem în  $u_1u$  lungimea de 7,45 a peretelui reprezentat în tablou. Ducând perpendiculare la capetele acestui perete, vedem că desenatorul  $O$  este cuprins în această încăpere dacă dăm peretelui  $uU$  o lungime de 7,10 m sau presupunem că o privește printr-o ușă în două canate de 1,40 m ori de 2 m, dacă îi dăm o lungime mai mică, de 5,20 m sau de 5,60 m. Această restituire poate să fie completată cu ușurință și cu geometralul figurilor  $L$  și  $I$  și a obiectului pe unghi  $GHJM$  pentru ca artistul să cunoască și mai bine poziția relativă a tuturor elementelor compoziției sale. Distanța principală redusă  $PD/2$  măsurată pe scara perspectivă în  $E_1$ ,  $E_2$  și  $E_4$  pe orizontalele duse din  $L$ , din  $G$  și din  $I$  are respectiv 2,15 m, 2,50 m și 3 m ceea ce înseamnă că față de desenator adâncimea figurii  $L$  este de  $2,15 \times 2 = 4,30$  m, a muchiei  $GG_1$  este de  $2,50 \times 2 = 5$  m și a figurii  $I$  este de  $3,45 \times 2 = 6,90$  m.

Măsurate tot în  $E_1$ ,  $E_2$  și  $E_4$  abscisele  $LL_2$ ,  $GG_2$  și  $II_2$  au respectiv 2,10 m, 1,40 m și 1,55 m. Folosind aceste coordonate situăm în restituire figurile  $L$  și  $I$  precum și în  $G$  volumul pe unghi ale cărei dimensiuni și orientare sînt cunoscute desenatorului din geometralul cu care a desenat imaginea lui perspectivă.

În geometralul obținut prin restituire perspectivă, desenatorul orînduiește figuri sau volume ale căror coordonate față de urma oglinzii sau de colțul cel mai depărtat al încăperii se măsoară la scara geometralului. În imaginea perspectivă, cum se arată mai jos, adîncimile se vor determina cu punctul de resecție  $R/2c$  al reflectelor perpendicularelor pe urma oglinzii, abscisele se vor măsura cu punctul de egală resecție  $R'$  al orizontalelor cu punctul de fugă inaccesibil  $F'$ , iar înălțimile cu punctul de egală resecție  $Rv$ .

*Reflectul încăperii.* Pentru a obține pe dreapta  $uFc$  adîncimea de 7,10 m a încăperii, se măsoară în planul frontal al punctului  $u$ , în  $E_6$ , pe scara perspectivă, o lungime de două ori mai mică, de 3,55 m, — căci vom folosi punctul de resecție redus  $R/2c$  — care se așază pe verticala  $uu_1$ . Dreapta  $u_1R/2c$  determină în  $U'$  adîncimea  $uU'$  de 7,10 m a încăperii. Știm cum se desenează în  $U'$  perpendiculara pe planul înclinat al reflectului planului obiectelor (207).

*Reflectul figurilor și obiectelor care nu sînt cuprinse în tablou.* Pentru a putea măsura în perspectivă coordonatele diferitelor elemente față de colțul cel mai depărtat al încăperii, trebuie să cunoaștem mărimea metruului la această adîncime. În acest scop pe verticala ridicată în  $U'$  mărimea unui metru  $U'-2$  se obține cu dreapta care unește punctul 2 de pe verticala  $uu_1$  cu punctul de fugă  $Fc$ .

Pentru a obține imaginea perspectivă a figurii  $K$  cu o abscisă de 1 m și o adîncime de 1,40 m și a dulapului din colțul încăperii cu o abscisă de 1,50 m și o adîncime de 0,50, pe orizontala dusă din  $U'$ , luăm o abscisă  $U'K_2$  de 1 metru pentru figură și o abscisă  $U'x_1$  pentru dulap și cu ajutorul punctului de egală resecție  $R'$  le obținem pe urma peretelui, desenată pe rețea, în  $K_3$  și în  $x$ . În continuare pentru adîncimi luăm pe verticala coborîtă din  $U'$  adîncimea  $Uz'$  de 0,25 m ( $0,50:2=0,25$  m) pentru dulap și adîncimea  $U'k_4$  de 0,70 m ( $1,40:2=0,70$  m) pentru figura  $K$  și cu ajutorul punctului de resecție redus  $R/2c$  le obținem în  $U'z$  și  $U'k_5$  pe urma  $U'u$  a peretelui lateral.



a) *In perspectiva directă.* Fie  $cab$  adevărata mărime dată a unghiului  $u$  de circa  $10^\circ$  în  $Ad'$  adevărata înclinare a reflectelor verticalelor din spațiu. Imaginea perspectivei  $caB$  și  $BAd'$  a acestor unghii se obține cu ajutorul punctului de resecție  $R$ , determinând punctele  $B$  și  $d$  la intersecția dreptelor  $bR$  și  $d'R$  cu dreapta  $cF$ , perpendiculară pe marginea superioară  $BB_1$  a oglinzii. Aceasta se desenează pe rețea, ca și dreptele  $cc_1$  și  $dd_1$  ale căror extremități  $c_1$  și  $d_1$  se află la intersecția lor cu perpendiculara, prelungită, dusă prin punctul  $B_1$ . Urma  $AA_1$  a oglinzii, desenată pe rețea, are capătul ei  $A_1$  pe verticala coborită din punctul  $c_1$ . În felul acesta s-a obținut în  $AA_1BB_1$ , în perspectivă directă, imaginea oglinzii a cărei înclinare ne-a fost dată, iar în  $Ad$  și  $A_1d_1$  imaginile perspective ale reflectelor verticalelor din spațiu, între care se poate întocmi, eventual, o rețea perspective.

### Unghiul înclinării oglinzii

210. — Elementele perspective ale reflectelor în oglinzile oarecare ascendente spre adâncul spațiului, indiferent de orientarea lor spre dreapta sau spre stînga (fig. 204) se determină la fel ca în cazul oglinzilor înclinării oglinzii, punctele de fugă  $O'$  ale perpendicularelor pe oglinzi și  $Fc$  ale reflectelor dreptelor perpendiculare pe urma oglinzii precum și punctul de resecție  $R$  al perpendicularelor pe planul înclinat al reflectului planului obiectelor se vor situa pe urma planului vizual vertical care trece prin punctul de fugă  $F$  al perpendicularelor pe urma oglinzii și anume, nu deasupra, ci dedesubtul liniei orizontului în timp ce punctul de resecție micșorat  $R/2c$  al reflectelor dreptelor perpendiculare pe urma oglinzii se va situa pe urma aceluiași plan vizual vertical dar nu sub, ci deasupra liniei orizontului. Pentru ca aceste inversări să poată fi urmărite cu ușurință în figura 204 s-au pus aceleași litere ca în figura 202 și s-a folosit, în aceleași condiții, aceeași rețea perspective cu puncte de resecție, dar așezată în așa fel încît liniile care fug spre dreapta să facă un unghi de  $60^\circ$  cu planul neutru.

### Oglinzile oarecare ascendente spre adâncul spațiului

Cu dreptele de cea mai mare pantă  $Fcx$  și  $Fck_3$ , prelungite, și cu dreptele duse pe rețea prin  $z$  și  $k_3$  obținem baza reflectului obiectului și locul  $k'$  ocupat de reflectul figurii necuprinse în cadrul tabloului. Prin punctele astfel determinate, imaginea perspectivei a perpendicularelor pe planul înclinat al obiectelor se obține cu construcțiile arătate mai sus (207). Pentru determinarea înălțimilor pe verticala ridicată în  $U'$  luăm înălțimea  $U'y'$  de  $2$  m și cu punctul de resecție  $R$  o determinăm în  $U'y$  pe colțul înăperii. Pentru figura pe verticala ridicată în  $k_3$  obținem în  $k_3$  înălțimea de  $1,65$  m cu dreapta care unește punctul de fugă  $Fc$  cu punctul de intersecție a liniei orizontului cu verticala  $uu_1$ . Cu o linie de fugă aducem această înălțime în  $k_7$ , de unde cu punctul de resecție  $R$  determinăm înălțimea  $KK_1$  a figurii.

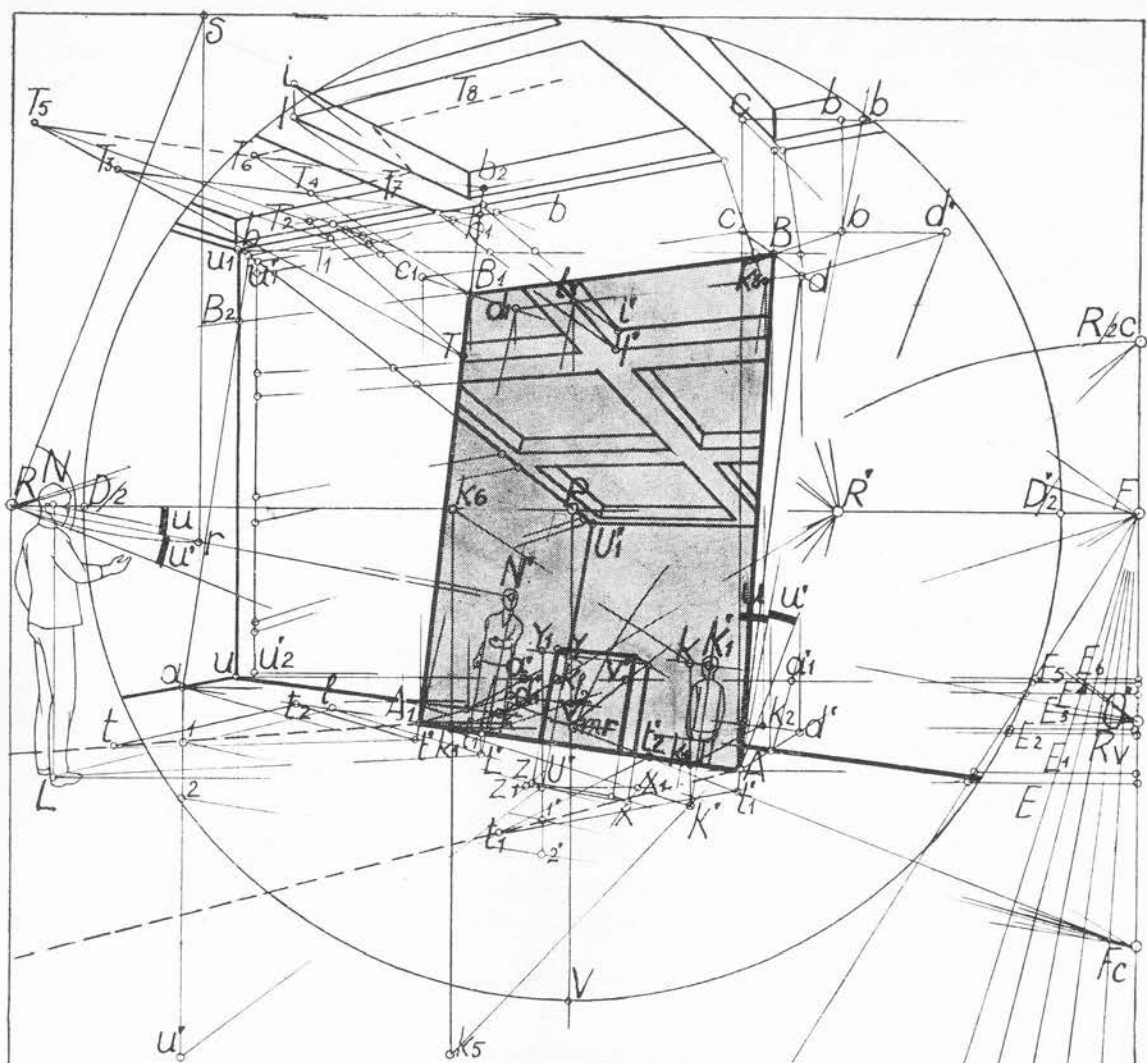


Fig. 204. (202, 210, 211, 212, 213, 214, 215)

b) În perspectivă inversă, pentru a determina adevărata mărime a unghiului  $cAB$  a înclinării unei oglinzi date  $AA_1BB_1$ , folosind punctul de egală resecție  $R$  ducem dreapta  $RB$ , care, prelungită, ne dă în  $cb$  pe orizontala dusă prin  $c$ , adevărata mărime a segmentului  $cB$ . În felul acesta obținem în  $cAb$  adevărata mărime a unghiului  $u$  și înclinarea oglinzii date.

**211.** — Imaginea perspectivă a perpendicularelor pe oglindă, punctul lor de fugă. Prelungind latura unghiului  $u$ , construit în punctul de egală resecție  $R$  determinăm pe urma planului vizual vertical care trece prin corespunzătorul punct de fugă  $F$ , punctul de fugă

O' al perpendicularelor pe oglindă (I 141—142, fig. 197). În acest punct, situat în afara câmpului vizual al desenatorului, s-ar situa reflectul O' al punctului său de vedere, dacă oglinda, cum se poate vedea în figura 205, ar ocupa întregul perete al încăperii. Către acest punct se vor îndrepta toate perpendicularele  $NN'$ ,  $II'$  etc. pe planul înclinat al oglinzii. Din motive cunoscute (195) nu s-a determinat punctul de resecție redus al acestor perpendi-

culare.

**212.** — *Imaginea perspectivă a reflectelor orizontalelor din spațiu, perpendiculare pe urma  $AA_1$  a oglinzii, punctul lor de fugă  $Fc$  și punctul lor de resecție redus  $R/2c$ .* După cum știm (206) latura prelungită a unghiului  $u'$  (egal cu unghiul  $u$ ) construit în punctul de egală resecție  $R$  determină pe urma planului vizual vertical care trece prin corespunzătorul punct de fugă  $F$ , punctul de fugă  $Fc$  al reflectelor orizontalelor, perpendiculare pe urma oglinzii. După cum știm, cu ajutorul acestui punct de fugă putem, fără măsurătoare, determina reflectul oricărui punct, situat pe planul obiectelor și cuprins în cadrul tabloului sau eventual pe hirtia mai mare pe care desenăm. Spre exemplu reflectul  $L'$  al punctului  $L$  se obține ducând perpendiculara  $Ll'$  pe urma oglinzii și reflectul acesteia  $l'Fc$  pe care punctul  $L'$  se va obține la intersecția acestui reflect cu perpendiculara  $LL'O'$  pe planul oglinzii.

*Punctul de resecție redus  $R/2c$  pentru măsurarea în adâncimea oglinzii a reflectelor orizontale din spațiu, când acestea depășesc cadrul tabloului, se află, cum știm, pe urma planului vizual vertical care trece prin punctul de fugă  $Fc$  și se determină cu un arc de cerc cu centrul în  $Fc$  și cu raza  $Fcmr$  egală cu jumătatea razei  $FcR$ . Știm că pentru a-l folosi, lungimile — luate pe jumătate — trebuie așezate pe drepte ajutoare paralele cu urma planului vizual vertical. De exemplu pentru a măsura în adâncul oglinzii pe dreapta  $k_4K'Fc$  adâncimea de 4,70 m la care se află reflectul  $K'K'_1$  a unei figuri a cărei imagine nu intră în cadrul tabloului (vezi mai jos 215) pe verticala coborâtă din punctul  $k_4$  luăm o lungime  $k_4k_5$  de 2,35 m, măsurată pe scara perspectivă în  $E_2$  în planul frontal al punctului  $k_4$ . Dreapta  $k_5R/2c$  precizează în punctul  $K'$ , adâncimea  $k_4K'$  căutată.*

**213.** — *Imaginea perspectivă a reflectelor verticalelor din spațiu, punctul lor de fugă și punctul de egală resecție.* După cum știm, latura prelungită a unghiului drept  $FcRS$ , construit în punctul de egală resecție  $R$ , la intersecția ei inaccesibilă cu urma planului vizual vertical care trece prin punctul corespunzător de fugă  $Fc$  ne-ar da punctul de fugă în accesibil al reflectelor verticalelor din spațiu. Arcul de cerc  $Rr$  cu centrul în  $S$  și cu raza  $SR$  ne arată că punctul de egală resecție  $Rv$  a acestor reflecte, pe coarda  $Rr$  prelungită, se confundă cu reflectul  $O'$  al punctului de vedere. Știm că între latura  $SR$  a unghiului și urma planului vizual vertical  $FcF$  se poate înlocui o rețea — care s-ar desena numai în cuprinsul oglinzii date — pentru desenarea reflectelor perpendicularelor pe planul înclinat al reflectului planului obiectelor. Aceste perpendiculare se pot desena exact și cu procedeu cunoscut care folosește pe lângă urma  $AA_1$  a oglinzii și proiecția  $d'd_1$ , pe planul obiectelor, a dreptei  $dd_1$  care unește capetele  $d$  și  $d_1$  ale reflectelor verticalelor  $Ac$  și  $A_1c_1$ . În figura 204, procedeu, care a fost folosit pentru reflectele tuturor verticalelor din spațiu, este arătat numai pentru reflectele  $L'N'$  și  $K'K'_1$  ale figurilor dintre care una,  $LN$ , intră în cadrul hirtiei pe care s-a desenat iar cealaltă  $KK_1$  nu intră în câmpul vizual al desenatorului. Din punctele  $L'$  și  $K'$  s-au ridicat verticalele  $L'l_1$  și  $K'k_1$  pînă la urma

$AA_1$  a oglinzii. Perpendicularele  $l_1F$  și  $k_1F$  pe urma oglinzii au dat punctele  $l_2$  și  $k_2$  pe proiecția  $d'd'_1$  iar verticalele ridicate din aceste puncte au dat pe dreapta  $dd_1$  punctele  $l_3$  și  $k_3$ . Dreptele care unesc punctele  $L'$  și  $K'$  cu punctele  $l_3$  și  $k_3$  sînt reflectele căutate ale verticalelor din spațiu. Înălțimea lor  $L'N'$  și  $K'K'_1$  se capătă cu o perpendiculară  $NN'O'$  pentru figura cuprinsă în cadrul tabloului sau cu dreapta  $k_6kFc$  și cu dreapta  $kK_1Rv$  pentru figura care nu intră în cîmpul vizual al desenatorului (vezi mai jos 215.)

**214.** — *Cîmpul oglinzii* se obține prelungind razele  $O'A$ ,  $O'A_1$ ,  $O'B$  și  $O'B_1$  care unesc reflectul  $O'$  al punctului de vedere cu colțurile oglinzii. (în figura 204 s-a desenat numai prelungirea razei  $O'B_1$  pentru a determina, cum se arată mai jos punctele ei  $T_4$  și  $T_6$  de pătrundere în planele orizontale ale grinzilor și tavanului.

Secțiunea acestui cîmp cu planul obiectelor se obține căutînd în perspectivă inversă punctele  $l$  și  $l_1$  de pe planul obiectelor care se reflectă în punctele  $l'$  și  $l'_1$  luate pe marginile laterale ale oglinzii, prelungite sub nivelul planului obiectelor. Dreptele  $Fcl'$  și  $Fcl'_1$  prelungite ne dau pe urma oglinzii punctele  $t_2$  și  $t'_2$  iar perpendicularele pe planul oglinzii  $O'l'$  și  $O'l'_1$ , prelungite, la intersecția lor cu perpendicularele  $Fl_2$  și  $Fl'_2$  pe urma oglinzii, prelungite, ne dau în  $l$  și  $l_1$  punctele căutate, care unite cu punctele  $A$  și  $A'$  ne dau, în  $At_1$  și  $A_1t$  marginile cîmpului oglinzii pe planul obiectelor.

Pentru a determina secțiunea cîmpului oglinzii cu planul orizontal al grinzilor și al tavanului este necesar să determinăm urma oglinzii  $b_1T_1$  și  $b_2T_2$  pe aceste plane, prelungind în adîncul planului vertical al peretelui marginile laterale ale oglinzii (în fig. 204 se arată construcțiile numai pentru marginea stîngă a secțiunii). În perspectivă inversă s-a găsit cu reflectele  $FcTT_1$  și  $FclT_2$  ale perpendicularelor  $O'T_1T_3$  și  $O'T_2T_5$  că punctele  $T_3$  și  $T_5$  de pe orizontalele  $FT_1T_3$  și  $FT_2T_5$  sînt punctele de pe planul grinzilor ( $T_3$ ) și de pe planul tavanului ( $T_5$ ) care se reflectă în punctul  $T$  luat pe marginea laterală a oglinzii. Unindu-le cu punctele  $b_1$  și  $b_2$  găsim în  $b_1T_3$  și în  $b_2T_5$  pe planul grinzilor și al tavanului, marginea cîmpului oglinzii presupusă prelungită pînă la aceste plane. Perpendiculara, pe planul oglinzii,  $O'B_1$  prelungită precizează în  $T_4$  și  $T_6$  marginile orizontale  $T_4T_7$  (la nivelul grinzilor) și  $T_6T_8$  (la nivelul tavanului) ale secțiunii cîmpului oglinzii cu aceste plane orizontale.

*Reflectele figurilor și obiectelor cuprinse în cadrul tabloului* se determină cu ajutorul elementelor perspective cunoscute procedînd cum s-a arătat mai sus pentru reflectul  $L'N'$  al figurii  $LN$ .

*Reflectele elementelor care nu sînt cuprinse în cadrul tabloului* se vor determina cu ajutorul unei restituiri perspective.

**215.** — *Restituirea perspectivă* (fig. 205). Măsurată pe scara perspectivă în  $E_3$  în planul frontal al punctului de intersecție  $v$ , între urma peretelui de care se reazemă oglinda și urma planului vizual vertical principal  $VP$ , distanța principală  $D/2$   $D'/2$  are o lungime de 7,20 m, care reprezintă adîncimea punctului  $v$  al peretelui față de punctul de vedere. Orientarea peretelui — care face un unghi de  $30^\circ$  cu planul — neutru ne este cunoscută din rețeaua perspectivă cu puncte de resecție pe care s-a desenat. Pentru cunoașterea locului ocupat de oglindă pe acest perete pe orizontala dusă prin punctul  $u$ , cu ajutorul corespunzătorului punct de egală resecție  $R'$  determinăm segmentele  $ua'$ ,  $a'v'$  și  $v'a'_1$  care, măsu-



*Reflecțiul încăperii.* Pentru adâncimea reflectului  $U'$  al colului mai depărtat al încăperii va trebui să determinăm punctul  $a$  în care urma  $AAI$  a oglinzii, prelungită, întâlnește urma peretelui lateral al încăperii. Pe verticala coborâtă din acest punct luăm, măsurat în  $E_4$ , un segment  $au'$  de 3,25 m adică jumătate din adâncimea de 6,50 m a încăperii, față de urma oglinzii ( $7,10 - 0,60 = 6,50$  m), deoarece punctul de resecție  $R/2c$  pe care

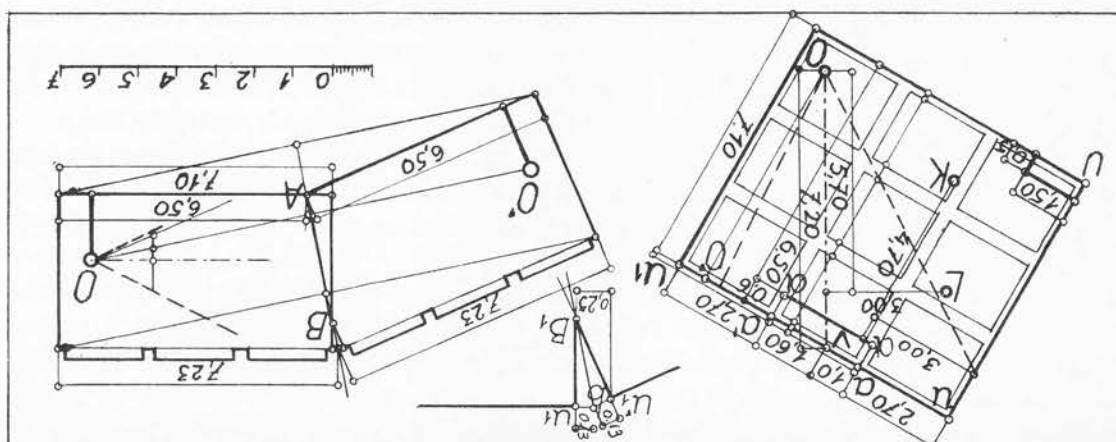
o construcție specială. în timp ce pentru măsurarea adâncimilor elementelor aflate pe plan va trebui să se facă figura 205, pînă la urma oglinzii, iar nu pînă la urma peretelui pe care se reazemă oglinda, mentelor situate pe planul obiectelor trebuie măsurate, după cum se vede în secțiunea din desenatorului. Pentru reprezentarea reflectelor lor în oglindă vom ști că adâncimile elementelor va fi completată cu figuri și elemente care nu intră în câmpul vizual al elemente, de exemplu adâncimea de 5,70 m și abscisa de 3,00 m a figurii  $L$ .

Restituirea va fi completată în tabel pentru eventuala completare a restituirii cu aceste fața de urma peretelui, adâncime a cărei mărime adevărată  $cb$  a fost măsurată, pe scara rate în  $E_5$  au respectiv 2,70 m, 1,00 m și 1,60 m. Cu aceste elemente pentru a obține acțiunea reprezentată în tabel.

Restituirea trebuie neapărat completată cu urma oglinzii la o adâncime de 0,60 m față de urma peretelui, adâncime a cărei mărime adevărată  $cb$  a fost măsurată, pe scara rate în  $E_5$  au respectiv 2,70 m, 1,00 m și 1,60 m. Cu aceste elemente pentru a obține acțiunea reprezentată în tabel.

Restituirea trebuie neapărat completată cu urma oglinzii la o adâncime de 0,60 m față de urma peretelui, adâncime a cărei mărime adevărată  $cb$  a fost măsurată, pe scara rate în  $E_5$  au respectiv 2,70 m, 1,00 m și 1,60 m. Cu aceste elemente pentru a obține acțiunea reprezentată în tabel.

Fig. 205. (210, 215)



il vom folosi e redus la jumătate. Reflectul adîncimii  $aU'$  a încăperii se va obține în punctul de intersecție  $U'$  între reflectul  $aFc$  al muchiei peretelui lateral cu dreapta care unește punctul  $u'$  cu punctul corespunzător de resecție redus la jumătate  $R/2c$ . Perpendiculara  $U'U'_1$  pe planul înclinat al reflectului planului obiectelor se desenează așa cum s-a arătat mai sus pentru perpendiculara  $L'N'$  sau  $K'K'_1$ , iar înălțimea ei se va preciza cum se arată mai jos.

*Reflectul figurilor și al obiectelor care nu sînt cuprinse în cîmpul vizual al descătorului* se poate măsura cu coordonatele legate fie de reflectul  $U'$  al colțului mai depărtat al încăperii fie de urma  $aA_1A$  a oglinzii.

În primul caz, pentru măsurarea coordonatelor, vom determina pe verticala coborită din  $U'$  cu drepte care unesc punctul de fugă  $Fc$  cu diviziunile 1, 2 etc. de pe verticala  $au'$  mărimea liniei de fugă desenate fie pe rețea (abscisele) fie cu punctul de fugă  $Fc$  (adîncimile), fie cu procedeul arătat pentru reflectul figurii  $L'N'$  (înălțimile) imaginea perspectivă a mobilei prismatice, cu dimensiunile date, din colțul mai depărtat al încăperii.

În cazul al doilea, cunoscînd din restituirea perspectivă abscisa  $uK$  de 3 m și adîncimea de 4,70 a figurii  $K$ , față de urma oglinzii vom determina cu drepte  $R'k$  și  $Fk$  prelungite, punctul  $k_4$  de pe urma oglinzii. Pe verticala coborită din acest punct vom măsura pe scara perspectivă în  $E_2$ , adică în planul frontal al punctului  $k_4$  lungimea de 2,35 m ( $4,70 : 2 = 2,35$  m). Reflectul căutat  $K'$  se va găsi la intersecția reflectului  $k_4Fc$  a orizontalelor, perpendiculare pe urma oglinzii cu dreapta  $k_5R/2c$ . Perpendiculara  $K'K'_1$  pe planul înclinat al reflectului planului obiectelor se va desena cum s-a arătat mai sus, iar înălțimea ei se va determina mai întîi pe verticala  $K'k$  cu dreapta  $k_6Fc$  și apoi în  $K'K'_1$  cu dreapta  $kRv$ .

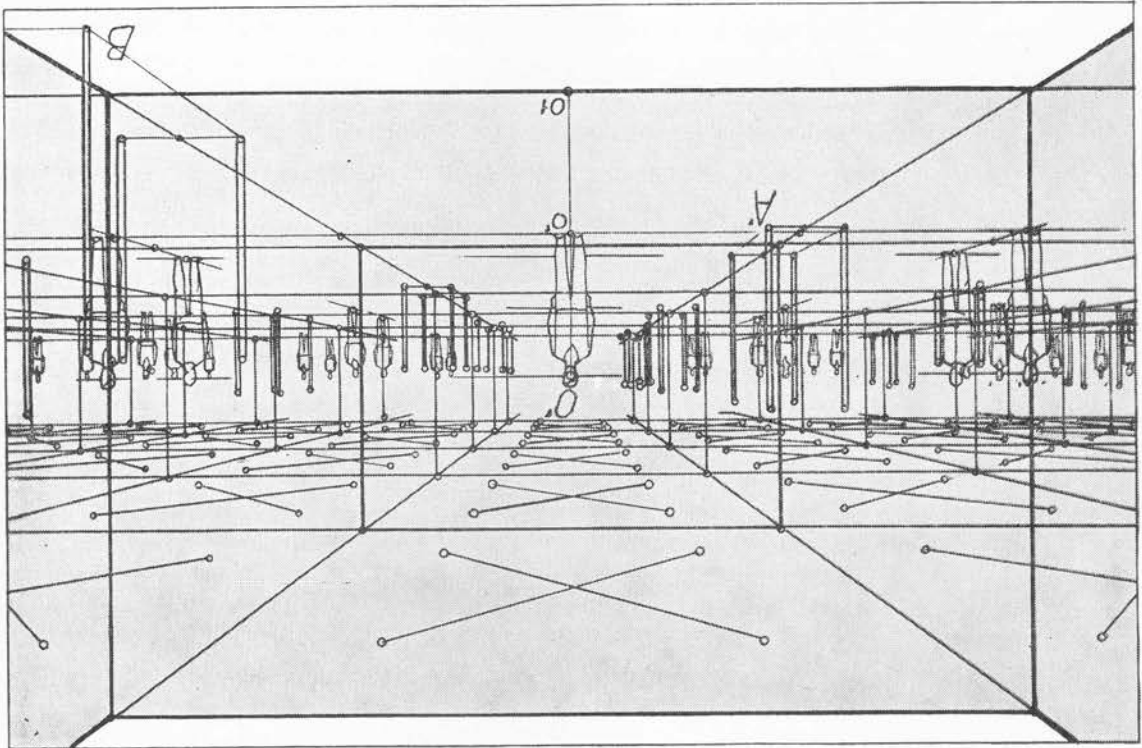
*Reflectele elementelor plafonului.* Pentru a desena adîncimile trebuie să ținem seama de faptul că urma planului înclinat al oglinzii pe planul orizontal al tavanului se află în adîncimea urmei peretelui respectiv, cum se arată în secțiunile din figura 205. Adevărata mărime de circa 13 cm a acestei adîncimi  $bb$  se poate măsura pe scara perspectivă în  $E_5$ .

Pe cale grafică, urma  $bb$  a planului oglinzii pe planul orizontal al plafonului se găsește prelungind pe peretele lateral urma  $aB_2$  a oglinzii, presupusă prelungită, pînă la intersecția ei  $b$  cu dreapta  $u_1F$ . La intersecția dreptei  $bFc$  cu perpendiculara  $u'_1O'$  determinăm în  $u'_1$  reflectul în oglindă, presupusă prelungită, a colțului superior  $u_1$  al peretelui. De la acest punct  $u'_1$  urmează să măsurăm, în adîncimea oglinzii, pe dreapta  $u'_1Fc$  elementele plafonului. În acest scop din punctul  $u'_1$  coborîm o verticală pînă la intersecția ei  $u'_2$  cu dreapta  $uF$ . În planul frontal al acestui punct  $u'_2$ , pe scara perspectivă în  $E_6$  vom măsura adîncimea totală de 3,55 m ( $7,10 : 2 = 3,55$ ) și adîncimile celorlalte elemente componente pe care le vom determina pe dreapta  $u'_1Fc$  cu corespunzătorul punct de resecție redus  $R/2c$ . Pentru a determina reflectul orizontalelor perpendiculare pe urma oglinzii, acestea trebuie prelungite pînă la urma  $bb$  a oglinzii. De exemplu marginile  $I$  ale unei grinzi trebuie prelungite pînă în  $i'$ , pe urma  $bb$  a oglinzii. Acest punct  $b$  unit cu punctul de fugă  $Fc$  ne dă reflectul  $I'$  în oglindă.

**216.** — În oglinda în care se reflectă o oglindă se reflectă și toate imaginile reflectate în acea oglindă: este ceea ce se numește oglinzire reciprocă. Astfel, în fig. 166, în oglinda de capăt din stînga în care se reflectă oglinda frontală din fundul încăperii, se reflectă și imaginea reflectată a prismei precum și orice alt reflect cum sînt de exemplu în această figură un scaun orientat pe unghi, ușa prin deschiderea căreia desinatorul a privit încăperea frontală etc., iar în oglinda de capăt din dreapta se reflectă pe lîngă figura din colțul încăperii și reflectul acestei figuri din oglinda frontală. Aceste reflecte reciproce ascultă de aceeași legi ca reflectele obișnuite. Astfel ușa  $u$  reflectată în oglinda frontală se reflectă în oglinda de capăt în  $u'$ ; segmentul  $u'u_1$  fiind egal cu segmentul  $u'u_1$  punctul  $u_1$  aflîndu-se pe reflectul urmei oglinzii de capăt și segmentele  $u'u_1$  și  $u'u_1'$  fiind perpendiculare pe această urmă. După aceeași legi se reflectă și figura  $i$  în  $i'$ , în  $i''$  și în  $i'''$  fiind egale segmentele  $ii'$ , cu  $ii_2'$  și  $ii_2''$  cu  $ii_2'''$ .

Reflexele reciproce ale oglinzilor sînt folosite în arhitectură pentru a mări impresia de adîncime a unor încăperi (vestibule, săli de recepție etc.)

Fig. 206. (216)



Dacă numai unul din pereții unei încăperi este acoperit în întregime cu o oglindă verticală, încăperea împreună cu reflectul ei vor da impresia unui spațiu de două ori mai mare.

Dacă într-o încăpere pătrată sînt acoperiți cu oglinzi verticale doi din pereții ei alăturați, încăperea împreună cu cele două reflecte ale ei va apare privitorului de două ori mai mare în ambele sensuri, adică de patru ori mai vastă.

Dacă doi din pereții opuși ai unei încăperi vor fi acoperiți cu oglinzi verticale, reflectele reciproce ale celor două oglinzi, prin repetarea lor succesivă vor da impresia că încăperea a fost transformată într-un vestibul sau o galerie de o lungime nesfîrșită alcătuită dintr-o înșiruire de travei asemănătoare încăperii respective.

Dacă într-o încăpere triunghiulară, pătrată sau hexagonală, toți pereții vor fi acoperiți cu oglinzi vom avea impresia de repetare la nesfîrșit a încăperii respective în toate sensurile.

În figura 206, în încăperea reprezentată, dreptunghiulară în adîncime și cu toți pereții acoperiți cu oglinzi, s-a presupus că se află numai privitorul — al cărui reflect în oglinda frontală este  $o'O'$  (punctul  $o'$  împarte, după cum știm, în două părți egale verticala  $o_1O'$ ) și două elemente verticale dintre care unul  $B$  apropiat de oglinda frontală și altul  $A$  pe care nu-l vedem decît în reflectul lui  $A'$  în oglinda frontală. Reflectele reciproce de repetiție care în realitate merg la nesfîrșit au fost urmărite în figură numai de cinci ori.



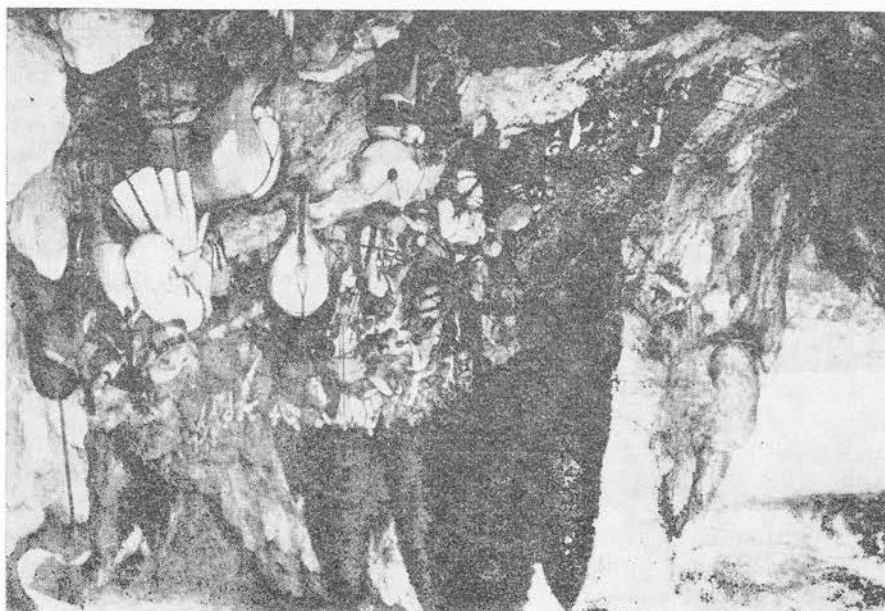
**218.** — După cum s-a arătat în prima parte a acestei lucrări, mai ales în compozițiile în care figurile și celelalte elemente, la diferite depărțări, sînt situate, pe un teren accidentat, la diferite nivele, poziția lor relativă în vederea definitivă și veridică a lucrării poate fi ușor precizată prin aplicarea grafică a legii descrescșterii perspective (I, 307—323, fig. 333—351).

#### APLICAȚIILE GRAFICE ALE LEGII DESCRESȘTERII PERSPECTIVE

**217.** — În organizarea și definitivarea unei compoziții picturale perspectiva poate servi pe artist prin numeroase mijloace. Din acestea vom reaminti: aplicațiile grafice ale legii descrescșterii perspective (I 307—323 fig. 333—351) ridicarea, coborîrea, apropierea și depărtarea punctului de vedere (I, 63, fig. 93—98 și 77—78, fig. 122—125) precum și folosirea rețelilor perspective cu puncte de egală resecție (I 419—426 fig. 467—480 a) pentru compoziții care grupează figuri și elemente cu diferite orientări, depărțări și nivele.

### IMAGINILE PERSPECTIVE ÎN COMPOZIȚIILE PICTURALE

Fig. 207, (218, 219) Pieter Brueghel cel Bătrîn: Conversiunea Sf. Paul



Ne referim mai ales la acele compoziții figurale în care orizontul situat în partea superioară a tabloului permite o vastă desfășurare panoramică în adâncimea spațiului pe un teren accidentat cu ape, lacuri, văi, dealuri, stînci, păduri și lanuri, cu multiple și variate construcții de forme și mărimi diferite, ruine, turnuri, uzine, combinate cu coșuri și turnuri de răcire, cu poduri, animale, păsări în zbor etc., cum sînt, de exemplu: *Conversiunea sfîntului Paul*, fig. 207 *Coșofana pe spînzurătoare* (I, fig. 9) și *Vînătorii iarna* (I, fig. 335) de Pieter Bruegel cel Bătrîn; *Uciderea pruncilor*, de Bruegel cel Tânăr (I, fig. 189); *Peisaj cu sfîntul Malei și ingerul*, de Nicolas Poussin (I, fig. 29); *La instrucție*, de K. A. Vialov (I, fig. 351). Ultima din compozițiile enumerate mai sus a fost analizată în prima parte a acestei lucrări (I, 323) cînd s-au dat și două exemple de aplicare în perspectivă directă a legii descreșterii perspective, arătîndu-se cum, pe baza coordonatelor date (I, 316, fig. 343), pe temeiul unei hărți cu curbe de nivel se poate realiza imaginea perspectivă a unui loc dat (I, 317, fig. 344). Nu vom mai reveni asupra acestor probleme dar vom reaminti cum se aplică această lege în perspectivă inversă pentru a sprijini pe artist în definitivarea unei compoziții executată din memorie sau din imaginație. Prin măsurători elementare se vor determina cu ușurință coordonatele tuturor elementelor din compoziție. Aceste date vor da artistului, pe de o parte, posibilitatea de a așeza modelul să pozeze în atelier sau în plin aer la depărtarea, abscisa și înălțimea pe care le ocupă în terenul accidentat al compoziției, iar, pe de altă parte, îl va sprijini să realizeze veridic imaginea accidentelor terenului cunoscînd înălțimile, abscisele și adîncimile relative ale tuturor elementelor reprezentate în tablou, procedînd cum se arată mai jos, după ce s-a precizat linia orizontului (I, 68) și punctul de distanță redus la o pătrime  $D/4$  în condițiile cunoscute (I, 77—78).

Este suficient ca să apreciem din ochi care poate fi mărimea unui metru în planul frontal al figurii (puțin mai mult decît jumătatea înălțimii ei), al construcției (ceva mai mult decît înălțimea unui etaj de 3 m), al oricărui element a cărei înălțime o cunoaștem sau o presupunem (mărimea metrului se poate determina cu precizie folosind o dreaptă ajutătoare (I, 318—319, fig. 345—346). Luînd pe o bandă de hîrtie această mărime de un metru vom măsura cu ea:

— verticala dintre baza elementului și linia orizontului și vom afla la cîți metri este situat elementul respectiv sub sau deasupra planului vizual principal orizontal;

— orizontala dintre baza elementului respectiv și urma planului vizual principal vertical al desenatorului și vom afla abscisa spre dreapta sau spre stînga desenatorului a elementului respectiv;

— lungimea distanței principale între punctul principal  $P$  și punctul de distanță redus de patru ori și înmulțind-o cu 4 vom cunoaște adîncimea la care se află elementul respectiv față de punctul de vedere al desenatorului.

Determinînd astfel locul ocupat în adîncime, în înălțime și în lățime de toate elementele caracteristice ale compoziției vom avea o imagine vie a poziției lor relative în spațiu, a eșalonării în adîncime a diferitelor accidente ale terenului și le vom putea exprima cu veracitate dozînd în același timp în cunoștință de cauză și efectele de perspectivă aeriană.

#### RIDICAREA, COBORÎREA, APROPIEREA ȘI DEPĂRTAREA PUNCTULUI DE VEDERE

**219.** — Gruparea figurilor reprezentată într-o compoziție picturală poate da pe tablou imagini diferite după înălțimea și depărtarea mai mare sau mai mică a punctului de vedere al desenatorului.

Cînd punctul de vedere este al unui desenator care stă în picioare, capetele tuturor figurilor în picioare din compoziție se vor situa la înălțimea liniei orizontului — bine înțeles cu miciile diferențe date de statura lor diferită (fig. 214) — iar figurile din planele mai depărtate, în picioare sau așezate, nu se vor vedea decît dacă se află în spațiile lăsate libere de figurile din primele plane (I, fig. 93, 95 și 97; fig. 208 și 209).

Fig. 208. (219, 220)

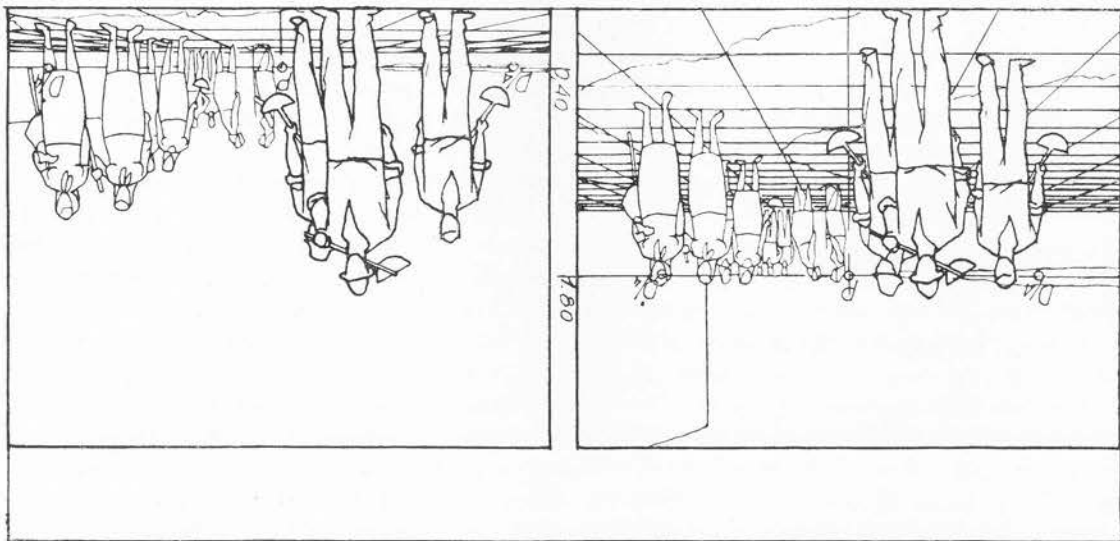


Fig. 209. (219, 220)

Fig. 210. (219, 220, 221)

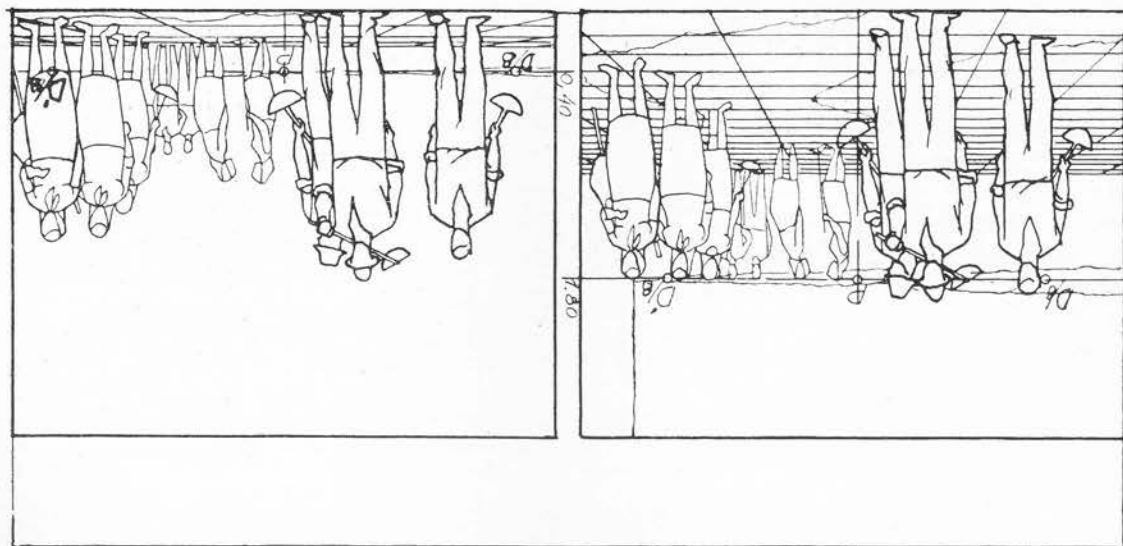


Fig. 211. (219, 220, 221)

Cînd punctul de vedere este al unui desenator așezat pe scaun sau pe jos, înălțimea figurilor depășește cu atît mai mult linia orizontului cu cît sînt mai apropiate iar figurile din planele mai depărtate nu se vor vedea decît dacă sînt situate în spațiile lăstate libere de figurile din primele plane (I fig. 94, 96, 98 și fig. 81 în care linia orizontului se confundă cu marginea inferioară a tabloului și fig. 209 și 211).

Cînd punctul de vedere este al unui desenator urcat pe o înălțime, figurile se situează cu atît mai jos sub linia orizontului, cu cît sînt mai apropiate și nu mai pot ascunde decît — eventual — parțial figurile din planele mai depărtate (fig. 207, 212 și 213).

Dar imaginea grupării figurilor se modifică nu numai prin schimbarea înălțimii punctului de vedere dar și prin apropierea sau depărtarea acestuia de subiect (I, 73, fig. 109—110).

Dacă desenatorul se apropie pentru a cuprinde toate figurile în cîmpul său de *viziune clară*, descreșterile și deformările perspective sînt accentuate și sînt mari diferențele de înălțime și de adîncime dintre figurile mai apropiate și cele care se respiră treptat în adîncimea spațiului (fig. 208, 210 și 212).

Dar dacă desenatorul, depărtîndu-se de subiect îl cuprinde în întregime în cîmpul său mai restrîns de *viziune foarte clară și precisă*, descreșterile și deformările perspective se atenuază, se micșorează deosebiri de înălțime dintre figurile mai depărtate și ne apar mai apropiate unele de altele în gruparea lor, așa cum se poate constata comparînd imaginile din figurile 208, 209 și 212, cuprinse în cîmpul de viziune clară cu imaginile din figurile respective 210, 211 și 213 cuprinse în cîmpul mai restrîns de viziune foarte clară și precisă, dintr-un punct de vedere de două ori mai depărtat și în care acțiunea ne apare mai liniștită.

Considerînd cele arătate mai sus, în căutarea imaginii care să exprime cît mai pregnant conținutul dorit, artistul, după ce a ajuns la o grupare satisfăcătoare a figurilor compoziției sale, poate să modifice înălțimea și adîncimea punctului său de vedere pentru a vedea dacă prin aceste schimbări nu ajunge la o soluție mai expresivă, mai convingătoare.

Fig. 212. (219, 220, 221)

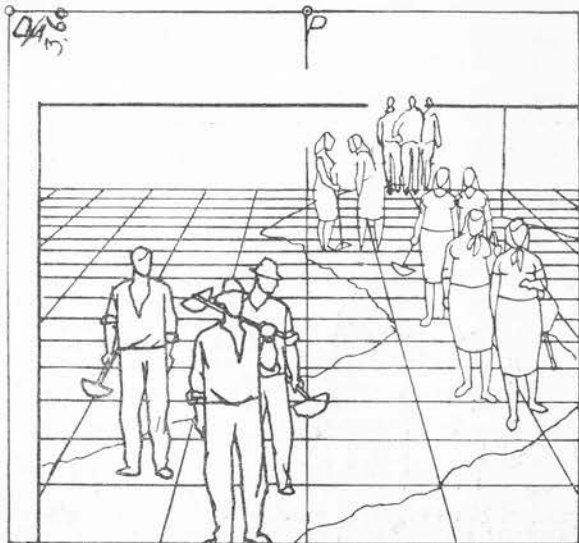
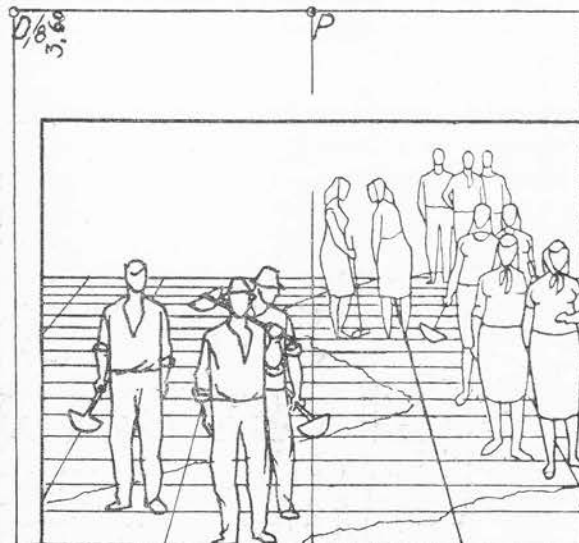


Fig. 213. (219, 220, 221)





**220.** — În scopul de a obține pe o cale cât mai rapidă imaginile considerate din noi puncte de vedere se poate folosi procedeul cunoscut al rețelilor de pătrate orientate frontal (I, 428—429, fig. 483).

În condițiile cunoscute, această rețea se va desena mai întâi în cadrul schiței compozitivei respective, dar, preferabil, nu pe aceeași hirtie ci suprapunând un calc sau hirtie transparentă, evident după ce a determinat linia orizontului (I, 68) și punctul de distanță redus  $D/4$  (I 77—78) cum se arată în figura 208.

În continuare se va desena aceeași rețea de pătrate orientate frontal, coborînd (fig. 209 și 211), urcînd (fig. 212 și 213) și depărtînd (fig. 210, 211 și 213) punctul de vedere. În figurile de mai sus linia orizontului a fost coborîtă la 0,40 m și urcată la 3,60 m iar depărtarea a fost dublată luînd în locul punctelor  $D/4$  punctele  $D/8$  (I 77 b, fig. 119). Rețelele pot fi completate cu o scară perspectivă desenată, de preferință, nu în marginea tabloului ci de o parte a urmei planului vizual principal vertical, pentru a se putea măsura mai exact înălțimile figurilor și ale celorlalte elemente ale compoziției. Se arată mai departe cum se întocmesc aceste rețele cînd linia orizontului nu intră în cadrul tabloului (222).

Va fi ușor să se redeseneze, pe aceste diferite rețele, întreaga compoziție, obținînd un număr de variante pe care artistul le va putea compara pentru a alege pe aceea care i se pare mai corespunzătoare și pe care o va definiția aducîndu-i pe parcurs și alte eventuale îmbunătățiri și completări.

Chiar dacă la sfîrșitul acestor încercări va considera că tot schița inițială este cea mai potrivită, artistul nu va fi făcut o muncă inutilă căci diferitele variante au putut să-i sugereze rezolvări care ar putea fi folosite în alte compoziții.

**221.** — Înainte de a trece mai departe vom face unele completări relative la aceste schimbări ale adîncimii și înălțimii punctului de vedere. Artistul trebuie să verifice dacă locul în care presupune că se petrece acțiunea îi permite să se depărteze de subiect pentru a privi de exemplu dintr-o încăpere vecină printr-o deschidere destul de largă sau să-și deplaseze în înălțime punctul de vedere folosînd de exemplu o denivelare naturală a terenului, prezența posibilă a unor trepte, a unei terase, a unui balcon, a unui scaun sau masă pe care s-ar urca etc.

Adîncimea la care se află punctul de vedere ales față de frontala din spațiu pe care se suprapune marginea inferioară a tabloului se face, după cum știm (I, 318 fig. 345—346) măsuri lungimea distanței principale reduse  $PD/4$  sau  $PD/8$  cu mărimea metruului luată pe această margine și înmulțind-o cu numărul corespunzător al reducerii. Această adîncime este deci de  $2 \times 4 = 8$  m în figura 212, de  $1,30 \times 8 = 10,40$  m în figura 210, de  $1,60 \times 8 = 12,80$  m în figura 211, și de  $2 \times 8 = 16$  m în figura 213.

Înălțimea punctului de vedere față de planul obiectelor se află măsurînd cu mărimea metruului luată pe marginea inferioară a tabloului cota liniei orizontului față de această imagine. Această înălțime este 3,60 m în figurile 212 și 213 (ceea ce înseamnă că desentorul, în picioare, se află pe un element înalt de 2 m) și de 0,40 m în figurile 209 și 211, ceea ce înseamnă că scaunul pe care este așezat desenatorul stă pe un plan orizontal la o cotă de 0,80 m sub planul obiectelor din tablou (această cotă s-a obținut scăzînd 0,40 m din 1,20 m care este cota punctului de vedere al unui desenator așezat).

În locul în care se petrece acțiunea reprezentată în figurile 208—213 sînt posibile adîncimile și cotele punctului de vedere luate în diferitele lor variante.



Fig. 214. (219) L u c i a n : La culesul porumbului

#### COMPOZIȚIE ÎN CARE LINIA ORIZONTULUI ESTE INACCESIBILĂ

**222.** — (Situată deasupra marginii superioare a tabloului). Când linia orizontului este inaccesibilă (ca, de exemplu, în *Trișorii* de Le Valentin I, fig. 85) pentru verificarea perspectivă a unei compoziții orientată frontal sau pe unghi vom putea folosi în condiții cunoscute rețeaua de pătrate orientate frontal (I 433—440, fig. 488—495). Căci această rețea se poate întocmi, când linia orizontului este inaccesibilă, cu procedeul micșorării, de îndată ce ni se dă sau presupunem cota punctului de vedere deasupra planului obiectelor precum și mărimea imaginii unui metru pe una din orizontalele frontale ale planului obiectelor. În perspectivă inversă această mărime se poate deduce cu ușurință, cum se arată în figura 215 în care desenatorul, privind de la un balcon, a presupus că are punctul său de vedere la o cotă de 4,50 m și a desenat în tablou figura principală *FG* a compoziției, presupusă a avea o înălțime de 1,80 m. Cu o dreaptă ajutătoare *Fg* cu o construcție cunoscută, a determinat în *Fm* mărimea imaginii unui metru pe care a desenat-o apoi, pe urma planului frontal al figurii, în *AB*, urmînd să o folosească pentru întocmirea unei rețele de pătrate orientate frontal, cu ajutorul procedeului micșorării, a cărui pol se va lua în punctul *A* (I, 265 fig. 288—289). Micșorarea s-a făcut la o pătrime, luînd în

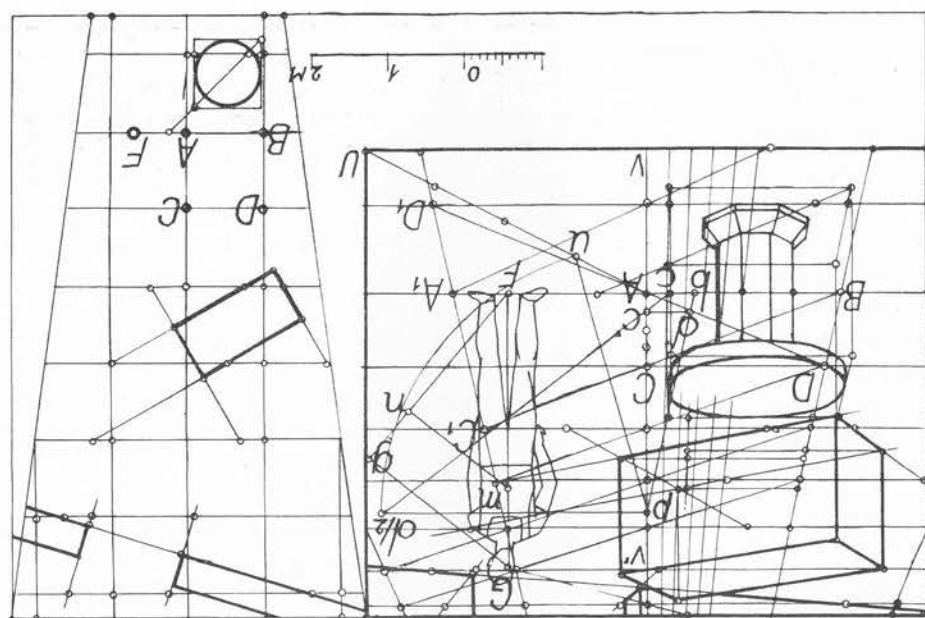


Fig. 215. (222)

Ab a patra parte a imaginii metrului dat. Pe urma  $wv'$  a planului vizual principal vertical s-a luat punctul principal  $P$  al tabloului micșorat la o cotă  $Ap$  de 4,50 m și înțind în  $Au$  a patra parte a dreptei  $AU$  care unește polul cu colțul cel mai depărtat al tabloului dat, s-a determinat raza  $pu$  în care se înscrie tabloul micșorat și cu ajutorul căreia s-a determinat  $pd/2$  distanța principală micșorată la jumătate a tabloului mic. Luând în  $Ac$  jumătatea metrului din tabloul mic și ducând dreapta  $cd/2$  s-a putut obține latimea de capăt  $Ac'$  a unui pătrat  $Abc'd$  din tabloul mic. În tabloul inițial imaginea  $ABCD$  a acestui pătrat se obține ducând prin  $B$  o paralelă geometrică la latura respectivă  $bdp$  a pătratului micșorat și prelungind pînă în punctul  $D$  diagonală  $Ad$  a pătratului micșorat sau luând în  $AC$  de patru ori segmentul  $Ac'$ .

Luând o dreaptă simetrică față de urma  $wv'$  cu dreapta  $BD$ , prelungită pe tot tabloul și ducând diagonalele  $DAD_1$  și  $BCC_1$  vom desena din aproape în aproape o rețea de pătrate orientate frontal pe întregul tablou, rețea ce se va putea desena și în geometric (cum se arată în figura 215) pentru a verifica în perspectivă directă sau inversă, toate detaliile compoziției respective în același fel ca în figurile 491 și 492 din primul volum al acestei lucrări.

În tabloul mic, măsurând cu segmentul  $Ab$  de 1 m lungimea  $pd/2$  a jumătății distanței principale, găsim că are 5,50 m. Aceasta înseamnă că figura dată  $FG$  se găsește la o depărtare de  $5,50 \times 2 = 11$  m de desenator, din care, scăzînd adîncimea de 1,55 a dreptei de capăt  $Av$ , deducem că marginea întîoară a tabloului se află la o adîncime de 11—1,55=9,45 m de desenator. În felul acesta vedem că de la înălțimea la care se află punctul său de vedere, desenatorul, menținînd orizontală raza lui vizuală principală și desenînd, prin urmare pe un tablou vertical, poate cuprinde în câmpul său de viziune clară

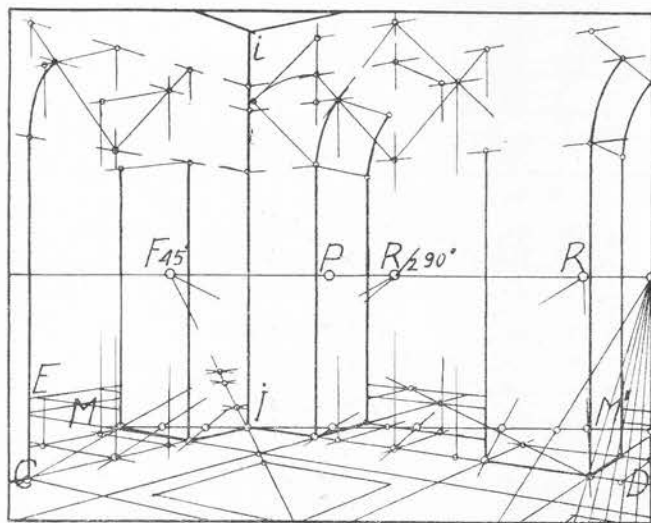
obiectele situate pe planul obiectelor în imediata lui apropiere. În caz contrar nu le-ar putea desena decât pe un tablou înclinat, aplecînd în jos, spre adîncul spațiului raza sa vizuală principală. Elementele perspective ale unor astfel de tablouri înclinate sînt studiate în capitolul referitor la perspectiva în pictura monumentală. (239—265)

#### REȚELELE PERSPECTIVE CU PUNCTE DE EGALĂ RESECȚIE

**223.** — Precizarea și apoi definitivarea unei compoziții care grupează numeroase volume cu orientări, adîncimi și nivele diferite necesită numeroase construcții. Muchiile fiecărui volum se îndreaptă spre alte puncte de fugă inaccesibile de cele mai multe ori și măsurarea lungimii lor nu se poate face decât determinînd, în prealabil, corespunzătoarele puncte de egală resecție și cîte o scară perspectivă pentru fiecare nivel. Construcțiile aferente vor împăienjeni desenul cu nenumărate linii mai ales dacă, pe parcurs, nemulțumit de rezultatele obținute, artistul va schimba de mai multe ori adîncimea, nivelul, dimensiunile și orientarea diferitelor elemente ale compoziției sale.

În prima parte a acestei lucrări s-a arătat sprijinul pe care îl pot da artistului rețelele de pătrate orientate frontal nu numai pentru compoziții frontale (I, 430—435 fig. 485—490) dar și pentru compoziții pe unghi (I, 436—440, fig. 491—495) sau pentru reprezentarea volumelor aflate în spațiu la diferite nivele (I, 441—445 fig. 496—500). De asemenea s-a arătat procedeul mai lesnicios al rețelilor perspective cu puncte de egală resecție (I, 419—426, fig. 467—480 a). În cele ce urmează vom încerca să arătăm felul în care acest din urmă procedeu poate rezolva pînă la capăt problema precizării și definitivării compozițiilor complexe de care s-a vorbit mai sus.

Fig. 216. (223)



Știm cum aceste rețele ne ajută să desenăm drepte orizontale oarecare ce se îndreaptă spre puncte de fugă inaccesibile, cum punctele lor de egală resecție ne ajută să măsurăm lungimile acestor drepte și cum punctul de fugă la 45° simplifică construcțiile în care intervine imaginea perspectivă a pătratului orientat pe unghi, indiferent dacă fețele volumului respectiv se îndreaptă spre adîncul spațiului, sau vin spre desenator.

Astfel în figurile 216—218 cu ajutorul unei astfel de rețele s-au corectat arcadele care fuseseră în prealabil schițate cu aproximație. S-a verificat ca go-



lurile și plinurile să aibă aceleași dimensiuni alternante care s-au măsurat pe scara perspectivă a tabloului în  $M$  pe urma planului frontal al muchiei  $IL$ . Golurile au o lățime de 1,80 m și o înălțime de două ori mai mare. Plinurile, pătrate, au latura egală cu raza aradelor, adică de 0,90 m.

Pentru măsurarea lungimilor pe muchia  $EID$  care fuge spre stînga (fig. 217) dispunem de punctul de egală resecție întreg  $R$ , de aceea pe frontala  $IMM'$  vom lua segmente de 0,90 m ca să obținem pe linia care fuge lățimile plinurilor și ale golurilor. Pentru a obține aceleași lățimi pe muchia  $IC$  care fuge spre dreapta, vom lua pe frontala  $IMM'$  segmente de 0,45 m deoarece pentru această direcție dispunem de punctul de egală resecție redus la jumătate  $R/2$  90°.

Observăm că atunci cînd — față de frontala  $MM'$  pe care s-au luat aceste segmente — muchiile  $IE$  și  $IG$  se depărtează spre adîncul spațiului (fig. 217), liniile de fugă și ele se îndepărtează spre punctele de egală resecție, în timp ce acestea vin spre desenator cînd muchiile  $IC$  și  $ID$  se apropie de el (fig. 216 și 218).

În figura 217 vedem că, fără a ieși din cadrul tabloului, cu punctele de egală resecție nu putem măsura decît o parte din arcadele pereților. Pentru completarea desenului vom folosi unul sau altul din procedeele imediate cunoscute (I, 326—389) cum se arată mai jos. Pentru peretele din stînga ultimul segment  $ej$  determinat cu punctul de egală resecție se repetă în adîncimea spațiului pe dreapta  $HH'$  determinînd pe orizontala dusă prin  $j$  segmentul  $jl$  cu ajutorul unui punct accidental de fugă  $Fa$  (I, 372—373 fig. 409—411). Se iau segmentele  $IL'$  și  $IL''$  egale cu segmentul  $jl$ . Liniile de fugă  $FaL'$  și  $FaL''$  determină segmentele căutate  $IL'$  și  $IL''$ .

Pentru peretele din dreapta considerăm ultimul dreptunghi  $CdDd$  care a putut fi determinat cu punctul de egală resecție. Prin mijlocul  $m$  al verticalei  $Cc$  ducem o orizontala

spre punctul de fugă inaccesibil. Diagonala  $cm'$ , prelungită, determină în  $Dde$  un dreptunghi egal cu cel precedent. (I, 379 fig. 418). Repetăm operațiunea pînă la marginea tabloului. Pentru a obține muchiile despărțitoare dintre plinuri și goluri ducem verticale prin punctele de intersecție  $n'$  ale diagonalelor de mai sus cu orizontala dusă prin punctul  $n$ . În figurile 216 și 217 vedem și cum au fost folosite punctele de fugă  $F45^\circ$  pentru determinarea unor pătrate, spre exemplu plăcile de marmură ale pavimentului  $rsu$  sau baza pătrată a plinului din figura 218.

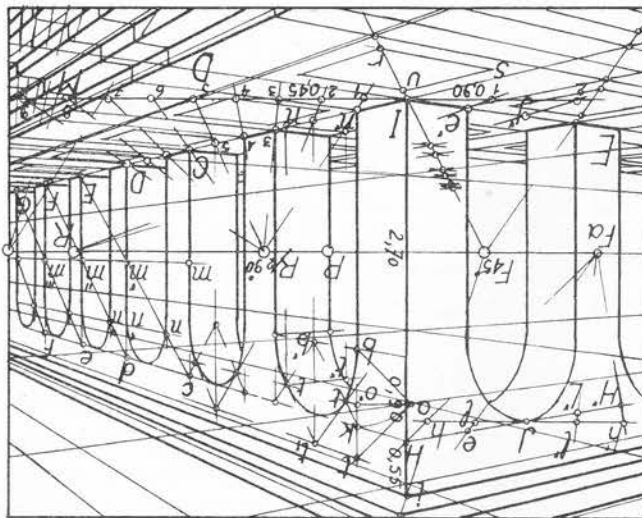


Fig. 217. (223)

Posibilitatea de a duce pretutindeni orizontale către puncte de fugă inaccesibile ne permite să executăm cu ușurință toate construcțiile cunoscute cum ar fi spre exemplu în figura 218 corecta punere în perspectivă a arcadelor cu tangentele respective în punctele  $t$  (I, 217, fig. 259 și 532 fig. 588).

Pentru a se obține rezultate cât mai exacte rețelele ar trebui să fie cât mai dese, ceea ce ar dauna clarității imaginilor perspective și păienjenișul lor ar îngreua mult mersul lucrărilor.

**224.** — Când rețeaua este rară, e greu de apreciat just înclinarea ce trebuie dată liniilor intermediare, mai ales pentru că rigla sau echerul cu care desenăm, dacă nu este transparent, ne ascunde una din linii. Completarea rețelei cu scări divergente (I 331—332, fig. 364—365) sau cu procedeul triunghiului asemenea (I 345, fig. 377 III), dă rezultate exacte dar nu destul de rapide. În practică se recomandă ca orizontala căutată să fie mai întâi creionată cu mîna liberă, urmărind din ochi ca ea să împartă, pe tot parcursul, în părți proporționale spațiul dintre liniile rețelei, și numai ulterior să fie definitivată cu rigla.

Și cu echerul, prin mișcări de translație, se obțin rezultate satisfăcătoare, dar tot aproximative, procedînd după cum urmează (fig. 219).

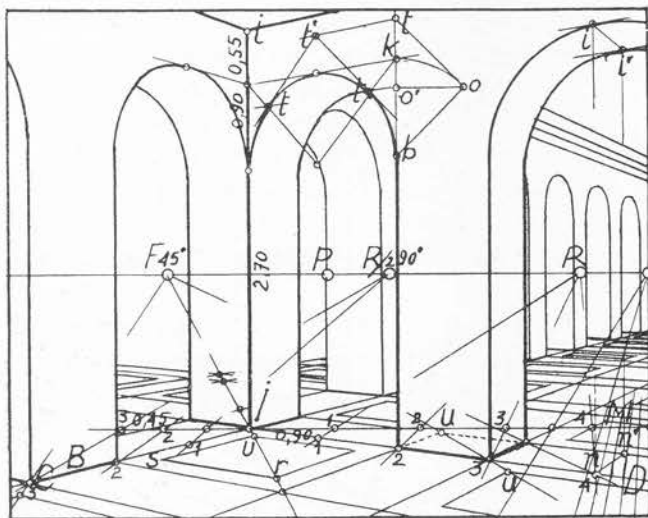
Fie  $AB$  și  $CD$  două din liniile depărtate ale unei rețele rare și  $E, F, G$  punctele prin care urmează să se ducă orizontale paralele. În timpul operațiunii echerul (dacă nu este transparent) va acoperi linia  $CD$  și nu vom putea aprecia just orientarea ce trebuie dată paralelelor care trec prin diferitele puncte:  $E$ , situat aproximativ la mijloc,  $G$  situat mai aproape de linia inferioară și  $F$  situat mai aproape de linia superioară.

*a.* Cu ajutorul a două echere, printr-o mișcare de translație ducem prin  $A$ , paralela  $AD'$  la linia inferioară  $AD$ . În triunghiul  $BAD'$  împărțim din ochi latura  $BD'$  în părți

proporționale cu părțile în care punctele date împart spațiul dintre liniile depărtate ale rețelei. Nu e necesar să se și deseneze liniile  $AE', AF'$  și  $AG'$  așa cum s-a făcut în figura noastră pentru claritatea expunerii.

*b.* Așezăm echerul astfel încît marginea lui să treacă prin punctele  $A$  și  $E'$ . Printr-o mișcare de translație ducem prin  $E$  o paralelă geometrică. Aceasta, prelungită, ar trece prin punctul de fugă inaccesibil al liniilor rețelei. La fel procedăm și cu orizontalele care trec prin punctele  $E$  și  $G$ . Ele vor fi paralele geometrice cu liniile  $AF'$  și  $AG'$ . Se înțelege că

Fig. 218. (223)



În felul acesta, fără a încălca desenul cu nici o linie ajutătoare, putem corecta cu rețele perspective corespunzătoare folosindu-le în transparentă imaginile tuturor volumelor cuprinse în aceeași compoziție, oricare ar fi orientarea lor. Cu puțină deprindere aceste rețele se pot construi destul de repede. De altfel o dată întocmite, ele ne folosesc din nou ori de câte ori în altă compoziție avem volume cu aceleași orientări. Desenându-le treptat, în măsură în care are nevoie de ele, în puțină vreme, desenatorul va dispune de un număr destul de mare de rețele pentru a duce la bun sfârșit verificarea compozițiilor celor mai variate.

mai jos.

Socotim că refelele nu trebuie întocmite pe hirtia pe care se vor definițiva, prin studiu, imaginile perspective ale compoziției. Ele trebuie desenate pe altă hirtie, de preferință în tuș negru și cu linii groase, în felul transparentelor care se așază dedesubtul hirtiei de scris, pentru a înlesni scrierea în rinduri drepte. În aceste condiții liniile refelelor pot fi cit mai apropiate, asigurând în cea mai largă măsură exactitatea construcțiilor pers-pective. Ca urmare pentru studiul compozițiilor complexe se va folosi hirtia obișnuită de scris sau altă hirtie similară transluceantă. Deși nu este necesar, se poate folosi hirtia de calce. În acest caz, mai ales când calculul este foarte transparent, refelele trebuie desenate cu linii cit mai subțiri în creion, pentru ca intensitatea lor să nu supere, în transparență, creionările ușoare ale traseelor perspective.

(I 401-418, fig. 446-466).  
 Credem totuși că studiile pentru compoziții complexe care grupează volume diferite orientate și situate la diferite departări și nivele se pot face în cele mai bune condiții cu ajutorul rețelor respective cu puncte de egală resecție, dacă se procedează cum se arată

anunam pentru acestea o singură rețea perspectivă, urmînd ca imaginea perspectivă a celorlalte volume care au alte orientări să se obțină prin procedeu exact al construirii geometricei (I 294-300, fig. 322-330) sau prin alte procedee practice (I 401-418, fig. 446-466).

Evident că pentru compozițiile în care marea majoritate a volumelor sînt paralele (cum se întîmplă destul de des în vederea interioară) se va întocmi lucrări ar deveni imposibilă.

225. — Pe o astfel de rețea nu putem desena decât volume care au aceeași orientare. Prin urmare pentru compozițiile care grupează volume cu diferite orientări ar urma să suprapunem mai multe rețele obținând un număr atît de mare de linii ajutoare încît ducerea la bun sfîrșit a lucrării ar deveni imposibilă.

punctului  $A$  poate fi luat în orice punct al liniei respective, nu neapărat pe marginea tabloului și ca rezultatul este același oricare ar fi lungimea dată segmentului  $AB$ .

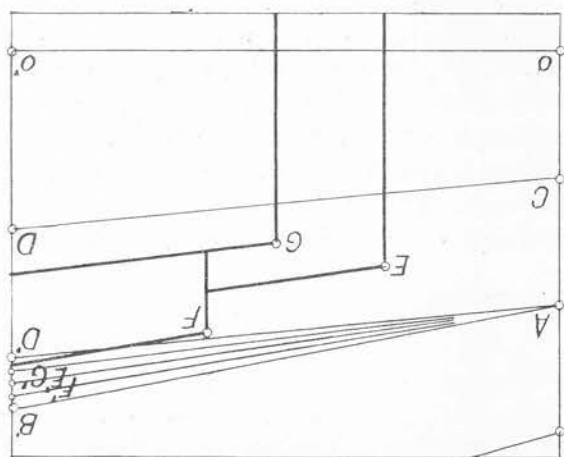


Fig. 219. (224)

Munca de creație în compozițiile complexe va fi sprijinită în mod corespunzător, dacă rețelele perspective vor fi întocmite nu treptat și întâmplător ci de la început după anumite criterii care să determine formatul, numărul și orientarea lor.

### Formatul rețelilor

**226.** — Rețelele perspective vor fi încadrate în circumferința care, după cum am presupus (I, 43 c) limitează, în planul tabloului, câmpul nostru de viziune clară. În acest cerc desenatorul va putea înscrie orice compoziție, indiferent de forma cadrului care o mărginește și de locul pe care îl ocupă în câmpul vizual (I, fig. 61, 62, 78—90). După cum știm, în afară de cazul în care linia orizontului se află către mijlocul compoziției, în general tablourile sînt mult mai mici decît câmpul vizual (I fig. 78—90). De aceasta va trebui să ținem seama cînd vom hotări mărimea rețelilor, adică dimensiunea diametrului lor, întemeindu-ne exclusiv pe experiența noastră personală. Vom avea în vedere mărimea pe care sîntem obișnuiți să o dăm studiilor noastre de compoziție și vom deduce cu aproximație mărimea cercului în care se înscriu. De altfel, dacă se va crede necesar se vor putea întocmi serii de rețele de mai multe formate pentru a fi folosite în diferite cazuri.

Trebuie să precizăm aci că formatul mai mare sau mai mic al rețelilor nu trebuie să constituie nici cea mai ușoară constrîngere asupra artistului în momentul cînd, cu o desăvîrșită spontaneitate, așterne pe hîrtie primele schițe ale compoziției sale. Aceste schițe, dintre care va alege pe cea mai expresivă pentru a o desăvîrși cu ajutorul rețelilor, pot fi cît de mici (fig. 220) sau cît de mari (fig. 221). Pe schița aleasă, după ce a fost limitată în cadrul care i se potrivește mai bine, singurele elemente perspective ce trebuie precizate, ținînd seama de înfățișarea generală a compoziției sînt linia orizontului (I, 63—66, fig. 93—103) și, în mijlocul ei, punctul principal  $P$ . Cu aceste elemente desenatorul va putea construi cu ușurință, pe altă foaie de hîrtie așezată pe una din rețele, un cadru proporțional dar de un format corespunzător mărimii rețelilor.

În acest scop pe noua hîrtie (fig. 220 și 221), pe linia orizontului văzută prin transparență desenatorul va lua segmentul  $Pa'$  egal cu segmentul  $Pa$  din schiță iar pe verticala dusă prin punctul  $a'$  segmentele  $a'b'$  și  $a'c'$  egale cu segmentele corespunzătoare din schița  $ab$  și  $ac$ . Construind raza  $PB$  care trece prin capătul segmentului mai mare ( $a'b' > a'c'$ ) se determină unul din colțurile cadrului căutat. Acesta se desenează ducînd din  $B$  o verticală pînă la intersecția ei cu dreapta  $Pc'$  (eventual prelungită: fig. 220) și o orizontală  $BD$  pînă la marginea cercului. Orizontala  $CE$  (paralelă cu  $BD$ ) și verticala  $DE$  (paralelă cu  $BC$ ) completează cadrul  $CBDE$  proporțional cu cel al schiței alese. Aceasta trebuie desenată din nou în formatul cerut de mărimea rețelilor, operațiune care se poate executa, eventual, cu procedeul pătratelor ajutătoare. În felul acesta verificarea prin rețelele perspective a compoziției nu se va face pe schița aleasă ci pe o copie a ei, mărită sau micșorată. În tot timpul studiului, artistul va putea urmări cu atenție pe originalul rămas neatins, ca verificarea perspectivă să fie astfel concepută și executată încît să nu modifice sau să atenueze expresivitatea elementelor compoziționale pozitive exprimate cu spontaneitate în această primă schiță.





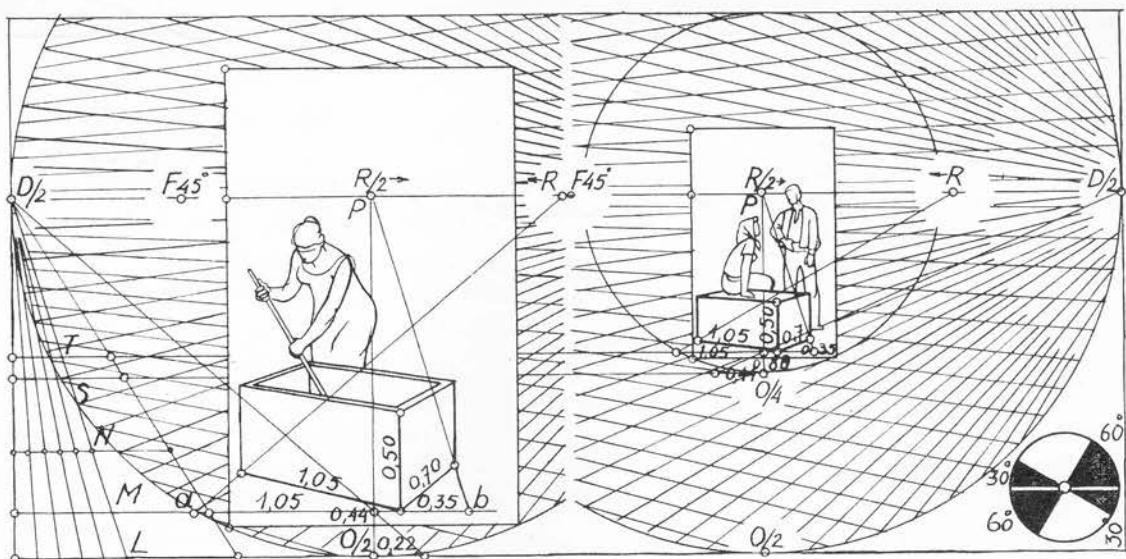


Fig. 224. (227)

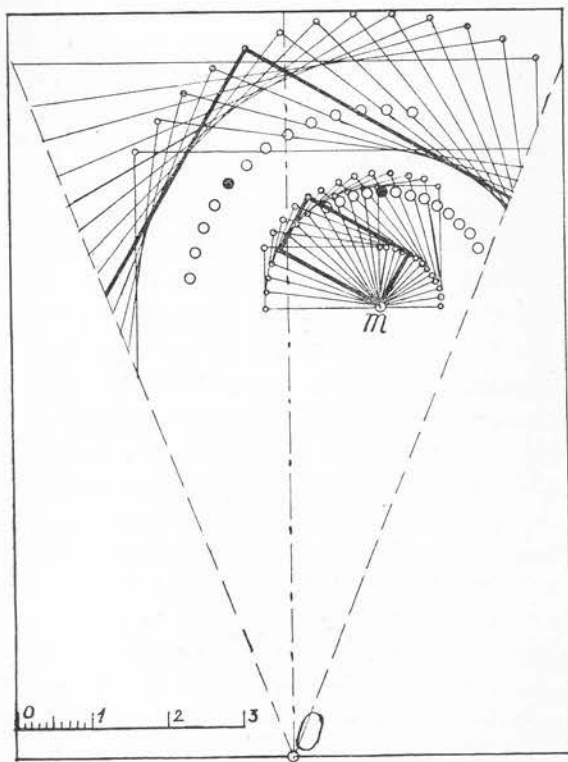
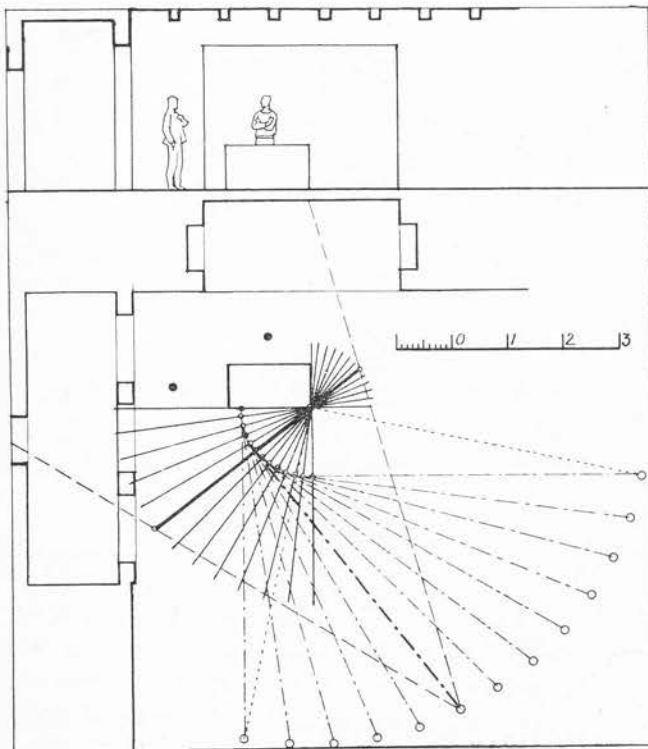


Fig. 225. (227)

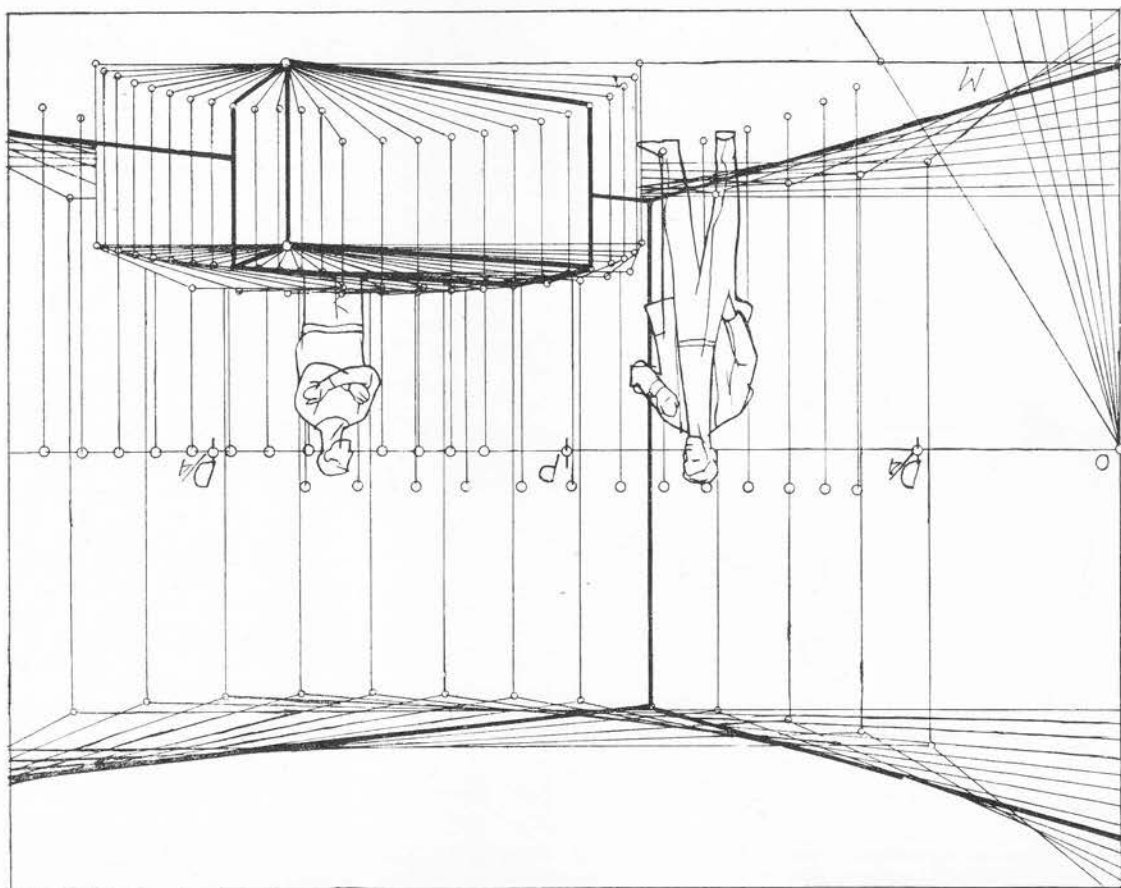


227. — Volumele din spațiul înconjurător au față de punctul de vedere al desenatorului un număr nesfârșit de orientări diferite. Pentru a reda această atitudine mare diversitate din natură ar urma ca desenatorul să dispună de un număr nesfârșit de rețele. Dar de la început trebuie să precizăm că numărul lor se reduce la jumătate dacă avem în vedere că fiecare rețea poate fi utilizată pentru două orientări diferite după cum o folosim cu

### Numărul rețelilor

aceeași orientare, se află cu 88 cm mai departe de punctul  $O/4$  care este de două ori mai depărtat de desenator, prezentând deformări perspective mai atenuate și motivând o compoziție mai liniștită.

Fig. 226. (227)



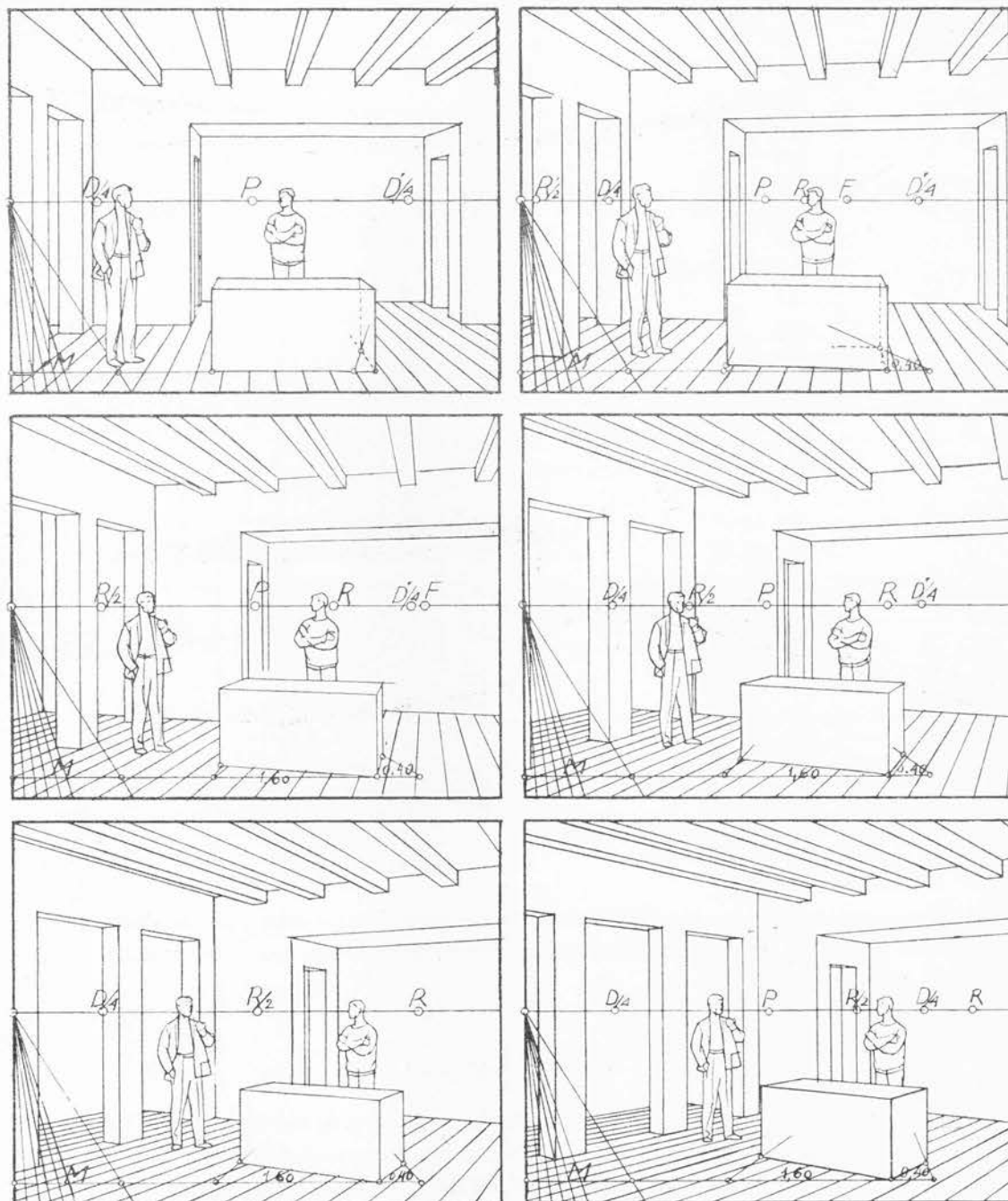
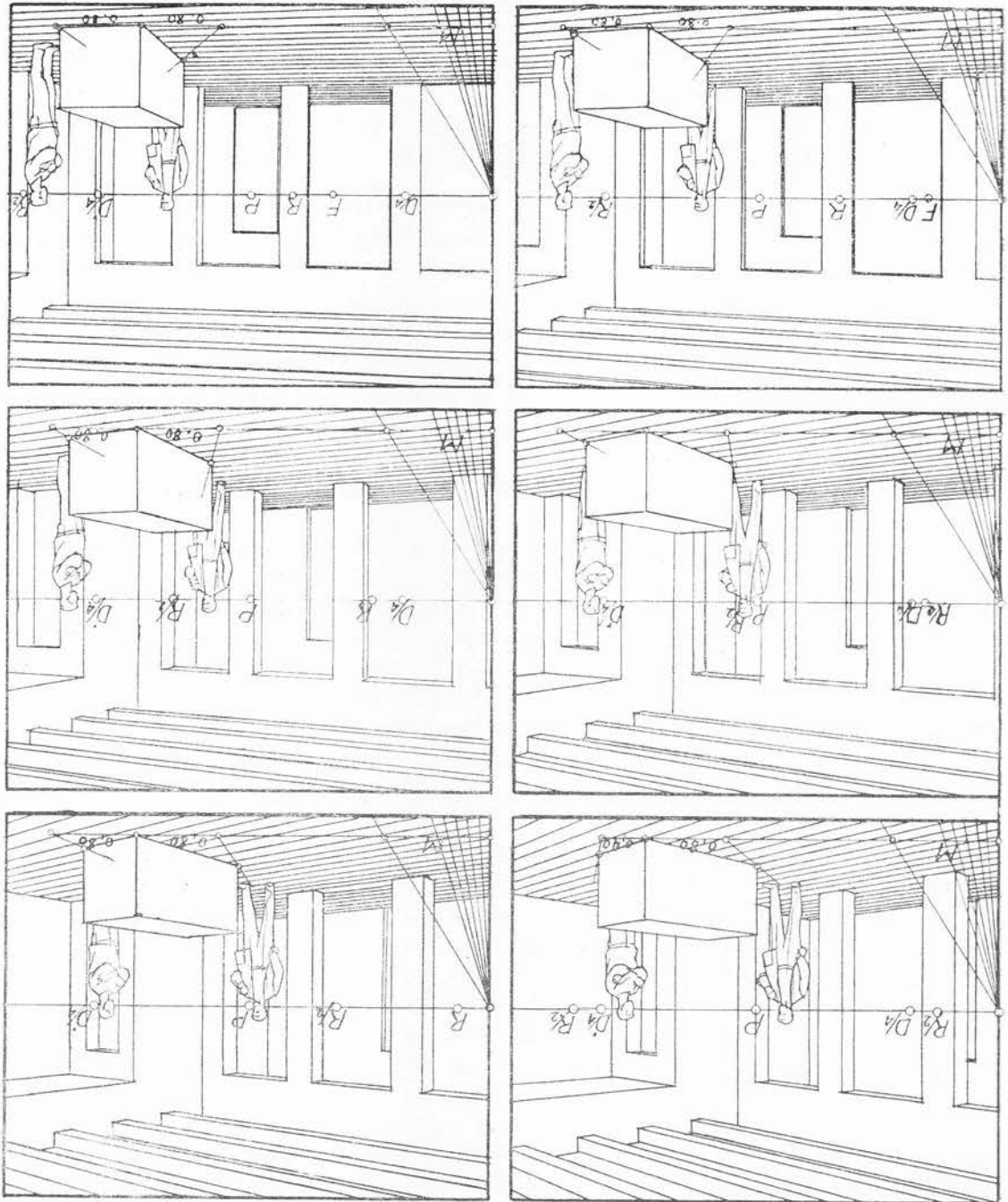


Fig. 227. (227, 397)



Fig. 228. (227, 397)



capul în sus sau cu capul în jos. Spre exemplu în rețeaua reprezentată în figura 223 liniile care fug spre dreapta fac în spațiu, cu planul neutru, un unghi de  $30^\circ$  iar cele ce fug spre stînga un unghi de  $60^\circ$ . Dacă dăm acestei rețele o rotație de  $180^\circ$ , atunci orientarea acestor linii se schimbă: cele care fug spre dreapta fac un unghi de  $60^\circ$  cu planul neutru iar cele ce fug spre stînga un unghi de  $30^\circ$ . Putem deci să dăm pe o singură rețea două orientări diferite unui pătrat pe unghi. Ne mai amintim că și într-un pătrat pe unghi, cu ajutorul scărilor divergente, se pot da patru orientări diferite unui volum complicat cu sau fără ax de simetrie (I 596—597, fig. 650—655). Rezultă că pe o singură rețea putem da unui volum complicat opt orientări diferite. Prin urmare cu un număr restrîns de rețele se poate obține un număr de opt ori mai mare de orientări diferite. Astfel, cu șase rețele se obțin 48 de orientări diferite iar cu douăsprezece rețele 96 de orientări.

Pe de altă parte observăm că, mai ales pentru volumele care se află la o oarecare depărtare de desenator, dacă schimbarea orientării lor nu este mare, modificările înclinării imaginilor perspective ale muchiilor lor sînt foarte mici, cum se arată în figurile pentru care s-au folosit numai șase rețele.

În figura 224 se presupune că desenatorul stă pe loc, în punctul  $O$  și subiectul (o încăpere cu două figuri și un birou) pivotînd în jurul punctului  $m$  își modifică succesiv orientarea cu cîte  $7^\circ 30'$ . Subiectul schimbîndu-și orientarea numai cu  $90^\circ$  ocupă douăsprezece poziții diferite.

În figura 225 se presupune că același subiect rămîne pe loc dar că desenatorul se deplasează cu cîte 80 cm pe o circumferință a cărei rază este de 6 m și al cărei centru se găsește în același punct. Parcurgînd numai un sfert de circumferință desenatorul vede subiectul din douăsprezece puncte de vedere succesive sub tot atîtea orientări diferite.

În figura 226 se arată simultan succesivele aspecte ale subiectului în ipotezele de mai sus, cînd orientarea lui se schimbă treptat cu cîte  $7^\circ 30'$ , precizîndu-se cu linii mai groase înfățișarea lui, cînd muchiile care fug spre dreapta fac în spațiu cu planul neutru un unghi de  $60^\circ$  iar cele ce fug spre stînga un unghi de  $30^\circ$ .

Figurile 227—229 arată pe rînd imaginile perspective ale subiectului din figura 226 a cărui orientare se schimbă treptat cu cîte  $7^\circ 30'$ . Se poate vedea cît de puțin diferă aceste imagini de la o orientare la alta. Aceasta se vede și mai evident în figura 230 în care linia plină și linia întreruptă arată orientările volumului desenat cu două rețele care fac între ele acest unghi de  $7^\circ 30'$  iar linia punctată dintre ele arată, între orientările eventuale pe care le-ar avea un volum din spațiu, unghiul maxim de  $3^\circ 45'$  cu liniile acestor rețele.

Dacă se folosește un număr dublu de rețele diferența ar fi de două ori mai mică, muchiile volumului dat din spațiu putînd face cu liniile a două rețele succesive un unghi maxim de  $1^\circ 52' 30''$ . Între imagini atît de apropiate, o orientare intermediară se poate desena cu o exactitate suficientă numai din ochi și, eventual, cu mîna liberă.

Este evident că pentru un caz cu totul special se va desena anume rețeaua necesară, dacă imaginea volumului respectiv nu se poate obține în condiții satisfăcătoare și mai repede cu procedeul construirii geometralului.

228. — Lucrarea se face așa cum s-a arătat (I 423—426, fig. 470—480). Se obțin rezultate mai exacte folosind punctul de vedere redus la jumătate, în  $0/2$  așa cum se

### Construirea rețelelor și determinarea punctelor de egală resecție

adică a 7,6-a parte din depărtarea de 6 m dintre punctul de vedere 0 și muchia respectivă. Spre exemplu în figura 225 distanța dintre diferitele puncte de vedere este de circa 0,80 m vedere e de două ori mai mică adică de numai a 15,2-a parte din aceeași depărtare.

Avem o imagine vie a diversizator. alt ax care s-ar considera corespunzător. rotația se poate face în jurul oricărui jurul căreia se grupează figurile. Dar mai apropiată de desenator a mesei în rotație al compoziției a fost muchia

În exemplul de mai sus axul de

Fig. 229. (227, 397)

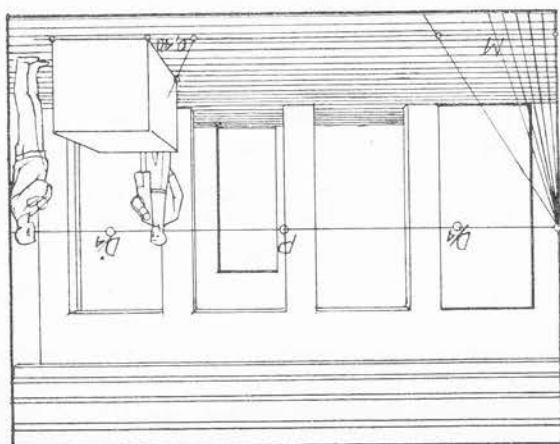
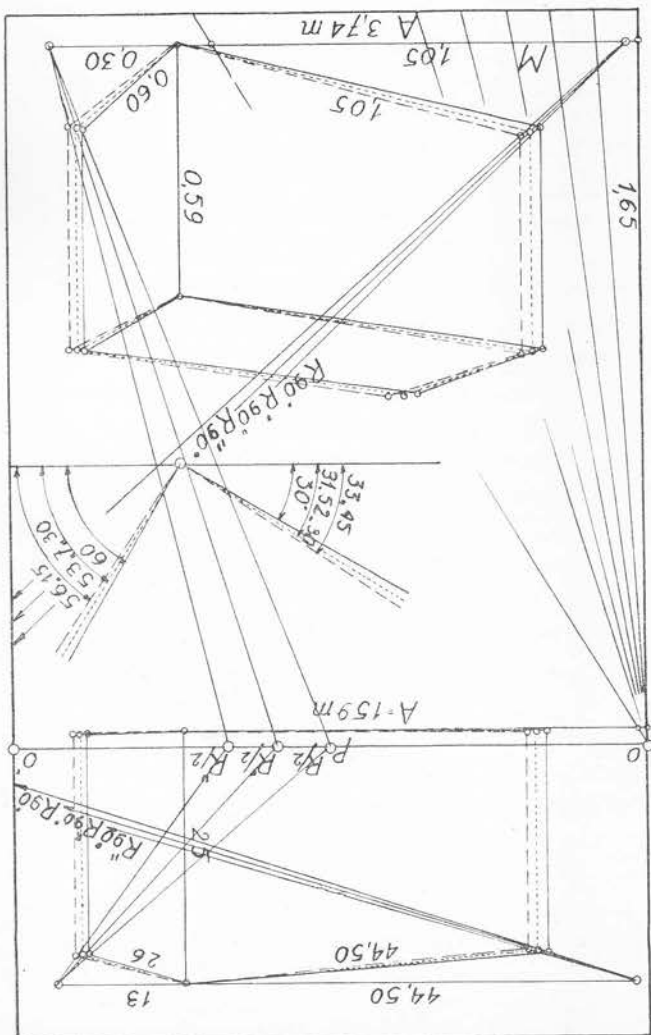
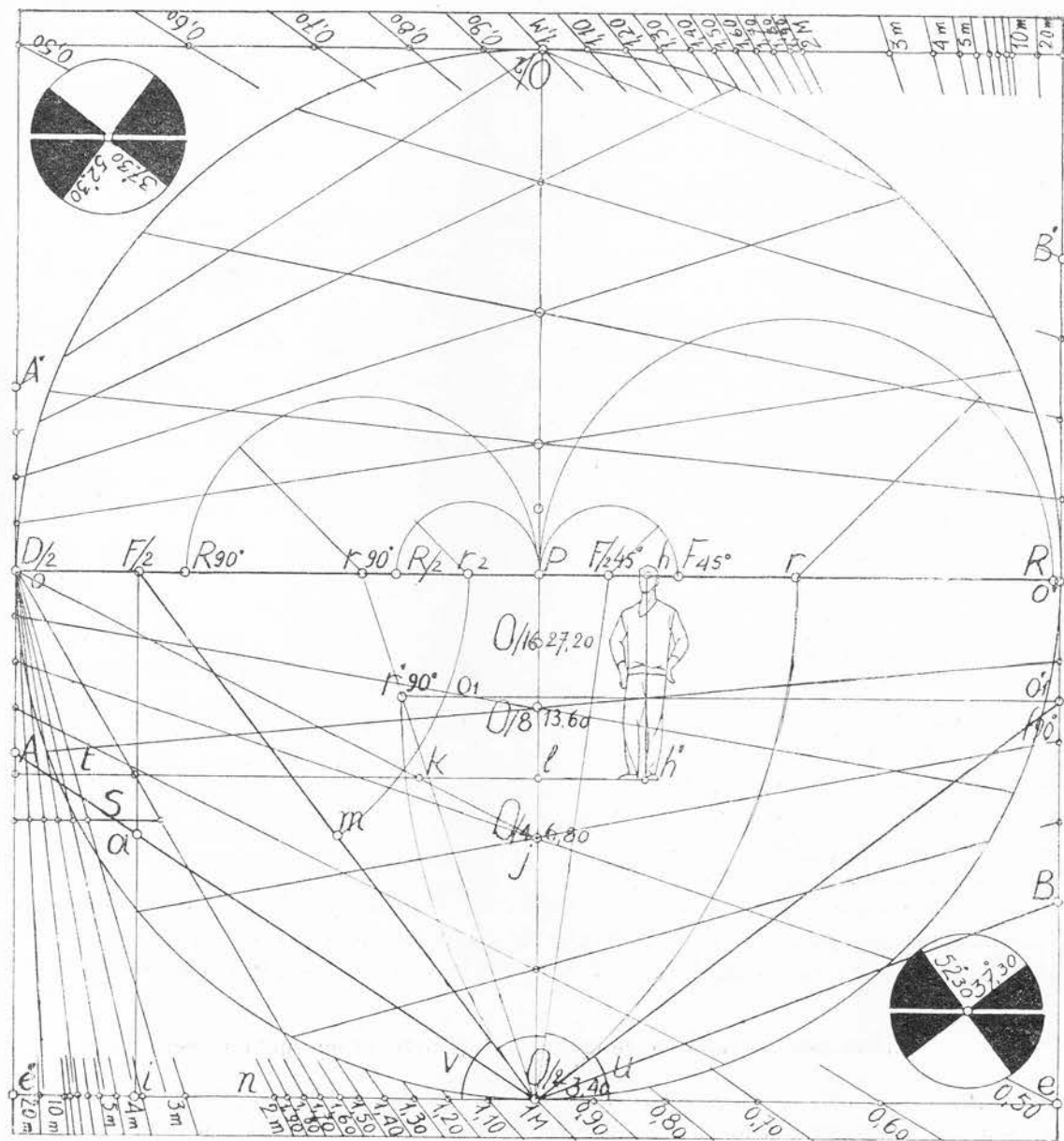


Fig. 230. (227, 397)



vede în figura 231. În acest punct desenăm geometralul unghiului drept orientându-l astfel încât una din laturi (de exemplu aceea din dreapta) să facă cu orizontala  $O/2$  e, pe rând, un unghi  $U$  de  $7^{\circ}30'$ ;  $15^{\circ}$ ;  $22^{\circ}30'$ ;  $30^{\circ}$ ;  $37^{\circ}30'$  și  $45^{\circ}$  dacă ne mărginim la șase rețele (fig. 232 I) sau un unghi de:  $3^{\circ}45'$ ;  $7^{\circ}30'$ ;  $11^{\circ}15'$ ;  $15^{\circ}$ ;  $18^{\circ}45'$ ;  $22^{\circ}30'$ ;  $26^{\circ}15'$ ;  $30^{\circ}$ ;  $33^{\circ}45'$ ;

Fig. 231. (228, 229, 230)





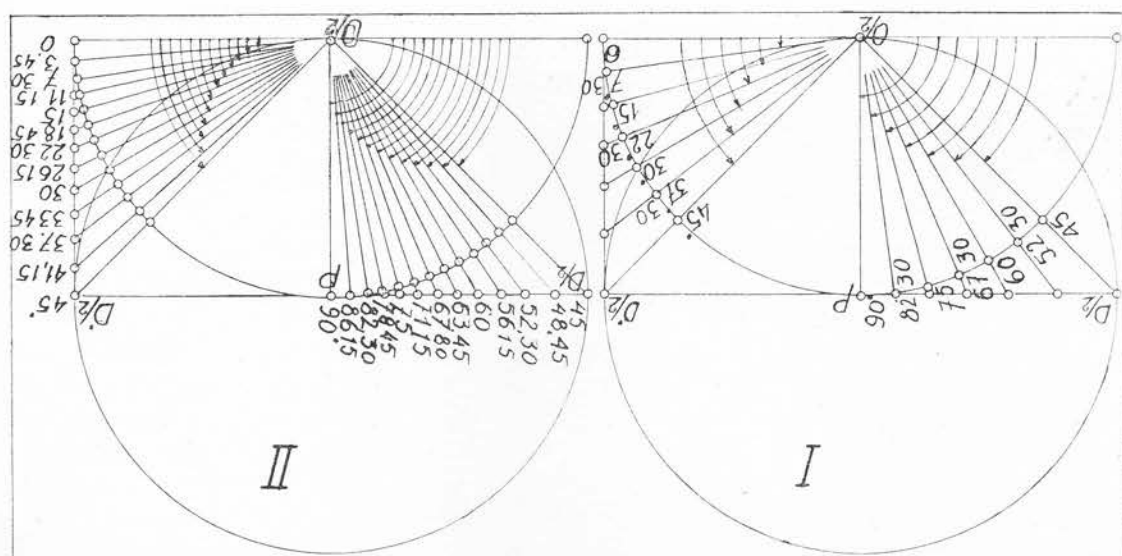


Fig. 232. (228, 231)

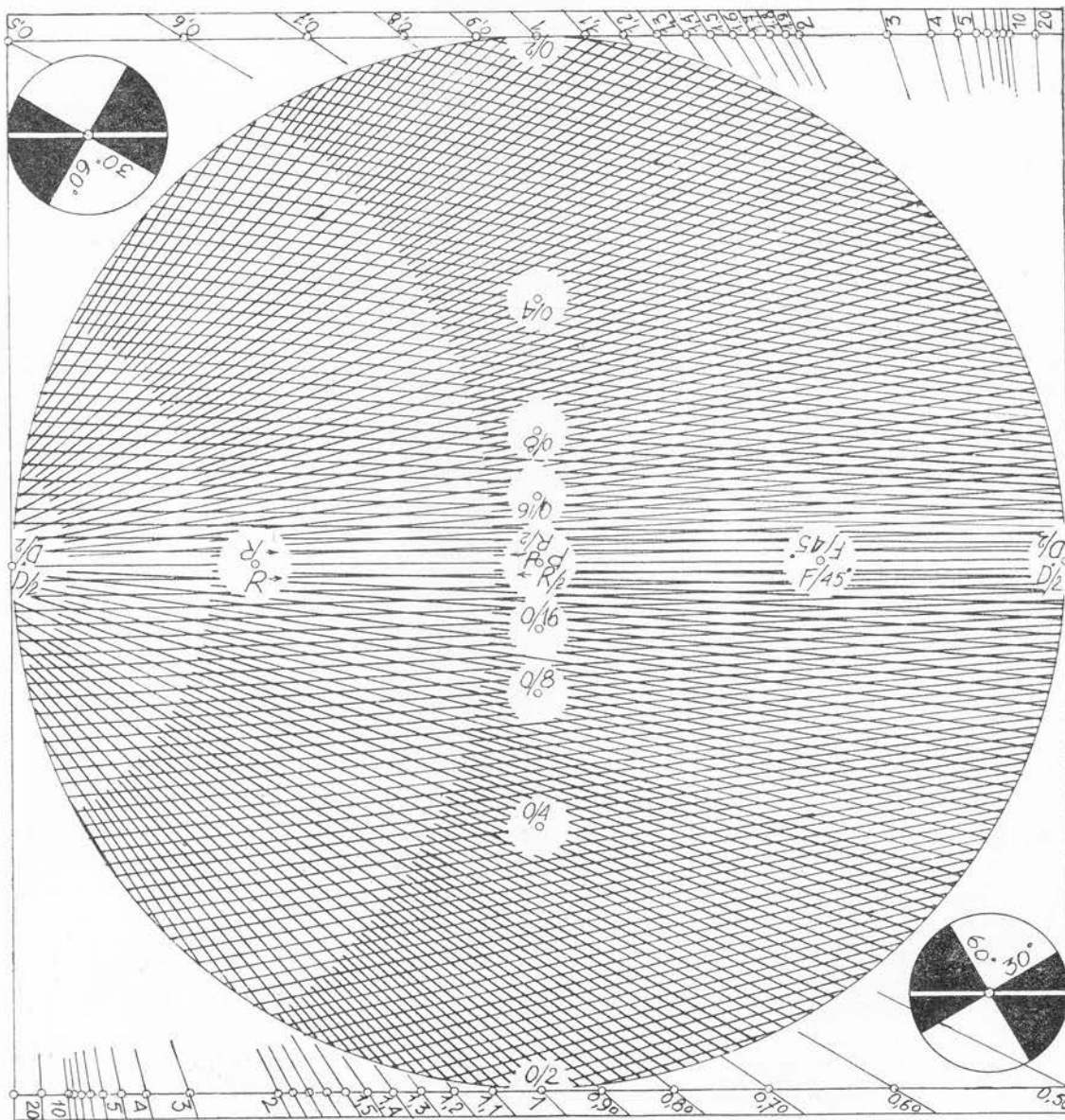
37°30'; 41°15' și 45° dacă vrem să obținem douăsprezece rețele (fig. 232 II). Aceste unghii se obțin fie cu raportorul, fie, tot atât de exact, împărțind un sfert de circumferință în șase sau în douăsprezece arce egale (fig. 232). În figura 231 unghiul  $U$  are 37°30'. Prin arce de cerc (I, 424, fig. 474—477) determinăm punctele de egală resecție, mai întâi micșorate apoi întregi, când sînt accesibile sau reduse, în caz contrar.

Cînd punctul de fugă redus  $F/2$  este accesibil, cum este acela al laturii care fuge spre stînga din figura 231, cu raza  $F/2$  desenăm un arc de cerc și obținem, pe linia orizontului, punctul corespunzător de resecție, micșorat de două ori  $r$ . Luînd segmentul  $rR$  egal cu segmentul  $Pr$  obținem în  $R$  punctul de egală resecție întreg pentru măsurarea dreptelor care fug în punctul inaccesibil de fugă  $F$ .

Presupunînd că punctul  $R$  ar fi inaccesibil, ceea ce se împlinște cînd punctul de fugă  $F/2$  se apropie mai mult de punctul principal  $P$  pentru a găsi punctul de egală resecție redus la jumătate ar trebui să facem următoarea construcție arătată în figura 231. Luăm mijlocul  $m$  al laturii  $O/2 F/2$ . Cu un arc de cerc cu raza  $F/2$   $m$  obținem pe linia orizontului în  $r/2$  punctul de egală resecție redus la jumătate și micșorat de două ori. Luînd segmentul  $R/2 r/2$  egal cu segmentul  $Pr/2$  obținem în  $R/2$  punctul de egală resecție redus de două ori. Cînd punctul de fugă este inaccesibil, cum este cazul laturii care fuge spre dreapta în aceeași figură, vom duce prin punctul  $f'90^\circ$  în  $o'90$  o linie micșorată a orizontului și cu un arc de cerc cu raza  $f'90^\circ O/2$ , vom determina pe această linie punctul de resecție  $r'90^\circ$ . Dreapta  $O/2 r'90$ , prelungită va determina pe linia orizontului punctul corespunzător de resecție  $r'90^\circ$  micșorat de două ori. Luînd segmentul  $R'90^\circ r'90^\circ$  egal cu segmentul  $Pr'90^\circ$  obținem în  $R'90^\circ$  punctul de egală resecție întreg pentru măsurarea dreptelor care fug în punctul inaccesibil de fugă  $F'90^\circ$ .

Bisectoarea unghiului drept  $F/2$   $O/2$   $f$   $90^\circ$  determină pe linia orizontului punctul de fugă micșorat  $F/2$   $45^\circ$  către care se îndreaptă dreptele care fac unghiuri de  $45^\circ$  cu orizontalele oarecare date. Punctul de fugă  $F$   $45^\circ$  întreg se determină luind segmentul  $F/2$   $45^\circ$   $F$   $45^\circ$  egal cu segmentul  $PF/2$   $45^\circ$ . Cînd acesta este inaccesibil, ceea ce se întîmplă cînd unul din punctele de fugă se apropie mult de punctul principal  $P$ , cum se vede în figurile

Fig. 233. (227)



pe planșei ei la cota punctului de vedere a desenatorului presupus a fi la cota de 1,60 m.

a. Scara perspectivă II, pentru măsurarea dimensiunilor încăperii și a volumelor așezate

rite și anume:

nivele diferite au volumele reprezentate. Astfel, în figura 234 s-au folosit patru scări diferite

Cu aceste însemnări ne va fi ușor să întocmim în tablou atâtea scări perspective cte

completează scara cu diviziunile metrului (I, 155, fig. 210).

între liniile  $oe'$  și  $o1,70$  cu dublu decimetru, spre exemplu în  $S$  la scara de  $2\text{ cm}=1\text{ m}$  se

1,70 m — pe care o presupune punctului de vedere al compoziției respective. Se știe cum

ducând o linie care să unească punctul  $o$  de pe linia orizontului cu cota — de exemplu,

Aceste însemnări de pe marginea inferioară a rețelilor se vor folosi, în transparență,

între cotele de 2 m și 10 m. În sfârșit s-a determinat mărimea metrului și pentru cota de 20 m.

sus, pentru fiecare creștere de 10 cm a cotei punctului de vedere. Apoi din metru în metru

Între punctele  $e$  și  $n$  lungimea metrului a fost precizată cu procedeu amintit mai

mărimea metrului  $e'n$  va fi egală cu jumătate din această rază.

corespunde lungimea  $e O/2$ , egală cu lungimea razei rețelei, iar când cota este de 2 m

are lungimea egală cu diametrul cercului în care se înscrie rețeaua. Unei cote de 1 m îi

Astfel, când cota punctului de vedere este 0,50 m în primul plan al rețelei metrul

vedere față de planul obiectelor (fig. 231).

care trece prin punctul  $O/2$  mărimea metrului pentru diferitele înălțimi ale punctului de

a acestei lucrări (I, 152 b, fig. 202—203) vom însemna pe toate rețelele pe orizontala  $oe'$

229. — *Scara perspectivă*. Folosind procedeu cel mai simplu, cunoscut din prima parte

adîncimilor față de punctul de vedere al desenatorului.

tate cu puncte de reper pentru întocmirea rapidă a scării perspective și pentru măsurarea

Pentru ca folosirea rețelilor perspective să fie cât mai lesnicioasă e bine să fie comple-

### Completerea rețelilor cu alte elemente.

figurile 231 și 233.

tral a unghiului drept, pentru care a fost întocmită rețeaua perspectivă, cum se arată în

rețele este bine ca într-un loc potrivit să găsim aratăta cte mai vizibil orientarea în geome-

Pentru a avea o imagine clară a orientării din spațiu a liniilor de fugă ale diferitelor

putea urmări cu mai mare ușurință explicațiile date mai sus.

în practică trebuie să fie cte mai deasă (fig. 233) s-a desenat aci foarte rară pentru a se

se desenează și deasupra liniei orizontului pe segmentele  $oA'$ ,  $PO'/2$  și  $o'B'$ . Rețeaua care

împărțind în același număr de părți egale segmentele  $oA$ ,  $O/2P$ , și  $o'B$ . Aceste diviziuni

a acestei lucrări (I 423—426, fig. 470—480). În continuare rețelele perspective se obțin

dreapta  $O/2$  a care trece prin mijlocul verticalei  $F/2$  așa cum s-a arătat în prima parte

a unghiului drept determinînd în  $B$  mijlocul verticalei  $f 90^\circ e$  și prelungind pînă în  $A$

Pentru a întocmi rețeaua perspectivă vom determina imaginea perspectivă  $AO/2 B$

arătat în prima parte a acestei lucrări (I, 426, fig. 480).

235—236 vom determina punctul denumit  $F1/2$  care se află și se folosește așa cum s-a

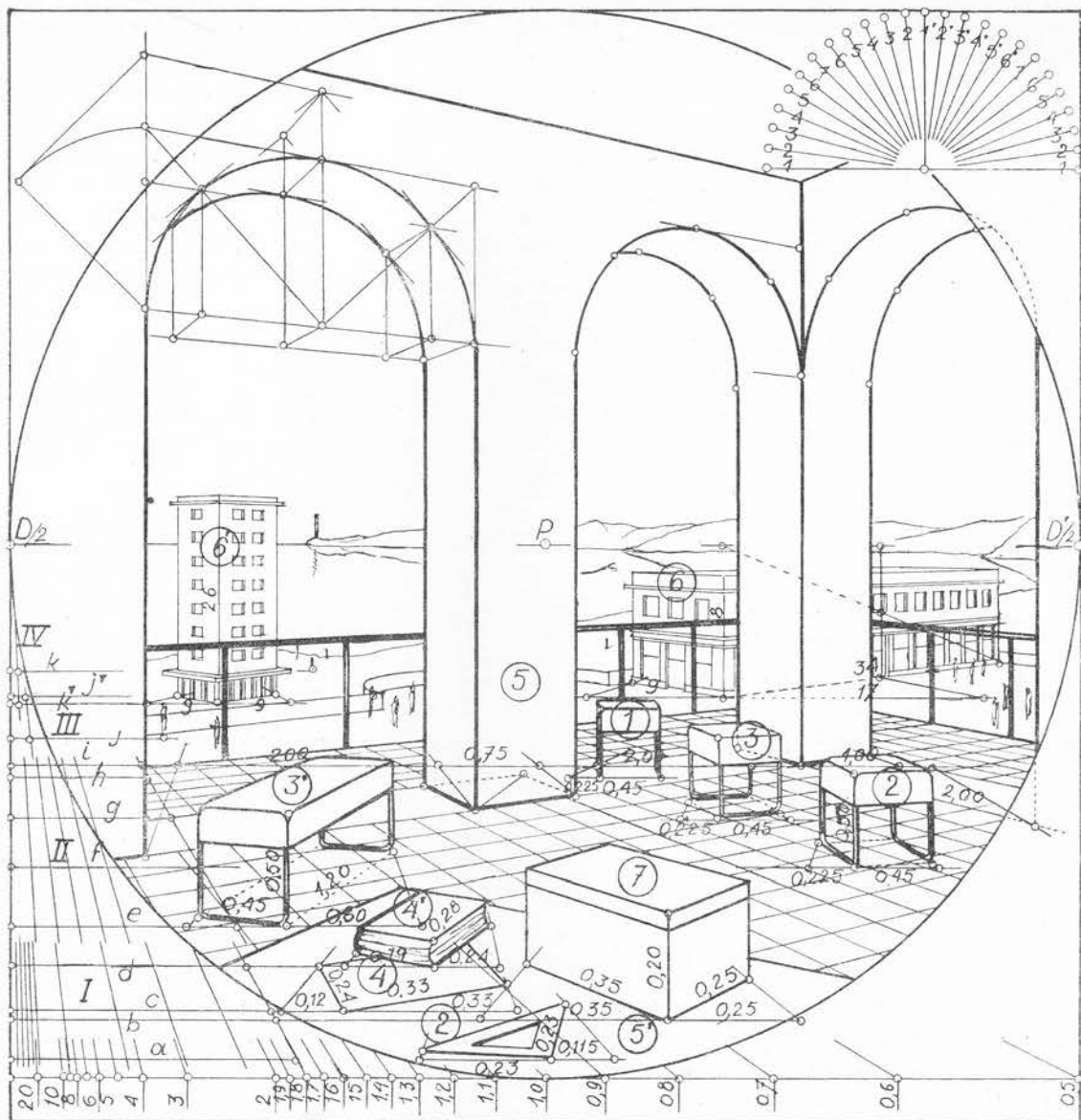


Fig. 234. (229, 231, 397)

b. Scara I pentru măsurarea obiectelor așezate pe masa din primul plan la cota de 0,90 m, care este diferența de nivel dintre punctul de vedere și înălțimea mesei ( $1,60 \text{ m} - 0,70 = 0,90 \text{ m}$ ).

c. Scara III pentru măsurarea elementelor situate pe terasa pe care se află construcția din dreapta compoziției al cărei plan se găsește la 10 m sub punctul de vedere și



hrie mai mult sau mai puțin transparentă, cu ajutorul unei rețele de pătrate, în formatul A. S-au arătat mai sus (226) condițiile în care artistul redeseenează, pe o foaie de varea unei compoziții în perspectivă inversă.

231. — Rămâne să explicăm cum se folosesc aceste rețele pentru studiul și defini-

### Folosirea rețelilor perspective cu puncte de egală resceție

Intrucât, după cum s-a arătat mai sus, vom folosi rețele în ambele sensuri — rotin-du-le cu  $180^\circ$  — este bine ca toate însemnările să fie făcute astfel încât să poată fi citite cu ușurință în ambele cazuri.

De exemplu, în figura 231, adâncimea  $h$  de pe dreapta de capăt  $PO/2$  egală cu dublul segmentului  $lk$  (determinat cu ajutorul punctului de distanță  $D/2$ ) măsurată pe scara perspectivă în  $l$  are 2 m. Deducem că figura  $hh'$  este situată la o adâncime de 6,80 m + 2 m = 8,80 m față de punctul de vedere.

Cînd dorim în continuare să cunoaștem cu precizie adâncimea anumitor elemente, acestea se vor determina față de aceste puncte de reper cu ajutorul punctelor de distanță și al scării perspective, după cum se știe.

Sprînjit pe aceste puncte de reper, dintr-o privire, desenatorul citește cu aproximație adâncimile la care se află diferitele elemente reprezentate în compoziție și vede dacă sînt corepunzătoare sau dacă trebuie micșorate (cum ar fi adâncimea exagerată a unei încăperi chiar dacă este văzută printr-o ușă larg deschisă) sau mărite (cum ar fi lărgimea prea mică a unei magistrale) pentru a evita din primul moment erori inadmisibile.

Socotind aceste adâncimi le vom nota în dreptul punctelor respective. De exemplu pentru cota de 1,70 m a punctului de vedere presupusă în figura 231 punctele  $0/2$ ,  $0/4$ ,  $0/8$  și  $0/16$  se află respectiv, față de planul neutru la o adâncime de  $1,70 \times 2 = 3,40$  m,  $1,70 \times 4 = 6,80$  m,  $1,70 \times 8 = 13,60$  m și  $1,70 \times 16 = 27,20$  m.

În de vedere. Lui de vedere. neutru, la o adâncime respectiv de opt și de șasezeci ori mai mare decît cota punctu- și 16 situate respectiv la o pătrime și o optime a dreptei  $PO/2$  se află, față de planul planul obiectelor la o adâncime de patru ori mai mare decît aceeași cotă; că punctele 8 cota punctului său de vedere; că punctul 4, situat la mijlocul dreptei  $PO/2$ , se află pe că punctul  $O/2$  se suprapune pe planul obiectelor la o adâncime de două ori mai mare decît preciza pe dreapta de capăt  $P O/2$  cum se vede în figura 231 (I, 428, fig. 481—482). Știm

230. — *Punctele de reper pentru măsurarea adâncimilor față de planul neutru se vor*

scara III. dispăre de îndată ce constatăm că frontala  $k$  se măsoară pe scara IV iar frontala  $j$  pe muchiei clădirii din dreapta deși aceasta este mai apropiată de desenator. Aceasta nepotrivire stînga se găsește mai depărtată de linia orizontului decît urma  $j'$  a planului frontal al nului frontal în care se află muchia verticală mai apropiată de desenator a clădirii din Înainte de a trece mai departe vom semna o nepotrivire aparentă. Urmă  $k'$  a pla-

compoziției al cărei plan orizontal se află la 20 m sub punctul de vedere.

d. Scara IV pentru elementele situate pe malul pe care s-a construit blocul din stînga

cerut de mărimea rețelelor perspective, compoziția pe care vrea să o studieze și să o definească, după ce a prevăzut nivelul liniei orizontului și cota punctului de vedere.

B. Așezăm desenul pe una din rețele observînd corecta cuprindere a cadrului lui în conturul circular al rețelei și suprapunînd în transparență linia orizontului pe care vom nota ca puncte de reper: punctul principal  $P$  și capetele diametrului rețelei care sînt punctele de distanță reduse la jumătate  $D/2$ . În continuare folosind însemnările de pe orizontala inferioară a rețelei vom întocmi scara perspectivă a compoziției și subdiviziunile ei, așa cum s-a explicat și s-a arătat mai sus (229). Odată cu întocmirea acestei scări este bine (230) ca pe dreapta de capăt  $O/2P$  să notăm, cunoscînd cota punctului de vedere, adîncimile, față de planul neutru, a adîncimilor corespunzătoare punctelor  $O/2$ ,  $O/4$ ,  $O/8$  etc. de pe această dreaptă.

Cînd volumele cuprinse în compoziție se află situate la două sau mai multe nivele diferite, se vor întocmi scări perspective corespunzătoare fiecărui nivel cum s-a arătat mai sus (fig. 234).

C. Ajuns aici desenatorul are la îndemînă mijloacele de a executa metodic verificarea imaginilor volumelor cuprinse în compoziție, începînd, bine înțeles, cu acelea care ocupă un loc mai important în tablou, procedînd cum se arată mai jos.

Este firesc ca într-o primă schiță muchiile obiectelor paralelipipedice reprezentate să nu facă între ele neapărat un unghi drept, dar pentru a modifica cît mai puțin expresia lor plastică este bine ca verificarea lor perspectivă să nu modifice muchiile caracteristice care fac unghiuri mai mari cu planul neutru, ci celelalte, care fac unghiuri mai mici, îndreptîndu-se spre puncte de fugă mai depărtate: corectarea lor va afecta mult mai puțin înfățișarea obiectului respectiv. Această considerație facilitează alegerea rețelei care urmează a fi folosită pentru fiecare din obiectele reprezentate într-o compoziție. Vom prelungi spre linia orizontului, din muchiile care fac un unghi mai mare cu planul neutru, aceea mai expresivă și care am dori să rămînă neschimbată — determinînd punctul ei de fugă, dacă este accesibil, sau atît cît ne permite hîrtia pe care desenăm și vom deduce cu ușurință rețeaua corespunzătoare considerînd față de punctul principal abscisa punctului de fugă cînd este accesibil sau apreciînd-o cu aproximație cînd acesta este inaccesibil.

Astfel, cînd folosim nu 13, ci numai 7 rețele (fig. 235 și 236) vom ști că:

Dacă punctul de fugă — spre dreapta sau spre stînga punctului principal — se găsește aproape de acesta, la circa o pătrime din raza cercului în care se înscrie tabloul respectiv, vom folosi rețeaua a doua ale cărei linii fac, respectiv, unghiuri de  $82^\circ$ ,  $30'$  și  $7^\circ$ ,  $30'$  cu planul neutru. În felul acesta se prezintă blocul de piatră de care se reazămă Heraclit (I, fig. 77). E de precizat că acest element, care de altfel nu figurează în cartoul original, păstrat în pinacoteca Ambrosiană din Milano, presupune o distanță principală cu două septimi mai mică decît aceea a ansamblului.

Dacă punctul de fugă — spre dreapta sau spre stînga punctului principal — are față de acesta o abscisă puțin mai mare de jumătate din raza cercului în care se înscrie tabloul, vom folosi rețeaua a treia ale cărei linii fac, respectiv, unghiuri de  $75^\circ$  și  $15^\circ$  cu planul neutru. În felul acesta este orientată aria lui Grigore Soroca (I, fig. 357).

Dacă punctul de fugă în accesibil, — spre dreapta sau spre stînga punctului principal — se apreciază că are, față de acesta, o abscisă numai puțin mai mică decît raza cercului în care se înscrie tabloul, vom folosi rețeaua a patra, ale cărei linii fac, respectiv, unghiuri de  $67^{\circ}30'$  și  $22^{\circ}30'$  cu planul neutru. Este orientarea caselor din stînga primului plan al tabloului lui Theodor Aman: *Masacrarea bulgarilor de către turci* (I, fig. 28 a).

Dacă punctul de fugă în accesibil — spre dreapta sau spre stînga punctului principal — are față de acesta o abscisă care nu depășește mult raza cercului în care este înscris tabloul (aici o șesime de rază) vom folosi rețeaua a cincea, ale cărei linii fac, respectiv, unghiuri de  $60^{\circ}$  și  $30^{\circ}$  cu planul neutru. În felul acesta sînt orientate în primul volum al acestei lucrări încăperea (spre dreapta), pridvorul (tot spre dreapta) și clădirea (spre stînga) din figurile 271, 366 și 367.

Dacă punctul de fugă în accesibil — spre dreapta sau spre stînga punctului principal — se apreciază că are o abscisă de circa trei doimi din raza cercului în care se înscrie tabloul, vom folosi rețeaua a șasea, ale cărei linii fac, respectiv, unghiuri de  $52^{\circ}30'$  și  $37^{\circ}30'$  cu planul neutru. În felul acesta este orientată (spre dreapta) masa din desenul lui Daumier (I, fig. 272) și (spre stînga) soclul statuei lui Bonington (I, fig. 68).

În sfîrșit, dacă se apreciază că muchiile obiectului dat se îndreaptă, de ambele părți ale punctului principal, spre puncte de fugă la fel de depărtate de acest punct, vom folosi rețeaua a șaptea ale cărei linii fac unghiuri la  $45^{\circ}$  cu planul neutru.

Dacă se vor folosi un număr mai mare de rețele, de exemplu 13 (fig. 232 dreapta) se va examina în același fel locul ocupat pe linia orizontului de punctul de fugă al linilor care fac un unghi mai mare cu planul neutru și se va căpăta cu ușurință obișnuița de a folosi fără a lăta rețeaua cea mai potrivită cu orientarea obiectului dat din prima schiță a compoziției în vederea definirii ei.

După suprapunerea desenului pe rețeaua considerată a fi cea mai potrivită cu orientarea volumului respectiv din schiță, vom verifica:

a. Cu ajutorul punctelor de distanță și a scării perspective, depărtarea la care se află de desenator muchia mai apropiată procedînd cum s-a arătat mai sus.

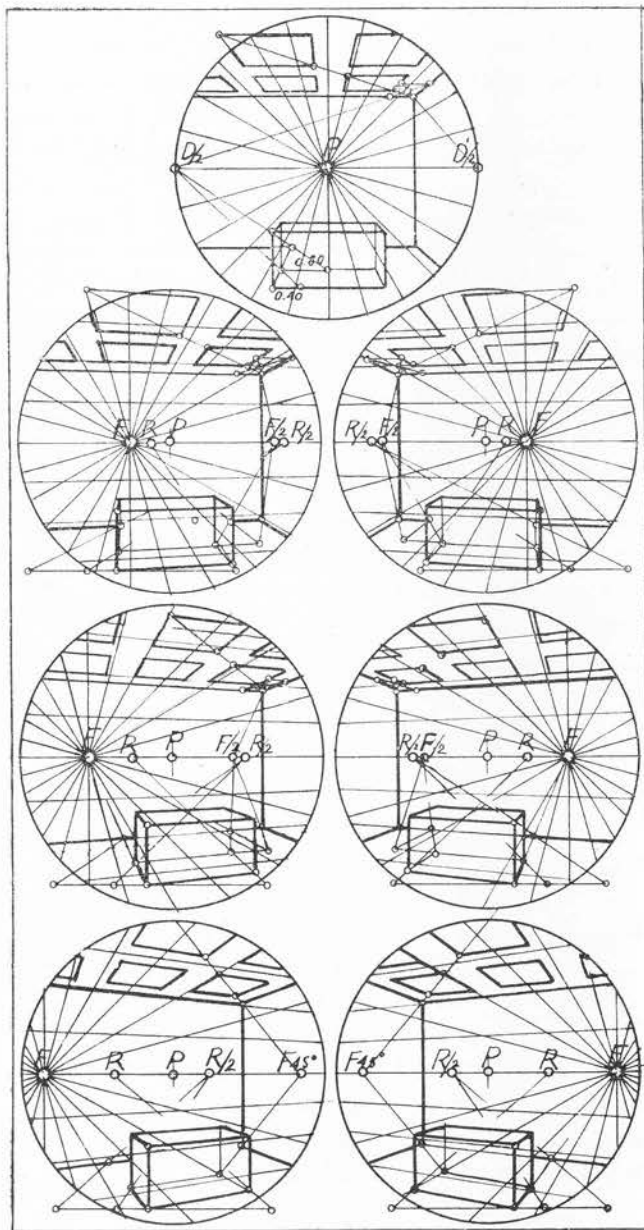
b. Cu ajutorul rețelor, înclinarea exactă a muchiilor orizontale oarecare ale volumului.

c. Cu ajutorul punctelor de egală resecție, (întregi sau reduse) corespunzătoare și a scării perspective, dimensiunile (înălțime, lățime și adîncime) volumului respectiv, fiind atenți să dublăm dimensiunile luate pe scara perspectivă cînd punctul de egală resecție al orientării respective este redus la jumătate, cum se vede că s-a făcut în figura 234.

În urma acestor verificări, imaginea corectă a volumului se va depărta într-o măsură mai mare sau mai mică de imaginea din schiță. În ceea ce privește înclinarea muchiilor orizontale oarecare, desenatorul va vedea dacă nu este cazul să deseneze din nou volumul cu ajutorul aștei rețele care ar da imaginii o înfățișare mai apropiată de cea dorită. În privința dimensiunilor, mai ales în cazul volumelor obișnuite cu dimensiuni curente și bine cunoscute, desenatorul va judeca măsura în care poate să nu le respecte spre a obține contraste mai expresive prin exagerări care în urma acestor verificări devin conștiente și ca atare admisibile.

D. Verificarea volumelor complicate, înscrise în prisme ale căror dimensiuni au fost verificate cum s-a arătat mai sus, se execută după cum știm (I, 565—596) cu ajutorul scărilor divergente. Pentru simplificarea construcțiilor propunem să nu se întocmească

Fig. 235. (228, 231, 397)



scări divergente pentru fiecare volum complicat căci problema poate fi rezolvată în chip satisfăcător dacă desenatorul folosește așa cum se arată mai departe (391), o scară divergentă unică de felul celei ce a fost arătată pentru împărțirea orizontalelor oarecare în segmente egale (I 367—371, fig. 406—407).

Cînd compoziția se desfășoară în adîncimea spațiului pe un teren accidentat, rețelele perspective nu vor asigura numai verificarea orientării orizontalelor oarecare și măsurarea lor cu punctele de egală resecție, dar adîncimile, dimensiunile și locul ocupat în spațiu de diferitele elemente ale compoziției se vor face prin aplicarea grafică a legii descreșterii perspective (I, 307—323).

**232.** — Rețelele perspective cu puncte de egală resecție dau posibilitatea de a da un mare număr de orientări diferite muchiilor volumelor cuprinse într-o compoziție. Prin orientarea judicioasă a acestora spre figura sau elementul principal al compoziției, artistul reușește să conducă atenția privitorului direct spre acest element dominant. Căci acest procedeu poate fi folosit și în compozițiile pe unghi, nu numai în cele frontale de felul *Cinei* lui Leonardo da Vinci (I, fig. 145). Se știe cum în această compoziție către figura centrală se în-



Acestei descoperiri perspective i se datorește în bună parte sugestivă expresivitate a tabloului *Gherla din Filantropia* a lui Luchian (fig. 237) în care stilul de telegraf mai depărtat are o imagine de două ori mai mică decât aceea a stilului mai apropiat. Privitorul se află fixat în planul frontal al stilului următor care nu poate fi decît în planul neutru. Este ceea ce s-a explicat și arătat în prima parte a acestei lucrări (I 324 și 523).

Cînd într-o compoziție un element vertical din adîncul spațiului are o imagine de două ori mai mică decât aceea, mai puțin depărtată, a unui element de aceeași înălțime, privitorul nu mai poate presupune că se găsește oriunde față de subiectul reprezentat. Potrivit legii descoperirii perspective între punctul său de vedere și elementul mai apropiat este o adîncime egală cu aceea dintre cele două elemente cuprinse în tablou.

Dar mai este un mijloc de a prinde pe privitor de imaginea din tablou sau mai precis de a localiza în spațiu punctul lui de vedere față de unul din elementele reprezentate, în afara de procedeu folosit de Velázquez în *Meninele* (I, 33 fig. 48) în care privitorul este prins în mijlocul acțiunii între figurile reprezentate în tablou și cele care aflîndu-se în spatele lui în spațiul virtual, se reflectă în oglinda din fundul încăperii.

La fel în *Scoala din Atena* (I, fig. 77) și în *Logodna Fecioarei Minunea mîgarului* de Donatello (I, fig. 82) liniile arhitecturale ale bolților, liniile pavimentelor, etc. se îndreaptă către figură sau figurile principale ale compoziției.

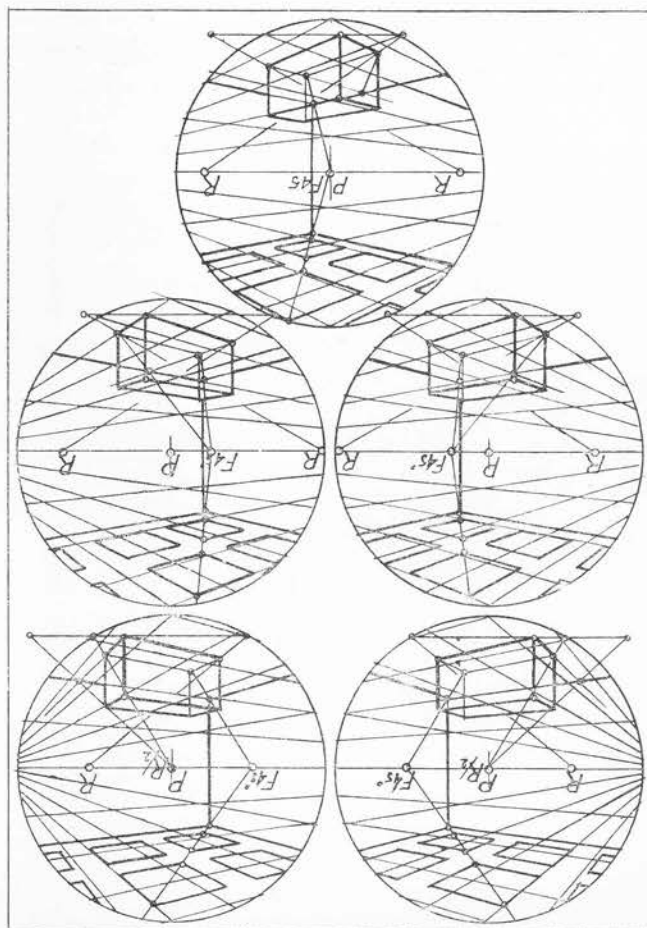


Fig. 236. (228, 231, 397)



Fig. 237. (232) Lucian: Ghereta din Filantropia

Astfel în figura I 353 între punctul de vedere al privitorului și figura din primul plan este o adâncime egală cu aceea dintre această figură și aceea din planul următor. La fel și în figurile I 581 și I 582 în care punctul de vedere al privitorului e fixat în spațiu pe aceeași cale.

#### FOLOSIREA DOCUMENTĂRII FOTOGRAFICE

**233.** — Uneori pentru definitivarea unor detalii cuprinse într-o compoziție, cum ar fi de exemplu un edificiu bine cunoscut sau un monument comemorativ situat într-un plan mai depărtat dar ale cărui juste proporții nu ar fi indicat să nu fie respectate, se poate folosi o documentare fotografică, dacă nu se pot lua schițe după natură, la fața locului.

Cunoscând sau apreciind cu aproximație înălțimea respectivului monument, prin aplicarea grafică a legii descreșterii perspective, deducem cu ușurință depărtarea lui din compoziție precum și abscisa unuia din elementele lui față de raza vizuală principală (I, 318, fig. 345). Iar prin construirea geometralului în perspectivă inversă (I, 287, fig. 312) putem afla orientarea dată în compoziție a edificiului față de planul neutru. Cu aceste elemente pe un plan de situație, sau la fața locului, putem determina punctul de vedere

mică decât aceea care ar fi fost dată de un traseu perspectiv exact, în timp ce cel de pe mările exagerate ale compoziției: cel din primul plan are o deformare perspectivă mult mai terul specific al mobilierului localului. Obiectele rotunde de pe mese tind a micșora deor-

une clară, probabil în intenția de a apropia pe privitor de subiect și de a accentua carac-  
In *Absințul* de Degas (fig. 238) treimea inferioară a tabloului iese din cîmpul de vizi-  
pictor mica figură are altă orientare decât pentru punctul de vedere al privitorului tabloului.  
fate deosebiri care fac farmecul acestei lucrări, că pentru punctul de vedere al tînărului  
mai mare decât axul vertical. Aceasta licență plastică a permis artistului să ne arate, prin nuan-  
fără a ține seama de descreșterea perspectivă a pinzei are axul orizontal aproape de două ori  
aproape pătrat (13/14), neobișnuit pentru portet, iar ovalul figurii care a fost reprezentat  
De altfel, în această compoziție pinza de pe șevalet, orientată pe unghi, are un format

exagerată înăcpării, nepotrivită cu intimitatea compoziției.

evidențiat și mai mult răsturnarea cutiei de culori din primul plan, și ar fi dat o adîncime  
Descrescerea accentuată a scîndurilor dacă ar fi fugit corect în punctul principal ar fi  
se înclină în același punct, în axul tabloului, dar nu pe linia orizontului ci mult mai sus.  
nilor orizontale ale șasiului portretului. Prelungind marginile tuturor scîndurilor vedem că  
nu este în mijlocul liniei orizontului al cărui nivel a fost stabilit prin prelungirea margi-  
una din muchiile scîndurilor dușumei, s-a dedus că punctul principal al compoziției  
In *Tînărul pictor* de Frisov (I, fig. 36) dintr-o analiză superficială, prelungind numai

care depășesc cîmpul de viziune clară.

ochiul este obișnuit) s-a încercat atenuarea deformărilor exagerate din compozițiile respective  
în care conștient (sigur în unul din cazuri) sau inconștient (reproducînd forme cu care  
statuii lui Colleon depășește cîmpul de viziune clară, ne vom referi la două exemple  
s-a vorbit în prima parte a acestei lucrări (I, 48, fig. 68) arătînd că partea superioară a  
decît cîmpul normal de viziune clară. În afară de acuarela lui R. P. Bonington de care  
234. — Vom adăuga cîteva cuvinte relativ la compozițiile care cuprind mai mult

#### COMPOZIȚII CARE DEPĂȘESC CÎMPUL VIZIUNII CLARE

perspective din unele fotografii.  
viziune clară al ochilor umani și ca atare trebuie să avem grijă să atenueăm deformările

de aparatele fotografice curente este mai mare și uneori mult mai mare decât cîmpul de  
Pentru interpretări superficiale trebuie să fim preveniți că, în general, cîmpul cuprins

elementelor perspective ale compoziției.

compoziție decît după o analiză competentă și după o prelucrare care să-l facă să corespundă  
Relese din cele expuse mai sus că un document fotografic nu poate fi introdus într-o

la departarea și cu orientarea cerută de compoziție.

arhitectură (400, fig. 407). Cu ajutorul acesteia se va putea desena imaginea perspectivă  
se va putea face o restituire perspectivă a monumentului cum se arată în capitolul relativ la

Cînd nu se poate proceda cum s-a arătat mai sus, în baza documentului fotografic,  
a monumentului în condițiile în care se prezintă în compoziție.

al desenatorului și orientarea razei lui vizuale principale pentru a putea face o fotografie



Fig. 238. (234) D e g a s: Absintul

mai depărtate, căci templul din fundul compoziției corespunde unei distanțe principale mai mici decât aceea a primului plan.

masa mai depărtată are o deformare mai mare decât cea corespunzătoare (dacă nu considerăm că ar fi o tavă ovală cu axul mare orientat de capăt). Aceste elemente tinzând să depărteze primul plan și să-l apropie pe al doilea pot fi considerate ca o încercare de a atenua deformările exagerate ale compoziției.

Despre deformările perspective ale *Camerei din Arles* a lui Van Gogh se vorbește în altă parte (397, 399 fig. 402).

Referindu-ne la reproduce-rile cuprinse în prima parte a acestei lucrări vom semna unele din problemele puse de acestea.

În mod neexplicabil prisma pe unghi pe care se reazimă figura din primul plan al *Școalei din Atena* corespunde unei distanțe principale mai mici decât aceea a ansamblului (I, fig. 77).

Diagonalele marilor lespezi ale pavimentului din *Logodna Fecioarei* de Rafael (I, fig. 5 și fig. 633—634), se îndreaptă, cu cât sînt mai apropiate, spre punctele de fugă din ce în ce

#### IMAGINILE PERSPECTIVE ÎN DESENUL DUPĂ NATURĂ

**235.** — Nu este necesar un lung capitol despre perspectiva desenului după natură pentru care s-au dat unele îndrumări în prima parte a acestei lucrări.

Astfel cititorii cunosc *vizorul perspectiv* cu ajutorul căruia desenatorul începător poate să-și fixeze pe *teren* punctul de vedere cel mai potrivit pentru cuprinderea subiectului în câmpul său de vedere clară sau foarte clară (I, 47 fig. 65).



Nu trebuie să uităm că desenul după natură e un bun prilej de educare a memoriei vizuale, indispensabilă oricărui artist plastic. În acest scop, după ce a privit cu atenție întregul subiect, artistul va schița apoi din memorie liniile mari ale compoziției, fără a mai observa în fiecare clipă acele particularități de detaliu din natură care nu vor inter-veni — în măsura în care vor fi necesare — decît după ce desenul ansamblului va fi satis-

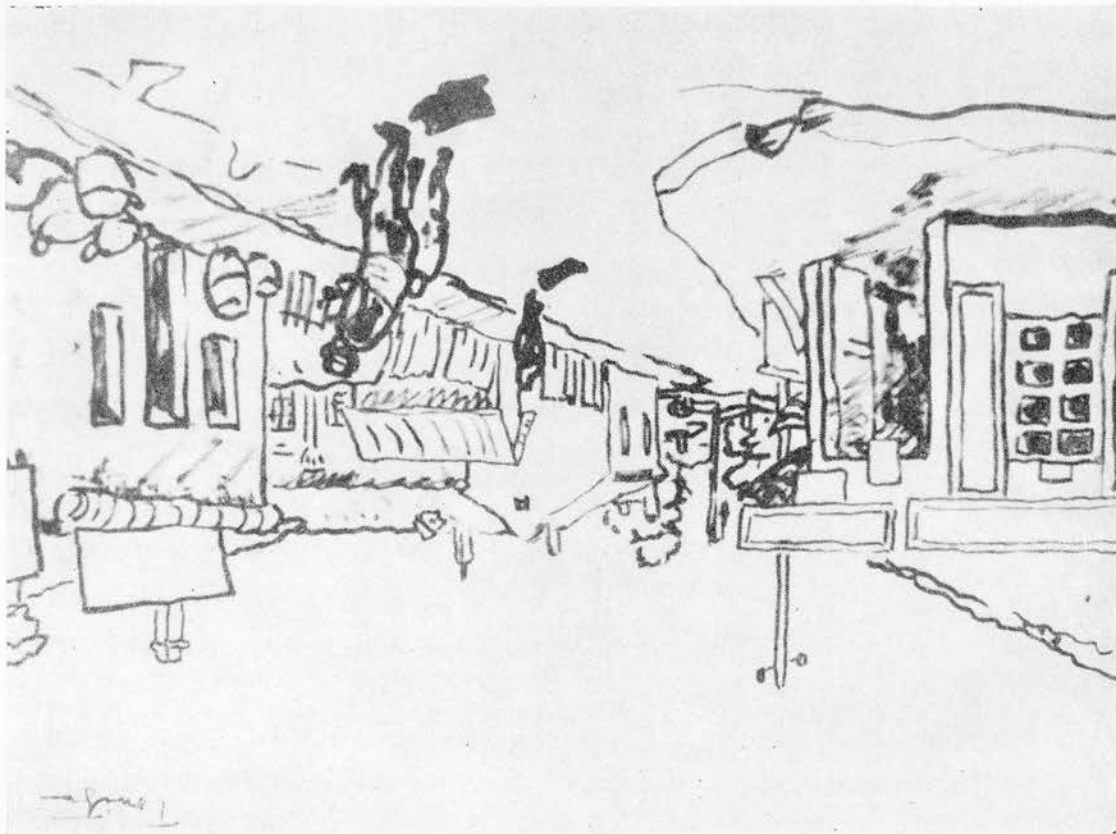
imagină ușor creionată a subiectului care, nedepășind cîmpul de viziune clară a desenatorului, va fi cuprins în cadrul tabloului dintr-o privire de ansamblu.

De altfel orice verificare sau trasen perspectiv trebuie să urmeze iar nu să preceadă plastice. urmărite de desenator numai în măsura în care nu stînjnesc spontaneitatea viziunii sale

privit. În privința acestei prime schițe de ansamblu se pot da unele îndrumări care pot fi departe (237) după ce s-au precizat pe tablou în linii mari elementele principale ale motivului

liberă în desenul după natură pentru unele probleme de detaliu ce se vor aminti mai De asemenea se cunosc anumite trasee perspective ce se pot executa ușor cu mîna

Fig. 239. (235) N. T o n i l e z a : Desen



făcător și bine echilibrat. Unii maeștrii insistă chiar ca șevaletul să fie astfel orientat față de motiv încît artistul să trebuiască, atunci cînd lucrează pe carton sau pînză, să întoarcă spatele subiectului pe care îl va reproduce deci din memorie.

Desigur că înainte de orice verificare perspectivă a schiței artistul este liber să introducă în desenul său orice deformări și exagerări menite să dea compoziției sale expresivitatea plastică dorită, iar aceasta va interveni cu o discretă abilitate, nu cu scopul de a schimba o schiță expresivă într-o copie fotografică a motivului, ci numai pentru a înlătura acele eventuale nepotriviri supărătoare care în mod nemotivat ar contrazice legile descreșterilor și deformărilor perspective. În orice caz nu se vor geometriza elementele pitorești care pot fi lăsate pe seama capriciilor vremii și ale naturii cum ar fi acoperișurile, streășinile, și zidurile aplecate, fâgașele și șanțurile, drumurile șerpuite, exuberanța vegetației etc. (fig. 239).

**236.** — De la început se va determina în tablou linia orizontului cu unul din procedeele cunoscute (I, 62, fig. 91—92), fie că aceasta se va desemna cu o linie orizontală ușor creionată, fie că ne vom mărgini să memorăm punctele în care întretaie unele din verticalele caracteristice ale compoziției. Ne este cunoscută importanța acestei linii pe care se situează punctele de fugă — atît de des inaccesibile — către care se îndreaptă imaginile perspective ale orizontalelor oarecare ale motivului (care nu sînt paralele cu planul tabloului) și anume înclinîndu-se în sus spre adîncul spațiului acelea care se află mai jos de planul vizual principal orizontal al desenatorului ( $AC$  în fig. 240) și înclinîndu-se în jos spre adîncul spațiului acelea care se află mai sus de acest plan ( $BD$  în aceeași fig.).

Înclinarea mai mare sau mai mică a acestor imagini s-ar putea eventual aprecia considerîndu-le ca ipotenuzele fictive ale unor triunghiuri dreptunghiuri în care raportul dintre catete ar putea fi măsurat cu procedeul bine cunoscut al creionului ținut frontal cu brațul întins și pe care plimbăm unghia degetului mare. Dar mult mai expeditiv și foarte exact este procedeul arătat în figura 240. Dînd unui creion sau unei andrele de croșetat înclinarea muchiei din spațiu o comparăm cu înclinarea imaginii ei perspectivă respectivă. Procedeul presupune pe de o parte deprinderea de a roti andreaua într-un plan frontal, paralel deci cu tabloul, învingînd tendința de a-i da o înclinare și în adîncul spațiului pentru a o face paralelă cu planul respectiv din spațiu, iar, pe de altă parte, deprinderea de a nu modifica înclinarea observată în spațiu cînd aplicăm andreaua pe planul tabloului. De altfel operațiunea se poate face de mai multe ori pînă cînd se va ajunge la un paralelism perfect între muchia din spațiu și imaginea ei perspectivă din desen.

După verificarea înclinării liniilor perspective, cu același procedeu expeditiv se va putea verifica și raportul dintre lățimea ( $AC$  sau  $BD$  în fig. 240) și înălțimea ( $CD$  sau  $BA$  în aceeași figură) a fețelor volumelor din spațiu, considerînd înclinarea diagonalelor ( $AD$  sau  $BC$ ) ale fețelor respective din spațiu și din desen.

De altfel în același fel se pot verifica imaginile tuturor elementelor componente ale unei compoziții indiferent de forma lor sau de adîncimile diferite la care se află în spațiu față de desenator. Închipuind o rețea de triunghiuri care prin linii fictive unesc în spațiu punctele caracteristice ale subiectului, desenatorul va verifica treptat, din aproape în aproape cu ajutorul andrelei, paralelismul acestora cu liniile — desenate sau eventual parțial închipuite — din schița sa (fig. 241).

Pentru verificarea perspectivei a unei compoziții în care intervin multe și variate elemente de depărtări, eventual pe un teren accidentat, ne putem sprijini și pe orizontalitatea pe care o putem da unei stori întinse cu brațele deschise. Așezînd-o succesiv la diferite înălțimi, memorăm punctele caracteristice în care întreprindem diferitele elemente ale subiectului pentru a observa apoi dacă acestea corespund celor din schiță.

Pe aceste căi desenatorul va putea constata deosebirile de formă, mărime și proporție dintre volumele privite și cele desenate și va avea posibilitatea fie să le corecteze, dacă prin aceasta nu se atenuază efectele plastice urmărite, fie să le menție așa cum le-a desenat dacă volumele respective din spațiu ar putea avea înfățișarea pe care le-a dat-o în desen în cazul în care acestea ar fi în realitate mai mari sau mai mici, mai depărtate sau mai apropiate, altfel orientate sau situate pe un teren altfel accidentat, evitînd însă să lase necorectate abaterile de la legile perspectivei, mai ales dacă nu constituie un sprijin plastic efectiv al tematicii compoziției respective.

**237.** — După precizarea liniilor principale ale desenului după natură, pentru defini-  
livarea detaliilor vom reaminti traseele perspective care se pot executa ușor cu mina liberă, arătate în prima parte a acestei lucrări.

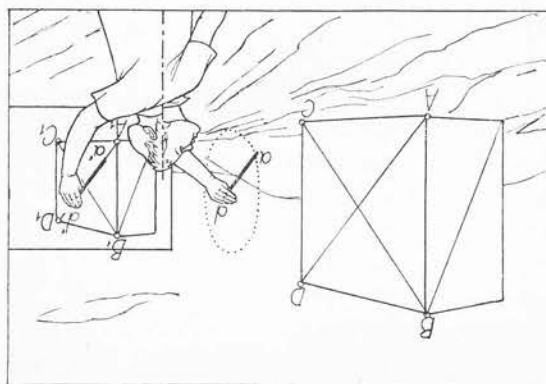
Pe o față verticală oarecare, între una din liniile ei cu punct de fugă inaccesibil și linia orizontalului sau eventual între două din liniile ei de fugă, pentru desenaarea deta-  
liilor se va întocmi cu linii ușor creionate, și care se vor șterge ulterior cu guma, o rețea  
ajutătoare împărțind verticalele mărginașe ale acestei fețe cu benzi de hirtie îndoită în  
patru, opt, etc. părți egale (I, 328—330 fig. 358—362).

Cu ajutorul acestor rețele, în desenul după natură se pot împărți cu mina liberă  
în părți egale dreptele de capăt sau orizontalele oarecare, după cum s-a arătat (I, 358,  
fig. 387—388).

De asemenea, împărțirea, cu ajutorul diagonalelor, în două, patru, opt etc. părți  
egale a dreptelor de capăt sau orizontale oarecare cuprinse între două verticale se poate  
face și în desenul după natură, evident ștergînd cu grija aceste diagonale desenate cu linii  
subțiri, după obținerea rezultatului dorit (I, 363, fig. 393—396).

Pentru aceste construcții stîngăcia eventuală a desenatorului începător de a duce cu  
mina liberă lungi linii drepte nu se va învinge suprapunînd mai multe linii ezitante  
care vor împăienjeni fără folos desenul, ci ducînd o singură linie din segmente succesive,  
scurte, ridicînd creionul de pe hirtie de îndată ce mina se abate de la direcția  
dreaptă dorită.

Fig. 240. (236)



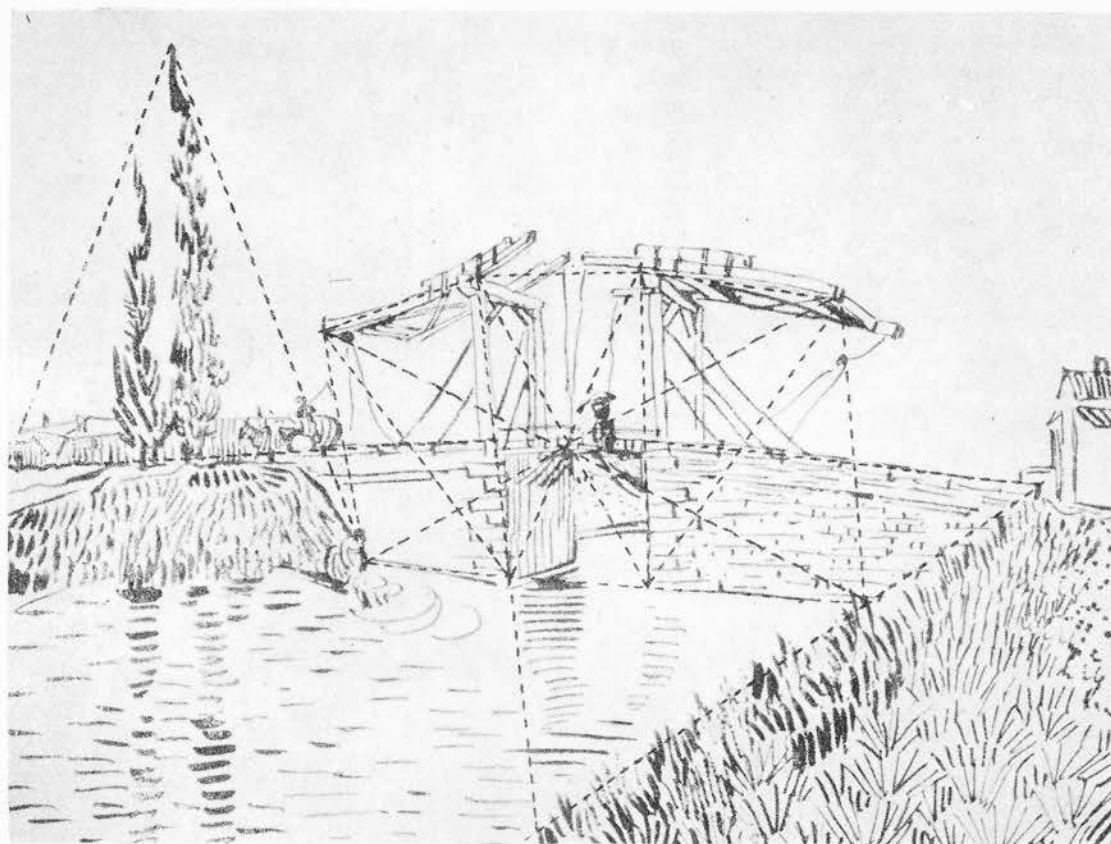


Fig. 241. (236) Van Gogh: Podul l'Anglois din Arles

De altfel fără a încărca tabloul cu numeroase linii de construcție care trebuie șterse ulterior, în desenul după natură, pentru împărțirea în părți egale a dreptelor care fug, se poate folosi ceea ce s-a numit *scara divergentă* de îndată ce cu ajutorul a două diagonale s-a determinat mijlocul imaginii perspective al dreptei pe care dorim s-o împărțim (I, 364—371, fig. 406—408).

Tot în vederea folosirii lor în desenul după natură s-au arătat procedee practice (care nu folosesc punctele de distanță sau de egală resecție) pentru repetarea spre desenator sau în adâncul spațiului a unui segment, precizat cu grijă printr-o atentă observare a subiectului, pe imaginea perspectivă a unei drepte de capăt sau a unei orizontale oarecare (I, 375, fig. 413—414) pentru repetarea, în aceleași condiții, a două sau mai multe segmente diferite pe imaginea perspectivă a dreptelor de capăt sau orizontale oarecare (I, 379—381, fig. 418—420).

O construcție ușor de executat în desenul după natură s-a arătat (I, 389, fig. 430—432) și pentru determinarea la capătul imaginii perspective a dreptelor de capăt sau orizontale oarecare a unui segment egal cu cel luat la capătul opus al aceleiași drepte.



folosit aceleași litere, desenul corect al taboului ci urmărind cu privire la mobilitatea privirii care nu se fixează — cum se presupune teoretic — în punctul principal  $P$  al tabloului ci urmărind cu privire, fără a mișca ochii, obiectul

În figura 242 II, în care s-au bil tangentele de capăt  $PI$  și  $PK$ , ale diametrelor ducem în prealabil corect dacă prin capetele  $I$  și  $K$  ducem dreptele  $PC$  și  $D/4I$ , prelungite. Aceste cercuri se desenează mai ușor se determină la intersecția unde trec celelalte cercuri supra-năm punctul  $D/4$ . Punctele  $L$  pe ei cu linia orizontală, determină o prelungim până la intersecția diviziune a razei  $AC$  și pe care ducem dreptele  $PC$  și  $D/4I$ , prelungite. Aceste cercuri se desenează mai ușor se determină la intersecția unde trec celelalte cercuri supra-năm punctul  $D/4$ . Punctele  $L$  pe ei cu linia orizontală, determină o prelungim până la intersecția diviziune a razei  $AC$  și pe care ducem dreptele  $PC$  și  $D/4I$ , prelungite.

În figura 242 I fie  $AEB$  cercul orizontal al unui cilindru desenat după natură pe diametrul  $AB$  al bazei superioare, mai depărtat de linia orizontală.

În continuare cercul bazei inferioare precum și celelalte cercuri suprapuse cu diametrul  $IK$  se vor putea desena folosind cu mînă liberă construcția aratăată în prima parte a acestei lucrări. Împărțind raza  $AC$  într-un număr de părți egale și ducind din punctul  $E$  (situat pe cerc pe prelungirea dreptei de capăt  $PC$ ) o dreaptă ajutătoare  $EI$  prin prima

238. — Și alte procedee expuse în prima parte a acestei lucrări se pot folosi în desenul după natură cum ar fi acele arătate pentru imaginea perspectivă a corpurilor rotunde cu cercuri orizontale suprapuse: un rezervor de păcură, un vas decorativ etc.

Dacă printr-o atență observare a motivului s-a desenat după natură numai unul din cercurile orizontale ale corpului rotund respectiv — de preferință cercul mai depărtat de linia orizontală, care a fost în prealabil precizată în desen, celelalte cercuri se pot desena în condiții satisfăcătoare fără a mai recurge la motiv (I 513 fig. 573) dacă am schițat profilul corpului rotund respectiv.

În figura 242 I fie  $AEB$  cercul orizontal al unui cilindru desenat după natură pe diametrul  $AB$  al bazei superioare, mai depărtat de linia orizontală.

În continuare cercul bazei inferioare precum și celelalte cercuri suprapuse cu diametrul  $IK$  se vor putea desena folosind cu mînă liberă construcția aratăată în prima parte a acestei lucrări. Împărțind raza  $AC$  într-un număr de părți egale și ducind din punctul  $E$  (situat pe cerc pe prelungirea dreptei de capăt  $PC$ ) o dreaptă ajutătoare  $EI$  prin prima

Nu este bine să nu se aplice în desenul după natură aceste trassee ușor de executat cu mînă liberă pentru obținerea unor imagini exacte ale deformărilor și descreșterilor perspective ale elementelor ce se repetă în adîncul spațiului pe plane verticale oarecare. Neglijîndu-le, aceste elemente de detaliu, în loc de a accentua efectele perspective așa cum ar trebui, le contrazic fără nici o justificare plastică. De asemenea nu se va omite nici una din construcțiile grafice cunoscute care se pot ușor aplica în desenul după natură (cum ar fi determinarea vîrfului unui acoperiș piramidal pe plan pătrat pe verticală punctului de intersecție al *diagonalelor bazei lui* (I fig. 34 și 259, fig. 286) pentru o rapidă verificare perspectivă a detaliilor.

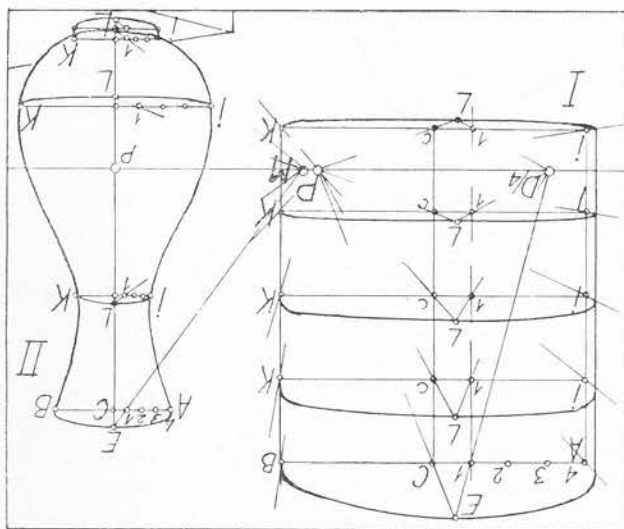


Fig. 242. (238)

privit, se îndreaptă spre punctul  $p$  (I, 40 fig. 57). În acest caz punctele  $C$  și  $E$  se găsesc pe verticala punctului  $p$ , iar prelungind dreapta ajutătoare care unește punctul  $E$  al curbei  $BEA$  desenată după natură cu prima diviziunea a razei  $CA$  va întâlni linia orizontului într-un punct întâmplător  $M$  care nu va mai coincide cu punctul de distanță redus la o pătrime  $D/4$ . Ca urmare tangentele în punctele  $A$ ,  $B$  și  $K$  și  $I$  nu vor mai fi drepte de capăt ci orizontale oarecare fugind în punctul  $p$ .

De altfel artistul este liber, dacă ezită între curbele teoretice și cele date de mobilitatea privirii, să deseneze, din sentiment, curbe intermediare care să pună de acord aceste curbe cu celelalte elemente perspective ale tabloului respectiv.

Semnalăm că unii artiști respectă fără atenuare traseul teoretic al perspectivei cercului, cum este cazul bazinului circular din grădina spitalului din Arles a lui Van Gogh (fig. 243). Este cert că, în desenul după natură rotind privirea (I, 40, fig. 57), imaginea unui cerc, mai ales când nu iese din câmpul de viziune clară, va fi o elipsă al cărei ax mare va fi orizontal iar nu înclinat. Nu trebuie să uităm că, după cum aflăm din corespondența artistului, acesta a descoperit perspectiva cu o adevărată pasiune în formarea sa de autodidact într-o carte de largă răspândire la sfârșitul secolului trecut, care pe de o parte omite problema câmpului vizual și a distanței principale și pe de altă parte nu consideră obligatorie situarea punctului principal în mijlocul tabloului (Armand Cassagne).

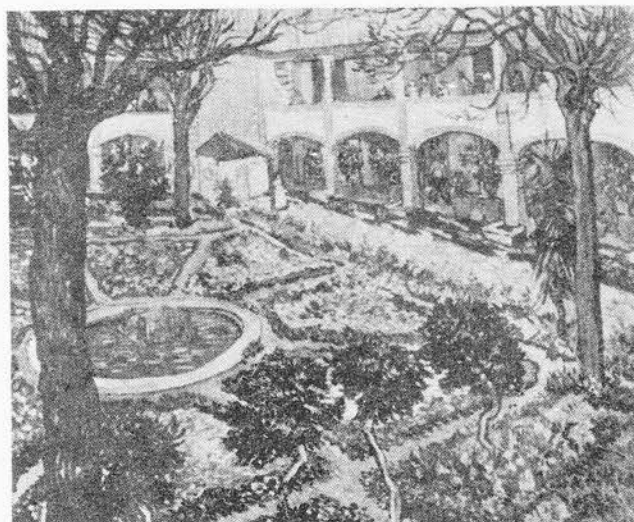


Fig. 243. (238) Van Gogh: Grădina Spitalului din Arles

De asemenea în circul Fernando (fig. 246) Degas ne înfățișează o acrobata al cărei cap se află la o înălțime de circa 4,50 m deasupra liniei orizontului. Dar făcând aceeași măsurătoare ca mai sus deducem că această figură se află la o adâncime de circa 10 m de punctul de vedere al desenatorului situat în balconul sălii. El nu este deci obligat, pentru a o cuprinde în câmpul

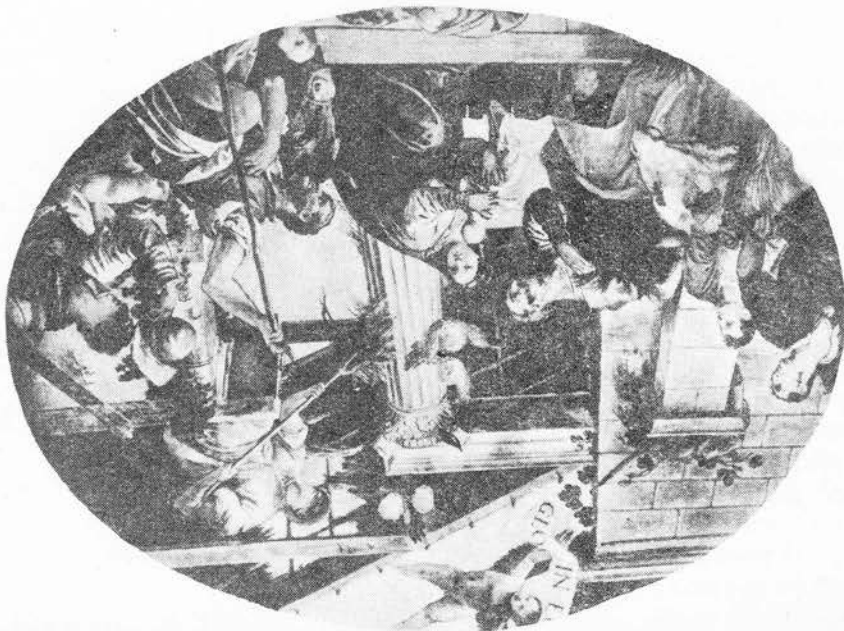
rezultatul) deci figurile intră în câmpul vizual clare a desenatorului. colul cel mai depărtat al cadrului tabloului, adică raza cerului circumscris acestuia, dublind de peste 30 m (măsurăm cu unitatea de mai sus dreapta care unește punctul principal cu fuga ale etajelor clădirilor). Dar aceste figuri se află, față de punctul de vedere, la o adâncime de cîte ori intră, pe verticală, pînă la linia orizontului ușor de apreciat după liniile de față de statura medie de 1,70 a figurilor din primul plan, mărimea unui metru și vedem *Monlmurte* (fig. 245) reprezintă figuri situate la circa 11 m sub linia orizontului (apreciem vizuală principală în jos sau în sus spre adîncul spațiului. Astfel Pissarro în *Bulevardul* în câmpul vizual clare a desenatorului, fără ca acesta să fie obligat să incline raza lui ce figurile sau volumele se află la o adâncime corespunzătoare pentru a putea fi cuprinse situate mult dedesubt sau deasupra planului orizontal al punctului de vedere, de îndată

239. —

## IMAGINILE PERSPECTIVE IN PICTURA MONUMENTALĂ

### IMAGINILE PERSPECTIVE PE TABLOUL INCLINAT

Fig. 244. (240) Veronese: Estera și Ahasverus



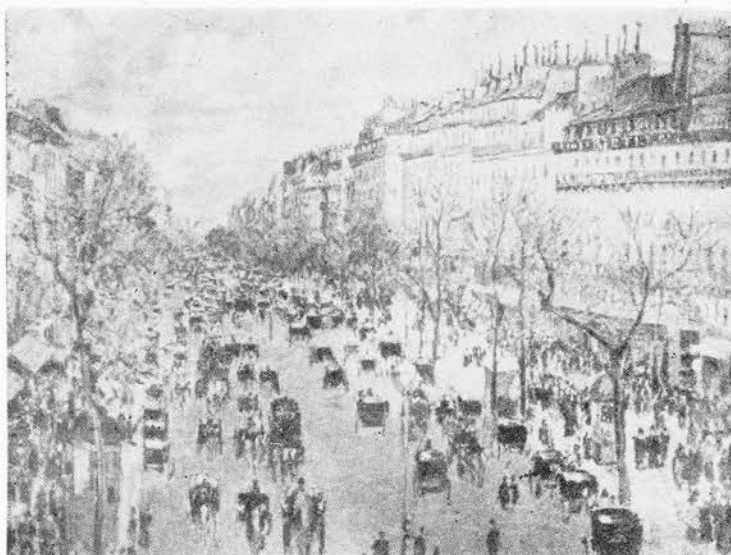


Fig. 245. (239) Pissarro: Bulevardul Montmartre

său de viziune clară, să ridice spre adâncul spațiului raza lui vizuală principală și deci o poate reprezenta pe un tablou vertical care, situat deasupra liniei orizontului, ocupă numai partea superioară a acestui câmp (I, 61, fig. 86—87).

Nu la fel se prezintă *Jucătorul de șah* al lui Corneliu Baba (fig. 247). Subiectul ar fi putut intra, sub linia orizontului, în partea inferioară a câmpului vizual (I, 61, fig. 85). Dar artistul, pentru a surprinde mai bine expresia jucătorului, a aplecat în jos, spre adâncul spațiului, raza sa vizuală principală. Ca ur-

mare tabloul, perpendicular pe această rază, nu mai este vertical ci frontal înclinat în sus spre adâncul spațiului. Pe acest tablou, verticalele din spațiu (jetoanele, marginile verticale ale tablourilor) încep să se încline îndreptându-se către un punct de fugă terestru (240).

Fig. 246. (239) Degas: Miss Lola din Circul Fernando

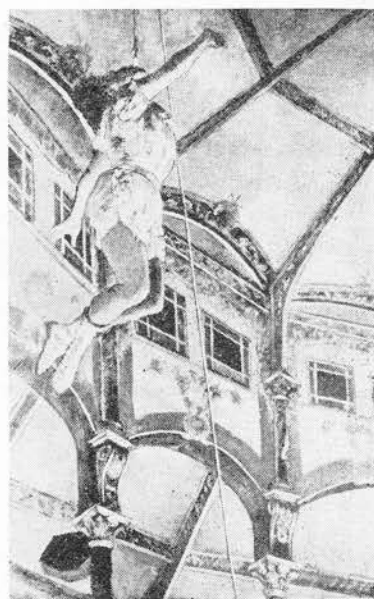
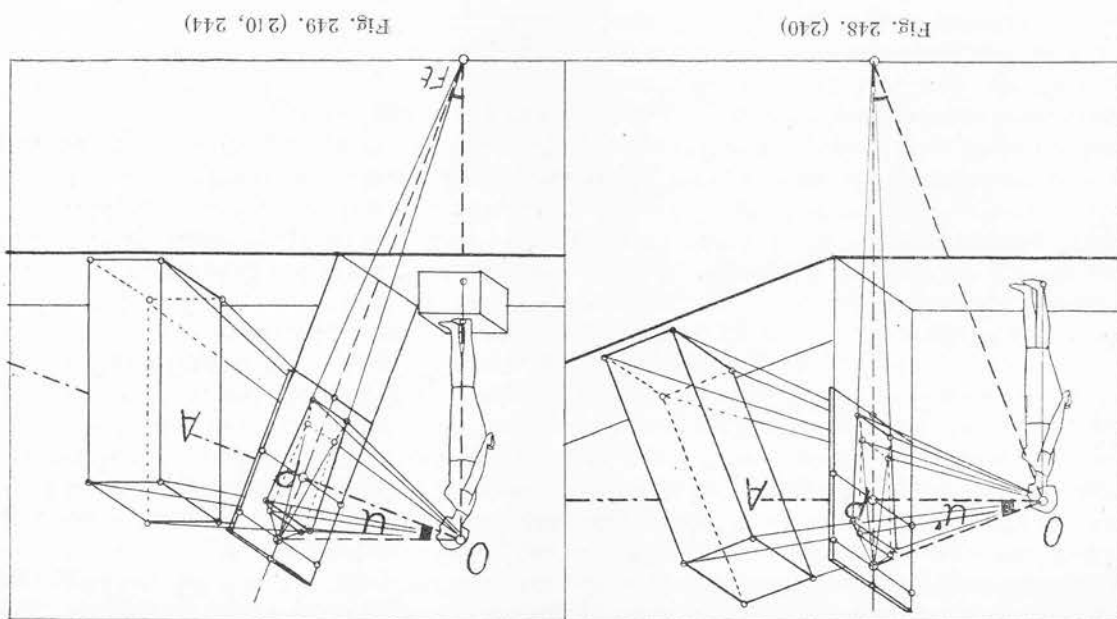
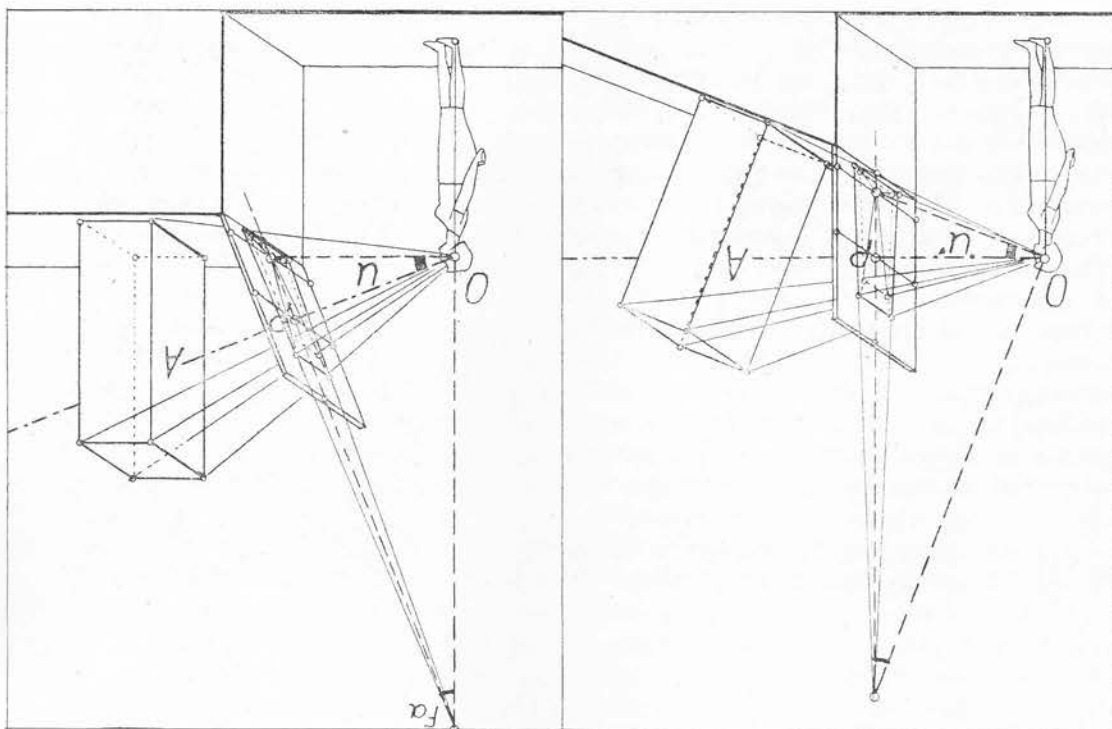


Fig. 247. (239, 240) Corneliu Baba: Jucătorul de șah







**240.** — În prima parte a acestei lucrări tabloul a fost considerat un plan vertical, perpendicular pe raza vizuală principală considerată orizontală, îndreptată spre zare, dar s-a menționat că privirea desenatorului poate lua și alte orientări (I, 49, fig. 69). Îndată ce (cum s-a arătat mai sus,) privirea noastră începe să se coboare spre obiectele din imediata noastră vecinătate (fig. 247 și 255) sau pentru a vedea — de pe terasa unui bloc înalt — vehiculele din stradă, îndată ce înălțăm privirea spre a vedea părțile superioare ale unor elemente înalte și apropiate (fig. 244) raza vizuală principală se coboară sau se ridică spre adâncul spațiului iar tabloul, perpendicular pe această rază, se va înclina la rîndul lui în sus (fig. 249) sau în jos (fig. 251) spre adâncul spațiului.

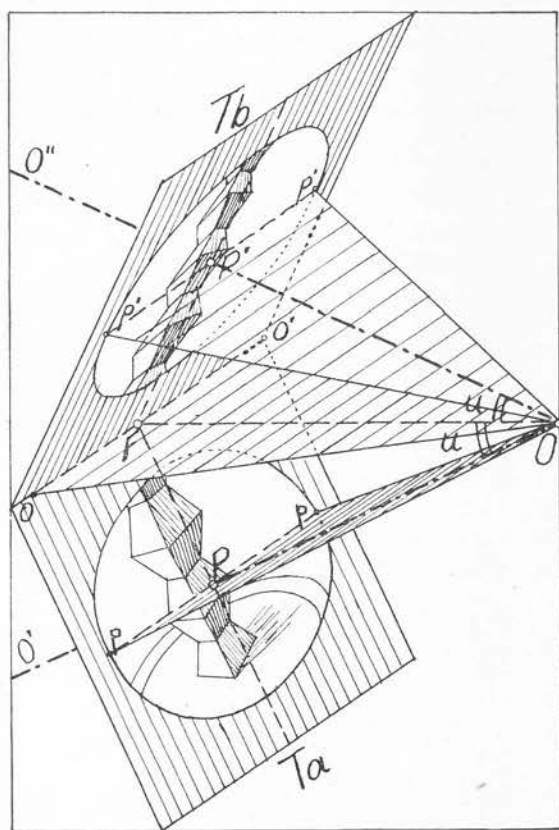
Deosebirea principală dintre imaginile perspective de pe tabloul vertical și cele de pe tabloul înclinat este înclinarea imaginilor verticalelor din spațiu. Aceste imagini în loc de a fi verticale se îndreaptă către un punct de fugă terestru,  $Ft$  cînd tabloul se înclină în sus; spre adâncul spațiului (fig. 249) — sau către un punct de fugă aerian  $Fa$  (fig. 251), cînd tabloul se înclină în jos spre adâncul spațiului.

Aceste înclinări ale imaginilor verticalelor din spațiu se aseamănă cu acelea, studiate în prima parte a acestei lucrări, pe tabloul vertical, ale imaginilor muchiilor per-

pendicularare pe plane frontale ascendente sau descendente (I, 534—544, fig. 590—596 și 553, fig. 603—605). Este ceea ce se poate urmări în figurile 248—251 care ne arată că nu este nici o deosebire între imaginea unei prisme verticale pe un tablou înclinat în sus sau în jos spre adâncul spațiului (249 și 251) și imaginea, pe un tablou vertical, a unei prisme înclinate în jos sau în sus spre adâncul spațiului (fig. 248 și 250), bineînțeles dacă distanța principală  $OP$ , adîncimea  $PA$ , dimensiunile prisme precum și unghiul înclinării tabloului  $u$  și al planului bazei prisme  $u'$  sînt egale.

Altă deosebire este că pe tabloul vertical avem o singură linie orizontală, a orizontului, cu care construim imaginile perspective, în timp ce pe tabloul înclinat va interveni o a doua linie orizontală pe care o vom denumi *linia privirii* cum se vede în figura 252. Fie  $O$  punctul de vedere,  $OO'$  raza vizuală a desenatorului înclinată în jos și  $OO''$  raza lui vizuală înclinată în sus spre adâncul spațiului. Perpendicularare pe aceste raze vor fi tablourile  $Ta$  frontal ascendent spre adâncul spațiului (I, fig. 69 C) pentru privirea înclinată în jos și  $Tb$  frontal descendent spre adâncul spațiului, pentru privirea înclinată în sus (I fig. 69 B).

Fig. 252. (240, 244)



**241.** — În figurile 253 și 254 se pot urmări în spațiu elementele perspective ale tabloului înclinat.

*Punctul de vedere* se găsește în  $O$ .

*Raza vizuală principală*  $OS$  este înclinată și se îndreaptă spre adâncul spațiului în jos (fig. 253) sau în sus (fig. 254).

*Punctul principal*  $P$  este punctul în care raza vizuală principală  $OS$  străpunge planul înclinat al tabloului.

*Distanța principală*  $OP$  a tabloului este dată de lungimea razei vizuale principale cuprinsă între punctul de vedere  $O$  și planul tabloului care este perpendicular pe această rază.

*Planul vizual principal înclinat*, care cuprinde raza vizuală principală  $OP$ , este un plan descendent spre adâncul spațiului (fig. 253) sau ascendent (fig. 254).

*Linia privirii*  $pp'$  este intersecția tabloului cu planul vizual principal ascendent, (fig. 254) sau descendent (fig. 253), este o linie orizontală și trece prin punctul principal  $P$ .

*Punctele de distanță*  $D$  și  $D'$  se determină luând pe linia privirii  $pp'$  segmentele  $PD$  și  $PD'$  egale cu lungimea  $OP$  a distanței principale. La fel se obțin și punctele de distanță reduse  $D/2$ ,  $D/4$  etc. luând segmentele  $PD/2$ ,  $PD/4$  etc. egale cu jumătatea  $O/2P$ , cu sferul  $O/4P$  etc. a distanței principale.

*Planul vizual principal vertical* cuprinde raza vizuală principală  $OP$  și este perpendicular pe planul tabloului.

Linia de fugă a planelor verticale din spațiu paralele cu planul vizual principal vertical este intersecția  $VV'$  a planului vizual principal cu planul înclinat al tabloului. Aceasta linie este perpendiculară în punctul principal  $P$  pe linia privirii  $pp'$ .

*Planul vizual orizontal*, deși este foarte important, după cum se va arăta mai jos, nu poate fi denumit principal deoarece nu cuprinde raza vizuală principală. El face cu aceasta, dedesubt (fig. 254) sau deasupra ei (fig. 253), un unghi  $u$  mai mare sau mai mic, cuprins între  $0^\circ$  și  $90^\circ$ .

*Linia de fugă a planelor orizontale din spațiu*  $oo'$  este intersecția planului vizual orizontal cu planul înclinat al tabloului. Este o linie orizontală aflată deasupra (fig. 253) sau dedesubt (fig. 254) liniei privirii, după cum tabloul este ascendent spre adâncul spațiului (fig. 253) sau descendent (fig. 254) și cu atât mai depărtată de aceasta cu cât tabloul face un unghi mai mic cu planul vizual orizontal.

*Punctul de fugă*  $F$  al orizontalelor din spațiu paralele cu planul vizual principal vertical se află în punctul  $F$  unde străpunge tabloul raza vizuală  $OF$  paralelă cu aceste orizontale. Punctul  $F$  se află la intersecția liniei de fugă  $oo'$  a imaginii planelor orizontale din spațiu cu linia de fugă  $VV'$  a imaginii planelor verticale din spațiu.

#### ELEMENTELE PERSPECTIVE ALE TABLOULUI ÎNCLINAT

Intersecția cu planul înclinat al tabloului  $Ta$  sau  $Tb$  a planului vizual descendent  $Opp'$  sau ascendent  $Op'p'$  care cuprinde raza vizuală principală  $OP$  sau  $OP'$  este linia orizontală  $pp'$  pe care o vom denumi *linia privirii* spre a o deosebi de linia orizontală de fugă  $oo'$  a planelor orizontale din spațiu (fig. 252). Aceasta se situează deasupra liniei privirii  $pp$  în tabloul ascendent  $Ta$  (privit de sus) și dedesubt ei în tabloul descendent  $Tb$  (privit de jos).

Unghiul  $u$  adică unghiul  $POF$ , cuprins în planul vizual principal vertical, arată înclinarea mai mare sau mai mică, deasupra (fig. 254) sau dedesubtul (fig. 253) razei vizuale orizontale  $OF$  a razei vizuale principale  $OP$  îndreptată în sus (fig. 254) sau în jos (fig. 253) spre adâncul spațiului.

Acest unghi care, pentru desenator, se află în racursiu complet, se poate rabate pe planul tabloului în jurul axei  $PF$ . Distanța principală  $OP$  se rabate, cum s-a arătat mai sus, în lungul liniei privirii  $pp'$  în  $PD$  sau  $PD'$  iar raza vizuală orizontală  $OF$  se rabate în  $FD$  sau  $FD'$ . Unghiul  $FDP$  sau  $FD'P$  este egal cu unghiul  $FOP$ .

Punctele de egală resecție sau de măsură  $M$  și  $M'$  cu ajutorul cărora vom măsura lungimea imaginii orizontalelor din spațiu care fug în punctul  $F$ , după cum știm (I, 225), se determină luând din punctul lor de fugă, pe linia de fugă  $oo'$  o lungime  $FM$  sau  $FM'$  egală cu lungimea razei de fugă respective  $OF$ . Această lungime (mai mare decât distanța principală  $OP$ ) e rabătată pe planul tabloului în  $FD$  sau  $FD'$ . Cu un arc de cerc o aducem pe linia de fugă  $oo'$  în  $FM$  sau  $FM'$  (fig. 253 și 254).

Punctul de fugă aerian  $Fa$  (fig. 254) sau terestru  $Ft$  (fig. 253) al imaginii verticalelor din spațiu, paralele în spațiu cu planul vizual principal vertical se află pe linia de fugă  $VV'$  a planelor verticale în punctul în care străpunge planul tabloului raza vizuală verticală. Această rază face un unghi de  $90^\circ$  cu raza vizuală orizontală  $OF$  și la rabaterea ei pe planul tabloului în  $DFa$  și  $D'Fa$  (fig. 254) sau în  $Dft$  și  $D'ft$  (fig. 253) face un unghi drept cu dreapta  $DF$  sau  $D'F$ .

Punctul de egală resecție  $Ra$  (fig. 254) sau  $Rt$  (fig. 253) cu ajutorul căruia vom putea măsura lungimea imaginii verticalelor din spațiu, se află, după cum știm (I, 225) luând din punctul lor de fugă  $Fa$  (fig. 254) sau  $Ft$  (fig. 253) pe linia de fugă  $VV'$  o lungime  $FaRa$  (fig. 254) sau  $FtRt$  (fig. 253) egală cu lungimea razei de fugă respective  $OFa$  (fig. 254) sau  $OFt$  (fig. 253). Această lungime e rabătată pe planul tabloului în  $FaD$  și  $FaD'$  (fig. 254) sau în  $FtD$  și  $FtD'$  (fig. 253). Cu un arc de cerc o aducem pe linia de fugă  $VV'$  în  $Ra$  (figura 254) sau  $Rt$  (fig. 253).

**242.** — *Mărimea maximă a tabloului*, pentru a intra în întregime în câmpul de viziune clară a desenatorului, nu poate depăși, după cum știm (I, 44, fig. 60) cercul descris cu raza  $PD/2$ , egală cu jumătate din distanța principală  $PD$ . Tabloul astfel delimitat, indiferent de formatul ce i se dă, va cuprinde în primele plane volume ce vor prezenta puternice efecte de descreștere și deformare perspectivă.

Dacă dorim să obținem efecte perspective mai atenuate putem urma două căi:

a. să micșorăm pînă la o pătrime din lungimea distanței principale raza cercului în care vom înscrie tabloul, sau

b. să nu micșorăm tabloul dar să mărim pînă la de două ori lungimea distanței principale, modificînd în consecință și celelalte elemente perspective ale tabloului.

**243.** — *Puncte de distanță și de egală resecție reduse*. După cum se vede în figurile 253 și 254, cadrul limitat al tabloului nu poate cuprinde punctele de distanță  $D$  și  $D'$  precum și punctele de egală resecție  $M$  și  $M'$ . Va trebui să procedăm ca și în tabloul vertical reducîndu-le la jumătate, la o pătrime etc.

Construcțiile se fac la fel luînd ca punct de plecare punctul de vedere redus la jumătate  $O/2$  (fig. 253 și 254) sau la un sfert  $O/4$  etc. Unghiul  $u$  adică unghiul  $F/2 O/2 P$  se rabate în  $F/2 D/2 P$  sau  $F/2 D'/2 P$ . Punctul de fugă  $F$  al orizontalelor din spațiu, paralele cu planul vizual principal vertical se determină luînd pe linia de fugă  $VV'$  segmentul  $F/2F$  egal cu segmentul  $PF/2$ . Pe linia de fugă  $oo'$  a planelor orizontale dusă



prin punctul  $F$ , punctele de egală resecție reduce la jumătate  $M/2$  și  $M'/2$  se determină în segmentele  $FM/2$  și  $FM'/2$  egale cu segmentul  $F/2 D/2$  sau  $F/2 D'/2$ . Punctul de fugă aerian  $Fa/2$  (fig. 254) sau terestru  $Ft/2$  (fig. 253), redus la jumătate al imaginii verticalelor din spațiu se determină pe linia de fugă  $VV'$  construind în  $D/2$  unghiul drept  $F/2 D/2 Fa/2$  (fig. 254) sau unghiul drept  $F/2 D/2 Ft/2$  (fig. 253). Punctul de egală resecție redus la jumătate  $Ra/2$  sau  $Rt/2$  se determină fiind pe linia de fugă  $VV'$  segmentul  $Fa/2 Ra/2$  egal cu segmentul  $Fa/2 D/2$  (fig. 254) sau segmentul  $Ft/2 Rt/2$  egal cu segmentul  $Ft/2 D/2$  (fig. 253). Dacă luăm segmentul  $RaRa/2$  egal cu segmentul  $Pra/2$  (fig. 249) sau segmentul  $RtRt/2$  egal cu segmentul  $PRt/2$  (fig. 253), obținem punctele de egală resecție întregi  $Ra$  (fig. 254) sau  $Rt$  (fig. 253).

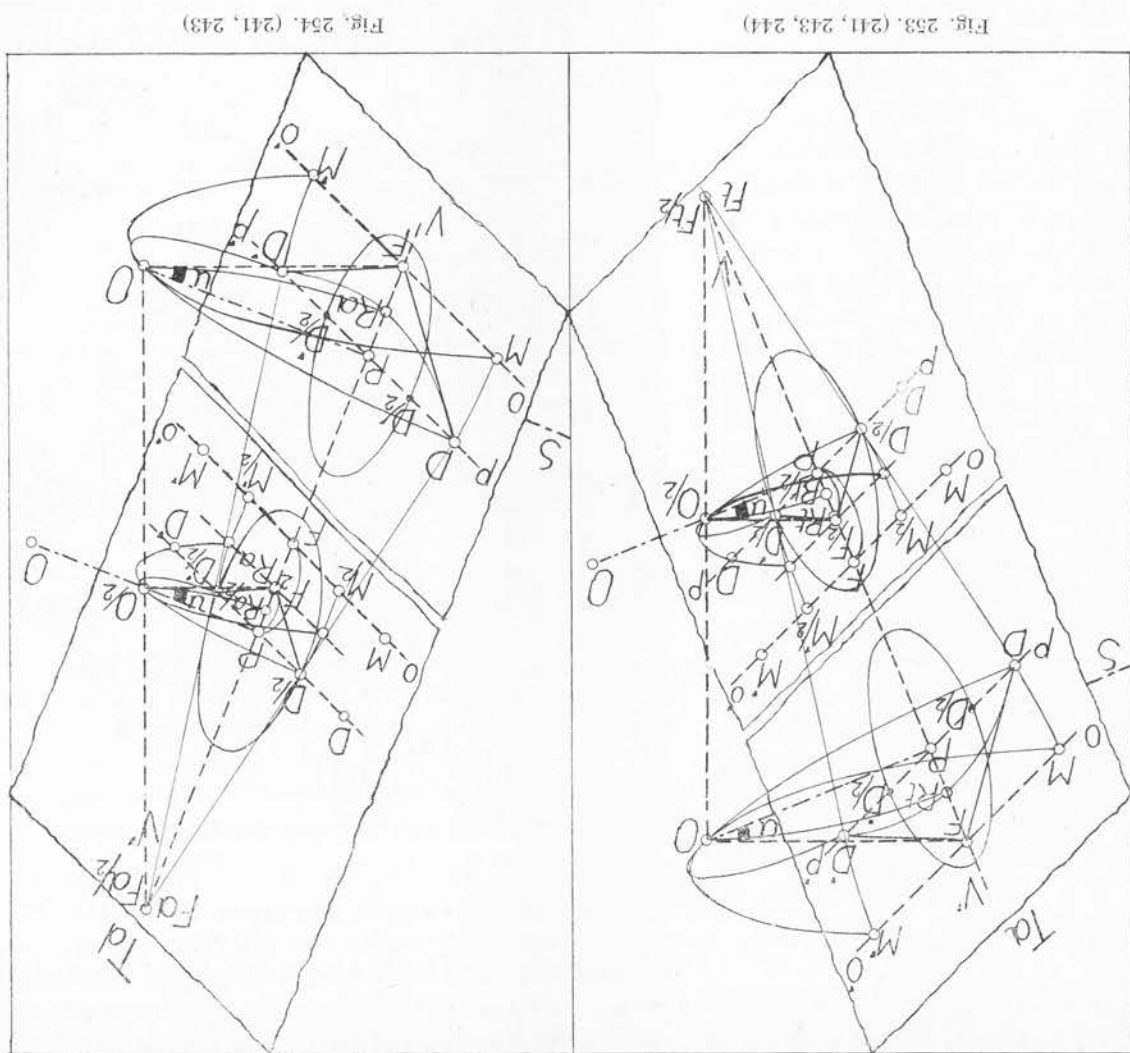


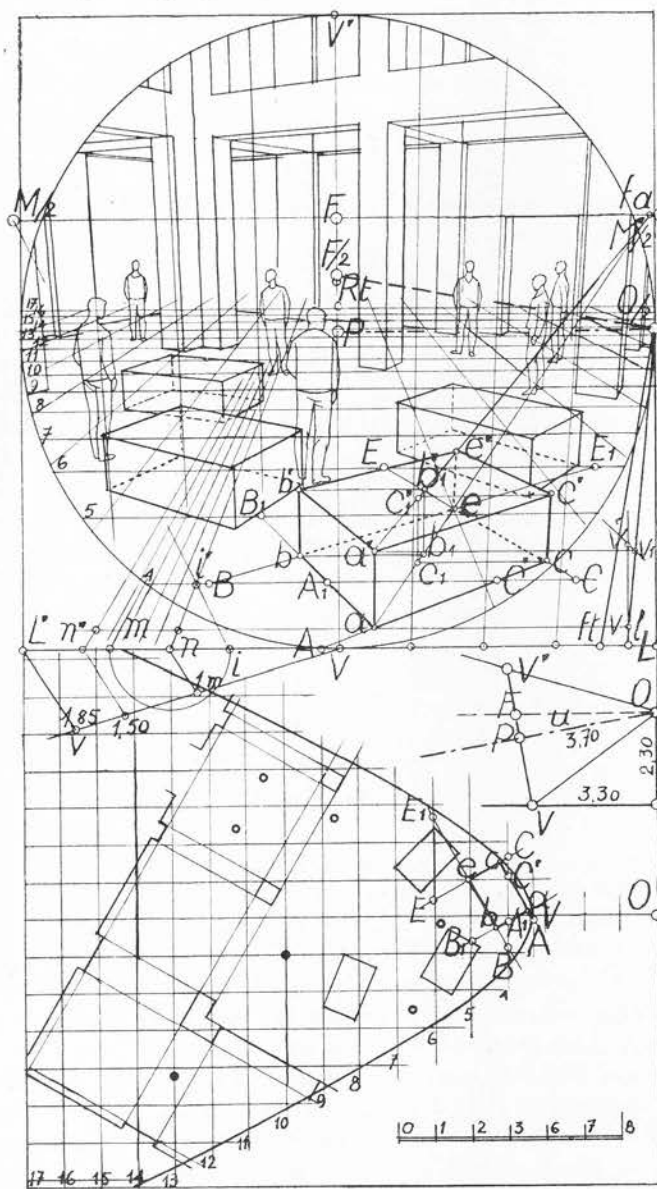
Fig. 253. (241, 243, 244)

Fig. 254. (241, 243)

Elementele perspective enumerate mai sus — chiar folosind puncte reduse — vor fi inaccesibile, unele sau altele, după cum raza vizuală principală  $OP$  face cu raza vizuală orizontală  $OF$  un unghi  $u$  mic, mare sau mijlociu.

a. mic (fig. 255 care reprezintă vederea unei curți interioare de serviciu și fig. 256 care reprezintă vestibulul monumental al unui muzeu).

Fig. 255. (240, 243, 244, 250, 251, 255, 258, 262, 265)



b. mare (fig. 257 care reprezintă săpături arheologice la Grădiștea Muncelului și figura 258 care reprezintă bolțile caracteristice ale monumentelor moldovenești din secolul al XV-lea)

c. mijlociu (fig. 259 care reprezintă un desuet amfiteatru de vivisecție și fig. 260 care reprezintă arcada unui pod monumental văzut din apă.)

a. Când raza vizuală principală  $OP$  face un unghi mic  $u$  cu raza orizontală  $OF$ , punctul de fugă terestru  $F_l$  (fig. 255) sau aerian  $F_a$  (fig. 256) al imaginilor verticalelor din spațiu nu va fi cuprins în câmpul de viziune clară  $OVV'$  al desenatorului. Pentru reprezentarea lor se va întocmi o rețea perspectivă, cu punctul ei corespunzător de egală resecție, de felul celei folosite pentru desena perpendiculararelor pe planele frontale ascendente sau descendente (I fig. 553, 603—605).

În figura 255 se poate vedea că atunci când privim în jos, planul obiectelor se prezintă într-un racursiu cu atât mai accentuat cu cât unghiul  $u$  este mai mic iar în figura 256 se poate vedea că atunci când privim în sus, imaginea planului obiectelor în depărtare se prezintă într-un racursiu cu atât mai accentuat cu cât unghiul  $u$  se mărește. Dar în acest

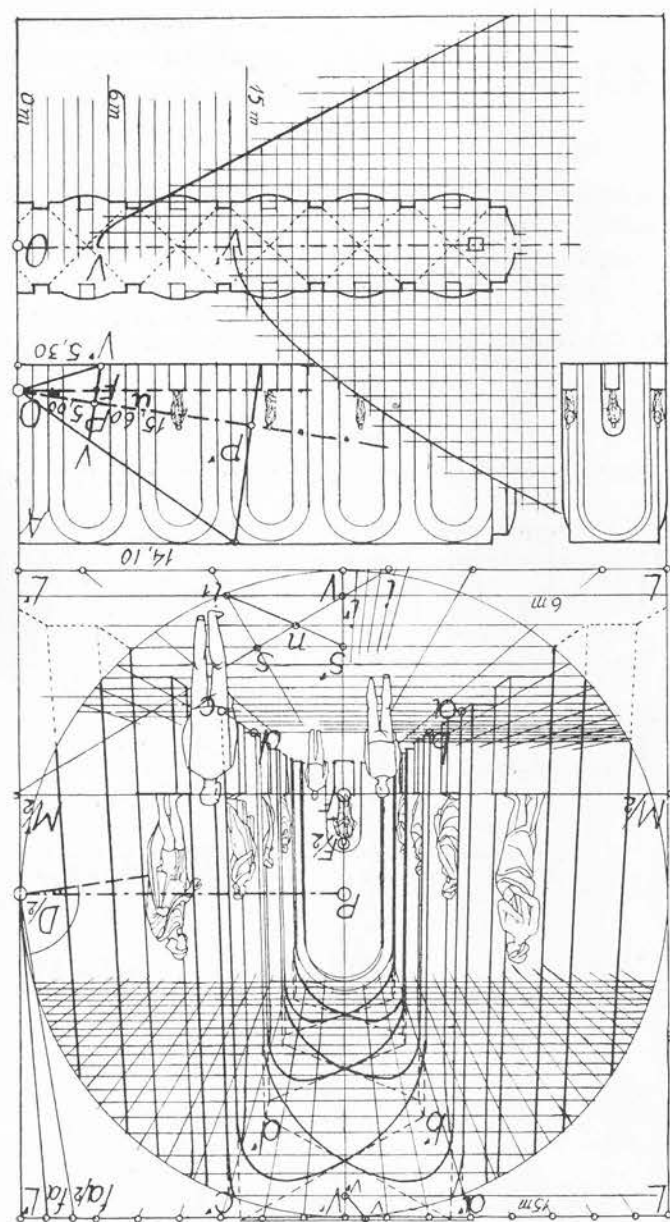


Fig. 256. (243, 244, 250, 252, 255, 258, 262, 265, 397)

din urmă caz, folosind în locul planului obiectelor un plan orizontal de deasupra punctului de vedere, cum se arată în această figură, aceasta se va prezenta în aceeași condiții cu planul obiectelor din figura 255, adică în racursiu cu atât mai accentuat cu cât unghiul  $u$

va fi mai mic.

*b.* Când raza vizuală principală  $OP$  face un unghi mare  $u$  cu raza orizontală  $OF$  punctul de fugă

va fi mai mare.

*c.* În sfârșit când raza vizuală principală  $OP$  face un unghi mijlociu cu raza vizuală orizontală  $OF$  (fig. 259 și 260) vor fi inaccesibile atât punctul de fugă

atât mai puțin accentuat cu cât vor prezenta într-un racursiu cu în sus (fig. 258). Aceste rețele se de subiectul respectiv, când privim punctului de vedere, la cota cerută plan orizontal situat deasupra vim în jos (fig. 257) fie pe un fie pe planul obiectelor când pri-

Această rețea se va desena

Acasă rețea se va desena

cesibilă (I, 544, fig. 596).

ascendente cu linia de fugă înac-

celora folosite pe planele frontale

pătrate orientate frontal de felul

obiectelor vom întocmi o rețea de

giniilor pe planul orizontal al

mai bine, pentru desenaarea ima-

dente (I, 543, fig. 595—596) sau,

frontale ascendente sau descen-

de cea mai mare pantă ale planelor

asemănătoare acelea a dreptelor

corespunzător de egală resecție

o rețea perspectivă cu punctul ei

În acest caz vom întocmi

inaccesibil.

orizontalilor din spațiu va fi

punctul de fugă  $F$  al imaginii

lor din spațiu este accesibil dar

(fig. 258) al imaginilor vertica-

terestru  $F_1$  (fig. 257) sau aerian  $F_a$

raza orizontală  $OF$  punctul de fugă

pala  $OP$  face un unghi mare  $u$  cu

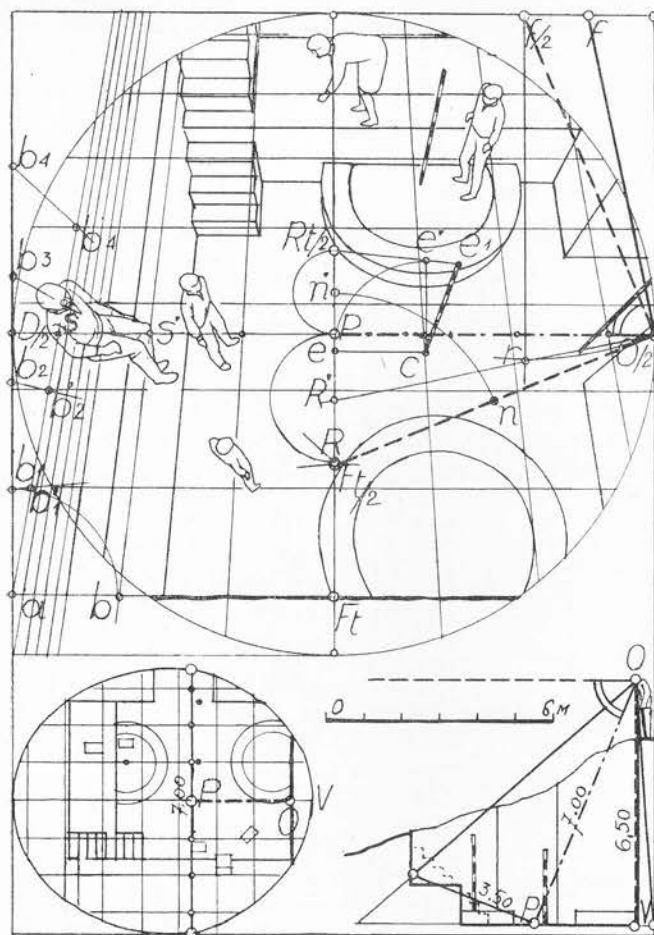


Fig. 257. (243, 244, 246, 247, 250, 251, 255, 256, 257, 258, 262)

aerian sau terestru al verticalelor cît și punctul de fugă  $F$  al imaginii orizontalelor din spațiu. În acest caz va trebui să întocmim două rețele și anume o rețea perspectivă cu punctul ei corespunzător de egală resecție pentru desenarea verticalelor din spațiu și o altă rețea perspectivă cu punctul ei corespunzător de egală resecție sau, mai bine, o rețea de pătrate orientată frontal pentru desenarea imaginilor pe planul obiectelor cînd privim în jos (fig. 259) sau pe un plan orizontal situat deasupra punctului de vedere la cota cerută de subiectul respectiv (de exemplu la nivelul nașterii arcadei podului) cînd privim în sus (fig. 260).

Important este că rețelele perspective cu puncte de egală resecție cu care se soluționează compozițiile complexe pe tabloul vertical (223—228) se pot adopta cu ușurință și pentru tablourile înclinate, cum se va arăta mai departe.

#### ELEMENTELE PERSPECTIVE ALE TABLOULUI ÎNCLINAT ÎN CADRUL TABLOULUI

**244.** — Folosind explicațiile de mai sus elementele perspective se determină cu ușurință în cadrul tabloului înclinat de îndată ce cunoaștem, apreciem sau ne dăm unghiul  $\alpha$  pe care îl face în spațiu raza vizuală principală  $OP$  deasupra sau dedesubtul razei vizuale orizontale  $OF$ .

În figurile 261—269 fie:

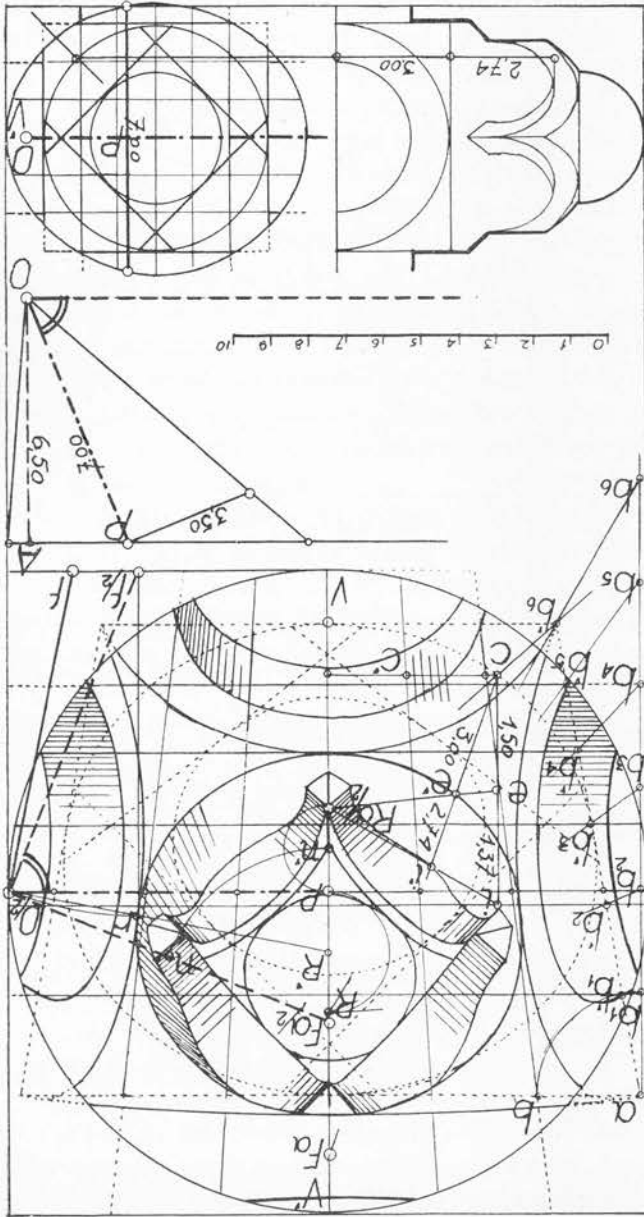
$P$  punctul principal al tabloului în centrul cercului care reprezintă cîmpul de viziune clară al desenatorului.

$pp'$  linia privirii



Trebuie să precizăm că în figurile noastre raza vizuală principală  $O/2P$ , care în realitate, în spațiu se îndreaptă fie în sus, fie în jos, cum s-a arătat mai sus, ne apare orizontală, rabătată în lungul liniei privirii  $pp'$ . Pentru a urmări cu mai mare ușurință explicațiile ce urmează este bine ca cititorul, printr-o mișcare de rotație a paginii în jurul punctului  $O/2$ , în sensul acelor ceasornicului (fig. 258, 260, 262, 265, 267 și 269) sau în sensul contrar (fig. 261, 263, 264, 266 și 268) să incline treptat raza vizuală principală  $O/2P$  în sus (fig. 262, 265, 267 și 269) sau în jos (fig. 261, 263, 264, 266 și 268) până când cecala lătură a unghiului  $u$ , adică raza vizuală orizontală  $O/2F_2$ , se prezintă orizon-

Fig. 258, 243, 244, 246, 247, 250, 252, 255, 257, 258, 262, 274)



$D/2$  punctul de distanță redusă la jumătate.  
 $VV'$  linia de fugă a imaginii planelor verticale din spațiu, paralele cu planul vizual principal vertical.

Unghiul  $u$ , mai mic (fig. 255, 256, 261 și 262) mai mare (fig. 259, 260, 263, 264, 265, 268 și 269) sau foarte mare (fig. 257, 258, 266 și 267) pe care îl face în spațiu raza vizuală principală  $OP$  cu raza vizuală orizontală  $OF$ . Acest unghi se construiește în adevărată lui mărime, rabătând vârful lui pe planul tabloului în punctul  $O/2$ ; Latura  $O/2P$  care în spațiu este înclinată în jos spre adâncul spațiului (fig. 261, 264, 266 și 268) sau în sus (fig. 262, 265, 267 și 269) reprezintă distanța principală redusă la jumătate și latura  $O/2F/2$  raza vizuală orizontală a desena-

torului.

tală. În această poziție ne apare evidentă înclinarea mai mare sau mai mică a planului tabloului  $VV'$  față de raza vizuală orizontală  $O/2F/2$ . Unghiul înclinării  $PF/2$   $O/2$  este, în triunghiul dreptunghi  $O/2$   $PF/2$ , complementarul unghiului  $u$ .

Plecând de la aceste date, celelalte elemente perspective ale tabloului înclinat se determină cum se arată mai jos.

Punctul de fugă  $F$  al imaginii orizontalelor din spațiu, perpendiculare pe planul neutru, se determină în  $F$  luând pe  $VV'$  segmentul  $F/2F$  egal cu segmentul  $PF/2$  (fig. 261 și 262). Este punctul pe care l-am fi obținut dacă am fi dus raza vizuală  $OF$  din punctul  $O$  de două ori mai depărtat de punctul  $P$  decât punctul  $O/2$ .

Linia orizontului este orizontala  $oo'$  care trece prin punctul  $F$  și către care fug toate planele orizontale din spațiu, toate orizontalele oarecare cuprinse în ele, aflindu-se pe ea și corespunzătoarele lor puncte de egală resecție (fig. 261 și 262). Linia orizontului  $oo'$  se găsește — firește — deasupra liniei privirii  $pp'$  când raza vizuală principală  $O/2$   $P$  este îndreptată în jos, spre adâncul spațiului (fig. 249, 253 și 261) și dedesubtul acestei linii când raza vizuală principală se îndreaptă în sus (fig. 251, 254 și 262).

Punctele de măsură reduse la jumătate  $M/2$  și  $M'/2$  (care înlocuiesc pe tabloul înclinat punctele de distanță din tabloul vertical) pentru măsurarea lungimii orizontalelor din spațiu, perpendiculare pe planul neutru și care fug în punctul de fugă  $F$  se determină luând, pe linia orizontului  $oo'$ , segmentele  $FM/2$  și  $FM'/2$  egale cu segmentele  $O/2$   $F/2$ . În figurile 261 și 262 aceste puncte au fost determinate ducând din punctul  $F/2$  ca centru un arc de cerc cu raza  $F/2$   $O/2$  până la orizontala ajutătoare dusă prin punctul  $F/2$  și apoi ducând verticala  $mM'/2$ .

În aceste figuri, pe dreapta  $AF$ , capătul  $C$  al unei lungimi  $AC$  egală cu segmentul frontal  $AB$  a fost determinat de dreapta ajutătoare care unește punctul de măsură redus la jumătatea  $M/2$  cu capătul  $b/2$  a jumătății segmentului frontal dat  $AB$ .

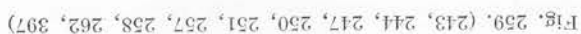
În fig. 272 pe linia orizontului — care s-a desenat cu toate că depășește puțin cercul cîmpului vizual — s-au determinat punctele de distanță sau de măsură reduse la o pătrime  $M/4$  și  $M'/4$ : luând mijlocul  $n$  al razei  $O/2$   $F/2$ , cu un arc de cerc, cu centrul în  $F/2$  și cu raza  $F/2$   $n$  s-a găsit pe orizontala dusă din  $F/2$  punctul  $n'$ ; verticala ridicată din acest punct a determinat pe linia orizontului  $oo'$ , punctul de distanță sau de măsură redus la o pătrime  $M'/4$  simetric cu punctul  $M/4$  față de punctul  $F$ .

Punctul de fugă  $F$ , linia orizontului  $oo'$  și punctele de măsură, reduse la jumătate  $M/2$  și  $M'/2$ , sînt accesibile numai cînd tabloul fiind puțin înclinat, punctul  $F/2$  în care latura unghiului  $u$  (mai mic de  $27^\circ$ ) determină pe urma  $VV'$  un segment  $PF/2$  destul de mic pentru ca dublarea lui  $F/2F$  să poată fi cuprinsă în cadrul tabloului (fig. 255, 256, 261, 262). Cînd tabloul este mai înclinat, vom avea de examinat două cazuri și anume:

a. Cînd unghiul  $u'$  nedepășind  $45^\circ$ , punctul  $F/2$  este accesibil (fig. 259 și 260, în care punctul  $F/2$  este chiar pe marginea tabloului, fig. 263, 264, 265, 268 și 269).

b. Cînd unghiul  $u$  fiind mai mare de  $45^\circ$ , punctul  $F/2$  este inaccesibil (fig. 257, 258, 266 și 267).

**245.** — a) *Tabloul are o înclinare, în sus sau în jos spre adâncul spațiului cuprinsă între  $27^\circ$  și  $45^\circ$ . În acest caz, pentru desenarea și măsurarea lungimii imaginilor dreptelor care*



in spațiu sînt perpendiculare pe planul neutru, vom întocmi o rețea perspectivă cu cores-punzătorul punct de egală resecție care va înlocui punctele inaccesibile  $M/2$  și  $M'/2$  așa cum se arată în fig. 263.

figura 263 și cum s-a arătat și pentru măsurarea dreptelor de cea mai mare pantă a planelor frontale ascendente (I, 543, fig. 594).

Ne propunem să determinăm pe dreapta  $AF$  (care în lipsa punctului  $F$  inaccesibil ar fi fost desenată cu ajutorul rețelei perspective) o lungime dată  $Ab$ . Folosind punctul  $M/2$  (cînd este accesibil) rezolvăm problema unind mijlocul  $b/2$  al lungimii date cu acest punct de măsură și obținem rezultatul în  $AB$ . Același rezultat se obține și cu punctele de egală resecție  $R$  sau  $R/2$ , cu condiția ca lungimea dată să se ia pe o dreaptă ajutoare  $Ab'/2b'$  paralelă cu  $VV'$ . Vedem în figura 263 că dreapta  $b'/2 R/2$  și dreapta  $b'R$  trec tot prin punctul  $B$ . Între punctele  $R$  și  $R/2$  vom alege pe acela care va fi accesibil.

În figura 264 s-au folosit rețeaua perspectivă și punctele de egală resecție pentru imaginea perspectivă a unui dreptunghi orientat pe unghi prin procedeul construirii geometralului (I, 297, fig. 324). Pentru adîncimile punctelor  $B$  și  $C$  s-a folosit punctul de egală resecție întreg  $R$  iar pentru adîncimea punctului  $E$  s-au folosit, obținînd același rezultat, punctele de egală resecție întreg  $R$  și redus la jumătate  $R/2$  care a fost unit cu punctul  $e/2$ , care împarte în două părți egale segmentul  $ee'$ .

În figura 265, pentru măsurarea laturilor perpendiculare pe planul neutru ale pătratului din partea superioară a tabloului s-au putut folosi, obținînd același rezultat, ambele puncte de egală resecție  $R$  și  $R/2$ , în timp ce pentru pătratul din partea inferioară a desenului, fără a ieși din pătratul circumscris tabloului, nu s-a putut folosi decît punctul de egală resecție micșorat  $R/2$ , luînd segmentul  $Ab'$  egal cu jumătatea laturii date  $AB$ .

**246.** — b. *Tabloul are o înclinare în sus sau în jos spre adîncul spațiului mai mare de  $45^\circ$*  (fig. 257, 258, 266 și 267).

Rețeaua perspectivă se va întocmi ca mai sus, procedînd cum se arată în figurile 266 și 267 în care aceasta a fost trasată numai parțial pentru a nu încărca tabloul cu prea multe linii.

Unghiul  $u$  fiind mai mare de  $45^\circ$  latura lui  $O/2 f/2$  nu va putea întretăia urma  $VV'$  în cadrul tabloului. Dar dacă pe marginea lui inferioară determinăm punctul  $f$  la mijlocul segmentului  $L'f/2$ , raza vizuală  $O/2 f$ , prelungită, ar întretăia urma  $VV'$  în punctul  $F$  de două ori mai depărtat de punctul principal  $P$  decît punctul  $F/2$  în care ar întretăia-o raza  $O/2f/2$ , prelungită.

Urmează să împărțim, cu scara divergentă, în același număr de părți egale segmentele  $O/2P$  și  $fV$  pentru ca, unind punctele obținute, să avem respectiva rețea perspectivă pentru desenarea imaginii dreptelor care în spațiu sînt perpendiculare pe planul neutru.

Cu ajutorul acestor rețele în figura 266 s-a desenat baza pătrată  $ABHJ$  a cubului așezat pe planul obiectelor iar în figura 267 baza pătrată  $ABCE$  în care se înscrie o coloană precum și pătratele feței inferioare a antablamentului.

*Punctul de egală resecție.* Cunoaștem cum se procedează pentru determinarea punctului de egală resecție în cazul cînd punctul de fugă al direcției respective este inaccesibil (I 266—269). În figurile 257 și 258 se reamintește construcția respectivă: prin punctul  $f/2$  se duce o paralelă la urma  $VV'$  și cu un arc de cerc cu centrul în  $f/2$  și cu raza  $f/2O/2$  se precizează punctul de resecție micșorat  $r$ . Raza  $O/2r$  prelungită determină pe urma  $VV'$  punctul de egală resecție micșorat  $R'$ . Luînd segmentul  $RR'$  egal cu segmentul  $PR'$  obținem în  $R$  punctul de egală resecție întreg. În aceste figuri s-a folosit punctul de egală

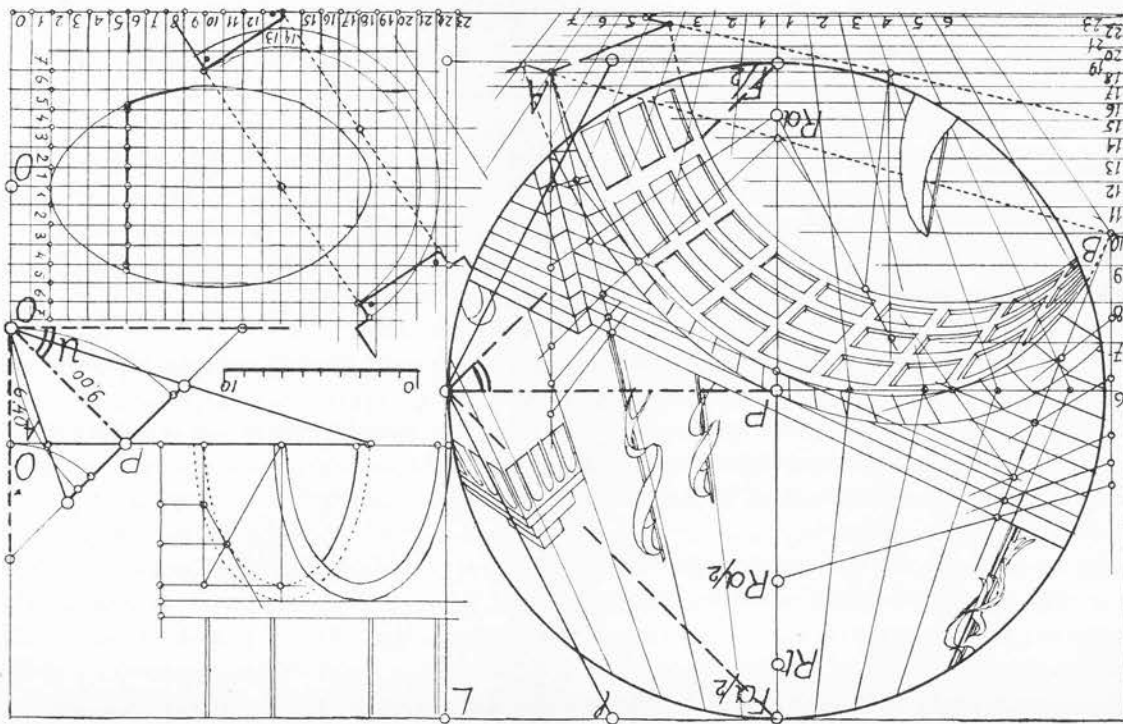


277. — Cum s-a arătat mai sus (240) imaginile verticalelor din spațiu nu sînt verticale pe tabloul înclinat: ele se îndreaptă către un punct de fugă terestru  $Ft$  cînd tabloul este frontal ascendent spre adîncul spațiului și către un punct de fugă aerian  $Fa$  cînd tabloul

#### ELEMENTELE PERSPECTIVE ALE IMAGINII VERTICALELOR DIN SPAȚIU

resecție  $R$  pentru a desena o rețea de pătrate: s-au luat segmentele  $ab_1, b_1b_2, b_2b_3$  etc. egale cu segmentul  $ab$  și dreptele  $b_1R, b_2R, b_3R$ , etc. au determinat segmentele  $ab_1, b_1b_2, b_2b_3$  etc. egale cu segmentul  $ab$ .  
In figurile 266 și 267, după ce s-a determinat punctul de egală resecție  $R$ , construcțiile de mai sus au fost șterse cu guma pentru a nu încălca tabloul cu prea multe linii. In aceste figuri se vede cum a fost folosit acest punct  $R$  pentru a măsura lungimea laturii  $AJ$  a bazei pătrate a cubului reprezentat în figura 266 (s-a luat segmentul  $Ab$ , egal cu segmentul  $AB$  și dreapta  $bR$  a determinat lungimea căutată  $AJ$ ) precum și pentru măsurarea lungimii laturii  $AE$  a bazei pătrate a soclului coloanei și a laturii  $hw$  a pătratelor antablamentului reprezentate în figura 267 (s-a luat segmentul  $Ab$  egal cu segmentul  $AB$  și segmentele  $hi$  egal cu segmentul  $hj$  și dreptele  $bR$  și  $iR$  au determinat lungimile căutate  $AE$  și  $hw$ ).

Fig. 260, (243, 244, 247, 248, 250, 252, 255, 257, 258, 262, 274, 397)



este frontal descendent spre adîncul spațiului. Aceste puncte de fugă sînt accesibile întregi  $Ft$  și  $Fa$  numai cînd unghiul  $u$  pe care îl face tabloul cu planul orizontal al obiectelor este mai mare de  $63^\circ$  (fig. 257 și 258); sînt accesibile reduse la jumătate  $Ft/2$  și  $Fa/2$  cînd unghiul  $u$  este între  $45^\circ$  și  $63^\circ$  (fig. 259 și 260 în care acest unghi este  $45^\circ$  și fig. 266 și 267) iar cînd acest unghi e mai mic de  $45^\circ$  nu va mai fi accesibil nici punctul de fugă redus (fig. 268 și 269).

Pentru desenarea imaginii verticalelor din spațiu în aceste trei cazuri vom întocmi rețelele perspective necesare cu puncte corespunzătoare de egală resecție procedind așa cum s-a arătat mai sus pentru imaginea orizontalelor din spațiu.

a. *Tabloul are o înclinare în sus sau în jos spre adîncul spațiului mai mare de 63°.* În acest caz punctul de fugă terestru *Ft* (fig. 257) sau aerian *Fa* (fig. 258) fiind accesibile este evident că nu se vor întocmi rețele perspective.

*Punctul de egală resecție*, întreg, nefiind accesibil se va determina redus la jumătate. Cu un arc de cerc cu centrul în  $Ft/2$  sau  $Fa/2$  și cu raza  $Ft/2n$  sau  $Fa/2n$  se determină pe urma  $VV'$  punctul  $n'$ . Dublind segmentul  $Pn'$  aflăm în  $Rt/2$  sau  $Ra/2$  punctul căutat (fig. 257 și 258).

În figura 257 se arată cum s-a determinat cu ajutorul acestui punct înălțimea de 2 m a unui jalon: cu un arc de cerc s-a determinat lungimea de 1 m a verticalei  $ce'$  iar dreapta  $Rt/2e'$ , prelungită, a determinat lungimea, de două ori mai mare, de 2 m a jalonului  $ce$ .

Iar în figura 258 se vede cum s-a determinat înălțimea de 3 m a pendentivilor și de 2,74 m a arcelor diagonale ale unei bolți moldovenești măsurind pe scara perspectivă în  $ce'$  lungimea verticalei  $ce$  de  $3,00 : 2 = 1,50$  m și a verticalei  $ei$  de  $2,74 : 2 = 1,37$  m. Dreptele  $Ra/2e$  și  $Ra/2i$  au determinat pe dreapta  $CFa$  segmentele  $ce'$  de 3,00 m și  $e'i$  de 2,74 m de două ori mai lungi.

Fig. 261. (244)

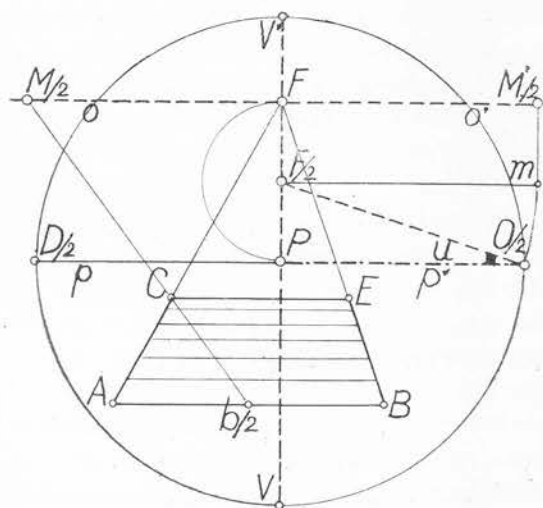
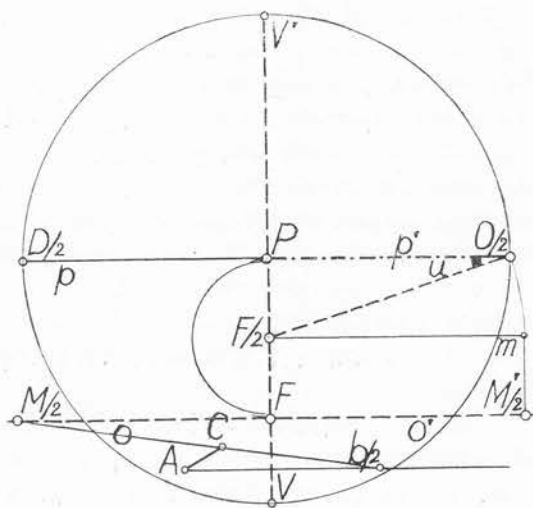


Fig. 262. (244)



278. — b. *Tabloul are o înclinare în sus sau în jos spre adâncul spațiului* cuprinsă între  $45^\circ$  și  $63^\circ$ .

Rețeaua perspectivă se construiește la fel ca rețelele pentru orizontale, cum se arată în figurile 266 și 267. Pe orizontala dusă prin punctul  $Ft/2$  sau  $Fa/2$ , în dreptunghiul  $Pf/2L'O/2$ , unim punctul  $O/2$  cu mijlocul  $l$  al laturii  $Ft/2L'$  sau  $Fa/2L'$  pentru a obține o dreaptă  $O/2l$  care, prelungită, ar ajunge în punctul de fugă inaccesibil  $Ft$  sau  $Fa$  al verticalelor din spațiu. Rețeaua se obține unind două cîte două punctele care împreună în același număr de părți egale segmentele  $PO/2$  și  $Ft/2l$  sau  $Fa/2l$ .

Punctul de egală resecție se află de asemenea ca în cazul imaginii orizontale-

lor cum se vede în figura 266 în care s-a determinat cu arce de cerc punctul de egală resecție între  $Ra$  și punctul de egală resecție redus

la jumătate  $Ra/2$ , luînd punctul  $n$  în mijlocul razei  $O/2Fa/2$ . În figura 266 înălțimea  $AC$  a cubului s-a obținut luînd pe verticala dusă prin punctul  $A$  segmentul  $Ab$  egal cu latura frontală a bazei. Dreapta  $bRl$  prelungită determină la intersecția ei cu dreapta dusă cu ajutorul rețelei perspective prin punctul  $A$  înălțimea căutată  $AC$  a cubului.

În figura 267 pe verticala dusă prin punctul  $A$ , în cadrul tabloului, n-au încăput măsura (fără alte construcții) decît un fus de coloană  $AC$  de 4 diametre. Dar folosind decît 4 diametre și prin urmare cu punctul de egală resecție între  $Ra$  nu s-ar putea punctul de egală resecție redus la jumătate  $Ra/2$  s-a putut măsura înălțimea de 8 diametre a fusului respectiv  $AE$ .

În figura 260, cu construcții cunoscute care s-au șters cu guma, s-au determinat de asemenea ambele puncte de egală resecție  $Ra$  între  $g$  și  $Ra/2$  redus la jumătate. Pe verticala ridicată în  $A$  înălțimile podului, măsurate pe scara perspectivă construită de o rețea de pătrate orientate frontal cu laturile de 1 m (243 b și c), au fost luate întregi și s-a folosit punctul corespunzător de egală resecție între  $Ra$ . Dar pe verticala  $B$ , mai apropiată, măsurate pe orizontala rețelei care trece prin punctul  $B$  s-au luat pe jumătate, pentru că s-a folosit punctul de egală resecție corespunzător redus la jumătate  $Ra/2$ .

279. — c. *Tabloul are o înclinare mai mică de  $45^\circ$* . Rețeaua perspectivă s-a desenat în

figurile 268 și 269 în care pentru a nu încărea tabloul cu prea multe linii, rețelele perspective pentru orizontale, după ce au fost utilizate, au fost șterse cu guma. S-a luat punctul  $l$  în mij-

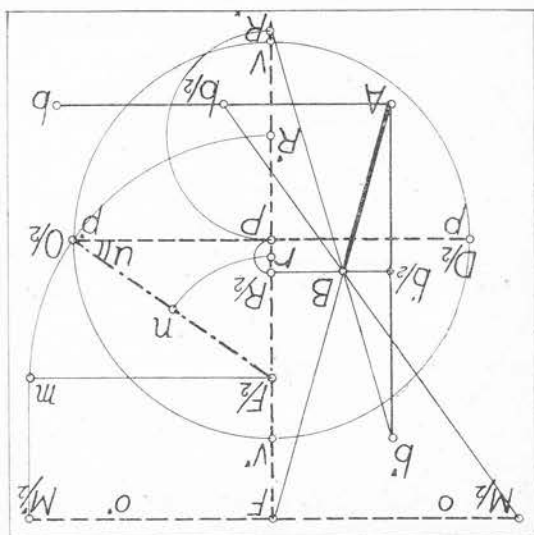


Fig. 263. (244, 245)

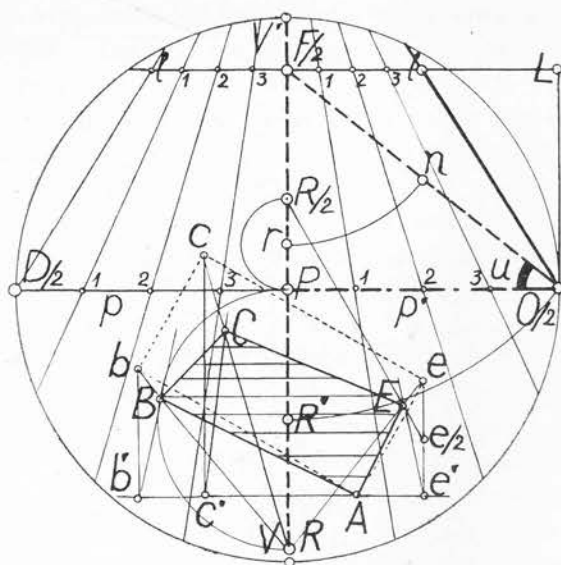


Fig. 264. (244, 245, 265)

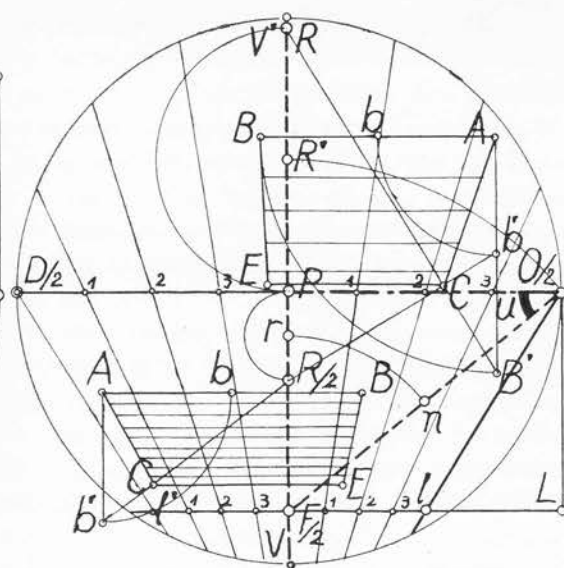


Fig. 265. (244, 245)

locul segmentului  $FIL$  sau  $FaL$  pentru a obține în  $O/2$   $l$  una din liniile rețelei verticalelor din spațiu. Aceasta s-a desenat unind două câte două punctele care împart în părți egale segmentele  $O/2 P$  și  $IV$  sau  $IV'$ .

Punctul de egală resecție  $Rl$  sau  $Ra$  s-a determinat întreg cu procedeul cunoscut folosind verticala ajutătoare dusă prin  $Fl$  sau  $fa$  așa cum se știe și cum se vede în figurile 268 și 269.

În fig. 268 s-a măsurat latura verticală  $AC$  luând segmentul  $Ab$  egal cu latura  $AB$  a bazei. Dreapta  $Rlb$ , prelungită, a determinat punctul căutat  $C$ .

În fig. 269 s-a determinat proporția de  $2/1$  a arcadei și punctul  $C$  al nașterii arcului de cerc luând pe verticala dusă prin punctul  $A$  segmentul  $Ab_1$ , egal cu îndoitul lărgimii  $AB$  a arcadei și segmentul  $b'b_1$  egal cu jumătatea acestei lărgimi. Dreptele  $b_1Ra$  și  $b'Ra$  au determinat segmentele căutate  $AE$  și  $CE$ .

#### SCARA PERSPECTIVĂ A TABLOULUI ÎNCLINAT

**250.** — Pe tablourile frontale ascendente sau descendente, spre adîncul spațiului scara perspectivă se întocmește pe planul obiectelor, cînd acesta este accesibil și nu se prezintă într-un racursiu prea accentuat (fig. 255, 257, 270, 272, 275, 277, 279, 281, 283, 285), pe un plan orizontal judicios ales deasupra planului orizontal al punctului de vedere (fig. 258, 260, 271) sau eventual și pe planul obiectelor și pe un plan orizontal, deasupra planului orizontal al punctului de vedere (fig. 256).



# I) În perspectivă directă

251. — Pe tabloul frontal ascendent spre adîncul spațiului (fig. 255, 257, 270, 272, 275). Cunoaștem (ni se dă, ne închipuim sau măsurăm la fața locului) înălțimea mai mică (1,60 m în fig. 275) sau mai mare (6,50 m în fig. 257) a punctului de vedere al unui desenator în picioare sau urcat pe o ladă, pe o terasă etc. față de planul obiectelor, cum și unghiul  $u$  pe care îl face cu un plan orizontal raza lui vizuală principală  $OP$  apăsătoare în jos, spre obiectele din imediata lui vecinătate, sau mai degrabă adîncimea, față de planul neutru, a punctului în care se împlințe pe sol această rază.

Cu aceste date la o scară obișnuită (de exemplu de 5 mm. în fig. 255 și 257, sau de 1 cm. în fig. 259, 270 și 272, pe metru) desenăm o mică schemă pe care o completăm cu unghiul vizual  $u$  clar  $VOV'$  a desenatorului. Se știe că acest unghi se construiește luînd pe rază vizuală  $OP$  două segmente egale cu segmentul  $PV$  și cu  $PV'$  care se iau pe o perpendiculară dusă pe această rază (L, 44, fig. 60 c). În triunghiul  $VOV'$  astfel construit, latura  $VV'$  care reprezintă diametrul cercului vizualii clare are o lungime egală cu lungimea  $OP$  a razei vizuale principale pe care o cunoaștem măsurînd-o la scara la care a fost executată schema respectivă. Această egalitate ne permite să determinăm nu numai scara perspectivă a tabloului înclinat dar și să întocmim pe planul obiectelor o rețea de pătrate orientate frontal, cu laturile de 1 m, cu ajutorul cărora se pot desena compoziții frontale sau pe unghi (L, 433—440, fig. 488—495).

În schema figurii 255, măsurînd la scara de 5 mm pe metru, găsim că raza  $OP$  are o lungime de 3,70 m, egală cu diametrul cercului vizualii clare a desenatorului. Prin

Fig. 266, (244, 246, 247, 248)

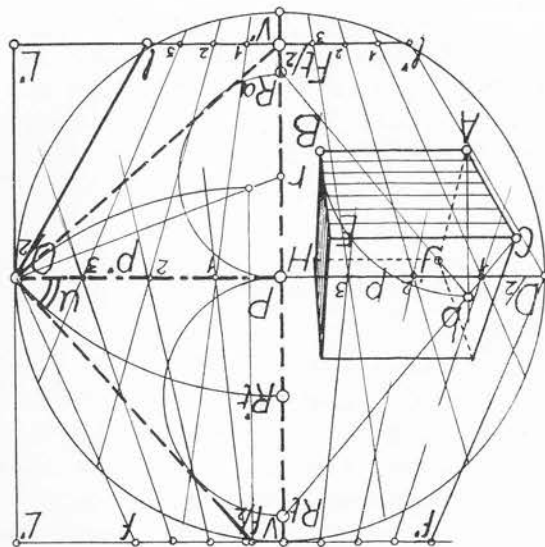
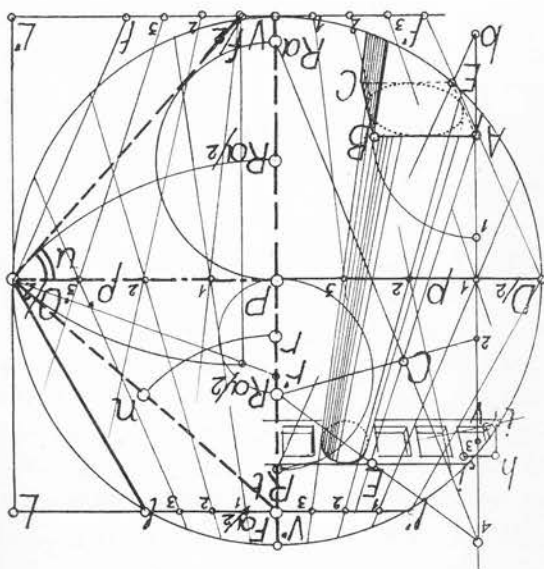


Fig. 267, (244, 246, 247, 248, 265)



urmare în desenul perspectiv segmentul  $VL'$  (jumătatea laturii pătratului circumscris cercului) va avea o lungime de  $3,70:2=1,85$  m. Pe o dreaptă ajutătoare  $Vv$ , la o scară obișnuită, spre exemplu de 2 cm pe metru, vom lua segmente de 1 m, de 1,50 m și de 1,85 m și ducând paralele geometrice la dreapta  $vL'$  vom obține în  $Vn$  mărimea unui metru și în  $nn'$  mărimea de 0,50 m pentru întocmirea scării perspective a tabloului.

În schema din figura 257 raza vizuală  $OP$  care se împlintă în planul obiectelor are o lungime de 7 m. Aceasta înseamnă că luând pe diametrul imaginii perspective segmentul  $ss'$  egal cu o șeptime vom putea desena scara perspectivă folosind rețeaua dreptelor perpendiculare pe planul neutru.

În schema figurii 270 raza vizuală principală are o lungime  $OP$  de 2,50 m și se împlintă în planul obiectelor în punctul  $P'$  la 4,166. Aceasta înseamnă că în imaginea perspectivă segmentul  $VL$  din planul tabloului are o lungime de  $2,50:2=1,25$  m iar raza orizontală  $P'O/2$  de pe planul obiectelor are o lungime de  $4,166:2=2,083$ . Determinând mărimea de 1 m în  $Vn$  sau  $P'n'$  cu dreapta ajutătoare  $Vv$  sau cu dreapta ajutătoare  $Pp$ , așa cum s-a arătat mai sus, scara perspectivă  $nn'$  se va îndrepta spre punctul de fugă inaccesibil  $F$ , dacă s-a desenat cu grijă.

#### *Pe tabloul frontal descendent spre adîncul spațiului*

**252.** — A. *Pe planul obiectelor.* Cînd, tabloul fiind puțin înclinat, planul obiectelor nu se prezintă într-un racursiu prea accentuat, scara perspectivă a tabloului se va întocmi ca în cazurile precedente, așa cum se vede în figura 256 în care mărimea metrului este o cincime din latura  $LL'$  a pătratului în care se înscrie tabloul, întrucît în schema respectivă raza vizuală principală  $OP$  are 5 m.

B. *Pe un plan orizontal judicios ales deasupra planului obiectelor.*

Este firesc, dar nu obligatoriu, ca acest plan orizontal să fie luat, deasupra punctului de vedere al unui privitor de statură medie, la înălțimea cunoscută, dată, presupusă sau constatată la fața locului, corespunzătoare încăperii pe plafonul căreia se va aplica respectivul tablou descendent spre adîncul spațiului sau înălțimii pe care îl ocupă în spațiu elementul reprezentat. De exemplu în figura 256 planul orizontal a fost luat la înălțimea  $OA$  dată de cheile bolților de penetrație ale galeriei de sculptură a muzeului ( $9,70-1,70=8$  m). În figura 258 planul orizontal este la înălțimea  $OA$  de 6,50 m, cota nașterii bolților în unele monumente din vremea lui Ștefan cel Mare. Iar în figura 260 s-a avut în vedere cota  $OA$  de 6,40 m a nașterii bolții cilindrice a unui pod față de punctul de vedere al desenatorului dintr-o barcă.

În schema ce se va întocmi cum s-a mai spus la o scară obișnuită, se va ține seama de această înălțime  $OA$ . Dînd unghiului  $U$  deschiderea dorită desenăm raza vizuală principală care va întretăia orizontala dusă prin punctul  $A$  în punctul principal  $P$ . În felul acesta vom cunoaște și vom putea măsura la scara schemei lungimea  $OP$  a distanței principale care știm că este egală cu diametrul cercului cîmpului viziunii clare a desenatorului.

În schema figurii 256 constatăm că lungimea razei vizuale  $OP'$  este de 15,60 m. Prin urmare pe latura superioară  $LL'$  a pătratului circumscris cimpului vizual, metrul va fi a 15,6-a parte a acestei laturi sau a 7,8-a parte a jumătății  $LV'$  a acestei laturi și se va obține cu o dreaptă ajutătoare (care după ce a fost folosită a fost ștearsă cu guma în figura 256). În schema figurii 258 lungimea  $PO$  fiind de 7 m, mărimea unui metru se va găsi luând a șaptea parte din diametrul imaginii perspective. În figura 260 se va lua a noua parte. În schema figurii 271 vedem că lungimea razei vizuale principale  $OP$  este de 4,00 m și că, prelungită până la planul orizontal dus prin punctul  $A$ , are o lungime de 6,56 m. În consecință pentru a determina lungimea metrului este suficient să împărțim în patru părți egale (cu ajutorul scării divergente) latura  $LL'$  a pătratului circumscris tabloului, sau cu ajutorul unei drepte ajutătoare  $Ps$  pe care luăm, la o scară obișnuită, de exemplu de 1 cm pe metru — o lungime de  $6,56:2=3,28$  m pentru a obține pe diametrul  $PO/2$  al tabloului diviziuni de câte 1 m.

### III) În perspectivă inversă

253. — Dorind să verifice în vederea definitivării ei o primă schiță făcută din memorie pe un tablou înclinat, artistul urmează să stabilească în perspectivă inversă elementele perspective ale tabloului precum și scara lui perspectivă. Indiferent de formatul (pătrat, dreptunghiular, eliptic etc.) se cunosc condițiile în care, pe diametrul cercului circumscris tabloului, punctul de distanță redus la jumătate se găsește pe acest cerc sau la o abscisă îndoită, după cum se urmăresc efecte mai expresive sau mai atenuate de descreșterea perspectivei (I, 77—78 fig. 112—125).

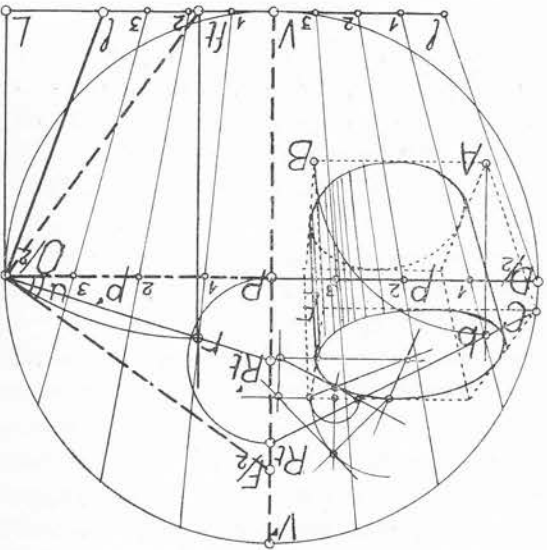


Fig. 268. (244, 247, 249, 265)

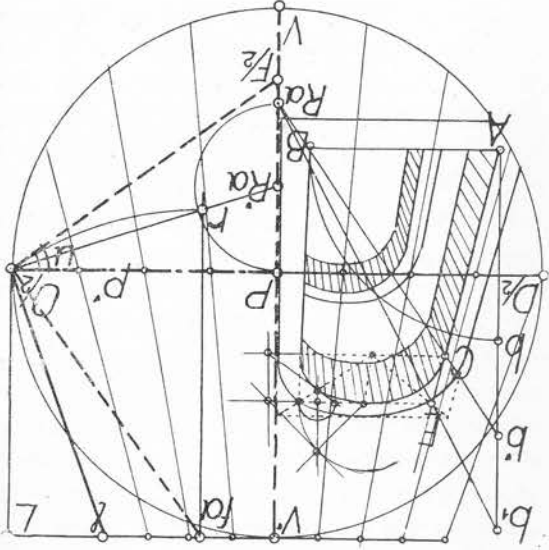


Fig. 269. (244, 247, 249)

În figura 272 subiectul schițat pe un plan frontal ascendent spre adîncul spațiului nu a fost limitat de un cadru rectangular întrucît s-a considerat că ocupă tot cîmpul vizual al artistului care, urmărind efecte pronunțate de perspectivă, a fixat punctul de distanță  $O/2$  la capătul diametrului  $D/2$   $PO/2$ .

În continuare observînd înclinarea pe care a dat-o în schița sa verticalele din spațiu, o va definitiva precizînd-o în  $O/2$   $ft$ . Luînd pe latura inferioară a pătratului circumscris cercului de viziune clară segmentul  $ft/2ft$  egal cu segmentul  $f/L$  va putea cu un arc de cerc să determine punctul  $rt$  apoi cu dreapta  $O/2$   $rt$ , prelungită, punctul  $R't$  și în sfîrșit punctul de egală resecție  $Rt$  pentru măsurarea lungimii imaginii verticalele în spațiu.

Cu aceste elemente mărimea metrului se va determina pornind de la înălțimea presupusă de exemplu de 1,65 m a figurii  $ab$  din primul plan al compoziției. Pe verticala ridicată din punctul  $a$  înălțimea  $ab'$  va fi determinată de dreapta care unește punctul  $b$  cu punctul de egală resecție a verticalele  $Rt$ . Pe o dreaptă ajutătoare  $ab_1$  luăm la o scară obișnuită, de exemplu de 2 cm pe metru, lungimea  $ac_1$  de un metru și lungimea  $ab_1$  de 1,65 m. Ducînd prin  $c_1$  o paralelă geometrică la segmentul  $b_1b'$ , obținem în  $ac$  înălțimea frontală de 1 m. Scara perspectivă se va construi pe segmentul orizontal  $AC$  care s-a luat egal cu segmentul  $ac$  folosind rețeaua orizontalele perpendicularelor pe planul neutru sau un punct de fugă pe linia orizontului cînd acesta este accesibil.

#### *Întocmirea schemei tabloului înclinat.*

**254.** — Folosind și completînd datele de mai sus, pornind de la o schiță făcută din memorie sau din imaginație, pe un tablou înclinat, ascendent spre adîncul spațiului, putem întocmi schema acestui tablou pentru ca artistul să cunoască mai bine situația punctului său de vedere față de subiectul închipuit.

În figura 272 ducînd în punctul  $O/2$  o perpendiculară pe raza  $O/2$   $f/2$  obținem punctul  $F/2$  și apoi (luînd segmentul  $f/2F$  egal cu segmentul  $PF/2$ ) punctul de fugă  $F$  prin care trece linia orizontului  $OO'$  pe care luăm în  $E$  vîrfurile scării perspective  $EAC$ . Măsurate pe scara perspectivă diametrul cercului are o lungime de 5,20 m iar latura inferioară a pătratului circumscris are o lungime de 2,76 m.

Pentru obținerea schemei vom desena un unghi egal cu unghiul  $u$  din imaginea perspectivă cu o latură orizontală și cu cealaltă coborînd spre adîncul spațiului — care reprezintă raza vizuală principală  $OP$  a cărei lungime de 2,76 m o vom determina la o scară obișnuită, de exemplu de 1 cm pe metru. În continuare dînd segmentului  $OP'$  o lungime de 5,20 m vom obține în  $P'$  punctul în care raza vizuală principală se împlintă în planul obiectelor și prin care vom duce o orizontală  $P's$  reprezentînd acest plan.

Schema se completează cu unghiul viziunii clare luînd segmentele  $PV$  și  $PV'$  egale cu jumătatea lungimii razei vizuale principale  $OP$ . Pe această schemă aflăm, în perspectivă inversă, că punctul de vedere  $O$  are o înălțime  $Os$  față de planul obiectelor care măsurată la scară are 2,50 m, că punctul  $V$  în care se împlintă marginea inferioară a tabloului este la o adîncime de 1,76 m și linia privirii  $pp$  care trece prin punctul  $P'$  este la o adîncime de 4,58 m față de planul neutru.



Astfel în schema figurii 255 citim la scara de 5 mm pe metru că marginea inferioară a tabloului aplecat se reazemă pe planul obiectelor la o adâncime de 3,30 m. Aceasta ne

datele cuprinse în schemele ce însoțesc aceste tablouri. dar și a adâncimii lor față de planul neutru al desenatorului, dacă le vom desena utilizând a desășurării în adâncimea spațiului a figurilor și volumelor reprezentate în compoziție frontale ale rețelilor de pătrate și în tablourile înclinate pot da o imagine clară nu numai

#### *Punctul de plecare al frontalilor rețelei de pătrate*

Tot atât de ușor se desenează și în cazul în care, cum s-a arătat mai sus (248) mărimea tabloului este descendent spre adâncul spațiului (fig. 256, 258, 260, 271). În sfârșit, în lipsa posibilităților de mai sus, fișile se vor desena folosind cu ajutorul unei drepte ajutătoare rețeaua dreptelor perpendiculare pe planul neutru.

Rețeaua de pătrate orientate frontal se poate desena și folosi fie pe planul obiectelor cînd tabloul este frontal ascendent (fig. 255, 256, 257) sau frontal descendent spre adâncul spațiului (fig. 256) fie pe un plan orizontal judicios ales deasupra planului obiectelor cînd tabloul este descendent spre adâncul spațiului (fig. 256, 258, 260, 271).

255. — Cunoșcînd mărimea imaginii metruului, fișile, late de cîte 1 metru, ale rețelilor de pătrate orientate frontal spre punctul de fugă  $F$ , cînd acesta este accesibil, se desenează cu ușurință, cum se vede în figurile 255 și 256 în care rețeaua a fost desenată nu numai pe planul obiectelor dar și pe planul orizontal al cheilor bolilor.

#### *Liniiile perpendiculare pe planul neutru*

### REȚELELE PERSPECTIVE DE PĂTRATE ORIENTATE FRONTAL

Dacă această adâncime nu corespunde subiectului respectiv, fiind prea mare sau prea mică, artistul, pentru a nu modifica dispoziția generată a compoziției apropiind sau depărtînd punctul  $H$ , va începe un nou studiu mărind sau micșorînd înclinarea planului tabloului.

Folosind această schemă desenatorului va putea cunoaște și verifica adâncimea, față de planul neutru, a elementelor din schița sa, cum ar fi de exemplu adâncimea colului mai depărtat  $H$  al încăperii în care se petrece acțiunea. Dreapta de capăt  $Ph$  (punctul  $h$  a fost luat pe orizontala dusă prin punctul dat) are o lungime de patru ori mai mare decît segmentul  $Ph'$  determinat cu dreapta  $M'/4h$ , prelungită (s-a arătat mai sus cum se determină punctul  $M'/4$ ). Măsurat pe scara perspectivă acest segment are o lungime de 0,85 m. Prin urmare segmentul  $Ph$  are o adâncime de  $0,85 \times 4 = 3,40$  m care adăugat la adâncimea de 4,58 m a punctului  $P'$  din schemă ne arată că față de planul neutru colul încăperii are o adâncime de  $3,40 + 4,58 = 7,98$  m.

arată că orizontala cea mai apropiată a rețelei perspective va fi la 4 metri de desenator și la  $4 - 3,30 = 0,70$  m față de marginea inferioară a tabloului. Pe aceasta vom măsura pe scara perspectivă segmentul  $ni$  de  $0,70:2 = 0,35$  m și unind punctul  $i$  cu punctul de măsură redus la jumătate  $M/2$  vom obține pe dreapta  $nF$  adâncimea de 0,70 m. Prin punctul  $i'$  va trece linia cea mai apropiată a rețelei de pătrate orientate frontal.

În figura 256, pentru rețeaua de pe planul obiectelor, segmentul  $Vi$  a fost luat de  $0,70:2 = 0,35$  m pentru a obține în  $i'$  adâncimea de  $5,30 + 0,70 = 6$  m a liniei celei mai apropiate a rețelei iar pentru rețeaua de deasupra bolților segmentul  $V'v$  a fost luat de  $0,90:2 = 0,45$  m pentru a obține în  $V'$  adâncimea de  $14,10 + 0,90 = 15$  m a primei linii a rețelilor respective.

În figura 257 planul neutru al desenatorului aplecat de pe malul săpăturii arheologice precizează marginea anterioară a rețelei.

Punctul de plecare al frontalelor rețelei de pătrate poate fi precizat nu numai cu ajutorul laturei mai apropiate a pătratului circumscris cîmpului vizual cum s-a arătat mai sus, dar și cu ajutorul diametrului acestui cîmp atunci cînd, fie cu scara perspectivă, fie din schemă se cunoaște mărimea metrului pe acest diametru ca în figurile 270 și 271.

În figura 270, dacă luăm segmentul  $m's$ , măsurat pe scara perspectivă în  $m'$  de  $4,00 - 3,33 = 0,67$  m obținem pe dreapta  $sR$  punctul  $s'$  pe unde va trece linia orizontală situată la 4 m de planul neutru iar în figura 271 luînd segmentul  $ms$ , măsurat pe scara perspectivă în  $m$  de  $6,00 - 5,20 = 0,80$  m, obținem cu dreapta  $sR$  punctul  $s'$  pe unde va trece linia orizontală situată la o adâncime de 6 m de planul neutru. În aceste figuri adâncimile rețelei de pătrate au fost determinate și cu ajutorul laturei pătratului  $LL'$  și, dacă s-a desenat exact, liniile orizontale ale rețelilor se vor suprapune, indiferent de punctul lor de plecare.

*Întocmirea rețelilor de pătrate orientate frontal* se face ca pe tabloul vertical (I 429 fig. 483—484) folosind punctele de măsură  $M/2$  și  $M'/2$  în locul punctelor de distanță  $D/2$  și  $D'/2$  cînd linia orizontului este accesibilă (fig. 255, 256). Se obțin mai întîi dreptunghiuri  $i_1i'ss'$  cu o adâncime de 2 m și apoi, ducînd diagonala acestora  $i_1s'$  se determină în  $n$  adâncimea de 1 m (fig. 256). În fig. 255 aceste construcții nu sînt indicate.

Cînd linia orizontului este inaccesibilă (fig. 257, 258, 270, 271) adâncimile de cîte 1 m ale pătratelor se vor determina cu ajutorul punctelor de măsură  $R$  ale orizontalelor perpendiculare pe planul neutru, așa cum se vede în aceste figuri și cum s-a explicat mai sus. De altfel, cînd cu procedeul acesta s-a desenat un număr de pătrate, în continuare, în adâncimea spațiului, pătratele mai depărtate se pot determina cu ajutorul diagonalelor prelungite ale pătratelor mai apropiate, cum se vede în figurile 270 și 271.

#### FOLOSIREA REȚELILOR DE PĂTRATE ORIENTATE FRONTAL

Pe tablourile înclinate rețelele de pătrate orientate frontal pot fi folosite atît în perspectivă directă cît și în perspectivă inversă, atît pentru compoziții frontale cît și pentru compoziții pe unghi, întocmai ca pe tabloul vertical (I, 430—440, fig. 485—495).

**257.** — S-a arătat mai sus cum, în vederea verificării perspective și delimitării unei prime schițe executate liber pe un tablou înclinat, artistul poate, pornind de la aceasta, să stabilească elementele perspective necesare întocmirii unei rețele de pătrate orientate frontal. Rețeaua e bine să se deseneze, așa cum s-a explicat pentru tablou vertical (I, 433) pe altă foaie de hirtie sau pe o foaie de cal, suprapusă pe prima schiță, care rămânând intactă va servi, pe parcursul diferitelor studii, delimitarea unei compoziții nu numai corecte dar și cât mai apropiată de viziunea plastică inițială a artistului.

## Fig. 270. (250, 251, 255, 256, 262)

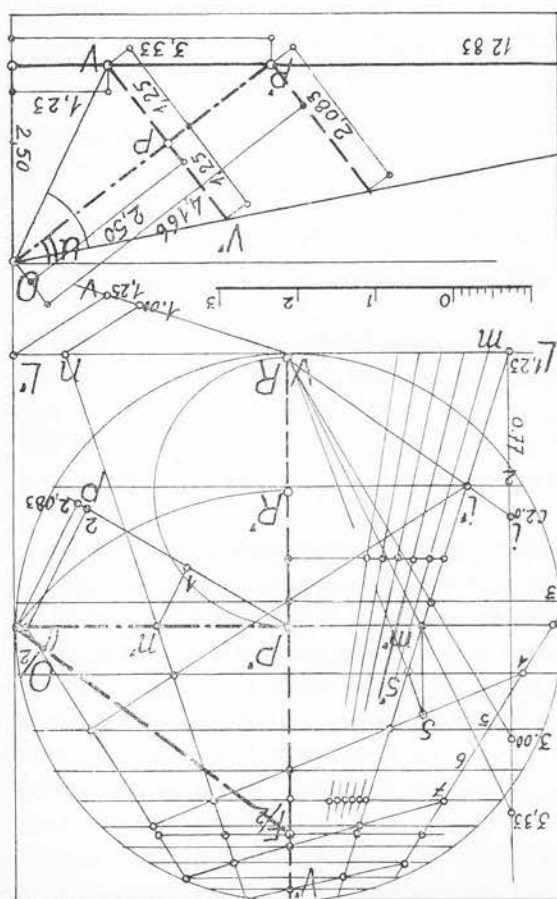
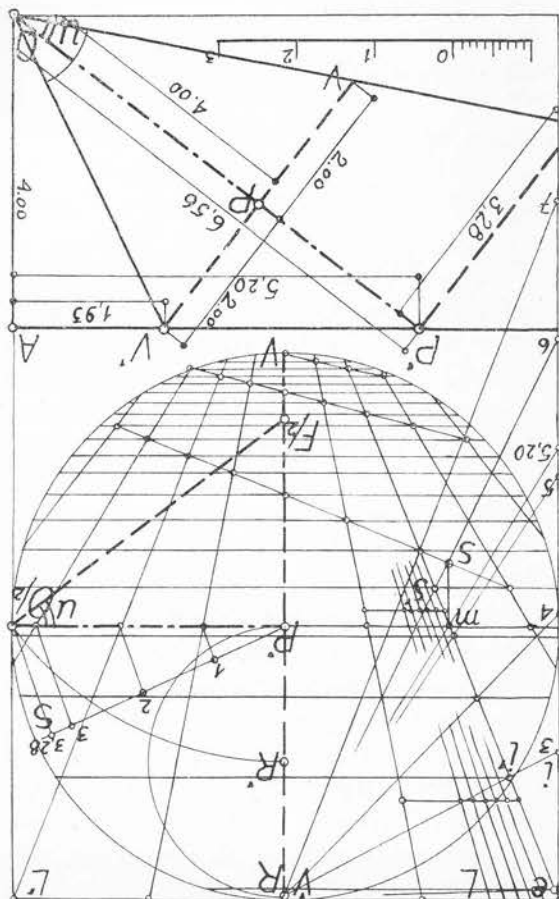


Fig. 271. (250, 252, 255-257, 262)



fiind foarte înclinat, raza vizuală orizontală  $OF$  nu e cuprinsă în conul vizual, (fig. 257, 258, 259, 260, 270, 271 și 272) hiperbolică (dacă tabloul, fiind puțin înclinat, raza orizontală  $OF$  e cuprinsă în conul vizual, fig. 255 și 256) sau eventual parabolică (dacă întimplător unghiul  $u$  al înclinării tabloului, apropiată de înclinarea tabloului din fig. 267, este de circa  $26^\circ$  iar raza orizontală  $OF$  se confundă cu conturul aparent al conului vizual). Ea se obține în geometral luind succesiv, la scara aleasă, pe liniile frontale ale rețelei, segmente egale cu cele măsurate pe scara perspectivă pe liniile orizontale corespunzătoare de pe tablou. Desenarea acestei secțiuni se începe fixând pe rețea punctul ei  $V$  cel mai apropiat de planul neutru la adâncimea ce ne e dată în schema respectivă a tabloului înclinat (Segmentul  $OV$  este de 3,30 m în fig. 255; de 5,30 și 14,10 m în fig. 256, de 1,05 m în fig. 259 și de 2 m în fig. 260; în figurile 257 și 258 planul neutru taie această secțiune la o adâncime  $OV$  de 0,50 m).

În continuare desenatorul va transpune din aproape în aproape pe rețeaua geometrală proiecția orizontală a figurilor și a volumelor așa cum se prezintă pe rețeaua perspectivă corespunzătoare de pe schiță. În această proiecție orizontală a elementelor cuprinse în compoziție, desenatorul va putea verifica și corecta unghiurile și dimensiunile necorespunzătoare ale diferitelor volume precum și locurile ocupate în adâncimea spațiului de figuri nepotrivite cu acțiunea la care participă.

Transpunerea pe rețeaua perspectivă a desenului verificat și corectat pe rețeaua geometrală este o problemă de perspectivă directă.

### În perspectivă directă

**258.** — Când în baza elementelor perspective date s-a desenat pe tablou rețeaua de pătrate orientate frontal, în perspectivă directă imaginea unei compoziții, închipuite sau date, definitivată pe rețeaua geometrală corespunzătoare, se obține în aceleași condiții ca pe tabloul vertical (I 437 etapa III, fig. 492—493), cum se arată pentru volumul  $abce$  în figura 255.

Se prelungesc muchiile orizontale orientate pe unghi pentru a obține punctele lor de intersecție cu liniile orizontale ale rețelei geometrale, de exemplu punctele  $B$  și  $E_1$  pentru latura  $be$ . Abscisele acestor puncte, măsurate la scara geometralului, se transpun în tablou pe liniile orizontale corespunzătoare măsurate pe scara perspectivă, pentru a obține imaginea perspectivă  $BE_1$  a laturii respective prelungită. Procedind la fel cu toate muchiile prelungite ale aceluiași volum, acestea determină prin intersecția lor imaginea perspectivă  $abce$  a bazei volumului respectiv. Cu linii ajutătoare care nu figurează în figura 255 se determină la fel și locul ocupat în pătratul respectiv de diferitele figuri din compoziție.

Muchiile verticale ale volumelor astfel puse în perspectivă, precum și înălțimea figurilor se vor desena pe rețeaua perspectivă a verticalelor și se vor măsura cu punctul corespunzător de egală resecție  $Rl$  sau  $Ra$ . De exemplu în figura 255 s-a dat muchiei  $aa'$  o înălțime de 0,50 m, măsurată pe scara perspectivă în  $m$ . Pentru a obține un rezultat mai



Determinând pe linia orizontului, așa cum s-a arătat mai sus, punctele de măsură reduse la o pătrime  $M/4$  și  $M'/4$ , luând pe urma  $FV$  un segment  $FO/2$  egal cu înălțimea segmentului  $FM/4$  sau egal cu segmentul  $O/2 F/2$ , s-a obținut  $O'/2$  punctul de vedere redus la jumătate prin care ducem urma planului neutru  $it'$  și în  $O'/2F$  distanța principală a tabloului înclinat redusă la jumătate. Cu aceste elemente vom putea întocmi o rețea perspectivă cu puncte de egală resecție cu orientarea cerută de compoziția res-

pectivă. Determinând pe linia orizontului, așa cum s-a arătat mai sus, punctele de măsură reduse la o pătrime  $M/4$  și  $M'/4$ , luând pe urma  $FV$  un segment  $FO/2$  egal cu înălțimea segmentului  $FM/4$  sau egal cu segmentul  $O/2 F/2$ , s-a obținut  $O'/2$  punctul de vedere redus la jumătate prin care ducem urma planului neutru  $it'$  și în  $O'/2F$  distanța principală a tabloului înclinat redusă la jumătate. Cu aceste elemente vom putea întocmi o rețea perspectivă cu puncte de egală resecție cu orientarea cerută de compoziția res-

## Intocmirea unei rețele cu puncte de egală resecție pe un tablou înclinat

260. — *a.* În tabloul înclinat din figura 272 s-au determinat toate elementele lui perspective. Folosind linia orizontului, deși iese puțin din cadrul tabloului, nu a fost necesar să se întocmească, în afara rețelei perspective pentru verticalele din spațiu, încă o rețea pentru dreptele perpendiculare pe planul neutru care fug în punctele  $F$  considerat accesibil.

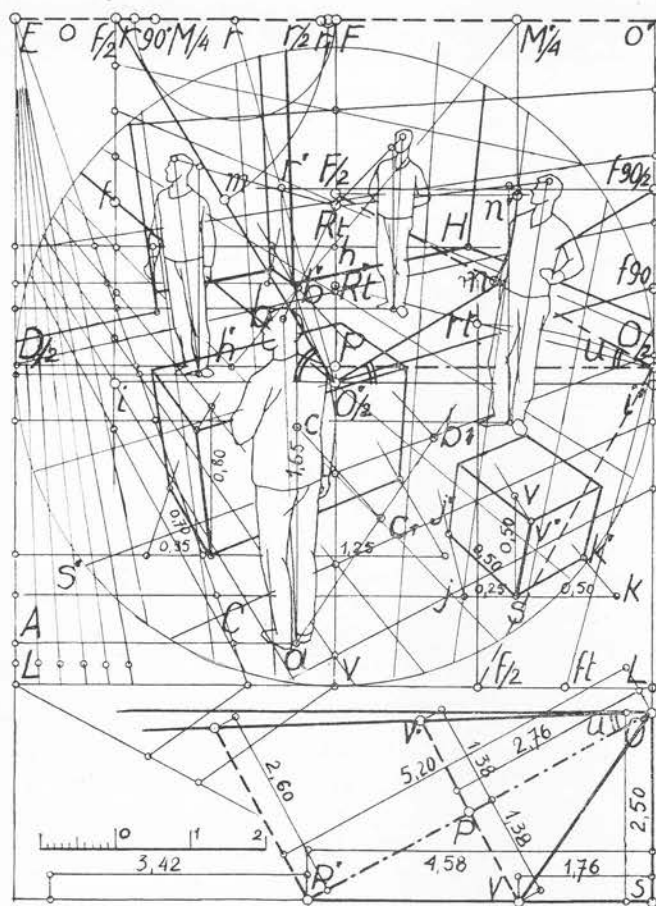
Vom considera două cazuri și anume:

259. — *a.* Marea majoritate sau toate volumele unei compoziții au aceeași orientare în spațiu. În acest caz după determinarea elementelor perspective ale tabloului înclinat se va întocmi și o rețea perspectivă cu puncte de egală resecție, cu orientarea cerută de compoziția respectivă (fig. 272).

*b.* Volumele compoziției au orientări diferite. În acest caz artistul va putea folosi poziția respectivă (fig. 272).

Rețelele de pătrate orientate frontal dau rezultate cu atât mai satisfăcătoare (nu numai în planele mai apropiate de desenator ca în figura 255 dar pe tot cuprinsul tabloului) cu cât unghiul  $u$  al razei vizuale principale este mai mare ca în figurile 257, 258, 259, 260. Când această înclinare este mică, fig. 255 și 256, deformarea crescândă a pătratelor îngreunează peste măsură folosirea lor în adîncimea spațiului. În aceste cazuri este preferabil să înlocuim procedenul rețelilor de pătrate cu procedenul rețelilor cu puncte de egală resecție care se pot folosi pe tabloul înclinat ca și pe tabloul vertical (I, 419—426 fig. 467—480 și 223—232 fig. 216—236).

Rețelele de pătrate orientate frontal dau rezultate cu atât mai satisfăcătoare (nu numai în planele mai apropiate de desenator ca în figura 255 dar pe tot cuprinsul tabloului) cu cât unghiul  $u$  al razei vizuale principale este mai mare ca în figurile 257, 258, 259, 260. Când această înclinare este mică, fig. 255 și 256, deformarea crescândă a pătratelor îngreunează peste măsură folosirea lor în adîncimea spațiului. În aceste cazuri este preferabil să înlocuim procedenul rețelilor de pătrate cu procedenul rețelilor cu puncte de egală resecție care se pot folosi pe tabloul înclinat ca și pe tabloul vertical (I, 419—426 fig. 467—480 și 223—232 fig. 216—236).



În punctul  $O'/2$  vom desena un unghi drept dînd laturilor lui orientarea cerută, de exemplu de  $60^\circ$  laturii  $O'/2 f_2$  și  $30^\circ$  laturii  $O' f 90^\circ/2$ . Luînd în  $f$  jumătatea segmentului  $f/2i$  și în  $F90^\circ$  jumătatea segmentului  $f90'/2i'$  obținem în  $O'/2f$  și în  $O'/2f90^\circ$  liniile rețelelor căutate pe care le prelungim pe tot tabloul. Știm cum, împărțind într-un număr de părți egale — de exemplu în patru părți — segmentele  $f/2f$ ,  $FO'/2$ , și  $o'f90/2$  și repetînd aceste diviziuni pe verticalele  $fi, O'/2V$  și  $f90^\circ L$  avem punctele pe unde trec liniile rețelelor perspective.

Știm și cum se găsesc și punctele de egală resecție ale acestor rețele. Cu un arc de cerc cu centrul în  $f_2$  și cu raza  $f_2m$  (punctul  $m$  fiind luat în mijlocul laturii  $O'f_2/2$ ) s-a determinat pe linia orizontului punctul  $r_1$  și apoi luînd segmentul  $r_1r/2$  egal cu segmentul  $r_1F$ , s-a obținut în  $r/2$  punctul de egală resecție redus la jumătate pentru măsurarea lungimilor dreptelor care fac cu planul neutru un unghi de  $60^\circ$ .

De asemenea cu un arc de cerc cu centrul în punctul  $f_{90/2}$  și cu raza  $f_{90/2}O'/2$  s-a determinat punctul  $r'$  pe orizontala dusă prin punctul  $f_{90/2}$ . Dreapta  $O'2r'$ , prelungită ne dă pe linia orizontului punctul  $r$  și luând segmentul  $rr_{90^\circ}$  egal cu segmentul  $rF$  obținem în  $r_{90^\circ}$  punctul de egală resecție pentru măsurarea lungimilor dreptelor care fac un unghi de  $30^\circ$  cu planul neutru.

În figură se arată cum au fost folosite rețelele pentru desenarea unor volume ale căror dimensiuni au fost măsurate pe scara perspectivă, în planul frontal corespunzător. De exemplu pentru cubul din primul plan, în  $s'$  s-au măsurat segmentele  $sk$  și  $Sv$  de 50 cm iar segmentul  $sj$  numai de 25 cm deoarece vom folosi un punct de egală resecție redus la jumătate. Lungimile laturilor  $sk'$  și  $sj'$  desenate pe rețele au fost determinate cu dreptele  $kr90^\circ$  și  $jr/2$  iar lungimea laturii  $sv'$ , desenată pe rețeaua verticalelor cu dreapta  $vRt$ , prelungită.

# Folosirea pe tabloul înclinat a rețelilor cu puncte de egală resecție întocmite pentru tabloul vertical

261. — b. Pentru a putea folosi în bune condiții rețelele obișnuite pentru un tablou înclinat, trebuie să cunoaștem, să ni se dea sau să presupunem unghiul înclinării lui sau a razei vizuale principale, adică unghiul  $u$ .

Pe hirtia translucească sau pe calcul aplicat peste rețeaua obișnuită acest unghi nu se va construi în punctul  $O/2$  (fig. 273 și 274) ci în punctul principal  $P$  și latura lui înclinată se va desena sub linia orizontului, când desenatorul privește în jos spre adîncul spațiului (fig. 273) și deasupra

acestei linii când desenatorul privește în sus (fig. 274). Din punctul  $a$  în care această latură înclinată intră în cercul cîmpului vizual, ducem o orizontală  $aa'$  pînă la urma  $VV'$  pe care, în punctul  $a'$ , construim din nou unghiul dat  $u$ . În punctul de intersecție a laturii acestui unghi cu verticala coborîm din punctul  $a$  se va situa punctul de vedere redus la jumătate  $O'/2$  al tabloului înclinat al cărui cîmp vizual se va desena cu raza  $P'O'/2$ .

Vedem că aceste construcții, cum s-a mai spus, reduc diametrul cîmpului vizual al tabloului înclinat. Astfel în figura 275 tablourile  $B$  și  $C$  în care unghiul  $u$  este de circa  $21^{\circ}30'$  au un diametru mai mic cu circa a patrușprezecea parte din diametrul tabloului vertical  $A$  desenate pe aceeași rețea cu puncte de egală resecție. În figura 273 în care unghiul  $u$  este mai mare, de circa  $32^{\circ}30'$  diametrul tabloului înclinat este de cinci gesimi din diametrul tabloului vertical.

Pe tabloul înclinat, vom prelungi liniile rețelei văzute în transparență și cu procedeu cu-

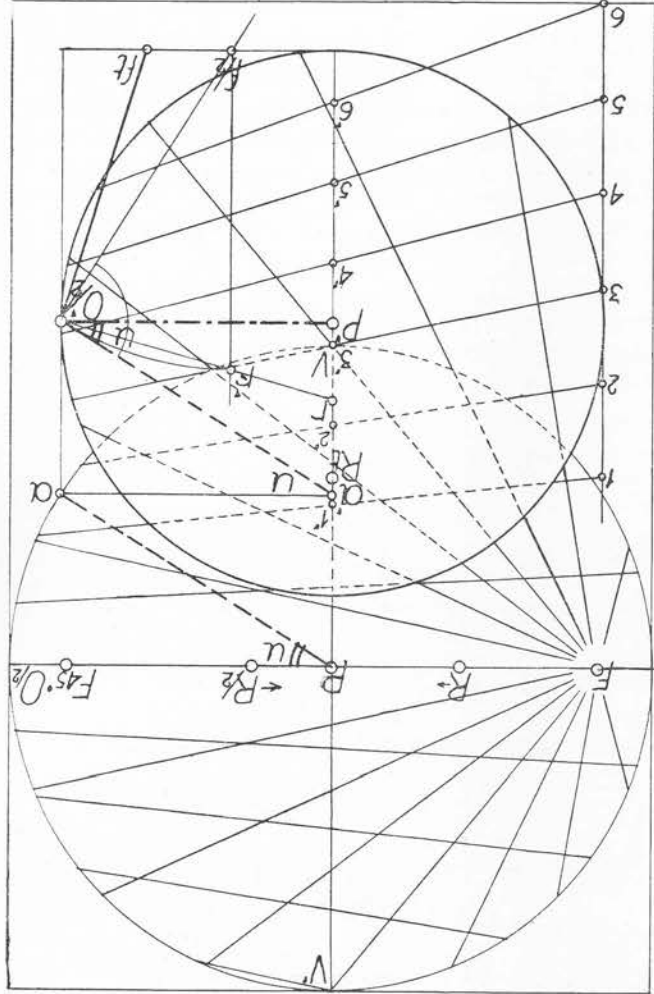


Fig. 273. (261)

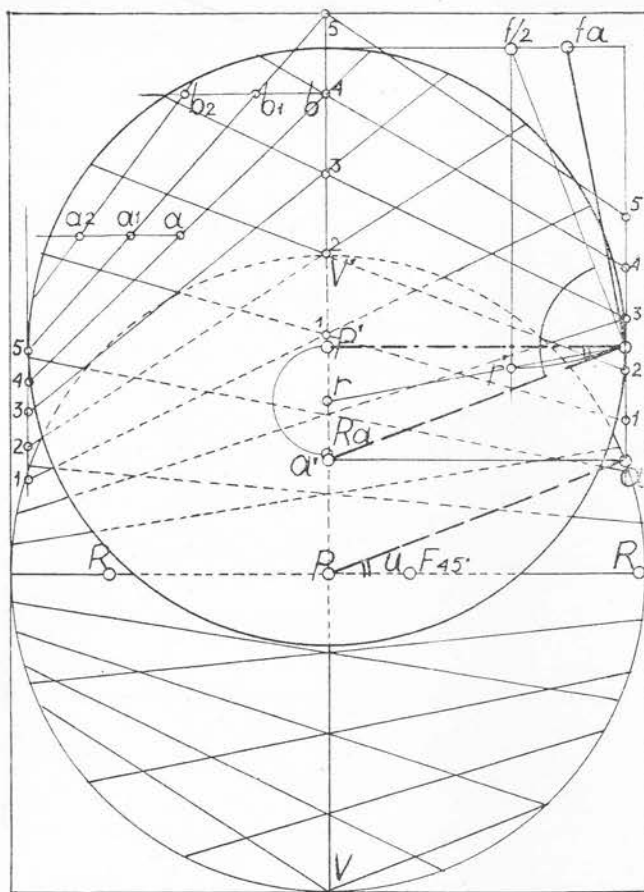
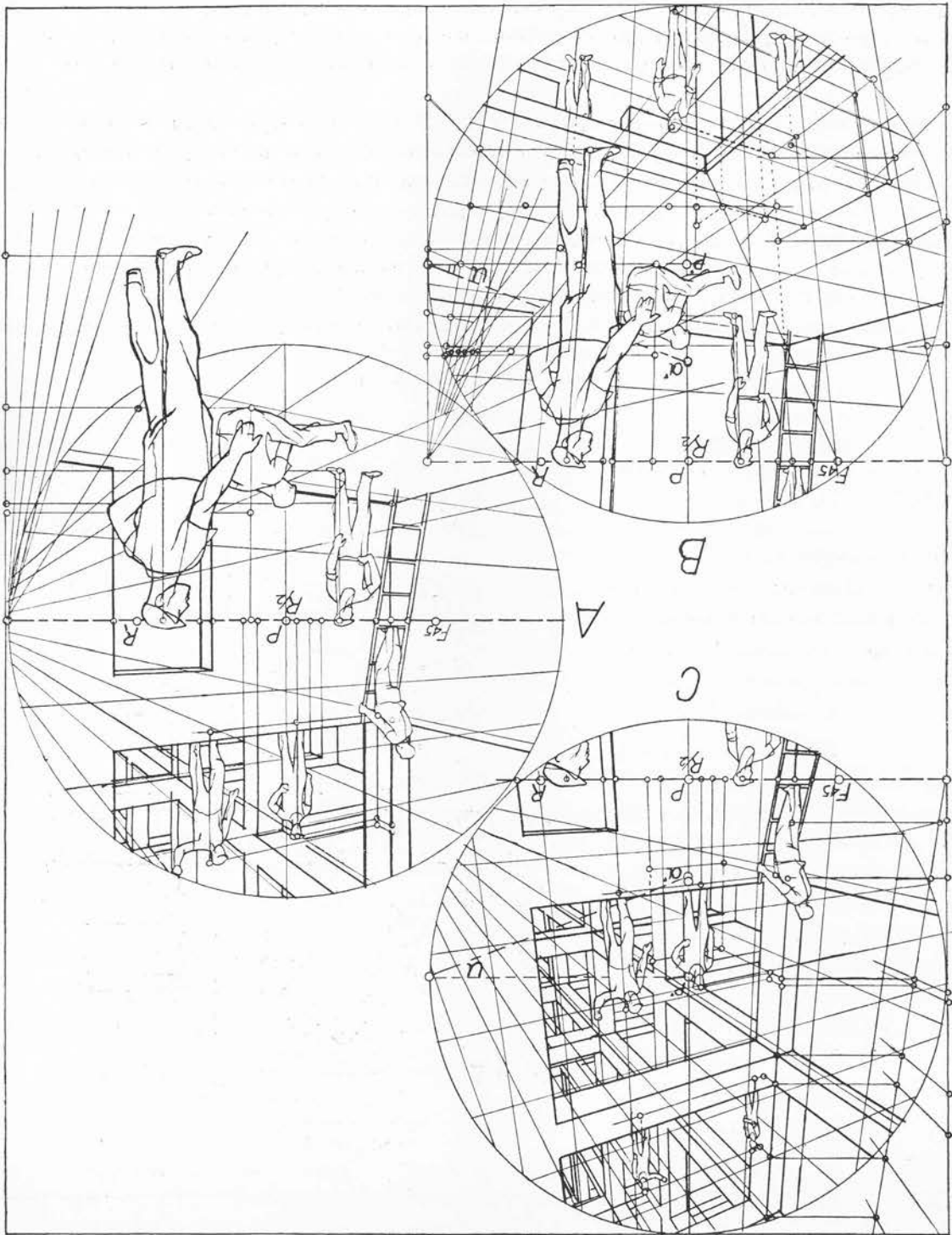




Fig. 275. (250, 251, 261, 397)



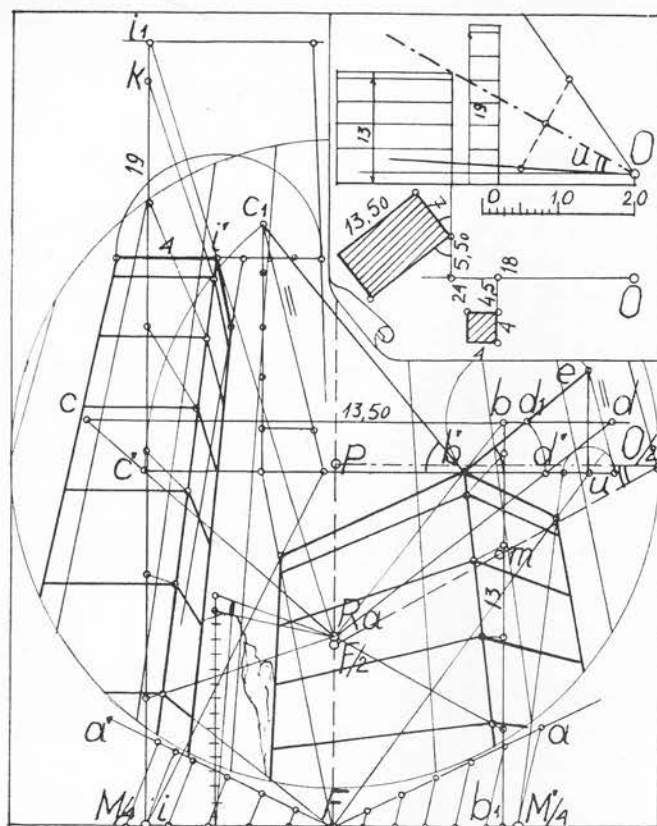


Fig. 276. (263, 264, 265)

### În perspectivă directă

**263.** — Dacă, pe un tablou înclinat ale cărui elemente perspective ne sînt cunoscute, avem de desenat imaginea unei construcții orientate pe unghi, de dimensiuni date, a cărei muchie mai apropiată de planul neutru se află la o adîncime de exemplu de 24 m (fig. 276, construcția din dreapta) vom afla mărimea unui metru împărțind cu dreapta ajutătoare  $Fa$  lungimea pînă la punctul de măsură redus la o pătrime  $FM'/4$  în  $24:4=6$  părți egale. Cu această unitate de măsură vom măsura mai întîi abscisa  $Fb_1$  de 5,50 m a muchiei verticale  $b_1b$  de 13 m deasupra liniei orizontului apoi lungimea muchiilor orizontale  $bc$  de 13,50 m și  $bd$  de 3,50 m (pentru că lungimea întreagă de 7 m nu încapă în cadrul tabloului).

Desenăm pe rețeaua verticalelor prin punctul  $b_1$  imaginea muchiei mai apropiată a construcției, a cărei înălțime  $b_1b'$  va fi determinată de dreapta  $bRa$ . Pe orizontala dusă prin  $b'$  obținem cu dreptele  $cRa$  și  $dRa$  lungimea imaginii  $b'c'$  și  $b'd'$  a muchiilor orizontale.

a determina în perspectivă inversă adîncimea unui volum de dimensiuni cunoscute după imaginea lui perspectivă, procedînd ca pe un tablou vertical.

Știm că în perspectivă directă mărimea imaginii unui metru cuprins într-un plan frontal se găsește împărțind (cu o dreaptă ajutătoare) distanța principală redusă la o pătrime într-un număr de părți de patru ori mai mic decît adîncimea în metri a planului frontal respectiv (I 312).

De asemenea știm că, în perspectivă inversă, măsurînd cu imaginea perspectivă a unui metru, cuprins într-un plan frontal dat, lungimea distanței principale redusă la o pătrime, găsim a patra parte din adîncimea aceluia plan frontal față de planul neutru (I 318).

Folosirea unui punct accidental de fugă  $Fa$  determinat pe linia orizontului prin prelungirea diagonalei  $ae$  a bazei unei prisme pentru întocmirea unei scări a înălțimilor  $a/a$  și  $a'fa$  (I, 252 ultimul aliniat, fig. 280 C și 538) necesară desenării bazei ei superioare  $a'b'c'e'$  se vede în figura 255. Orizontalele  $bb_1$  și  $cc_1$ , verticalele duse pe rețea,  $b_1b'_1$  și  $c_1c'_1$  și orizontalele  $b'_1b'$  și  $c'_1c'$  au determinat muchiile laterale — duse pe rețea —  $bb'$  și  $cc'$  și baza superioară a prismei  $a'b'c'e'$ . Când punctul de fugă al diagonalei bazei este inaccesibil, scara înălțimilor nu va mai preciza înălțimea muchiei mai depărtate  $ee'$ , și pentru determinarea ei se va proceda ca pentru celelalte muchii.

Ca și pe tabloul vertical, pe tabloul înclinat imaginea perspectivă a cercului cu patru sau cu opt puncte (I 216—217, fig. 257—259) se obține prin înscrierea lui într-un pătrat orientat frontal (fig. 267 și 269) iar a unui semicerc prin înscrierea lui în două pătrate alăturate orientate frontal.

În figura 264 acest procedeu a fost aplicat pentru aceeași problemă. Dar, punctele de măsură fiind inaccesibile, au fost înlocuite cu punctul de egală resecție și, în mod demonstrativ s-a folosit deopotrivă punctul de egală resecție întreg  $R$ , precum și punctul de egală resecție redus la jumătate  $R/2$ .

În figura 276 s-a folosit procedeu de construire geometrală pentru a desena un dreptunghi, cunoscând lungimea laturilor lui  $b'c_1$  și  $bc$  precum și unghiurile pe care le fac cu planul neutru (I, 297, fig. 324—325).

265. — Diferitele procedee perspective expuse în prima parte a acestei lucrări pentru tabloul vertical, pot fi folosite și pentru tabloul înclinat în măsura în care unele sau toate elementele perspective necesare sînt accesibile. Ne vom mărgini să dăm mai jos numai câteva exemple:

### Aplicații

266. — Cunoscînd una din dimensiunile unui volum reprezentat în perspectivă, de exemplu lungimea de 19 m a muchiei verticale  $it'$  a construcției din stînga figurii 276, putem determina prin aplicarea grafică a legii descăderii perspective adîncimea în adîncul spațiului, față de planul neutru a respectivei construcții.

Cu dreapta  $Rat'$ , prelungită, determinăm pe verticala ridicată din punctul  $i$  lungimea  $it_1$  a acestei verticale de 19 m. Determinînd cu o dreaptă ajutătoare, care nu e prezentată în figură, mărimea  $it_k$  de un metru, vedem că aceasta intră de patru ori și jumătate în distanța principală a tabloului redusă la o pătrime  $FM/4$ . Deducem că, în spațiu, muchia dată se află la o adîncime de  $4,5 \times 4 = 18$  m de planul neutru.

### În perspectivă inversă

Cu aceste date imaginea, în perspectivă directă, a construcției respective, se obține prin procedeu de construire geometrală, problema cunoscută asupra căreia nu vom mai reveni (I, 297—299, fig. 324—330).

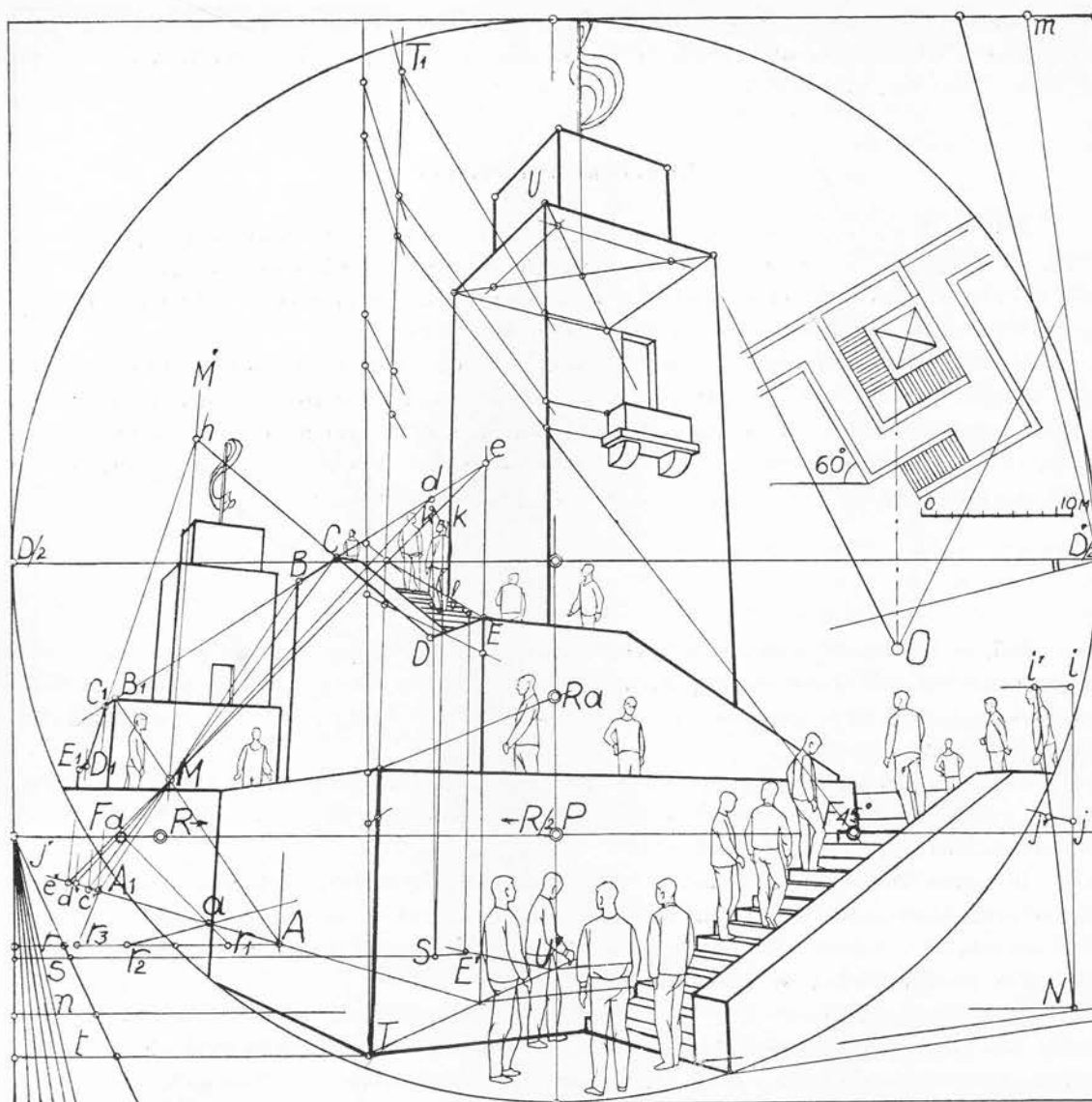


Fig. 277. (250)

Pentru construirea pătratelor (I, 237, fig. 273) precum și a pătratelor de diferite mărimi pe aceleași diagonale (I, 183 fig. 234) vom folosi pe tabloul înclinat ca și pe tabloul vertical punctul de fugă de  $45^\circ$  al rețelelor cu punctele de egală resecție, cum se vede în figura 277. În felul acesta au fost desenate cele două turnuri cu baza pătrată, aticele lor precum și mijlocul acestor pătrate pentru împlintarea corectă a drapelelor (construcția nu este arătată decât la turnul mai apropiat de desenator).



Punctul de fugă la  $45^\circ$  a fost folosit și pentru determinarea înălțimilor turnului. Acestea, măsurate pe scara perspectivă în  $l$ , au fost mai întâi puse pe verticala ridicată din acest punct și, cu ajutorul punctului de egală resecție  $Ra$  al verticalelor care fug spre un punct de fugă aerian inaccessibil  $Fa$  au fost prezente pe verticala  $TTI$  dusă pe rețeaua perspectivă a acestor verticale. De pe aceste verticale au fost înălțate, cu ajutorul punctului de fugă la  $45^\circ$ , desenate pe muchiile mai apropiate  $E'E$  ale scărilor și  $UU$  ale turnului.

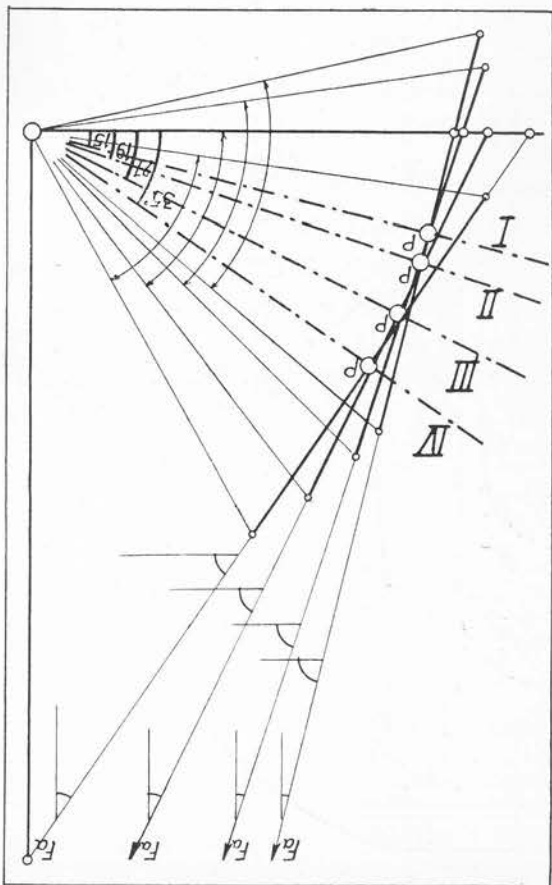
Cu punctul de egală resecție  $Ra$  al verticalelor din spațiu, s-au măsurat pe scara perspectivă în  $n$  și  $s$ , și înălțimea figurilor  $ij$  și  $kl$  proiectate, cu rețeaua verticalelor, pe planul obiectelor  $N$  și  $S$ . Imaginea perspectivă a bolților de poleor pe pendentivi (fig. 285) a fost construită pe tabloul înclinat la fel ca pe tabloul vertical.

Dintre numeroasele procedee imediatate pentru simplificarea construcțiilor imaginilor perspective (I, 348—389 fig. 379—432) care se pot folosi pe tabloul înclinat ca și pe tabloul vertical, în fig. 277 se arată cum se pot determina la capătul unei drepte orizontale oarecare segmente egale cu cele de la capătul opus al aceleiași drepte (I, 386—389, fig. 426—432).

În această figură, între digurile unui canal s-a luat lărgimea  $AA_1$  de 24 m, măsurată cu punctul de egală resecție  $R/2$  pe scara respectivă în  $r$  (întrucât pe orizontala punctului  $A$  nu s-a putut cuprinde lungimea unui segment de  $24:2=12$  m, s-au luat segmentele  $Ar_1$  de 1 m, segmentul  $Ar_2$  de 3 m și segmentul  $Ar_3$  de 4 m. Dreapta  $r_1a$  prelungită, a determinat pe orizontala dată un segment  $aA$  de  $3 \times 2 = 6$  m. Dreapta  $r_2a$  prelungită, a determinat pe linia orizontului, în punctul accidental de fugă  $Fa$ , iar dreapta  $r_3a$  a determinat fără a depăși cadrul tabloului segmentul  $AA_1$  de patru ori mai mare decât segmentul  $Aa$  de 6 m, adică lărgimea de  $6 \times 4 = 24$  m dintre diguri.

Pentru a desena pe digul mai îndepărtat aceleași elemente ca pe digul mai apropiat, pe orizontalele oarecare  $AA_1$  și  $BB_1$  urmează să determinăm în adâncul spațiului segmentele  $B_1C_1D_1E_1$  egale cu segmentele  $BCde$ .

Fig. 278. (265)



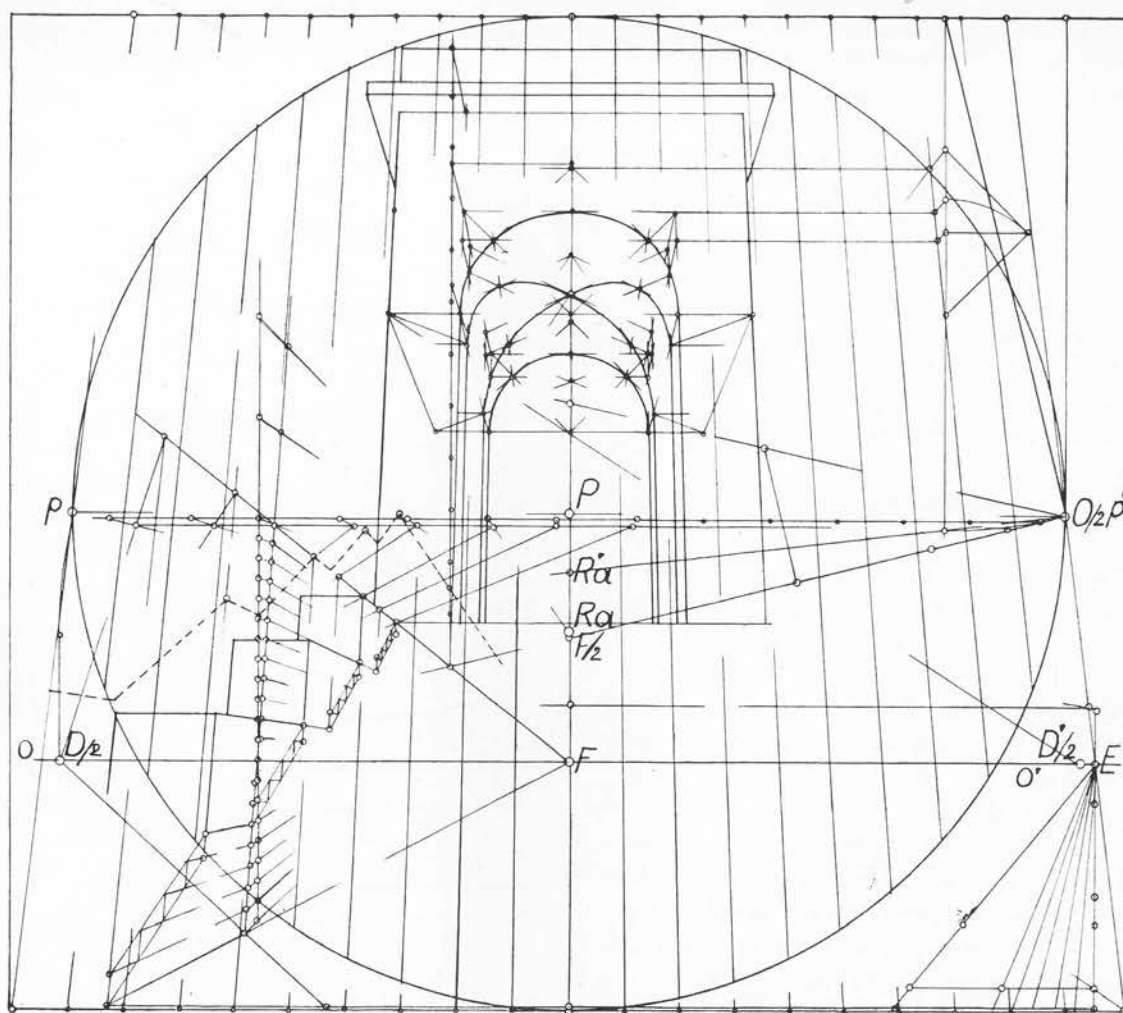


Fig. 279. (250, 265)

Ducem diagonalele dreptunghiului  $AA_1BB_1$  în care laturile orizontale și verticale au fost desenate pe rețelele perspective corespunzătoare. Prin punctul lor de intersecție  $M$  ducem dreptele  $BM$ ,  $CM$ ,  $dM$  și  $eM$ , prelungite pînă la intersecția lor  $A_1$ ,  $c'$ ,  $d'$  și  $e'$  cu orizontala  $AA_1$ , prelungită. Prin aceste puncte ridicăm verticale (cu ajutorul rețelei corespunzătoare) și obținem pe orizontalele oarecare  $BB_1$  și  $DD_1$  prelungite, segmentele  $B_1C_1$ , și  $D_1E_1$ , egale cu segmentele date  $BC$  și  $DE$ .

Treptele orientate frontal (fig. 279—283), sau orientate pe unghi (fig. 285) considerate ca volume complicate, se vor desena pe tabloul înclinat la fel ca pe tabloul vertical (I 589—592 fig. 641—645). După cum se știe construcția lor se simplifică dacă cu

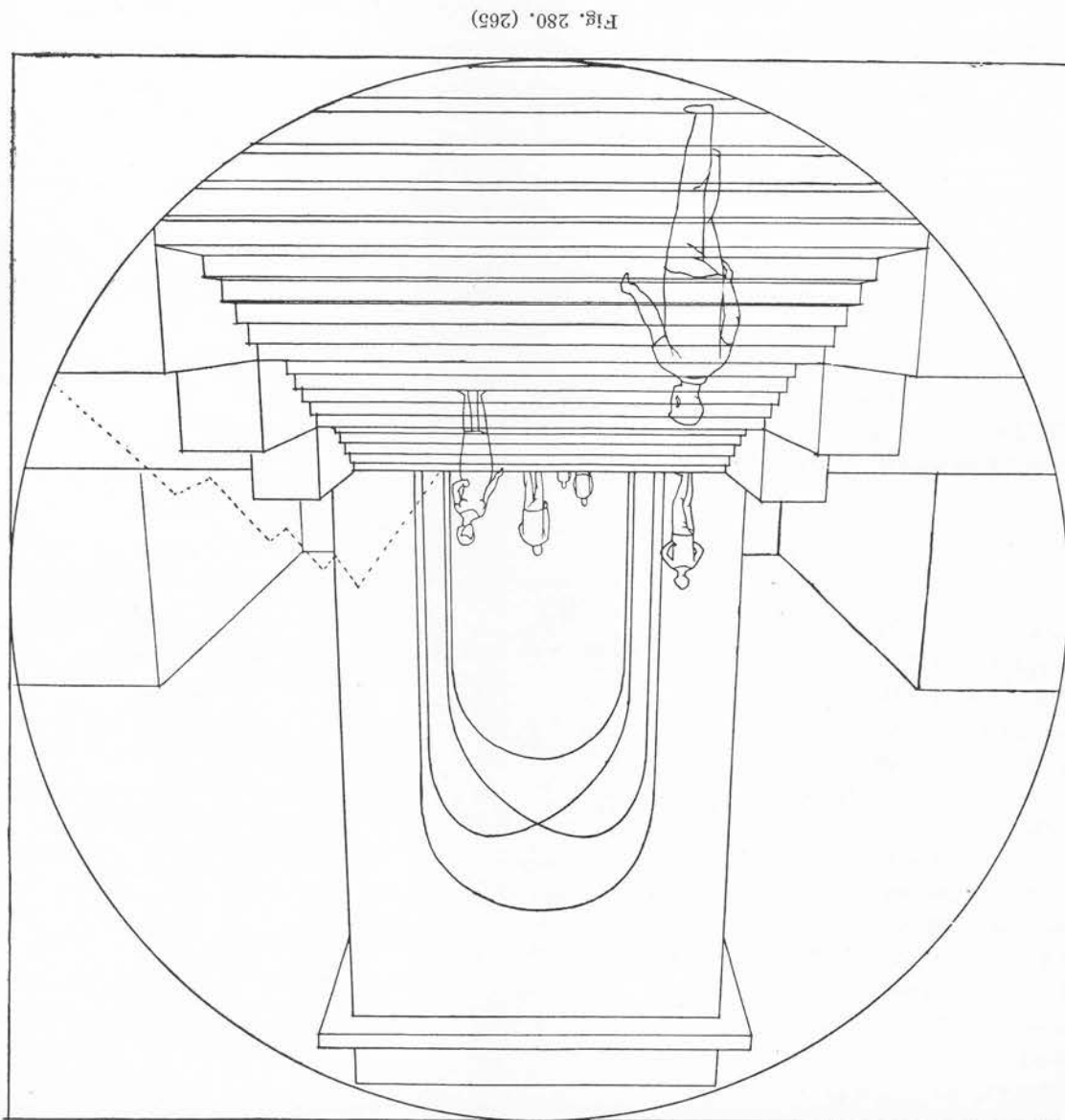


Fig. 280. (265)

elementele perspective ale tabloului respectiv desenăm pentru fiecare rampă prima și ultima contratreaptă. Între dreptele înclinate care unesc capetele acestor contratrepte, celelalte contratrepte și treptele corespunzătoare își vor găsi locul lor fără a fi nevoie să se caute și proiecția lor orizontală.

Figurile 279—283 arată același motiv cu trepte frontale și cu un arc monumental reprezentat pe tablouri înclinate în care raza vizuală principală a desenatorului face un

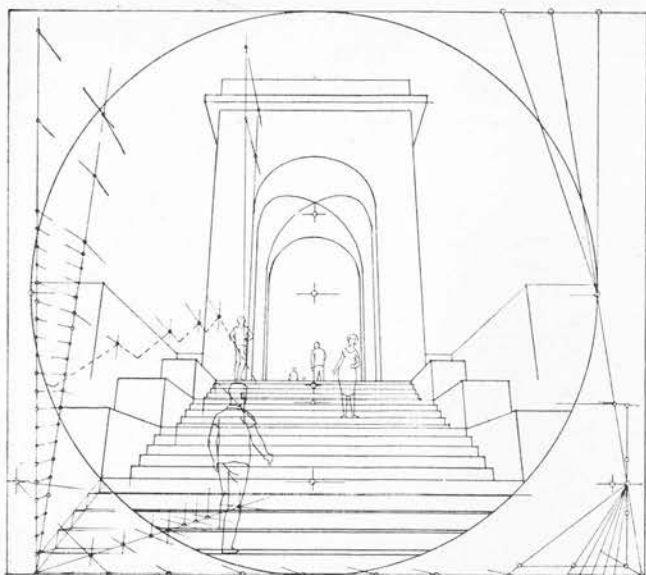


Fig. 281. (250, 265)

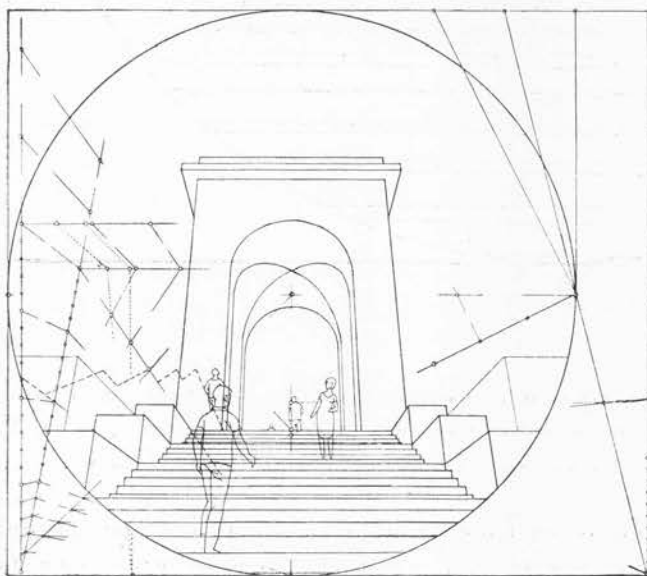


Fig. 282. (265)

unghi  $u$  de  $15^\circ$  (fig. 279—280), de  $19^\circ$  (fig. 281), de  $27^\circ$  (fig. 282) și de  $35^\circ$  (fig. 283). Se poate urmări în ele creșterea deformărilor perspective odată cu creșterea unghiului razei vizuale principale (fig. 278) și artistul prevenit de aceste deformări va ști să le evite în măsura în care devin supărătoare pentru efectele plastice urmărite.

Tabloul înclinat poate fi folosit și în compoziția unui basorelief când acesta, așezat la o mare înălțime nu poate fi privit de la o adâncime corespunzătoare (318 fig. 340).

### IMAGINILE PERSPECTIVE PE PLANUL ORIZONTAL AL PLAFOANELOR

**266.** — Pe planul orizontal al plafoanelor, pe întreaga lor suprafață (fig. 287 și 288) sau numai pe o întindere mai restrânsă (fig. 289), în scopul de a crea iluzia unei mai mari înălțimi a încăperii respective, se pot face compoziții reprezentând imaginea perspectivă a unei arhitecturi închipuite care s-ar rezema pe pereții încăperii și care ar putea fi văzută dacă tabloul, adică plafonul, ar fi transparent (fig. 286, fig. 53).

Pe acest tablou orizontal raza vizuală principală este verticală, imaginile perspective ale



verticalelor din spațiu sînt drepte de capăt, iar ale planelor orizontale din spațiu sînt plane frontale, înălțimea lor măsurîndu-se cu ajutorul punctelor de distanță așa cum s-ar măsura adîncimile pe tabloul vertical.

Ar fi logic ca pentru distanța principală a acestor tablouri orizontale să se țină seama de înălțimea reală a plafonului față de punctul de vedere al privitorului. Deformările perspective ar fi suferătoare cînd diametrul cercului în care se înscrie tabloul (diagonala pătratului sau a dreptunghiului cadrului compoziției) ar fi mai mare decît înălțimea plafonului față de punctul de vedere al privitorului. Și după cum distanța principală a unui tablou vertical obișnuit nu ține seama de distanța mai mare sau mai mică de la care va fi privit, ci de diametrul cercului în care se înscrie (cu centrul în punctul principal), vom proceda la fel și pentru tabloul orizontal, înălțirea de înălțimea reală a încăperii respective. Desigur că este preferabil ca în încăperile joase, compozițiile să se limiteze la suprafața care poate intra în câmpul vizualii clare a privitorului.

În figura 287 s-a presupus că încăperea ar fi fost acoperită cu o boltă semicilindrică cu chesoane de diferite forme. Aceste elemente au fost desenate în perspectivă, folosind punctul de distanță redus  $D/2$ , cu ajutorul scărilor divergente atît pentru semicercul bolții

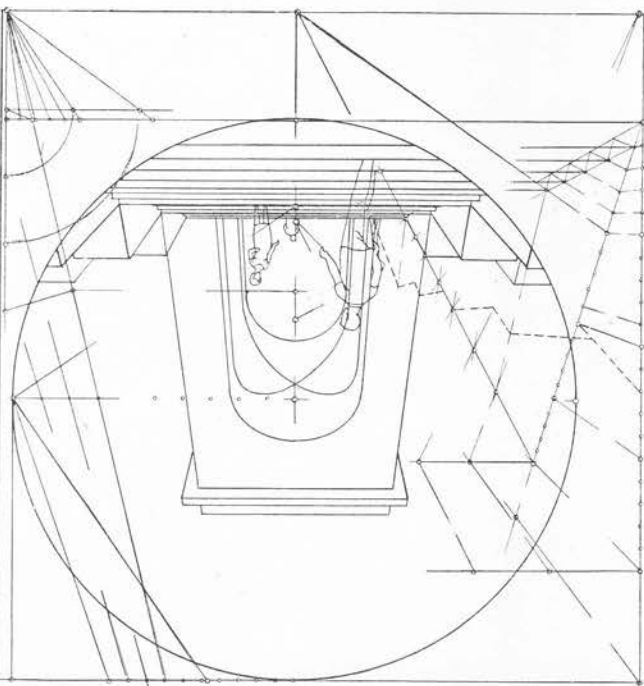


Fig. 283. (250, 265)

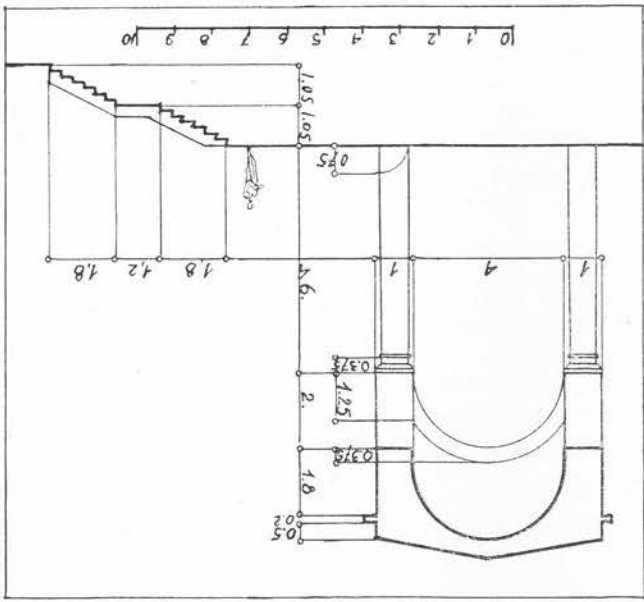


Fig. 284. (265)

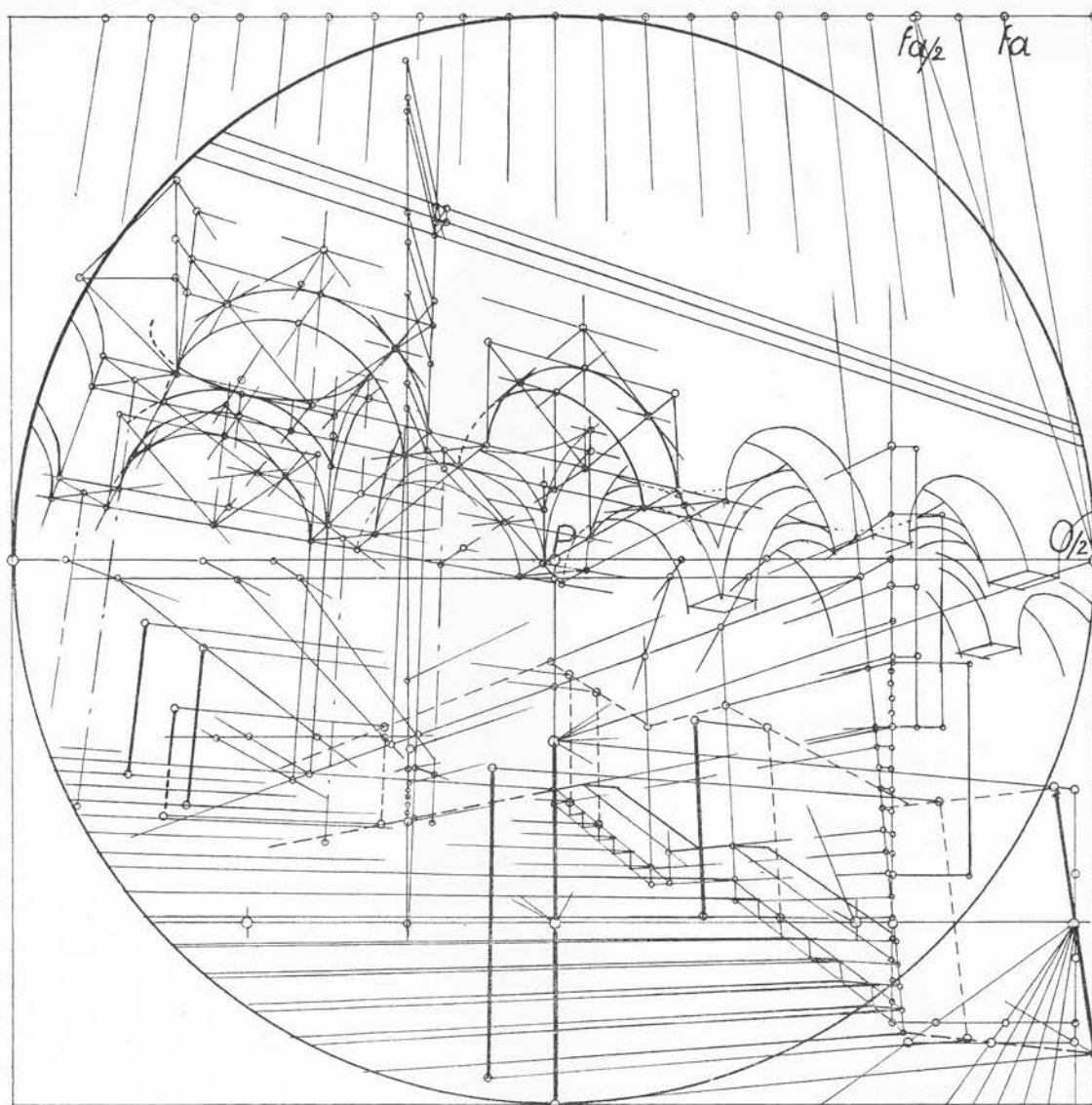


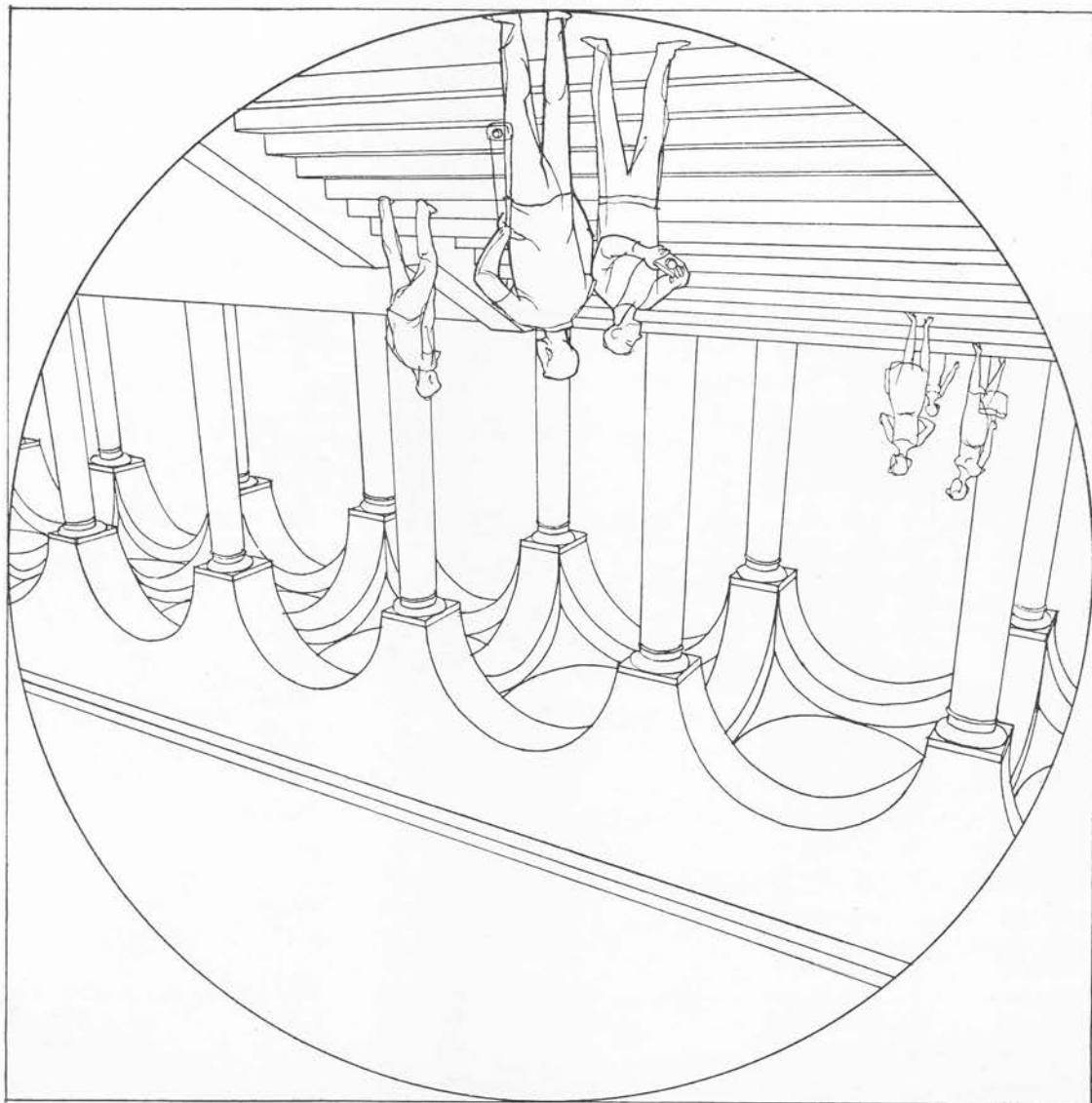
Fig. 285. (250, 265)

(I, 488—498, fig. 545—561) cît și pentru semicercurile concentrice ale adîncimilor chesoanelor (I, 499—506, fig. 562—564) sau pentru trasarea diferitelor directoare (I, 364—370 fig. 406—407). În figură se arată mai multe procedee pentru corecta desenare a adîncimilor chesoanelor folosind fie proiecția geometrală fie imaginea perspectivă a întregului cerc.

În figura 288 s-a desenat pe pereții exteriori ai unei încăperi dreptunghiulare, la scara de 1 cm pe metru, planul unei arhitecturi închipuite care a fost precizată și într-o

secțiune longitudinală la o scară de patru ori mai mică de 2,5 mm pe metru. În figură se vede cum folosind punctele de distanță reduce la jumătate  $D/2$  sau  $D'/2$  s-au măsurat pe acest tablou orizontal adîncimile, adică înălțimile din realitate ale coloanelor luînd în *ab* dublul înălțimii respective din secțiune (la o scară de patru ori mai mică) sau ale nașterii aradelor luînd în *de* dublul înălțimii corespunzătoare din secțiune. Desenul a fost definitivat procedînd la fel pentru toate celelalte elemente ale compoziției respective care

Fig. 285-bis (265)



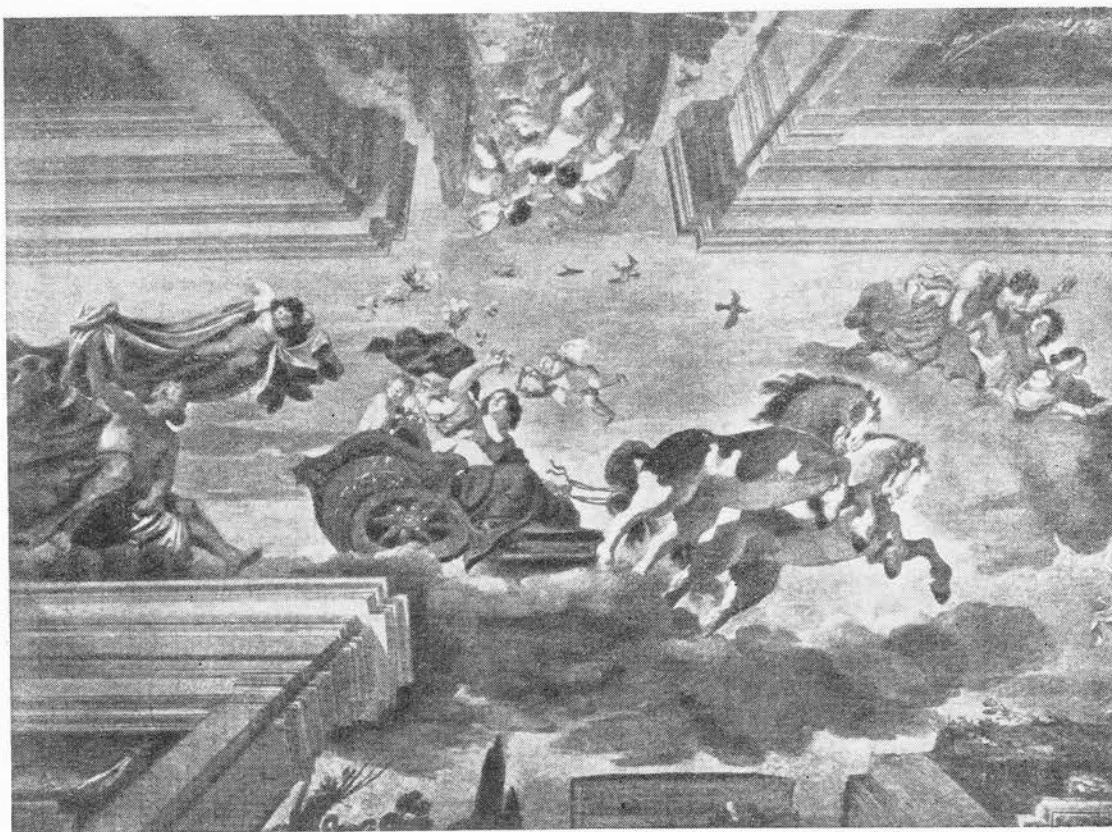


Fig. 286. (266) Guerchin: Aurora

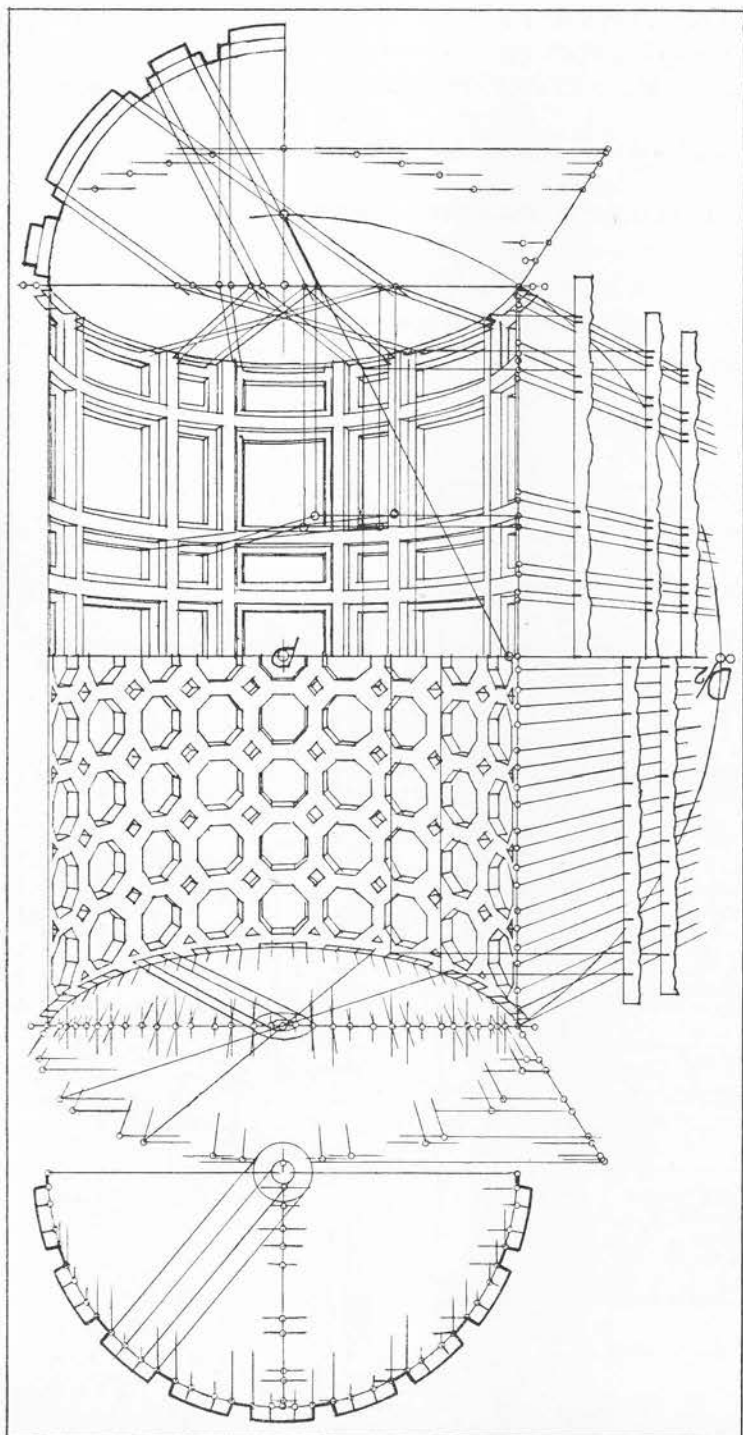
a presupus în mod demonstrativ că într-o încăpere de  $10,50 \times 7$  m plafonul s-ar afla la o înălțime exagerată de 14 m.

**267.** — În figurile 287 și 288 punctul principal  $P$  a presupus, cum este firesc, că punctul de vedere  $O$  se află în mijlocul încăperii. Se obțin compoziții în care efectul pitoresc, în măsura în care e reușit, justifică o așezare nelogică a punctului de vedere  $P$ , nu neapărat în centrul încăperii, și folosirea unor puncte de distanță arbitrare, nelegate de înălțimea reală a plafonului față de punctul de vedere, ci determinate în perspectivă inversă, ca în figura 289. După ce s-a desenat, cu orientarea dorită, planul arhitecturii închipuite, reprezentată și în secțiune la o scară de două ori mai mică, s-a dat imaginii verticalei din spațiu  $ab_1$  (axul unui element important al compoziției) lungimea considerată satisfăcătoare din punct de vedere plastic. Luând pe o paralelă cu o linie arbitrară dusă prin punctul principal  $P$  — și el arbitrar — segmentul  $ab$  egal cu înălțimea corespun-

Fig. 287. (266, 267, 274, 397)

zătoare  $ab$  din secțiune, la o scară de două ori mai mică, obținem prin prelungirea dreptei  $bb_1$  punctul  $D/2$ . Dacă acesta este inaccesibil, punctul de distanță redus la  $D/4$  se află în aceeași condiții fiind segmentul  $ac$  de două ori mai mic decât înălțimea  $ab$  din secțiune. Toate celelalte elemente ale compoziției, înălțimea  $ac_1$  a arcadelor, înălțimea  $de_1$  a coloanelor mici etc. se vor obține în același fel, folosind, după caz, punctul de distanță redus la jumătate sau la o pătrime.

Tot pe un tablou orizontal, Veronese a compus *Triumful Venetiei* (fig. 290) (unghiurile drepte din planele orizontale nu sînt deformate) dar luînd un punct principal foarte departat, mult în afara cadrului oval al compoziției, cuprins totuși în vastul plan al sălii marelui consiliu din palatul ducal din Veneția pe care este aplicată.





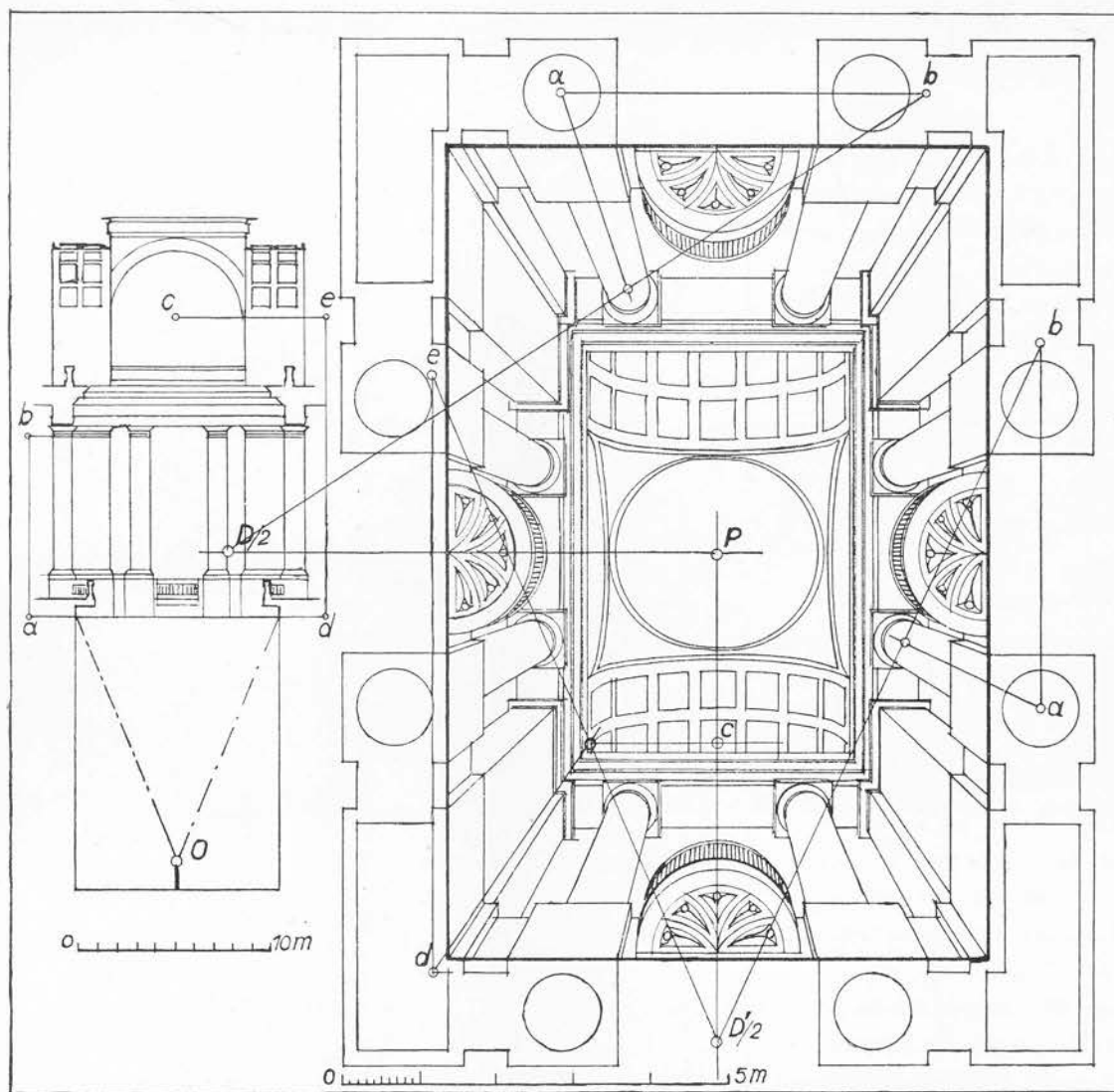


Fig. 288. (266, 267, 274, 397)

## DEFORMĂRILE PERSPECTIVE ALE PICTURII MONUMENTALE

### Deformările perspective pe peretele vertical

**268.** — În pictura monumentală, pe un perete vertical, problema deformărilor perspective se pune numai cînd privitorul — pentru a cuprinde compoziția respectivă în cîmpul său de viziune clară — este obligat să ridice în sus, spre adîncul spațiului, raza sa vizuală principală.

Referindu-ne la compozițiile murale reproduse în prima parte a acestei lucrări, cum sint: *Parnasul și Școala din Alena din Rafael Sanzio* (I, fig. 73 și 77), *Sfântul Iacob mergând spre locul suplicului*, de Andrea Mantegna (I, fig. 86), *Cina lui Leonardo da Vinci* (I, fig. 145) sau *Isus predând sfântului Petru cheile de Perrugino* (I, fig. 621), aceasta din urmă situată sub ferestrele Capellei Sixtine (fig. 291), aflându-se pe perete, la o înălțime potrivită cu depărtarea de la care pot fi privite, sint cuprinse sau depășesc numai într-o mică măsură câmpul vizual în care raza principală rămâne orizontală, deci perpendiculară pe perete. Nu la fel se prezintă compozițiile monumentale situate la mari înălțimi și care nu pot fi privite de la depărtări corespunzătoare, cum ar fi, spre a ne referi la materialul ilustrativ din prima parte a acestei lucrări, picturile din jurul arcadelor ferestrelor Capellei Sixtine, care se văd în partea inferioară și superioară a figurii 74 (I, pag. 78). Așezate la o înălțime de circa 15 m într-o încăpere a cărei lățime nu depășește cu mult 13 m, raza principală a privitorului trebuie să facă cu planul orizontal un unghi de circa 45° spre a le putea privi (fig. 292). În aceste cazuri tabloul nu mai este perpendicular pe această

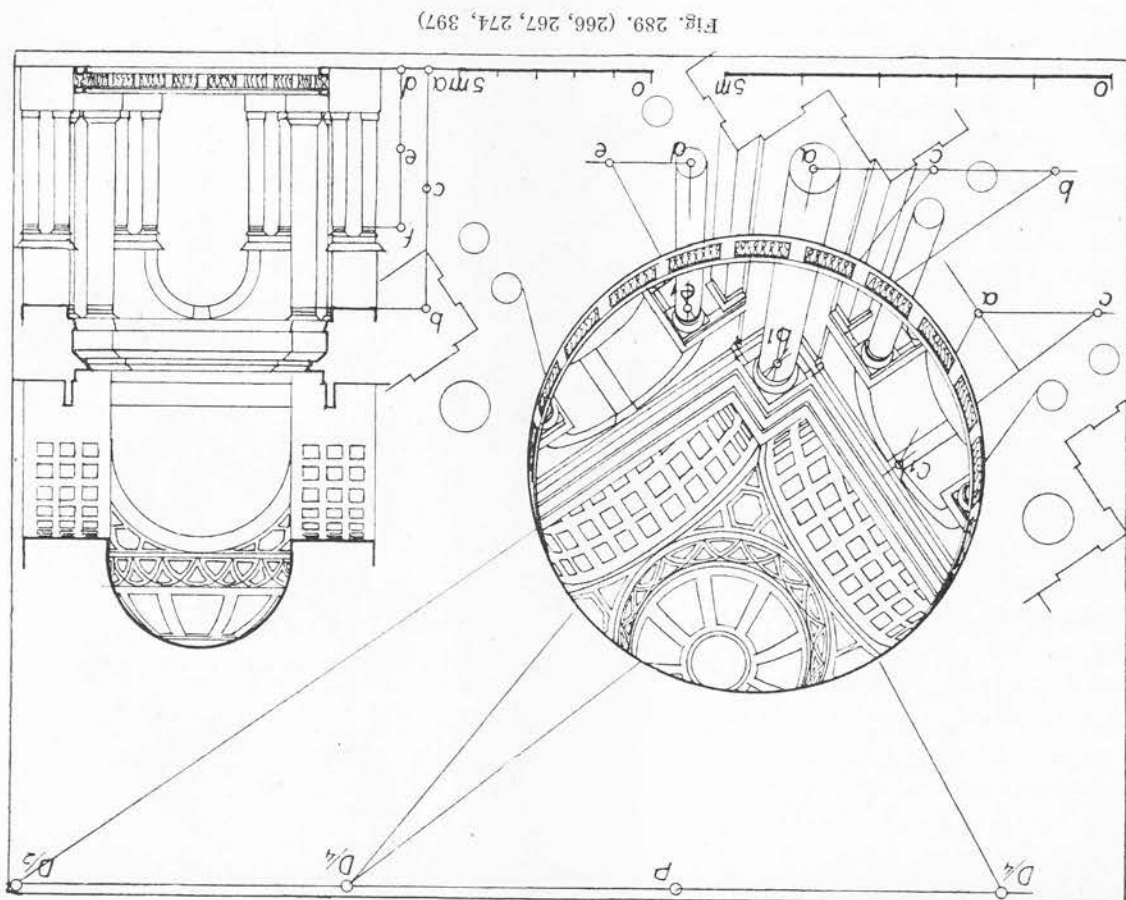


Fig. 289. (266, 267, 274, 397)

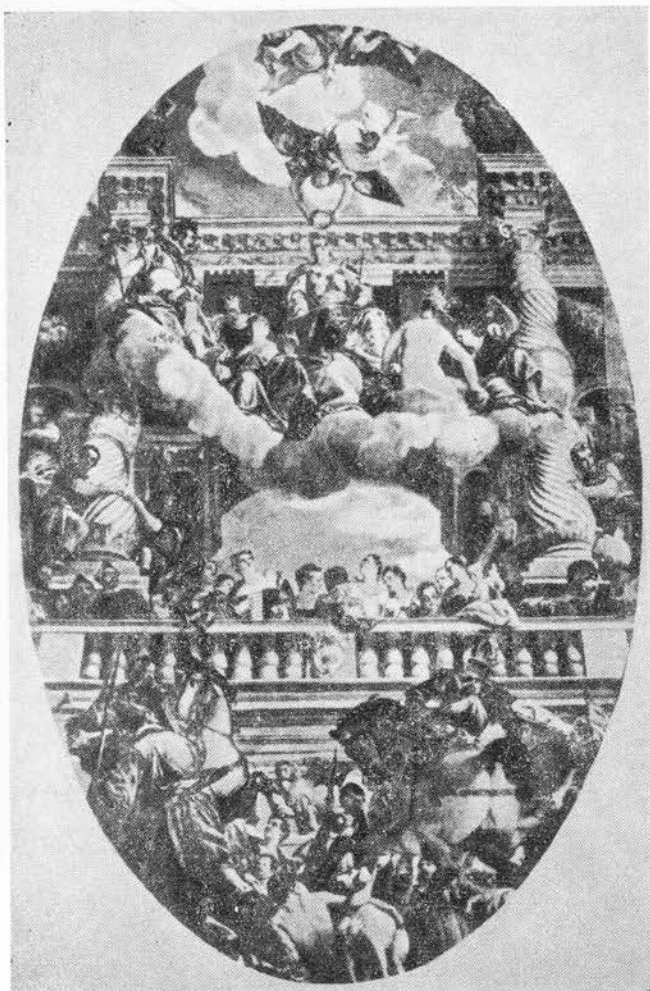


Fig. 290. (267) Veronese: Triumful Veneției

rază și prezentându-se ca un plan pieziș, compoziția va fi văzută în racursiu și va prezenta deci deformări perspective: elementele verticale din compoziție vor prezenta descreșteri perspective și se vor îndrepta spre un punct de fugă aerian (I, fig. 69 B). De altfel — cum se va arăta mai departe — deformări perspective vor prezenta și picturile monumentale ale bolților cilindrice (277—290) sau sferice (291—297).

Problema acestor deformări nu s-ar pune dacă, renunțând la compoziții figurale completate cu elemente arhitecturale, pe pereții care nu pot fi priviți în bune condiții, s-ar reprezenta numai elemente decorative nefigurative ale căror deformări nu sînt supărătoare ca, de exemplu — pentru a ne referi la reproducerile din prima parte a acestei lucrări — vegetația pictată de Leonardo da Vinci în una din sălile Palatului Sforza din Milano (I, fig. 51).

**269.** — În cazul compozițiilor figurale artistul, cunoscînd problema deformărilor perspective, poate:

a) să nu le ia în seamă,

b) să studieze corectarea lor totală sau

c) să interpreteze liber corectarea lor parțială.

a) În figura 293 I s-a reprezentat demonstrativ o figură înscrisă într-un dreptunghi: pe perețele vertical s-au dat figurii proporțiile dorite de artist iar în stînga se arată deformarea perspectivă a acestei figuri privite cu o rază vizuală înclinată. Epura se înțelege cu ușurință: arcul  $ab_1$  reprezintă un închipuit perete cilindric, perpendicular în orice punct pe razele vizuale cu care s-au proiectat înălțimile figurii. Acestea au fost reprezentate desfășurate în  $ee'$ . Cu razele vizuale  $O'b$  și  $O'c$  pe orizontala dusă din punctul  $b_1$  s-a determinat în  $b^1c'$  măsura în care se micșorează pe peretele cilindric orizontala superioară  $bc$  a dreptunghiului dat. Cu aceste construcții s-a putut reprezenta în  $a'a_1b'c'$  imaginea deformată a figurii:

b) În figura 293 II s-a reprezentat demonstrativ o figură înscrisă într-un dreptunghi: în dreapta pe desășurata  $a'$ ,  $c'$  a unui închipuit perete cilindric  $ab$  care e în orice punct perpendicular pe raza vizuală a privitorului situat în punctul  $O$  s-au dat figurii proporțiile dorite de artist, iar în stînga se arată deformarea perspectivă a aceleiași figurii pe perețele corespunzător, vertical, dar pe care razele vizuale ale privitorului sînt piezișe. Epuza se înțelege cu ușurință: diviziunile nedeterminate, necesare stabilirii proporțiilor figurii au

Pe de altă parte vădita deformare perspectivă a figurii ajută pe privitor să realizeze marea înălțime la care se află zugrăvita, accentuând proporțiile monumentale ale pere-telui. Mariile deformări (I, fig. 74 și fig. 294 jos) ale figurilor pictate în jurul arcadei ferestrelor Capellei Sixtine (fig. 292 și fig. 294 sus) precizează cu vigoare marea înălțime a pereților și măresc prin aceasta monumentalitatea expresivă a compozițiilor bolții pe care o sprînjină.

În privința verticalilor din spațiu vom aminti că în multe fotografii de amator muchile verticale ale construcțiilor apar înclinate și fugind către un punct de fugă aerian pentru că amato-

deci semenii lui. dem că are efectiv capul mai mic deformarea perspectivă și nu cre-pe casă nu ne lăsam înșelați de vedem în racursu un om urcat deci cel mai apropiat și dacă depărtat este mai mic în realitate credem că stilul de telegraf mai creșterea perspectivă nu re face să fi deformat de perspectivă. Des-și raporturile reale ca și cum n-ar multă perspicacitate dimensiunile reconstituie cu spontaneitate și cu realitate spiritul de observație siderate ca nesupăraătoare, căci în Aceste deformări pot fi con-

umerii se strîmtează etc. lățimile se micșorează și ele, totală a figurii intră de 8 ori iar de 7 ori și jumătate în înălțimea astfel încît capul în loc să intre înălțimile se micșorează treplat

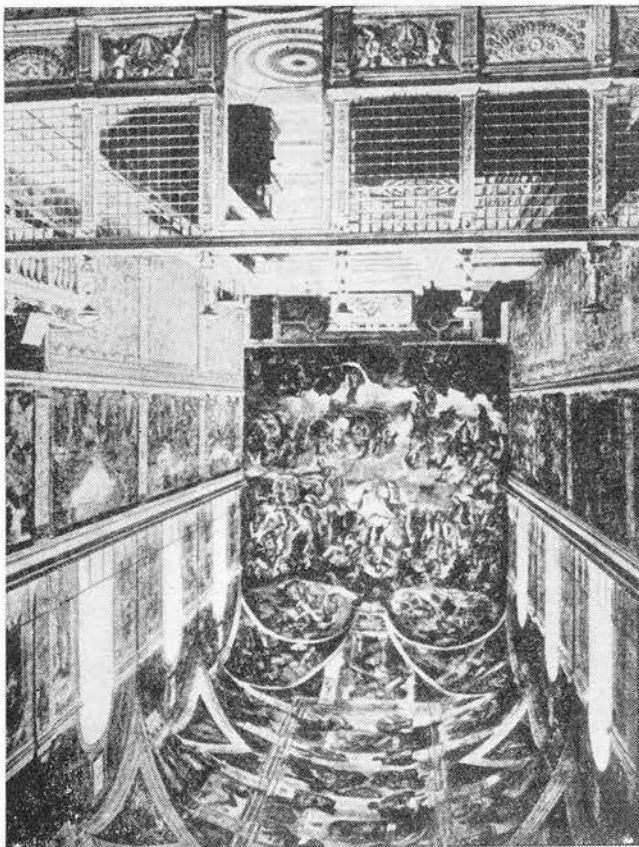


Fig. 291. (268, 276, 281) Capela Sixtina



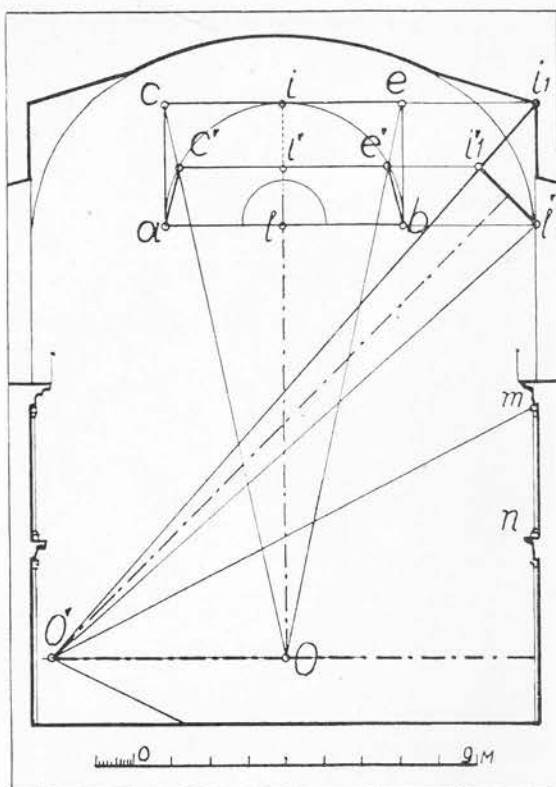
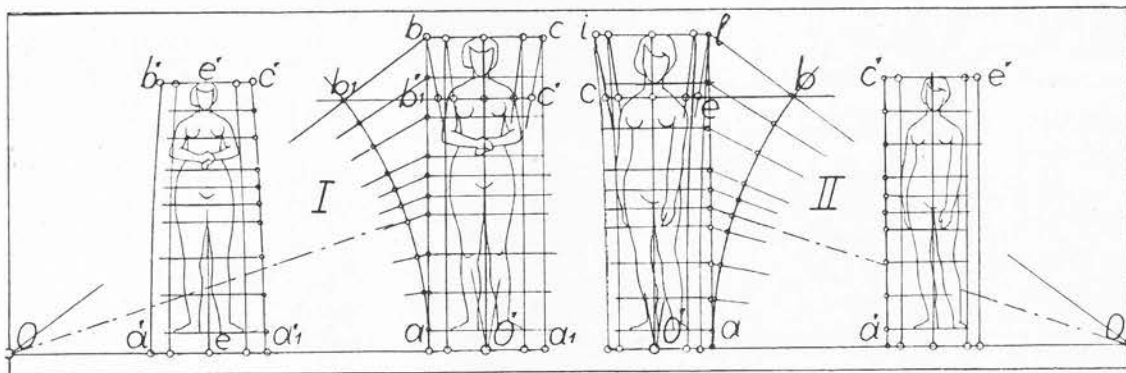


Fig. 292. (268, 269, 334)

a peretelui s-au desenat figuri nedeformate, așa cum ar vrea desenatorul să fie văzute de privitor, iar pe imaginea nedeformată  $a'b'c'e'$  s-au deformat figurile de mai sus supraînălțându-le și supralărgindu-le treptat cu ajutorul unei rețele dreptunghiulare.

Fig. 293. (269, 293, 334)



fost luate pe arcu  $ab$  și apoi în desfășurare în  $a'c'$  pentru figura nedeformată. Din punctul de vedere  $O$  diviziunile de pe arcu  $ab$  au fost proiectate pe perete în  $al$ . Luând pe orizontala dusă prin punctul  $b$  segmentul  $ce$  egal cu segmentul  $c'e'$ , și prelungind razele  $O'c$  și  $O'e$  s-a obținut în  $il$  măsura în care se mărește pe peretele vertical latura superioară  $c'e'$  a dreptunghiului dat. Cu aceste construcții s-a putut desena imaginea deformată a figurii pe un perete vertical: înălțimile cresc treptat astfel încât capul în loc să intre de 7 ori și jumătate în înălțimea totală a figurii intră numai de cinci ori iar lățimile se măresc și ele, umerii se lărgesc etc.

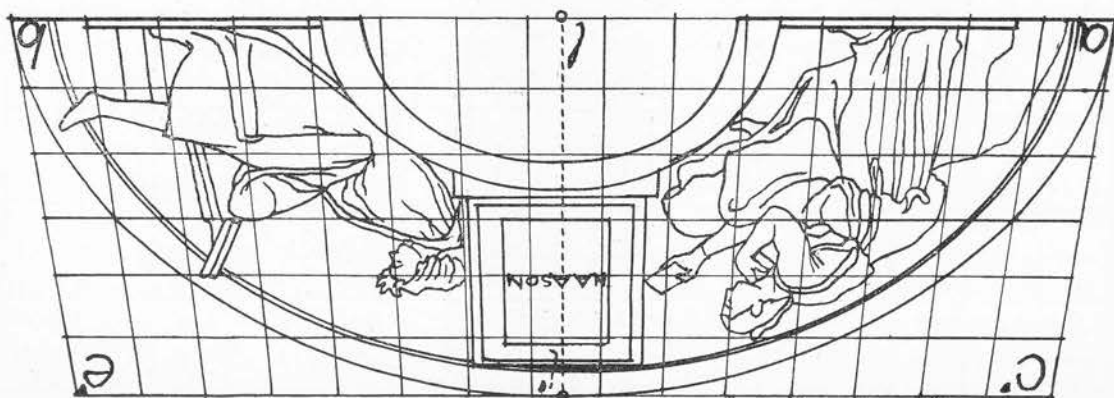
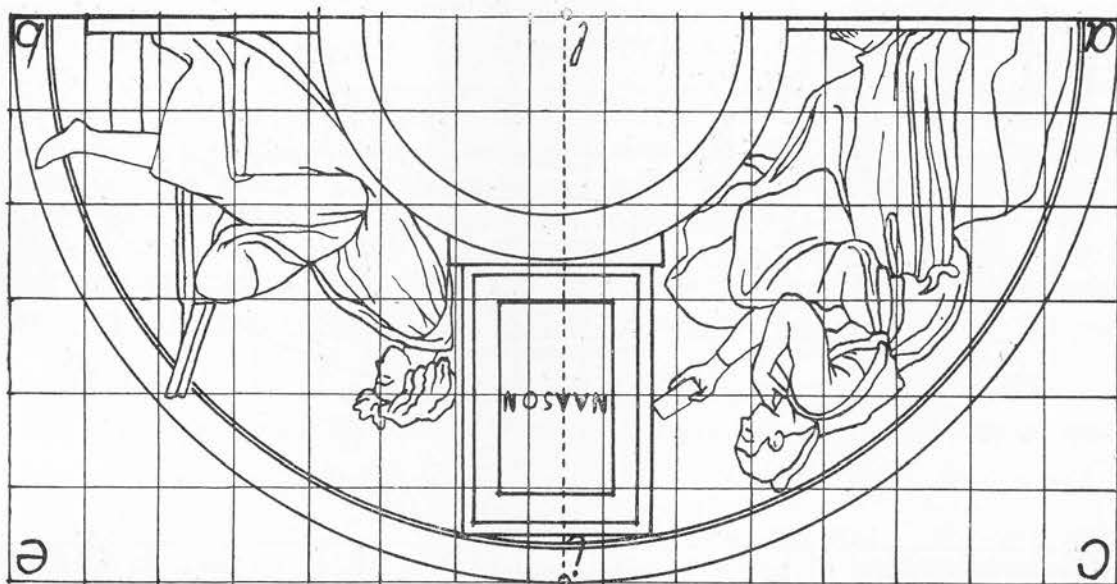
Aceste deformări sînt exacte din punct de vedere teoretic dar discutabile potrivit explicațiilor date mai sus și pot fi considerate necorespunzătoare întrucît contrazic descreșterea perspectivă a planului vertical, pe care sînt reprezentate și din care vor putea să pară că se desprind.

Este ceea ce încearcă să arate figura 295 în care pe imaginea deformată  $abce$



Epura din figura 292 se înțelege cu ușurință: timpanul nedeformat dreptunghiular  $abce$  e văzut din punctul de vedere  $O$  și  $O'$  în formă de trapez cu baza mare  $ab$ , baza mică  $c'e'$  și înălțimea  $l'l'$ . Pentru verticalele rețelei se împart în același număr de părți egale laturile orizontale ale dreptunghiului și ale trapezului iar pentru orizontalele rețelei se împart laturile verticale ale dreptunghiului pe cînd pentru trapez diviziunile de pe  $l'l'$  se proiectează pe înălțimea înclinată  $l'l'$ .

Fig. 294. (269)



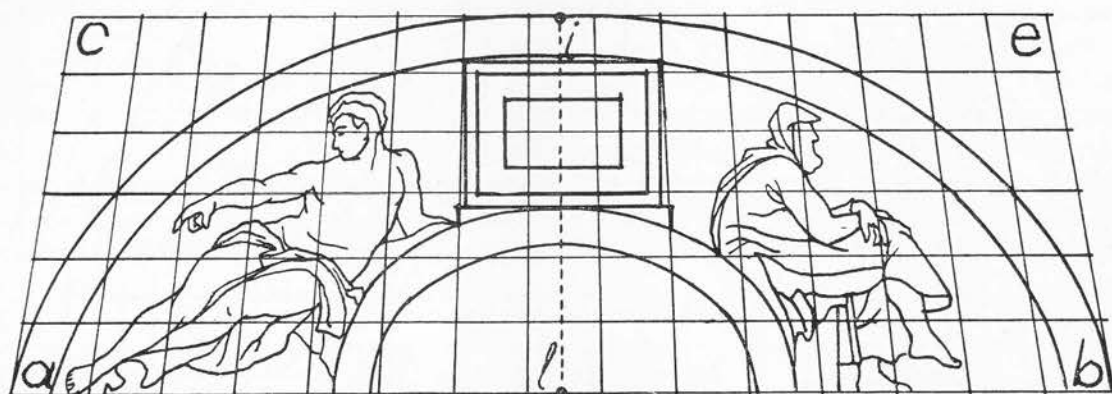
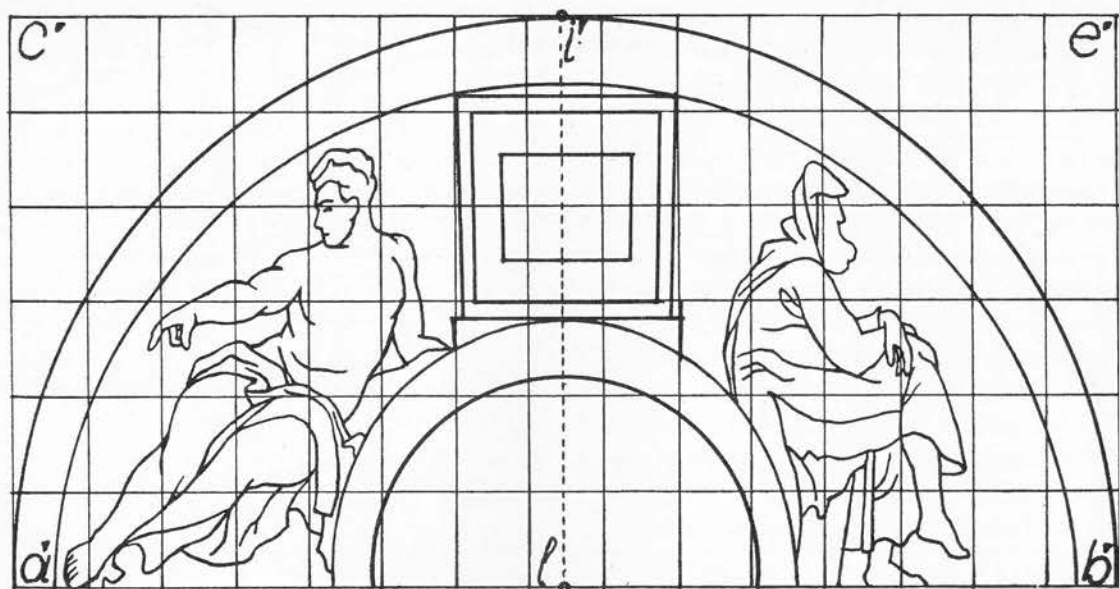


Fig. 295. (269)

Figurile anume deformate (fig. 295 sus) vor apare nedeformate privitorului dar înscrise într-un timpan deformat de marea înălțime la care se află, și imaginile exacte teoretic vor putea apare ca desprinse din planul vertical pe care sînt pictate (fig. 295 jos).

Deși arta greacă s-a preocupat să mărească înălțimea elementelor care, văzute de jos, erau micșorate de perspectivă cum se constată, de exemplu, într-o inscripție de pe templul din Pirene în care înălțimea literelor crește treptat la fiecare rînd de jos în sus,

## Deformările perspective ale picturii monumentale pe perețele cilindric vertical al rotundelor sau al tiridelor semicirculare

Este inutil să mai precizăm că traseele teoretice ale deformărilor perspective sînt valabile, pe lîngă punctul de vedere ales, pentru un număr foarte restrîns de alte puncte de vedere din imediata lui apropiere. Din alte puncte de vedere ele devin supărătoare căci nu mai corespund nici teoretic nici deformărilor firești și ușor de perceput ale suprafeței plane sau curbe pe care sînt situate.

c) Cunoșcînd cele arătate mai sus artistul, după caz și ținînd mai ales seama de ansamblul decorativ din care fac parte, va putea aduce în compozițiile care nu pot fi privite decît pieziș, de la depărtare prea mică față de înălțimea la care sînt situate, unele din modificaliile care ar fi cerute de o epură riguroasă: alungirea figurilor atît cît trebuie pentru ca, deformate, să nu pară prea scurte sau înexpresive, înclinarea unor verticale dacă acestea, deformate, sînt supărătoare etc.

totuși este locul să precizăm că artiștii care au folosit cu mare rafinament corectări optice de mare subtilitate în toate elementele componente ale Partenonului, în figurile frizei Pana-teneilor au introdus numai mici modificări (319 fig. 338). În muzee sînt expuse la înălțimea ochilor și nimeni nu realizează că, așezate la o înălțime de peste 10 m deasupra punctului de vedere, privitorul se chinuiește să le vadă din porticuri cu un recul numai de 5 m sau, de pe sol, printre coloane, cu un recul care nu putea depăși 15 m, raza vizuală principală făcînd cu orizontala un unghi, respectiv de circa 66° și 38° (fig. 338 și 339).

270. — Cum s-a mai spus, cînd raza curburii este mare, perețele cilindric al unei rotonde sau tiride poate fi considerat ca un tablou plan (I 60, notă). Raza mare presupune că compozițiile figurale de pe acești pereți cilindrici vor putea fi privite de la o depărtare destul de mare pentru a nu pune probleme de deformări perspective, cum este de exemplu cazul frescei Ateneului din București (fig. 296 a). Totuși în vederile panoramice, care vor putea fi privite — cum se va arăta mai departe (379) numai de la o depărtare care nu depășește raza rotondei respective, pentru crearea unei iluzii cît mai depline, se va ține seama de respectivele deformări perspective.

271. — *Planurile geometrale, desfășurata și imaginea perspectivă a tiridei semicirculare sau a rotondei.* În figura 296 s-a reprezentat la scara de 5 mm pe metru planul (I), elevația (II), secțiunea (III) și desfășurata (IV) unei tiride semicirculare. În cazul unei rotonde probleme speciale de desen proiectiv nu vom insista asupra lor. Proiecțiile ortogonale au fost completate cu o rețea de pătrate (eventual de dreptunghiuri) cu laturile de dimensiuni cunoscute cu ajutorul căreia artistul va putea prezenta un proiect complet al compoziției sale și apoi trece la studierea ei în mărime de execuție.

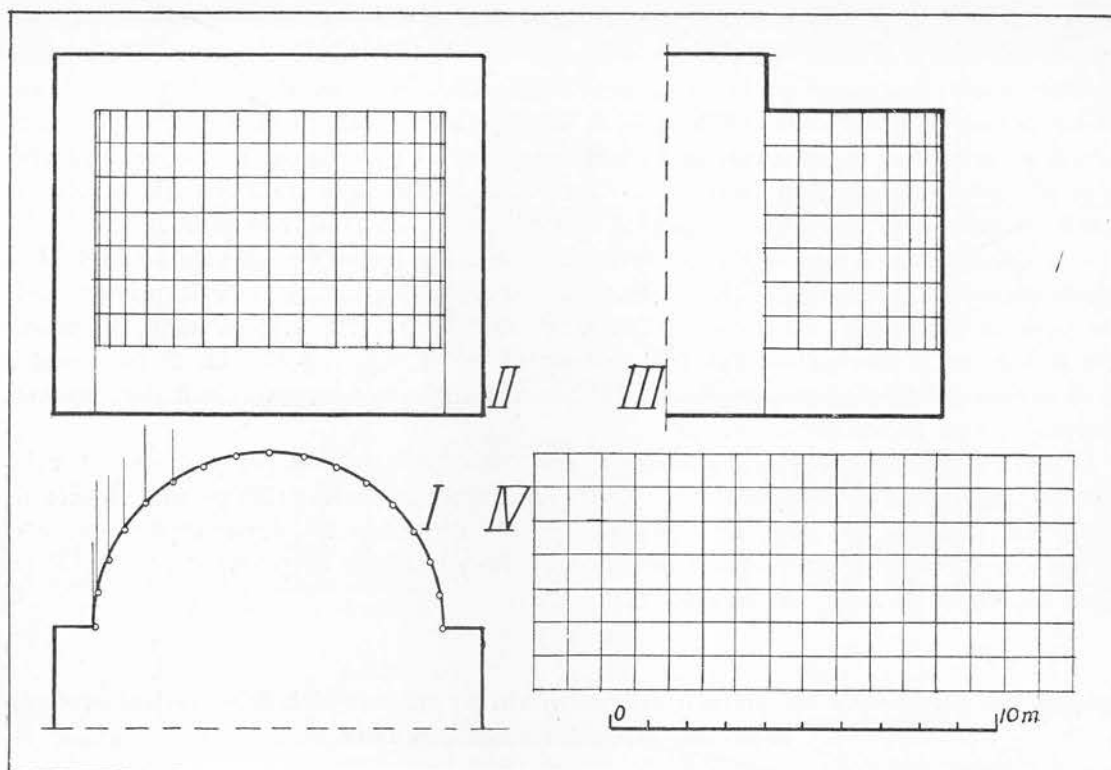


Fig. 296. (270, 271)

**272.** — *Imaginea perspectivă a firidei* (fig. 298). Imaginea celor două pătrate  $abce$  și  $behi$  ale bazei superioare în care se înscrie semicercul firidei, măsurate pe scara perspectivă a tabloului și cu orientarea dorită au fost desenate cu ajutorul unei rețele cu puncte de egală resecție (223—232) iar înscrierea semicercului cu numărul de puncte date de liniile verticale ale rețelei desfășuratei (în cazul prezent cu 16 puncte) s-a făcut cu ajutorul scării divergente, anume întocmită în acest scop (I, 497, fig. 560—561). Întrucît în figura dată unul din punctele de fugă  $F$  este accesibil, scara divergentă a fost folosită numai pe diametrul  $abh$ , căci diagonalele  $bc$  și  $bi$  ale celor două pătrate au asigurat determinarea punctelor prin care trece imaginea semicercului. Pe verticalele coborîte din aceste puncte semicercurile orizontale între baza superioară și linia orizontului au fost desenate cu ajutorul scării divergente obișnuite (I, 364—367 fig. 406) ținînd orizontal banda de hîrtie pentru a împărți fiecare verticală în numărul dorit de părți egale (în cazul prezent 7 părți).

**273.** — *Deformările perspective* se deduc din deformările pătratelor sau eventual ale dreptunghiurilor rețelei desenate, cum s-a arătat mai sus, în imaginea perspectivă a firidei semicirculare (fig. 298). Vedem că orizontalele de pe tablou și prin urmare și liniile

Teoretic aceste deformări se pot urmări în epura figurii 297 în care spațiul restrins al unei rotonde obligă pe privitor să incline raza lui vizuală principală pentru a cuprinde în câmpul său de viziune clară întreaga înălțime a pereților cilindric. S-a luat un tablou perpendicular pe raza vizuală principală pe care s-a proiectat rețeaua de pătrate de pe perețele cilindric. În proiecție orizontală (fig. 297 I), tabloul inclinat *cehi* e reprezentat de două ori: într-un plan de capăt (perpendicular pe raza vizuală principală *OP* orientată frontal) și într-un plan frontal descendent spre adâncul spațiului perpendicular pe raza vizuală principală cuprinsă în planul vizual principal vertical. În proiecție verticală (fig. 297, II) tabloul inclinat *c'e'h't'* este cuprins într-un plan frontal descendent spre adâncul spațiului și latura lui orizontală superioară *h't'* e determinată de razele *O'a'* și *O'b'*. În proiecție laterală (fig. 297 II) tabloul inclinat *c"e"h"t"* e cuprins într-un plan de capăt inclinat. Dublind segmentele din această epură s-a desășurât în *ABCE* (fig. 297, IV) perețele cilindric cu rețeaua de pătrate și în *HICE* (fig. 297 III) tabloul inclinat pe care rețeaua de pătrate apare deformată și pe care artistul va desena compoziția sa înscrisă, de exemplu, în dreptunghiul *mns*. Transpunând-o din aproape în aproape, sprijinit pe rețeaua deformată din tablou și nedeformată de pe perete, va obține în dreptunghiul deformat *MNRS* ima-

inclinate care ar fi imaginea orizontala. Mai vedem că lățimile reprezentate pe tabloul cilindric se vor micșora treptat către marginile laterale ale câmpului vizual al privitorului. Iar dacă punctul de vedere se apropie mai mult decit îndoitul înălțimii pereților cilindric, presupunând că acesta ar fi al unei rotonde de proporția celei delimitate cu o linie punctată în figura 297, astfel încît pentru a o cuprinde în întregime ar trebui să inclinăm în sus, spre adâncul spațiului, raza vizuală principală *OP*, atunci vom avea pe lingă deformările arătate mai sus și deformările înălțimilor, asemănătoare celor constatate în compozițiile pereților verticali priviți de la o depărtare prea mică (269).

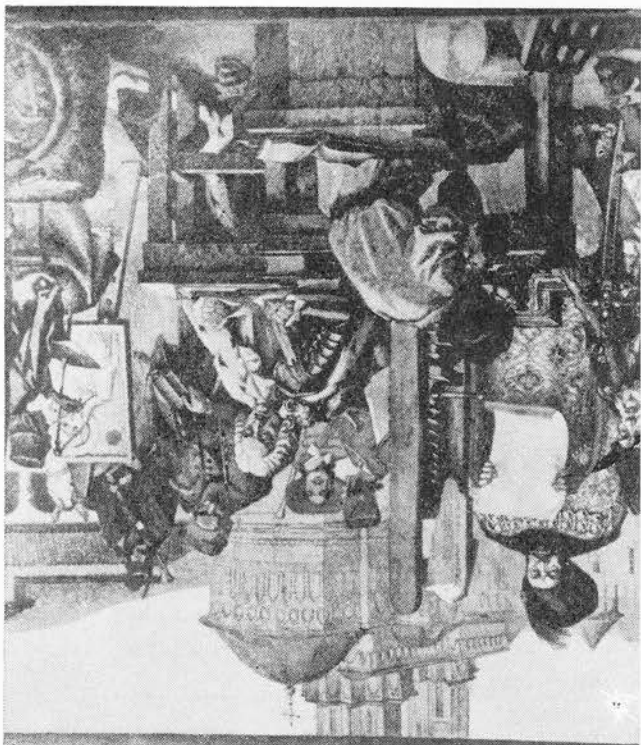


Fig. 296 a.



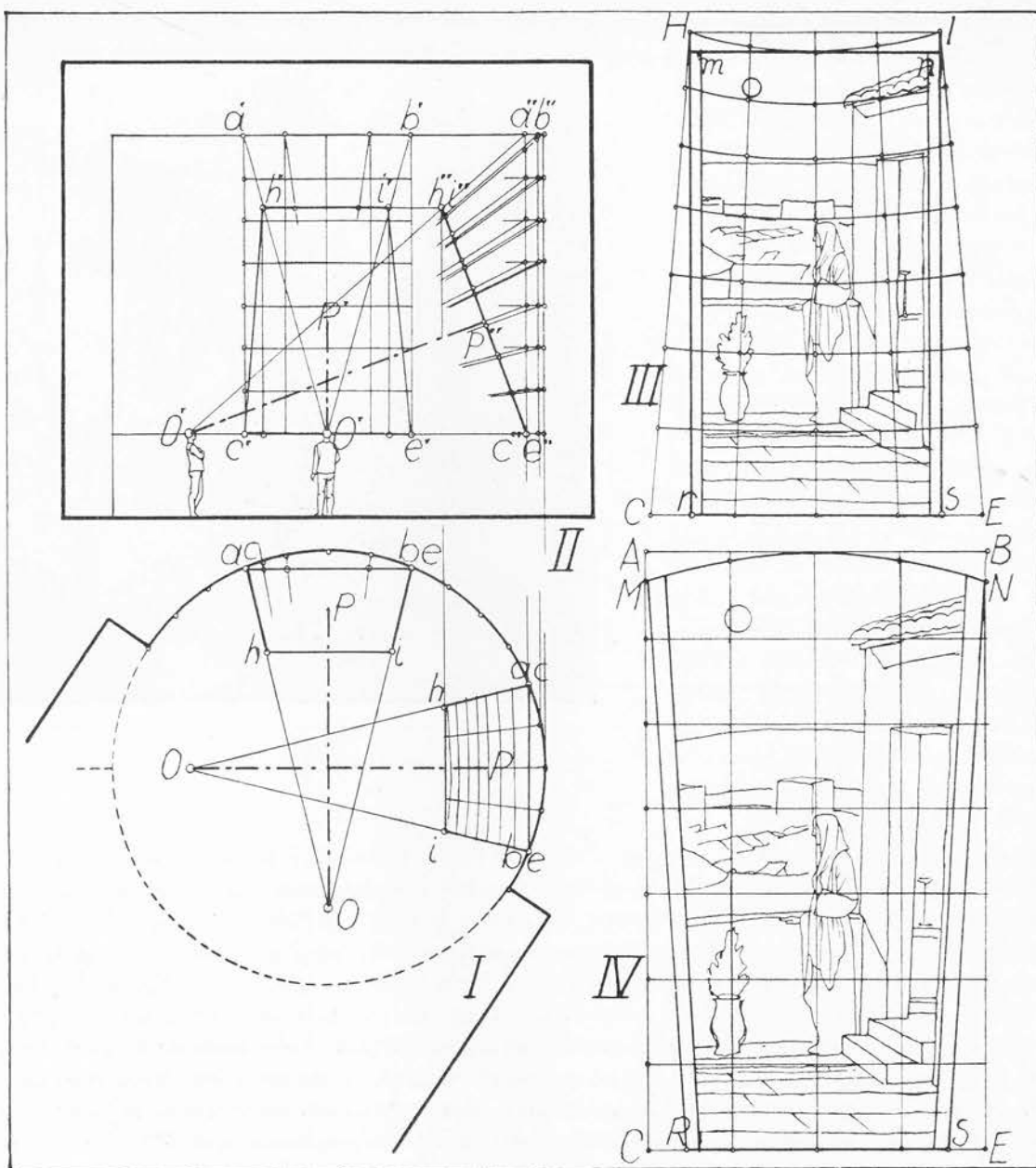
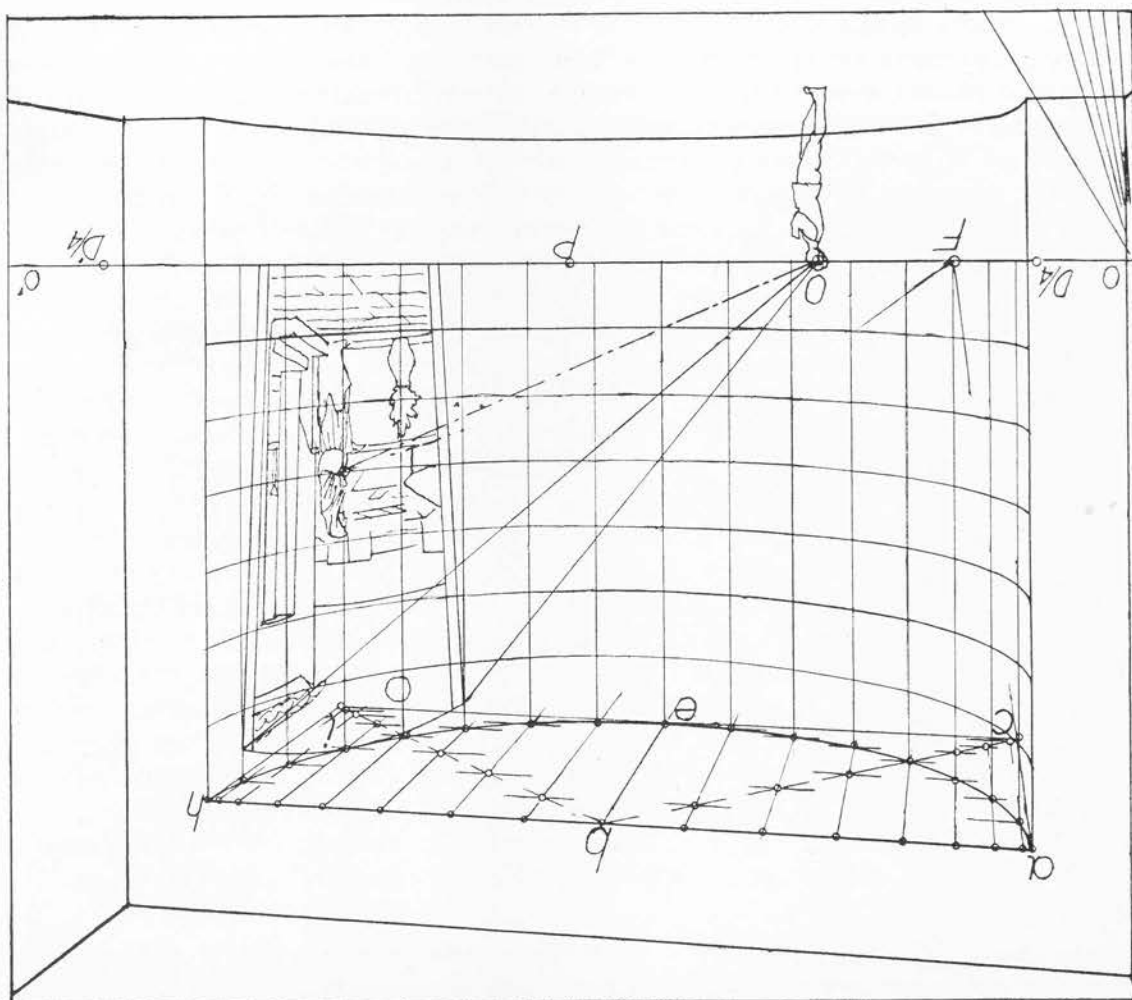


Fig. 297. (271, 273)

ginea deformată a compoziției sale pe care o va desăvârși pe peretele cilindric. În această transpunere vom regăsi pe lângă deformările cunoscute de pe peretele vertical și deformările orizontalelor din spațiu care vor apare arcuite.

Cunoscând aceste deformări teoretice, artistul va putea, după cum știm (269) să nu fiină seama sau să fiină seama de ele, numai parțial sau în întregime, ceea ce ar presupune de altfel că privitorul ar fi obligat să se așeze exact în punctul de vedere din epură. În ipoteza unei compoziții care putând să fie privită de la o adâncime corespunzătoare ar ocupa întreaga firidă, artistul, știind că de mult se deformează marginile laterale ale câmpului său vizual, va căuta să distribuie figurile în grupări mai mici care să poată fi privite succesiv din puncte de vedere mai apropiate, să reducă înălțimea compoziției astfel încât să nu necesite înclinarea razei vizuale principale, să evite pe cât se poate liniile lungi ale unei arhitecturi monumentale, preferind reprezentările suple ale unui peisaj ca acela din Par-nasul lui Rafael (I, fig. 73).

Fig. 298. (272, 273)



### Deformările perspective ale picturii monumentale pe suprafața cilindrică a bolților

**274.** — În general pe tabloul vertical nu putem reprezenta imaginea perspectivă a bolților care acoperă o încăpere de dimensiuni obișnuite. Putem reprezenta numai partea lor inferioară când nașterea lor este foarte joasă — eventual chiar la nivelul solului, cum se întâmplă în unele pivnițe, în metrouri (fig. 303) sau în vechea arhitectură civilă și monastică, căci nu pot fi cuprinse în câmpul limitat de viziune clară a desenatorului chiar dacă sînt privite printr-o largă deschidere. Este motivul pentru care în cuprinsul acestui capitol, urmărind a da o imagine legată de realitate, în figurile care reprezintă diferitele feluri de bolți, nașterea lor a fost luată atît de jos.

Bolțile pot fi însă reprezentate, așa cum le vedem în realitate, adică ridicînd privirea spre ele, pe un tablou frontal înclinat în jos spre adîncul spațiului (239—260) cum se arată în figura 260 în care se vede bolta semicilindrică a unui pod și în figura 258 care înfățișează o boltă moldovenească, boltă caracteristică pentru vechea noastră arhitectură: în cilindrul vertical purtat de patru pendentivi mari, patru arce semicilindrice, așezate pieziș, micșorează diametrul cupolei, rezemate pe alți patru pendentivi mici.

Bolțile, evident, pot fi reprezentate și pe tabloul orizontal al plafoanelor încăperilor cum se arată în figura 287 în care se vede o boltă cilindrică cu chesoane și în figurile 288 și 289 în care bolțile cilindrice poartă o cupolă rezemată pe pendentivi.

Și în încăperile de mari dimensiuni nu vedem decît partea inferioară a bolților în afară de cazul cînd acestea succedîndu-se în adîncul spațiului și deformate de depărtarea mereu crescîndă acoperă o galerie dezvoltată în adîncime.

De exemplu, din monumentala boltă emisferică a Panteonului din Roma (fig. 404) câmpul de viziune clară a privitorului, din ușa de intrare, nu poate cuprinde în partea superioară a cercului lui decît o parte mică din primul rînd din chesoanele acestei bolți. Atlasele istorice reprezintă această remarcabilă operă arhitecturală recurgînd la imagini perspective care, depășind cu mult câmpul de viziune clară, cuprind supărătoare anamorfoze. Acestea dispar însă de îndată ce sînt privite, cum s-a mai spus (I, 73 și schema figurii 108, 325 fig. 355—356) prin orificiul unui ecran așezat la mica depărtare a distanței principale, egală cu jumătate din diametrul frontal al rotondei a cărei lungime se poate ușor repera pe mozaicul pavimentului.

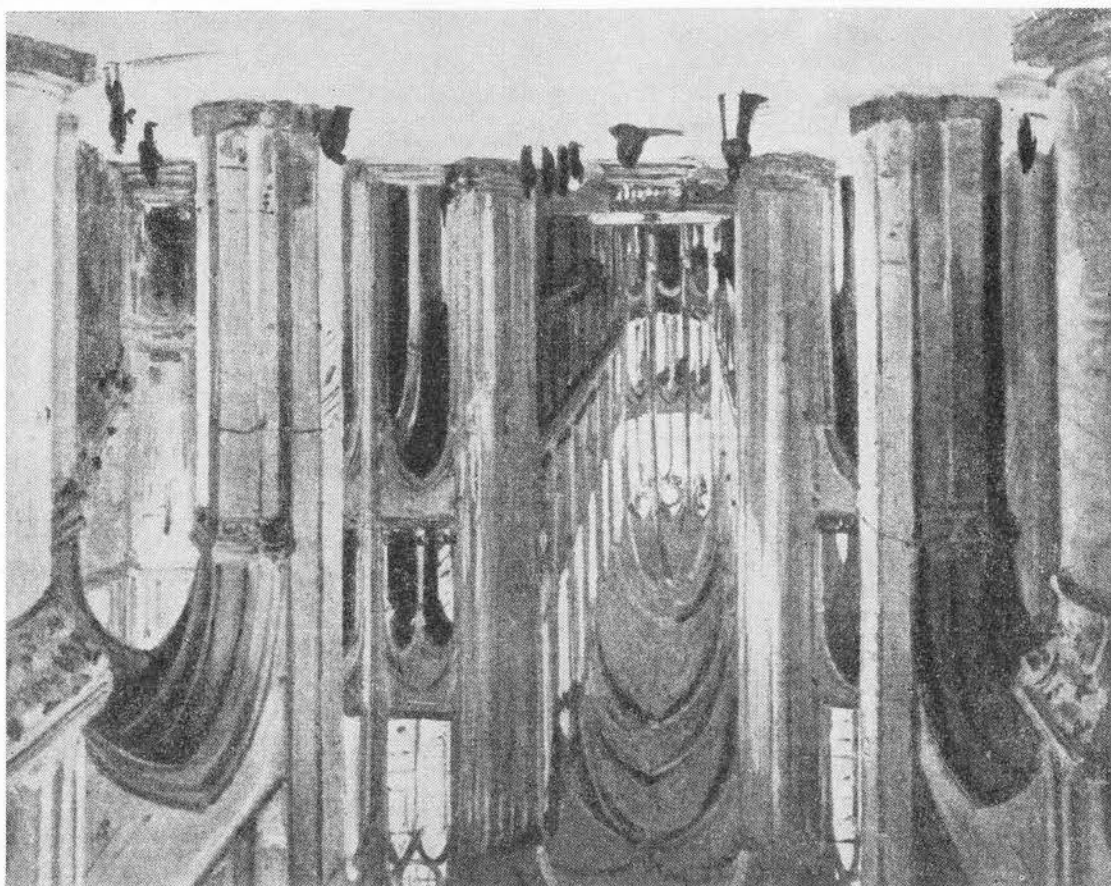
Bolțile se văd în întregime, deformate numai de depărtare, cînd acoperă lungi galerii, chiar dacă sînt așezate la o mare înălțime. Dar în cazul acesta, trebuie să știm că bolta cea mai apropiată, cuprinsă în câmpul de viziune clară, este la o mare depărtare de privitor. Astfel în figurile 314 și 322 care ne arată o succesiune de bolți de penetrație sau de cupole pe pendentivi, arcada cea mai apropiată se află față de punctul de vedere, la o adîncime de 9,20 m în figura 314 și de 10,24 m în figura 322 și la o adîncime de 7 m în figura de pe pagina titlului primei părți a acestei lucrări. Vom adăuga că în pictura în care Bonnington a reprezentat interiorul catedralei din Senlis (fig. 299) vrînd să cuprindă în cadrul tabloului și bolta mai apropiată care ieșea din câmpul său de viziune clară, a obținut o supărătoare anamorfoză. (399)

o refea de pătrate sau de dreptunghiuri cu laturile de o dimensiune dată și că această Vom presupune că pe intradosul bolții respective s-a trasat, cu un procedeu oarecare,

pe bolta semicilindrică din figura 304. precum și desfășurata ei la o scară dată. Explicațiile ce urmează vor putea fi urmărite cunoaștem proiecțiile ei ortogonale (plan, secțiune transversală, secțiune longitudinală) fig. 306—311), de penetratie (286—290 fig. 312—315), emisferică etc. va trebui să monumetală pe o boltă semicilindrică (277—280 fig. 301—305), mănăstirea (281—285 Pentru a întreprinde studiul deformărilor perspective ale unei compoziții de pictură

iecțiile ortogonale ale bolții respective. compoziție plastică indiferent dacă o conște în perspectivă, pe desfășurate sau pe progonale ale bolților, firidelor etc. cit și în desfășuratele și în imaginile lor perspective s-au desenat aceleași refee de patrulater permițând artistului să transpună cu ajutorul lor o

Fig. 299. (274, 276, 399) R. P. Bonnington: Interiorul Catedralei din Senlis





rețea a fost reprezentată întocmai la scara aleasă în proiecția verticală (fig. 304, II) în proiecția laterală (fig. 304, III) și pe desfășurata bolții (fig. 304 IV).

În continuare, vom presupune că la nașterea bolții se găsește un tablou orizontal transparent pe care se va trasa imaginea perspectivă a rețelei de pătrate sau de dreptunghiuri de pe intradosul bolții respective așa cum ar fi văzută din punctul de vedere  $O'$  al desenatorului. În această proiecție conică a rețelei pe tabloul orizontal transparent închipuit, care se va desena și pe proiecția orizontală a bolții (fig. 304, I) aceasta va prezenta evidente deformări perspective.

Neținând seama de această rețea deformată, în deplină libertate, artistul va studia și definitivă compoziția sa pe proiecția orizontală a bolții, fără nici o deformare adică așa cum ar dori să apară celui care ar privi-o din punctul de vedere stabilit (fig. 304, I).

În sfârșit, ținând seama de rețeaua deformată pe care este desenată, compoziția va fi transpusă, din aproape în aproape și cât mai exact pe rețeaua nedeformată a desfășuratei pentru a fi mărită și desenată pe rețeaua nedeformată de pe intradosul bolții respective (fig. 304, IV).

Compoziția deformată, pictată pe rețeaua nedeformată de pe intradosul bolții, va apare nedeformată când va fi privită din punctul de vedere pentru care a fost studiată. Dacă deformările vor fi fost exprimate cu precizie, compoziția va putea apare privitorului ca și cum ar fi reprezentată pe un plan orizontal iar nu pe intradosul unei bolți. Artistul cunoscând această problemă a deformării picturii monumentale va putea să o folosească în întregime, parțial sau să nu o folosească de loc, cum se va arăta mai departe.

**276.** — Este interesant să cunoaștem și condițiile în care se pot obține imaginile perspective ale acestor bolți, potrivit configurației încăperilor pe care le acoperă. Dacă acestea au o mare adâncime (bolta mănăstirească cu penetrație a Capei Sixtine, fig. 291) bolta semicilindrică cu arcuri dublouri a marelui galerii a muzeului Luvru, fig. 302, bolțile ogivale ale unei catedrale (fig. 299) imaginea perspectivă a bolților va putea fi stabilită în condiții obișnuite (fig. 314 galeria cu bolți de penetrație și fig. 322 galeria cu cupole pe pendentivi) deoarece de la o adâncime dată vor putea fi cuprinse în câmpul de viziune clară a privitorului. Dar când bolta acoperă o încăpere pătrată sau circulară, chiar dacă nașterea ei nu se află la o mare înălțime (în fig. 303 nașterea bolții este la nivelul solului, iar în figurile 308, 313, 317, 321 la cota punctului de vedere) și desenatorul o privește din afara încăperii printr-o arcadă larg deschisă, pe un tablou vertical nu vom putea reprezenta decât o porțiune limitată din partea ei inferioară, cum se vede în figurile 308, 313, 317, 321.

Este ceea ce ne explică figura 300 în care prin litera  $\Delta$  s-a notat adâncimea la care se află peretele din fața desenatorului, litera  $L$  lățimea tabloului (circular, pătrat, dreptunghiular, în înălțime sau în lățime) și litera  $I$  înălțimea tabloului deasupra liniei orizontului. Constatăm, potrivit deschiderii maxime a unghiului de viziune clară, că dintr-o boltă a cărei naștere ar coincide cu linia orizontului nu vom putea vedea decât o înălțime egală cu jumătatea adâncimii peretelui încăperii (dacă tabloul este circular), numai o treime (când tabloul este pătrat) circa trei șeptimi sau numai o pătrime când tabloul este dreptunghiular în înălțime sau în lățime.



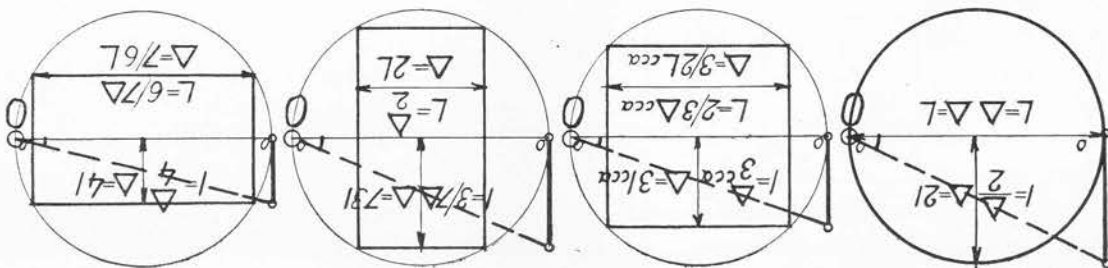
278. — Nu credem că este necesar să dăm explicații speciale pentru felul în care se poate obține imaginea perspectivă a unei bolți cilindrice când o privim în sensul adîncimii ei (fig. 302), dar cînd este privită în sensul lățimii ei (fig. 303) trebuie să ne asigurăm că punctul de vedere se găsește în cuprinsul ei sau — în cazul cînd e privită din afara ei printr-o deschidere de lărgime dată — la o adîncime corespunzătoare față de perețele din față desenatorului. Va trebui să determinăm în condițiile date lungimea distanței principale pentru a putea fixa în tablou punctul de distanță redus  $D/4$ , procedînd așa cum se arată

277. — Bolta semicilindrică se reazemă pe doi pereți verticali paraleli și adesea, cînd are o mare lungime, este completată cu arcuri dublouri (fig. 301, 302, și 303). Bolta poate fi semicilindrică (fig. 301, 302 și 303) sau semieliptică cu axul mare orizontal (sub-înălțată) sau cu axul mic orizontal (supraînălțată). Bolta semicilindrică reprezentată la scara de 5 mm pe metru în figura 301 în proiecție orizontală (I), în proiecție verticală (II), în proiecție laterală (III), și deslășurată (IV), este semicilindrică cu arcuri dublouri la fiecare 5 m. În aceste proiecții s-a desenat rețeaua de pătrate cu ajutorul căreia, în practică, s-ar putea transpune pe boltă și pe arcurile dublouri compoziția decorativă nefigurativă care, eventual, ar fi reprezentată, fără deformări, pe deslășurată. Diviziunile egale, de mărimea aproximativă a unui metru au fost luate între  $a'$  și  $b'$  în proiecție verticală din care cu linii de ordine au fost proiectate în plan (proiecție orizontală) și în secție longitudinală (proiecție laterală). Cu același număr de diviziuni egale s-a măsurat și lungimea  $AB$  a deslășuratei. În același fel s-au desenat și diviziunile arcului dublou. S-ar fi procedat tot așa dacă boltă ar fi avut un profil eliptic.

### Bolta semicilindrică

Imagini mai complete ale bolților se pot obține, firește, pe tablouri înclinate (fig. 256, 258, 260, 269, 279—283, 285) dar prin trasee perspective exacte sau aproximative (fig. 299) ca și cu obiective speciale se pot obține și pe un tablou vertical desene, picturi sau fotografii care cuprind un cîmp mult mai mare decît cel vizual normal. Știm cum aceste reprezentări (I, 73, fig. 108) capătă un relief de un surprinzător realism apropiat de cel stereoscopic cînd le privim cu un singur ochi prin orificiul unui ecran așezat la mica distanță principală corespunzătoare.

Fig. 300, (276)



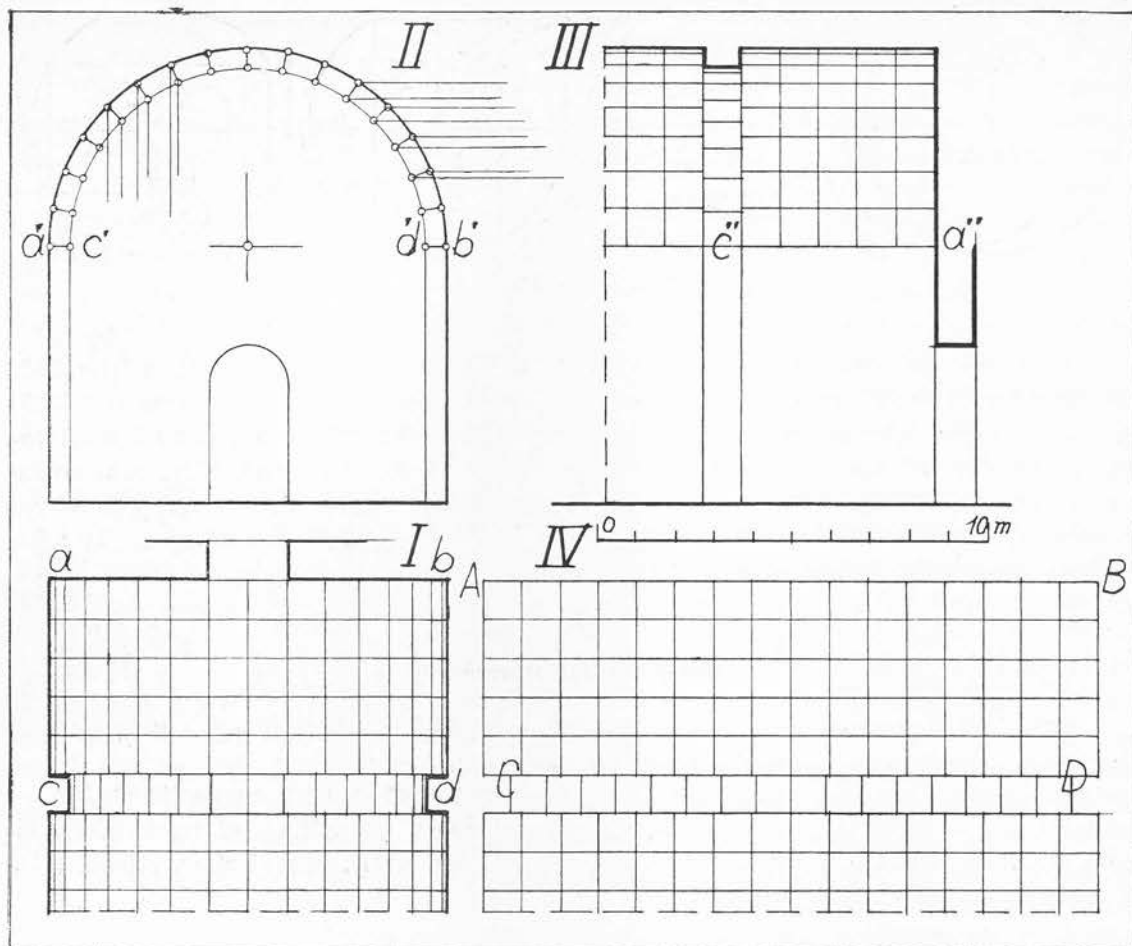


Fig. 301. (275, 277)

în figura 303, care presupune că bolta semicilindrică dată care are un diametru de 18 m este privită din afară de la o adâncime de 2 m, adică de la o adâncime totală de 20 m față de peretele opus al bolții. Procedînd în perspectivă inversă desenatorul va schița figurile compoziției sale în mărimea dorită și va determina linia orizontului  $OO'$ . În mijlocul ei va preciza punctul principal  $P$ . Apoi va desena urma  $n'n'_1$  a peretelui din fundul încăperii boltite, urmă care în ipoteza noastră reprezintă și nașterea bolții semicirculare la o cotă de 1,60 m sub linia orizontului. Cu o dreaptă ajutătoare care nu e reprezentată în figură s-a determinat segmentul  $Pm$  egal cu 1 m. Repetînd de cinci ori acest segment pe linia orizontului ( $20\text{ m} : 4 = 5\text{ m}$ ) determinăm punctele de distanță  $D/4$  și  $D'/4$  ale imaginii perspective. Vom avea grijă ca aceasta să se înscrie într-un cadru care să nu depășească cercul descris cu centrul în punctul  $P$  cu o rază egală cu segmentul  $D/4$   $D'/4$ ,



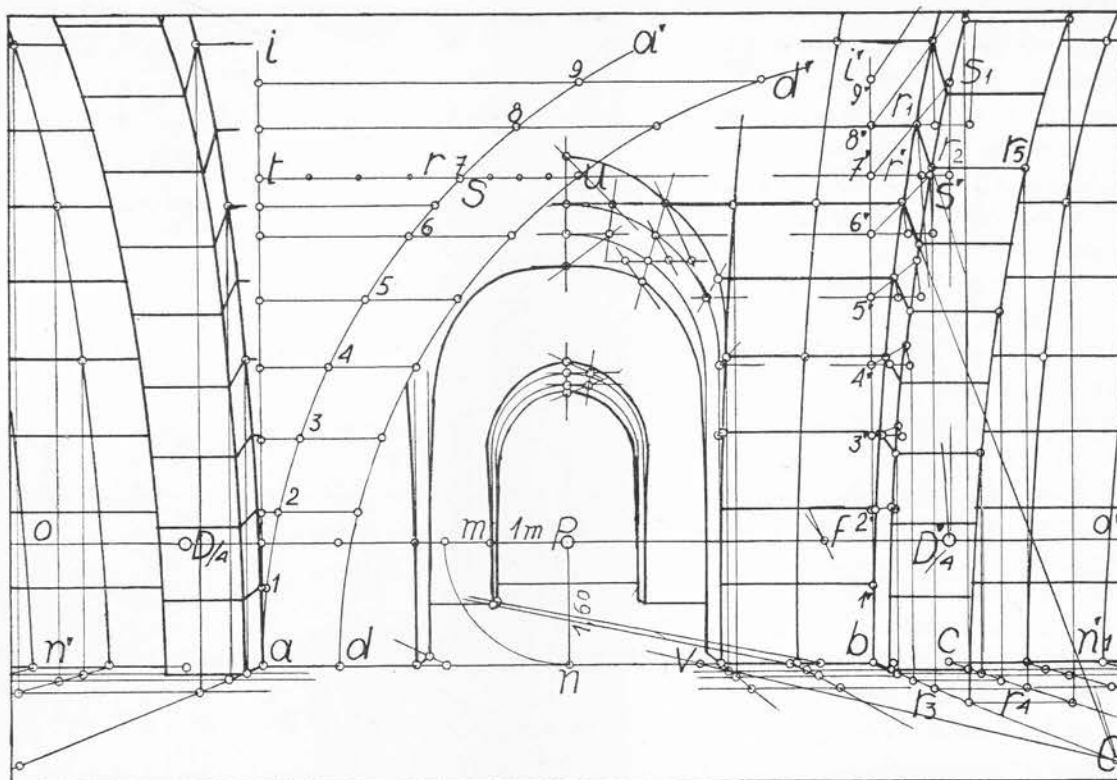


Fig. 303. (274, 276, 277, 278, 397)

În figură se mai arată cum, cu ajutorul proiecției orizontale s-a completat rețeaua de pătrate a bolții, cum s-a desenat (folosind și punctul de distanță  $D'/4$  și punctul accidental de fugă  $f$ ) deschiderea arcată care face penetrație în boltă precum și, în adîncul spațiului, o succesiune de alte două bolți semicilindrice paralele și egale cu aceea din primul plan.

#### *Deformările perspective ale picturii monumentale pe bolta semicilindrică*

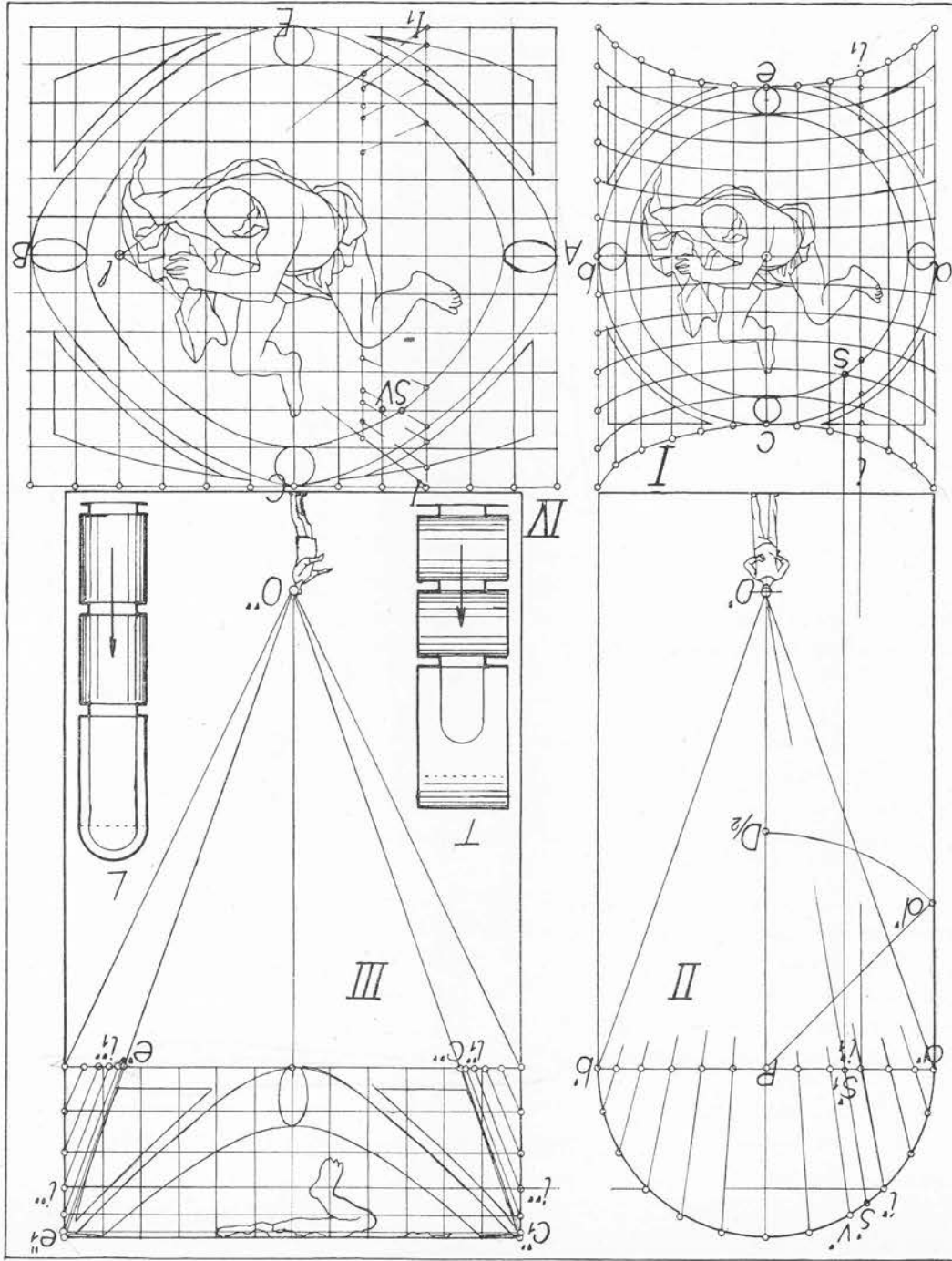
Vom examina două cazuri și anume:

a) bolta semicilindrică se află la o înălțime destul de mare pentru ca privitorul să o poată cuprinde în întregime în câmpul său de viziune clară (fig. 304).

b) privitorul nu poate cuprinde în câmpul său de viziune clară, dintr-o dată, întreaga boltă (fig. 305 și 309).

**279.** — a) *Compoziție pe întreaga boltă.* Figura 304 presupune că distanța principală  $OP$  este egală cu înălțimea diagonalei  $P'd'$  a pătratului ale cărui laturi fiind egale cu dia-

Fig. 304. (275, 279, 280, 284)





metrul  $ab$  sau  $a'b'$  al semicercului bolții semicilindrice date, poate fi cuprins în întregime, în câmpul vizual al desenatorului cu punctul de vedere în  $O'$  sau  $O''$ .

Vom desena o rețea de patrulare în proiecția verticală (fig. 304 II), în proiecția laterală (fig. 304 III) și pe desfășurată (fig. 304 IV) după cum urmează:

În proiecția verticală vom împărți într-un număr de părți egale semicercul  $a'b'$ . În proiecție laterală vom lua segmentul  $c''e''$  egal cu diametrul  $a'b'$  al bolții semicilindrice date și vom duce razele vizuale  $O''c''$  și  $O''e''$  care, prelungite, vor determina lungimea generatoarei de contur aparent  $c_1'e_1''$  a bolții, care e cuprinsă în câmpul vizual al privitorului situat în punctul  $O''$ . Vom împărți într-un număr de părți egale această generatoare și cu linii de ordine — folosind diviziunile de pe semicercul  $a'b'$  vom desena în proiecție laterală a bolții rețeaua deformată de pătrate sau dreptunghiuri, cum se vede în figura 304 III. Pentru desfășurata (fig. 304 IV) vom lua în  $CE$  diviziunile din  $c_1'e_1''$  și în  $AB$  diviziunile de pe semicercul  $a'b'$ .

*Proiectarea conică a rețelei desenate pe boltă pe planul orizontal transparent presupus la nașterea bolții.* În proiecție verticală (fig. 304 II) precizăm pe diametrul  $a'b'$  punctele de intersecție ( $i_1'$ ) cu razele vizuale care unesc punctul de vedere  $O'$  cu diviziunile ( $i'$ ) de pe semicercul  $a'b'$ . Prin linii de ordine desenăm în proiecție orizontală generatoarele bolții, proiectate conic în  $ii_1$ .

În proiecție laterală precizăm pe generatoarea  $c''e''$ , prelungită, punctele de intersecție ( $i_1''$ ) cu razele vizuale care unesc punctul de vedere  $O''$  cu capetele diferitelor generatoare, proiectate conic în  $i_1''$ . Prin linii de ordine (nerepresentate în epură) în proiecția orizontală dăm generatoarelor ( $ii_1$ ) lungimile corespunzătoare, determinate conic în proiecția laterală. Cu o scară divergentă obișnuită împărțim generatoarele ( $ii_1$ ) în același număr de părți egale cu generatoarea  $c_1'e_1''$  și unind printr-o curbă continuă punctele de pe toate generatoarele vom obține în proiecția orizontală rețeaua de pe boltă, proiectată conic.

Fără a ține seama de această rețea deformată, artistul va desena în proiecția orizontală compoziția sa, fără nici o deformare, așa cum dorește să fie văzută din punctul de vedere prestabilit. Evident că în orientarea figurilor compoziției respective artistul va trebui să respecte sensul în care circulă privitorii și să așeze capetele spre intrare, căci axul bolții semicilindrice poate fi în sensul circulației (fig. 302 și 304 L) sau transversal (fig. 303 și fig. 304 T).

Urmează să transpunem, deformînd-o, această compoziție pe rețeaua nedeformată a desfășuratei, operație care se poate face cu mare exactitate reperînd toate punctele de intersecție ale desenului dat cu liniile rețelei. Pentru punctele de pe generatoare se vor folosi scări divergente, cum se arată în fig. 304 I și IV pentru generatoarea  $ii_1$ . Luînd pe o bandă de hîrtie toate punctele desenului de pe această generatoare, le marcăm pe desfășurată, ținînd banda de hîrtie paralelă cu generatoarea corespunzătoare  $II_1$  acolo unde capetele ei coincid cu razele  $II$  și  $II_1$  ale scării anume întocmite în acest scop.

Pentru punctele desenului de pe directoare se va proceda cum se arată pentru punctul  $S$ . Prin punctul  $s_1'$  de pe linia de ordine dusă prin punctul dat se duce în proiecție verticală raza vizuală  $O's_1'$  care, prelungită, precizează punctul corespunzător  $s'$ . În desfășurată vom lua segmentul  $SV$  egal cu segmentul  $S'V'$  pentru a determina punctul căutat  $S$ .

280. — b) *Compoziție numai pe o suprafață limitată a bolii semicilindrice*. Bolta reprezentată în figura 305 este prea joasă pentru a putea fi cuprinsă în cimpul de viziune clără a privitorului. Dacă din mijlocul sălii privește spre zenit, planul orizontal *ab* presu-

Procedind în felul acesta vom obține pe desășurată imaginea deformată a compoziției care, redesenată în marime de execuție se va putea transpune pe intradosul bolii

pus transparent, pe care îl va putea cuprinde nu va putea fi la nașterea bolții ci la o înălțime  $O'P$  care să nu fie inferioară diametrului cercului în care se va înscri compoziția de pe tabloul respectiv iar dacă, situat la o depărtare nu prea mică de pereții laterali ai sălii, privește din  $O'_1$  zona inferioară a bolții, planul înclinat al tabloului descendent spre adâncimea spațiului presupus transparent, pe care îl va putea cuprinde, înclinând în sus, spre adâncul spațiului, raza sa vizuală principală  $O'_1P_1$ , va trebui să se înscrie într-un cerc al cărui diametru să nu depășească lungimea distanței principale  $O'_1P_1$ .

Vom avea deci, în acest caz, trei compoziții și anume una în mijlocul bolții care se va studia în condițiile arătate mai sus (279 fig. 304), și două în zonele superioare laterale ale bolții care, pentru privitor, vor apare ca un registru de compoziție suprapus celui existent, eventual, pe pereții laterali ai sălii, ca o continuare a acesteia.

*Compoziția de pe tabloul orizontal.* Pe intradosul bolții rețeaua de pătrate sau de dreptunghiuri a fost desenată ca mai sus (279): arcu  $a'b'$  a fost împărțit în șase segmente egale iar generatoarele, egale cu coarda  $ab$ , în cîte opt părți egale (fig. 305 I). În desfășurată (fig. 305 III) această rețea ne apare nedeformată.

Pe planul orizontal al tabloului, presupus transparent, proiecția conică a rețelei de pe boltă se obține folosind punctul de vedere  $O'$ .

Pentru generatoare, razele vizuale ( $O'i'$ ) care unesc punctul de vedere  $O'$  cu capetele segmentelor de pe boltă ( $i'$ ) ne dau proiecția lor conică ( $i'_1$ ). Cu linii de ordine, nereprezentate în figură, le desenăm și în proiecția orizontală (fig. 305, II).

Pentru a obține și proiecția conică a directoarelor, cu linii de ordine ( $e'e''$ ) vom desena numai parțial proiecția laterală ( $e''b'$ ) a bolții. Proiectînd conic în  $e''_1$ ,  $i''_1$  etc. punctele  $e''$ ,  $i''$  etc. vom obține pe planul orizontal al tabloului segmentele  $Pe''_1$ ,  $Pi''_1$  etc. În proiecție orizontală vom lua segmentele respective ( $Pe$ ,  $Pi_1$  etc.) egale cu segmentele de mai sus și cu o scară divergentă obișnuită vom împărți diferitele generatoare în același număr (opt) de părți egale. Unind prin curbe continui punctele de pe toate generatoarele vom obține în proiecție orizontală rețeaua de pe boltă, proiectată conic.

Compoziția studiată pe tablou va fi transpusă pe desfășurată, operație ce se poate face cu mare exactitate folosind scări divergente sau prin linii de ordine, cum s-a arătat mai sus și cum se vede în figura 305 I, II și III.

*Compoziție pe tabloul înclinat.* Pe intradosul bolții (fig. 305 I), și pe desfășurată (fig. 305 V) rețeaua are în înălțime cinci și în lățime opt dreptunghiuri nedeformate.

Pe tabloul înclinat  $l'm'n's'$  prin raze vizuale ( $O'_1r'$ ) determinăm poziția generatoarelor ( $r'_1$ ) în proiecția verticală (fig. 305 I) și apoi pe tablou în  $r$  (fig. 305 IV).

Pentru directoare întocmim o proiecție laterală  $l''m''n''s''$  a tabloului pe care prin linii de ordine ( $n'n''r'r''$ ) și prin raze vizuale ( $O'a'$ ,  $O'r''$ ) determinăm lungimea generatoarelor ( $n''s''$ ,  $r''_1t''$ ) pe care le transpunem apoi pe tablou (în  $ns$ ,  $rt$ ,  $lm$  etc.). Cu scara divergentă obișnuită împărțim în părți egale (opt) generatoarele pentru a putea desena liniile curbe ale directoarelor proiectate conic pe tablou.

Cu aceleași procedee cunoscute și arătate în figura 305 I, IV și V vom transpune pe desfășurată, doformînd-o pentru a fi aplicată pe boltă, compoziția nedeformată de pe tablou.

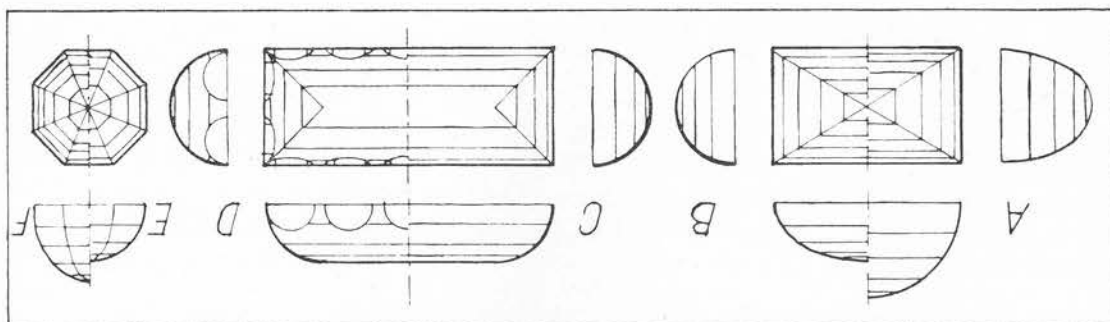


Fig. 306. (275, 281)

282. — În fig. 307 s-a reprezentat o boltă mănăstirească pe plan pătrat. Altfel în proiecția orizontală (fig. 307 I) cît și în proiecția verticală (fig. 307 II) și în desăgurată (fig. 307 III) s-a desenat rețeaua de pătrate. În acest scop s-au luat segmente egale (9)

#### *Proiecțiile orizontale și desăsurata bolții mănăstirești.*

ce vom întâlni mai departe (386) la bolțile de penetrație. lor inferioară — muchiile intrînde ale bolții mănăstirești în muchii ieșînde de felul celor colțurile acesteia, ca în Capela Sixtină (fig. 291 și 292) ele transformă — numai în partea inferioară. Cînd aceste *penetrații* se află pe toate laturile încăperii și pornesc chiar din deschiderile arcate din pereți, înălțîndu-se deasupra nașterii bolții, pătrund în partea ei Pentru ca încăperile acoperite cu bolți mănăstirești să fie mai luminoase, adesea Boltă mănăstirească poate acoperi și o încăpere poligonală (fig. 306 E).

parți de o boltă semicilindrică mai scurtă sau mai lungă (fig. 306 C). Cînd diferența dintre laturi e mare, boltă mănăstirească va fi despărțită în două eliptică, dar cu axul mare vertical (fig. 306 A).

semicilindrică boltă dintre pereții mai depărtați, boltă dintre pereții mai apropiati va fi boltă va avea un profil eliptic cu axul mare orizontal (fig. 306 B). În cazul în care va fi pereții mai apropiați. Între pereții mai depărtați, pentru a avea la cheie aceeași înălțime, Cînd diferența dintre lungimea pereților e mică, va fi semicilindrică numai boltă dintre Boltă mănăstirească poate acoperi și o încăpere dreptunghiulară (fig. 306 A și B).

motivele pictate prezintă numai neglijabile deformări perspective. rioară și se topesc în mijlocul încăperii într-un plan orizontal de dimensiuni reduse pe care Muchiile intrînde ale intersecțiilor celor două bolți se atenuază treptat în partea lor superioară. Generatoarele celor două bolți sînt perpendiculare reciproc iar intersecțiile lor, cuprinse în planele verticale diagonale ale încăperii pătrate, descriu în spațiu două curbe eliptice. a două bolți semicilindrice care se sprijină fiecare pe cîte doi pereți paraleli (fig. 306—307).

#### *Boltă mănăstirească*

pe linia orizontală trasată pe pereți la nașterea bolții și s-a împărțit semicercul  $a'c'b'$  într-un număr de segmente egale (14). Prin primele diviziuni s-au desenat în proiecție orizontală și în proiecție verticală segmente de arce verticale care s-au întâlnit două câte două pe muchiile diagonale ale bolții. Prin celelalte diviziuni s-au desenat linii orizontale care au alcătuit pe intradosul bolții pătratele rețelei.

Desfășurata bolții (fig. 307 III) s-a obținut luând pe axul  $AB$  segmente egale cu cele luate pe semicercul  $a'c'b'$  iar pe perpendicularele duse pe acest ax prin capetele acestor segmente s-au luat segmente egale cu cele măsurate fie în proiecție orizontală fie în proiecție verticală ( $EI=ei=e'i'$ ).

După cum s-a explicat mai sus (276) figura 308 ne arată cât de restrînsă este porțiunea de boltă mănăstirească pe plan pătrat pe care o poate cuprinde pe un tablou vertical cîmpul nostru de viziune clară, chiar atunci cînd nașterea bolții nu e mai sus de nivelul punctului de vedere  $O$  și cînd acesta e așezat în afara încăperii privită printr-o largă deschidere.

### *Deformările perspective de pe boltă mănăstirească*

**283.** — Se vor studia în aceleași condiții ca acelea de pe boltă semicilindrică.

Pe suprafața cilindrică a bolților mănăstirești, imaginile muchiilor verticale ale elementelor arhitectonice ne vor apare curbe și anume, pentru privitorul situat în mijlocul încăperii, cu atît mai eliptice cu cît sînt mai spre margine (fig. 309). Cînd nu se pot evita se va putea proceda cum se arată mai jos. Vom considera că:

a) boltă, fiind așezată la o mare înălțime, poate fi cuprinsă în întregime dintr-o singură privire (fig. 310) din mijlocul încăperii;

b) boltă fiind mai joasă, privitorul va privi succesiv cele patru părți componente ale bolții așezîndu-se în punctul de vedere respectiv cel mai potrivit (fig. 311). Deformările perspective vor fi mai atenuate decît în cazul precedent.

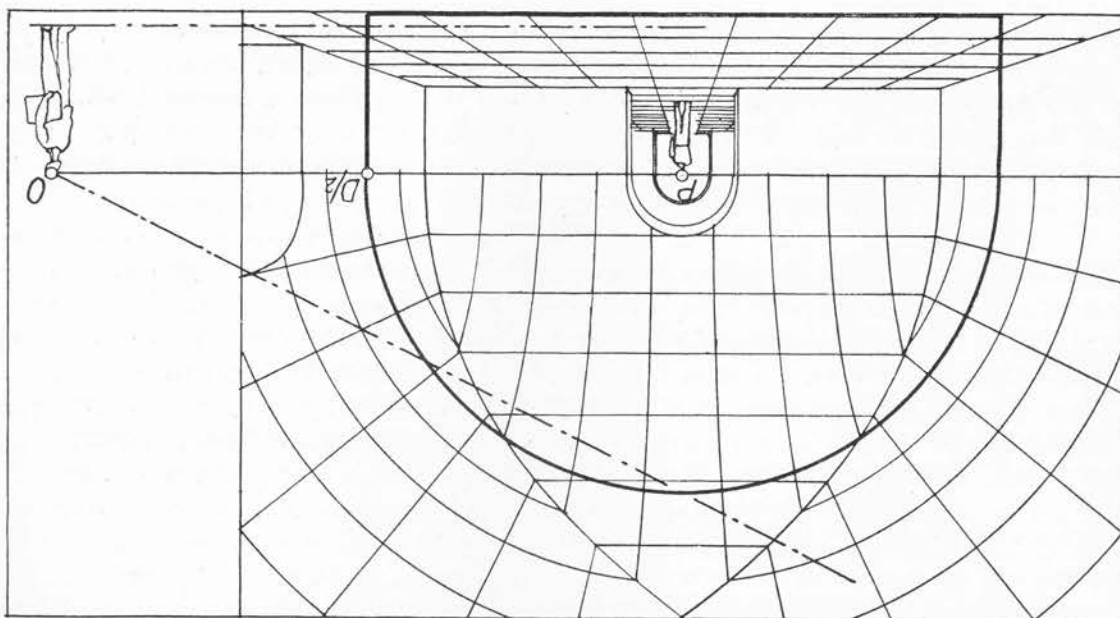
**284.** — a) Pe intradosul bolții în proiecție verticală (fig. 310 II) și în desfășurată (fig. 310 III) rețeaua de pătrate sau de dreptunghiuri a fost obținută ca în figura 304, cu deosebirea că pe linia orizontală de la nașterea bolții s-au luat numai 8 segmente egale.

Proiectarea conică a acestei rețele de pe intradosul bolții pe planul orizontal al tabloului orizontal, presupus transparent, de la nașterea bolții se va face cum se arată în figura 310 I.

Segmentele de pe semicercul  $a'c'b'$  se proiectează conic cu raze care unesc capetele ( $i'$ ) ale acestor segmente cu punctul de vedere  $O'$  pentru a obține punctele lor de intersecție ( $i'_1$ ) cu diametrul  $a'b'$ , puncte ce, prin linii de ordine, ne permit să desenăm în proiecție orizontală liniile orizontale ale rețelei care proiectate conic trec prin punctele corespunzătoare ( $i$ ) (jumătatea stîngă a figurii 310 I și II).

Proiectarea conică a arcurilor de cerc ale rețelei desenate pe boltă se arată în jumătatea dreaptă a figurii 310 I și II. Punctele  $d'd$ ,  $e'e$ ,  $f'f$ ,  $g'g$  se află pe planul orizontal al tabloului. Punctele  $h'$ ,  $j'$ ,  $k'$ ,  $l'$ ,  $m'$  se proiectează conic cu razele  $h'O'$ ,  $j'O'$  etc. în





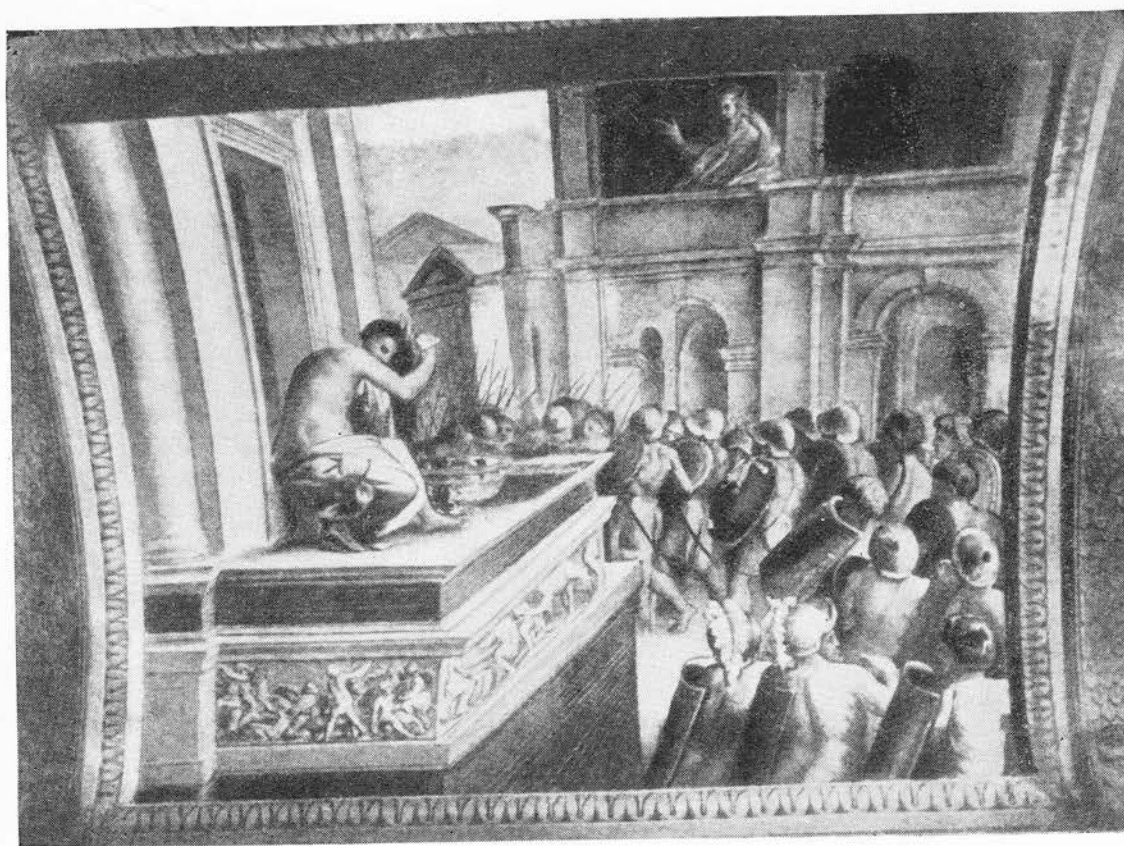


Fig. 309. (275, 279, 283) R a f a e l: David și Batșeba

punctele  $h'_1, j_1$  etc. în proiecție verticală, și prin linii de ordine, în punctele  $h, j$  etc. în proiecție orizontală.

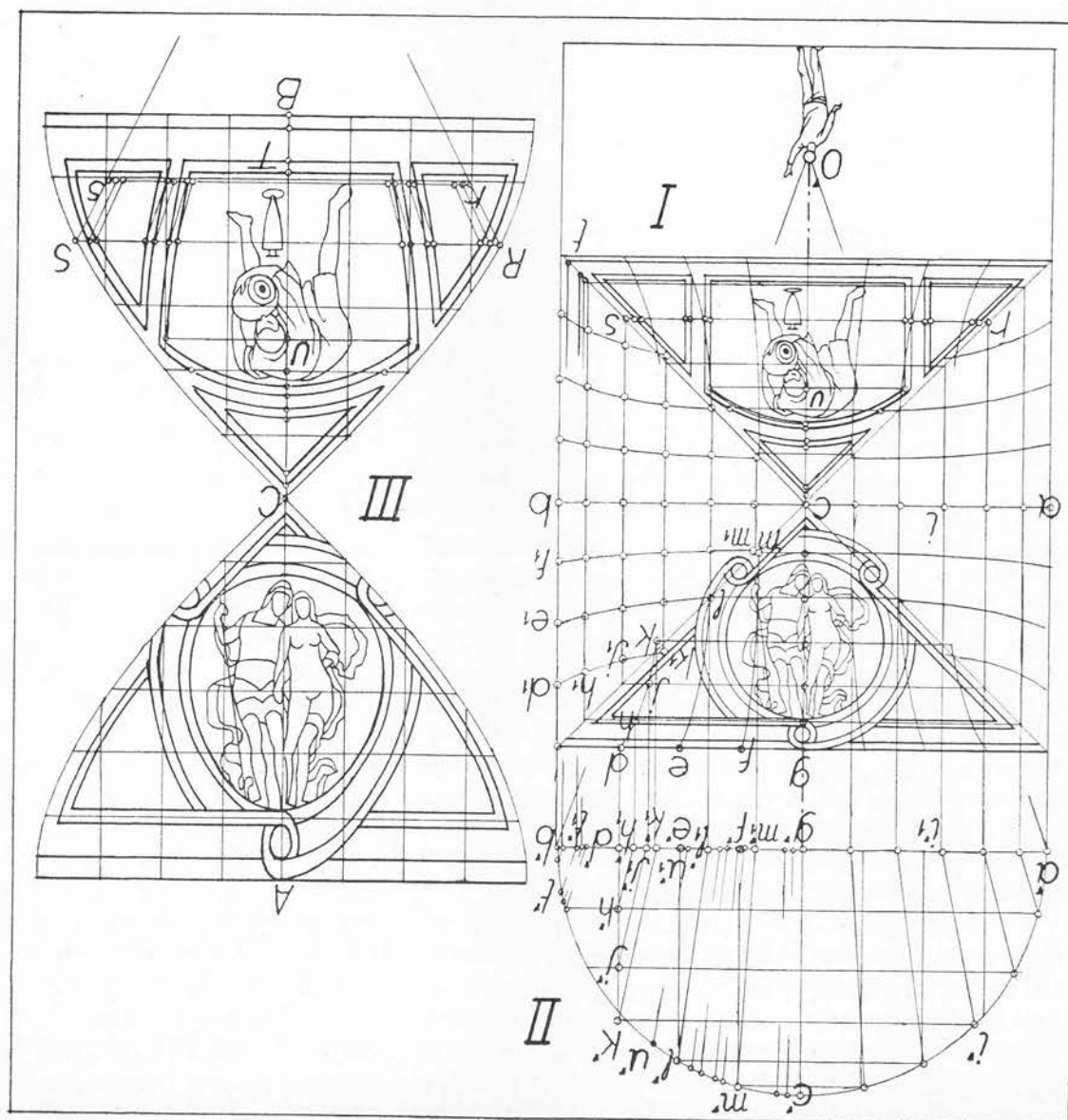
Pentru a arăta în continuare mersul lucrării, poziția punctelor  $d, h, j, k$  și  $m$  (punctul  $l$  se află chiar pe muchia diagonală a bolții) față de axul  $gc$  a fost repetată față de axul  $cb$ , precizându-se punctele  $d_1, h_1, j_1, k_1$  și  $m_1$  pentru a arăta cum împărțind cu o scară divergentă obișnuită în trei părți egale adâncimea punctelor  $d_1, h_1, j_1$ , și  $k_1$  față de axul  $cb$  și în două părți egale adâncimea punctului  $l$  s-au găsit punctele care unite prin linii continui să întrească pe planul orizontal al tabloului proiecția conică a rețelei desenate pe intradosul bolții.

Compoziția nedeformată ce se va studia pe tabloul orizontal (fig. 310 I) va putea fi transpusă cu aproximație sau cu cea mai mare exactitate pe desfășurata respectivă (fig. 310 III). Se dau două exemple: încadramentul  $t$  de pe tablou, proiectat prin linii de ordine în proiecția verticală în  $t'_1$  este proiectat conic cu raze pornind din punctul de vedere, pe intradosul bolții în  $t'$ , de unde, cu banda de hîrtie este transpus pe desfășurată în  $T$ . Punctele compoziției de pe axul  $uc$ , luate cu banda de hîrtie au fost desenate pe

pe calea arătată aici.

S-a arătat mai sus (269) cum pot fi interpretate plastic deformările teoretice obținute punctele  $c'$  și  $u'$  de unde au fost transpuse din aproape în aproape pe desășurată în  $UC$ . diametrul  $a'b'$  între punctele  $g'$  și  $u'_1$  pentru a fi proiectate conic pe intradosul bolii între

Fig. 310. (275, 283, 284)



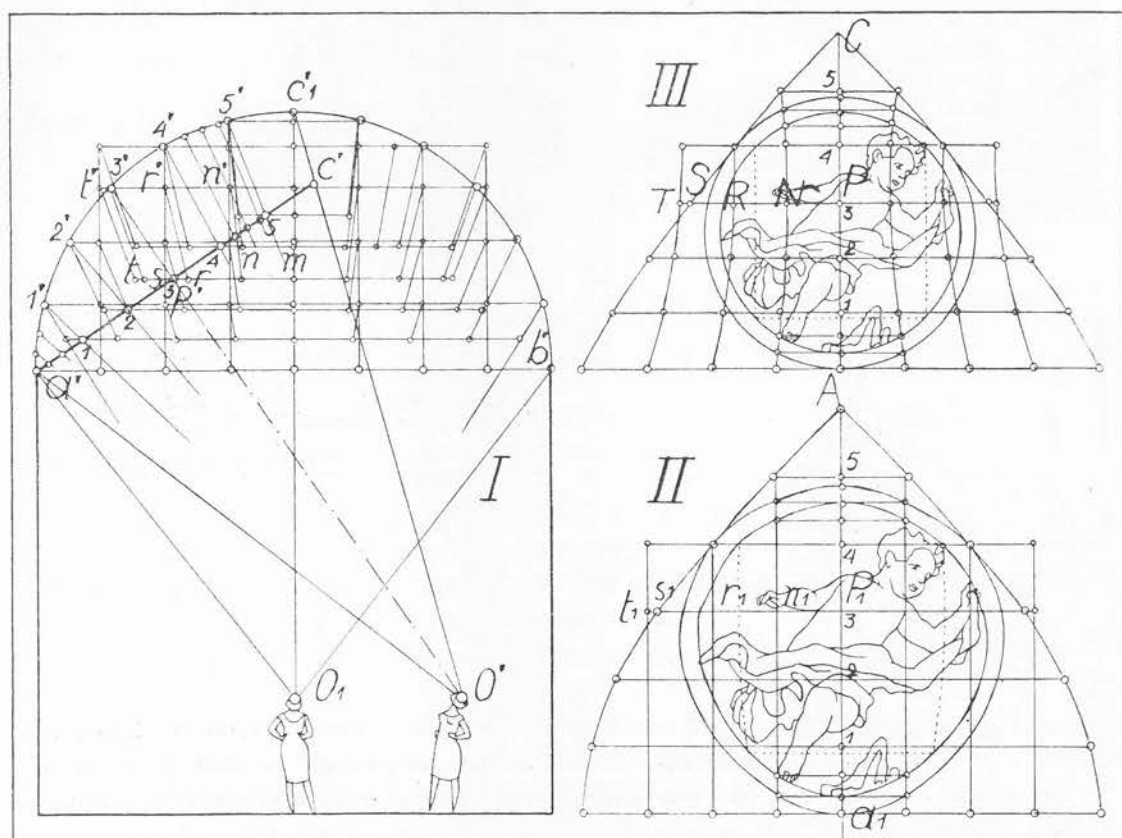
**285.** — b) Când fiecare din cele patru părți componente ale bolții mănăstirești va fi privită aparte, tabloul presupus transparent pe care se va studia compoziția va fi înclinat și perpendicular pe raza vizuală principală a desenatorului  $O'P'$ .

Rețeaua pe intradosul bolții și desfășurata se vor desena ca în cazul precedent.

Proiecția conică a acestei rețele pe planul înclinat  $a'c'$  al tabloului se face, pentru liniile orizontale ale rețelei luând punctele de intersecție cu planul tabloului  $a', 1, 2, P, 4, 5, c'$  ale razelor vizuale care unesc punctul de vedere  $O'$  cu capetele  $1', 2', 3', 4', 5'$  ale segmentelor de pe semicercul  $a'c'_1$ . Pentru a obține traseul deformat al rețelei pe planul tabloului (fig. 311 III) vom reproduce cu banda de hirtie aceste segmente pe axul  $AC$ .

Dacă prin toate aceste puncte ducem orizontale, lungimea lor precum și punctele lor de intersecție cu arcele de cerc ale rețelei se pot obține, proiectându-le conic pe aceste orizontale, la intersecțiile lor cu razele vizuale care unesc punctul de vedere  $O_1$  cu punctele corespunzătoare de pe intradosul bolții, așa cum se arată pentru orizontala dusă prin punctul 3 și pe care, cu razele  $t'O_1, 3'O_1, r'O_1$  și  $n'O_1$  s-au determinat punctele  $t, s$  (pe unde va trece muchia bolții),  $r$  și  $n$ , puncte transportate în  $T, S, R$  și  $N$  pe tablou

Fig. 311. (275, 283, 285)



Pe un tablou vertical, după cum s-a explicat mai sus (276) vom vedea într-o imagine perspectivă o foarte mică porțiune din această boltă, chiar când punctul de vedere  $O$  este în afara încăperii pătrate, privită printr-o largă deschidere (fig. 313). Când separate de arcuiri dublouri, esalonate în adâncime, aceste bolti acoperă o lungă galerie, imaginea perspectivă le reprezintă în condiții mai bune și se poate vedea o bună parte din muchiile lor ieșinde, ascunse numai parțial de arcuile dublouri. În fig. 314 galerie, al cărei capăt

continuă capetele acestor orizontale se va obține în desfășurată muchia căutată.  $II_1$  ale liniilor orizontale ale rețelei măsurate în proiecție orizontală  $II_1$ . Unind cu o linie Pentru a desena în desfășurată muchia ieșindă  $AE$  a boltii se vor lua succesiv lungimile s-au desenat și în desfășurată pe dreapta  $CE$  pentru a desena arcuile de cerc ale rețelei. s-a împărțit orizontala superioară a boltii  $ce$  în patru părți și jumătate, segmente care pentru liniile orizontale de pe boltă, iar pentru arcuile de cerc, în proiecția orizontală luat segmente egale (14) pe semicercul  $a'c'b'$  (fig. 312 II) desfășurate în  $ACB$  (fig. 312 III) și în desfășurată (fig. 312 III) s-a desenat pe boltă o rețea de pătrate. În acest scop s-au plan pătrat. Atît în proiecție orizontală (fig. 312 I) cît și în proiecție verticală (fig. 312 II) 287. — În figura 312 s-a reprezentat în proiecții ortogonale o boltă de penetrație pe

#### *Proiecțiile ortogonale și desfășurata boltii de penetrație*

Spre deosebire de boltă mănăstirească boltă de penetrație permițind mari deschideri arce în pereții pe care îi acoperă în semicerc, este o boltă luminoasă.

Într-un plan orizontal de dimensiuni reduse pe care motivele pictate prezintă mici și neglijabile deformări perspective. Și boltă de penetrație, poate acoperi încăperi dreptunghi-

Ca și la boltă mănăstirească aceste muchii ieșinde iar nu intrînde (fig. 312—315). în spațiu două curbe eliptice, constituiesc muchii ieșinde iar nu intrînde (fig. 312—315). reciproc, înțeleg intersecțiile lor, cuprinse în planele verticale diagonale ale încăperii care descriu rezultă tot din întretăierea a două bolti semicilindrice dar astfel dispuse, perpendiculare

286. — Ca și boltă mănăstirească, boltă de penetrație deasupra unei încăperi pătrate

#### **Bolta de penetrație**

(fig. 311 III). Unind prin curbe punctele astfel precizate pe toate orizontalele, obținem pe tablou, deformată, imaginea completă a rețelei de pe boltă. Compoziția nedeforată desenată pe această rețea deformată (fig. 311 III) va fi transpusă, pentru ca, mărîtă, să poată fi reprodusă pe boltă, pe desfășurată (fig. 311 II) fie cu aproximativ, fie cu cea mai mare exactitate cum se arată pentru punctele de segmentul  $A-1$  și  $4-5$  din compoziție (II) transpuse în  $a'-1$  și  $4-5$  pe tablou (I) proiectate conic pe boltă în  $a'-1$  și  $4'-5'$  (I) și transpuse de aci pe desfășurată în  $a_1-1$  și  $4-5$  (II). Interpretarea plastică a acestor deformări perspective teoretice mai atenuate decît în cazul precedent vor putea fi folosite cu mai mare ușurință (269).



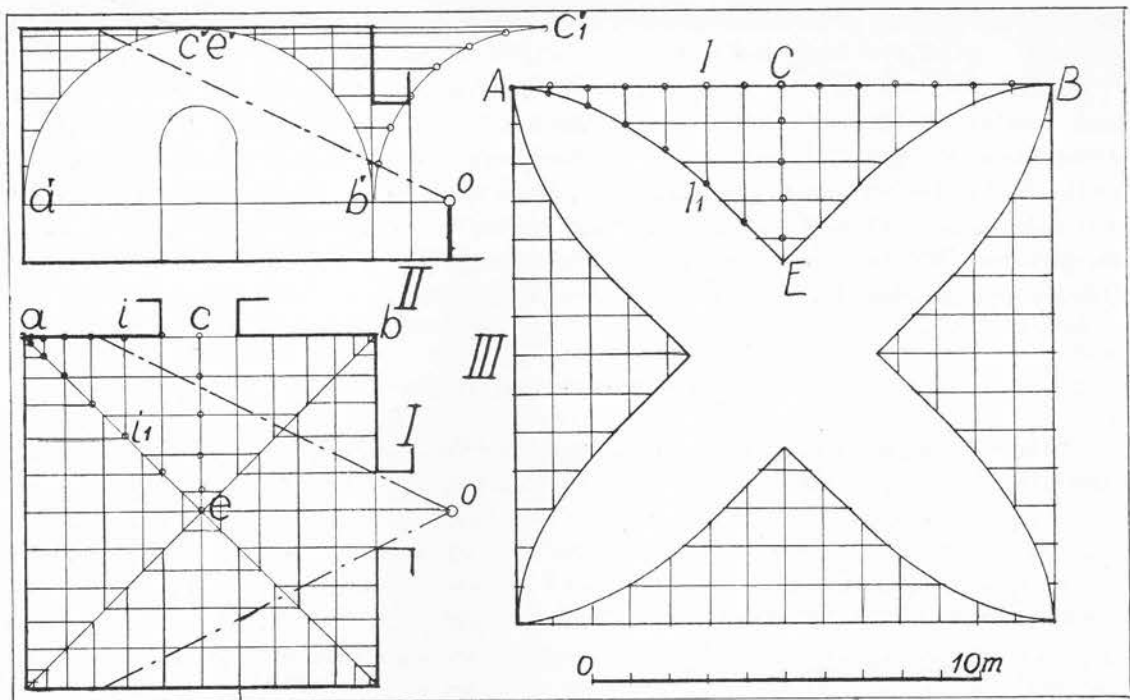
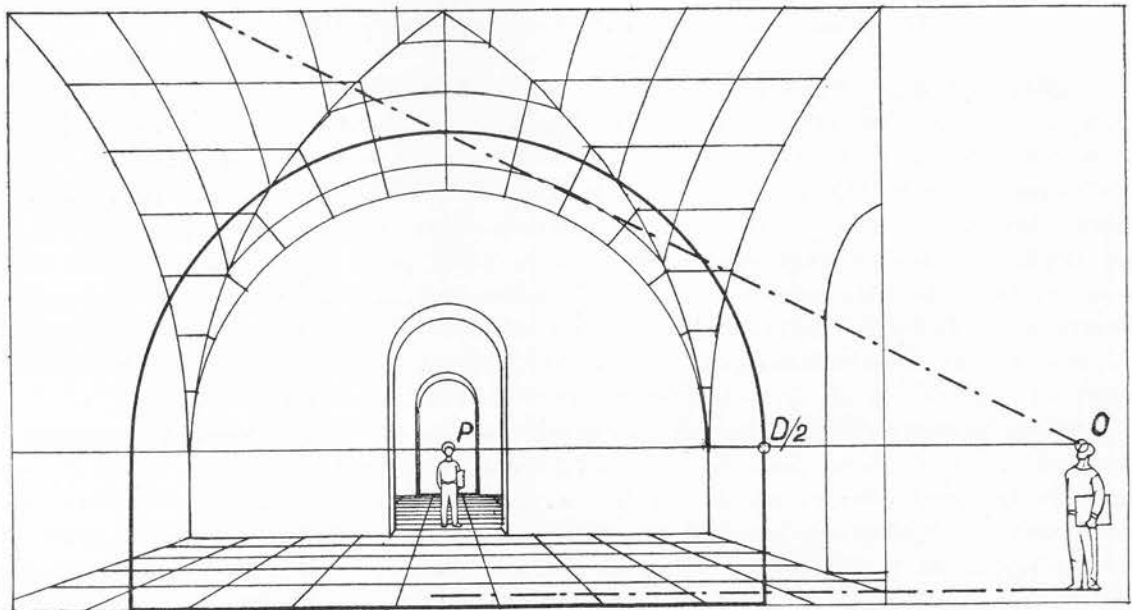


Fig. 312. (275, 286, 287)

Fig. 313. (275, 276, 286, 287, 397)

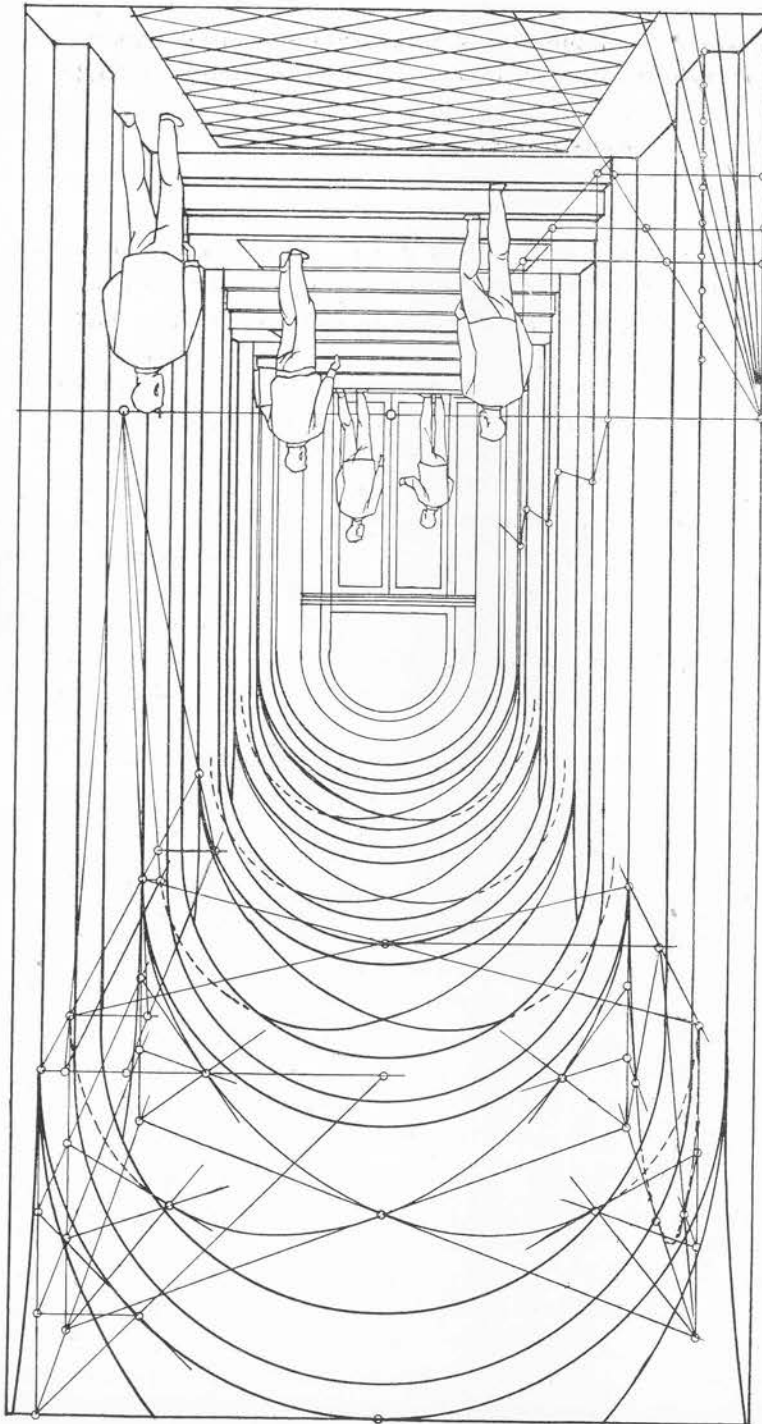


mai depărtat este la 25 m de desenator, are o lățime de 3 m iar bolțile de penetrație au la cheie o înălțime de 6 m. Curbele eliptice ale muchiilor lor ieșind se înscriu în dreptunghiuri ale căror laturi verticale au o înălțime de  $3:2=1,50$  m și ale căror laturi orizontale au orientarea diagonală a pătratelor în care se înscriu bolțile respective.

### *Deformările perspective de pe bolta de penetrație*

#### **288.** — Ele sînt mult

mai atenuate, fie că bolta, situată la o mare înălțime, poate fi cuprinsă în întregime în câmpul de vizuine clară al privitorului O' (fig. 315 în proiecție verticală I, în desășurată II și pe tablou orizontal III), fie că, la o înălțime mai mică se va privi succesiv fiecare din cele patru părți componente (fig. 315 în proiecție verticală IV, în desășurată V și pe tablou orizontal VI). În ambele cazuri rețelele desenate pe intradosul bolții precum și desășurata vor fi aceleași. Dar pe tabloul



orizontal, presupus transparent, situat la nivelul nașterii bolții, rețeaua, proiectată conic, va fi mai deformată în cazul al doilea, dacă punctul de vedere rămîne în mijlocul încăperii.

**289.** — a) Cînd bolta, așezată la o mare înălțime, intră în întregime în cîmpul viziunii clare a desenatorului, proiecția conică a rețelei desenate pe intradosul bolții se determină pe planul orizontal, presupus transparent, al tabloului, situat la nivelul nașterii bolții, cum știm, precizînd punctele de intersecție cu acest plan ale razelor vizuale care unesc punctul de vedere cu diferitele puncte ale rețelei.

Pentru liniile orizontale ale rețelei, în proiecție verticală (fig. 315 I), vom proiecta conic cu raze vizuale care pleacă din punctul de vedere  $O'$  ( $O'i'$ ) capetele segmentelor de pe arcu de cerc  $a'c'$  ( $i'_1$ ) și prin linii de ordine  $i'_1i$  le vom preciza în proiecția orizontală (fig. 315 III), pe muchiile diagonale ale bolții. Lungimea lor se va determina pe aceeași cale (raza  $l'O'$ ) întretaie planul tabloului în  $l'_1$ ; iar linia de ordine  $l'_1l$  limitează, pe orizontala dusă prin  $i$ , lungimea  $il$  a orizontalei respective proiectată conic pe planul tabloului. Unind printr-o linie continuă capetele acestor orizontale obținem, proiectată conic pe planul tabloului, intersecția bolții cu planul vertical al peretelui.

Pentru arcele de cerc ale rețelei de pe boltă se va proceda în același fel pentru a obține proiecția lor conică pe planul orizontal al tabloului (razele vizuale  $O'e'$  și  $O'n'$  proiectează conic punctele  $e'$  și  $n'$  în  $e_1$  și  $n'_1$ ; iar liniile de ordine  $n'_1n$  și  $e'_1e$  ne dau punctele  $n$  și  $e$  care unite printr-o linie continuă ne vor da proiecția conică a arcurilor de cerc de pe boltă; s-ar putea determina și puncte intermediare, spre exemplu proiecția punctului  $j'$ .

Cum s-a mai arătat, compoziția nedeformată de pe rețeaua deformată a tabloului orizontal se poate transpune cu aproximație sau cu cea mai mare exactitate în desfășurată, cum se arată în figura 315 pentru raza  $r$  și  $s$  a cercului și a grosimii lui  $v$  și  $t$  desenată în compoziția din tablou.

În proiecție verticală, la nivelul tabloului  $a'b'$  s-a luat raza  $r'_1$  și grosimea  $v'_1$  egale cu cele din tablou și s-au proiectat conic pe boltă în  $r'$  și  $v'$  (pe orizontala rețelei) și în  $s'$  și  $t'$  pe semicercul  $a'c'$ . În desfășurată raza  $R$  și grosimea  $V$  (pe orizontala rețelei) s-au luat egale cu  $r$  și  $v$  în timp ce în celălalt sens raza  $S$  și grosimea  $T$  au fost luate, prin desfășurare din  $s'$  și  $t'$  de pe semicercul  $a'c'$ .

În figura 315 s-a reprezentat printr-o linie întreruptă  $GH$  cum s-ar prezenta în desfășurată linia a treia a cadrului unei compoziții care ar fi înscrisă într-un triunghi  $cgh$  (fig. 315 III).

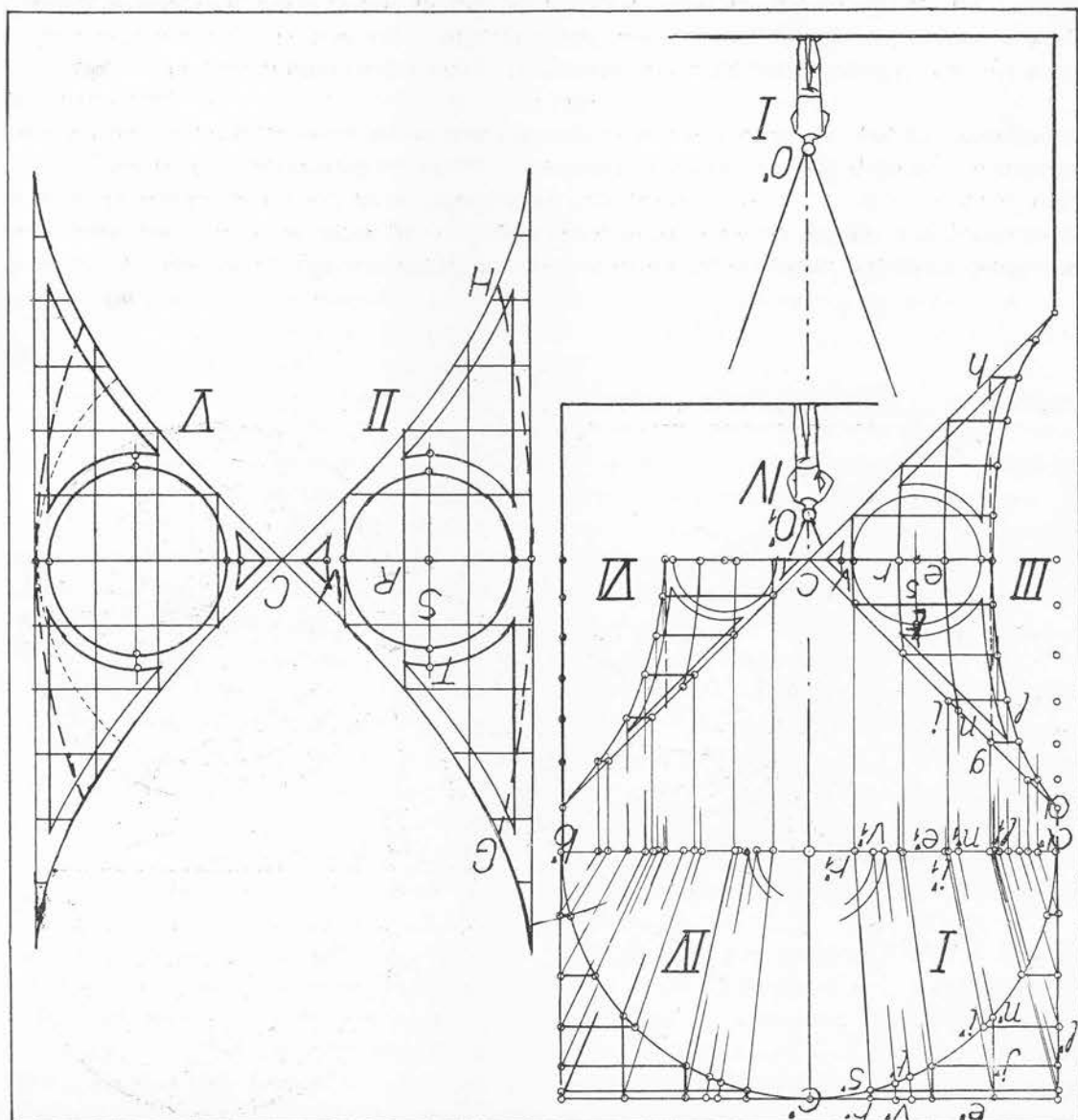
**290.** — b) Cînd bolta este așezată la o mai mică înălțime (fig. 315 IV, V și VI) și punctul de vedere  $O'_1$  rămîne în mijlocul încăperii, construcțiile pentru studierea deformațiilor perspective de pe boltă se fac la fel ca în cazul precedent.

### Calota sferică

**291.** — Numim calotă sferică emisfera care acoperă o încăpăre cilindrică. Bolta pe plan circular poate fi supraînălțată sau subînălțată, profilul ei fiind eliptic cu axul mare vertical sau orizontal.

Cunoaştem din desenul proiectiv cum această suprafaţă, care ia naştere din rotirea unui sferă de cerc în jurul razei sale, nu se poate deslăşura sau aşterne pe o suprafaţă plană şi cum deslăşurarea ei aproximativă se face prin jumătăţi de fuză sferice. În figura 316 calota reprezentată în proiecţie orizontală (I) şi în proiecţie verticală (II) a fost împărţită în 16 jumătăţi de fuză sferice după reţeaua de paralele şi de meridiene

Fig. 315. (275, 286, 288, 289, 290)



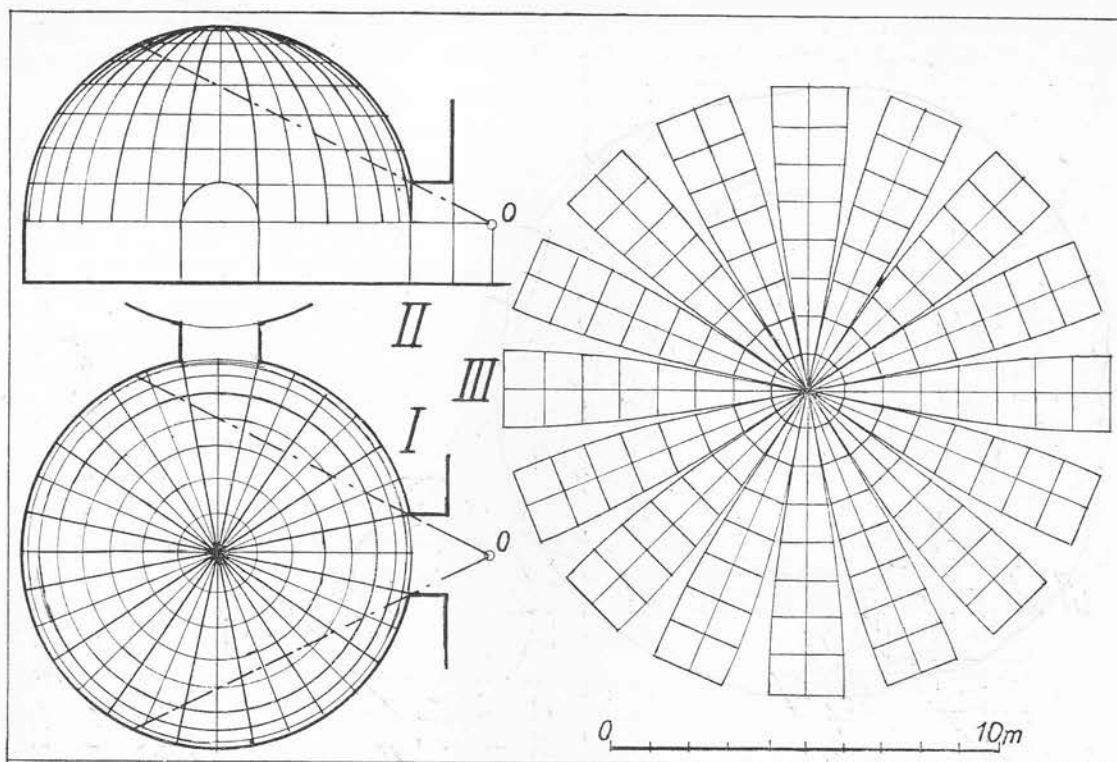


Fig. 316. (291, 293)

desenate pe intradosul acestei bolți. Pentru obținerea desfășuratei lungimea fuselor se determină luind pe axul lor segmente egale și în același număr (8) cu cele precizate în semicercul din proiecția verticală (fig. 316 II), iar pentru lățimea lor descrescândă, luind cu înțepătorul la dreapta și la stânga axului, lățimile respective din proiecția orizontală (fig. 316 I). Unind printr-o linie continuă capetele acestor segmente de paralele vom obține desfășurata aproximativă a fuselor (fig. 316 III).

**292.** — Pe un tablou vertical imaginea perspectivă cuprinsă în câmpul viziunii clare va fi foarte limitată, cum se arată în figura 317 deși e privită din afară, printr-o largă deschidere și deși nașterea ei e la nivelul punctului de vedere. Reprezentările din atlasele istorice care arată vederea interioară a cupolei Panteonului din Roma (fig. 404) nu iau în considerare posibilitățile de cuprindere a privirii umane, care deasupra corpului cilindric nu ar putea prinde decât, parțial, câteva din chesoanele primului rând. Știm cum se pot privi cu un ecran aceste vederi perspective care cuprind mai mult decât câmpul de viziune clară, pentru a avea o imagine cât mai vie (I, 73). Ocularul ecranului în figura 404, la înălțimea liniei orizontului va fi luat la o adâncime de circa 9 cm.

Ca și pentru bolțile precedente, vom considera două cazuri:

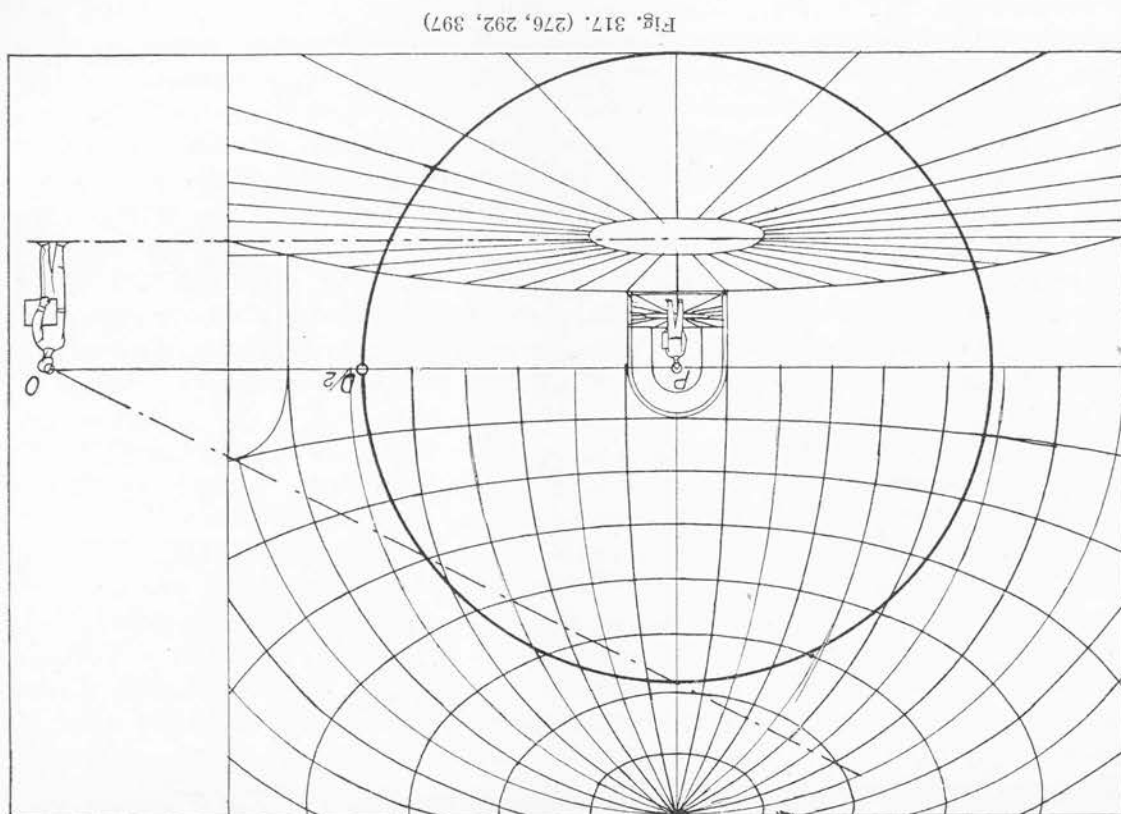


*Proiecția conică* a rețelei de pe intradosul bolții se obține pe planul orizontal, presupus transparent, al tabloului, determinând în proiecție verticală (fig. 318 II) punctele de inter-

la care se află. Fără această verificare a traseului nu putem fi siguri că elementul central se va bucura de importanța dorită (I, fig. 75) în ansamblul compoziției, măsurat de marea înălțime

planului orizontal al tabloului (fig. 318 IV). Măsoară răcurșul, deformări care nu se pot aprecia decât în proiecția conică de pe zăia centrală, pe care o măsoară depărtarea și compozițiile înconjurătoare pe care le dă după ce artistul va fi definitivat în tablou (fig. 318 IV) raportul exact dintre compo- ca în figura 75 din prima parte a acestei lucrări. În acest caz desășurată nu se va desena (III) presupune o compoziție centrală înconjurată de o coroană de compoziții în înălțime în cazul unei compoziții unitare care ar cuprinde întreaga calotă. În figura 318 desășurată figura 318 această rețea s-a desenat numai parțial. Desășurată se face ca în figura 316 III meridiane, împărțind în proiecție orizontală (fig. 318 I) cercul în părți egale (12). În tind în proiecție verticală (fig. 318 II) semicercul într-un număr de părți egale (16) și de dintr-o privire întreaga calotă pe care s-a desenat rețeaua determinată de paralele, împăr-

293. — a)



secție 1", 2", 3", cu diametrul orizontal  $a'P'$  al razelor vizuale care unesc punctul de vedere  $O'$  cu capetele 1', 2', 3' etc. ale segmentelor de pe semicercul  $a'c'b'$ . În tablou vom lua aceste puncte de intersecție cu banda de hîrtie și prin ele vor trece, proiectate conic, paralele rețelei (fig. 318 IV). Meridianele proiectate conic se suprapun pe proiecțiile lor orizontale și în tablou (fig. 318 IV) se vor desena ca în proiecția orizontală (fig. 318 I).

Compoziția definitivată pe tablou va putea fi transpusă în desfășurată cu aproximație sau cu cea mai mare exactitate cum se arată în figura 318 pentru deformarea unei figuri: punctele de reper din tablou (fig. 318 IV) reportate pe diametrul  $a'b'$  din proiecția verticală au fost proiectate conic pe arcul de cerc  $a'c'$  pentru a fi folosite în desfășurată, atât pentru înălțimi cît și pentru lățimi ( $L$  în tablou,  $l'$  pe planul orizontal din proiecția verticală,  $l'_1, l'_2, l'_3$  proiectate conic pe intradosul bolții și luate cu banda de hîrtie în  $l_1l_2l_3$  pe desfășurată).

Vedem că deformarea teoretică a figurii în partea inferioară a calotei nu este la fel ca pe un plan vertical (fig. 292 II). Din cauza rotunjirii calotei partea superioară a figurii nu prezintă aceeași deformare crescîndă și rămîne aproape egală cu partea ei inferioară.

Se știe cum poate fi folosită cunoașterea acestor deformări teoretice (269).

**294.** — *b)* Încăperea nu este destul de înaltă pentru ca desenatorul, din punctul de vedere  $O'$  (fig. 319 II) să poată cuprinde dintr-o singură privire întreaga boltă. Ca și pe bolta semicilindrică, în acest caz vom putea face în partea superioară a bolții o compoziție pe un tablou presupus orizontal, și în partea ei inferioară o compoziție unitară ce s-ar desfășura pe intradosul unui trunchi de con sau o succesiune de compoziții pe tablouri presupuse înclinate, cu figuri în înălțime (fig. 75 din prima parte a acestei lucrări). Compoziția orizontală va trebui să se poată înscrie într-un cerc al cărui diametru  $AB$  ( $a'b'$ ) să nu depășească respectiva distanță principală  $O'P'$  (fig. 319 II și IV). De asemenea și compozițiile din partea inferioară a bolții vor trebui să se înscrie în cercuri ale căror diametre să nu depășească respectiva distanță principală  $O''P''$  a unui privitor care, pentru a le cuprinde se depărtează de ele cum se arată în figura 319 II.

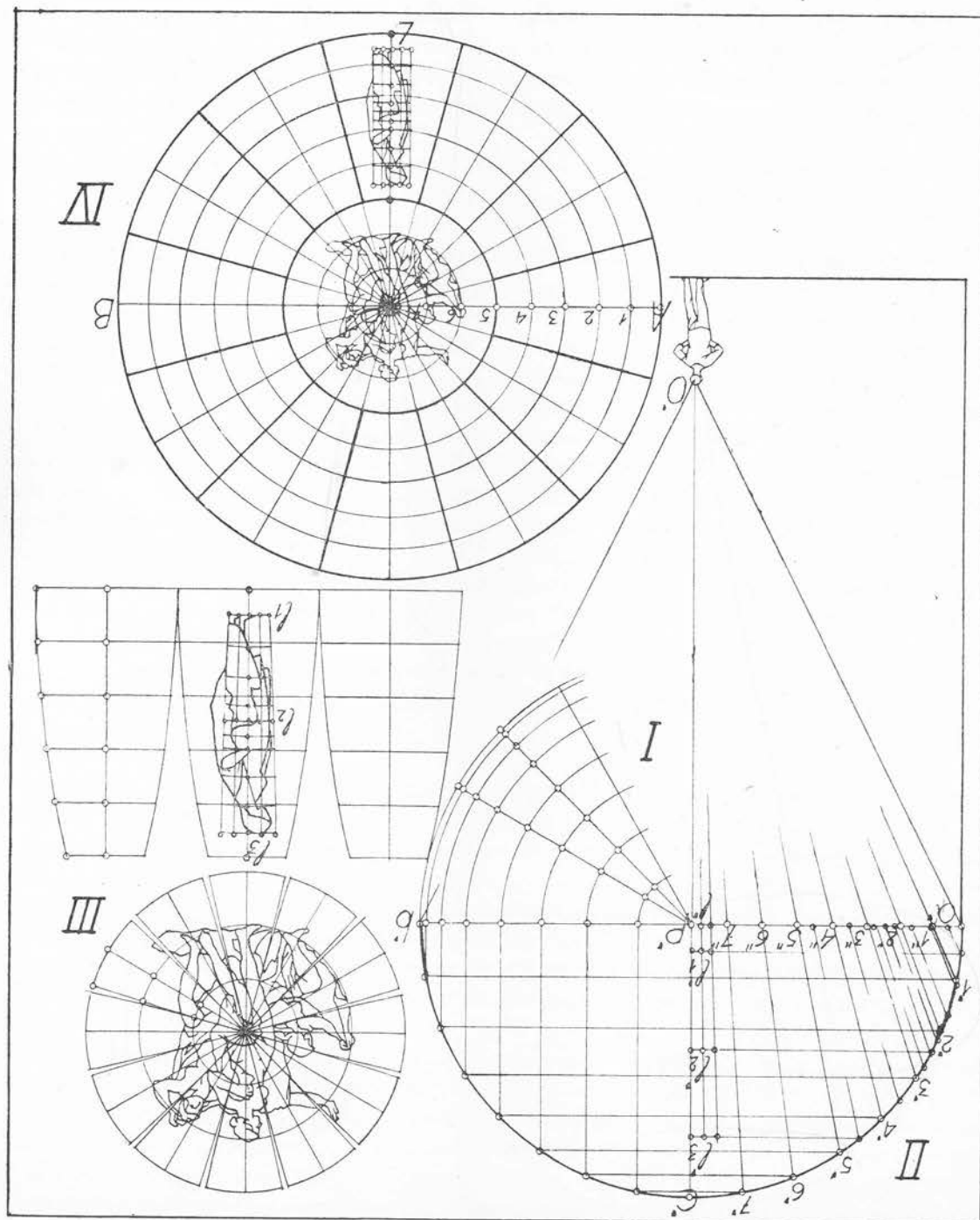
Deformările perspective ale tabloului orizontal vor fi aceleași ca în figura 318 iar cele de pe tablourile presupuse înclinate vor fi mai mici și aproape neglijabile, cum se arată în figura 319 II, V și VI.

În această figură, proiecția orizontală (I), proiecția verticală (II), desfășurata părții superioare (III) și inferioare (V) a bolții s-au făcut ca în figura 318. Proiectarea conică a părții superioare s-a făcut în condiții cunoscute, însă planul orizontal al tabloului nu s-a luat la nașterea bolții ci la nivelul paralelei  $a'b'$ , iar pentru proiectarea conică pe tablourile înclinate din partea inferioară a bolții s-a făcut o construcție specială.

Fie  $deij$  și  $d_1e_1i_1j_1$  proiecția orizontală a tabloului înclinat,  $d'e'i'j'$  proiecția lui verticală și  $d''e''i''j''$  proiecția lui laterală (fig. 319 I și II).

Pentru a obține pe acest tablou înclinat proiecția conică a rețelei de paralele și meridiane de pe intradosul bolții vom proceda pentru toate punctele lor de intersecție așa cum se arată pentru punctele  $n(n_1)$  și  $s(s_1)$  din proiecția orizontală, proiectate prin linii de ordine — nearătate în figură — în  $n'$  și  $s'$  în proiecție verticală și în  $n''$  și  $s''$  în proiecție laterală. În această proiecție laterală razele vizuale care unesc punctul de vedere  $O''$  cu punctele

Fig. 318. (293, 294)



$n''$  și  $s''$  vor proiecta conic în  $n_1''$  și  $s_1''$  aceste puncte pe planul înclinat al tabloului iar la intersecția orizontalelor duse prin aceste puncte  $n_1''$  și  $s_1''$  cu razele vizuale care unesc punctul de vedere  $O'$  cu punctele  $n'$  și  $s'$  vom obține în proiecție verticală proiecția conică a acestor puncte în  $n_1'$  și  $s_1'$ . După ce vom fi procedat la fel pentru celelalte puncte, vom avea în proiecție laterală înălțimea lor iar în proiecție verticală abscisele lor, cu ajutorul cărora vom desena în *DEIJ* forma exactă a tabloului și rețeaua de paralele și meridiane proiectate conic ( $NS=n_1's_1'$ ).

Compoziția desenată pe tablou va fi apoi transpusă pe desfășurată cu aproximație sau cu cea mai mare exactitate cum se arată în figura 319 pentru deformarea perspectivă a unei figuri: înălțimile din tablou ( $V$ ) au fost proiectate conic în proiecția laterală pe intradosul bolții ( $O''V_1''V''$ ) pentru a fi reportate pe desfășurată ( $V$ ) iar lățimile, care nu se deformează pe paralela inferioară ( $d'e'$  și  $DE$ ) și pe paralela superioară ( $i'j'$  și  $IJ$ ) luate în mijlocul tabloului (în  $L$ ) au fost proiectate conic — folosind proiecția laterală ( $l_1''l''$ ) — în proiecția verticală ( $l_1'l'$ ) pentru a fi transpuse în desfășurată ( $l$ ). După cum se vede în figură, cîtă vreme compoziția nu se întinde în lățime, deformările perspective fiind mici, pot fi considerate ca neglijabile.

### Cupola pe pendentivi

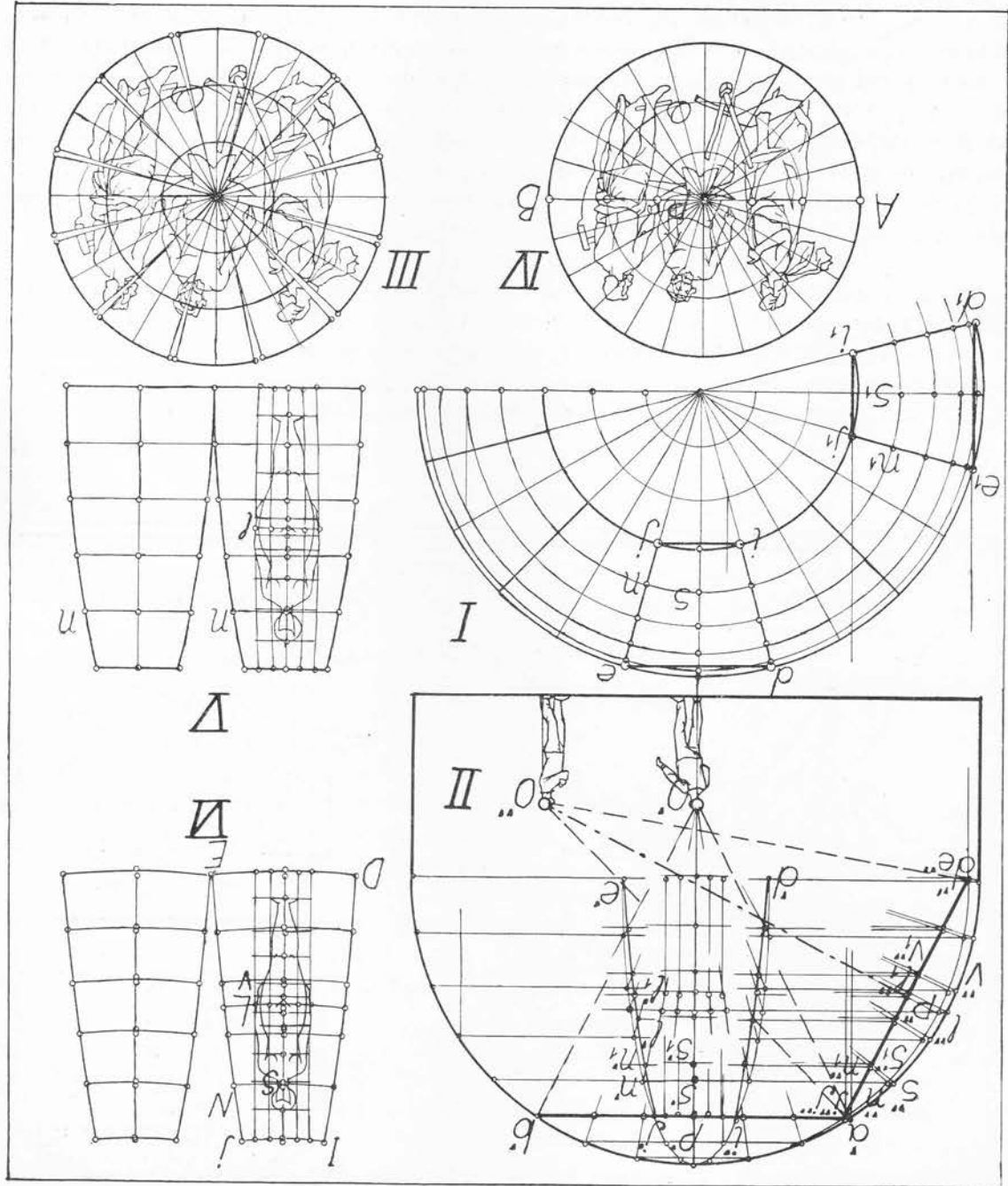
**295.** — Calota sferică studiată în capitolul precedent acoperă o încăpere cilindrică. Ea poate să acopere și o încăpere pătrată ai cărei pereți laterali înscriși în cilindrul pe care se reazemă calota s-ar înălța deasupra nașterii ei pentru a se rotunji în semicerc la intersecția lor cu calota (fig. 320 I și II). Calota rămîne neștirbită în partea ei superioară, iar din partea ei inferioară rămîn numai patru triunghiuri sferice denumite *pendentivi*. Foarte adesea din calota sferică inițială nu se păstrează decît pendentivii iar pe cercul lor superior se poate așeza fie o altă calotă hemisferică (fig. 322 și 323, în care o linie punctată arată, deasupra cercului superior al pendentivilor, începutul calotei suprapuse), fie o turlă cilindrică mai mult sau mai puțin înaltă, acoperită la rîndul ei cu o calotă sferică.

În figura 320, în proiecție orizontală, se arată cu o linie întreruptă calota întreagă în care se înscrie încăperea pătrată și pe al cărei intrados s-a desenat în condiții cunoscute rețeaua de paralele și meridiane. În proiecție verticală se vede intersecția semicirculară a pereților verticali ai încăperii cu calota sferică, iar rețeaua nu a fost desenată decît pe pendentivi și pe partea superioară a calotei.

Desfășurata părții superioare a calotei a fost făcută în fig. 320 III, după cum știm, prin fuse sferice, iar desfășurata pendentivilor, schematic arătată în această figură, se arată mai departe (fig. 323).

**296.** — Figura 321 ne arată cît de puțin poate cuprinde un tablou vertical din calota sferică pe pendentivi cînd aceasta acoperă o încăpere pătrată. Figura 322 ne arată imaginea perspectivă a unei galerii acoperită cu o succesiune de calote sferice întregi așezată pe pendentivi. În jumătatea dreaptă a figurii au fost suprimate, la nivelul bolților, arcurile dublouri, arătîndu-se prin linii întrerupte pendentivii și nașterea circulară a calotelor.

Fig. 319. (294)





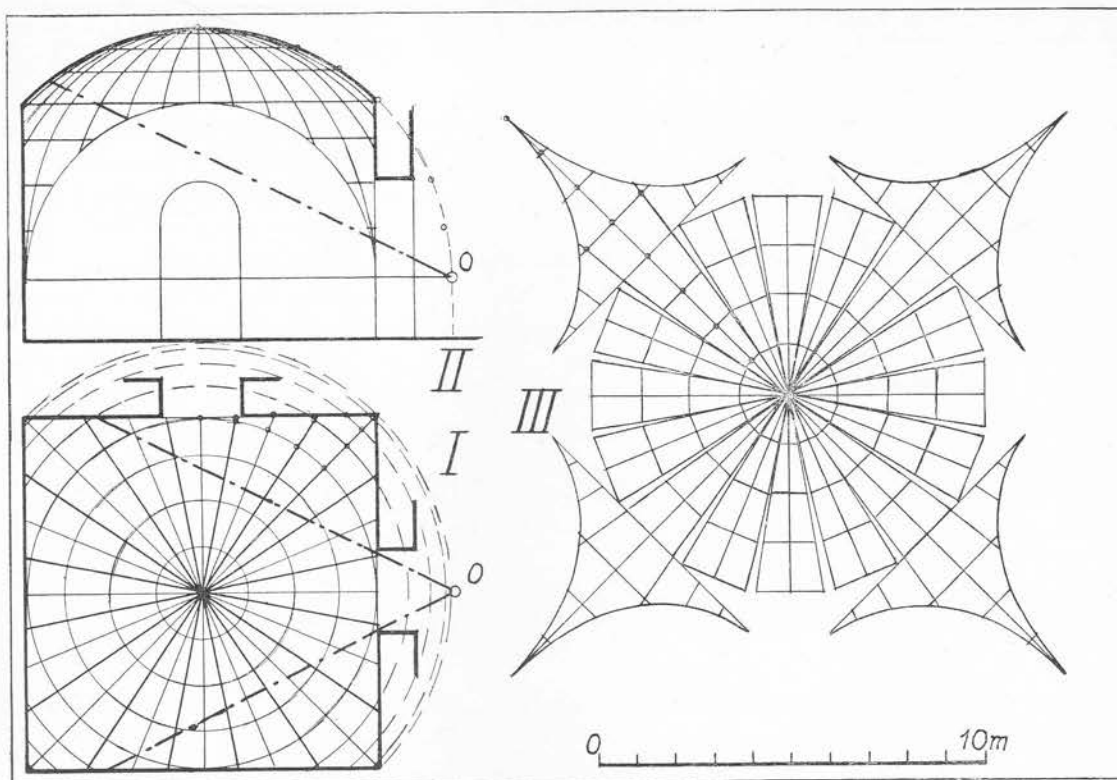


Fig. 320. (295)

**297.** — Fiindu-ne cunoscute deformările perspective pe calota sferică ne rămîne să le studiem acum pe pendentivii sferici (fig. 323).

Vom presupune o secțiune  $ab$  care taie în diagonală încăperea pătrată acoperită cu cupola pe pendentivi (fig. 323); în felul acesta unul din pendentivi  $cdeg$ , va fi văzut din față în proiecția verticală  $c'd'e'g'$  iar alt pendentiv  $afc$ , secționat în axul lui, va fi văzut în proiecție laterală în  $a''f''c'$ .

Pe pendentivi vom desena o rețea de paralele și de meridiane: pentru paralele vom împărți, în proiecție laterală, arcul de cerc  $a''f''$  într-un număr de părți egale (6), iar diviziunile obținute vor fi coborâte prin linii de ordine în proiecția orizontală în  $af$ . Pentru meridiane vom împărți, în proiecție orizontală, într-un număr de părți egale (6) arcul de cerc  $fc$  sau  $cg$ . În figura 323 această rețea a fost trasată în întregime în proiecția orizontală (I) și cu ajutorul acesteia, prin linii de ordine ( $i_1i_1'$ ,  $ii'$  și  $ii''$ ) s-au putut desena, în proiecție verticală și în proiecție laterală, pe respectivele paralele ( $i_1'i_1'$ ) punctele prin care trec arcele de cerc ( $d'i'c'$  și  $a''i''c'$ ) care mărginesc lateral pendentivii.

Desfășurata pendentivului (fig. 323 III) s-a făcut prin sectoare sferice. Pentru paralele, pe axul  $dg$  s-au luat segmentele de pe arcul de cerc  $a''i_1'f''$  iar razele  $r$ ,  $r_1$ ,  $r_2$  au fost luate

tot din proiectia laterală. Pentru meridianele sau folosit proiectiile lor orizontale ca și pentru trasarea marginilor laterale *de* ale pendentivului.

Studiul deformărilor perspective ale pendentivului se va face pe tabloul triunghiular înclinat *CED* care se reazemă pe colțurile pendentivului *c'e'd'* ale cărui paralele și meridiene vor fi proiectate conic pe acest plan. Punctul de vedere *O''* la înălțimea medie a ochilor privitorilor se va lua pe perpendiculara *PO''*, dusă în proiectie laterală, din mijlocul tabloului, iar în proiectie verticală se va afla în *O'*. Proiectarea conică a pendentivului și a rețelei lui pe planul tabloului se va face așa cum se arată în figura 323 pentru punctul *i*. Razele vizuale *O''i'* și *O'i'* determină în proiectie laterală punctele *i''* și *i'* și pe planul tabloului. Iar pe orizontalele duse prin aceste puncte, razele vizuale *O'i'* și *O'i''* determină în proiectie verticală punctele *i''* și *i'*. Pe tablou (fig. 323 IV) cota punctului *I''* se va lua din proiectia laterală iar abscisa punctului *I''* din proiectia verticală. Compoziția definită pe tablou va fi transpusă pe desășurată cu aproximatie sau cu cea mai mare exactitate așa cum se arată în figura pentru punctele de pe diametrul orizontal al cercului din mijlocul pendentivului. După cum se vede, deformările perspective pe pendentivi sînt neglijabile.

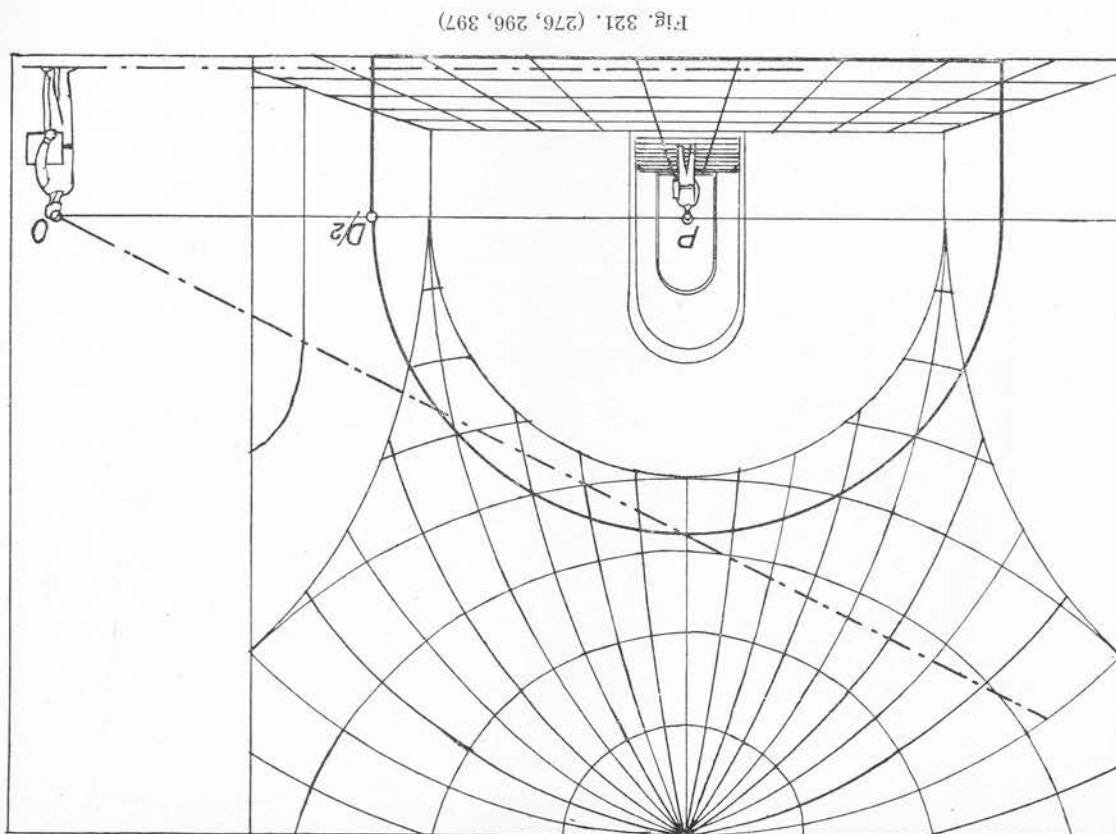


Fig. 321. (276, 296, 397)

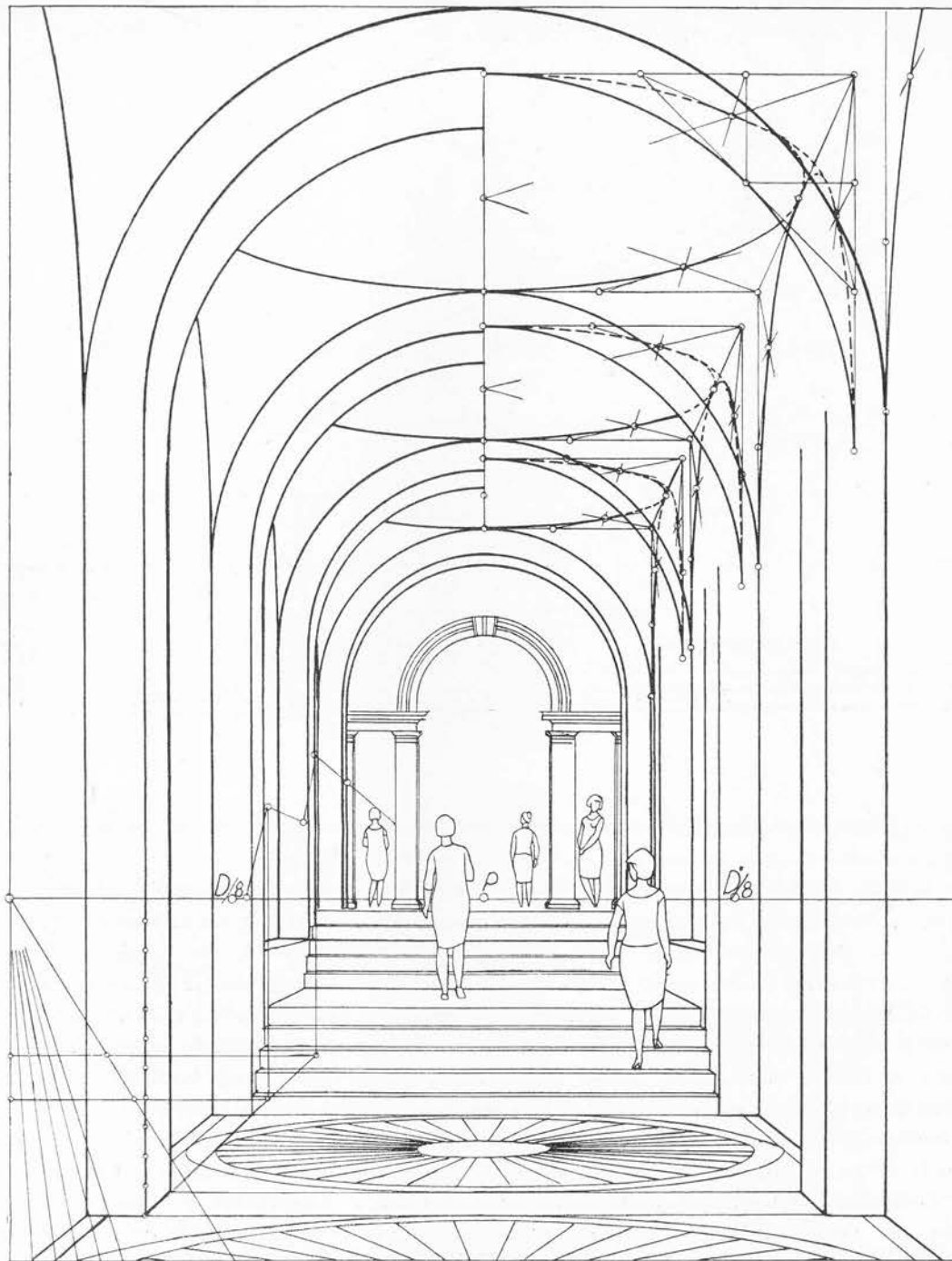
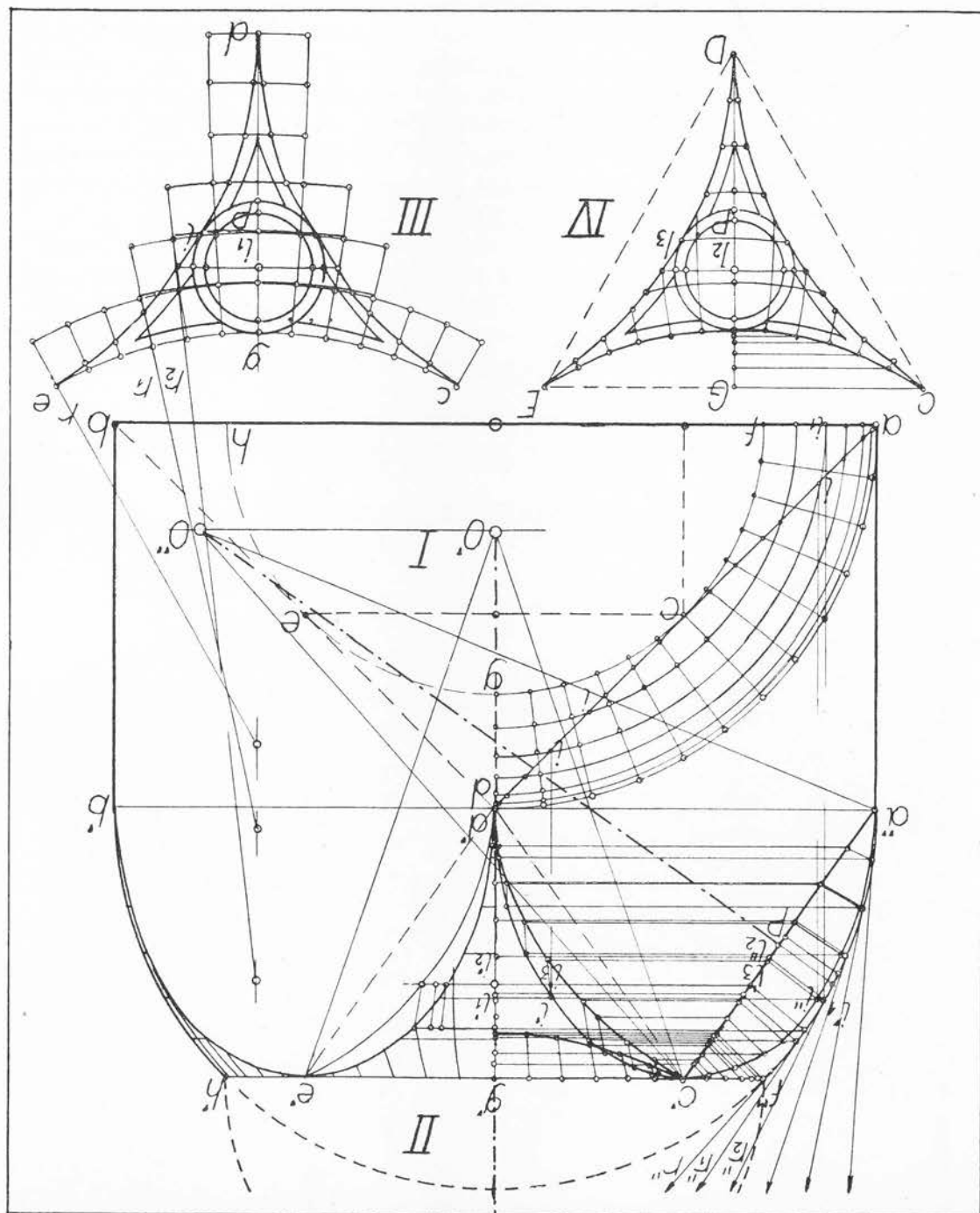


Fig. 322. (274, 276, 295, 296, 397)

Fig. 323. (295, 297)





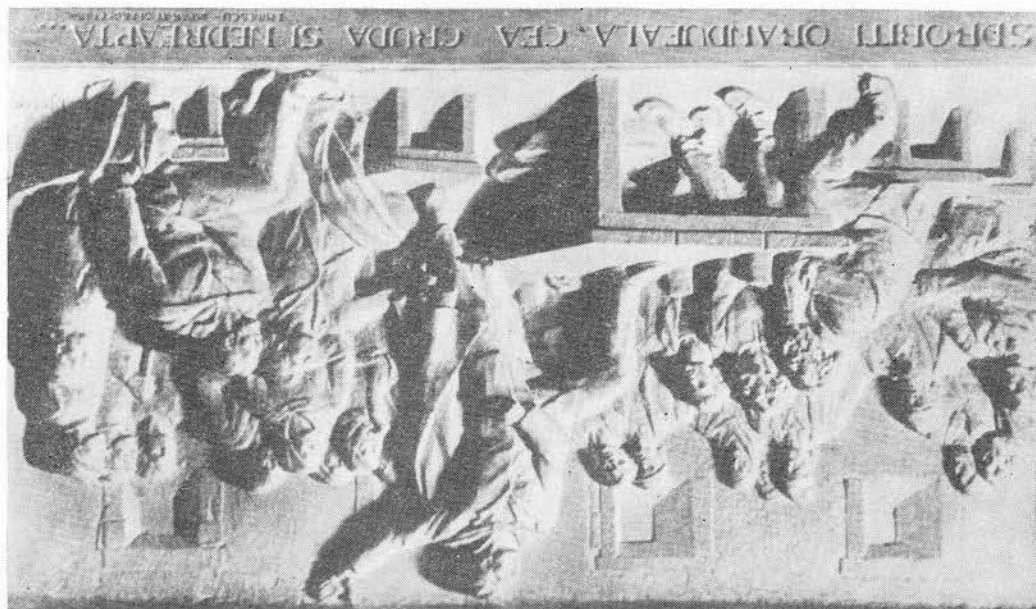


ca printr-o operație de proiecție conică să fie adîncite în spațiu dar numai în măsura și deformate prin traseele perspectivei lineare, sînt cuprinse în planul tabloului. Urmează stereoscopică (411 și 414). În cazul al doilea, cele trei dimensiuni ale spațiului, micșorate reliefului sau a altoreliefului. Figura 327 arată această operațiune într-o prezentare aceste dimensiuni să fie astfel comprimate încît să fie cuprinse în adîncimea redusă a baso-nici o deformare (fig. 326 I și II). Va urma ca printr-o operațiune de proiecție conică în plan și în secțiune și cele trei dimensiuni ale spațiului nu vor prezenta prin urmare în primul caz elementele compoziției vor fi cunoscute din proiecțiile lor ortogonale o imagine perspectivă (fig. 325).

298. — Pentru realizarea în pămînt, piatră, marmură, lemn etc. a unui basorelief sau a unui altorelief în care intră elemente arhitecturale (fig. 324) artistul are nevoie să cunoască cele trei coordonate (cola *bc*, abscisa *ab* și adîncimea *cd*), pe care trebuie să le dea, în adîncimea redusă *ef* a lucrării, tuturor punctelor caracteristice ale compoziției sale. Aceste date se pot obține pe două căi și anume plecînd de la o proiecție ortogonală sau de la

## IMAGINILE PERSPECTIVE ÎN SCULPTURĂ BASORELIEFUL ȘI ALTORELIEFUL

Fig. 324. (298, 318) Ion Jalea: Împărat și proletar



$h_1H_1O$ ,  $g_1G_1O$ ,  $i_1I_1O$  și  $j_1J_1O$  ne dau locul ocupat de firidele pereților laterali iar razele  $MM_1O$ ,  $NN_1O$ , și  $RR_1O$  locul ocupat, pe liniile de ordine respective coborâte din secțiunea longitudinală, de cele trei figuri.

Aceste două proiecții — orizontală și laterală — sînt suficiente pentru a ne da cele trei coordonate ale tuturor punctelor caracteristice ale basoreliefului. De exemplu pentru determinarea în adîncul materialului a colțului superior din dreapta peretelui din fundul încăperii,  $D''_1$ , abscisa se măsoară în plan, între punctele  $A$  și  $D$ , cota se măsoară în secțiunea longitudinală între punctele  $B''_1$  și  $D''$  iar adîncimea, fie în plan, între punctele  $D$  și  $C_1$  fie în secțiunea longitudinală între punctele  $D''$  și  $D''_1$ .

Totuși pentru a avea o imagine mai vie a modului cum se va prezenta basorelieful, se va completa cu elementele determinate mai sus și secțiunea transversală (fig. 326 III). În figură se vede cum cu linii de ordine orizontale desenăm în această secțiune adîncimile și cotele diferitelor elemente precizate anterior în secțiunea longitudinală. Abscisele se vor transpune cu înțepătorul sau cu banda de hîrtie din plan notînd punctele  $A$ ,  $g'$ ,  $j'$ ,  $c'$ ,  $k'$ ,  $l'$ ,  $n'$ ,  $r'$ , etc. Din această secțiune transversală, pentru transpunerea în material a basoreliefului se pot lua cotele și abscisele diferitelor puncte (cum se arată în figură pentru colțul superior din dreapta peretelui din fundul încăperii  $D'_1$ ) urmînd ca adîncimile să fie luate din secțiunea longitudinală sau din plan.

Procedînd la fel pentru toate celelalte puncte caracteristice vom obține la sfîrșit în materialul respectiv întregul basorelief.

Figura a fost completată cu o desfășurată a încăperii folosind coordonatele luate din plan și secția longitudinală (fig. 326, IV).

#### *Elementele perspective ale basoreliefului. Punctul principal*

**301.** — Încăperea prismatică din spațiu a căpătat în basorelief forma unui trunchi de piramidă. Prelungind în plan urmele pereților laterali și în secțiunea longitudinală planul obiectelor și plafonul pînă la întîlnirea lor într-un punct  $P$  și  $P''$  (puncte ce trebuiesc să se afle pe aceeași linie de ordine, dacă s-a desenat exact), obținem întreaga piramidă al cărei vîrf constituie punctul principal al basoreliefului (fig. 326).

*Distanța principală* a basoreliefului nu este raza  $Op$  sau  $O''p''$  care reprezintă, cum s-a precizat mai sus, distanța principală a feței anterioare a basoreliefului, ci raza  $OP$  sau  $O''P''$  adică adîncimea dintre punctul de vedere și vîrfurile piramidei în care este cuprins trunchiul piramidei basoreliefului. Această distanță este cu atît mai mare cu cît s-a dat basoreliefului o adîncime mai mare.

*Linia orizontului* a basoreliefului trece prin vîrfurile piramidei. Pe ea se vor situa punctele de fugă și punctele de distanță reduse. Spre exemplu dacă în plan (fig. 326 I) prin punctul de vedere  $O$  ducem raze paralele geometrice la drepte  $NR$  sau  $RM$  care unesc proiecțiile figurilor reprezentate în plan, obținem pe linia orizontului punctele de fugă  $F$  și  $F'$  ale celor două direcții. Către ele se vor îndrepta drepte  $R_1N_1$  și  $R_1M_1$  sau  $RN$  și  $RM$  din planul și secțiunea transversală a basoreliefului.

302. — În scopul definiției, în cele mai mici detalii, a unui basorelief, plecând de la o imagine perspectivă, trebuie să considerăm că, teoretic, un basorelief se înscrie într-un trunchi de piramidă (fig. 328), sau, eventual într-un trunchi de con. În vîrfurile piramidei sau al conului respectiv se află punctul de vedere  $O$  al artistului sau al privitorului, baza mică  $ABCD$  a trunchiului piramidei sau a conului constituie fața anterioară în care se adîncesc treptat diferitele plane ale compoziției iar baza mare  $abcd$  constituie planul cel mai depărtat al basoreliefului. În practică, adesea, cum se vede în figu-

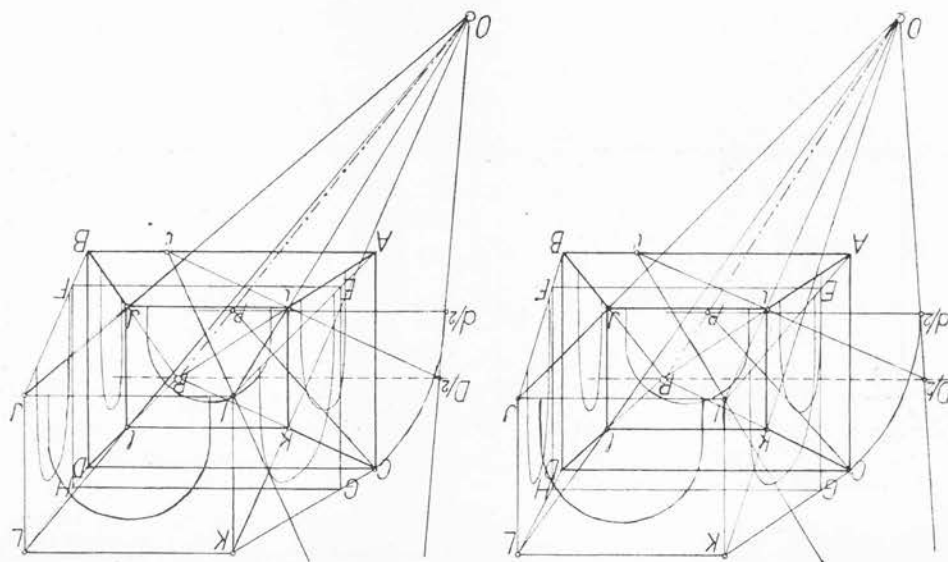
### Basorelieful în perspectivă inversă

Din explicațiile date mai sus, reiese că putem, cunoscînd distanța principală redusă a unui basorelief, determina, în perspectivă directă, adîncimile diferitelor lui elemente, fără a fi necesare geometriile și secțiunile transversale a subiectului. Ne vom aminti de această posibilitate cînd o vom aplica la basorelieful bazat pe o imagine perspectivă (304).

de ordine, poate fi desenată și în secțiunea longitudinală.

Luînd a patra parte din distanța principală  $OP$  obținem pe linia orizontului punctul de distanță redus la o pătrime  $PD/4$  (în plan) sau  $P'D_4$  în secțiunea transversală. Dacă așezăm în  $Ac/4$  (în plan) sau în  $A'e/4$  (în secțiunea transversală) un segment egal cu o pătrime din adîncimea  $Ac$  a încăperii, dreapta  $c/4D/4$  (în plan) sau  $c'/4D'/4$  (în secțiunea transversală) determină la intersecția ei cu dreapta  $AP$  (în plan) sau  $A'P'$  (în secțiunea transversală) adîncimea  $AC$  sau  $A'C'$  a încăperii în basorelief, adîncime care, printr-o linie

Fig. 327. (298, 411)



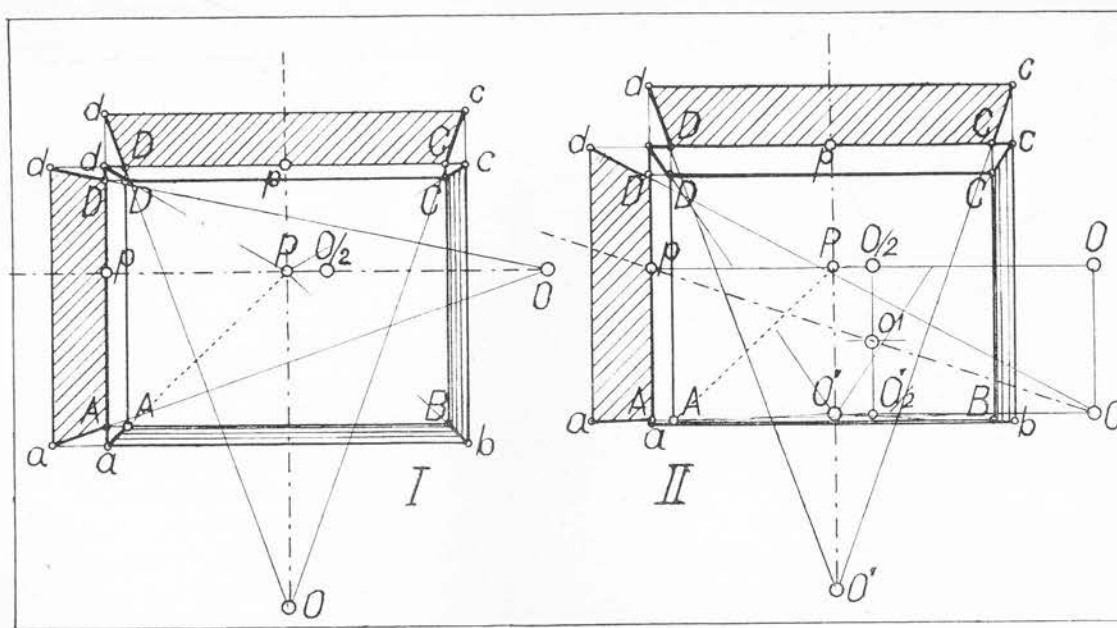


Fig. 328. (302)

rile 331, 332, 337 este suficient să cunoaștem baza mică a trunchiului de piramidă și adîncimea lui. Fețele laterale ale trunchiului de piramidă cît și baza lui mare vor fi necesare numai în desenele foarte amănunțite cum sînt cele din figurile 333, 334, 335.

Pentru a corespunde posibilităților fiziologice ale ochiului uman, înălțimea piramidei sau a conului, adică distanța principală  $OP$  trebuie să nu fie, după cum știm, mai mică decît diametrul  $Pa$  al cercului (cu centrul în punctul principal al compoziției) în care se înscrie baza mică a trunchiului piramidei sau a conului — pentru ca descreșterile perspective să nu fie supărătoare — sau mai mare decît dublul acestui diametru pentru ca descreșterile perspective să nu fie prea atenuate (I, 72—73 fig. 108—111 și 325 fig. 355—356).

Ca și pentru compozițiile picturii murale, dimensiunile unui basorelief, corespunzătoare depărtării de la care va putea fi privit în locul unde va fi așezat, nu pot să depășească cîmpul de viziune clară a privitorului, al cărui punct de vedere trebuie să se poată situa în vîrfurile piramidei basoreliefului respectiv.

Dacă basorelieful, bine proporționat față de elementele arhitecturale care îl încadrează, va putea fi privit în locul unde va fi așezat, de la o depărtare mai mare decît raza vizuală principală corespunzătoare, privitorul se va apropia de la sine pentru a-l cuprinde în cele mai bune condiții în cîmpul său de viziune clară.

Dacă basorelieful va fi așezat la o înălțime vecină cu aceea a ochilor privitorului, într-un muzeu, într-o încăpere obișnuită, sau la o mică înălțime încastrat în soclul unei statui, trunchiul de piramidă sau de con va fi drept (fig. 328 I). Dar dacă va fi așezat pe

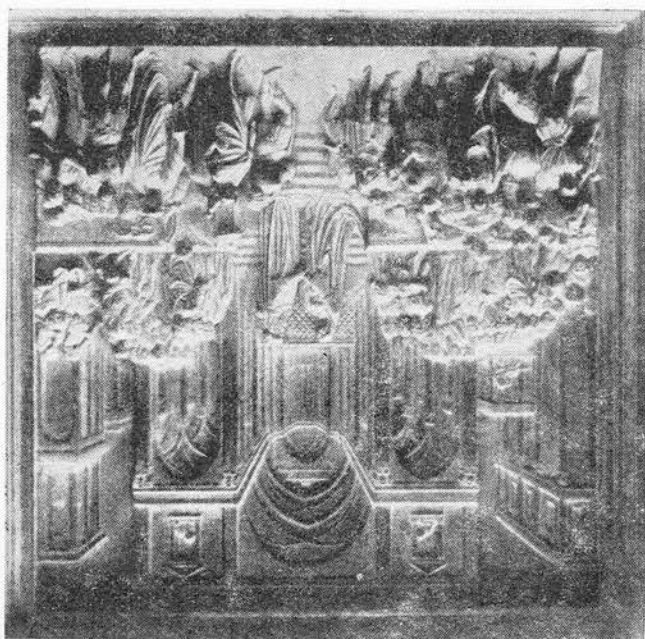


Fig. 330. (317) *Ghiberti*: Solomon și regina din Saba

façada unui monument la o anumită înălțime, fiindu-se scema de înclinarea razei vizuale principale, trunchiul de piramidă va trebui să fie oblic (fig. 328 II).

verticală fig. 329 II).

Potrivit posibilităților fiziologice ale ochiului uman, accas-

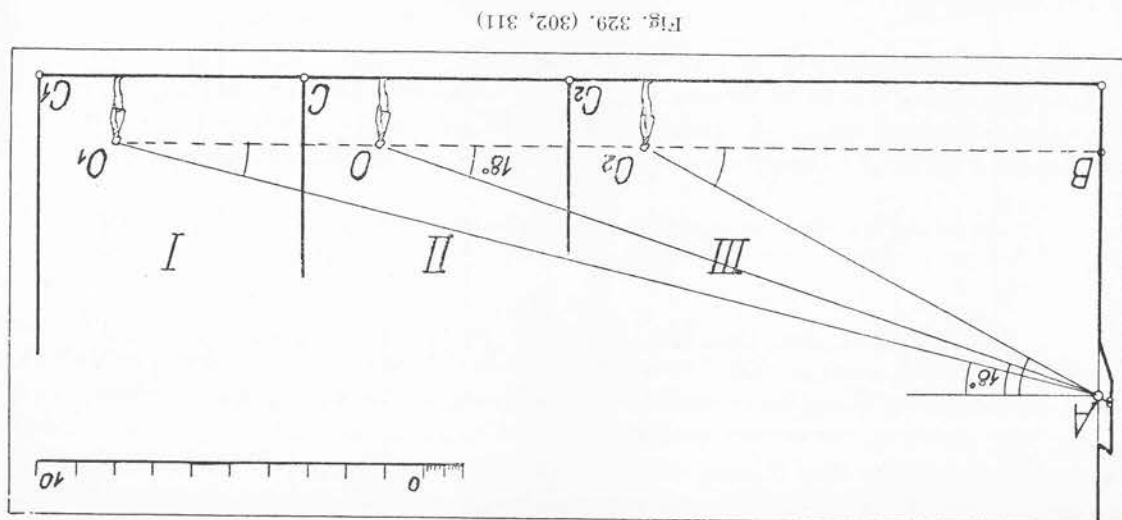


Fig. 329. (302, 311)



zuale principale va permite privitorului să cuprindă, în bune condițiuni, de la o depărtare corespunzătoare, în câmpul său de viziune clară, basorelieful o dată cu ansamblul pe care îl împodobește. Privit mai de departe, cu o rază vizuală mai puțin înclinată (fig. 329 I) același basorelief, cu descreșterea perspectivă mai atenuată, s-ar pierde în ansamblul edificiului iar de la o depărtare mai mică și cu o înclinare mai mare a razei vizuale principale, basorelieful va apare privitorului izolat de restul edificiului (fig. 329 III).

*A) Când va fi privit de la nivelul liniei orizontului a imaginii perspective*

**303.** — *Imaginea perspectivă* poate fi o compoziție definitivată cu procedee și măsurători exacte (fig. 332 și 334) sau desenată cu oarecare aproximație pe o rețea perspectivă cu puncte de resecții. În ambele cazuri vom putea cu ușurință preciza în aceste imagini elementele ei perspective: linia orizontului, punctul principal, punctul de distanță redus la o pătrime și, eventual, scara perspectivă.

Dar imaginea perspectivă poate fi un desen după natură, din memorie sau imaginație, neverificat prin procedee exacte de perspectivă. În acest caz, se vor deduce, în perspectivă inversă, elementele ei perspective și anume: linia orizontului (I, 134, fig. 181 — 184) în mijlocul căreia se va preciza punctul principal  $P$  și apoi distanța principală redusă la o pătrime, luând segmentul  $PD/4$  egal cel puțin cu jumătatea razei cercului — cu centrul în punctul principal — în care se înscrie compoziția sau cel mult cu această rază după cum descreșterile perspective sînt mai accentuate sau mai atenuate potrivit expresiei plastice urmărite.

Linia orizontului, punctul principal și punctul de distanță redus ale unei compoziții sînt indispensabile pentru a o putea transpune în basorelief.

*Elementele perspective ale basoreliefului*

**304.** — *Elementele perspective* ale basoreliefului se vor preciza cu ajutorul unei secțiuni longitudinale  $JJ'J_1J'_1$  desenate în marginea cadrului imaginii perspective, cadru în care vom înscrie proiecția lui verticală (fig. 331).

*Adîncimea basoreliefului*, mai mare sau mai mică, potrivit efectelor plastice urmărite — se desenează printr-o linie punctată  $zz'$ , care reprezintă adîncimea planului celui mai depărtat al compoziției.

*Linia orizontului* rămîne la același nivel cîtă vreme presupunem că basorelieful va fi privit de la înălțimea punctului de vedere al imaginii perspective. În secțiunea longitudinală, cum s-a văzut mai sus (fig. 326 I și II), linia orizontului se depărtează în adîncul basoreliefului o dată cu punctul principal  $P$ .

*Punctul principal* rămîne neschimbat în proiecția verticală a basoreliefului, dar în secțiunea longitudinală se adîncește într-un punct  $P'$  care trebuie determinat prin construcțiile arătate mai jos.



$pO/2$  la care adăugăm segmentul  $pp'$  (jumătate din  $pP'$ ); distanța principală redusă la o pătrime se va determina în  $D'/4$  adăugând segmentului  $PD/4$  pătrimea  $pp''$  a adâncimii  $pP'$ .

*Scara perspectivă* a basoreliefului este aceeași ca a imaginii perspective, cum se va arăta mai jos.

Cu aceste elemente perspective, putem determina pornind de la imaginea perspectivă coordonatele punctelor caracteristice ale basoreliefului procedând, după caz, în trei feluri diferite și anume:

**305.** — a) *Folosind punctul de vedere  $O/2$ .* Împărțim în două părți egale  $P'p'$  și  $p'p$  adâncimea punctului principal  $P'$  al basoreliefului față de punctul principal  $p$  al imaginii perspective și unim punctele  $p'$  și  $J_1$ . Folosind această linie vedem că ducând raza  $O/2 aa'$  și orizontala  $a'A'_1$  obținem punctul  $A'_1$  fără ajutorul razei vizuale  $A'_1ao'$  care, prelungită ar ajunge în punctul de vedere inaccesibil  $O$ . Astfel pentru a transpune în material punctul  $A$  din imaginea perspectivă, care cu construcția făcută mai sus s-ar situa în basorelief în  $A'$ , la intersecția orizontalei dusă prin punctul  $a'$  cu dreapta de capăt  $PA$ , prelungită, dispunem de următoarele coordonate: abscisa  $A'a_1$  cota  $J_1a_1$  și adâncimea  $a_1A'_1$ .

În aceeași compoziție fie verticală  $CD$  din imaginea perspectivă. Ducem orizontala  $Cc$ , raza  $O/2c$  care, prelungită ne dă punctul  $c''$  prin care ducem orizontala  $c''C_1$  pînă la intersecția ei  $C'$  cu dreapta de capăt  $PC$ , prelungită. Dreapta de capăt  $PD$ , prelungită, ne dă și înălțimea  $C'D'$  a verticalei respective în basorelief. Coordonatele acestei verticale vor fi deci: abscisa  $C'c_1$ , cota  $J_1c'_1$  și  $C'D'$  și adâncimea  $c'_1C'_1$ .

Procedînd la fel cu toate punctele caracteristice ale imaginii perspective vom determina coordonatele lor din basorelief.

**306.** — b) *Folosind punctele de distanță reduse la o pătrime  $D/4$  a imaginii perspective și  $D'/4$  a basoreliefului.*

Fie verticala  $GH$  din imaginea perspectivă. Ducem dreapta  $D/4 G$  și o prelungim pînă la marginea inferioară a compoziției care e comună imaginii perspective și basoreliefului, în  $g'_1$ . Dreapta  $g'_1D'/4$  ne dă, la intersecția ei cu dreapta de capăt  $PG$ , prelungită, punctul  $G'$  din basorelief. Înălțimea de 3 m a acestei drepte care în imaginea perspectivă a fost măsurată pe scara perspectivă în  $E2$  poate fi obținută în basorelief fie cu dreapta de capăt  $PH$ , prelungită, fie măsurînd-o pe aceeași scară perspectivă dar nu în  $E2$  ci în planul ei frontal  $EI$ .

Coordonatele acestei verticale în basorelief vor fi: abscisa  $G'g$  cota  $J_1g$  și  $G'H'$  iar adâncimea  $gG'$ .

Procedînd la fel cu toate punctele caracteristice ale imaginii perspective vom determina coordonatele lor din basorelief, obținînd exact același rezultat ca în procedeul de mai sus, cum se vede în fig. 332.

**307.** — c) *Folosind direct coordonatele imaginii perspective.*

Suprapunerea basoreliefului peste imaginea perspectivă poate fi considerată supărătoare. Cînd cunoaștem coordonatele diferitelor puncte din imaginea perspectivă, basorelieful poate fi desenat pe altă foaie de hîrtie. Vom lua ca exemplu verticala de mai sus  $GH$ . Desenatorul știind că ea se găsește la o abscisă de 1,70 m de planul vizual principal vertical și la o adâncime de 3,36 m față de marginea inferioară a tabloului a obținut imaginea ei

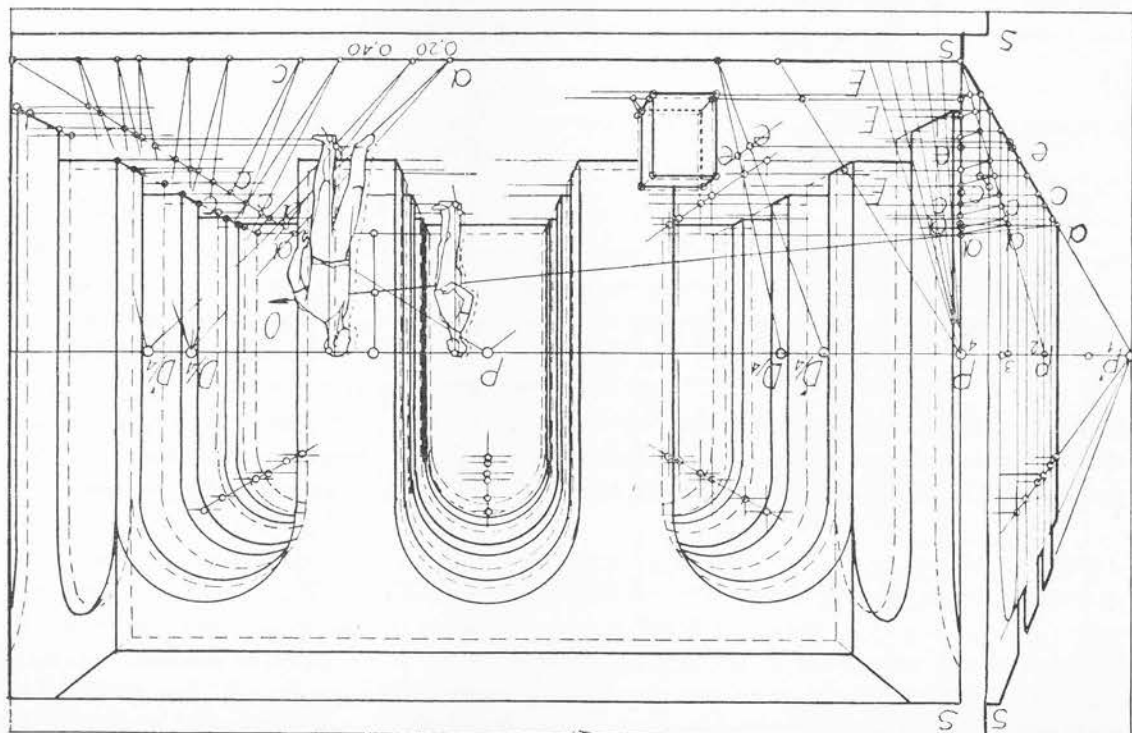


Fig. 332. (298, 302, 303, 306, 315, 317)

perspectivă măsurând pe scara perspectivă în  $E$  segmentul  $Vg_1$  de 1,70 m și segmentul  $g_1g_1'$  de 0,84 m ( $3,36:4=0,84$  m) și apoi, pe dreapta de capăt  $g_1P$  a determinat punctul  $G$  la intersecția ei cu dreapta  $g_1'D/4$ . Procedând la fel, pe altă foaie de hirtie va obține în  $G'$  basorelieful aceluiași verticale unind punctul  $g_1'$  cu punctul  $D'/4$  al basoreliefului în loc de punctul  $D/4$  al imaginii perspective. În felul acesta cunoscând coordonatele cu care s-a desenat, imaginea perspectivă din figura 334 s-a putut desena direct basorelieful din figura 335 după cum se arată mai jos (316).

**308. — Punctele de fugă ale orizontalelor oarecare**, cum s-a arătat mai sus (301) se află pe linia orizontului, dar mai depărtate de punctul principal decît de cele din imaginea perspectivă.

În figura 331 fie  $u$  unghiul pe care îl face în spațiu cu planul neutru, orizontala oarecare dată. Desenînd acest unghi în  $O/4$  pentru imaginea perspectivă și în  $O'/4$  pentru basorelief obținem punctele de fugă, micșorate de patru ori  $f$  și  $f'$ . Luînd de patru ori segmentele  $Pf$  și  $Pf'$  obținem punctele de fugă întregi  $F$ , pentru imaginea perspectivă și  $F'$  pentru basorelief.

Cînd aceste puncte de fugă sînt accesibile pentru a desena în basorelief orizontala oarecare  $N'R'$  nu mai este necesar, pornind de la imaginea ei perspectivă  $NR$ , să deter-

minăm cu ajutorul punctelor de distanță  $D/4$  și  $D'/4$  capetele ei  $N'$  și  $R'$ . Dacă imaginea perspectivă dată  $NR$  sau  $LM$ , prelungită, întretaie marginea inferioară a planului obiectelor (comună imaginii perspective și basoreliefului) în punctele  $n$  sau  $l'$  în basorelief aceste drepte se obțin ducând dreapta  $n'F'$  sau  $l'_1F'$  și dreptele de capăt  $PN$ ,  $PR$ ,  $PM$ ,  $PL$  care, prelungite, ne dau în basorelief punctele respective  $N'$ ,  $R'$ ,  $L'$  și  $M'$ . În basorelief coordonatele acestor orizontale oarecare sînt: abscisele  $N'n_1$ ,  $R'r$ ,  $L'l$ , și  $M'm$ , iar adîncimile:  $n_1n'_1$ ,  $rr'_1$ ,  $ll'$  și  $mm'_1$ .

**309.** — Sculptorul va fi ajutat în transpunerea în materiale a basoreliefului desenat dacă va completa secția longitudinală cu toate elementele determinate prin unul din procedeele arătate mai sus. El va avea o viziune mai clară a adîncimilor diferitelor plane  $A'_1B'_1$ ,  $C'_1D'_1$ ,  $G'_1H'_1$ , a compoziției sale.

Vedem că în basorelief diferitele înălțimi  $A'B'$ ,  $C'D'$ ,  $G'H'$  sînt mai lungi decît în imaginea lor perspectivă  $AB$ ,  $CD$ ,  $GH$  desenate pe fața anterioară  $JJ_1$  a basoreliefului. Dar pentru punctul de vedere  $O$ , inaccesibil, înălțimea  $ab$  se suprapune în basorelief pe înălțimea  $A'_1B'_1$ , care fiind mai depărtată trebuie să fie mai înaltă pentru a apare privitorului de aceeași înălțime.

*B. Cînd basorelieful va fi pus în operă mai sus decît planul vizual principal orizontal al privitorului*

**310.** — Cînd raza vizuală principală  $O_1pP'_1$  va fi înclinată în sus, spre adîncul spațiului, elementele perspective ale imaginii perspective, presupusă aplicată pe fața anterioară  $knrs$  a trunchiului de piramidă în care se va înscri basorelieful, adică linia orizontului  $oo'$ , punctul principal  $P$ , punctul de distanță redus  $D/4$  și eventual scara perspectivă cu vîrfurile în  $o'$ , dacă nu vor fi cunoscute, vor trebui să fie determinate în perspectiva inversă, întrucît aceste elemente, cum s-a arătat mai sus, sînt indispensabile pentru transpunerea în basorelief a compoziției respective.

Secțiunea longitudinală  $JJ'_1J_1J'_1$  a basoreliefului nu a fost lipită în figura 333 ca în figurile 331—332 de marginea laterală a imaginii perspective pentru a putea figura proiecția verticală a laturii laterale  $KJ_1rJ$  a trunchiului de piramidă a basoreliefului. Condițiile în care se procedează sînt la început acelea ale basoreliefului în care nu se schimbă linia orizontului, iar elementele perspective astfel determinate, ulterior vor fi adaptate punctului de vedere schimbat al privitorului.

Astfel adîncimea basoreliefului, după criteriile cunoscute, s-a reprezentat prin linia punctată  $zz'$ , linia orizontului, neschimbată în proiecția verticală, va trece în proiecția longitudinală prin punctul principal  $P'$  care s-a determinat prin construcțiile cunoscute ce reamintim aci.

Pe linia orizontului  $oo'$  s-a luat segmentul  $pO/2$  egal cu raza  $PK$  a cercului în care se înscrie imaginea perspectivă  $Knrs$ .

Ducînd din punctul  $o'$  (mijlocul verticalei care unește punctul de vedere redus  $O/2$  cu urma  $aA$ , a planului celui mai depărtat al compoziției) raza  $o'a$ , obținem, prelungind-o pe toată adîncimea basoreliefului, punctul  $a_1$ , marginea superioară a planului obiectelor



ca în figurile 333, 334 în care s-a respectat unghiul de  $18^\circ$ .  
 acest unghi în determinarea elementelor perspective procedind la fel  
 privitorul să vadă basorelieful cu o rază vizuală  $O_2A$  mai înclinată, se va ține seama de  
 punctul  $O$  pentru a vedea basorelieful în cele mai bune condiții. Dacă terenul va obliga  
 înclinarea de  $18^\circ$  a razei vizuale căci, în mod firesc, privitorul se va apropia pînă în  
 Dacă terenul va permite privitorului să se depărteze între  $O$  și  $O_1$ , nu se va modifica  
 vizuală  $AO$  căreia i se va da o înclinare de circa  $18^\circ$ .

precum și depărtarea maximă  $BC$ ,  $BC_1$  sau  $BC_2$  de la care poate fi privit, precum și raza  
 a liniei orizontului din basorelief față de planul orizontal  $BO$  al punctului de vedere  
 schiță făcută la scara (fig. 329) în care, în proiectie longitudinală, se va desena cota  $AB$   
 decît linia orizontului din imaginea perspectivă. Unghiul înclinării va fi stabilit de o  
 de vedere este situat la aceeași depărtare de planul vertical al basoreliefului, dar mai jos  
 principala  $P'pO/2$  se înclina în sus spre adîncul spațiului pentru privitorul al cărui punct  
 311. — După determinarea acestor elemente perspective vom considera că raza vizuală  
 perspective.

*distanța principală* redusă a basoreliefului și că *scara perspectivă* e aceeași ca a imaginii  
 Știm că o pătrime din adîncimea  $pP'$  adăugată segmentelor  $PD/4$  ne va da în  $PD''/4$   
 $J_1q_1$  care, prelungită, determină pe linia orizontului punctul principal  $P'$  al basoreliefului.

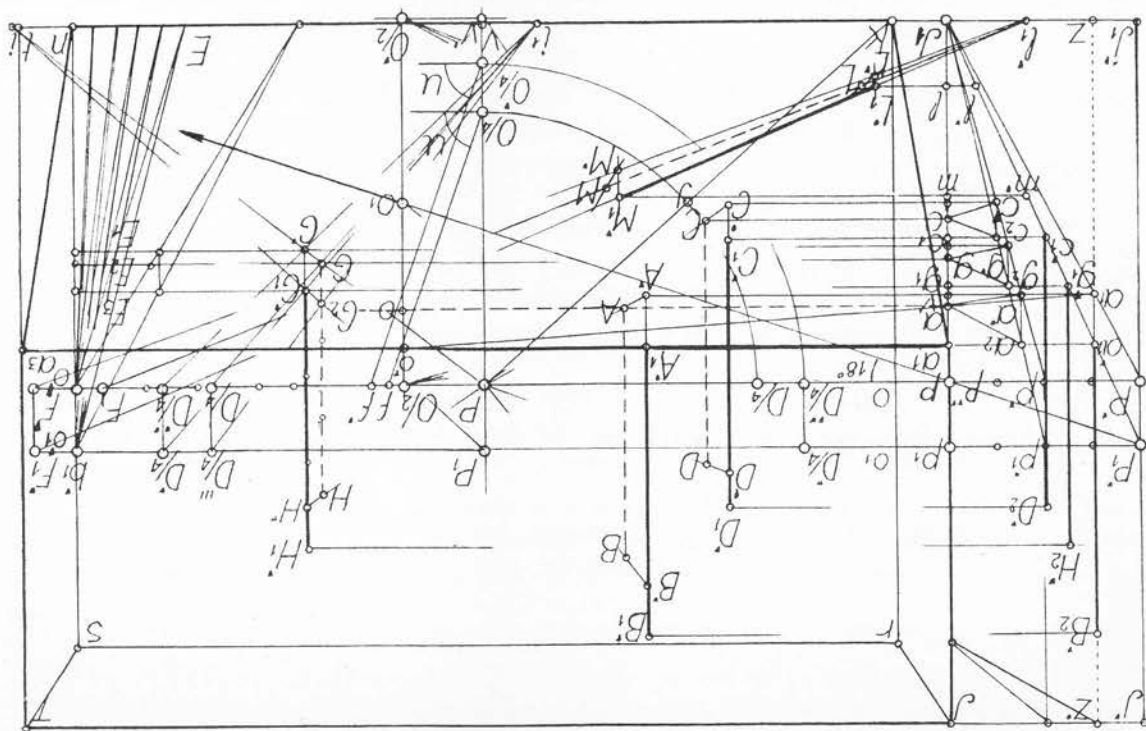


Fig. 333, 334 (302, 310, 311, 312, 313, 314)

*Raza vizuală principală* (impropriu numită astfel întrucît nu va fi perpendiculară pe planul vertical al basoreliefului, care nu se poate înclina ca un tablou atîrnat pe perete) se va obține construind în punctul  $p$  unghiul  $o'opo_1$  de  $18^\circ$  sau de mai multe grade cum s-a explicat mai sus.

*Punctul principal*  $P'_1$  al basoreliefului se va situa deasupra punctului  $P'$  la intersecția verticalei dusă prin acest punct cu raza  $o_1p$ , prelungită, și în  $P_1$  în proiecție verticală.

*Linia orizontului* va trece prin punctul principal  $P'_1$  iar în proiecție verticală va trece prin punctele  $o_1$ ,  $P_1$ ,  $o'_1$ .

*Punctele de distanță reduse*  $D'/4$  ca și eventualele puncte de fugă accesibile  $F'_1$  ale orizontalelor oarecare se vor determina pe linia de fugă a basoreliefului ridicînd verticala  $D''/4/D'/4$  sau  $F'F'_1$ .

*Punctul de vedere*  $O'$  inaccesibil se găsește luînd pe raza  $P'_1o_1$  prelungită, un segment  $o_1O'$  egal cu segmentul  $po_1$  iar punctul de vedere redus  $O'/2$  se determină luînd, pe verticala coborîtă din punctul  $O/2$ , segmentul  $o_1O'/2$  egal cu segmentul  $O/2o_1$ . Pentru a-l folosi (în condițiile în care am folosit mai sus punctul  $O/2$  în figura 331) vom duce mediana  $J_1P_1$ .

*Scara perspectivă* nu mai poate fi aceea ca a imaginii perspective. Ținînd seama de ridicarea liniei orizontului, vîrfurile scării va fi în  $o'_1$  cu care se vor uni diviziunile scării din  $E$ , de pe marginea inferioară a tabloului care e comună imaginii perspective și basoreliefului.

Cu aceste elemente perspective putem, sprijiniți pe imaginea perspectivă, determina coordonatele punctelor caracteristice ale basoreliefului, folosind unul din cele trei procedee arătate mai sus.

**312.** — a. *Folosind punctele de vedere*  $O/2$  și  $O'/2$ . Pentru aflarea coordonatelor verticalei  $AB$  din planul cel mai depărtat al basoreliefului, prin punctul  $a$  ducem raza  $O/2a$ , prelungită pînă în  $a'$ , pe mediana triunghiului  $J_1pP'$  și raza  $O'/2a$ , prelungită în  $a_2$ , pe mediana triunghiului  $J_1p_1P'_1$  (dacă s-a desenat exact, punctele  $a_2$  și  $a'$  trebuie să se situeze pe aceeași verticală).

Orizontala dusă prin punctul  $a'$  ne dă, la intersecția ei cu dreapta de capăt  $PA$ , prelungită, punctul  $A'$  de unde ridicăm o verticală pe care orizontala dusă prin  $a_2$  ne dă punctul  $A'_1$  din basorelief. Înălțimea  $A'_1B'_1$  a verticalei din basorelief se obține adăugînd segmentul  $B'B'_1$  egal cu segmentul  $A'A'_1$  deasupra punctului  $B'$  determinat cu dreapta de capăt  $PB$ , prelungită. Cu alte cuvinte s-a determinat după cum știm verticala  $A'B'$  din basorelieful care are linia orizontului la nivelul aceleia a imaginii perspective și apoi înălțarea acesteia în  $A'_1B'_1$  o dată cu înălțarea liniei orizontului.

Coordonatele în basorelief ale acestei verticale sînt: abscisa,  $A'_1a_1$  cotele  $J_1a_1$  și  $A'_1B'_1$  iar adîncimea  $a_1a'_1$ .

S-a procedat la fel pentru verticala  $CD$  din imaginea perspectivă transpusă în  $C'_1D'_1$  avînd în basorelief următoarele coordonate: abscisa  $C'_1c_1$ , cotele  $J_1c_1$  și  $C'_1D'_1$ , iar adîncimea  $c_1c'_1$ .

**313.** — b. *Folosind punctele de distanță reduse*  $D/4$  și  $D''/4$  de pe linia orizontului a imaginii perspective și  $D'/4$  de pe linia orizontului a basoreliefului. Fie verticala  $GH$

din imaginea perspectivă. Dreapta  $D/4G$ , prelungită, ne dă punctul  $l_1$  pe marginea inferioară a tabloului. La intersecția dreptei  $l_1D''/4$  cu dreapta de capăt  $PG$ , prelungită, obținem punctul  $G'$  pe verticala căruia, la intersecția ei cu dreapta  $l_1D'/4$  avem punctul căutat din basorelieu. La același rezultat se ajunge și dacă pe dreapta dată determinăm punctul  $G_2$  la intersecția ei cu dreapta  $l_1D''/4$ . Punctul căutat  $G'_1$  se găsește la intersecția dreptei  $l_1D'/4$  cu dreapta de capăt  $P_1G_2$ , prelungită.

Înălțimea verticalei se obține în basorelieu ca mai sus cu linii de capăt. Dar putem folosi una din cele două scări perspective. Dacă o folosim pe aceea a imaginii perspective, cu vârful în  $o'$ , unitatea de măsură trebuie luată în  $E_1$ , nu în  $E_2$ , unde s-a măsurat verticala  $GH$  din imaginea perspectivă, dar pe verticala din basorelieu trebuie așezată din punctul  $G'_1$  iar nu din punctul  $G'$ .

Dacă folosim scara perspectivă a basorelieului (cu vârful în  $o'$ ), unitatea de măsură se va lua în  $E_2$  și se va așeza pe verticală din punctul  $G'_1$  (dacă s-a desenat exact unitatea de măsură din  $E_1$  trebuie să fie egală cu aceea din  $E_2$ ).

Coordonatele din basorelieu ale acestei verticale sînt: abscisa  $g_1G'_1$ , cotele  $J_1G'_1$  și  $G'_1H'_1$  iar adîncimea  $g_1g'_1$ .

**314. — Punctele de fugă ale orizontalelor oarecare** cînd sînt accesibile pot fi folosite pentru a simplifica construcțiile, cum s-a arătat mai sus. Astfel dispunînd de punctele de fugă  $F$  și  $f'$  (în figură se arată cum au fost determinate, pentru orientarea dată de unghiul  $U$ ) determinăm și punctul  $F'_1$  pe verticala punctului  $F'$ .

Fie orizontala oarecare  $LM$  din imaginea perspectivă care, prelungită, întretaie marginea inferioară a tabloului în punctul accesibil  $l_1$ . La intersecția dreptei  $l_1F'$  cu dreapta de capăt  $PL$  și  $PM$  prelungite găsim punctele  $L'$  și  $M'$ . Dreapta căutăată în basorelieu  $L'_1M'_1$  se determină ducînd dreapta  $l_1F'_1$  și ridicînd verticalele  $L'L'_1$  și  $M'M'_1$ . Coordonatele în basorelieu ale capetelor acestei orizontale oarecare sînt: abscisele  $l_1L'_1$  și  $l_1M'_1$ , cotele  $J'_1L'_1$  și  $J'_1M'_1$  iar adîncimile  $l'_1l_1$  și  $mm'$ .

**315. — C. Folosind direct coordonatele imaginii perspective. Lucrările pregătitoare.** Cînd raza vizuală principala este înclinată, suprapunerea basorelieului peste imaginea perspectivă este și mai supărătoare. De aceea chiar dacă nu cunoaștem de la început coordonatele imaginii perspective e bine ca basorelieul să fie desenat pe altă foaie de hîrtie. În acest scop toate urmele pe planul obiectelor ale planelor sau ale verticalelor caracteristice din imaginea perspectivă se vor repeta prin orizontale pe o singură dreaptă de capăt  $Pn$ . De exemplu în figura 334 au fost reperate adîncimea primei și ultimei contrapente în  $a$  și  $b$ , adîncimea arcadei din stînga compoziției în  $c$  și adîncimile succesive ale arcadelor din planele mai depărtate în  $d$ ,  $e$  și  $g$ . Prelungind dreptele  $D/4a$ ,  $D/4b$ ,  $D/4c$ ,  $D/4g$  pînă la marginea inferioară a tabloului determinăm în  $na_1$ ,  $nb_1$ ,  $nc_1$ ,  $ng_1$  adîncimile acestor plane pe care, deși nu este necesar pentru transpunerea lor în basorelieu, le-am putea măsura pe scara perspectivă în  $E$ .

În continuare, procedînd cum s-a arătat mai sus, vom determina în marginea imaginii perspective elementele perspective ale basorelieului intermediar (fără schimbarea liniei orizontului) și apoi ale basorelieului căutat (cu linia orizontului înălțată).



Fig. 334. (302, 303, 311, 315)

Pentru basorelieful intermediar s-a luat în  $pO/2$  distanța principală redusă și în  $o'$  mijlocul verticalei  $O/2o$  coborite pînă la urma  $gg$  a planului celui mai depărtat al compoziției. Raza  $o'g$ , prelungită, ne dă pe verticala  $zz$  punctul  $g_1$ . Dreapta  $J_1g_1$ , prelungită, ne dă la intersecția ei cu linia orizontului punctul principal  $P'$  al basoreliefului intermediar.

Pentru basorelieful căutat s-a dus raza vizuală  $po'_1$  — dîndu-i înclinarea de  $18^\circ$  sau mai mare dacă va fi cazul, care, prelungită, a dat punctul principal  $P'_1$  și nivelul liniei orizontului. O pătrime din adîncimea  $P'_1p_1$  va fi utilizată pentru determinarea punctelor de distanță reduse ale basoreliefului.

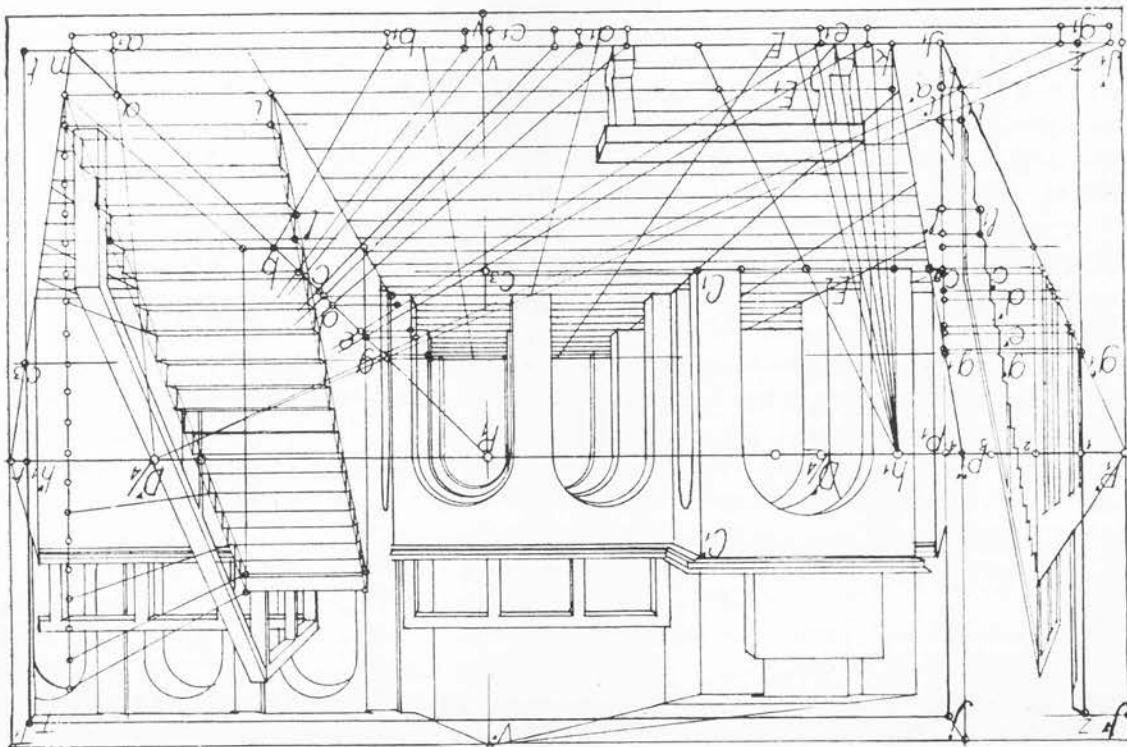
Demonstrativ, în figură s-au făcut toate construcțiile care ar fi permis desenarea basoreliefului peste imaginea perspectivă ca în fig. 332, operațiune a cărei desenare extrem de anevoioasă ar fi dus la un rezultat neclar din cauza suprapunerii unui număr atît de mare de linii.

Tot demonstrativ, pe fața laterală  $KJ_1rJ$  a trunchiului de piramidă s-au desenat de asemeni, în proiecție verticală, adîncimile diferitelor plane ale basoreliefului între verticala  $kr$  și marginile  $kp''$  și  $kp_1''$  ale planului obiectelor, proiecție care nu are nici o utilitate practică.

**316.** — Pe o nouă foaie de hîrtie reproducem elementele perspective ale basoreliefului  $J_1T_1$  cu secția longitudinală  $J_1J_1T_1$  în care precizăm punctul principal  $P_1$ , adîncimea  $z$  a basoreliefului, planul obiectelor  $J_1g_1P_1$  (fig. 335).  
 În cadrul basoreliefului precizăm linia orizontului  $p_1h_1$  în mijlocul căreia vom așeza punctul principal  $P_1$  și punctele de distanță  $D'/4$  luînd segmentele  $PD'/4$  egale cu segmentul  $P/D4$  din imaginea perspectivă, mărite cu o pătrime din adîncimea  $P_1p_1$  a basoreliefului.  
 În fețele laterale  $KJ_1J$  și  $nIT$  ale trunchiului piramidei precizăm în  $kg_1$  și în  $nc_2$  marginile planului obiectelor al basoreliefului.  
 Cu aceste elemente perspective vom desena basorelieful în aceleași condiții în care s-a desenat imaginea perspectivă.  
 Pe marginea inferioară a basoreliefului vom lua (eventual cu o bandă de hîrtie) toate punctele  $g_1, z, J_1, k, c_1, d_1, c_1, b_1, a_1, n$  între punctele extreme  $J_1$  și  $l$ , inclusiv diviziunile din  $E$  ale scării perspective, cu care vom întocmi, cu vîrf în  $h_1$  — pe verticala ridicată din punctul  $K$  — scara perspectivă a basoreliefului.

#### Desenarea basoreliefului

Fig. 335. (302, 316, 317)





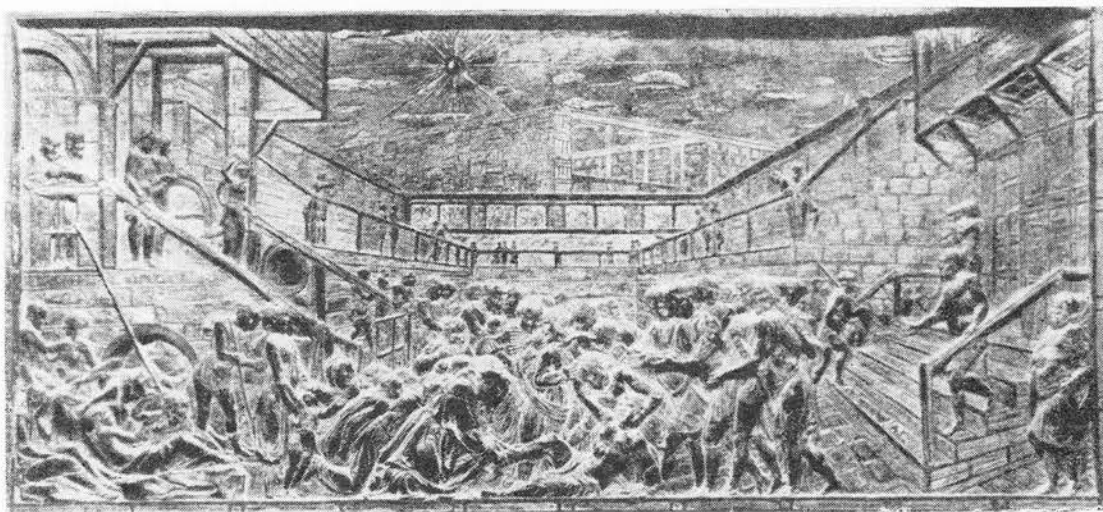
Punctele de intersecție  $g, e, d, c, b, a$  ale dreptei de capăt  $P_1n$  cu dreptele care unesc punctul de distanță redus  $D'/4$  cu punctele  $g_1, e_1, d_1, c_1, b_1, a_1$ , de pe marginea inferioară a basoreliefului, ne dau adâncimea urmelor, pe planul obiectelor, a diferitelor plane ale basoreliefului (dacă s-a desenat exact, punctul  $g$  trebuie să se afle pe orizontala punctului  $g'_1$ ).

Pe aceste urme, diferitele elemente ale basoreliefului se vor măsura în desenul perspectiv și în basorelief pe scările lor respective. Vom da un singur exemplu: verticala  $CC'$ . În imaginea perspectivă, măsurate pe scara perspectivă în  $E_2$  are abscisa  $E_2c_2$  pînă la marginea planului obiectelor, de 2,55 m sau  $Cc_3$ , pînă la urma planului vizual principal vertical  $Pv$ , de 2,45 m iar înălțimea de 3,25 m. În basorelief vom măsura aceleași dimensiuni în  $E$  pentru a fixa punctul  $C_1$  între punctele  $c_2$  și  $C_3$  și înălțimea de 3,25 a punctului  $C'_1$ . Procedînd la fel cu toate punctele caracteristice vom obține întregul basorelief.

Pentru transpunerea în material a coordonatelor diferitelor puncte se vor măsura: abscisele între punctul dat și marginea  $J_1J$  a basoreliefului, cota pe aceeași margine iar adâncimea pînă la planul obiectelor  $J_1g'_1$ . Spre exemplu coordonatele contratreptei întîia și a patra vor fi: abscisele  $ii'$ , și  $ll'$ , cotele  $J_1i'$  și  $J_1l'$ , iar adâncimile  $i'i_1$  și  $l'l_1$ .

**317.** — Licențele plastice ale basoreliefului. Chiar în primul plan al unui basorelief adâncimea unei figuri — așa cum reiese din traseele arătate mai sus — este extrem de redusă (fig. 336). Aceasta se poate vedea, prin comparație, examinînd, în secțiune longitudinală, mica adâncime a unei bănci de 0,40 m din primul plan al basoreliefului prezentat în fig. 335. În aceste condiții, figura așezată pe această bancă, cu reliefuri reduse de medalie și detașată de planul înclinat al obiectelor n-ar fi satisfăcătoare ca plastică sculpturală. Înțelegem de ce Ghiberti, pentru a da un relief satisfăcător figurilor din primele plane și pentru a le fixa pe un sol pe care să nu avem impresia că alunecă, a

Fig. 336. (317) Donatello: Basorelief



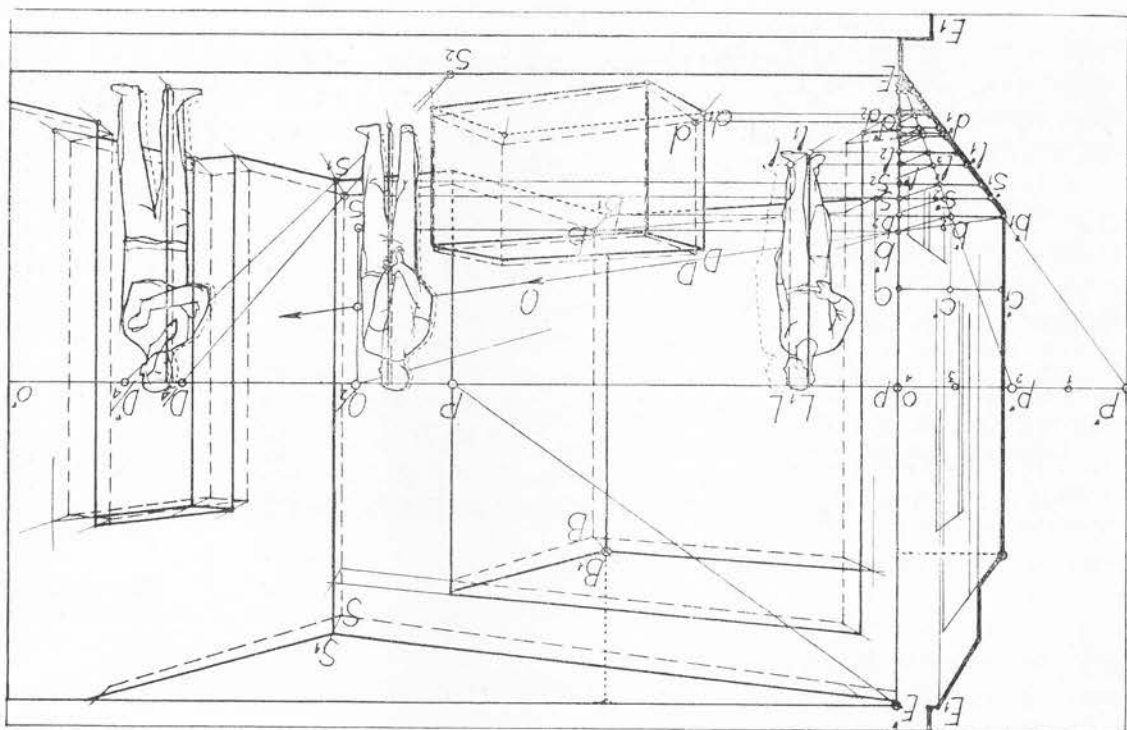


Fig. 337. (298, 302, 317, 318)

318. — În figura 337 s-a reprezentat, cu linii întrerupte, un interior pe unghi care a fost pus în perspectivă fie prin construirea geometralului, fie cu ajutorul rețelor perspective cu puncte de egală resecție, fie după natură etc. și care urmează a fi transpus în basorelief, cunoscând — potrivit efectului plastic urmărit — adâncimea  $cc_1$  maximă care se va da planului colțului celui mai depărtat  $b$ . Pentru a nu depăși cadrul tabloului vom lua raza  $PE'$  a cercului în care se înscrie acesta și o vom așeza pe linia orizontului pentru a obține în  $PO/2$  distanța principală redusă la jumătate a feței anterioare a basoreliefului.

### Basorelief pe unghi

În același timp pentru a atenua umbra puternică din partea superioară a basoreliefului, intrat în adâncul planului care-l încadrează, Ghiberti a scos în afară basorelieful a cărui margine inferioară purtând o umbră puternică, îl subliniază și-l izolează de elementele de sub el, cum s-a arătat în figura 332 și 337.

modificat planul înclinat al obiectelor dându-i un profil cilindric pe care figurile pot avea o adâncime mult mai mare decît aceea dată de traseele exacte arătate mai sus (fig. 330).

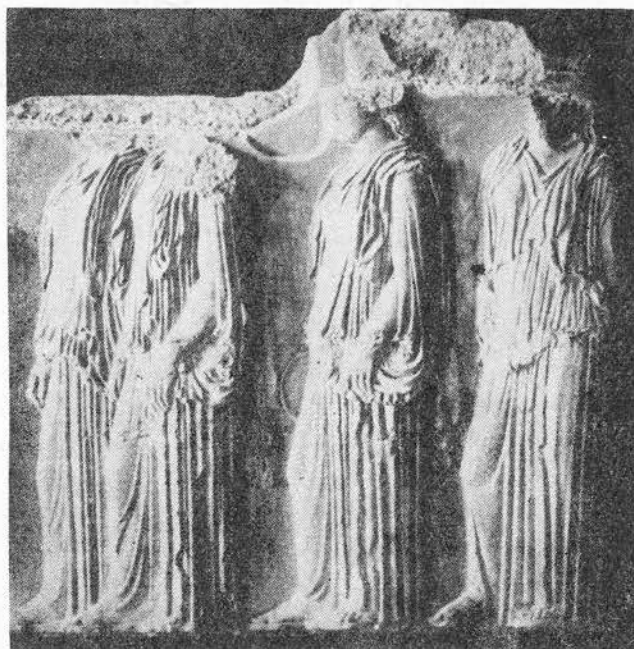
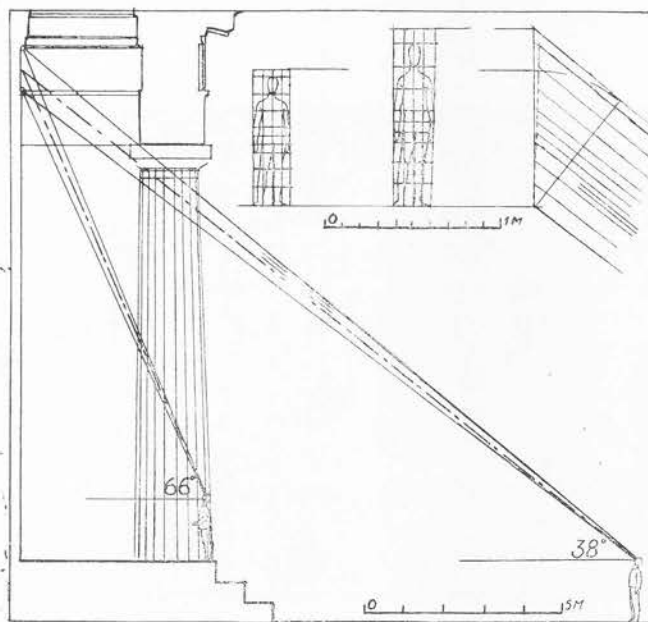


Fig. 338. (269, 319) Friza Panateneelor (fragment)

Fig. 339. (269, 319, 33 )



Cu aceste elemente vom desena cu linii pline basorelieful făcând pentru toate punctele caracteristice construcțiile arătate în figură numai pentru muchiile  $bB$ ,  $dD$  și  $sS$  și pentru figura  $IL$ .

Prin punctele  $b, d, s, l$  etc. ale imaginii perspective ducem orizontalele  $bb', dd', ss', ll'$  etc. pînă la fața anterioară a basoreliefului. Dreptele  $O/2b', O/2d', O/2s', O/2l'$  etc., prelungite, ne dau pe mediana  $Ep'/2$  punctele  $b'_2, d'_2, s'_2, l'_2$  etc. prin care ducem orizontalele  $b'_1b'_2b_2, d'_1d'_2d_2, s'_1s'_2s_2, l'_1l'_2l_2$  etc. care, prelungite, ne dau la intersecția lor cu dreptele de capăt  $Pb, Pd, Ps$  etc., prelungite, punctele căutate ale basoreliefului  $b_1, d_1, s_1, l_1$  etc. Tot dreptele de capăt  $PB, PD, PS, PL$  etc., prelungite, vor determina și înălțimile din basorelief  $b_1B_1, d_1D_1, s_1S_1, l_1L_1$ , etc.

Pentru transpunerea în material a basoreliefului, coordonatele punctelor caracteristice se vor lua:

abscisele pe orizontale  $b_1b_2, d_1d_2, s_1s_2, l_1l_2$  etc. cotele pe verticala  $Ep$  și anume  $Eb_2, Ed_2, Es_2, El_2$  etc.

adîncimile pe orizontalele  $b_2b'_1, d_2d'_1, s_2s'_1, l_2l'_1$  înălțimile verticalelor se vor lua în  $b_1B_1, d_1D_1, s_1S_1, l_1L_1$  etc.

Punctele de fugă ale orizontalelor oarecare ale basoreliefului se află mai depărtate de punctul principal  $P'$  de pe linia orizontului a acestuia decît punctele de

lui, cum se vede în figura 3-10, în care verticalele din spațiu se îndreaptă către un punct de fugă aerian, foarte departat. Basoreliefului lui Donatello, în sacristia veche, de mici dimensiuni, a bazei Sf. Laurențiu din Florența este așezat la înălțimea pendivelor cupolei.

În figura 337, așă cum se arată în figura 337, al peretelui în care va fi încastrat, în afara planului vertical  $E_1E_2$  zidiei, basorelieful poate fi scos caracterului luminos al compo- basoreliefului nu se potrivește marginea superioară  $E'$  a cadrului Dacă umbra aruncată de de segmentul  $pP'$ , marime a acestei diferențe e dată a imaginii perspective. Adevărata mare decât distanța principală  $OP$  pală  $OP'$  a basoreliefului e mai acesteia, întrucât distanța princi- pal  $P$  de pe linia orizontului a perspective față de punctul princi- ngă corespunzătoare ale imaginii

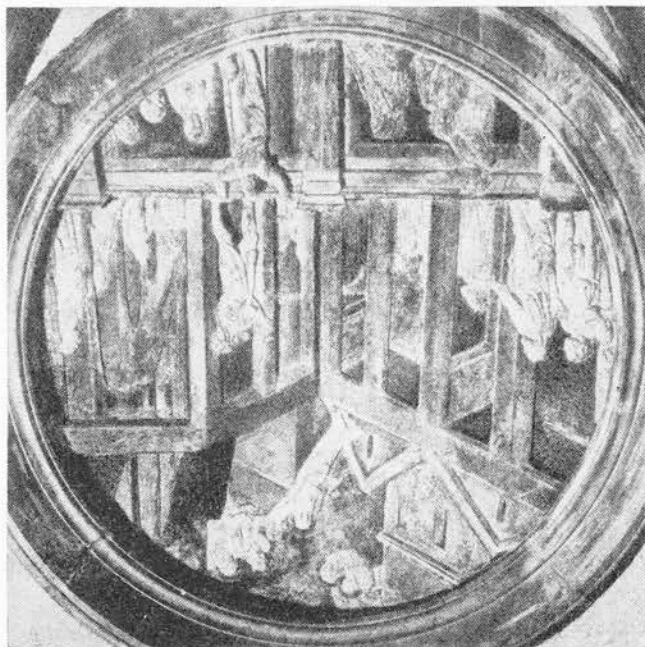


Fig. 34). (263, 318) Donatelli o: Apoteoza sfintului Ion



bine proporționată, capul rămânând 7,5 din înălțimea totală a figurii. Potrivit măsurătorilor făcute de laboratorul de anatomie al Institutului de Arte Plastice din București, la opt din figurile în picioare (șase femei și doi bărbați) din mulajele în ipsos ale acestei frize au arătat că bărbații — în medie — au numai 6 capete și un sfert iar femeile foarte puțin mai mult de 6 capete. În afară de aceasta la una din figuri s-a remarcat o ușoară înclinare de 3 cm pe metru spre privitor, înclinare arătată în traseul teoretic din figura 339. Adăugăm că multiplele pliuri verticale ale vestimentelor femeilor contribuie la crearea iluziei de alungire cerută de traseul teoretic (fig. 338).

#### VERIFICAREA PERSPECTIVĂ A UNUI MONUMENT

**320.** — Pentru verificarea perspectivă a proiectului sau a machetei unui monument decorativ sau sculptural, artistul poate folosi, după caz, procedeele perspectivei — mai ales pentru elementele arhitecturale — sau imaginile fotografice — mai ales pentru elementele figurale.

În general machetele nu pot fi concludente decât dacă, în expoziție, pentru a-și păstra monumentalitatea, sînt prezentate pe postamente atît de înalte încît înălțimea de 1,60 m, la scara machetei, să corespundă nivelului mediu al punctului de vedere al privitorilor.

Verificarea machetelor urmărește să arate artistului măsura în care din diferite puncte de vedere, elementele componente ale compoziției sînt bine echilibrate între ele precum și măsura în care creația sa se încadrează armonios în mediul înconjurător. Surprizele pot fi mari, mai ales pentru începători. Să luăm ca exemplu cazul curent al unei statui pe un soclu în formă de trunchi de piramidă, așezat pe mai multe trepte, ale cărei proporții apar corespunzător în elevația desenată. Într-o vedere perspectivă în care monumentul ar fi prezentat pe unghi, statuia oarecum cilindrică nu-și va schimba raportul între lățime și înălțime în timp ce treptele patrulatere, soclul, se vor lăți (I, fig. 622—624) iar înclinarea muchiilor trunchiului de piramidă se va accentua depărtîndu-se mult de viziunea artistului; ansamblul nu va mai fi corespunzător și modificările ce i se vor aduce vor trebui să fie din nou verificate în proiecție verticală.

În vederea obținerii unui rezultat cît mai satisfăcător, verificarea se poate face pe parcurs, paralel cu studiile de atelier, începînd chiar cu verificarea primei machete, spontan și liber concepute, folosind fotomontajul în condițiile arătate mai jos. În urma definitivării machetei în baza acestor prime modificări, atunci cînd se vor întocmi planurile de execuție, se va putea face o nouă verificare folosind, în fotomontaje, și desene perspective pentru punerea la punct a tuturor părților componente.

Pentru aceste verificări se vor folosi planurile de situație completate, cînd terenul este accidentat, cu curba sau cota de nivel. În lipsa lor se vor face la fața locului măsurătorile sumare arătate mai jos. Pe planuri se vor fixa: locul și orientarea exactă a monumentului proiectat, punctele de vedere pentru care monumentul va trebui să aibă maximum de expresivitate precum și punctele de vedere pentru care monumentul ar putea să se prezinte sub un unghi nefavorabil.



Din aceste puncte de vedere se vor face fotografii de ansamblu, ținând obiectivul la înălțimea mediei ochilor privitorilor, după ce în locul monumentului se va fi așezat un element vertical, un jalon pe care să fie marcată în mod vizibil înălțimea unui metru sau a unui multiplu de metru.

**321. — Fotografiera machetei.** În vederea fotografierii machetei, artistul va trebui să fixeze scara acestuia, fie prin apreciere directă, fie în comparație cu o figură modelată înălțimea ei totală. În continuare, se va putea însuma pe machetă înălțimea unui metru sau a unui multiplu de metru, precum și nivelul mediu al ochilor privitorului.

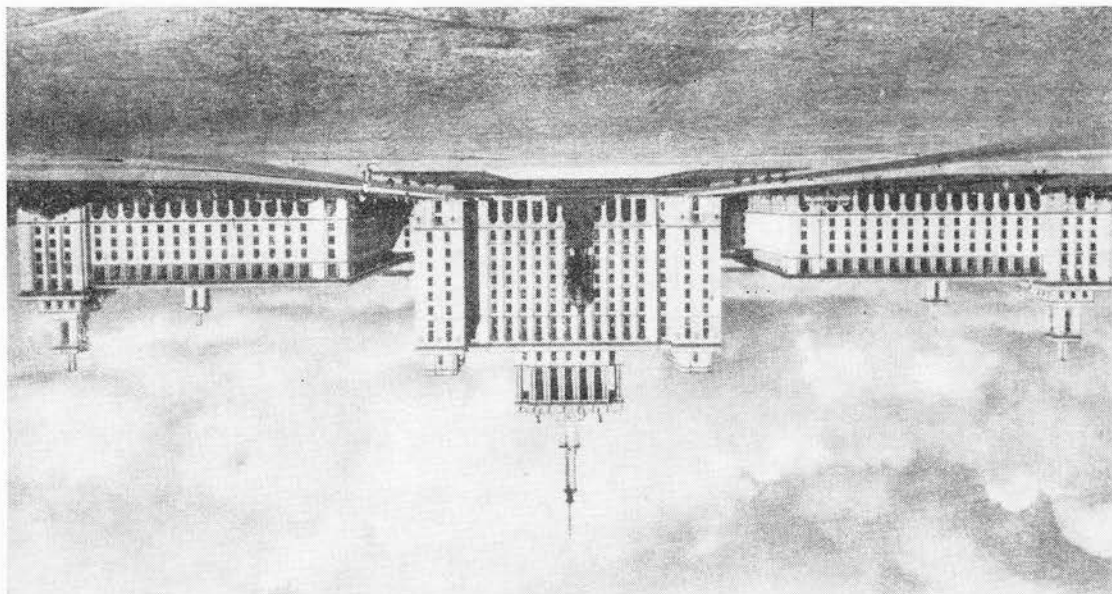
Pentru fiecare punct de vedere fixat pe planul de situație se va măsura, la scara acestuia, distanța în metri, până în axul monumentului proiectat, eventualele diferențe de nivel, precum și exacta orientare a bazei monumentului față de raza vizuală principală. În lipsa planului de situație, aceste elemente se vor măsura și aprecia la fața locului.

Macheta va fi fotografiată pentru fiecare punct de vedere ținând seama de datele de mai sus.

Obiectivul aparatului fotografic va fi așezat față de axul machetei la depărtarea constantă pe plan sau pe teren, depărtare ce se va măsura la scara machetei, determinată cum s-a arătat mai sus.

Ca nivel, obiectivul va fi la înălțimea fixată pe machetă sau ținând seama de diferența de nivel constatată în plan sau la fața locului între punctul de vedere și cola terenului ales pentru monument.

Fig. 341. (323) Boris Caragea: Monumentul lui Lenin în fața Casei Scheitli



Machetei i se va da, față de raza principală a obiectivului, orientarea exactă pe care monumentul proiectat o va avea față de raza vizuală principală a privitorului presupus în respectivul punct de vedere. În aceste condiții, imaginea de pe peliculă va reprezenta cu precizie imaginea ce ar înregistra privitorul în realitate.

În copia fotografică a machetei se va observa ca, prin mărire sau micșorare, imaginea ei să aibă exact înălțimea cerută de jalonul-etalon din mijlocul fotografiei de ansamblu. Decupată și lipită pe această fotografie, fotografia machetei va avea înălțimea și va prezenta deformările perspective pe care le-ar avea monumentul dacă ar fi realizat conform cu macheta. Pe acest fotomontaj se vor putea judeca eventuale nepotriviri de mărime și de siluetă, atât în părțile componente ale monumentului cât și între acesta și elementele spațiului înconjurător. Ameliorată în urma acestor constatări, macheta va fi fotografiată din nou în aceleași condiții ca mai sus și noul fotomontaj va arăta valabilitatea modificărilor aduse, operațiunea putându-se repeta de mai multe ori, dând fotomontajului o mărime corespunzătoare scopului urmărit.

Într-o fază ulterioară, când, în baza studiilor de mai sus, se vor definitiva planurile de execuție ale monumentului, pentru verificarea acestora, în fotografiile de ansamblu, fotografia soclului machetei va putea fi înlocuită cu fotografia imaginii perspective a soclului pentru desenarea căreia se va fi ținut seama de aceleași elemente care au servit la fotografierea machetei, procedînd cum se arată mai jos.

### În perspectivă directă

#### *Imaginea perspectivă a monumentului*

**322.** — Vom considera monumentul ca un volum complicat și-l vom înscrie într-o prismă cu baza pătrată (fig. 345) sau dreptunghiulară (fig. 342—344) ale cărui dimensiuni rezultă din proiect, urmînd să-i constituim imaginea perspectivă prin procedeul construirii geometralului (I 294—300, fig. 322—331). În această imagine perspectivă toate detaliile monumentului se vor desena în perspectivă cu ajutorul scărilor divergente, fie că monumentul are (I 566—577, fig. 623—634) sau nu are axe de simetrie (I 581—588, fig. 637—640).

— Această imagine perspectivă va putea avea mărimea cerută de jalonul-etalon din fotografiile de ansamblu, dacă aceasta este destul de mare pentru a se obține un desen exact. În acest caz elementul de plecare al imaginii perspective va fi axul vertical al monumentului căruia i se va da înălțimea cerută de respectivul etalon. În caz contrar, perspectiva executată într-o mărime convenabilă va fi micșorată fotografic pentru fotomontaj. De altfel, după caz, imaginea perspectivă se poate obține pornind fie de la axul prizmei circumscrise (fig. 345) fie de la muchia mai apropiată de desenator a acesteia (fig. 342—344).

— *Elementele perspective.* Pe axul sau pe muchia verticală căreia i s-a dat dimensiunea ce s-a crezut potrivită, elementele perspective ale tabloului se vor obține cu o dreaptă ajutătoare. Pentru *linia orizontului* se va avea în vedere diferența de nivel dintre punctul de vedere ales și baza respectivului monument; pentru *punctul principal*, dacă construcțiile

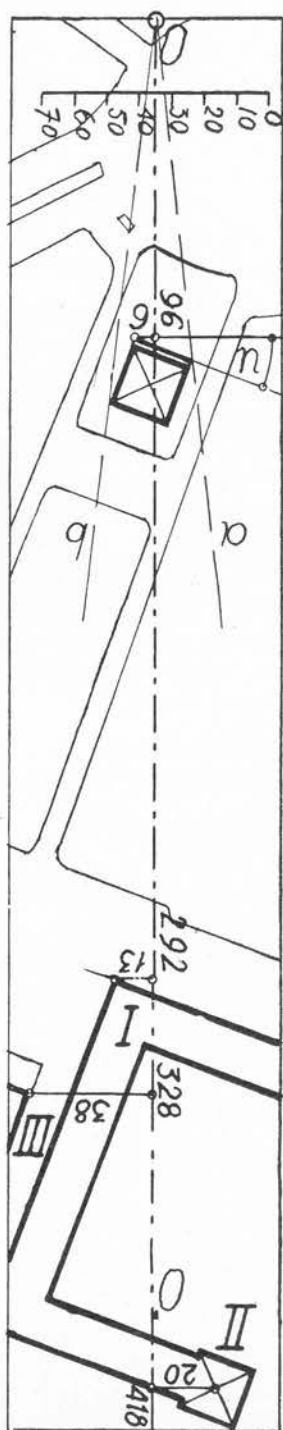


Fig. 342. (322, 323, 329)

se vor face pornind de la muchia mai apropiată de desenator, de abscisa acesteia față de raza vizuală principală trasată pe planul de situație și care trece prin axul prismei (fig. 342) pentru *punctele de distanță* reduse de patru, de opt ori (fig. 344 și 345) sau *n* ori se va ține seama de adâncimea citită în plan pe raza vizuală principală a planului vertical al axului (fig. 345) sau al muchiei prismei (fig. 342) față de punctul de vedere ales; pentru înlocuirea scării perspective a tabloului, de înălțimea cunoscută a prismei și de cota ei față de linia orizontului; pentru *orientarea prismei* de unghiul citit în plan a laturilor bazei prismei cu o perpendiculară dusă pe raza vizuală principală.

Cu aceste elemente perspective imaginea perspectivă a prismei se va desena cu procedul cunoscut al construcției geometrice: în figurile 342—344 și 345 se dau două exemple de verificare perspectivă a două monumente diferite, văzute din anumele puncte de vedere.

**323.** — În primul exemplu se propune să se reprezinte monumentul așa cum va fi văzut de privitorul care, ieșind din parc, pătrunde în piață, aflându-se în punctul *O* (fig. 342). Pe planul de situație s-a desenat raza vizuală dându-i direcția biseccoarei razelor vizuale *Oa* și *Ob* care cuprind între ele baza dreptunghiulară a monumentului cu orientare înclinată precizată de arcul de cerc *u* între latura bazei și o perpendiculară dusă pe raza vizuală principală care, în aceste condiții, nu trece prin axul monumentului.

Pe foaia de hirtie (fig. 343) în *EG* s-a fixat după criteriile arătate mai sus mărimea muchiei mai apropiate de privitor a prismei. Pe dreapta ajutătoare *EG*, la o scară potrivită, în cazul nostru de 5 mm pe metru, s-au dat diferitele segmente următoarele lungimi:

1 m, pentru înlocuirea scării perspective (care nefiind necesară nu a fost întocmită);

1,20 m pentru nivelul liniei orizontului socotind că între punctul de vedere și monument terenul urcă 0,40 m ( $1,60 - 0,40 = 1,20$  m);

2,00 m diferența dintre lungimile laturilor bazei dreptunghiulare a monumentului ( $23,00 - 21,00 = 2$  m);

6 m abscisa citită în planul de situație a muchiei prismei față de raza vizuală principală;

10,50 m jumătatea laturii mici a bazei prisme de 21 m;

11,55 m înălțimea totală  $EG'$  a monumentului (soclu și statuie). Această înălțime de pe dreapta ajutătoare corespunde înălțimii  $EG$  a muchiei luate în tablou.

12 m pentru punctele de distanță micșorate de 8 ori, cunoscând că raza vizuală principală are pînă la planul vertical al muchiei prisme o lungime, citită în planul de situație, de 96 m ( $96:8=12$  m).

Ducînd prin punctele drepte ajutătoare paralele geometrice la dreapta  $G'G$  vom obține pe muchia  $EG$  a prisme lungimile de mai sus la scara întimplătoare a acesteia. Este evident că dreapta ajutătoare este inutilă și că dimensiunile se pot lua la scara aleasă direct pe muchia prisme cînd s-a convenit ca pentru fotomontaj să se folosească o fotografie micșorată sau mărită a imaginii perspective a monumentului care în acest caz poate avea orice mărime.

În figură se pot urmări construcțiile prin care, cu procedeul construirii geometralului, s-a obținut imaginea perspectivă a bazei dreptunghiulare superioare  $GKNR$ , construcții cunoscute dar pe care le amintim aci pe scurt.

Se construiește cu raportorul sau cu un arc de cerc unghiul  $u$  și se desenează geometralul unghiului drept  $jGi$  dînd laturii  $Gj$  lungimea de 10,50 (jumătate din latura mică a bazei, căci latura întreagă ar depăși cadrul tabloului) și laturii  $Gi$  lungimea de 2 m (diferența dintre lungimile laturilor bazei)  $+10,50$  m (ca mai sus). Ducem verticalele  $ii_1$  și  $jj_1$  pe care — cu scara divergentă — le împărțim în opt părți egale (pentru că vom folosi punctele de distanță reduse la o optime) și așezăm optimea găsită respectiv în  $i_1i_2$  și  $j_1j_2$ . La intersecția dreptelor  $Pi_1$  și  $D'/8i_2$  și a dreptelor  $Pj_1$  și  $D/8j_2$  obținem punctele  $I$  și  $J$  și în  $GI$  și  $GJ$  imaginile perspective ale jumătăților laturilor bazei superioare a prisme. Laturile întregi se capătă, pentru latura mică  $GK$  punînd pe orizontala punctului  $G$  segmentul  $j_2k$  egal cu segmentul  $Gj_2$  și găsind în  $K$ , pe prelungirea dreptei  $GJ$  punctul ei de intersecție cu dreapta  $kD/8$  iar pentru latura mare făcînd o operație mai complicată. Ridicăm din punctul  $I$ , care precizează lungimea de 2 m, pe geometralul laturii  $Gi$  o verticală  $II_1$  și dreapta de capăt  $PI_1$  dă segmentul  $GL$  de 2 m pe imaginea perspectivă a laturii respective  $GI$ . În continuare, pe orizontala dusă prin punctul  $L$  luăm segmentul  $nn_1$  egal cu segmentul  $Ln$  și punctul de intersecție  $N$  a dreptei  $n_1D'/8$  cu dreapta  $GLI$ , prelungită, va da în  $GLN$  imaginea perspectivă a laturii mai lungi a bazei superioare a prisme.

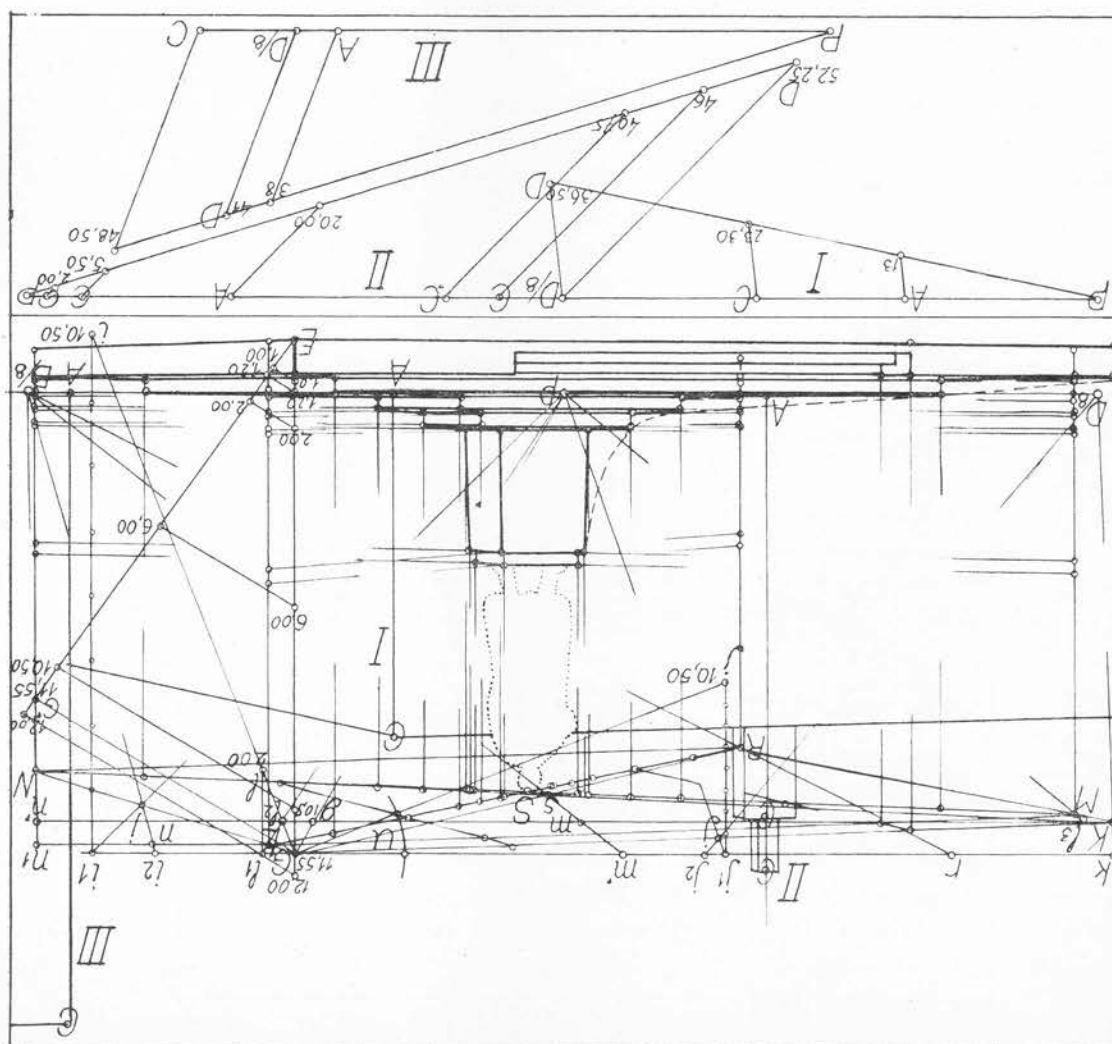
Se știe cum se completează imaginea unui dreptunghi cînd cunoaștem două din laturi (I, 401 B fig. 447a și 638). Determinăm mijlocul  $s$  al diagonalei  $KN$  a dreptunghiului la intersecția ei cu dreapta care unește punctul  $D'/8$  cu punctul  $m$ . Acesta împarte în două părți egale orizontala dusă prin punctul  $K$  și mărginită în  $n'$  de dreapta  $D'/8n_1$ . Putem duce a doua diagonală  $Gs$  încă nedeterminată ca lungime. Pe orizontala dusă prin  $G$ , după ce s-a determinat punctul  $m'$  (prelungind dreapta  $D'/8m$ ) se ia segmentul  $m'r$  egal cu segmentul  $Gm'$  și dreapta  $rD'/8$  determină capătul  $R$  al diagonalei  $GR$ .

După obținerea bazei dreptunghiulare  $GKNR$  urmează să delimităm în  $GKLM$  spațiul adînc de 2 m ocupat de treptele anterioare ale monumentului. Avem punctul  $L$ . Pe orizon-

tala dusă prin punctul  $K$  determinăm cu dreptele  $GP$  și  $LP$  segmentul  $gl_2$  pe care îl așezăm în  $Kl_2$ . Dreapta  $l_2P$  determină segmentul  $KM$  la intersecția ei cu latura  $KR$ . Am obținut astfel în  $LMNR$  baza pătrată și în  $MSN$  și în  $GSR$  diagonalele acestei baze superioare a prismei înăuntrul căreia vom desena toate detaliile monumentului cu ajutorul scărilor divergente, problemă cunoscută (I 566—577, fig. 623—634).

324. — În figura 344 se văd aceste scări divergente: în scara înălțimilor nu s-a omis să se arate și nivelul liniei orizontului la înălțimea corespunzătoare de 1,20 m. S-a reprezentat și poziția ocupată de benzile de benzie de hirtie:  $MSN$  și  $GSR$  pentru cele două diagonale

Fig. 343. (322, 323, 329)





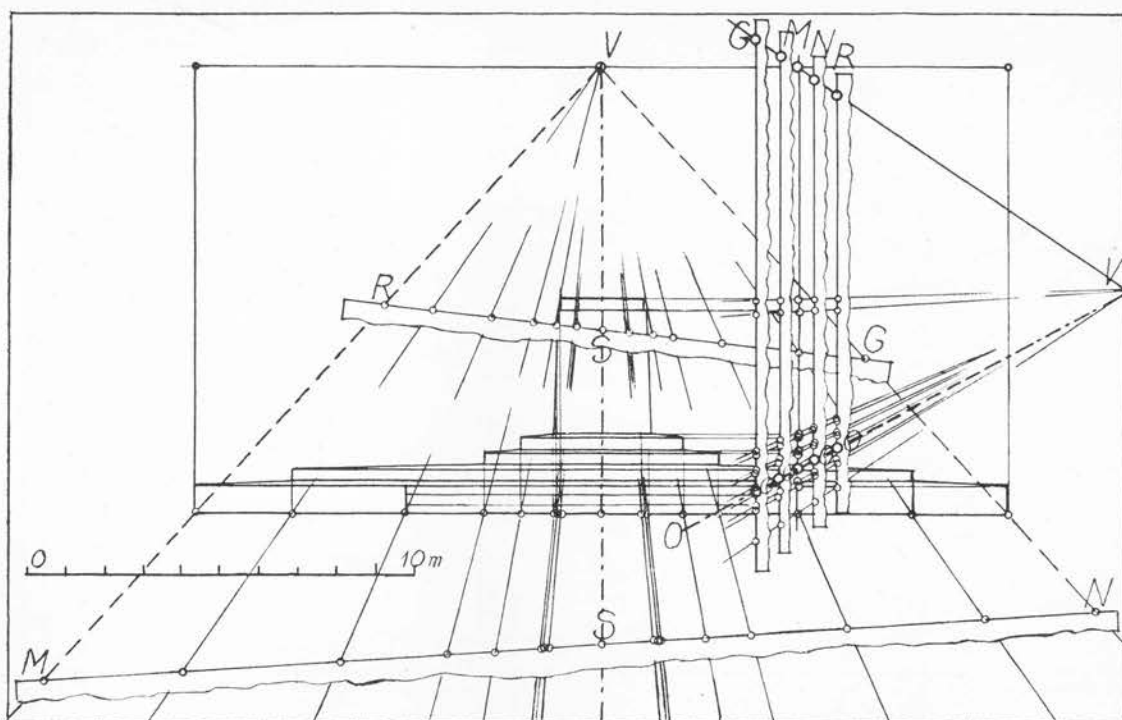


Fig. 344. (322, 324)

și  $Go$ ,  $Mo$ ,  $No$  și  $Ro$  pentru cele patru muchii verticale iar în figura 343 se vede rezultatul obținut cu punctele de intersecție ale verticalelor cu orizontalele oarecare corespunzătoare, fără a fi nevoie să amintim mersul acestei lucrări cunoscute din prima parte a acestei lucrări (I 573—577, fig. 623—624).

— Imaginea perspectivă obținută în condițiile arătate mai sus reprezintă cu o desăvirșită exactitate înfățișarea pe care o va avea monumentul executat după aceleași planuri, cînd va fi privit din punctul de vedere stabilit. Ea permite să se judece dacă proporțiile monumentului sînt satisfăcătoare (de exemplu curba armonioasă tangentă la elementele componente ale soclului etc.) sau dacă — eventual — nu trebuiesc aduse unele modificări. Acestea, măsurate în perspectivă inversă, așa cum se arată mai jos (328) vor fi introduse în planurile de execuție ale monumentului.

**325.** — Cînd elementele componente ale monumentului nu admit două axe de simetrie, imaginea lui perspectivă, înăuntrul prisme dreptunghiulare circumscrise, se va obține desenînd cu ajutorul scărilor divergente planul perspectiv pe baza superioară a prisme urmînd ca înălțimile să se determine cu o scară a înălțimilor, așa cum s-a arătat în prima parte a acestei lucrări pentru volumele complicate fără axe de simetrie (I 581—588, fig. 637—640).

**326.** — În exemplul al doilea se presupune un monument așezat pe o înălțime și se arată modul în care se poate studia supraînălțarea elementelor lui componente pentru a corespunde punctului de vedere din vale.

În aceste cazuri fotografierea machetei în vederea fotomontajului trebuie făcută așezând obiectivul — care va rămâne vertical — sub nivelul bazei machetei și anume la cota determinată de curbile de nivel ale planului de situație iar pentru imaginea perspectivă a monumentului tot așa, linia orizontului se va lua sub baza lui la aceeași cotă.

În figura 345, luând ca exemplu monumentul de la Bobilna<sup>1</sup> s-a presupus, în mod *demonstrativ* iar nu potrivit situației reale de la fața locului, că punctul de vedere ales la o depărtare de 72 m de axul monumentului se află cu 15 m mai jos decât baza lui inferioară, cum se arată în planul și în secțiunea la scară mică din partea inferioară a figurii.

Desenatorul, știind că pentru fotomontaj imaginea perspectivă va fi mărită sau micșorată prin fotografiere, a luat, fără nici o constrângere, în foaia de hirtie de care dispunea, înălțimea  $PA$  reprezentând înălțimea dealului și a monumentului deasupra liniei orizontului  $oPo'$ . Pe o dreaptă ajutătoare  $PA'$ , la o scară potrivită — în cazul nostru de 5 mm pe metru — a luat segmentul  $Pb'$  de 15 m (înălțimea dealului), segmentul  $b'A'$  de 12 m (înălțimea monumentului) și segmentul  $b'C'$  de 1 m. Prin paralele geometrice duse dreptei  $A'A$ , și  $c'$  s-au obținut pe axul monumentului segmentele  $Pb$  (înălțimea dealului),  $ba$  (înălțimea monumentului) și  $bc$  mărimea unui metru în planul frontal al axului monumentului. Cu această unitate de măsură — dându-le orientarea din planul de situație, se vor desena laturile de 6,60 m ale bazei pătrate superioare a prismei circumscrise monumentului. Tot cu această unitate de măsură se vor lua, pe linia orizontului, segmentele  $PD/8$  și  $PD'/8$  de câte 9 m, adică a opta parte din adâncimea de 72 m a punctului de vedere, măsurată în planul de situație.

**327.** — Se pot urmări în figura 345 construcțiile grafice cu care, pentru obținerea imaginii perspective a acestei baze, folosind punctul principal  $P$  și punctele de intersecție  $i$  și  $j$  ale laturilor cu axul de rotație, punctul de distanță  $D'/8$  nu a fost necesar decât pentru obținerea imaginii perspective a unui singur colț  $D$  al acestei baze. (Punctul  $D$  s-a aflat la intersecția dreptei de capăt  $Pd'$ , prelungită, cu dreapta  $D'/8d_i$ , prelungită, segmentul  $d'd_i$  fiind o optime din perpendiculara  $dd'$  dusă pe axul de rotație). Punctul  $E$  s-a situat la intersecția dreptei de capăt  $Pe'$  prelungită, cu dreapta  $De_i$ ; punctul  $F$  la intersecția diagonalei  $EA$  cu dreapta  $Dj$  prelungită, iar punctul  $G$  la intersecția diagonalei  $DA$  cu dreapta  $Ei$ , prelungită.

În vederea folosirii scării divergente pentru înălțimi, linia orizontului fiind prea depărtată, s-a desenat cu ajutorul unei scări a înălțimilor  $oA_1oB_1$  și imaginea perspectivă a bazei inferioare a prismei.

Întocmirea și folosirea cu benzi de hîrtie a scărilor divergente pentru înscrierea în prisma circumscrisă toate detaliile monumentului, arătate în figura 345, nu au nevoie de nici o explicație (I 566—574, fig. 623—624).

**328.** — Examinînd imaginea perspectivă obținută, constatăm măsura în care se schimbă proporțiile monumentului: privit de jos, din punctul de vedere stabilit, malul ne ascunde în întregime elementul inferior care, pentru a fi văzut, ar urma să fie înălțat cu un metru; soclul propriu-zis ne este ascuns pe o înălțime de 0,40 m, elementele superioare pe cîte 0,15 m iar elementul piramidal este scurtat cu 0,40 m. Aceste 'scurtări au fost măsurate în  $m$ ,  $n$ ,  $r$  și  $s$  pe axul imaginii perspective. Rezultatele acestei verificări nu trebuiesc folosite mecanic. Artistul va judeca măsura și felul în care este cazul, interpretîndu-le cum va crede de cuviință, să aducă anumite modificări proiectului său.

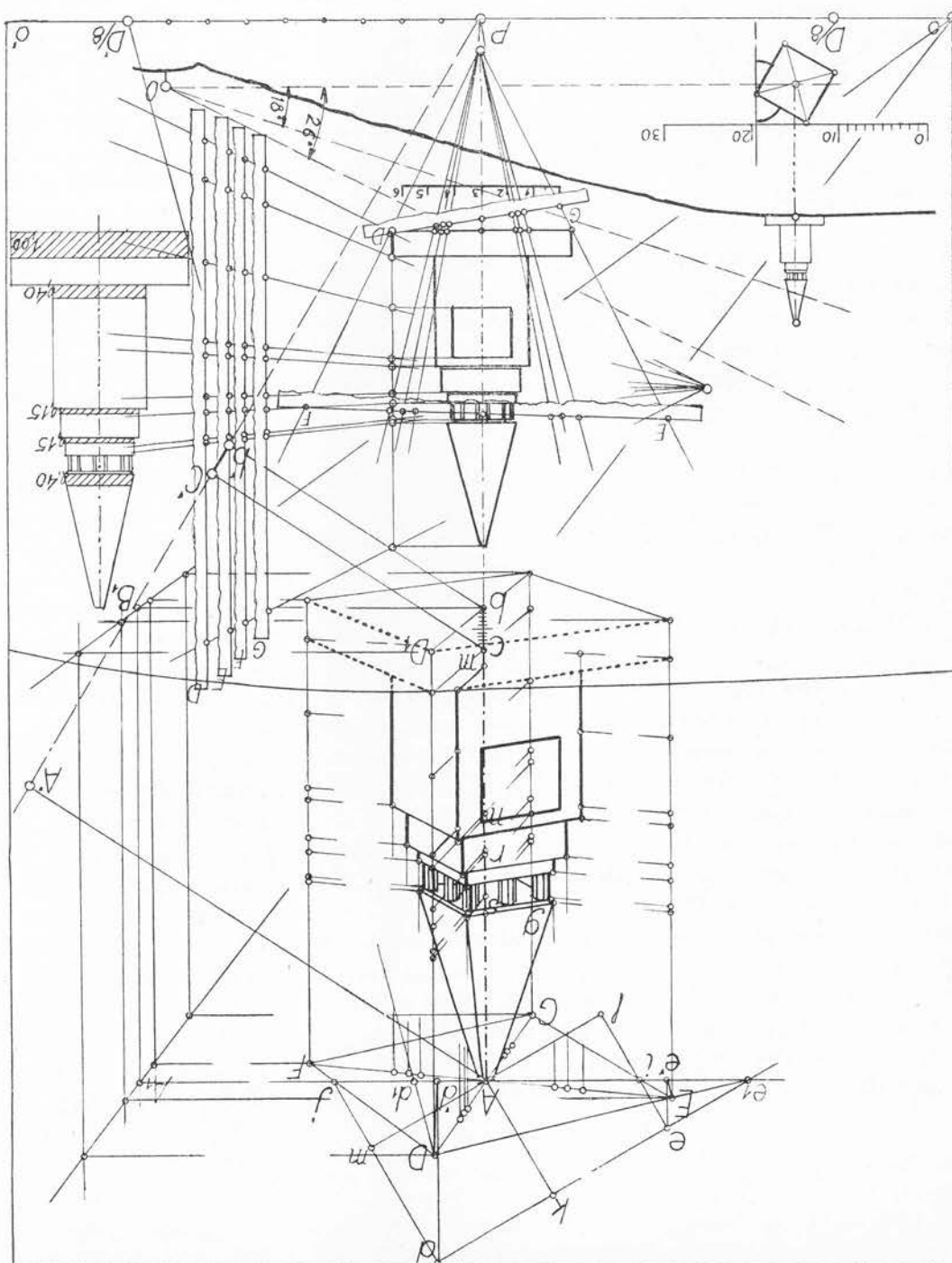
**329.** — Cînd verificarea perspectivă a unui monument a fost făcută nu printr-o machetă ci printr-o imagine perspectivă făcută după proiecțiile lui ortogonale, ca în exemplele de mai sus, situarea monumentului în mediul înconjurător se poate face nu numai prin fotomontaj dar și prin completarea imaginii perspective cu reprezentarea elementelor caracteristice cuprinse în cîmpul punctului de vedere ales. În acest scop, prin aplicarea grafică a legii descreșterii perspective, vom determina în tablou poziția și mărimea imaginii muchiei celei mai apropiate a diferitelor construcții (I 315—317, fig. 342—344) și pe urmă vom folosi procedeul construirii geometralului pentru completarea liniilor principale ale acestor construcții, cunoscînd, evident, dimensiunile și orientările lor.

Astfel, în figura 343 s-au putut desena siluetele construcțiilor I, II și III cunoscînd înălțimile lor (față de nivelul stabilit pentru linia orizontului) orientarea lor precum și adîncimea muchiilor mai apropiate de punctul de vedere ales, date ce s-au putut lua pe planul de situație în care s-a trasat raza vizuală principală  $OO'$  (fig. 342) și abscisele lor față de raza vizuală principală.

Pentru fiecare construcție s-a luat distanța principală redusă la o optime  $PD/8$  și o dreaptă ajutătoare. Pe aceasta, la o scară obișnuită, în figura 343 la scara de 2 mm pe metru, s-a luat în primul rînd în  $PD$  o optime din adîncimea muchiei mai apropiate ( $292:8=36,50$  m pentru construcția I;  $418:8=52,25$  pentru construcția II și  $328:8=41$  pentru construcția III) pentru ca unind punctul  $D$  cu punctul  $D/8$  să obținem direcția la care vom duce paralele pentru celelalte dimensiuni necesare: abscisele de 13 m, 20 m și 38 m și înălțimile de 23,30 m pentru construcția I, de 40,75 m, 46 m și 52,25 m pentru elementele construcției II și 48,50 pentru construcția III. Pentru construcția II s-au luat și dimensiunile de 2 m și de 5,50 m reprezentînd lățimile elementelor superioare.

Cu aceste date, luîndu-se pe linia orizontului segmentele  $PA$  și pe verticalele ridicate în punctele  $A$  înălțimile corespunzătoare  $AC$ , s-a putut obține imaginea perspectivă a acestor construcții: procedeul construirii geometralului nu a fost necesar întrucît construcțiile fiind paralele cu monumentul, orientarea lor a fost obținută cu o rețea perspectivă care nu e reprezentată în figuri.

Fig. 345. (322, 326, 327, 328, 391, 393)



## În perspectivă inversă

### *Stabilirea planurilor geometrale ale unui monument sculptural prin restituire perspectivă*

**330.** — De multe ori artistul „vede” compoziția unui monument sculptural nu în machetă ci într-o schiță în care ansamblul este înfățișat într-o imagine perspectivă.

— Executată din imaginație și cu mâna liberă fără de îndoială prima schiță, care trebuie păstrată fără nici o modificare pentru a nu-i atenua expresivitatea, nu va respecta un traseu perspectiv exact (fig. 346). Pentru a putea fi folosită, ea va trebui să fie redesenată cu preocuparea de a se ajunge la un desen perspectiv a cărui exactitate să nu atenueze ci să precizeze tocmai elementele și proporțiile caracteristice ale primei viziuni. Din procedeele cunoscute se poate folosi acela al rețelelor perspective cu puncte de egală resecție (223—231) alegînd rețeaua a cărei orientare se apropie mai mult de orientarea primei schițe. După mai multe încercări se va ajunge la rezultatul dorit, urmînd ca linia orizontului să aibă o înălțime corespunzătoare față de înălțimea monumentului și față de eventuala denivelare a terenului de unde va fi privit. Folosind în continuare rețeaua perspectivă și punctele ei de egală resecție, diferitele elemente ale monumentului se vor măsura, în vederea întocmirii planurilor geometrale procedînd așa cum se arată mai departe pentru monumentele de arhitectură (394—395 fig. 399 A și B).

**331.** — Aceste planuri se pot obține însă și fără a folosi rețelele perspective cînd schița perspectivă e destul de mică și planșeta pe care lucrăm e destul de mare pentru a cuprinde punctele ei de fugă, cum se arată în figura 346.

Prelungind liniile de fugă ale schiței, vom determina o dată cu linia orizontului și punctele de fugă  $F$  și  $F 90^\circ$ . (În exemplul ce dăm, sculptorul Popovici pentru a obține un efect de maximă monumentalitate a folosit linia de orizont denumită a broaștei (I 61, fig. 82). După ce s-a precizat în mijlocul monumentului punctul principal  $P$ , se știe cum se determină apoi, cu un semicerc, distanța principală  $PO$  (I 135—136 fig. 185) și apoi, cu arce de cerc, punctele de egală resecție  $R$  și  $R 90^\circ$  (I 222—225, fig. 263—264).

Cu aceste elemente perspective, prin construcții obișnuite folosind punctele de fugă, vom preciza pe muchia verticală mai apropiată de desenator toate înălțimile elementelor monumentului și, folosind punctele de egală resecție, vom preciza pe orizontale toate lățimile pentru măsurarea cărora va trebui să cunoaștem, să deducem sau să presupunem unitatea de măsură corespunzătoare.

**332.** — Sculptorul, plecînd de la ansamblu sau de la un anume element (cum ar fi în cazul de față înălțimea figurilor adosate soclului sau a figurii superioare) poate să determine cu o dreaptă ajutătoare mărimea unității de măsură în planul frontal al muchiei mai apropiate de punctul de vedere.

— Alt mijloc de a aprecia unitatea de măsură este acela de a desena lîngă monument o figură dîndu-i înălțimea care ni se pare potrivită. Procedînd în felul acesta, referindu-ne la figurile schițate de artist în fața monumentului, s-a apreciat cu o construcție grafică obișnuită care ar fi înălțimea lor dacă s-ar apropia de monument pentru a afla mărimea



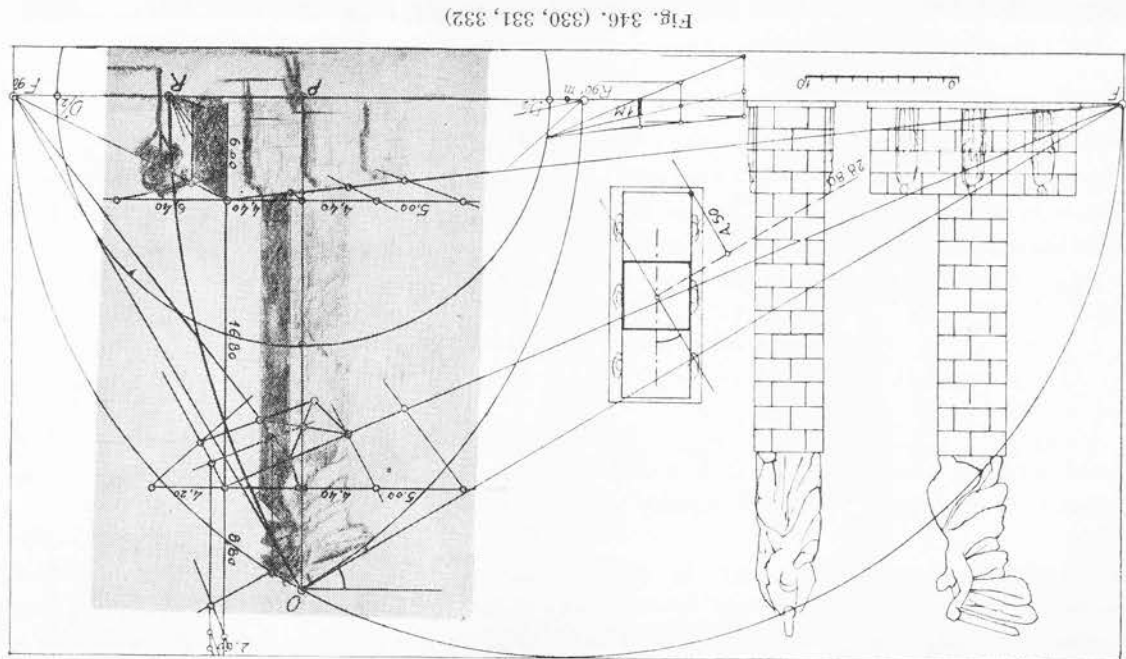


Fig. 346. (330, 331, 332)

unui metru. (Nu s-a ținut seama de faptul că pentru desenaarea figurilor artistul a presupus altă linie a orizontului decât aceea a broștei).

Măsurătoarea arată unele nepotriviri încrente unei prime schițe rapide, dar cu ajutorul celorlalte obținute, artistul făcând corecturile ce i se par mai potrivite poate înlocui, în vederea unor studii mai adâncite, într-o primă formă, proiectul monumentului, desenat la o scară dată (în figura noastră la scara de 2 mm pe metru) cuprinzând planul și elevațiile lui.

— Pentru legarea de realitate a rezultatelor obținute, se va completa planul cu fixarea punctului de vedere din care a fost privit monumentul. În acest scop, cu unitatea de măsură luată pe muchia mai apropiată (și cu care s-au măsurat celele monumentului) vom măsura abscisa (în cazul nostru de 4,50 m) a acestei muchii față de punctul principal  $P$  precum și lungimea distanței principale  $PO$  pentru a cunoaște adâncimea (în cazul nostru de 28,80 m) a punctului de vedere față de această muchie. Dând razei vizuale principale orientarea pe care o are în schița perspectivă, față de laturile orizontale ale monumentului, și lungimea determinată mai sus, vom putea preciza în planul de situație punctul de vedere corespunzător.

Vom constata că distanța principală întâmplătoare a schiței este mult prea mică pentru ca monumentul să poată fi cuprins în câmpul vizualii clare a unui privitor. Aceasta ar trebui să fie cel puțin îndoitul sau mai bine înălbimii totale de 34,20 m a monumentului (I 48, fig. 66—68). Urmează, prin urmare, ca procedind cum s-a arătat mai sus (322—325) să se deseneze în perspectivă directă o nouă imagine perspectivă care să fie seama de situația la fața locului.

B. Institutul Pedagogic  
de 1 ani - 1 ani -

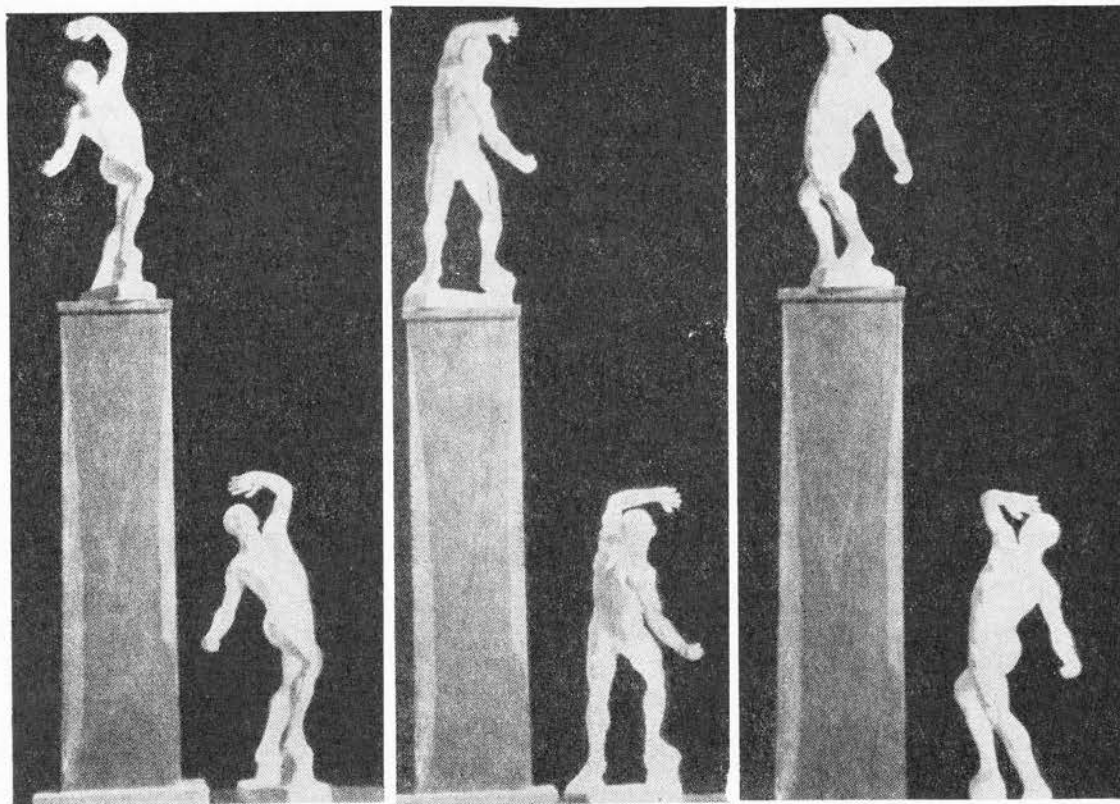
De aci înainte, toate modificările ce vor interveni în timpul studiilor de punere la punct a proiectului sau a machetei vor fi introduse în perspectivă directă și în imaginea perspectivă care, în felul acesta, va sprijini pînă la sfîrșit definitivarea monumentului respectiv.

În această problemă, cititorul va găsi mai departe (394, fig. 399) încă un exemplu de restituire perspectivă a unui monument cu unele completări și precizări utile pentru o cunoaștere mai detaliată a problemei.

### Verificarea perspectivă a elementelor sculpturale

**333.** — Trecem acum la *verificarea perspectivă a elementelor sculpturale*, a figurilor care vor fi așezate pe monumente la mari înălțimi. Problema se pune diferit după cum monumentul va putea fi văzut de la o mare sau de la o mică depărtare. În primul caz, ca și pentru basorelief (302) vom considera că privitorul pentru a viziona în condiții optime elementul sculptural se va apropia, pentru a-l cuprinde în câmpul

Fig. 347. (333) Deformările perspective ale unui ecorșeu așezat pe un soclu înalt.



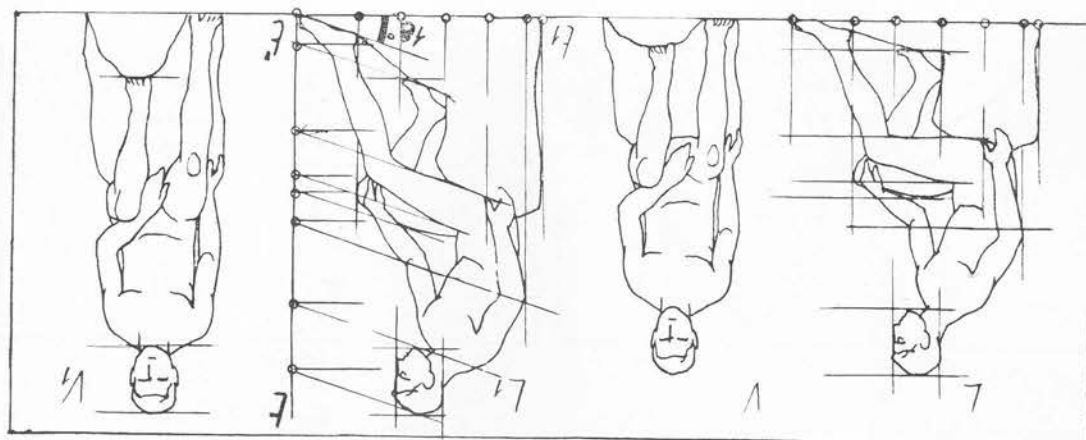


Fig. 350. (331)

Fig. 349. (333) M. I. Kozlovskii: Modelul monumentului lui A. B. Suvorov



Fig. 348. (333) M. I. Kozlovskii: Monumentul lui A. B. Suvorov

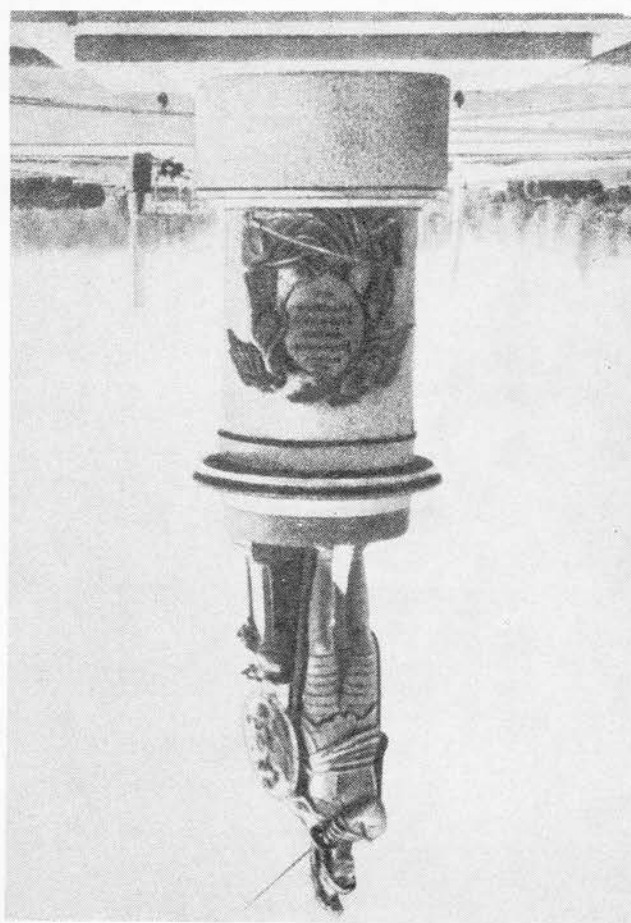
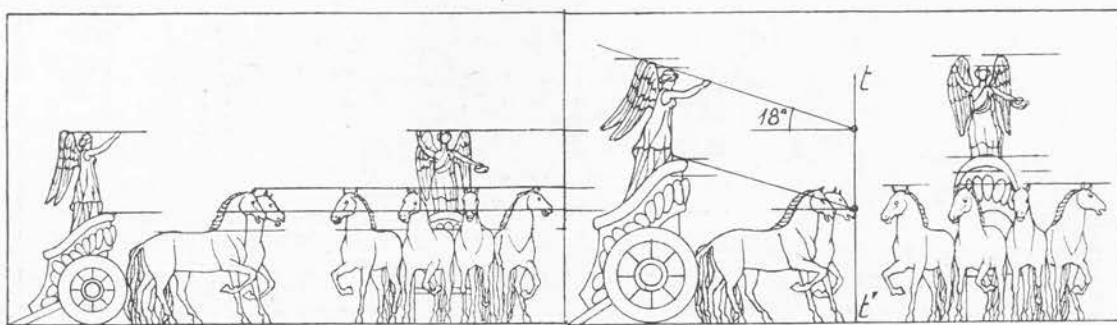




Fig. 351. (334) Piața Palatului de iarnă din Leningrad (detaliu)

Fig. 352. (334) Figură de peaticul curții Palatului Regal din Paris

Fig. 353. (335)





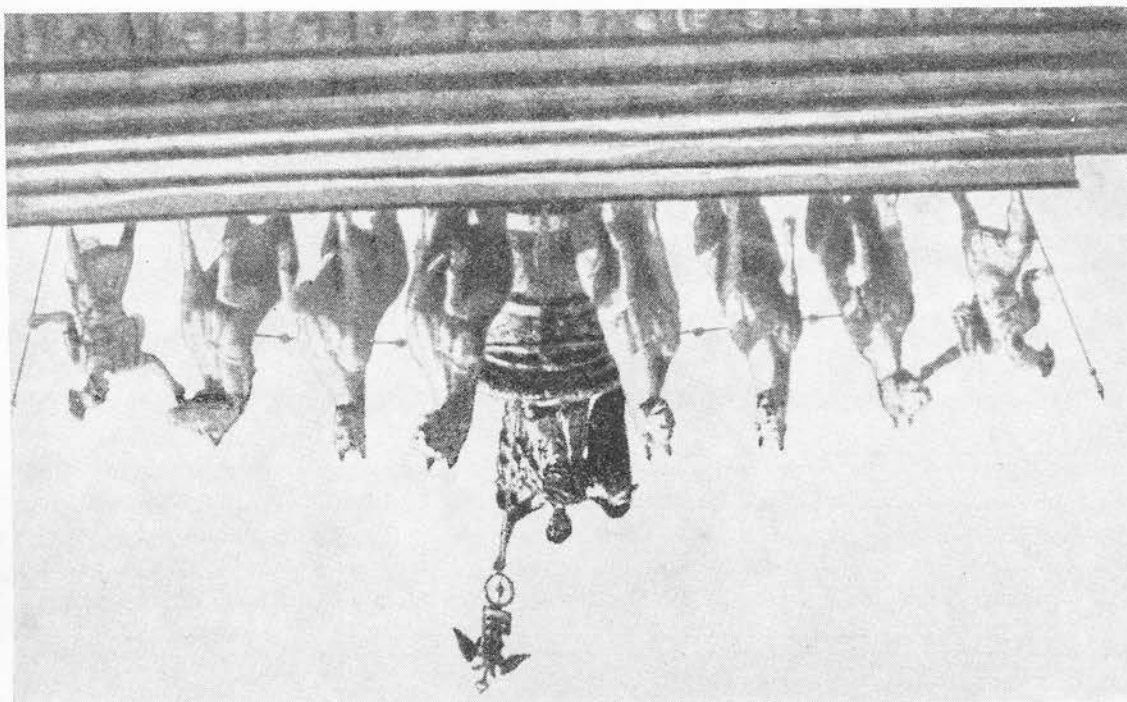
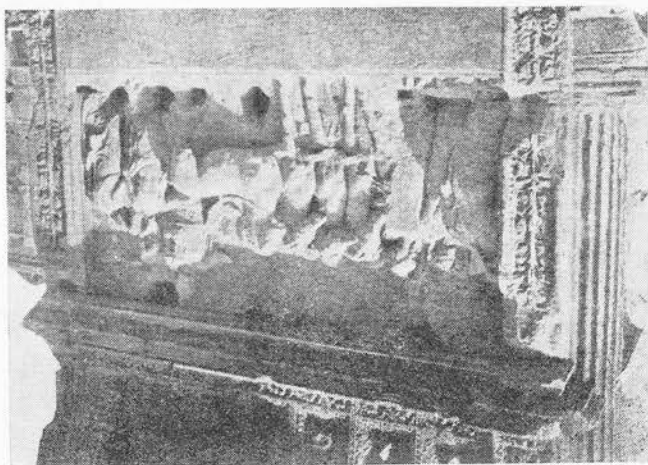


Fig. 355. (335) Carul triumfal de pe arcada Marei Stat Major din Leningrad

unghi de 18°, figura — cu aceeași orientare — a fost fotografiată, simultan, așezată pe unei figuri cînd va fi așezată pe o înălțime dată în cazul cînd va fi privită sub un

Fig. 354. (335) Basorelieful de pe arcu de triumf al lui Titus



sau de viziune clară, sub un unghi vizual de circa  $18^\circ \times 2 = 36^\circ$  (1, 48, fig. 66—68), adică de la o depărtare de trei ori mai mare decît înălțimea maximă a elementului respectiv deasupra punctului său de vedere. În cazul al doilea, ar-tistul va trebui să cunoască de-păr-tarea redusă (de exemplu pe o stradă îngustă) de la care va putea fi privită respectiva sculp-tură.

Verificarea se poate face evident prin fotografierea mache-tei în condițiile constatate la fața locului sau deduse din planuri.

În figura 347, pentru a evidenția modificările care pot interveni în expresia plastică a





Fig. 356. (335) Carul triumfal de pe arcada Marelui Stat Major din Leningrad (văzut din spate)

sol și așezată pe soclul respectiv. Artistul poate judeca măsura în care va modifica mișcarea membrilor sau a celorlalte elemente cerută de înălțimea soclului pentru a corespunde viziunii sale plastice.

Mai ales brațele care se depărtează de corp, își modifică expresia plastică o dată cu ridicarea lor pe soclu. În această privință, în afara brațelor ecorșeului din figura 347 se pot studia cu folos cele două imagini ale monumentului Suvorov din Leningrad din figurile 348 și 349. Mișcarea și expresia brațului înarmat e cu totul alta pe soclu decât în muzeu: dacă în muzeu brațul ar avea mișcarea dorită, pe soclu s-ar profila supărător pe cap.

**334.** — Traseele perspective pot sprijini aceste verificări, cum se arată în figura 350. Compoziția sculpturală se desenează în proiecție verticală  $V$  și în proiecție laterală  $L$ , și prin linii de ordine diferitele nivele ale compoziției se precizează pe un ax vertical  $tt'$  iar adâncimile corespunzătoare, luate din proiecția laterală, pe un ax orizontal  $l'l_1$ .

Prin punctele de pe axul vertical se duc raze vizuale cărora li se dă înclinarea corespunzătoare înălțimii la care va fi așezată compoziția și depărtării de la care va fi privită, înclinare ce se va stabili de la caz la caz cu ajutorul unei scheme făcute la scară

mică, asemănătoare celei ce s-a arătat mai sus pentru basorelieful. Dacă compoziția este de dimensiuni relativ mici și va fi privită de la o mare depărtare, razele se pot duce paralele, cum au fost duse pentru friza Panateneelor în figura 339. În caz contrar se vor duce raze convergente în punctul de vedere, fie folosind acest punct ca în figura 292 fie desenând o rețea între razele extreme a căror înclinare a fost luată din schema respectivă.

Între aceste raze înclinate și verticalele ridicate de pe axul orizontal  $L_1$  se va desena compoziția în proiecția laterală  $L_1$  și pe urmă, prin linii de ordine, proiecția verticală corespunzătoare  $V_1$ .

Elementele verticale ale compoziției, capului, tor-sului, îi se poate da o ușoară înclinare spre privitor, așa cum se poate face și cu statuile izolate de pe balustradele edificiilor acoperite cu terase, cind această înclinare nu este supărătoare pentru alte puncte de vedere ale

edificiului respectiv (fig. 351).

Adăugăm că în cazul edificiilor înalte ale străzilor înguste, în care adîncimea punctului de vedere este redusă, figurile așezate seamănă mai mult cu figurile în picioare, pentru ca genunchii să nu reducă înălțimea trunchiului așa cum se vede în figura 352.

**335.** — Potrivit marilor adîncimi, carele triumfale (fig. 353) așezate pe edificiul

înalte, prezintă impresiune de deformări. Ele se pot determina grafic (fig. 353) în aceleași condiții ca ale figurii așezate și reiese cu evidență din compararea acestei compoziții înscrisă în dreptunghiul basoreliefului arcului de triumf al lui Titus din Roma (fig. 354) cu înălțimea supraînălțată a aceleiași compoziții ridicată pe un edificiu înalt de 25 m din Leningrad (fig. 355 și 356).

— În modelarea în marmură de execuție a unei sculpturi monumentale de mari dimensiuni, schelele și lipsa de spațiu împiedică pe artist să examineze sub un anumit unghi diferitele detalii ale compoziției în timpul lucrului său. Pentru a remedia într-o oarecare măsură acest inconvenient, se poate improviza un tub cilindric cărui fir cu plumb să-i asigure o înclinare constantă dorită pentru ca sculptorul să poată examina succesiv, sub același unghi, diferitele detalii pe măsură ce le modelează (fig. 357).

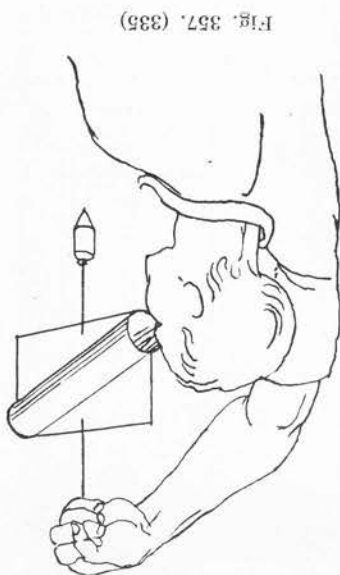


Fig. 357. (335)



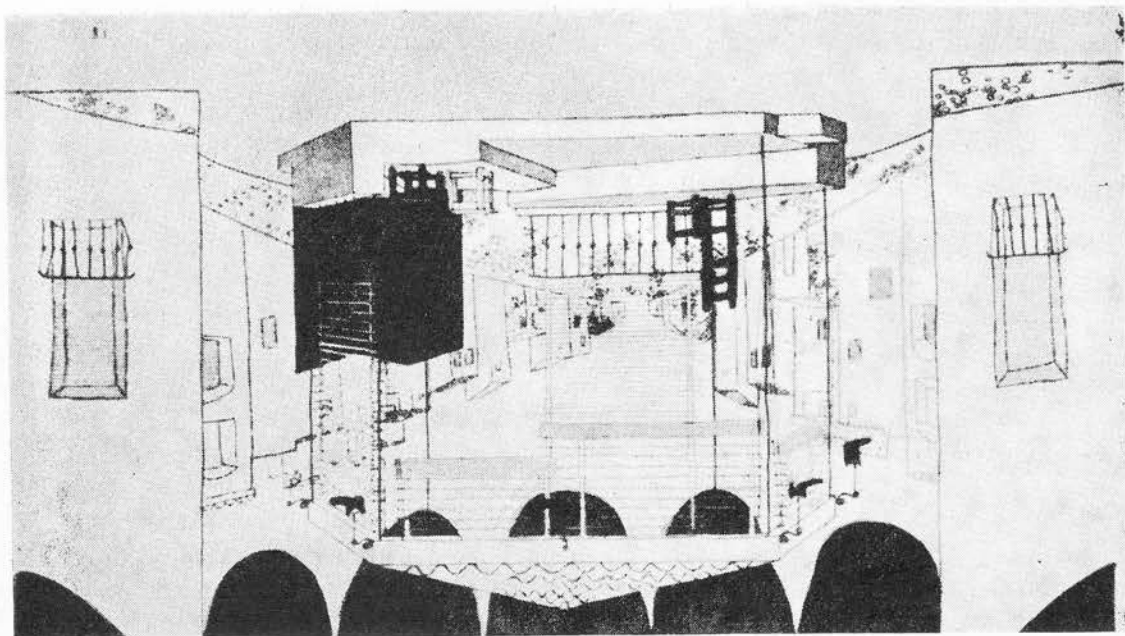
336. — În privința procedurilor perspective, compozițiile scenografice sînt de două feluri: decoruri care — ca și allorelieturile — sugerează o adîncime mai mare decît aceea a scenei respective și decoruri în care adîncimea scenei este suficientă pentru a cuprinde, fără deformare perspectivă, spațiul închipuit de scenograf.

În ambele cazuri va trebui să cunoaștem aplicarea diferitelor procedee atît în perspectivă directă cît și în perspectivă inversă, căci uniti scenografi compun ca arhitecți adică rezolvă problema pusă de textul dramatic închipuind, în geometric, împlinirea decorurilor pe platou și apoi reprezentarea lor cotată în elevație, cerînd imaginii — obținută prin procedee de perspectivă directă, — numai o verificare a compoziției din spațiu, văzută din punctul de vedere al spectatorilor din sala respectivă. Dar alți scenografi compun ca pictori, închipuind imaginea perspectivă a decorului văzut din sală, urmînd ca — prin procedee de perspectivă inversă — să stabilească cele trei dimensiuni din spațiu ale diferitelor elemente componente ale decorului, în vederea executării unei machete și apoi a realizării decorurilor în mîrîme naturală.

## GENERALITĂȚI

### PERSPECTIVA ÎN SCENOGRAFIE

Fig. 358. (374) Toni Gheorghiu: Decor pentru „Nemăipomenita pantofăreasă” de Frederico Garcia Lorca



Dar indiferent de calea urmată, înainte de a se trece la realizarea în mărime naturală a decorurilor, pictorul scenograf își va concretiza compoziția într-o imagine perspectivă pe care o vom denumi schiță sau tablou și într-o machetă, ambele trebuind să aibă în vedere dimensiunile și configurația scenei și a sălii în care va avea loc spectacolul.

Vom examina întâi felul în care se pot aplica diferitele procedee perspective în decorurile care nu încearcă să sugereze adâncimi mai mari decât poate cuprinde scena respectivă și pe urmă procedeele proprii decorurilor care tind să sugereze adâncimi mai mari.

Pentru primul caz nu am avea nimic de adăugat la procedeele expuse în diferitele capitole anterioare relative la compozițiile picturale în general, dacă prezența actorului pe scenă și prezența spectatorului din sală n-ar condiționa scara perspectivă și nivelul liniei orizontului al schiței, dacă în scenografie, imaginile perspective, întotdeauna de dimensiuni mici și desenate pe planșetă, iar nu pe șasiu, n-ar comporta unele simplificări și dacă problemele de restituire perspectivă, care leagă aceste imagini de confecționarea machetelor, n-ar constitui o preocupare de bază.

Pentru cazul al doilea de asemenea nu ne putem mărgini la procedeele care s-au arătat pentru construirea reliefurilor sculpturale căci, în scenografie, planul obiectelor este orizontal (sau eventual pe scenele mai vechi, foarte puțin înclinat) iar nu înclinat ca în alto și basorelief, ceea ce permite alte procedee speciale.

**337.** — În primul caz vom examina următoarele rezolvări:

a) Folosirea în perspectivă directă sau în perspectivă inversă a rețelei de pătrate orientate frontal (I 428—445, fig. 481—500) pentru definitivarea imaginii perspective și a planului în vederea precizării cotelor elementelor machetei (343—344).

b) Ca mai sus, dar pentru obținerea unor rezultate mai exacte, aplicând și procedeul coborîrii planului perspectiv (I 303—306, fig. 332—334 și 338).

c) Folosirea, în perspectivă directă sau în perspectivă inversă, a rețelelor perspective cu puncte de egală resecție, pentru definitivarea imaginii perspective și a planului în vederea precizării cotelor elementelor machetei (346—347).

d) Folosirea unui procedeu practic pe care îl vom denumi general pentru că poate fi folosit și în decorurile care ca și altoreliefurile vor să sugereze iluzia unor adâncimi mai mari. Acesta permite să se stabilească, în perspectivă inversă proiecția orizontală a decorului pe planșeul scenei și să se stabilească cotele necesare confecționării machetei, indiferent dacă imaginea perspectivă — care corespunde viziunii plastice a scenografului — este sau nu corectă în privința descreșterilor și deformărilor ei perspective (348—351 și 369).

**338.** — În cazul al doilea vom examina următoarele rezolvări:

a) Determinarea și folosirea elementelor perspective în vederea întocmirii machetei unei compoziții frontale, în perspectivă directă (353—365) și în perspectivă inversă (368—372).

b) Ca mai sus, dar pentru o compoziție orientată pe unghi (366—367)

c) Folosirea procedurii general pentru stabilirea, în perspectivă inversă a cotelor necesare confecționării machetei chiar când descreșterile și deformările perspective ale schiței nu au fost verificate (369—374).



**339.** — Studiile și primele schițe ale imaginii perspective pot fi executate în deplină libertate pentru a nu stăvilii spontaneitatea lor dar se va căuta totuși ca raportul între lățimea și înălțimea lor să se apropie de cel al deschiderii scenei — bineînțeles cunoscând posibilitățile ei de modificare prin apropierea arhitecturilor sau prin coborrea mantoului. Dar îndată ce s-a ajuns la o soluție satisfăcătoare este bine pentru a ușura mersul ulterior al lucrărilor — ca definirea ei să se facă redesenând-o la o scară corespunzătoare, mărirea sau micșorarea ei urmînd să se execute cu procedeu, folosit de toți pictorii, al rețelilor de pătrate. În cele ce urmează se consideră că schița a fost desăvîrșită într-un cadru corespunzător oglinzii scenei respective și desenat la o scară judicioasă.

### Scara folosită în schițele și machetele scenografice

**340.** — Potrivit dimensiunilor mai mici sau mai mari ale scenei respective se pot folosi diferitele scări obișnuite în proiectele arhitecturale: scara de 5 cm pe metru pentru scenele mai mici și de 2 cm sau chiar de 1 cm pe metru pentru scenele mari sau foarte mari. Considerăm că este bine ca în schițele și machetele de scenografie să se folosească în permanență aceeași scară, indiferent de mărirea scenei respective. În felul acesta, după o scurtă experiență, scenograful va căpăta obișnuința de a „vedea” ce vor da diferitele lui proiecte cînd sînt executate pe scenă și în felul acesta va fi sprijinit efectiv ca pe tot parcursul elaborării proiectelor să le conceapă cu constanța preocupare de a respecta mărirea staturii figurii umane. Dintre scările obișnuite, aceea de 2 cm pe metru este prea mică pentru scenele de dimensiuni reduse, iar aceea de 5 cm pe metru este prea mare pentru scenele foarte mari. Dar scara intermediară de 3 cm pe metru, neobișnuită în proiectele arhitecturale, corespunde ambelor cazuri și ca atare poate fi folosită cu bune rezultate în scenografie, deși nu se găsesc în comerț rigle gradate la această scară. Această lipsă poate fi suplinită cu ușurință: oricine poate să-și confecționeze pe o bandă de bristol o linie gradată la această scară neobișnuită, în care 3 cm reprezintă un metru și 3 mm un decimetru. Desenată cu grija o astfel de riglă da rezultate destul de precise și exclude anevoioasa practică de a stabili prin calcul dimensiunile elementelor proiectelor respective.

Formatul tratatului nu a permis prezentarea figurilor acestui capitol la scara preconizată mai sus. Dar cititorul va putea să și-o închipuie cunoscînd că desenele din fig. 360 (planul) sînt de patru ori mai mici, cele din fig. 362, 364, 367, 368, 377, 379 și 380 de trei ori mai mici, iar cele din figurile 360 (sus) și 365 de două ori mai mici decît ar fi fost la scara de 3 cm pe metru.

341. — *Elementele perspective ale schiței* adică ale tabloului situat în planul „oglinzii“ scenei, între arlechini și mantou și pe care se desenează imaginea perspectivă a compoziției de pe scenă.

Pentru evitarea supărătoarelor surprize care uneori pot stăvili total elanul creator al scenografului, este necesar ca, înainte de a da cîmp liber imaginației sale pentru conceperea unei compoziții corespunzătoare, acesta să cunoască bine sala de spectacol și posibilitățile scenei respective. În lipsa unei serii complete de planuri la diferite nivele și de secții transversale și longitudinale prin sală și scenă, sînt indispensabile: în privința sălii un plan la nivelul scenei în care să fie indicate locurile cele mai laterale ale spectatorilor, o secțiune longitudinală în care să se poată preciza nivelul punctelor de vedere ale spectatorilor din parter, balcoane și galerii, date necesare pentru determinarea „vizibilităților“ de care se va vorbi mai departe (375) iar în privința scenei, pe lângă cunoașterea celor trei dimensiuni ale ei, o elevație a deschiderii scenei și a posibilităților de micșorare a ei prin apropierea arlechinilor și coborîrea mantoului. Numai cunoscînd aceste date se vor putea determina, cum se arată mai jos, elementele perspective ale schiței, cuprinse în cadrul scenei, desenat la scara aleasă: *linia orizontului*, *punctul principal*, *punctul de distanță întreg sau redus*, *scara perspectivă* și ca reper de adîncime, imaginea perspectivă a urmei peretelui din fundul scenei.

*Linia orizontului* în compozițiile scenografice constituie o problemă specială. În principiu ea trebuie să se afle la nivelul ochilor spectatorilor din mijlocul parterului, nivel care se poate preciza cunoscînd sala respectivă sau avînd planurile ei. Nivelul acesta este de obicei destul de jos. În figurile acestui capitol a fost considerat a fi la 1,25 m. Cu o linie a orizontului atît de joasă (la scara de 3 cm pe metru s-ar găsi față de linia inferioară a tabloului la o înălțime de 3,75 cm) imaginea perspectivă a planului obiectelor pînă în fundul scenei constituie o fișie prea îngustă pentru a exprima cu claritate succesiunea, în adîncimea spațiului, a planelor diferitelor elemente dintr-o compoziție complexă. La lipsa de claritate se adaugă și lipsa de obișnuință a pictorilor care numai ocazional folosesc un orizont atît de coborît, lipsuri care ar frîna libera spontaneitate a compoziției. Din aceste considerații credem că schița se poate studia și definitivă dîndu-se liniei orizontului o cotă chiar superioară înălțimii ochilor unei figuri în picioare, pentru a se putea reprezenta cu mai mare claritate posibilitățile de mișcare a actorilor în jocul lor de scenă. Astfel în schițele din figurile 360, 362, 365, 367, 377 linia orizontului a fost luată la o înălțime variînd între 1,65 m și 1,85 m. Dar de acest nivel ridicat a liniei orizontului din schiță, scenograful va trebui să ție neapărat seama la transpunerea ei în machetă și apoi la întocmirea planurilor de execuție ale decorului respectiv, procedînd așa cum se arată mai departe (351, 371 și 374).

— *Punctul principal* se ia, evident în mijlocul liniei orizontului.

— *Distanța principală*. Dacă pentru precizarea liniei orizontului e bine să se ție seama de cota reală a punctelor de vedere ale spectatorilor din mijlocul parterului, nu este cazul ca lungimea distanței principale să fie determinată de punctul

de vedere al unui anumit spectator din sală. Decorul — de altfel ca orice tablou — poate fi privit de la diferite depărtări deși, teoretic, numai de la o anumită depărtare, când liniile desenate s-ar suprapune exact pe muchiile obiectelor reprezentate, este deplin corespunzător. Esențial este ca decorul — ca orice tablou — să nu ne înfățișeze deformări perspective supra-rătoare — anamortoze — necorespunzătoare cîmpului vizual uman. Pentru a le evita, dis-tanța principală va fi — ca în toate compozițiile picturale — egală cu îndoitul razei cercului în care se înscrie tabloul — adică oglinda scenei — cu centrul în punctul principal. Nu credem că e bine să se ia o distanță principală mai mică cum se face uneori — adică egală cu lărgimea oglinzii scenei. În marginile superioare laterale ale compoziției pot inter-veni deformări perspective supărătoare de felul aceleia a arcadei din dreapta fig. 360 în care construcțiile au fost făcute cu punctul de distanță  $D/2$  din marginea oglinzii scenei, corespunzând unei distanțe principale egale cu lărgimea oglinzii scenei. Potrivit mărîmii planșetei pe care se lucrează, punctul de distanță va putea fi redus numai la jumătate (D/2 în fig. 360 și în fig. 362) sau va putea fi folosit — eventual — chiar întreg, deși intersecțiile nu vor fi tot atât de bune ca atunci cînd utilizăm punctul de distanță redus.

— S c a r a p e r s p e c t i v ă a t a b l o u u l u i. Indiferent de înălțimea care s-a dat liniei orizontului, pentru determinarea scării perspective a schifei nu este necesar să executăm construcțiile obișnuite în compozițiile picturale în care nu cunoaștem lărgimea, cu totul înălțătoare, a marginii inferioare a tabloului. Este suficient să unim unul din punctele liniei orizontului (de exemplu punctul principal P în fig. 360) cu capetele (M și N din aceeași figură) ale lărgimii unui metru, luată la scara aleasă pentru schifă și pe marginea ei inferioară. Scara se completează cu subdiviziunile metruului, după cum știm (I 155, fig. 210).

— A d i n c i m e a s c e n e i, adică a planului obiectelor se determină cu ușurință. Dacă folosim punctul de distanță redus la jumătate, luăm pe marginea inferioară a schifei, la scara aleasă, lărgimea  $RN$  (5 m în fig. 360) de două ori mai mică decît adîncimea scenei date pentru a găsi în punctul  $v$ , la intersecția dreptei de capăt  $RP$  cu dreapta  $ND/2$ , adîncimea căutată (de 10 m în fig. 360). Desenul se poate completa, precizînd și lărgimea fundului scenei pe care o putem măsura cu ajutorul scării perspective. În fig. 360 luînd spre stînga punctului  $v$  și spre dreapta simetricului lui  $v_1$  de cîte patru ori segmen-tul  $ss_1=1$  m, s-a dat scenei, a cărei oglindă este de 9 m  $\times$  6 m, o lărgime *lu* presupusă de 17 m. **342. — Planul sau geometricul scenei.** În stabilirea elementelor perspective ale schifei, după cum s-a văzut mai sus, s-a ținut seama de dimensiunile reale ale scenei și ale oglinzii ei, precum și de nivelul ochilor spectatorilor din sală. La rîndul lui planul sau geometricul scenei trebuie să fie pus de acord cu elementele perspective ale schifei. Mai întîi, pentru simplificarea lucrărilor, este bine să fie desenat la aceeași scară ca și schifa, cum se poate vedea în fig. 362, 367 și 377. Formatul tratatului ne-a obligat să nu respectăm această recomandare și în alte figuri, care printr-o prea mare reducere ar fi pierdut din claritatea lor. Astfel în fig. 360, 373 și 368 geometricul este la o scară de două ori mai mică decît scara oglinzii scenei iar în figurile 364—365 geometricul este la scara de 1 cm pe metru în timp ce oglinda scenei este la scara de 1,5 cm pe metru. Apoi punctul de vedere O (inaccesibil în planurile scenei din figurile 360, 362, 364, 367 și 379 dar accesibil în figu-

rile 368, 373, 377) trebuie așezat la o depărtare față de urma  $RR_1$  a planului vertical al oglinzii egală cu dublul razei  $PO$  a cercului în care se înscrie tabloul și cu centrul în punctul principal (fig. 362). În această figură punctul  $O$  a fost rabătut pe planul vertical al schiței, în vederea unor construcții de care se va vorbi mai departe (345) luându-se în  $PO$  de două ori segmentul  $PD/2$  obținut cu arcul de cerc  $oD'/2$ . În aceeași figură se arată cum se pot desena, în geometral, proiecțiile  $RE$  și  $R_1E_1$  ale razelor vizuale care mărginesc lateral cîmpul vizual al spectatorului, cînd punctul de vedere  $O$  este inaccesibil pe planșetă: se ia segmentul  $RC$  egal cu distanța principală redusă la jumătate  $PD/2$  și segmentul  $CE$  egal cu o pătrime din deschiderea  $RR_1$  a oglinzii scenei.

După completarea oglinzii și a geometralului scenei cu elementele perspective arătate mai sus, pentru definitivarea schiței și a proiecției ei orizontale pe planul scenei, în vederea realizării machetei și întocmirii planurilor de execuție ale decorului proiectat, scenograful cum s-a spus mai sus, poate folosi, în perspectivă directă sau în perspectivă inversă mai multe procedee printre care: procedeul rețelei de pătrate, cu sau fără coborîrea planului perspectiv și procedeul rețelelor perspective cu puncte de egală resecție. În continuare vom examina și procedeul practic general care permite realizarea în perspectivă inversă, a machetei unei compoziții liberă și pitorească chiar cînd descreșterile și deformările perspective ale schiței, neverificate, nu sînt exacte.

## DECORURILE FĂRĂ DEFORMĂRI PERSPECTIVE

### PROCEDEUL REȚELEI DE PĂTRATE

#### A) În perspectivă directă

**343.** — Scenograful, ținînd seama de desfășurarea acțiunii cuprinse în textul respectivei opere dramatice, și compunînd ca un arhitect, desenează pe planul scenei, în proiecție orizontală, diferitele elemente ale decorului dimensionîndu-le și orientîndu-le în strînsă legătură cu jocul actorilor. În același timp, fie în ansamblu, fie pentru fiecare element în parte, desenează, firește la aceeași scară, și proiecțiile verticale, adică elevațiile corespunzătoare, raportînd în permanență înălțimile lor la statura medie a actorilor. În baza acestor desene, executate la scară și eventual cotate, se poate trece direct la executarea machetei și apoi la confecționarea în mărime naturală a decorurilor. Imaginea perspectivă a compoziției nu apare deci necesară, dar totuși poate fi folosită ca o primă verificare a compoziției. Ea se poate obține cu ajutorul procedurii cunoscut al rețelei de pătrate orientate frontal (I 428—445, fig. 481—500). Aceasta se desenează atît pe proiecția orizontală a scenei, cît și pe planul obiectelor din imaginea perspectivă așa cum se arată în figura 360. În perspectivă, liniile de capăt ale pătratelor cu laturile de 1 m, măsurate la



344. — După cum știm, în perspectivă inversă, rețelele perspective de pătrate orientate frontal pot fi folosite pentru verificarea altă a compozițiilor în care volumele sînt orientate pe frontal (I 433—434, fig. 488) cit și pentru compoziții în care volumele sînt orientate pe unghi (I 436—437 fig. 491—493). În scenografie, odată cu această verificare se va obține și proiecția orizontală a compoziției necesară întocmirii machetei. Scenograful va desena din imaginație compoziția sa înscrind-o în cadrul oglinzii scenei și avînd grija ca în adîncimea spațiului să nu depășească urma *tu* a pereților din fundul scenei pe care l-a determinat odată cu celelalte elemente perspective. După terminarea schiței se va desena pe

### B) În perspectivă inversă

În fig. 360 deși linia orizontului a fost luată la înălțimea de 1,65 m, în loc de înălțimea mai mică a punctului de vedere al spectatorilor din mijlocul partenerului, descresșterea perspectivă a pătratelor mai depărtate e atît de pronunțată încît îngreunază mult mersul lucrărilor, procedeul nedînd rezultate exacte. Dar folosind în aplicarea lui și unii din procedeele proprii perspectivei și anume procedeul coborîrîi planului perspectivei (I 303—306, fig. 332—334), vom remedia acest neajuns, așa cum se arată mai departe (345).

Cu această scară s-au măsurat înălțimile stilpilor *H* și *I* așa cum se vede în figură. Stilpul *G*, s-a întocmit o scară a înălțimilor luînd ca punct accidental de fugă punctul  $D'/2$ . De exemplu în figura 360 pentru a da și altor stilpi înălțimea de 3 m și înălțimea de 0,50 m a capitulelor lor, măsurate pe scară perspectivă pe orizontala punctului *d* pentru accesibile nici pe planșetă, se pot întocmi, după caz, scări corespunzătoare pentru înălțimi mici care se repetă de mai multe ori, în lipsa punctelor de fugă care eventual n-ar fi înălțimea respectivă, definind treptat întreaga imagine perspectivă. Pentru acele compoziții, vom măsura pe rețeaua perspectivă în planul de front al fiecărei verticale cunoscut din proiecțiile verticale ale decorului înălțimea diferitelor elemente ale

exemplu, punctul de fugă *F*. De fugă accesibile pe planșetă iar nu numai ale celor accesibile în tablou, cum este, de mari, transpunerea în perspectivă va fi mult simplificată prin folosirea tuturor punctelor Nestrînjîniți de limitele găsirii compozițiilor picturale și folosind planșete cit de

care laturile date trec prin unul din colțurile pătratelor rețelelor. laturile prea scurte ale compoziției și că vom folosi neapărat eventualele puncte *e*, *i* în pot fi măsurate cu ușurință, că obținem rezultate mai exacte prelungind cit mai mult lînd-ne: că numai punctele de intersecție *aa'*, *bb'*, *c* date cu laturile frontale ale rețelei vom desena pe rețeaua perspectivă toate laturile volumelor reprezentate în plan, amînlabila numerotare a pătratelor în plan și în perspectivă, procedînd din aproape în aproape, dă intersecții mai bune dacă o desenăm în pătratele  $MNs_1$  din mijlocul scenei. După preaevident pe toată întinderea  $RR_1tu$  a scenei și se va completa cu o scară perspectivă care rilor astfel obținute determinăm adîncimile egălate de cite 1 m. Rețeaua se va desena capăt adîncimi de cite 2 m și că, ducînd spre punctul  $D'/2$  a doua diagonală a dreptunghiadîncimilor știm că orice dreaptă — de exemplu dreapta  $ND/2$  — determină pe dreptele de scară pe marginea inferioară a scenei, vor fugi în punctul principal *P*. Pentru determinarea



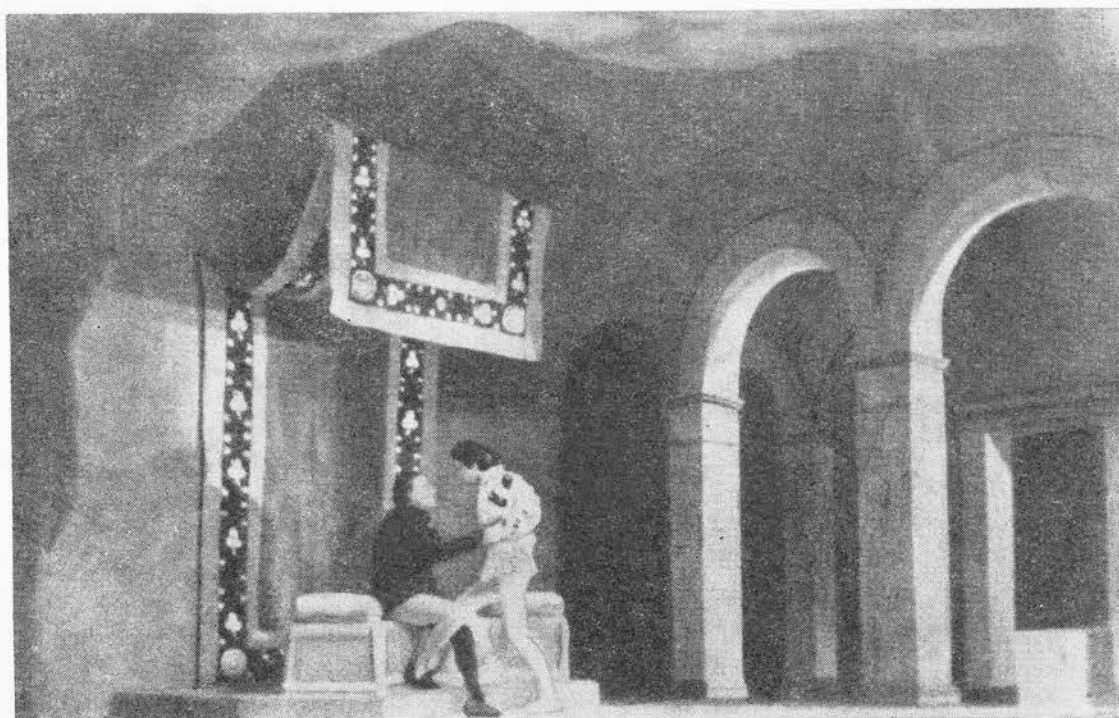


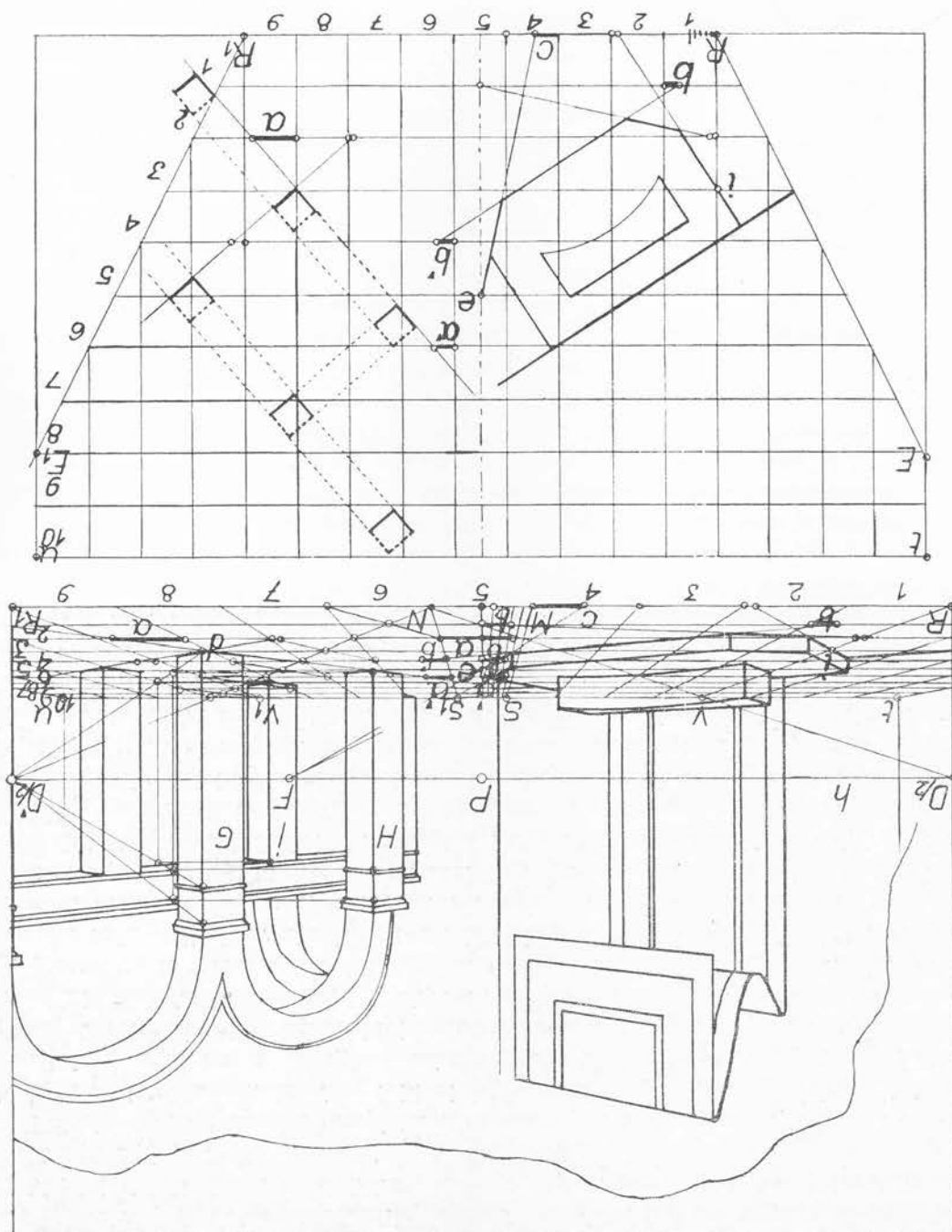
Fig. 359. (343) J. F. Noël: Decor de teatru

planul obiectelor rețeaua geometrală de pătrate orientate frontal, corespunzătoare rețelei perspective întocmită pe planul obiectelor al scenei. Ne amintim cum pe aceasta se vor desena din aproape în aproape, folosind invers procedeul descris mai sus toate elementele decorului din perspectivă. În proiecția orizontală vor apare toate erorile de detaliu ale schiței: unele unghiuri deformate, elemente care nu prezintă între ele raporturile pe care ar trebui să le aibă etc. După înlăturarea acestor erori în proiecție orizontală schița va fi definitivată în perspectivă directă, așa cum s-a arătat mai sus și se va putea purcede la întocmirea machetei.

#### PROCEDEUL REȚELEI DE PĂTRATE CU COBORÎREA PLANULUI PERSPECTIV

**345.** — Pentru a obține cu mai mare ușurință o schiță mai exactă, în perspectivă directă, folosind unul din procedeele proprii perspectivei (I 303—306, fig. 332—334), vom coborî planul perspectiv astfel ca rețeaua de pătrate să prezinte descreșteri perspective mai atenuate. Vom desena proiecția orizontală a scenei (fig. 362) la aceeași scară și sub oglinda scenei, lăsând între ele un spațiu cât de mare: formatul tratatului nu ne-a îngăduit să lăsăm în figură un spațiu mai mare, pentru ca rețeaua de pătrate perspective întoc-

Fig. 360. (341, 342, 343, 344, 345, 352)



mită în acest loc, iar nu pe planul obiectelor cuprins în oglinda scenei, să prezinte descreșteri perspective și mai atenuate. Liniile de capăt ale rețelei fug tot în punctul principal  $P$  al tabloului și adincimile se stabilesc, ca și în figura precedentă, cu ajutorul punctelor de distanță  $D/2$  și  $D'/2$ .

Folosirea rețelei implică completarea desenului cu o scară a înălțimilor (I 303) care e bine să se întocmească în afara tabloului. În acest scop și pentru a obține intersecții cât mai bune vom lua pe marginea inferioară a rețelei perspective un punct  $j$  cât mai depărtat de marginea ei verticală. Prelungind dreapta care unește acest punct cu capătul  $i$  al marginii mai depărtate a rețelei, obținem pe linia orizontului un punct accidental de fugă  $f$  care va fi vârful scării înălțimilor. Completăm scara ducind la nivelul planului obiectelor linia  $fi'j'$  și, eventual, pe toată înălțimea scării alte linii  $1f$ ,  $2f$  etc. din metru în metru. Prin  $i'$  trece urma, nedesenată, a peretelui din fundul scenei.

În sfârșit, este util să rabatăm punctul de vedere pe planul tabloului, în jurul liniei orizontului, în punctul  $O$ , luând segmentul  $PO$  egal cu segmentul  $D/2$   $D'/2$ .

Așezarea proiecției orizontale sub tablou, cum se arată mai jos, face inutilă folosirea scării perspective a tabloului care nici nu a fost desenată; coborîrea planului perspectiv al obiectelor permite să se pună în perspectivă cu mare exactitate cele mai mici detalii ale proiecției orizontale; scara înălțimilor asigură desăvîrșirea imaginii perspective a acestor detalii, iar rabaterea punctului de vedere  $O$  ne permite să determinăm cu ușurință toate punctele de fugă accesibile pe planșetă (este bine, în acest scop, ca planșeta să aibă un format cât mai mare).

— Pentru obținerea, în perspectivă directă, a imaginii perspective a elementelor reprezentate în proiecție orizontală, mersul lucrărilor va fi următorul:

a) Determinarea tuturor punctelor de fugă (care pot fi cuprinse pe planșetă) corespunzând diferitelor orientări ale elementelor componente în vederea simplificării construcțiilor și obținerii unei imagini cât mai exacte. Din punctul  $O$  se duc paralele geometrice la aceste orientări, pentru a obține la intersecția lor cu linia orizontului punctele de fugă  $F$  (pentru pereții laterali ai firidei dreptunghiulare din stînga) și  $F_1$  (pentru peretele din stînga compoziției) care intră în cuprinsul tabloului, precum și a celorlalte puncte de fugă  $F_2$  și  $F_3$  (pentru peretele și treptele din dreapta) care pot fi cuprinse pe o planșetă de dimensiuni obișnuite (pe o planșetă neobișnuit de mare ar putea intra eventual și punctul  $F_4$  pentru peretele din fundul firidei din stînga). Dreptele ale căror puncte de fugă nu vor fi accesibile pe planșetă se vor desena cu ajutorul scării înălțimilor, cum se arată mai jos (c).

b) În continuare se va proceda așa cum s-a arătat în fig. 360 cu deosebirea că segmentele de pe laturile orizontale ale pătratelor nu se vor determina prin măsurători pe scara perspectivă a tabloului ci se vor determina grafic prin linii de ordine și de capăt.

De exemplu punctele  $m$  și  $n$  în care urma peretelui firidei din stînga întretaie laturile orizontale 6 și 7 ale rețelei pătratelor se determină cu liniile de ordine  $mm'$  și  $nn'$  și cu liniile de capăt  $m'm''P$  și  $n'n''P$ . S-au determinat două puncte pentru urma acestui perete deoarece s-a considerat inaccesibil pe planșetă punctul de fugă corespunzător. Pentru marginea  $zd$  a treptelor este suficientă imaginea perspectivă  $z''$  a unui singur punct determinat pe latura orizontală corespunzătoare a rețelei perspective cu linia de ordine  $zz''$ .

scenei date.

litive într-un decor care nu urmărește sugerarea unei adîncimi mai mari decît aceea a punctului  $f'$ . În machetă nici un element nu va prezenta deformări sau descreșteri perspective de pe scara înălțimilor, pe care vom aduce orice dimensiune în primul plan pe verticala cărui machetă se poate executa pe proiecție orizontală, luînd înălțimile corespunzătoare în felul acesta se obține cu mare exactitate imaginea perspectivă a întregului decor a ridicate din  $b''$ , fără a mai folosi construcțiile din  $b_1$  și  $b_2$  de pe scara înălțimilor.

liniilor de fugă duse prin capătul  $a_3$  al treptelor se vor delimita în  $b_3$  prin verticalele sint arătate în fig. 362) cînd punctul de fugă  $F_3$  este accesibil pe planșetă, căci capetele Pentru capătul  $b_3$  al acestor trepte nu este necesar să facem aceleași construcții (care tiv coborît.

contratrepte intermediare, pe verticalele ridicate din proiecțiile lor  $a''$  de pe planul perspectiv în  $a_3$ . Între liniile înclinate care unesc capetele acestor contratrepte, se vor situa celelalte ultimei contratrepte a rampei  $a''$  imaginea perspectivă din tablou a acestor contratrepte obținem pe verticalele ridicate din proiecția orizontală de pe planul coborît al primei și a lor să înscrîm ușor celelalte trepte (I fig. 641 și 644). Prin linii de ordine  $a''a_1, a''a_2, a''a_3$  întîi prima și ultima contratreaptă, urmînd ca în liniile înclinate care unesc înălțimile Ne vom amîni că pentru imaginea perspectivă a treptelor e bine să determinăm mai îmi de cite 0,16 m au fost desenate la scară pe marginea verticală a scării înălțimilor.

Pentru detaliu se procedează la fel, așa cum arătăm pentru treptele  $a$  ale căror înălțimile determinate mai sus pe muchia  $s_3s_5$ .

planului coborît, punctele  $r_3, r_5$  etc. se determină de la sine ducînd linii de fugă prin punctul de fugă  $F_3$  este accesibil pe planșetă. Pe verticala ridicată din punctul  $r''$  al aceleași construcții și pentru muchia  $r_3r_5$  a aceleiași perete deși nu sînt necesare cînd la 4,65 m, 6,05 m, 6,85 m pe scara înălțimilor, după cum știm. În figura 362 s-au făcut (I 304). Pe aceasta, diferitele înălțimi (ale ușii, ale brîului superior etc.) se vor măsura duse prin punctele  $s''$  și  $s_2$  se va găsi în  $s_3$  capătul inferior al muchiei verticale cîutate ordine  $s_1s_2$  pînă la nivelul planului obiectelor din tablou. La întretăierea liniilor de ordine verticală  $s$  dintre pereții din dreapta. Ducem orizontală  $s''s_1$  pe planul coborît și linia de planului obiectelor din tablou, procedînd după cum urmează, de exemplu pentru muchia care dreapta  $ij$  reprezintă nivelul coborît al planului obiectelor, iar dreapta  $ij'$  nivelul

c) Pentru obținerea imaginii perspective din tablou vom folosi scara înălțimilor în fugă  $F_3$  al treptelor este accesibil pe planșetă.

Liniile de ordine  $bb', dd'$  și liniile de capăt  $b''b''P, d''d''P$  sînt inutile cînd punctul de rampe, se vor determina cu linii de ordine  $aa', cc'$  etc. și cu linii de capăt  $a''a''P, c''c''P$  etc. Pe aceste linii, detaliile, cum ar fi lărgimea firidei dreptunghiulare sau trepte diferite, cu ajutorul cărora s-au obținut în planul perspectiv coborît liniile mari ale compoziției, păturate. Cu explicațiile date anterior (343) și mai sus se pot urmări toate construcțiile pe planșetă, trece, din întîmplare, prin punctul  $A$  situat în unul din colțurile rețelei de nici unul din aceste puncte intruît această margine al cărei punct de fugă  $F_3$  este accesibil (la o mică depărtare de limita tabloului). Pentru marginea  $ac$  a treptelor nu e nevoie de și linia de capăt  $z'z''P$  pentru că punctul corespunzător de fugă  $F_3$  este accesibil pe planșetă



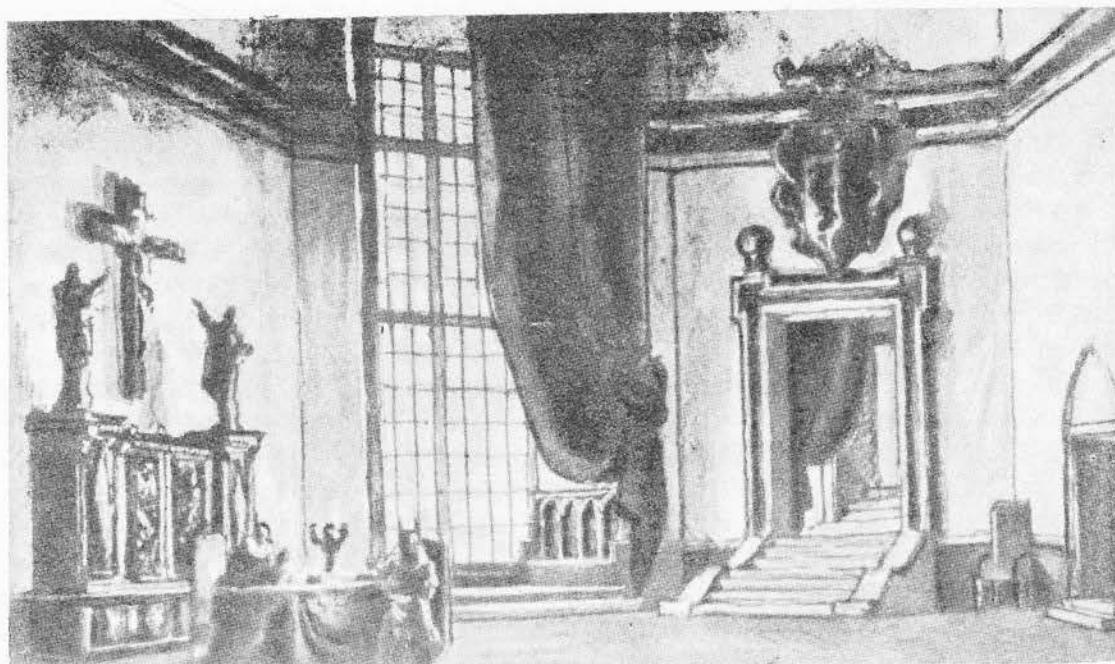


Fig. 361. (345) Nicolas Benoist: Decor de teatru

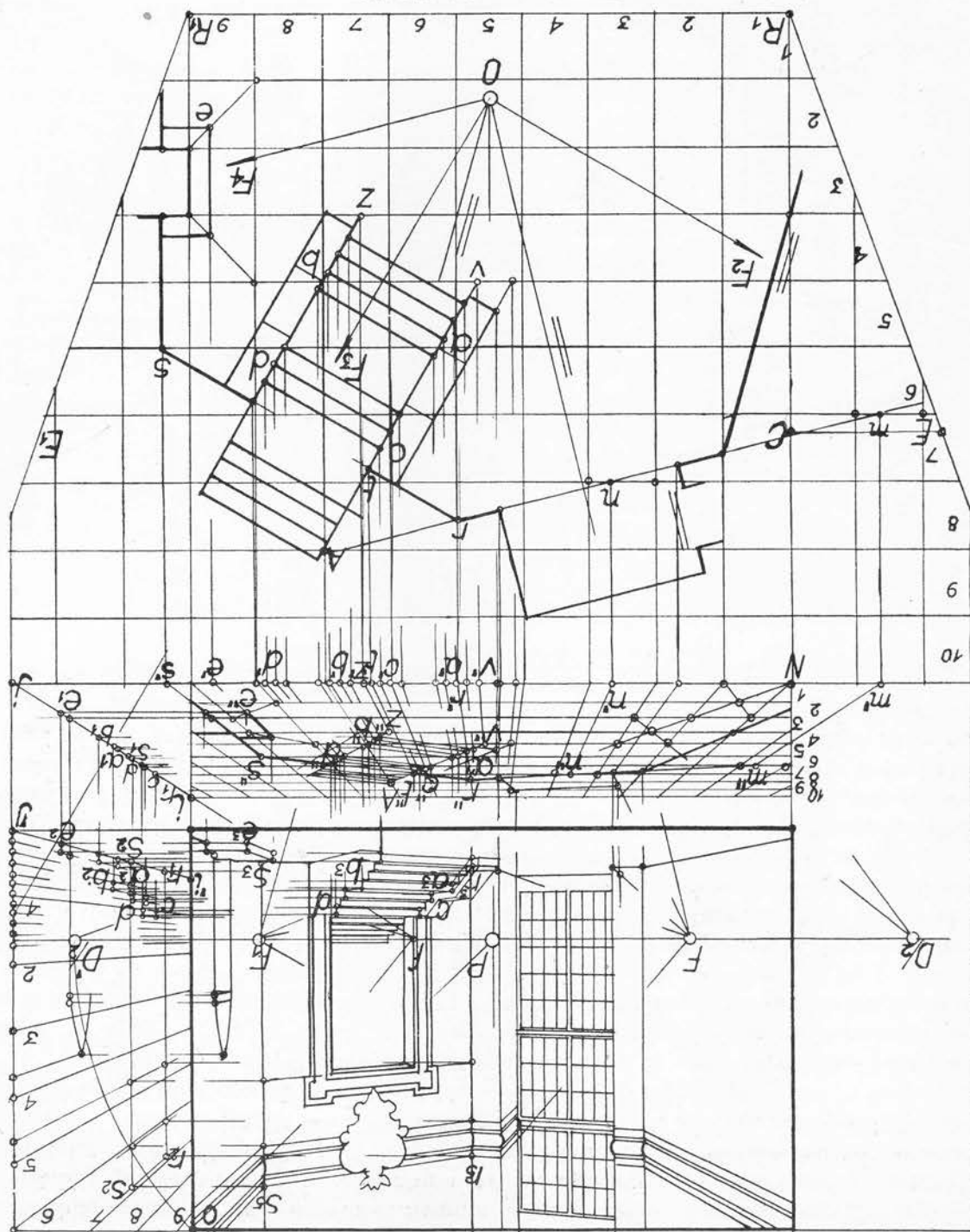
#### PROCEDEUL REȚELELOR PERSPECTIVE CU FUNCȚIE DE EGALĂ RESECȚIE

##### În perspectivă directă

**346.** — Folosirea rețelelor perspective cu punctele de egală resecție pentru studierea compozițiilor picturale cu figuri și obiecte cu diferite orientări, așezate la diferite depărtări și nivele a fost expusă mai sus (223—231). Pentru folosirea lor în scenografie, aceste rețele, în număr de 7 sau de 13, dând posibilitatea de a obține 12 sau 24 de orientări diferite, trebuiesc desenate anume în mărimea cerută de dimensiunile oglinzii scenei respective și de scara aleasă pentru executarea imaginii perspective. Ele se vor desena pe foi de hârtie tot atât de mari ca planșeta de care se dispune, notându-se pe linia orizontului punctele de fugă și punctele de egală resecție întregi care nu intră în șasiul compozițiilor pictate. (În fig. 365 formatul tratatului nu a permis să se ia întregi punctele de egală resecție și să se figureze punctele de fugă accesibile pe planșetă). Iar dacă aceste rețele vor fi folosite numai pentru definitivarea imaginilor în perspectivă directă — iar nu și pentru studierea lor în perspectivă inversă când în desenul cu mîna liberă, căutînd soluția plastică cea mai potrivită, încredințăm rețelelor grija de a ne conduce creionul spre puncte de fugă chiar



Fig. 362. (311, 312, 345, 349)



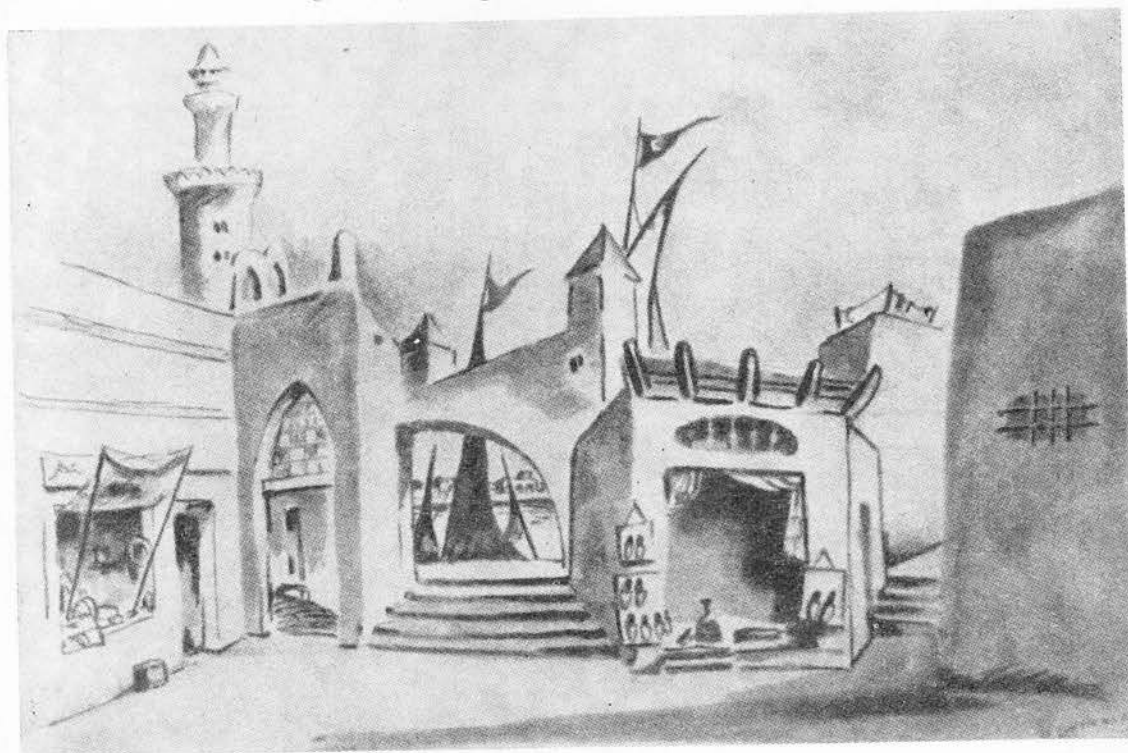
accesibile sau apropiate — putem să figurăm pe aceste rețele, în afara punctelor de fugă accesibile pe planșetă și a punctelor de egală resecție întregi, numai liniile de fugă ale punctelor inaccesibile pe planșetă, așa cum se arată în figura 365, în care nu s-au desenat și liniile — socotite inutile — care se îndreaptă spre punctele de fugă care pot fi folosite de desenator, fiind accesibile pe planșetă.

Aceste rețele nu vor putea fi folosite de scenografii care în urma experienței lor personale vor considera că un număr numai de 24 de orientări diferite ale obiectelor reprezentate pe scenă nu sînt suficiente pentru a exprima tumultul de viață cuprins în opera dramatică ce le-a fost încredințată.

Figura presupune că în definitivarea proiecției orizontale a compoziției sale scenografice, ținînd seama de orientările rețelelor perspective de care dispune, a dat elementelor componente unghiurile corespunzătoare chiar dacă, eventual, în schițele sale premergătoare aceste orientări nu erau respectate întocmai.

Înainte de a trece la imaginea perspectivă, este necesar să se facă o lucrare pregătitoare în proiecția orizontală (fig. 364). Se desenează și se măsoară abscisele *Aa*, *Bb*, *Cc*, *Dd* dintre unul din colțurile *A*, *B*, *C*, *D* ale elementelor care au orientări diferite și proiecția razei vizuale principale *oo'*. În continuare se măsoară la scara aleasă și depărtările *oa*,

Fig. 363. (396) J e a n I G u i r a n d: Decor de teatru



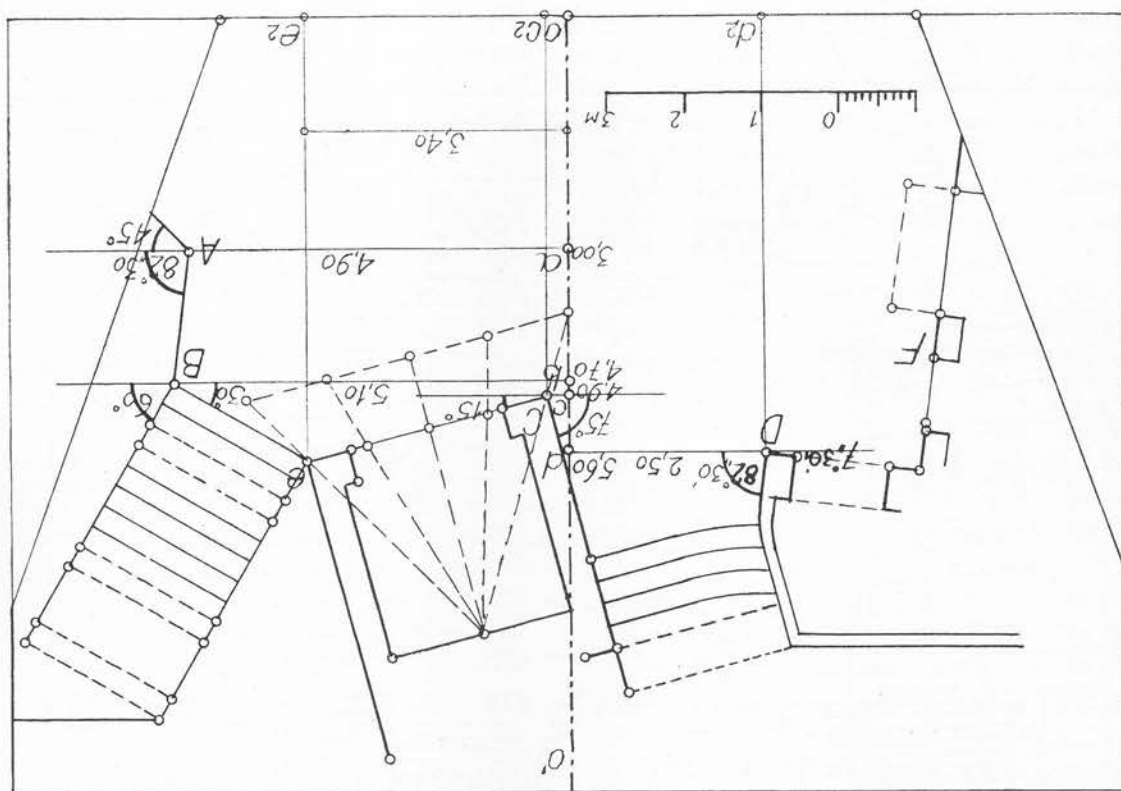


Fig. 364. (342, 346, 347, 352)

$ob$ ,  $oc$  și  $od$  ale acestor colțuri precum și — cu raportorul — unghiurile pe care le fac urmele planelor verticale ale acestor elemente cu planul frontal al tabloului.

— Cu aceste date se poate începe imaginea perspectivă în cadrul oglinzii scenei desenate la scara aleasă și în care s-au precizat: linia orizontului  $oo'$  (în fig. 365 la 1,65 m), punctul principal  $P$ , scara perspectivă a tabloului (segmentul  $l$  s-a luat de 1 m la scara aleasă) și punctul de distanță redus de patru ori  $D/4$  ( $P/D/4 = \text{raza } Pm/2$ ). Determinăm pe planul obiectelor locul ocupat de colțurile  $A$ ,  $B$ ,  $C$  și  $D$  ale diferitelor elemente: adâncimea și abscisa lor. Adâncimile pe dreapta de capăt  $oP$  se găsesc în punctele  $a$ ,  $b$ ,  $c$  și  $d$  la intersecția ei cu dreptele care unesc punctul  $D/4$  cu punctele  $a_1$ ,  $b_1$ ,  $c_1$  și  $d_1$  care s-au luat dând segmentelor  $oa_1$ ,  $ob_1$ ,  $oc_1$  și  $od_1$  măsurate la scara aleasă în  $l$ , a patra parte din adâncimile  $oa$ ,  $ob$ ,  $oc$  și  $od$ , citite în proiecția orizontală. Abscisele  $aA$ ,  $bB$ ,  $cC$  și  $dD$  se măsoară pe scara perspectivă în planul lor  $a'a'$ ,  $b'b'$ ,  $c'c'$  și  $d'd'$  și li se dau lungimile  $aA$ ,  $bB$ ,  $cC$  și  $dD$  citite în proiecția orizontală. Abscisele se pot măsura, la scara aleasă și pe marginea inferioară a tabloului, de exemplu în  $od_2$  și  $oc_2$ , obținându-se rezultate mai exacte. Dreptele de capăt  $d_2P$  și  $c_2P$  precizează colțurile  $D$  și  $C$  la intersecțiile lor cu orizontalele duse

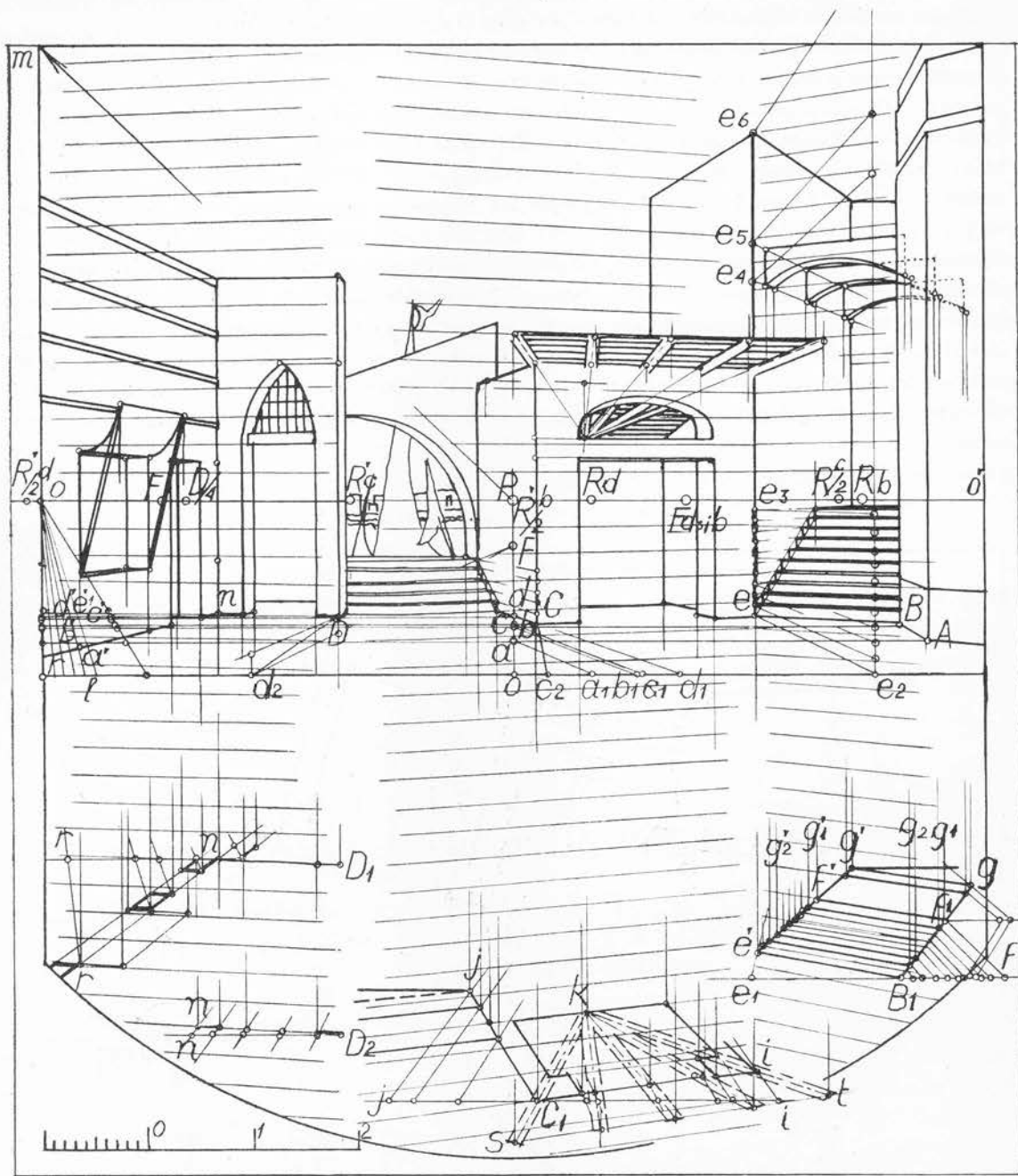


Fig. 365. (341, 342, 346, 347, 375)

prin  $d$  și  $c$ . Pe planșetă, depășind cadrul tabloului, s-ar fi putut proceda la fel și pentru abscisele colțurilor  $A$  și  $B$ .

Cunoscând orientările diferitelor elemente prin măsurătoarea cu raportorul făcută mai sus, vom folosi pentru desenaarea fiecăruia perspectivei corespunzătoare. Se obțin rezultate mai exacte dacă folosirea lor se face cu coborirea planului perspectivei, așa cum se vede în fig. 365 în care colțurile  $B$ ,  $C$  și  $D$  au fost coborâte în punctele  $B_1$ ,  $C_1$  și  $D_1$ , luate de preferință pe una din liniile rețelei cu punct de fugă inaccessibil pe planșetă. Pe liniile orizontale duse prin aceste puncte, dimensiunile pentru laturile, orientate pe unghi, ale diferitelor elemente, citite la scară aleasă, în proiecție orizontală a scenei, se iau din scară perspective a tabloului și anume din planurile lor frontale: în  $Be_1$  și  $B_1f$  lățimea și adâncimea treptelor se măsoară în  $b'$ ; în  $C_1f$  și  $C_1t$  dimensiunile prăvăliei și ale treptelor din stînga ei se măsoară în  $c'$  iar pentru elementul din stînga scenei unitatea de măsură se va lua în  $d'$  în planul frontal al colțului  $D$  și în  $e'_1$  pentru peretele  $nr$ .

Aceste dimensiuni, evident, se iau întregi sau înjumătățite după cum sînt și punctele respective de egală resecție ale rețelei folosite. Astfel pentru lățimea de 2 m a treptelor, segmentul  $B_1e_1$  s-a luat tot de 2 m (măsurată pe scară perspective în  $b'$ ) întrucît punctul corespunzător de egală resecție  $Rb$  este întreg în timp ce segmentul  $B_1f$  (măsurat tot în  $b'$ ) s-a luat, pentru un număr de 9 trepte a cite 0,80 m numai de 1,75 m adică jumătate din 2,70 m, deoarece punctul corespunzător de egală resecție  $Rb/2$  este redus la jumătate. După ce s-a obținut planul perspectivei coborît al elementului, de exemplu pentru treptele de mai sus,  $B_1e'f_1$ , în tablou, imaginea perspectivei se obține prin linii de ordine și folosind punctele de fugă accesibile pe planșetă și liniile rețelei pentru punctele de fugă inaccessibile. De exemplu, între liniile de ordine ridicate din punctele  $B_1$  și  $e'_1$ , prima contratreaptă  $Be$  se obține ducînd marginea ei inferioară cu ajutorul liniilor rețelei, înălțimile imaginii perspective se măsoară, evident, pe scară perspective în planul frontal al verticalei respective. De exemplu înălțimile  $ee_3$  de 1,50 m ale celor zece contratrepte,  $ee_4$  și  $ee_5$  de 4,75 m și 5,30 m ale arcelor de reazim și  $ee_6$  ale întregului perete se vor măsura pe scară perspective a tabloului pe frontala dusă anume din punctul  $e$ .

Se obțin rezultate mai exacte dacă aceste înălțimi se măsoară la scară în planul tabloului, pe verticala ridicată din punctul  $e_2$ , obținut prin linia de capăt  $Pe$ , prelungită. Dacă s-a desenat exact segmentul  $oe_2$ , măsurat la scară, trebuie să aibă aceeași lungime de 3,40 m ca segmentul  $oe_2$  din proiecția orizontală (fig. 364).

— Întrucît avem planul perspectivei coborît al elementului, toate înălțimile lui pe una din verticale, un punct de fugă accesibil pe planșetă și o rețea perspectivă care înlocuiește punctul de fugă inaccessibil, pentru definitivarea tuturor detaliilor imaginilor perspective nu este necesară și o scară a înălțimilor.

De exemplu, pentru arcele elementului  $B$  prin punctele de intersecție ale dreptelor duse prin punctele  $e_4$  și  $e_5$  spre punctul de fugă accesibil, cu verticalele ridicate din punctele  $g_1, g_2, g'_1, g'_2$ , se vor duce, pentru completarea imaginii lor, linii cu ajutorul rețelei perspective. Pentru trepte vom desena, după cum sîm, mai întii prima și ultima



contratreaptă pe verticalele ridicate din  $e'$  și  $f'$ , la intersecția lor cu dreptele duse prin  $e$  și  $e_3$  spre punctul de fugă accesibil. Între dreptele înclinate care unesc capetele acestor contratrepte celelalte se desenează fie ridicând verticale din punctele cuprinse între  $e'$  și  $f'$  fie ducând prin diviziunile verticalei  $ee_3$  liniile de fugă corespunzătoare. Imaginea celorlalte trepte se completează cu ajutorul rețelei perspective.

În fig. 365 se pot urmări toate construcțiile prin care s-au pus în perspectivă toate detaliile celorlalte elemente  $C$  și  $D$  ale decorului precizate în proiecție orizontală din fig. 364 procedînd tot așa cum s-a arătat mai sus pentru elementul  $B$ .

— Pentru confecționarea machetei și apoi a decorurilor în mărime naturală, lățimile și adîncimile se vor lua din proiecția orizontală a scenei, iar înălțimile fie din schițele de fațadă executate de scenograf o dată cu definitivarea planului și cu ajutorul cărora s-a desăvîrșit imaginea perspectivă a schiței, fie din această schiță, măsurîndu-le fie pe scara perspectivă a tabloului, fie la scară, dacă s-a folosit procedeul arătat mai sus pentru verticala  $e-e_2$ .

### În perspectivă inversă

**347.** — Figura presupune că pentru definitivarea schiței unui decor, scenograful a folosit rețelele perspective cu puncte de egală resecție, profitînd de facilitățile pe care le dă acestui procedeu înlocuirea șasiului tabloului pictat cu planșeta care depășește cu mult suprafața limitată a oglinzii scenei. El cunoaște prin urmare — după rețelele folosite — orientarea exactă a tuturor elementelor compoziției și știe ce dimensiuni le-a dat întrucît le-a măsurat sau le poate măsura în vederea întocmirii machetei și a decorurilor în mărime naturală pe scara perspectivă și cu punctele de egală resecție. El poate, prin urmare, executînd invers operațiunile arătate mai sus, ca plecînd de la schița perspectivă să construiască proiecția orizontală a decorului.

În acest scop este suficient să măsoare în imaginea perspectivă (fig. 365) pe scara perspectivă în planul frontal respectiv abscisa fiecărui element (de exemplu în  $a'$ ,  $b'$ ,  $c'$ ,  $d'$  abscisele  $aA$ ,  $bB$ ,  $cC$ ,  $dD$ ), precum și adîncimea lui (spre exemplu determinînd cu dreptele ajutătoare  $D/4a$ ,  $D/4b$ ,  $D/4c$ ,  $D/4d$ , prelungite, segmentele  $oa_1$ ,  $ob_1$ ,  $oc_1$ ,  $od_1$ , care sînt de patru ori mai mici decît adîncimile  $oa$ ,  $ob$ ,  $oc$ ,  $od$  ale unuia din colțurile  $A$ ,  $B$ ,  $C$ ,  $D$  ale elementelor compoziției perspective.

În proiecție orizontală (fig. 364) vom lua la scara aleasă, de preferință aceeași ca și pentru cadrul oglinzii scenei, respectivele adîncimi  $oa$ ,  $ob$ ,  $oc$ ,  $od$ , și respectivele abscise  $aA$ ,  $bB$ ,  $cC$ ,  $dD$  (de patru ori mai mari decît cele măsurate în schița cu punctul de distanță redus de patru ori) pentru a determina locul ocupat de colțurile respective  $A$ ,  $B$ ,  $C$ ,  $D$  ale elementelor corespunzătoare. În această proiecție fiecare element se va desena dîndu-i orientarea respectivei rețele perspective care a fost folosită în imaginea perspectivă și dimensiunile respective care au fost măsurate sau care se pot măsura pe scara perspectivă cu ajutorul punctelor de egală resecție.

Confecționarea machetei și a decorurilor în mărime de execuție se vor executa cu aceeași ușurință ca în perspectivă directă.

348. — Procedeele arătate mai sus presupun că folosirea rețelilor de pătrate sau a

rețelilor cu puncte de egală resecție nu constituie pentru scenografi o frînă în munca sa creatoare, ci că, din contra, acesta, cunoscând bine multiplele lor resurse și având o mare deprindere a lor, găsește în ele un sprijin efectiv pentru rapida exprimare a spontanei lui vizuini spațiale. Procedul ce urmează nu obligă la nici un fel de constrângere pe scenograful care, în perspectivă inversă, nu e ținut să verifice nici dacă deformările și descreșterile perspective ale vizuunii sale pitorrești, liber și spontan exprimate, sînt sau nu corecte, nici dacă decorul respectiv se înscrie în rîndul acelor compoziții care urmăresc să sugereze adîncimi mai mari decît cele reale. Din acest motiv folosirea acestui procedeu general pentru decoruri pitorrești și neverificate perspective se va expune mai departe (373) după ce vom fi examinat folosirea lui cînd schița perspectivă este corectă.

Trebuie să precizăm că în cazul unei imagini perspective corecte, ale cărei deformări și descreșteri perspective au fost definitive cu puncte de fugă accesibile pe planșetă, sau cu alte procedee cunoscute, nu este necesar să verificăm și dimensiunile din spațiu ale elementelor componente, folosind punctele de egală resecție care n-au trebuit să fie căutate, căci lărgimile și adîncimile vor reieși de la sine în proiecție orizontală de pe planul scenei și vor putea fi măsurate la scară. Eventualele nepotriviri ce s-ar putea constata, corectate în plan, vor putea fi îndreptate simultan și în schiță. De exemplu în fig. 367 lărgimea uși elementului din stînga nu a fost necesar să fie măsurată în imaginea perspectivă cu punctul de egală resecție corespunzător. Ea se va măsura, la scară, în proiecție orizontală și, dacă nu e corespunzătoare pentru jocul actorilor, va fi mărită sau micșorată în plan, modificîndu-se deodată și imaginea ei perspectivă, cum se arată mai jos.

Construcțiile se pot executa fie desenînd planul scenei sub imaginea perspectivă (ca în fig. 379), fie desenînd marginea anterioară  $A'M'$  a scenei perpendiculă pe imaginea ei perspectivă  $MA$  (ca în figura 367 în care punctele  $A'$  și  $M'$  s-ar putea suprapune). În primul caz vom avea prin linii de ordine abscise și vom obține adîncimile cu ajutorul ipotenuzei  $l_2M'$  a triunghiului isoscel dreptunghi  $l_2MM'$  (ca în fig. 379). În cazul al doilea vom avea cu ajutorul ipotenuzei  $aM'$  atît abscisele cît și adîncimile (ca în fig. 367) dar punctele de fugă ale imaginii perspective se vor obține prin măsurarea unghiurilor cu raportorul sau cu arce de cerc, cum se arată mai jos.

În ambele cazuri elementele perspective se vor lua cum sînt: linia orizontului nu neapărat la 1,25 m ci la o înălțime potrivită pentru o lămurită exprimare a succesiunii planelor în adîncimea scenei (în fig. 367 la 1,90 m); punctul principal  $P$  în mijlocul tabloului; distanța principală luînd în  $P_1O$  înălțimea razei  $PZ$  în care se înscrie tabloul sau în  $PD/4$  jumătate din această rază; scara perspectivă luînd în  $m$  pe marginea inferioară a tabloului mărimea unui metru la scara aleasă. În fig. 367 neputînd face rabateră punctului de vedere în jurul liniei orizontului pentru că nu încap în formatul redus al tratatului, s-a rabătut acest punct redus la jumătate  $O/2$ , luînd segmentul  $PO/2$  egal cu raza  $PZ$ . În vederea construcțiilor ce se vor face, în aceeași figură s-a desemnat dreapta ajutoare  $M'A$  care unește cele două lărgimi egale  $M'A'$  a scenei și a schiței, formînd un triunghi dreptunghi isoscel.

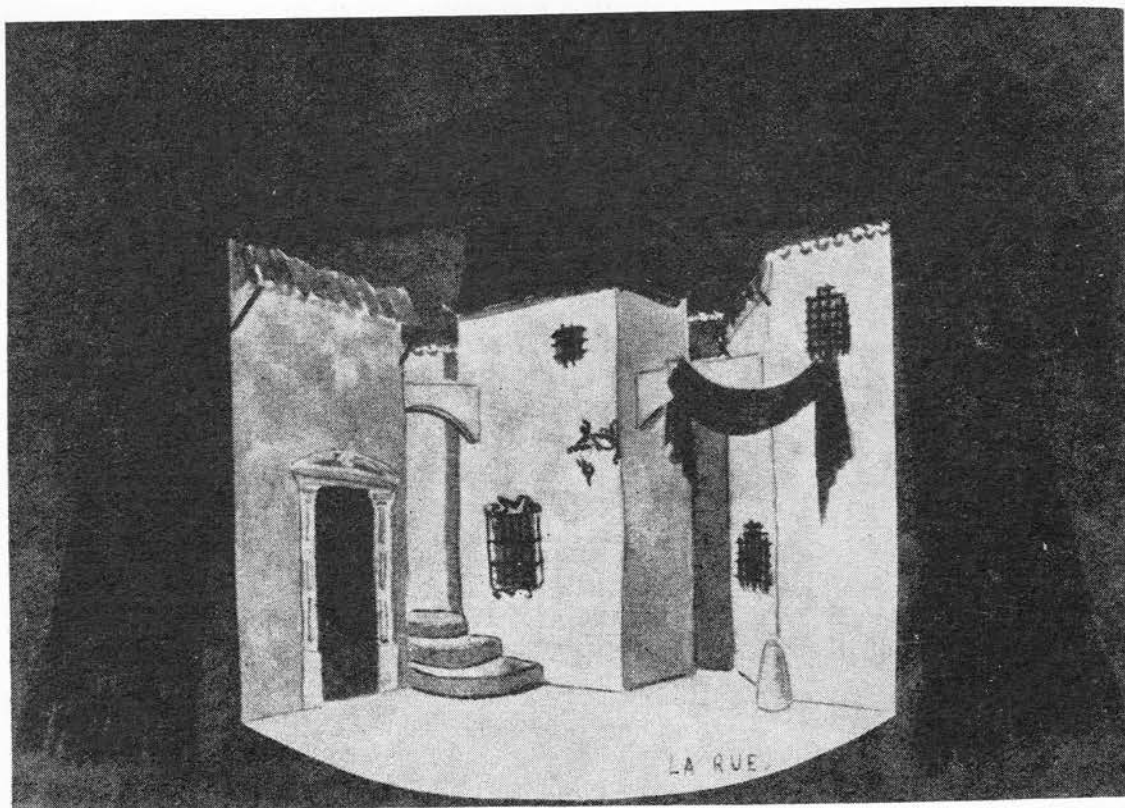
### A) În perspectivă directă

**349.** — După ce scenograful a stabilit proiecția orizontală a decorului pe planul scenei și a schițat elevația ansamblului sau a părților lui componente (dintre care, ca exemplu în fig. 367 III se arată numai elevația panoului  $A_1A'_1B_1B'_1$  din dreapta decorului) pentru a stabili și înălțimile tuturor elementelor, s-ar putea trece direct la confecționarea machetei și apoi a decorurilor în mărime naturală dacă n-ar fi necesară, în prealabil, verificarea compoziției printr-o imagine perspectivă. Aceasta se obține cu ușurință, procedînd (succesiv sau dintr-o dată) cu toate colțurile  $A'$ ,  $B'$ ,  $C'$  etc. așa cum se arată pentru colțul  $R'$ .

— Pentru abscise putem lua în plan (cu o bandă de hirtie sau cu înțepătorul) după ce am dus linia de ordine  $R'r''$  pînă la marginea anterioară  $A'M'$  a scenei, segmentul  $A'r''$ , pentru a-l așeza în  $Ar_2$  pe marginea inferioară a schiței, în care punctul  $R$  se va găsi pe dreapta de capăt  $r_2P$ . La același rezultat se ajunge și folosind dreapta ajutătoare  $M'a$  de care s-a vorbit mai sus, ducînd liniile de ordine  $R'r_1$  și  $r_1r_2$ .

— Pentru determinarea adîncimilor vom considera că planul vertical al tabloului se prezintă de capăt în  $MZ$ , față de care, punctul de vedere  $O$  al spectatorului se află,

Fig. 366. (348) E m i l L a n c e: Decor de teatru



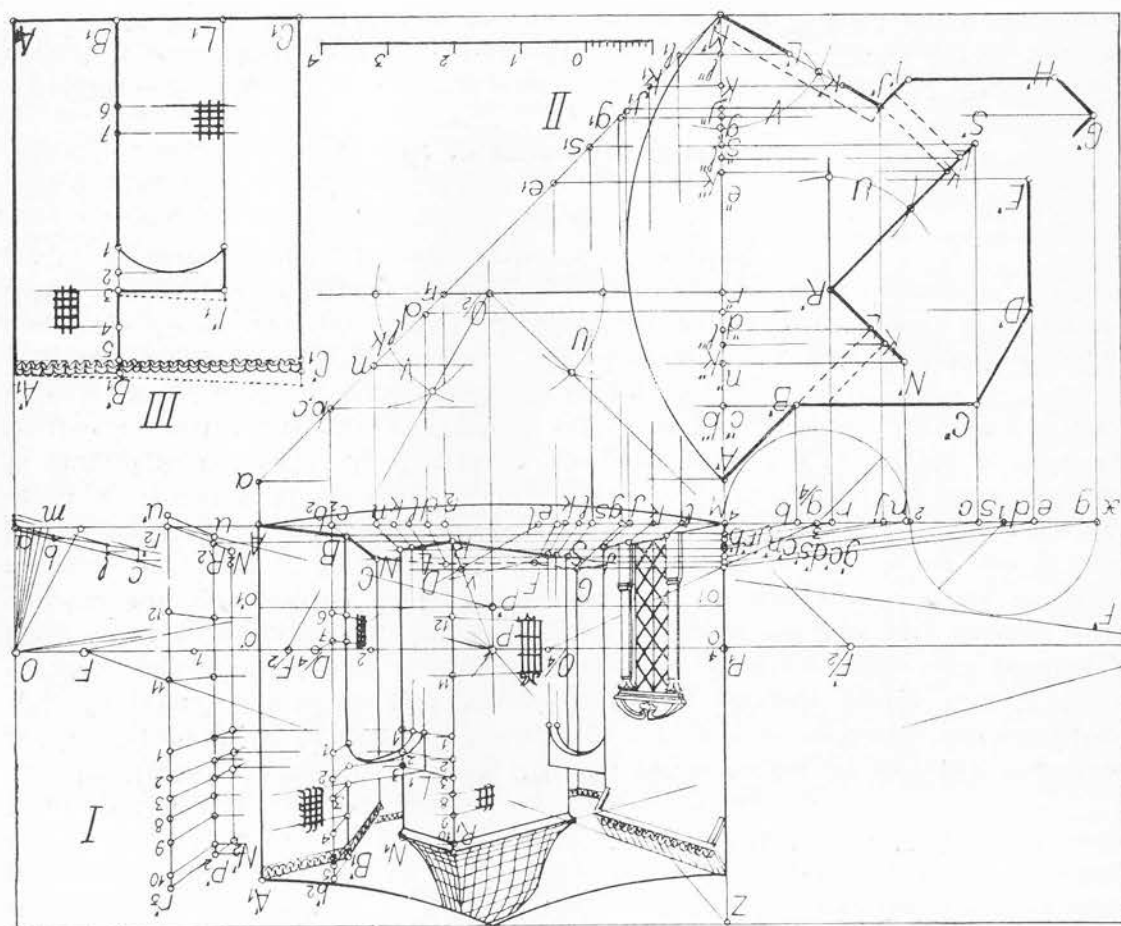


Fig. 367. (341, 342, 348, 349, 350, 351, 352, 369, 373)

la nivelul liniei orizontului, la o depărtare  $P_1O$  egală cu îndoitul razei  $PZ$ , cum s-a arătat mai sus (348). Vom considera că planul orizontal al scenei se prezintă de capăt pe linia  $xM$  pe care, prin linia de ordine  $(R'r)$  găsim poziția oricărui punct  $(R)$  situat pe scenă. În aceste condiții punctul de intersecție  $(r')$  cu planul vertical  $MZ$  al tabloului, al oricărei raze vizuale  $(Or)$  care unește punctul de vedere  $O$  al spectatorului cu orice punct  $r$  de pe planul scenei, constituie imaginea perspectivă  $(r')$  a aceluiași punct. Ca urmare, în tabloul considerat frontal, linia orizontală de ordine dusă prin punctul  $r'$  determină la intersecția ei cu dreapta de capăt  $r_2P$  imaginea perspectivă  $R$  a punctului  $r$ . În felul acesta se vor determina, pe rînd sau, cu oarecare deprindere, simultan, imaginile perspective  $A, B, C, D$  etc. numai ale colturilor, pe care le vom uni cu drepte corespunzătoare pentru obținerea imaginii perspective a elementelor decorului pe planul obiectelor. Pentru detalii, cum sînt ușa elementului din stînga sau locul arceilor de sprijin



nu va fi necesar, în afară de abscisele lor (date de dreptele de capăt corespunzătoare:  $lP$ ,  $kP$ ) să mai căutăm și adâncimile lor care reies de la sine din punctele de intersecție ale acestor drepte de capăt cu muchiile deja determinate  $MJ$ ,  $SR$ ,  $RN$  ale elementelor respective.

— Pentru determinarea înălțimilor nu va fi necesar să întocmim scări ale înălțimilor decât pentru fețele ale căror orientări nu au puncte de fugă accesibile pe planșetă. Cele accesibile se pot determina prelungind muchiile  $MJ$ ,  $BC$ ,  $RS$  obținute pe planul obiectelor prin construcțiile arătate mai sus, pînă la intersecția lor  $F$ ,  $P$ ,  $F'$  (inaccesibil în figură dar care ar fi accesibil pe planșetă).

Cu precizie punctele de fugă se determină cum s-a arătat mai sus (fig. 362) rabătînd punctul de vedere  $O$  în jurul liniei orizontului și ducînd raze paralele la muchiile respective cînd planul scenei s-a desenat sub imaginea perspectivă sau construind cu raportorul sau cu arce de cerc unghiurile pe care aceste muchii le fac cu planul neutru. În figura 367 formatul tratatului neputînd cuprinde întreaga distanță principală, aceasta s-a redus la jumătate, luînd segmentul  $PO/2$  egal cu raza  $PZ$  în care se înscrie tabloul.

Cu arce de cerc s-au construit în punctul de vedere redus la jumătate  $O/2$  unghiurile  $U$  și  $V$  egale cu unghiurile  $U$  și  $V$  din proiecția orizontală a decorului, ale căror laturi prelungite au determinat punctele de fugă  $F/2$  și  $F'/2$  reduse la jumătate. Luînd segmentele  $F/2F$  și  $F'/2F'$  egale cu segmentele  $PF/2$  și  $PF'/2$  se obțin în  $F$  și în  $F'$  (accesibil numai pe planșetă) punctele de fugă întregi ale elementelor respective.

Înălțimile de pe muchiile verticale  $BB_1$ ,  $RR_1$  etc. se vor lua din elevațiile respective, fie cu înțepătorul, fie cu banda de hîrtie, și se vor așeza pe verticalele corespunzătoare  $b_2b'_2$ , din primul plan al imaginii perspective și prin diferitele puncte 1, 2, 3 etc. se vor duce linii de capăt pînă la verticalele respective. Pentru a desena toate detaliile pe fețele diferitelor elemente (uși, ferestre, arce de sprijin) se vor duce prin punctele astfel obținute linii spre punctele de fugă corespunzătoare așa cum se vede în fig. 367. Cînd racursul prea mare ar da intersecții greu de precizat se va proceda așa cum se arată pentru verticala  $RR_1$ , foarte apropiată de punctul  $P$ . Înălțimile 1, 2, 3 etc. nu s-au așezat pe o verticală ridicată din punctul  $r_2$ , ci pe o verticală  $r'_2r'_3$  luată în afara tabloului. În punctul de intersecție  $R_2$  al frontalei duse prin punctul  $R$  cu dreapta de capăt  $Pr'_2$  s-a ridicat o verticală pe care, cu drepte de capăt s-au precizat toate înălțimile care, prin frontale au fost aduse pe muchia  $RR_1$  din tablou.

În cazul în care fețele elementului din mijloc ar avea puncte de fugă inaccesibile, construcția făcută mai sus, pe verticala ajutătoare  $r'_2r'_3$  ar servi ca scară a înălțimilor, cum se arată în figura 367 pentru muchia  $NN_1$  pe care s-au determinat punctele  $N_1$ , 1, 2 și 3 pentru desenarea cornișei superioare și a arcului de sprijin.

## B) În perspectivă inversă

**350.** — Scenograful, în urma mai multor studii a definitivat în cadrul oglinzii scenei, desenat la scară aleasă, o imagine perspectivă satisfăcătoare și corespunzătoare viziunii sale plastice, verificînd, în măsura în care a crezut necesar, descreșterile și deformările



Evenualele nepotriviri care ar fi scoase în evidență prin aceste măsurători (spre exemplu o ușă prea îngustă pentru mișcarea actorilor) modificate în plan ar fi făcute imediat, prin linii de ordine, și în tablou prin procedeele perspectivei directe. Observăm că pentru precizarea în plan a unor detalii cum ar fi ușa elementului din stînga și locul ocupat de ferestre sau de arcele de sprijin, nu este necesar să căutăm adîncimea lor cu raze vizuale. Este suficient ca prin drept de capăt ( $Pl$ ,  $Pk$ ) și prin linii de ordine  $ll_1$ ,  $kk_1$  torul punctelor de egală resecție.

În tablou, cu linia de capăt  $PR$ , prelungită, determinăm punctul  $r_2$  pe marginea  $MA$  a tabloului. Cu înfăptătorul sau cu banda de hîrtie determinăm în plan segmentul  $Mr$  egal cu segmentul  $Mr_2$  din tablou. Aceste segmente egale se pot obține și cu ajutorul ipotenuzei  $AM'$  a triunghiului dreptunghi isoscel  $AM'M'$  prin două linii de ordine:  $r_2r_1$  și  $r_1r'$ . Linia de ordine orizontală dusă prin punctul  $r'$  și linia de ordine verticală dusă prin punctul  $r$  vor preciza în punctul lor de intersecție  $R'$  locul ocupat în plan de colțul  $R$  din imaginea perspectivă. Unind între ele punctele astfel determinate vom obține planul întregului decor la scară și vom putea măsura lungimile și lățimile diferitelor elemente și ale detaliilor lor, fără a le fi determinat în prealabil, în imaginea perspectivă cu ajutorul punctelor de egală resecție.

Pe urmele desenate în plan paralele cu marginea anterioară  $MA'$  a scenei, se va construi punct cu punct planul întregului decor, procedînd cum se arată, ca exemplu, pentru colțul  $R$ .

— *Abscisele*. Pentru a determina mai exact segmentul întreg  $Mg$ . Raza vizuală  $C/4g'$  prelungită, va determina pe planul obiectelor, cu un unghi mai puțin ascuțit, un segment  $Mg/4$  de patru ori mai mic decît cel căutat și care se va lua de patru ori pentru a determina mai exact segmentul întreg  $Mg$ .

Pentru planele mai depărtate, cum ar fi, de exemplu, planul  $Gg'$ , punctul de intersecție, în unghi prea ascuțit, a razei vizuale  $Og'y$  cu urma  $Mx$  a planului scenei nu se poate determina cu precizie. În acest caz vom utiliza un punct de vedere redus de patru ori  $O/4$  (împărțind în patru părți egale raza vizuală principală  $OP_1$ ) în locul celui întreg. Raza vizuală  $C/4g'$  prelungită, va determina pe planul obiectelor, cu un unghi mai puțin ascuțit, un segment  $Mg/4$  de patru ori mai mic decît cel căutat și care se va lua de patru ori pentru a determina mai exact segmentul întreg  $Mg$ .

De asemenea se va considera că dreapta  $Mx$  reprezintă planul orizontal al obiectelor, adică al scenei, văzut de capăt, pe care, prin prelungirea razelor vizuale  $Ob'$ ,  $Oc'$ ,  $Od'$ ,  $Or'$  etc. se obține în  $b$ ,  $c$ ,  $d$ ,  $...$ ,  $r$  etc. proiecția orizontală a urmelor planelor frontale în care sînt cuprinse colțurile diferitelor elemente ale decorului.

Pe acest plan de capăt se vor proiecta prin linii de ordine orizontale în  $b'$ ,  $c'$ ,  $d'$ ,  $...$ ,  $r'$  etc. urmele planelor frontale care cuprind colțurile  $B$ ,  $C$ ,  $D$ ,  $...$ ,  $R$  etc. de pe planul obiectelor ale tuturor elementelor schiței.

— *Adîncimile*. Se va considera că planul vertical al tabloului se prezintă de capăt în  $MZ$ , față de care punctul de vedere  $O$  al spectatorului, la nivelul liniei orizontului se situează la o depărtare  $P_1O$  egală cu îndoitul razei  $PZ$  a cercului în care se înscrie tabloul.

În vederea confecționării machetei este necesar să se cunoască proiecția orizontală a compoziției perspective. (fig. 367)

Pe care a lăsat-o de la început așa cum s-a arătat mai sus (344).

studii, ca imaginea perspectivă a elementelor componente să nu depășească adîncimea sale să sugereze o adîncime mai mare decît aceea a scenei respective, a observat, în cursul perspective cu ajutorul punctelor de fugă accesibile pe planșetă. Întrucît nu cere compoziției

și  $l_1L'$ ,  $k_1K'$  să obținem numai abscisele lor căci adîncimea lor va fi dată de intersecțiile  $L'$ ,  $K'$ , ale acestor linii de ordine cu planul deja stabilit al elementelor respective  $M'J'$ ,  $S'R'$ ,  $R'N'$ .

Mai observăm că dacă în imaginea perspectivă s-au folosit cu competență punctele de fugă pentru o exactă deformare a unghiului drept (de exemplu unghiul  $SRN$ ) și dacă s-au desenat exact construcțiile necesare obținerii planului decorului, în acesta, unghiul corespunzător (de exemplu unghiul  $S'R'N'$ ) trebuie să fie tot drept.

— *Înălțimile.* În afară de proiecția orizontală, pentru confecționarea machetei și apoi a decorurilor în mărime naturală trebuie să cunoaștem și înălțimile tuturor elementelor componente, folosind planele de capăt care trec prin muchiile lor verticale, așa cum se arată pentru panourile  $A_1B_1L_1$  și  $B_1C_1$  din dreapta tabloului.

Pe verticala  $b_2b'_2$  ridicată în punctul  $b_2$  în care dreapta de capăt  $PB$  prelungită întretaie marginea inferioară a tabloului, determinăm la scară, cu drepte de capăt  $P-1$ ,  $P-2$ ,  $P-5$  înălțimile tuturor detaliilor panoului  $AA_1BB_1LL_1$  și cu drepte de capăt  $P-6$ ;  $P-7$  înălțimile detaliilor panoului de capăt  $BB_1CC_1$ . Avînd precizate aceste înălțimi pentru machetă vom lua lățimile  $A_1B_1L_1$  și  $B_1C_1$  din plan ( $A'B'L$  și  $B'C'$ ) iar înălțimile de pe verticala  $b_2b'_2$  (În figura 367 din lipsă de spațiu, panourile au fost alăturate, deși din cauza arcului de sprijin ar fi trebuit să fie desenate izolate).

Cînd s-ar obține intersecții neprecise din cauza racursiului cum ar rezulta din prea marea apropiere de punctul principal a muchiei  $RR_1$  vom lua o altă verticală  $R_2R'_2$  în planul ei frontal pe care vom nota prin orizontale toate înălțimile respectivelor detalii pe care le vom avea la scară, prin drepte de capăt pe verticala  $r'_2r'_3$ .

### Problema liniei orizontului.

**351.** — S-a arătat că pentru a sprijini studiile creatoare ale scenografului nu este absolut necesar să i se impună respectarea înălțimii foarte mici a punctului de vedere  $P'$  al spectatorului din mijlocul parterului, atunci cînd studiază și definitivează schița decorului și chiar, eventual, cînd confecționează macheta pe care o va putea oricînd privi de la o înălțime corespunzătoare. La transpunerea compoziției în adevărata mărime a decorurilor, dacă dorește ca spectatorul din mijlocul parterului să regăsească pe scenă o exactă reproducere a schiței sale va trebui să adauge, în partea inferioară a decorurilor, un mic soclu, o plintă, o treaptă mai mică sau mai mare cu cît elementul se găsește mai aproape sau mai departe de marginea anterioară a scenei. Cînd înălțarea nu modifică în mod supărător proporțiile respectivului element, acesta se va putea face fără nici una din motivările arătate mai sus.

Mărima înălțării proporționale cu adîncimea respectivă a elementului se determină cu ușurință cu construcția arătată pentru muchia  $RR'$  din figura 367, construcție care, pentru a se obține intersecții mai bune, s-a făcut în marginea dreaptă a tabloului.

Se duce linia de capăt  $PR_2$  pînă la marginea anterioară a scenei, în  $r'_2$ . Folosind punctul principal  $P'$  al spectatorului cu linia de capăt  $P'r'_2$  vom determina pe muchia

## DECORURILE CU DEFORMĂRI PERSPECTIVE

data segmentul  $R_2u$  a cărui mărime, la scară, se găsește în  $r_2u'$  cu dreapta de capăt  $Pu$ , prelungită. În felul acesta s-a determinat înălțimea  $r_2u'$  care trebuie adăugată sub muchia  $RR'$  pentru ca, pe scenă, aceasta să apară spectatorului din mijlocul partenerului ai cărui ochi sînt în planul orizontal al punctului  $P'$ , că se înalță, fața de celelalte elemente din planele mai apropiate ale compoziției, așa cum e reprezentată în schița care, a presupus ochii privitorului în planul orizontal, mai ridicat, al punctului  $P$ .

352. — Problemele puse de decorurile care urmăresc să sugereze spectatorului o adîncime mai mare decît aceea a scenei respective se aseamănă cu acelea ale altoreliefului, expuse în alt capitol (298), dar cu unele deosebirî. Scena are o adîncime mult mai mare decît altorelieful: deformările perspective vor fi mai atenuate. În altorelief planul obiectelor, frontal ascendent spre adîncul spațiului, se prezintă foarte înclinat, în timp ce pe adîncimea mai mare a scenei înclinarea lui este mult micșorată. De altfel, în practică, jocul actorilor și configurația obișnuită a scenei, numai rareori, în teatrele mai vechi, foarte puțin înclinată, obligă ca aceasta să fie orizontală. Pe lingă aceasta, felul în care se măsoară în practică coordonatele reliefulor în vederea modelării lor în spațiu, nu poate sprijini pe scenograful care trebuie să le picteze pe planul pinzei decorurilor respective. El va trebui să cunoască alte procedee care să-l ajute să determine pe aceste pinze punctele de fugă și de egală resecție sau, cînd acestea sînt inaccesibile, rețelele perspective corespunzătoare. De altfel, spre deosebire de compozițiile studiate pînă acum, vom vedea că pe scenă planul pinzei pe care se pictează decorul și care constituie ceea ce numim un tablou, numai uneori este, așa cum știm, perpendicular pe raza vizuală principală a spectatorului (de exemplu planul  $cdkl$  din fig. 368 I—III, sau planele  $B'B'_3$ ,  $C'C'_3$ ,  $D'D'_3$ ,  $E'E'_3$  din fig. 377 II). El poate fi vertical oarecare (planul  $bjdl$  sau  $nick$  din fig. 368 I—III ori planul  $B_3F_3$  din fig. 377 II). Mai poate fi și frontal descendent spre adîncul spațiului (planul  $ijlk$  în fig. 368 I—III). Vom mai vedea că uneori aceste plane sînt paralele cu planele volumelor reprezentate pe ele (ordonanța coloanelor pictate pe planul vertical oarecare  $Pa$  din fig. 373); alteori însă nu sînt paralele (pilaștrii și fridele de capăt, pictate pe planele verticale oarecare de care s-a vorbit mai sus din fig. 368). Va trebui deci să cunoaștem cum se determină și se folosesc elementele perspective în toate aceste cazuri.

— Între decorurile care tind să sugereze o adîncime mai mare decît aceea a scenei și cele care nu urmăresc același scop este o deosebire foarte mare: unghiurile se deformează (compară unghiurile drepte din spațiu care se mențin pe planul scenei în fig. 360, 364, 367) cu deformarea acestor unghiuri drepte ale unei săli dreptunghiulare în fig. 368 II) iar în elevație elementele prezintă deformări și descreșteri perspective (compară imaginea din fig. 367 III cu peretele lateral din fig. 368 V).

— Ca și pentru altorelief, datele necesare confecționării machetei unui decor se pot stabili pe două căi și anume plecând de la proiecțiile ortogonale ale compoziției (fig. 368 I—III în compoziția orientată frontal și fig. 373 în compoziția orientată pe unghi) sau de la o imagine perspectivă (fig. 379). În primul caz (fig. 368) dimensiunile elementelor decorului ne vor fi date în proiecțiile lor ortogonale, în plan și secțiune. Va trebui deci ca printr-o proiectare conică să înscrîm aceste dimensiuni în adîncimea mai mică a scenei date (fig. 368 I—III și fig. 373 I—II) pentru a obține dimensiunile și forma planelor pe care se va picta decorul, mai întîi la scara dată, în machetă (fig. 368 IV—VI și fig. 374 I—II), iar apoi în mărime naturală pentru scenă.

În cazul al doilea dimensiunile compoziției mai ample decît acelea ale scenei respective ne sînt date micșorate și deformate de imaginea ei perspectivă (fig. 378 și 379) din schița sau tabloul așezat în planul anterior al scenei. Pornind de la o imagine perspectivă (de exemplu de la aceea din fig. 368 I), dimensiunile și forma elementelor decorului respectiv se pot obține pe două căi, dintre care, evident vom alege-o pe aceea mai practică. Pe o cale ocolită vom putea obține prin operațiuni de restituire perspectivă (operațiuni care nu sînt arătate în fig. 368) proiecțiile ortogonale — planul și secțiunea — elementelor reprezentate în perspectivă, urmînd ca să procedăm în continuare ca în cazul de mai sus. Este mult mai simplu să folosim, cu o mică modificare, procedeul general arătat pentru decorurile care nu încearcă să dea iluzia unei adîncimi mai mari decît aceea a scenei respective. În felul acesta vom obține dintr-o dată din imaginea perspectivă proiecția orizontală a decorului, precum și dimensiunile și forma pînzelor pe care se vor picta elementele decorului (fig. 377 și 379).

### În perspectivă directă

#### Compoziție orientată frontal

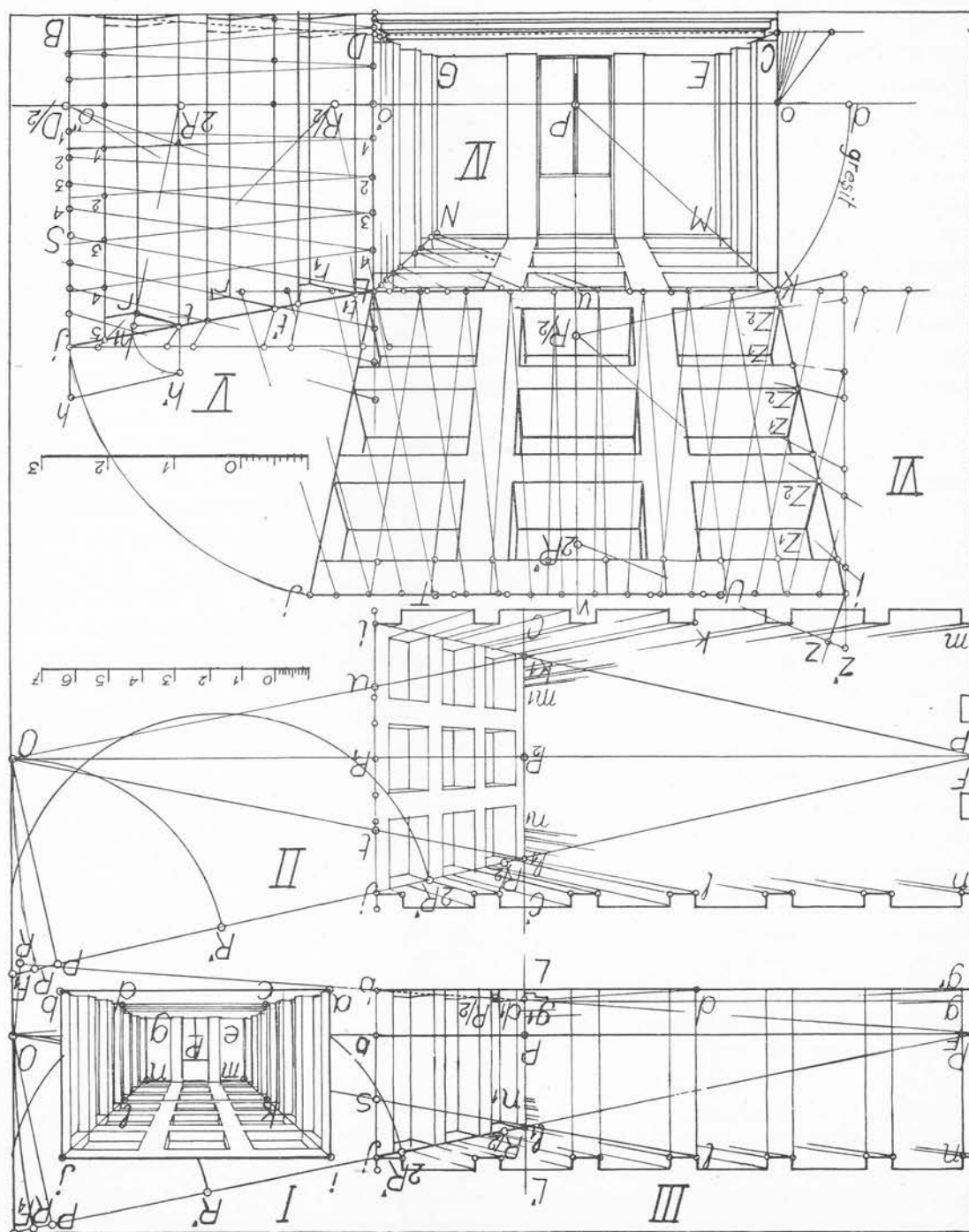
**353.** — În proiecții ortogonale schematice la scară mică (de 5 mm pe metru în fig. 368 I) fie în  $ijmn$  planul (fig. 368 II) și în  $bjng$  secțiunea longitudinală (fig. 368 III) a unei săli cu o adîncime  $P_1F$  mult mai mare decît aceea  $P_1P_1$  a scenei a cărei oglindă, la aceeași scară e dată în  $abij$  (fig. 368 I). Scenograful își propune să cuprindă în adîncimea redusă a scenei numai primele trei travee, adică prisma  $abijcdkl$ , urmînd ca celelalte trei travee adică prisma  $cdklegmn$  să fie reprezentată în imagine perspectivă pe pînza din fundul decorului  $cdkl$  (fig. 368 I).

Pe raza vizuală principală luată în axul proiecției orizontale și, la o înălțime de 1,30 m, în secțiunea longitudinală vom așeza punctul de vedere  $O$  al spectatorului din mijlocul parterului luînd segmentul  $oO$  (în secțiune) și  $P_1O$  (în plan) egal cu îndoitul razei  $Pi$  sau  $Pj$  a cercului, cu centrul în punctul  $P$ , în care se înscrie oglinda scenei.

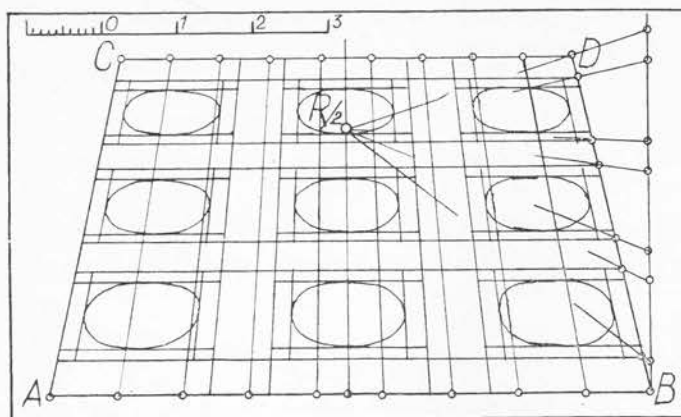
Cu razele vizuale  $Ol$  și  $Od$  în secțiune și  $Ok$  și  $Ol$  în plan determinăm pe pînza din fundul scenei punctele  $l_1$  și  $d_1$  în secțiune și  $k_1$  și  $l_1$  în plan, obținînd în acest plan care este frontal pentru spectatorul din sală, un dreptunghi cu baza superioară  $k_1l_1$  și cu



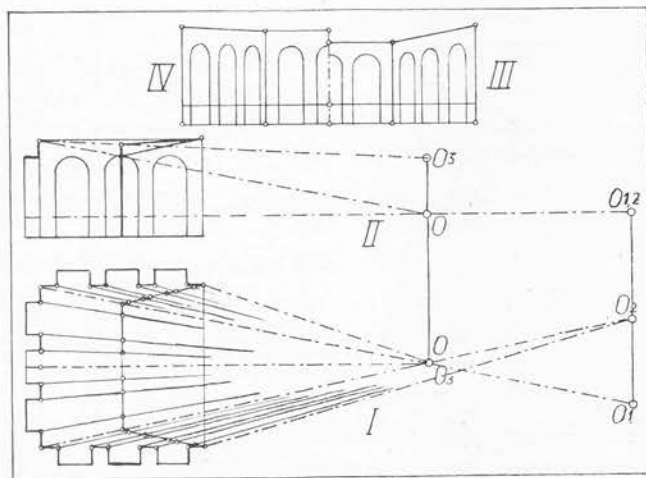
Fig. 368. (342, 352, 353, 354, 356, 357, 358, 359, 360, 363, 364, 372)







care pentru spectator este frontal, descendent spre adîncul spațiului  $ijk_1l_1$ , imaginea perspectivă a plafonului primelor trei travee ale sălii date, plan care ne este cunoscut căci a fost studiat în capitolul relativ la pictura monumentală.



înălțimea  $d_1 l_1$  care este imaginea perspectivă a golului  $cdkl$  din capătul mai depărtat al primelor trei travee ale sălii date.

Unind în secțiune punctul  $d_1$  cu punctul  $b$  și punctul  $l_1$  cu punctul  $j$  obținem în  $d_1bl_1j$  pe un plan care, pentru spectator este vertical oarecare, imaginea perspectivă a peretelui  $dblj$  lateral al primelor trei travee.

În plan, unind punctul  $k_1$  cu punctul  $i$  și punctul  $l_1$  cu punctul  $j$  obținem pe un plan

Dar în plan, trapezul  $j_l k_l i$  se suprapune pe trapezul  $bdca$  după cum se vede atît în imaginea perspectivă (fig. 368 I) cît și în secțiune (fig. 368 III) care pentru spectator este un plan frontal ascendent spre adîncul spațiului și care este imaginea perspectivă a planului obiectelor (fig. 369). Acest plan ușor înclinat se confundă cu planul înclinat al scenelor mai vechi, construite astfel, anume în scopul de a sprijini iluzia unei adîncimi superioare celei reale. Vom vedea mai departe cum se poate proceda pentru sprijinirea acestei iluzii pe noile scene orizontale.

**354.** — Privitor la condițiile în care s-a luat punctul de vedere  $O$  în fig. 368 II și III trebuie să facem o completare. În preocuparea ca decorurile che-mate să creeze iluzia unei adîncimi mai mari decît cea a scenei respective, să fie corespunzătoare pentru un număr cît mai mare de spectatori s-a propus ca pentru realizarea acestor decoruri să se ia în considerare mai multe puncte de vedere în afara aceluia al spectatorului din mijlocul parterului și anume punctele de vedere  $O_1$  și  $O_2$  (fig. 370) ale spectatorilor din dreapta și din stînga parte-

357. — Pe urma  $jl_1$  prelungită, a planului vertical oarecare al peretelui lateral (fig. 368 II) și a planului descendent spre adîncul spațiului al plafonului (fig. 368 III) ducînd perpendiculară din punctul de vedere  $O$  determinăm punctele principale  $P$ , care după cum s-a mai arătat sînt inaccesibile (247) și ducînd raze vizuale paralele cu orizontalele și cu verticalele din spațiu determinăm în  $F$  și  $F_1$  punctele lor de fugă, de asemenea inaccesibile

356. — Pentru planul frontal al peretelui din fundul scenei vom avea de considerat în secțiune distanța principală  $OP$  și înălțimea  $Pd_1$  a liniei orizontului (fig. 368 III).

este  $jl_1$  (fig. 368 II), se determină procedînd în același fel, cum se arată mai jos. aceeași figură) sau în plan pentru planul vertical oarecare al peretelui lateral, a cărui urmă a cărui urmă este  $jl_1$  (fig. 368 III) și ale planului obiectelor a cărui urmă este  $d_1b$  (în pentru planele frontale descendente și ascendente spre adîncul spațiului ale plafonului Acestea, pentru planul frontal al peretelui din fundul scenei, se determină în secțiune iar părților componente ale decorului și dacă cunoaștem elementele perspective corespunzătoare. mărime de execuție pe pînza decorurilor dacă avem în geometral dimensiunile și forma prealabil în racursiu, se pot desena dintr-o dată la scara aleasă pentru machetă sau în

355. — Pe planul frontal din fundul scenei, pe planul vertical oarecare al peretelui lateral, pe planul frontal descendent spre adîncul spațiului al plafonului și pe planul ascendent spre adîncul spațiului al planului obiectelor, plane care se prezintă în racursiu, s-ar putea, așa cum se arată în fig. 368 cu ajutorul punctelor de intersecție ale acestor plane cu razele vizuale corespunzătoare, desena imaginile perspective ale detaliilor sălii date: verticală din fundul sălii care se prezintă frontal, s-ar putea determina toate punctele (km, ln) necesare pentru o imagine perspectivă a celor trei travee mai depărtate ale sălii date. Prin rotație sau rabatere aceste plane în racursiu sau de capăt ar putea fi aduse în planul orizontal al desenului în vederea confecționării machetei decorului respectiv. Dar detaliile, care sînt adesea foarte numeroase și variate, fără a le fi construit în

### Elementele perspective ale planelor decorului

În fig. 368 s-a folosit un singur punct de vedere. vedere suplimentare în măsura în care ele n-ar sprîji ni efectele plastice urmările de scenograf.

Din motivele arătate mai sus se deduce că se poate renunța la aceste puncte de care nu par a avea o justificare plastică.

fică — înălțîndu-le — proporțiile elementelor frontale ale decorului (fig. 370 IV) modificări În aceeași figură se vede că punctul de vedere  $O_3$  al spectatorului din balcon, modi-

pot micșora efectele plastice ce s-ar obține nefolosîndu-le (fig. 370 III).

perspective ale elementelor pereților laterali ai unei încăperi (fig. 370 IV) atenționări care stînga fundului partenerului pot interveni numai pentru a atenua intruciva descrierile

În fig. 370 se vede că punctele de vedere  $O_1$  și  $O_2$  ale spectatorilor din dreapta și găsi pe verticala spectatorului din mijlocul partenerului.

ruului, precum și punctul de vedere  $O_3$  din primul rînd al balconului presupus că s-ar

(fig. 368 II și III). Cu arce de cerc descrise cu razele  $FO$  și  $F_1O$  determinăm punctele de egală resecție  $R$  și  $R'$  pentru măsurarea imaginilor perspective ale orizontalelor și verticalelor din spațiu, ambele inaccesibile. În mijlocul  $R/2$  al segmentului  $FR$  vom avea punctul de egală resecție accesibil dar redus la jumătate și cu o jumătate de cerc cu raza  $R'F_1$  vom obține în  $2R'$  punctul de egală resecție accesibil, nu redus, *ci dublat*, așa cum nu am avut încă ocazia să întâlnim (fig. 368 II și III).

În imaginea perspectivă a pereților laterali ale cărui elemente perspective au fost determinate în plan, spre punctele de fugă inaccesibile, se vor îndrepta, spre  $F$  imaginile perspective ale dreptelor de capăt din spațiu, iar spre  $F_1$  imaginile perspective ale frontalelor din spațiu (adîncimea firidelor dintre pilaștri). În lipsa acestor puncte va trebui să întocmim rețele perspective cu puncte de egală resecție:  $R/2$  pentru măsurarea adîncimii imaginii dreptelor de capăt din spațiu și  $2R'$  pentru măsurarea lungimii imaginilor dreptelor frontale din spațiu.

**358.** — Procedînd la fel pe urma  $d_1b$ , prelungită a planului obiectelor, ascendent spre adîncul spațiului, vom căuta numai punctul de egală resecție  $R/2$  pentru măsurarea imaginilor perspective ale dreptelor de capăt din spațiu (la jumătatea lungimii  $FR$ , determinată cu un arc de cerc cu raza  $FO$ ) întrucît pe acest plan nu vom avea de reprezentat și verticale din spațiu (fig. 368 III).

În imaginea perspectivă a planului obiectelor vom avea de întocmit numai o rețea perspectivă pentru dreptele de capăt din spațiu pe care le vom măsura cu punctul corespunzător de egală resecție  $R/2$ .

**359.** — În imaginea perspectivă a plafonului ale cărui elemente perspective au fost determinate în secțiune, spre punctele de fugă inaccesibile, se vor îndrepta, spre  $F$  imaginile perspective ale dreptelor de capăt din spațiu (marginile laterale ale plafonului și ale grinzilor longitudinale) și spre  $F_1$  verticalele din spațiu (adîncimile grinzilor). În lipsa acestor puncte va trebui să știm să întocmim rețelele perspective cu respectivele puncte de egală resecție:  $R/2$  pentru măsurarea lungimii dreptelor de capăt și  $2R'$  punct de egală resecție dublat pentru măsurarea adîncimii imaginii verticale din spațiu (fig. 368 III).

### Folosirea elementelor perspective la realizarea machetei

În baza desenelor schematice, la scară mică, completate cu elementele perspective arătate mai sus (fig. 368 II—III), vom putea trece la confecționarea machetei la scara aleasă (de 1 cm pe metru în fig. 368 (IV—VI) și 369) procedînd după cum urmează.

#### Tabloul frontal al peretelui din fundul scenei

**360.** — Lățimea acestui tablou (fig. 368 IV), la scara aleasă se desenează în  $KL$  în mărimea citită la scară mică a planului schematic, în  $k_1l_1$ . Înălțimea lui, se desenează în  $o'D$ , sub linia orizontului și în  $o'L$  deasupra ei, luînd la scara aleasă segmentele citite, la scara mică a schiței schematice, în  $Pd_1$  și  $Pl_1$ .

361. — *Adîncimea planului vertical oarecare, la scara aleasă (fig. 368 V), se desenează în  $o'o''$  dîndu-i mărimea citită, la scara mică a planului schematic, în  $k_i$  sau  $l_j$ . Înălțimea lui sub și deasupra liniei orizontului se află dînd segmentului  $o''B$  și  $o''J$  mărîmille,*

*Tabloul vertical oarecare al peretelui lateral al sălii*

Cu aceleași elemente perspective s-au desenat și treptele de pe acest perete, de care se va vorbi mai departe (365).

În fig. 368 IV s-au luat, cu ajutorul scării perspective, dimensiunile grinzilor longitudinale care s-au desenat fugînd spre punctul principal  $P$ . Pentru adîncimea  $LN$  a celor trei travee mai depărtate ale sălii, din  $L$ -sau desenat cu ajutorul aceleiași scări perspective, pe marginea superioară a peretelui, segmente alternante pentru firide și stîlpi, egale cu jumătate din dimensiunile reale (citite la scara mică a desenei schematice, în plan sau în secțiune), întrucît pentru desenaarea lor în perspectivă, pe dreapta de capăt  $LP$  s-a folosit punctul de distanță redus  $D/2$ .

— *Scara perspectivă se desenează știind că, potrivit nivelului liniei orizontului, segmentul  $OC$  are o înălțime de 1,30 m.*

Descrîșterile perspective măsurate cu acest punct vor fi foarte atenuate, adică așa cum trebuie să fie într-un tablou atît de depărtat de spectator. În fig. 371 I relieful atît de mic al lacrimarului de deasupra ușii, atenuat de depărtarea la care se află, corespunde totuși unei neobișnuite adîncimi de 50 cm.

Pentru a fi corespunzător vom lua la scara aleasă segmentul  $PD/2$  (fig. 368 IV) sau eventual  $D/4$  egal cu jumătatea sau eventual cu pătrimea distanței principale  $PO$  citită la scara desenului schematic, în secțiune (fig. 368 III).

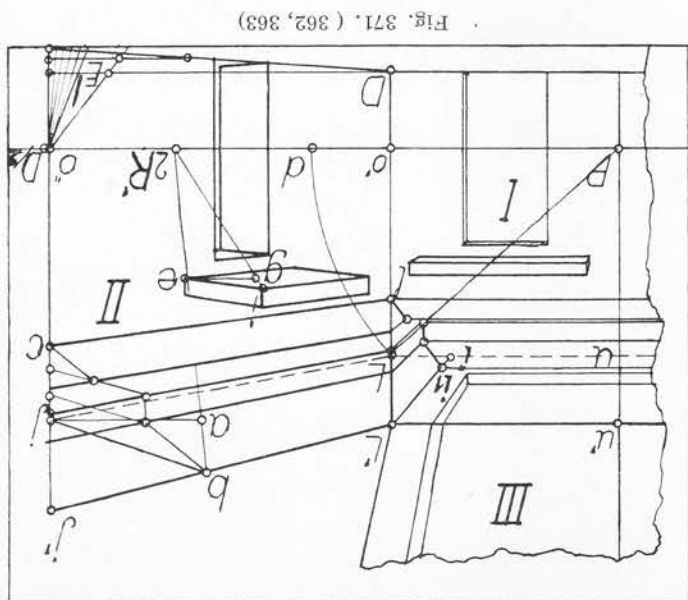


Fig. 371. (362, 363)

— *Punctul de distanță al acestui tablou nu se poate lua, cum sistem obișnuît, cu ajutorul razei  $PK$  a cercului, centrul în punctul principal, în care se înscrie tabloul pentru a obține în punctul  $d$  (fig. 368 IV) punctul de distanță redus la jumătate. Acest punct nu corespunde cu marea depărtare  $PO$  (fig. 368 III) de la care va fi privit acest tablou așezat în fundul scenei. Pentru a fi corespunzător vom lua la scara aleasă segmentul*

Pe lîngă linia orizontului  $oo'$  și de punctul principal  $P$  celelalte elemente perspective ale acestui plan frontal vor fi:



citite la scara mică a secției schematice, în *ob* și *oj*. Unind punctele *B* și *J* cu punctele determinate în prealabil *D* și *L* avem în *BDJL* forma și mărimea imaginii perspective a peretelui lateral.

În afară de linia orizontului, celelalte elemente perspective ale acestui perete vor fi:

*Rețeaua perspectivă* pentru imaginea perspectivă a dreptelor de capăt din spațiu se desenează între marginea superioară *JL* a peretelui și linia orizontului împărțind în același număr de părți egale (în fig. 368 V în 5 părți) două din verticalele peretelui de exemplu cea mai depărtată *Lo'* și marginea mai depărtată a pilastrului mai apropiat. Cu aceleași segmente rețeaua se completează și sub linia orizontului.

*Rețeaua perspectivă* pentru imaginea perspectivă a dreptelor care în spațiu sînt frontale se desenează luînd, la scara aleasă, segmentul *JS* egal cu segmentul *js* (determinat cu raza vizuală  $l_1O$ ) măsurat la scara mică a secției schematice și ducînd dreapta *LS*. Împărțind în același număr de părți egale segmentul *So''* și segmentul *Lo'* obținem rețeaua căutată care se desenează în continuare și deasupra liniei *LS* și sub linia orizontului.

Punctele de egală resecție  $2R'$  și  $R/2$  se vor desena pe linia orizontului, luînd la scara aleasă segmentele  $o''2R'$  și  $o' R/2$  egale cu segmentele  $j2R'$  și  $l_1R/2$  măsurate la scara mică a planului schematic (fig. 368 II).

*Scara perspectivă* este inutilă întrucît marginea anterioară *BJ* a peretelui aflîndu-se în primul plan al scenei este la scara aleasă, la care se vor putea lua direct dimensiunile necesare.

În fig. 368 V se poate urmări cum au fost folosite aceste elemente perspective pentru desenarea detaliilor în această imagine perspectivă a peretelui lateral.

Pentru eșalonarea pilaștrilor în adîncimea spațiului, pe orizontala ajutătoare dusă prin punctul *J* s-au luat la scara aleasă segmente alternate pentru stilpi și firide egale cu jumătatea din dimensiunile lor reale citite în secțiunea sau în planul la scara mică a acestora, pentru că desenarea lor în perspectivă pe dreapta *JL* s-a făcut cu punctul de resecție redus la jumătate  $R/2$ . Pentru adîncimea pilaștrilor aceasta s-a măsurat *dublată*, la scară, în *Jh*; pe rețea s-a luat în *h't* și cu un arc de cerc a fost determinată în  $th_1$  pe o dreaptă orizontală pentru ca, cu punctul de egală resecție *dublat*  $2R'$ , să determinăm grosimea pilastrului în *tr* pe o dreaptă dusă pe rețeaua dreptelor frontale din spațiu. Grosimile celorlalți pilaștri s-a obținut ducînd mai întîi pe rețeaua dreptelor de capăt din spațiu o dreaptă prin punctul *r* și apoi prin punctele *t'* și  $t_1$  dreptele  $t'r'$  și  $t_1r_1$  pe rețeaua dreptelor frontale din spațiu.

**362.** — Potrivit orientării foarte piezișe pe care o au aceste tablouri verticale oarecare față de spectator, volumele capătă deformări cu care nu sîntem obișnuiți și care ni se par exagerate cîtă vreme nu le privim din punctul de vedere pentru care au fost desenate. Astfel în fig. 371 II lacrimarul de deasupra ușii — căruia în chip demonstrativ i s-a dat adîncimea neobișnuită de 50 cm — nu ne apare corect desenat decît dacă îl privim lipind ochiul drept de planul hîrtiei. (Întrucît s-a folosit punctul de egală resecție dublat  $2R'$  segmentului *eg*, măsurat pe scara perspectivă în *E*, i s-a dat adîncimea dublată de 1 m. Muchia *ei* a fost desenată pe rețeaua imaginii dreptelor frontale din spațiu).



**364.** — Acest tablou al plafonului sălii se desenează procedând în același fel (fig. 368 VI). Adîncimea  $uv$  și lățimea  $lj$  vor fi, la scara aleasă, egale cu măsurimile citite la scara mică a secției și planului schematic în  $lj_1$  și  $lj$ . Unind punctele  $I$  și  $J$  cu punctele  $K$  și  $L$  vom obține în  $IJKL$  forma și măsurimea imaginii perspective a plafonului, pe care vom preciza elementele perspective necesare:

*Reflexa perspectiva* pentru imaginea perspectivă a dreptelor de capăt din spațiu se găsește împărțind în același număr de părți egale (în fig. 368 VI în 9 părți) marginile orizontale  $IJ$  și  $KL$  ale imaginii plafonului.

*Reflexa perspectiva* pentru imaginea perspectivă a verticalelor din spațiu, se găsește luînd la scara aleasă segmentele  $IU$  și  $JT$  egale cu segmentele corespunzătoare în  $ij$  și măsurate la scara mică a planului schematic, (fig. 368 II) segmente care au fost determinate cu razele vizuale  $OK_1$  și  $OL_1$ . Se împarte segmentul  $UT$  în același număr de părți egale cu latura mai depărtată  $KL$  a plafonului și reflexa obținută se desenează și în afara dreptelor  $UK$  și  $TL$ .

#### *Tabloul frontal descendent spre adîncul spațiului, al plafonului*

Frontal descendent spre adîncul spațiului al plafonului ale cărui profile de asemenea vor pare în linie dreaptă cu cele orientate spre punctul principal de pe planul frontal.

În figură se vede că planul peretelui înălțat pînă în  $L'$  preia o parte din planul peretelui frontal.

partenerului că se îndreaptă spre punctul principal ca și segmentele corespunzătoare de pe planul scenei, liniile cornișei de pe peretele lateral vor apare spectatorului din mijlocul comune pe verticala  $DL$  prelungită. Dacă se dă peretelui lateral orientarea pe care o are pe Dacă s-a desenat exact, elementele cornișei de pe ambii pereți, trebuiesc să aibă punctele laterale.

punctele căruiu ducem dreptele de capăt ale cornișei care începe să se întoarcă pe pere-rioară a cornișei, iar dreapta ajutătoare  $l_1$  ne permite să desenăm profilul căutat prin pe scara perspectivă în  $I$ . Dreapta de capăt  $P_1$ , prelungită, întretăie în  $l_1$  marginea superioară în colțul încăperii, s-a luat segmentul  $Li$  de un metru (adîncimea dată a cornișei) măsurată care — fiind presupuse cunoscute — nu sînt arătate. Pentru desenaarea profilului cornișei Pe peretele frontal, cornișa, cu aceleași dimensiuni, a fost desenaată cu construcții egale segmentul  $Jc$  de un metru s-a putut desena cu linii duse pe reflexa profilului cornișei adîncimea de 1 m, folosind punctul dublat de egală resecție  $2R'$ . Împărțind în trei părți la scara aleasă, pentru a obține în  $Jb$ , desenaată pe reflexa imaginii frontalelor din spațiu, mare, care s-a desenat pe peretele lateral, dînd segmentului  $Ja$  o măsurime dublată de 2 m fost șterse pentru claritatea desenului). S-a considerat o cornișă schematică, neobișnuit de în care, după ce au fost folosite, reflexele perspective care figurează și în fig. 368 V, au profilele arhitecturale care trec de pe pereții laterali pe un perete frontal (fig. 371 I—II **363.** — Înainte de a trece mai departe, vom examina aci felul în care se pot desena

Punctele de egală resecție  $2R'$  și  $R2$  se iau pe dreapta  $uv$  prin măsurătorile făcute pe dreapta  $jl_1$  în secția schematică (fig. 368 III).

*Scara perspectivă* e înlocuită cu latura  $IJ$  care este la scara aleasă.

— În fig. 368 VI aceste elemente au fost folosite cum se știe:

Pentru grinzile longitudinale s-a folosit rețeaua dreptelor de capăt și măsurătoarea s-a făcut la scara aleasă pe latura din primul plan. Dacă s-a desenat exact, aceste grinzi prelungite trebuie să aibă puncte comune pe latura mai depărtată  $KL$  obținute prin prelungirea grinzilor corespunzătoare desenate pe planul vertical din fundul scenei.

Pentru grinzile transversale, eșalonarea lor s-a făcut luând la scară pe verticala coborită din punctul  $I$  segmente alternate pentru grinzi și spațiile dintre ele, egale cu jumătatea dimensiunilor reale, pentru că desenarea lor pe latura  $IK$  s-a făcut cu punctul de resecție redus la jumătate  $R/2$ .

Pe rețeaua imaginii verticalelor din spațiu s-au desenat muchiile verticale  $z_1z_2$  dintre grinzi. Pe verticala  $Iz'$  mărimea reală a fost dublată deoarece punctul de resecție corespunzător a fost și el dublat pentru a putea fi accesibil. Pe o dreaptă dusă prin punctul  $I$  pe rețeaua verticalelor dreapta ajutătoare  $z'2R'$  a determinat în  $Iz$  mărimea perspectivă a acestor muchii. Ducând prin  $z$  o dreaptă  $zz_1$  pe rețeaua dreptelor de capăt s-au putut determina muchiile celorlalte grinzi  $z_2z_1$ , ducându-le pe rețeaua verticalelor din spațiu.

#### *Tabloul frontal ascendent spre adîncul spațiului al planului obiectelor*

**364. B** — Este firesc ca acest plan să fie înlocuit cu planul orizontal al scenei, căutînd ca, prin diferite mijloace, această modificare să atenueze cît mai puțin efectele de adîncime ale decorului, așa cum se arată în fig. 368 I și IV.

— Pe acest plan, asemănător planului descendent spre adîncul spațiului al plafonului, se va întocmi numai rețeaua perspectivă a dreptelor de capăt din spațiu precizîndu-se și punctul ei corespunzător de egală resecție  $R/2$  luat din secțiune (fig. 368 III). Pe această rețea s-au desenat lespezile de marmură ale pavimentului iar cu acest punct de egală resecție  $R/2$  s-au măsurat adîncimile acestui paviment în fig. 369.

**365.** — *Problema iluziei adîncimii.* În decorurile în care se urmărește creerea iluziei unei adîncimi mai mari decît aceea a scenei, trebuie acordată o atenție deosebită preocupării de a se evita distrugerea acestei iluzii cînd actorii — a căror înălțime, în adîncul scenei, are o descreștere corespunzătoare — se apropie de decorurile în care figurează aceste exagerate descreșteri perspective.

Se recomandă, în general, ca jocul de scenă să evite aceste apropieri sau, eventual, actorii să treacă repede spre primele plane ale scenei. Se mai recomandă ca prin orientarea abil dirijată a izvoarelor de lumină să se evite cu desăvîrșire ca actorii, în jocul lor, să poarte umbre pe decorurile reprezentînd elemente foarte îndepărtate.

Pe lîngă cele arătate mai sus am adăuga că iluzia adîncimii poate fi susținută dacă pe pînza pe care sînt pictate elementele depărtate se înfățișează și un element de prim plan care să lege decorul de înălțimea reală a actorilor care se apropie de ele: balustrade, trepte, neregularități de teren etc.

366. — În fig. 373 s-a reprezentat planul unei săli hipostile, orientate pe unghi, mai adânci decât scena dată. În secțiune s-au proiectat numai axele coloane care pot sprijini desenarea machetei. Punctul de vedere la o înălțime de 1,30 m a fost luat cum știm, la o

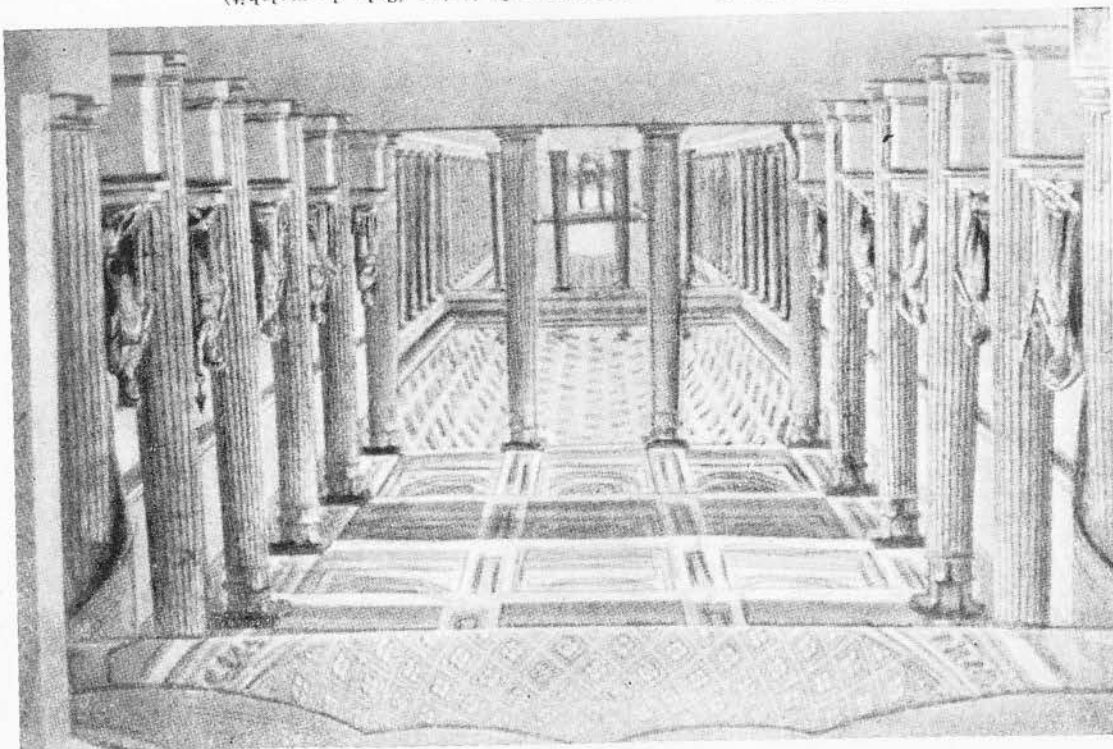
*Compoziția orientată pe unghi*

### In perspectiva directă

pe fundalul decorului cunoscutului scenograf Gonzago (fig. 372). În aceeași preocupare se înscriu cele două coloane din mijlocul sălii de malahit pictate

descreștere perspectivă. nului orizontal al sălii, ca stâlpii panoului V coborâți sub linia punctată — au exacta lor sălii și în același timp prin prezența lor, stâlpii, care nu mai coboară până la nivelul plan de apropiate de statura actorilor, aruncă în adâncimea spațiului ultimele trei travee ale măsurată cu punctul respectiv de distanță  $D/2$ . Aceste elemente de prim plan sînt destul înclinat al planșei teoretic s-au reprezentat trei contratrepte a căror adâncime a fost Astfel în fig. 368 IV, sub linia punctată  $CD$ , marginea mai depărtată a planului

Fig. 372. (365) Gonzago: Decor de teatru (Sala de malahit)



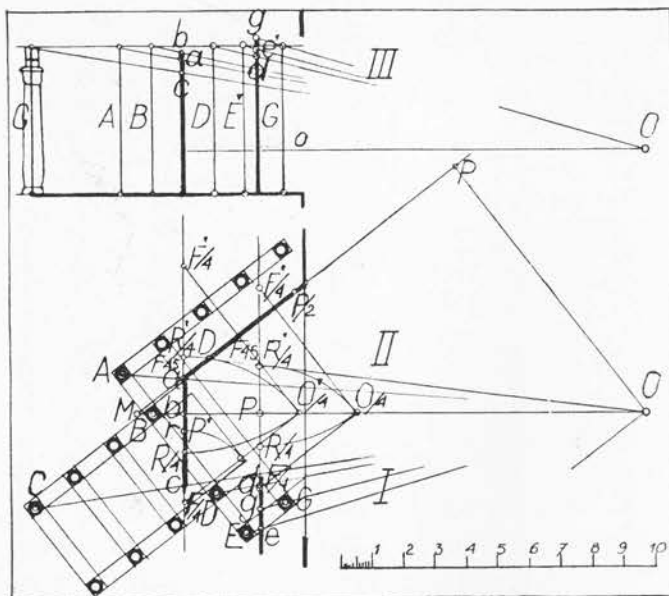


Fig. 373. (342, 352, 366)

tat conic cu raze vizuale  $EO$  (în proiecție [orizontală, fig. 373 I) și  $E'O$  (în secțiune, fig. 373 II) unul din elementele caracteristice din spațiu, axul coloanei  $E$  pentru a obține în  $e$  abscisa și în  $e'$  înălțimea lui.

În continuare, pentru a obține elementele perspective ale acestui plan frontal, luând în  $O/4$  punctul de vedere micșorat de patru ori, și ducând raze paralele la muchiile elementului orientat pe unghi s-au obținut punctele de fugă micșorate de patru ori  $F/4$  și  $F'/4$  și pe urmă cu arce de cerc, după cum știm, punctele de egală resecție  $R/4$  și  $R'/4$  corespunzătoare, micșorate de asemenea de patru ori față de punctul principal  $P$ . Punctul de fugă  $F$   $45^\circ$  fiind accesibil s-a desenat din punctul de vedere întreg  $O$  (în figură întâmplător, se suprapune pe punctul  $R'/4$ ). Măsurate la scara mică a schemei, aceste elemente perspective au putut fi desenate la scara aleasă pe linia orizontului (fig. 374 I) pe care s-a precizat și punctul  $e$ .

Luând de patru ori segmentele  $PR/4$  și  $PR'/4$  s-au obținut corespunzătoarele puncte de resecție întregi  $R$  și  $R'$ . Nu se poate face același lucru pentru punctele de fugă decât dacă vor fi accesibile pe planșetă. În caz contrar vom întocmi rețele perspective. În acest scop, luăm patru segmente egale pe verticalele ridicate în punctele de fugă micșorate  $F/4$  și  $F'/4$  și o verticală  $Pp$  de aceeași înălțime în punctul principal. Rețelele perspective se vor desena între linia orizontului și liniile prelungite, care unesc punctul  $p$  cu punctele 3 de pe verticalele de mai sus.

Scara perspectivă se desenează pentru înălțimea de 1,30 m care s-a luat în secțiune, pentru linia orizontului. Pentru măsurători mai exacte se va întocmi și o scară a înălțimilor luând pe o verticală oarecare, la scara aleasă, în  $iI$  toate înălțimile motivului din secțiune.

depărtare egală cu îndoitul razei cercului, cu centrul în punctul principal și în care se înscrie oglinda scenei. Presupunem că scenograful își propune să reprezinte grupul de coloane din stânga compoziției pe un plan frontal  $ed$ , coloanele mai apropiate din dreapta pe un plan vertical oarecare,  $Pa$ , paralel cu ordonanța dată iar coloanele mai depărtate pe un plan frontal  $ac$ .

Vom examina cum se determină și cum se folosesc elementele perspective ale planelor frontale și ale planului vertical oarecare pentru această compoziție orientată pe unghi.

Pe planul frontal al decorului din stânga, s-a proiectat



Decorul vertical oarecare din dreapta scenei prezintă particularitatea neînălțată până acum, de a fi paralel cu elementul din spațiu. În consecință, imaginea perspectivă a orizontalelor din spațiu vor fi ori orizontale ori de capăt prelungind către punctul principal  $P$  care, fiind inaccesibil, va fi înlocuit cu punctul  $P/2$  luat, în plan, la mijlocul urmei  $PM$  urmând ca pentru imaginea perspectivă a dreptelor de capăt să întocmim o rețea perspectivă. În continuare luând în proiectia orizontalei segmentul  $PD$  egal cu segmentul  $OP$  vom determina și punctul de distanță  $D$  care va fi folosit și ca punct de fugă la  $45^\circ$ .

Procedând la fel din punctul  $O_4$  s-au determinat și elementele perspective ale decorului frontal din mijlocul scenei (fig. 373 II) cu deosebirea că, întrucât punctul de egală resecție întreg  $R$  este inaccesibil, s-a determinat în proiectie orizontală, acest punct redus la jumătate,  $r$ . Luând pe linia orizontului de patru ori segmentul  $P'r$  s-a determinat punctul de egală resecție redus la jumătate  $R'/2$ . Ca urmare, pentru a determina axul coloanelor, pe frontala dusă prin punctul  $B$  segmentele s-au luat de cîte 0,80 în loc de 1,60 m, măsurate în  $b'$  pe scara înălțimilor, întrucât pentru a le obține pe dreapta  $BC$  s-a folosit punctul de resecție redus la jumătate. Dar pentru determinarea axului coloanei  $A$ , pe frontala ajutătoare s-a luat segmentul  $BA$  de 1,60 m deoarece s-a folosit punctul de egală resecție întreg  $R$ .

367. — Cu aceste elemente se vor putea desena toate detaliile motivului. Spre exemplu, cunoscând din plan că axele coloanelor se succed la cîte 1,60 m, pentru a desena, fără a mai folosi proiectiile conice  $OD$  și  $OG$  din plan, coloanele  $D$  și  $G$ , vom lua pe o orizontală ajutătoare un segment  $Ee'$  de 1,60 m măsurat pe scara înălțimilor în  $e_1e_2$ . Prin  $E$  ducem, pe rețete, linii nedeterminate ca lungime. La intersecția lor cu linia  $R'e'$  prelungită și linia  $Re'$  vom găsi capetele superioare  $G$  și  $D$  ale axelor coloanelor ale căror elemente se vor măsura pe scara înălțimilor. Dacă s-a desenat exact, linia  $GF45^\circ$  trebuie să treacă prin punctul  $D$ . Cu linii fugind în  $F45^\circ$  se vor construi elementele prismatice de deasupra capitelor coloanelor. Pe aceeași linie ajutătoare luând segmentul  $e'e_1$  de 3,20 m și segmentul  $e_1e_2$  din nou de 1,60 m vom determina pe linia  $ED$  prelungită, punctele  $e'_1$  și  $e'_2$  pentru axele grinzilor plafonului acestei săli (fig. 375 I).

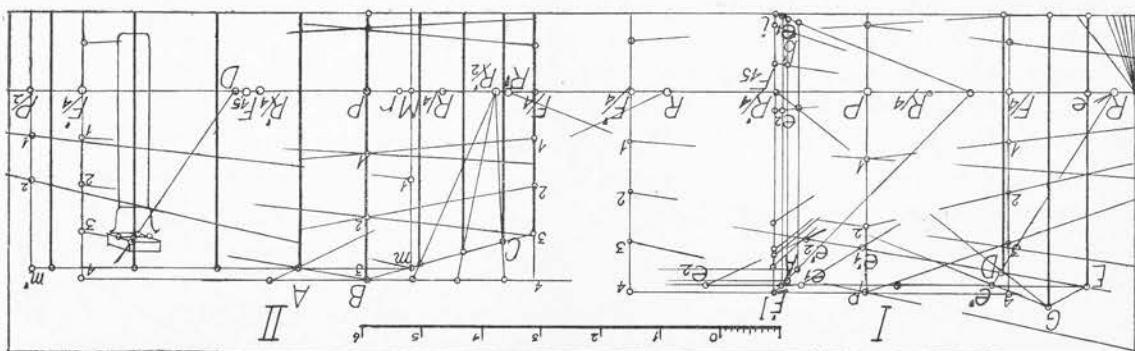


Fig. 374. (325, 366, 367)



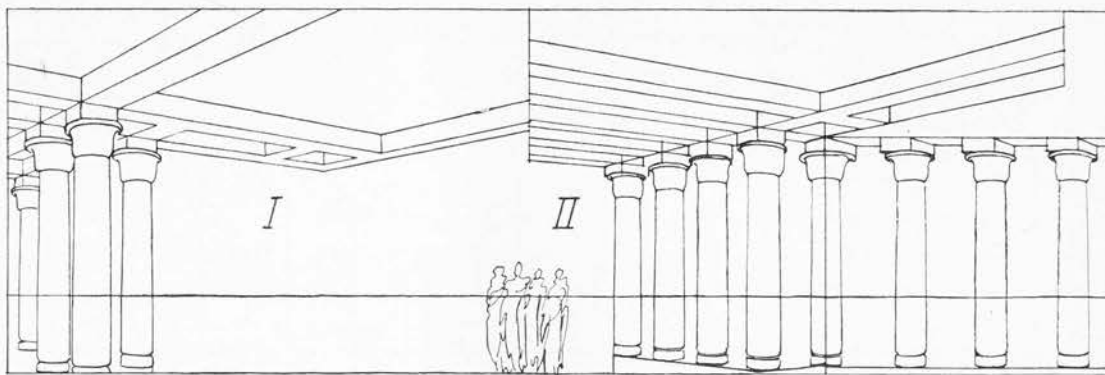


Fig. 375. (366, 367)

Cu aceste elemente luate pe linia orizontului se vor desena toate detaliile acestui decor vertical oarecare, luând dimensiunile respective pe scara înălțimilor, după ce s-a întocmit rețeaua perspectivă a dreptelor de capăt, între linia orizontului și dreapta care unește punctul  $m$  cu mijlocul dreptei  $P/2m'$ . În figură se arată cum s-a desenat elementul prismatic cu baza pătrată de deasupra capitelor. Diagonala bazei pătrate fuge în punctul  $D$ , în planul axului coloanei  $i$  s-a luat lărgimea egală cu diametrul coloanei, iar adâncimile s-au dus, pe rețea, către punctul inaccesibil  $P$ , cum se arată și în figura 375 II.

### În perspectivă inversă

#### *Compoziția orientată frontal*

**368.** — Fără a ține seama de nivelul ochilor spectatorului din mijlocul parterului și de adâncimea reală a scenei date, scenograful a compus în perspectivă imaginea unei săli pătrate, ale cărei arcade inegale alternează în adâncime la fel ca în lățime (fig. 376) și a verificat, cu construcții care nu sînt arătate în fig. 377 I, exacta reprezentare a axelor coloanelor și a centrelor arcadelor. Urmează ca în perspectivă inversă să stabilească proiecția orizontală a ansamblului și înălțimile cu ajutorul cărora să se poată confecționa macheta și apoi decorurile în mărime de execuție. În acest scop, vom folosi procedeul general expus mai sus (348—351) dar adaptîndu-l la decorurile care tind să sugereze o adâncime mai mare decît aceea a scenei date.

#### *Procedeul general*

**369.** — Vom considera că planul vertical al schiței se prezintă de capăt în  $MZ$  (fig. 377 I) față de care punctul de vedere  $O$  al spectatorului, la nivelul respectiv al liniei orizontului (de 1,80 m) se situează la o depărtare  $P_1O$  egală cu îndoitul distanței reduse  $PD/2$  (egală

cu raza  $PZ$ ) cu care a fost verificată imaginea perspectivă din schiță. Pe acest plan de capăt  $MZ$  se vor proiecta, prin linii de ordine orizontale, în punctele  $b', c', d', e'$  urmele planelor frontale ale diferitelor elemente  $B, C, D, E$  ale schiței. De asemenea vom considera că linia  $Mx$  reprezintă planul orizontal al scenei, văzut de capăt și pe care s-a limitat în  $e$  adincimea reală, la scară, a scenei date.

Până aci s-a procedat ca și pentru decorurile care nu sugerează o adincime mai mare decît aceea a scenei. Pentru proiectarea pe scenă a urmelor planelor verticale ale decorului care sugerează adincimi mai mari, trebuie să determinăm cu raza vizuală  $ee'$  care unește adincimea scenei cu adincimea decorului figurat în schiță, prelungită, un nou punct de vedere  $O_1$  pe verticala ridicată din punctul  $O$  cărui îi corespunde pe verticala ridicată din  $P$  un punct principal  $P_1$ . Cu aceste două puncte  $O_1$  și  $P_1$  vom determina diferitele adincimi și abscise necesare confecționării machetei.

*Adincimile* se determină prelungind razele vizuale  $O_1b', O_1c', O_1d', O_1e'$  pînă la punctele  $b, c, d, e$  de pe planul de capăt  $Mx$ , prin care se duc pe planul scenei drept paralele cu marginea anterioară a scenei.

*Abscisele* se determină în schiță procedînd simultan sau succesiv așa cum se arată, de exemplu pentru punctul  $D_1$ , ducînd dreapta de capăt  $P_1D_1$ , prelungită pînă în marginea anterioară a scenei în punctul 3. În proiecție orizontală luăm segmentul  $M'-3$  egal cu segmentul  $M-3$  (fie cu înfăptorul, fie, cum s-a arătat în figura 367 cu ajutorul dreptei  $AM'$ ). La intersecția liniei de ordine dusă prin punctul 3 cu urma  $D'D'3$  a planului pe care se găsește punctul dat, se va preciza proiecția orizontală  $D_1$  a punctului căutat. *Înălțimile* se determină folosind scara înălțimilor întocmită în schiță, de exemplu, între dreptele de capăt  $PM$  și  $PH$  cum se arată, de exemplu pentru verticala  $D_1n$ , ducînd frontalele  $n_1n$  și  $D_1D$  pînă la intersecția lor  $n$  și  $D$  cu dreptele  $PM$  și  $PH$  ale scării. În continuare dreptele de capăt:  $P_1D$ , prelungită pînă în punctul 3 de pe marginea inferioară  $MA$  a tabloului și  $P_1n$ , prelungită pînă în punctul  $n'$  de pe verticala ridicată din punctul 3, ne dau în  $n'-3$  înălțimea căutată a verticalei  $D_1n_1$  din schiță.

Procedînd în același fel pe rînd sau pe grupe, pentru toate punctele diferitelor elemente ale compoziției vom putea obține, prin unirea proiecțiilor orizontale ale acestor puncte, planul la scară al întregului decor, și prin cunoașterea înălțimilor lor respective vom putea desena elementele componente ale decorului în vederea întocmirii machetei. Pentru sala cu arcade din fig. 377 I aceste rezultate au fost concretizate în desenul schematic IV care este o proiecție verticală iar nu o imagine perspectivă.

Raportînd cu înfăptorul, cu banda de hîrtie sau cu linii de ordine cînd schema se desenează ca în figura 377 IV sub schiță, toate punctele 1, 2, 3, 4 etc. din primul plan, adică de pe marginea anterioară  $MA$  a planului obiectelor din schiță pe marginea inferioară  $MA$  a schemei, s-au putut desena toate verticalele celor patru plane frontale din adincimea compoziției.

Raportînd toate înălțimile din primul plan al imaginei perspective de pe verticala  $AH'$  pe marginea laterală a schemei se vor putea desena toate înălțimile date. (Aceste înălțimi trebuie să presupunem și pe verticala  $MH$  pe care nu au fost desenate pentru ca să nu se confunde cu punctele de pe marginea anterioară a planului scenei III).

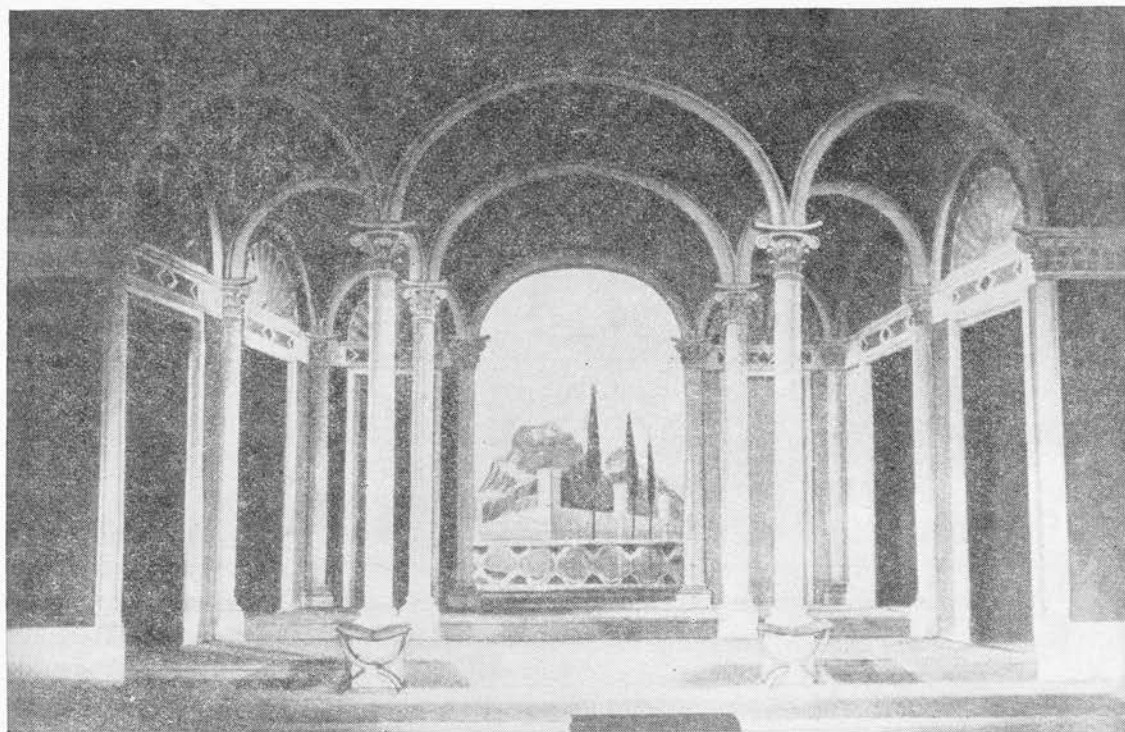


Fig. 376. (368) Louis Sue: Decor de teatru

În vederea confecționării machetei pentru desenarea elevațiilor diferitelor plane ale decorului se pot lua, în axul schemei, trei puncte și anume:

a) Punctul  $P_2$  pe marginea inferioară a schemei. Dreapta  $HP_2$  ne arată, la intersecția ei cu verticalele ridicate din punctele 1, 2, 3 și 4, care ar fi înălțimile cu care s-ar fi putut completa schema în cazul în care marginea inferioară a celor patru plane s-ar fi situat pe planul orizontal al scenei pentru un spectator care, ipotetic, ar avea ochii la acest nivel.

b) Punctul  $P$  la înălțimea de 1,80 m a liniei orizontului din schiță, cu care s-a desenat jumătatea din stînga a schemei și care ne arată înălțimile la care ar trebui așezate diferitele plane ale decorului pentru ca privitorul care în sală ar avea ochii la această înălțime să aibă în fața sa un decor care să reproducă exact imaginea perspectivă din schiță.

c) Punctul  $P_1$  care se determină cum se arată mai jos și cu care s-a desenat jumătatea din dreapta a schemei. Ea ne arată înălțimile la care ar trebui așezate diferitele plane ale decorului pentru ca să reproducă exact imaginea din schiță pentru spectatorul din mijlocul parterului.

**370. — Problema planului înclinat al obiectelor.** Una din cele trei scheme enumerate mai sus este suficientă scenografului pentru a desena pe foi de hîrtie diferite, decorurile, treptat micșorate, ale celor patru plane ale decorului.

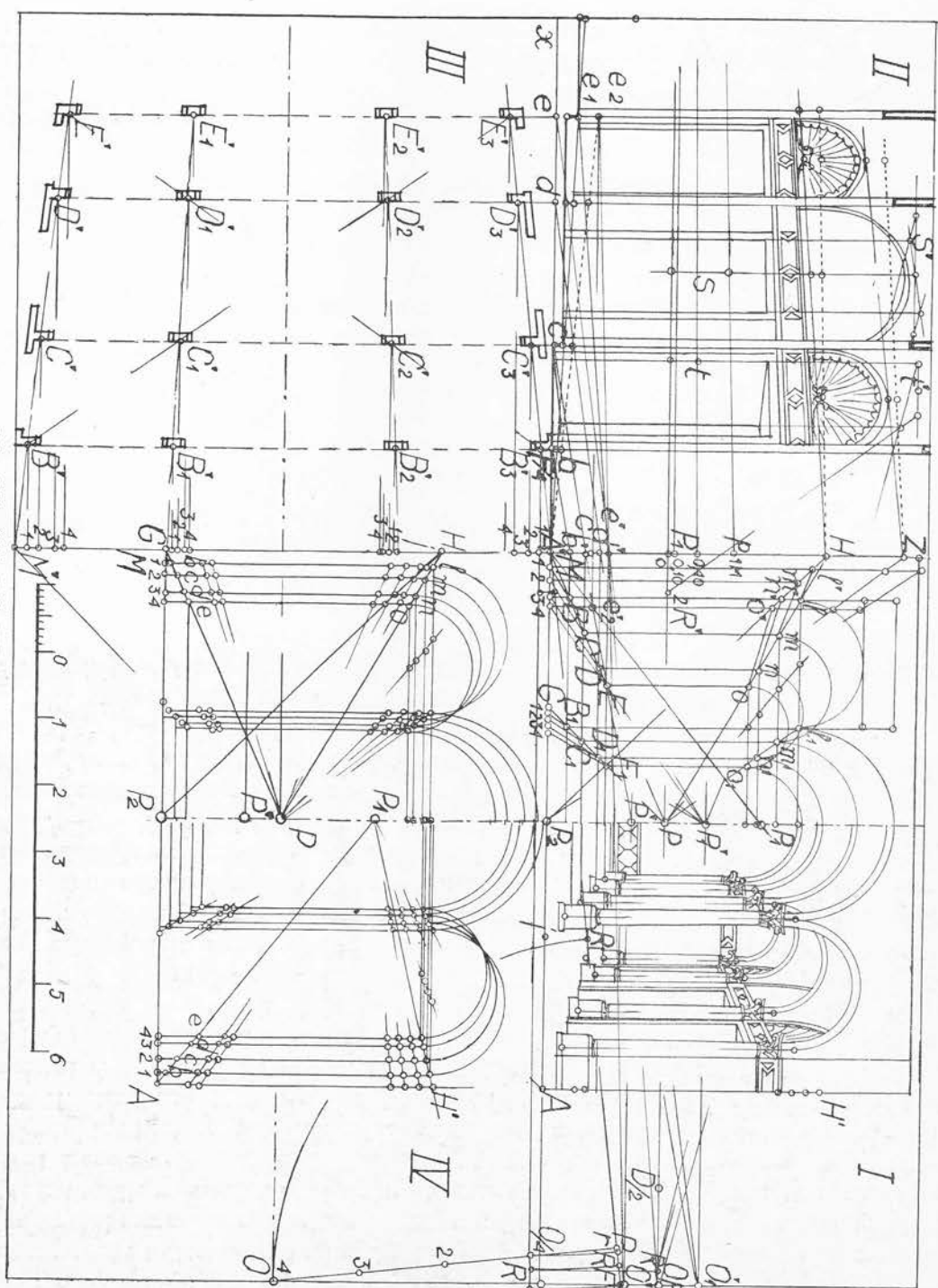


Fig. 377. (341, 342, 352, 368, 369, 370, 373)



Dar schema obținută cu punctul  $P$  se preocupă de faptul că în aceste decoruri, care tind să sugereze o adâncime mai mare decât aceea a scenei respective, planul obiectelor este un plan frontal ascendent spre adâncul spațiului. Partea stângă a schemei ne dă în  $1b$ ,  $2c$ ,  $3d$  și  $4e$  înălțimile crescînde ale planului obiectelor în adâncul spațiului, față de planul orizontal al scenei.

Aceste înălțimi se pot determina și pe altă cale, cum se vede în secțiunea din fig. 377 II. Raza vizuală  $Oe'$ , prelungită, ne dă la intersecția ei  $e_1$  cu verticala ridicată din punctul  $e$ , înălțimea  $ee_1$  (egală, dacă s-a desenat exact, cu înălțimea  $4e$  din stînga schemei IV) a marginii mai depărtate a planului înclinat a cărui urmă  $e_1A$  ne arată înălțarea crescîndă a planului obiectelor sub cele patru plane verticale ale decorului.

Pentru a sugera acest plan ascendent, dacă nu contrazice jocul actorilor, se pot ridica pe scenă cele două trepte arătate în secțiunea II și în dreapta traveei centrale a schiței I, sau, în caz contrar, pentru a nu atenua efectele de depărtare prin alungirea elementelor pînă la planul orizontal al scenei se vor putea adăuga sub pedestalele coloanelor micile socluri arătate în marginea dreaptă a schiței I.

**371.** — *Problema liniei orizontului.* Dacă dorim ca spectatorul din mijlocul parterului, al cărui punct de vedere este cu 0,55 m mai jos, să vadă un decor care să reproducă exact imaginea din schiță, planul ascendent spre adâncul spațiului al obiectelor va avea o înclinare și mai mare. Raza vizuală  $O'e'$ , prelungită, ne dă la intersecția ei  $e_2$  cu verticala ridicată din punctul  $e$  înălțimea  $ee_2$  a marginii mai depărtate a planului înclinat al obiectelor. Va trebui, pentru a sugera această înclinare mai mare un număr dublu de trepte, în dreptul fiecărui plan sau postamente și mai înalte  $1b$ ,  $2c$ ,  $3d$  și  $4e$  sub pedestalele coloanelor cum se vede în partea dreaptă a schemei IV.

Punctul  $P_1$  din această schemă se poate determina în două feluri și anume:

a) Înălțimea  $ee_2$ , luată din secțiune se așează în schemă pe verticala 4 în  $4e$ . Dreapta  $Ae$  prelungită, precizează la intersecția ei cu axul schemei punctul căutat  $P_1$ .

b) În schița perspectivă (I), prelungind dreapta  $P'E$  pînă la intersecția ei  $e'_2$  cu verticala corespunzătoare ridicată din punctul 4 obținem segmentul  $4e'_2$  (egal cu segmentul  $4e$ , din schemă). Prelungind dreapta  $Me'_2$  obținem, pe urma planului vizual principal vertical, punctul căutat  $P_1$ . Dacă s-a desenat exact, segmentul  $P_2P_1$  astfel determinat în schița perspectivă trebuie să fie egal cu segmentul corespunzător din schemă, determinat cum s-a arătat mai sus.

Coborîrea punctului de vedere aduce și modificarea peretelui lateral al decorului așa cum se arată mai jos.

**372.** — *Elementele perspective ale planelor frontale, ale planelor verticale oarecare și ale planelor frontale descendente spre adâncul spațiului* se vor determina în perspectiva inversă în același fel ca în perspectiva directă îndată ce, prin construcțiile arătate mai sus, s-a desenat planul și elevația elementelor componente ale decorului. Nu este necesar să revenim. În fig. 377 II se poate urmări cum au fost folosite elementele perspective ale peretelui lateral al sălii care constituie un plan vertical oarecare pentru desenarea diferitelor detalii: lărgimea de 2 m a ușii centrale, adâncimea de 0,50 m a glafului ușii laterale, cum se arată mai jos. Elementele perspective ale acestui plan au fost căutate, ca și în fig. 368 II, în



**373.** — Fără a ține seama de nivelul punctului de vedere al spectatorului din mijlocul partenerului și fără a cere vreun sprijin elementelor perspective ale tabloului, scenograful — care a dorit să rămână anonim — dînd liber curs imaginației sale, a definitivat, fără nici o constrîngere, o schiță pe care o consideră corespunzătoare textului dat, de exemplu al unei ferii (fig. 378). Își propune să confecționeze o machetă care să redă cît mai fidel compoziția din schiță, folosind, în perspectivă inversă, procedeul general (348—351). În acest scop el va trebui să completeze schița proiectînd pe planul obiectelor toate elementele mai departate ale decorului precum și elementele ațirinate — dacă sînt (fig. 379). Și această proiectare a fost făcută, firește, fără verificări perspective. Urmează să se procedeze cu unele mici deosebiri, așa cum s-a arătat mai sus, pentru compoziții pe unghi care nu sugerează o adîncime mai mare decît aceea a schemei date (fig. 367).

### *Compoziție orientată pe unghi*

cum se arată pentru centrele și săgețile arcadelor, care se ridică pe aceleași verticale. urma verticalei  $MZ$  și se înalță cu segmentul  $e_2$  pe verticala din marginea mai departată, rețeaua perspectivă a dreptelor de capăt din spațiu, punctele ei rămîn neschimbate pe pentru a corespunde punctului de vedere  $O'$  al spectatorului din mijlocul partenerului. Pentru — În fig. 377 II se arată prin linii punctate cum se modifică elevația peretelui lateral dublat  $2R$ , luînd segmentul dublat în  $l'$ . s-a determinat pe dreapta care fuge spre punctul de fugă  $F$  cu punctul de egală resecție Adîncimea de 0,40 m a gîlului ușii laterale s-a măsurat pe scara perspectivă în  $l$  și ajutorul punctului de egală resecție  $R$  s-a determinat în  $S'$  pe dreapta, desenat pe rețea. Lărgimea de 2 metri a ușii centrale s-a măsurat pe scara perspectivă în  $S$  și cu ginea  $MZ$  a tabloului egal cu 1 metru, la scara de 1 cm a tabloului. s-a desenat deasupra liniei orizontului și scara perspectivă, luînd segmentul  $P_1P$  pe mar-determinat prin schema IV. Pe această rețea, care s-a șters cu guma după ce a fost folosită, între linia orizontului și linia care unește săgețile arcadelor, ale căror înălțimi au fost În elevație rețeaua perspectivă a imaginilor dreptelor de capăt din spațiu s-a desenat măsurarea frontalelor din spațiu, punct care s-a precizat și pe linia orizontului din elevație. Luînd de patru ori acest mic segment s-a determinat punctul de resecție întreg  $R$  pentru de punctul principal  $P$ , punctul corespunzător de egală resecție micșorat de patru ori.  $F/4$ . Cu un arc de cerc cu centrul în  $F/4$  și cu raza  $F/4O/4$  s-a obținut, foarte apropiat luat o pătrime din distanța principală  $OP$  și prin  $O/4$  s-a dus o paralelă la aceasta, în decît segmentul  $FR$  din plan. Pentru punctul de fugă inaccesibil al dreptelor de capăt s-a mai bune, în elevație, pe linia orizontului, s-a luat segmentul  $F2R'$  de două ori mai mare șeta n-ar fi fost necesar să fie dublat ca în fig. 368 II. Totuși, pentru a obține intersecții minat punctul de resecție  $R$  pentru măsurarea acestora, punct care fiind accesibil pe plan-fugă  $F$  al frontalelor din spațiu. Cu un arc de cerc, cu centrul în  $F$  și cu raza  $FO$  a deter-cu planele frontale ale scenei, dusă din același punct de vedere  $O$ , a determinat punctul de de vedere  $O$  pe urma  $E_3M$  prelungită, a planului vertical oarecare. O dreaptă, paralelă proiectie orizontală. Punctul principal  $P$  s-a determinat ducînd o perpendiculară din punctul

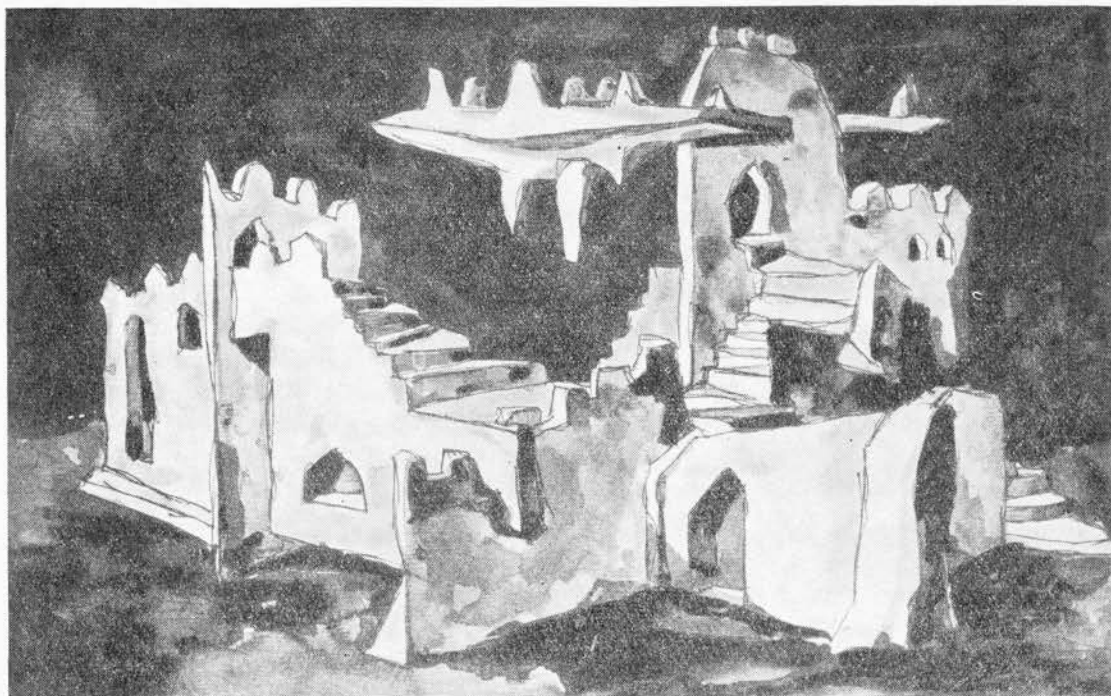
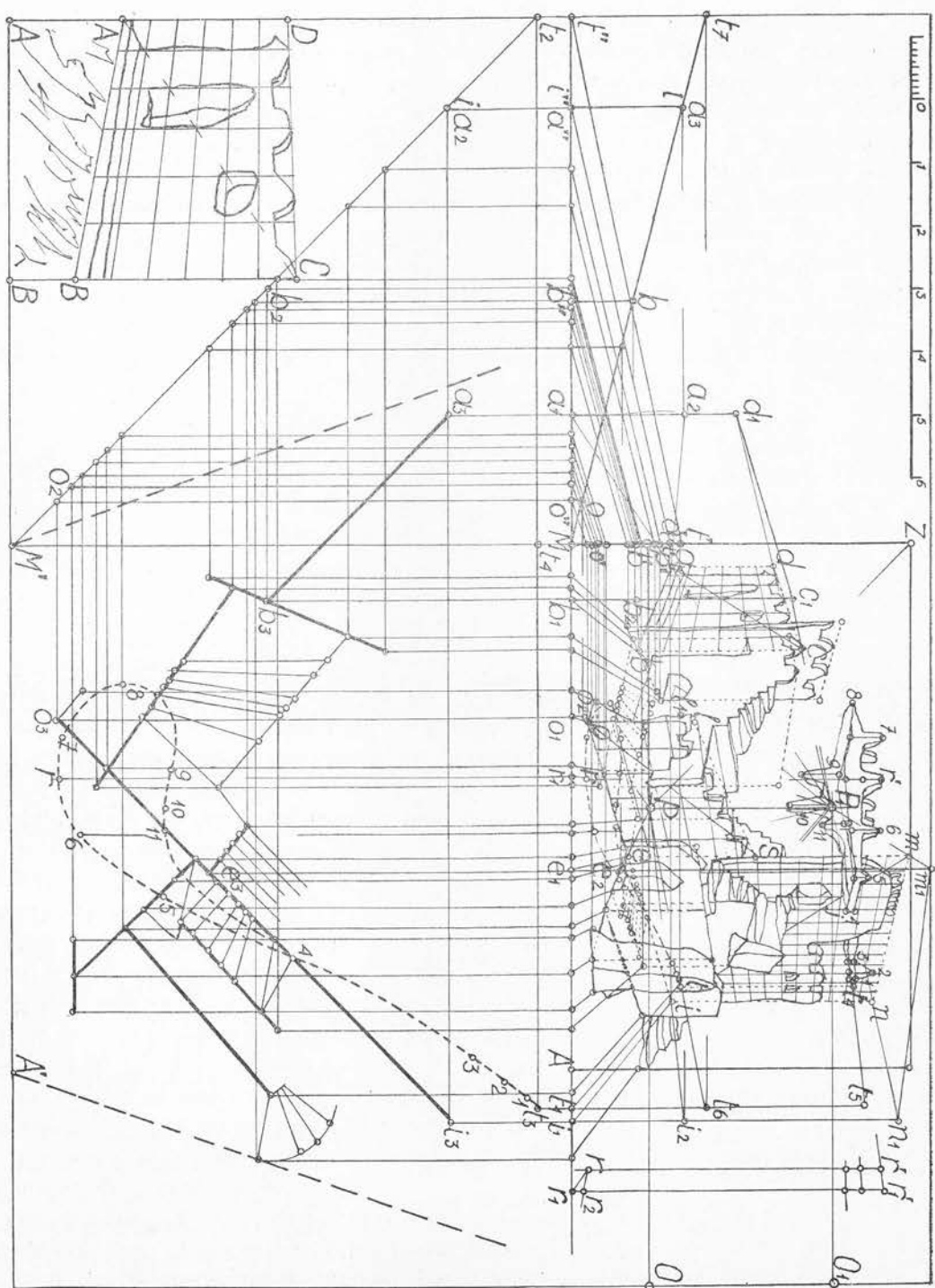


Fig. 378. (352, 373)... Decor pentru o feerie

Pornind de la imaginea perspectivă dată se va stabili mai întâi planul adică proiecția orizontală a diferitelor elemente ale decorului. În acest scop se va considera că planul vertical al tabloului se prezintă de capăt în  $MZ$  față de care punctul de vedere  $O$  al spectatorului din mijlocul parterului, la cota de 1,25 m, se situează la o depărtare  $P'O$  egală cu înălțimea razei  $PZ$  a cercului în care se înscrie tabloul. Pe acest plan de capăt se vor proiecta prin linii de ordine orizontale  $tl'$ ,  $aa'$ ,  $bb'$ ,  $ii'$ ,  $oo'$  etc. proiecțiile orizontale  $t$  ale elementelor atârinate precum și urmele  $a$ ,  $b$ ,  $i$ ,  $o$  etc. ale planelor decorului pe planul obiectelor.

În continuare se va considera că dreapta  $MI''$  reprezintă planul orizontal al obiectelor, adică al scenei, văzută de capăt și în a cărei adâncime reprezentată la scară, în mărimea ei reală, urmează să fie cuprinsă adâncimea mai mare a elementelor din schiță. Pentru a obține această cuprindere este necesar ca în cazul precedent (369 — fig. 377 I) să facem o construcție specială.

— *Adâncimile.* Considerând urma  $t'$  a elementului celui mai depărtat din schiță (în cazul de față acest element este atârnat) îl unim cu punctul cel mai depărtat  $t''$  al scenei. Prelungim raza  $t't''$  pînă la intersecția ei  $O_1$  cu verticala ridicată din punctul de vedere  $O$ . Prelungind pînă pe planul scenei razele care unesc punctul  $O_1$  cu punctele  $a'$ ,  $b'$ ,  $i'$ ,  $o'$  etc. vom obține adâncimea lor  $a''$ ,  $b''$ ,  $i''$ ,  $o''$ .



Prin linii de ordine aceste adâncimi pot fi folosite fie cum s-a arătat în figurile 367 și 377 fie cum se arată în figura de față în care scena — pentru a obține mai ușor abscisele — a fost desenată în  $M'A'$  dedesubtul schiței respective, folosindu-se ipotenuza  $l_2M'$  a triunghiului dreptunghi isoscel  $l_2l_4M'$ .

*Abscisele* se vor obține completând construcția de mai sus, determinând în schiță punctul de intersecție  $P_1$  al orizontalei duse prin punctul  $O_1$  cu verticala ridicată din punctul  $P$ . Prelungind pînă la marginea anterioară  $MA$  a scenei liniile duse din acest punct  $P_1l$ ,  $P_1a$ ,  $P_1b$ ,  $P_1i$ ,  $P_1o$  etc. obținem punctele  $l_1$ ,  $a_1$ ,  $b_1$ ,  $i_1$ ,  $o_1$  etc. În proiecție orizontală prin linii de ordine verticale, obținem la intersecțiile lor cu adâncimile, în prealabil găsite, proiecțiile orizontale  $l_3$  (a elementului atîrnat)  $a_3b_3$  (a elementului  $abcd$  din stînga compoziției)  $i_3o_3$  (a elementului  $ioln$  din dreapta compoziției) etc.

Pentru unele detalii, cum ar fi, de exemplu, verticala  $em$  care împarte în două părți nesimetrice elementul din dreapta, nu mai este necesar să determinăm adâncimea punctului  $e$  căci dreapta  $P_1ee_1$  și linia de ordine  $e_1e_3$  ne dă punctul căutat la intersecția ei cu urma  $o_3i_3$  deja precizată.

De altfel totalitatea liniilor de ordine, verticale în plan și fugind spre punctul  $P_1$  în schiță, precum și a celor orizontale în plan și în schiță pot constitui o rețea ortogonală în plan și perspectivă în schiță cu ajutorul căreia putem desena, cu oarecare aproximație, proiecția orizontală a unora din elementele decorului cum ar fi, de exemplu, aceea a elementului suspendat, sau determinînd cu procedeul exact arătat mai sus numai lățimile punctelor caracteristice cum se vede în fig. 379 pentru punctele  $r$  și  $6$  și cum s-a făcut de altfel pentru toate celelalte puncte 1—11, cu linii de ordine nearătate în figură.

Considerînd planul obținut prin construcțiile arătate mai sus al întregii compoziții, nu trebuie să ne mire că elementele componente ale unei schițe spontane și neconstrînse de verificări perspective au orientări întîmplătoare din care unghiul drept și paralelismul pot fi excluse sau, numai întîmplător, posibile.

*Înălțimile.* Pentru determinarea înălțimilor nu vom putea folosi punctul  $P$  ca în figura 377 ci tot punctul  $P_1$ . Pentru a obține înălțimea uneia din verticalele compoziției din schiță, de exemplu a verticalei  $ll_4$  ducem dreapta  $P_1l_4$  care, prelungită, determină la intersecția ei cu verticala ridicată din punctul  $l_1$  înălțimea  $l_1l_5$  a drepte date. În același fel s-au determinat înălțimile  $a_1d_1$  și  $b_1c_1$  (ale elementului  $abcd$  din stînga compoziției) precum și înălțimile  $o_1l_1$ ,  $e_1m_1$ , și  $i_1n_1$  (ale elementului din dreapta compoziției).

Cînd o verticală, de exemplu înălțimea  $rr'$  a elementului atîrnat, este prea apropiată de mijlocul compoziției, procedînd cum s-a mai arătat în fig. 367 pentru înălțimea verticalei  $R$ , construcția se poate face în afara cadrului schiței, pentru a determina în  $r_1r'_1$  înălțimea căutată.

**374. — Problema liniei orizontului.** În compoziția de față, după cum s-a spus la început, scenograful, nepreocupat de elementele perspective ale tabloului, nu a precizat nici linia orizontului chiar dacă eventual a fost călăuzit din obișnuință de presupusa ei prezență. Pentru transpunerea ei în machetă s-a folosit, cu scopul de a cuprinde în limitata adâncime a scenei o adâncime mult mai mare, un orizont  $O_1P_1$  foarte ridicat și care nu corespunde cu nivelul coborît  $OP$  al spectatorului. Dacă am folosi în machetă înălțimile rezultate din construcțiile de mai sus, fără a ține seama de coborîrea punctului principal, între imaginea înregistrată de spectator în cadrul oglinzii scenei și imaginea cuprinsă în cadrul schiței



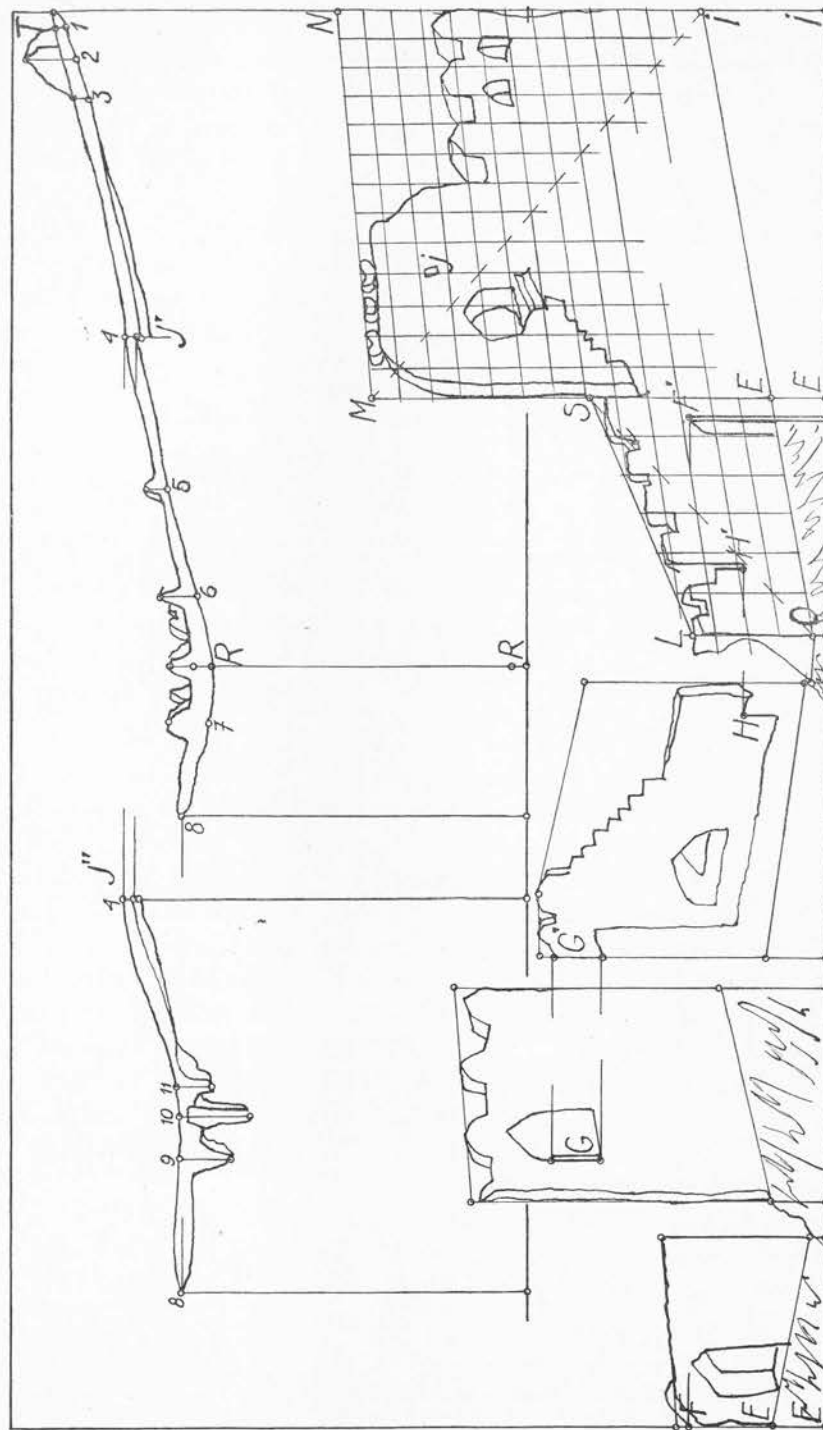
ar fi o deosebire izbitoare: în măsura depărtării lor pe planul obiectelor înălțimile vor descrie și elementele vor pierde treptat din expresivitatea lor în cadrul scenei. Pentru a le reda pe scenă aspectul din schiță se poate întocmi o scară care ne permite să avem cu ușurință înălțarea ce trebuie dată fiecăruia din elementele compoziției, fără a face o construcție specială pentru fiecare verticală în parte, cum se arată în fig. 379 pentru verticalele  $ad, bc$  (ale elementului din stânga)  $ol, em, in$  (ale elementului din dreapta) precum și  $rr'$  (ale elementului suspendat). Înălțările  $a_1a_2, b_1b_2, o_1o_2, c_1c_2, l_1l_2, r_1r_2$  se obțin prin prelungirea dreptelor  $Pa, Pb, Pc, Pl, Pr$  pînă la intersecția lor cu verticalele respective  $a_1d_1, b_1c_1, o_1l_1, e_1m_1, a_1n_1, r_1l_1$  sub care, în machetă, se vor așeza înălțările de mai sus. — *Scara* care ne dă dintr-o dată toate înălțările se face în secțiunea longitudinală a scenei, în  $ML$ , determinînd ca mai sus în  $l_6$  înălțarea verticalei  $ll_4$  a elementului atribuit scenei cel mai depărtat al scenei, obținută prin prelungirea treptei  $Pl$  pînă la intersecția ei cu verticala respectivă  $l_6$ . Printr-o linie de ordine luăm segmentul  $l''l_7$  egal cu segmentul  $l_1l_6$  și dreapta  $ML_7$  constituie scara înălțărilor.

Pentru orice verticală din compoziție, înălțarea ei în machetă se obține pe această scară o dată cu determinarea ei în adîncimea scenei. De exemplu cînd s-a prelungit pînă în punctul  $a''$  raza  $O_1a'$  pentru a obține adîncimea acestui punct, verticala  $a''a_3$  (egală cu verticala  $a_1a_2$  determinată cum s-a arătat mai sus) reprezintă înălțarea ce trebuie dată în machetă verticalei respective  $a_1d_1$ .

S-a spus mai sus că aceste înălțări pot fi motivate prin socluri, trepte, balustrade; adăugăm acum denivelări de teren, ziduri de susținere, stînci, pașiști cu flori (fig. 358), trepte camuflate în dreptul intrărilor pe unde vor trece actorii etc. Trebuie însă știut că este inutil să căutăm ca prin culoare să dăm spectatorului iluzia că înălțarea constituie, cum ar trebui, continuarea spațiului a planului obiectelor. Este un efect plastic care nu se poate obține. De asemenea nu se poate încerca să se dea efectiv planșeu-lui scenei înclinarea, uneori atît de exagerată, rezultată din construcțiile arătate mai sus. *Detaliile* diferitelor elemente se vor transpune în machetă cu ajutorul unor rețele care, în fig. 379 și 380 s-au arătat numai pentru elementul din stînga și pentru elementul din dreapta. Pentru orizontale se împart, cu scara divergentă, într-un număr egal de părți marginile verticale ale fiecărui element în schiță și în machetă. Pentru verticale se vor folosi diagonalele  $ac, os, mi$  în schiță și  $AC, OS, MI$  în machetă. Prin linii de ordine se vor verifica racordările  $FF', GG', HH', JJ', J'$  dintre diferitele elemente ale machetei. Desfășurata elementului atribuit, care are o formă neregulată, s-a făcut prin punctele 1—11 care, în plan, precizează poziția detaliilor caracteristice din schiță. Pentru fiecare din aceste puncte s-au făcut construcțiile care, în figură, nu sînt arătate decît pentru verticala  $rr'$  așa cum s-a arătat mai sus.

Considerînd figurile obținute prin aceste înălțări nu trebuie să ne mire că acestea prezintă descrieri perspective diferite de acelea din schiță care după cum se știe a fost concepută, fără verificări perspective (de exemplu compară patrulaterul  $emln$  din schiță cu patrulaterul  $EMIN$  după înălțarea lui). În machetă, așezate pieziș și la adîncimea lor respectivă, vor avea, pentru ochiul așezat la depărtarea  $OP$  de marginea ei anterioară și la înălțimea  $pP$  față de planul ei orizontal, înălțarea exactă pe care o au în schiță.

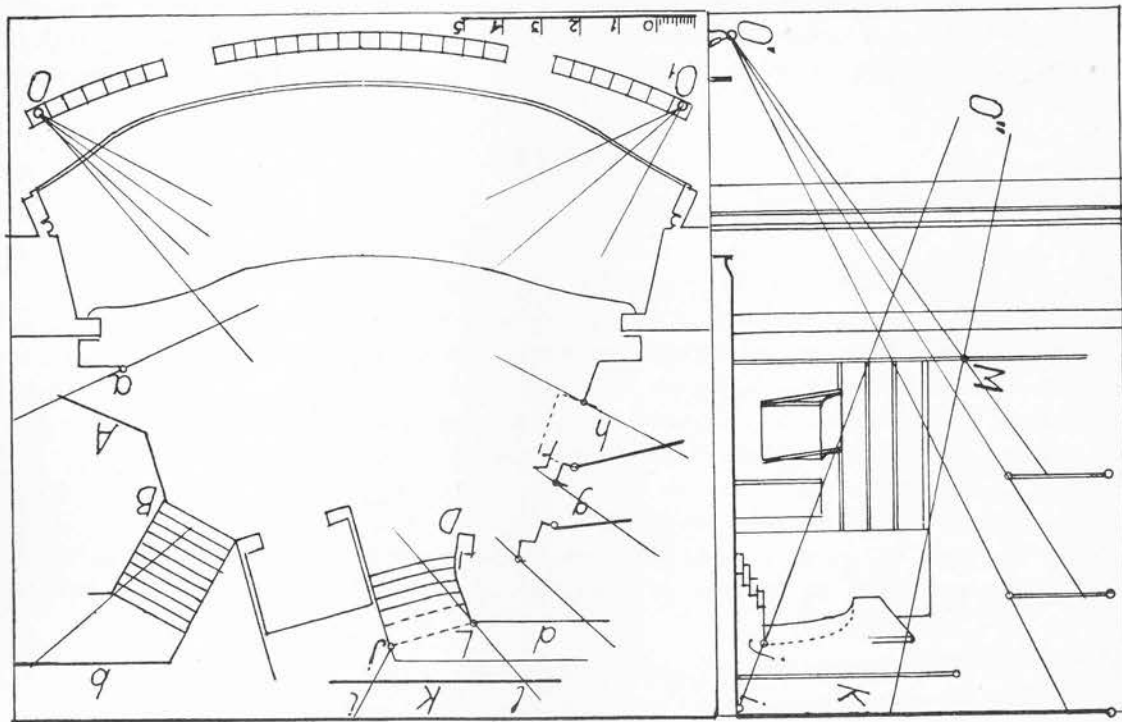




De altfel, dacă procedul da scenografului posibilitatea de a obține pe scenă un decor care, pentru spectatorul din mijlocul partenerului să reprezinte cu o exactitate perfectă imaginea schifei sale, el nu exclude folosirea lui ulterioară și în perspectivă inversă pentru a aduce schifei sale toate modificările ce, din diferite considerente, ar aduce machetei sale. Corecțiile ce se vor aduce în machetă (măritrea sau micșorarea ușilor, a treptelor etc.) cerute de jocul actorilor sau de alte considerente de orice natură, vor putea fi făcute și în schița respectivă, folosind în perspectivă directă aceleași construcții care în perspectivă inversă au generat macheta.

## VIZIBILITĂȚILE

**375.** — Pentru desăvârșirea oricărei compoziții de scenografie se va rezolva și problema vizibilităților. Considerând pe spectatorii cei mai apropiați de scenă și care ocupă locurile cele mai laterale, se vor desena pe planul scenei razele lor vizuale care cuprind marginile diferitelor



elemente ale decorului pentru a deduce golurile prin care s-ar putea vedea pereții care mărginesc scena, în scopul de a se găsi mijlocul cel mai potrivit pentru a umple aceste goluri în mod corespunzător.

Este necesar să precizăm că pentru o bună încadrare a decorului, pentru spectatorii din primele rânduri, s-ar cere coborîrea mantoului  $M$  care ar putea însă să ascundă spectatorilor din balcoanele superioare ale sălii elementele mai depărtate de pe scenă. Trebuie să se țină deci seama și de punctul de vedere al spectatorului din mijlocul ultimului rând al balconului superior, analizînd, într-o secțiune longitudinală (fig. 381), cum se acoperă diferitele elemente ale decorului în succesiunea lor în adîncimea scenei. Astfel raza vizuală  $O''j$  ne arată că spectatorul din balcon ar vedea în mod supărător prin arcada decorului  $D$  planșeul scenei și marginea inferioară  $i$  a fundalului. Va fi necesar să se intercaleze un șasiu  $K$  a cărui lățime e dată de razele  $OL$  și  $O_1j$ , prelungite, pentru suprimarea acestui neajuns. În figura 365 pe acest șasiu s-au pictat bărci cu pînze și apa al cărei mal depărtat era reprezentat pe fundal.

377. — Imaginile perspective ale diferitelor elemente din spațiul înconjurător se vor putea reprezenta pe perețele cilindric al rotondei folosind un plan al întregii zone la o scară destul de mare pentru a asigura exactitatea lucrării. Se va putea folosi pentru

## PANORAMA

Diorama își propune să creeze privitorului aceeași iluzie a spațiului nelimitat în adâncime dar limitat în lățime la fel cu cel cuprins între culisele unui decor de teatru, sau în cadrul unui vast altorelieu foarte dezvoltat în adâncime.

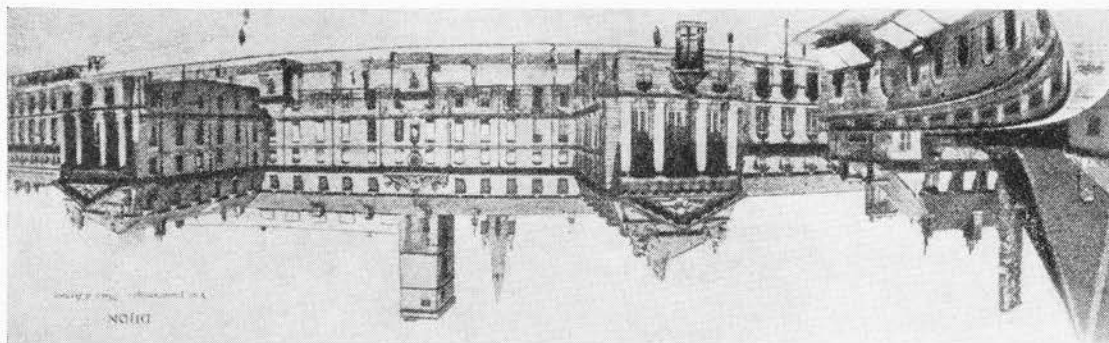
de teatru care tind a sugera adâncimi mai mari decît cele reale.

Între acest tablou cilindric și platforma centrală, diferitele elemente mai apropiate din spațiul înconjurător vor fi reprezentate în relieful asemănător celui al decorurilor

nelimitat nu numai în adâncime dar și în lățime (fig. 382).  
376. — Panorama își propune să reprezinte în pictură pe perețele cilindric al unei rotunde imaginea perspectivă a spațiului înconjurător așa cum ar fi văzut de un pictor care, rotindu-se pe loc, de pe o platformă centrală — l-ar cuprinde succesiv cu privirea,

## PANORAMA ȘI DIORAMA

Fig. 382. (376) Desfășurare perspectivă pe tabloul cilindric. Fotografie luată pe peliculă cilindrică. După Paul Guadet. Cours de perspective. Paris, 1929.



elementele mai apropiate și care vor trebui să fie redată cu mai mare exactitate un plan la o scară mai mare decât pentru elementele mai depărtate, în timp ce pentru elementele foarte depărtate, cum ar fi munții din regiune, se va putea folosi harta acestora. În figura 383 planul este la scara de 1:500, metrul fiind reprezentat prin 2 mm.

În plan, pe lângă toate elementele ce trebuiesc reprezentate în panorame, vor fi arătate și curbele de nivel indispensabile pentru redarea reliefului terenului. Un astfel de plan a fost de altfel folosit și în prima parte a acestei lucrări pentru a arăta cum, aplicind grafic legea descreșterii perspectivei, se pot pune în perspectivă punctele caracteristice ale unui anumit loc pornind de la o hartă (I, 317 fig. 344). În afara planului de situație, vor fi necesare și planurile detaliate (plan, fațade și eventual secțiuni) ale diferitelor construcții din regiune. Din aceste planuri se vor deduce cele trei dimensiuni ale prisme în care se înscrie construcția respectivă considerată ca un volum complicat și care va fi pusă în perspectivă așa cum se arată mai departe.

Pe planul regiunii, în locul cel mai potrivit, în general pe o înălțime care domină împrejurimile, se va fixa punctul de vedere  $O$  (fig. 383) și înălțimea lui față de nivelul terenului din imediata vecinătate a rotondei rabătută în  $OO'$  la scara planului. În figura 383 această înălțime s-a presupus de 12,50 m. Din acest punct se trasează un cerc cu raza  $Or$  egală cu aceea a rotondei proiectată, în cazul nostru, de 15 m și alt cerc cu raza  $OV$ , în cazul nostru de 50 m, care delimitează terenul ce va fi reprezentat în pictură pe peretele  $V'S$  al rotondei de cel ale cărei elemente mai apropiate, cum este de exemplu construcția  $A$ , vor fi reprezentate în relief pe intradosul trunchiului de con a cărei generatoare rabătută pe plan este  $V'r'$ .

Vom expune mai întâi procedeele ce se folosesc pentru obținerea imaginii panoramice pictate pe tabloul circular al rotondei. Procedeele pentru obținerea reprezentărilor în relief ale volumelor mai apropiate vor fi expuse mai departe în legătură cu diorama în care aceste reliefuri joacă un rol precumpănitor.

#### IMAGINILE PERSPECTIVE PE TABLOUL CILINDRIC VERTICAL AL ROTONDEI

**378.** — Imaginile perspective pe tabloul *cilindric vertical* al rotondei pun probleme care se pot rezolva prin aplicațiile grafice ale legii descreșterii perspective (I, 315—317, fig. 342—344) și prin procedeul construirii geometralului completat cu acela al scărilor divergente (I 565—588, fig. 623—640) pentru elementele mai mici, ale căror imagini perspective vor ocupa în tablou o suprafață atât de restrânsă, încât să poată fi considerată plană iar nu cilindrică. Pentru elementele mai importante care vor ocupa un loc mai întins din suprafața rotondei, va trebui să ne aducem aminte că imaginea perspectivă a unei drepte oarecare orizontală sau înclinată dar nu verticală, din spațiu adică intersecția oricărui plan vizual (dacă nu e vertical sau al orizontului) cu un tablou cilindric este o elipsă care desfășurată va fi o sinusoidă, și va trebui prin urmare să o construim cu mai multe puncte așa cum s-a procedat în fig. 384.





Dar mai ales pentru elementele mai apropiate, se pot obține rezultate satisfăcătoare adoptând la tabloul vertical cilindric procedeul rețelelor de pătrate orientate frontal (I 428—445 fig. 481—500) așa cum s-a făcut în fig. 385 și cum se va arăta mai departe. De la oarecare adâncime liniile orizontale ale rețelei apropiindu-se prea mult unele de altele nu mai pot da rezultate tot atât de exacte ca aplicațiile grafice ale legii descreșterii perspective.

Pentru aplicarea procedeelor enunțate mai sus, cercul rotondei desenat la mică scară a planului de situație nu va da rezultate satisfăcătoare. Vom desena deci în locul acestuia un cerc mai mare luând raza rotondei (în cazul nostru de 15 m) la o scară mult mai mare decât aceea a planului dat. În fig. 383 raza *Om* a fost luată la scara de 1 cm pe metru, formatul cărții nepermițându-ne o scară mai mare.

Pe acest cerc, prin raze vizuale, vom proiecta conic toate elementele din plan, indiferent de locul pe care îl ocupă, mai apropiat (de exemplu construcția *E*) a cărei muchie *e* s-a proiectat în *e'*; sau mai departe (de exemplu construcția *D* a cărei muchie *d* s-a proiectat în *d'*) față de punctul de vedere *O* și anume, după caz, vom proiecta numai muchia mai apropiată de punctul de vedere (*e*, *d*) sau toate muchiile (*ff'*, *gg'*, *hh'* etc.) precum și punctul intermediar *ii'*, după cum prevedem că respectivele lor imagini perspective vor avea o întindere mai mică sau mai mare pe tablou. Inutil să adăugăm că toate elementele și construcțiile vor fi considerate înscrise în prisme, cu baza pătrată sau dreptunghiulară, înăuntrul cărora imaginile lor respective se vor definitiva prin procedeul scărilor divergente, cum s-a spus mai sus.

— Cu ajutorul acestor puncte proiectate pe cerc, folosind o deschidere mică de compas în vederea construirii unei imagini cât mai exacte, vom obține pe linia orizontală *oo'* desfășurarea tabloului cilindric (fig. 384). În felul acesta desfășurata va fi la scara (în cazul nostru de 1:100) a cercului desenat pe plan. Pe peretele rotondei (în cazul nostru înalt de 10 m) imaginea perspectivă va trebui mărită de o sută de ori. În practică nu numai cercul se va desena pe plan la o scară mult mai mare dar și segmentele obținute pe acest cerc se vor mări de un număr de ori corespunzător pentru ca desfășurata, la o scară mult mai mare, să poată fi adusă ulterior cu ușurință, în mărime de execuție.

### Elementele perspective ale tabloului cilindric vertical

**379.** — *Linia orizontului* este la nivelul fixat pentru punctul de vedere ales. Cu ajutorul curbelor de nivel ale planului sau ale hărții folosite se va preciza pentru fiecare element din compoziție nivelul bazei lui față de acela al punctului de vedere. Astfel, presupunând că terenul este în pantă, în figura 383 vom considera că baza construcției *E* se află la 12,50 m sub nivelul punctului de vedere, aceea a construcției *G* la 11 m și a construcției mai depărtate *D* la 9,50 m. De asemenea, vom considera că vârful *M* al dealului situat pe hartă în direcția razei vizuale *OM'M* la o depărtare de 3.230 m are o înălțime de 800 m deasupra nivelului punctului de vedere.

*Punctul principal* se va găsi, teoretic, în acel punct de pe linia orizontului către care se îndreaptă într-un moment dat privirea spectatorului, mereu schimbătoare. În prac-

381. — *b)* Cele trei dimensiuni ale prismelor în care se vor înscrie imaginile perspective ale construcțiilor  $D$  sau  $E$  și care se prevede că vor ocupa în tablou o întindere destul de mică pentru a o considera plană iar nu cilindrică, se vor lua mai întâi pe razele

așa cum se poate vedea în figurile 344, 345, 499 din prima parte a acestei lucrări. trebuie executată pe altă foaie de hirtie, pentru a nu încălca planul cu prea multe linii, (L, 316 2, fig. 343). Firește că această construcție, ca și celelalte asemănătoare din fig. 384,  $m'm$  determinăm în  $mn$  înălțimea din tablou (fig. 384 și 385) a imaginii perspective  $NM$  cu capătul distanței principale  $Om$  și ducând prin punctul  $n'$  o paralelă geometrică dreptei  $129,2$  mm) și segmentul  $m'n'$  de  $800$  m (adică la scară,  $32$  mm). Unim capătul lungimii  $Om'$  de exemplu de  $0,004=100$  m s-a luat lungimea  $Om'$  de  $3,230$  m (adică, la scară, de ginea inferioară a cadrului figurii ca o dreaptă ajutătoare pe care, la o scară potrivită, centrul rotondei s-a aflat în fig. 383. Față de distanța principală  $Om$ , s-a considerat marcurbele de nivel ale hărții — a vârfului unui deal situat la o depărtare de  $3,230$  m de

exemple: *a)* Înălțimea ( $NM$ ) de  $800$  m, deasupra nivelului punctului de vedere — cîtă pe curbele de nivel ale hărții — a vârfului unui deal situat la o depărtare de  $3,230$  m de centrul rotondei s-a aflat în fig. 383. Față de distanța principală  $Om$ , s-a considerat mar- ginea inferioară a cadrului figurii ca o dreaptă ajutătoare pe care, la o scară potrivită, de exemplu de  $0,004=100$  m s-a luat lungimea  $Om'$  de  $3,230$  m (adică, la scară, de  $129,2$  mm) și segmentul  $m'n'$  de  $800$  m (adică la scară,  $32$  mm). Unim capătul lungimii  $Om'$  cu capătul distanței principale  $Om$  și ducând prin punctul  $n'$  o paralelă geometrică dreptei  $m'm$  determinăm în  $mn$  înălțimea din tablou (fig. 384 și 385) a imaginii perspective  $NM$  trebuie executată pe altă foaie de hirtie, pentru a nu încălca planul cu prea multe linii, așa cum se poate vedea în figurile 344, 345, 499 din prima parte a acestei lucrări.

### A. Imaginile perspective pe tabloul cilindric vertical al rotondei folosind aplicarea grafică a legii descreșterii perspective

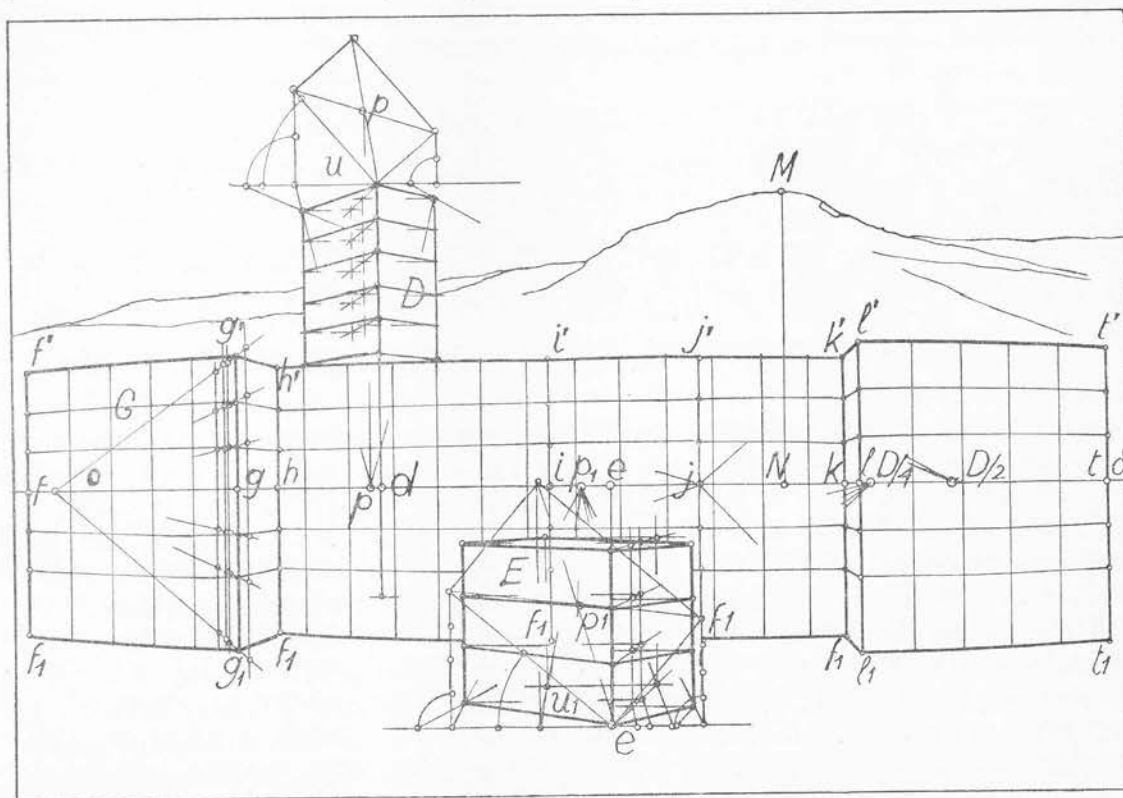
380. — Cu elementele perspective precizate mai sus, vom putea, așa cum se vede în figura 384, proceda la desenarea imaginilor perspective, după ce, așa cum s-a arătat mai sus (378), vom fi reperat pe linia orizontului  $oo'$  punctele  $f, g, h, i, j, k, l, t$  etc. luate cu o deschidere mică de compas din planul de situație. Prin aceste puncte vor trece imaginile perspective ale diferitelor verticale din spațiu, ale căror perspective înălțimi vor fi stabilite prin aplicarea grafică a legii descreșterii perspective. Vom da mai multe exemple:

381. — *a)* Înălțimea ( $NM$ ) de  $800$  m, deasupra nivelului punctului de vedere — cîtă pe curbele de nivel ale hărții — a vârfului unui deal situat la o depărtare de  $3,230$  m de centrul rotondei s-a aflat în fig. 383. Față de distanța principală  $Om$ , s-a considerat mar- ginea inferioară a cadrului figurii ca o dreaptă ajutătoare pe care, la o scară potrivită, de exemplu de  $0,004=100$  m s-a luat lungimea  $Om'$  de  $3,230$  m (adică, la scară, de  $129,2$  mm) și segmentul  $m'n'$  de  $800$  m (adică la scară,  $32$  mm). Unim capătul lungimii  $Om'$  cu capătul distanței principale  $Om$  și ducând prin punctul  $n'$  o paralelă geometrică dreptei  $m'm$  determinăm în  $mn$  înălțimea din tablou (fig. 384 și 385) a imaginii perspective  $NM$  trebuie executată pe altă foaie de hirtie, pentru a nu încălca planul cu prea multe linii, așa cum se poate vedea în figurile 344, 345, 499 din prima parte a acestei lucrări.

380. — Cu elementele perspective precizate mai sus, vom putea, așa cum se vede în figura 384, proceda la desenarea imaginilor perspective, după ce, așa cum s-a arătat mai sus (378), vom fi reperat pe linia orizontului  $oo'$  punctele  $f, g, h, i, j, k, l, t$  etc. luate cu o deschidere mică de compas din planul de situație. Prin aceste puncte vor trece imaginile perspective ale diferitelor verticale din spațiu, ale căror perspective înălțimi vor fi stabilite prin aplicarea grafică a legii descreșterii perspective. Vom da mai multe exemple:

Dar ne vom aminti, cum s-a arătat mai sus, că înălțimile trebuie să fie considerate sub și peste nivelul punctului de vedere  $O$  situat în cazul nostru la 12,50 deasupra solului care se ridică cu 1,50 m în dreptul construcției  $G$  și cu 3 m în dreptul construcției  $D$ . Astfel pentru construcția  $D$  vom lua  $12,50 - 3 = 9,50$  m pentru baza construcției, precum și 7 m, 11 m și 36 m pentru lățimea, adâncimea și înălțimea de 9 etaje, iar pentru construcția  $E$  vom lua 12,50 m pentru baza construcției care e la același nivel cu cel al bazei rotunde precum și 7 m, 11 m și 8 m pentru cele trei dimensiuni, lățime, adâncime și înălțime de două etaje.

În tabloul (fig. 384) înălțimile de 9,50 m și 12,50 m se vor așeza sub linia orizontului pe verticalele respective iar imaginea perspectivă a prismelor se va desena prin procedeul construirii geometralului, care se va aplica în punctul cel mai depărtat de linia orizontului (la baza inferioară a construcției  $E$  și la baza superioară a construcției  $D$ ).



478

la 50 m de punctul de vedere, pe circumferința trasată de raza  $Ov$ . În stînga figurii 385] în care adîncimea  $oO$  de 50 m a fost luată ca scară de 3 mm pe metru, se vede cum înînd un segment  $VV'$  de 10 metri la aceeași scară cu raza  $Ov'$ , s-a determinat pe verticala  $Vo$  adîncimea de 10 m și cum repetînd de mai multe ori această operațiune s-a putut determina rețeaua orizontală pe întregul tablou. Nu trebuie să uităm că, în spațiu, aceste orizontale de pe tabloul cilindric se suprapun pe planul obiectelor, pe circumferințe ale căror raze cresc cu cite 10 m. Scara adîncimilor se com-  
p

$V_1SS_1$  prin rotunda la scara de 2 mm pe metru. Pentru întocmirea unei rețele orizontale este necesar să cunoaștem mărimea unității de măsură în primul plan al tabloului. În acest scop observăm în aceeași schemă că pe marginea inferioară  $V'$  a tabloului, vor fi reprezentate elementele care în spațiu se găsesc

**383.** — În fig. 385 folosind schema din josul planului de situație (fig. 383) în care  $O'$  reprezintă punctul de vedere,  $O''$  raza de 15 m a rotundei iar  $V''$  și  $0,5$  înălțimile de 3,80 m și de 6 m ale tabloului cilindric sub și peste linia orizontului s-a desenat o secțiune

B) Imaginile perspective pe tabloul cilindric vertical al rotundei folosind o rețea pentru adănești și o scară perspectivă pentru înălțimi

382. — c) Pentru construcții ale căror imagini vor ocupa un loc important pe planul cilindric al rotondei nu se va putea aplica procedul construirii geometralului. Pentru orizontale lungi se vor lua și puncte intermediare, de exemplu punctele  $i$  și  $j$  de pe dreapta  $hk$  și pentru fiecare punct  $h$ ,  $i$  și  $j$  se va aplica grafic legea descreșterii perspective. Considerind razele  $Oh$ ,  $Oi$  și  $Oj$  ca dreptele ajutoare vom marca pe ele înălțimea de 12,50—1,50=11 m pentru bază inferioară și înălțimea de 20 m pentru înălțimea unui parter de 5 m și a cinci etaje de câte 3 m și vom uni capetele  $h$ ,  $i$  și  $j$  ale acestor dreptele ajutoare cu capătul  $f'$  al distanței principale  $Of$ , pentru a căpăta pe ea mătina imaginilor perspective ale înălțimilor respective care desenate în tablou sub și deasupra liniei orizontului ne vor permite să desenașm imaginea sinusoidă a bazei inferioare și superioare a construcției respective. Liniiile ei intermediare se vor desena cu o scară a înălțimilor.

Prin arce de cerc se va da laturilor bazei orientarea pe care o au în plan fața de perpendiculara dusă pe raza vizuală care unește punctul de vedere  $O$  cu punctul de intersecție  $p$  al diagonalelor bazei respective.

În tablou, după construirea bazei și a diagonalelor, prin punctul lor de intersecție se va duce o perpendiculară pentru determinarea, pe linia orizontului, a punctului principal respectiv  $p$  sau  $p_1$ , și se va lua spre dreapta sau spre stînga lui distanța principala  $Od_1$  redusă la jumătate  $pD/2$  sau la o pătrime  $p_1D/4$ . Punctele principale se pot determina pe linia orizontului și din planul de situație cu razele  $Opp'$  sau  $Op_1p'$ . Cu aceste elemente se va construi prin procedeu cunoscut al construcției geometralului, una din bazele prismei, și cu ajutorul unei scări a înălțimilor se va construi și a doua bază așa cum știm și cum se vede în fig. 384. Înăuntrul acestor prismе, volumul respectiv, oricît de complicat ar fi,



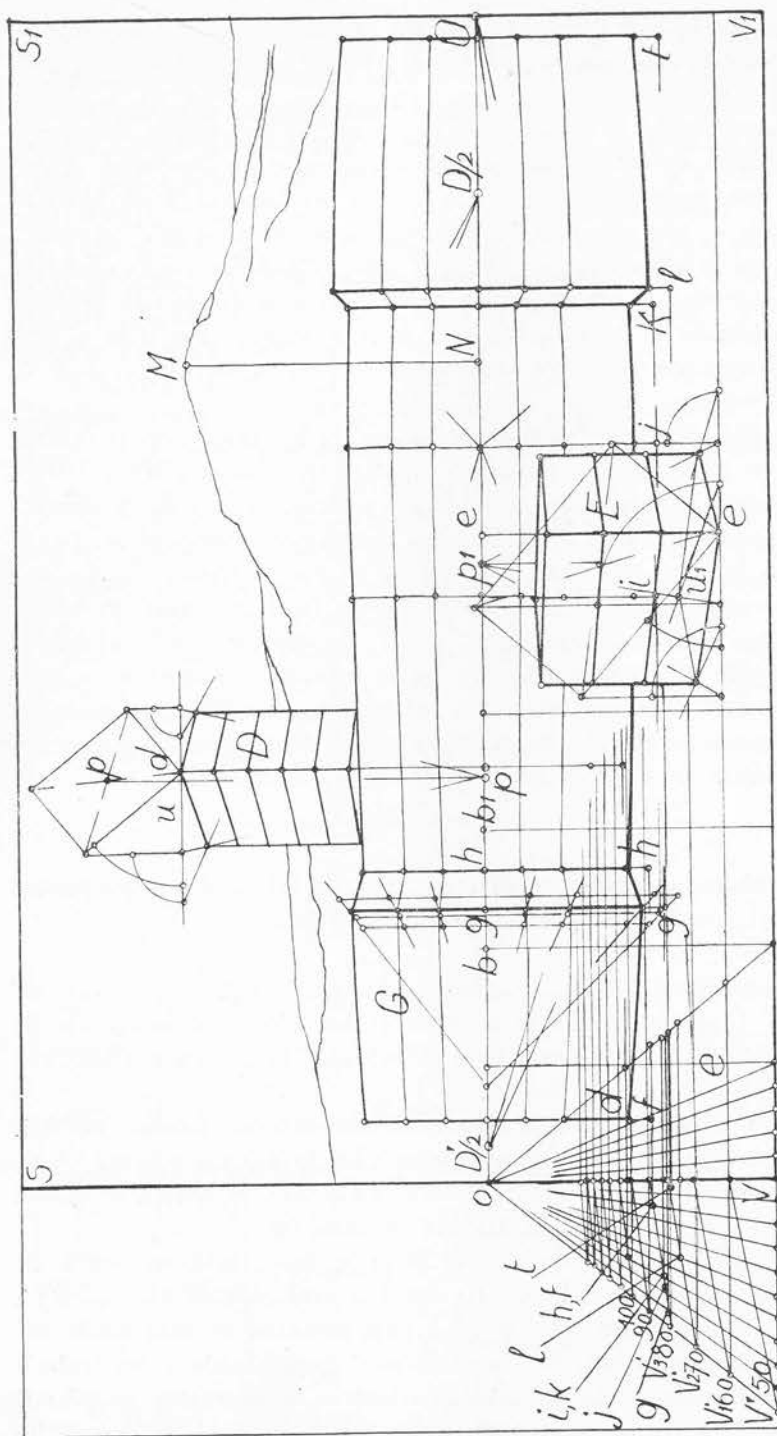


Fig. 385. (380, 383, 384)

tează cu razele care unesc punctul  $o$  cu segmentele de câte 1 m de pe orizontala  $VV'$ . La intersecția acestor raze cu razele vizuale  $V'O$ ,  $V_1'O$ ,  $V_2'O$ , etc. vom obține adâncimile din metru în metru cu ajutorul cărora vom putea stabili în tablou imaginea perspectivă a diferențelor adâncimii citite în planul de situație.

Pentru claritatea construcțiilor s-a păstrat această scară numai pentru adâncimi, întocmindu-se simetric cu aceasta și o scară perspectivă a tabloului pentru celelalte măsurători.

**384.** — Dacă, amintindu-ne de rețelele de pătrate orientate frontal folosite pe tabloul plan, am dori să le desenăm și pe tabloul cilindric, am constata că pe planul obiectelor în locul pătratelor vom găsi segmente inelare și că imaginea lor perspectivă nu va fi trapezoidală ci dreptunghiulară, deoarece laturile lor laterale trec prelungite prin punctul de vedere  $O$ . Vom

**385.** — În spațiul limitat în lărgime al dioramei, fundalul va fi un tablou plan și elementele lui perspective vor fi cele cunoscute, cu deosebirea că distanța principala nu va fi, după cum știm, egală cu diametrul cercului circumscris tabloului și cu centrul în punctul principal. Distanța principală va fi mai mare și va fi egală cu adâncimea reală a fundalului față de punctul de vedere prevăzut pentru spectator, ca în decorul de teatru (360). Dacă elementele din primul plan al dioramei sînt în mărime naturală vom avea o macrodioramă (fig. 390) iar cînd acestea sînt mai mici decît în natură vom avea o microdioramă (fig. 386, 387, 391).

Rămîne să arătăm cum se va proceda pentru obținerea reliefulurilor care vor reprezenta elementele mai apropiate, cuprinse între fundal și spectator.

## DIORAMA

așa cum se arată mai departe.

ale reliefulurilor dîndu-le forma ușor eliptică ale intersecțiilor planelor cu o suprafață conică, unui trunchi de con inversat. Vom modifica deci în consecință marginile inferioare rectilinii ritele reliefuluri vor fi așezate pe un plan înclinat, în panoramă vor fi așezate pe intradosul care este propriu dioramei. Va trebui totuși să ținem seama că pe cînd în dioramă diferite cum ar fi construcția A din planul de situație se va folosi procedeul arătat mai jos și Pentru completarea panoramei cu reprezentarea în relief a elementelor mai apropiate, obține prin procedeul arătat mai sus al aplicării grafice a legii descrescărilor perspective.

Evident că pentru elementele situate la mari depărțări rezultate mai exacte se vor în aceeași figură pentru înălțimile  $h$ ,  $i$  și  $j$  situate la adâncimile de 88 m, 83 m și 82,30 m. La fel se vor determina înălțimile orizontalelor lungi ale unui edificiu cum se arată la o adâncime de 60 m sau muchia  $d$  situată la o adâncime de 103 m.

precis cu ajutorul scării adâncimilor, cum se vede în figura 385 pentru muchia  $e$  situată în cazul precedent, ci se vor măsura pe scara perspectivă a tabloului la adâncimea stabilită structurilor respective, cunoscute din planuri, nu se vor determina cu dreptele ajutoare ca Pentru construirea geometralului cele trei dimensiuni ale prismelor circumscrise con-vor ocupa o întindere redusă și prin puncte pentru cele ce se vor dezvolta în lătime. leași condiții ca și tabloul plan, prin construirea geometralului pentru construcțiile care Cu aceste elemente perspective, imaginile se vor obține pe tabloul cilindric în ace-verticale vecine ale rețelei.

fost măsurate de pe planul de situație pe circumferința rotunde, în  $g'$  și  $h'$ , între două calele au fost desenate din 5 în 5 metri, imaginile perspective ale muchiilor  $g$  și  $h$  au lor verticale din compoziție. De exemplu în partea stîngă a figurii 385, unde verti-sidera că ne ajută să desenăm cu mai mare ușurință imaginea perspectivă a muchii-putea completa rețeaua de orizontale și cu verticalele corespunzătoare dacă vom con-

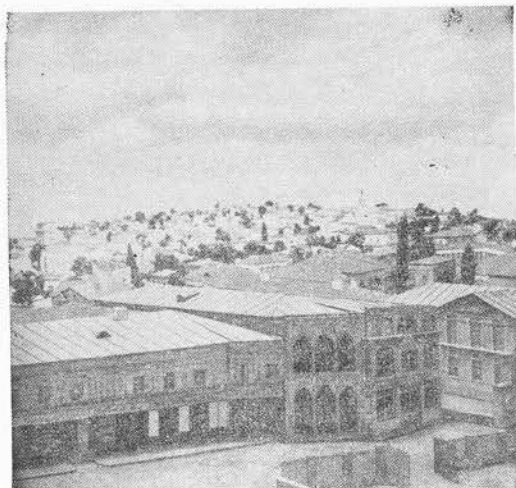


Fig. 386. (385) Microdioramă din Muzeul de Istorie a orașului București



Fig. 387. (385) Microdioramă din Muzeul de Istorie a orașului București

Presupunând că diorama ar cuprinde un sector circular din panorama studiată mai sus, pe planul înclinat  $V'O$  (în schema din josul figurii 383 la scara de 2 mm pe metru și în figura 388 la scara de 5 mm pe metru) ne propunem să arătăm cum se va prezenta în relief construcția  $A$  din planul de situație, privită din punctul de vedere  $O$ .

În proiecția orizontală (fig. 388 I) luând unghiul  $u$  și segmentul  $ca$  din planul de situație (fig. 383) s-a dat construcției respective aceeași orientare față de raza vizuală  $Oc$  și aceleași dimensiuni de  $7 \times 11$  m, iar în proiecție verticală (fig. 388 II), prin linii de ordine, s-a desenat construcția înaltă de 5 m și cu un acoperiș în patru ape, dând punctului de vedere  $O'$  aceeași înălțime  $OO'$  de 12,50 m și pantei planului  $OV'$  aceeași înclinare ca și în schema din figura 383. Urmează ca plecând de la aceste proiecții ortogonale să determinăm prin proiecții conice planul, elevația și desfășurata construcției propuse.

În proiecție verticală determinăm punctele de intersecție  $a'd'f'h'$  etc. de pe planul obiectelor pentru ca pe urmă, prin linii de ordine duse prin aceste puncte, să determinăm în proiecție orizontală punctele lor de intersecție  $a_1, d_1, f_1, h_1$  etc. cu razele care unesc punctele de vedere  $O$  cu punctele respective  $a, d, f, h$  etc. ale planului clădirii și ale proiecției orizontale a acoperișului. În continuare, vom completa proiecția verticală, determinând pe liniile de ordine respective punctele lor de intersecție  $b', g'_1, i'_1$  etc. cu razele vizuale care unesc punctul de vedere  $O'$  cu diferitele colțuri ale acoperișului.

Aceste două proiecții astfel completate sînt suficiente pentru a construi desfășurata construcției și a acoperișului ei (fig. 388 III).

Pentru elementele verticale (pereții) lățimile se vor lua în proiecția orizontală  $a_1 d_1$  etc., iar înălțimile, în proiecție verticală, față de orizontala care trece prin punctul  $a$  ( $AB=ab'$   $DE=d'e'_1$  etc.).

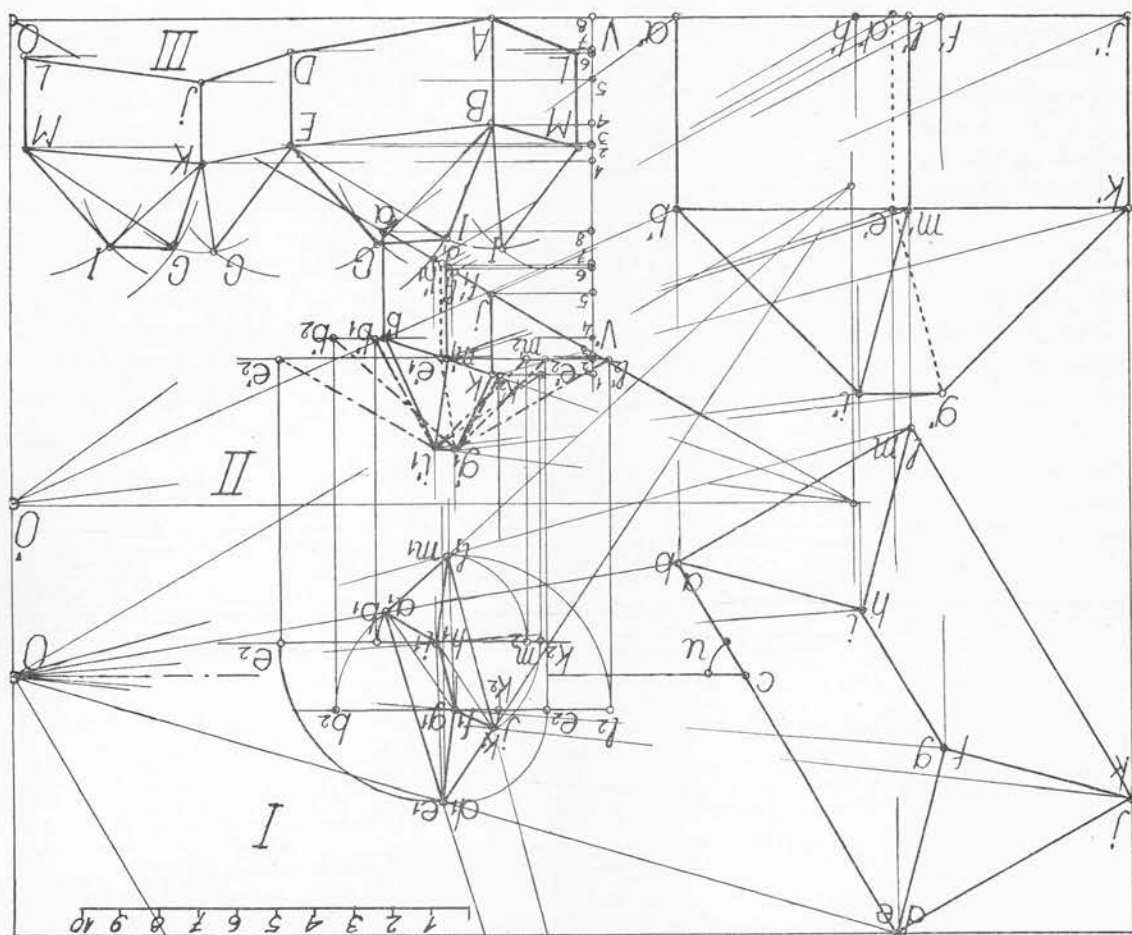


Fig. 388. (385)

386. — Dacă acest relief va fi așezat pe suprafața conică a panoramei (fig. 389 care e o mărire la scara de 1 cm pe metru a unui fragment din figura 388) muchiile recti-

orizontale.

planul înclinat al dioramei la departarea respectivă și cu orientarea luată din proiecția servi ca machetă pentru obținerea reliefului în mărime de execuție spre a fi așezat pe celelalte trei fețe pentru a obține desfășurata întregului relief. Decupată și îndoită va obținut desfășurata  $BEGI$  a uneia din apele acoperișului. Se va proceda la fel și pentru mărime a muchiilor  $e_1g_1$  și  $b_1l_1$ . Având aceste adevărate mărime, prin arce de cerc s-a proiecta verticală. Pe aceeași cale s-a găsit în  $g_1e_2$  și în  $l_1b_2$  în proiecție verticală adevărată și adevărate mărime a laturii  $e_1l_1$ , cu arcul de cerc  $e_1e_2$  și linia de ordine  $e_2e_2$  în  $l_1e_2$  din laturii  $b_1g_1$ , cu arcul de cerc  $l_1b_2$  și linia de ordine  $b_2b_2$ , în  $g_1b_2$  din proiecția verticală;  $b_1e_1g_1$  triunghiurile  $b_1e_1g_1$  și  $b_1e_1l_1$  căutând adevărate mărime, prin procedul rotației, a

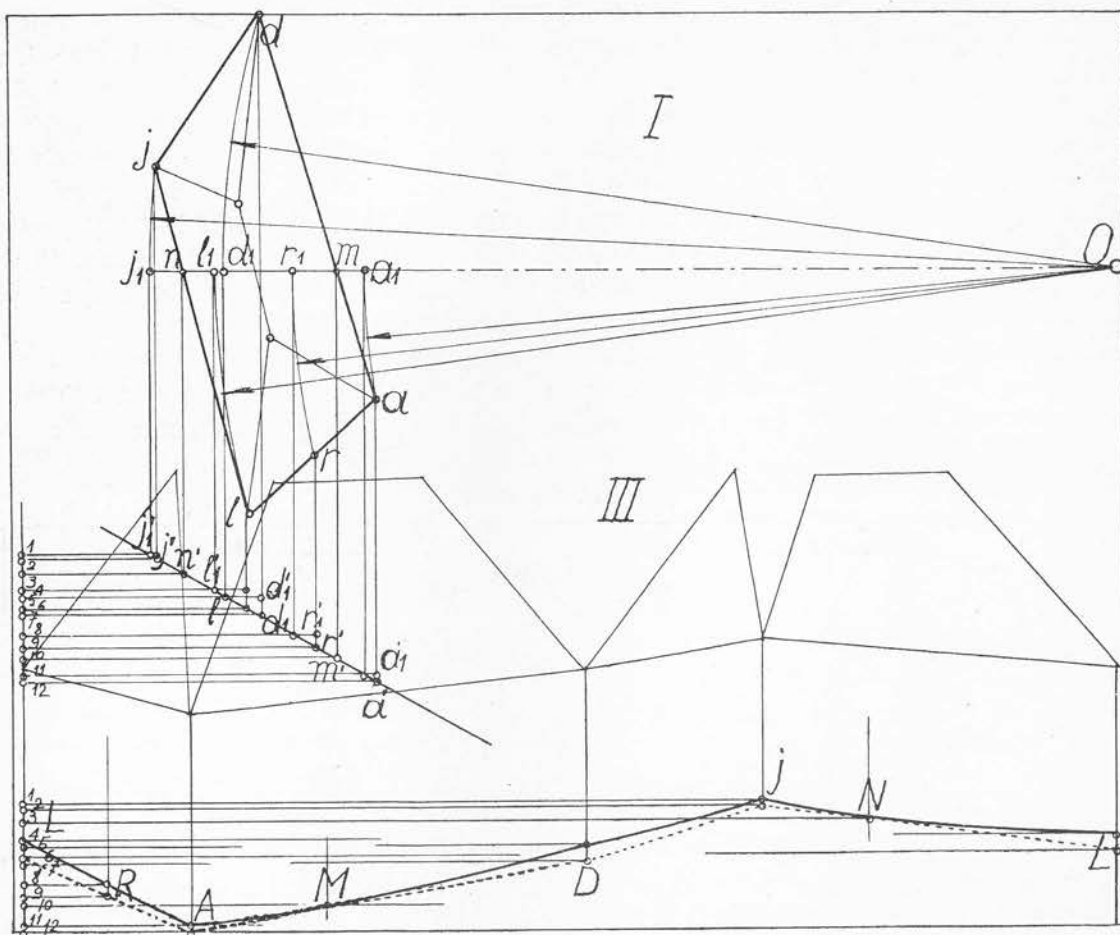


Fig. 389. (386)

linii  $LA$ ,  $AD$ ,  $DJ$  și  $JL$  vor trebui să fie modificate, cum se arată în figură. Din acest perimetru numai punctele  $M$  și  $N$  situate în planul vizual principal vertical vor rămâne neschimbate. Colțurile perimetrului se vor ridica pe suprafața conică cu atât mai mult cu cât sînt mai depărtate de acest plan: punctul  $L$  și  $D$ , mai mult decît punctele  $J$  și  $A$ , iar punctele  $M$  și  $N$  vor rămîne pe loc.

Problema se soluționează cu procedeul rotației: în proiecție orizontală, cu arce de cerc, aducem de front razele  $Oa$ ,  $Od$  etc. și prin linii de ordine, în proiecție verticală, găsim cu cît aceste puncte sînt mai ridicate decît acelea ale laturilor corespunzătoare. Aceste diferențe de nivel vor fi introduse în desfășurata în care, pentru laturile lungi  $LJ$  și  $AD$  avînd trei puncte  $LNJ$  și  $AMD$ , vom putea trasa cu exactitate segmentul de elipsă corespunzător.

Restul desfășuratei rămîne neschimbat.



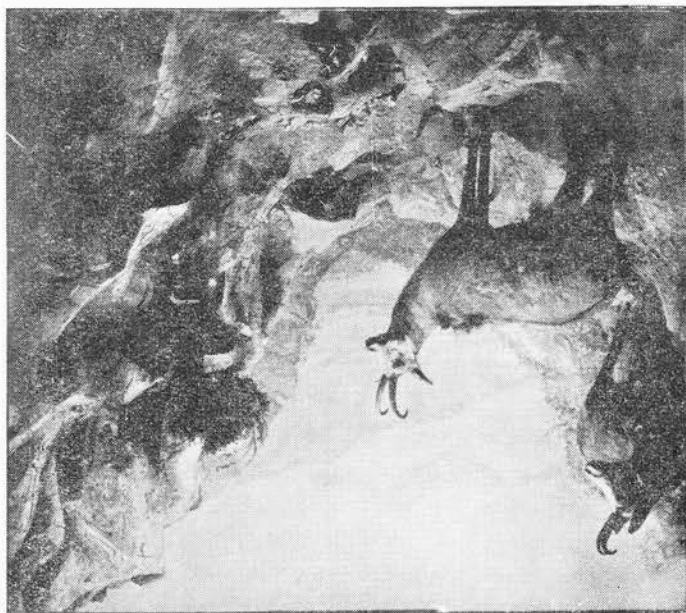


Fig. 390. (385) *Macrodiorama* din Muzeu de Istorie Naturală Gr. Antipa



Fig. 391. (385) *Microdiorama* din Muzeu de Istorie Naturală Gr. Antipa



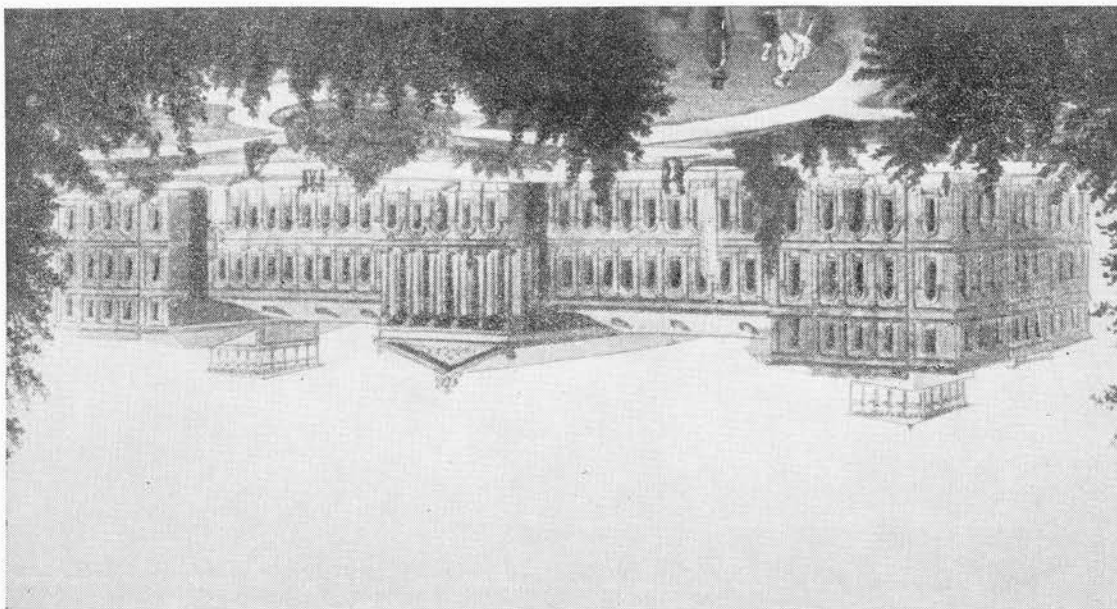
**387. —** Utilajul disponibil (mari planșete și lungi lame de teu) face posibilă, în execu-tarea imaginilor perspective de arhitectură, folosirea — într-o largă măsură — a punctelor de fugă, inaccesibile în cadrul restrins al tabloului pictorial, limitat la șasiul pe care e fixat. Pe de altă parte, în marea majoritate a cazurilor, în arhitectură se pun mai ales probleme de perspectivă directă (I, 14) și numai rareori probleme de perspectivă inversă (I, 15) sau de restituire perspectivă (I, 16). Din aceste motive, pornind de la planuri execu-tate la scară în proiecție orizontală (planul) în proiecție verticală (elevație) și în proiecție laterală (secția) și folosind măcar unul din punctele de fugă — dacă nu pe amândouă — ima-ginile perspective ale proiectelor de arhitectură se pot obține, în mod curent, mai ales când punctul de vedere nu este la o mare depărtare, și cu alte procedee decît cele expuse pînă acum în această lucrare și care au urmărit rezolvarea diferitelor probleme de perspectivă fără a depăși cadrul limitat al tabloului.

Cu procedeele ce vom expune mai jos se pot obține rezultate satisfăcătoare — dacă se desenează cu atenție — folosind numai unul din cele două puncte de fugă și anume acela care este mai apropiat de punctul principal.

### In perspectivă directă

## IMAGINILE PERSPECTIVE IN ARHITECTURĂ

Fig. 392. (390) Alexandru Orescu: Universitatea din București



Dacă imaginea perspectivă este de dimensiuni reduse și dacă planșeta poate cuprinde și al doilea punct de fugă — când punctul de vedere nu e prea depărtat — folosirea lui va facilita desenarea dreptelor care se îndreaptă spre el asigurând desenului o mai mare exactitate. Dar nefiind indispensabil vom expune de la început procedeul care folosește numai un singur punct de fugă.

*Procedeul care folosește un singur punct de fugă accesibil pe planșetă*

**388.** — Procedeul ne ajută, pe de o parte, să ducem cu destulă exactitate liniile care fug spre celălalt punct de fugă inaccesibil, iar pe de altă parte, să desenăm prin intersecții destul de exacte detaliile ale căror efecte plastice dorim să le verificăm în imaginea lor perspectivă.

În exemplul dat în figurile 393 și 394 s-a căutat imaginea perspectivă a unui edificiu care — sub un unghi întâmplător, dat de planul de situație — nu poate fi privit decît de la o depărtare relativ mică, din punctul  $O$ .

Ducem, nedeterminate ca lungime, bisectoarea  $Op$  a razelor vizuale  $OA$  și  $OB$  care cuprind între ele edificiul dat și perpendicular pe această bisectoare vom desena urma  $A_1pB_1$  a tabloului, mai aproape sau mai departe de punctul de vedere după cum dorim să obținem o imagine perspectivă mai mare sau mai mică (imaginile obținute pe tablouri mai depărtate sau mai apropiate vor fi figuri asemenea).

Ducînd în planul de situație, prin muchia mai apropiată de desenator, o paralelă la urma planului tabloului, determinăm, citită pe raza vizuală principală  $OP$ , mica adîncime de 44 m a acestei muchii.

Pe urma planului tabloului vom proiecta conic toate punctele caracteristice ale compoziției și, în afară de aceasta, prin proiectante oblice, paralele cu direcția punctului de fugă accesibil  $OF$ , vom proiecta pe urma tabloului liniile principale ale compoziției precum și acelea ale elementelor care ne interesează în special, cum ar fi, în cazul de față, cornișa al cărei profil am dori să știm dacă este destul de puternic, balcoanele fațadei principale al căror relief presupunem că va apare prea puternic etc.

Cu o bandă de hîrtie vom transpune în tablou (fig. 394) pe linia orizontului, pornind din punctul de fugă  $F$ , toate punctele proiectate conic și oblic pe urma tabloului.

La scara planului folosit și cunoscînd toate înălțimile construcției vom desena în tablou proiecția verticală a construcției care pe planul oblic al tabloului va apare dilatată în lățime.

De aci înainte orice punct al imaginii perspective se va obține la intersecția liniei de fugă care pornind din punctul  $F$  trece prin punctul respectiv al fațadei, cu verticala ridicată din punctul corespunzător dat de proiectantele conice.

În fig. 394 se văd desenate aceste intersecții pentru capetele extreme ale cornișei și pentru balcoane și se constată că bunele intersecții obținute permit să se deseneze corect și exact și liniile cornișei care se îndreaptă spre punctul de fugă inaccesibil. Avem o imagine precisă și reală a profilelor determinate.

389. — Cum era de așteptat, ca urmare a unui punct de vedere prea apropiat, imaginea prezintă descreșteri și deformări perspective exagerate. Din punctul principal ca centru și cu o rază egală cu jumătatea razelor vizuale principale  $OP$  din plan, obținem cercul vizunii clare a desenatorului (un cadru dreptunghiular, înscris în acest cerc, reduce și cercul vizunii acestei vizuni). Aceste deformări vor înceta să fie supăratătoare iar imaginea va constitui un bun și valabil instrument de lucru de îndată ce o vom privi (cu un singur ochi) prin orificiul unui ecran așezat în dreptul punctului principal și de la o depărtare egală cu distanța principală  $OP$ . Astfel privită, imaginea se suprapune exact pe construcția care va fi văzută de la mica depărtare, dată de planul de situație, și de la care va fi privită în realitate. În cunoștință de cauză vom putea face deci toate corecturile ce vom crede de cuviință, de exemplu vom micșora în  $b$  balconul care apare prea proeminent și vom înălța corpul principal. Cu o linie de fugă determinăm pe fațada desenată la scară în tablou înălțimea, de exemplu de 5,50 m, pe care trebuie să o adăugăm spre a obține, în realitate, efectul plastic obținut într-o imagine perspectivă în care s-a ținut riguros seama de orientarea sub care și de depărtarea de la care va putea fi văzută construcția în realitate, atunci când va fi executată.

Pentru reducerea proeminenței balconului, raza  $Ob$  care unește punctul de vedere cu punctul  $b$  de pe urma tabloului, reperat pe linia orizontului din imaginea perspectivă, ne va da în plan punctul corespunzător  $b'$  și vom citi la scară dimensiunea ce urmează a fi dată acestui element.

390. — Dar pentru rezolvarea prin imagini perspective a diferitelor probleme ce se pun în arhitectură cum ar fi: așezarea imaginii perspective a unei construcții proiectate în mediul înconjurător, alături de alte edificii existente sau proiectate, în legătură cu diferite plantați existente sau proiectate, în raport cu peisajul mai depărtat: muni, dealuri etc., sau stabilirea proiectului unui edificiu prin restituire perspectivă, luând ca bază o schiță perspectivă, etc. se va ajunge cu ușurință la rezultate strins legate de realitate și în același timp exacte, folosind unele din procedeele cuprinse în această lucrare cum ar fi: aplicarea grafică a legii descreșterii perspective care ne permite să determinăm cu foarte mare ușurință, pe cale grafică, scara oricărui plan frontal oricât de depărtat sau de apropiat s-ar găsi de punctul de vedere stabilit concret pe un plan de situație (I, 315—317, fig. 342—344).

$b$ ) Procedul construirii geometralului care ne permite să determinăm, în condițiile date de depărtare, imaginea perspectivă a oricărui unghi pe care l-am construit în geometral (I, 279—287, fig. 305—313).

$c$ ) Scările divergente care ne permit să împărțim în părți egale sau proporționale segmente de drepte care fug, de îndată ce cunoaștem punctul lor de mijloc (I, 364—371, fig. 406—408).

$d$ ) Scara înălțimilor care dă rezultate exacte și lasă liber desenul de linii inutile, dacă o folosim cu o bandă de hirtie (I, 253—254, fig. 281—282, 284—285).

$e$ ) Rețelele perspective cu puncte de egală rescecție, care deși cu unele inconveniente, pot da rezultate pozitive în atelierele de proiectare (223—230).

Toate aceste procedee se sprijină pe punctele de distanță adică în seama de depărtarea



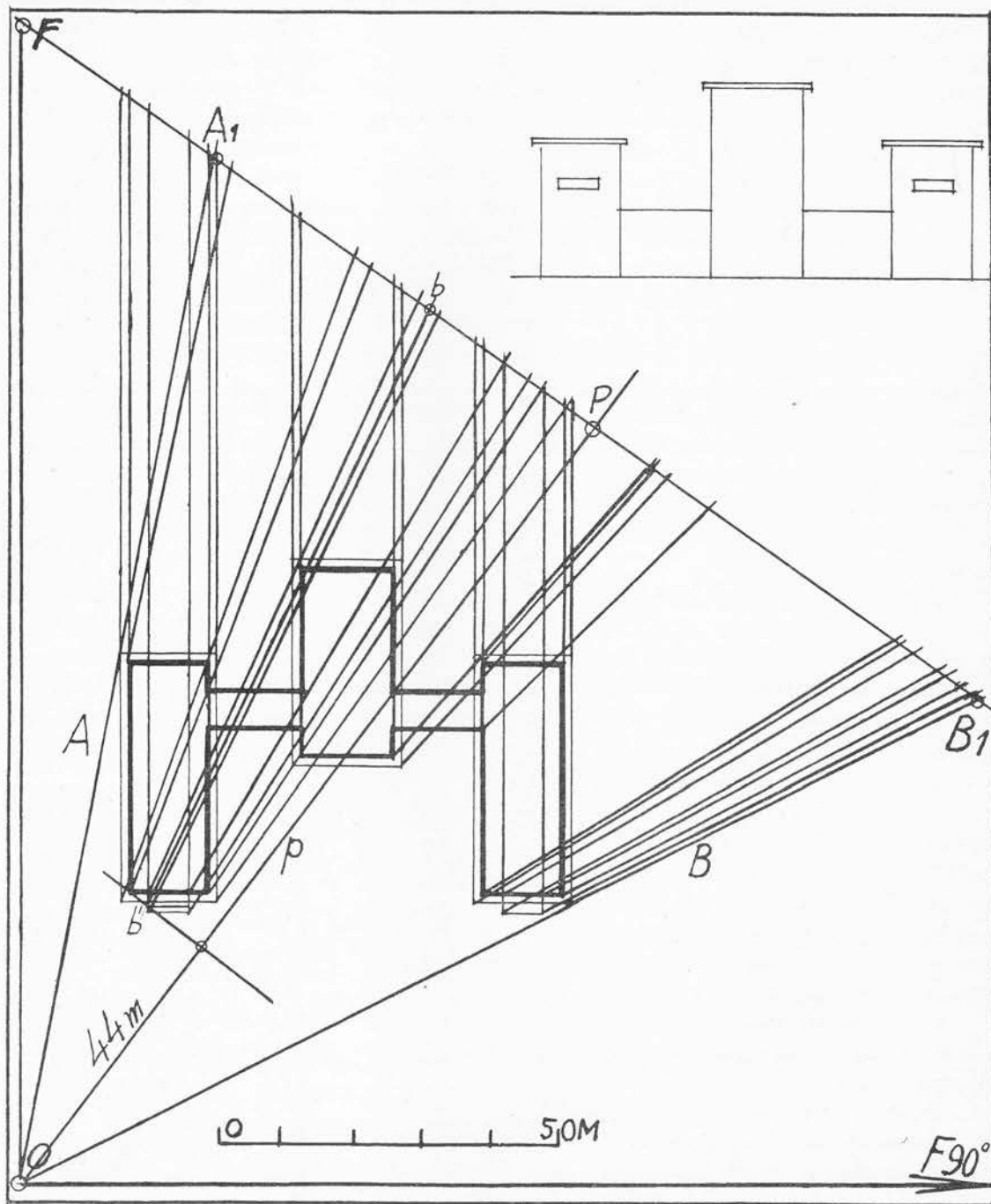


Fig. 393. (388, 389)

Pentru simplificarea traseului construcției geometrice în loc de a măsura lungimea laturilor bazei prismei cum s-a arătat în altă parte putem măsura la scara planului de situație, pe urma  $AB$  a tabloului, perpendicular pe bisectoarea  $OP$  (raza vizuală principală) a unghiului  $AOB$  (care cuprinde prisma circumscrisă construcției date) abscisele  $PC$ ,

în ea toate părțile componente ale construcției.

acestei prisme la depărtarea și cu orientarea constată în planul de situație, vom înscrie  $\times 38$  m. După ce vom găsi cu procedul construcției geometrice imaginea perspectivă a prismă ale cărei dimensiuni, lățime, adâncime și înălțime, ne sînt cunoscute:  $63 \times 31,50 \times$  un volum complicat, fără axe de simetrie (I, 581—588, fig. 637—640). Îl vom înscrie într-o compoziția arhitecturală reprezentată în plan și elevație la scara de 0,5 mm pe metru ca dintr-un punct de vedere  $O$  anume stabilit pe planul de situație (fig. 395). Vom considera de fugă (388—389) să construim imaginea perspectivă a unei construcții proiectate văzută

### 391.

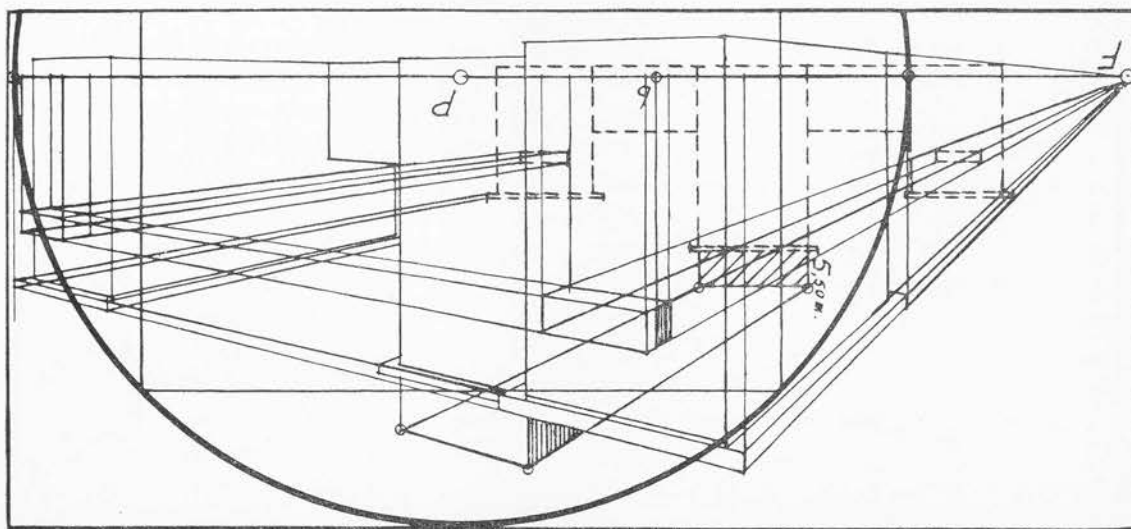
(fig. 392).

Vom da câteva exemple de folosire a acestor procedee în lucrările de arhitectură ar depăși lungimea lamelor de teu sau mărimea planșetei.

de depărtarea eventual prea mare a punctelor de fugă — pe care de altfel nu le folosesc — care vită și să se dea volumului reprezentat orice orientare dorită, fără să se fiină seama de perspective (în înălțime sau în lățime, după caz) acea mărime care ni se pare mai potrivită

Mai adăugăm că primele patru procedee dau deplină libertate să se acorde imaginii volumele așa cum se văd de la anumite depărtări și cu anumite orientări. nu sînt empirice sau întâmplătoare ci sînt strîns legate de realitate, adică reprezentînd tabloului față de punctul de vedere ceea ce înseamnă că imaginile perspective obținute

Fig. 394. (388, 389)



Pentru a da prismeii orientarea pe care o are în planul de situație, vom desena cu arce de



imaginea perspectivă a bazei superioare a prisme în care, determinînd în prealabil punctele  $m_4$ ,  $m_5$ ,  $m_6$  și  $m_7$  în mijlocul laturilor acesteia, vom putea, cu ajutorul scărilor divergente, înscrie planul detaliat al edificiului.

Cînd planul nu este constituit din elemente egale, pentru înscrierea lui în baza dreptunghiulară se vor întocmi scări divergente anume așa cum s-a arătat în prima parte a acestei lucrări (I, 584—586 fig. 637—639, 642—644, 646—647 etc.). În cazul unui edificiu alcătuit din elemente prefabricate se va folosi scara divergentă obișnuită (I 364—371, fig. 406—407) pentru a împărți laturile  $A_1C_1$  și  $B_1E$  în cîte 9 părți egale și laturile  $C_1B_1$  și  $A_1E$  în cîte 18 părți egale, bineînțeles după ce, cum s-a arătat mai sus, se vor fi determinat prin construcții cunoscute și arătate în figură, punctele  $m_4$ ,  $m_5$ ,  $m_6$  și  $m_7$  din mijlocul laturilor respective.

Pe rețeaua de pătrate se va desena imaginea perspectivă a planului edificiului urmînd a se întocmi o scară a înălțimilor în condiții cunoscute astfel încît să nu se suprapună pe imaginea perspectivă (I 253—257, fig. 281—285 și 585, fig. 639 etc.) și se va folosi fie cu banda de hîrtie, fie cu ajutorul teului dar, bineînțeles, fără a desena liniile în tot lungul lor ci numai în dreptul punctelor de intersecție. Se obțin rezultate mai bune luînd puncte cît mai depărtate cum se arată în figura 395B pentru dreptele  $rs$ ,  $r's'$ .

— Imaginea perspectivă din figura 395B a fost obținută fără a folosi punctele de fugă și cu construcții care nu au depășit cadrul tabloului. Prolungind laturile  $C_1A_1$  și  $C_1B_1$  ale bazei superioare s-ar obține la intersecția lor cu linia orizontului punctele de fugă corespunzătoare  $F$  și  $F' 90^\circ$ . Este evident că dacă sînt accesibile pe planșetă, amîndouă sau numai unul din ele vor fi folosite simplificînd lucrarea și asigurîndu-i o mai mare exactitate.

**392.** — Cu aceleași procedee: aplicarea grafică a legii descreșterii perspective, construirea geometralului și scările divergente s-a obținut și imaginea perspectivă din figura 396 care grupează patru elemente de diferite înălțimi, situate la diferite adîncimi și cu diferite orientări precizate într-un plan de situație în care s-a fixat punctul de vedere  $O$ , inaccesibil în figura 396A.

În acest al doilea exemplu, fără nici o constrîngere, desenatorul și-a fixat nu lățimea compoziției (ca în cazul precedent) ci înălțimea  $AB$  a muchiei mai apropiate a edificiului central înalt de 56 m. Pe o dreaptă ajutătoare  $AB'$ , la scară potrivită, în cazul nostru de 1 mm pe metru, s-au luat din punctul  $A$  următoarele lungimi: de 1,60 m pentru înălțimea liniei orizontului, 5 m pentru înălțimea parterului; 8 m pentru abscisa muchiei  $A$  față de punctul principal, luată din planul de situație; 17,50 m pentru laturile bazei patrate a construcției; 49 m pentru distanța principală redusă la o pătrime:  $196:4=49$  m; și 56 m pentru înălțimea totală a construcției. Prin paralele geometrice la dreapta  $B'B$  s-au obținut pe muchia verticală  $AB$  toate aceste dimensiuni la scara necunoscută a acestei muchii.

Ducînd prin punctul  $o$  linia orizontului pe care se vor fixa: punctul principal  $P$  la o abscisă egală cu segmentul  $Ap$ , precum și punctele de distanță reduse de patru ori, luînd segmentele  $PD/4$  și  $PD'/4$  egale cu segmentul  $Ad$ , vom avea elementele perspective necesare pentru desenarea imaginii perspective a prisme cu procedeul construirii geometralului, fără simplificarea folosită în exemplul precedent.



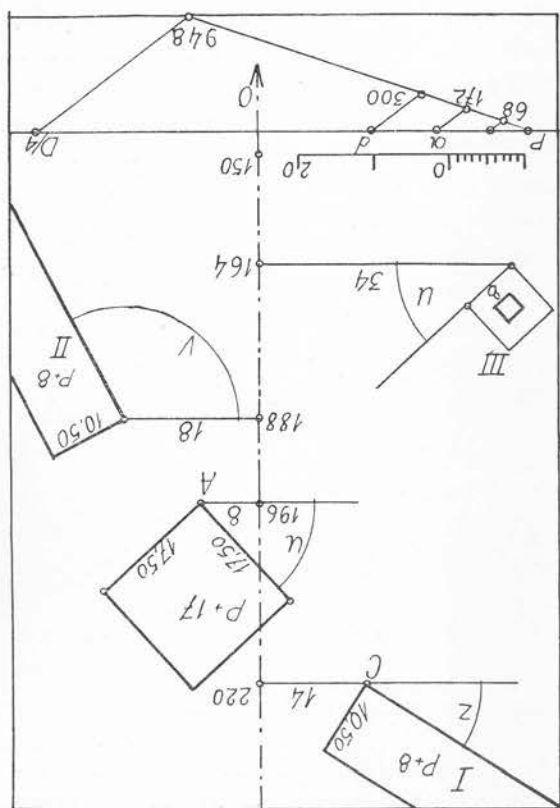


Fig. 396. A-(392)

Pe dreapta ajutătoare (fig. 396 I) s-au luat la aceeași scară următoarele dimensiuni: 1,50 pentru linia orizontului — presupunând că solul rămâne orizontal —; 5,00 m pentru parter, 10,50 m pentru adâncimea de trei treavi a construcției; 14 m pentru patru treavi obșnuite; tot 14 m (coincidență întâmplătoare) pentru abscisa muchiei C, luată din planul de situație; 29 m pentru înălțimea totală a prismei și — neapărat — 55 m pentru adâncimea redusă de patru ori față de punctul de vedere a muchiei C citită pe planul de situație (220:4=55 m).

ducând paralele geometrice la dreapta  $AD/4$  obținem aceste dimensiuni la scară  $AD/4$  obținem aceste dimensiuni la scară muchiei și nu mai este necesar să explicăm cum s-a folosit procedeul construirii geometralui (arcu unghiului  $z$  a fost luat din planul de situație) pentru a obține imaginea acestei construcții la depărtarea și cu orientarea date de planul de situație. În figură se pot urmări și construcțiile cu ajutorul cărora s-au desenat imaginile perspective ale elementelor II și III iar în partea de jos a figurii 396 A se arată cum s-au găsit dimensiunile imaginii perspective a unui turn înalt de 68 m situat la o depărtare de 3,792 m și la o abscisă de 172 m față de raza vizuală prin cipală pe un deal înalt de 300 m care se vede printre construcții. (Pe dreapta ajutătoare dimensiunile au fost luate la scara de 0,5 mm pe metru).

se arată mai jos pentru construcția cea mai depărtată.

în continuare determinarea imaginii perspective a celorlalte elemente ale compoziției, cum

Cu construcțiile arătate mai sus s-au stabilit punctele de distanță care vor servi

verticale ale panourilor.

obșnuite. Diagonale cuprinzând 5 etaje dau prin punctele lor de intersecție marginile

mentele  $Ao, oe$  și segmentul  $eb$  care se va împărți în 17 părți egale, cu o scară divergentă

Pentru scara divergentă cu care se vor desena etajele pe o orizontală se vor lua seg-

punctele  $L$ .

ale laturilor  $BL$  ale bazei superioare a prismei, completată cu verticalele coborâte din

vom obține la intersecția dreptelor de capăt  $l'P$  cu dreptele  $1-D/4$  și  $1-D'/4$  punctele  $L$

segmentului  $Al$  și segmentelor  $l'-1$  o lungime egală cu o pătrime din verticalele  $l'/L_1$

Luând în B unghiurile  $u$  din planul de situație și dând laturilor lui  $BL_1$  lungimea

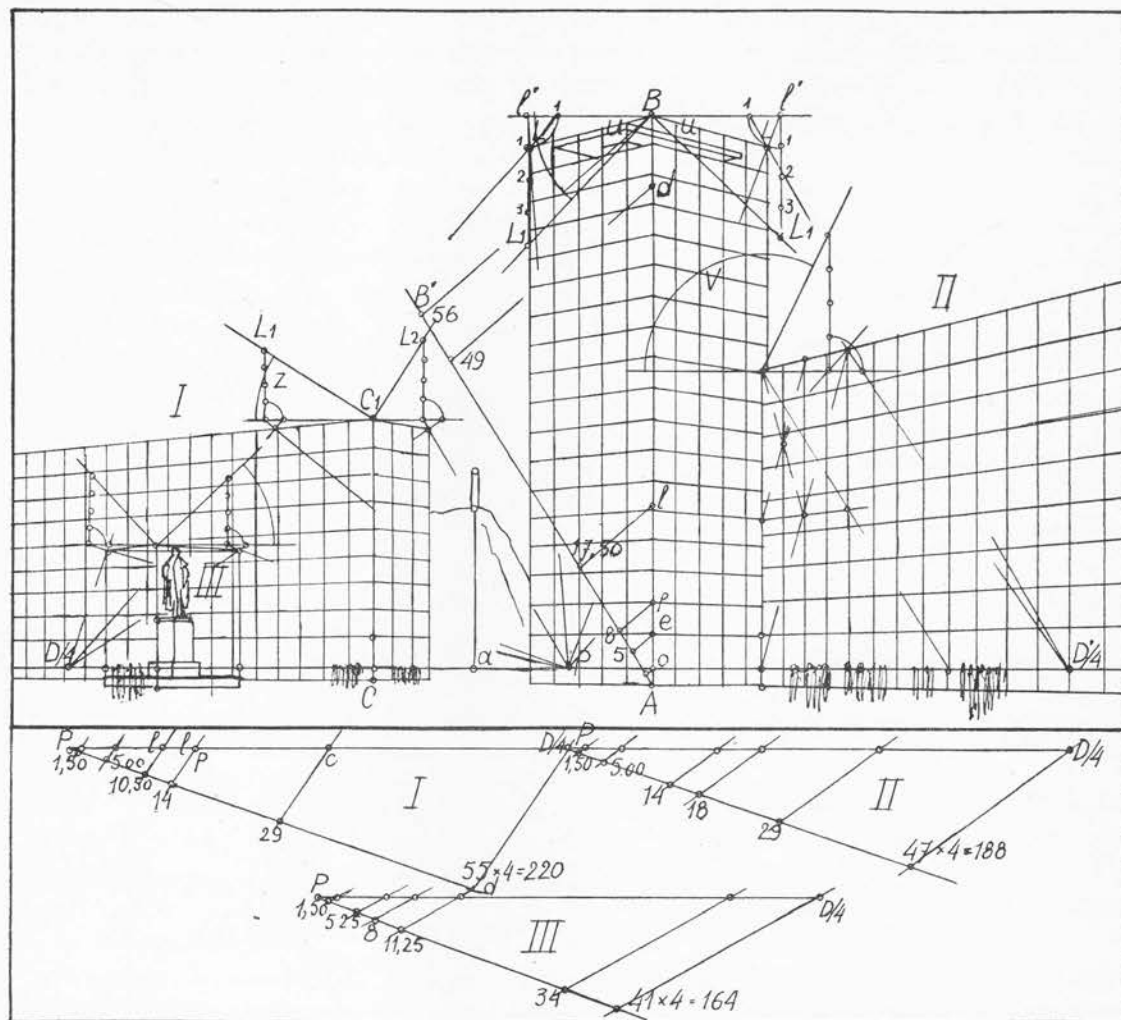
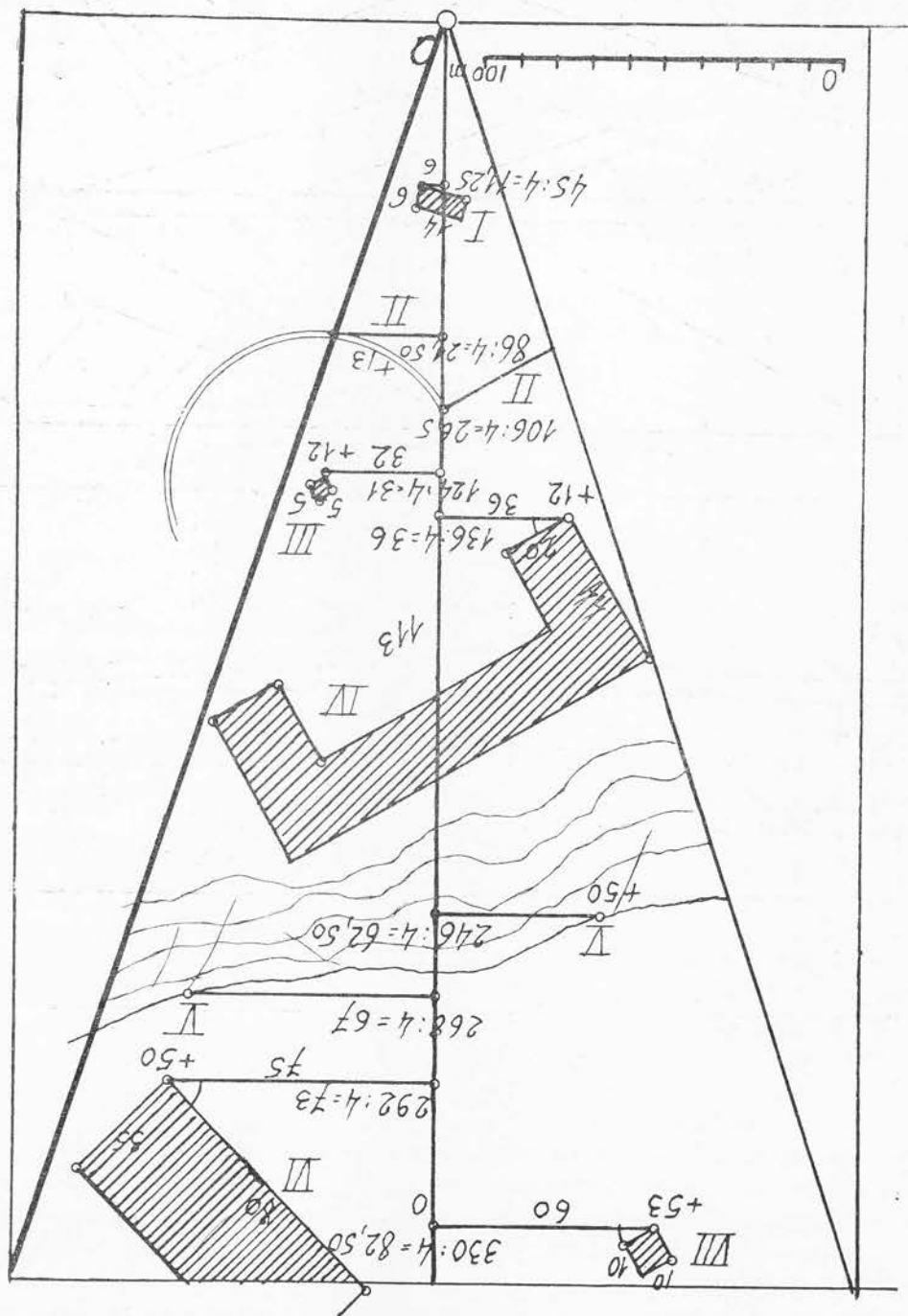


Fig. 396. B-(392)

**393.** — Procedeele de mai sus asigurând o rapidă reprezentare a volumelor la orice depărtare, la orice nivel și cu oricare orientare, pot fi folosite și în compozițiile urbanistice și peisagiste, în special pe terene accidentate.

Din planul de situație (fig. 397) în care s-a fixat punctul de vedere  $O$  și s-a desenat raza vizuală principală  $Oo$  se vor culege dintr-o dată toate datele necesare pentru fiecare edificiu în parte. În primul rând se va măsura — redusă, în general, la o pătrime, cum s-a procedat în figura 397 — adâncimea, față de desenator, a planului frontal al celui element care se va socoti mai util, de exemplu axul (fig. 345, monumentul sculptural de pe înălțime) sau muchia mai apropiată, pentru a putea afla pe cale grafică cum se arată în

Fig. 397. (393)



- abscisa spre stînga sau spre dreapta razei vizuale principale;
- lărgimea și adîncimea și înălțimea construcției;
- unghiul uneia din laturi cu planul frontal al desenatorului;
- nivelul terenului dat de curbele de nivel sau cunoscute pe altă cale.

Pentru verificarea unei imagini perspective se va alege din rețelele perspective cu puncte de egală ressecție aceia care va avea o orientare mai apropiată de liniile de fugă caracteristice ale desenului respectiv. Pe foaie de calc așezată pe rețea, mai întâi cu mina liberă, apoi cu teul și cu echerul se va defini o imagine care să fie cât mai apropiată de prima schiță dar în care toate liniile vor avea o orientare corectă. În exemplul dat în figura 399 s-a folosit rețeaua ale cărei linii fac unghiuri de  $30^\circ$  și  $60^\circ$  cu planul neutru. Chiar în cursul acestei definiții, desenatorul, în afara corectei orientări a liniilor de fugă, va putea aduce unele modificări sau îmbunătățiri schiței sale. De exemplu, folosind punctul de fugă la  $45^\circ$  el constată că elementul vertical al compoziției sale nu este

la scenografie (346—347). mai multe figuri și volume cu orientări și depărtări diferite, precum și în capitolul relativ precisări speciale — au fost propuse mai sus (223—230) pentru compozițiile picturale cu pot folosi rețelele perspective cu puncte de egală ressecție de felul celor care — cu anumite

*Verificarea perspectivei a schiței.* Pentru punerea la punct a unei schițe perspective se la scara dorită, să permită stabilirea proiecțiilor ortogonale ale compoziției. perspective corectă o restituire perspectivă în care cotele de lățime, adâncime și înălțime, desen făcut din imaginație cu mina liberă și un alt procedeu de a obține după imaginea și corectă o primă schiță perspectivă astfel încât să se elimine acele mici erori inerente unui Rezolvarea satisfaceătoare a acestei operațiuni presupune un procedeu rapid de a verifica

respective. ulterior prin *restituire perspectivă*, luând ca punct de plecare schița perspectivă a compoziției monumental care pot fi soluționate direct în perspectivă, proiectele urmând a fi stabilite inversă, mai ales în lucrări în care intervin mai pregnant preocupări de decoratie și de a unui edificiu proiectat. Dar în arhitectură problema se poate pune și în perspectivă ginea perspectivă reprezentând verificarea după planuri date dintr-un punct de vedere dat

### In perspectivă inversă

394. — În exemplele date mai sus problemele au fost puse în *perspectivă directă*, imamă ginea perspectivă reprezentând verificarea după planuri date dintr-un punct de vedere dat în perspectivă, mai ales în lucrări în care intervin mai pregnant preocupări de decoratie și de monumental care pot fi soluționate direct în perspectivă, proiectele urmând a fi stabilite ulterior prin *restituire perspectivă*, luând ca punct de plecare schița perspectivă a compoziției respective. În figura se văd puținele linii cu ajutorul cărora, folosind procedeu de construire geometralui, s-au găsit în scurt timp și siluetele construcțiilor, fără a folosi punctele lor de fugă inaccesibile. Imaginea ne arată cu precizie măsura în care, pentru punctul de vedere ales, prima terasă rețază partea inferioară a unei construcții proiectate și cum mărimea dealului din planul mai depărtat ascunde parțial construcțiile proiectate pe platoul superior. Cu astfel de verificări, care răpesc un timp foarte scurt, proiectantul nu se va găsi în situația de a regreta prea târziu că nu a suprînălțat la timp elementele de siluetă ale unui ansamblu sau că nu a dat elementelor componente înălțimi corespuțătoare.

În figura 398 dimensiunile, pe dreptele ajutoare, au fost luate la scara de 1,5 mm pe metru, iar în imaginea perspectivă, pe linia orizontului, ca punct de plecare, fără nici o constrîngere, s-au așezat, simetric cu punctul principal P, punctele de distanță reduse  $D/4$ , avînd în vedere numai dimensiunea mai mare sau mai mică a imaginii dorite.



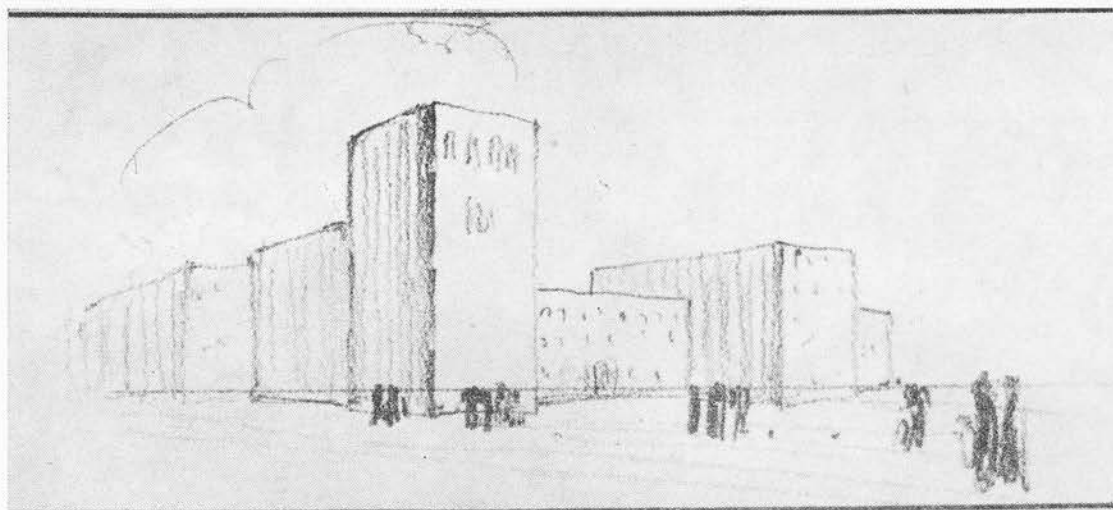


Fig. 399. A(394)

pe plan pătrat cum, poate, intenționa. Va putea să scurteze latura mai lungă, să lungească latura mai scurtă, să le dea o lungime egală intermediară sau să încerce două variante, una pe plan pătrat, alta pe plan dreptunghiular. Folosind punctele de egală resecție va putea face și alte modificări, cum se va vedea mai jos.

*Coborîrea planului perspectivă al schiței.* În imaginea perspectivă obținută pe rețea, planul edificiului la o cotă foarte mică sub linia orizontului, nu se poate citi cu ușurință și vom folosi unul din procedeele proprii perspectivei și anume acela al coborîrii sau ridicării planului perspectiv (I, 303—306 fig. 332—334) care se realizează fără nici o greutate pe rețelele perspective.

Coborîm, nedeterminate ca lungime, verticalele compoziției, și pe rețele desenăm la o cotă cât mai coborîtă, imaginea perspectivă a planului între verticalele respective, putînd desena și dreptunghiul pe unghiul în care se înscrie.

Pornind de la aceste imagini perspective, putem trece la restituirea perspectivă a edificiului.

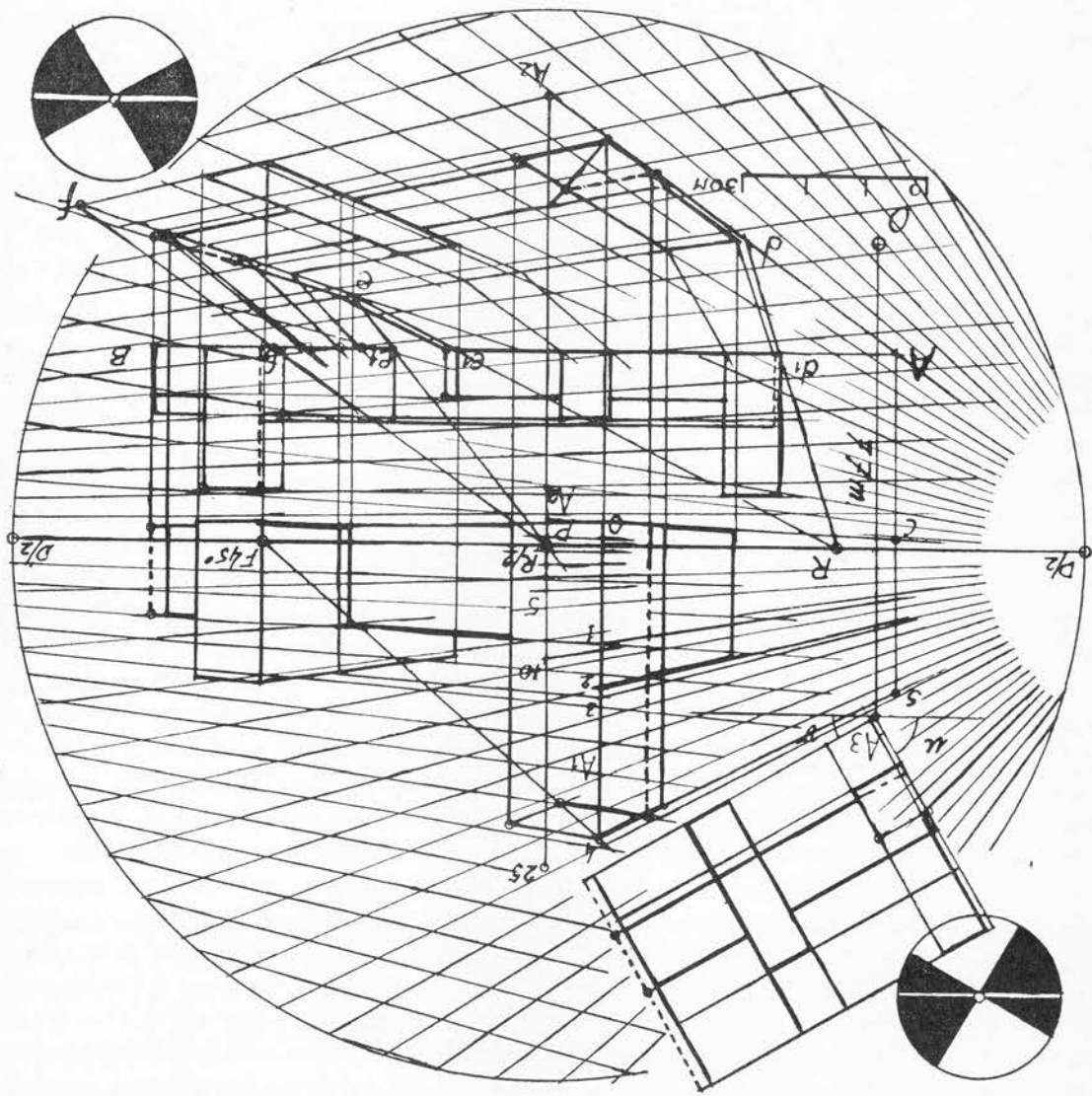
— *Restituirea perspectivă.* Prin construcții obișnuite vom preciza, prin linii de fugă pe muchia  $A_1$ , mai apropiată, a edificiului, sau, eventual pe muchia  $A_2$ , mai apropiată, a prismei circumscrise edificiului, înălțimile diverse ale elementelor compoziției. În figura 399 în punctele 1, 2, 3 și 4 s-au precizat înălțimile aripilor corpului central, aripei laterale, corpului central și a elementului vertical.

Apreciem, ne dăm sau cunoaștem înălțimea reală a unuia din aceste elemente. În figura 399 s-a considerat că elementul vertical are o înălțime de 25 m, potrivit unui număr dat de etaje. Dar în cazul unui monument decorativ, desenatorul dorind ca lucrarea sa, atunci cînd va fi executată, să prezinte pentru privitor aceeași monumentalitate ca în schiță, această înălțime s-ar obține măsurînd-o în proporția staturii medii a omului cum

s-a făcut în figura 399, pe verticala  $A_2$  a prismei circumscrise. Presupunând linia orizontală la o înălțime de circa 1,60 m s-a apreciat înălțimea unui metru care s-a repetat de 5 și de 10 ori, ajungându-se la același rezultat.

Pentru a obține planurile edificiului la o scară obișnuită, plimbăm o linie gradată, ținută vertical, între liniile de fugă care trec prin punctele  $O$  și  $4$ , adică între liniile extreme ale înălțimii cunoscută de 25 m, și o oprim în poziția se atunci când citim între aceste linii, la o scară obișnuită, aceeași cotă. În desenul original, nemăscorat tipografic

Fig. 399. B(394)



în figura 399, scara aleasă este de 1 mm pe metru. Se poate alege o scară cît de mare, potrivit planșetei pe care se lucrează. În cazul de față s-a ales o scară foarte mică pentru ca toate operațiunile de restituire perspectivă, — cu scopul de a fi urmărite cu mai mare ușurință, — să poată fi cuprinse în același desen.

În continuare, la intersecția verticală  $sc$  prelungită cu linia de fugă corespunzătoare a planului perspectiv coborît, adică în punctul  $A$  ducem o orizontală  $AB$ , nedeterminată ca lungime, care se află în același plan frontal cu verticala  $cs$  și prin urmare la aceeași scară aleasă de desenator (I 303 b fig. 333). Pe această orizontală, folosind punctele de egală resecție și anume  $R$  pentru lățimi și  $R/2$  pentru adîncimi vom determina toate lungimile necesare restituirii perspective. În acest scop vom prelungi toate lățimile pe latura  $de$  a dreptunghiului circumscris planului perspectiv și pe latura  $ef$  toate adîncimile. În punctele de intersecție ale orizontalei  $AB$  cu liniile care unesc punctele de pe aceste laturi cu punctele de egală resecție respective vom avea, la scara aleasă între  $d_1$  și  $e_1$ , dimensiunile lățimilor și între  $e_1$  și  $f_1$  dimensiunile adîncimilor, dar acestea din urmă de două ori mai mici pentru că punctul corespunzător de egală resecție este redus la jumătate  $R/2$ . Aceste adîncimi vor trebui deci să fie dublate.

Cu înălțimile luate pe verticala  $cs$  cu lățimile și cu adîncimile dublate stabilite pe orizontala  $AB$  vom desena fațada principală și fațada laterală a compoziției, toate elementele fiind reprezentate la scara obișnuită care s-a ales în  $cs$ .

Cu aceleași elemente și la aceeași scară vom desena o dată cu dreptunghiul circumscris și planul construcției căruia, în figura 399, i s-a dat orientarea rețelei, luînd unghiurile  $u$  și  $v$  de  $60^\circ$  și  $30^\circ$  ca ale rețelei respective.

Vom completa planul notînd și punctul de vedere  $O$  de unde edificiul va apare privitorului sub înfățișarea din imaginea perspectivă și vom putea situa acest punct și pe planul de situație pentru a vedea dacă e posibil și prin urmare legat de realitate. În acest scop trebuie să cunoaștem abscisa punctului  $A_2$  față de punctul principal, abscisă ce s-ar măsura la scara verticalei  $A_2$ , dacă n-ar coincide, ca în cazul nostru, din întîmplare, cu punctul principal, precum și adîncimea acestui punct. Aceasta se găsește măsurînd, la scara oarecare dar cunoscută a verticalei  $A_2$ , distanța principală redusă la jumătate  $PD/2$  de 38,50 m și dublînd-o ( $38,50 \times 2 = 77$  m).

De aci înainte, în timpul studiului de punere la punct a proiectului, toate modificările ce vor interveni în planurile ortogonale, cum ar fi, de exemplu, în fațadă, alungirea aripei drepte pentru a fi egală cu aripa stîngă, în perspectivă directă, plecînd de la elevație, cu punctul de egală resecție  $R$ , se desenează în planul perspectiv această alungire, de unde printr-o verticală (care din întîmplare în figură coincide cu o muchie a fațadei laterale) se aduce în imaginea perspectivă, care în felul acesta va continua să sprijine pînă la sfîrșit definitivarea compoziției.

Este evident că planul și elevațiile, eventual la o scară mai mare, pot fi desenate pe alte foi de hîrtie. Gruparea în fig. 399 a fost făcută pentru ca operațiunile să poată fi urmărite cu mai mare ușurință.

**395.** — Pentru a nu stînji întru nimic desenul creator al arhitectului, în exemplul de mai sus, rețeaua și mărimea desenului de pe rețea au respectat orientarea, mărimea și

edificiului va pivota pe axul care trece prin punctul de intersecție al diagonalelor bazei. În căutarea orientării în care edificiul va prezenta înfățișarea cea mai echilibrată, unghiului dat.

dreptunghiului iar raza mică cu jumătatea laturii pătratului sau a laturii mici a dreptunghiului dat. După cum se știe raza cercului mare este egală cu diagonală pătratului sau a pătrat (I, 477—484, fig. 534—539) fie că se înscrie într-un dreptunghi (I, 485—487, fig. 540—de arhitectură procedul cercurilor concentrice, fie că planul construcției se înscrie într-un aleagă aceea care răspunde mai bine vizuunii sale plastice, ar putea fi folosit în lucrările volum de dimensiuni cunoscute un număr cit de mare de diferite orientări, din care să

### Procedul cercurilor concentrice

396. — Dintre procedeele care permit desenatorului ca pe același traseu să dea unui egală resecție pot constitui un prețios instrument de lucru în atelierle de proiectare. gente de diferite formate (I 364—371, fig. 406—408) rețelele perspective cu puncte de permittând un număr de 24 orientări diferind cu  $3^{\circ}45'$  una de alta. Alături de scările diver-intregi — și punctul de fugă la  $45^{\circ}$ . Evident că ar fi preferabil ca seria rețelilor să fie de 13 diata precizare a scării perspective, mai ales punctele de egală resecție — de preferință pe lină punctul principal, punctele de distanță reduse la jumătate, indicație pentru în-ele elementele perspective gata stabilite fără a sta să le caute de fiecare dată și anume: al cimpului vizual ci pe planșetele de format mare. Esențial ar fi ca desenatorul să găsească pentru direcția în care punctul de fugă ar fi eventual inaccesibil, nu în cuprinsul limitat lor și să compor-te numai precizarea punctelor de înțigere a acelor teului perspectiv (407) clară ar putea avea o rețea extrem de rară numai pentru a da o imagine vie a orientării mari ca să cuprindă măcar unul din cele două puncte de fugă, în cercul lor de vizuine în două, trei formate diferite, mijlocii, mari și foarte mari, pe foi de hârtie destul de de proiectare rețelele perspective anume concepute pot fi un sprjin și în perspectivă directă. Inversă corectarea unei perspective desenate din imaginație, cu mîna liberă. Dar în atelierle în exemplul dat mai sus, rețeaua perspectivă, cu linii dese, a sprjinit în perspectivă planul de situație și cu orientarea corespunzătoare.

schită, va reprezenta edificiul sau monumentul văzut exact de la depărtarea stabilită pe pală.) În felul acesta imaginea perspectivă obținută, reținând tot ce este valabil în prima dreapta ajutătoare lungimea  $D/2 - D'/2$  în attea părți egale cîtî metri are distanța princi-de la care va fi văzută. (Mărima metruului se capătă, după cum știm, împărțind cu o mai înalte a compoziției nu o înălțime întimplătoare ci aceea care corespunde depărtării pe acea rețea a cărei orientare corespunde cu situația de la fața locului și să dăm verticală și sub o anumită orientare pe teren, ne putem constrînge ca să transpunem prima schiță anumit punct de vedere stabilit pe planul de situație, deci de la o anumită depărtare Dar preocupai de efectul plastic pe care compoziția va trebui să-l producă dintr-un

pundă realității pe planul de situație. Spontanitatea primei schițe, astfel că punctul de vedere presupus  $O$  ar putea să nu cores-







Volumul de faţă de asemenea cuprinde numeroase exemple de perspective de interior sau pe unghi, cu una sau mai multe rampe (589—595, fig. 641—649).

—519) iar altul pentru imaginea perspectivă a treptelor ascendente sau descendente, frontale pitoi indică unele procedee pentru imaginea perspectivă a pardoselilor (457—463, fig. 516—436—440, fig. 491—495) atât în perspectivă directă cit şi în perspectivă inversă. Un subcapitol indică a interioarelor orientate frontal (I, 427—435, fig. 488—490) sau pe unghi (I, 234, fig. 271) s-a arătat folosirea reţelelor de patrare orientate frontal pentru imaginea cîmilor în perspectivă directă sau inversă (I, 184, fig. 235; 188—191, fig. 242—243; 229—fig. 93—98 şi 65, fig. 102) la distanţa principala (I, 78, fig. 112—125) de măsurare a adin- Astfel în prima parte, în afară de unele probleme relative la linia orizontului (I, 63,

sau pe unghi. procedee şi exemplificări, în perspectivă directă sau inversă pentru o orientare frontală a acestei lucrări cit şi în capitolele precedente cititorul le găseşte rezolvate cu numeroase relative la imaginea perspectivă a interioarelor arhitecturale întrucît atât în prima parte 397. — În cuprinsul acestui capitol nu s-a socotit necesar să se expună şi probleme

### Imaginea perspectivă a interioarelor

mai armonios al părţilor componente ale edificiului. Din imaginile obţinute pe această cale se va defini ceea ce înfăţişează aspectul cel structie, vom da orice altă orientare imaginii perspective, schimbînd orientarea dreptei  $AB$ . Pe aceleaşi cercuri şi cu aceeaşi scară a înălţimilor, fără a mai face vreo nouă con-

problema cunoscută (I, 253—256, fig. 281—285).

Urmează să desenăm imaginea perspectivă a edificiului cu ajutorul scării înălţimilor, laterale ale prismei, de preferinţă considerate numai pînă la linia orizontului (fig. 401). mijloc  $m$  ale laturilor dreptunghiului. Aceste puncte se determină cu diagonalele feţelor unghiului ce-i este circumscris. Pentru această operaţiune trebuie să cunoaştem punctele de întocmite (I 584—586, fig. 637—639) vom înscrie planul perspectiv al edificiului în drept- Cu scări divergente tip (I, 367—371 fig. 406—408) sau cu scări divergente anume două colţuri ale dreptunghiului.

cercului mic, orientarea dorită şi cu ajutorul diametrelor  $BXC$  şi  $AXD$  obţinem celelalte fig. 540—544). Vom da laturii  $AB$ , cu capetele pe cercul mare şi cu mijlocul tangent cum ştim, orice orientare bazei superioare a prismei circumscrise edificiului (I, 483—487,

Cu ajutorul celor două cercuri, pe foi de cale succesiv suprapuse, vom da, după înălţimile edificiului cu care vom întocmi scara înălţimilor. cercuri (I, 177 fig. 226 şi 217, fig. 258). În continuare, pe verticala  $So'$  vom preciza înăl- cu procedeele cunoscute, cu opt puncte şi opt tangente, imaginea perspectivă a celor două mai sus) şi cu ajutorul acestui punct de distanţă vom desena pătratele în care vom înscrie

tablouri înclinate spre adîncul spaţiului în jos (fig. 256 şi 275) sau în sus (fig. 259, 272 cu puncte de egală resecţie pe tablou vertical (223—231, fig. 224—229 şi 234—236) sau pe cum sînt acelea în care se folosesc, pentru interioare orientate pe unghi, reţelele perspective

și 275). În capitoul relativ la picturi monumentale se va putea studia imaginea perspectivă a diferitelor feluri de bolți pe tablou vertical (fig. 303, 308, 313, 314, 317, 321 și 322) sau pe tablou orizontal (fig. 287—289). În altă parte se dă și un exemplu de boltă pe tablou înclinat în jos spre adîncul spațiului (fig. 258 și 260).

Aci vom insista numai asupra *anamorfozelor* atît de frecvente în perspectivele interioarelor arhitecturale în care cuprindem în mod, s-ar putea spune, obligator elemente prea apropiate de punctul de vedere. Acesta, tot în mod obligator, pentru a respecta situația reală dată de planuri —, nu poate fi depărtat.

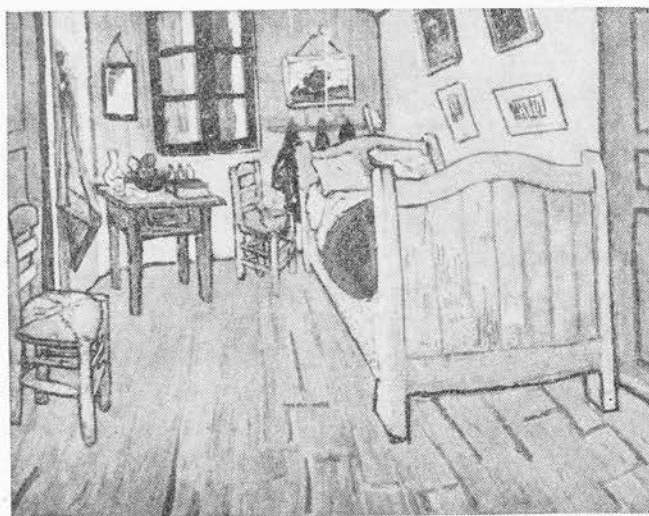
Într-adevăr, (I, 428, fig. 481—482) știm că tangenta orizontală a cercului de viziune clară se găsește pe planul obiectelor la o adîncime de două ori mai mare decît cota punctului de vedere deci pentru un desenator în picioare aproximativ la 3 m. Dar dacă în acest cerc înscriem cadrul dreptunghiular al imaginii perspective (I, 428, 434, fig. 488) imaginea inferioară a acestui cadru se va găsi la o adîncime mai mare să zicem de 6 m pentru a putea cuprinde imaginea perspectivă a unei încăperi mai largi de exemplu de 6 m. Este clar că în această situație dacă încăperea respectivă are o adîncime de 6 m tabloul care răspunde cîmpului de viziune clară a desenatorului, nu va cuprinde nici un centimetru din planșeul ei ci numai peretele ei din fund (în figura la care ne referim — I 488 — încăperea are o adîncime de 14 m dintre care tabloul cuprinde numai cei 8 metri mai depărtați de desenator. Situația nu se ameliorează foarte mult dacă presupunem că privim încăperea printr-o largă deschidere. Imagini mai corespunzătoare se obțin în perspectivele în care încăperea orientată pe unghi, e privită printr-o deschidere laterală (fig. 190—191 și 124—125).

O soluție comodă dar nelegată de realitate și după noi inexpressivă, de exemplu într-un album de prezentare a diferitelor tipuri de mobilier, poate prezenta interioarele de pro-

porții reduse, sau elementele mai apropiate ale interioarelor mai vaste, considerînd suprimat unul din pereții încăperii respective ca într-un decor de teatru.

Dar cum se arată mai departe în alineatul relativ la anamorfoze (399) considerăm că mai ales în timpul studiului arhitecturii unui interior, anamorfozele rezultate dintr-un traseu exact, privite prin orificiul unui ecran așezat la mica distanță principală corespunzătoare, constituie un bun instrument de lucru, expresiv și legat de realitate. Oricine se poate convinge de realismul elocvent al anamorfozelor privind, de exemplu, de la o foarte mică

Fig. 402. (397, 399) V a n G o g h: Camera pictorului din Arles



399. — Nu ne vom ocupa aici de anamorfotozele de felul celei din celebrul tablou al ambasad-  
rilor de Holbein (fig. 403) în care un oval aplecat și foarte alungit din primul plan reprezintă un  
craniu numai dacă îl privim pieziș și din imediată vecinătate a pinzei, — anamorfotoze care sub de-

### Problema anamorfotozelor

s-a arătat mai sus pentru umbrele determinate în perspectivă inversă.  
vor fi inaccesibile (amindouă sau numai una din ele) se va proceda, după cum știm, cum  
lui reprezentate în imaginea perspectivă respectivă. Dacă imaginile perspective ale soarelui  
proiecției ei pe linia orizontului pentru a desena umbrele diferitelor elemente ale proiectu-  
jalonului ales. Pe această cale vom determina imaginea corespunzătoare ale soarelui și a  
condițiile cunoscute (23) umbra purtată de imaginea perspectivă a unei verticale de lungimea  
tului, folosind elementele perspective ale acesteia, se va desena în perspectivă directă, în  
de un falon de o lungime dată la ora sau la orele dorite. În imaginea perspectivă a protec-  
dupa același plan, se vor culege datele necesare adică lungimea și unghiul umbrei purtate  
ales pe planul de situație al proiectului respectiv, față de raza vizuală principală orientată  
— *In perspectivă directă*. La față locului, în punctul de vedere corespunzător celui  
punzătoare (33—34) sau se va folosi teul perspector (406).

vor fi inaccesibile (amindouă sau, eventual, numai una din ele) se vor întocmi rețele cores-  
relative la umbrele corpurilor geometrice (62—87). Dacă imaginile perspective ale soarelui  
vor trasa potrivit indicațiilor date în capitolul relativ la umbre și, în special în aliniatele  
ei pe linia orizontului. În continuare umbrele proprii și purtate ale celorlalte elemente se  
ajutorul acesteia (fig. 75) se va determina imaginea perspectivă a soarelui și a proiecției  
mai fericit, purtată de unul din elementele compoziției pe sol și pe construcție, și cu  
— *In perspectivă inversă*, se va trasa din imaginea umbră a cărui efect plastic pare  
fi cunoscute, prevăzute și deci dirijate de arhitect în perspectivă directă, cum se arată mai jos.  
ritele ore ale zilei pe fațada unei arhitecturi construite. Efectele plastice ale acestui joc pot  
să le căutăm în elevația corespunzătoare. Dar nu acestea vor fi umbrele ce vor juca la dife-  
în proiecția ei orizontala sau să exprime înălțimile în proiecția orizontala fără a fi obligați  
plastic adîncimile, deci a treia dimensiune a unei elevații, fără a fi obligați să le căutăm  
desenul creator al arhitectului în proiecții ortogonale. Ele îl ajută să aprecieze și să exprime  
frontal, nu sînt expresive în perspectivă. Aceste umbre denumite la 45° sprîjină efectiv  
arhitectură, care dau razelor luminoase înclinarea constantă a diagonalei unui cub orientat  
398. — În privința umbrelor vom atrage atenția că cele obișnuite în proiectele de

### Trasarea umbrelor în imaginile perspective de arhitectură

deparțării de la care trebuie să privească pentru a avea maxima lor expresivitate, legată de realitate.  
de ce ilustrațiile de carte în care anamorfotozele ar fi justificate n-ar fi însoțite de indicația  
ochi al ferestrei, iar distanța principală cit două treimi din lărgimea tabloului. Nu vedem  
rului se va considera punctul principal în axul vertical al tabloului și deasupra primului  
deparțare interiorul camerei din Arles a lui Van Gogh (fig. 402). Pentru fixarea ocula-



Fig. 403. (399) Holbein: Ambasadorii

Dar dacă punctul de vedere este prea apropiat pentru că situația la fața locului nu permite să-l depărtăm cât ar trebui pentru ca întregul subiect să intre în câmpul de viziune clară al privitorului, atunci imaginea perspectivă, corectă, și cu vădite anamorfoze nu este o perspectivă urâtă ci un foarte bun instrument de lucru, de îndată ce prin orificiul unui ecran, o privim de la depărtarea corespunzătoare.

Așa se întâmplă în piețe a căror întindere nu e în raport cu înălțimea edificiilor care o înconjoară, dar care joacă un rol important în silueta generală a orașului sau mai cu seamă în vederile interioare în care arătăm din pereți și bolți sau tavane mai mult decât intră în câmpul nostru normal de viziune clară (fig. 299. Interiorul catedralei din Senlis de Bonnington, fig. 404 Panteonul din Roma, fig. 405 sala semicirculară din vechea Universitate din Moscova).

Dar toate anamorfozele, atât de supărătoare, dispar cu totul și remarcăm imediat realismul imaginii când o privim cu un singur ochi printr-un orificiu făcut într-un carton fixat paralel cu tabloul, exact la depărtarea punctului de vedere de planul tabloului și avînd orificiul pe perpendiculara dusă din punctul principal. Privind-o în aceste condiții de viziune reală, privitorul și mai ales specialistul poate analiza cu cea mai mare precizie aspectul pe care îl va avea proiectul său când va fi realizat și când va fi privit de la mica depărtare reală. El poate judeca dacă raporturile dintre părțile componente sînt juste, dacă sînt nepotriviri de scară între elementele decorative ale bolții, față de celelalte elemente ale compoziției. Imaginea foarte legată de realitate, privită în felul acesta capătă

numirea de perspective curioase, au fost la modă altă dată. — Vom vorbi de acele perspective arhitecturale care prezintă anamorfoze adică descreșteri și deformări perspective exagerate din cauză că punctul de vedere fiind prea apropiat de subiect, desenul cuprinde mai mult decât intră în câmpul de viziune clară a privitorului, depășind posibilitățile fiziologice ale privirii ochilor umani (I, 73 și schema figurii 108, I 325 fig. 355—356; fig. 404—406).

Dacă imaginea perspectivă, corectă, prezintă anamorfoze pentru simplul motiv că desenatorul a luat un punct de vedere prea apropiat numai pentru a avea pe planșetă ambele puncte de fugă, atunci imaginea poate fi numită o *perspectivă urâtă*.



<sup>1</sup> I. Korocev și M. Fedorov, *Arhitectura și particularitățile percepției vizuale*, Moscova, 1954, din care au fost luate figurile 405 și 406

Cu puncte de vedere prea apropiate de subiect se pot obține imagini perspective armonioase și plăcute dacă pe tabloul plan proiecția conică a imaginii perspective se determină presupunând că tabloul ar fi sferic, adică presupunându-l rotunjit și în sens vertical, pentru înălțimi și în sens orizontal pentru lățimi. Imaginile obținute pe această cale (fig. 406) înăltură disproporțiile și anamorfozele, dar pentru privitorul obișnuit sînt mai puțin expresive și reliefate iar pentru specialist mult mai puțin concludente decît cele privite prin ocular<sup>1</sup>.

posibilitatea de a apropia sau depărta ocularul după distanța principală a fiecărei perspective expuse.

specialiști dar și pentru marele public

putea fi expuse nu numai pentru

exacte cuprinzînd anamorfoze ar

Perspectivele corecte și

plastic al celui mai mic detaliu.

vedere real, putînd judeca efectul

și o vedem dintr-un punct de

efectiv în încăperea respectivă

roti în spațiu. Ne aflăm situați

iar sala semicirculară pare a se

formatul redus al lucrării de față)

sînt sînt cele pe care le permite

figura 405 ale cărei mici dimen-

justa lui depărtare (de 98 mm în

privită prin ocularul așezat la

dispar îndată ce imaginea este

imaginii. Toate aceste deformări

toare a capitelului din stînga

telor bolții, anamorfaza supără-

formările exagerate ale ornamen-

coloanelor din primul plan, de-

canale: descreșterea prea bruscă a

Universitate din Moscova par so-

vă a sălii semicirculară din vechia

Astfel, în vederea perspecti-

construcții proiectate.

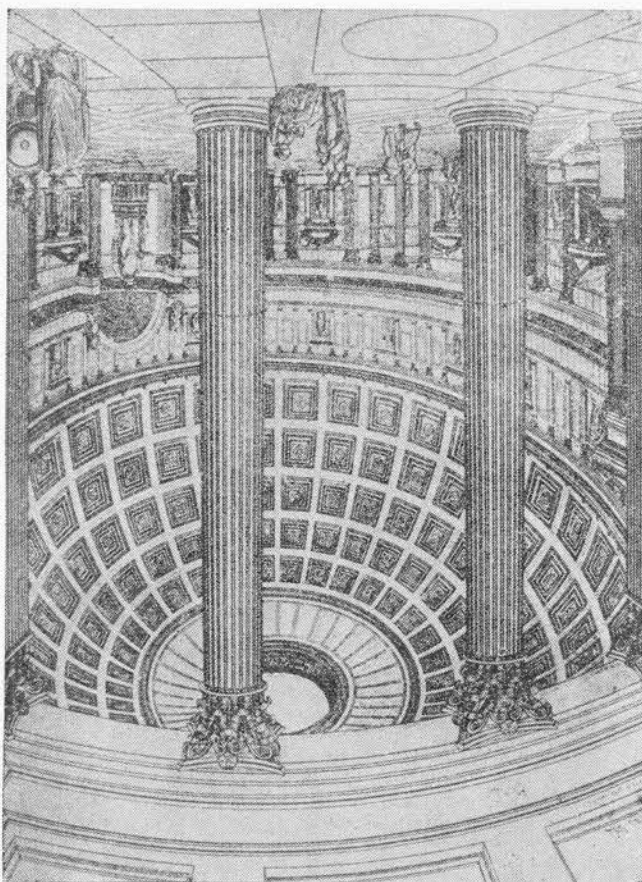
a prevedea efectul plastic al unei

din mijloacele cele mai sigure de

stereoscopice și constituie unul

chiar puțin din reliefurile vederilor

Fig. 404. (274, 292, 399) Panteonul din Roma





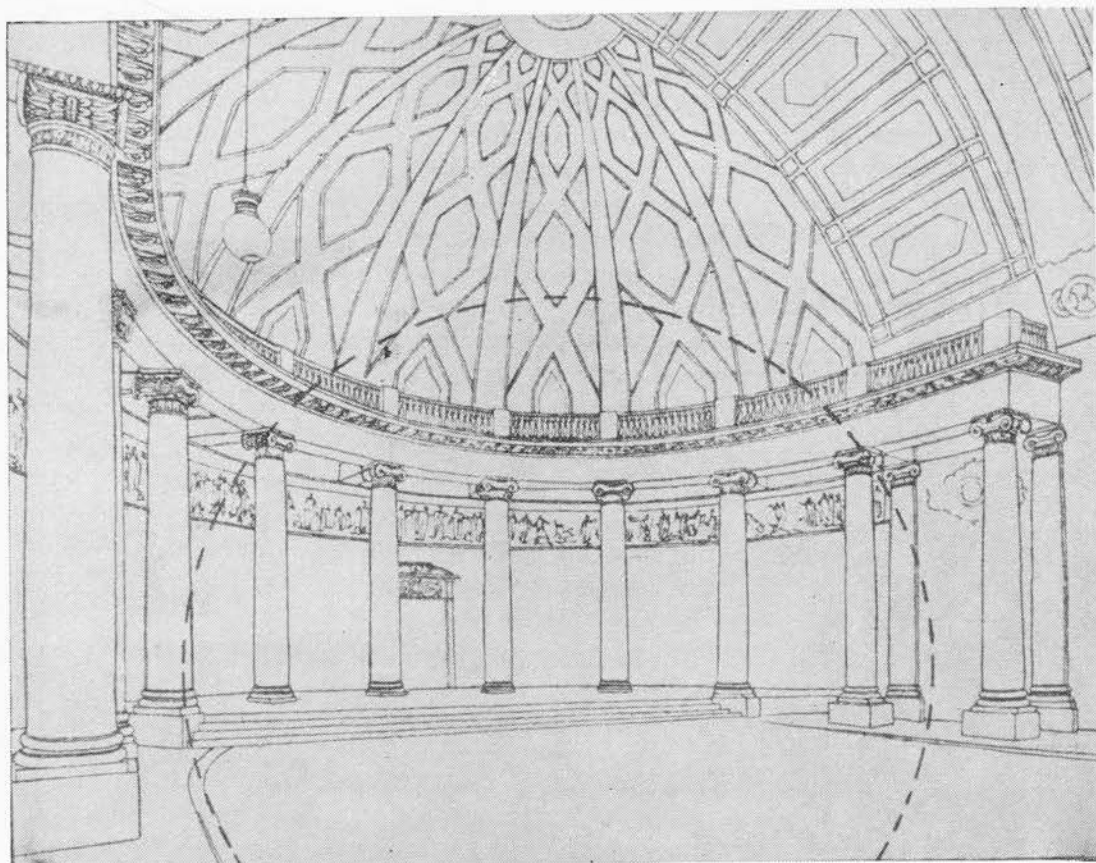


Fig. 405. (399) Perspectiva sălii semicirculare din vechea clădire a Universității din Moscova

### Folosirea documentării fotografice

**400.** — În principiu perfecția obiectivului aparatului fotografic face dintr-o fotografie cea mai exactă imagine perspectivă și prin restituire perspectivă putem afla adevăratele dimensiuni ale monumentului fotografiat, în vederea întocmirii planurilor ortogonale adică a releveului care de altfel nici nu se poate face pe altă cale, dacă monumentul respectiv a fost distrus între timp.

Problema nu prezintă nici o dificultate când avem clișeul sau copia lui cu marginile neretozate, când cunoaștem distanța focală adică distanța principală cu care a fost obținut, și când cunoaștem mărimea exactă a unuia din elementele cuprinse în fotografie. În acest caz elementele perspective necesare unei restituirii se determină cu ușurință.

*Punctul principal* se va găsi la intersecția diagonalelor fotografiei.

*Linia orizontului* va trece prin punctul principal numai dacă clișeul era perfect vertical când s-a luat imaginea.

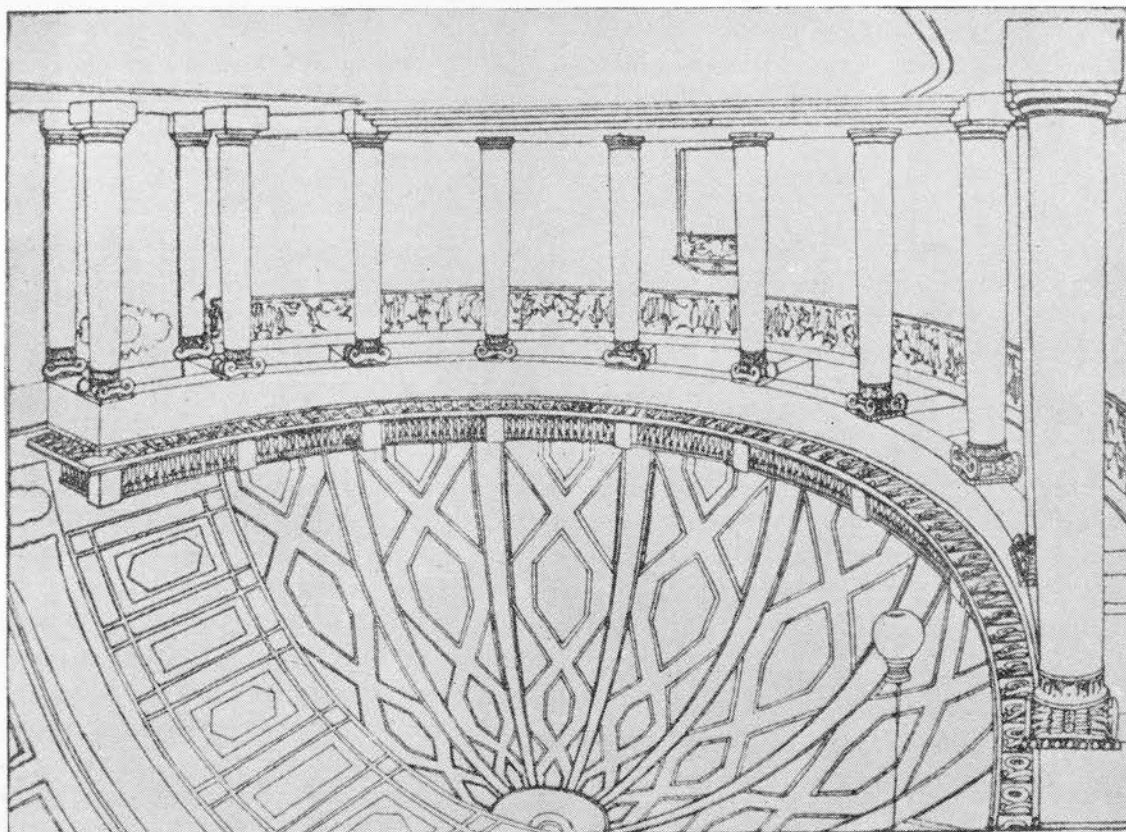


Fig. 406. (399) Perspectiva sălii semicirculare din vechea clădire a Universității din Moscova

*Distanța principală* va fi egală cu distanța focală respectivă a aparatului fotografic. *Scara perspectivă* se va înlocui folosind elementul din fotografie a cărei mărime ne este cunoscută.

Cu aceste elemente se va putea face restituiră perspectivă, măsurându-se lungimile orizontalelor oarecare cu punctele lor corespunzătoare de egală resecție care știm cum se determină în perspectivă inversă (I 222—226, fig. 263—265).

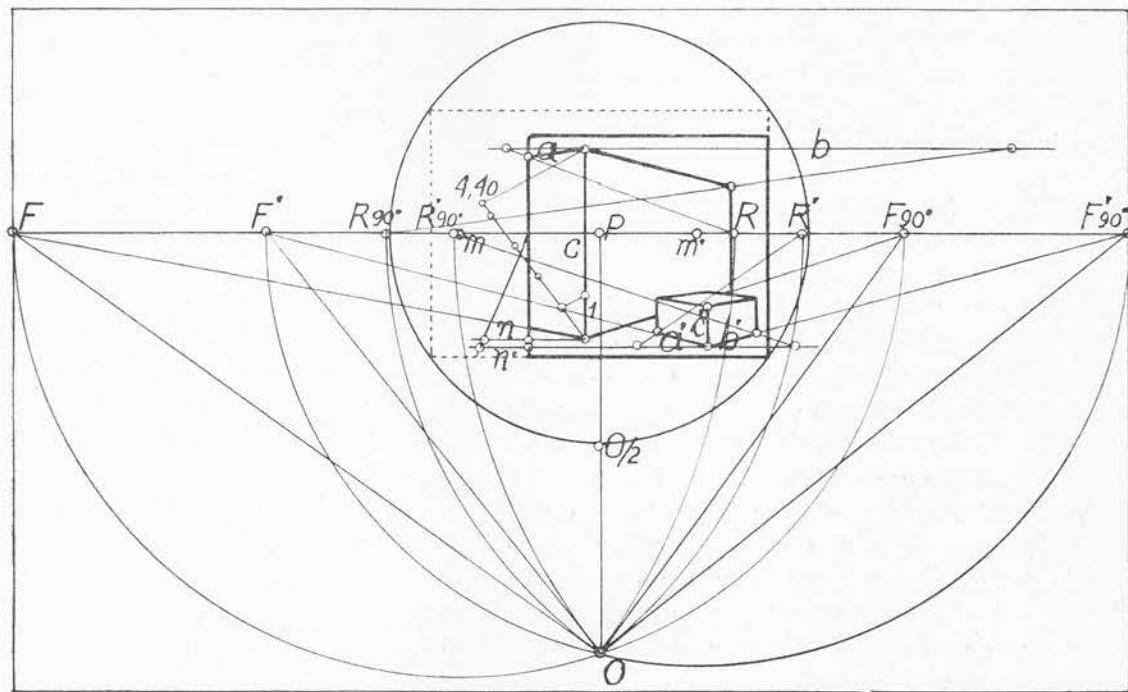
— În imaginile obținute când clișeu nu e vertical, verticalele din spațiu apar înclinate și anume îndreptându-se către un punct de fugă aerian când clișeu este un plan frontal sau descendent spre adâncul spațiului și privește părțile superioare ale unui monument sau îndreptându-se către un punct de fugă terestru când clișeu este un plan frontal ascendent spre adâncul spațiului și privește de sus părțile inferioare ale monumentului.

Și în cazul acesta, cunoscând distanța focală, adică distanța principală a tabloului, elementele perspective necesare restituirii se vor determina cu ușurință, determinând după cum știm (253) punctele corespunzătoare de egală resecție pentru măsurarea lungimilor verticalelor din spațiu.

*Linia orizonului*, evident, nu pune nici o problemă (I 131—134, fig. 176—184). Prelungind pînă la această linie laturile unghiurilor drepte date vom determina punctele lor de fugă  $F$  și  $F_{90^\circ}$  precum și  $F'$  și  $F'_{90^\circ}$ . Din mijlocul  $m$  și  $m'$  dintre aceste puncte de fugă ca centru vom descrie două semicercuri al căror punct de intersecție  $O$  va fi punctul de vedere pentru care ambele unghiuri sînt drepte.

*Distanța principală* va fi lungimea acestei raze vizuale.

Fig. 407. 400)



402. — Fie  $m$  un punct — (fig. 408 și 409) cit mai apropiat de marginea planșetei — luat pe orizontala oarecare dată  $AB$ , cu punct de fugă inaccesibil. Luăm în  $n$  simetricul punctului  $m$  față de linia orizontului, ducem din  $m$  perpendiculara  $ms$  pe orizontala oarecare dată și unim punctele  $n$  și  $s$ .

### *Teul cu ramurile fixe*

401. — Pentru a duce cu ușurință orizontale oarecare cu puncte de fugă inaccesibile în afara procedelor cunoscute (I. 327—347, fig. 358—378) în imaginile perspective ale compozițiilor arhitecturale, cu numeroase profile, se poate folosi și teul perspector cu trei ramuri. Două din ramuri luncă sprâjinindu-se pe ace cu gămălie înfipite în planșetă în timp ce ramura a treia ia pe tot parcursul direcția orizontalei respective cu punct de fugă inaccesibil. Teul perspector se poate confecționa fie cu ramurile fixe, din lemn, carton sau hirtie foarte groasă, fie cu ramurile mobile din trei lamele de lemn suprapuse și care se pot fixa în poziția dorită cu ajutorul unui șurub. Teul cu ramurile fixe se aplică bine pe planșetă asigurând un desen exact dar traseul pentru determinarea punctelor în care se fixează acele cu gămălie este mai complicat. Dacă folosim teul cu ramurile mobile vom avea grija ca să desenăm pe marginea ramurei care se aplică pe planșetă iar nu a uneia din ramurile suprapuse pentru care acele cu gămălie vor fi mai adine înfipite în planșetă ca să le asigure un bun sprîjin.

### *Teul perspector cu trei ramuri*

Exemplul de mai sus justifică propunerea ca, în toate arhivele documentare referitoare la monumente, copile fotografice — poate mai puțin prezentabile — pentru a fi un bun instrument de lucru, să nu aibă marginile retezate. În figură se arată cum, în continuare s-au determinat cu arce de cerc punctele de egală resecție (I, 225, fig. 264) cum au fost utilizate pentru determinarea lungimii laturilor unghiurilor drepte (I, 227, fig. 266) și cum, pentru măsurarea acestora, cu o dreaptă ajutoare — cunoscând lungimea unei verticale s-a determinat mărimea unui metru (I, 147—148 fig. 201) pentru a întocmi, în afara tabloului scara perspectivei necesară (I, 154, fig. 210) operațiuni bine cunoscute din prima parte a acestei lucrări. În cadrul acestei lucrări nu credem că e cazul să dăm o extindere mai mare acestor probleme de metrofotografie pentru care se vor putea consulta lucrări de specialitate. Am adăuga numai că, în privința vechilor noastre monumente de arhitectură civilă, monastică sau religioasă, tasările fundațiilor, înclinarea zidurilor, lăsarea largilor streșini, distimetria uneori voită a acoperișurilor, neregularitățile traseelor inițiale etc. sînt de natură a ne face să privim cu oarecare rezerve exactitatea absolută a restituirilor perspective, chiar cînd sînt făcute cu multă trudă.



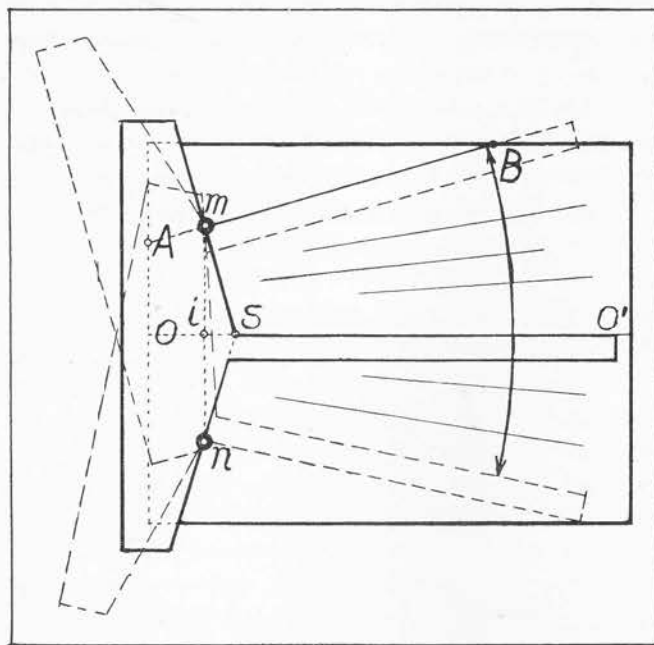
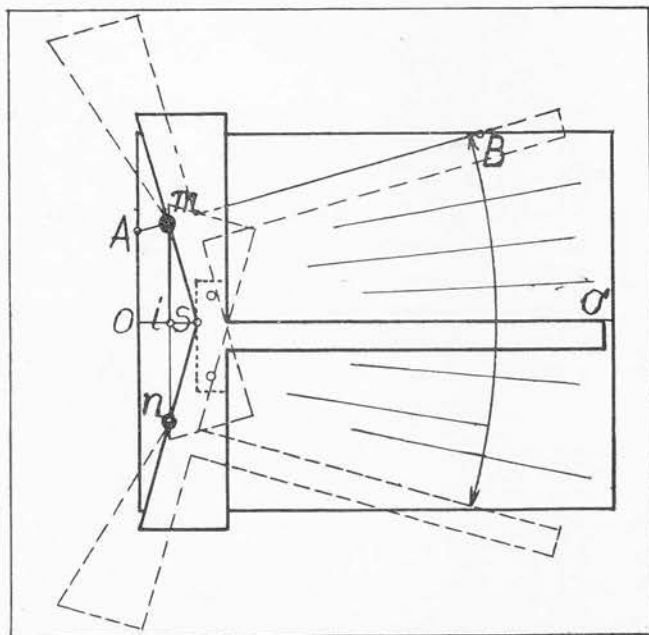


Fig. 408. (401, 402)

Fig. 409. (401)



După ce s-a dublat lungimea dreptelor  $sm$  și  $sn$ , se decupează în carton forma arătată fie în figura 408, fie în figura 409 obținându-se un teu al cărui capăt este frânt în două ramuri spre interior în figura 408 și spre exterior în figura 409. Dacă facem să lunece acest teu sprijinind mereu ramurile frînte pe două ace cu gămălie înfipite vertical și adînc în planșetă în punctele  $m$  și  $n$ , marginea ramurei a treia, în diferitele poziții pe care le va lua, va converge mereu către punctul de fugă inaccesibil  $F$  al orizontalei oarecare date după cum se arată în figura 410.

Unghiurile  $Fms$  și  $Fns$  fiind drepte se înscriu în cercul care trece prin punctele  $F$ ,  $m$ ,  $s$  și  $n$  iar bisectoarea  $sF$  a unghiului  $msn$  dintre ramurile frînte ale teului și care prelungește marginea ramurei a treia, trece prin punctul de fugă  $F$  al orizontalei oarecare date.

Întrucît în cursul lunecării teului, unghiul  $msn$  rămîne neschimbat, vîrfurile acestui unghi se va situa în permanență pe arcul  $mstn$  al cercului iar bisectoarea lui adică ramura a treia a teului, prelungită, va trece mereu prin punctul de fugă  $F$  care este mijlocul arcului  $mFn$  cuprins între laturile unghiului  $mtn$  ale ramurilor frînte ale teului.

Teul din figura 409 cu acele spre exterior are un cîmp mai mare decît cel din figura 408 cu acele spre interior, și partea lui



frîntă se poate aplica pe capul unui teu obișnuit. De altfel capul frînt al acestui teu se poate fixa cu mare ușurință și la un teu reglabil (fig. 412) dar în acest caz lama teului nu se va mai aplica pe planșetă în tot lungul ei, și lucrarea va fi mai anevoioasă.

Deși teul perspector descris mai sus are ramurile frînte fixe, el se poate folosi — dacă știm cum trebuie fixate acele în planșetă — pentru toate orizontalele oarecare, indiferent de locul mai apropiat sau mai depărtat al punctelor lor respective de fugă.

403. — Folosirea leului perspector cu ramurile fixe pentru orice orizontală oarecare.

a) Punctele  $m$  și  $n$  în care vom fixa

acele față de linia orizontului pentru o

orizontala la oarecare dată  $AB$  cu un unghi

mai mic decât al orizontalei pentru care

a fost construit țeu cu ramurile fixe, se

determinina procedind dupa cum urmeaza:

Untr-un punct  $a$  (cit mai apropiat

de marginea planşetei) ducem o perpen-

actualitatea us pe care s-a dat, pînă la mîna

Assez m'faut en punctu] e si dese-

...nedeterminate ca lungime, ramurile

СЛУЖБЕНИ ЛИСТ Републике Српске

Asezăm teul în punctul  $a$  și desenăm

ramurile teului pentru a căpăta în mână

din punctele căutate. Punctul  $n$  se ia

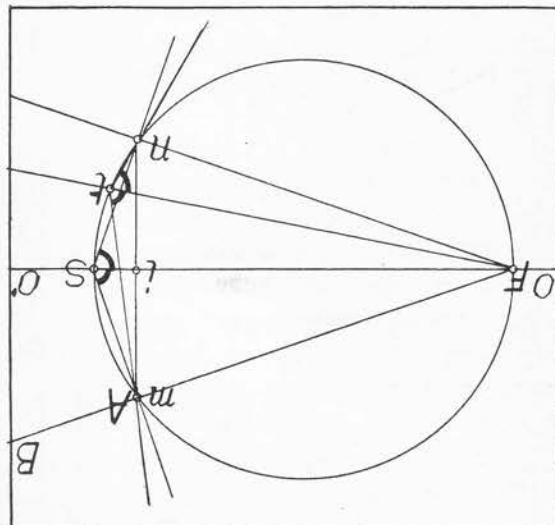


Fig. 410. (402)

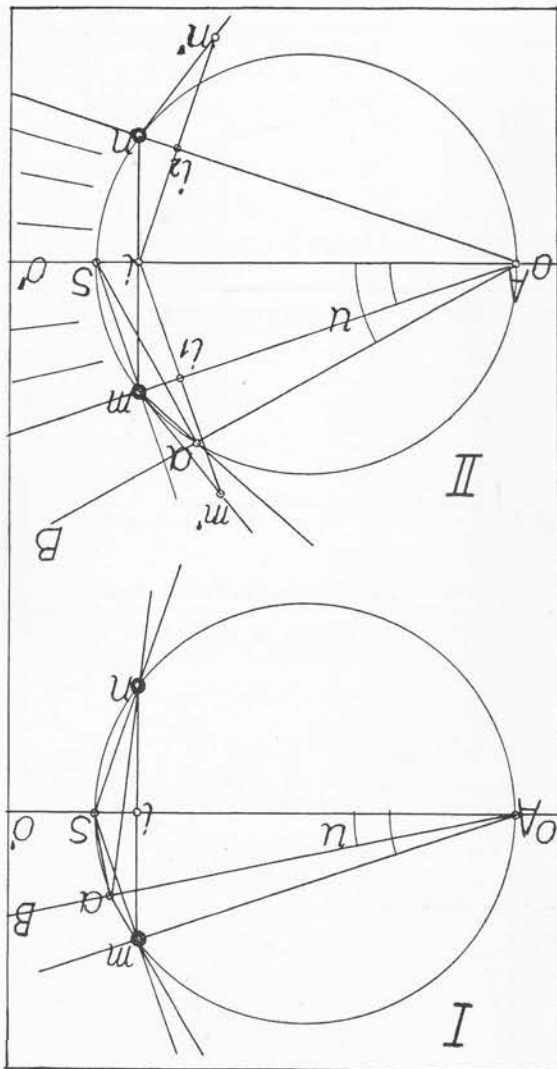


Fig. 411. (403, 405)

simetric față de linia orizontului și — dacă s-a desenat exact — trebuie să coincidă cu punctul de intersecție al dreptelor  $an$  și  $sn$ .

b) Construcțiile se execută ca mai sus și dacă unghiul orizontalei oarecare date e mai mare față de linia orizontului decât al orizontalei pentru care a fost construit teul (fig. 411 II). Dar ramura frintă a teului așezat în  $a$  pe orizontala oarecare dată, trebuie prelungită pentru ca să întretaie în  $m$  ramura teului așezat pe linia orizontului în  $s$ . După ce s-a luat în  $n$  simetricul punctului  $m$  față de linia orizontului, înainte de a se începe desenul, cu construcția arătată mai jos (405), se vor determina pozițiile succesive ale acelor în punctele  $m'$  și  $n'$ , pentru a putea mări cîmpul teului prea limitat numai între punctele  $m$  și  $n$ .

S-au dat explicațiile de mai sus pentru că acest teu cu ramurile fixe se poate confecționa cu ușurință din carton, dar teul cu ramurile mobile confecționat din lamele de lemn se mînuiește cu mai mare ușurință.

#### Teul cu ramurile mobile

404. — Dintr-un punct  $m$  (fig. 412) (cît mai apropiat de marginea planșetei) ducem o perpendiculară  $ms$  pe orizontala oarecare dată  $AB$  și o perpendiculară pe linia orizontului pentru a lua — față de aceasta — în  $n$  simetricul punctului  $m$ . Unim punctele  $s$  și  $n$ .

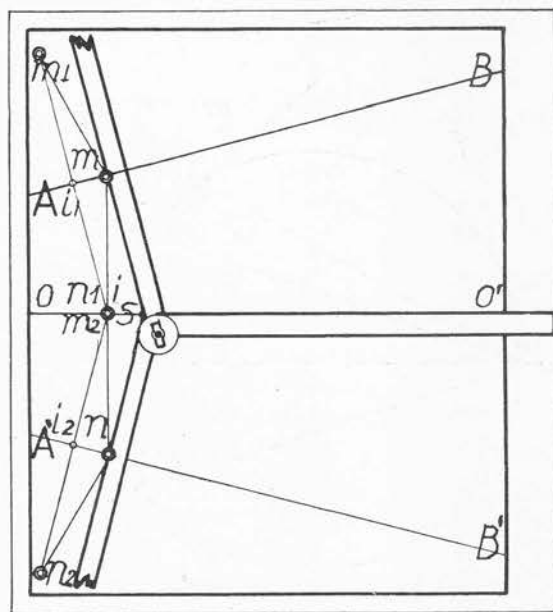
Vom înfige acele în punctele  $m$  și  $n$ , vom așeza ramurile teului în lungul dreptelor  $ms$ ,

$so'$  și  $sn$  și vom strînge șurubul care le va fixa în această poziție. Prin lunecarea ramurilor frînte pe acele respective, ramura a treia se va îndrepta în permanență spre punctul de fugă inaccesibil al orizontalei oarecare dată  $AB$ .

Pentru ca între acele fixate în punctele  $m$  și  $n$  să avem un cîmp cît mai mare, este bine ca orizontala oarecare folosită pentru determinarea lor să fie cît mai depărtată de linia orizontului  $oo'$ , iar ramurile frînte ale teului să aibă o lungime care să depășească segmentul  $mn$  (se confecționează teuri cu ramurile de 1,10 m).

Astfel, în figura 413 dacă orizontala oarecare dată ar fi  $ab$ , atunci pe două verticale cît mai depărtate între ele, luînd segmentele  $aA$  și  $bB$  egale cu segmentele  $ao$  și  $bo_1$  am obține în  $AB$  orizontala mai depărtată cu care s-ar determina punctele  $m$  și  $n$  pentru fixarea acelor.

Fig. 412. (404, 405)



406. — S-a arătat în capitolul respectiv cum se pot construi rețele perspective pentru trasarea umbrelor când una sau ambele imagini perspective ale izvorului luminii sînt inaccesibile și cum pentru asigurarea unui traseu exact rețeaua trebuie să fie cît mai deasă și prin aceasta supărătoare. Se poate evita acest neajuns folosind teul perspector de îndată ce s-au determinat numai două din liniile rețelei depărtate una de alta. Ele vor sprîji determina punctelor în care se vor înfițe acele de sprîji a ramurilor frînte ale teului perspector așa cum se arată în figura 414.

În această figură cu procedeu pe care l-am denumit general (38) s-au trasat numai două umbre  $BA'$  și  $DC'$  purtate de două verticale  $AB$  și  $CD$  ale compoziției. Alți direcția umbrelor purtate cît și lungimea lor se îndreaptă către puncte de fugă inaccesibile. Trăsându-le cu teul perspector rețele vor deveni inutile.

### Trasarea umbrelor cu teul perspector.

405. — *Schimbară acelor* pentru mărirea cîmpului teului perspector. Pentru a desena oarecarea deasupra dreptei  $AB$  și dedesubtul dreptei  $A'B'$  (fig. 412.) vom determina punctele  $m_1$  și  $n_1$  sau  $m_2$  și  $n_2$  pentru mutarea acelor luînd în  $m_1$  simetricul punctului  $n_1$  față de orizontala oarecare  $AB$  sau luînd în  $n_2$  simetricul punctului  $m_2$  față de orizontala oarecare  $A'B'$ . În același fel în figura 411 au fost determinate punctele  $m'$  și  $n'$  față de orizontalele oarecare  $Am$  și  $An$  pentru mărirea cîmpului teului perspector. Cu teul perspector se pot trasa umbrele cînd una sau ambele imagini ale izvorului luminii sînt inaccesibile. El poate interveni și cînd, pentru desenaarea imaginii perspective a unei compoziții, se folosesc rețele perspective cu puncte de egală resecție.

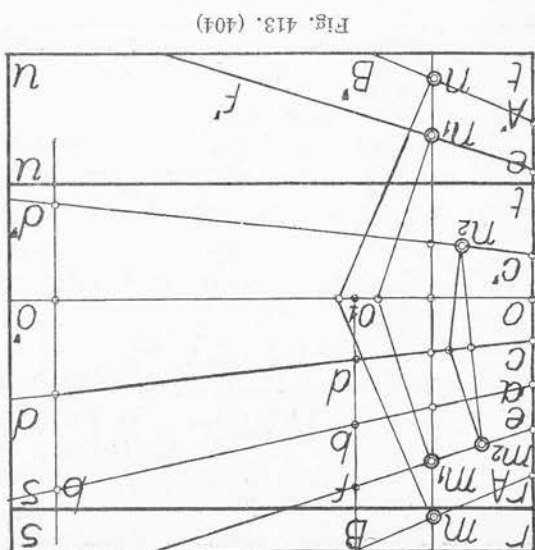


Fig. 413. (404)

Dacă planșeta n-ar fi destul de mare ca să cuprindă dreapta  $AB$  s-ar lua deasupra dreptei  $ab$  segmentele  $ae$  și  $bf$  egale cu jumătatea  $ac$  și  $bd$  a segmentelor  $ao$  și  $bo_1$  și s-ar obține în  $ef$  orizontala mai depărtată cu care s-ar determina punctele  $m_1$  și  $n_1$  pentru fixarea acelor.

În sfîrșit, în compozițiile în care linia orizontului s-ar afla în partea inferioară a planșetei  $rstu$  iar punctele  $n$  sau  $n_1$  ar fi inaccesibile, acele s-ar fixa în punctele  $n_2$  și  $m_2$  obținute cu orizontalele  $ef$  și  $c'd'$  cum se vede în aceeași figură.

Potrivit formatului planșetei, a locului ocupat de orizontala dată, a lungimii lamelor teului folosit, se vor putea ivi diferite probleme care se vor rezolva de la caz la caz în lumina celor expuse mai sus.

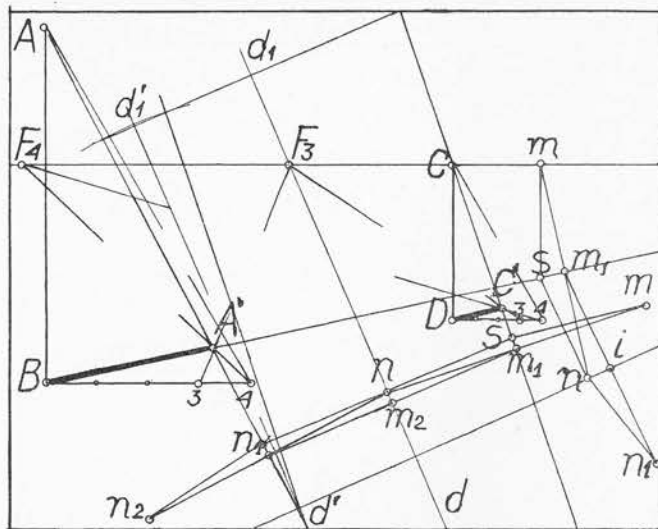
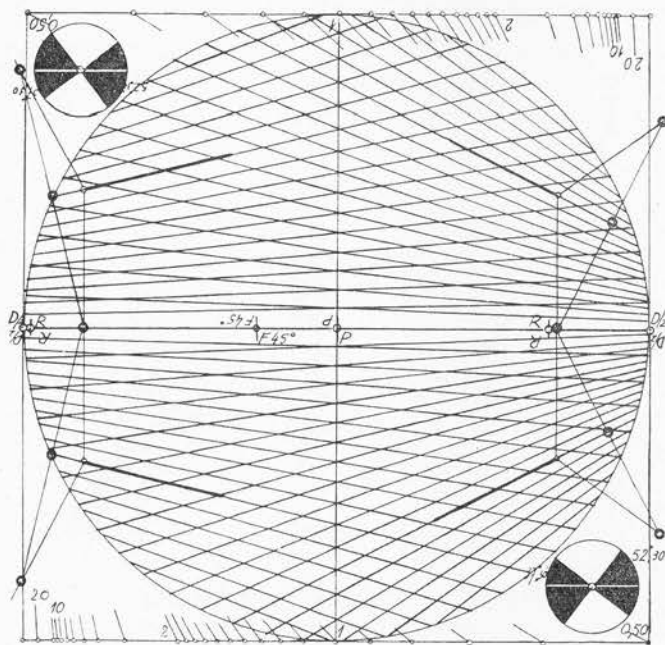


Fig. 414. (406)

Pentru direcția umbrelor, în afara liniei orizontului nu ne e necesară decât direcția unei singure umbre, a umbrei  $BA'$  pe care o prelungim pe toată întinderea desenului pentru a determina punctele  $m$  și  $n$  în care se vor înfipte acele. Din punctul  $m$  luat în marginea desenului pe linia orizontului coborâm o verticală  $ms$  și ducem o perpendiculară  $mm_1$  pe direcția prelungită a umbrei  $BA'$ , pentru a lua în  $n$  simetricul punctului  $m$ . Ramurile frânte ale teului vor lua direcțiile  $sm$  și  $sn$  iar ramura a treia direcția  $sB$ . În figură se arată și cum, pentru a mări cîmpul teului, dacă va fi necesar, se vor muta acele în punctele  $m_1$  și  $n_1$ , cum s-a explicat mai sus.

Fig. 415. (407)



Pentru desenarea lungimii umbrelor purtate determinarea punctelor în care se vor înfipte acele se va face folosind razele  $AA'$  și  $CC'$  ale ambelor umbre din figură. Acestea fiind prea depărtate vor da puncte inaccesibile pentru înfigerea acelor. Vom construi bisectoarea  $dd_1$  a unghiului pe care îl fac aceste raze (și care numai din întâmplare trece prin punctul  $F3$ ) așa cum se arată în figură. Dintr-un punct  $n$  de pe această bisectoare vom duce două perpendiculare  $ns$  (perpendiculară pe bisectoare) și  $nm_1$  (perpendiculară pe raza  $CC'$ , prelungită) pe care vom lua în  $m$  simetricul punctului  $n$ . Ramurile frânte ale teului, sprijinite pe acele înfipte în punctele  $n$  și  $m$ , vor lua direcțiile  $ms$

și  $sn$  și ramura a treia direcția  $sC'$ . În figură se arată și cum se mărește cimpul teului mutînd succesiv acele în punctele  $m_1n_1$  și  $m_2n_2$  care s-au determinat în același fel. Lucrarea va fi ușurată dacă se vor folosi două teuri perspective: unul pentru direcția umbrelor și altul pentru determinarea lungimilor umbrelor purtate.

#### Folosirea teului perspector pe rețele perspective cu puncte de egală resecție.

**407.** — Pentru diferitele orientări din spațiu ale obiectului propus, desenatorul va găsi în seria de rețele perspective posibilitatea de a determina cu mare ușurință punctele  $m$  și  $n$  pentru înfigerea acelor precum și direcțiile celor trei ramuri ale teului perspector (fig. 415).

De fapt rețelele care s-ar întocmi anume pentru sprijinirea folosirii teului perspector ar cuprinde în afară de linia orizontului, de punctul principal, de punctele de distanță reduse, de scara perspectivă și, eventual, de reperele de adîncime, numai elementele caracteristice diferitelor orientări, adică punctele de egală resecție și punctul de fugă la  $45^\circ$  iar din rețeaua propriu-zisă numai acele câteva linii necesare pentru orientarea ramurilor teului. Evident că, folosind la maximum lungimea ramurilor frînte ale teului de care se dispune, punctele de înfigere a acelor vor fi cît mai depărtate pentru a cuprinde în cimpul lor, eventual, întregul desen.





409. — Urmează să examinăm condițiile în care se pot construi pe planul tabloului cele două imagini perspective corespunzătoare celor două puncte de vedere ale viziunii binoculare pentru a obține, privindu-le, o singură imagine stereoscopică, adică în relief.

#### IMAGINI PERSPECTIVE STEREOSCOPICE

408. — Imaginile stereoscopice ne sînt cunoscute: (I 38, fig. 54, 56, 76) s-a arătat utilitatea lor didactică dar nu s-a explicat cum se pot întocmi.  
După scopul urmărit ele pot fi concepute în perspectivă sau în proiecții oblice (I 21—26, fig. 37—43) și pot fi tipărite în două culori (I, fig. 76) sau într-o singură culoare (I, fig. 56) dar în timp ce primele vor putea avea un format cit de mare, unele din cele monocrome vor trebui să aibă, după cum se arată mai jos, un format limitat de posibilitățile fiziologice ale viziunii umane.

#### IMAGINILE STEREOSCOPICE

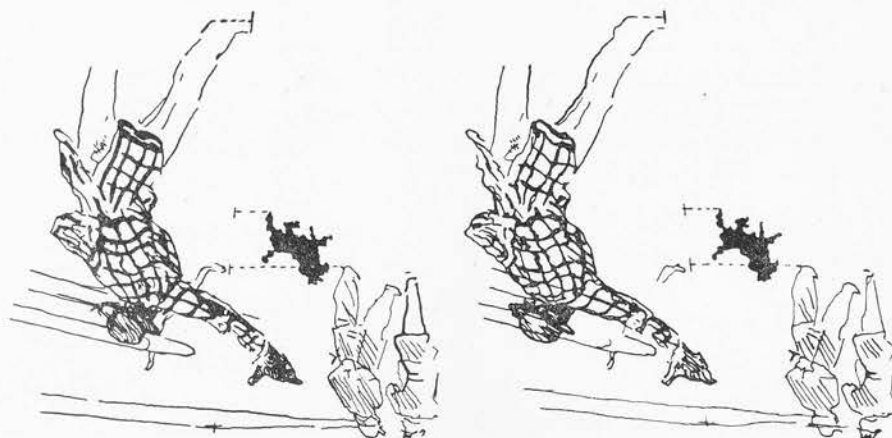


Fig. 416. (409) Prin fuzionare. După o litografie de Henri de Toulouse-Lautrec

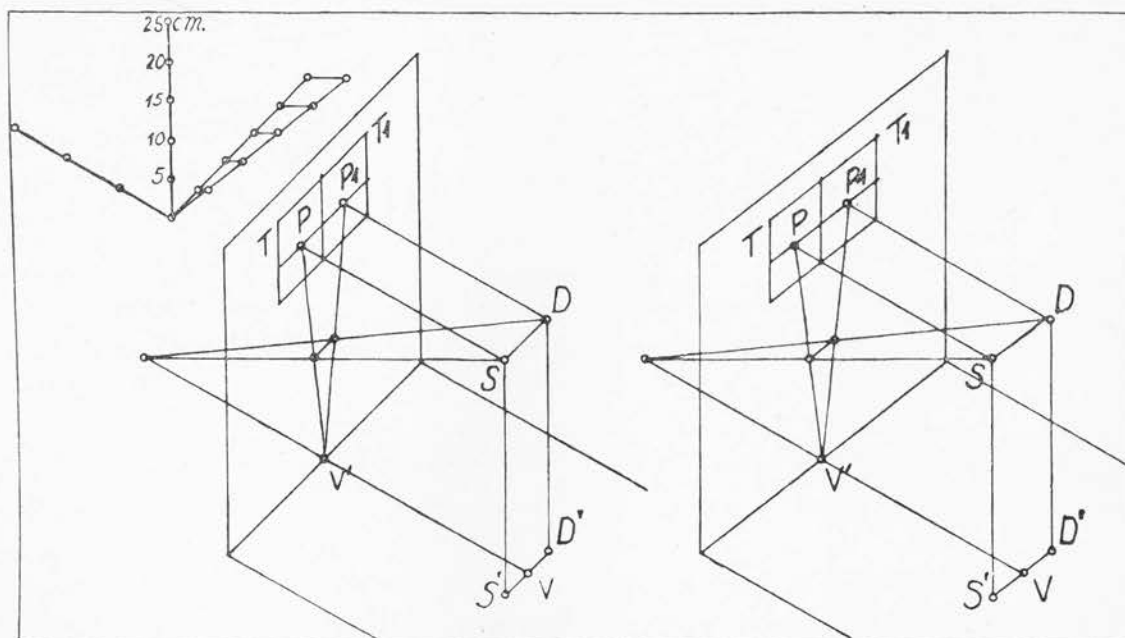


Fig. 417. (409, 411, 412, 413, 414) Prin fuzionare

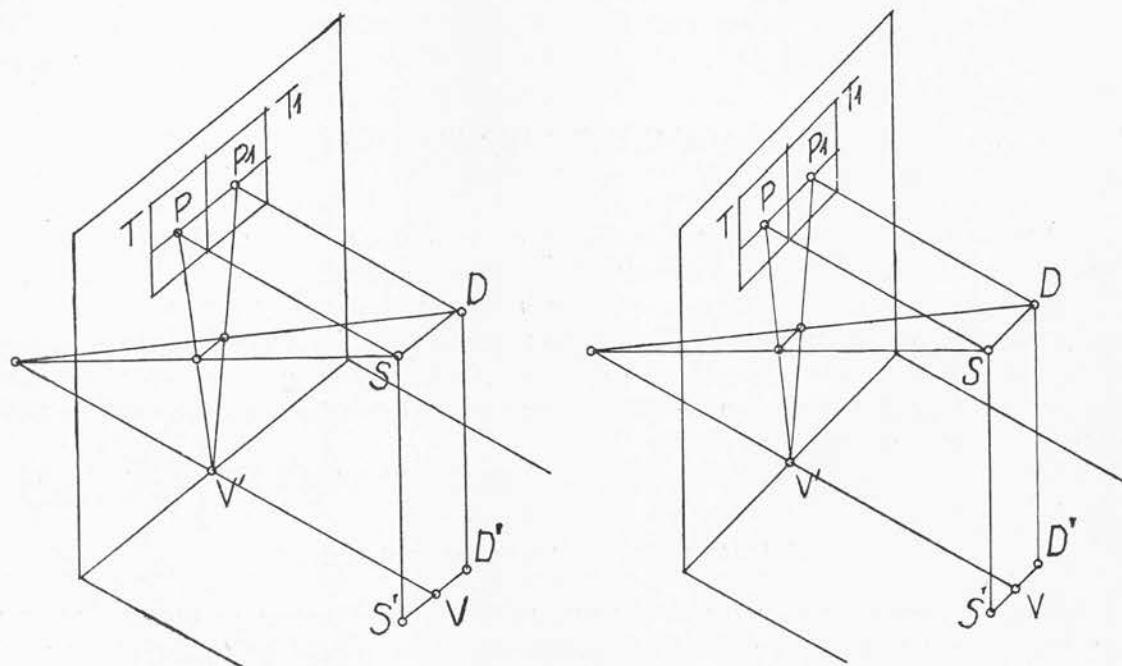


Fig. 418. (409, 411, 412, 413, 414) Prin deschiderea unui ecran

Pentru aceasta este suficient să știm că diferențele dintre cele două imagini decurg numai din faptul că în aceste tablouri, alăturate sau suprapuse, imaginea perspectivă a urmei, pe planul tabloului, a planului vizual principal vertical nu este o dreaptă verticală ci o dreaptă ușor înclinată, cum ne arată proiecția axonometrică alăturată (I, 21—26 fig. 37—43) prezentată în imagine stereoscopică (fig. 417 și 418).

S-au reprezentat centrele pupilelor și anume a celei stângi în  $S$  și a celei drepte în  $D$ , proiectate pe planul obiectelor în  $S'$  și  $D'$  iar în  $VV'$  urma pe acest plan, a planului

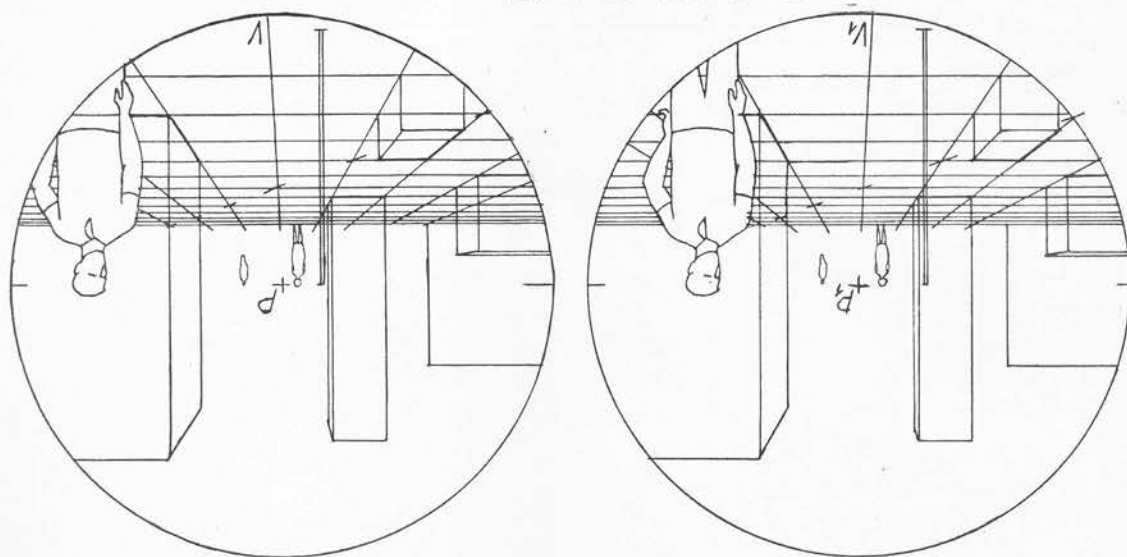
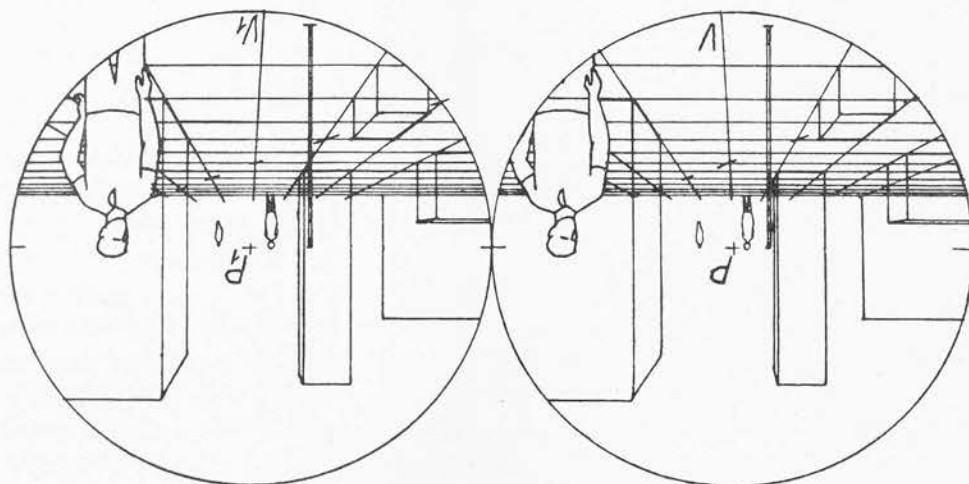


Fig. 420 (409) Prin deschiderea unui ecran

Fig. 419. (409) Prin fuzionare



vizual principal vertical, care, împărțind în două părți egale segmentul  $S'D'$  trece și prin punctul de vedere unic al perspectivei liniare. Razele vizuale  $SP$  și  $DP_1$ , paralele cu această urmă, la intersecția lor  $P$  și  $P_1$  cu cele două tablouri  $T$  și  $T_1$  precizează punctele respective de fugă ale urmelor  $VP$  și  $VP_1$  ale planului vizual principal vertical, urme care sînt prin urmare oblice și converg către un punct  $V'$  de pe urma celor două tablouri pe planul obiectelor.

Unghiul  $PV'P_1$  poate varia într-o mică măsură după abscisa mai mare sau mai mică dintre cei doi ochi, dar mai ales după cota mai mare sau mai mică a liniei orizontului față de planul obiectelor. În figurile 417 și 418 acest unghi ne apare mare, pentru că, în mod demonstrativ, linia orizontului  $PP_1$  s-a luat numai la circa 37 cm deasupra planului obiectelor. Dar în realitate acest unghi este foarte mic: el are numai  $2^{\circ}16'$  dacă punctele de vedere au o abscisă medie de 63 mm și se află la o cotă de 1,65 deasupra planului obiectelor, așa cum se vede în figurile 419 și 420. În aceste figuri urma  $PV$  a planului principal vertical ar trebui să facă, spre dreapta, un unghi numai de  $1^{\circ}8'$  cu verticala dusă din punctul principal (verticală nereprezentată în figură), iar urma  $P_1V_1$  să facă același unghi dar spre stînga. Aceste urme, prelungite, s-ar întîlni într-un punct situat pe planul obiectelor pe care stă privitorul, la 1,65 m sub linia orizontului.

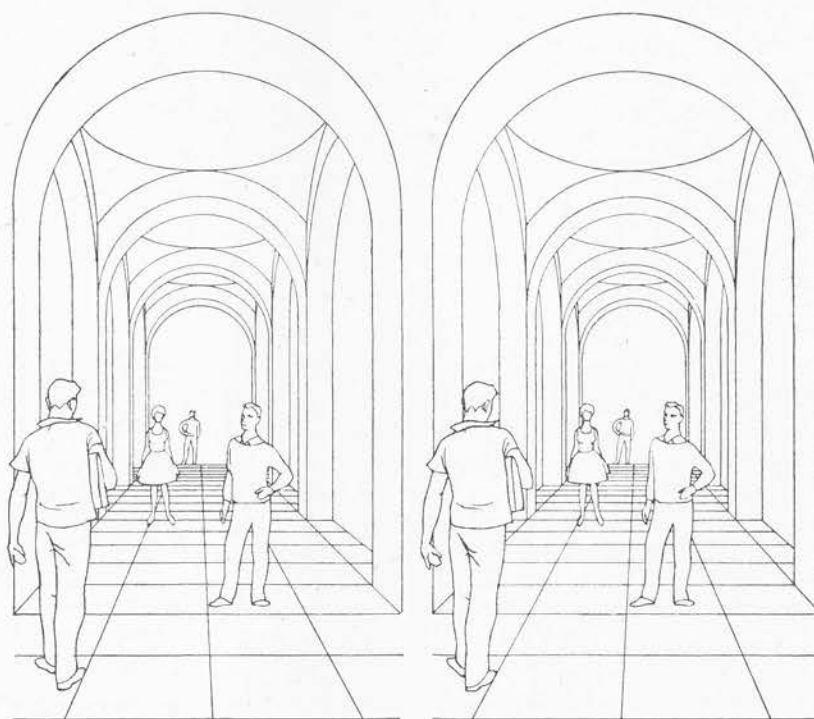


Fig. 421. (409, 410) Prin fuzionare



În afară de această înclinare a urmei planului vizual principal vertical, nimic nu deosebește imaginile perspective stereoscopice de cele obișnuite. Rețeaua de pătrate orizontale orientate frontal cu numeroasele sale aplicații se construiește la fel, folosind puncte de distanță reduce la jumătate sau la un sfert, cum se vede în figurile 419—422. Aceste puncte de distanță ca orișicare punct de fugă se vor situa pe linia orizontului în ambele desene la aceeași depărtare de punctul principal respectiv. Procedul construirii geometrice-lui se va aplica de asemenea în aceeași condiții, cum a fost folosit în figurile 423 și 424 pentru un interior pe unghi. (Aceste construcții (I, 281—284, fig. 308—311) au fost sterse cu guma pentru a nu tulbura efectul stereoscopic urmărit). Va trebui deci să ne amintim că abscisele diferitelor elemente ale compoziției, măsurate pe scara perspectivă a tabloului,

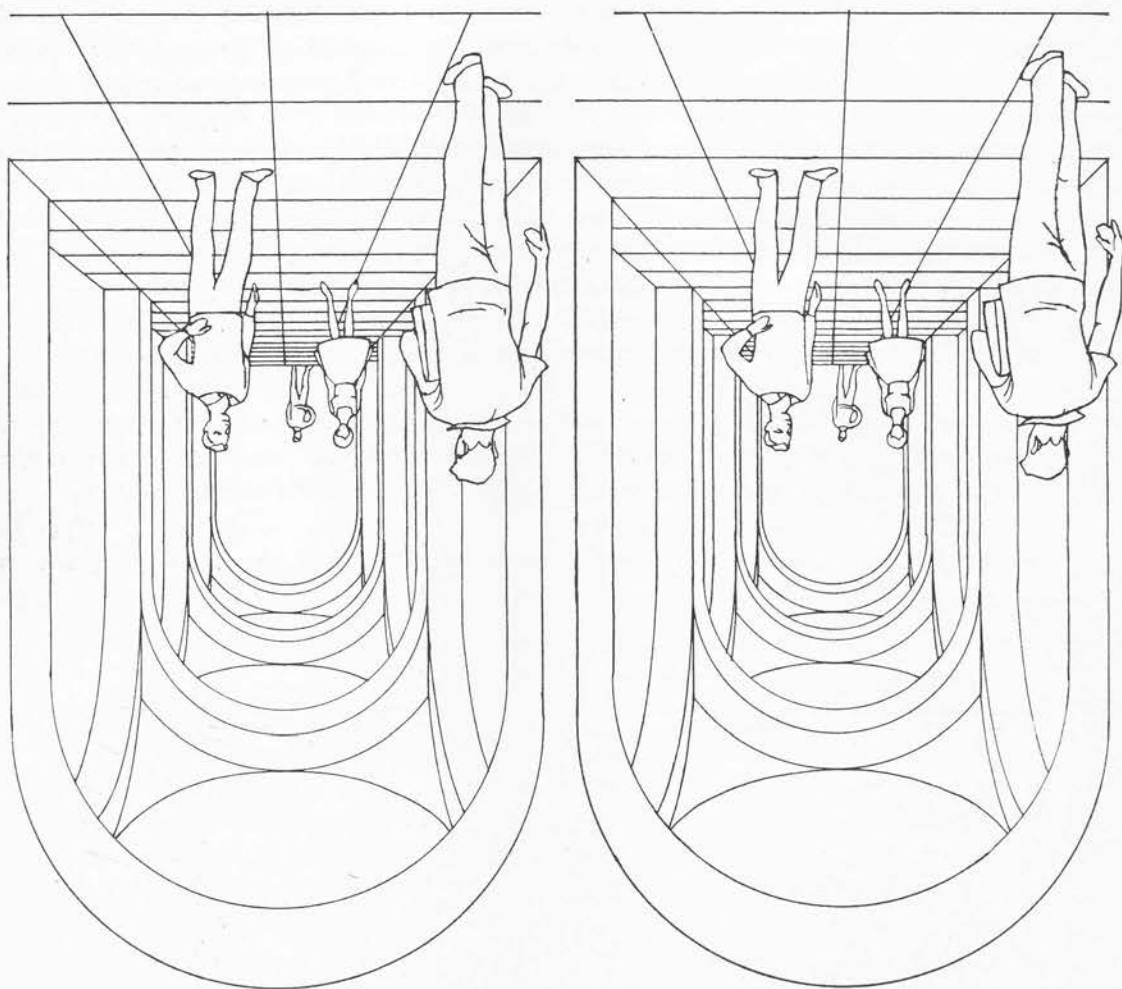


Fig. 422. (409, 410) Prin deschiderea unui ecran

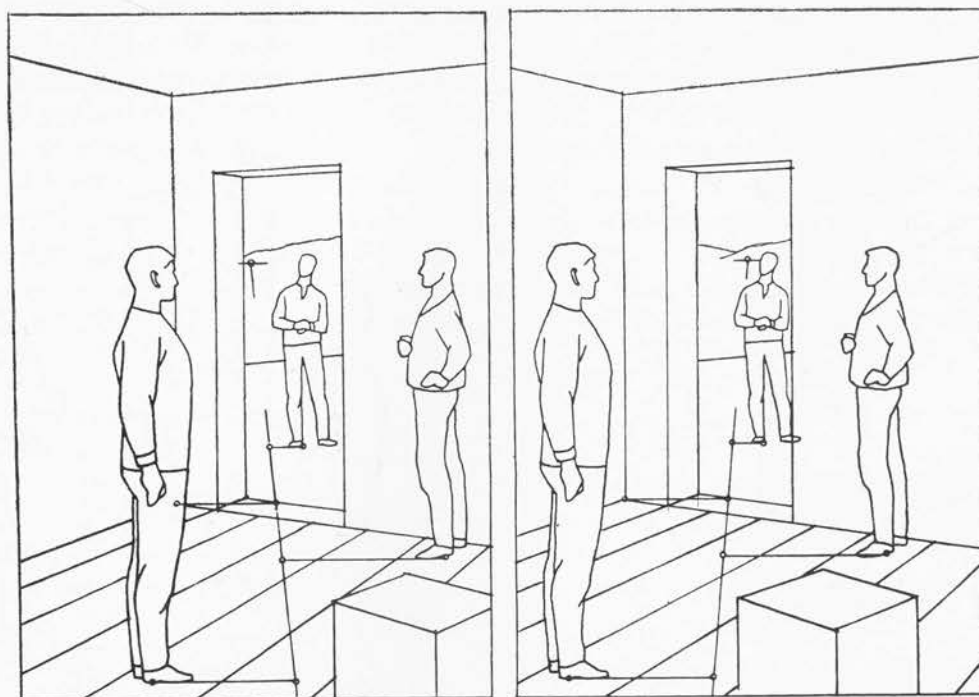


Fig. 423. (409, 410) Prin fuzionare

se vor lua nu față de o urmă verticală ci față de o urmă ușor înclinată (fig. 416, 423 și 424).

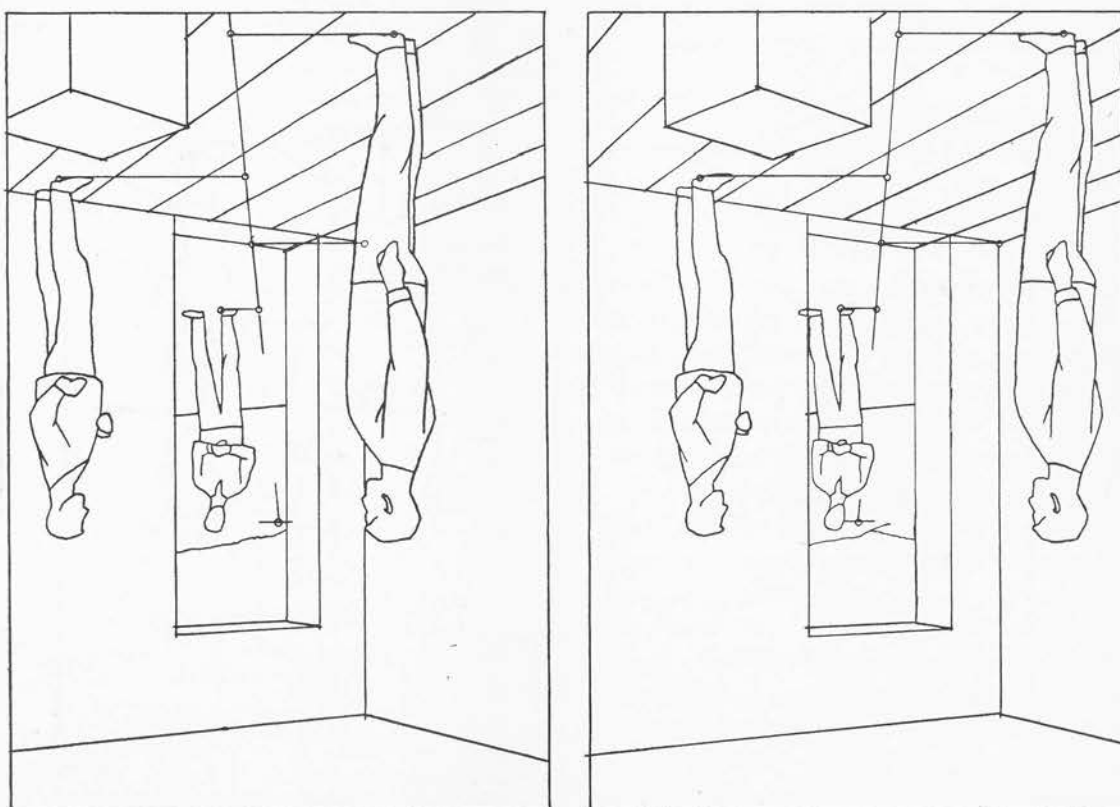
În practică pentru a se obține efecte stereoscopice mai pronunțate, se poate mări într-o măsură oarecare înclinarea teoretică a urmelor  $PV$  și  $P_1V_1$ . Astfel în figurile 421 și 422 unghiul dintre aceste urme este aproape de  $3^\circ$ , în figura 423 și 424 de  $5^\circ$  iar în figura 435 de  $11^\circ$ .

**410.** — De altfel și cu fotografii stereoscopice se poate obține iluzia unor adâncimi mai mari decât cele din realitate, folosind un aparat fotografic obișnuit. A doua fotografie se ia — evident de la aceeași înălțime și cu aceeași orientare — după ce s-a făcut un pas spre dreapta sau spre stînga. În felul acesta s-a dat templului lui Medinet Habu o adâncime atît de mare ca aceea a figurilor stereoscopice din prima parte a acestei lucrări (I, fig. 54). Vom adăuga că dacă nu se poate mări lățimea acestor desene stereoscopice, care nu trebuie să depășească abscisa medie de 63 mm dintre centrele pupilelor — li se poate da o înălțime mai mare (fig. 421—424) și în orice caz se pot înscrie în pătrate. Evident că în aceste cazuri pentru precizarea punctului respectiv de distanță se va avea în vedere raza cercului circumscris desenului cu centrul în punctul principal. De altfel pentru o cît mai bună imagine stereoscopică aceste desene se vor face mai mari, dar nu mai mult decât de două ori și se vor micșora apoi pe cale fotografică sau tipografică.

411. — Cum vor fi privite aceste desene stereoscopice? Va depinde de posibilitățile fiziologice ale privitorilor, după cum aceștia pot sau nu pot fuziona cele două imagini diferite, după un moment de acomodare. Ținem figura perpendicular pe direcția privirii (orizontală, dacă o privim de sus sau verticală dacă o privim spre zare) la distanța obișnuită pentru citit și — dacă-i purtăm — cu aceiași ochelari. În orice caz distanța trebuie să fie destul de mare pentru a cuprinde dintr-o privire întregul desen și fără nici un efort mușchilar de contractare sau încrunțare, așteptăm ca de la sine să nu vedem în fața noastră decât o singură imagine în care fiecare linie își ia locul ei în adâncul spațiului. Pe măsură ce privim mai îndelung, imaginea capătă un relief mai puternic, desprinzându-se din planul hirtiei. Nu este exclus ca simultan, pe lângă această imagine stereoscopică, la stînga și la dreapta ei, să întrezărim în planul hirtiei și cele două figuri care îi dau naștere. Aceasta înseamnă că avem posibilitatea de a fuziona cerebral cele două imagini diferite înregistrate pe reținele respective ale ochilor.

### Imagini stereoscopice privite prin fuzionare

Fig. 424. (409, 410) Prin deschiderea unui ecran



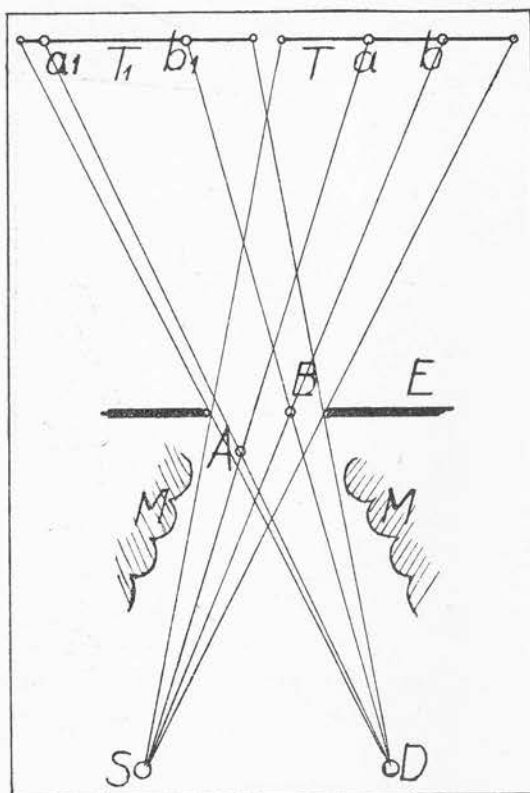


Fig. 425. (412)

scopice, anume modificată, cum se arată mai jos — va dirija privirea fiecărui ochi numai spre imaginea care îi este destinată și relieful stereoscopic se va forma de la sine la încrucișarea razelor vizuale, în fața noastră, iar nu în creier. Este ceea ce explică schema din figura 425 precum și figurile stereoscopice 426 și 427.

Modificăm poziția celor două imagini și anume vom așeza în dreapta tabloul  $T$  executat pentru ochiul stâng și, invers, în stînga tabloul  $T_1$  destinat ochiului drept, depărțindu-le eventual unul de altul. Le privim prin fereastra unui ecran  $E$  pe care îl ducem mai înainte sau mai înapoi astfel ca să acopere pentru fiecare ochi figura care nu-i este destinată. Eventual în loc de fereastra unui ecran putem privi imaginile prin deschiderea dintre palmele mâinilor  $M$  ținute ca două obloane astfel încît fiecare ochi să nu poată vedea decît imaginea care îi este destinată. La încrucișarea razelor vizuale care unesc diferitele puncte ale desenelor cu cele două puncte de vedere se formează, în relief, între planul tabloului și planul neutru, imaginea stereoscopică. Dacă în cele două tablouri considerăm un punct  $a$  situat, pe planul obiectelor, în primul plan al compoziției, imaginea lui, la aceeași abscisă față de urma înclinată a planului vizual principal vertical, va fi în tabloul  $T$  mai apropiată de marginea dreaptă a tabloului decît în celălalt tablou  $T_1$ .

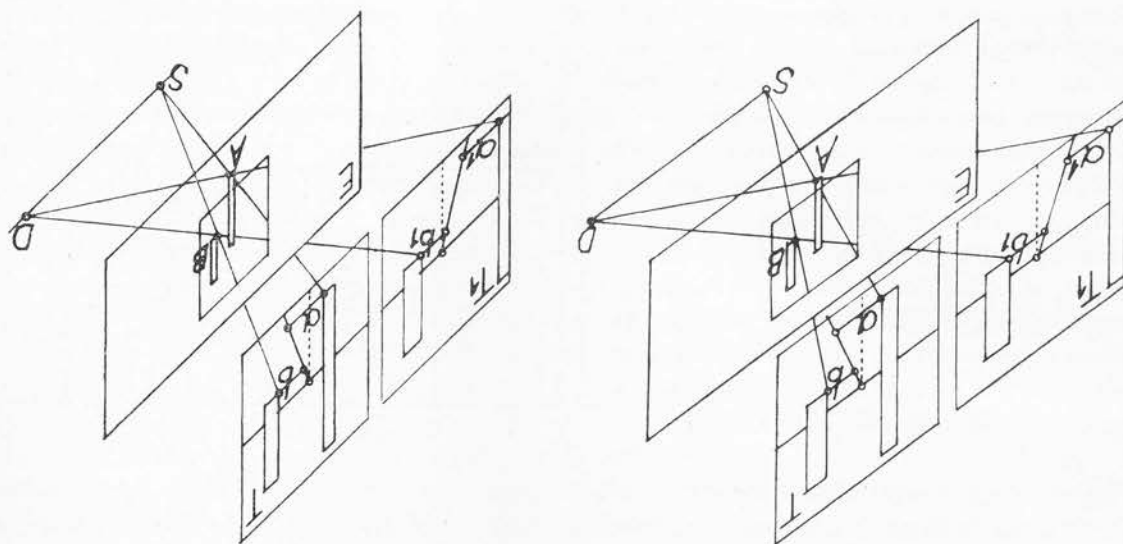
Prin fuzionare trebuie privită imaginea perspectivă care ilustrează principiul basoreliefului (fig. 327). Dar această imagine este într-o perspectivă convențională: are descreșteri perspective dar punctul principal, inaccesibil, pe linia orizontului, inaccesibilă, nu se situează pe axul vertical al compoziției ci mult mai spre dreapta, în afara cîmpului vizual.

Eventual, pînă cînd căpătăm obișnuința de a „vedea“ aceste imagini stereoscopice putem aplica între cele două desene muchia unui carton de circa 20 cm și le vom privi lipind lungul nasului de muchia opusă a cartonului. Lumina trebuie să cadă astfel încît cartonul să nu poarte umbră pe desene.

#### Imagini stereoscopice privite prin fereastra unui ecran

412. — Dar este posibil să nu putem fuziona cele două imagini. În acest caz le vom privi prin orificiul unui ecran care — întrepus între ochi și imaginea stereo-

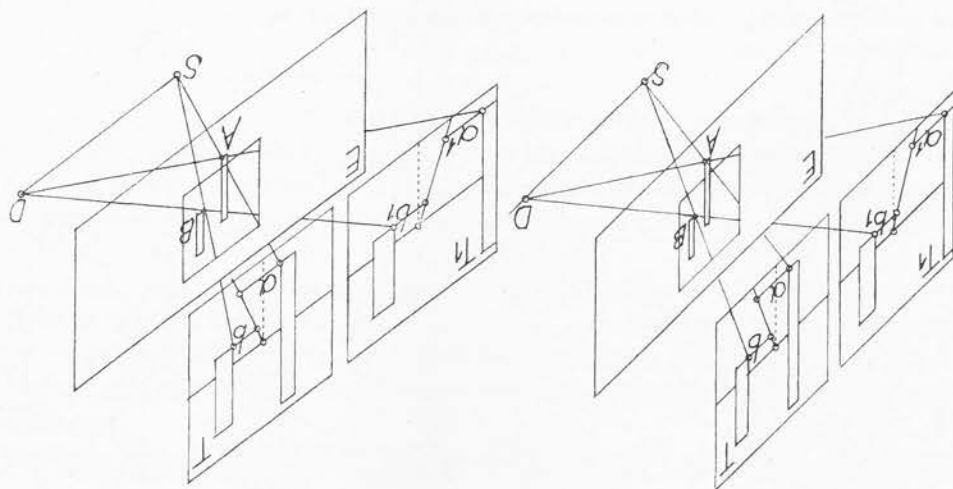
Fig. 427. (412) Prin deschiderea unui ecran



În A, la încrucișarea razelor vizuale  $Da_1$  și  $Sa$ , se va forma în spațiul intermediar imaginea punctului respectiv.

Considerând alt punct  $b$ , situat într-un plan mult mai depărtat al compoziției, unde urmele înclinate ale planului vizual principal se apropie treptat de verticală, deosebirea de apropiere a imaginilor  $b$  și  $b_1$  de marginea tabloului va fi mult mai mică iar punctul de încrucișare  $B$  al razelor  $Db_1$  și  $Sb$  se va situa în spațiu într-un plan mai depărtat. Prin

Fig. 426. (412) Prin fuzionare





urmare imaginea stereoscopică constituită în spațiu nu se va găsi toată în același plan ci va fi reliefată.

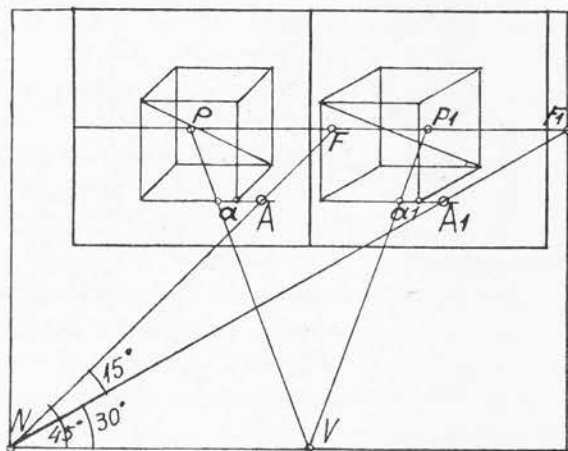
În aceste condiții nu mai este necesar ca între punctele principale ale celor două imagini să nu fie o depărtare mai mare decât aceea medie a centrelor pupilelor. În consecință imaginile pot avea orice mărime: ele pot fi desenate cu creta pe tabla unei clase și auditorii se vor folosi de palmele lor drept obloane, pentru a împiedica vederea, pentru fiecare ochi, a desenului care nu-i este destinat.

Cînd am reușit să vedem imaginea stereoscopică bine precizată în spațiul intermediar, în relief, și bine desprinsă din planul tabloului, dacă încetul cu încetul depărtăm obloanele minilor, pe lângă această imagine din spațiu vom zări la dreapta și la stînga ei, în planul depărtat al hîrtiei sau al tablei, și cele două figuri care îi dau naștere.

### IMAGINI AXONOMETRICE STEREOSCOPICE

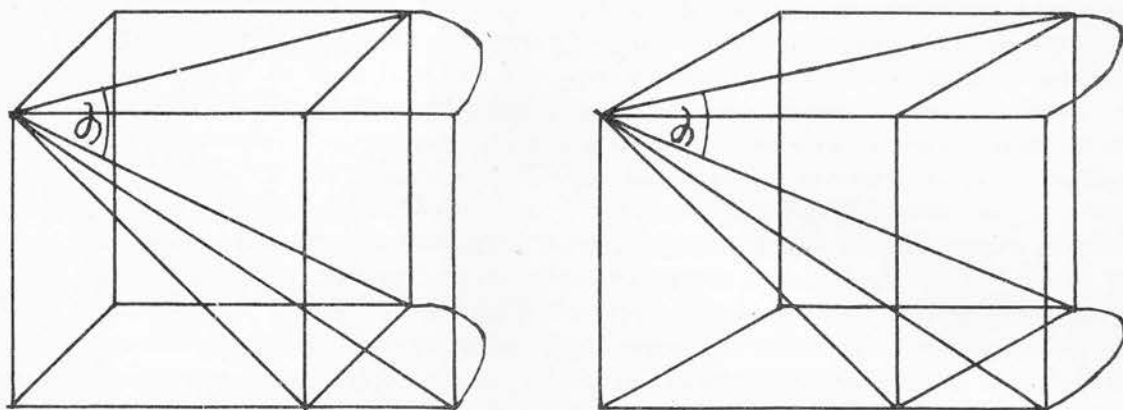
**413.** — Reluînd în proiecție verticală (fig. 428) problema rezolvată în fig. 417 și 418 în care ne reamintim că în mod demonstrativ cota liniei orizontului a fost luată foarte mică, desemnăm la o adîncime dată un punct  $AA_1$  la o abscisă dată  $aA$  și  $a_1A_1$  față de urma înclinată a planului vizual vertical principal. Prin acest punct ducem o linie de fugă  $AF$  și  $A_1F_1$  către un punct de fugă  $F$  și  $F_1$  și care — la egală abscisă de punctele  $P$  și  $P_1$  — pentru claritatea explicației, a fost luat accesibil. Dacă s-a desenat exact, imaginile acestor orizontale oarecare paralele în spațiu, prelungite, trebuie să se întâlnească într-un punct  $N$  de pe linia pămîntului. Efectul stereoscopic al orizontalelor oarecare de pe planul obiectelor este condiționat de faptul că, prelungite, s-ar întîlni pe linia pămîntului. Vom folosi această constatare în realizarea stereoscopică a proiecțiilor axonometrice: izometrice (I, 22, fig. 37), dimetrice (fig. 417—418 și I, 23, fig. 38), frontale (fig. 429—430 și I, 24, fig. 39) sau cavalieră (fig. 431—432 și I, 25, fig. 40).

Fig. 428. (413) Prin fuzionare



În acest scop una din cele două figuri axonometrice se va executa așa cum s-a arătat în prima parte a acestei lucrări (I, 26 fig. 43). În a doua figură uneia dintre cele trei axe ale figurii i se va da o altă înclinare în așa fel ca dreptele respective, prelungite, să se întretaie spre privitor, ca în figura 428. Pentru asigurarea unui efect stereoscopic mai pregnant unghiul dintre cele două înclinări diferite ale axei respective va putea fi mai mare: de  $10^\circ$  în figura 417—418, de  $15^\circ$  în figurile 429—430 atunci cînd motivul are o mică adîncime.

Fig. 430 (413, 414) Prin deschiderea unui ecran



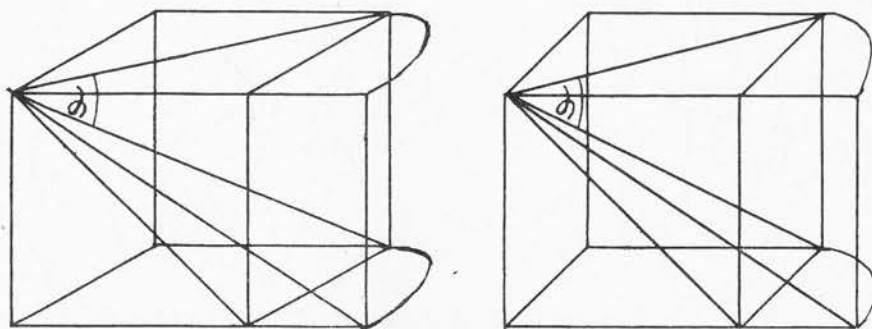
Pentru cititorii care nu reușesc să fuzioneze aceste două figuri, în dreapta lor se va adăuga o a treia figură care va fi copie exactă a primei figuri. Privind prin fereastra sticlă se văd tot alt de bine, în adâncime și fețele lui ascunse.

metal înconjoară în spațiu fețele anterioare ale volumului prin a căror transparență de muchiile volumului reprezentat se desprind din planul hirtiei și ca niște fire subțiri de rezultat negativ. Căci în aceste figuri, fără umbre și fără efecte de perspectivă aeriană, sau prin linii mai groase pentru evidențierea altor muchii — devine inutilă și uneori chiar cu In figurile stereoscopice axonometrice notarea prin linii întrerupte a muchiilor ascunse —

două să fie exact pe același orizontale ca punctele corespunzătoare din prima figură. Este suficient ca, cu ajutorul teului, să fim atenți ca punctele de pe figură a necesară. Este suficient ca, cum se arată în stînga figurii 417, dar această operație nu este cu ajutorul orizontalelor, rate la scara la care au fost măsurate în primul desen. Scara acestei axe se poate face, în a doua figură, pe axa a cărei înclinare a fost schimbată, lungimile să nu mai fie măsu-

In desenele axonometrice, pentru obținerea efectului stereoscopic important este ca,

Fig. 429. (413, 414) Prin fuzionare



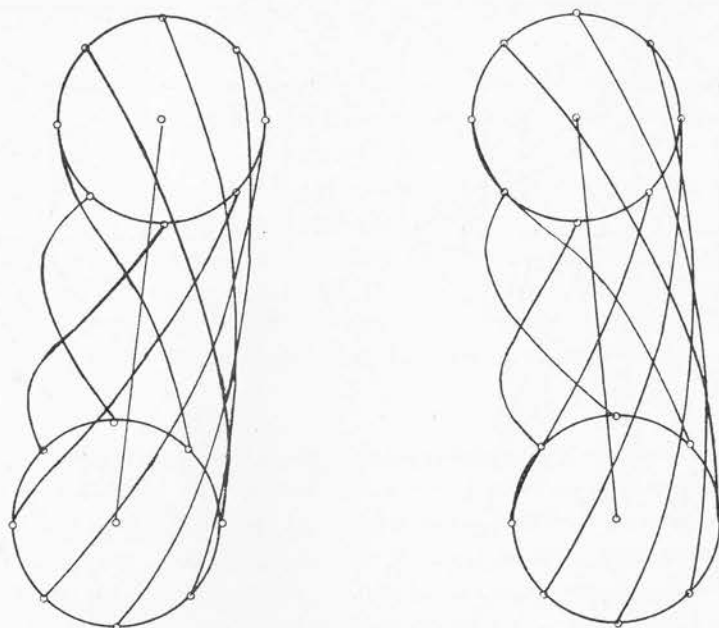


Fig. 431. (413, 414) Prin fuzionare

unui ecran, sau prin mâinile așezate ca obloane, figura a doua și a treia, cititorul va obține imaginea stereoscopică în spațiul intermediar așa cum s-a explicat mai sus. Pentru ca cele trei figuri să poată încăpea în formatul acestei lucrări, ar fi trebuit să li se dea o lărgime mai mică decât aceea de 63 mm care este considerată ca media abscisei dintre centrele pupilelor. Din acest motiv figurile stereoscopice care urmează a fi privite prin orificiul unui ecran au fost tipărite sub figurile, mai mici, care vor fi privite prin fuzionare.

**414.** — În capitolul de față principiul imaginilor perspective stereoscopice (fig. 417) a fost prezentat în *proiecție dimetrică*. Axa din dreapta a figurii a doua face un unghi de  $10^\circ$  cu aceeași axă din prima figură. Efectul stereoscopic al acestor două figuri se va obține prin fuzionare. Privitorii care nu reușesc să o obțină vor privi prin fereastra unui ecran (sau printre mâinile așezate ca obloane) figura 418 în care s-a așezat în stânga tabloul  $T_1$  și invers. Imaginea stereoscopică se va obține în spațiul intermediar.

În *proiecția frontală* este prezentată problema diagonalei cubului folosită în trasarea umbrelor în desenele arhitecturale (fig. 429). Axa înclinată din figura a doua face un unghi mai mare, de  $15^\circ$  cu axa corespunzătoare din prima figură. Această deschidere cere un timp mai îndelungat de acomodare dar a fost propusă pentru că se poate obține cu cea mai mare ușurință cu echerile obișnuite de  $45^\circ$  și de  $30^\circ$ .

Figura 429 se va privi prin fuzionare, iar figura 430 în care cele două reprezentări au fost întreschimbate se va privi prin orificiul unui ecran. Este interesant de constatat că dacă privim printre obloanele palmelor figura 429, efectul stereoscopic se inversează în sensul că fața anterioară a cubului ia locul feței posterioare. Tot așa dacă privim prin

415. — Pentru a fi tipărite sau desenate în două culori, reprezentările alit în perspectivă cit și în proiecție axonometrică pot fi cit de mari, dar se vor desena la început în aceeași condiții ca imaginile monocrome de care ne-am ocupat mai sus. Efectul stereoscopic

#### IMAGINI STEREOSCOPICE ÎN DOUĂ CULORI

fuzionare figura 430, obținem aceeași inversare: fața verticală mai depărtată a cubului vine spre privitor. În proiecție cavaliere (fig. 431) sint prezentate elicele cilindrice. Axele cilindrilor din prima și a doua figură fac între ele un unghi de  $15^\circ$ . Cînd printr-o mai îndelungată acomodare axul imaginii fuzionate ne apare vertical, elicele se desprind puternic din planul tabloului. Același efect stereoscopic ne dă în spațiul intermediar figura 432 privită printr-o minime așezate ca obloane. Dacă reușim să fuzionăm figura 432 și privim cu obloane figura 431, va veni spre privitor baza inferioară a cilindrilor. Efecte stereoscopice asemănătoare se obțin și dacă dăm figurilor o rotație de  $180^\circ$ .

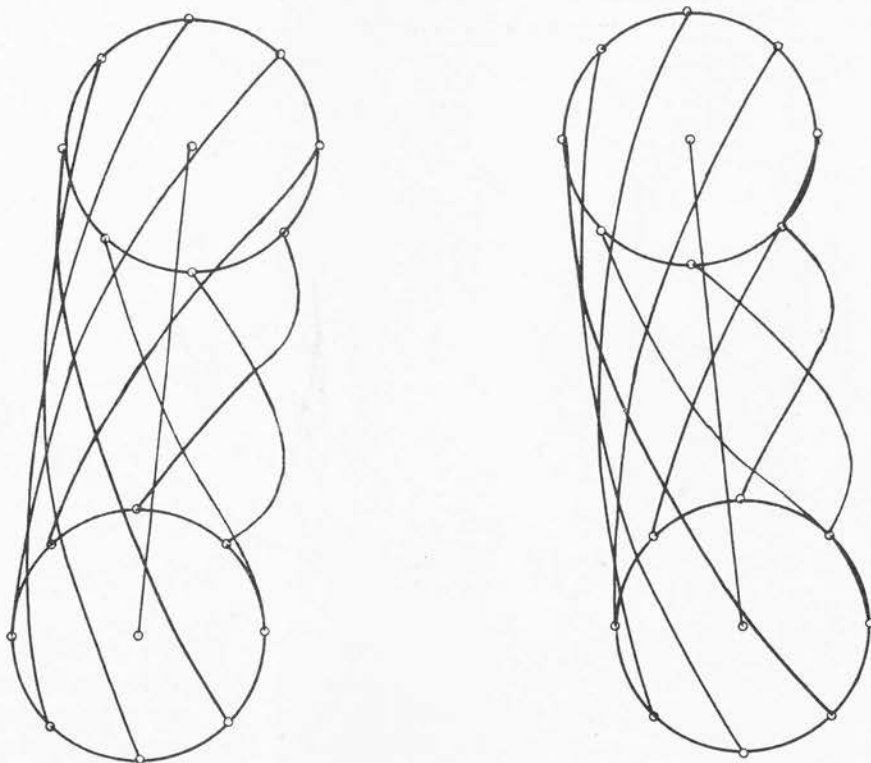


Fig. 432. (413, 414) Prin deschiderea unui ecran

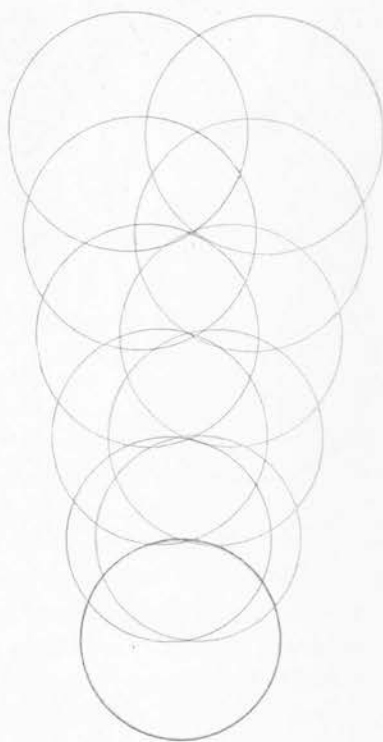


Fig. 433. (415) Cu un ochelar bicolor



Fig. 434. (415) Cu un ochelar bicolor

nu se va mai putea face prin fuzionare ci numai în spațiul intermediar, cu ajutorul ochelarilor bicolori.

Suprapunerea clișeeleor tipografice — sau a celor două figuri — pentru a fi definitive în două culori complementare, de exemplu verde și roșu, se va face pentru imaginile în perspectivă suprapunând exact punctele lor principale (fig. 434) iar pentru imaginile în proiecția axonometrică, preferându-se cele cavaliere, suprapunând planul lor mai depărtat în proiecție frontală și planul lor inferior în proiecție cavaliere (fig. 435). Reușita efectelor stereoscopice depinde în primul rând de perfecta dozare a intensității culorilor imprimate pentru a fi absorbite cu desăvârșire de sticlele colorate ale ochelarului. De exemplu sticla



verde din ochiul stîng trebuie să absoarbă complet imaginea tipărită sau desenată în aceeași culoare pentru a nu lăsa să se vadă decît imaginea care îi este destinată și care este tipărită sau desenată în roșu. În același timp prin sticla roșie din ochiul drept trebuie să nu se vadă decît desenul tipărit sau desenat în verde care îi este destinat.

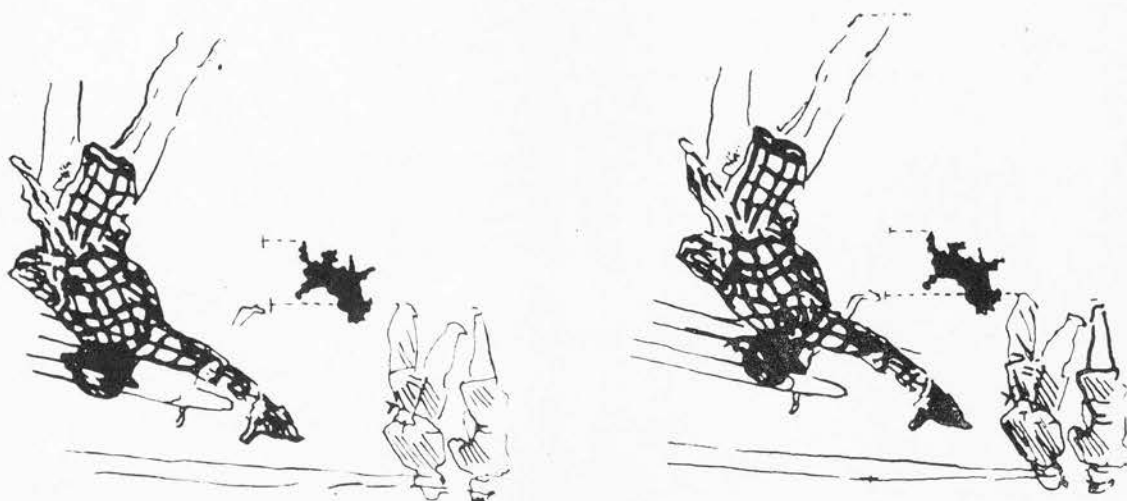


Fig. 435. (409) Prin deschiderea unui ecran. După o litografie de Henri de Toulouse-Lautrec.



# BIBLIOGRAPHIE SUMARĂ

- A. II. Барышников — *Историческая, Москва, 1955 г.*  
A. II. Барышников — *Как изучать историческую науку, Москва, 1952 г.*  
Armand Cassagne — *Traité pratique de Perspective, Paris, 1889*  
H. Deneux — *La métrophotographie, Paris, 1930*  
Ștefan Emilian — *Cursu practicu de perspectivă linară — Iași, 1886.*  
Scariat Fotino — *Geometrie perspectivă, București, 1941*  
Paul Gaudet — *Cours de perspective, Paris, 1929*  
G. C. Лыбедь — *Общая теория перспективы, Москва, 1959 г.*  
Max Kleiber — *Angewandte Perspektive, Leipzig, 1922*  
Ю. Копов, М. Федоров — *Аппликация и ортогональная проекция, Москва, 1954 г.*  
Gustave Lauriol — *Traité de Perspective, Bordeaux, 1901*  
Pierre Ollmer — *Perspective artistique, I și II, Paris, 1943 și 1949*  
Jules Pillet — *Traité de perspective linăre, Paris, 1888*  
L. A. Барановский — *Историческая, Москва, 1952 г.*  
K. Valstain — *Elemente de desen de arhitectură, București, 1836*  
H. Vubert — *Les anaglyphes géométriques, Paris, 1912*



# TABLA DE MATERII

Introducere . . . . . 5

## I. IMAGINEA PERSPECTIVĂ A UMBRELOR

Generalități (1)	7
Lumina naturală și lumina artificială (2)	12
Diferențe feluri de umbre (4—13)	14
Metode generale pentru desena umbrelor (14)	21
Umbra punctului și a verticalei pe planul orizontal (15)	22
Imaginea perspectivă a umbrelor luminii solare (16)	23
Soarele se află în spațiul real (17)	24
Determinarea imaginii perspective a soarelui în perspectiva inversă (18—22)	25
Determinarea imaginii perspective a soarelui în perspectiva directă (23—25)	29
Umbra punctului și a verticalelor pe plane orizontale (26—28)	31
Soarele se află în planul neutru (29—30)	33
Soarele se află în spațiul virtual (31—37)	36
Procedeu general pentru desena umbrelor când imaginile perspective reale sau virtuale ale soarelui și ale proiectei lui pe linia orizontului sunt inaccesibile (38)	42
Alte umbre purtate pe plane orizontale	43
Umbra purtată de drepte orizontale (39—40)	43
Umbra purtată pe planul obiectelor de cercuri orizontale (41)	46
Umbra purtată pe planul obiectelor de cercuri frontale (42)	47
Umbra purtată de cercuri verticale oarecare (43)	48
Umbre purtate pe plane verticale (44)	49
Umbre purtate pe plane frontale	50
Umbra punctului și a verticalei (45)	50
Umbra perpendiculară pe plane frontale (46)	51
Umbrele dreptelor înclinate pe plane frontale (47—48)	52
Umbra purtată de cercuri pe plane frontale (49)	54
Umbre pe plane verticale oarecare (50—52)	56
Umbra purtată de drepte înclinate și oarecare (53)	60
Umbra purtată de cercuri pe plane verticale oarecare (54—55)	60
Umbre purtate pe plane înclinate	62



Plane frontale ascendente și descendente (56—57) . . . . .	62
Umbre purtate pe plane înclinate oarecare (58—61) . . . . .	66
Umbrele corpurilor geometrice simple . . . . .	70
Umbra prisme (62—64) . . . . .	70
Umbra cilindrului (65—72) . . . . .	74
Aplicații (73—76) . . . . .	81
Umbra conului (77—81) . . . . .	86
Umbra sferei (82—86) . . . . .	91
Umbrele corpurilor rotunde (87) . . . . .	101
Studiul penumbrei (88) . . . . .	102
Imaginea perspectivă a umbrelor în lumina artificială . . . . .	105
Locul pe care îl poate ocupa în spațiu izvorul de lumină artificială, față de desenator (89) . . . . .	105
Izvorul de lumină se află în spațiul real (90—95) . . . . .	108
Izvorul de lumină se află în spațiul intermediar (96—97) . . . . .	115
Izvorul de lumină se află în planul neutru (98—100) . . . . .	119
Izvorul de lumină se află în spațiul vertical (101—109) . . . . .	121
Deosebirile dintre umbrele purtate de lumina solară (lunară) și de lumina artificială (110) . . . . .	130
Umbrele luminii artificiale pe diferite plane orizontale (111—117) . . . . .	131
Umbra cercului (118) . . . . .	139
Umbra prisme (119) . . . . .	139
Umbra cilindrului (120) . . . . .	139
Umbra abajurului (121—124) . . . . .	140
Umbra figurilor din compoziție (125) . . . . .	144
Umbrele purtate de mai multe izvoare de lumină (126) . . . . .	145

## II. IMAGINEA PERSPECTIVĂ A OGLINDIRILOR

Generalități (127) . . . . .	149
Inversarea imaginilor reflectate (128) . . . . .	151
Legile reflecției (129) . . . . .	153
Procedee pentru determinarea imaginilor reflectate (130—134) . . . . .	154
Cîmpul oglinzii (135—138) . . . . .	157
Felul oglinzilor (139) . . . . .	163
Oglinzile orizontale . . . . .	163
În perspectiva direcției (139 A—142) . . . . .	163
Cîmpul oglinzii orizontale (143—145) . . . . .	168
Scara perspectivă a reflectelor (146—149) . . . . .	171
În perspectiva inversă (150) . . . . .	176
Restituire perspectivă (151—152) . . . . .	177
Oglinzirile pe undele apei (153—156) . . . . .	180
Oglinda orizontală plafonantă (157—158) . . . . .	185
Oglinda verticală . . . . .	188
Oglinda verticală frontală (159—163) . . . . .	188
Cîmpul oglinzii verticale frontale (164—170) . . . . .	194
Oglinda verticală de capăt (171) . . . . .	198
Cîmpul oglinzii verticale de capăt (172—176) . . . . .	198
Oglinda verticală oarecare (177—178) . . . . .	205
Reflectul în oglinda verticală oarecare (179—180) . . . . .	206
Cîmpul oglinzii verticale oarecare (181—190) . . . . .	207

295	Imaginile perspective pe tabloul înclinat (239—240)
299	Elementele perspective ale tabloului înclinat (241—243)
304	Elementele perspective ale tabloului înclinat în cadrul tabloului (244—246)
309	Elemente perspective ale imaginii verticalelor din spațiu (247—249)
312	Scara perspectivă a tabloului înclinat (250)
313	In perspectivă directă (251)
314	Pe tabloul frontal descendent spre adîncul spațiului (252)
315	In perspectivă inversă (253)
316	Intocmirea schemei tabloului înclinat (254)
317	Rețele perspective de pătrare orientate frontal (255—256)
318	Folosirea rețelor de pătrare orientate frontal
319	In perspectivă inversă (257)
320	In perspectivă directă (258)
321	Rețele cu puncte de egală resecție (259)
321	Intocmirea unei rețele cu puncte de egală resecție pe un tablou înclinat (260)
323	Folosirea pe tabloul înclinat a rețelor cu puncte de egală resecție întocmite pentru tabloul vertical (261)
324	Aplicații grafice ale legii descrescării perspective pe tabloul înclinat (262)
326	In perspectivă directă (263)
327	In perspectivă inversă (264)

#### IV. IMAGINILE PERSPECTIVE ÎN PICTURA MONUMENTALĂ

257	Aplicațiile grafice ale legii descrescării perspective (218)
258	Ridicarea, coborîrea, apropierea și depărtarea punctului de vedere (219—221)
262	Compoziție în care linia orizontului este inaccesibilă (222)
264	Rețele perspective cu puncte de egală resecție (223—225)
268	Formatul rețelor (226)
271	Numărul rețelor (227)
275	Construirea rețelor și determinarea punctelor de egală resecție (228)
279	Completarea rețelor cu alte elemente (229—230)
281	Folosirea rețelor perspective cu puncte de egală resecție (231—232)
286	Folosirea documentării fotografice (233)
287	Compoziții care depășesc cîmpul vizualii clare (234)
288	Imaginile perspective în desenul după natură (235—238)

#### III. IMAGINILE PERSPECTIVE ÎN COMPOZIȚIILE PICTURALE

223	Oglinzile înclinate (191)
224	Oglinzile înclinate de capăt (192)
227	Cîmpul oglinzii (193)
230	Oglinzile înclinate frontale (194—197)
236	Cîmpul oglinzii (198—200)
239	Oglinzile frontale ascendente spre adîncul spațiului (201)
242	Oglinzile înclinate oarecare (202)
243	Oglinzile oarecare descendente spre adîncul spațiului
243	Unghiul înclinării oglinzii (203—207)
246	Cîmpul oglinzii (208—209)
249	Oglinzile oarecare ascendente spre adîncul spațiului (210—215)
255	Oglinzile reciproce (216)

Aplicații (265)	327
Imaginile perspective pe planul orizontal al plafoanelor (266—267)	332
Deformările perspective ale picturii monumentale	338
Deformările perspective pe peretele vertical (268—269)	338
Deformările perspective ale picturii monumentale pe peretele cilindric vertical al rotundelor sau al firidelor semicirculare (270—273)	345
Deformările perspective ale picturii monumentale pe suprafața cilindrică a bolților (274—276)	350
Bolta semicilindrică (277—278)	353
Deformările perspective ale picturii monumentale pe bolta semicilindrică (279—280)	356
Bolta mănăstirească (281)	361
Proiecțiile ortogonale și desfășurarea bolții mănăstirești (282)	361
Deformările perspective pe bolta mănăstirească (283—285)	362
Bolta de penetrație (286)	367
Proiecțiile ortogonale și desfășurarea bolții de penetrație (287)	367
Deformările perspective pe bolta de penetrație (288—290)	369
Calota sferică (291—294)	370
Cupola pe pendentivi (295—297)	376

## V. IMAGINILE PERSPECTIVE ÎN SCULPTURĂ

Basorelieful și altorelieful (298)	383
Basorelieful în perspectivă directă (299—300)	384
Elementele perspective ale basoreliefului. Punctul principal (301)	386
Basorelieful în perspectiva inversă (302)	387
Când va fi privit de la nivelul liniei orizontului a imaginii respective (303—309)	390
Când basorelieful va fi pus în operă mai sus de cât planul vizual principal orizontal al privitorului (310—315)	394
Desenarea basoreliefului (316—317)	399
Basorelief pe unghi (318)	401
Deformările perspective ale figurii umane (319)	403
Verificarea perspectivă a unui monument (320—321)	404
În perspectivă directă (322—329)	406
În perspectivă inversă (330—331)	414
Verificarea perspectivă a elementelor sculpturale (333—335)	416

## VI. PERSPECTIVA ÎN SCENOGRAFIE

Generalități (336—338)	423
Schița și elementele ei perspective	425
Schița (339)	425
Scara folosită în schițele și machetele scenografice (340)	425
Elementele perspective ale schiței (341—342)	426
Decorurile fără de formă și perspective	428
Procedeul rețelei păurate	428
În perspectivă directă (343)	428
În perspectivă inversă (344)	429

473 . . . . . Panoramă (376—377)

474 . . . . . Imaginele perspective pe tabloul cilindric vertical al rotundei (378)

476 . . . . . Elementele perspective ale tabloului cilindric vertical (379)

477 . . . . . Imaginele perspective pe tabloul cilindric vertical al rotundei folosind aplicarea grafică a legii descreşterii perspective (380—382)

479 . . . . . Imaginele perspective pe tabloul cilindric vertical al rotundei folosind o rotare pentru adîncimi şi o scară perspectivă pentru înălţimi (383—384)

481 . . . . . Dioramă (385—386)

430	Procedul rețelei de patrate cu coborîrea planului perspectiv (345)
434	Procedul rețelei rețelor perspective cu funcție de egală resecție
434	In perspectivă directă (346)
434	In perspectivă inversă (347)
440	Procedul general (348)
441	In perspectivă directă (349)
442	In perspectivă inversă (350)
444	Problema liniei orizontului (351)
446	Decorurile cu deformări perspective (352)
447	In perspectivă directă
448	Compoziție orientată frontal (353—354)
448	Elementele perspective ale planșelor decorului (355—359)
451	Fotoșterea elementelor perspective la realizarea machetei
452	Tabloul frontal al pereților din fundul scenei (360)
452	Tabloul vertical oarecare al pereților laterali al sălii (361—363)
453	Tabloul frontal descendent spre adîncul spațiului, al planșului (364)
455	Tabloul frontal ascendent spre adîncul spațiului al planșului obic-
456	reilor (364 B—365)
457	In perspectivă directă
457	Compoziția orientată pe unghi (366—367)
460	In perspectivă inversă
460	Compoziția orientată frontal (368)
460	Procedeu general (369—372)
465	Compoziție orientată pe unghi (373—374)
471	Vizibilitățile (375)

Trasarea umbrelor cu teul perspector (406) . . . . .	517
Folosirea teului perspector pe rețele perspective cu puncte de egală resecție (407) . . . . .	519

#### IX. IMAGINILE STEREOSCOPICE

Imaginile stereoscopice (408) . . . . .	521
Imagini perspective stereoscopice (409—410) . . . . .	521
Imagini stereoscopice privite prin fuzionare (411) . . . . .	527
Imagini stereoscopice privite prin fereastra unui ecran (412) . . . . .	528
Imagini axonometrice stereoscopice (413—414) . . . . .	530
Imagini stereoscopice în două culori (415) . . . . .	533
Bibliografie sumară . . . . .	536

BIBLIOTECA DE PEDAGOGIE-PSIHLOGIE

Redactor responsabil: I. SABETAY  
Tehnoredactor: ELENA DINULESCU

*Dat la cules 09.08.1967. Bun de tipar 11.07.1968. Apărut 1968.  
Tiraj 1.300+150 ex. legate 1/1 pinză. Hirtie tipar înalt tip A.  
de 63 g/m<sup>2</sup>. Ft. 8/540×840. Coli ed. 53,37. Coli de tipar 68.  
Comanda 2682. A. nr. 4149. C. Z. pentru bibliotecile mari 7.74.  
C. Z. pentru bibliotecile mici 7.74.*

Întreprinderea poligrafică Sibiu, str. N. Bălcescu nr. 17  
Republica Socialistă România  
Comanda nr. 185



